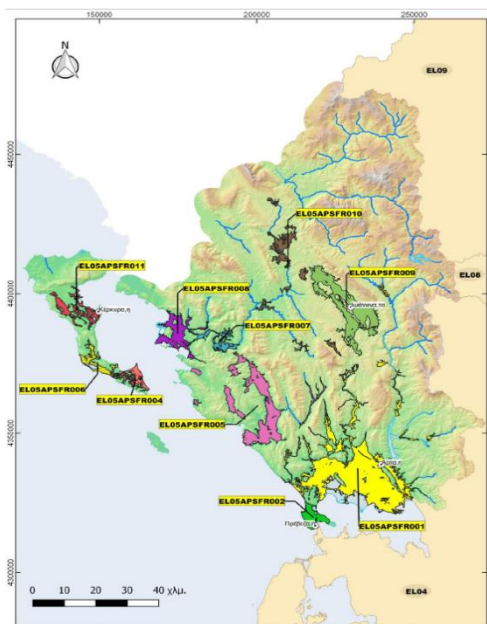




ΕΛΛΗΝΙΚΗ ΔΗΜΟΚΡΑΤΙΑ



**ΓΕΝΙΚΗ ΓΡΑΜΜΑΤΕΙΑ ΦΥΣΙΚΟΥ ΠΕΡΙΒΑΛΛΟΝΤΟΣ
ΚΑΙ ΥΔΑΤΩΝ
ΓΕΝΙΚΗ ΔΙΕΥΘΥΝΣΗ ΥΔΑΤΩΝ**



**1^η ΑΝΑΘΕΩΡΗΣΗ
ΣΧΕΔΙΟΥ ΔΙΑΧΕΙΡΙΣΗΣ ΚΙΝΔΥΝΩΝ ΠΛΗΜΜΥΡΑΣ
των Λεκανών Απορροής Ποταμών του
Υδατικού Διαμερίσματος Ηπείρου (EL05)**

Στάδιο 1 – Παραδοτέο 4

ΠΛΗΜΜΥΡΙΚΑ ΥΔΡΟΓΡΑΦΗΜΑΤΑ

**Παράρτημα Π5.10:
Υδρολογική Ανάλυση λεκάνης ποταμού Αχέροντα**



Ευρωπαϊκή Ένωση
Ταμείο Συνοχής



Με τη συγχρηματοδότηση της Ελλάδας και της Ευρωπαϊκής Ένωσης

Περιεχόμενα

1	ΜΟΝΤΕΛΟ ΥΔΡΟΛΟΓΙΚΗΣ ΠΡΟΣΟΜΟΙΩΣΗΣ ΛΕΚΑΝΗΣ ΑΠΟΡΡΟΗΣ	4
2	ΔΕΔΟΜΕΝΑ ΕΙΣΟΔΟΥ ΚΑΙ ΑΠΟΤΕΛΕΣΜΑΤΑ ΥΔΡΟΛΟΓΙΚΟΥ ΣΕΝΑΡΙΟΥ T=50	8
2.1	Αποτελέσματα, υετογραφήματα και υδρογραφήματα σχεδιασμού υπολεκανών	9
2.2	Δεδομένα και υδρογραφήματα σχεδιασμού Κλάδων υδρογραφικού δικτύου	39
2.3	Δεδομένα και υδρογραφήματα σχεδιασμού Κόμβων υδρογραφικού δικτύου	56
3	ΔΕΔΟΜΕΝΑ ΕΙΣΟΔΟΥ ΚΑΙ ΑΠΟΤΕΛΕΣΜΑΤΑ ΥΔΡΟΛΟΓΙΚΟΥ ΣΕΝΑΡΙΟΥ T=50L	74
3.1	Αποτελέσματα, υετογραφήματα και υδρογραφήματα σχεδιασμού υπολεκανών	75
3.2	Δεδομένα και υδρογραφήματα σχεδιασμού Κλάδων υδρογραφικού δικτύου	106
3.3	Δεδομένα και υδρογραφήματα σχεδιασμού Κόμβων υδρογραφικού δικτύου	123
4	ΔΕΔΟΜΕΝΑ ΕΙΣΟΔΟΥ ΚΑΙ ΑΠΟΤΕΛΕΣΜΑΤΑ ΥΔΡΟΛΟΓΙΚΟΥ ΣΕΝΑΡΙΟΥ T=50U	141
4.1	Αποτελέσματα, υετογραφήματα και υδρογραφήματα σχεδιασμού υπολεκανών	142
4.2	Δεδομένα και υδρογραφήματα σχεδιασμού Κλάδων υδρογραφικού δικτύου	172
4.3	Δεδομένα και υδρογραφήματα σχεδιασμού Κόμβων υδρογραφικού δικτύου	189
5	ΔΕΔΟΜΕΝΑ ΕΙΣΟΔΟΥ ΚΑΙ ΑΠΟΤΕΛΕΣΜΑΤΑ ΥΔΡΟΛΟΓΙΚΟΥ ΣΕΝΑΡΙΟΥ T=100	207
5.1	Αποτελέσματα, υετογραφήματα και υδρογραφήματα σχεδιασμού υπολεκανών	208
5.2	Δεδομένα και υδρογραφήματα σχεδιασμού Κλάδων υδρογραφικού δικτύου	238
5.3	Δεδομένα και υδρογραφήματα σχεδιασμού Κόμβων υδρογραφικού δικτύου	255
6	ΔΕΔΟΜΕΝΑ ΕΙΣΟΔΟΥ ΚΑΙ ΑΠΟΤΕΛΕΣΜΑΤΑ ΥΔΡΟΛΟΓΙΚΟΥ ΣΕΝΑΡΙΟΥ T=100L	273
6.1	Αποτελέσματα, υετογραφήματα και υδρογραφήματα σχεδιασμού υπολεκανών	274
6.2	Δεδομένα και υδρογραφήματα σχεδιασμού Κλάδων υδρογραφικού δικτύου	304
6.3	Δεδομένα και υδρογραφήματα σχεδιασμού Κόμβων υδρογραφικού δικτύου	321
7	ΔΕΔΟΜΕΝΑ ΕΙΣΟΔΟΥ ΚΑΙ ΑΠΟΤΕΛΕΣΜΑΤΑ ΥΔΡΟΛΟΓΙΚΟΥ ΣΕΝΑΡΙΟΥ T=100U	339
7.1	Αποτελέσματα, υετογραφήματα και υδρογραφήματα σχεδιασμού υπολεκανών	340
7.2	Δεδομένα και υδρογραφήματα σχεδιασμού Κλάδων υδρογραφικού δικτύου	370
7.3	Δεδομένα και υδρογραφήματα σχεδιασμού Κόμβων υδρογραφικού δικτύου	387
8	ΔΕΔΟΜΕΝΑ ΕΙΣΟΔΟΥ ΚΑΙ ΑΠΟΤΕΛΕΣΜΑΤΑ ΥΔΡΟΛΟΓΙΚΟΥ ΣΕΝΑΡΙΟΥ T=1000	405
8.1	Αποτελέσματα, υετογραφήματα και υδρογραφήματα σχεδιασμού υπολεκανών	406
8.2	Δεδομένα και υδρογραφήματα σχεδιασμού Κλάδων υδρογραφικού δικτύου	436
8.3	Δεδομένα και υδρογραφήματα σχεδιασμού Κόμβων υδρογραφικού δικτύου	453

9 ΔΕΔΟΜΕΝΑ ΕΙΣΟΔΟΥ ΚΑΙ ΑΠΟΤΕΛΕΣΜΑΤΑ ΥΔΡΟΛΟΓΙΚΟΥ ΣΕΝΑΡΙΟΥ T=1000L471

9.1	Αποτελέσματα, υετογραφήματα και υδρογραφήματα σχεδιασμού υπολεκανών	472
9.2	Δεδομένα και υδρογραφήματα σχεδιασμού Κλάδων υδρογραφικού δικτύου	502
9.3	Δεδομένα και υδρογραφήματα σχεδιασμού Κόμβων υδρογραφικού δικτύου	519

10 ΔΕΔΟΜΕΝΑ ΕΙΣΟΔΟΥ ΚΑΙ ΑΠΟΤΕΛΕΣΜΑΤΑ ΥΔΡΟΛΟΓΙΚΟΥ ΣΕΝΑΡΙΟΥ T=1000U537

10.1	Αποτελέσματα, υετογραφήματα και υδρογραφήματα σχεδιασμού υπολεκανών	538
10.2	Δεδομένα και υδρογραφήματα σχεδιασμού Κλάδων υδρογραφικού δικτύου	568
10.3	Δεδομένα και υδρογραφήματα σχεδιασμού Κόμβων υδρογραφικού δικτύου	585

1 Μοντέλο Υδρολογικής Προσομοίωσης Λεκάνης Απορροής

Το μοντέλο υδρολογικής προσομοίωσης της λεκάνης απορροής του ποταμού Αχέροντα περιλαμβάνει 29 υπολεκάνες, 18 κόμβους και 17 κλάδους του υδρογραφικού δικτύου.

Η σχηματοποίηση του υδρολογικού συστήματος απεικονίζεται στον χάρτη της Εικόνας 5-13.

Τα χαρακτηριστικά μεγέθη της συνολικής λεκάνης είναι:

- Έκταση $A = 729.6 \text{ km}^2$
- Μέσο υψόμετρο $z_m = 454.6 \text{ m}$
- Υψόμετρο κόμβου εξόδου $z_k = 0.0 \text{ m}$
- Μέγιστο μήκος ροής $L_{\max} = 68.6 \text{ km}$
- Χρόνος συγκέντρωσης $t_c = 12.4 \text{ h}$

Για την υδρολογική προσομοίωση επιλέγεται διάρκεια βροχής $D = 48 \text{ h}$ και χρονικό βήμα $\Delta t = 15 \text{ min}$.

Για την παραπάνω έκταση και διάρκεια προκύπτει συντελεστής επιφανειακής αναγωγής $\varphi = 0.914$.

Τα χαρακτηριστικά γεωμετρικά μεγέθη των κλάδων και υπολεκανών του υδρογραφικού δικτύου δίνονται στους Πίνακες 5-23 και 5-24, αντίστοιχα, ενώ τα συγκεντρωτικά αποτελέσματα της συνολικής λεκάνης απορροής δίνονται στον Πίνακα 5-25. Στο Παράρτημα Π10 δίνονται τα πλήρη δεδομένα εισόδου και εξόδου του μοντέλου προσομοίωσης για όλες τις συνιστώσες του δικτύου (υπολεκάνες, κόμβοι, κλάδοι), και τα αντίστοιχα γραφήματα.

Πίνακας Error! No text of specified style in document.-1 Χαρακτηριστικά μεγέθη κλάδων υδρογραφικού δικτύου (υδατορεύματα)

Κωδικός	Ονομασία	Ανάντη	Κατάντη	Μήκος (km)	Μέση κλίση
R21	Αχέροντας	J2	J1	6.036	0.0009
R32	Αχέροντας	J3	J2	4.671	0.0023
R43	Αχέροντας	J4	J3	11.570	0.0024
R54	Αχέροντας	J5	J4	3.007	0.0158
R65	Αχέροντας	J6	J5	8.150	0.0115
R76	Αχέροντας	J7	J6	12.757	0.0051
R87	Αχέροντας	J8	J7	13.308	0.0111
R97		J9	J7	8.560	0.0072
R105	Αχέροντας	J10	J5	10.171	0.0264
R1112		J11	J12	7.255	0.0076
R1213	Κοκτός	J12	J13	11.711	0.0048
R1314	Κοκτός	J13	J14	8.491	0.0025
R1415	Κοκτός	J14	J15	2.968	0.0033
R152	Κοκτός	J15	J2	3.194	0.0016
R1615		J16	J15	4.355	0.0031
R173		J17	J3	5.450	0.0121
R183		J18	J3	3.620	0.0089

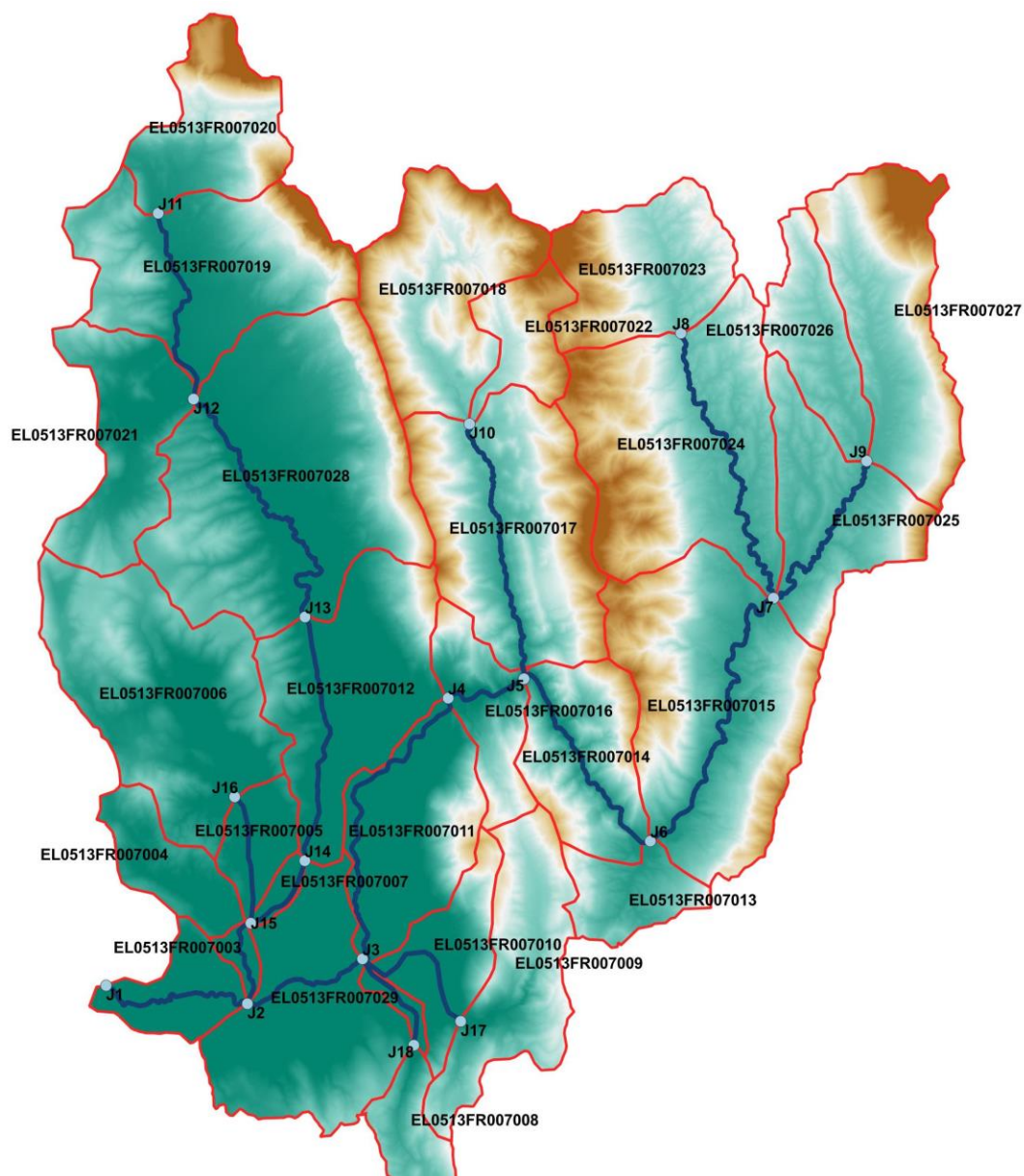
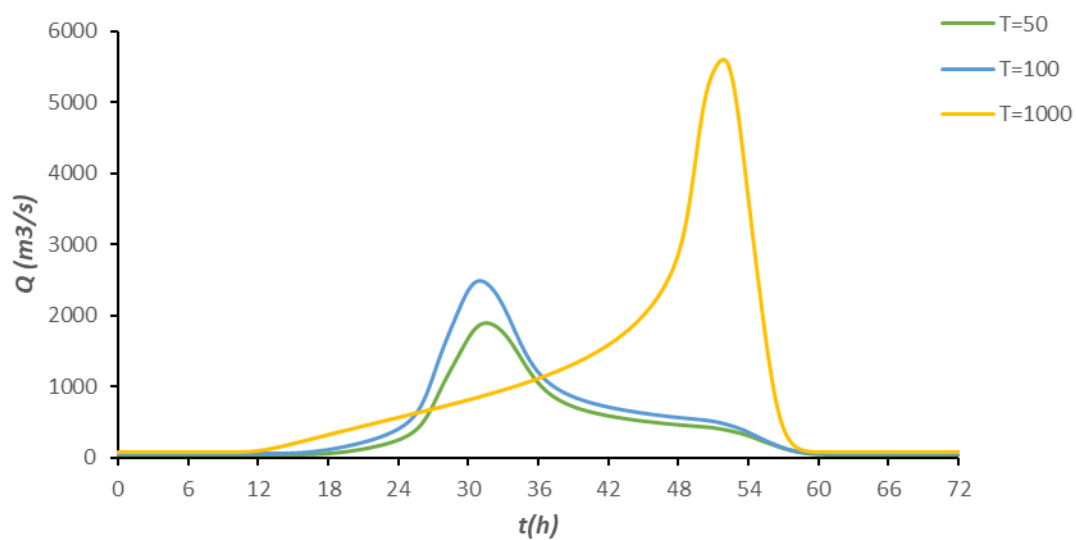
Πίνακας Error! No text of specified style in document.-2 Χαρακτηριστικά μεγέθη υπολεκανών

Κωδικός	Λεκάνη απορροής	Κλάδος	Κόμβος εξόδου	Έκταση (km ²)	Μέσο υψόμετρο (m)	Υψόμετρο εξόδου (m)	Μέγιστο μήκος ροής (km)
EL0513FR007001	EL0513FR00007	R21	J1	10.614	13.8	0.0	6.0
EL0513FR007002	EL0513FR00007	R32	J2	36.491	93.5	0.0	7.1
EL0513FR007003	EL0513FR00007	R152	J2	2.147	24.9	5.8	1.9
EL0513FR007004	EL0513FR00007		J15	11.496	157.5	9.0	9.0
EL0513FR007005	EL0513FR00007	R1615	J15	8.158	50.4	6.8	5.6
EL0513FR007006	EL0513FR00007		J16	47.061	251.9	13.6	16.1
EL0513FR007007	EL0513FR00007	R1415	J15	2.051	14.0	11.0	3.3
EL0513FR007008	EL0513FR00007		J18	8.000	401.7	46.9	7.3
EL0513FR007009	EL0513FR00007		J17	25.563	527.2	60.9	11.6
EL0513FR007010	EL0513FR00007	R173	J3	14.218	243.7	10.1	7.3
EL0513FR007011	EL0513FR00007	R43	J3	27.000	165.3	11.6	12.6
EL0513FR007012	EL0513FR00007	R1314	J14	36.828	156.3	15.8	16.0
EL0513FR007013	EL0513FR00007		J6	10.560	414.7	185.8	4.8
EL0513FR007014	EL0513FR00007	R65	J5	22.476	532.5	67.5	8.3
EL0513FR007015	EL0513FR00007	R76	J6	54.511	605.5	173.6	16.8
EL0513FR007016	EL0513FR00007	R54	J4	13.515	456.4	40.4	7.0
EL0513FR007017	EL0513FR00007	R105	J5	45.333	685.5	102.4	13.8
EL0513FR007018	EL0513FR00007		J10	32.484	855.4	362.0	12.046
EL0513FR007019	EL0513FR00007	R1112	J12	40.095	412.2	96.8	12.37
EL0513FR007020	EL0513FR00007		J11	21.516	678.8	151.8	9.285
EL0513FR007021	EL0513FR00007		J12	23.014	243	97.2	10.075
EL0513FR007022	EL0513FR00007		J10	10.494	891.7	362.9	8.405
EL0513FR007023	EL0513FR00007		J8	25.041	776.5	393.4	9.117
EL0513FR007024	EL0513FR00007	R87	J7	52.104	696	241.9	18.392
EL0513FR007025	EL0513FR00007	R97	J7	25.398	457	242.2	11.63
EL0513FR007026	EL0513FR00007		J9	15.520	509.8	307.6	11.182
EL0513FR007027	EL0513FR00007		J9	34.031	757.2	310.0	14.772
EL0513FR007028	EL0513FR00007	R1213	J13	71.905	307.9	35.8	19.689
EL0513FR007029	EL0513FR00007	R183	J3	1.985	25.4	16.4	3.701

Πίνακας Error! No text of specified style in document.-3 Συγκεντρωτικά αποτελέσματα υδρολογικής προσομοίωσης περιοχής μελέτης

Χαρακτηριστικά μεγέθη λεκάνης απορροής Αχέροντα			
Έκταση (km ²)	729.61	Υψόμετρο εξόδου (m)	0.1
Αδιαπέρατη επιφάνεια (%)	0.00	Χρόνος συγκέντρωσης (h)	12.37
Μέγιστο μήκος ροής (km)	68.62	Διάρκεια βροχόπτωσης σχεδιασμού (h)	48.00
Μέσο υψόμετρο (m)	454.6	Χρονικό βήμα (h)	0.25
Συγκεντρωτικά αποτελέσματα υδρολογικής προσομοίωσης λεκάνης			
	Ευμενείς συνθήκες	Μέσες συνθήκες	Δυσμενείς συνθήκες
	Ολικό ύψος επιφανειακής βροχής (mm)		
T = 50	239.8	239.8	239.8
T = 100	280.8	280.8	280.8
T = 1000	460.3	460.3	460.3
	Ολικό ύψος πλημμυρικής απορροής (mm)		
T = 50	56.7	121.7	174.4
T = 100	80.0	155.7	213.3
T = 1000	203.9	315.8	387.4
	Συντελεστής απορροής		
T = 50	0.237	0.507	0.727
T = 100	0.285	0.555	0.760
T = 1000	0.443	0.686	0.842
	Πλημμυρική παροχή αιχμής (m³/s)		
T = 50	811.7	1846.6	2624.5
T = 100	1195.4	2434.6	3275
T = 1000	4253.6	5516.3	6019.4
	Πλημμυρικός όγκος (hm³)		
T = 50	41.402	88.781	127.240
T = 100	58.386	113.629	155.619
T = 1000	148.776	230.442	282.634
	Συνολική παροχή αιχμής (m³/s)		
T = 50	855.4	1890.4	2668.3
T = 100	1246.5	2485.7	3326.1
T = 1000	4326.6	5589.3	6092.4
	Συνολικός όγκος υδρογραφήματος (hm³)		
T = 50	98.198	145.577	184.036
T = 100	124.655	179.898	221.888
T = 1000	243.493	325.159	377.351

Υδρογραφήματα σχεδιασμού στον κόμβο εξόδου(μέσες συνθήκες)



Εικόνα Error! No text of specified style in document.-1 Χάρτης περιοχής μελέτης, όπου απεικονίζεται η σχηματοποίηση των κόμβων και κλάδων του υδρογραφικού δικτύου και των υπολεκανών

2 Δεδομένα εισόδου και αποτελέσματα υδρολογικού σεναρίου T=50

2.1 Αποτελέσματα, υετογραφήματα και υδρογραφήματα σχεδιασμού υπολεκανών

Υπολεκάνη: EL0513FR7001

Έκταση (KM2) : 10.61

Κατάνη : J1

Μέθοδος Απωλειών: SCS

Ποσοστό αδιαπέρατης επιφάνειας	0
Αριθμός Καμπύλης Απορροής-CN	76.74
Αρχικές Απώλειες	15.4

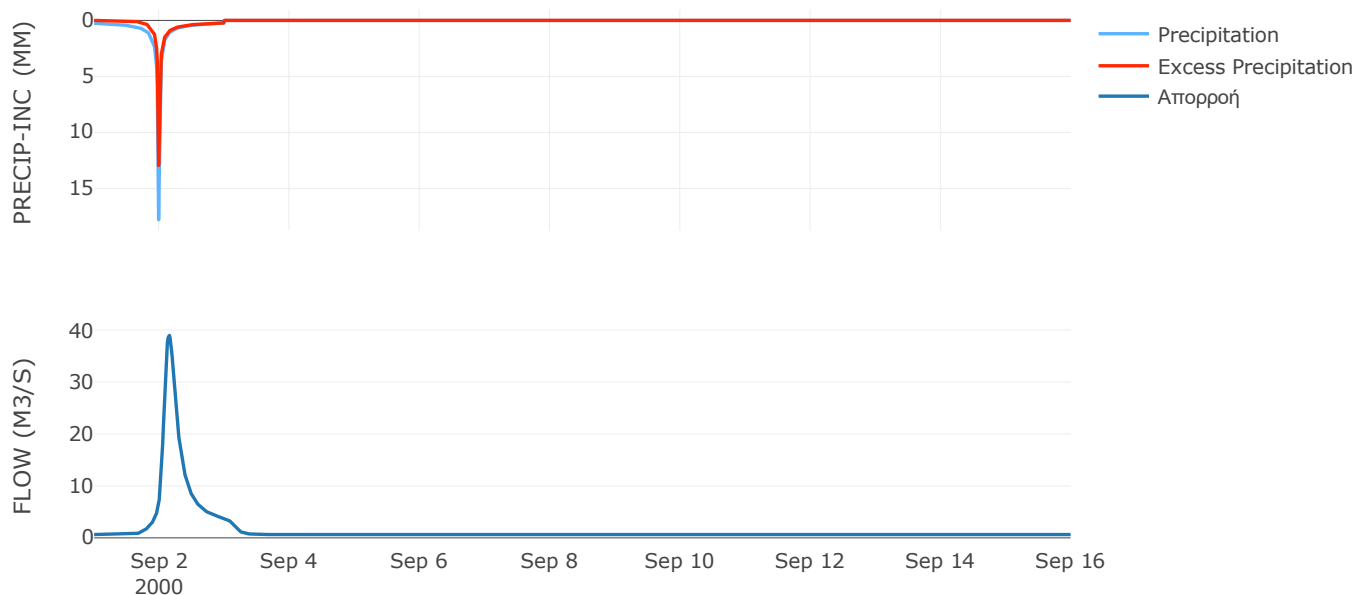
Μέθοδος
Μετασχηματισμού: SCS

Χρόνος Υστέρησης	200.89
------------------	--------

Αποτελέσματα:
EL0513FR7001

Παροχή αιχμής (M3/S)	38.99
Χρονική στιγμή αιχμής	02Sep2000, 03:30
Όγκος (MM)	190.78
Όγκος βροχόπτωσης (M3)	1.92E6
Όγκος απωλειών (M3)	7.21E5
Ενεργός Όγκος (M3)	1.2E6
Όγκος άμεσης απορροής (M3)	1.2E6
Όγκος βασικής απορροής (M3)	8.25E5

Βροχόπτωση και Απορροή



Υπολεκάνη: EL0513FR7002

Έκταση (KM2) : 36.49

Κατάντη : J2

Μέθοδος Απωλειών: SCS

Ποσοστό αδιαπέρατης επιφάνειας	0
Αριθμός Καμπύλης Απορροής-CN	65.95
Αρχικές Απώλειες	26.23

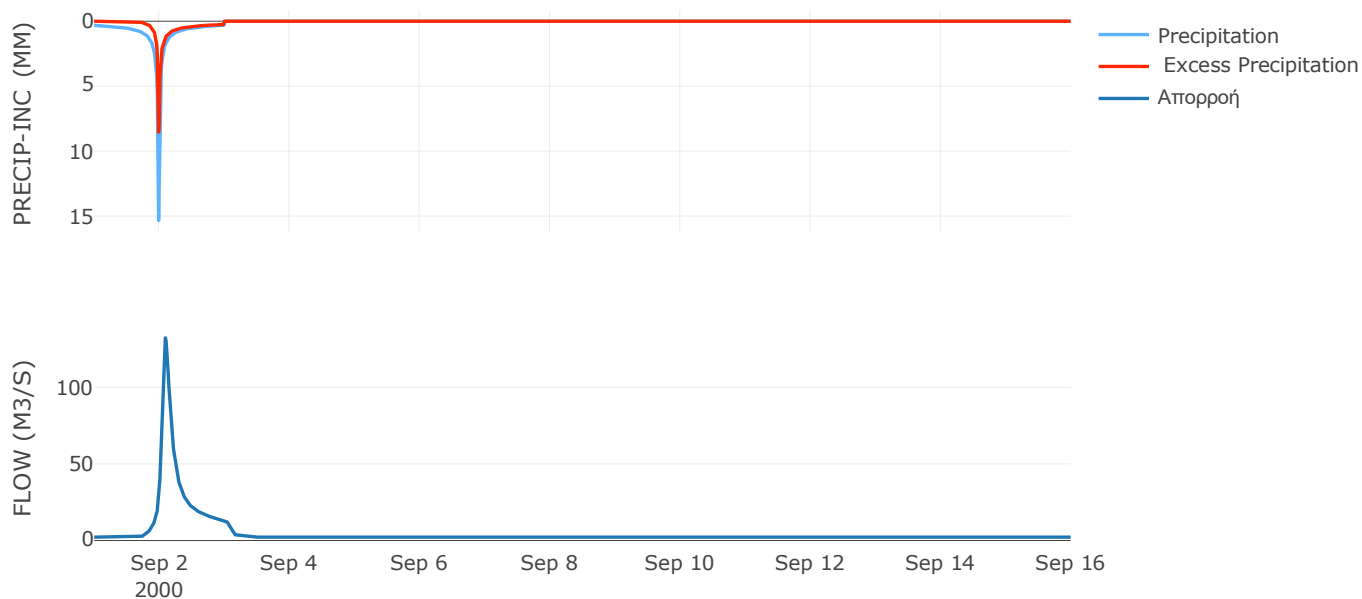
Μέθοδος
Μετασχηματισμού: SCS

Χρόνος Υστέρησης	121.53
------------------	--------

Αποτελέσματα:
EL0513FR7002

Παροχή αιχμής (M3/S)	132.31
Χρονική στιγμή αιχμής	02Sep2000, 02:15
Όγκος (MM)	170.27
Όγκος βροχόπτωσης (M3)	7E6
Όγκος απωλειών (M3)	3.63E6
Ενεργός Όγκος (M3)	3.38E6
Όγκος άμεσης απορροής (M3)	3.38E6
Όγκος βασικής απορροής (M3)	2.84E6

Βροχόπτωση και Απορροή



Υπολεκάνη: EL0513FR7003

Έκταση (KM2) : 2.15

Κατάντη : J2

Μέθοδος Απωλειών: SCS

Ποσοστό αδιαπέρατης επιφάνειας	0
Αριθμός Καμπύλης Απορροής-CN	73.61
Αρχικές Απώλειες	18.21

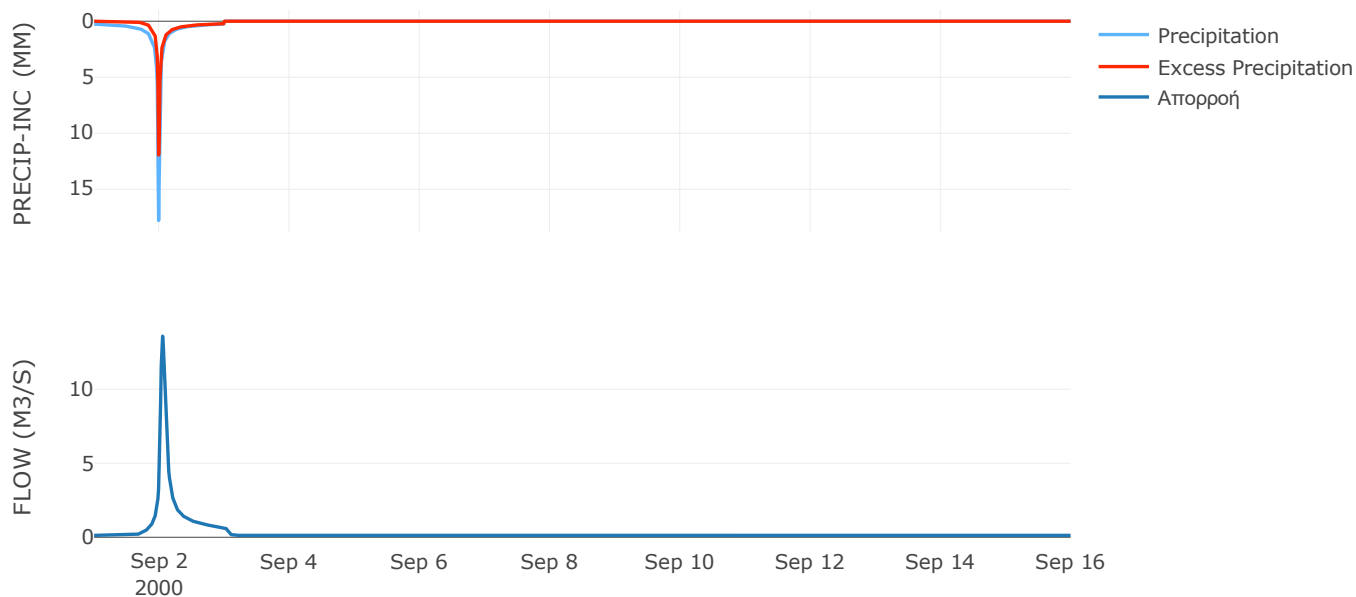
Μέθοδος
Μετασχηματισμού: SCS

Χρόνος Υστέρησης	67.85
------------------	-------

Αποτελέσματα:
EL0513FR7003

Παροχή αιχμής (M3/S)	13.58
Χρονική στιγμή αιχμής	02Sep2000, 01:15
Όγκος (MM)	182.13
Όγκος βροχόπτωσης (M3)	3.89E5
Όγκος απωλειών (M3)	1.64E5
Ενεργός Όγκος (M3)	2.24E5
Όγκος άμεσης απορροής (M3)	2.24E5
Όγκος βασικής απορροής (M3)	1.67E5

Βροχόπτωση και Απορροή



Υπολεκάνη: EL0513FR7004

Έκταση (KM2) : 11.5

Κατάντη : J15

Μέθοδος Απωλειών: SCS

Ποσοστό αδιαπέρατης επιφάνειας	0
Αριθμός Καμπύλης Απορροής-CN	60.52
Αρχικές Απώλειες	33.14

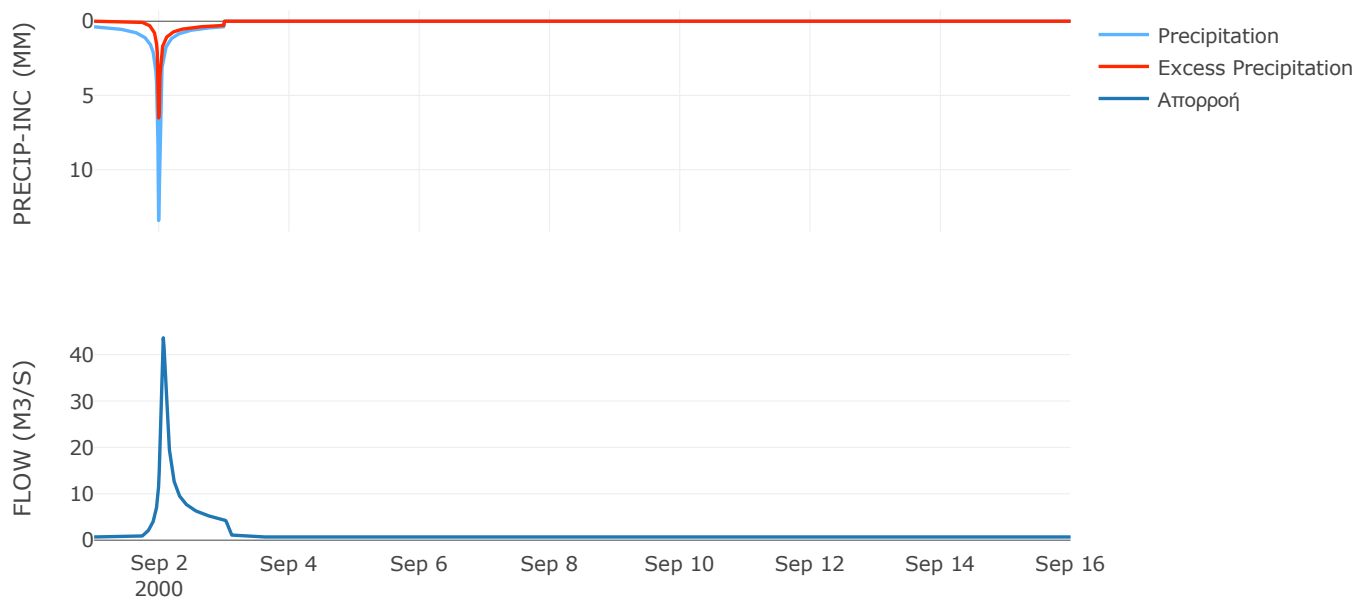
Μέθοδος
Μετασχηματισμού: SCS

Χρόνος Υστέρησης	74.84
------------------	-------

Αποτελέσματα:
EL0513FR7004

Παροχή αιχμής (M3/S)	43.63
Χρονική στιγμή αιχμής	02Sep2000, 01:30
Όγκος (MM)	164.46
Όγκος βροχόπτωσης (M3)	2.34E6
Όγκος απωλειών (M3)	1.35E6
Ενεργός Όγκος (M3)	9.97E5
Όγκος άμεσης απορροής (M3)	9.97E5
Όγκος βασικής απορροής (M3)	8.94E5

Βροχόπτωση και Απορροή



Υπολεκάνη: EL0513FR7005

Έκταση (KM2) : 8.16

Κατάντη : J15

Μέθοδος Απωλειών: SCS

Ποσοστό αδιαπέρατης επιφάνειας	0
Αριθμός Καμπύλης Απορροής-CN	67.14
Αρχικές Απώλειες	24.86

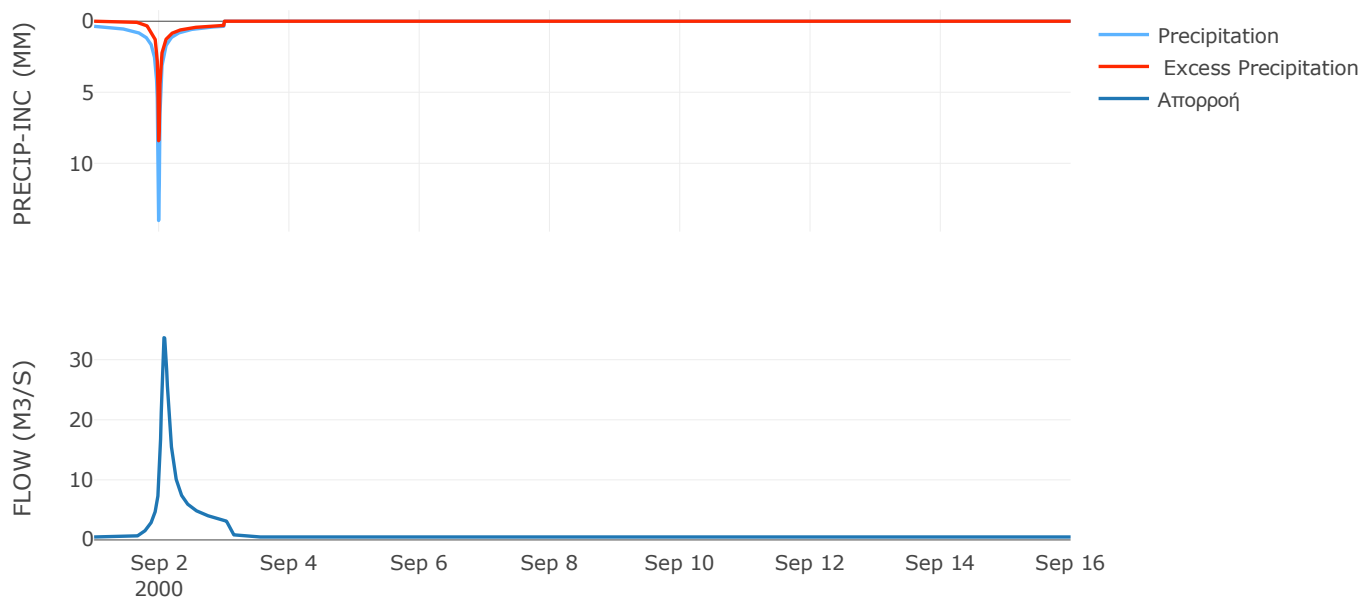
Μέθοδος
Μετασχηματισμού: SCS

Χρόνος Υστέρησης	101.15
------------------	--------

Αποτελέσματα:
EL0513FR7005

Παροχή αιχμής (M3/S)	33.67
Χρονική στιγμή αιχμής	02Sep2000, 01:45
Όγκος (MM)	181.29
Όγκος βροχόπτωσης (M3)	1.64E6
Όγκος απωλειών (M3)	7.98E5
Ενεργός Όγκος (M3)	8.45E5
Όγκος άμεσης απορροής (M3)	8.45E5
Όγκος βασικής απορροής (M3)	6.34E5

Βροχόπτωση και Απορροή



Υπολεκάνη: EL0513FR7006

Έκταση (KM2) : 47.06

Κατάντη : J16

Μέθοδος Απωλειών: SCS

Ποσοστό αδιαπέρατης επιφάνειας	0
Αριθμός Καμπύλης Απορροής-CN	49.32
Αρχικές Απώλειες	52.2

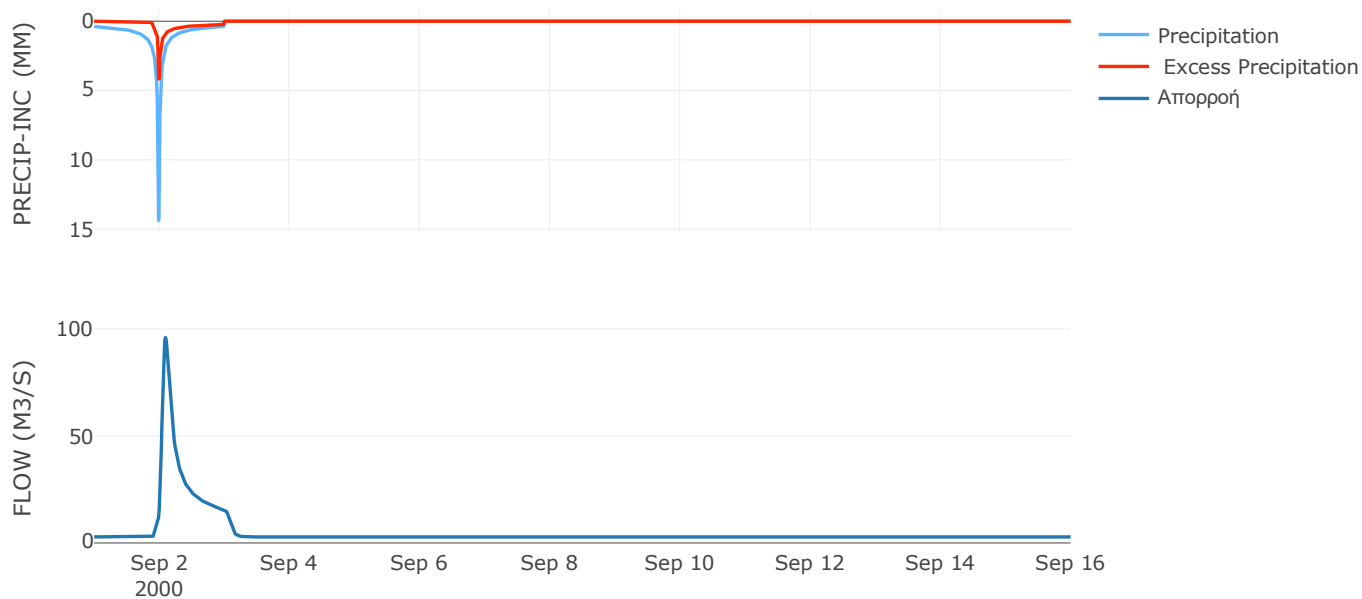
Μέθοδος
Μετασχηματισμού: SCS

Χρόνος Υστέρησης	112.86
------------------	--------

Αποτελέσματα:
EL0513FR7006

Παροχή αιχμής (M3/S)	95.94
Χρονική στιγμή αιχμής	02Sep2000, 02:15
Όγκος (MM)	136.76
Όγκος βροχόπτωσης (M3)	9.85E6
Όγκος απωλειών (M3)	7.07E6
Ενεργός Όγκος (M3)	2.78E6
Όγκος άμεσης απορροής (M3)	2.78E6
Όγκος βασικής απορροής (M3)	3.66E6

Βροχόπτωση και Απορροή



Υπολεκάνη: EL0513FR7007

Έκταση (KM2) : 2.05

Κατάνη : J15

Μέθοδος Απωλειών: SCS

Ποσοστό αδιαπέρατης επιφάνειας	0
Αριθμός Καμπύλης Απορροής-CN	78.46
Αρχικές Απώλειες	13.95

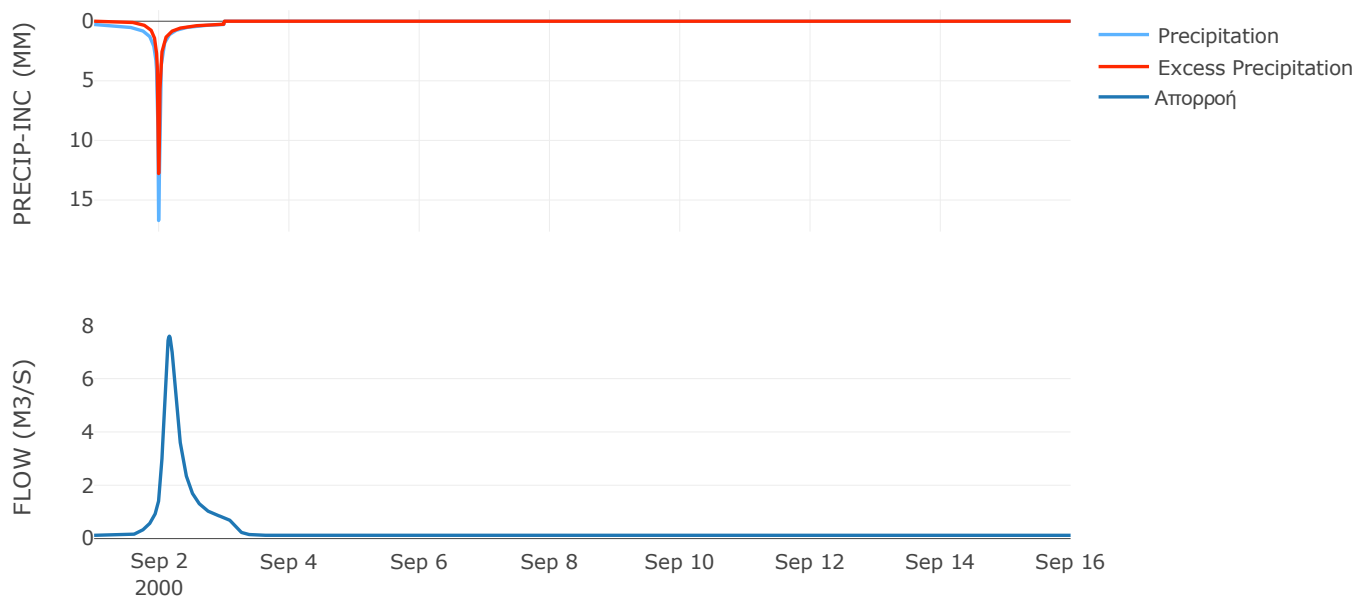
Μέθοδος
Μετασχηματισμού: SCS

Χρόνος Υστέρησης	208.35
------------------	--------

Αποτελέσματα:
EL0513FR7007

Παροχή αιχμής (M3/S)	7.59
Χρονική στιγμή αιχμής	02Sep2000, 03:45
Όγκος (MM)	198.64
Όγκος βροχόπτωσης (M3)	3.78E5
Όγκος απωλειών (M3)	1.3E5
Ενεργός Όγκος (M3)	2.48E5
Όγκος άμεσης απορροής (M3)	2.48E5
Όγκος βασικής απορροής (M3)	1.59E5

Βροχόπτωση και Απορροή



Υπολεκάνη: EL0513FR7008

Έκταση (KM2) : 8

Κατάντη : J18

Μέθοδος Απωλειών: SCS

Ποσοστό αδιαπέρατης επιφάνειας	0
Αριθμός Καμπύλης Απορροής-CN	57.95
Αρχικές Απώλειες	36.87

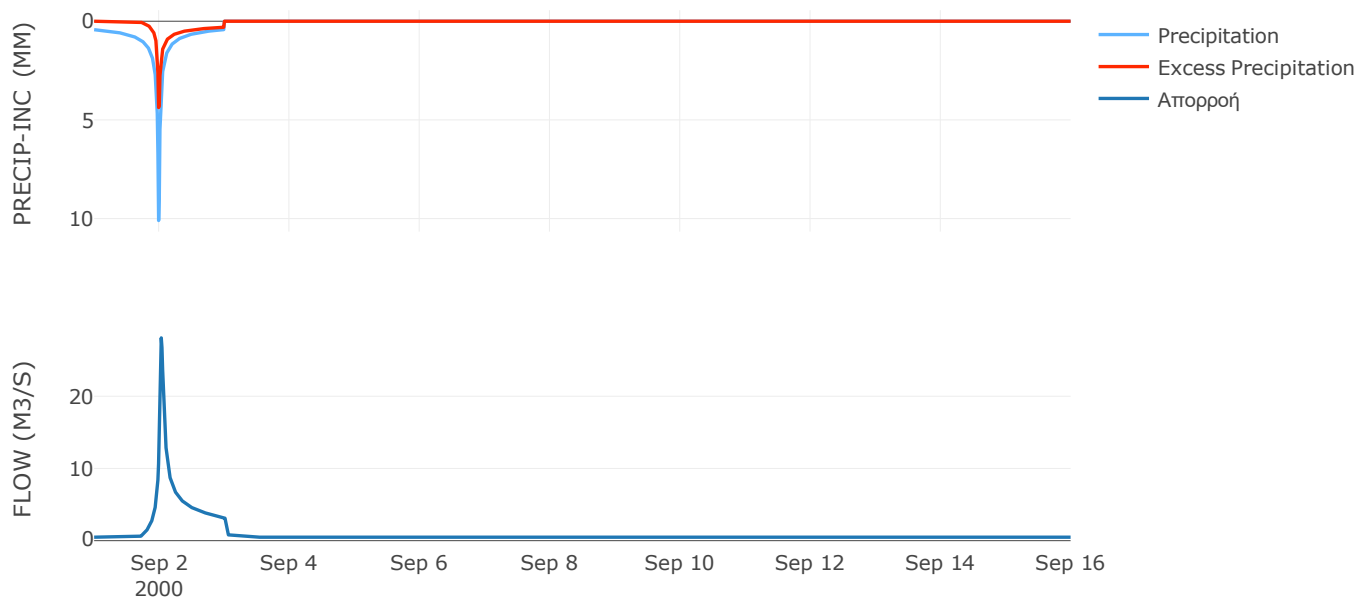
Μέθοδος
Μετασχηματισμού: SCS

Χρόνος Υστέρησης	39.97
------------------	-------

Αποτελέσματα:
EL0513FR7008

Παροχή αιχμής (M3/S)	28.09
Χρονική στιγμή αιχμής	02Sep2000, 00:45
Όγκος (MM)	154.52
Όγκος βροχόπτωσης (M3)	1.6E6
Όγκος απωλειών (M3)	9.88E5
Ενεργός Όγκος (M3)	6.14E5
Όγκος άμεσης απορροής (M3)	6.14E5
Όγκος βασικής απορροής (M3)	6.22E5

Βροχόπτωση και Απορροή



Υπολεκάνη: EL0513FR7009

Έκταση (KM2) : 25.56

Κατάντη : J17

Μέθοδος Απωλειών: SCS

Ποσοστό αδιαπέρατης επιφάνειας	0
Αριθμός Καμπύλης Απορροής-CN	58.5
Αρχικές Απώλειες	36.04

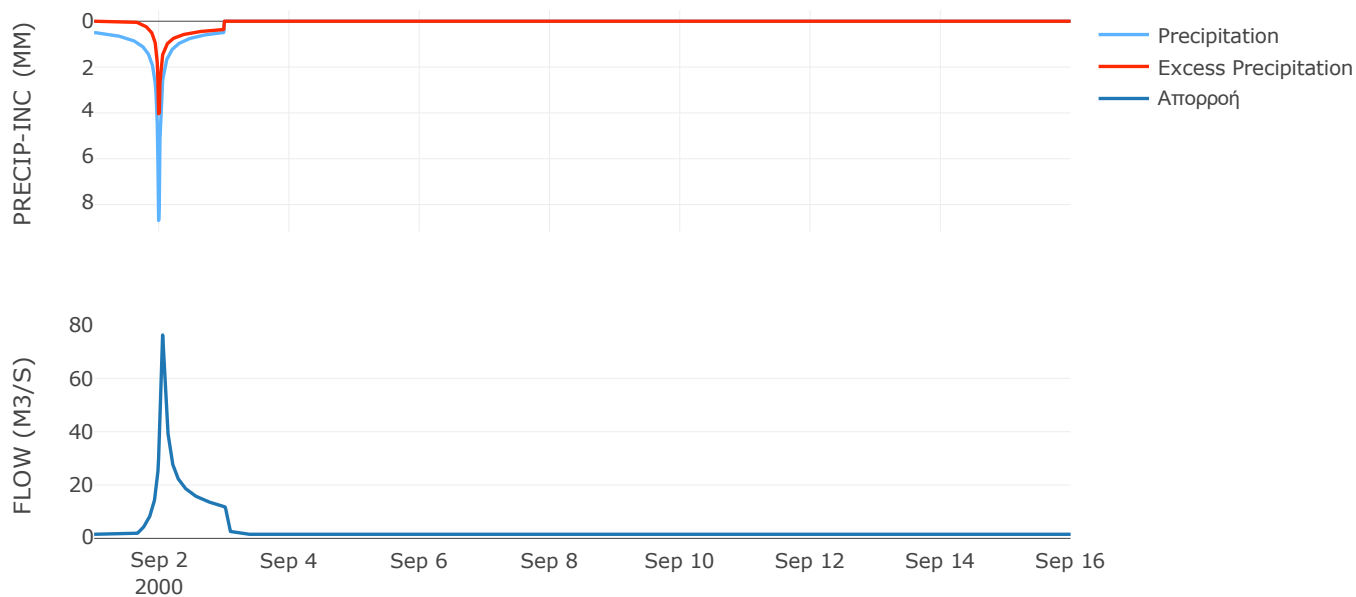
Μέθοδος
Μετασχηματισμού: SCS

Χρόνος Υστέρησης	58.87
------------------	-------

Αποτελέσματα:
EL0513FR7009

Παροχή αιχμής (M3/S)	76.25
Χρονική στιγμή αιχμής	02Sep2000, 01:15
Όγκος (MM)	162.46
Όγκος βροχόπτωσης (M3)	5.34E6
Όγκος απωλειών (M3)	3.18E6
Ενεργός Όγκος (M3)	2.17E6
Όγκος άμεσης απορροής (M3)	2.17E6
Όγκος βασικής απορροής (M3)	1.99E6

Βροχόπτωση και Απορροή



Υπολεκάνη: EL0513FR7010

Έκταση (KM2) : 14.22

Κατάντη : J3

Μέθοδος Απωλειών: SCS

Ποσοστό αδιαπέρατης επιφάνειας	0
Αριθμός Καμπύλης Απορροής-CN	63.55
Αρχικές Απώλειες	29.13

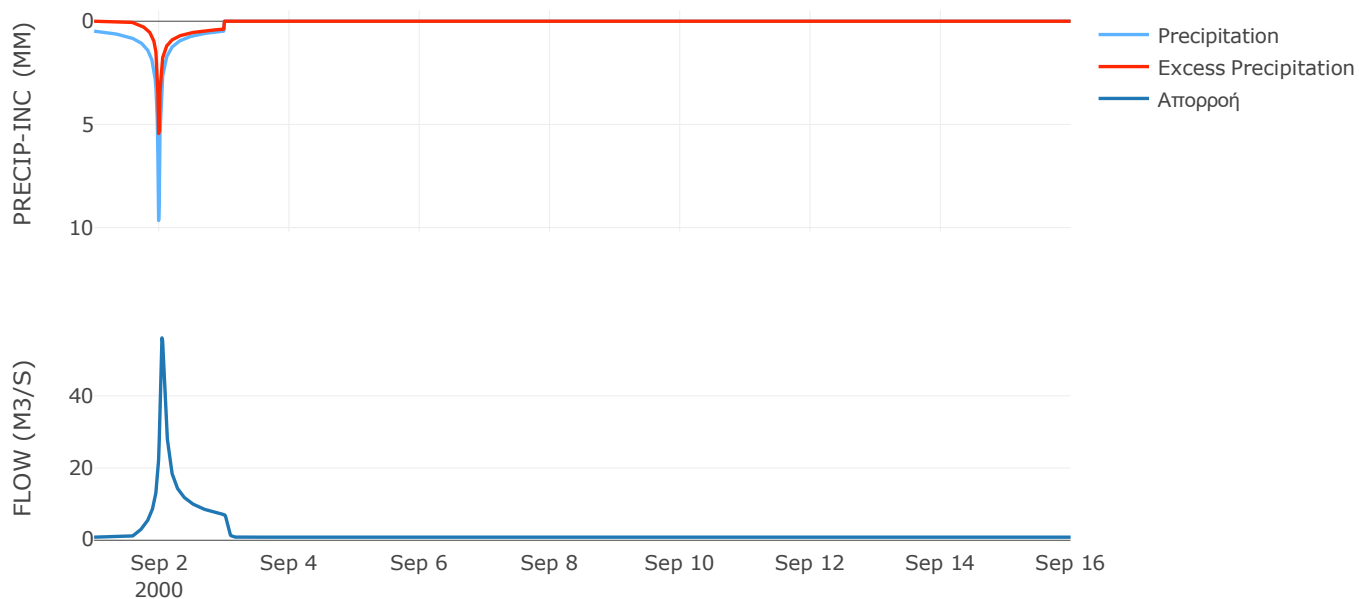
Μέθοδος
Μετασχηματισμού: SCS

Χρόνος Υστέρησης	57.53
------------------	-------

Αποτελέσματα:
EL0513FR7010

Παροχή αιχμής (M3/S)	56.05
Χρονική στιγμή αιχμής	02Sep2000, 01:00
Όγκος (MM)	180.69
Όγκος βροχόπτωσης (M3)	3.03E6
Όγκος απωλειών (M3)	1.57E6
Ενεργός Όγκος (M3)	1.46E6
Όγκος άμεσης απορροής (M3)	1.46E6
Όγκος βασικής απορροής (M3)	1.11E6

Βροχόπτωση και Απορροή



Υπολεκάνη: EL0513FR7011

Έκταση (KM2) : 27

Κατάντη : J3

Μέθοδος Απωλειών: SCS

Ποσοστό αδιαπέρατης επιφάνειας	0
Αριθμός Καμπύλης Απορροής-CN	68.6
Αρχικές Απώλειες	23.25

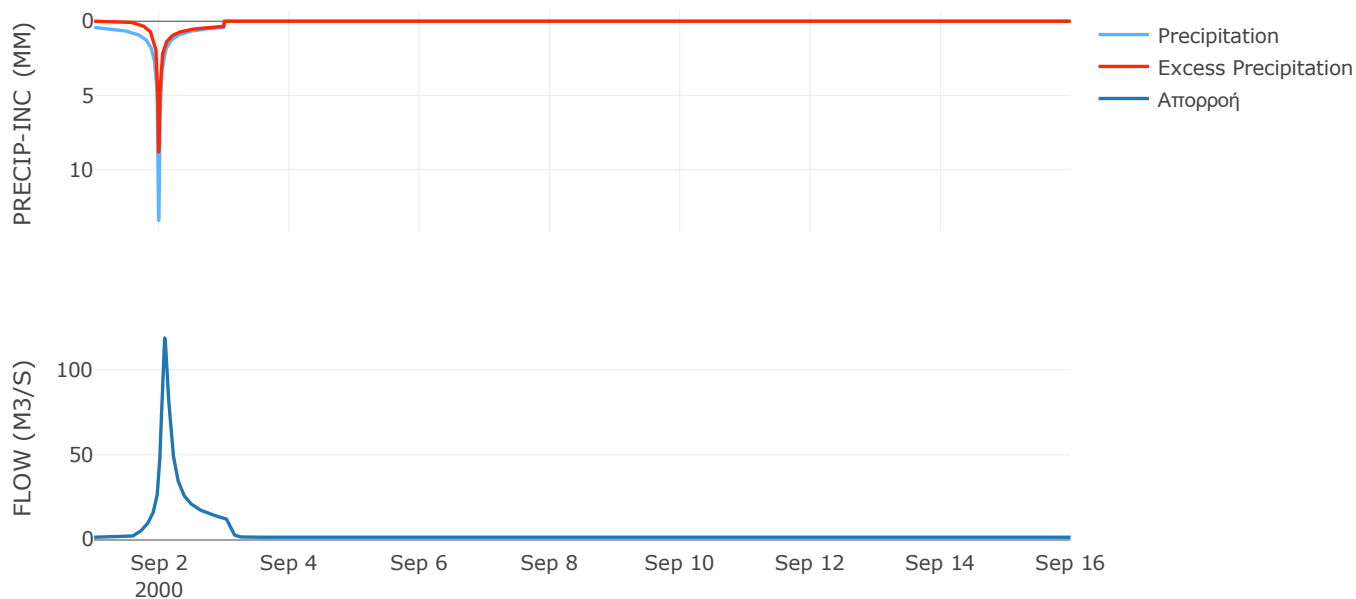
Μέθοδος
Μετασχηματισμού: SCS

Χρόνος Υστέρησης	107.94
------------------	--------

Αποτελέσματα:
EL0513FR7011

Παροχή αιχμής (M3/S)	118.64
Χρονική στιγμή αιχμής	02Sep2000, 02:00
Όγκος (MM)	199.4
Όγκος βροχόπτωσης (M3)	5.88E6
Όγκος απωλειών (M3)	2.59E6
Ενεργός Όγκος (M3)	3.28E6
Όγκος άμεσης απορροής (M3)	3.28E6
Όγκος βασικής απορροής (M3)	2.1E6

Βροχόπτωση και Απορροή



Υπολεκάνη: EL0513FR7012

Έκταση (KM2) : 36.83

Κατάντη : J14

Μέθοδος Απωλειών: SCS

Ποσοστό αδιαπέρατης επιφάνειας	0
Αριθμός Καμπύλης Απορροής-CN	67.91
Αρχικές Απώλειες	24.01

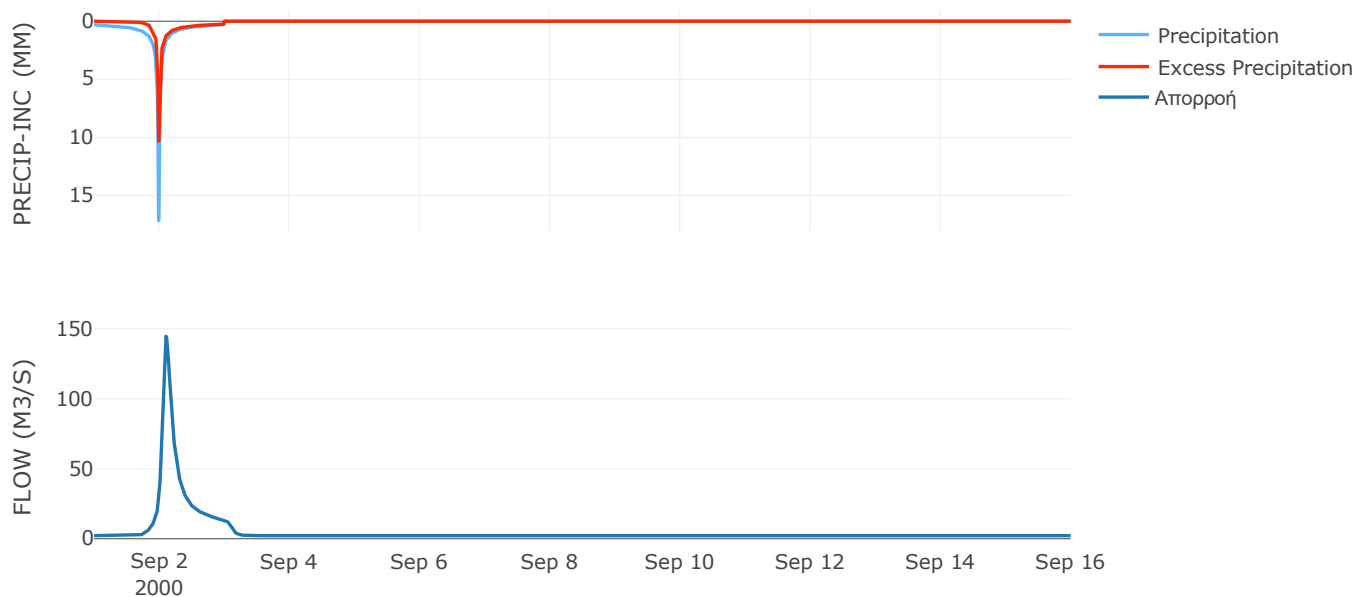
Μέθοδος
Μετασχηματισμού: SCS

Χρόνος Υστέρησης	137.55
------------------	--------

Αποτελέσματα:
EL0513FR7012

Παροχή αιχμής (M3/S)	144.55
Χρονική στιγμή αιχμής	02Sep2000, 02:30
Όγκος (MM)	179.87
Όγκος βροχόπτωσης (M3)	7.25E6
Όγκος απωλειών (M3)	3.49E6
Ενεργός Όγκος (M3)	3.76E6
Όγκος άμεσης απορροής (M3)	3.76E6
Όγκος βασικής απορροής (M3)	2.86E6

Βροχόπτωση και Απορροή



Υπολεκάνη: EL0513FR7013

Έκταση (KM2) : 10.56

Κατάντη : J6

Μέθοδος Απωλειών: SCS

Ποσοστό αδιαπέρατης επιφάνειας	0
Αριθμός Καμπύλης Απορροής-CN	72.61
Αρχικές Απώλειες	19.16

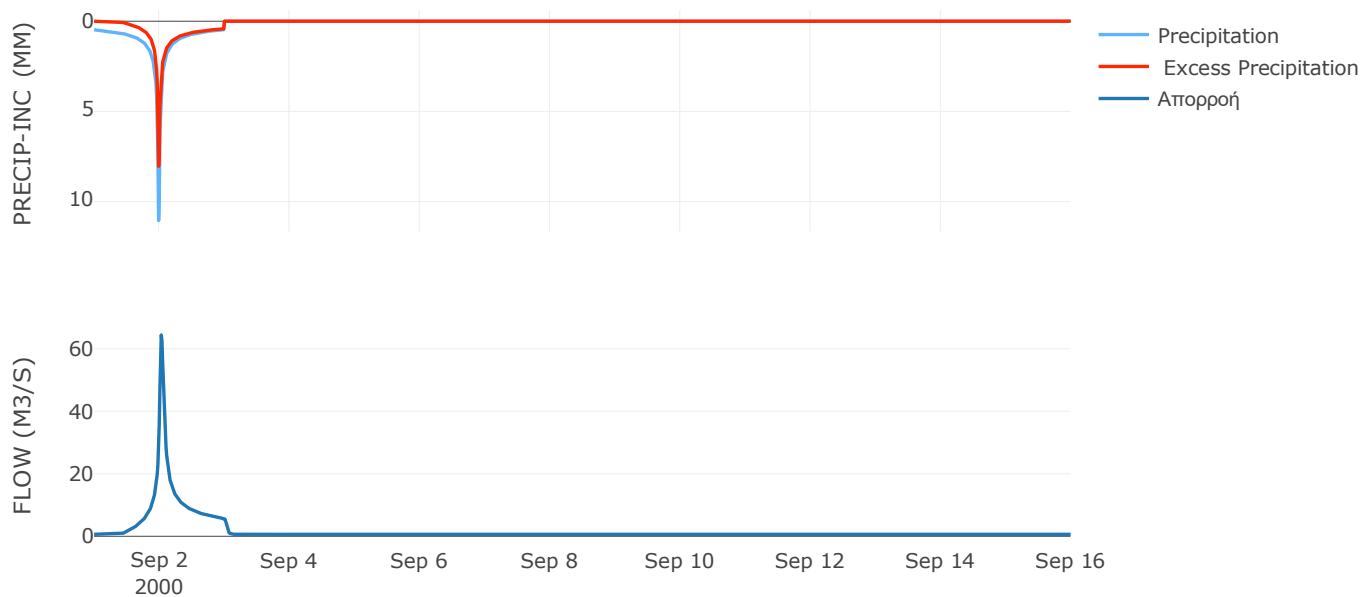
Μέθοδος
Μετασχηματισμού: SCS

Χρόνος Υστέρησης	45.09
------------------	-------

Αποτελέσματα:
EL0513FR7013

Παροχή αιχμής (M3/S)	64.39
Χρονική στιγμή αιχμής	02Sep2000, 00:45
Όγκος (MM)	214
Όγκος βροχόπτωσης (M3)	2.33E6
Όγκος απωλειών (M3)	8.88E5
Ενεργός Όγκος (M3)	1.44E6
Όγκος άμεσης απορροής (M3)	1.44E6
Όγκος βασικής απορροής (M3)	8.21E5

Βροχόπτωση και Απορροή



Υπολεκάνη: EL0513FR7014

Έκταση (KM2) : 22.48

Κατάντη : J5

Μέθοδος Απωλειών: SCS

Ποσοστό αδιαπέρατης επιφάνειας	0
Αριθμός Καμπύλης Απορροής-CN	50.9
Αρχικές Απώλειες	49

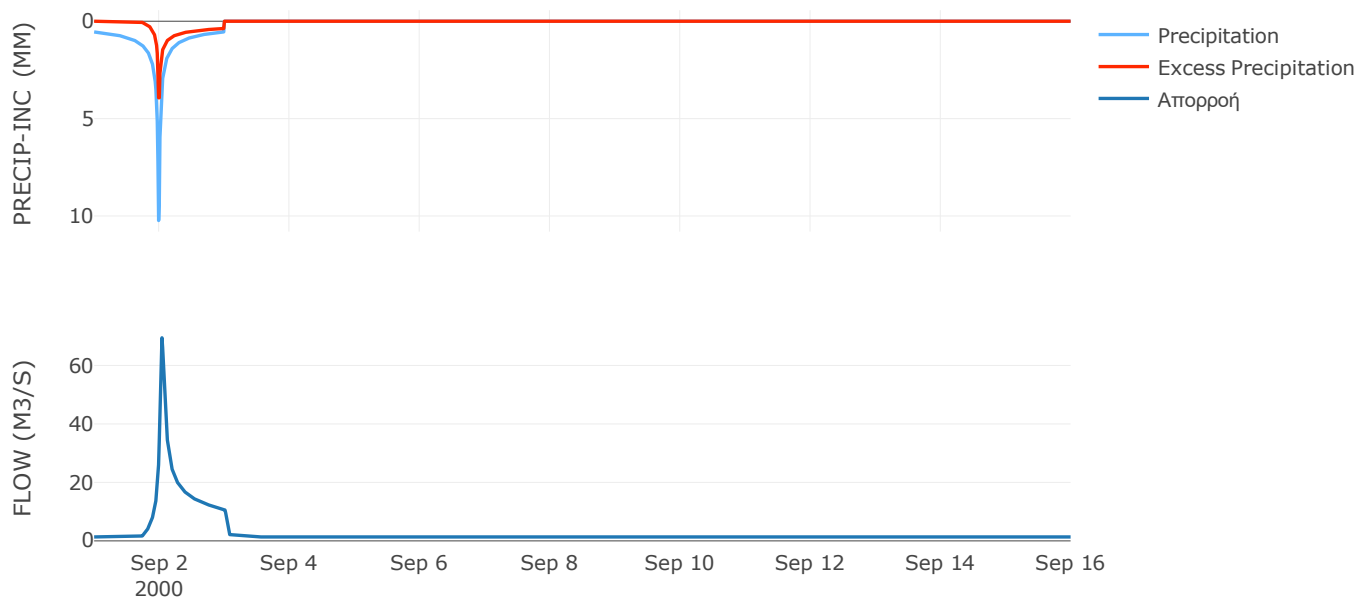
Μέθοδος
Μετασχηματισμού: SCS

Χρόνος Υστέρησης	49.26
------------------	-------

Αποτελέσματα:
EL0513FR7014

Παροχή αιχμής (M3/S)	69.47
Χρονική στιγμή αιχμής	02Sep2000, 01:00
Όγκος (MM)	160.22
Όγκος βροχόπτωσης (M3)	5.35E6
Όγκος απωλειών (M3)	3.5E6
Ενεργός Όγκος (M3)	1.85E6
Όγκος άμεσης απορροής (M3)	1.85E6
Όγκος βασικής απορροής (M3)	1.75E6

Βροχόπτωση και Απορροή



Υπολεκάνη: EL0513FR7015

Έκταση (KM2) : 54.51

Κατάντη : J6

Μέθοδος Απωλειών: SCS

Ποσοστό αδιαπέρατης επιφάνειας	0
Αριθμός Καμπύλης Απορροής-CN	64.36
Αρχικές Απώλειες	28.13

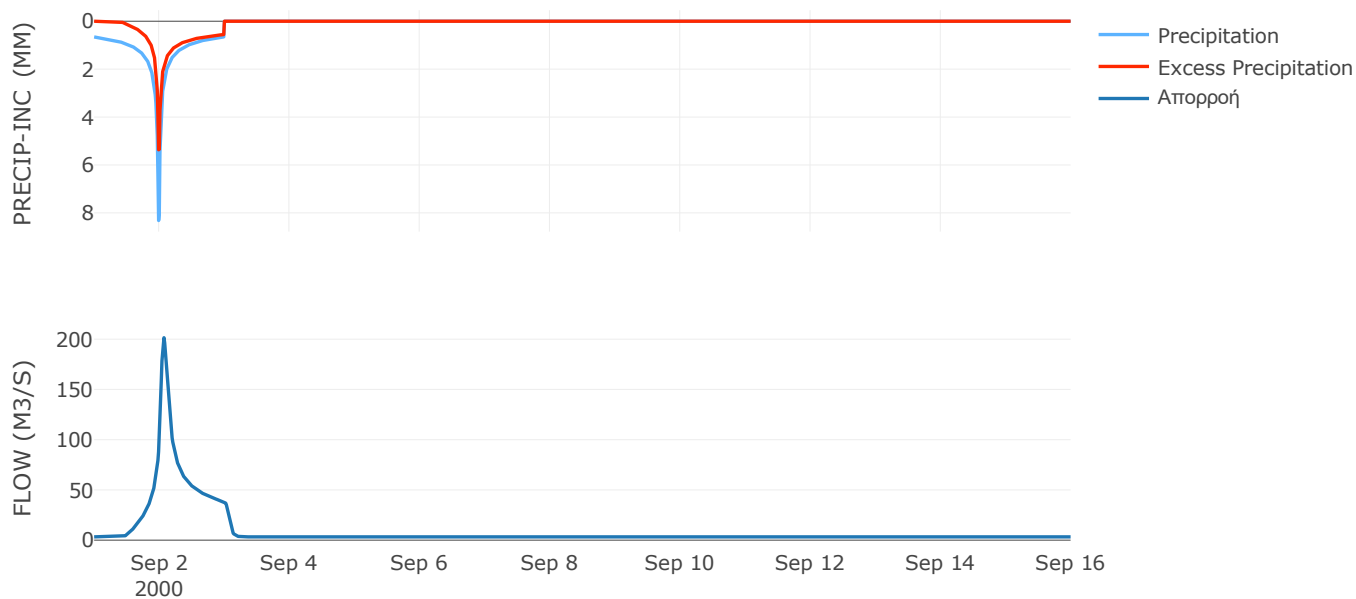
Μέθοδος
Μετασχηματισμού: SCS

Χρόνος Υστέρησης	88.93
------------------	-------

Αποτελέσματα:
EL0513FR7015

Παροχή αιχμής (M3/S)	201.45
Χρονική στιγμή αιχμής	02Sep2000, 01:45
Όγκος (MM)	215.29
Όγκος βροχόπτωσης (M3)	1.37E7
Όγκος απωλειών (M3)	6.24E6
Ενεργός Όγκος (M3)	7.5E6
Όγκος άμεσης απορροής (M3)	7.5E6
Όγκος βασικής απορροής (M3)	4.24E6

Βροχόπτωση και Απορροή



Υπολεκάνη: EL0513FR7016

Έκταση (KM2) : 13.52

Κατάντη : J4

Μέθοδος Απωλειών: SCS

Ποσοστό αδιαπέρατης επιφάνειας	0
Αριθμός Καμπύλης Απορροής-CN	47.73
Αρχικές Απώλειες	55.64

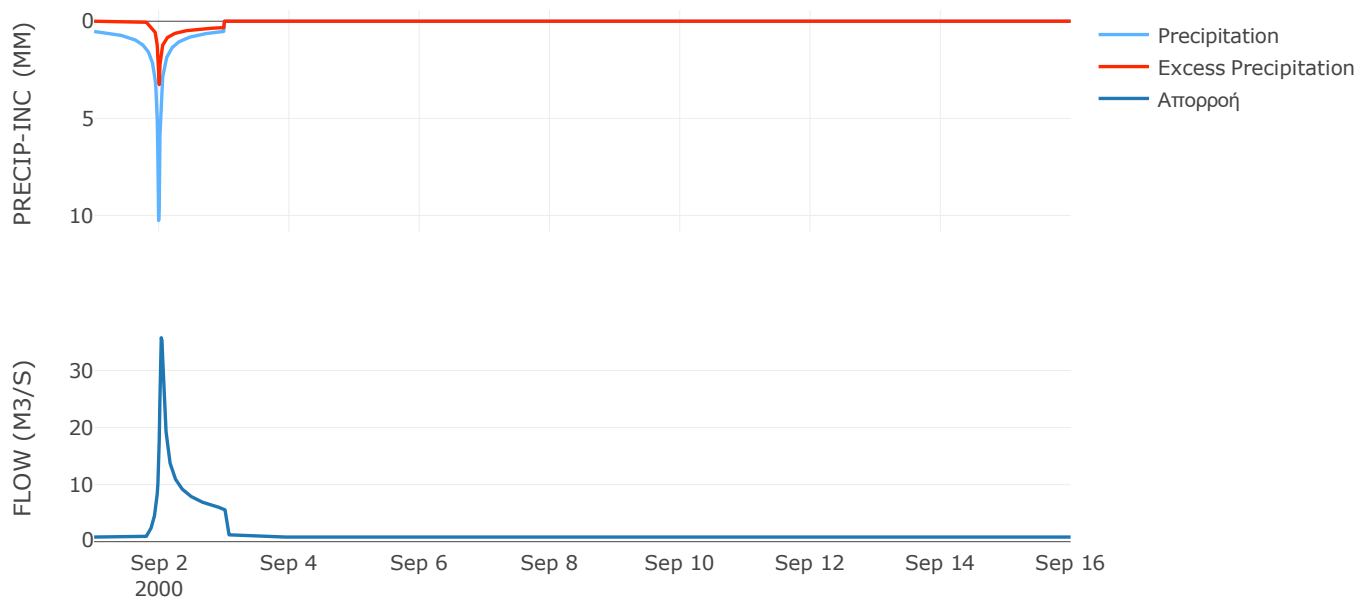
Μέθοδος
Μετασχηματισμού: SCS

Χρόνος Υστέρησης	41.64
------------------	-------

Αποτελέσματα:
EL0513FR7016

Παροχή αιχμής (M3/S)	35.74
Χρονική στιγμή αιχμής	02Sep2000, 00:45
Όγκος (MM)	145.87
Όγκος βροχόπτωσης (M3)	3.13E6
Όγκος απωλειών (M3)	2.21E6
Ενεργός Όγκος (M3)	9.21E5
Όγκος άμεσης απορροής (M3)	9.21E5
Όγκος βασικής απορροής (M3)	1.05E6

Βροχόπτωση και Απορροή



Υπολεκάνη: EL0513FR7017

Έκταση (KM2) : 45.33

Κατάντη : J5

Μέθοδος Απωλειών: SCS

Ποσοστό αδιαπέρατης επιφάνειας	0
Αριθμός Καμπύλης Απορροής-CN	48.78
Αρχικές Απώλειες	53.34

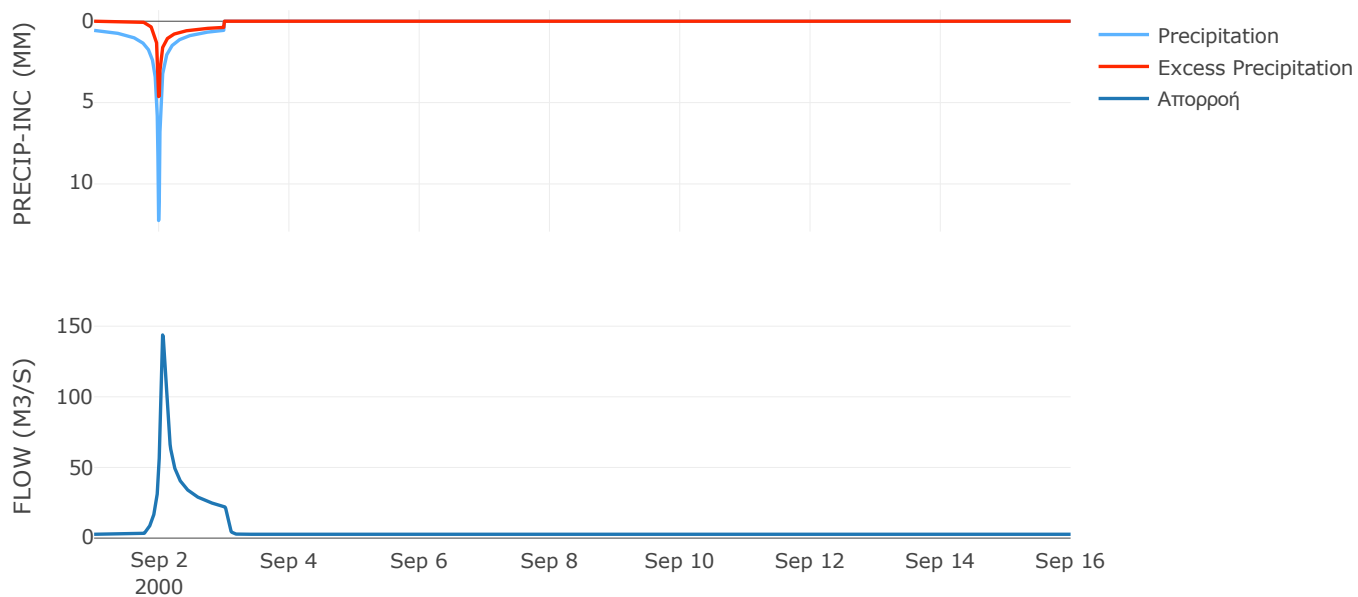
Μέθοδος
Μετασχηματισμού: SCS

Χρόνος Υστέρησης	66.6
------------------	------

Αποτελέσματα:
EL0513FR7017

Παροχή αιχμής (M3/S)	143.78
Χρονική στιγμή αιχμής	02Sep2000, 01:15
Όγκος (MM)	165.54
Όγκος βροχόπτωσης (M3)	1.16E7
Όγκος απωλειών (M3)	7.64E6
Ενεργός Όγκος (M3)	3.98E6
Όγκος άμεσης απορροής (M3)	3.98E6
Όγκος βασικής απορροής (M3)	3.53E6

Βροχόπτωση και Απορροή



Υπολεκάνη: EL0513FR7018

Έκταση (KM2) : 32.48

Κατάντη : J10

Μέθοδος Απωλειών: SCS

Ποσοστό αδιαπέρατης επιφάνειας	0
Αριθμός Καμπύλης Απορροής-CN	53.54
Αρχικές Απώλειες	44.08

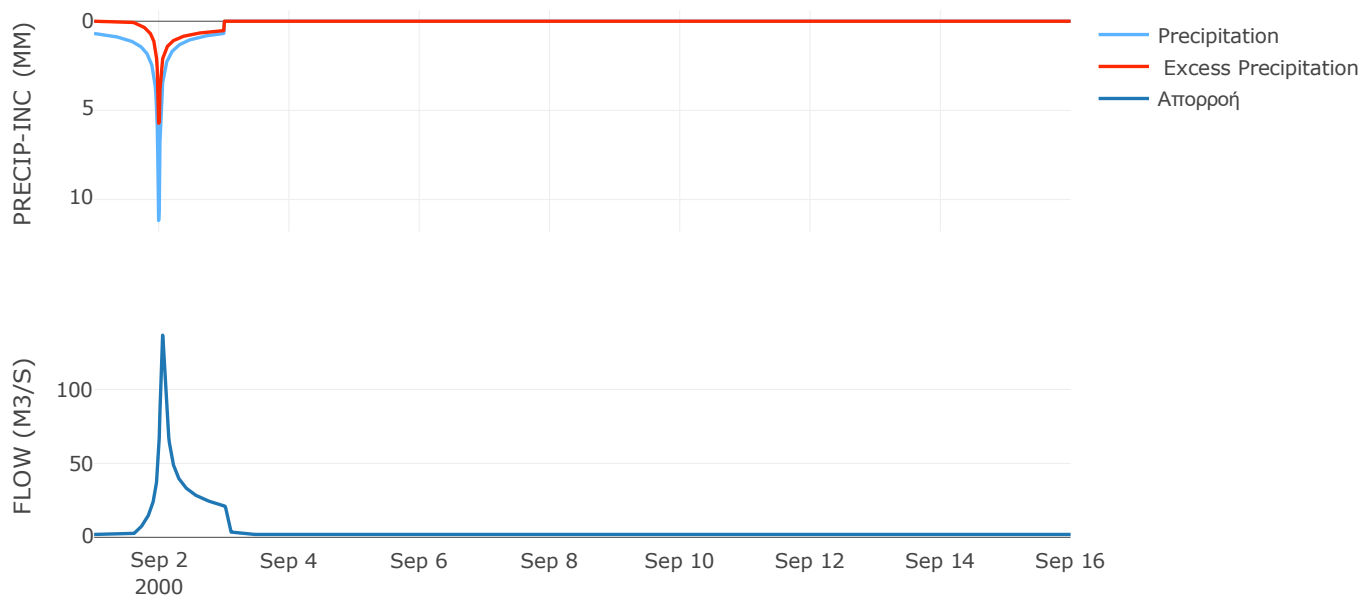
Μέθοδος
Μετασχηματισμού: SCS

Χρόνος Υστέρησης	62.13
------------------	-------

Αποτελέσματα:
EL0513FR7018

Παροχή αιχμής (M3/S)	136.76
Χρονική στιγμή αιχμής	02Sep2000, 01:15
Όγκος (MM)	203.3
Όγκος βροχόπτωσης (M3)	9.25E6
Όγκος απωλειών (M3)	5.17E6
Ενεργός Όγκος (M3)	4.08E6
Όγκος άμεσης απορροής (M3)	4.08E6
Όγκος βασικής απορροής (M3)	2.53E6

Βροχόπτωση και Απορροή



Υπολεκάνη: EL0513FR7019

Έκταση (KM2) : 40.09

Κατάντη : J12

Μέθοδος Απωλειών: SCS

Ποσοστό αδιαπέρατης επιφάνειας	0
Αριθμός Καμπύλης Απορροής-CN	66.59
Αρχικές Απώλειες	25.49

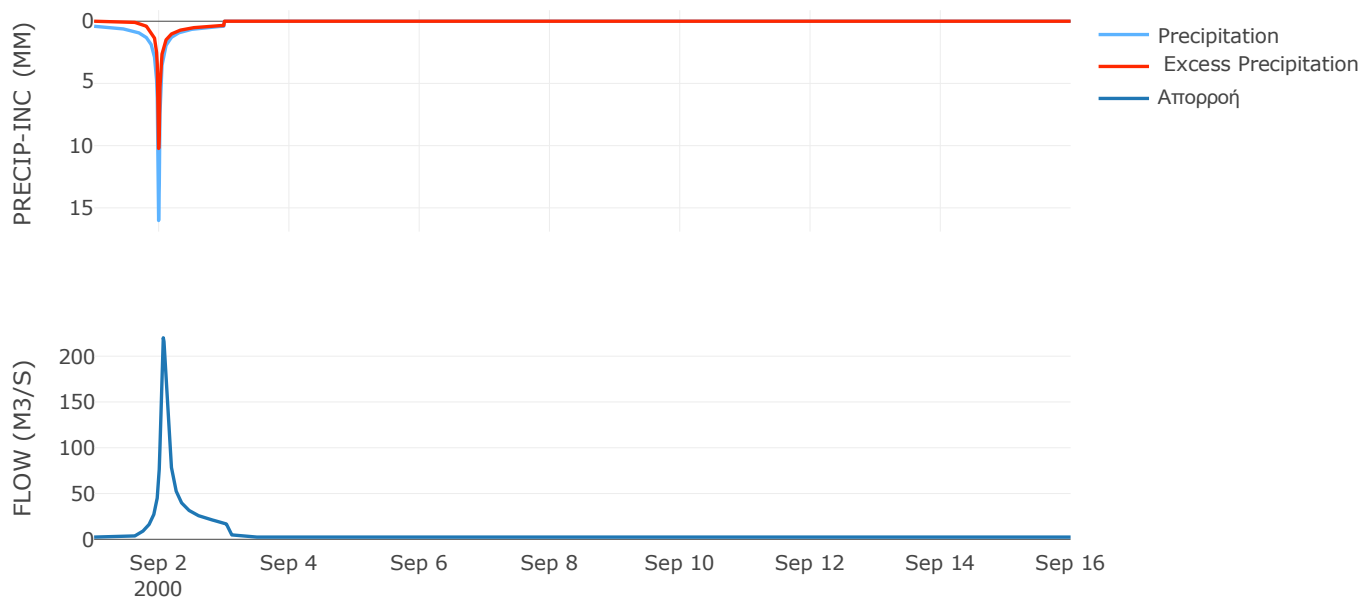
Μέθοδος
Μετασχηματισμού: SCS

Χρόνος Υστέρησης	83.55
------------------	-------

Αποτελέσματα:
EL0513FR7019

Παροχή αιχμής (M3/S)	220.09
Χρονική στιγμή αιχμής	02Sep2000, 01:30
Όγκος (MM)	202.33
Όγκος βροχόπτωσης (M3)	9.15E6
Όγκος απωλειών (M3)	4.16E6
Ενεργός Όγκος (M3)	4.99E6
Όγκος άμεσης απορροής (M3)	4.99E6
Όγκος βασικής απορροής (M3)	3.12E6

Βροχόπτωση και Απορροή



Υπολεκάνη: EL0513FR7020

Έκταση (KM2) : 21.52

Κατάνη : J11

Μέθοδος Απωλειών: SCS

Ποσοστό αδιαπέρατης επιφάνειας	0
Αριθμός Καμπύλης Απορροής-CN	59.96
Αρχικές Απώλειες	33.93

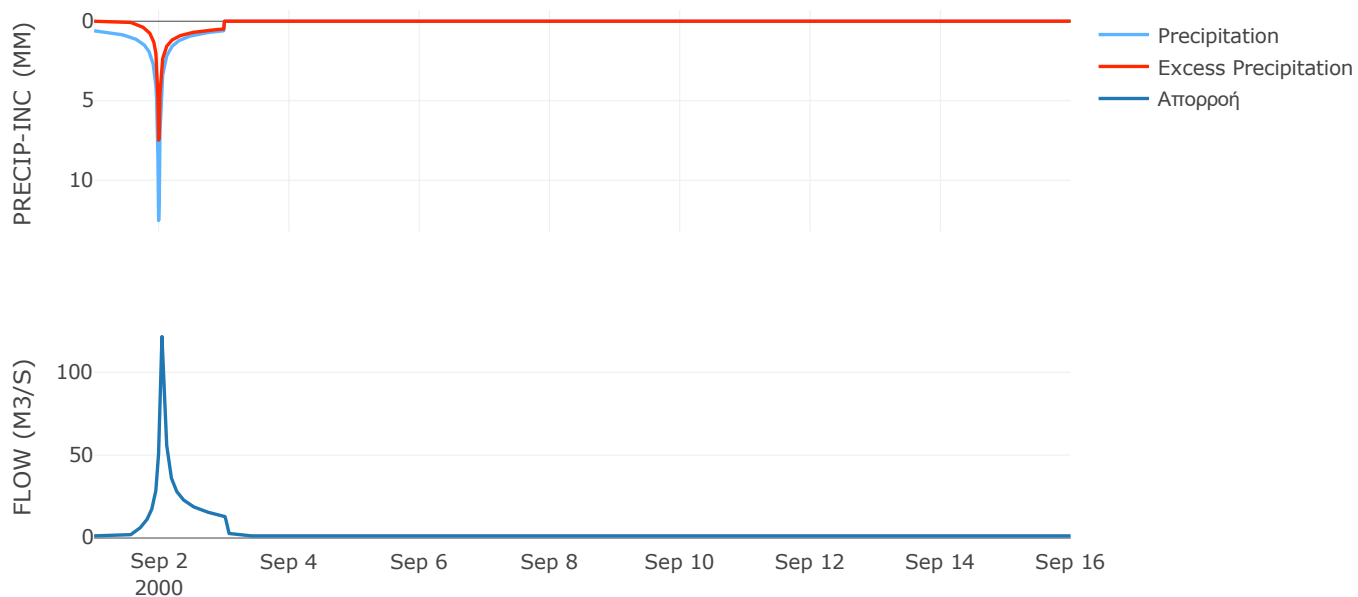
Μέθοδος
Μετασχηματισμού: SCS

Χρόνος Υστέρησης	47.85
------------------	-------

Αποτελέσματα:
EL0513FR7020

Παροχή αιχμής (M3/S)	121.47
Χρονική στιγμή αιχμής	02Sep2000, 01:00
Όγκος (MM)	214.93
Όγκος βροχόπτωσης (M3)	5.8E6
Όγκος απωλειών (M3)	2.85E6
Ενεργός Όγκος (M3)	2.95E6
Όγκος άμεσης απορροής (M3)	2.95E6
Όγκος βασικής απορροής (M3)	1.67E6

Βροχόπτωση και Απορροή



Υπολεκάνη: EL0513FR7021

Έκταση (KM2) : 23.01

Κατάντη : J12

Μέθοδος Απωλειών: SCS

Ποσοστό αδιαπέρατης επιφάνειας	0
Αριθμός Καμπύλης Απορροής-CN	56.07
Αρχικές Απώλειες	39.81

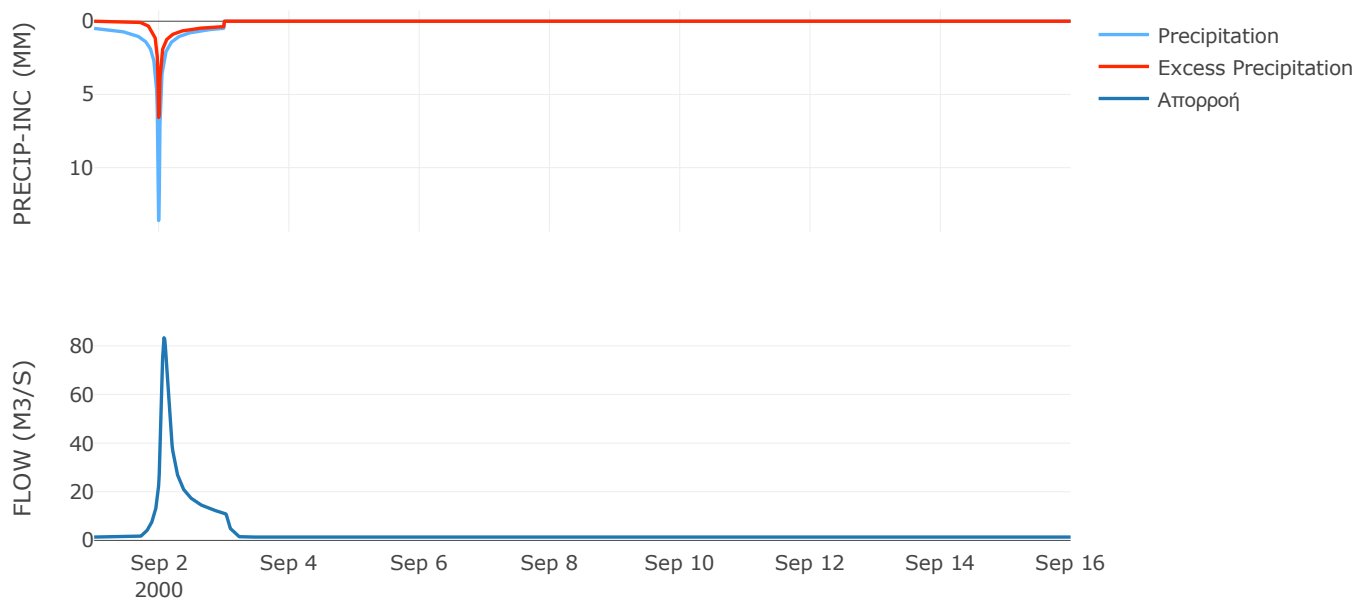
Μέθοδος
Μετασχηματισμού: SCS

Χρόνος Υστέρησης	95.97
------------------	-------

Αποτελέσματα:
EL0513FR7021

Παροχή αιχμής (M3/S)	83.33
Χρονική στιγμή αιχμής	02Sep2000, 01:45
Όγκος (MM)	180.02
Όγκος βροχόπτωσης (M3)	5.58E6
Όγκος απωλειών (M3)	3.23E6
Ενεργός Όγκος (M3)	2.35E6
Όγκος άμεσης απορροής (M3)	2.35E6
Όγκος βασικής απορροής (M3)	1.79E6

Βροχόπτωση και Απορροή



Υπολεκάνη: EL0513FR7022

Έκταση (KM2) : 10.49

Κατάνη : J10

Μέθοδος Απωλειών: SCS

Ποσοστό αδιαπέρατης επιφάνειας	0
Αριθμός Καμπύλης Απορροής-CN	59.7
Αρχικές Απώλειες	34.29

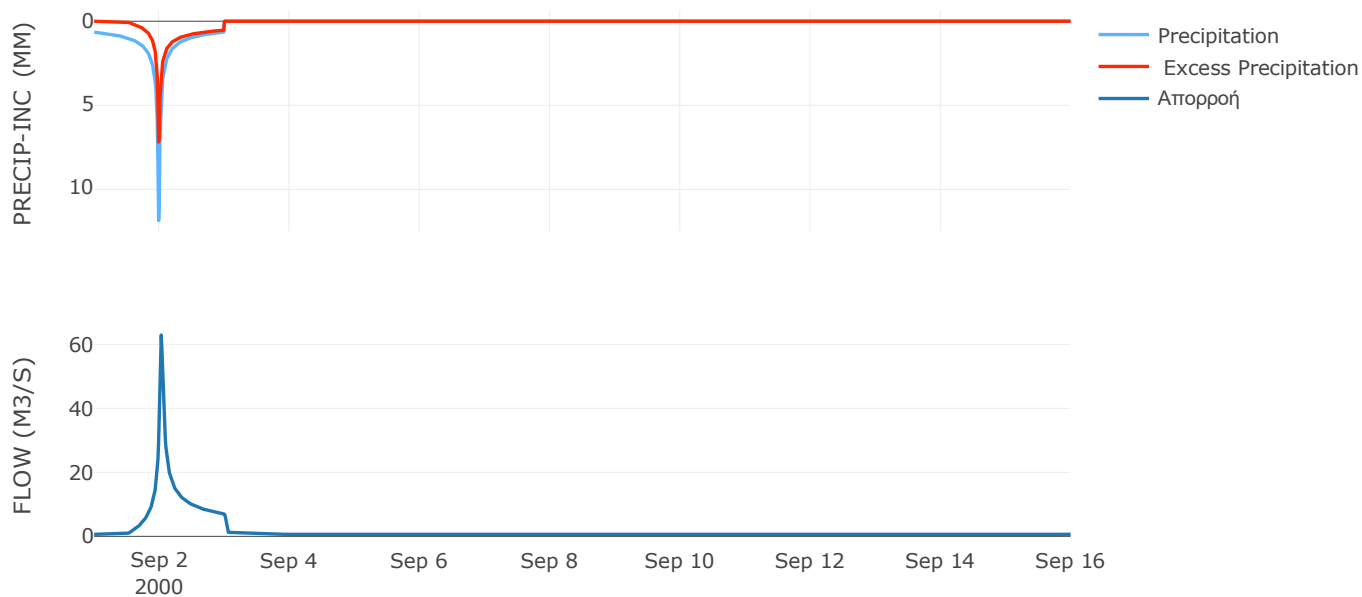
Μέθοδος
Μετασχηματισμού: SCS

Χρόνος Υστέρησης	37.55
------------------	-------

Αποτελέσματα:
EL0513FR7022

Παροχή αιχμής (M3/S)	62.93
Χρονική στιγμή αιχμής	02Sep2000, 00:45
Όγκος (MM)	221.38
Όγκος βροχόπτωσης (M3)	2.92E6
Όγκος απωλειών (M3)	1.42E6
Ενεργός Όγκος (M3)	1.51E6
Όγκος άμεσης απορροής (M3)	1.51E6
Όγκος βασικής απορροής (M3)	8.16E5

Βροχόπτωση και Απορροή



Υπολεκάνη: EL0513FR7023

Έκταση (KM2) : 25.04

Κατάντη : J8

Μέθοδος Απωλειών: SCS

Ποσοστό αδιαπέρατης επιφάνειας	0
Αριθμός Καμπύλης Απορροής-CN	66.77
Αρχικές Απώλειες	25.29

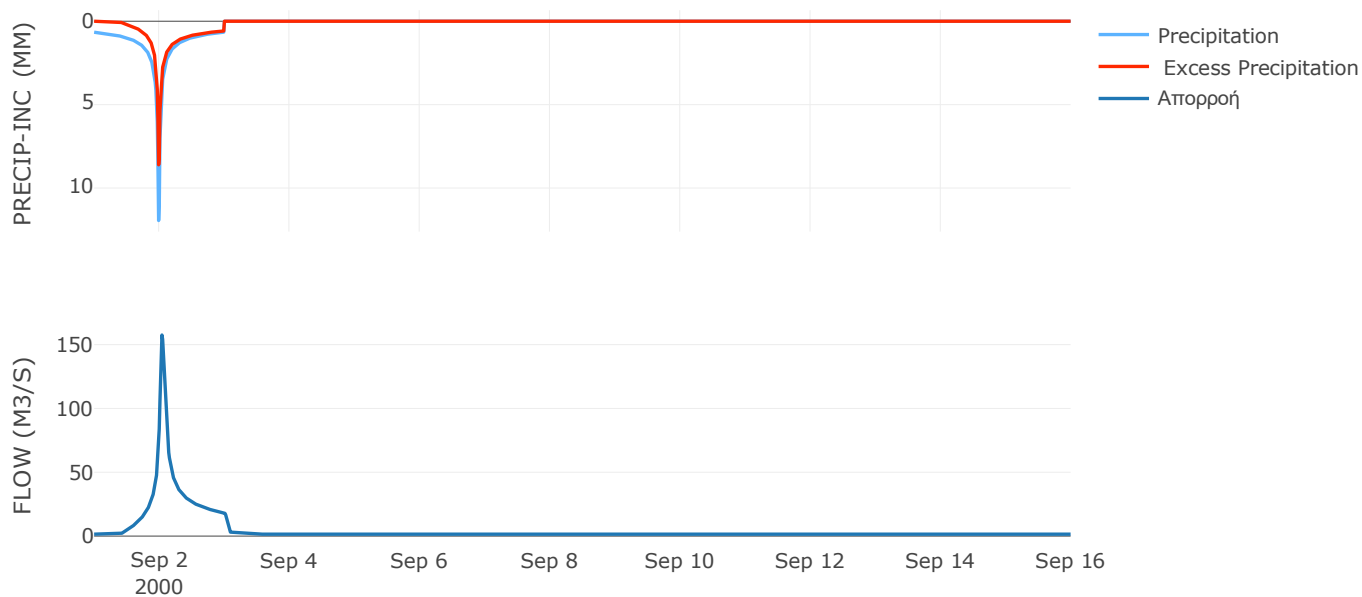
Μέθοδος
Μετασχηματισμού: SCS

Χρόνος Υστέρησης	58.1
------------------	------

Αποτελέσματα:
EL0513FR7023

Παροχή αιχμής (M3/S)	157.53
Χρονική στιγμή αιχμής	02Sep2000, 01:00
Όγκος (MM)	250.35
Όγκος βροχόπτωσης (M3)	7.08E6
Όγκος απωλειών (M3)	2.76E6
Ενεργός Όγκος (M3)	4.32E6
Όγκος άμεσης απορροής (M3)	4.32E6
Όγκος βασικής απορροής (M3)	1.95E6

Βροχόπτωση και Απορροή



Υπολεκάνη: EL0513FR7024

Έκταση (KM2) : 52.1

Κατάνη : J7

Μέθοδος Απωλειών: SCS

Ποσοστό αδιαπέρατης επιφάνειας	0
Αριθμός Καμπύλης Απορροής-CN	66.03
Αρχικές Απώλειες	26.14

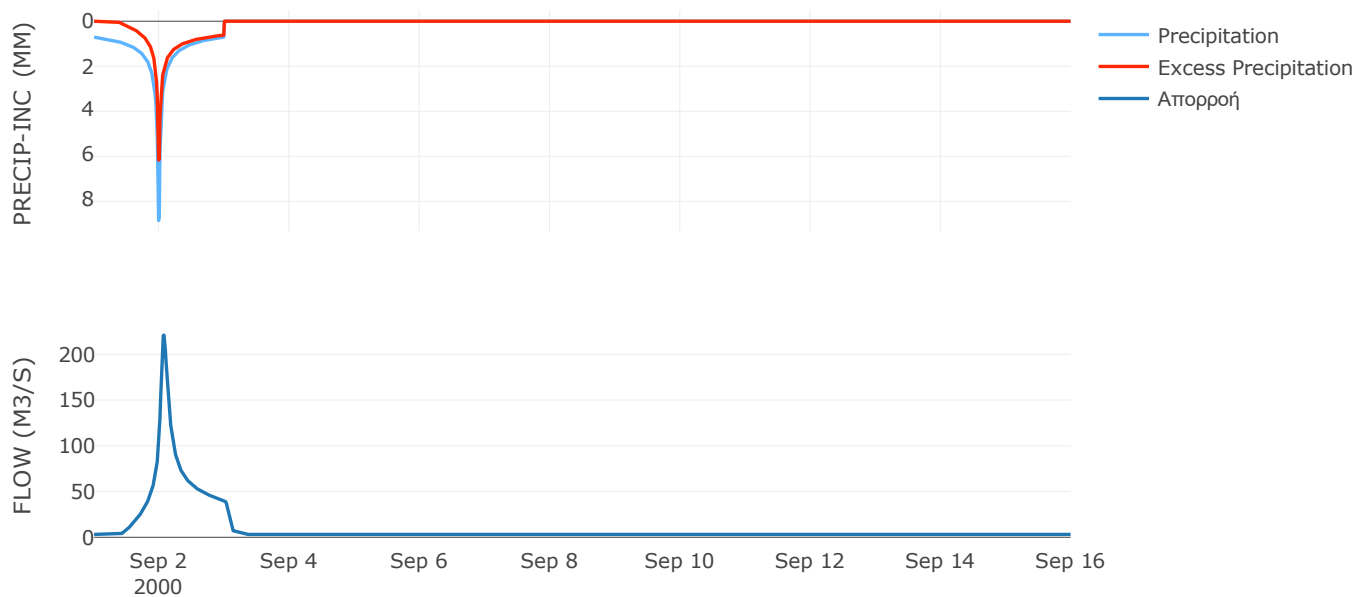
Μέθοδος
Μετασχηματισμού: SCS

Χρόνος Υστέρησης	89.52
------------------	-------

Αποτελέσματα:
EL0513FR7024

Παροχή αιχμής (M3/S)	220.98
Χρονική στιγμή αιχμής	02Sep2000, 01:45
Όγκος (MM)	237.16
Όγκος βροχόπτωσης (M3)	1.41E7
Όγκος απωλειών (M3)	5.8E6
Ενεργός Όγκος (M3)	8.31E6
Όγκος άμεσης απορροής (M3)	8.31E6
Όγκος βασικής απορροής (M3)	4.05E6

Βροχόπτωση και Απορροή



Υπολεκάνη: EL0513FR7025

Έκταση (KM2) : 25.4

Κατάντη : J7

Μέθοδος Απωλειών: SCS

Ποσοστό αδιαπέρατης επιφάνειας	0
Αριθμός Καμπύλης Απορροής-CN	73.69
Αρχικές Απώλειες	18.13

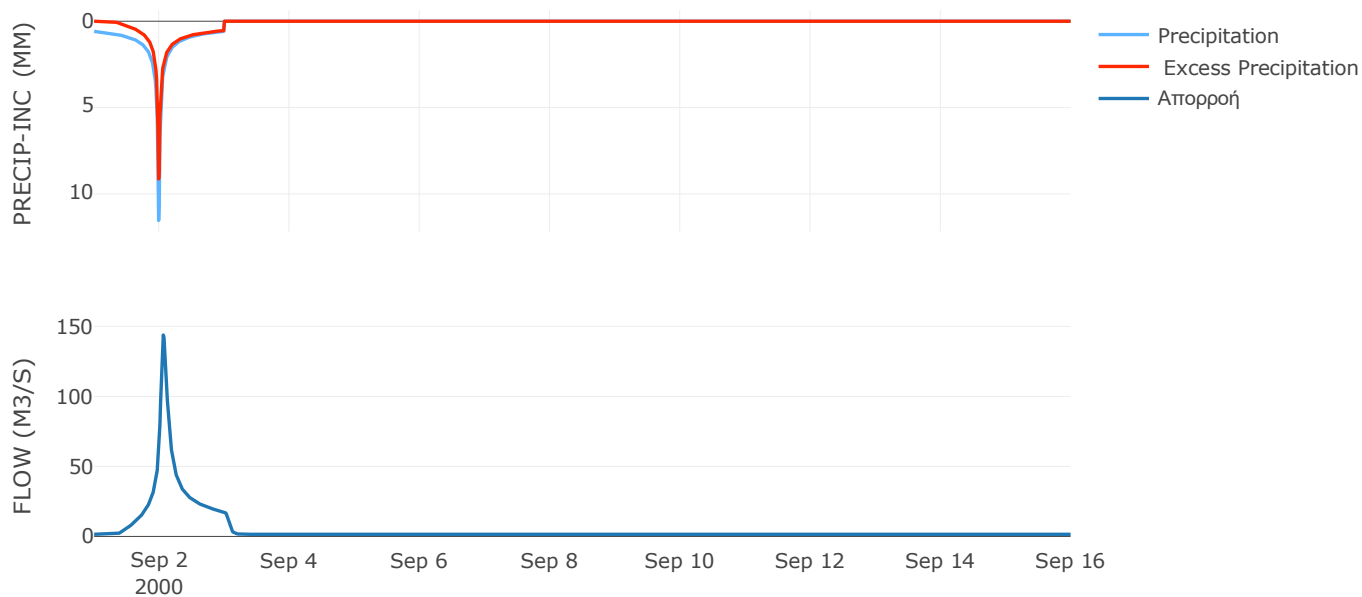
Μέθοδος
Μετασχηματισμού: SCS

Χρόνος Υστέρησης	86.7
------------------	------

Αποτελέσματα:
EL0513FR7025

Παροχή αιχμής (M3/S)	143.9
Χρονική στιγμή αιχμής	02Sep2000, 01:30
Όγκος (MM)	252.55
Όγκος βροχόπτωσης (M3)	6.57E6
Όγκος απωλειών (M3)	2.13E6
Ενεργός Όγκος (M3)	4.44E6
Όγκος άμεσης απορροής (M3)	4.44E6
Όγκος βασικής απορροής (M3)	1.97E6

Βροχόπτωση και Απορροή



Υπολεκάνη: EL0513FR7026

Έκταση (KM2) : 15.52

Κατάντη : J9

Μέθοδος Απωλειών: SCS

Ποσοστό αδιαπέρατης επιφάνειας	0
Αριθμός Καμπύλης Απορροής-CN	81.03
Αρχικές Απώλειες	11.9

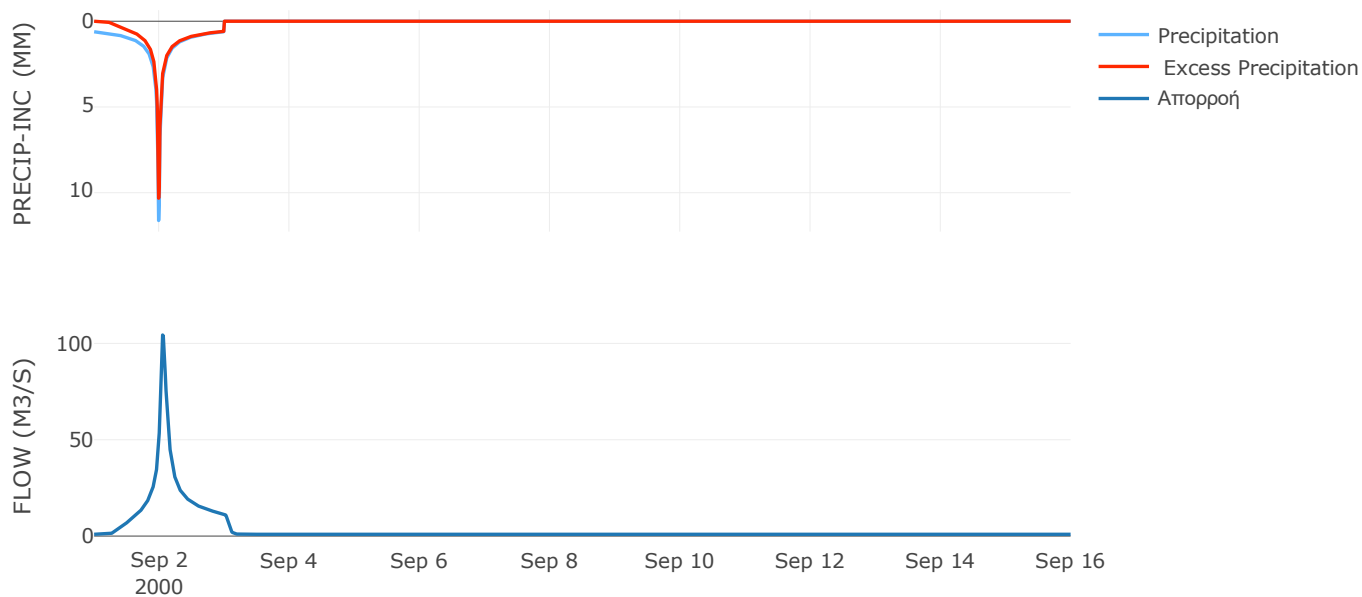
Μέθοδος
Μετασχηματισμού: SCS

Χρόνος Υστέρησης	77.31
------------------	-------

Αποτελέσματα:
EL0513FR7026

Παροχή αιχμής (M3/S)	104.39
Χρονική στιγμή αιχμής	02Sep2000, 01:15
Όγκος (MM)	284.87
Όγκος βροχόπτωσης (M3)	4.15E6
Όγκος απωλειών (M3)	9.33E5
Ενεργός Όγκος (M3)	3.21E6
Όγκος άμεσης απορροής (M3)	3.21E6
Όγκος βασικής απορροής (M3)	1.21E6

Βροχόπτωση και Απορροή



Υπολεκάνη: EL0513FR7027

Έκταση (KM2) : 34.03

Κατάντη : J9

Μέθοδος Απωλειών: SCS

Ποσοστό αδιαπέρατης επιφάνειας	0
Αριθμός Καμπύλης Απορροής-CN	67.65
Αρχικές Απώλειες	24.3

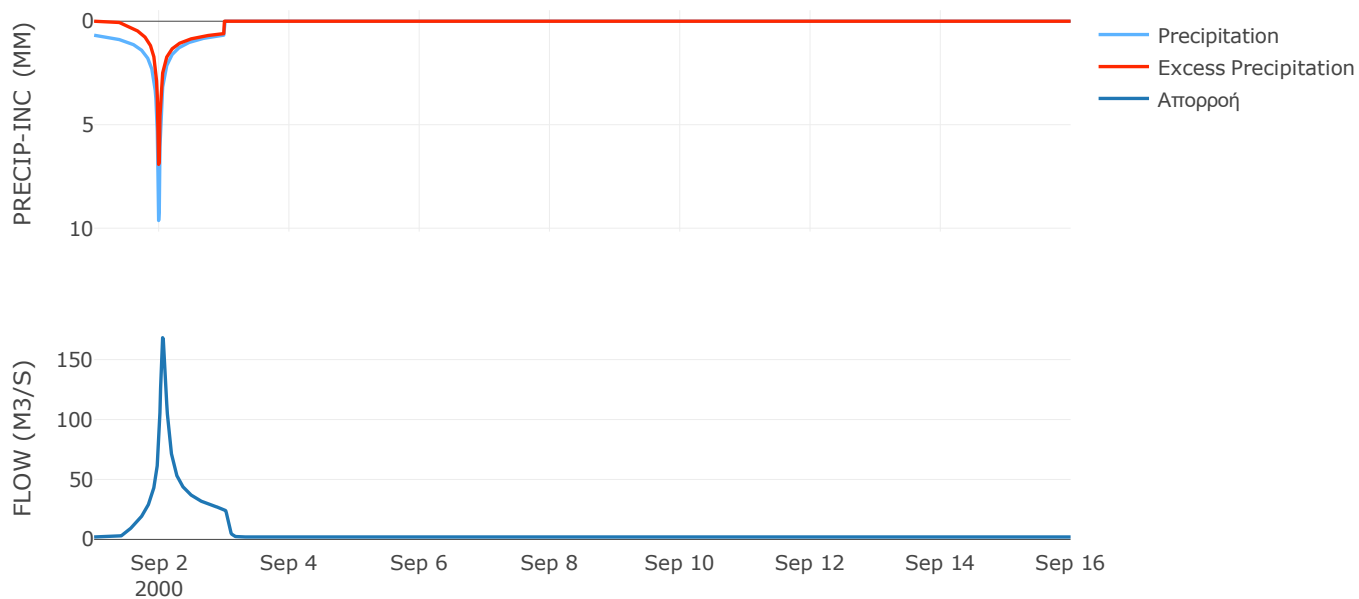
Μέθοδος
Μετασχηματισμού: SCS

Χρόνος Υστέρησης	72.72
------------------	-------

Αποτελέσματα:
EL0513FR7027

Παροχή αιχμής (M3/S)	168.29
Χρονική στιγμή αιχμής	02Sep2000, 01:15
Όγκος (MM)	241.27
Όγκος βροχόπτωσης (M3)	9.15E6
Όγκος απωλειών (M3)	3.59E6
Ενεργός Όγκος (M3)	5.56E6
Όγκος άμεσης απορροής (M3)	5.56E6
Όγκος βασικής απορροής (M3)	2.65E6

Βροχόπτωση και Απορροή



Υπολεκάνη: EL0513FR7028

Έκταση (KM2) : 71.91

Κατάντη : J13

Μέθοδος Απωλειών: SCS

Ποσοστό αδιαπέρατης επιφάνειας	0
Αριθμός Καμπύλης Απορροής-CN	66.21
Αρχικές Απώλειες	25.92

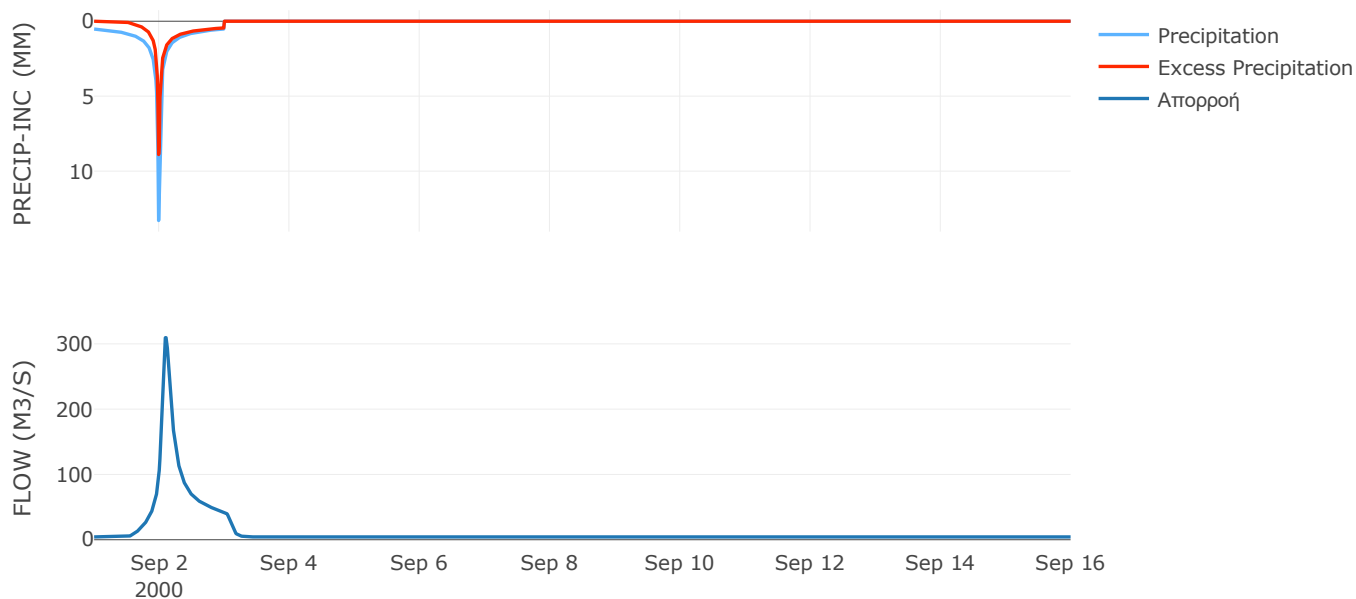
Μέθοδος
Μετασχηματισμού: SCS

Χρόνος Υστέρησης	129.96
------------------	--------

Αποτελέσματα:
EL0513FR7028

Παροχή αιχμής (M3/S)	309.51
Χρονική στιγμή αιχμής	02Sep2000, 02:30
Όγκος (MM)	219.98
Όγκος βροχόπτωσης (M3)	1.8E7
Όγκος απωλειών (M3)	7.77E6
Ενεργός Όγκος (M3)	1.02E7
Όγκος άμεσης απορροής (M3)	1.02E7
Όγκος βασικής απορροής (M3)	5.59E6

Βροχόπτωση και Απορροή



Υπολεκάνη: EL0513FR7029

Έκταση (KM2) : 1.99

Κατάντη : J3

Μέθοδος Απωλειών: SCS

Ποσοστό αδιαπέρατης επιφάνειας	0
Αριθμός Καμπύλης Απορροής-CN	78.11
Αρχικές Απώλειες	14.24

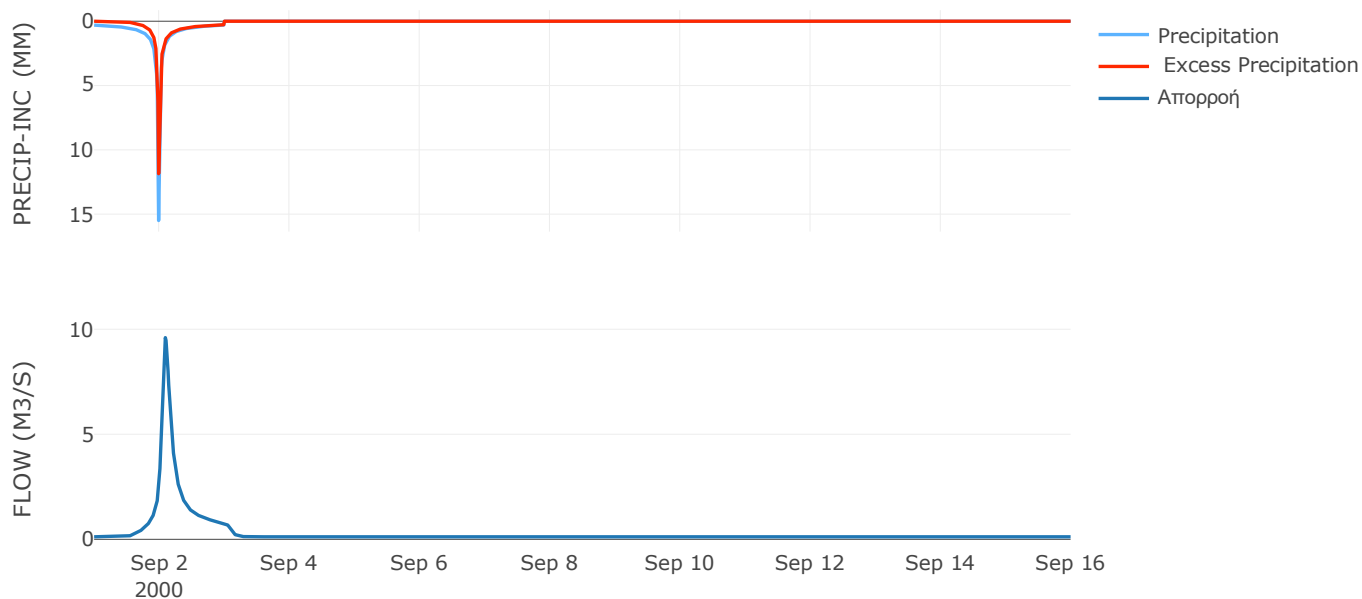
Μέθοδος
Μετασχηματισμού: SCS

Χρόνος Υστέρησης	125.78
------------------	--------

Αποτελέσματα:
EL0513FR7029

Παροχή αιχμής (M3/S)	9.6
Χρονική στιγμή αιχμής	02Sep2000, 02:15
Όγκος (MM)	200.83
Όγκος βροχόπτωσης (M3)	3.73E5
Όγκος απωλειών (M3)	1.28E5
Ενεργός Όγκος (M3)	2.44E5
Όγκος άμεσης απορροής (M3)	2.44E5
Όγκος βασικής απορροής (M3)	1.54E5

Βροχόπτωση και Απορροή



2.2 Δεδομένα και υδρογραφήματα σχεδιασμού Κλάδων υδρογραφικού δικτύου

Κλάδος: R21

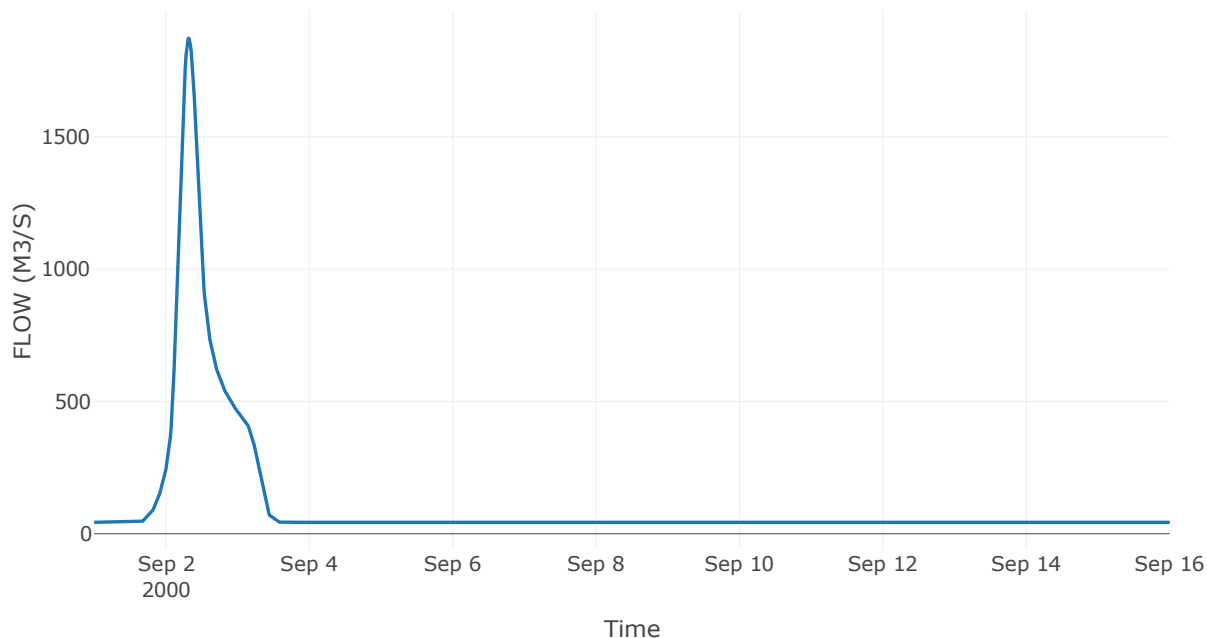
Κατάντη : J1

Μέθοδος Διόδευσης	Muskingum
Αρχική Μεταβλητή	Combined Inflow
Χρόνος Ροής K	1.81
Συντελεστής βάρους x	0.2
Πλήθος Υποκλάδων	7

Αποτελέσματα: R21

Παροχή αιχμής (M3/S)	1872.18
Χρονική στιγμή αιχμής	02Sep2000, 07:30
Όγκος (MM)	199.66
Παροχή Αιχμής Εισόδου (M3/S)	1896.69
Όγκος Εισροής (M3)	1.44E8

Απορροή



Κλάδος: R32

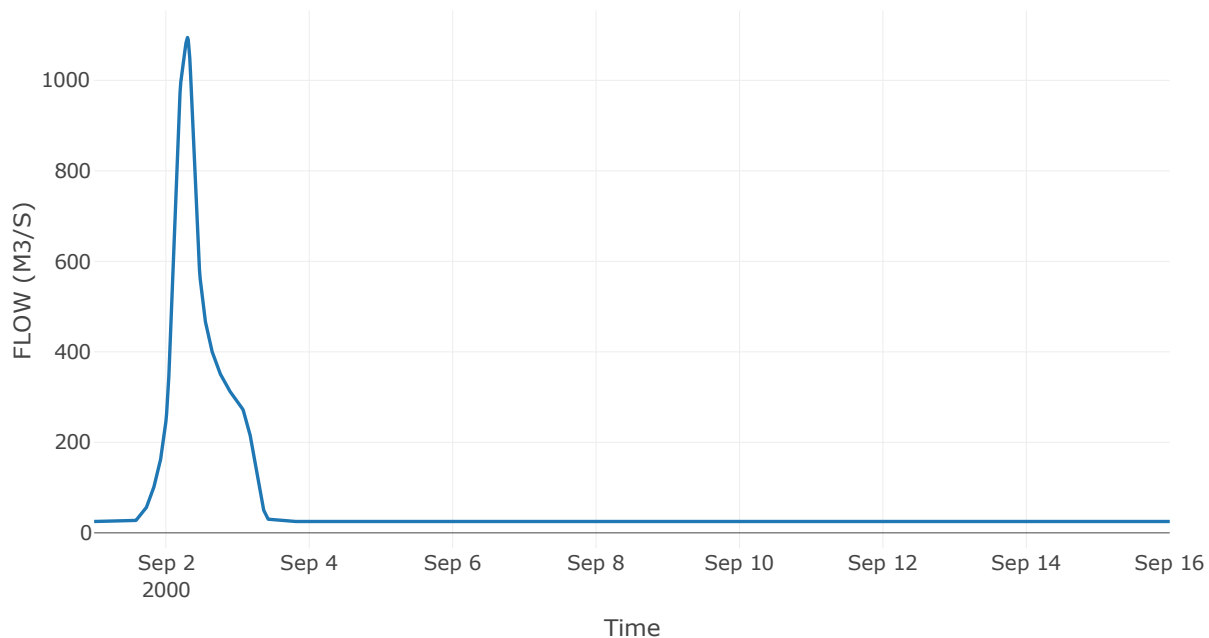
Κατάντη : J2

Μέθοδος Διόδευσης	Muskingum
Αρχική Μεταβλητή	Combined Inflow
Χρόνος Ροής K	0.91
Συντελεστής βάρους x	0.2
Πλήθος Υποκλάδων	4

Αποτελέσματα: R32

Παροχή αιχμής (M3/S)	1094.84
Χρονική στιγμή αιχμής	02Sep2000, 07:15
Όγκος (MM)	209.01
Παροχή Αιχμής Εισόδου (M3/S)	1101.91
Όγκος Εισροής (M3)	8.74E7

Απορροή



Κλάδος: R43

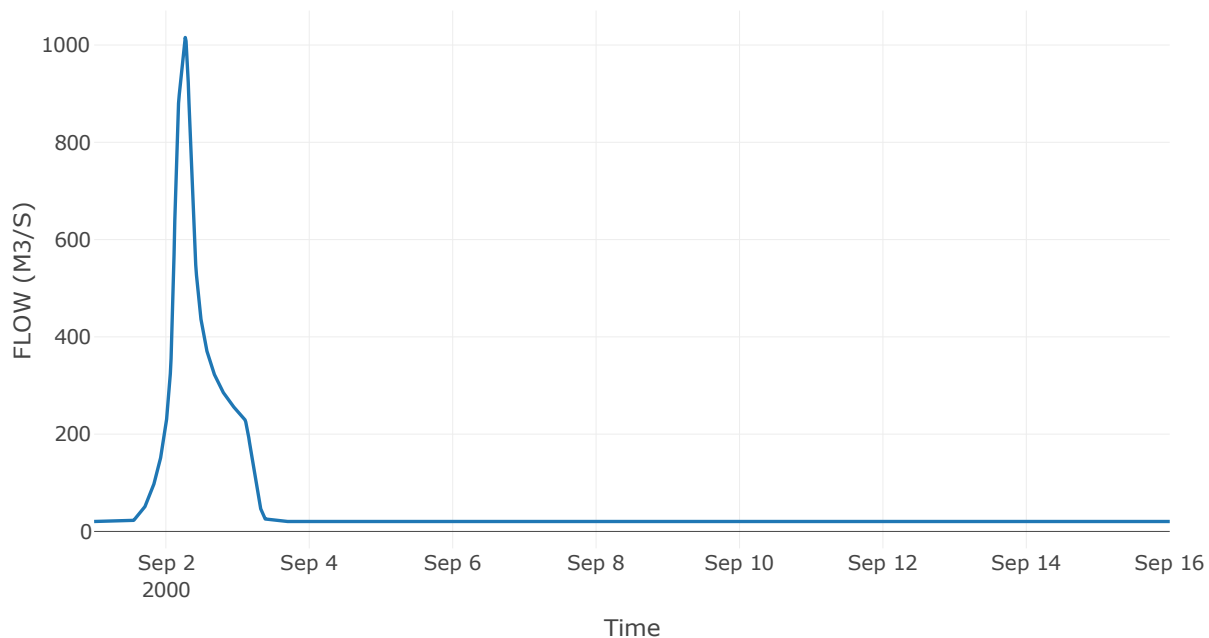
Κατάντη : J3

Μέθοδος Διόδευσης	Muskingum
Αρχική Μεταβλητή	Combined Inflow
Χρόνος Ροής K	2.18
Συντελεστής βάρους x	0.2
Πλήθος Υποκλάδων	9

Αποτελέσματα: R43

Παροχή αιχμής (M3/S)	1015.55
Χρονική στιγμή αιχμής	02Sep2000, 06:30
Όγκος (MM)	215.75
Παροχή Αιχμής Εισόδου (M3/S)	1045.16
Όγκος Εισροής (M3)	7.37E7

Απορροή



Κλάδος: R54

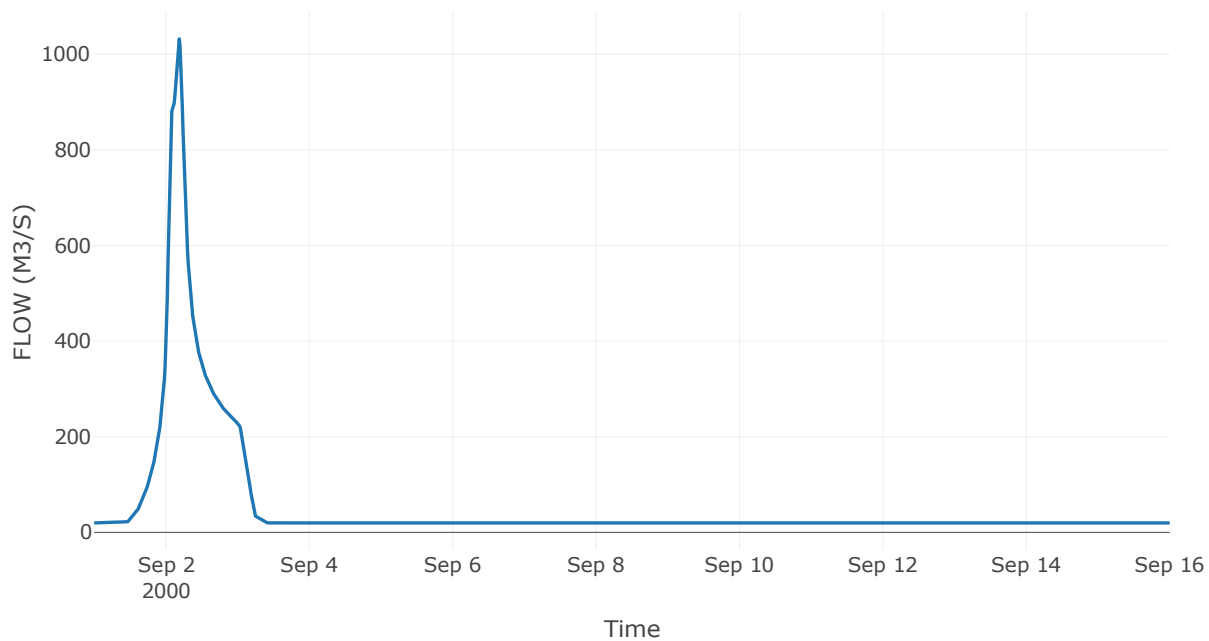
Κατάντη : J4

Μέθοδος Διόδευσης	Χρόνος
Αρχική Μεταβλητή	Combined Inflow
Χρόνος Υστέρησης	13.22

Αποτελέσματα: R54

Παροχή αιχμής (M3/S)	1032.36
Χρονική στιγμή αιχμής	02Sep2000, 04:30
Όγκος (MM)	218.63
Παροχή Αιχμής Εισόδου (M3/S)	1034.17
Όγκος Εισροής (M3)	7.17E7

Απορροή



Κλάδος: R65

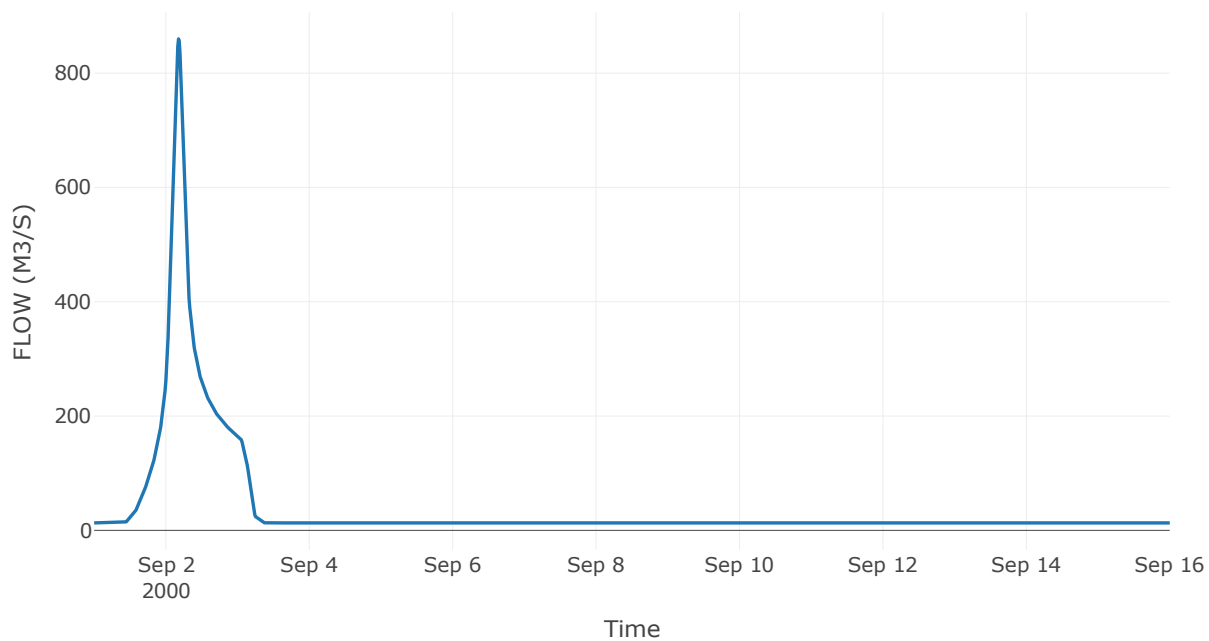
Κατάντη : J5

Μέθοδος Διόδευσης	Χρόνος
Αρχική Μεταβλητή	Combined Inflow
Χρόνος Υστέρησης	42.02

Αποτελέσματα: R65

Παροχή αιχμής (M3/S)	859.95
Χρονική στιγμή αιχμής	02Sep2000, 04:15
Όγκος (MM)	237.92
Παροχή Αιχμής Εισόδου (M3/S)	860.26
Όγκος Εισροής (M3)	5.17E7

Απορροή



Κλάδος: R76

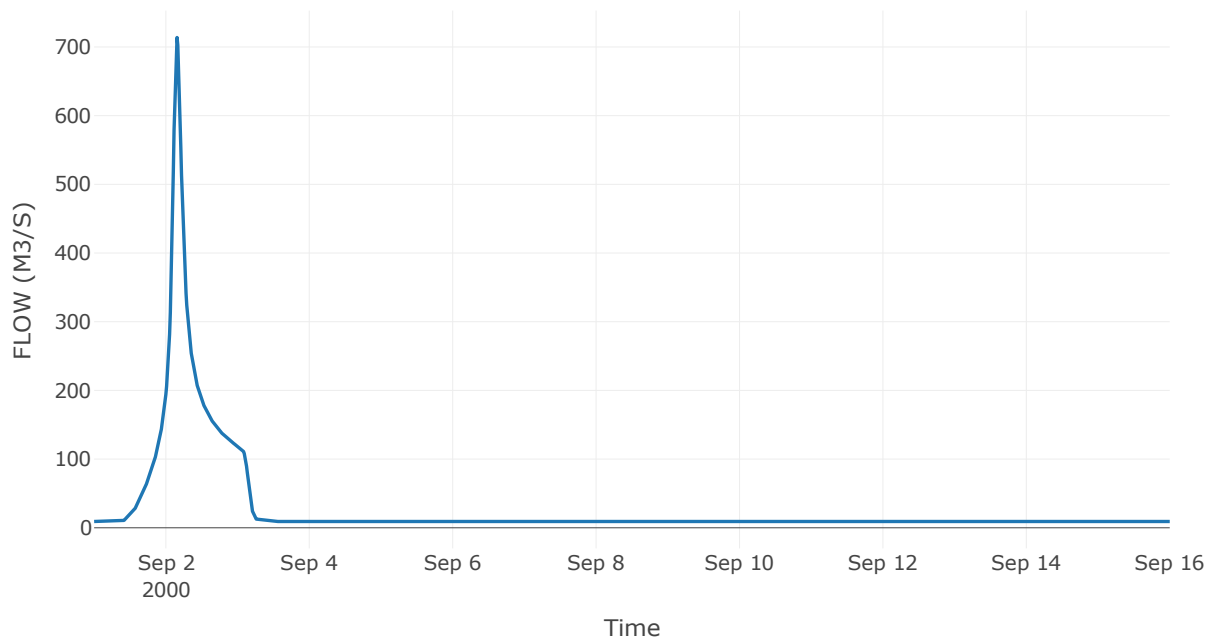
Κατάντη : J6

Μέθοδος Διόδευσης	Muskingum
Αρχική Μεταβλητή	Combined Inflow
Χρόνος Ροής K	1.65
Συντελεστής βάρους x	0.2
Πλήθος Υποκλάδων	7

Αποτελέσματα: R76

Παροχή αιχμής (M3/S)	713.79
Χρονική στιγμή αιχμής	02Sep2000, 03:45
Όγκος (MM)	247.69
Παροχή Αιχμής Εισόδου (M3/S)	757.46
Όγκος Εισροής (M3)	3.77E7

Απορροή



Κλάδος: R87

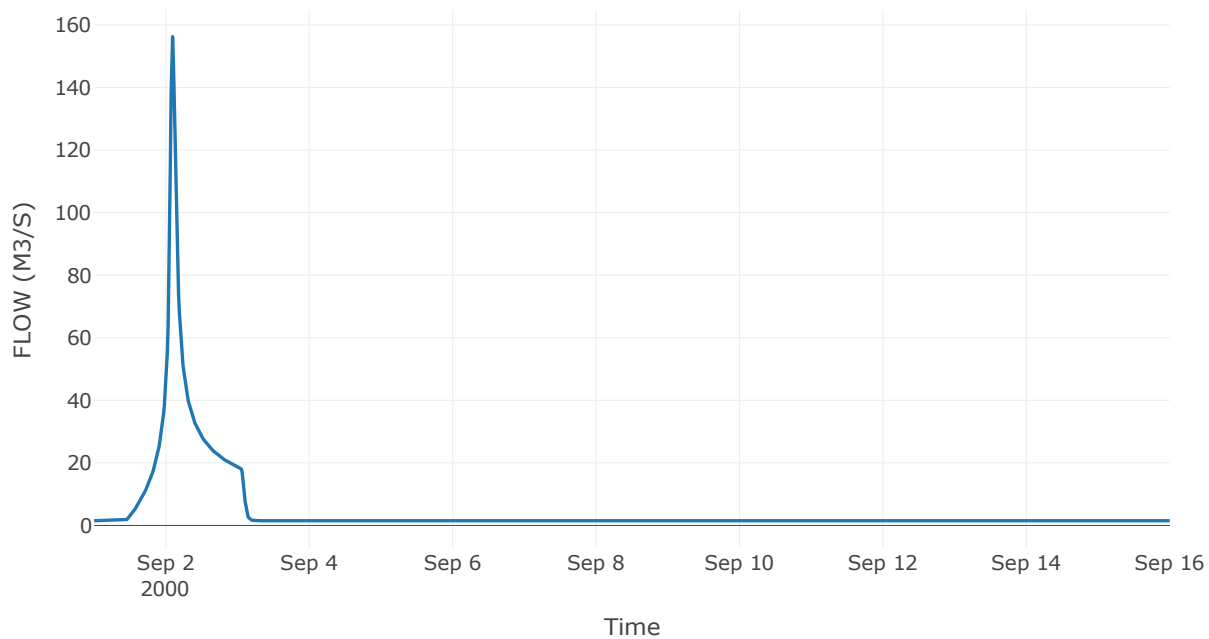
Κατάντη : J7

Μέθοδος Διόδευσης	Χρόνος
Αρχική Μεταβλητή	Combined Inflow
Χρόνος Υστέρησης	69.88

Αποτελέσματα: R87

Παροχή αιχμής (M3/S)	156.21
Χρονική στιγμή αιχμής	02Sep2000, 02:15
Όγκος (MM)	250.35
Παροχή Αιχμής Εισόδου (M3/S)	157.53
Όγκος Εισροής (M3)	6.27E6

Απορροή



Κλάδος: R97

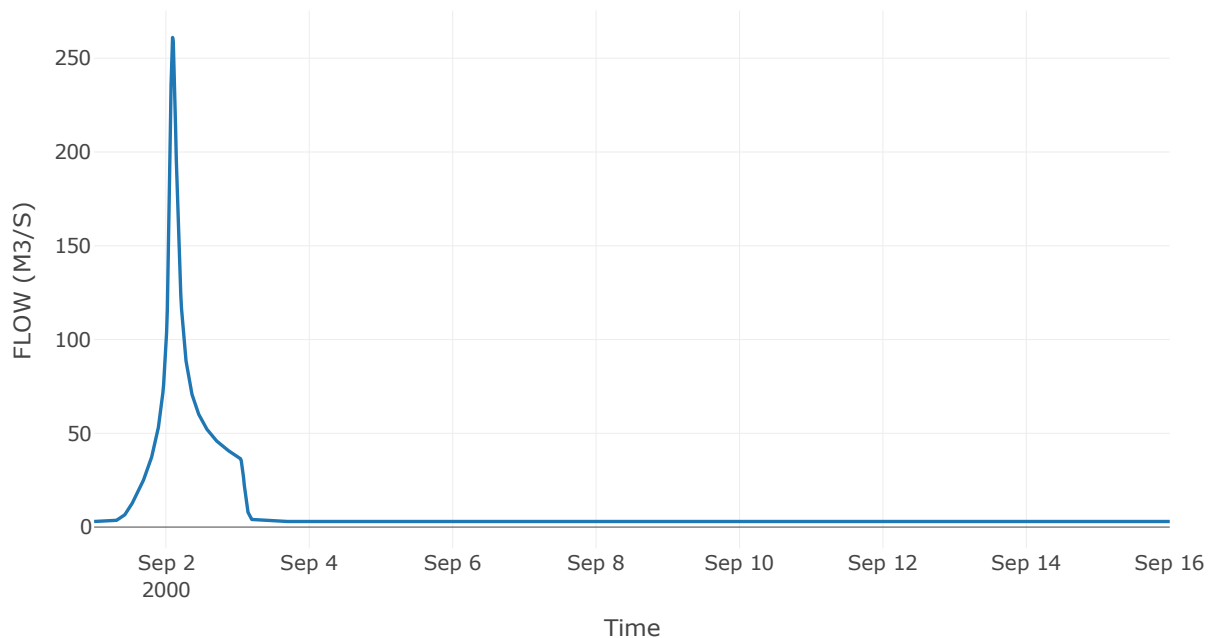
Κατάντη : J7

Μέθοδος Διόδευσης	Muskingum
Αρχική Μεταβλητή	Combined Inflow
Χρόνος Ροής K	0.93
Συντελεστής βάρους x	0.2
Πλήθος Υποκλάδων	4

Αποτελέσματα: R97

Παροχή αιχμής (M3/S)	261.09
Χρονική στιγμή αιχμής	02Sep2000, 02:15
Όγκος (MM)	254.93
Παροχή Αιχμής Εισόδου (M3/S)	272.68
Όγκος Εισροής (M3)	1.26E7

Απορροή



Κλάδος: R105

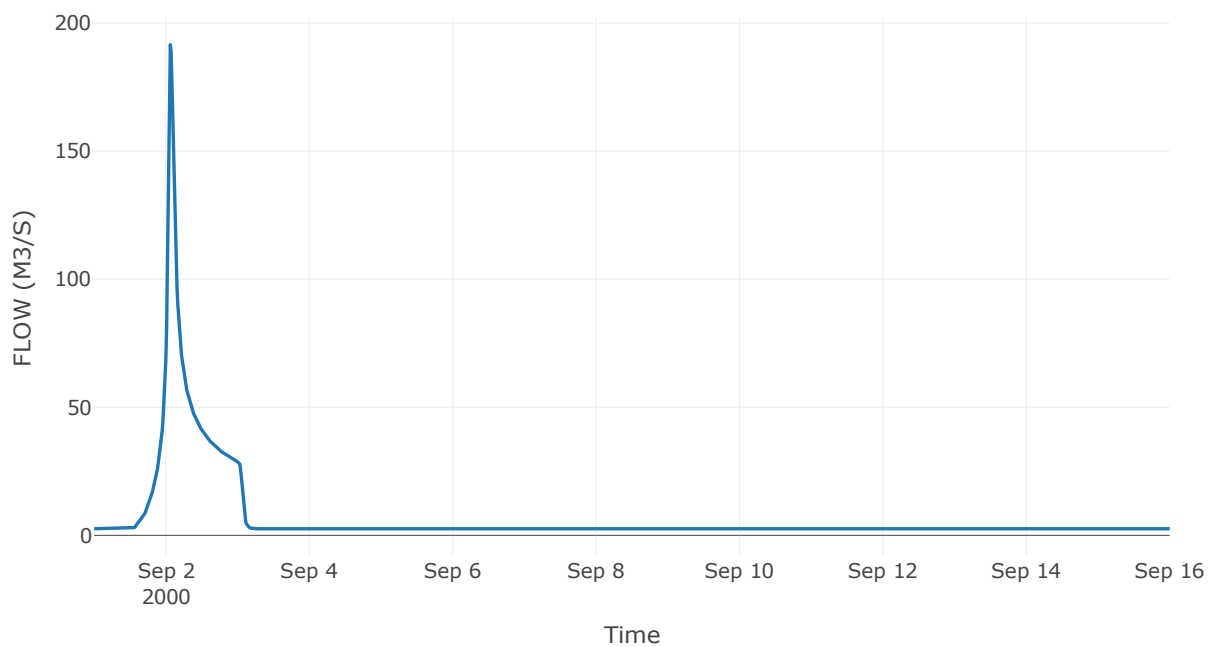
Κατάντη : J5

Μέθοδος Διόδευσης	Χρόνος
Αρχική Μεταβλητή	Combined Inflow
Χρόνος Υστέρησης	34.65

Αποτελέσματα: R105

Παροχή αιχμής (M3/S)	191.53
Χρονική στιγμή αιχμής	02Sep2000, 01:30
Όγκος (MM)	207.71
Παροχή Αιχμής Εισόδου (M3/S)	193.12
Όγκος Εισροής (M3)	8.93E6

Απορροή



Κλάδος: R1112

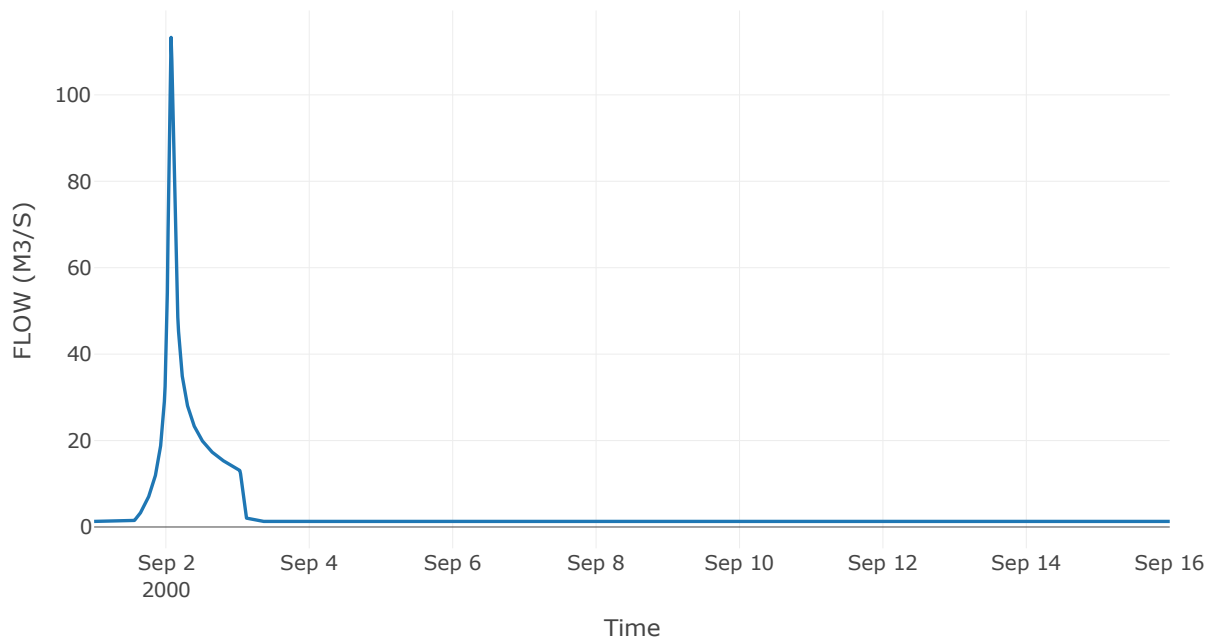
Κατάντη : J12

Μέθοδος Διόδευσης	Muskingum
Αρχική Μεταβλητή	Combined Inflow
Χρόνος Ροής Κ	0.77
Συντελεστής βάρους x	0.2
Πλήθος Υποκλάδων	3

Αποτελέσματα: R1112

Παροχή αιχμής (M3/S)	113.3
Χρονική στιγμή αιχμής	02Sep2000, 01:45
Όγκος (MM)	214.93
Παροχή Αιχμής Εισόδου (M3/S)	121.47
Όγκος Εισροής (M3)	4.62E6

Απορροή



Κλάδος: R1213

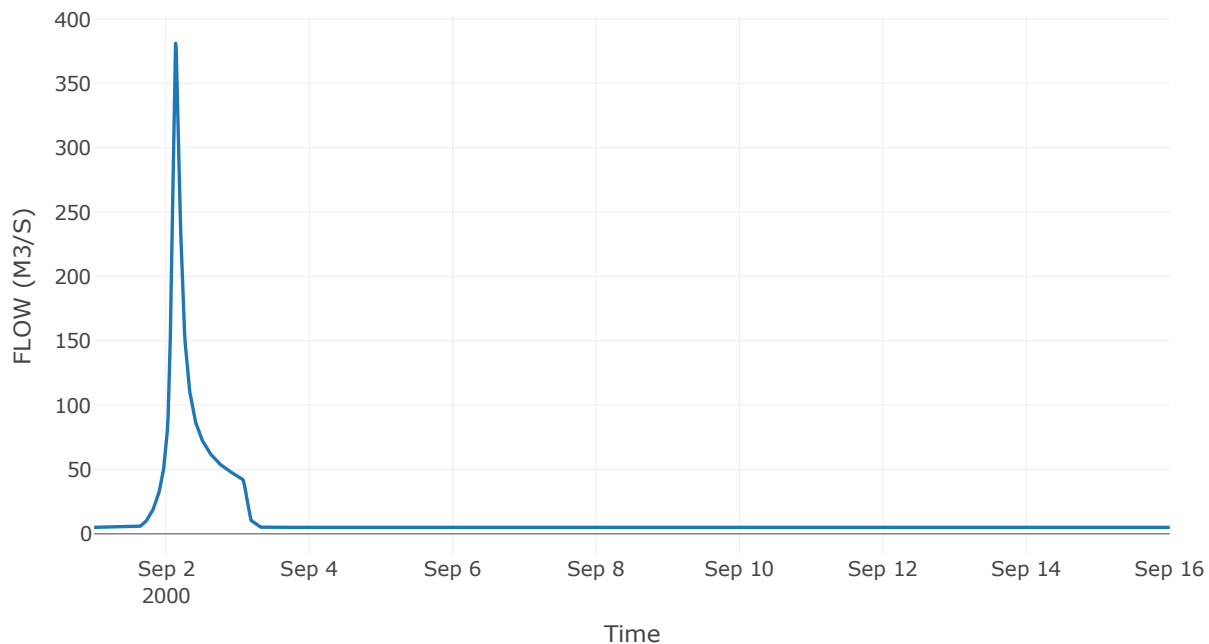
Κατάντη : J13

Μέθοδος Διόδευσης	Muskingum
Αρχική Μεταβλητή	Combined Inflow
Χρόνος Ροής Κ	1.55
Συντελεστής βάρους x	0.2
Πλήθος Υποκλάδων	6

Αποτελέσματα: R1213

Παροχή αιχμής (M3/S)	381.18
Χρονική στιγμή αιχμής	02Sep2000, 03:15
Όγκος (MM)	199.47
Παροχή Αιχμής Εισόδου (M3/S)	412.51
Όγκος Εισροής (M3)	1.69E7

Απορροή



Κλάδος: R1314

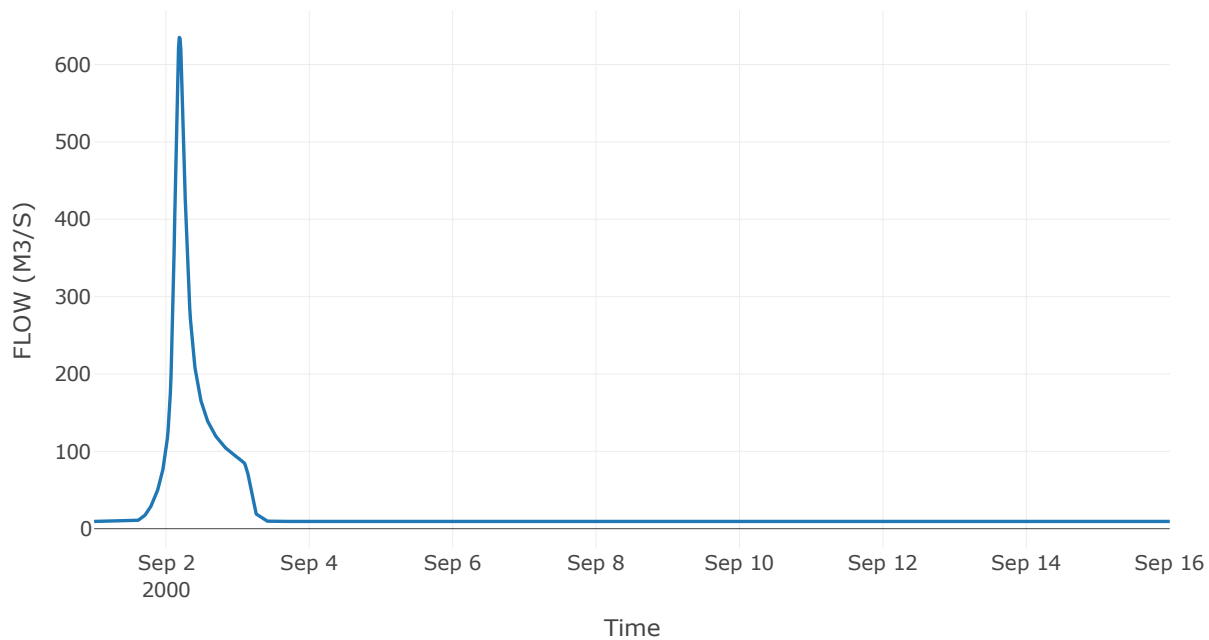
Κατάντη : J14

Μέθοδος Διόδευσης	Muskingum
Αρχική Μεταβλητή	Combined Inflow
Χρόνος Ροής K	1.57
Συντελεστής βάρους x	0.2
Πλήθος Υποκλάδων	6

Αποτελέσματα: R1314

Παροχή αιχμής (M3/S)	635.11
Χρονική στιγμή αιχμής	02Sep2000, 04:30
Όγκος (MM)	208.89
Παροχή Αιχμής Εισόδου (M3/S)	668.16
Όγκος Εισροής (M3)	3.27E7

Απορροή



Κλάδος: R1415

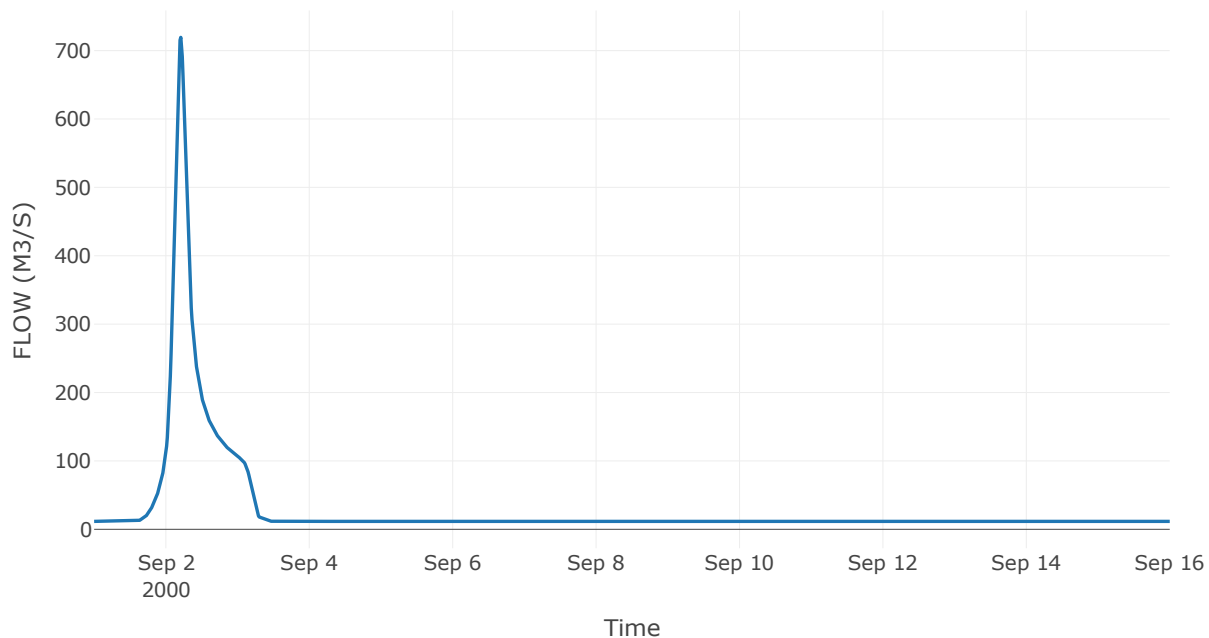
Κατάντη : J15

Μέθοδος Διόδευσης	Muskingum
Αρχική Μεταβλητή	Combined Inflow
Χρόνος Ροής K	0.48
Συντελεστής βάρους x	0.2
Πλήθος Υποκλάδων	2

Αποτελέσματα: R1415

Παροχή αιχμής (M3/S)	719.36
Χρονική στιγμή αιχμής	02Sep2000, 05:00
Όγκος (MM)	203.36
Παροχή Αιχμής Εισόδου (M3/S)	726.67
Όγκος Εισροής (M3)	3.93E7

Απορροή



Κλάδος: R152

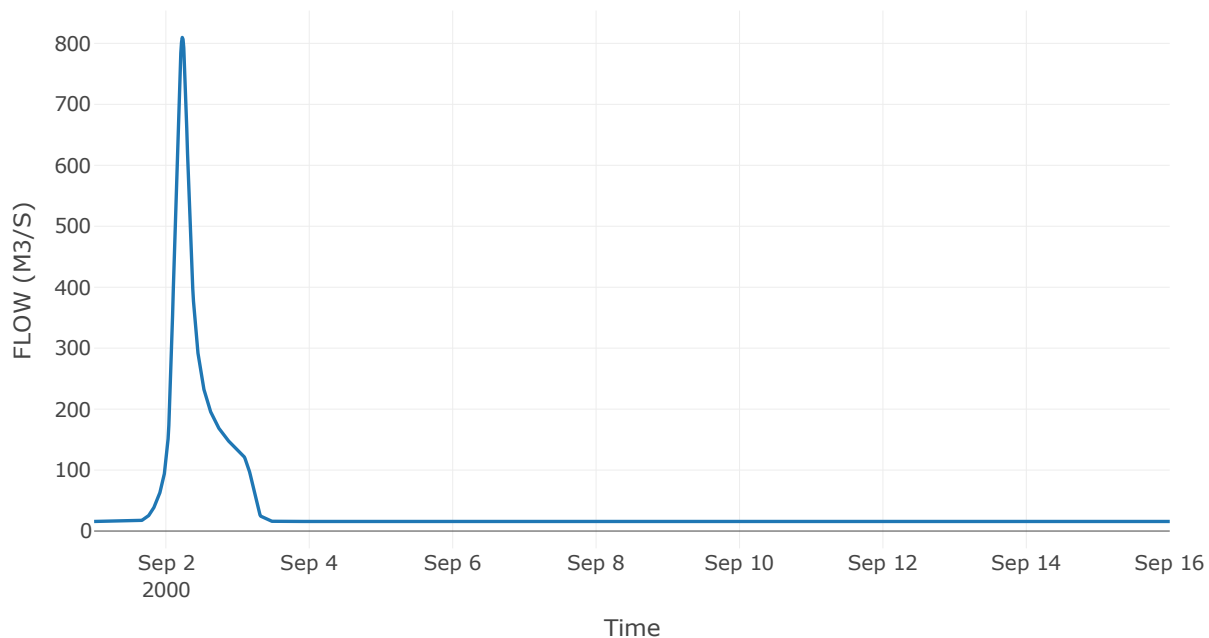
Κατάντη : J2

Μέθοδος Διόδευσης	Muskingum
Αρχική Μεταβλητή	Combined Inflow
Χρόνος Ροής Κ	0.74
Συντελεστής βάρους α	0.2
Πλήθος Υποκλάδων	3

Αποτελέσματα: R152

Παροχή αιχμής (M3/S)	809.76
Χρονική στιγμή αιχμής	02Sep2000, 05:30
Όγκος (MM)	188.98
Παροχή Αιχμής Εισόδου (M3/S)	819.11
Όγκος Εισροής (M3)	4.95E7

Απορροή



Κλάδος: R1615

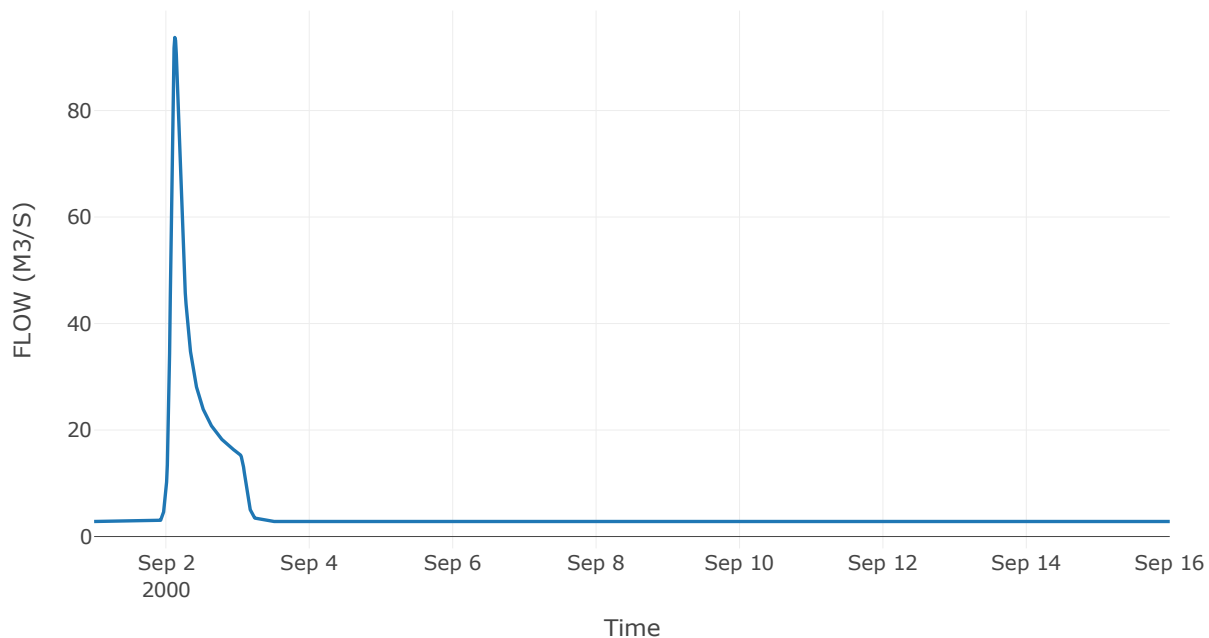
Κατάντη : J15

Μέθοδος Διόδευσης	Muskingum
Αρχική Μεταβλητή	Combined Inflow
Χρόνος Ροής K	0.73
Συντελεστής βάρους x	0.2
Πλήθος Υποκλάδων	3

Αποτελέσματα: R1615

Παροχή αιχμής (M3/S)	93.72
Χρονική στιγμή αιχμής	02Sep2000, 03:00
Όγκος (MM)	136.76
Παροχή Αιχμής Εισόδου (M3/S)	95.94
Όγκος Εισροής (M3)	6.44E6

Απορροή



Κλάδος: R173

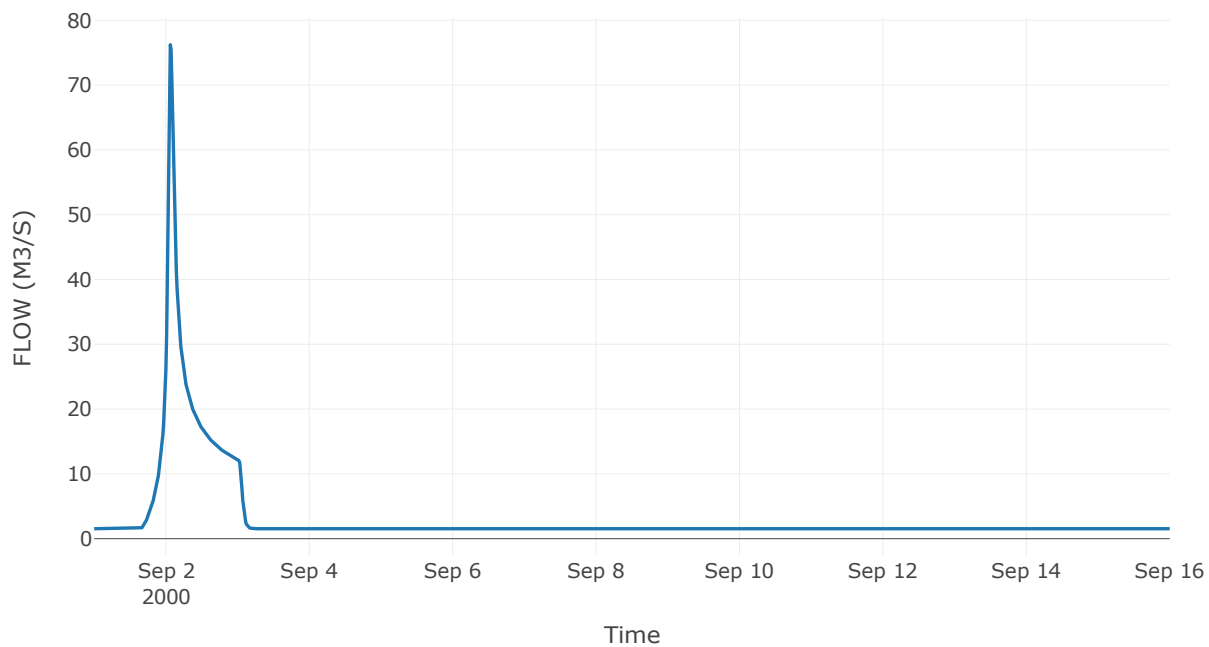
Κατάντη : J3

Μέθοδος Διόδευσης	Χρόνος
Αρχική Μεταβλητή	Combined Inflow
Χρόνος Υστέρησης	27.42

Αποτελέσματα: R173

Παροχή αιχμής (M3/S)	76.23
Χρονική στιγμή αιχμής	02Sep2000, 01:30
Όγκος (MM)	162.46
Παροχή Αιχμής Εισόδου (M3/S)	76.25
Όγκος Εισροής (M3)	4.15E6

Απορροή



Κλάδος: R183

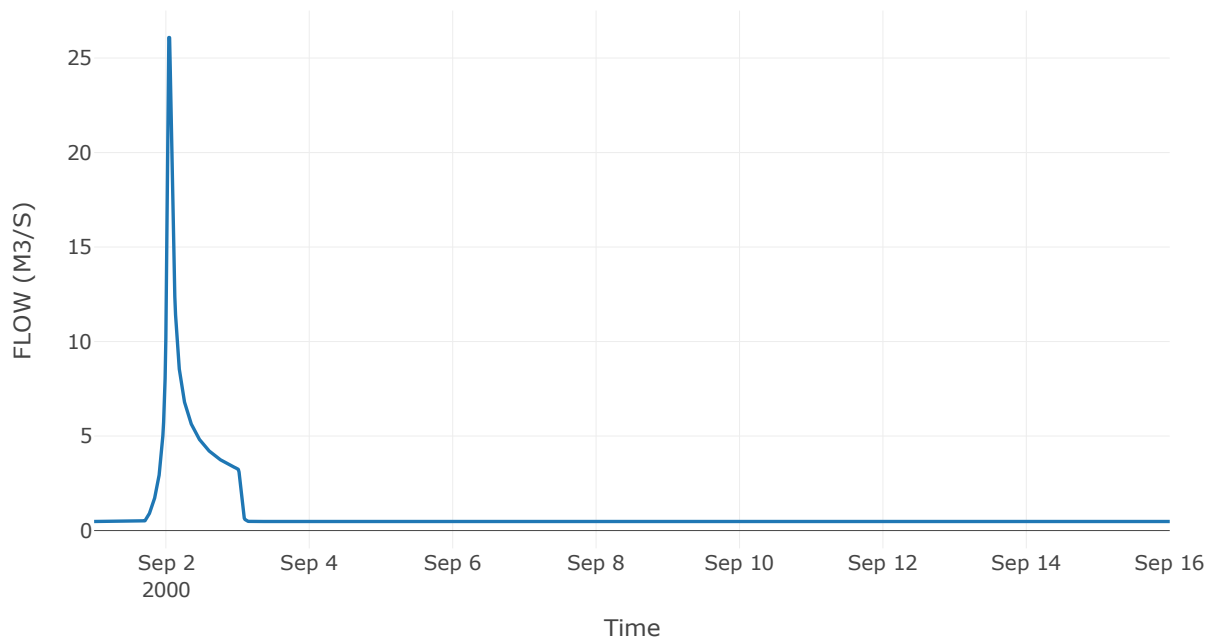
Κατάντη : J3

Μέθοδος Διόδευσης	Muskingum
Αρχική Μεταβλητή	Combined Inflow
Χρόνος Ροής K	0.35
Συντελεστής βάρους x	0.2
Πλήθος Υποκλάδων	1

Αποτελέσματα: R183

Παροχή αιχμής (M3/S)	26.09
Χρονική στιγμή αιχμής	02Sep2000, 01:00
Όγκος (MM)	154.52
Παροχή Αιχμής Εισόδου (M3/S)	28.09
Όγκος Εισροής (M3)	1.24E6

Απορροή



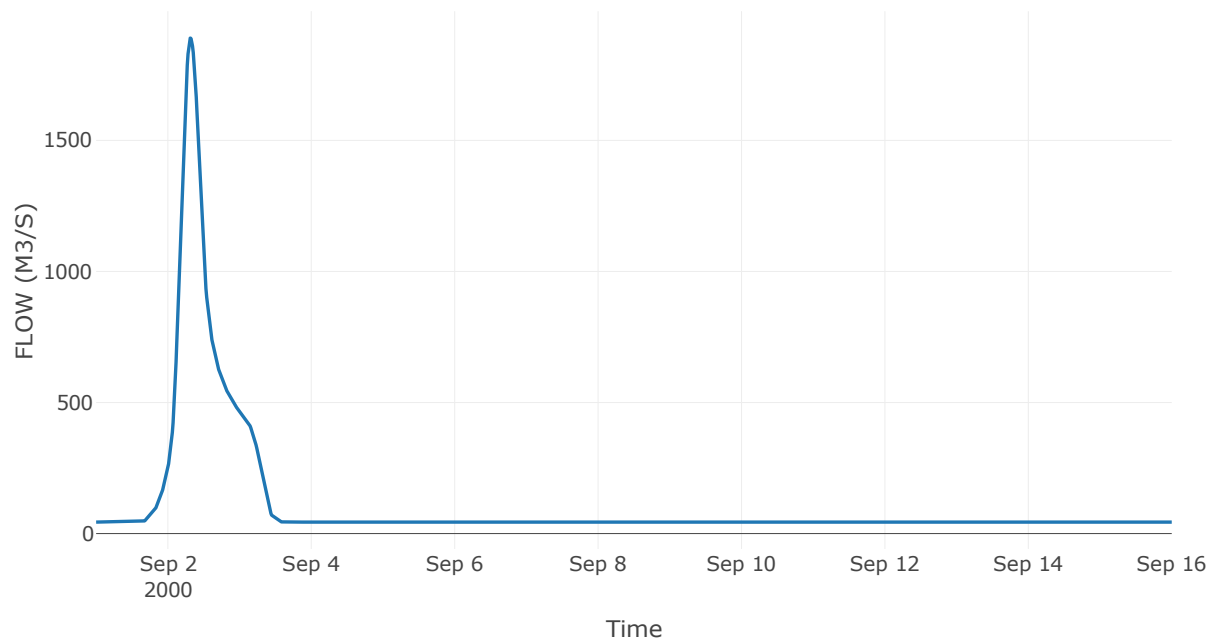
2.3 Δεδομένα και υδρογραφήματα σχεδιασμού Κόμβων υδρογραφικού δικτύου

Κόμβος εξόδου: J1

Αποτέλεσμα
τα: J1

Παροχή αιχμής (M3/S)	1890.41
Χρονική στιγμή αιχμής	02Sep2000, 07:30
Όγκος (MM)	199.53

Απορροή



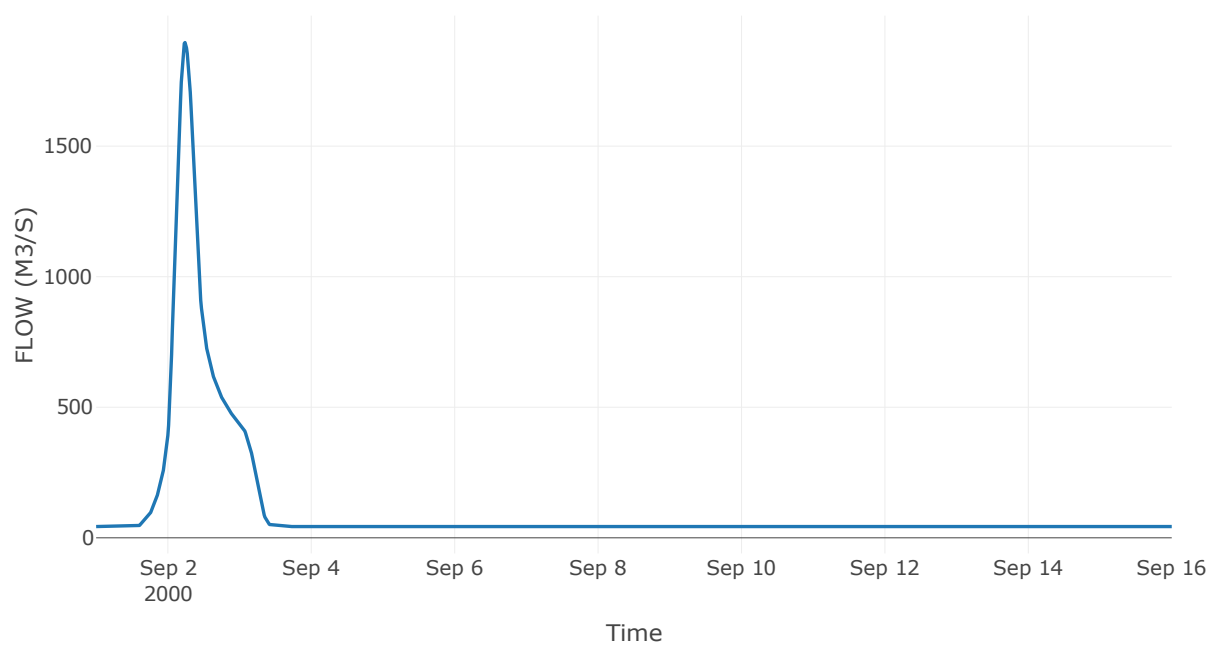
Κόμβος: J2

Κατάντη : R21

Αποτελέσματα: J2

Παροχή αιχμής (M3/S)	1896.69
Χρονική στιγμή αιχμής	02Sep2000, 05:45
Όγκος (MM)	199.66

Απορροή



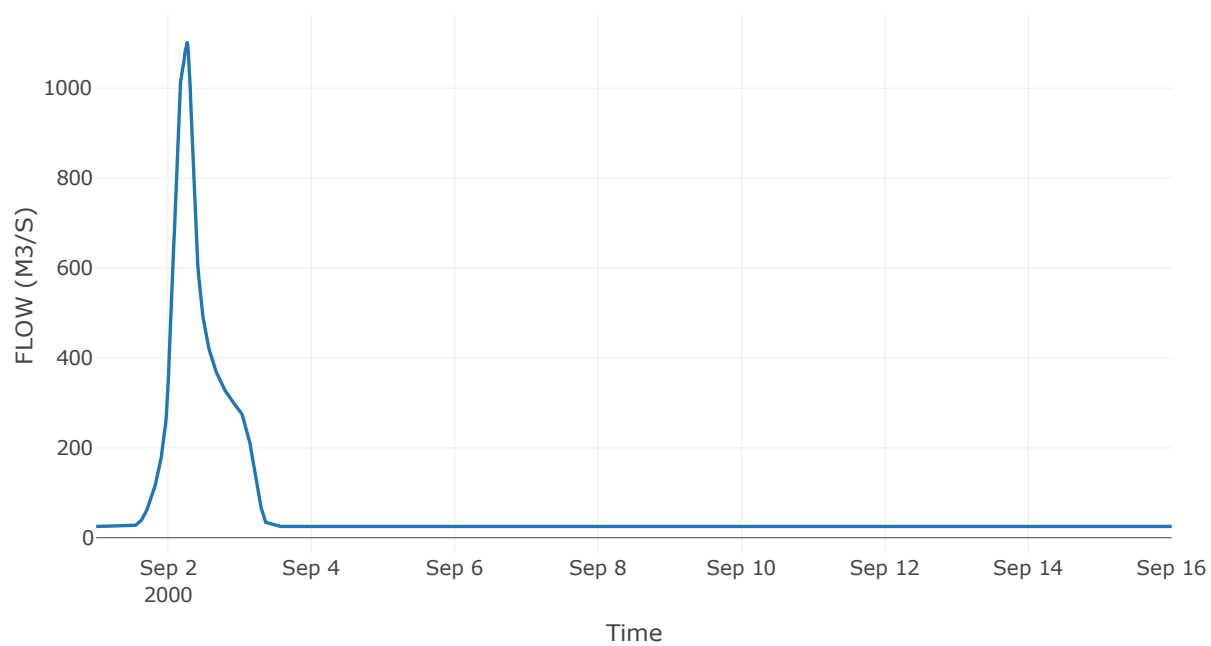
Κόμβος: J3

Κατάντη : R32

Αποτελέσματα: J3

Παροχή αιχμής (M3/S)	1101.91
Χρονική στιγμή αιχμής	02Sep2000, 06:15
Όγκος (MM)	209.01

Απορροή



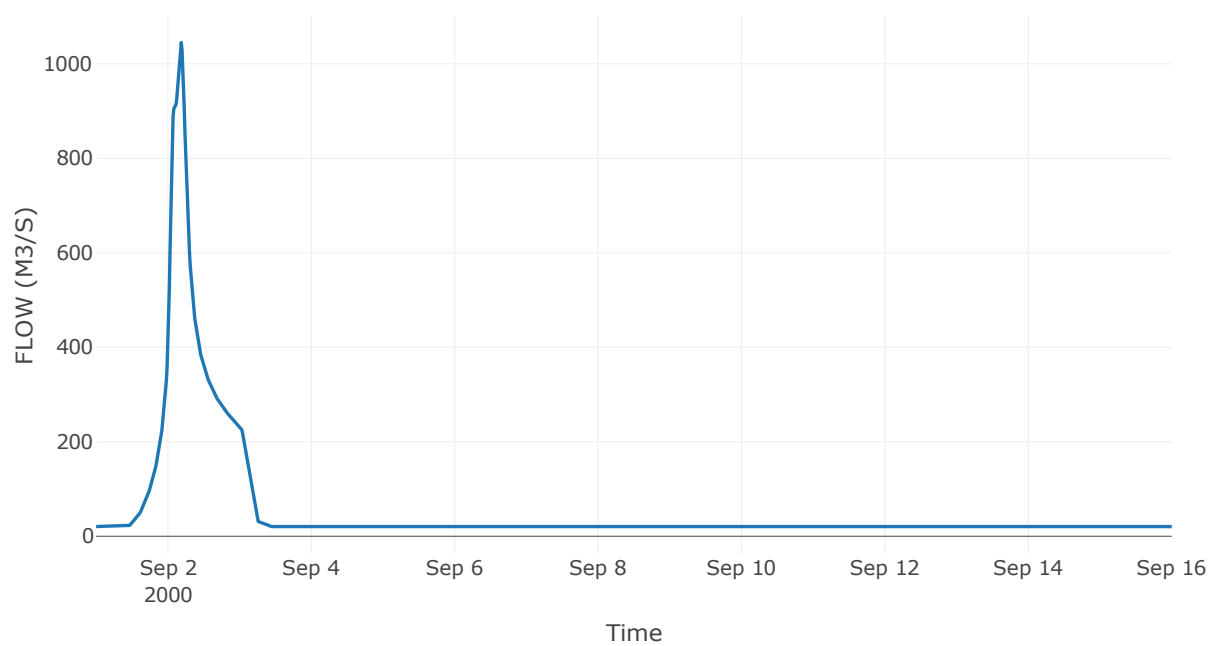
Κόμβος: J4

Κατάντη : R43

Αποτελέσματα: J4

Παροχή αιχμής (M3/S)	1045.16
Χρονική στιγμή αιχμής	02Sep2000, 04:30
Όγκος (MM)	215.75

Απορροή



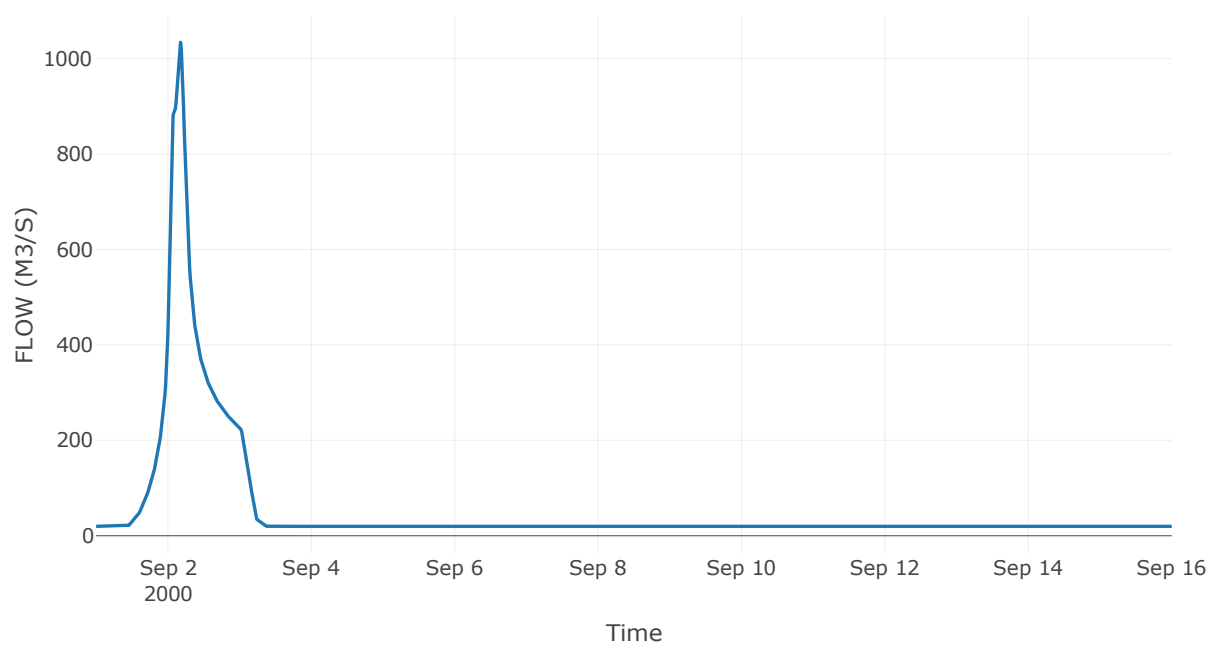
Κόμβος: J5

Κατάντη : R54

Αποτελέσματα: J5

Παροχή αιχμής (M3/S)	1034.17
Χρονική στιγμή αιχμής	02Sep2000, 04:15
Όγκος (MM)	218.63

Απορροή



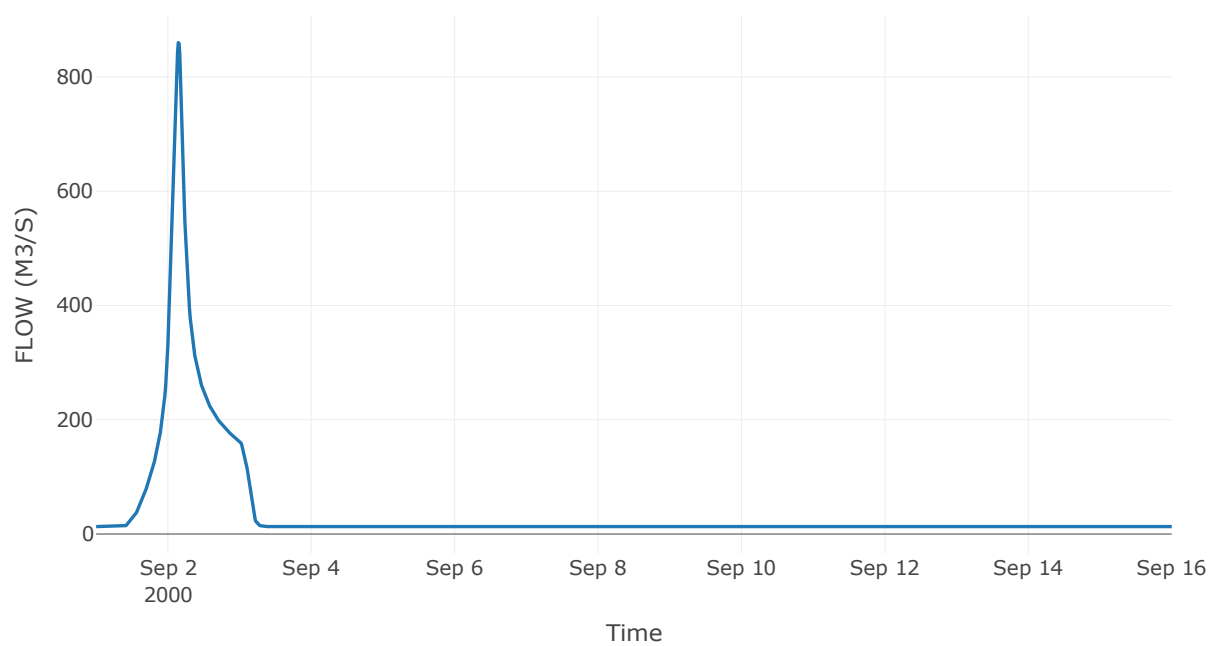
Κόμβος: J6

Κατάντη : R65

Αποτελέσματα: J6

Παροχή αιχμής (M3/S)	860.26
Χρονική στιγμή αιχμής	02Sep2000, 03:30
Όγκος (MM)	237.92

Απορροή



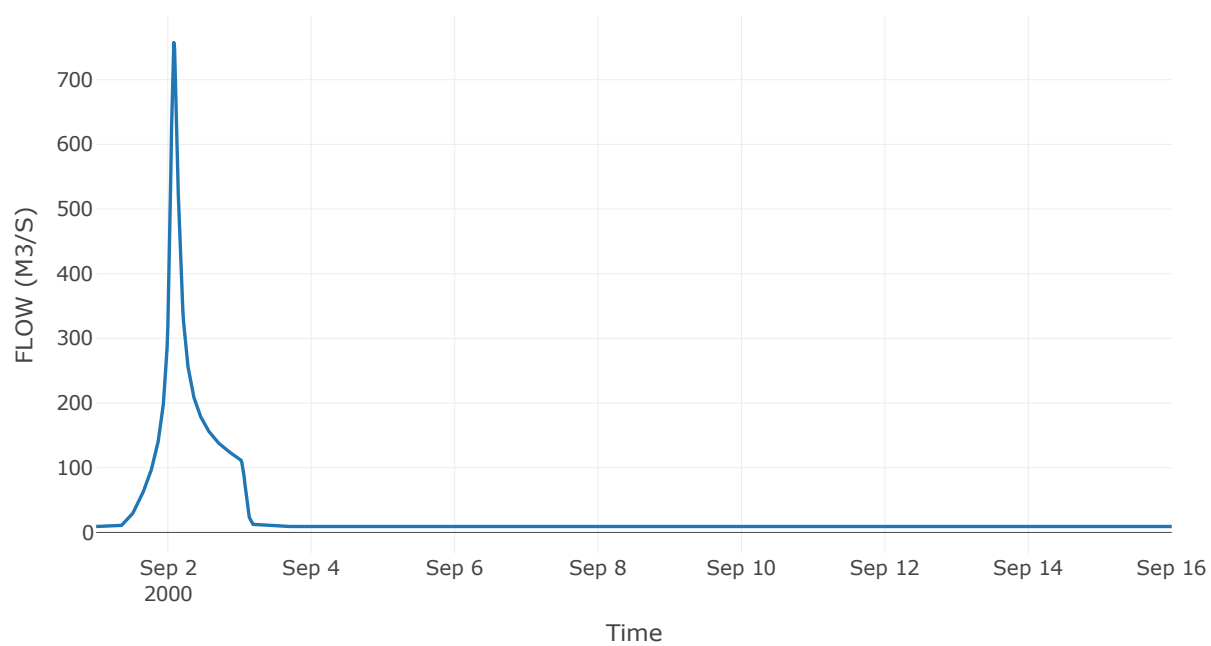
Κόμβος: J7

Κατάντη : R76

Αποτελέσματα: J7

Παροχή αιχμής (M3/S)	757.46
Χρονική στιγμή αιχμής	02Sep2000, 02:00
Όγκος (MM)	247.69

Απορροή



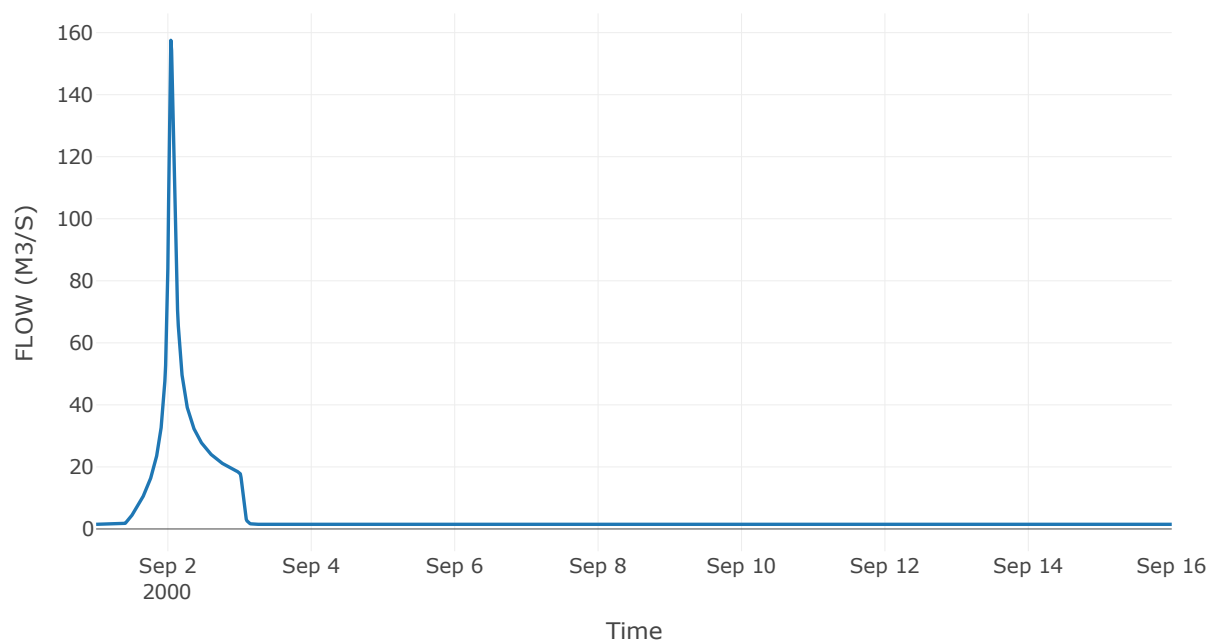
Κόμβος: J8

Κατάντη : R87

Αποτελέσματα: J8

Παροχή αιχμής (M3/S)	157.53
Χρονική στιγμή αιχμής	02Sep2000, 01:00
Όγκος (MM)	250.35

Απορροή



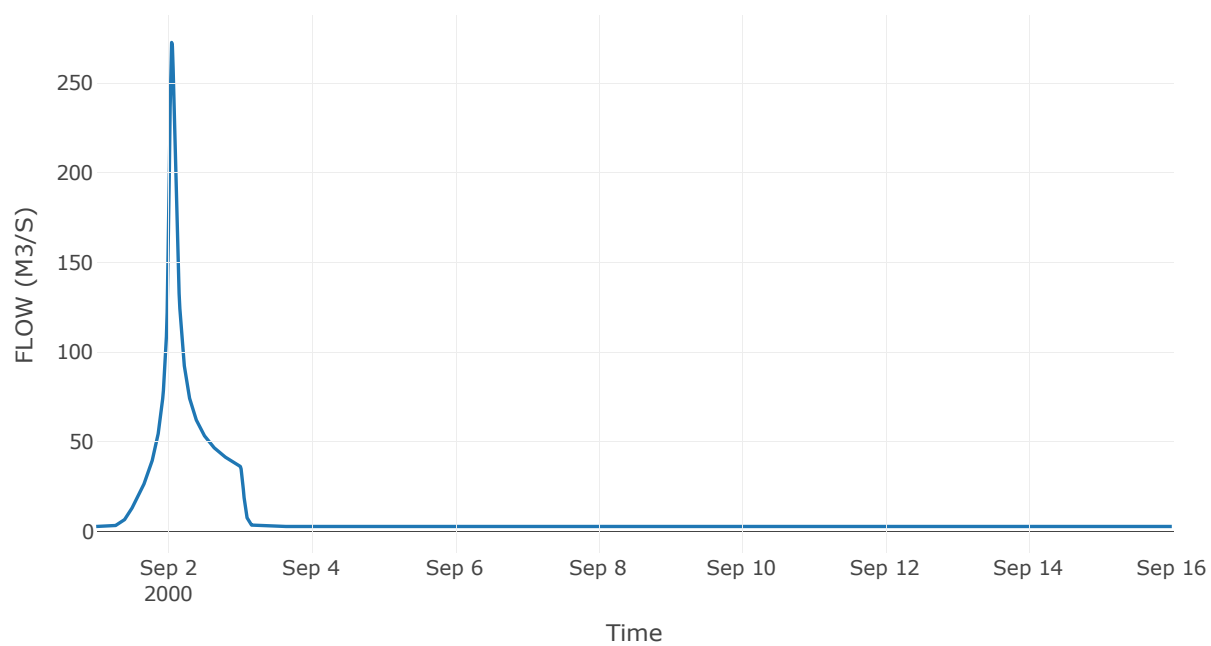
Κόμβος: J9

Κατάντη : R97

Αποτελέσματα: J9

Παροχή αιχμής (M3/S)	272.68
Χρονική στιγμή αιχμής	02Sep2000, 01:15
Όγκος (MM)	254.93

Απορροή



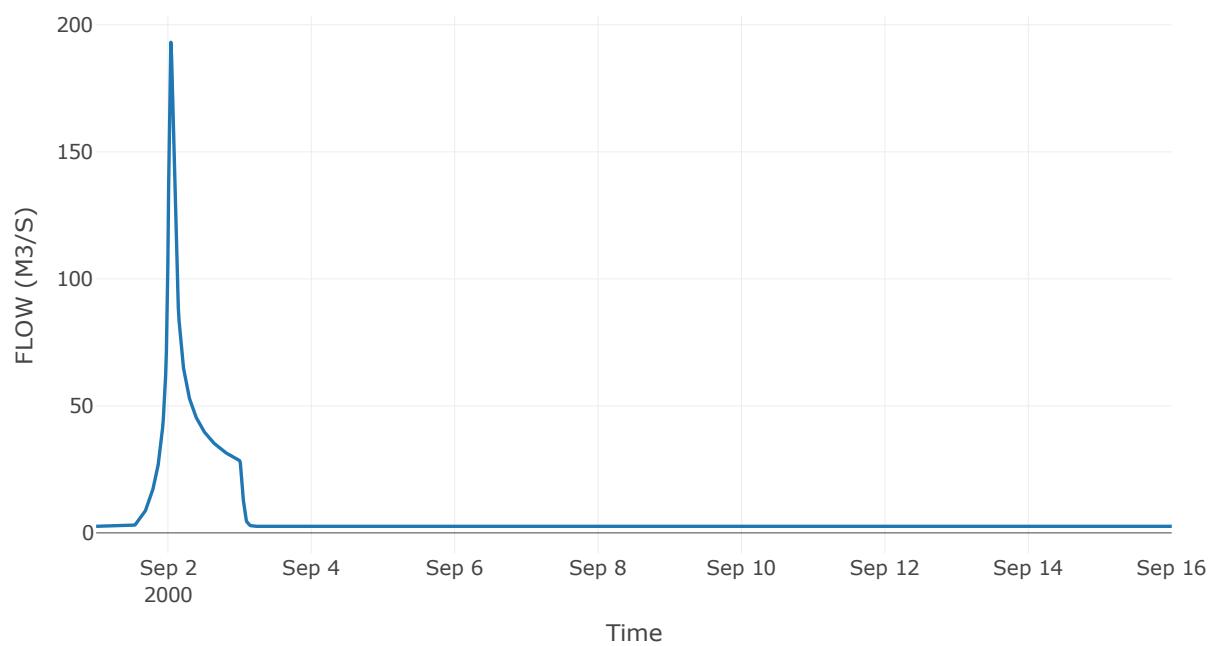
Κόμβος: J10

Κατάντη : R105

Αποτελέσματα: J10

Παροχή αιχμής (M3/S)	193.12
Χρονική στιγμή αιχμής	02Sep2000, 01:00
Όγκος (MM)	207.71

Απορροή



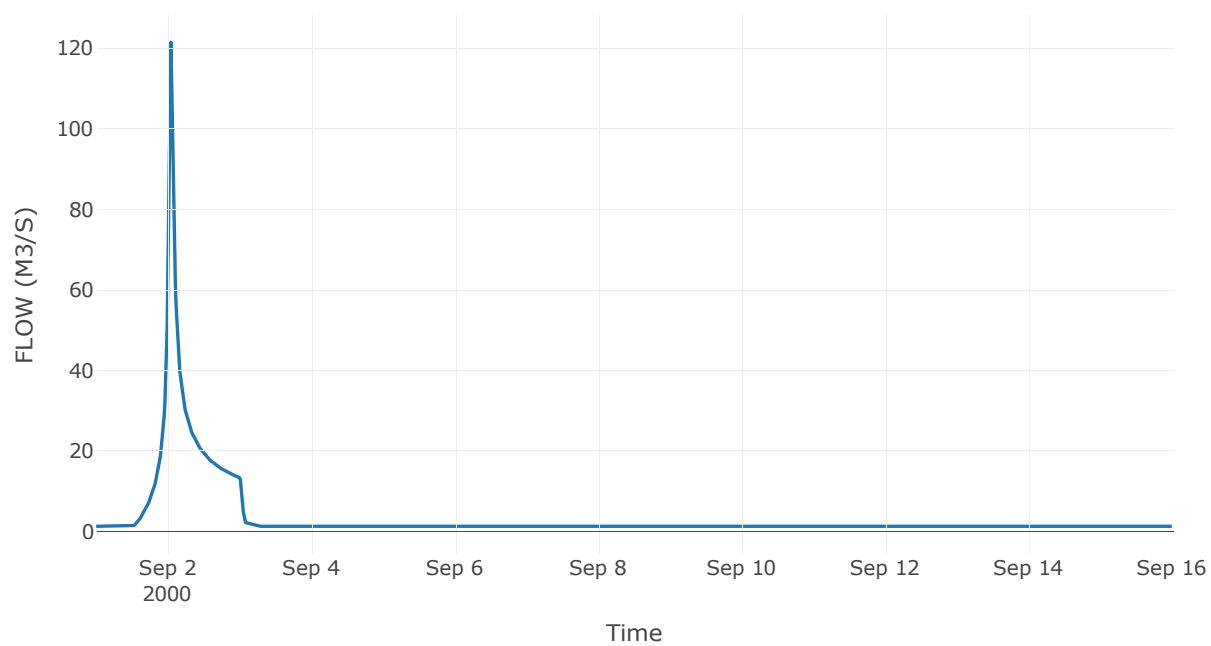
Κόμβος: J11

Κατάντη : R1112

Αποτελέσματα: J11

Παροχή αιχμής (M3/S)	121.47
Χρονική στιγμή αιχμής	02Sep2000, 01:00
Όγκος (MM)	214.93

Απορροή



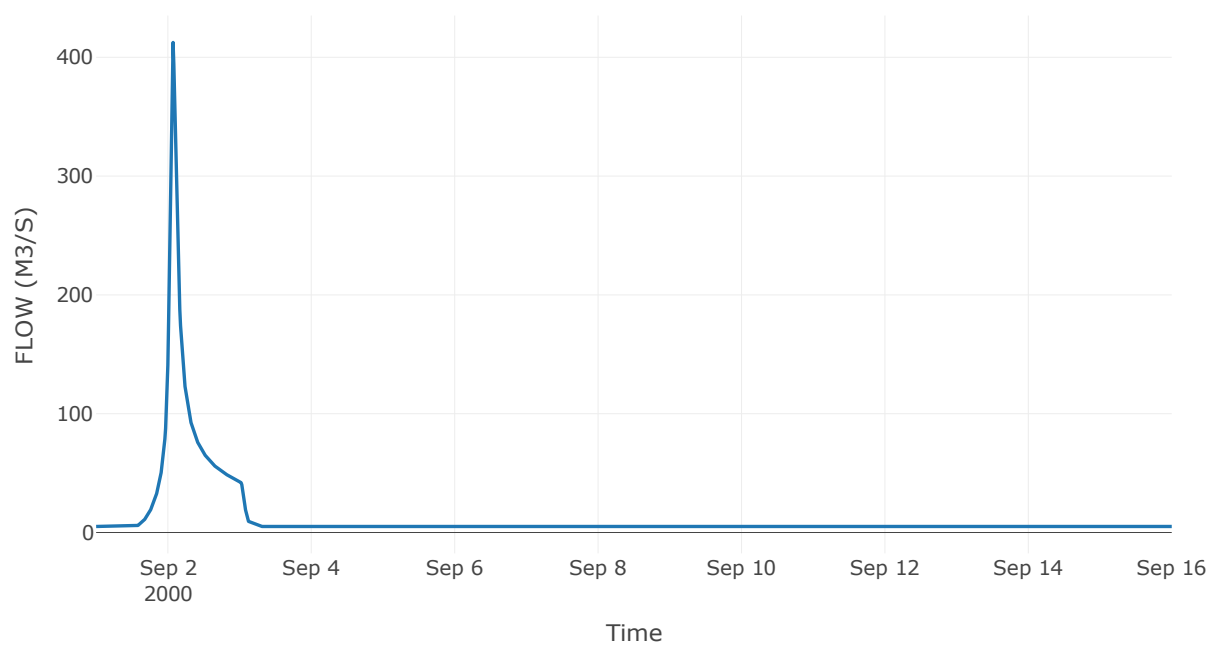
Κόμβος: J12

Κατάντη : R1213

Αποτελέσματα: J12

Παροχή αιχμής (M3/S)	412.51
Χρονική στιγμή αιχμής	02Sep2000, 01:45
Όγκος (MM)	199.47

Απορροή



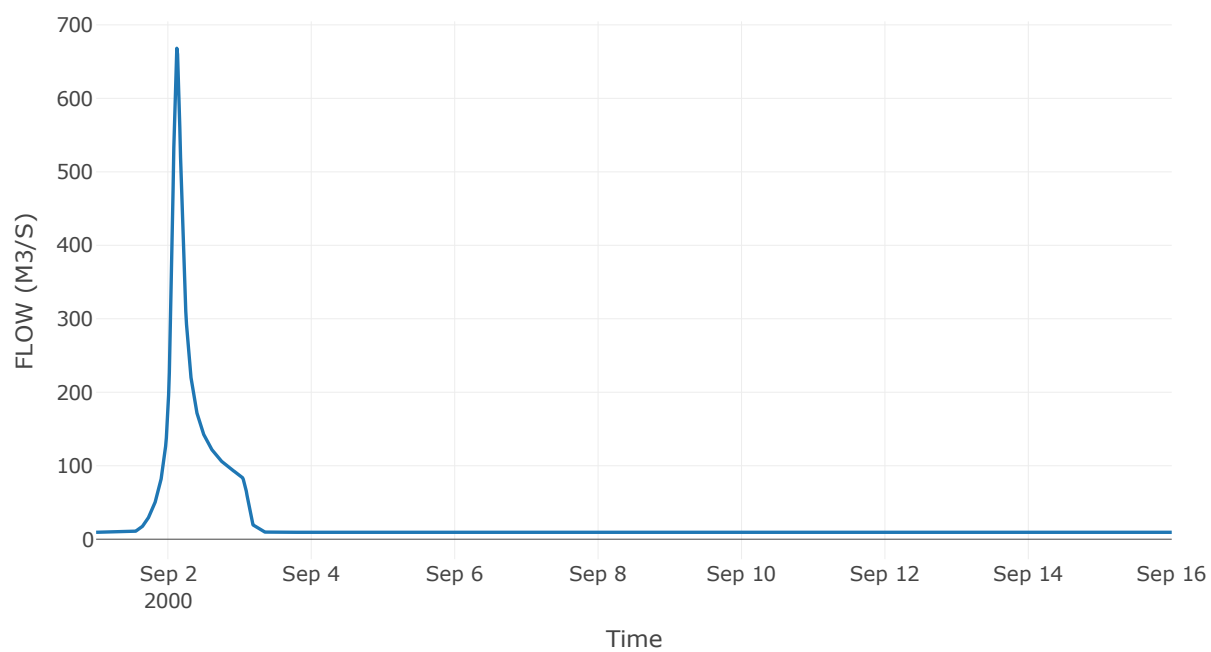
Κόμβος: J13

Κατάντη : R1314

Αποτελέσματα: J13

Παροχή αιχμής (M3/S)	668.16
Χρονική στιγμή αιχμής	02Sep2000, 03:00
Όγκος (MM)	208.89

Απορροή



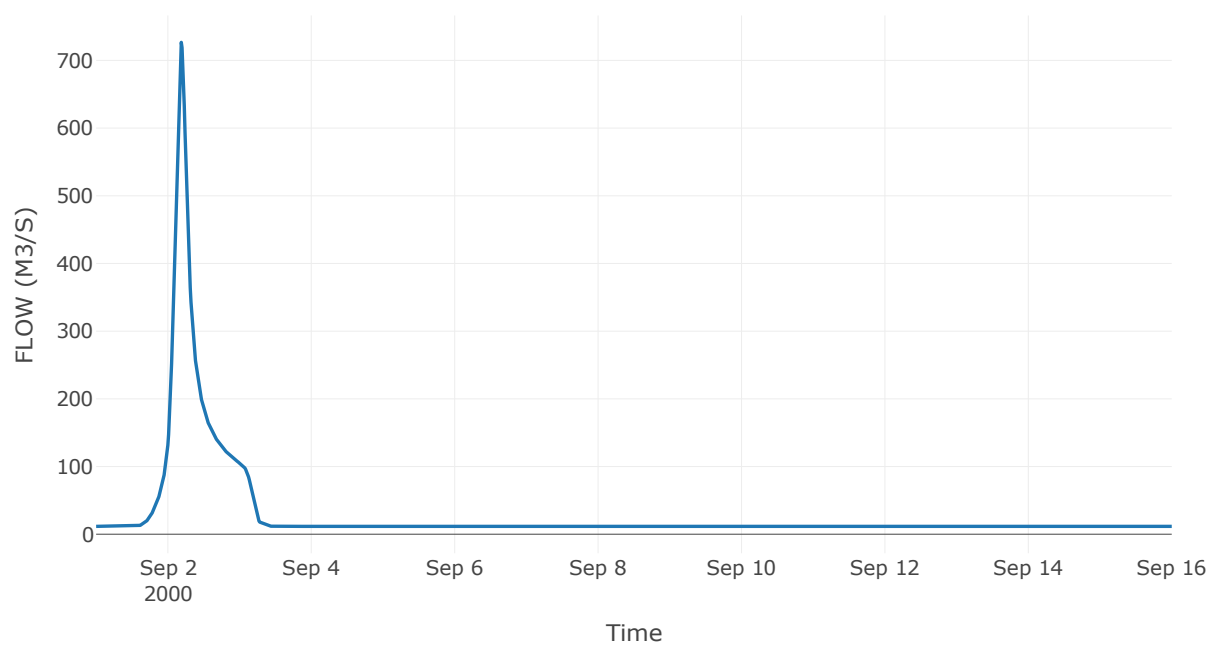
Κόμβος: J14

Κατάντη : R1415

Αποτελέσματα: J14

Παροχή αιχμής (M3/S)	726.67
Χρονική στιγμή αιχμής	02Sep2000, 04:30
Όγκος (MM)	203.36

Απορροή



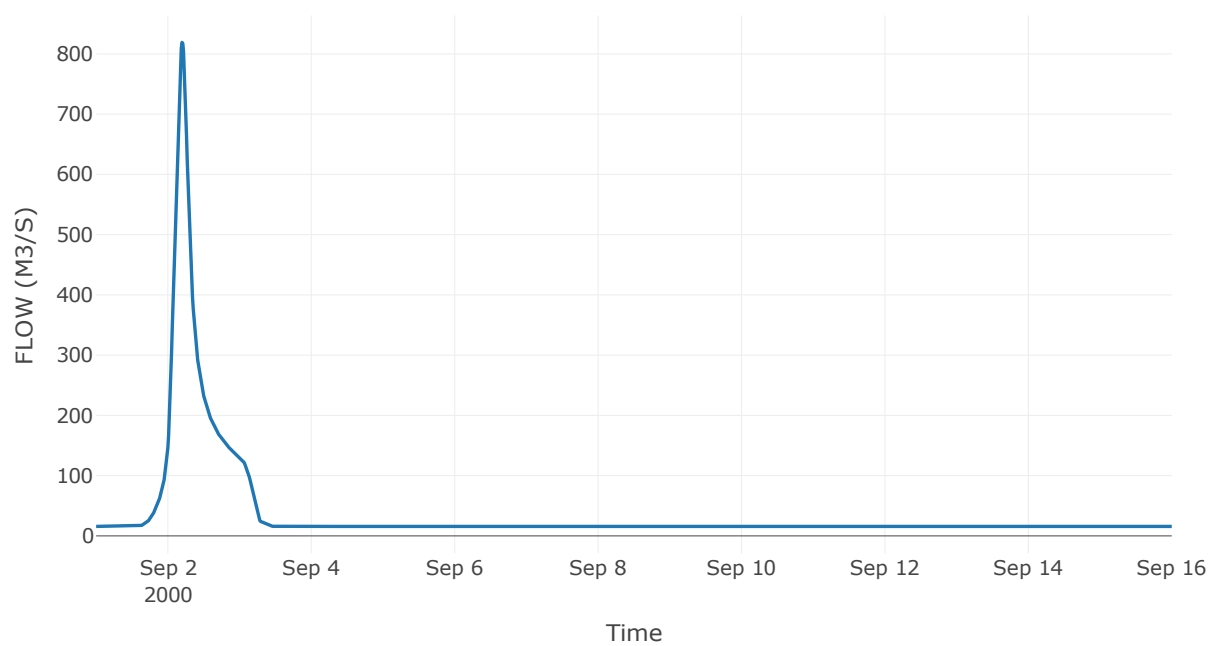
Κόμβος: J15

Κατάντη : R152

Αποτελέσματα: J15

Παροχή αιχμής (M3/S)	819.11
Χρονική στιγμή αιχμής	02Sep2000, 04:45
Όγκος (MM)	188.98

Απορροή



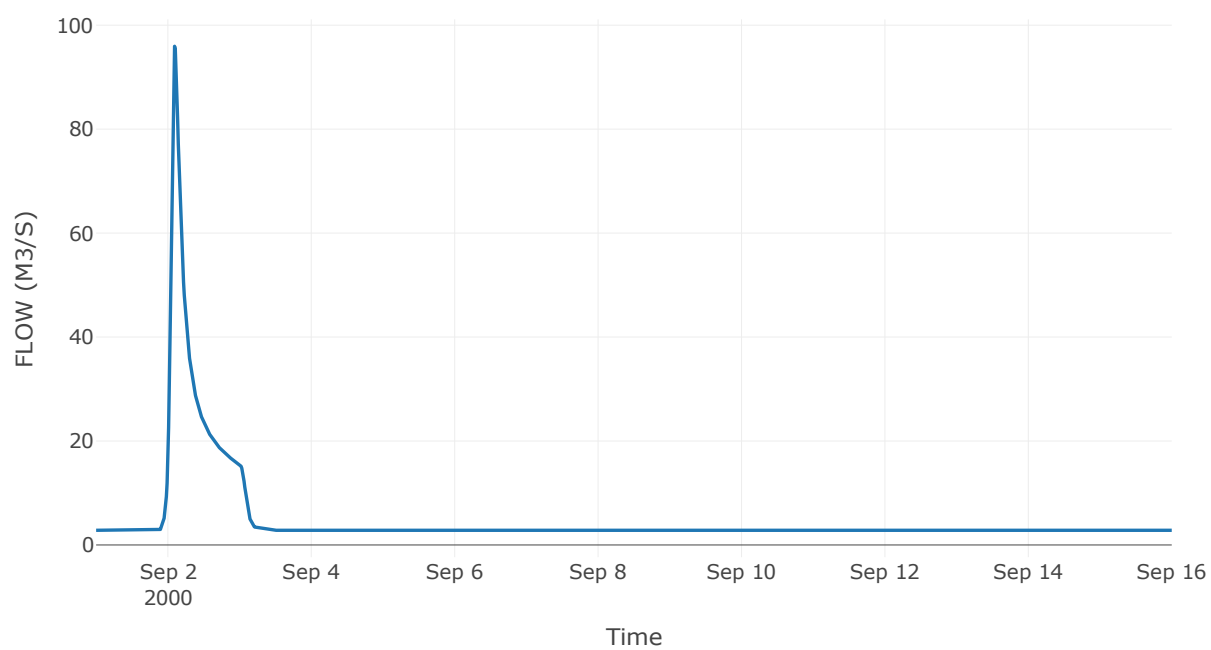
Κόμβος: J16

Κατάντη : R1615

Αποτελέσματα: J16

Παροχή αιχμής (M3/S)	95.94
Χρονική στιγμή αιχμής	02Sep2000, 02:15
Όγκος (MM)	136.76

Απορροή



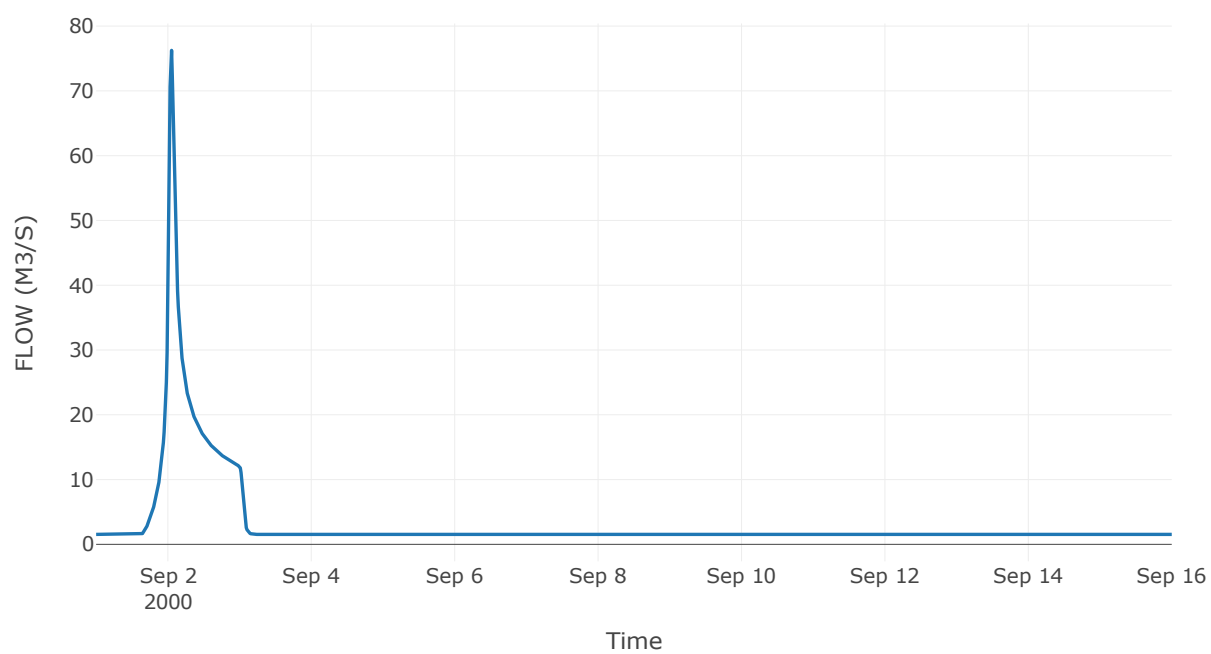
Κόμβος: J17

Κατάντη : R173

Αποτελέσματα: J17

Παροχή αιχμής (M3/S)	76.25
Χρονική στιγμή αιχμής	02Sep2000, 01:15
Όγκος (MM)	162.46

Απορροή



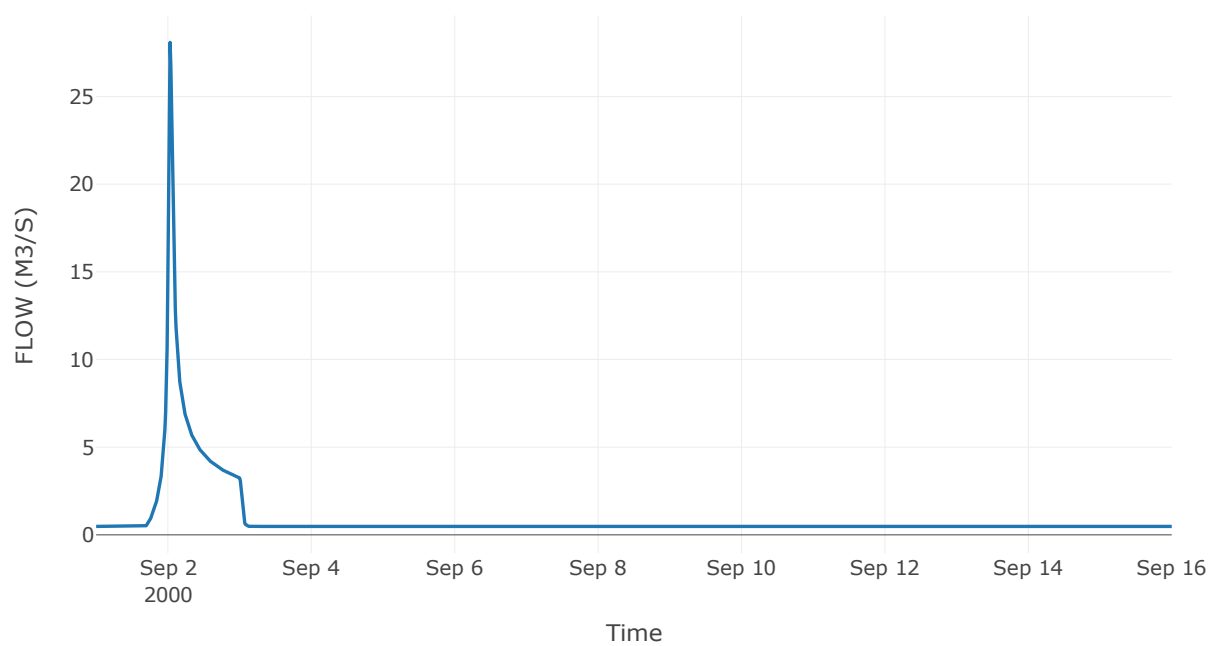
Κόμβος: J18

Κατάντη : R183

Αποτελέσματα: J18

Παροχή αιχμής (M3/S)	28.09
Χρονική στιγμή αιχμής	02Sep2000, 00:45
Όγκος (MM)	154.52

Απορροή



3 Δεδομένα εισόδου και αποτελέσματα υδρολογικού σεναρίου T=50L

3.1 Αποτελέσματα, υετογραφήματα και υδρογραφήματα σχεδιασμού υπολεκανών

Υπολεκάνη: EL0513FR7001

Έκταση (KM2) : 10.61

Κατάνη : J1

Μέθοδος Απωλειών: SCS

Ποσοστό αδιαπέρατης επιφάνειας	0
Αριθμός Καμπύλης Απορροής-CN	58.08
Αρχικές Απώλειες	36.67

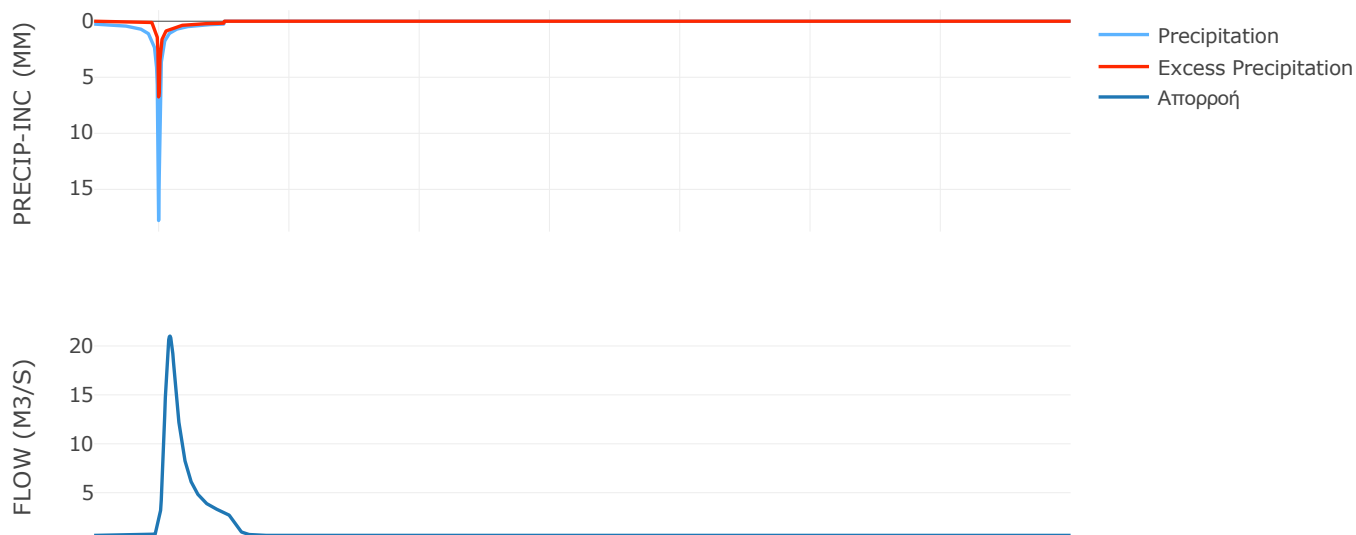
Μέθοδος
Μετασχηματισμού: SCS

Χρόνος Υστέρησης	200.89
------------------	--------

Αποτελέσματα:
EL0513FR7001

Παροχή αιχμής (M3/S)	21.01
Χρονική στιγμή αιχμής	02Sep2000, 04:00
Όγκος (MM)	141.32
Όγκος βροχόπτωσης (M3)	1.92E6
Όγκος απωλειών (M3)	1.25E6
Ενεργός Όγκος (M3)	6.75E5
Όγκος άμεσης απορροής (M3)	6.75E5
Όγκος βασικής απορροής (M3)	8.25E5

Βροχόπτωση και Απορροή



Υπολεκάνη: EL0513FR7002

Έκταση (KM2) : 36.49

Κατάντη : J2

Μέθοδος Απωλειών: SCS

Ποσοστό αδιαπέρατης επιφάνειας	0
Αριθμός Καμπύλης Απορροής-CN	44.85
Αρχικές Απώλειες	62.46

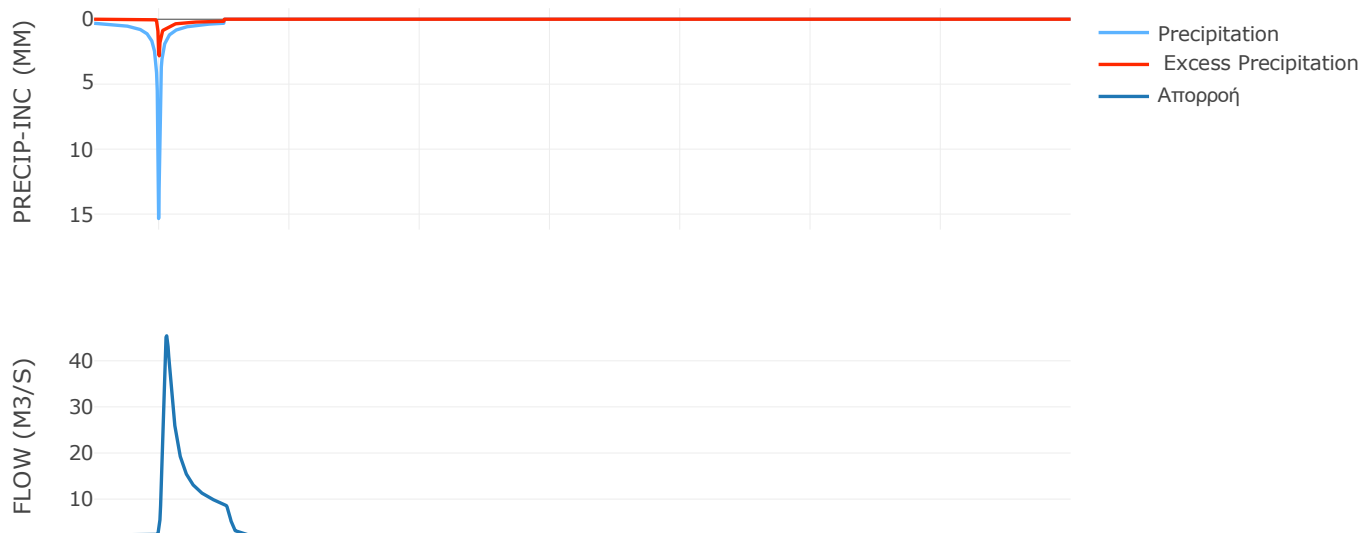
Μέθοδος
Μετασχηματισμού: SCS

Χρόνος Υστέρησης	121.53
------------------	--------

Αποτελέσματα:
EL0513FR7002

Παροχή αιχμής (M3/S)	45.42
Χρονική στιγμή αιχμής	02Sep2000, 02:45
Όγκος (MM)	115.72
Όγκος βροχόπτωσης (M3)	7E6
Όγκος απωλειών (M3)	5.62E6
Ενεργός Όγκος (M3)	1.39E6
Όγκος άμεσης απορροής (M3)	1.39E6
Όγκος βασικής απορροής (M3)	2.84E6

Βροχόπτωση και Απορροή



Υπολεκάνη: EL0513FR7003

Έκταση (KM2) : 2.15

Κατάντη : J2

Μέθοδος Απωλειών: SCS

Ποσοστό αδιαπέρατης επιφάνειας	0
Αριθμός Καμπύλης Απορροής-CN	53.95
Αρχικές Απώλειες	43.37

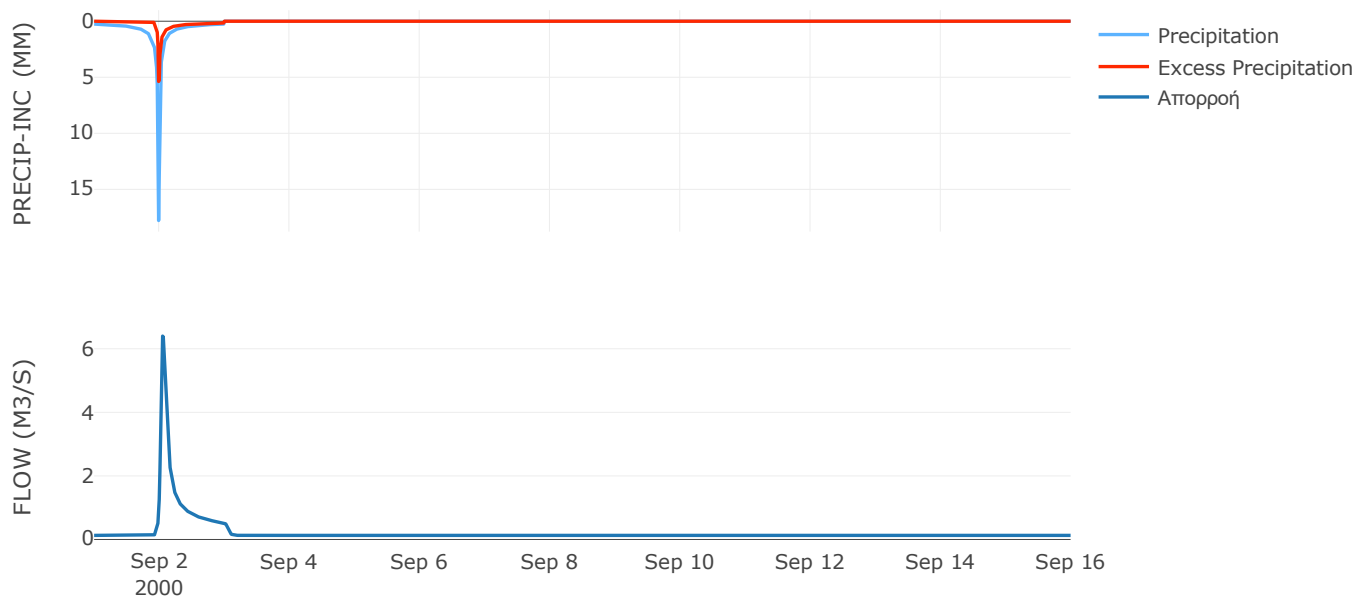
Μέθοδος
Μετασχηματισμού: SCS

Χρόνος Υστέρησης	67.85
------------------	-------

Αποτελέσματα:
EL0513FR7003

Παροχή αιχμής (M3/S)	6.4
Χρονική στιγμή αιχμής	02Sep2000, 01:15
Όγκος (MM)	131.19
Όγκος βροχόπτωσης (M3)	3.89E5
Όγκος απωλειών (M3)	2.74E5
Ενεργός Όγκος (M3)	1.15E5
Όγκος άμεσης απορροής (M3)	1.15E5
Όγκος βασικής απορροής (M3)	1.67E5

Βροχόπτωση και Απορροή



Υπολεκάνη: EL0513FR7004

Έκταση (KM2) : 11.5

Κατάνη : J15

Μέθοδος Απωλειών: SCS

Ποσοστό αδιαπέρατης επιφάνειας	0
Αριθμός Καμπύλης Απορροής-CN	39.16
Αρχικές Απώλειες	78.91

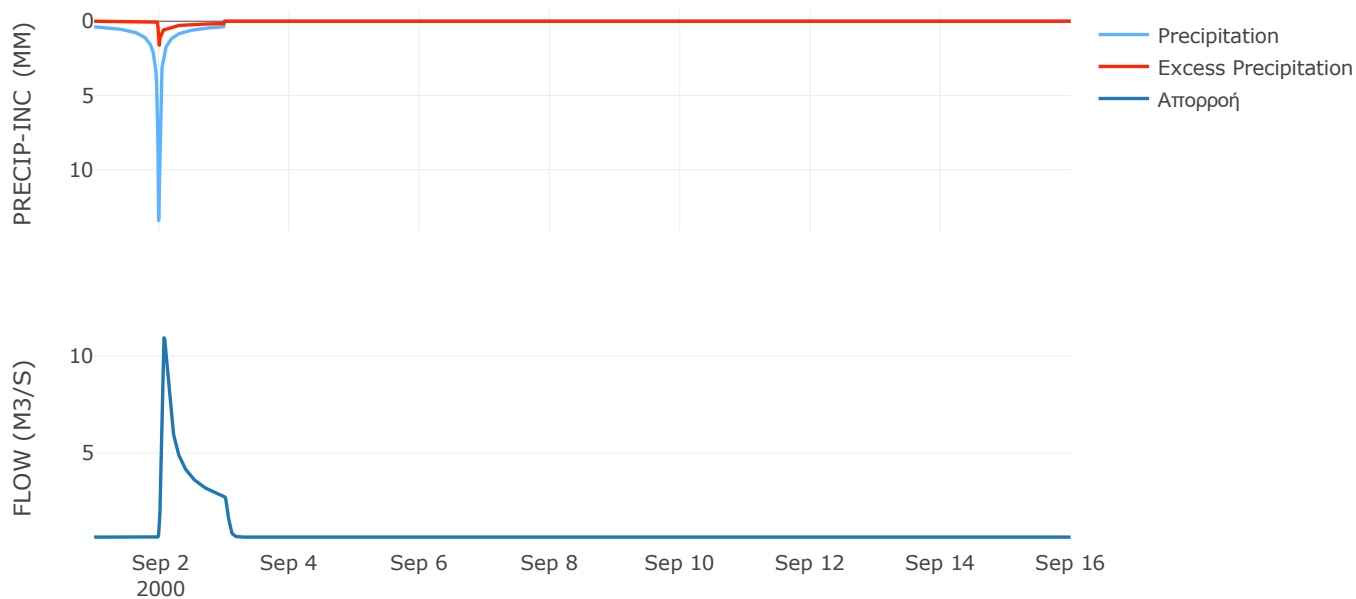
Μέθοδος
Μετασχηματισμού: SCS

Χρόνος Υστέρησης	74.84
------------------	-------

Αποτελέσματα:
EL0513FR7004

Παροχή αιχμής (M3/S)	10.93
Χρονική στιγμή αιχμής	02Sep2000, 01:45
Όγκος (MM)	107.85
Όγκος βροχόπτωσης (M3)	2.34E6
Όγκος απωλειών (M3)	2E6
Ενεργός Όγκος (M3)	3.46E5
Όγκος άμεσης απορροής (M3)	3.46E5
Όγκος βασικής απορροής (M3)	8.94E5

Βροχόπτωση και Απορροή



Υπολεκάνη: EL0513FR7005

Έκταση (KM2) : 8.16

Κατάντη : J15

Μέθοδος Απωλειών: SCS

Ποσοστό αδιαπέρατης επιφάνειας	0
Αριθμός Καμπύλης Απορροής-CN	46.18
Αρχικές Απώλειες	59.2

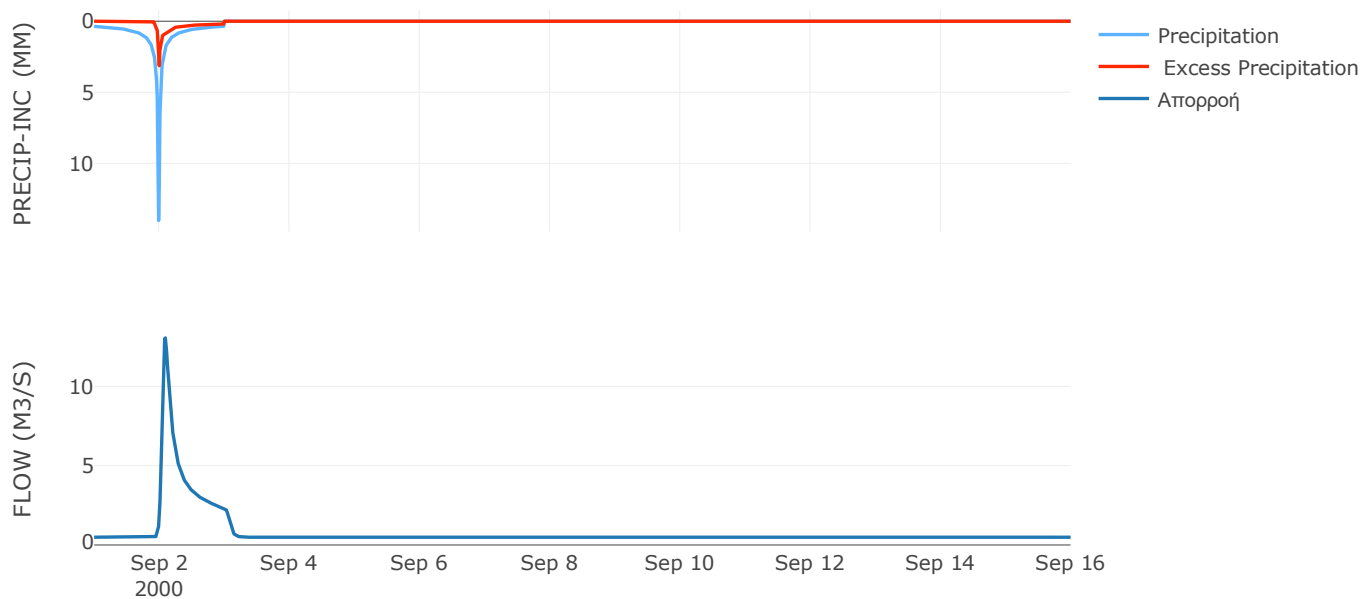
Μέθοδος
Μετασχηματισμού: SCS

Χρόνος Υστέρησης	101.15
------------------	--------

Αποτελέσματα:
EL0513FR7005

Παροχή αιχμής (M3/S)	13.06
Χρονική στιγμή αιχμής	02Sep2000, 02:15
Όγκος (MM)	123.87
Όγκος βροχόπτωσης (M3)	1.64E6
Όγκος απωλειών (M3)	1.27E6
Ενεργός Όγκος (M3)	3.76E5
Όγκος άμεσης απορροής (M3)	3.76E5
Όγκος βασικής απορροής (M3)	6.34E5

Βροχόπτωση και Απορροή



Υπολεκάνη: EL0513FR7006

Έκταση (KM2) : 47.06

Κατάντη : J16

Μέθοδος Απωλειών: SCS

Ποσοστό αδιαπέρατης επιφάνειας	0
Αριθμός Καμπύλης Απορροής-CN	30
Αρχικές Απώλειες	118.53

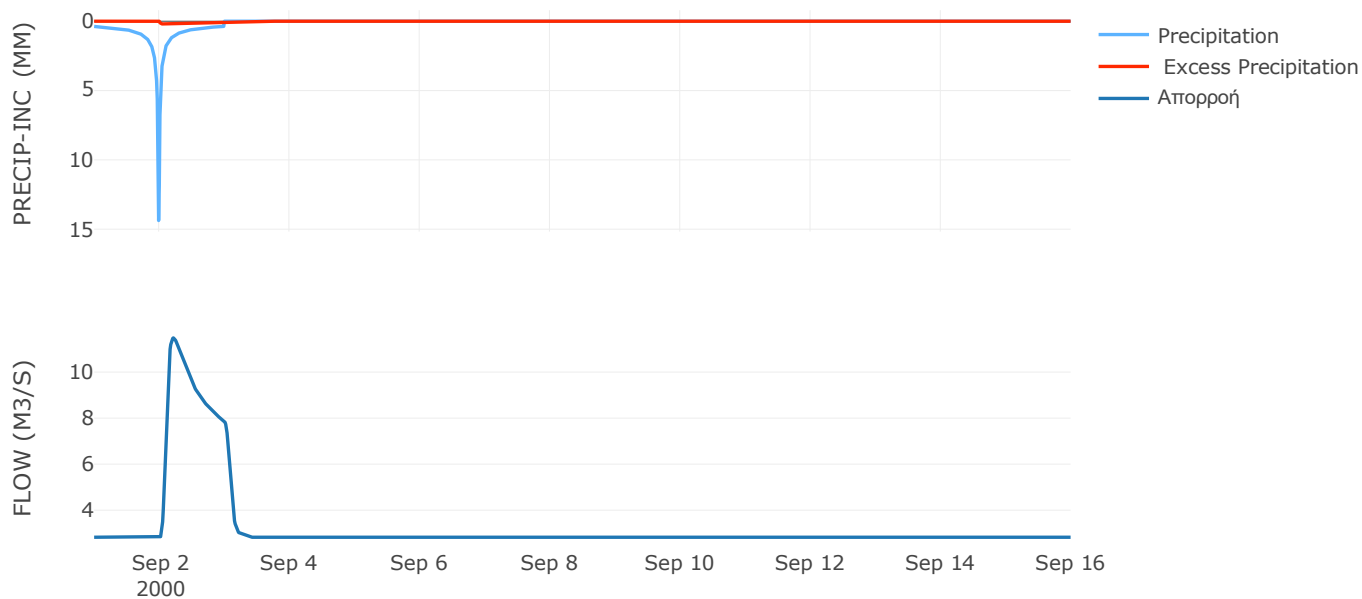
Μέθοδος
Μετασχηματισμού: SCS

Χρόνος Υστέρησης	112.86
------------------	--------

Αποτελέσματα:
EL0513FR7006

Παροχή αιχμής (M3/S)	11.48
Χρονική στιγμή αιχμής	02Sep2000, 05:15
Όγκος (MM)	89.8
Όγκος βροχόπτωσης (M3)	9.85E6
Όγκος απωλειών (M3)	9.28E6
Ενεργός Όγκος (M3)	5.67E5
Όγκος άμεσης απορροής (M3)	5.67E5
Όγκος βασικής απορροής (M3)	3.66E6

Βροχόπτωση και Απορροή



Υπολεκάνη: EL0513FR7007

Έκταση (KM2) : 2.05

Κατάνη : J15

Μέθοδος Απωλειών: SCS

Ποσοστό αδιαπέρατης επιφάνειας	0
Αριθμός Καμπύλης Απορροής-CN	60.47
Αρχικές Απώλειες	33.21

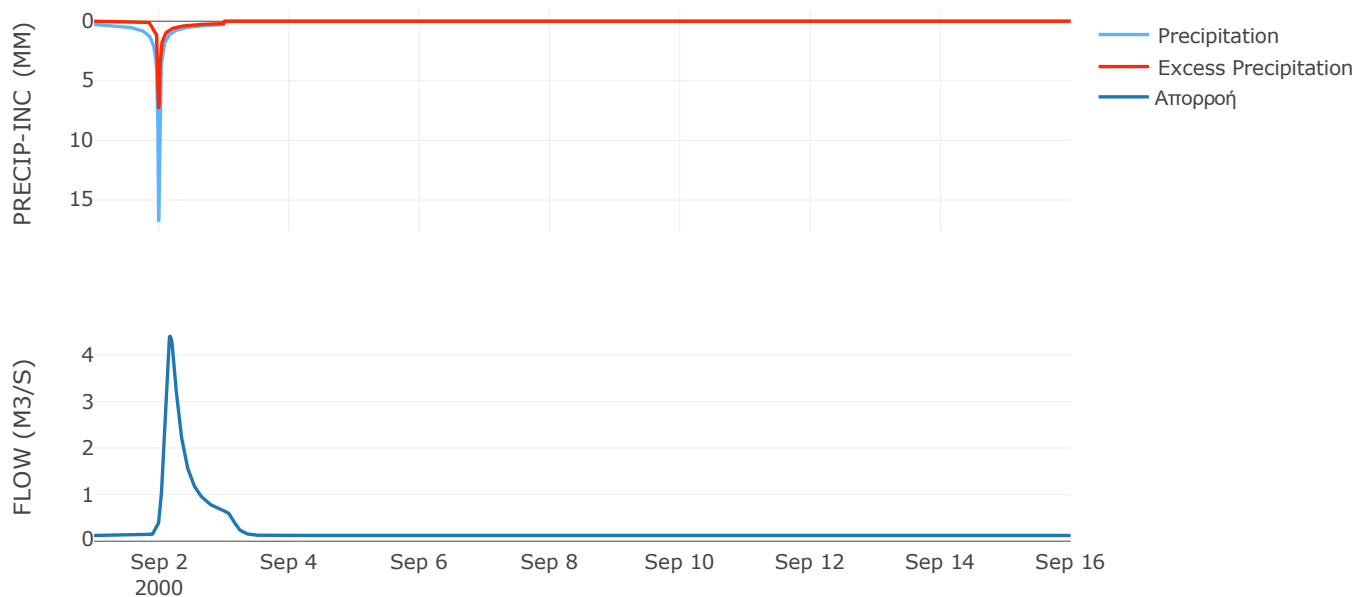
Μέθοδος
Μετασχηματισμού: SCS

Χρόνος Υστέρησης	208.35
------------------	--------

Αποτελέσματα:
EL0513FR7007

Παροχή αιχμής (M3/S)	4.4
Χρονική στιγμή αιχμής	02Sep2000, 04:00
Όγκος (MM)	149.75
Όγκος βροχόπτωσης (M3)	3.78E5
Όγκος απωλειών (M3)	2.3E5
Ενεργός Όγκος (M3)	1.48E5
Όγκος άμεσης απορροής (M3)	1.48E5
Όγκος βασικής απορροής (M3)	1.59E5

Βροχόπτωση και Απορροή



Υπολεκάνη: EL0513FR7008

Έκταση (KM2) : 8

Κατάντη : J18

Μέθοδος Απωλειών: SCS

Ποσοστό αδιαπέρατης επιφάνειας	0
Αριθμός Καμπύλης Απορροής-CN	36.66
Αρχικές Απώλειες	87.78

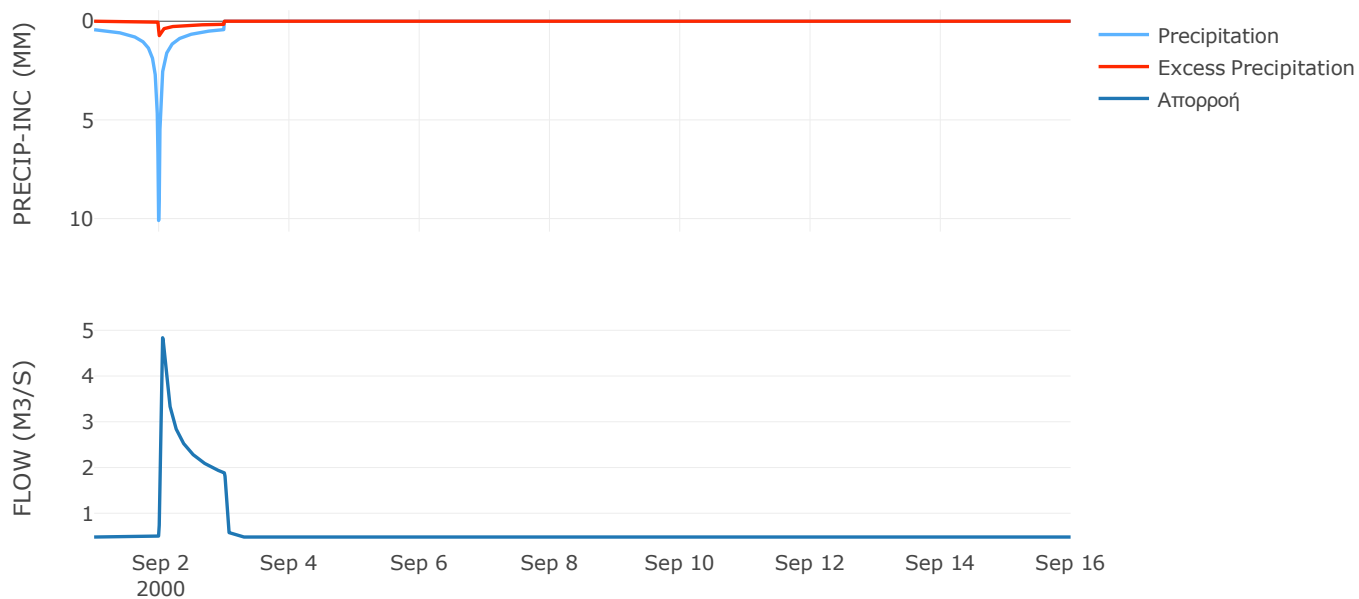
Μέθοδος
Μετασχηματισμού: SCS

Χρόνος Υστέρησης	39.97
------------------	-------

Αποτελέσματα:
EL0513FR7008

Παροχή αιχμής (M3/S)	4.84
Χρονική στιγμή αιχμής	02Sep2000, 01:15
Όγκος (MM)	100.7
Όγκος βροχόπτωσης (M3)	1.6E6
Όγκος απωλειών (M3)	1.42E6
Ενεργός Όγκος (M3)	1.84E5
Όγκος άμεσης απορροής (M3)	1.84E5
Όγκος βασικής απορροής (M3)	6.22E5

Βροχόπτωση και Απορροή



Υπολεκάνη: EL0513FR7009

Έκταση (KM2) : 25.56

Κατάνη : J17

Μέθοδος Απωλειών: SCS

Ποσοστό αδιαπέρατης επιφάνειας	0
Αριθμός Καμπύλης Απορροής-CN	37.19
Αρχικές Απώλειες	85.8

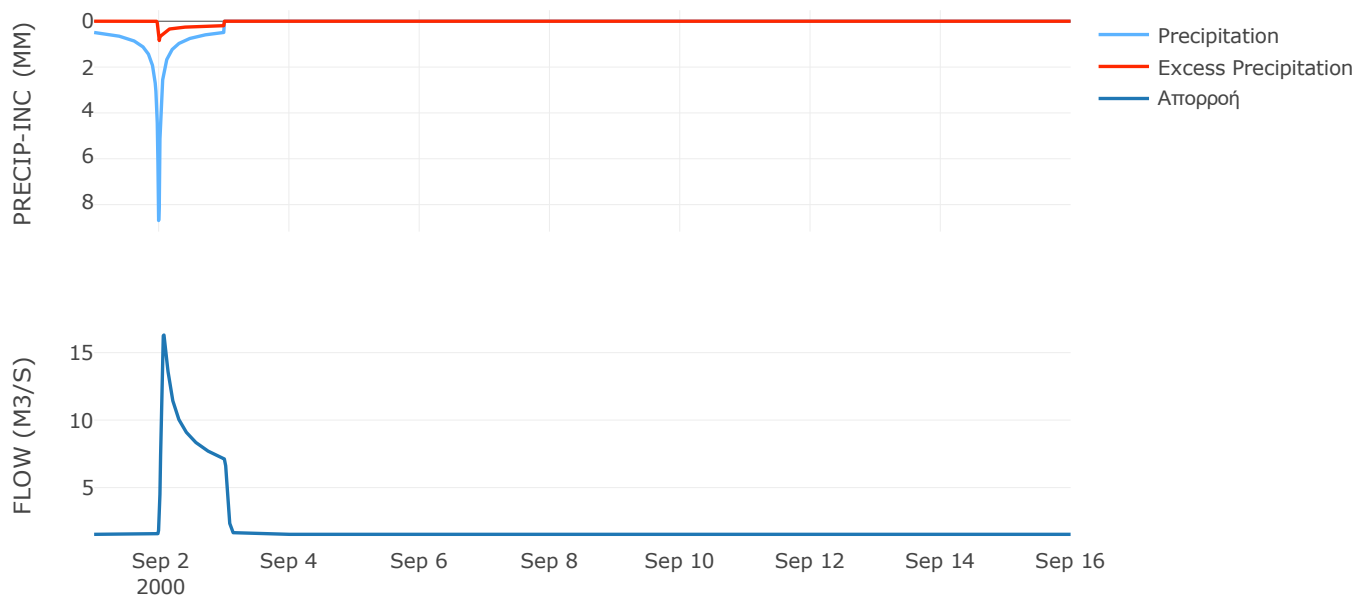
Μέθοδος
Μετασχηματισμού: SCS

Χρόνος Υστέρησης	58.87
------------------	-------

Αποτελέσματα:
EL0513FR7009

Παροχή αιχμής (M3/S)	16.3
Χρονική στιγμή αιχμής	02Sep2000, 01:45
Όγκος (MM)	105.24
Όγκος βροχόπτωσης (M3)	5.34E6
Όγκος απωλειών (M3)	4.64E6
Ενεργός Όγκος (M3)	7.02E5
Όγκος άμεσης απορροής (M3)	7.02E5
Όγκος βασικής απορροής (M3)	1.99E6

Βροχόπτωση και Απορροή



Υπολεκάνη: EL0513FR7010

Έκταση (KM2) : 14.22

Κατάντη : J3

Μέθοδος Απωλειών: SCS

Ποσοστό αδιαπέρατης επιφάνειας	0
Αριθμός Καμπύλης Απορροής-CN	42.27
Αρχικές Απώλειες	69.36

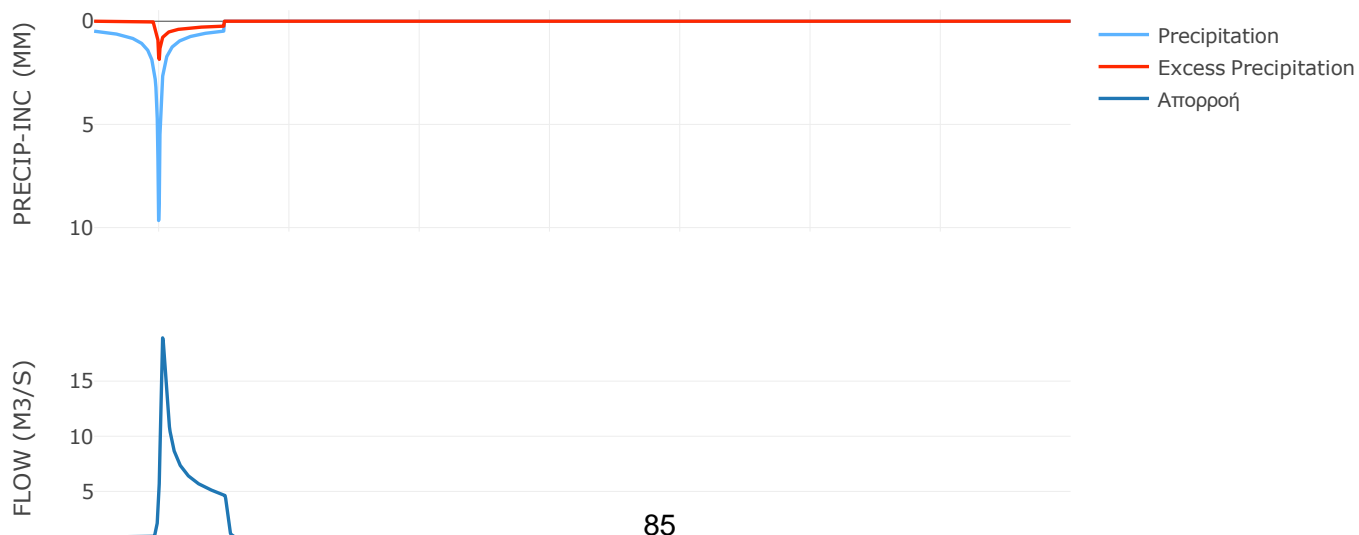
Μέθοδος
Μετασχηματισμού: SCS

Χρόνος Υστέρησης	57.53
------------------	-------

Αποτελέσματα:
EL0513FR7010

Παροχή αιχμής (M3/S)	18.93
Χρονική στιγμή αιχμής	02Sep2000, 01:15
Όγκος (MM)	120.04
Όγκος βροχόπτωσης (M3)	3.03E6
Όγκος απωλειών (M3)	2.43E6
Ενεργός Όγκος (M3)	6.01E5
Όγκος άμεσης απορροής (M3)	6.01E5
Όγκος βασικής απορροής (M3)	1.11E6

Βροχόπτωση και Απορροή



Υπολεκάνη: EL0513FR7011

Έκταση (KM2) : 27

Κατάντη : J3

Μέθοδος Απωλειών: SCS

Ποσοστό αδιαπέρατης επιφάνειας	0
Αριθμός Καμπύλης Απορροής-CN	47.85
Αρχικές Απώλειες	55.36

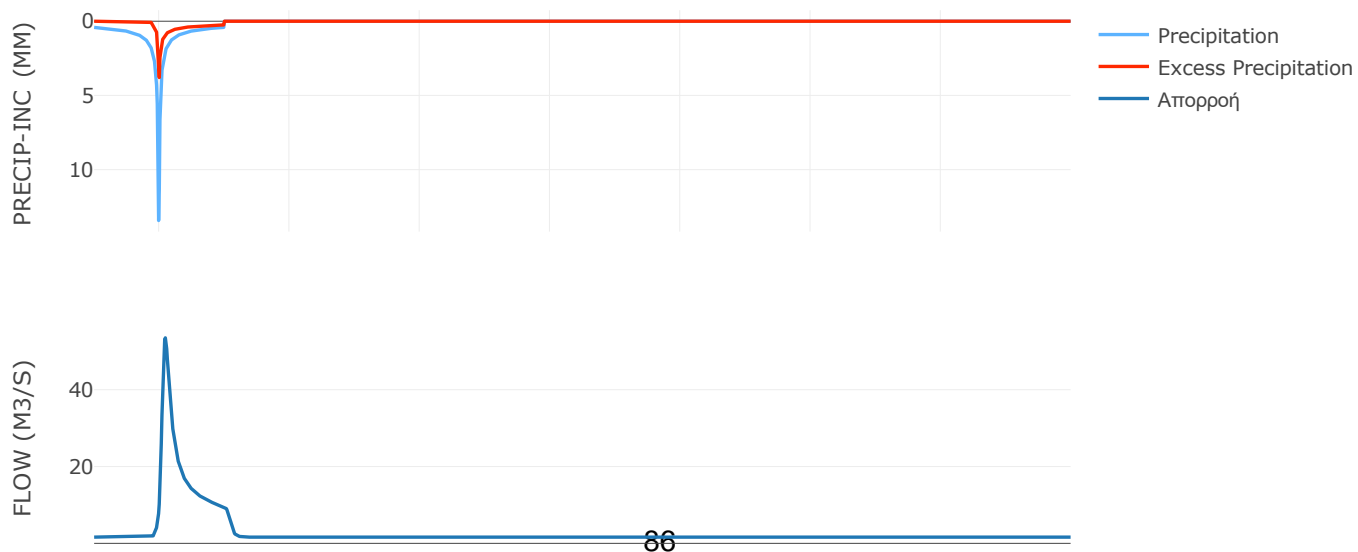
Μέθοδος
Μετασχηματισμού: SCS

Χρόνος Υστέρησης	107.94
------------------	--------

Αποτελέσματα:
EL0513FR7011

Παροχή αιχμής (M3/S)	53.5
Χρονική στιγμή αιχμής	02Sep2000, 02:15
Όγκος (MM)	137.74
Όγκος βροχόπτωσης (M3)	5.88E6
Όγκος απωλειών (M3)	4.26E6
Ενεργός Όγκος (M3)	1.62E6
Όγκος άμεσης απορροής (M3)	1.62E6
Όγκος βασικής απορροής (M3)	2.1E6

Βροχόπτωση και Απορροή



Υπολεκάνη: EL0513FR7012

Έκταση (KM2) : 36.83

Κατάντη : J14

Μέθοδος Απωλειών: SCS

Ποσοστό αδιαπέρατης επιφάνειας	0
Αριθμός Καμπύλης Απορροής-CN	47.05
Αρχικές Απώλειες	57.16

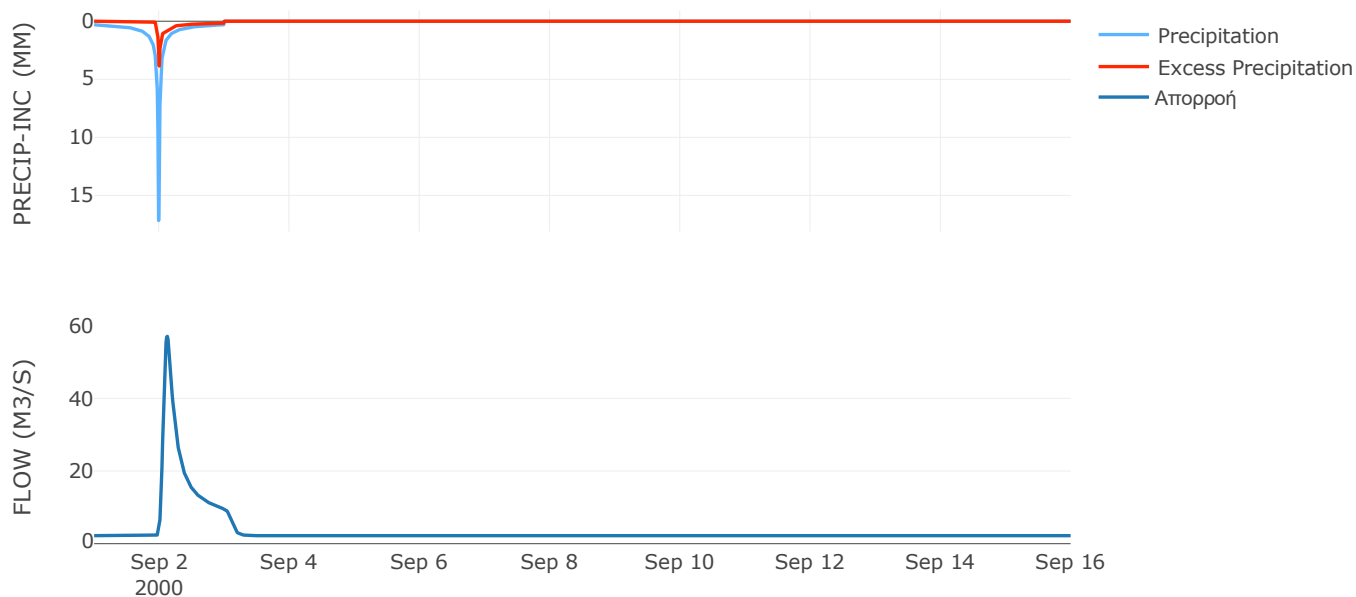
Μέθοδος
Μετασχηματισμού: SCS

Χρόνος Υστέρησης	137.55
------------------	--------

Αποτελέσματα:
EL0513FR7012

Παροχή αιχμής (M3/S)	57.08
Χρονική στιγμή αιχμής	02Sep2000, 03:00
Όγκος (MM)	123.69
Όγκος βροχόπτωσης (M3)	7.25E6
Όγκος απωλειών (M3)	5.56E6
Ενεργός Όγκος (M3)	1.69E6
Όγκος άμεσης απορροής (M3)	1.69E6
Όγκος βασικής απορροής (M3)	2.86E6

Βροχόπτωση και Απορροή



Υπολεκάνη: EL0513FR7013

Έκταση (KM2) : 10.56

Κατάντη : J6

Μέθοδος Απωλειών: SCS

Ποσοστό αδιαπέρατης επιφάνειας	0
Αριθμός Καμπύλης Απορροής-CN	52.69
Αρχικές Απώλειες	45.62

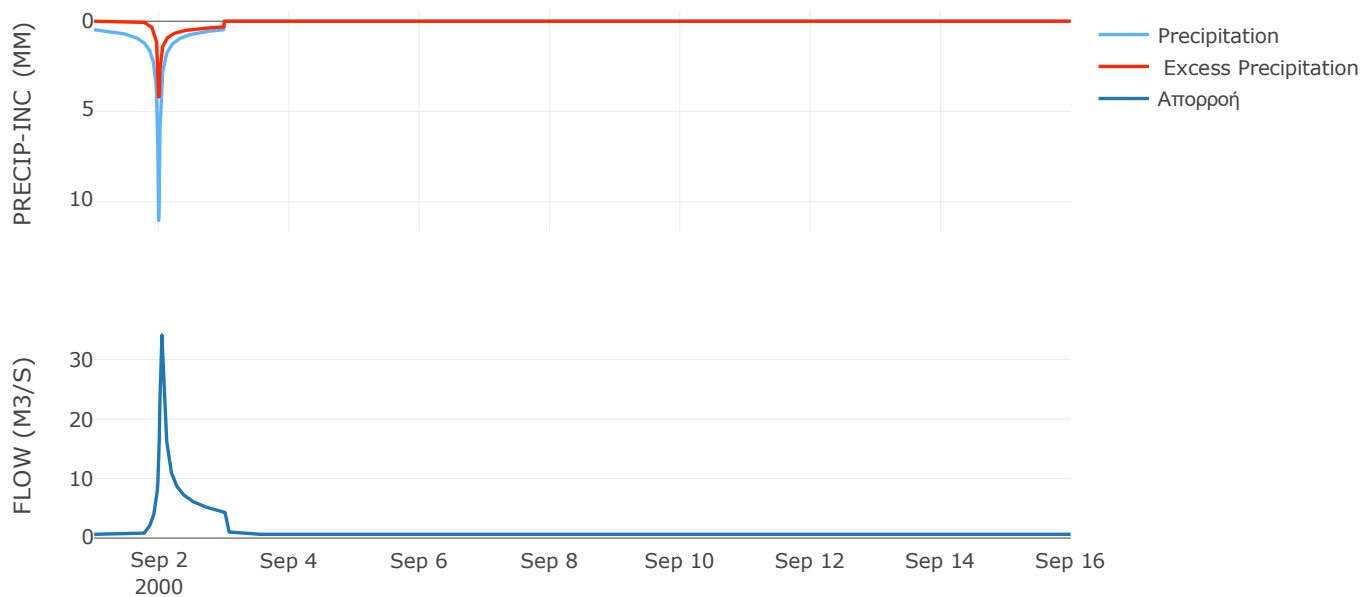
Μέθοδος
Μετασχηματισμού: SCS

Χρόνος Υστέρησης	45.09
------------------	-------

Αποτελέσματα:
EL0513FR7013

Παροχή αιχμής (M3/S)	34.11
Χρονική στιγμή αιχμής	02Sep2000, 01:00
Όγκος (MM)	153.51
Όγκος βροχόπτωσης (M3)	2.33E6
Όγκος απωλειών (M3)	1.53E6
Ενεργός Όγκος (M3)	8E5
Όγκος άμεσης απορροής (M3)	8E5
Όγκος βασικής απορροής (M3)	8.21E5

Βροχόπτωση και Απορροή



Υπολεκάνη: EL0513FR7014

Έκταση (KM2) : 22.48

Κατάντη : J5

Μέθοδος Απωλειών: SCS

Ποσοστό αδιαπέρατης επιφάνειας	0
Αριθμός Καμπύλης Απορροής-CN	30.34
Αρχικές Απώλειες	116.66

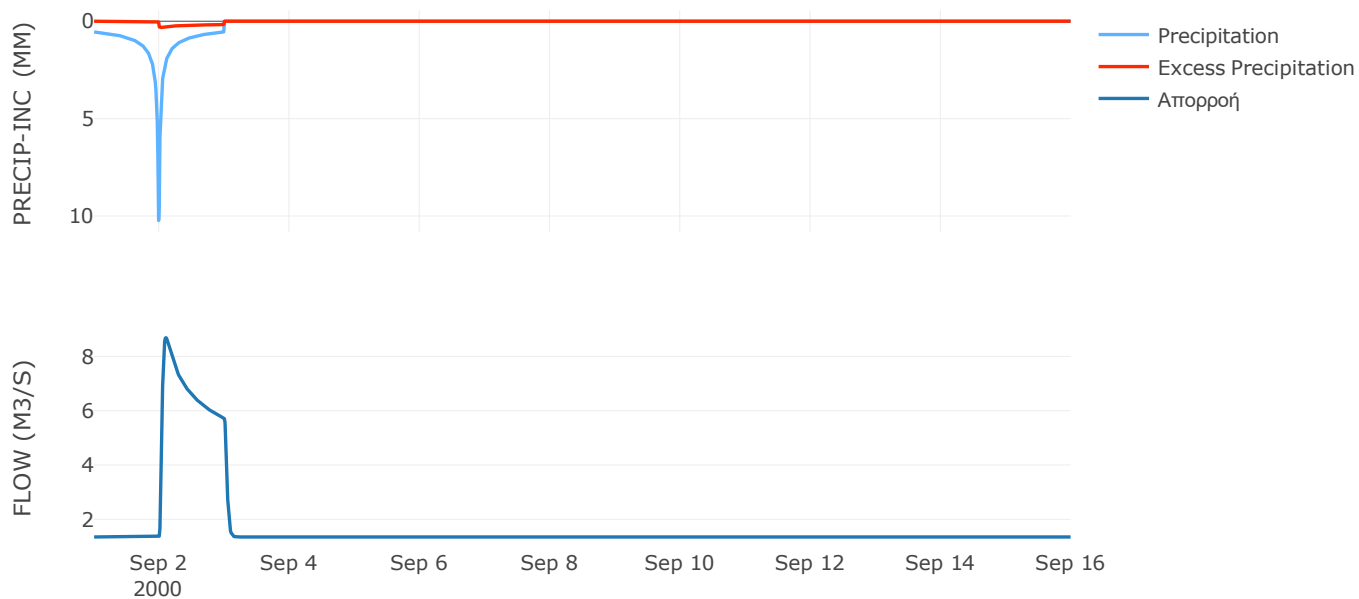
Μέθοδος
Μετασχηματισμού: SCS

Χρόνος Υστέρησης	49.26
------------------	-------

Αποτελέσματα:
EL0513FR7014

Παροχή αιχμής (M3/S)	8.69
Χρονική στιγμή αιχμής	02Sep2000, 02:30
Όγκος (MM)	98.73
Όγκος βροχόπτωσης (M3)	5.35E6
Όγκος απωλειών (M3)	4.88E6
Ενεργός Όγκος (M3)	4.71E5
Όγκος άμεσης απορροής (M3)	4.71E5
Όγκος βασικής απορροής (M3)	1.75E6

Βροχόπτωση και Απορροή



Υπολεκάνη: EL0513FR7015

Έκταση (KM2) : 54.51

Κατάντη : J6

Μέθοδος Απωλειών: SCS

Ποσοστό αδιαπέρατης επιφάνειας	0
Αριθμός Καμπύλης Απορροής-CN	43.13
Αρχικές Απώλειες	66.98

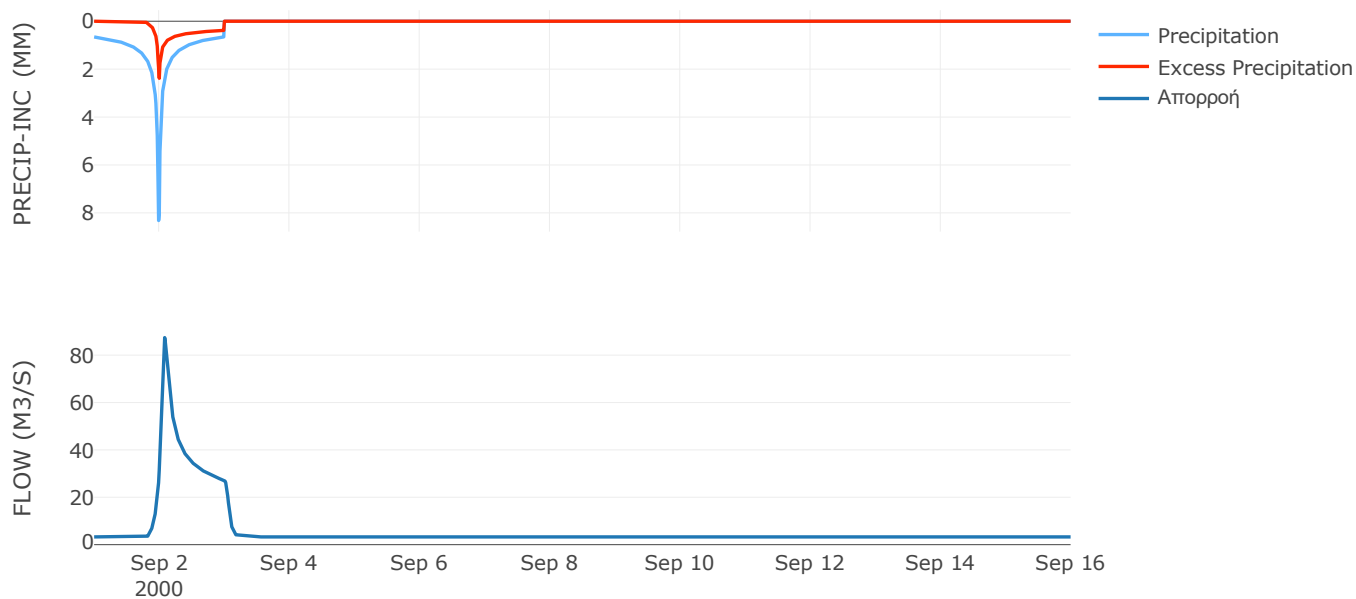
Μέθοδος
Μετασχηματισμού: SCS

Χρόνος Υστέρησης	88.93
------------------	-------

Αποτελέσματα:
EL0513FR7015

Παροχή αιχμής (M3/S)	87.4
Χρονική στιγμή αιχμής	02Sep2000, 02:00
Όγκος (MM)	143.63
Όγκος βροχόπτωσης (M3)	1.37E7
Όγκος απωλειών (M3)	1.01E7
Ενεργός Όγκος (M3)	3.59E6
Όγκος άμεσης απορροής (M3)	3.59E6
Όγκος βασικής απορροής (M3)	4.24E6

Βροχόπτωση και Απορροή



Υπολεκάνη: EL0513FR7016

Έκταση (KM2) : 13.52

Κατάντη : J4

Μέθοδος Απωλειών: SCS

Ποσοστό αδιαπέρατης επιφάνειας	0
Αριθμός Καμπύλης Απορροής-CN	30
Αρχικές Απώλειες	118.53

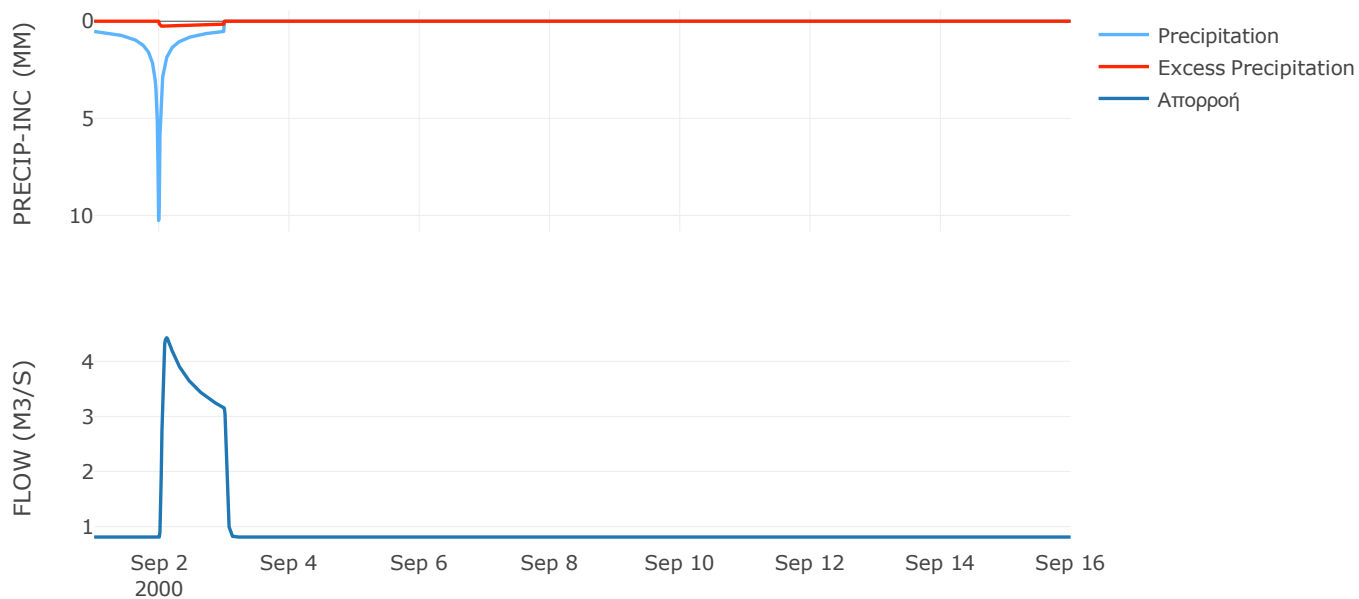
Μέθοδος
Μετασχηματισμού: SCS

Χρόνος Υστέρησης	41.64
------------------	-------

Αποτελέσματα:
EL0513FR7016

Παροχή αιχμής (M3/S)	4.43
Χρονική στιγμή αιχμής	02Sep2000, 02:45
Όγκος (MM)	95.84
Όγκος βροχόπτωσης (M3)	3.13E6
Όγκος απωλειών (M3)	2.88E6
Ενεργός Όγκος (M3)	2.44E5
Όγκος άμεσης απορροής (M3)	2.44E5
Όγκος βασικής απορροής (M3)	1.05E6

Βροχόπτωση και Απορροή



Υπολεκάνη: EL0513FR7017

Έκταση (KM2) : 45.33

Κατάντη : J5

Μέθοδος Απωλειών: SCS

Ποσοστό αδιαπέρατης επιφάνειας	0
Αριθμός Καμπύλης Απορροής-CN	30
Αρχικές Απώλειες	118.53

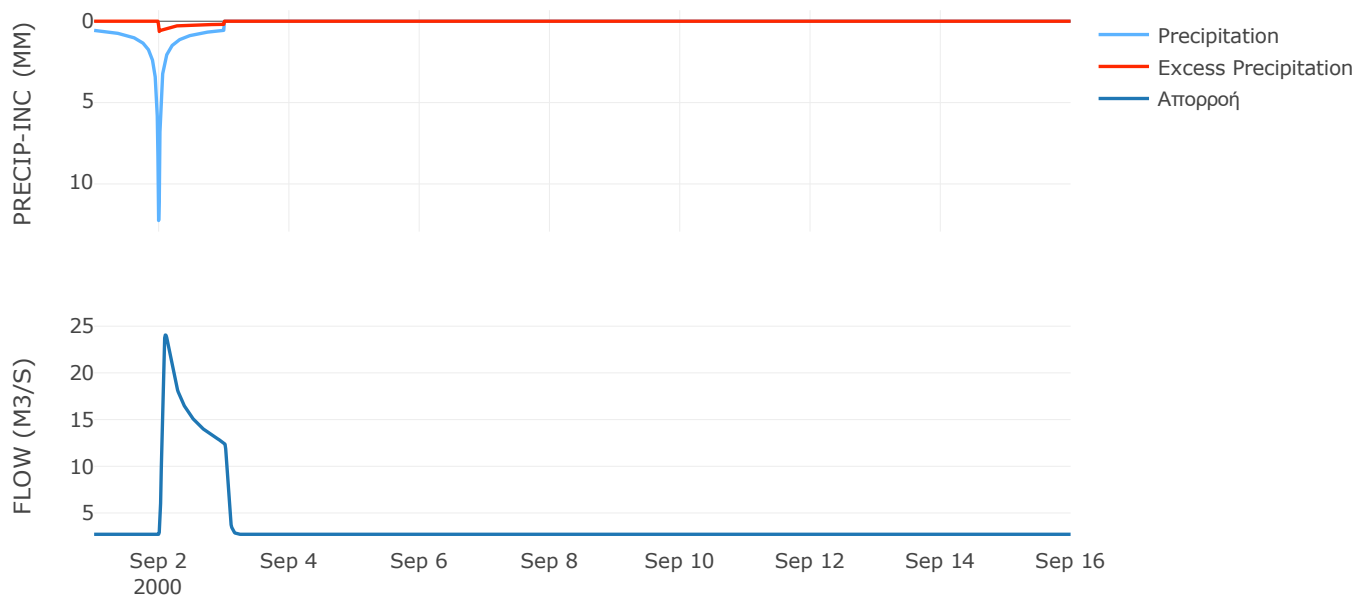
Μέθοδος
Μετασχηματισμού: SCS

Χρόνος Υστέρησης	66.6
------------------	------

Αποτελέσματα:
EL0513FR7017

Παροχή αιχμής (M3/S)	24.06
Χρονική στιγμή αιχμής	02Sep2000, 02:15
Όγκος (MM)	103.78
Όγκος βροχόπτωσης (M3)	1.16E7
Όγκος απωλειών (M3)	1.04E7
Ενεργός Όγκος (M3)	1.18E6
Όγκος άμεσης απορροής (M3)	1.18E6
Όγκος βασικής απορροής (M3)	3.53E6

Βροχόπτωση και Απορροή



Υπολεκάνη: EL0513FR7018

Έκταση (KM2) : 32.48

Κατάντη : J10

Μέθοδος Απωλειών: SCS

Ποσοστό αδιαπέρατης επιφάνειας	0
Αριθμός Καμπύλης Απορροής-CN	32.62
Αρχικές Απώλειες	104.95

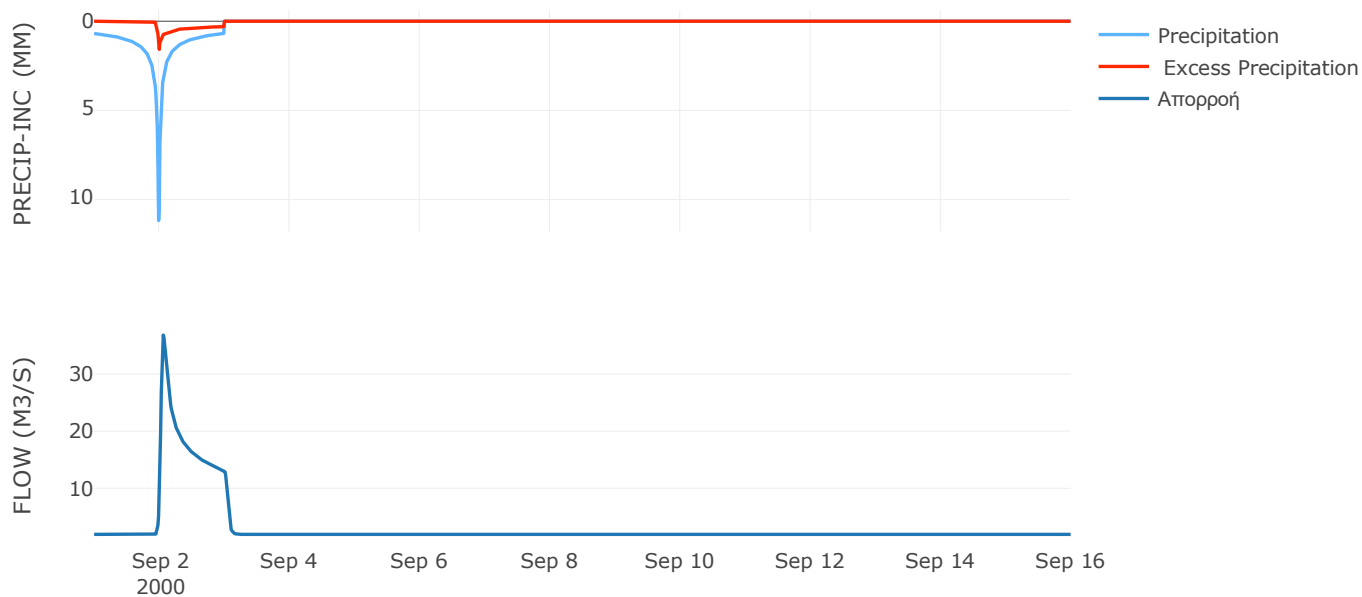
Μέθοδος
Μετασχηματισμού: SCS

Χρόνος Υστέρησης	62.13
------------------	-------

Αποτελέσματα:
EL0513FR7018

Παροχή αιχμής (M3/S)	36.8
Χρονική στιγμή αιχμής	02Sep2000, 01:30
Όγκος (MM)	123.59
Όγκος βροχόπτωσης (M3)	9.25E6
Όγκος απωλειών (M3)	7.76E6
Ενεργός Όγκος (M3)	1.49E6
Όγκος άμεσης απορροής (M3)	1.49E6
Όγκος βασικής απορροής (M3)	2.53E6

Βροχόπτωση και Απορροή



Υπολεκάνη: EL0513FR7019

Έκταση (KM2) : 40.09

Κατάντη : J12

Μέθοδος Απωλειών: SCS

Ποσοστό αδιαπέρατης επιφάνειας	0
Αριθμός Καμπύλης Απορροής-CN	45.56
Αρχικές Απώλειες	60.69

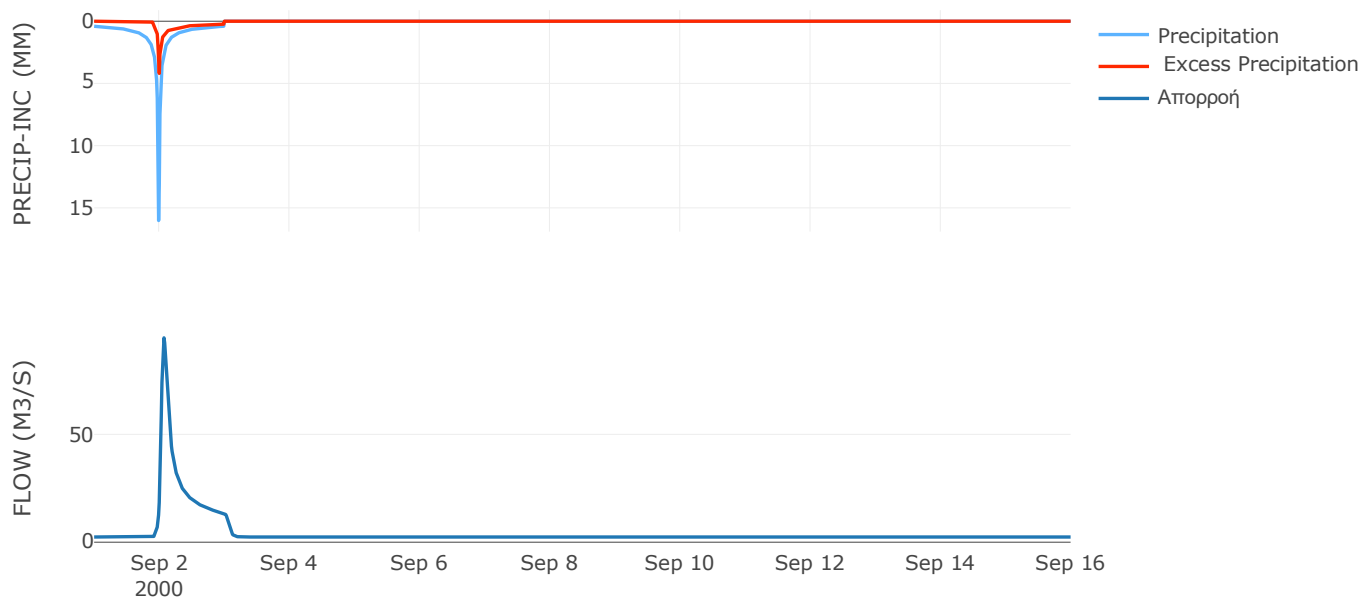
Μέθοδος
Μετασχηματισμού: SCS

Χρόνος Υστέρησης	83.55
------------------	-------

Αποτελέσματα:
EL0513FR7019

Παροχή αιχμής (M3/S)	94.77
Χρονική στιγμή αιχμής	02Sep2000, 01:45
Όγκος (MM)	137.41
Όγκος βροχόπτωσης (M3)	9.15E6
Όγκος απωλειών (M3)	6.76E6
Ενεργός Όγκος (M3)	2.39E6
Όγκος άμεσης απορροής (M3)	2.39E6
Όγκος βασικής απορροής (M3)	3.12E6

Βροχόπτωση και Απορροή



Υπολεκάνη: EL0513FR7020

Έκταση (KM2) : 21.52

Κατάνη : J11

Μέθοδος Απωλειών: SCS

Ποσοστό αδιαπέρατης επιφάνειας	0
Αριθμός Καμπύλης Απορροής-CN	38.61
Αρχικές Απώλειες	80.78

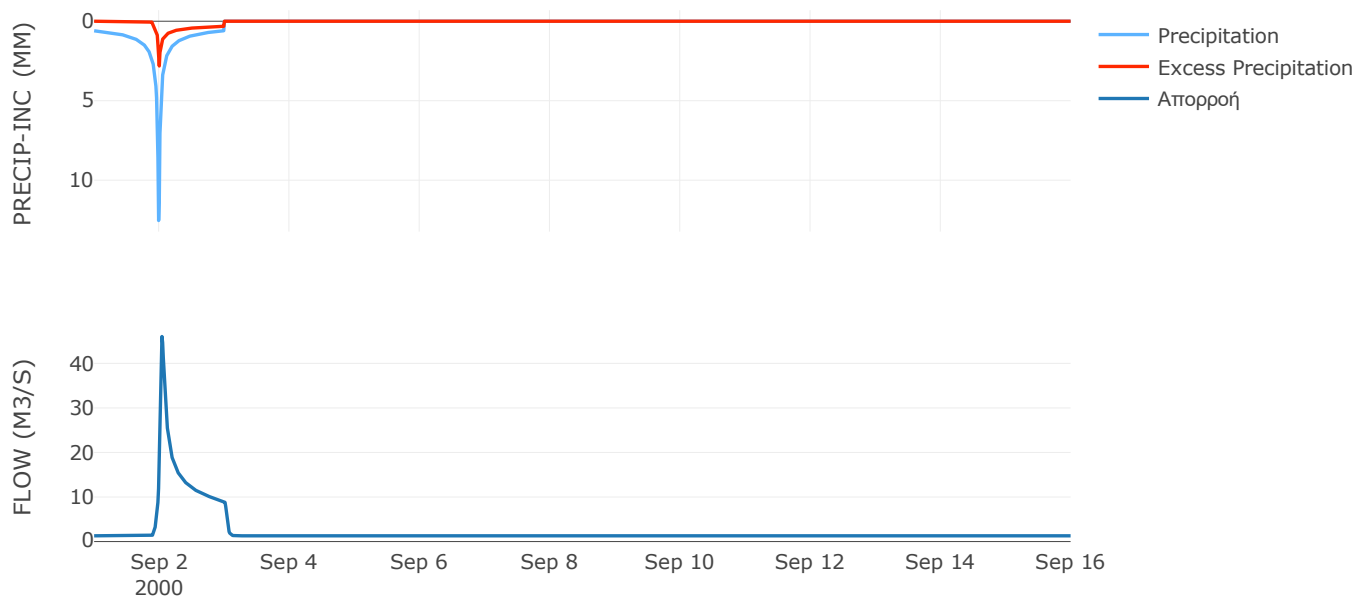
Μέθοδος
Μετασχηματισμού: SCS

Χρόνος Υστέρησης	47.85
------------------	-------

Αποτελέσματα:
EL0513FR7020

Παροχή αιχμής (M3/S)	46.04
Χρονική στιγμή αιχμής	02Sep2000, 01:00
Όγκος (MM)	138
Όγκος βροχόπτωσης (M3)	5.8E6
Όγκος απωλειών (M3)	4.51E6
Ενεργός Όγκος (M3)	1.3E6
Όγκος άμεσης απορροής (M3)	1.3E6
Όγκος βασικής απορροής (M3)	1.67E6

Βροχόπτωση και Απορροή



Υπολεκάνη: EL0513FR7021

Έκταση (KM2) : 23.01

Κατάντη : J12

Μέθοδος Απωλειών: SCS

Ποσοστό αδιαπέρατης επιφάνειας	0
Αριθμός Καμπύλης Απορροής-CN	34.9
Αρχικές Απώλειες	94.78

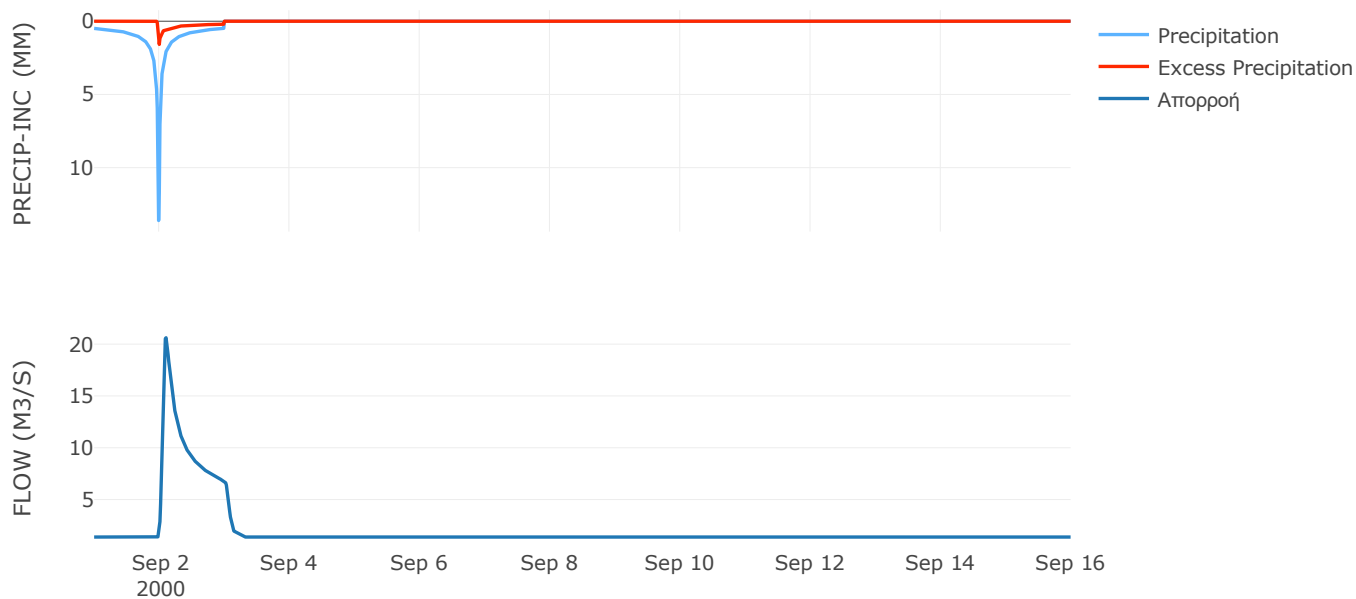
Μέθοδος
Μετασχηματισμού: SCS

Χρόνος Υστέρησης	95.97
------------------	-------

Αποτελέσματα:
EL0513FR7021

Παροχή αιχμής (M3/S)	20.62
Χρονική στιγμή αιχμής	02Sep2000, 02:30
Όγκος (MM)	112.86
Όγκος βροχόπτωσης (M3)	5.58E6
Όγκος απωλειών (M3)	4.77E6
Ενεργός Όγκος (M3)	8.08E5
Όγκος άμεσης απορροής (M3)	8.08E5
Όγκος βασικής απορροής (M3)	1.79E6

Βροχόπτωση και Απορροή



Υπολεκάνη: EL0513FR7022

Έκταση (KM2) : 10.49

Κατάνη : J10

Μέθοδος Απωλειών: SCS

Ποσοστό αδιαπέρατης επιφάνειας	0
Αριθμός Καμπύλης Απορροής-CN	38.35
Αρχικές Απώλειες	81.65

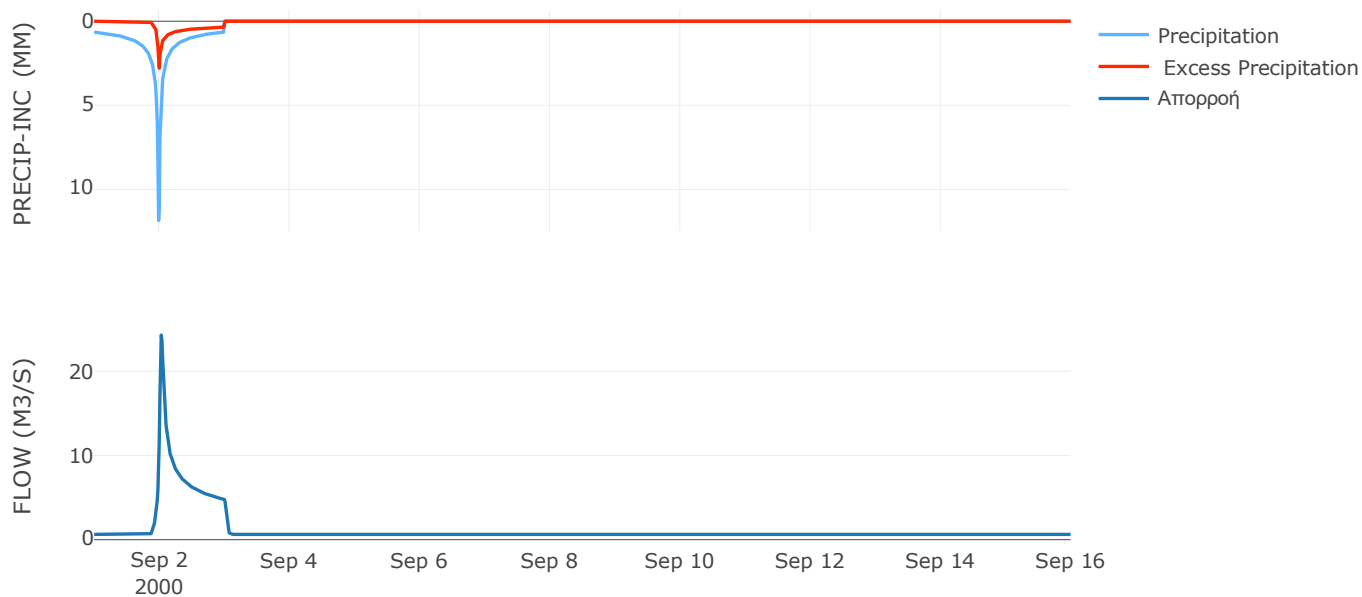
Μέθοδος
Μετασχηματισμού: SCS

Χρόνος Υστέρησης	37.55
------------------	-------

Αποτελέσματα:
EL0513FR7022

Παροχή αιχμής (M3/S)	24.29
Χρονική στιγμή αιχμής	02Sep2000, 00:45
Όγκος (MM)	141.9
Όγκος βροχόπτωσης (M3)	2.92E6
Όγκος απωλειών (M3)	2.25E6
Ενεργός Όγκος (M3)	6.73E5
Όγκος άμεσης απορροής (M3)	6.73E5
Όγκος βασικής απορροής (M3)	8.16E5

Βροχόπτωση και Απορροή



Υπολεκάνη: EL0513FR7023

Έκταση (KM2) : 25.04

Κατάντη : J8

Μέθοδος Απωλειών: SCS

Ποσοστό αδιαπέρατης επιφάνειας	0
Αριθμός Καμπύλης Απορροής-CN	45.76
Αρχικές Απώλειες	60.21

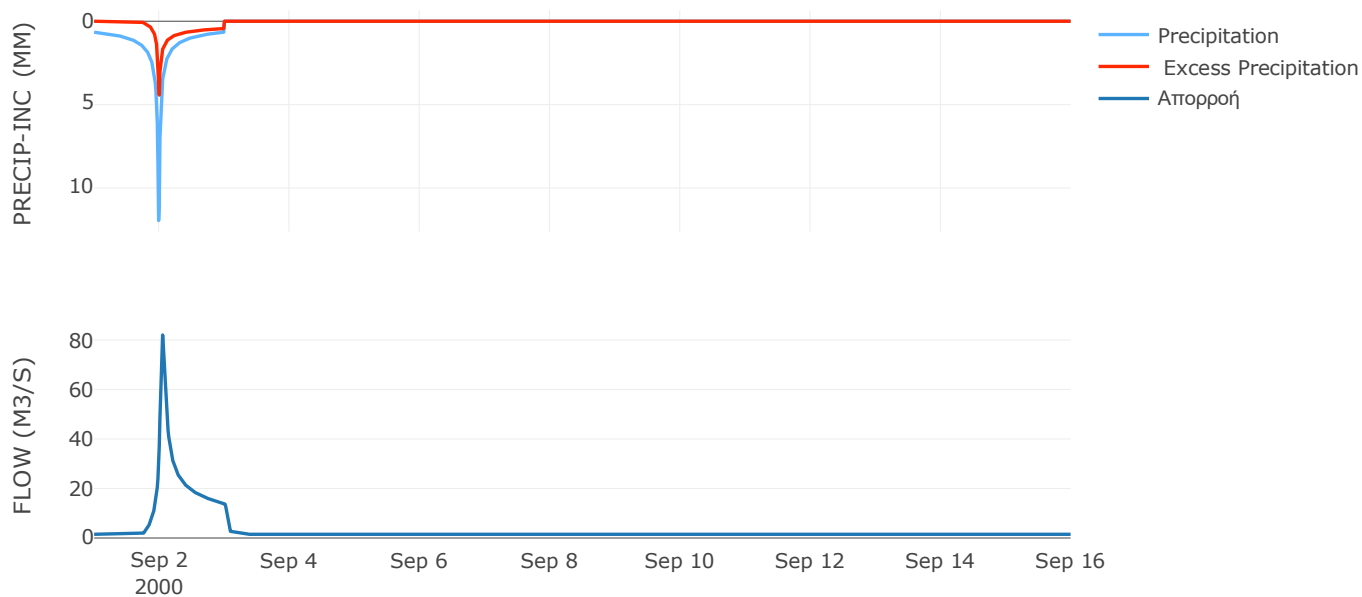
Μέθοδος
Μετασχηματισμού: SCS

Χρόνος Υστέρησης	58.1
------------------	------

Αποτελέσματα:
EL0513FR7023

Παροχή αιχμής (M3/S)	82.02
Χρονική στιγμή αιχμής	02Sep2000, 01:15
Όγκος (MM)	172.29
Όγκος βροχόπτωσης (M3)	7.08E6
Όγκος απωλειών (M3)	4.71E6
Ενεργός Όγκος (M3)	2.37E6
Όγκος άμεσης απορροής (M3)	2.37E6
Όγκος βασικής απορροής (M3)	1.95E6

Βροχόπτωση και Απορροή



Υπολεκάνη: EL0513FR7024

Έκταση (KM2) : 52.1

Κατάντη : J7

Μέθοδος Απωλειών: SCS

Ποσοστό αδιαπέρατης επιφάνειας	0
Αριθμός Καμπύλης Απορροής-CN	44.95
Αρχικές Απώλειες	62.23

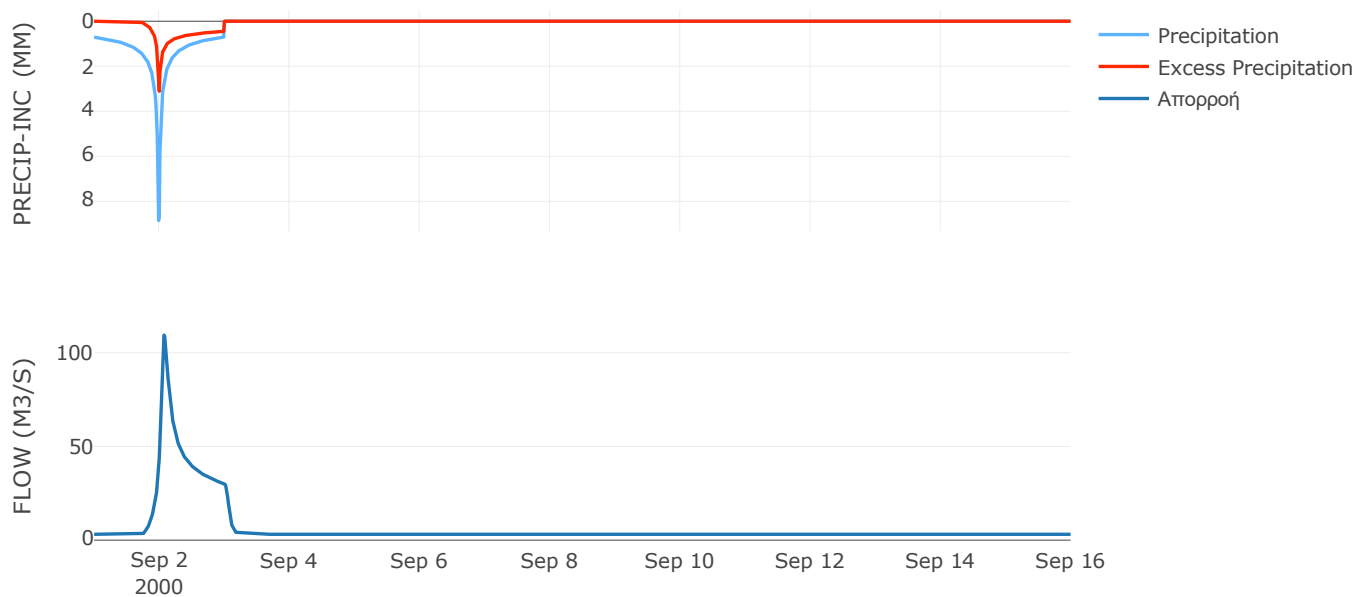
Μέθοδος
Μετασχηματισμού: SCS

Χρόνος Υστέρησης	89.52
------------------	-------

Αποτελέσματα:
EL0513FR7024

Παροχή αιχμής (M3/S)	109.41
Χρονική στιγμή αιχμής	02Sep2000, 01:45
Όγκος (MM)	161.41
Όγκος βροχόπτωσης (M3)	1.41E7
Όγκος απωλειών (M3)	9.75E6
Ενεργός Όγκος (M3)	4.36E6
Όγκος άμεσης απορροής (M3)	4.36E6
Όγκος βασικής απορροής (M3)	4.05E6

Βροχόπτωση και Απορροή



Υπολεκάνη: EL0513FR7025

Έκταση (KM2) : 25.4

Κατάντη : J7

Μέθοδος Απωλειών: SCS

Ποσοστό αδιαπέρατης επιφάνειας	0
Αριθμός Καμπύλης Απορροής-CN	54.06
Αρχικές Απώλειες	43.18

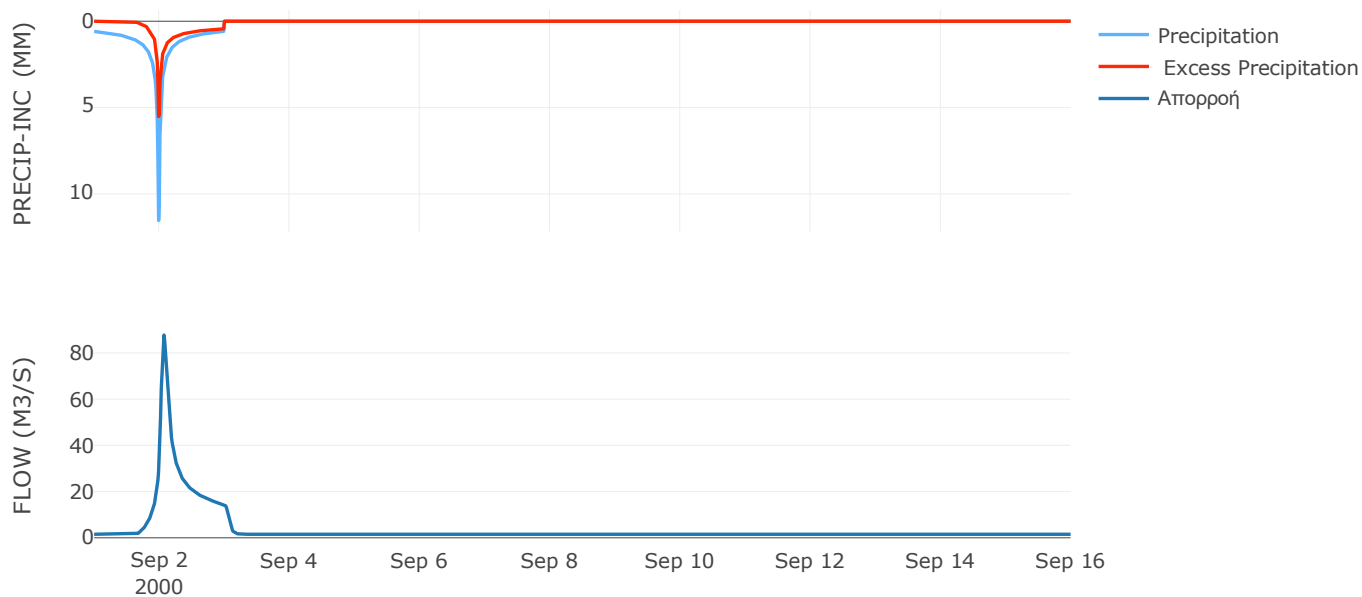
Μέθοδος
Μετασχηματισμού: SCS

Χρόνος Υστέρησης	86.7
------------------	------

Αποτελέσματα:
EL0513FR7025

Παροχή αιχμής (M3/S)	87.79
Χρονική στιγμή αιχμής	02Sep2000, 01:45
Όγκος (MM)	185.49
Όγκος βροχόπτωσης (M3)	6.57E6
Όγκος απωλειών (M3)	3.84E6
Ενεργός Όγκος (M3)	2.74E6
Όγκος άμεσης απορροής (M3)	2.74E6
Όγκος βασικής απορροής (M3)	1.97E6

Βροχόπτωση και Απορροή



Υπολεκάνη: EL0513FR7026

Έκταση (KM2) : 15.52

Κατάντη : J9

Μέθοδος Απωλειών: SCS

Ποσοστό αδιαπέρατης επιφάνειας	0
Αριθμός Καμπύλης Απορροής-CN	64.2
Αρχικές Απώλειες	28.32

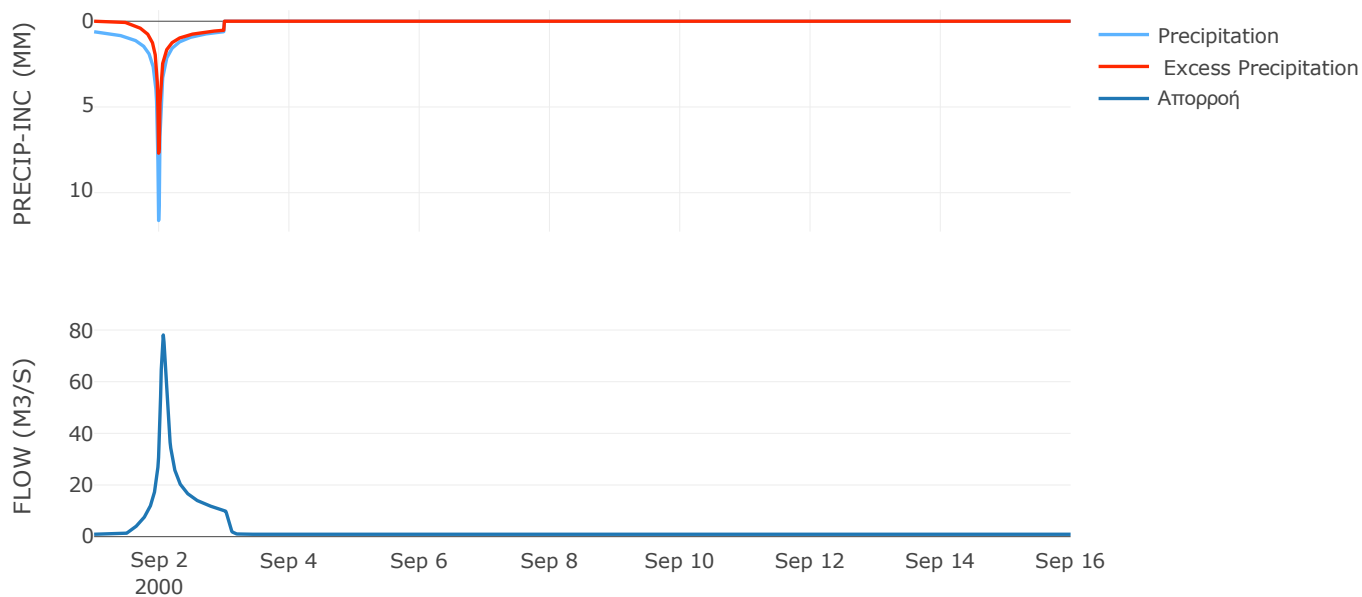
Μέθοδος
Μετασχηματισμού: SCS

Χρόνος Υστέρησης	77.31
------------------	-------

Αποτελέσματα:
EL0513FR7026

Παροχή αιχμής (M3/S)	78.1
Χρονική στιγμή αιχμής	02Sep2000, 01:30
Όγκος (MM)	227.77
Όγκος βροχόπτωσης (M3)	4.15E6
Όγκος απωλειών (M3)	1.82E6
Ενεργός Όγκος (M3)	2.33E6
Όγκος άμεσης απορροής (M3)	2.33E6
Όγκος βασικής απορροής (M3)	1.21E6

Βροχόπτωση και Απορροή



Υπολεκάνη: EL0513FR7027

Έκταση (KM2) : 34.03

Κατάντη : J9

Μέθοδος Απωλειών: SCS

Ποσοστό αδιαπέρατης επιφάνειας	0
Αριθμός Καμπύλης Απορροής-CN	46.76
Αρχικές Απώλειες	57.85

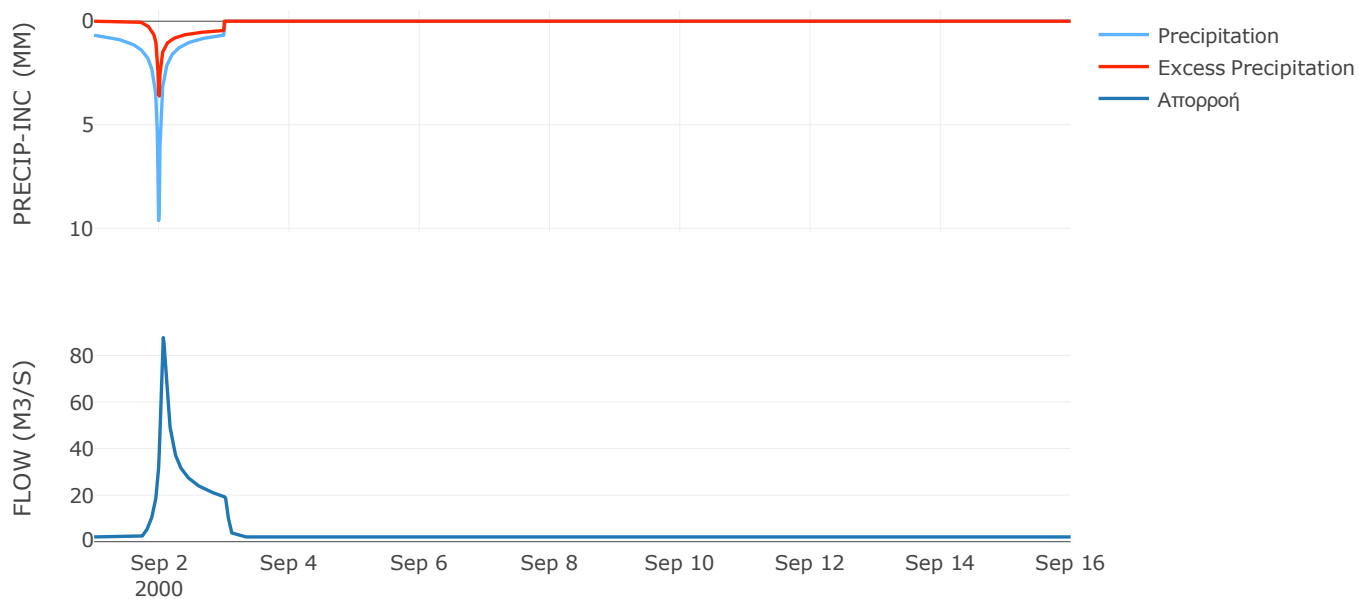
Μέθοδος
Μετασχηματισμού: SCS

Χρόνος Υστέρησης	72.72
------------------	-------

Αποτελέσματα:
EL0513FR7027

Παροχή αιχμής (M3/S)	87.63
Χρονική στιγμή αιχμής	02Sep2000, 01:30
Όγκος (MM)	166.85
Όγκος βροχόπτωσης (M3)	9.15E6
Όγκος απωλειών (M3)	6.12E6
Ενεργός Όγκος (M3)	3.03E6
Όγκος άμεσης απορροής (M3)	3.03E6
Όγκος βασικής απορροής (M3)	2.65E6

Βροχόπτωση και Απορροή



Υπολεκάνη: EL0513FR7028

Έκταση (KM2) : 71.91

Κατάντη : J13

Μέθοδος Απωλειών: SCS

Ποσοστό αδιαπέρατης επιφάνειας	0
Αριθμός Καμπύλης Απορροής-CN	45.15
Αρχικές Απώλειες	61.72

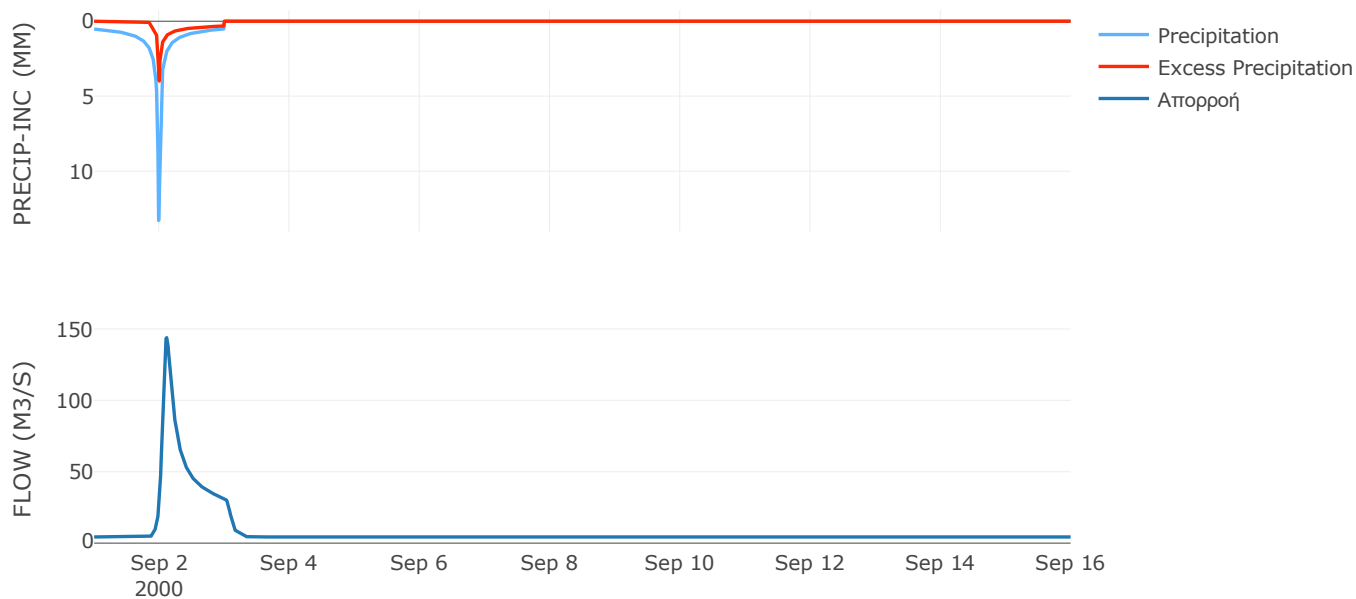
Μέθοδος
Μετασχηματισμού: SCS

Χρόνος Υστέρησης	129.96
------------------	--------

Αποτελέσματα:
EL0513FR7028

Παροχή αιχμής (M3/S)	143.92
Χρονική στιγμή αιχμής	02Sep2000, 02:45
Όγκος (MM)	149.29
Όγκος βροχόπτωσης (M3)	1.8E7
Όγκος απωλειών (M3)	1.29E7
Ενεργός Όγκος (M3)	5.14E6
Όγκος άμεσης απορροής (M3)	5.14E6
Όγκος βασικής απορροής (M3)	5.59E6

Βροχόπτωση και Απορροή



Υπολεκάνη: EL0513FR7029

Έκταση (KM2) : 1.99

Κατάντη : J3

Μέθοδος Απωλειών: SCS

Ποσοστό αδιαπέρατης επιφάνειας	0
Αριθμός Καμπύλης Απορροής-CN	59.98
Αρχικές Απώλειες	33.9

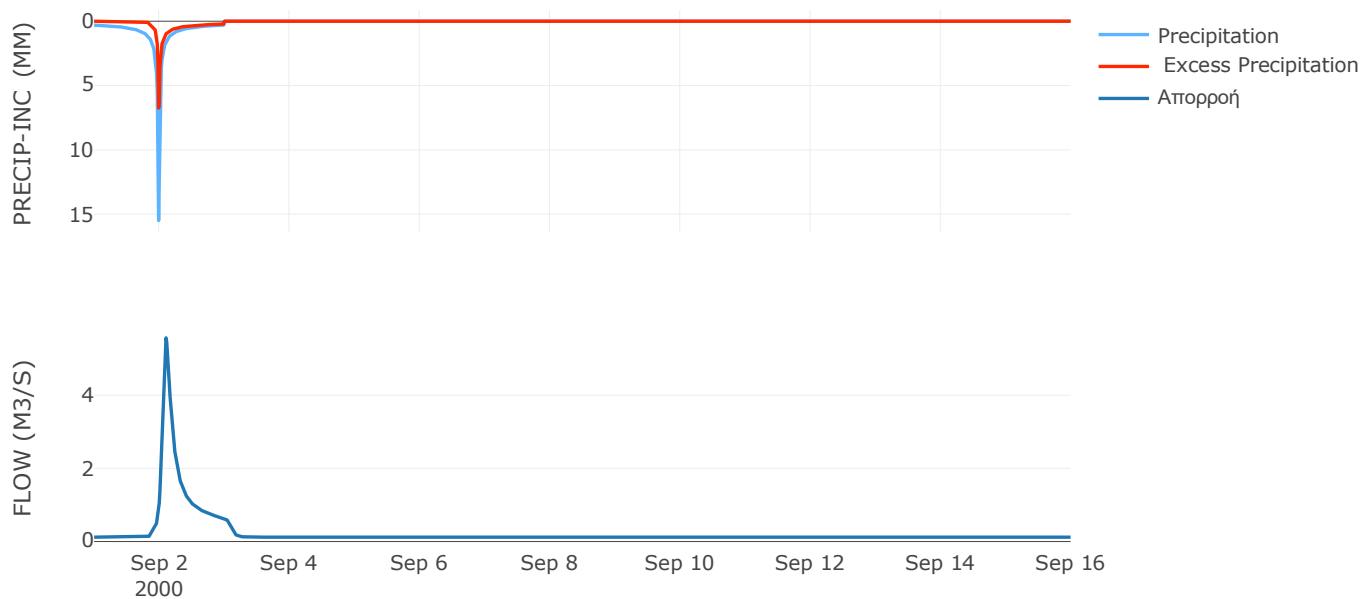
Μέθοδος
Μετασχηματισμού: SCS

Χρόνος Υστέρησης	125.78
------------------	--------

Αποτελέσματα:
EL0513FR7029

Παροχή αιχμής (M3/S)	5.57
Χρονική στιγμή αιχμής	02Sep2000, 02:30
Όγκος (MM)	150.99
Όγκος βροχόπτωσης (M3)	3.73E5
Όγκος απωλειών (M3)	2.27E5
Ενεργός Όγκος (M3)	1.45E5
Όγκος άμεσης απορροής (M3)	1.45E5
Όγκος βασικής απορροής (M3)	1.54E5

Βροχόπτωση και Απορροή



3.2 Δεδομένα και υδρογραφήματα σχεδιασμού Κλάδων υδρογραφικού δικτύου

Κλάδος: R21

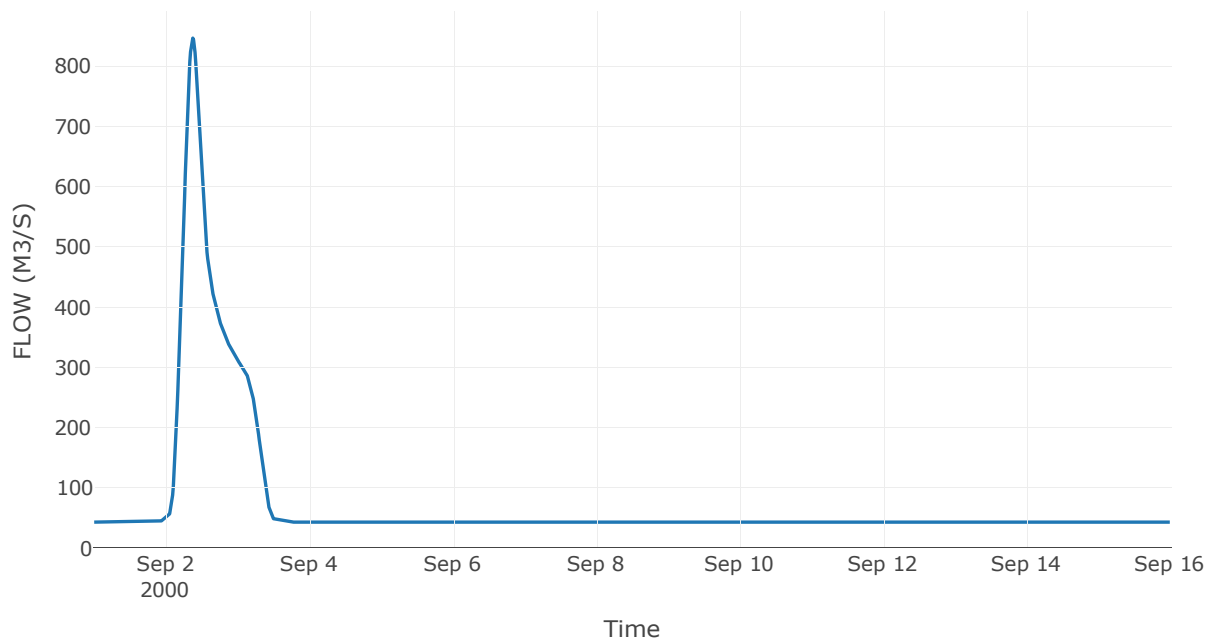
Κατάντη : J1

Μέθοδος Διόδευσης	Muskingum
Αρχική Μεταβλητή	Combined Inflow
Χρόνος Ροής Κ	1.81
Συντελεστής βάρους α	0.2
Πλήθος Υποκλάδων	7

Αποτελέσματα: R21

Παροχή αιχμής (M3/S)	846.45
Χρονική στιγμή αιχμής	02Sep2000, 09:00
Όγκος (MM)	134.49
Παροχή Αιχμής Εισόδου (M3/S)	858.61
Όγκος Εισροής (M3)	9.67E7

Απορροή



Κλάδος: R32

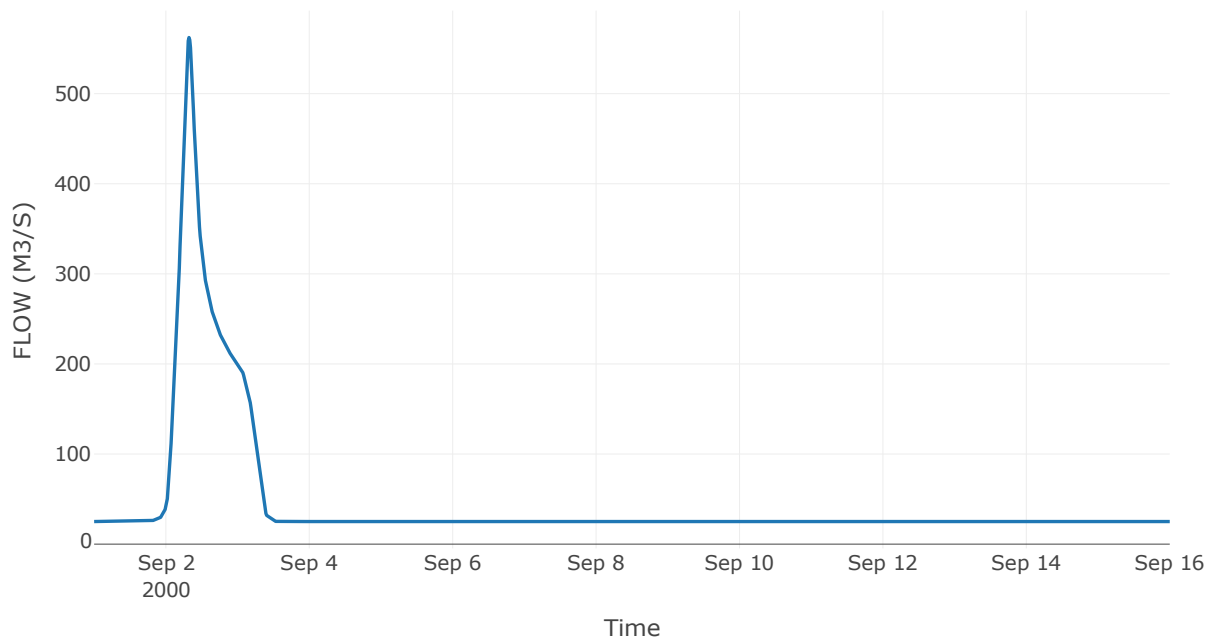
Κατάντη : J2

Μέθοδος Διόδευσης	Muskingum
Αρχική Μεταβλητή	Combined Inflow
Χρόνος Ροής K	0.91
Συντελεστής βάρους x	0.2
Πλήθος Υποκλάδων	4

Αποτελέσματα: R32

Παροχή αιχμής (M3/S)	562.31
Χρονική στιγμή αιχμής	02Sep2000, 07:45
Όγκος (MM)	141.17
Παροχή Αιχμής Εισόδου (M3/S)	568.33
Όγκος Εισροής (M3)	5.9E7

Απορροή



Κλάδος: R43

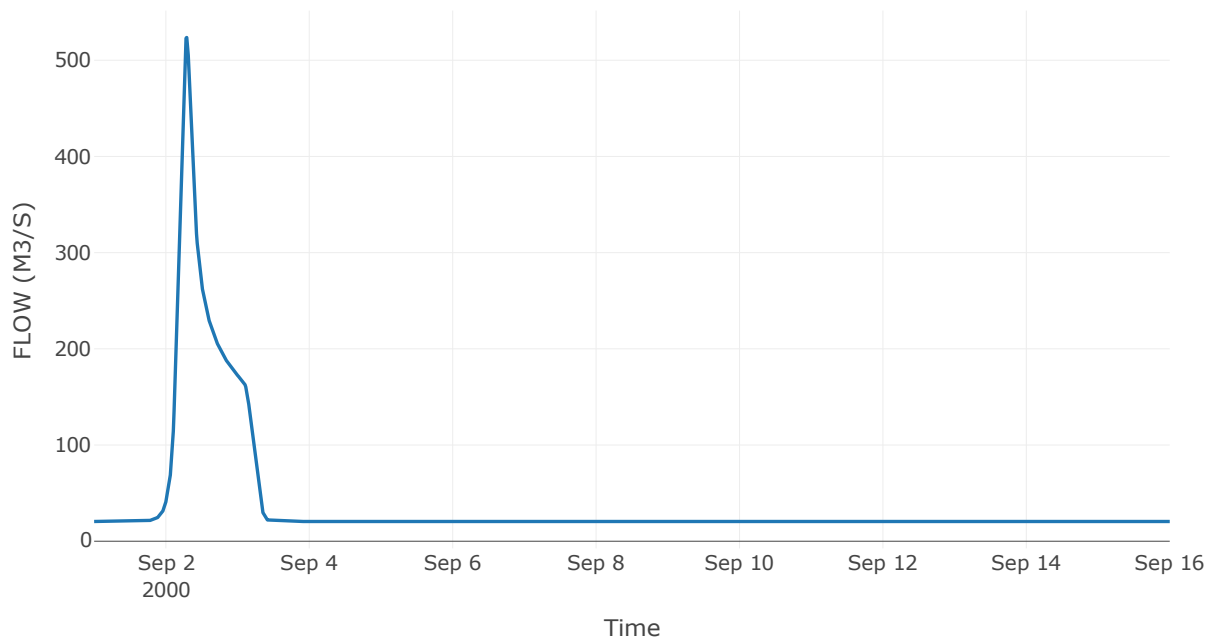
Κατάντη : J3

Μέθοδος Διόδευσης	Muskingum
Αρχική Μεταβλητή	Combined Inflow
Χρόνος Ροής Κ	2.18
Συντελεστής βάρους α	0.2
Πλήθος Υποκλάδων	9

Αποτελέσματα: R43

Παροχή αιχμής (M3/S)	523.69
Χρονική στιγμή αιχμής	02Sep2000, 07:00
Όγκος (MM)	145.91
Παροχή Αιχμής Εισόδου (M3/S)	545.61
Όγκος Εισροής (M3)	4.98E7

Απορροή



Κλάδος: R54

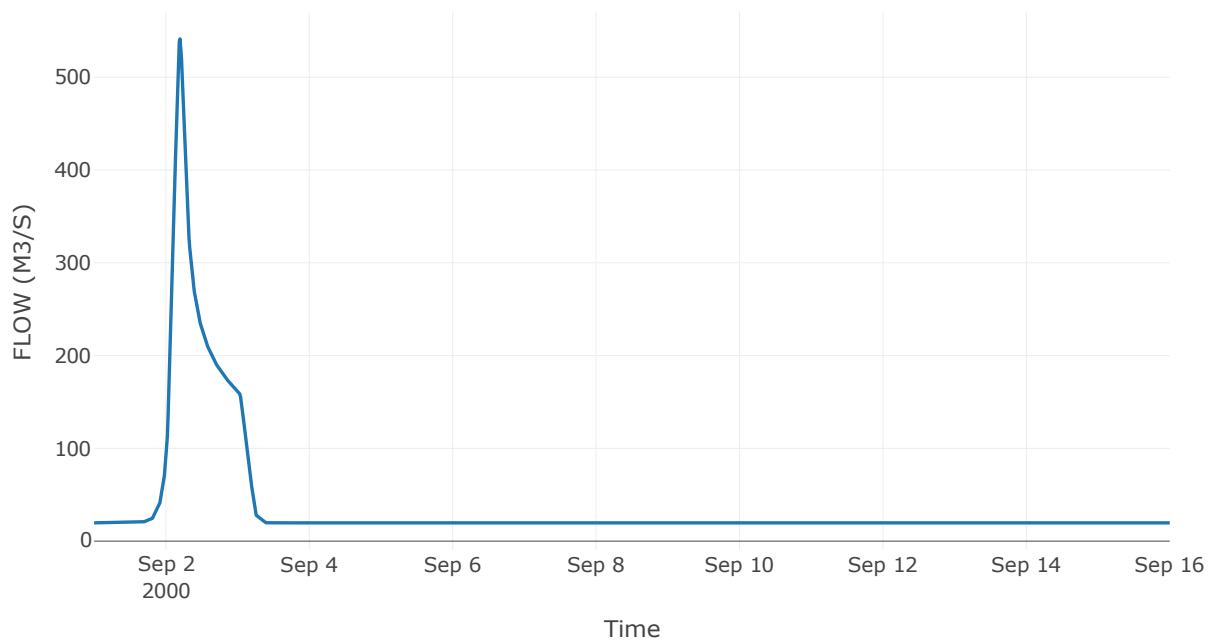
Κατάντη : J4

Μέθοδος Διόδευσης	Χρόνος
Αρχική Μεταβλητή	Combined Inflow
Χρόνος Υστέρησης	13.22

Αποτελέσματα: R54

Παροχή αιχμής (M3/S)	541.42
Χρονική στιγμή αιχμής	02Sep2000, 04:45
Όγκος (MM)	147.97
Παροχή Αιχμής Εισόδου (M3/S)	542.19
Όγκος Εισροής (M3)	4.85E7

Απορροή



Κλάδος: R65

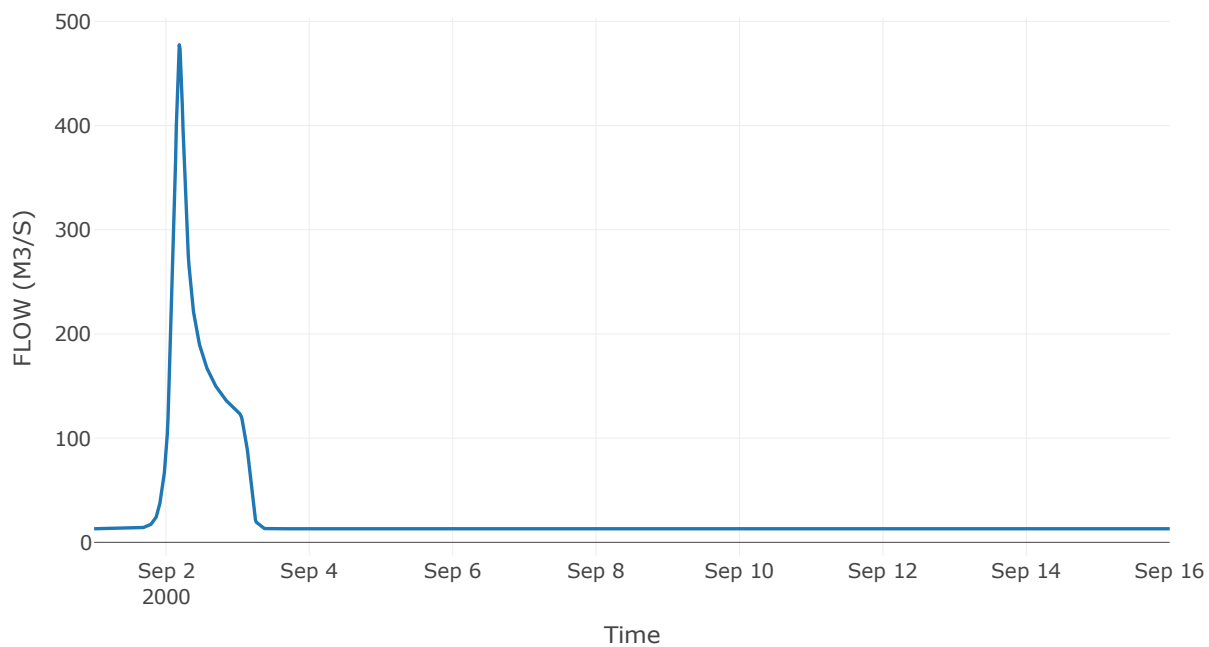
Κατάντη : J5

Μέθοδος Διόδευσης	Χρόνος
Αρχική Μεταβλητή	Combined Inflow
Χρόνος Υστέρησης	42.02

Αποτελέσματα: R65

Παροχή αιχμής (M3/S)	477.56
Χρονική στιγμή αιχμής	02Sep2000, 04:30
Όγκος (MM)	166.23
Παροχή Αιχμής Εισόδου (M3/S)	478.04
Όγκος Εισροής (M3)	3.61E7

Απορροή



Κλάδος: R76

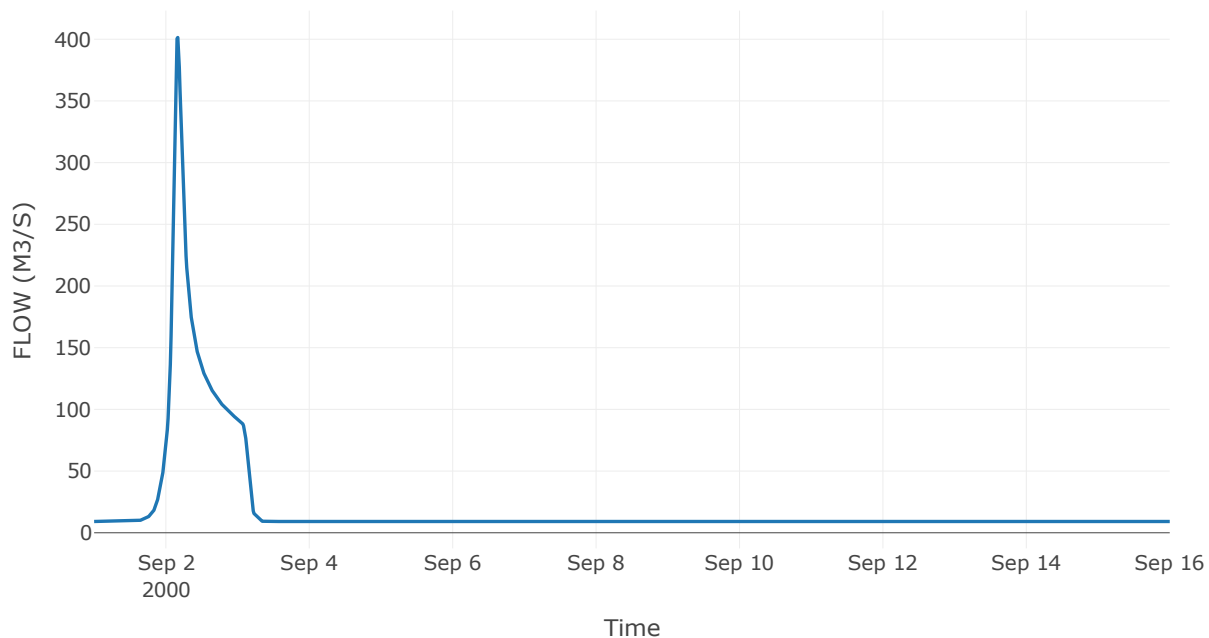
Κατάντη : J6

Μέθοδος Διόδευσης	Muskingum
Αρχική Μεταβλητή	Combined Inflow
Χρόνος Ροής K	1.65
Συντελεστής βάρους x	0.2
Πλήθος Υποκλάδων	7

Αποτελέσματα: R76

Παροχή αιχμής (M3/S)	401.4
Χρονική στιγμή αιχμής	02Sep2000, 04:00
Όγκος (MM)	175.21
Παροχή Αιχμής Εισόδου (M3/S)	425.78
Όγκος Εισροής (M3)	2.66E7

Απορροή



Κλάδος: R87

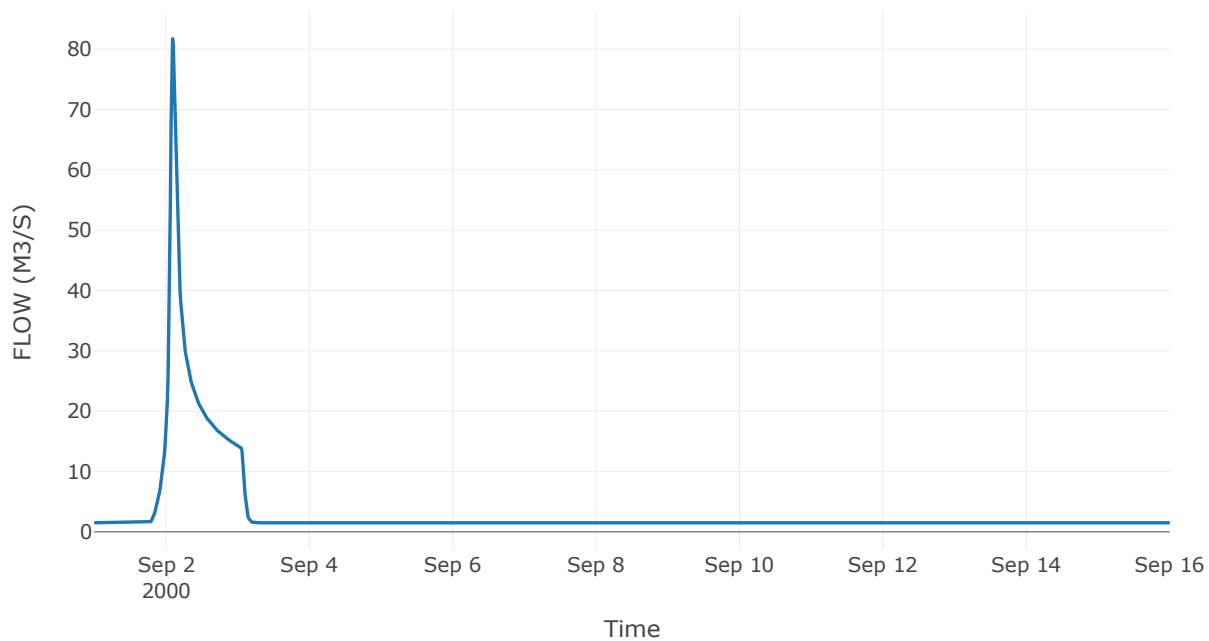
Κατάντη : J7

Μέθοδος Διόδευσης	Χρόνος
Αρχική Μεταβλητή	Combined Inflow
Χρόνος Υστέρησης	69.88

Αποτελέσματα: R87

Παροχή αιχμής (M3/S)	81.71
Χρονική στιγμή αιχμής	02Sep2000, 02:15
Όγκος (MM)	172.29
Παροχή Αιχμής Εισόδου (M3/S)	82.02
Όγκος Εισροής (M3)	4.31E6

Απορροή



Κλάδος: R97

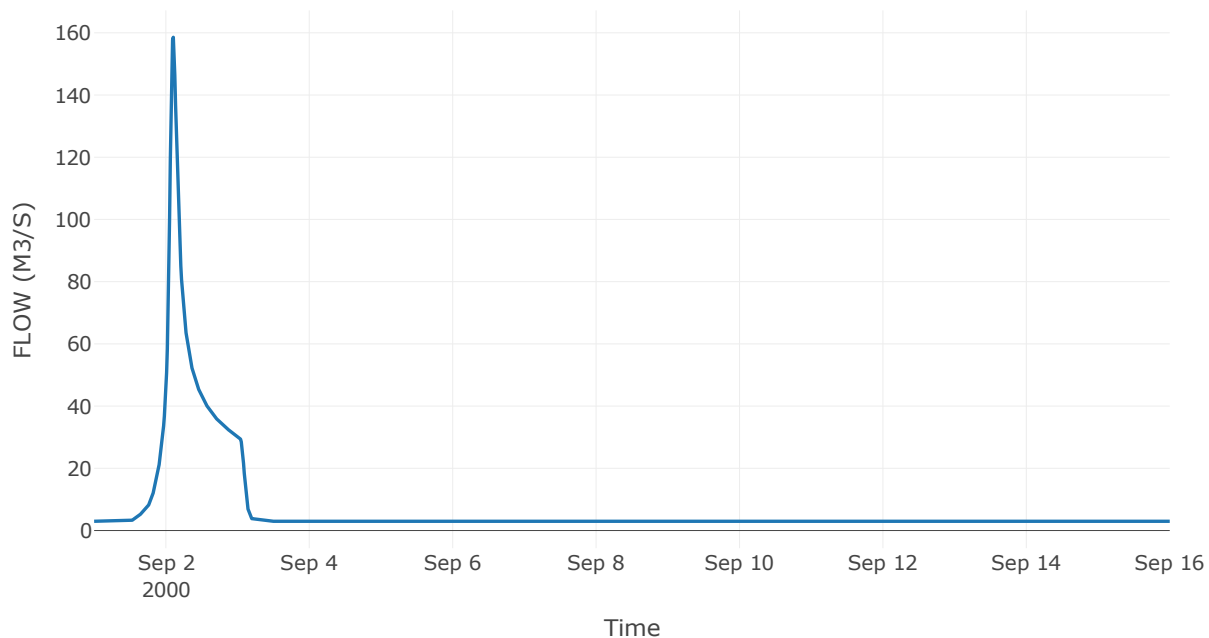
Κατάντη : J7

Μέθοδος Διόδευσης	Muskingum
Αρχική Μεταβλητή	Combined Inflow
Χρόνος Ροής K	0.93
Συντελεστής βάρους x	0.2
Πλήθος Υποκλάδων	4

Αποτελέσματα: R97

Παροχή αιχμής (M3/S)	158.57
Χρονική στιγμή αιχμής	02Sep2000, 02:30
Όγκος (MM)	185.93
Παροχή Αιχμής Εισόδου (M3/S)	165.73
Όγκος Εισροής (M3)	9.21E6

Απορροή



Κλάδος: R105

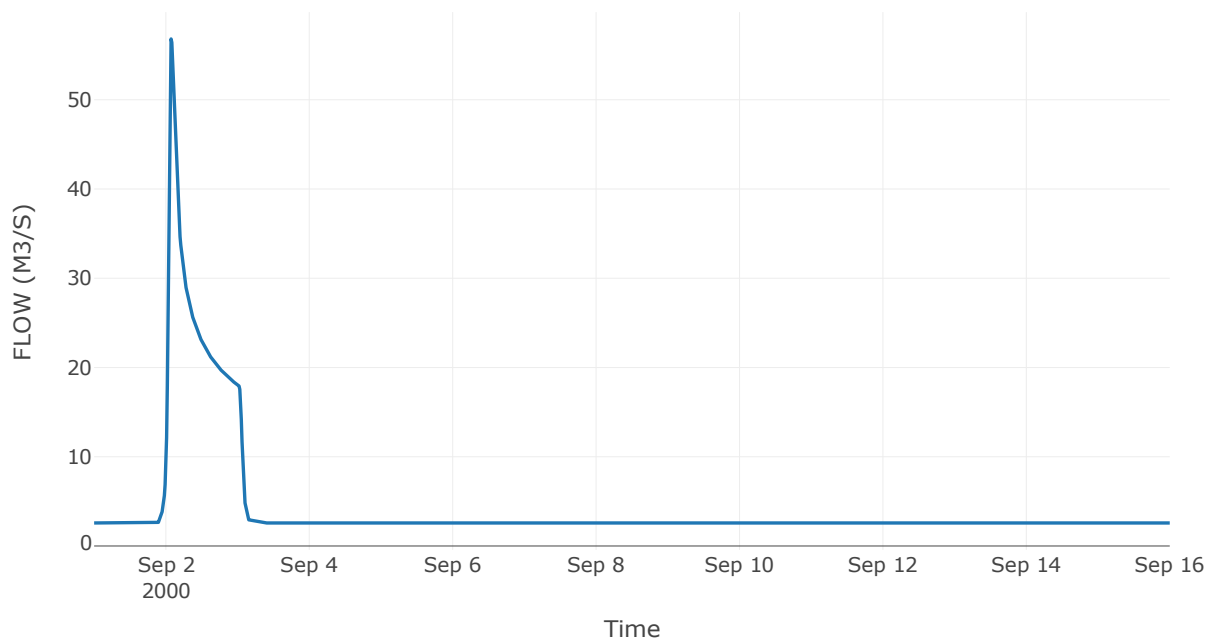
Κατάντη : J5

Μέθοδος Διόδευσης	Χρόνος
Αρχική Μεταβλητή	Combined Inflow
Χρόνος Υστέρησης	34.65

Αποτελέσματα: R105

Παροχή αιχμής (M3/S)	56.81
Χρονική στιγμή αιχμής	02Sep2000, 01:45
Όγκος (MM)	128.06
Παροχή Αιχμής Εισόδου (M3/S)	57.15
Όγκος Εισροής (M3)	5.5E6

Απορροή



Κλάδος: R1112

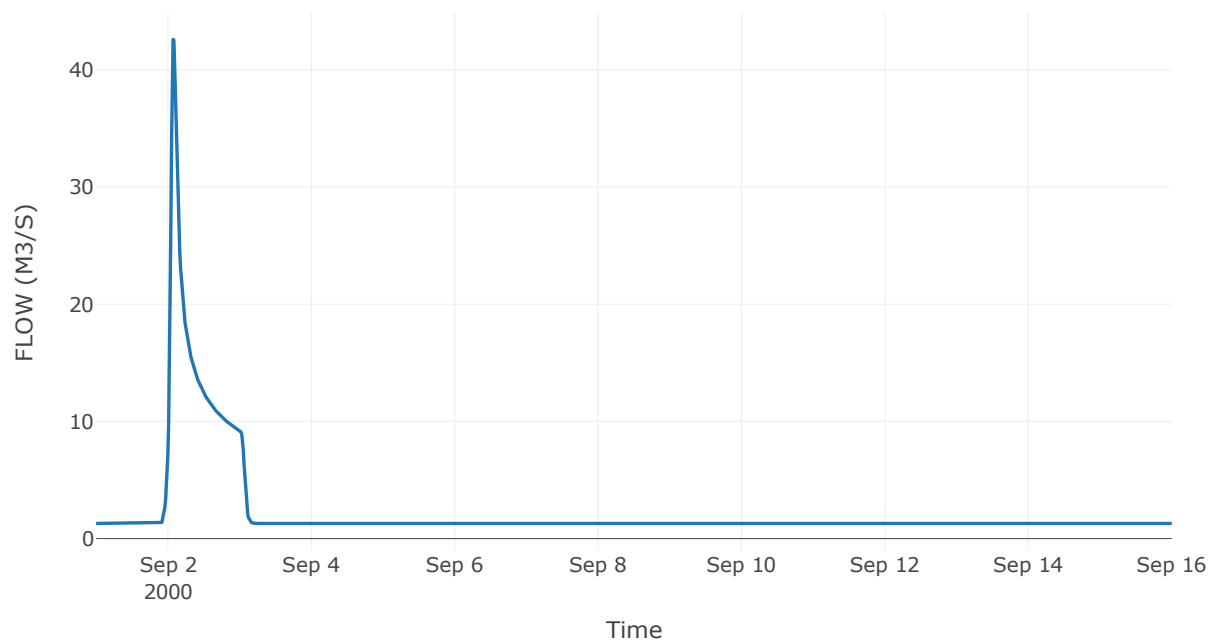
Κατάντη : J12

Μέθοδος Διόδευσης	Muskingum
Αρχική Μεταβλητή	Combined Inflow
Χρόνος Ροής Κ	0.77
Συντελεστής βάρους α	0.2
Πλήθος Υποκλάδων	3

Αποτελέσματα: R1112

Παροχή αιχμής (M3/S)	42.6
Χρονική στιγμή αιχμής	02Sep2000, 01:45
Όγκος (MM)	138
Παροχή Αιχμής Εισόδου (M3/S)	46.04
Όγκος Εισροής (M3)	2.97E6

Απορροή



Κλάδος: R1213

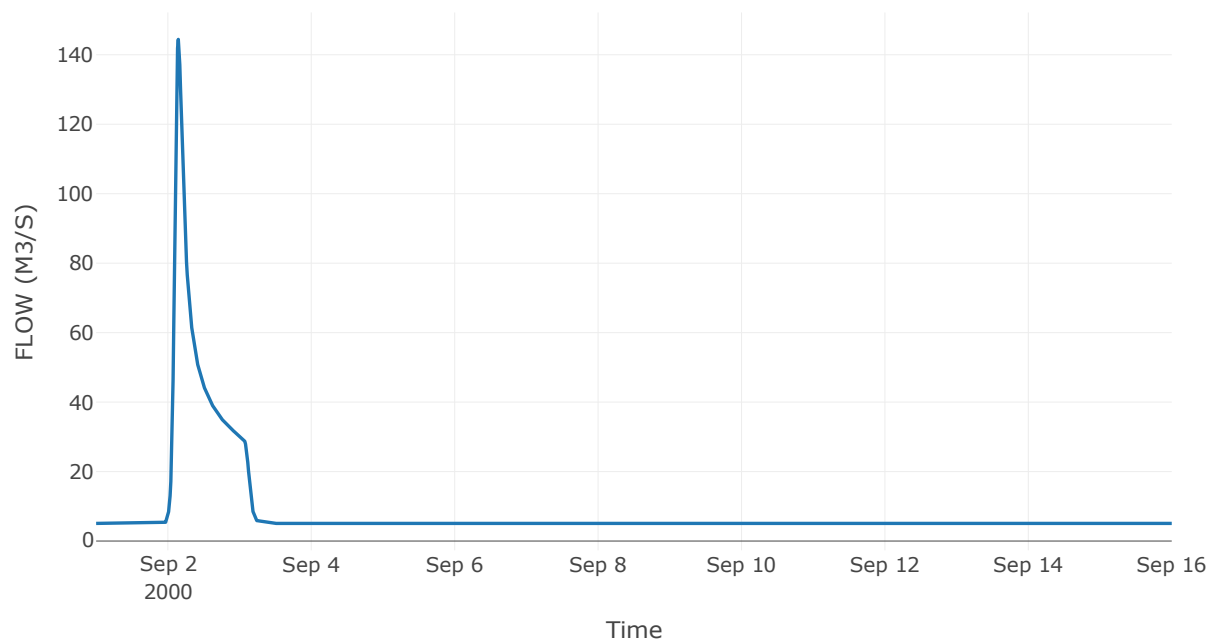
Κατάντη : J13

Μέθοδος Διόδευσης	Muskingum
Αρχική Μεταβλητή	Combined Inflow
Χρόνος Ροής K	1.55
Συντελεστής βάρους x	0.2
Πλήθος Υποκλάδων	6

Αποτελέσματα: R1213

Παροχή αιχμής (M3/S)	144.43
Χρονική στιγμή αιχμής	02Sep2000, 03:30
Όγκος (MM)	130.89
Παροχή Αιχμής Εισόδου (M3/S)	155.73
Όγκος Εισροής (M3)	1.11E7

Απορροή



Κλάδος: R1314

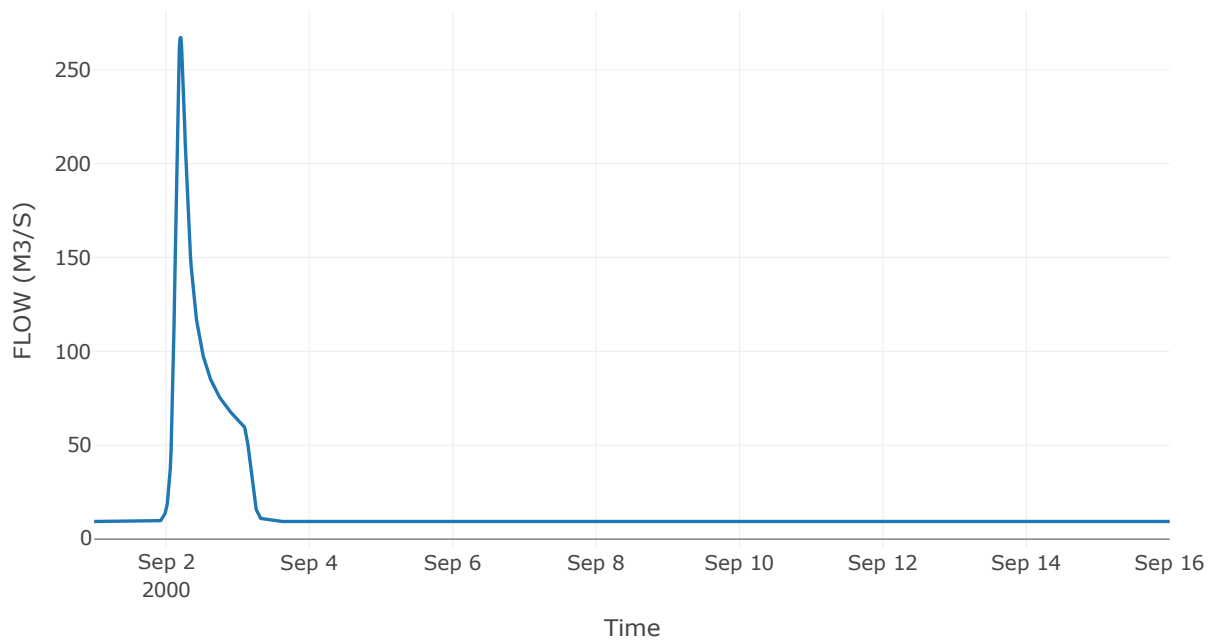
Κατάντη : J14

Μέθοδος Διόδευσης	Muskingum
Αρχική Μεταβλητή	Combined Inflow
Χρόνος Ροής K	1.57
Συντελεστής βάρους x	0.2
Πλήθος Υποκλάδων	6

Αποτελέσματα: R1314

Παροχή αιχμής (M3/S)	267.19
Χρονική στιγμή αιχμής	02Sep2000, 05:00
Όγκος (MM)	139.34
Παροχή Αιχμής Εισόδου (M3/S)	279.88
Όγκος Εισροής (M3)	2.18E7

Απορροή



Κλάδος: R1415

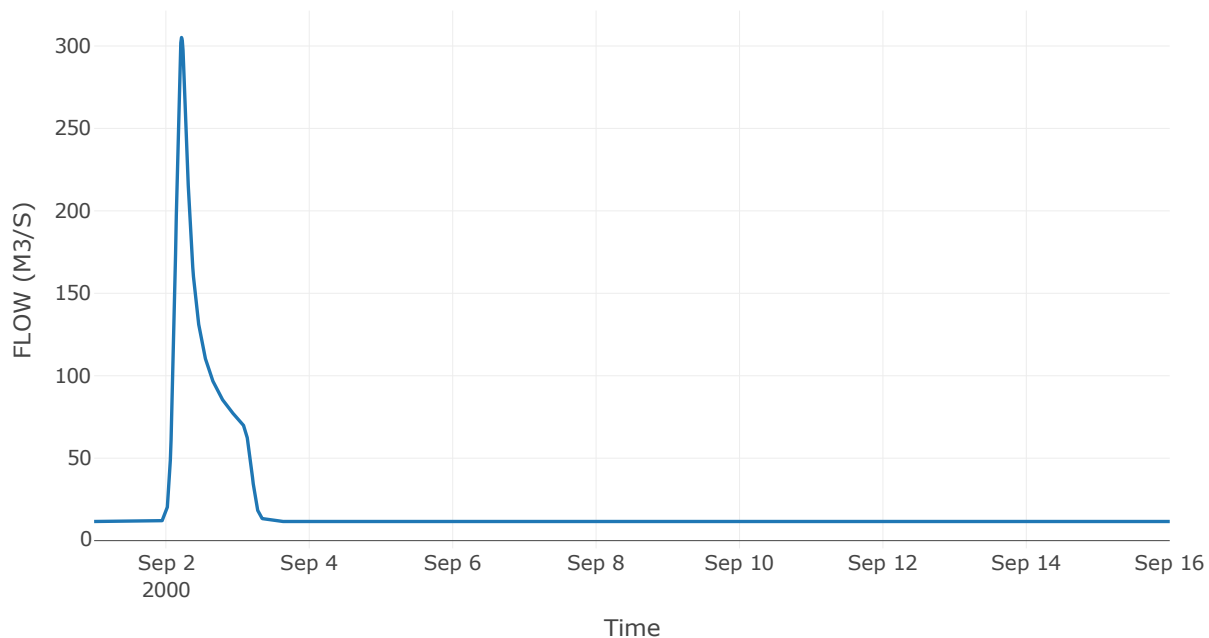
Κατάντη : J15

Μέθοδος Διόδευσης	Muskingum
Αρχική Μεταβλητή	Combined Inflow
Χρόνος Ροής K	0.48
Συντελεστής βάρους x	0.2
Πλήθος Υποκλάδων	2

Αποτελέσματα: R1415

Παροχή αιχμής (M3/S)	305.17
Χρονική στιγμή αιχμής	02Sep2000, 05:15
Όγκος (MM)	136.36
Παροχή Αιχμής Εισόδου (M3/S)	308
Όγκος Εισροής (M3)	2.64E7

Απορροή



Κλάδος: R152

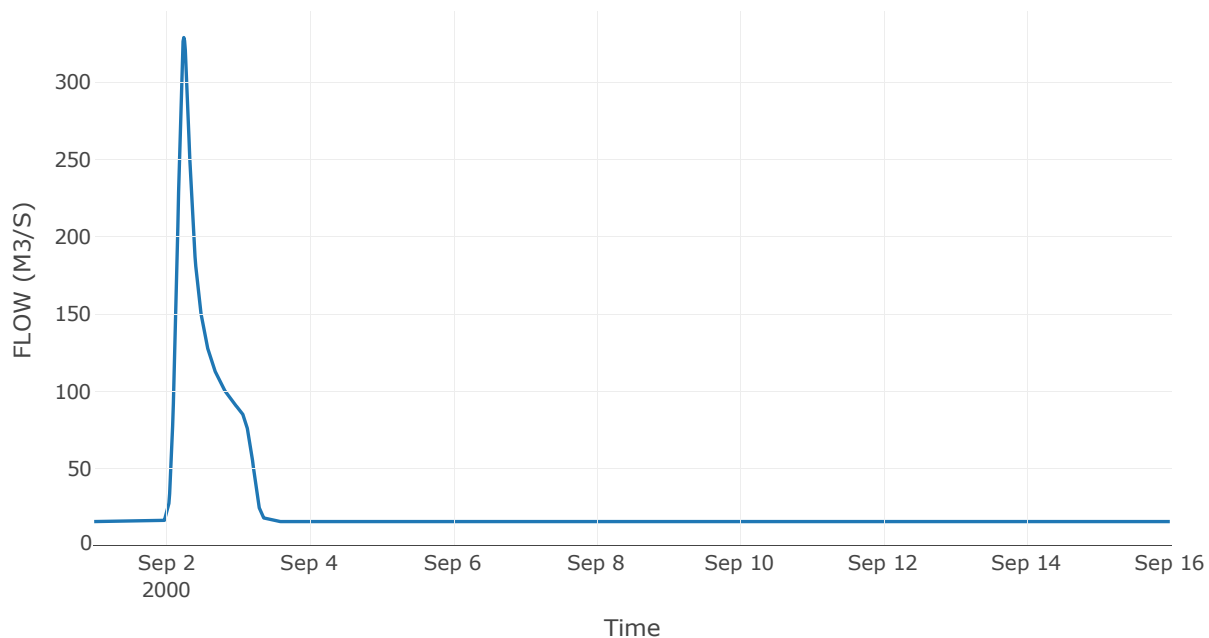
Κατάντη : J2

Μέθοδος Διόδευσης	Muskingum
Αρχική Μεταβλητή	Combined Inflow
Χρόνος Ροής K	0.74
Συντελεστής βάρους x	0.2
Πλήθος Υποκλάδων	3

Αποτελέσματα: R152

Παροχή αιχμής (M3/S)	328.97
Χρονική στιγμή αιχμής	02Sep2000, 06:00
Όγκος (MM)	126.47
Παροχή Αιχμής Εισόδου (M3/S)	333.18
Όγκος Εισροής (M3)	3.31E7

Απορροή



Κλάδος: R1615

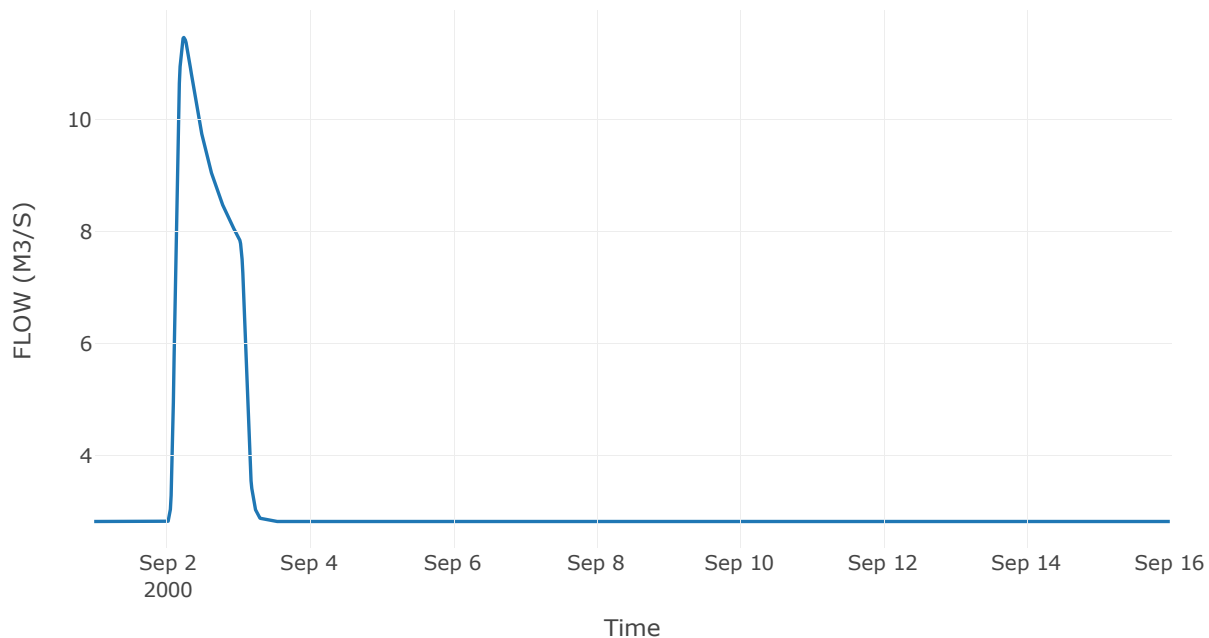
Κατάντη : J15

Μέθοδος Διόδευσης	Muskingum
Αρχική Μεταβλητή	Combined Inflow
Χρόνος Ροής K	0.73
Συντελεστής βάρους x	0.2
Πλήθος Υποκλάδων	3

Αποτελέσματα: R1615

Παροχή αιχμής (M3/S)	11.46
Χρονική στιγμή αιχμής	02Sep2000, 06:00
Όγκος (MM)	89.8
Παροχή Αιχμής Εισόδου (M3/S)	11.48
Όγκος Εισροής (M3)	4.23E6

Απορροή



Κλάδος: R173

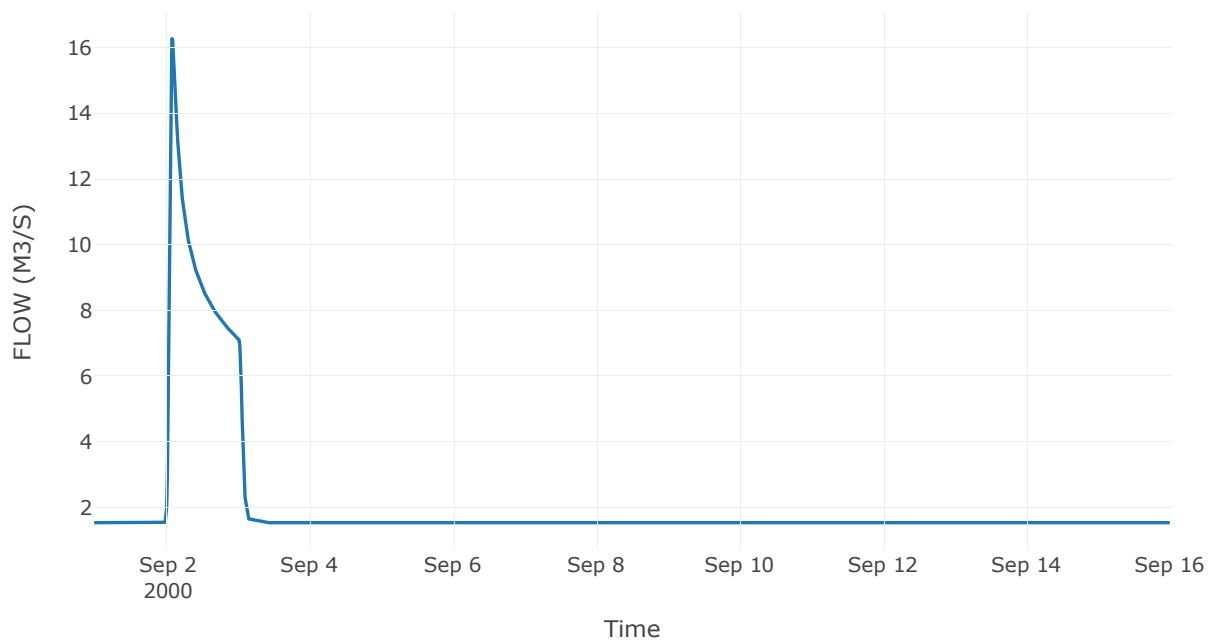
Κατάντη : J3

Μέθοδος Διόδευσης	Χρόνος
Αρχική Μεταβλητή	Combined Inflow
Χρόνος Υστέρησης	27.42

Αποτελέσματα: R173

Παροχή αιχμής (M3/S)	16.27
Χρονική στιγμή αιχμής	02Sep2000, 02:00
Όγκος (MM)	105.24
Παροχή Αιχμής Εισόδου (M3/S)	16.3
Όγκος Εισροής (M3)	2.69E6

Απορροή



Κλάδος: R183

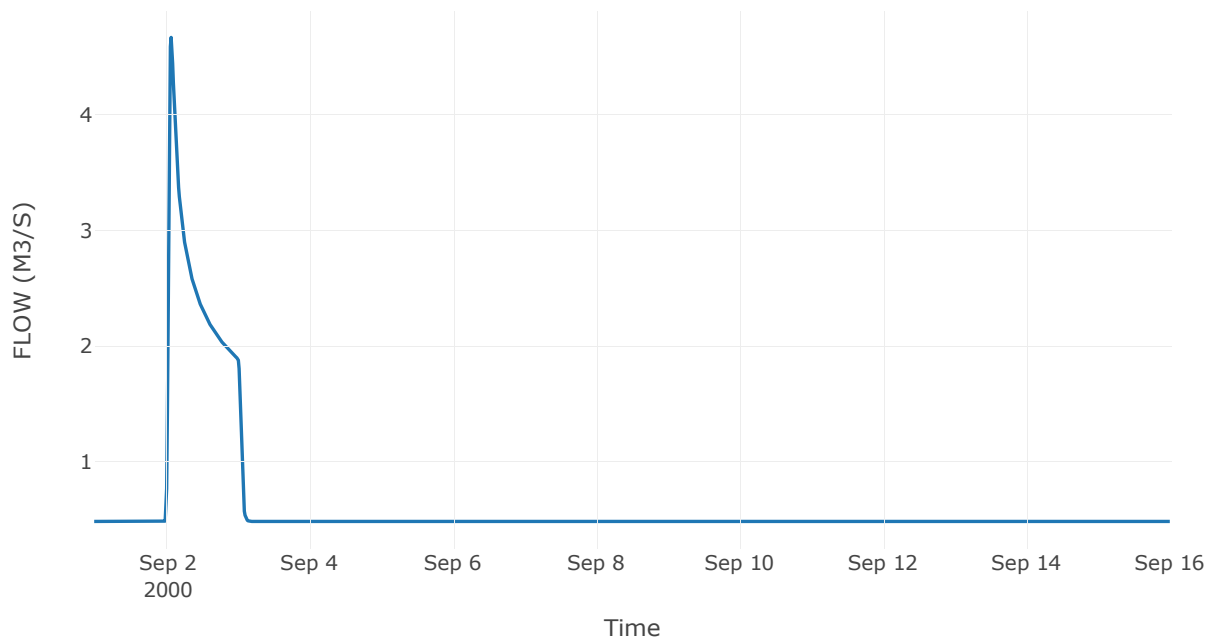
Κατάντη : J3

Μέθοδος Διόδευσης	Muskingum
Αρχική Μεταβλητή	Combined Inflow
Χρόνος Ροής Κ	0.35
Συντελεστής βάρους α	0.2
Πλήθος Υποκλάδων	1

Αποτελέσματα: R183

Παροχή αιχμής (M3/S)	4.67
Χρονική στιγμή αιχμής	02Sep2000, 01:45
Όγκος (MM)	100.7
Παροχή Αιχμής Εισόδου (M3/S)	4.84
Όγκος Εισροής (M3)	8.06E5

Απορροή



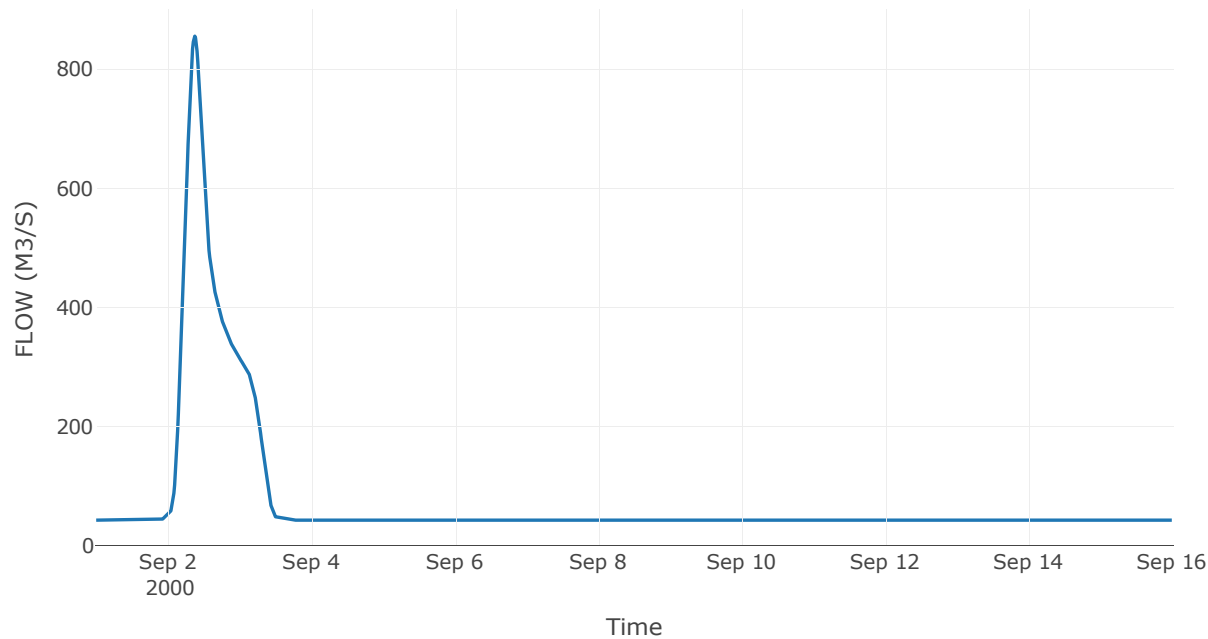
3.3 Δεδομένα και υδρογραφήματα σχεδιασμού Κόμβων υδρογραφικού δικτύου

Κόμβος εξόδου: J1

Αποτέλεσμα
τα: J1

Παροχή αιχμής (M3/S)	855.38
Χρονική στιγμή αιχμής	02Sep2000, 09:00
Όγκος (MM)	134.59

Απορροή



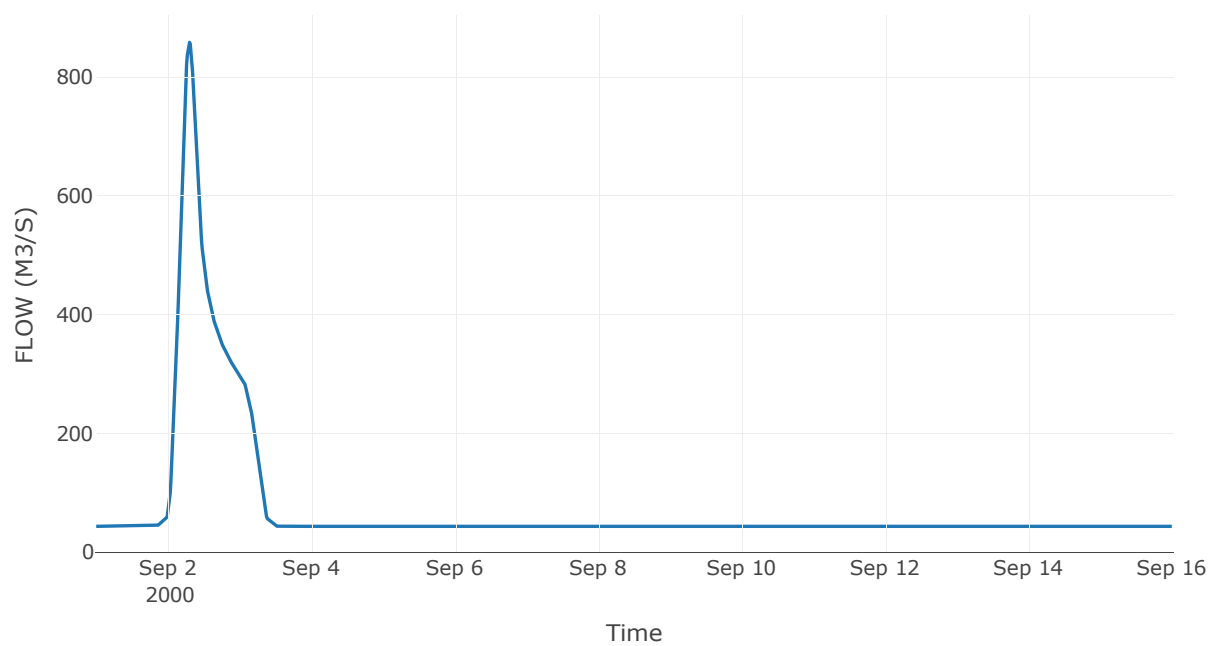
Κόμβος: J2

Κατάντη : R21

Αποτελέσματα: J2

Παροχή αιχμής (M3/S)	858.61
Χρονική στιγμή αιχμής	02Sep2000, 07:15
Όγκος (MM)	134.49

Απορροή



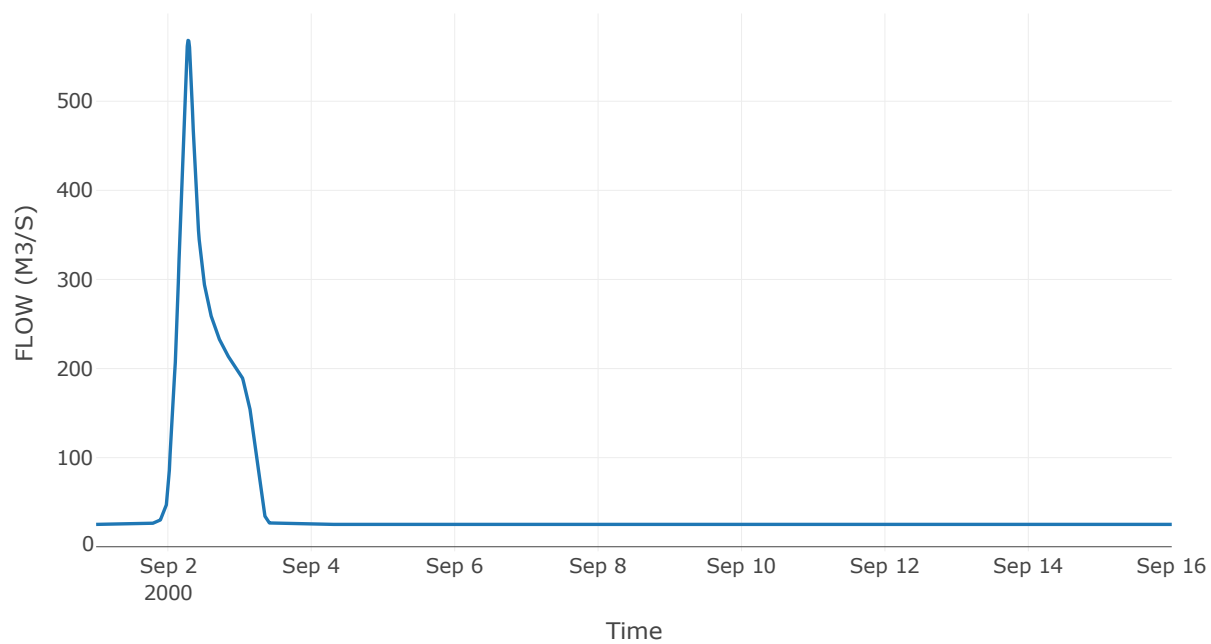
Κόμβος: J3

Κατάντη : R32

Αποτελέσματα: J3

Παροχή αιχμής (M3/S)	568.33
Χρονική στιγμή αιχμής	02Sep2000, 06:45
Όγκος (MM)	141.17

Απορροή



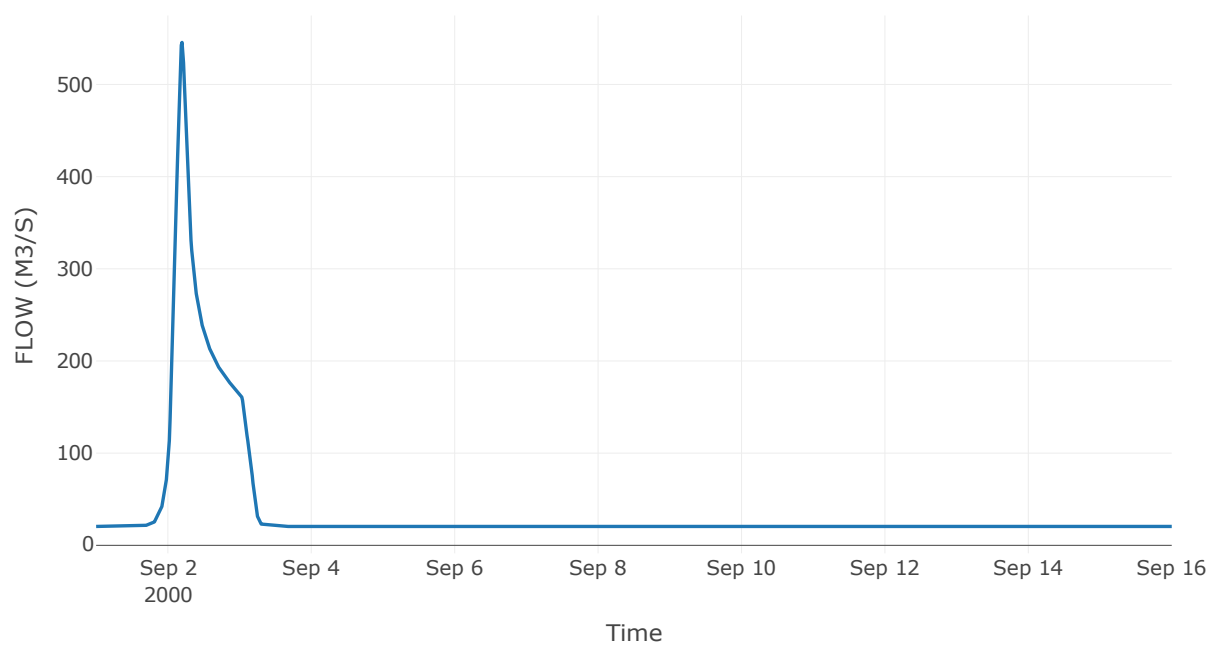
Κόμβος: J4

Κατάντη : R43

Αποτελέσματα: J4

Παροχή αιχμής (M3/S)	545.61
Χρονική στιγμή αιχμής	02Sep2000, 04:45
Όγκος (MM)	145.91

Απορροή



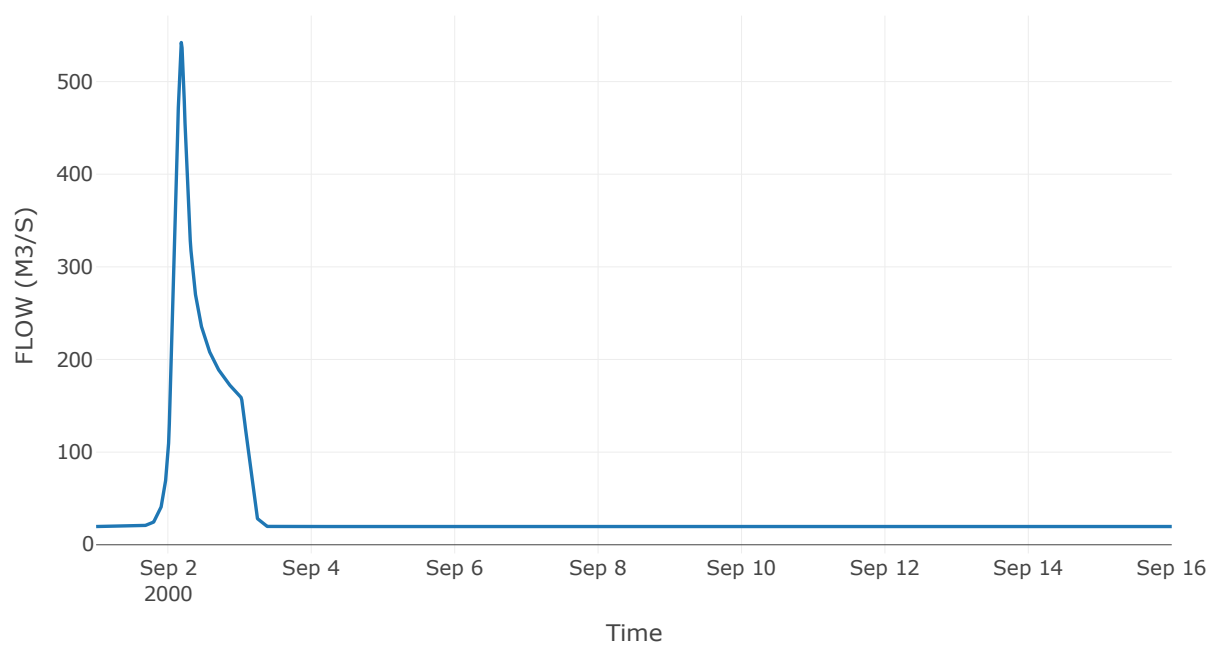
Κόμβος: J5

Κατάντη : R54

Αποτελέσματα: J5

Παροχή αιχμής (M3/S)	542.19
Χρονική στιγμή αιχμής	02Sep2000, 04:30
Όγκος (MM)	147.97

Απορροή



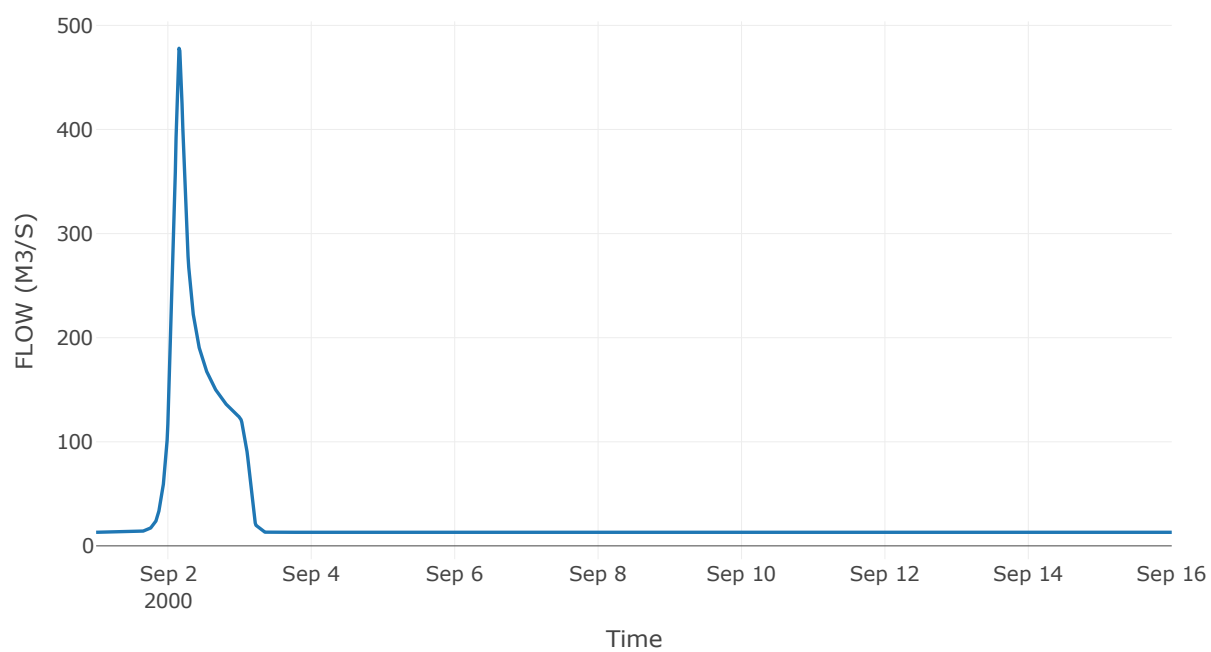
Κόμβος: J6

Κατάντη : R65

Αποτελέσματα: J6

Παροχή αιχμής (M3/S)	478.04
Χρονική στιγμή αιχμής	02Sep2000, 03:45
Όγκος (MM)	166.23

Απορροή



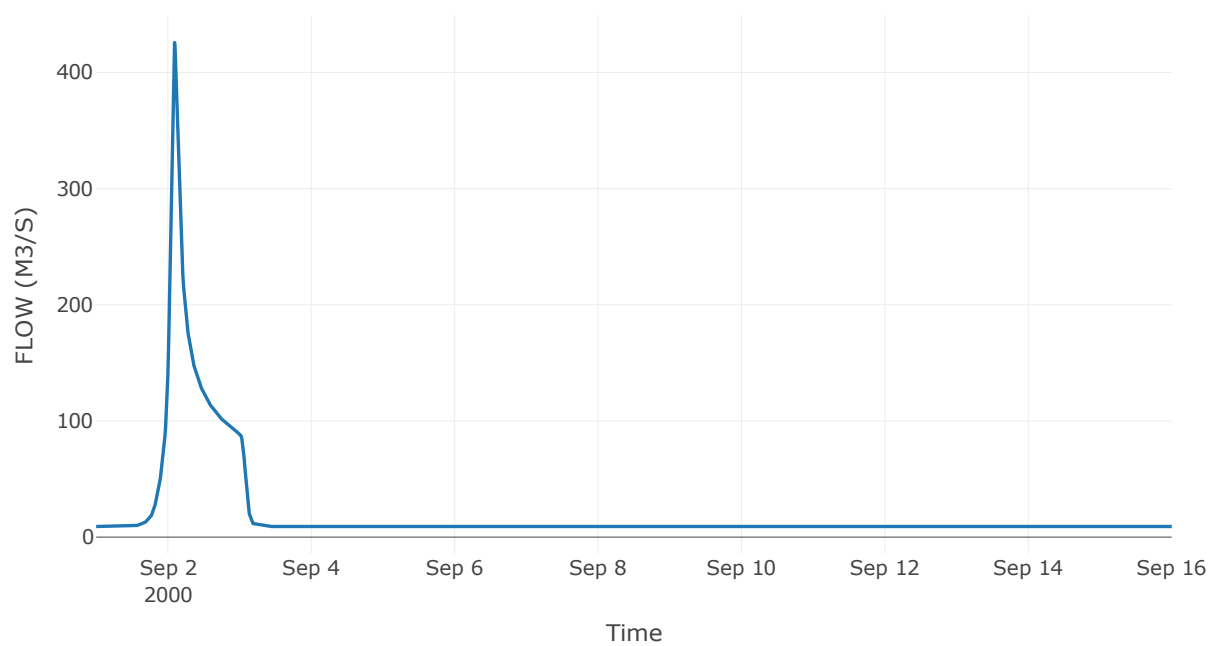
Κόμβος: J7

Κατάντη : R76

Αποτελέσματα: J7

Παροχή αιχμής (M3/S)	425.78
Χρονική στιγμή αιχμής	02Sep2000, 02:15
Όγκος (MM)	175.21

Απορροή



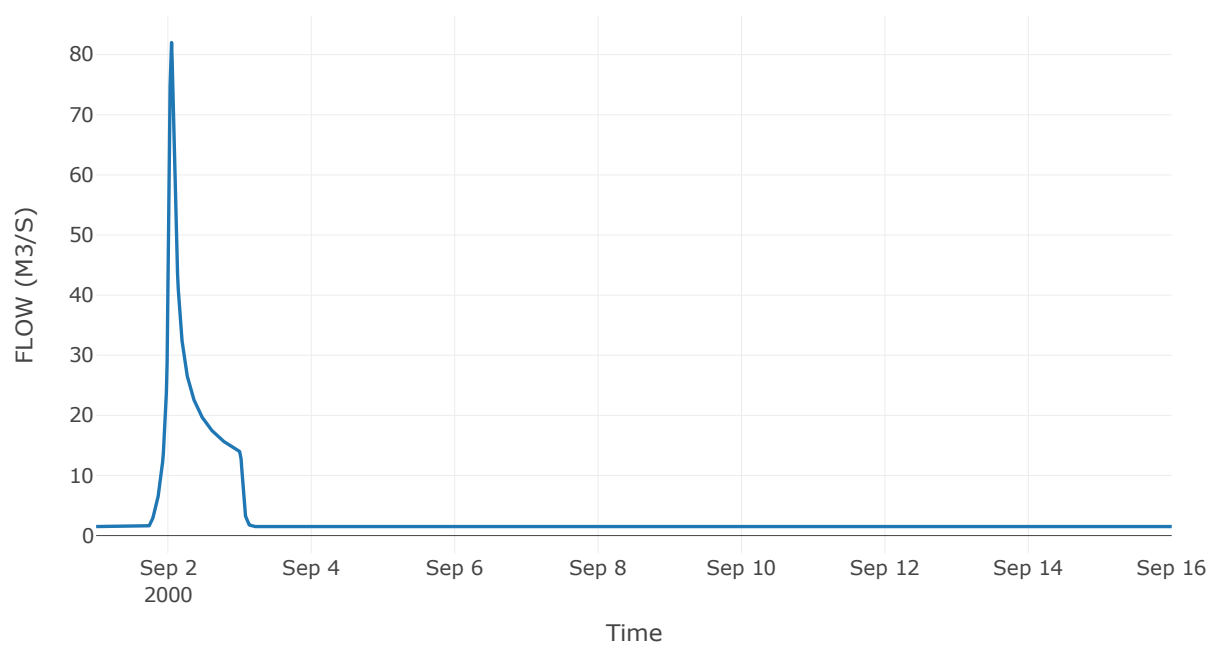
Κόμβος: J8

Κατάντη : R87

Αποτελέσματα: J8

Παροχή αιχμής (M3/S)	82.02
Χρονική στιγμή αιχμής	02Sep2000, 01:15
Όγκος (MM)	172.29

Απορροή



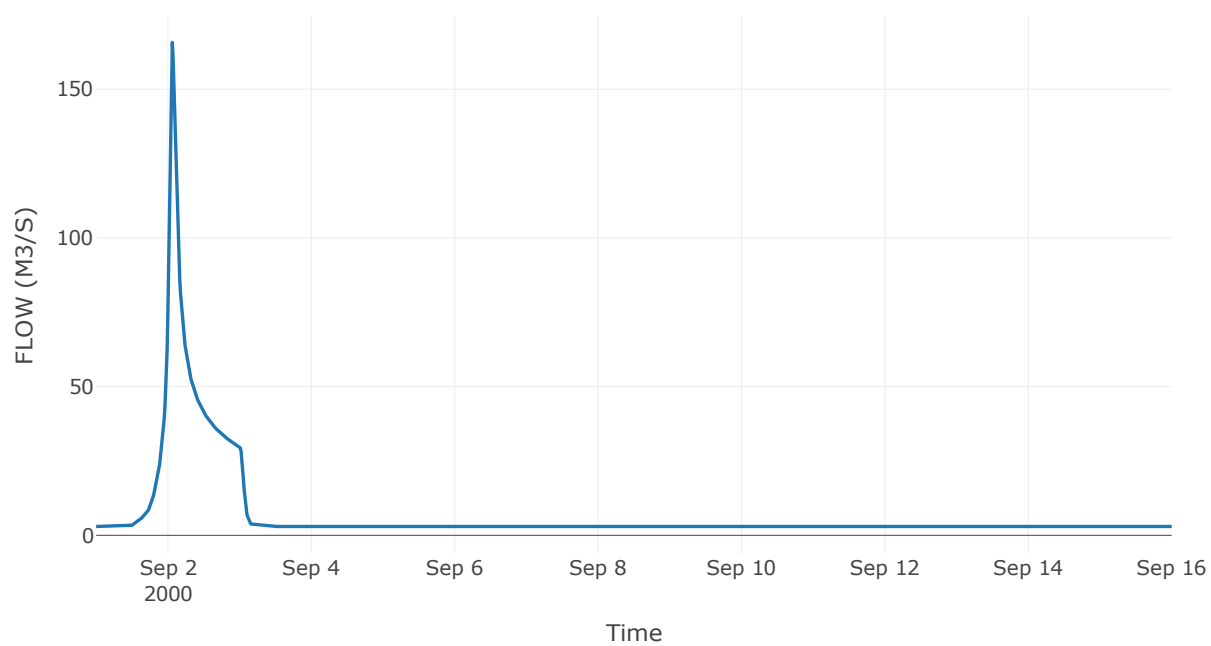
Κόμβος: J9

Κατάντη : R97

Αποτελέσματα: J9

Παροχή αιχμής (M3/S)	165.73
Χρονική στιγμή αιχμής	02Sep2000, 01:30
Όγκος (MM)	185.93

Απορροή



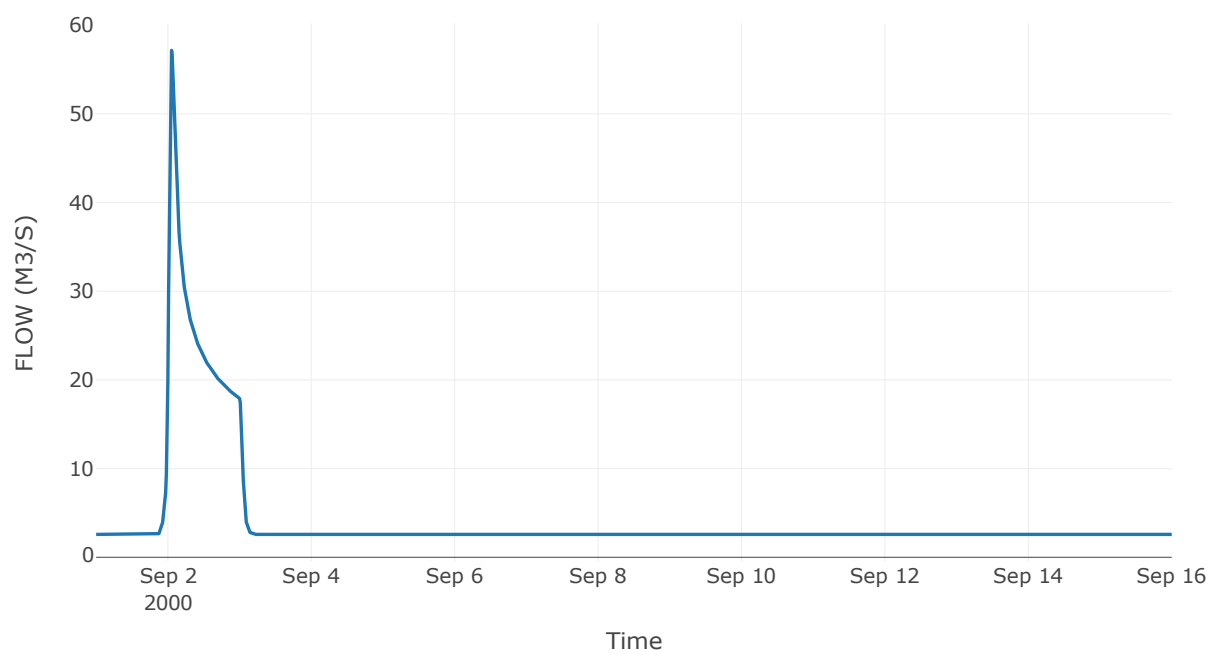
Κόμβος: J10

Κατάντη : R105

Αποτελέσματα: J10

Παροχή αιχμής (M3/S)	57.15
Χρονική στιγμή αιχμής	02Sep2000, 01:15
Όγκος (MM)	128.06

Απορροή



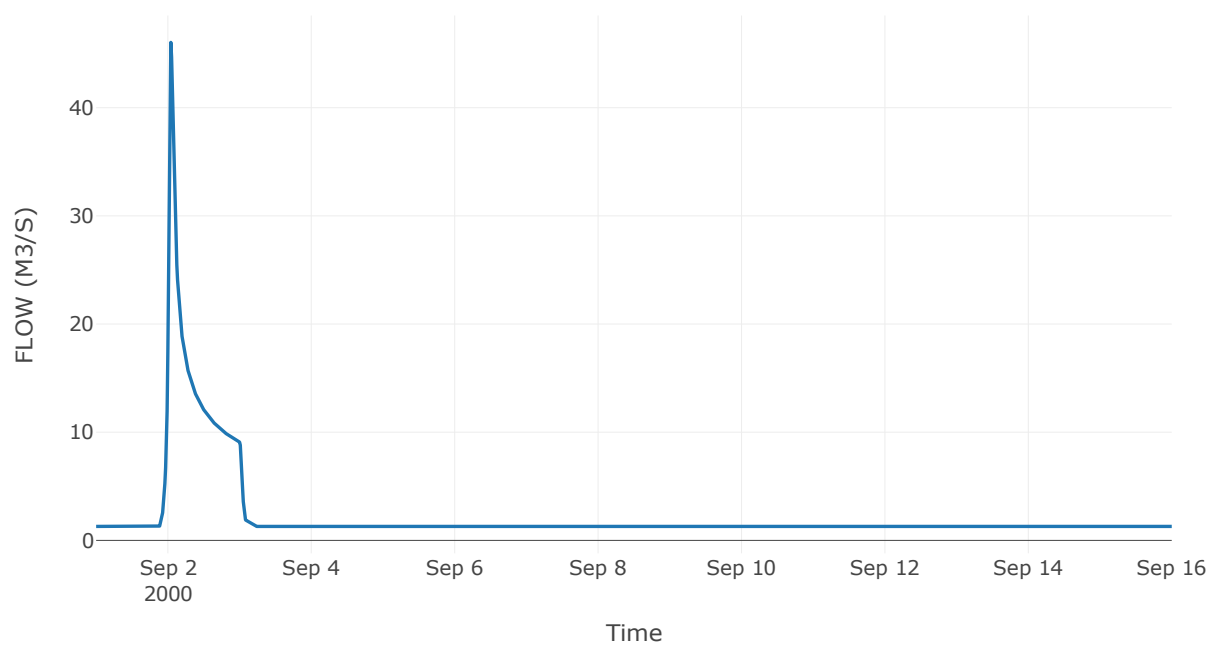
Κόμβος: J11

Κατάντη : R1112

Αποτελέσματα: J11

Παροχή αιχμής (M3/S)	46.04
Χρονική στιγμή αιχμής	02Sep2000, 01:00
Όγκος (MM)	138

Απορροή



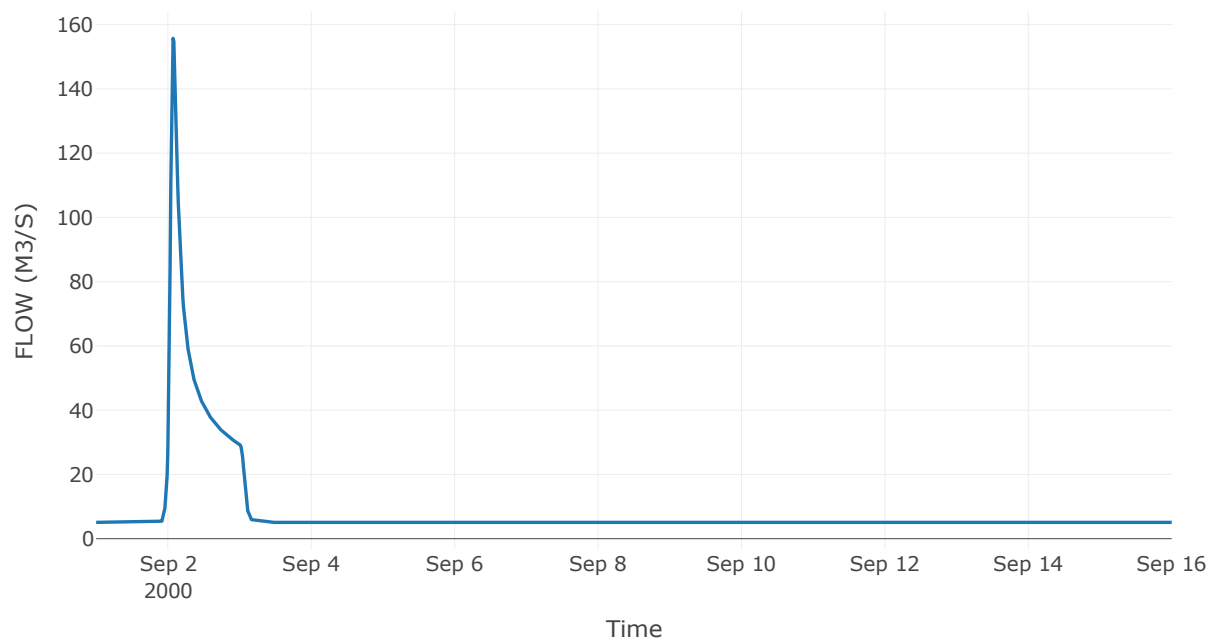
Κόμβος: J12

Κατάντη : R1213

Αποτελέσματα: J12

Παροχή αιχμής (M3/S)	155.73
Χρονική στιγμή αιχμής	02Sep2000, 01:45
Όγκος (MM)	130.89

Απορροή



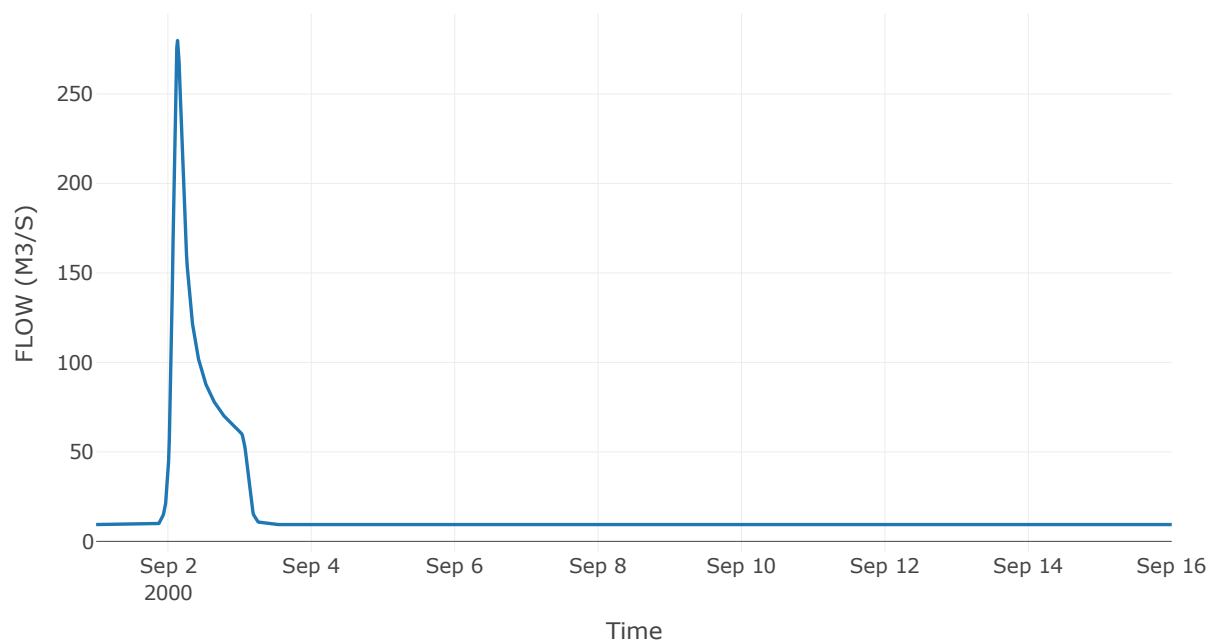
Κόμβος: J13

Κατάντη : R1314

Αποτελέσματα: J13

Παροχή αιχμής (M3/S)	279.88
Χρονική στιγμή αιχμής	02Sep2000, 03:15
Όγκος (MM)	139.34

Απορροή



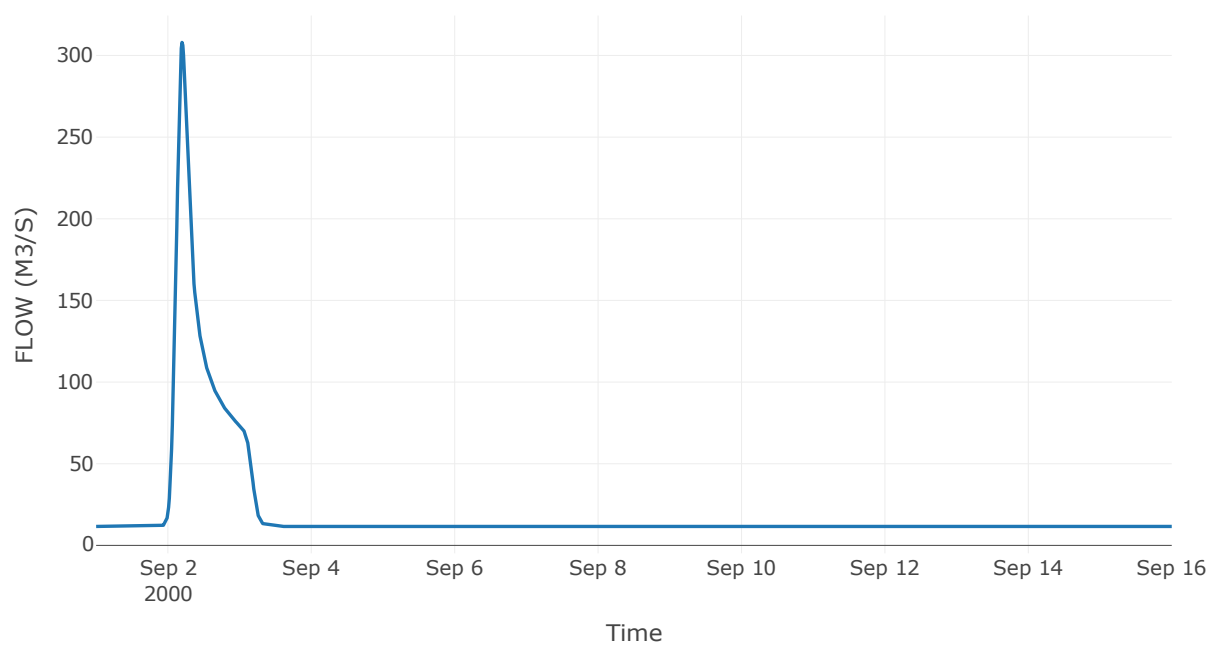
Κόμβος: J14

Κατάντη : R1415

Αποτελέσματα: J14

Παροχή αιχμής (M3/S)	308
Χρονική στιγμή αιχμής	02Sep2000, 04:45
Όγκος (MM)	136.36

Απορροή



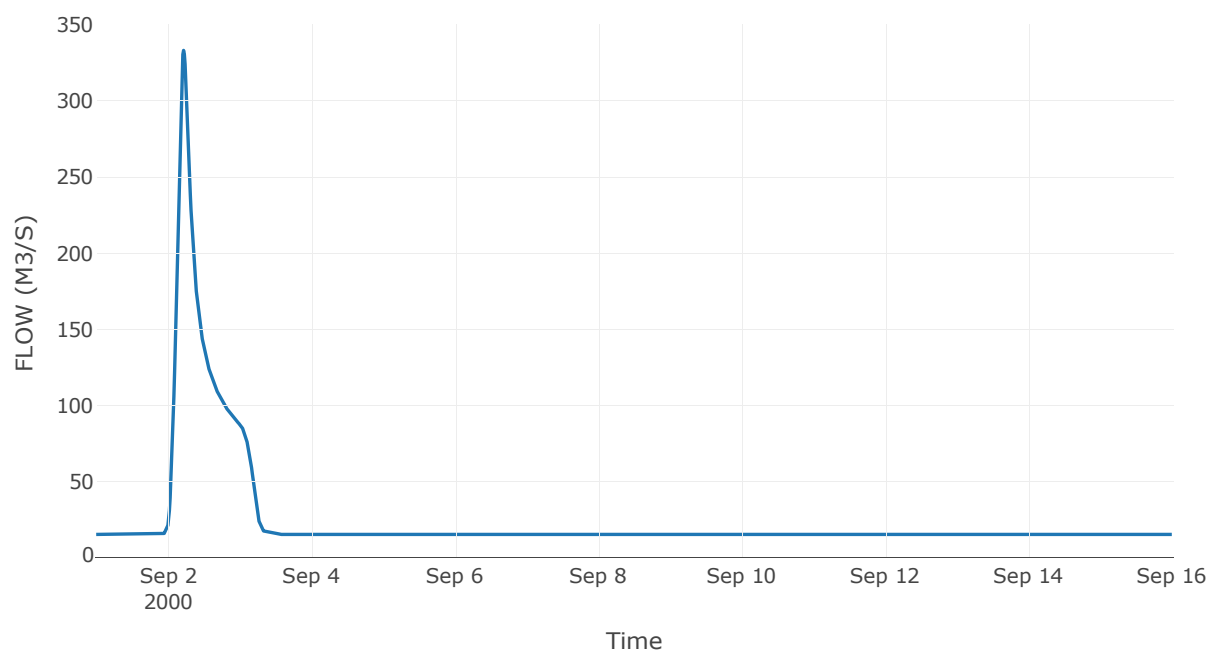
Κόμβος: J15

Κατάντη : R152

Αποτελέσματα: J15

Παροχή αιχμής (M3/S)	333.18
Χρονική στιγμή αιχμής	02Sep2000, 05:15
Όγκος (MM)	126.47

Απορροή



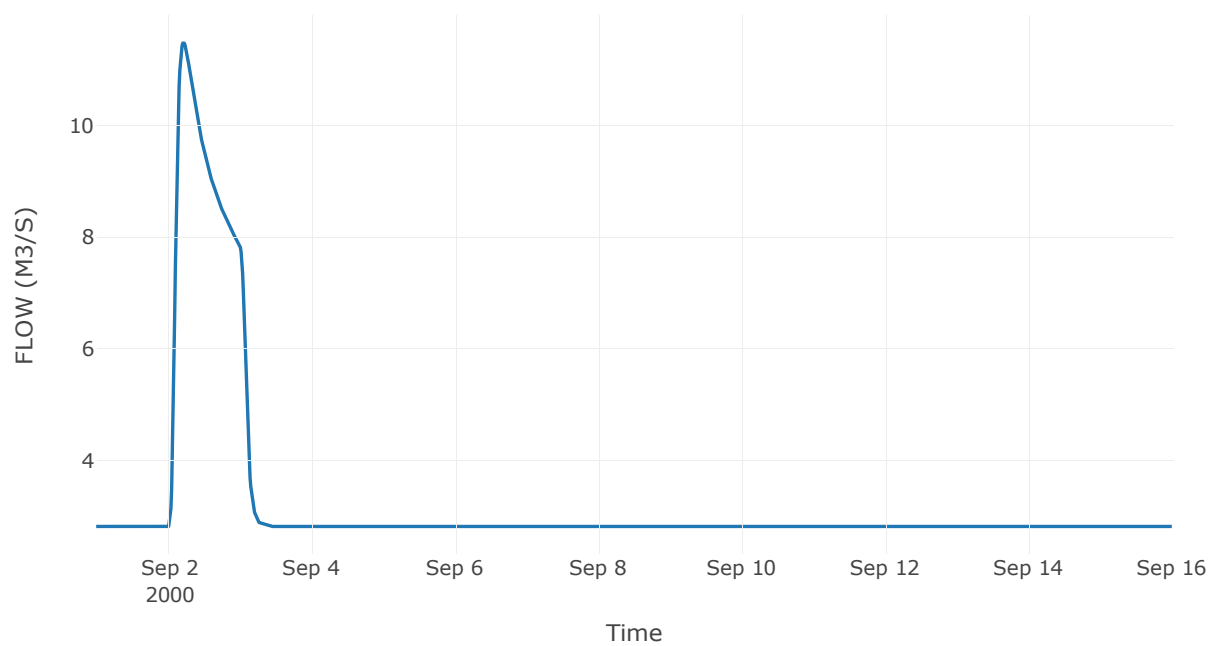
Κόμβος: J16

Κατάντη : R1615

Αποτελέσματα: J16

Παροχή αιχμής (M3/S)	11.48
Χρονική στιγμή αιχμής	02Sep2000, 05:15
Όγκος (MM)	89.8

Απορροή



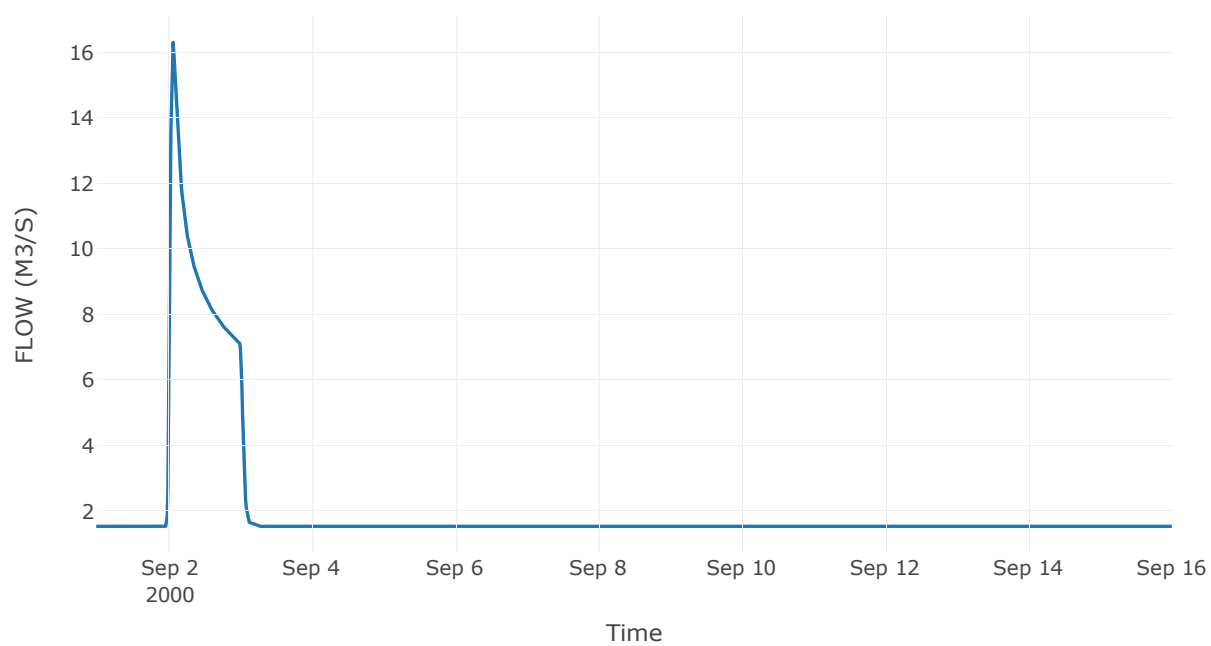
Κόμβος: J17

Κατάντη : R173

Αποτελέσματα: J17

Παροχή αιχμής (M3/S)	16.3
Χρονική στιγμή αιχμής	02Sep2000, 01:45
Όγκος (MM)	105.24

Απορροή



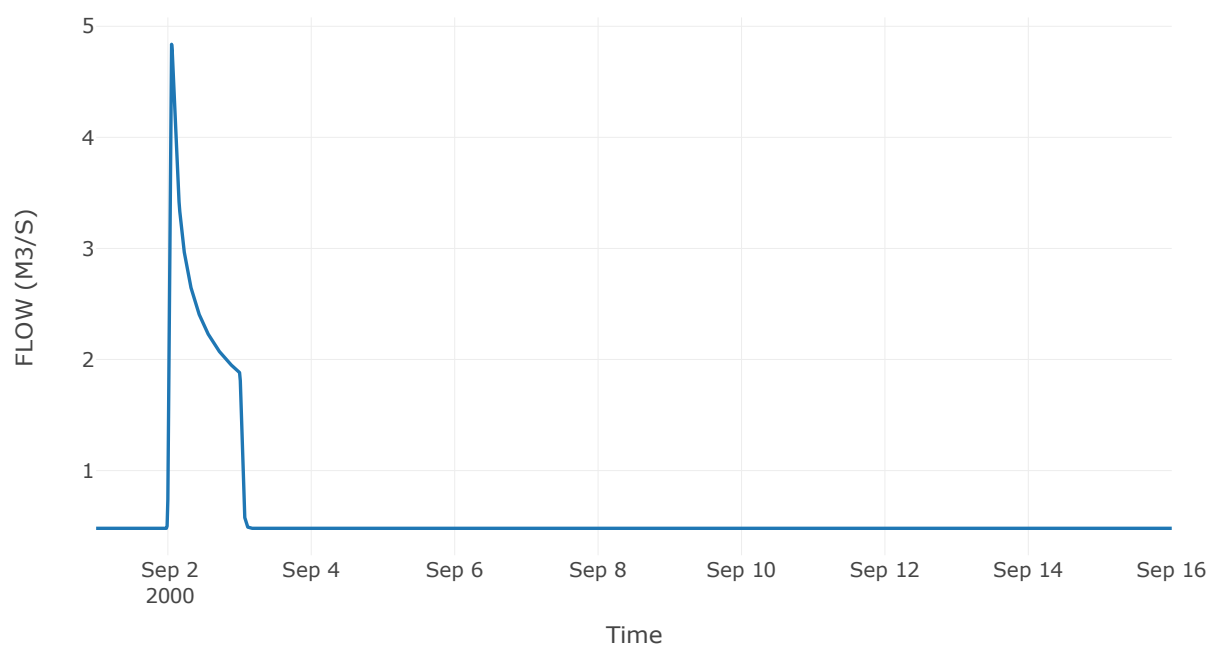
Κόμβος: J18

Κατάντη : R183

Αποτελέσματα: J18

Παροχή αιχμής (M3/S)	4.84
Χρονική στιγμή αιχμής	02Sep2000, 01:15
Όγκος (MM)	100.7

Απορροή



4 Δεδομένα εισόδου και αποτελέσματα υδρολογικού σεναρίου T=50U

4.1 Αποτελέσματα, υετογραφήματα και υδρογραφήματα σχεδιασμού υπολεκανών

Υπολεκάνη: EL0513FR7001

Έκταση (KM2) : 10.61

Κατάντη : J1

Μέθοδος Απωλειών: SCS

Ποσοστό αδιαπέρατης επιφάνειας	0
Αριθμός Καμπύλης Απορροής-CN	88.36
Αρχικές Απώλειες	6.7

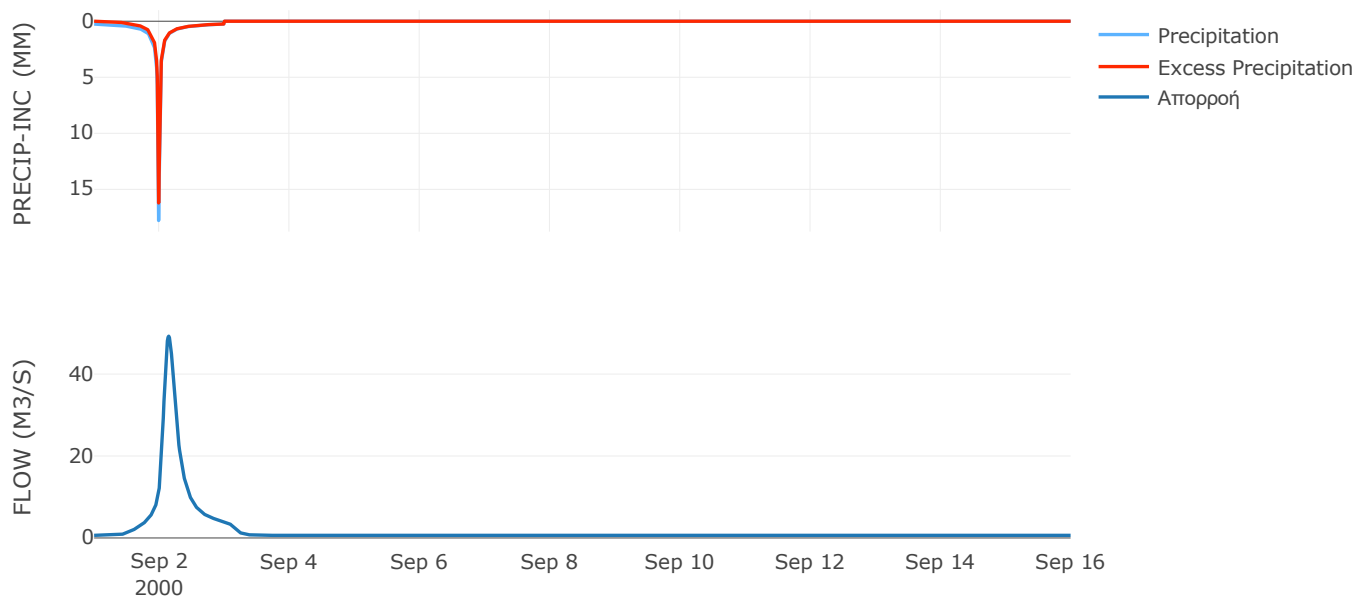
Μέθοδος
Μετασχηματισμού: SCS

Χρόνος Υστέρησης	200.89
------------------	--------

Αποτελέσματα:
EL0513FR7001

Παροχή αιχμής (M3/S)	49.25
Χρονική στιγμή αιχμής	02Sep2000, 03:30
Όγκος (MM)	223.96
Όγκος βροχόπτωσης (M3)	1.92E6
Όγκος απωλειών (M3)	3.69E5
Ενεργός Όγκος (M3)	1.55E6
Όγκος άμεσης απορροής (M3)	1.55E6
Όγκος βασικής απορροής (M3)	8.25E5

Βροχόπτωση και Απορροή



Υπολεκάνη: EL0513FR7002

Έκταση (KM2) : 36.49

Κατάντη : J2

Μέθοδος Απωλειών: SCS

Ποσοστό αδιαπέρατης επιφάνειας	0
Αριθμός Καμπύλης Απορροής-CN	81.67
Αρχικές Απώλειες	11.4

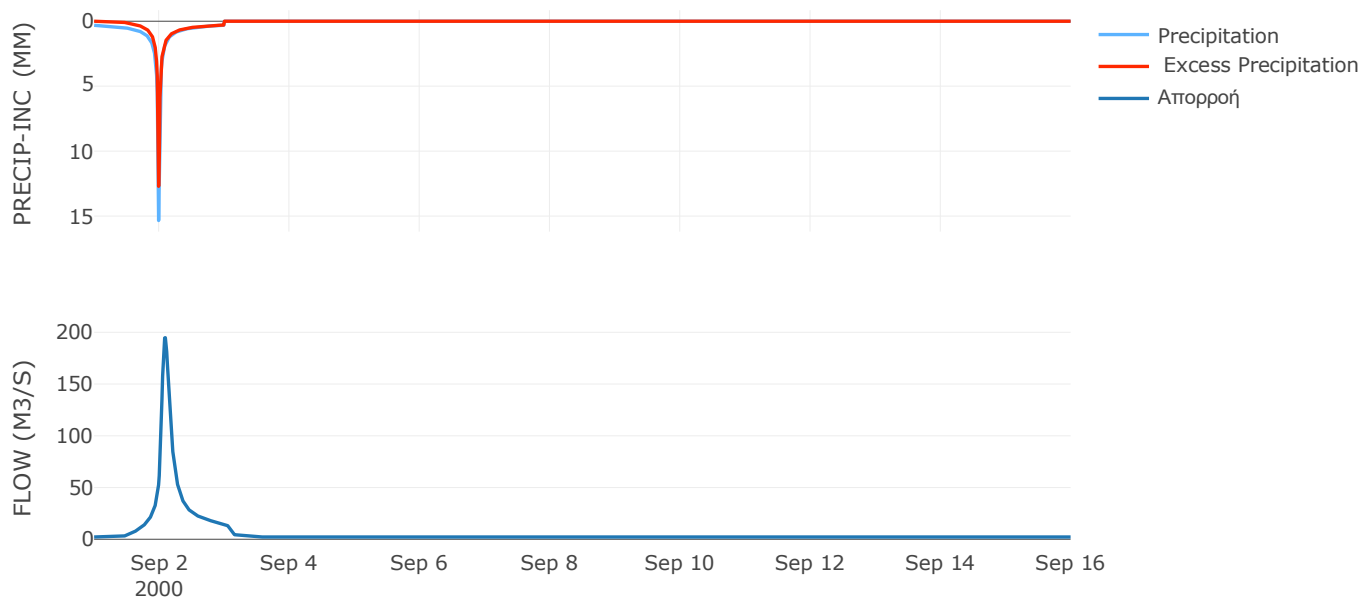
Μέθοδος
Μετασχηματισμού: SCS

Χρόνος Υστέρησης	121.53
------------------	--------

Αποτελέσματα:
EL0513FR7002

Παροχή αιχμής (M3/S)	194.77
Χρονική στιγμή αιχμής	02Sep2000, 02:15
Όγκος (MM)	214.97
Όγκος βροχόπτωσης (M3)	7E6
Όγκος απωλειών (M3)	2E6
Ενεργός Όγκος (M3)	5.01E6
Όγκος άμεσης απορροής (M3)	5.01E6
Όγκος βασικής απορροής (M3)	2.84E6

Βροχόπτωση και Απορροή



Υπολεκάνη: EL0513FR7003

Έκταση (KM2) : 2.15

Κατάντη : J2

Μέθοδος Απωλειών: SCS

Ποσοστό αδιαπέρατης επιφάνειας	0
Αριθμός Καμπύλης Απορροής-CN	86.51
Αρχικές Απώλειες	7.92

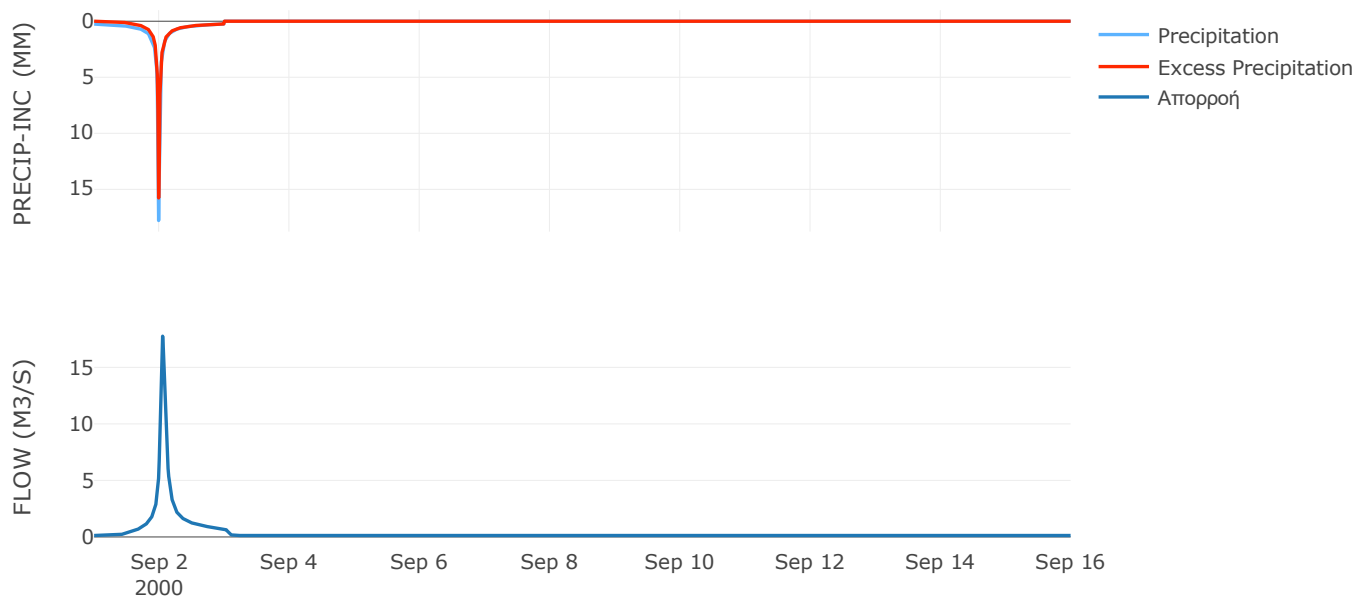
Μέθοδος
Μετασχηματισμού: SCS

Χρόνος Υστέρησης	67.85
------------------	-------

Αποτελέσματα:
EL0513FR7003

Παροχή αιχμής (M3/S)	17.76
Χρονική στιγμή αιχμής	02Sep2000, 01:15
Όγκος (MM)	218.6
Όγκος βροχόπτωσης (M3)	3.89E5
Όγκος απωλειών (M3)	86185.03
Ενεργός Όγκος (M3)	3.02E5
Όγκος άμεσης απορροής (M3)	3.02E5
Όγκος βασικής απορροής (M3)	1.67E5

Βροχόπτωση και Απορροή



Υπολεκάνη: EL0513FR7004

Έκταση (KM2) : 11.5

Κατάντη : J15

Μέθοδος Απωλειών: SCS

Ποσοστό αδιαπέρατης επιφάνειας	0
Αριθμός Καμπύλης Απορροής-CN	77.9
Αρχικές Απώλειες	14.41

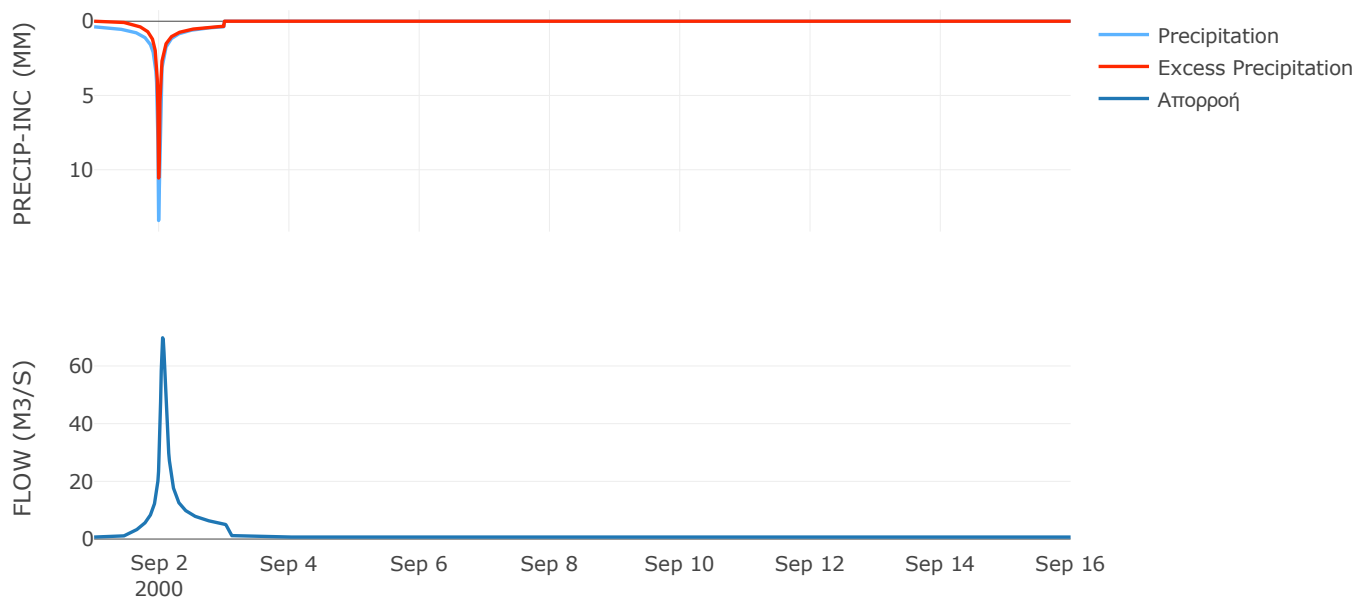
Μέθοδος
Μετασχηματισμού: SCS

Χρόνος Υστέρησης	74.84
------------------	-------

Αποτελέσματα:
EL0513FR7004

Παροχή αιχμής (M3/S)	69.78
Χρονική στιγμή αιχμής	02Sep2000, 01:15
Όγκος (MM)	215.1
Όγκος βροχόπτωσης (M3)	2.34E6
Όγκος απωλειών (M3)	7.66E5
Ενεργός Όγκος (M3)	1.58E6
Όγκος άμεσης απορροής (M3)	1.58E6
Όγκος βασικής απορροής (M3)	8.94E5

Βροχόπτωση και Απορροή



Υπολεκάνη: EL0513FR7005

Έκταση (KM2) : 8.16

Κατάνη : J15

Μέθοδος Απωλειών: SCS

Ποσοστό αδιαπέρατης επιφάνειας	0
Αριθμός Καμπύλης Απορροής-CN	82.45
Αρχικές Απώλειες	10.81

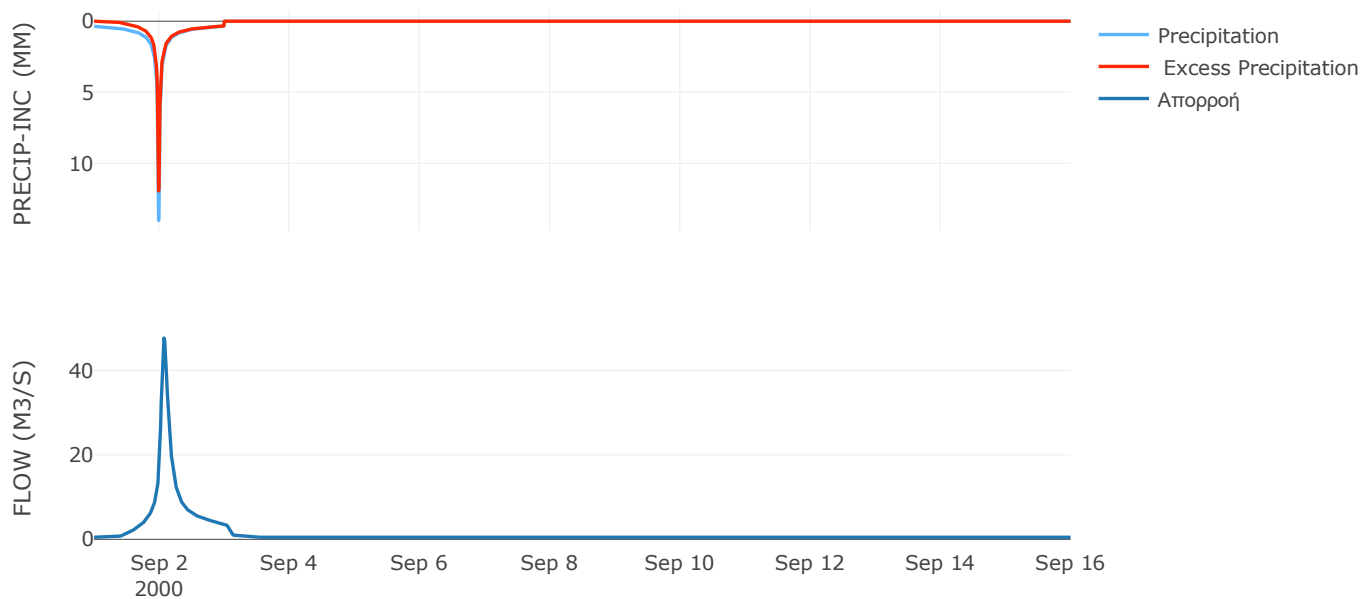
Μέθοδος
Μετασχηματισμού: SCS

Χρόνος Υστέρησης	101.15
------------------	--------

Αποτελέσματα:
EL0513FR7005

Παροχή αιχμής (M3/S)	47.71
Χρονική στιγμή αιχμής	02Sep2000, 01:45
Όγκος (MM)	226.17
Όγκος βροχόπτωσης (M3)	1.64E6
Όγκος απωλειών (M3)	4.32E5
Ενεργός Όγκος (M3)	1.21E6
Όγκος άμεσης απορροής (M3)	1.21E6
Όγκος βασικής απορροής (M3)	6.34E5

Βροχόπτωση και Απορροή



Υπολεκάνη: EL0513FR7006

Έκταση (KM2) : 47.06

Κατάντη : J16

Μέθοδος Απωλειών: SCS

Ποσοστό αδιαπέρατης επιφάνειας	0
Αριθμός Καμπύλης Απορροής-CN	69.12
Αρχικές Απώλειες	22.69

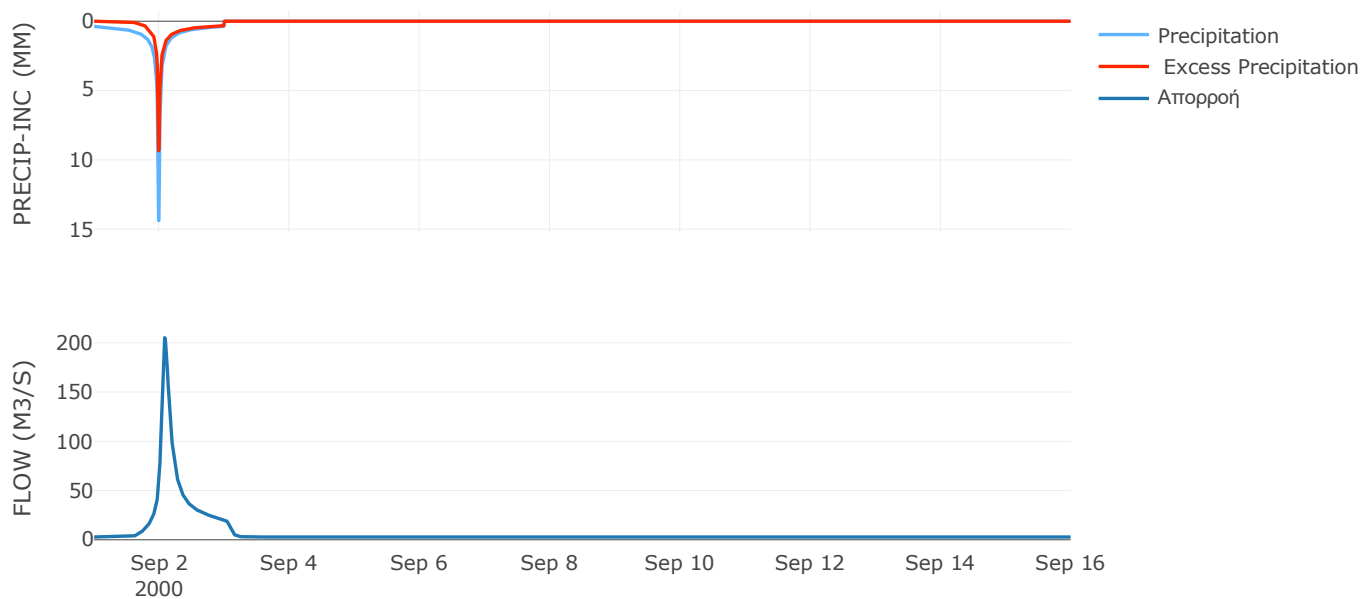
Μέθοδος
Μετασχηματισμού: SCS

Χρόνος Υστέρησης	112.86
------------------	--------

Αποτελέσματα:
EL0513FR7006

Παροχή αιχμής (M3/S)	205.18
Χρονική στιγμή αιχμής	02Sep2000, 02:00
Όγκος (MM)	193.75
Όγκος βροχόπτωσης (M3)	9.85E6
Όγκος απωλειών (M3)	4.39E6
Ενεργός Όγκος (M3)	5.46E6
Όγκος άμεσης απορροής (M3)	5.46E6
Όγκος βασικής απορροής (M3)	3.66E6

Βροχόπτωση και Απορροή



Υπολεκάνη: EL0513FR7007

Έκταση (KM2) : 2.05

Κατάντη : J15

Μέθοδος Απωλειών: SCS

Ποσοστό αδιαπέρατης επιφάνειας	0
Αριθμός Καμπύλης Απορροής-CN	89.33
Αρχικές Απώλειες	6.07

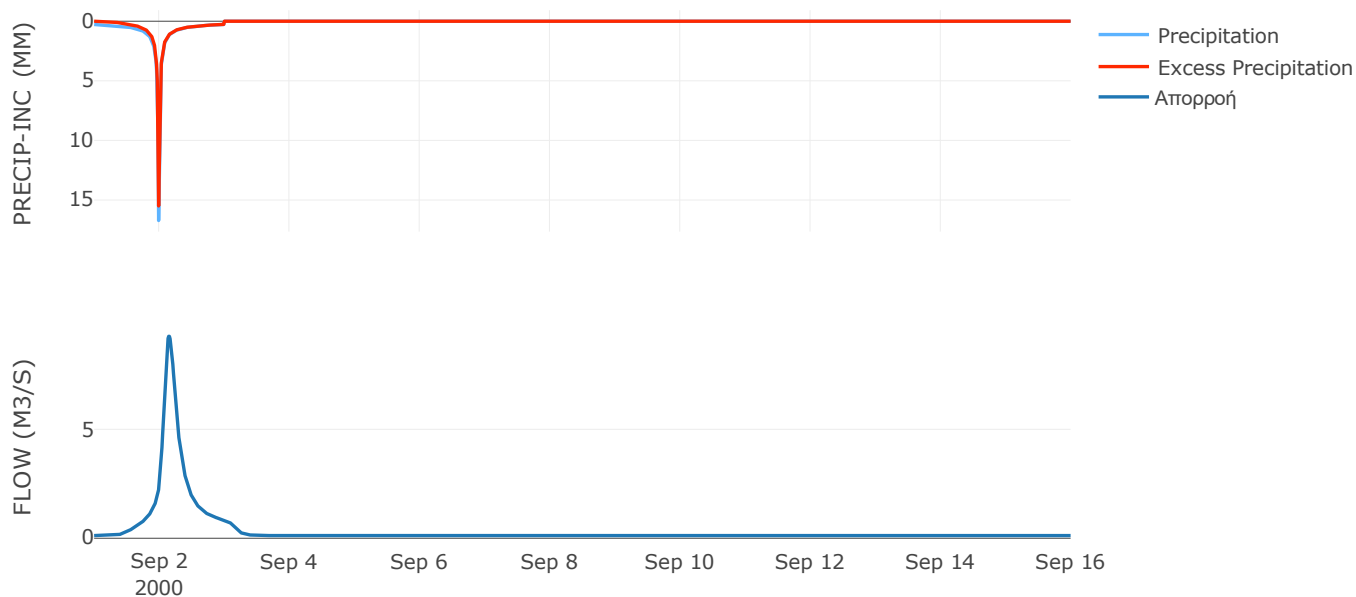
Μέθοδος
Μετασχηματισμού: SCS

Χρόνος Υστέρησης	208.35
------------------	--------

Αποτελέσματα:
EL0513FR7007

Παροχή αιχμής (M3/S)	9.27
Χρονική στιγμή αιχμής	02Sep2000, 03:30
Όγκος (MM)	230.1
Όγκος βροχόπτωσης (M3)	3.78E5
Όγκος απωλειών (M3)	65595.48
Ενεργός Όγκος (M3)	3.12E5
Όγκος άμεσης απορροής (M3)	3.12E5
Όγκος βασικής απορροής (M3)	1.59E5

Βροχόπτωση και Απορροή



Υπολεκάνη: EL0513FR7008

Έκταση (KM2) : 8

Κατάντη : J18

Μέθοδος Απωλειών: SCS

Ποσοστό αδιαπέρατης επιφάνειας	0
Αριθμός Καμπύλης Απορροής-CN	76.01
Αρχικές Απώλειες	16.03

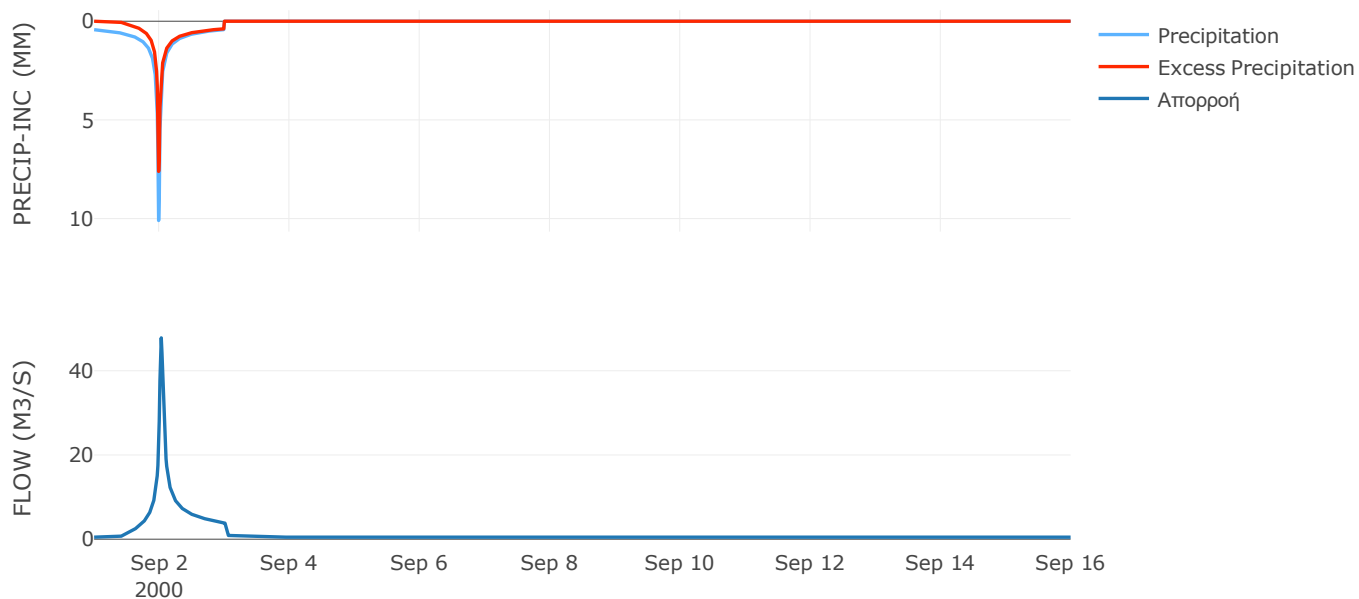
Μέθοδος
Μετασχηματισμού: SCS

Χρόνος Υστέρησης	39.97
------------------	-------

Αποτελέσματα:
EL0513FR7008

Παροχή αιχμής (M3/S)	47.81
Χρονική στιγμή αιχμής	02Sep2000, 00:45
Όγκος (MM)	206.13
Όγκος βροχόπτωσης (M3)	1.6E6
Όγκος απωλειών (M3)	5.75E5
Ενεργός Όγκος (M3)	1.03E6
Όγκος άμεσης απορροής (M3)	1.03E6
Όγκος βασικής απορροής (M3)	6.22E5

Βροχόπτωση και Απορροή



Υπολεκάνη: EL0513FR7009

Έκταση (KM2) : 25.56

Κατάντη : J17

Μέθοδος Απωλειών: SCS

Ποσοστό αδιαπέρατης επιφάνειας	0
Αριθμός Καμπύλης Απορροής-CN	76.43
Αρχικές Απώλειες	15.67

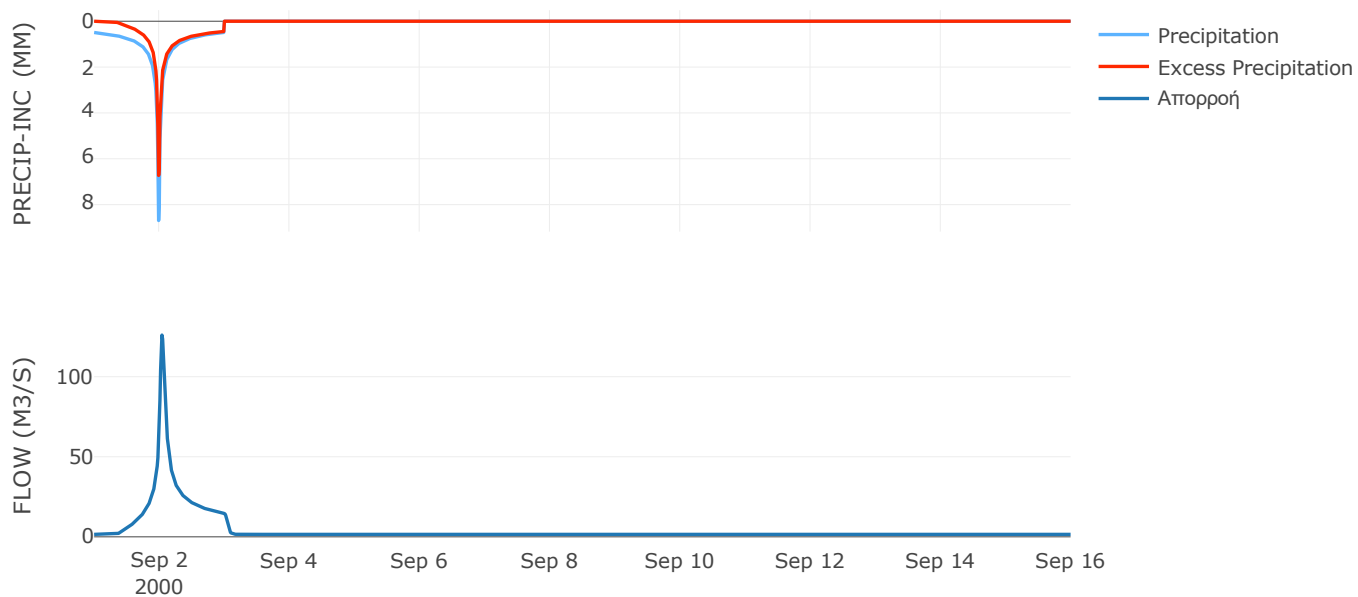
Μέθοδος
Μετασχηματισμού: SCS

Χρόνος Υστέρησης	58.87
------------------	-------

Αποτελέσματα:
EL0513FR7009

Παροχή αιχμής (M3/S)	126.01
Χρονική στιγμή αιχμής	02Sep2000, 01:00
Όγκος (MM)	215.32
Όγκος βροχόπτωσης (M3)	5.34E6
Όγκος απωλειών (M3)	1.83E6
Ενεργός Όγκος (M3)	3.52E6
Όγκος άμεσης απορροής (M3)	3.52E6
Όγκος βασικής απορροής (M3)	1.99E6

Βροχόπτωση και Απορροή



Υπολεκάνη: EL0513FR7010

Έκταση (KM2) : 14.22

Κατάντη : J3

Μέθοδος Απωλειών: SCS

Ποσοστό αδιαπέρατης επιφάνειας	0
Αριθμός Καμπύλης Απορροής-CN	80.04
Αρχικές Απώλειες	12.67

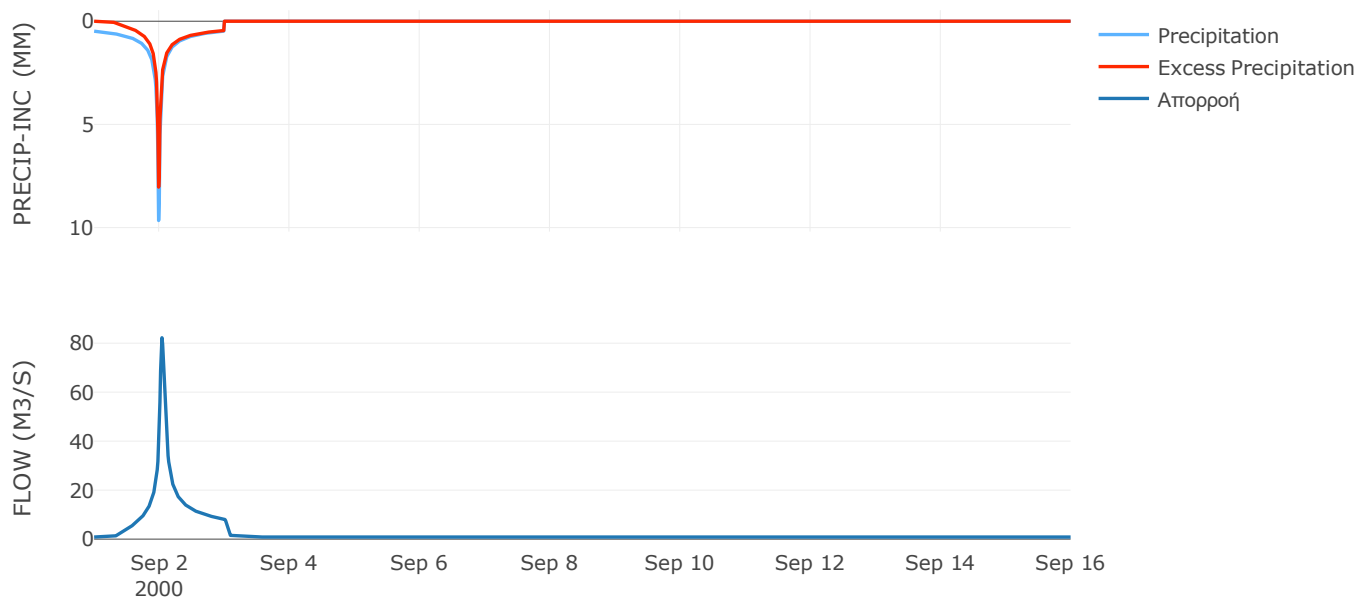
Μέθοδος
Μετασχηματισμού: SCS

Χρόνος Υστέρησης	57.53
------------------	-------

Αποτελέσματα:
EL0513FR7010

Παροχή αιχμής (M3/S)	82.22
Χρονική στιγμή αιχμής	02Sep2000, 01:00
Όγκος (MM)	230.37
Όγκος βροχόπτωσης (M3)	3.03E6
Όγκος απωλειών (M3)	8.65E5
Ενεργός Όγκος (M3)	2.17E6
Όγκος άμεσης απορροής (M3)	2.17E6
Όγκος βασικής απορροής (M3)	1.11E6

Βροχόπτωση και Απορροή



Υπολεκάνη: EL0513FR7011

Έκταση (KM2) : 27

Κατάντη : J3

Μέθοδος Απωλειών: SCS

Ποσοστό αδιαπέρατης επιφάνειας	0
Αριθμός Καμπύλης Απορροής-CN	83.4
Αρχικές Απώλειες	10.11

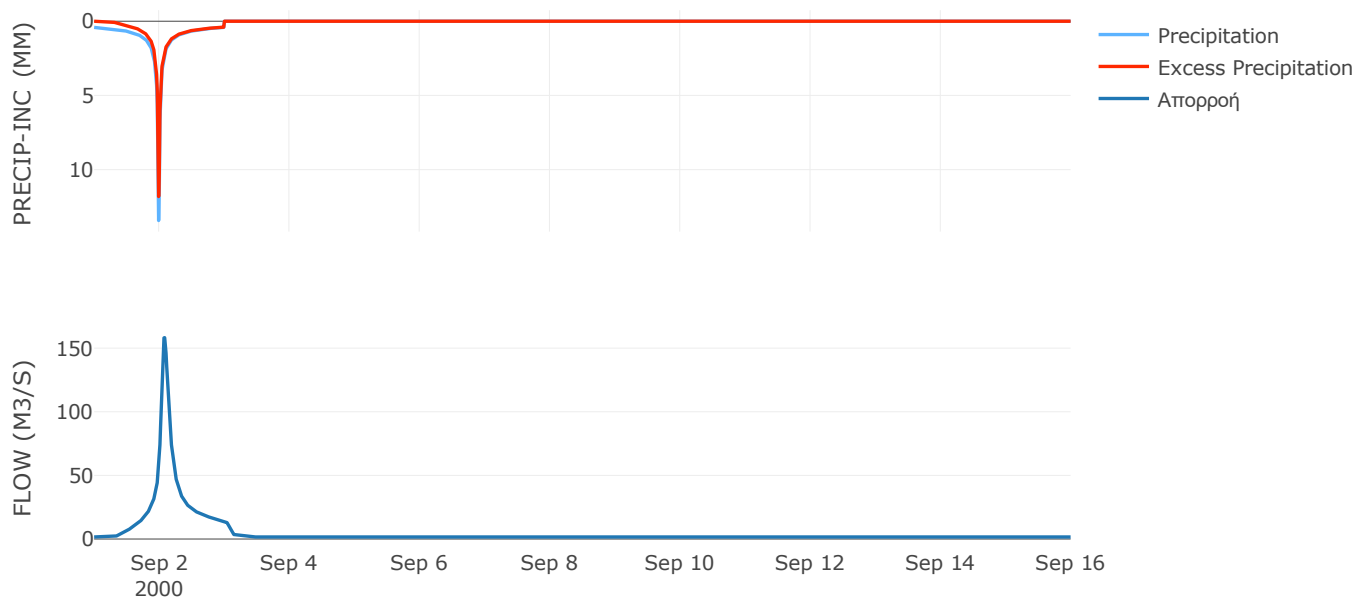
Μέθοδος
Μετασχηματισμού: SCS

Χρόνος Υστέρησης	107.94
------------------	--------

Αποτελέσματα:
EL0513FR7011

Παροχή αιχμής (M3/S)	158.22
Χρονική στιγμή αιχμής	02Sep2000, 02:00
Όγκος (MM)	244.64
Όγκος βροχόπτωσης (M3)	5.88E6
Όγκος απωλειών (M3)	1.37E6
Ενεργός Όγκος (M3)	4.51E6
Όγκος άμεσης απορροής (M3)	4.51E6
Όγκος βασικής απορροής (M3)	2.1E6

Βροχόπτωση και Απορροή



Υπολεκάνη: EL0513FR7012

Έκταση (KM2) : 36.83

Κατάντη : J14

Μέθοδος Απωλειών: SCS

Ποσοστό αδιαπέρατης επιφάνειας	0
Αριθμός Καμπύλης Απορροής-CN	82.95
Αρχικές Απώλειες	10.44

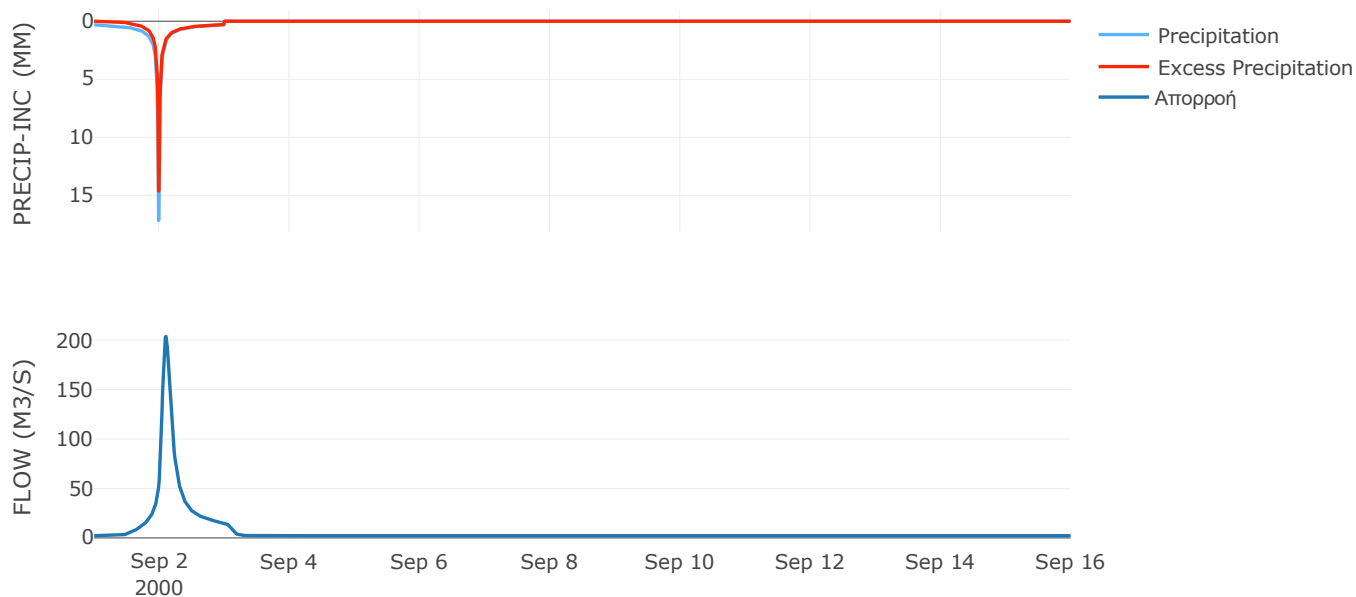
Μέθοδος
Μετασχηματισμού: SCS

Χρόνος Υστέρησης	137.55
------------------	--------

Αποτελέσματα:
EL0513FR7012

Παροχή αιχμής (M3/S)	203.74
Χρονική στιγμή αιχμής	02Sep2000, 02:30
Όγκος (MM)	223.52
Όγκος βροχόπτωσης (M3)	7.25E6
Όγκος απωλειών (M3)	1.89E6
Ενεργός Όγκος (M3)	5.37E6
Όγκος άμεσης απορροής (M3)	5.37E6
Όγκος βασικής απορροής (M3)	2.86E6

Βροχόπτωση και Απορροή



Υπολεκάνη: EL0513FR7013

Έκταση (KM2) : 10.56

Κατάντη : J6

Μέθοδος Απωλειών: SCS

Ποσοστό αδιαπέρατης επιφάνειας	0
Αριθμός Καμπύλης Απορροής-CN	85.91
Αρχικές Απώλειες	8.33

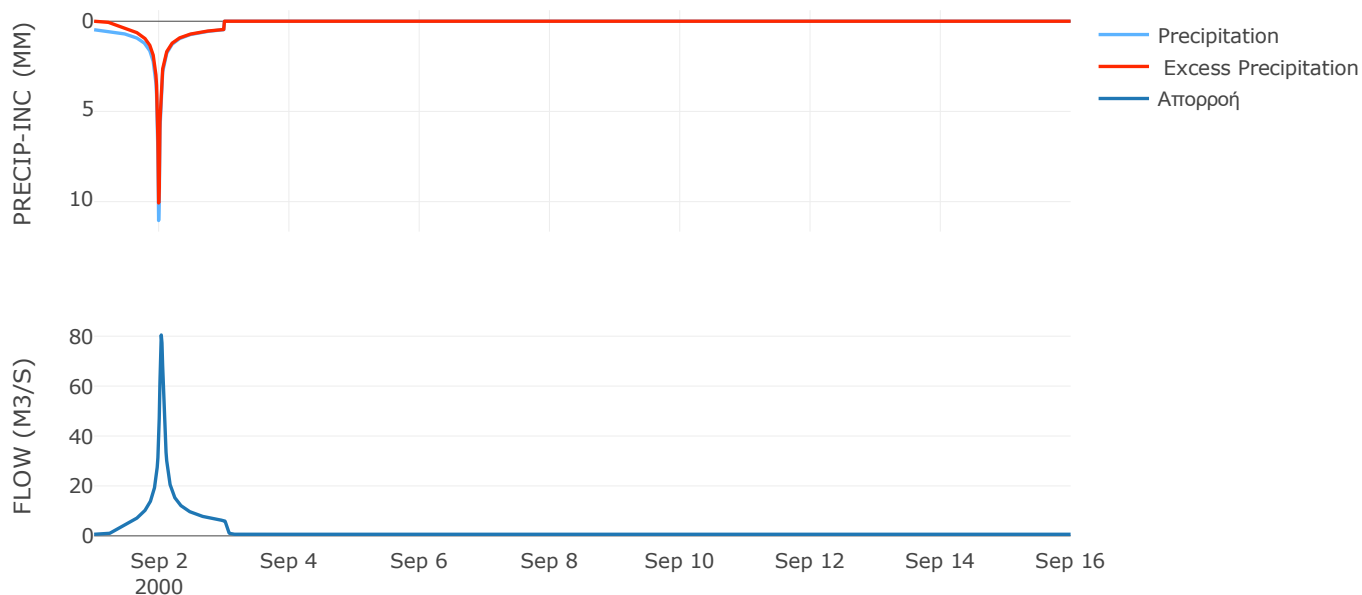
Μέθοδος
Μετασχηματισμού: SCS

Χρόνος Υστέρησης	45.09
------------------	-------

Αποτελέσματα:
EL0513FR7013

Παροχή αιχμής (M3/S)	80.48
Χρονική στιγμή αιχμής	02Sep2000, 00:45
Όγκος (MM)	254.92
Όγκος βροχόπτωσης (M3)	2.33E6
Όγκος απωλειών (M3)	4.56E5
Ενεργός Όγκος (M3)	1.87E6
Όγκος άμεσης απορροής (M3)	1.87E6
Όγκος βασικής απορροής (M3)	8.21E5

Βροχόπτωση και Απορροή



Υπολεκάνη: EL0513FR7014

Έκταση (KM2) : 22.48

Κατάντη : J5

Μέθοδος Απωλειών: SCS

Ποσοστό αδιαπέρατης επιφάνειας	0
Αριθμός Καμπύλης Απορροής-CN	70.45
Αρχικές Απώλειες	21.3

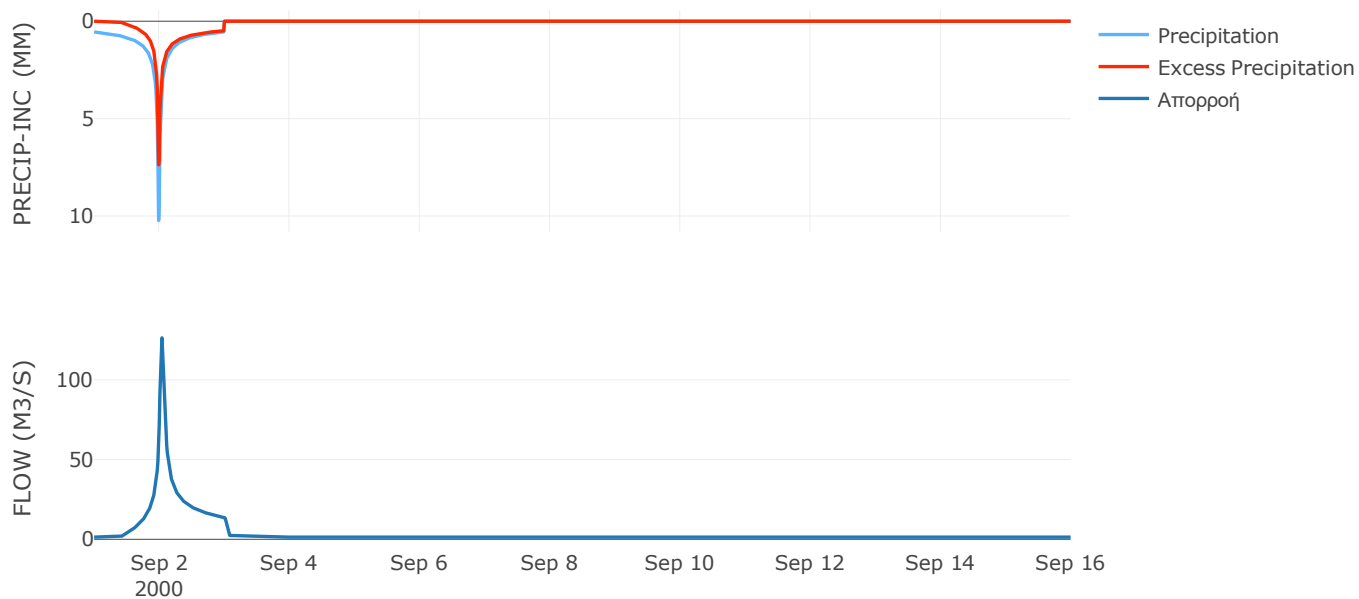
Μέθοδος
Μετασχηματισμού: SCS

Χρόνος Υστέρησης	49.26
------------------	-------

Αποτελέσματα:
EL0513FR7014

Παροχή αιχμής (M3/S)	126.3
Χρονική στιγμή αιχμής	02Sep2000, 01:00
Όγκος (MM)	223.25
Όγκος βροχόπτωσης (M3)	5.35E6
Όγκος απωλειών (M3)	2.08E6
Ενεργός Όγκος (M3)	3.27E6
Όγκος άμεσης απορροής (M3)	3.27E6
Όγκος βασικής απορροής (M3)	1.75E6

Βροχόπτωση και Απορροή



Υπολεκάνη: EL0513FR7015

Έκταση (KM2) : 54.51

Κατάντη : J6

Μέθοδος Απωλειών: SCS

Ποσοστό αδιαπέρατης επιφάνειας	0
Αριθμός Καμπύλης Απορροής-CN	80.6
Αρχικές Απώλειες	12.23

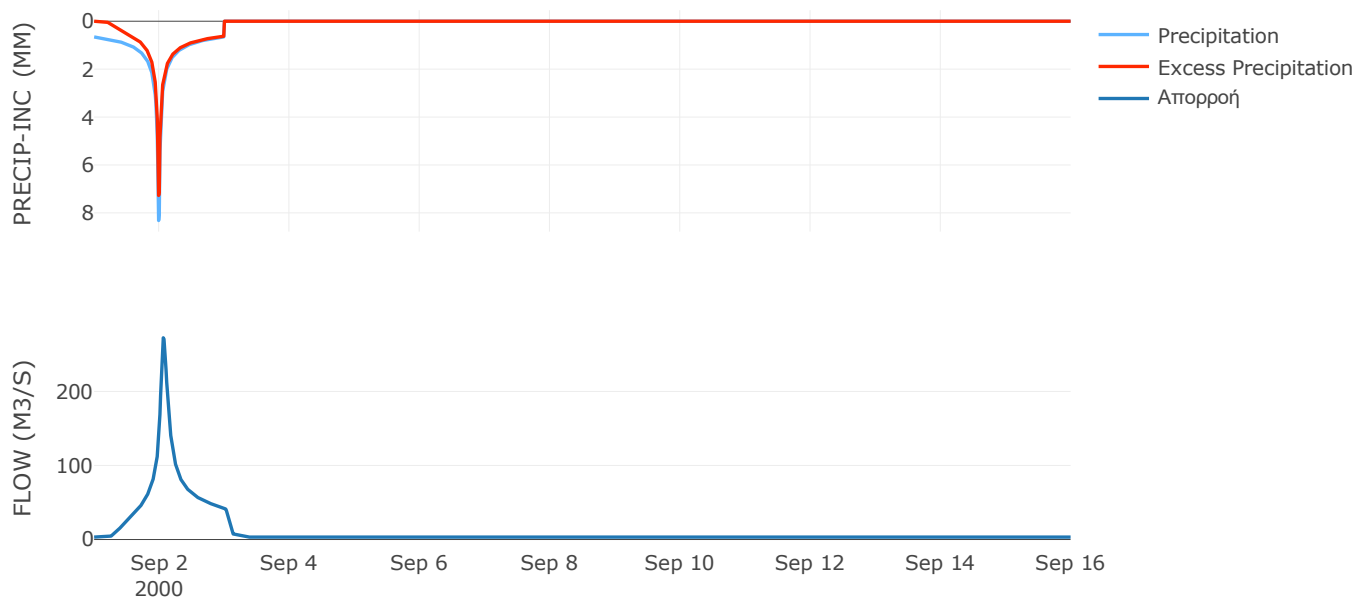
Μέθοδος
Μετασχηματισμού: SCS

Χρόνος Υστέρησης	88.93
------------------	-------

Αποτελέσματα:
EL0513FR7015

Παροχή αιχμής (M3/S)	272.55
Χρονική στιγμή αιχμής	02Sep2000, 01:30
Όγκος (MM)	268.85
Όγκος βροχόπτωσης (M3)	1.37E7
Όγκος απωλειών (M3)	3.32E6
Ενεργός Όγκος (M3)	1.04E7
Όγκος άμεσης απορροής (M3)	1.04E7
Όγκος βασικής απορροής (M3)	4.24E6

Βροχόπτωση και Απορροή



Υπολεκάνη: EL0513FR7016

Έκταση (KM2) : 13.52

Κατάντη : J4

Μέθοδος Απωλειών: SCS

Ποσοστό αδιαπέρατης επιφάνειας	0
Αριθμός Καμπύλης Απορροής-CN	67.74
Αρχικές Απώλειες	24.19

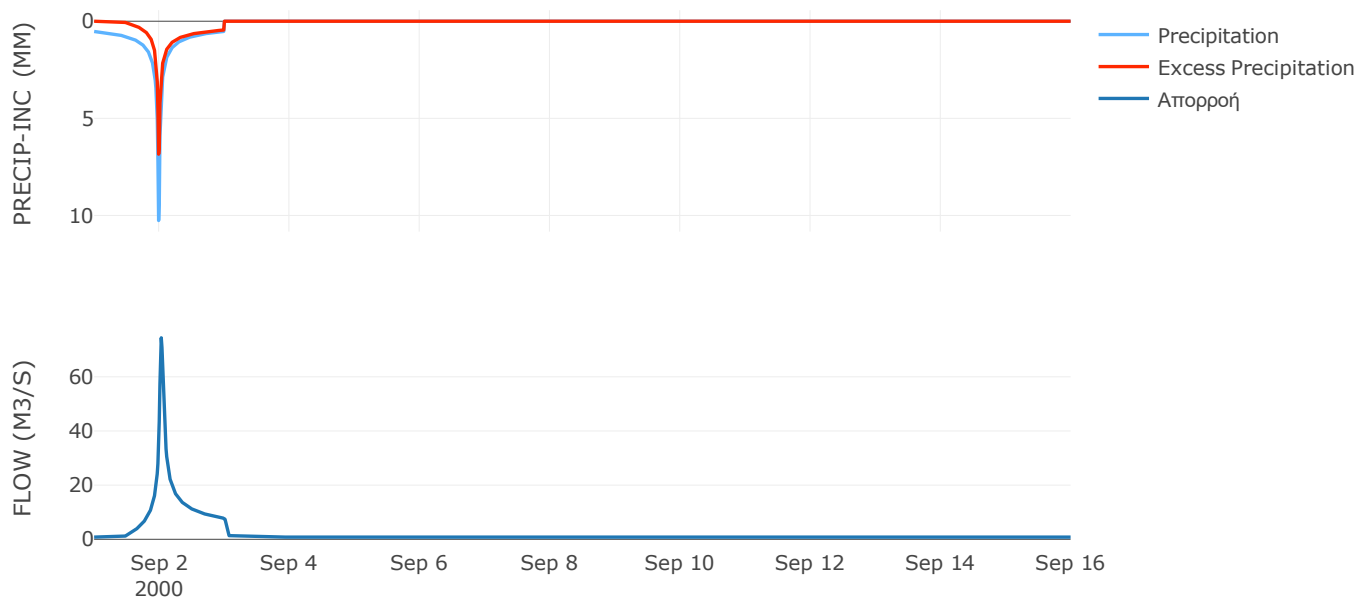
Μέθοδος
Μετασχηματισμού: SCS

Χρόνος Υστέρησης	41.64
------------------	-------

Αποτελέσματα:
EL0513FR7016

Παροχή αιχμής (M3/S)	74.4
Χρονική στιγμή αιχμής	02Sep2000, 00:45
Όγκος (MM)	208.68
Όγκος βροχόπτωσης (M3)	3.13E6
Όγκος απωλειών (M3)	1.36E6
Ενεργός Όγκος (M3)	1.77E6
Όγκος άμεσης απορροής (M3)	1.77E6
Όγκος βασικής απορροής (M3)	1.05E6

Βροχόπτωση και Απορροή



Υπολεκάνη: EL0513FR7017

Έκταση (KM2) : 45.33

Κατάντη : J5

Μέθοδος Απωλειών: SCS

Ποσοστό αδιαπέρατης επιφάνειας	0
Αριθμός Καμπύλης Απορροής-CN	68.66
Αρχικές Απώλειες	23.19

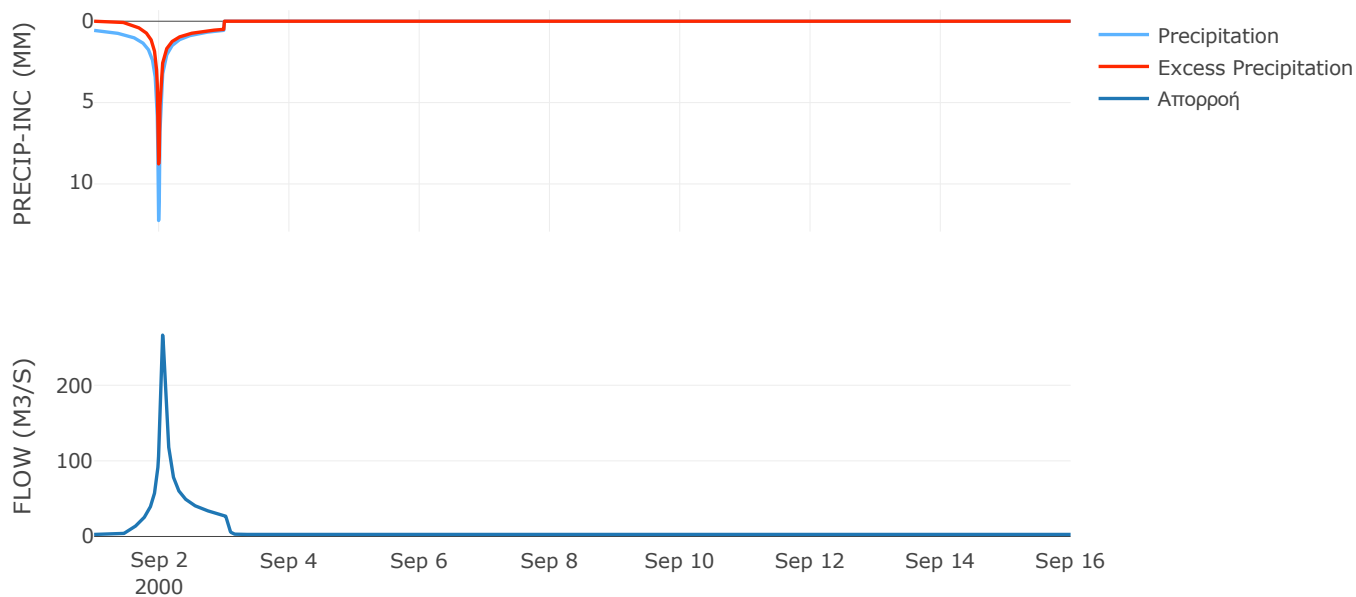
Μέθοδος
Μετασχηματισμού: SCS

Χρόνος Υστέρησης	66.6
------------------	------

Αποτελέσματα:
EL0513FR7017

Παροχή αιχμής (M3/S)	266.29
Χρονική στιγμή αιχμής	02Sep2000, 01:15
Όγκος (MM)	233.53
Όγκος βροχόπτωσης (M3)	1.16E7
Όγκος απωλειών (M3)	4.56E6
Ενεργός Όγκος (M3)	7.06E6
Όγκος άμεσης απορροής (M3)	7.06E6
Όγκος βασικής απορροής (M3)	3.53E6

Βροχόπτωση και Απορροή



Υπολεκάνη: EL0513FR7018

Έκταση (KM2) : 32.48

Κατάντη : J10

Μέθοδος Απωλειών: SCS

Ποσοστό αδιαπέρατης επιφάνειας	0
Αριθμός Καμπύλης Απορροής-CN	72.61
Αρχικές Απώλειες	19.16

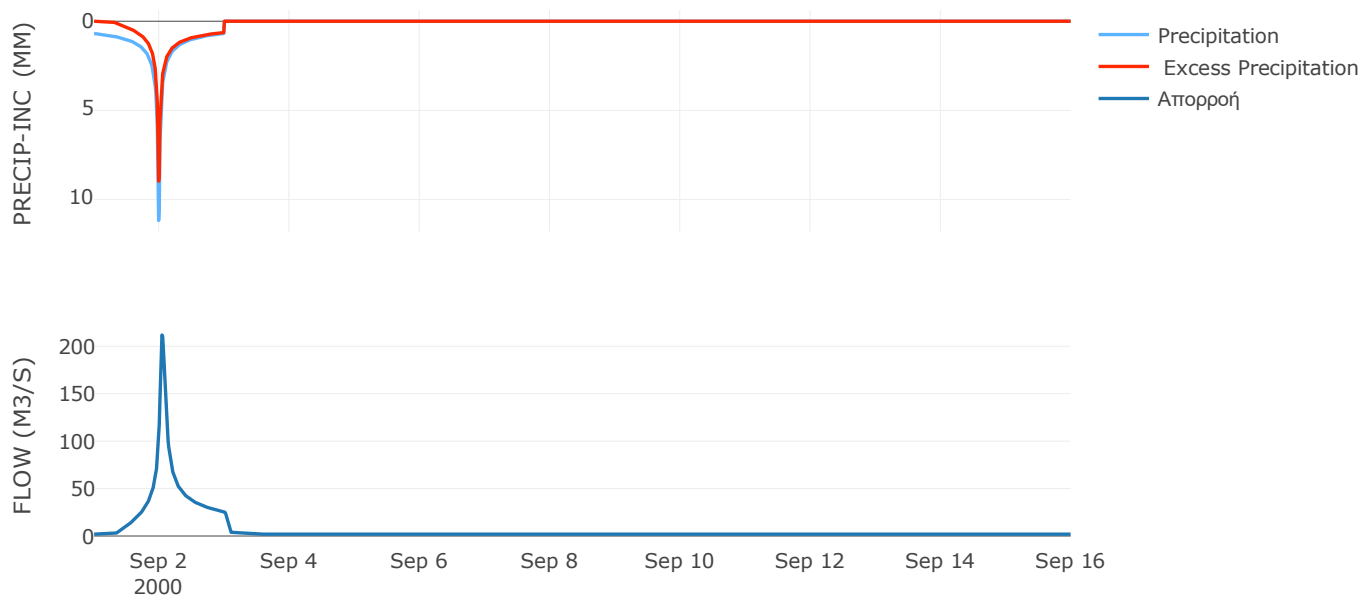
Μέθοδος
Μετασχηματισμού: SCS

Χρόνος Υστέρησης	62.13
------------------	-------

Αποτελέσματα:
EL0513FR7018

Παροχή αιχμής (M3/S)	211.87
Χρονική στιγμή αιχμής	02Sep2000, 01:00
Όγκος (MM)	272.82
Όγκος βροχόπτωσης (M3)	9.25E6
Όγκος απωλειών (M3)	2.91E6
Ενεργός Όγκος (M3)	6.34E6
Όγκος άμεσης απορροής (M3)	6.34E6
Όγκος βασικής απορροής (M3)	2.53E6

Βροχόπτωση και Απορροή



Υπολεκάνη: EL0513FR7019

Έκταση (KM2) : 40.09

Κατάνη : J12

Μέθοδος Απωλειών: SCS

Ποσοστό αδιαπέρατης επιφάνειας	0
Αριθμός Καμπύλης Απορροής-CN	82.09
Αρχικές Απώλειες	11.08

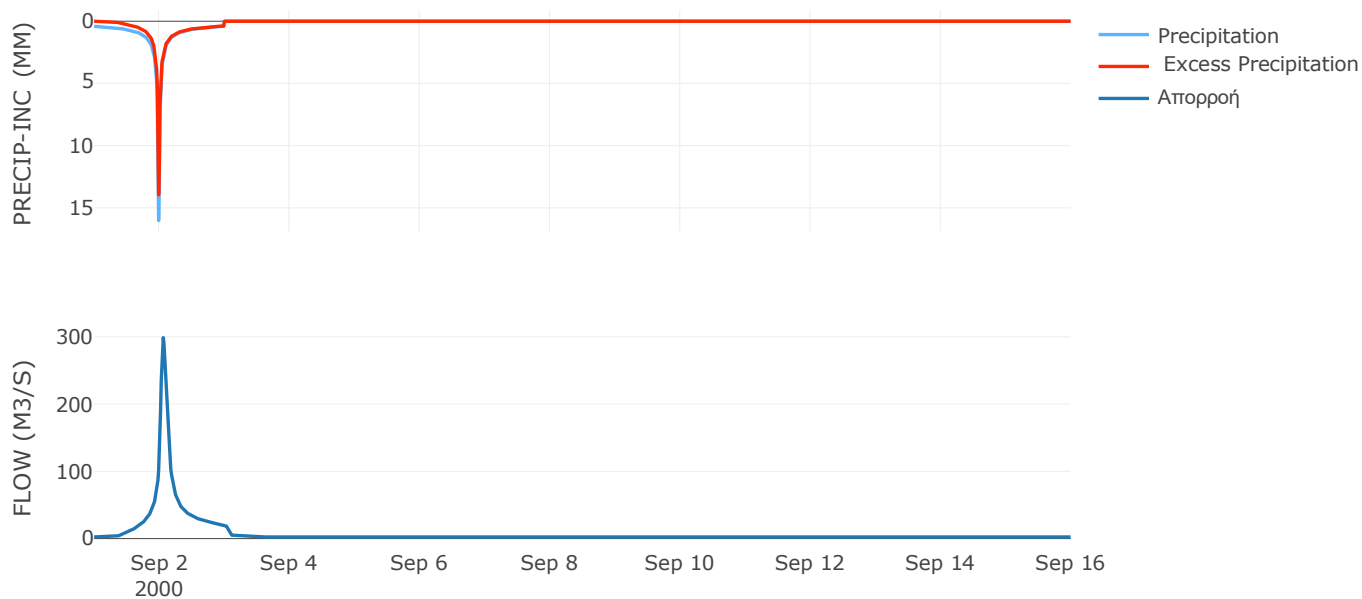
Μέθοδος
Μετασχηματισμού: SCS

Χρόνος Υστέρησης	83.55
------------------	-------

Αποτελέσματα:
EL0513FR7019

Παροχή αιχμής (M3/S)	298.71
Χρονική στιγμή αιχμής	02Sep2000, 01:30
Όγκος (MM)	250.85
Όγκος βροχόπτωσης (M3)	9.15E6
Όγκος απωλειών (M3)	2.21E6
Ενεργός Όγκος (M3)	6.94E6
Όγκος άμεσης απορροής (M3)	6.94E6
Όγκος βασικής απορροής (M3)	3.12E6

Βροχόπτωση και Απορροή



Υπολεκάνη: EL0513FR7020

Έκταση (KM2) : 21.52

Κατάνη : J11

Μέθοδος Απωλειών: SCS

Ποσοστό αδιαπέρατης επιφάνειας	0
Αριθμός Καμπύλης Απορροής-CN	77.5
Αρχικές Απώλειες	14.75

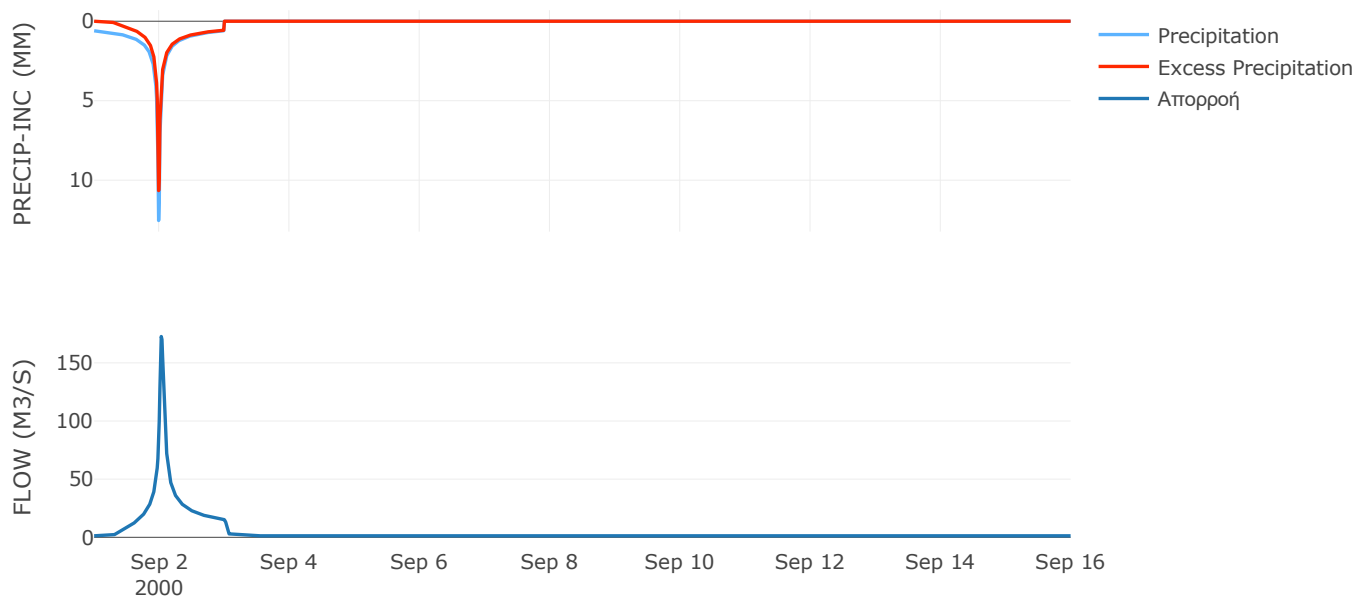
Μέθοδος
Μετασχηματισμού: SCS

Χρόνος Υστέρησης	47.85
------------------	-------

Αποτελέσματα:
EL0513FR7020

Παροχή αιχμής (M3/S)	172.65
Χρονική στιγμή αιχμής	02Sep2000, 00:45
Όγκος (MM)	275.56
Όγκος βροχόπτωσης (M3)	5.8E6
Όγκος απωλειών (M3)	1.55E6
Ενεργός Όγκος (M3)	4.26E6
Όγκος άμεσης απορροής (M3)	4.26E6
Όγκος βασικής απορροής (M3)	1.67E6

Βροχόπτωση και Απορροή



Υπολεκάνη: EL0513FR7021

Έκταση (KM2) : 23.01

Κατάντη : J12

Μέθοδος Απωλειών: SCS

Ποσοστό αδιαπέρατης επιφάνειας	0
Αριθμός Καμπύλης Απορροής-CN	74.59
Αρχικές Απώλειες	17.31

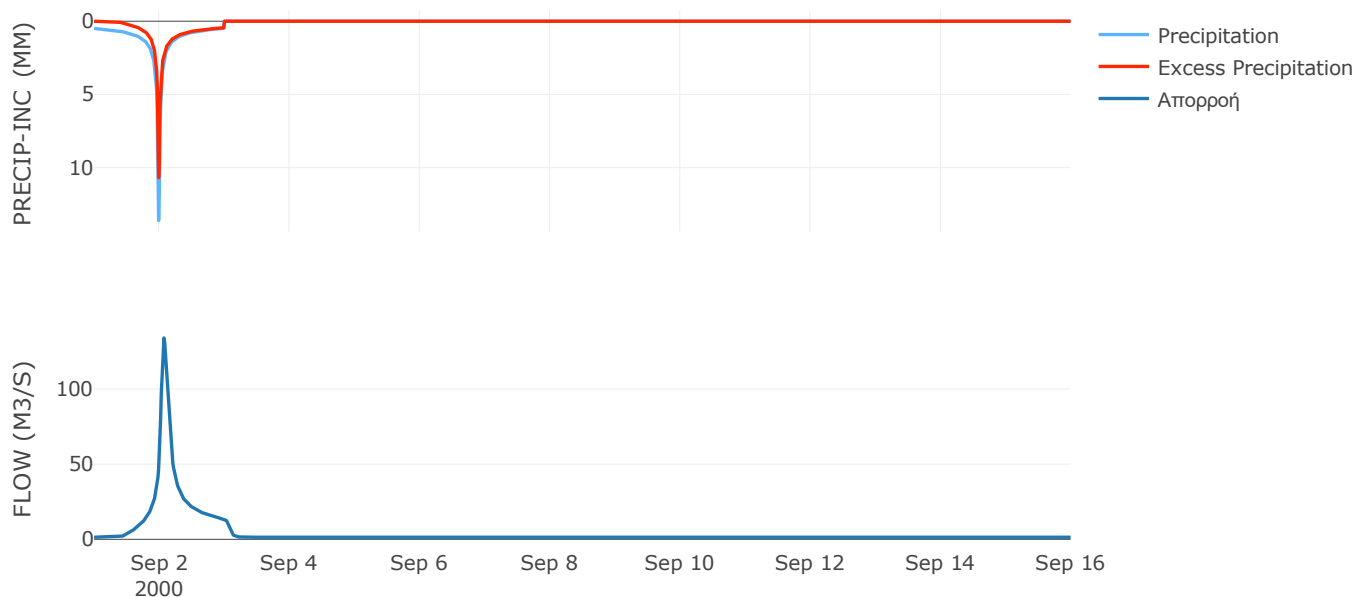
Μέθοδος
Μετασχηματισμού: SCS

Χρόνος Υστέρησης	95.97
------------------	-------

Αποτελέσματα:
EL0513FR7021

Παροχή αιχμής (M3/S)	133.98
Χρονική στιγμή αιχμής	02Sep2000, 01:45
Όγκος (MM)	240.43
Όγκος βροχόπτωσης (M3)	5.58E6
Όγκος απωλειών (M3)	1.84E6
Ενεργός Όγκος (M3)	3.74E6
Όγκος άμεσης απορροής (M3)	3.74E6
Όγκος βασικής απορροής (M3)	1.79E6

Βροχόπτωση και Απορροή



Υπολεκάνη: EL0513FR7022

Έκταση (KM2) : 10.49

Κατάντη : J10

Μέθοδος Απωλειών: SCS

Ποσοστό αδιαπέρατης επιφάνειας	0
Αριθμός Καμπύλης Απορροής-CN	77.31
Αρχικές Απώλειες	14.91

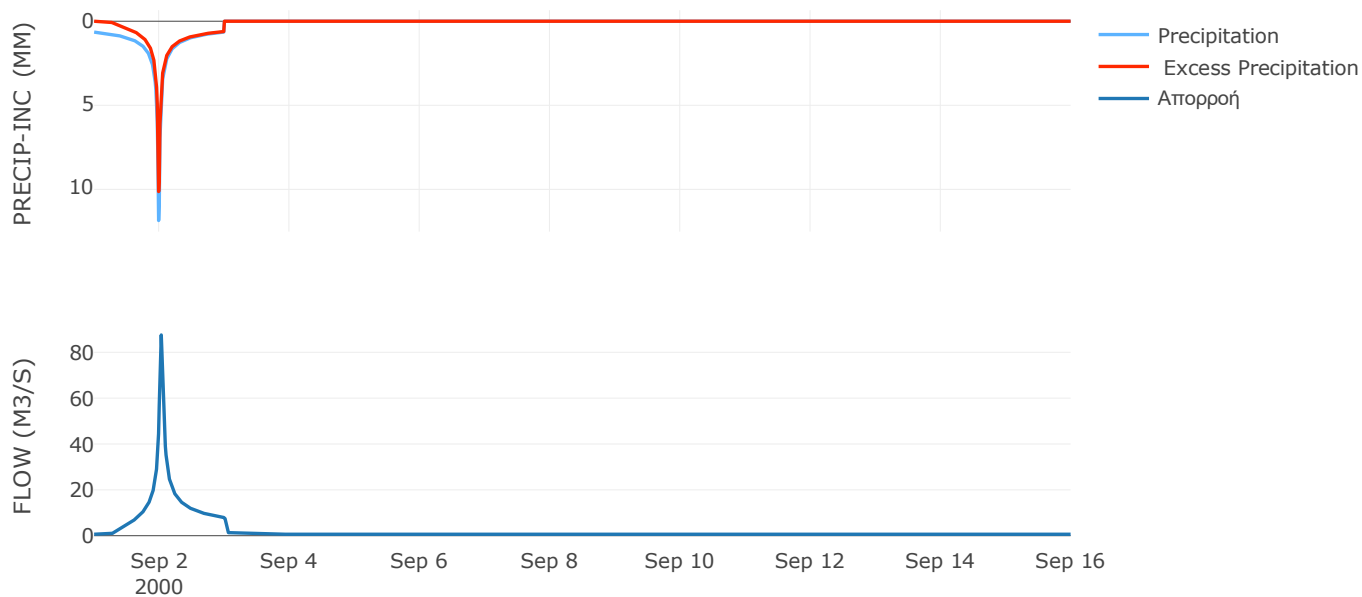
Μέθοδος
Μετασχηματισμού: SCS

Χρόνος Υστέρησης	37.55
------------------	-------

Αποτελέσματα:
EL0513FR7022

Παροχή αιχμής (M3/S)	87.58
Χρονική στιγμή αιχμής	02Sep2000, 00:45
Όγκος (MM)	283.4
Όγκος βροχόπτωσης (M3)	2.92E6
Όγκος απωλειών (M3)	7.66E5
Ενεργός Όγκος (M3)	2.16E6
Όγκος άμεσης απορροής (M3)	2.16E6
Όγκος βασικής απορροής (M3)	8.16E5

Βροχόπτωση και Απορροή



Υπολεκάνη: EL0513FR7023

Έκταση (KM2) : 25.04

Κατάντη : J8

Μέθοδος Απωλειών: SCS

Ποσοστό αδιαπέρατης επιφάνειας	0
Αριθμός Καμπύλης Απορροής-CN	82.21
Αρχικές Απώλειες	10.99

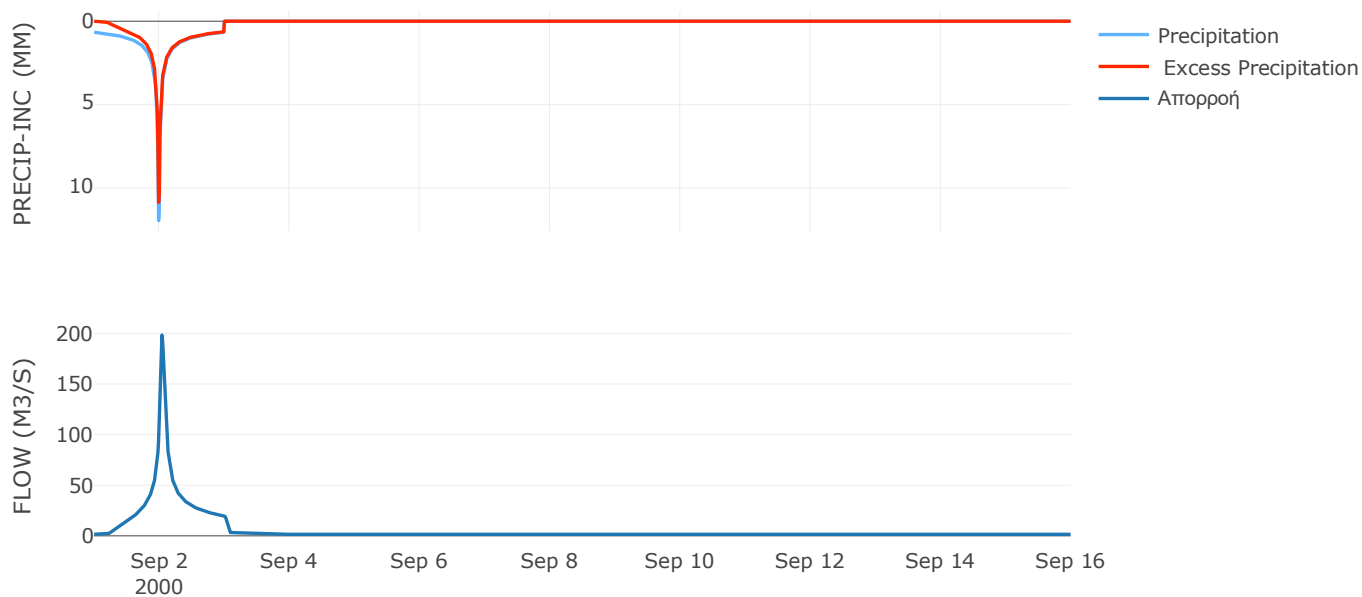
Μέθοδος
Μετασχηματισμού: SCS

Χρόνος Υστέρησης	58.1
------------------	------

Αποτελέσματα:
EL0513FR7023

Παροχή αιχμής (M3/S)	198.43
Χρονική στιγμή αιχμής	02Sep2000, 01:00
Όγκος (MM)	303.71
Όγκος βροχόπτωσης (M3)	7.08E6
Όγκος απωλειών (M3)	1.42E6
Ενεργός Όγκος (M3)	5.66E6
Όγκος άμεσης απορροής (M3)	5.66E6
Όγκος βασικής απορροής (M3)	1.95E6

Βροχόπτωση και Απορροή



Υπολεκάνη: EL0513FR7024

Έκταση (KM2) : 52.1

Κατάντη : J7

Μέθοδος Απωλειών: SCS

Ποσοστό αδιαπέρατης επιφάνειας	0
Αριθμός Καμπύλης Απορροής-CN	81.72
Αρχικές Απώλειες	11.36

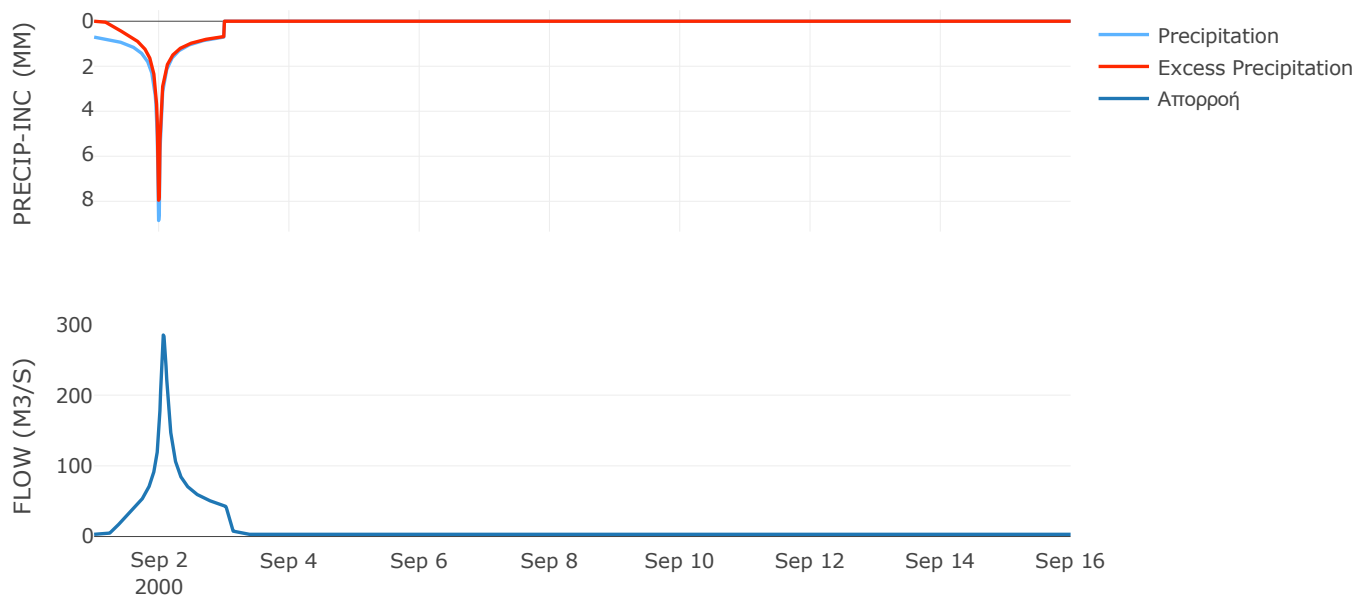
Μέθοδος
Μετασχηματισμού: SCS

Χρόνος Υστέρησης	89.52
------------------	-------

Αποτελέσματα:
EL0513FR7024

Παροχή αιχμής (M3/S)	285.02
Χρονική στιγμή αιχμής	02Sep2000, 01:30
Όγκος (MM)	290.5
Όγκος βροχόπτωσης (M3)	1.41E7
Όγκος απωλειών (M3)	3.02E6
Ενεργός Όγκος (M3)	1.11E7
Όγκος άμεσης απορροής (M3)	1.11E7
Όγκος βασικής απορροής (M3)	4.05E6

Βροχόπτωση και Απορροή



Υπολεκάνη: EL0513FR7025

Έκταση (KM2) : 25.4

Κατάντη : J7

Μέθοδος Απωλειών: SCS

Ποσοστό αδιαπέρατης επιφάνειας	0
Αριθμός Καμπύλης Απορροής-CN	86.56
Αρχικές Απώλειες	7.88

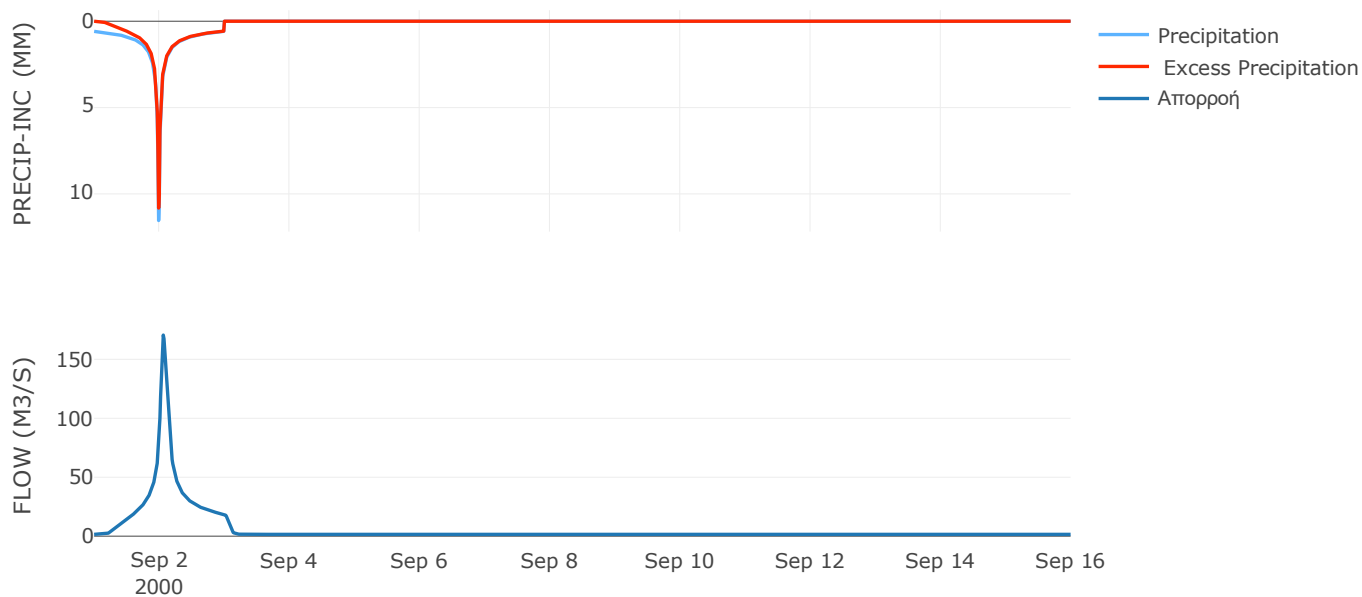
Μέθοδος
Μετασχηματισμού: SCS

Χρόνος Υστέρησης	86.7
------------------	------

Αποτελέσματα:
EL0513FR7025

Παροχή αιχμής (M3/S)	170.6
Χρονική στιγμή αιχμής	02Sep2000, 01:30
Όγκος (MM)	294.59
Όγκος βροχόπτωσης (M3)	6.57E6
Όγκος απωλειών (M3)	1.07E6
Ενεργός Όγκος (M3)	5.51E6
Όγκος άμεσης απορροής (M3)	5.51E6
Όγκος βασικής απορροής (M3)	1.97E6

Βροχόπτωση και Απορροή



Υπολεκάνη: EL0513FR7026

Έκταση (KM2) : 15.52

Κατάντη : J9

Μέθοδος Απωλειών: SCS

Ποσοστό αδιαπέρατης επιφάνειας	0
Αριθμός Καμπύλης Απορροής-CN	90.76
Αρχικές Απώλειες	5.17

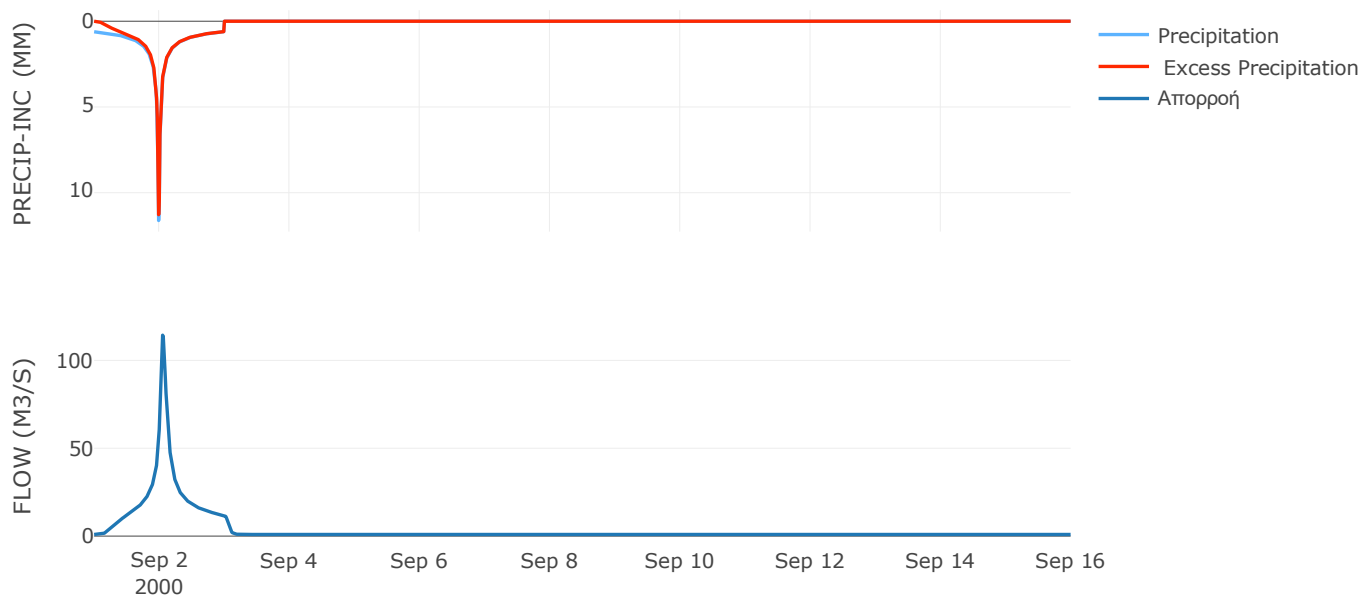
Μέθοδος
Μετασχηματισμού: SCS

Χρόνος Υστέρησης	77.31
------------------	-------

Αποτελέσματα:
EL0513FR7026

Παροχή αιχμής (M3/S)	114.38
Χρονική στιγμή αιχμής	02Sep2000, 01:15
Όγκος (MM)	316.3
Όγκος βροχόπτωσης (M3)	4.15E6
Όγκος απωλειών (M3)	4.46E5
Ενεργός Όγκος (M3)	3.7E6
Όγκος άμεσης απορροής (M3)	3.7E6
Όγκος βασικής απορροής (M3)	1.21E6

Βροχόπτωση και Απορροή



Υπολεκάνη: EL0513FR7027

Έκταση (KM2) : 34.03

Κατάντη : J9

Μέθοδος Απωλειών: SCS

Ποσοστό αδιαπέρατης επιφάνειας	0
Αριθμός Καμπύλης Απορροής-CN	82.78
Αρχικές Απώλειες	10.56

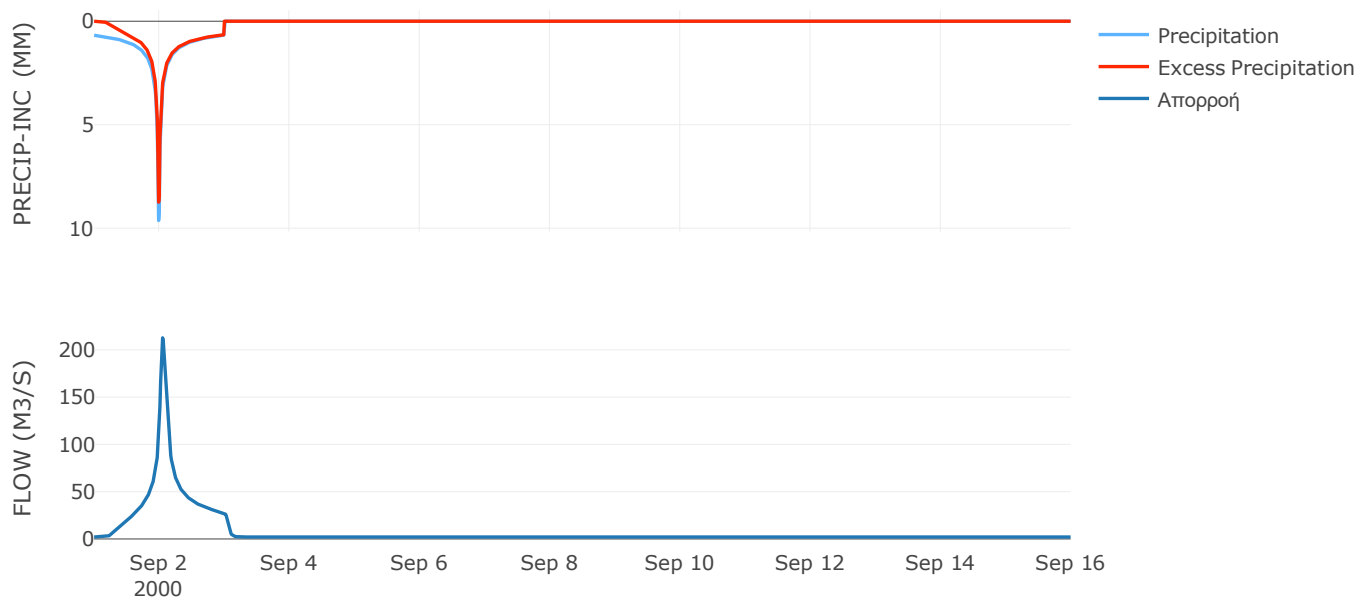
Μέθοδος
Μετασχηματισμού: SCS

Χρόνος Υστέρησης	72.72
------------------	-------

Αποτελέσματα:
EL0513FR7027

Παροχή αιχμής (M3/S)	212.68
Χρονική στιγμή αιχμής	02Sep2000, 01:15
Όγκος (MM)	292.33
Όγκος βροχόπτωσης (M3)	9.15E6
Όγκος απωλειών (M3)	1.85E6
Ενεργός Όγκος (M3)	7.3E6
Όγκος άμεσης απορροής (M3)	7.3E6
Όγκος βασικής απορροής (M3)	2.65E6

Βροχόπτωση και Απορροή



Υπολεκάνη: EL0513FR7028

Έκταση (KM2) : 71.91

Κατάντη : J13

Μέθοδος Απωλειών: SCS

Ποσοστό αδιαπέρατης επιφάνειας	0
Αριθμός Καμπύλης Απορροής-CN	81.84
Αρχικές Απώλειες	11.27

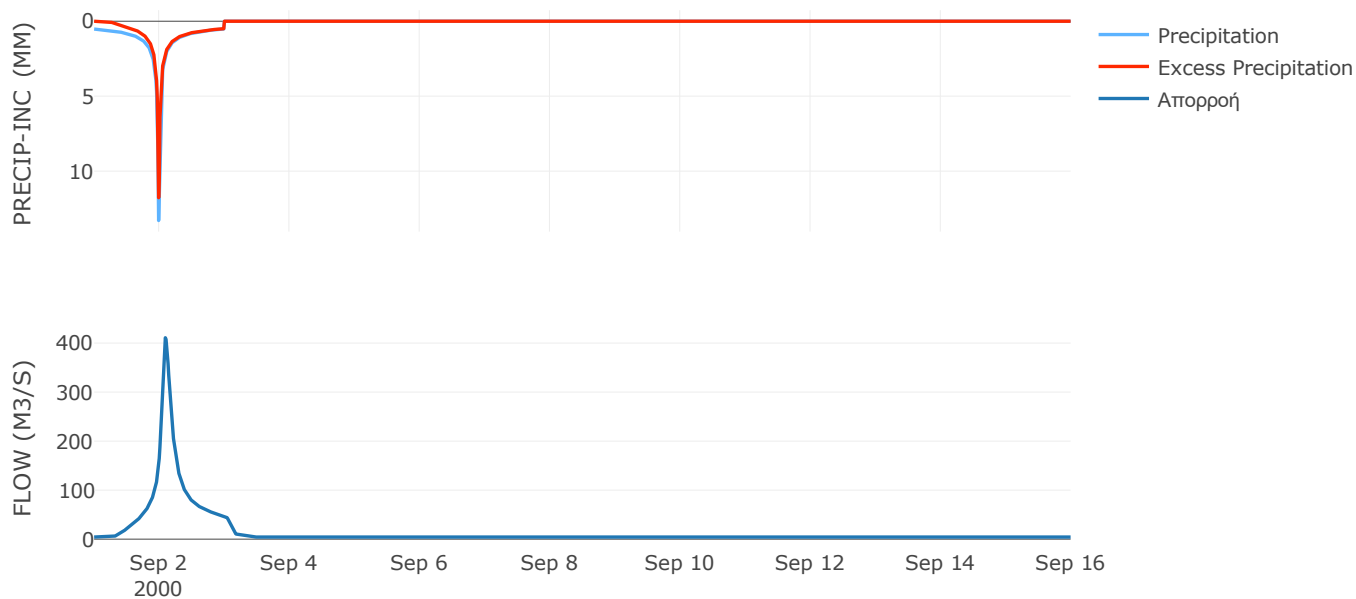
Μέθοδος
Μετασχηματισμού: SCS

Χρόνος Υστέρησης	129.96
------------------	--------

Αποτελέσματα:
EL0513FR7028

Παροχή αιχμής (M3/S)	410.89
Χρονική στιγμή αιχμής	02Sep2000, 02:15
Όγκος (MM)	271.19
Όγκος βροχόπτωσης (M3)	1.8E7
Όγκος απωλειών (M3)	4.09E6
Ενεργός Όγκος (M3)	1.39E7
Όγκος άμεσης απορροής (M3)	1.39E7
Όγκος βασικής απορροής (M3)	5.59E6

Βροχόπτωση και Απορροή



Υπολεκάνη: EL0513FR7029

Έκταση (KM2) : 1.99

Κατάντη : J3

Μέθοδος Απωλειών: SCS

Ποσοστό αδιαπέρατης επιφάνειας	0
Αριθμός Καμπύλης Απορροής-CN	89.14
Αρχικές Απώλειες	6.19

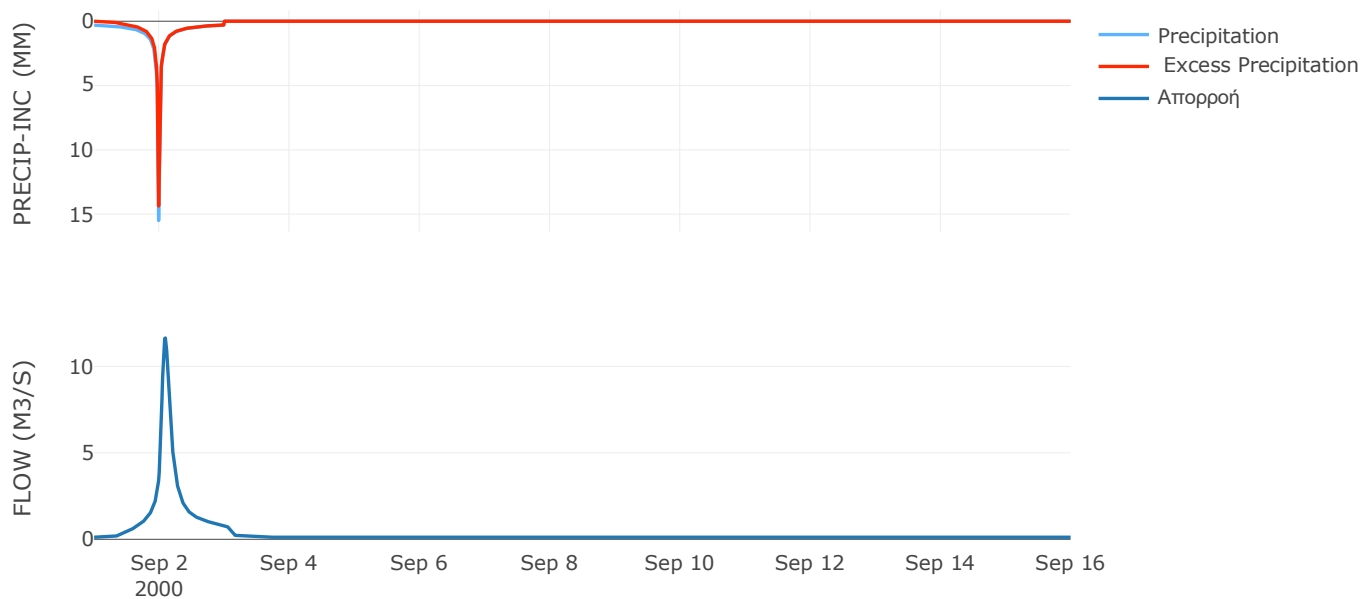
Μέθοδος
Μετασχηματισμού: SCS

Χρόνος Υστέρησης	125.78
------------------	--------

Αποτελέσματα:
EL0513FR7029

Παροχή αιχμής (M3/S)	11.65
Χρονική στιγμή αιχμής	02Sep2000, 02:15
Όγκος (MM)	232.91
Όγκος βροχόπτωσης (M3)	3.73E5
Όγκος απωλειών (M3)	64773.47
Ενεργός Όγκος (M3)	3.08E5
Όγκος άμεσης απορροής (M3)	3.08E5
Όγκος βασικής απορροής (M3)	1.54E5

Βροχόπτωση και Απορροή



4.2 Δεδομένα και υδρογραφήματα σχεδιασμού Κλάδων υδρογραφικού δικτύου

Κλάδος: R21

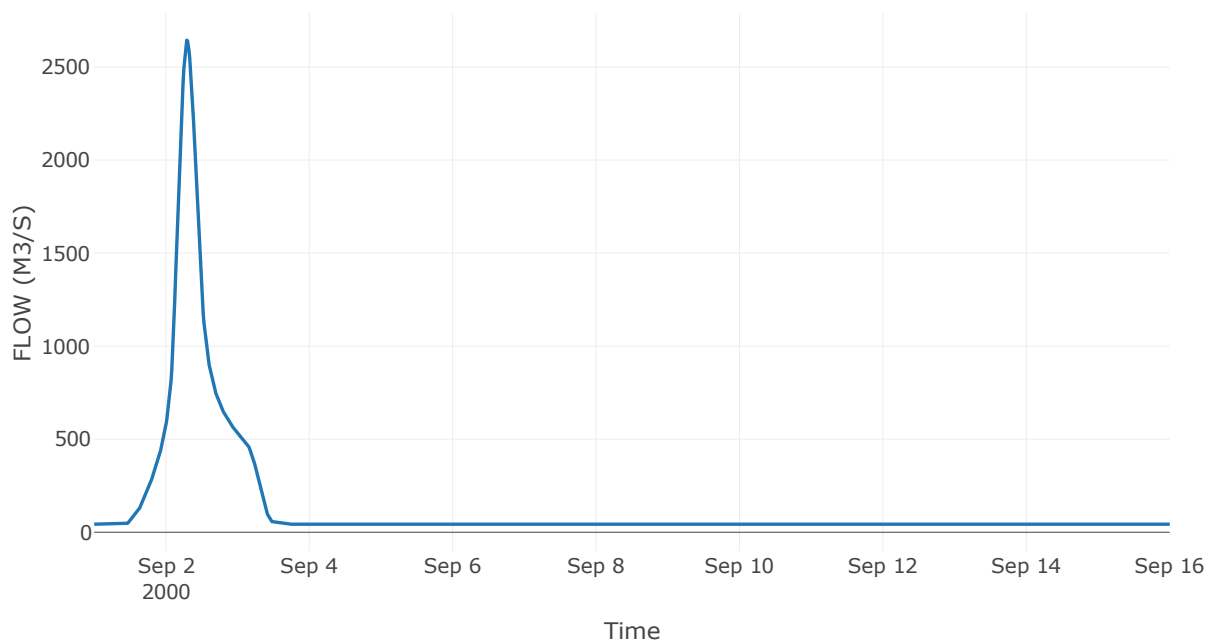
Κατάντη : J1

Μέθοδος Διόδευσης	Muskingum
Αρχική Μεταβλητή	Combined Inflow
Χρόνος Ροής Κ	1.81
Συντελεστής βάρους α	0.2
Πλήθος Υποκλάδων	7

Αποτελέσματα: R21

Παροχή αιχμής (M3/S)	2644.25
Χρονική στιγμή αιχμής	02Sep2000, 07:00
Όγκος (MM)	252.66
Παροχή Αιχμής Εισόδου (M3/S)	2686.21
Όγκος Εισροής (M3)	1.82E8

Απορροή



Κλάδος: R32

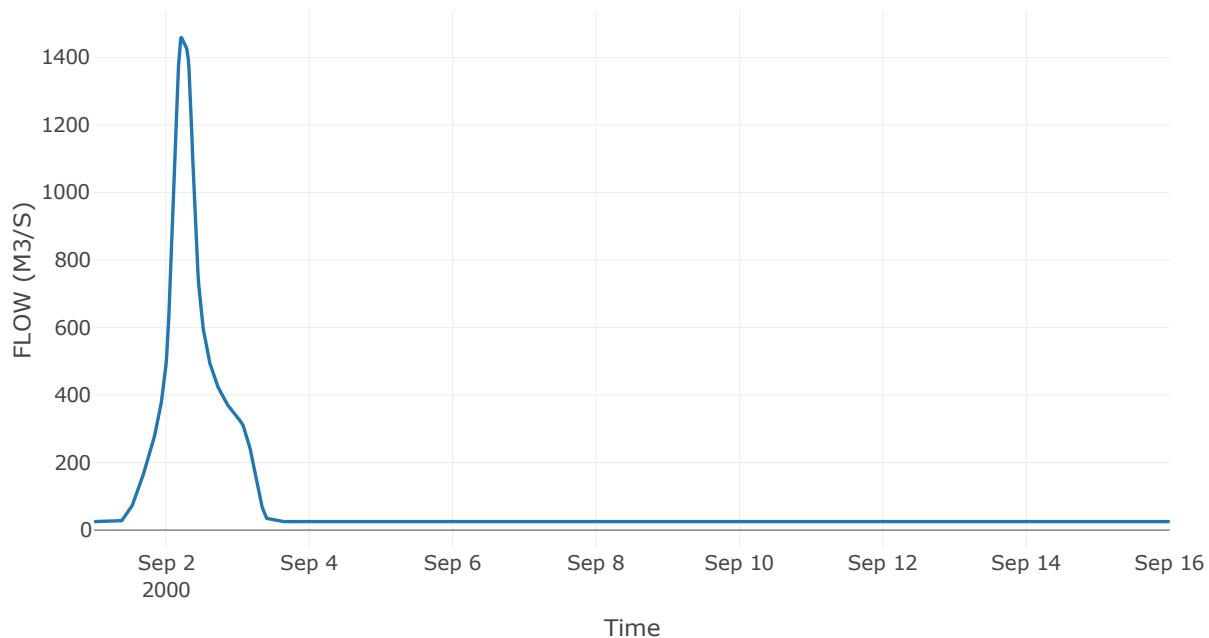
Κατάντη : J2

Μέθοδος Διόδευσης	Muskingum
Αρχική Μεταβλητή	Combined Inflow
Χρόνος Ροής K	0.91
Συντελεστής βάρους x	0.2
Πλήθος Υποκλάδων	4

Αποτελέσματα: R32

Παροχή αιχμής (M3/S)	1458.92
Χρονική στιγμή αιχμής	02Sep2000, 05:15
Όγκος (MM)	263.45
Παροχή Αιχμής Εισόδου (M3/S)	1469.54
Όγκος Εισροής (M3)	1.1E8

Απορροή



Κλάδος: R43

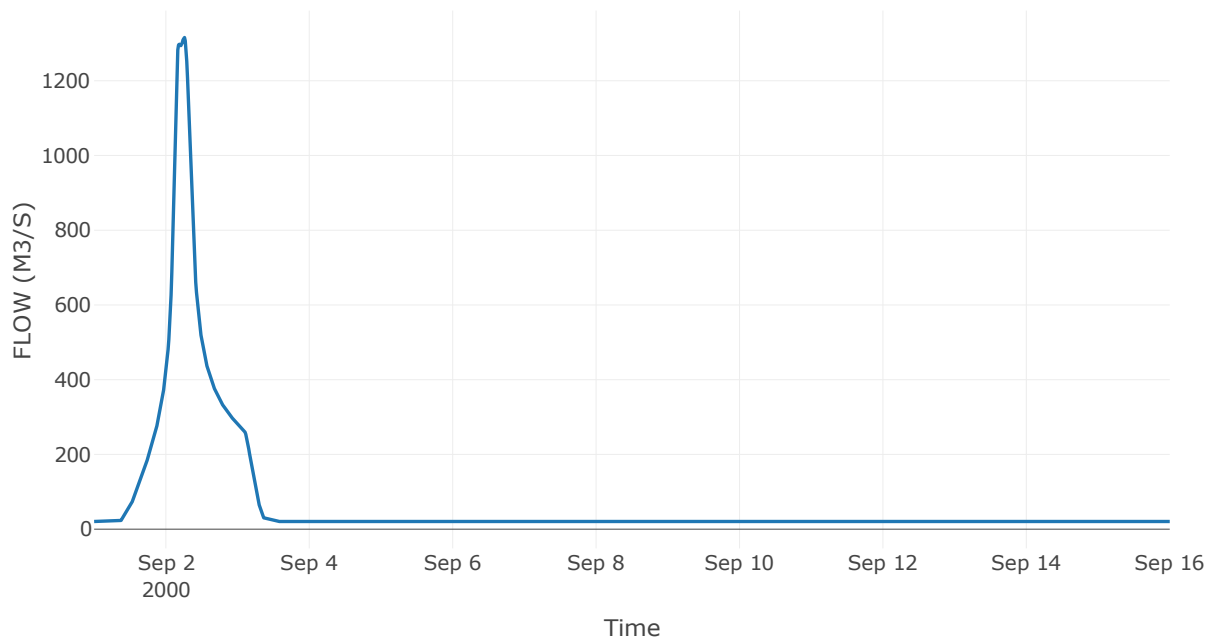
Κατάντη : J3

Μέθοδος Διόδευσης	Muskingum
Αρχική Μεταβλητή	Combined Inflow
Χρόνος Ροής Κ	2.18
Συντελεστής βάρους α	0.2
Πλήθος Υποκλάδων	9

Αποτελέσματα: R43

Παροχή αιχμής (M3/S)	1315.85
Χρονική στιγμή αιχμής	02Sep2000, 06:15
Όγκος (MM)	271.44
Παροχή Αιχμής Εισόδου (M3/S)	1343.39
Όγκος Εισροής (M3)	9.27E7

Απορροή



Κλάδος: R54

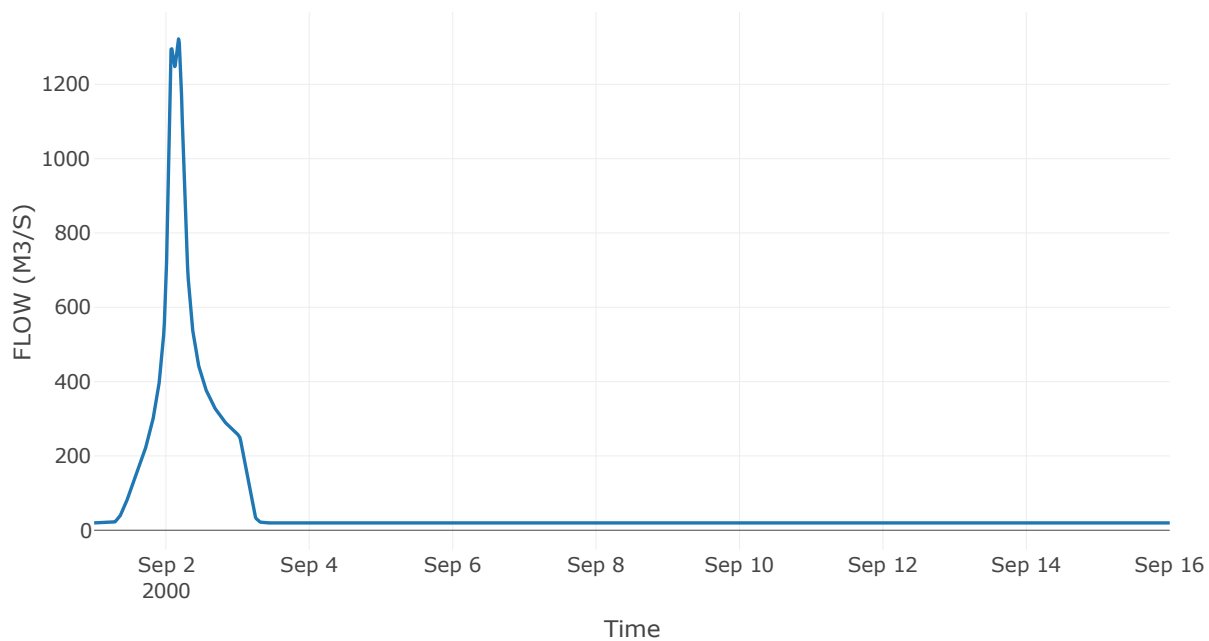
Κατάντη : J4

Μέθοδος Διόδευσης	Χρόνος
Αρχική Μεταβλητή	Combined Inflow
Χρόνος Υστέρησης	13.22

Αποτελέσματα: R54

Παροχή αιχμής (M3/S)	1322.19
Χρονική στιγμή αιχμής	02Sep2000, 04:15
Όγκος (MM)	274.03
Παροχή Αιχμής Εισόδου (M3/S)	1323.28
Όγκος Εισροής (M3)	8.99E7

Απορροή



Κλάδος: R65

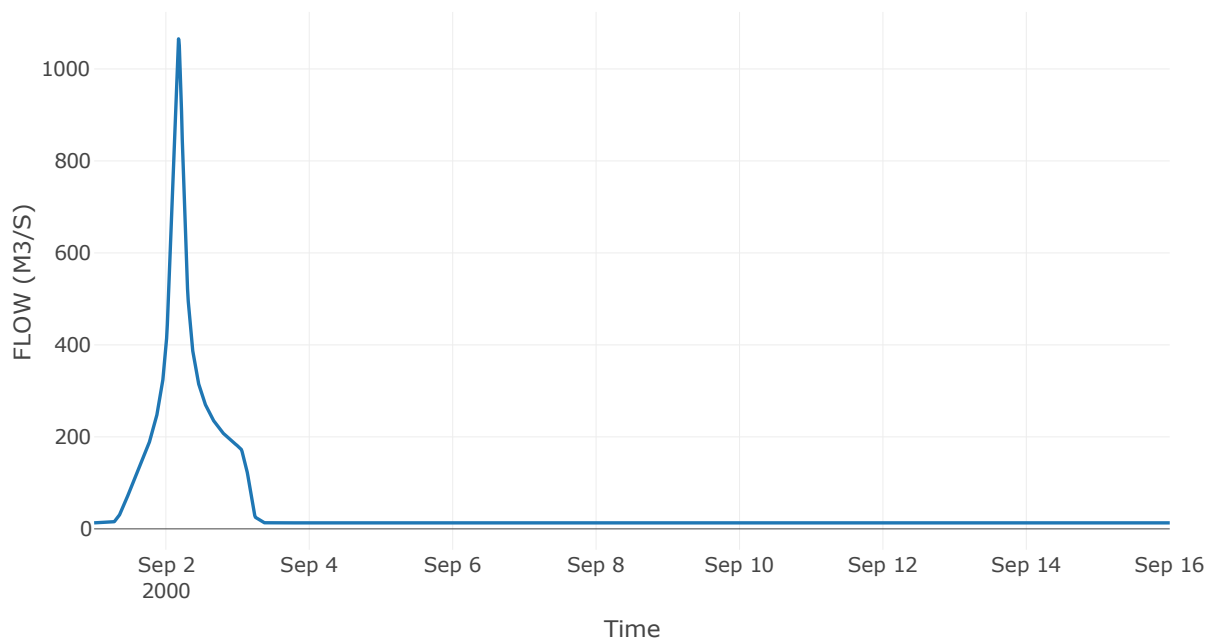
Κατάντη : J5

Μέθοδος Διόδευσης	Χρόνος
Αρχική Μεταβλητή	Combined Inflow
Χρόνος Υστέρησης	42.02

Αποτελέσματα: R65

Παροχή αιχμής (M3/S)	1065.43
Χρονική στιγμή αιχμής	02Sep2000, 04:15
Όγκος (MM)	287.47
Παροχή Αιχμής Εισόδου (M3/S)	1067.38
Όγκος Εισροής (M3)	6.24E7

Απορροή



Κλάδος: R76

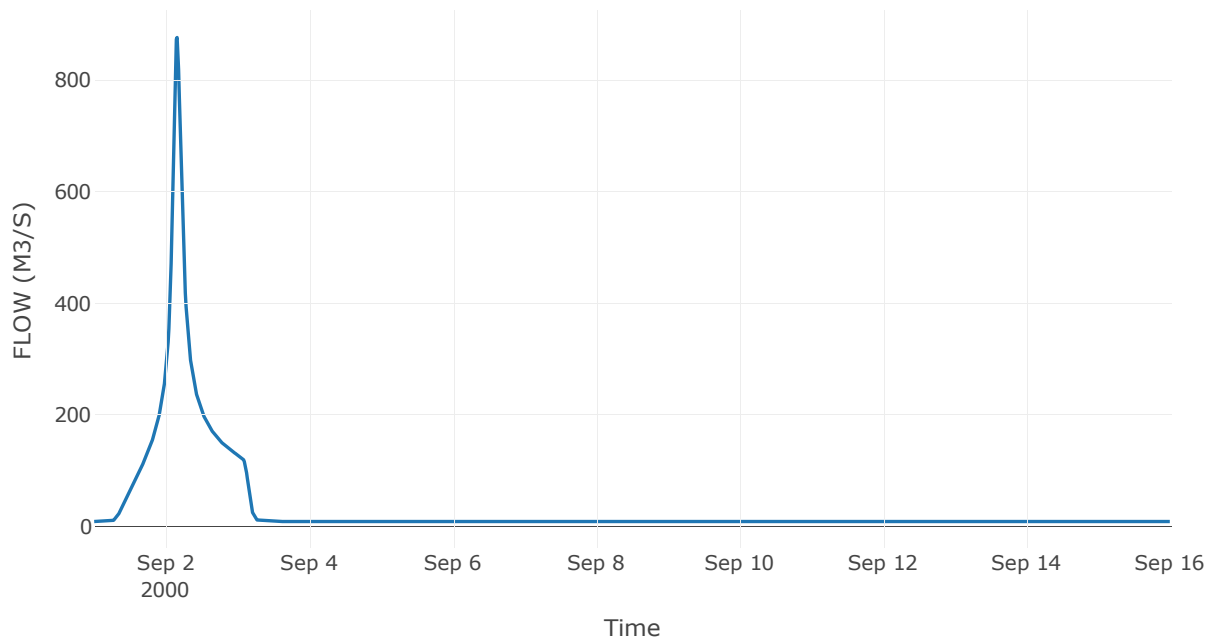
Κατάντη : J6

Μέθοδος Διόδευσης	Muskingum
Αρχική Μεταβλητή	Combined Inflow
Χρόνος Ροής K	1.65
Συντελεστής βάρους x	0.2
Πλήθος Υποκλάδων	7

Αποτελέσματα: R76

Παροχή αιχμής (M3/S)	876.68
Χρονική στιγμή αιχμής	02Sep2000, 03:45
Όγκος (MM)	296.4
Παροχή Αιχμής Εισόδου (M3/S)	932.46
Όγκος Εισροής (M3)	4.51E7

Απορροή



Κλάδος: R87

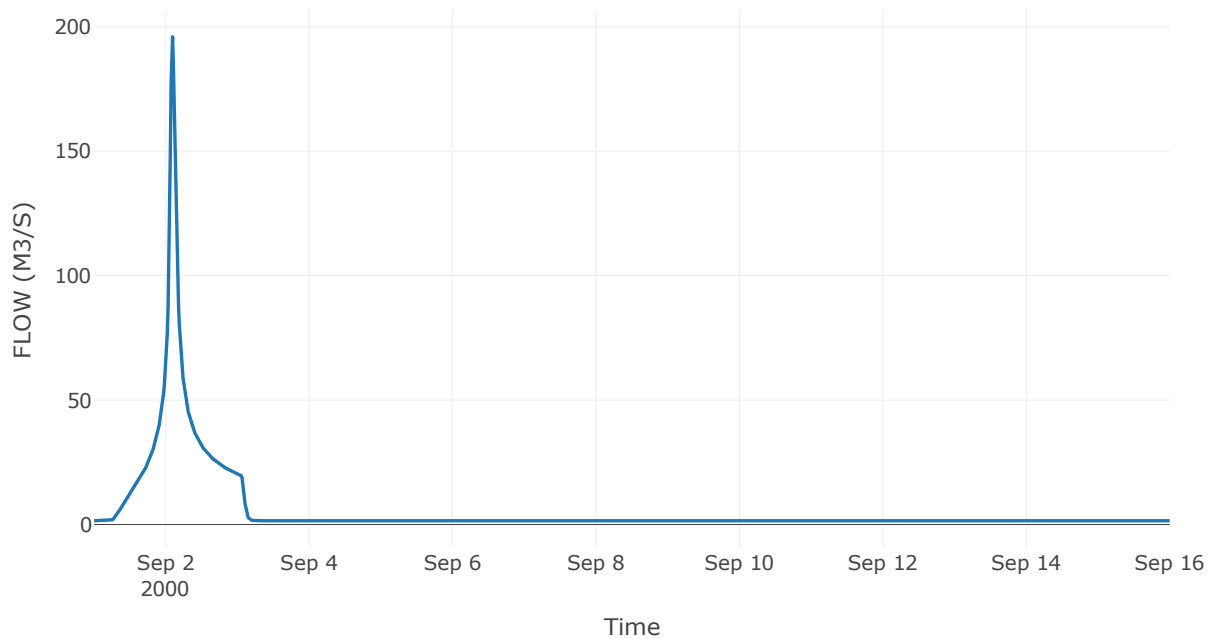
Κατάντη : J7

Μέθοδος Διόδευσης	Χρόνος
Αρχική Μεταβλητή	Combined Inflow
Χρόνος Υστέρησης	69.88

Αποτελέσματα: R87

Παροχή αιχμής (M3/S)	195.98
Χρονική στιγμή αιχμής	02Sep2000, 02:15
Όγκος (MM)	303.71
Παροχή Αιχμής Εισόδου (M3/S)	198.43
Όγκος Εισροής (M3)	7.61E6

Απορροή



Κλάδος: R97

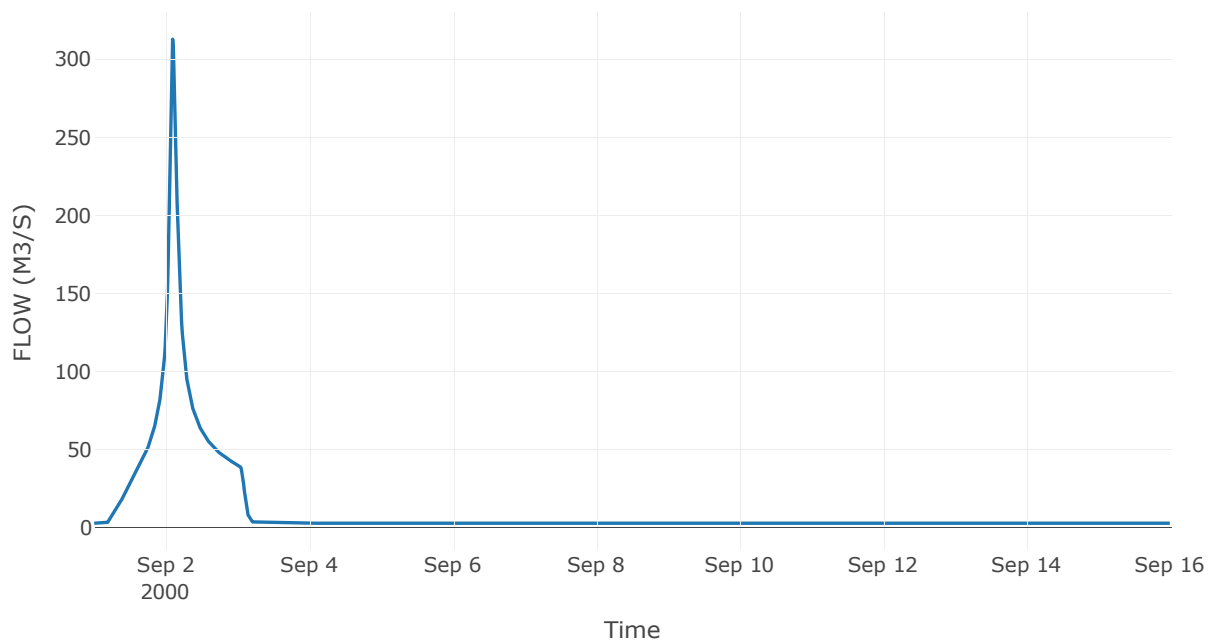
Κατάντη : J7

Μέθοδος Διόδευσης	Muskingum
Αρχική Μεταβλητή	Combined Inflow
Χρόνος Ροής K	0.93
Συντελεστής βάρους x	0.2
Πλήθος Υποκλάδων	4

Αποτελέσματα: R97

Παροχή αιχμής (M3/S)	312.7
Χρονική στιγμή αιχμής	02Sep2000, 02:15
Όγκος (MM)	299.84
Παροχή Αιχμής Εισόδου (M3/S)	327.06
Όγκος Εισροής (M3)	1.49E7

Απορροή



Κλάδος: R105

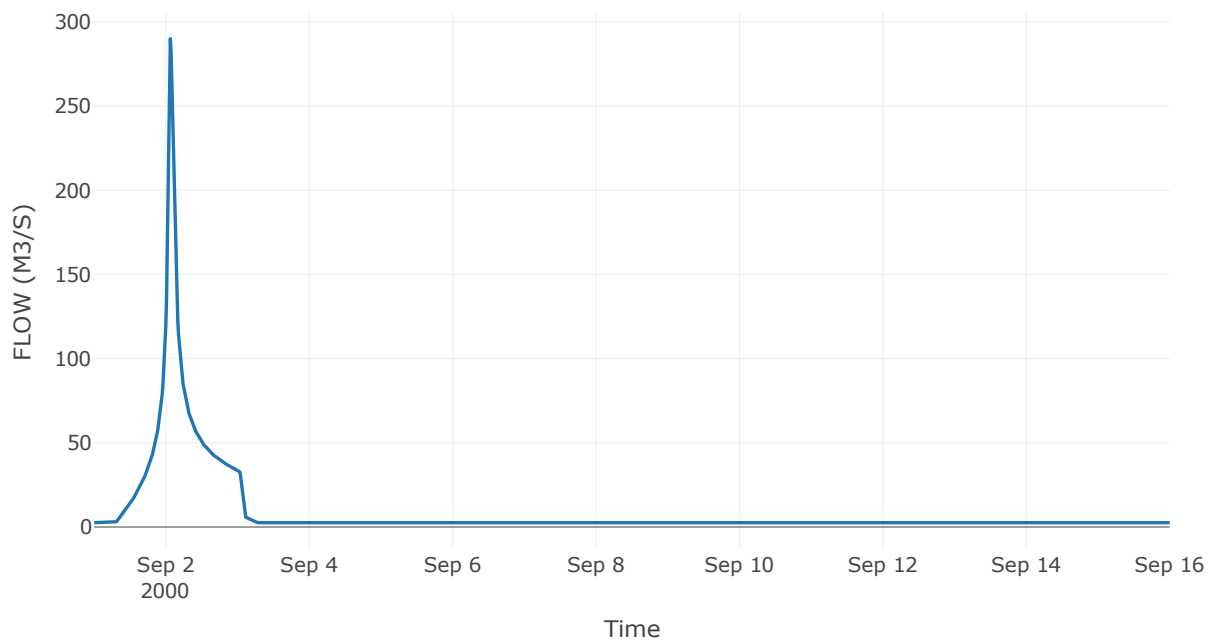
Κατάντη : J5

Μέθοδος Διόδευσης	Χρόνος
Αρχική Μεταβλητή	Combined Inflow
Χρόνος Υστέρησης	34.65

Αποτελέσματα: R105

Παροχή αιχμής (M3/S)	290.04
Χρονική στιγμή αιχμής	02Sep2000, 01:30
Όγκος (MM)	275.4
Παροχή Αιχμής Εισόδου (M3/S)	291.37
Όγκος Εισροής (M3)	1.18E7

Απορροή



Κλάδος: R1112

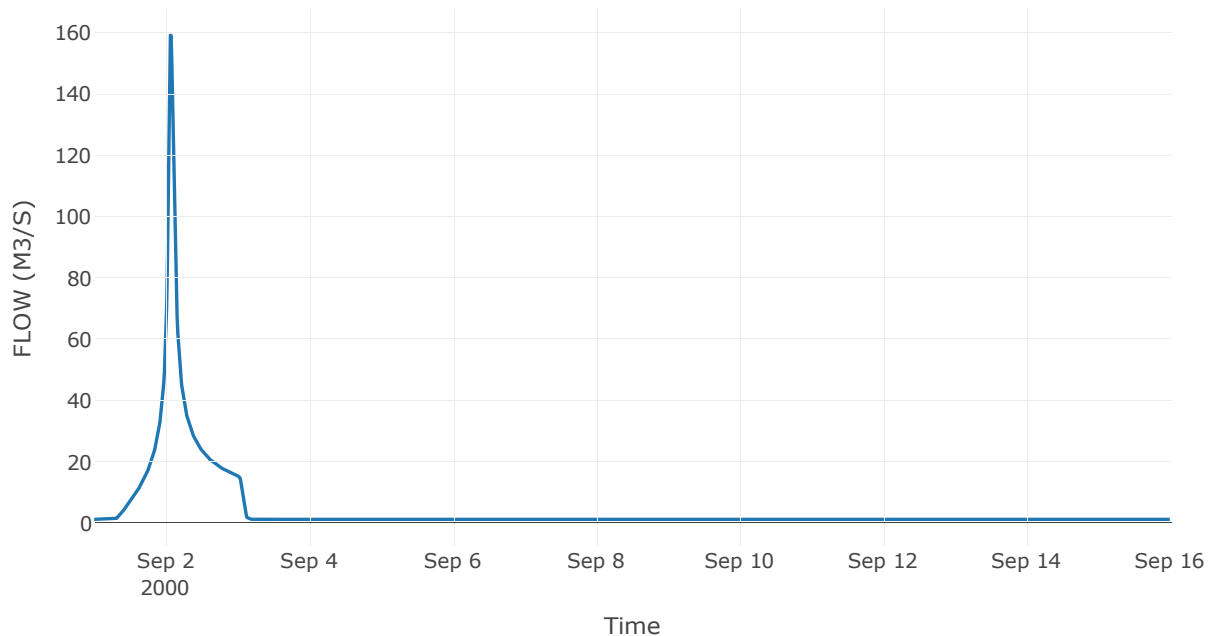
Κατάντη : J12

Μέθοδος Διόδευσης	Muskingum
Αρχική Μεταβλητή	Combined Inflow
Χρόνος Ροής K	0.77
Συντελεστής βάρους x	0.2
Πλήθος Υποκλάδων	3

Αποτελέσματα: R1112

Παροχή αιχμής (M3/S)	159.14
Χρονική στιγμή αιχμής	02Sep2000, 01:30
Όγκος (MM)	275.56
Παροχή Αιχμής Εισόδου (M3/S)	172.65
Όγκος Εισροής (M3)	5.93E6

Απορροή



Κλάδος: R1213

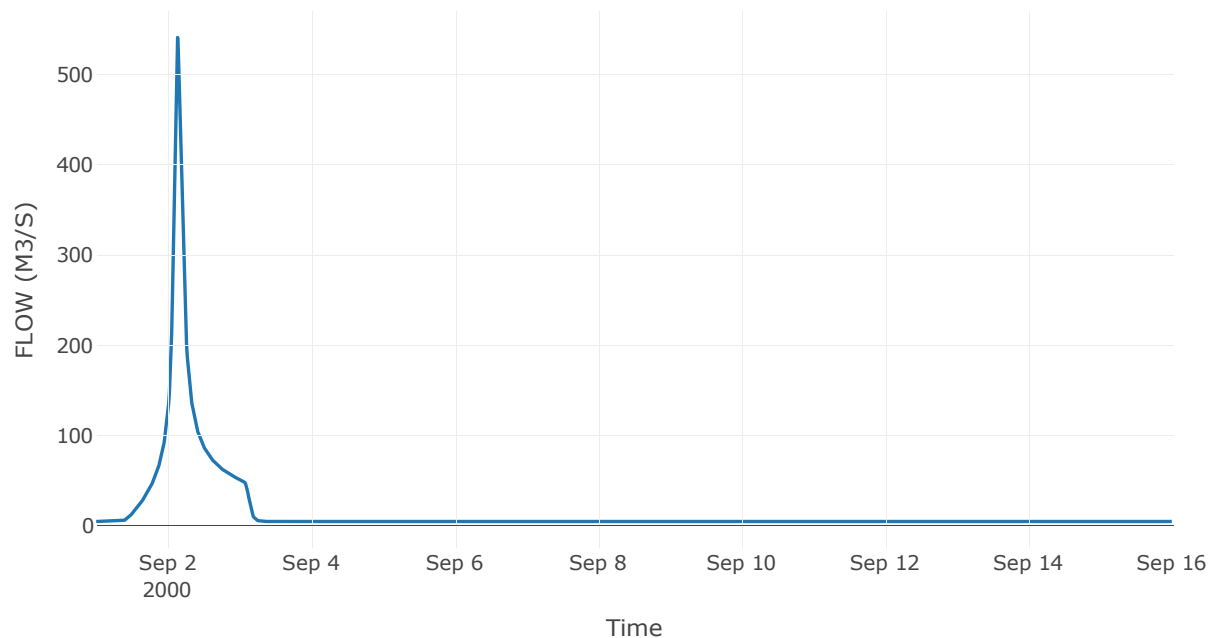
Κατάντη : J13

Μέθοδος Διόδευσης	Muskingum
Αρχική Μεταβλητή	Combined Inflow
Χρόνος Ροής K	1.55
Συντελεστής βάρους x	0.2
Πλήθος Υποκλάδων	6

Αποτελέσματα: R1213

Παροχή αιχμής (M3/S)	540.91
Χρονική στιγμή αιχμής	02Sep2000, 03:15
Όγκος (MM)	254.3
Παροχή Αιχμής Εισόδου (M3/S)	590.18
Όγκος Εισροής (M3)	2.15E7

Απορροή



Κλάδος: R1314

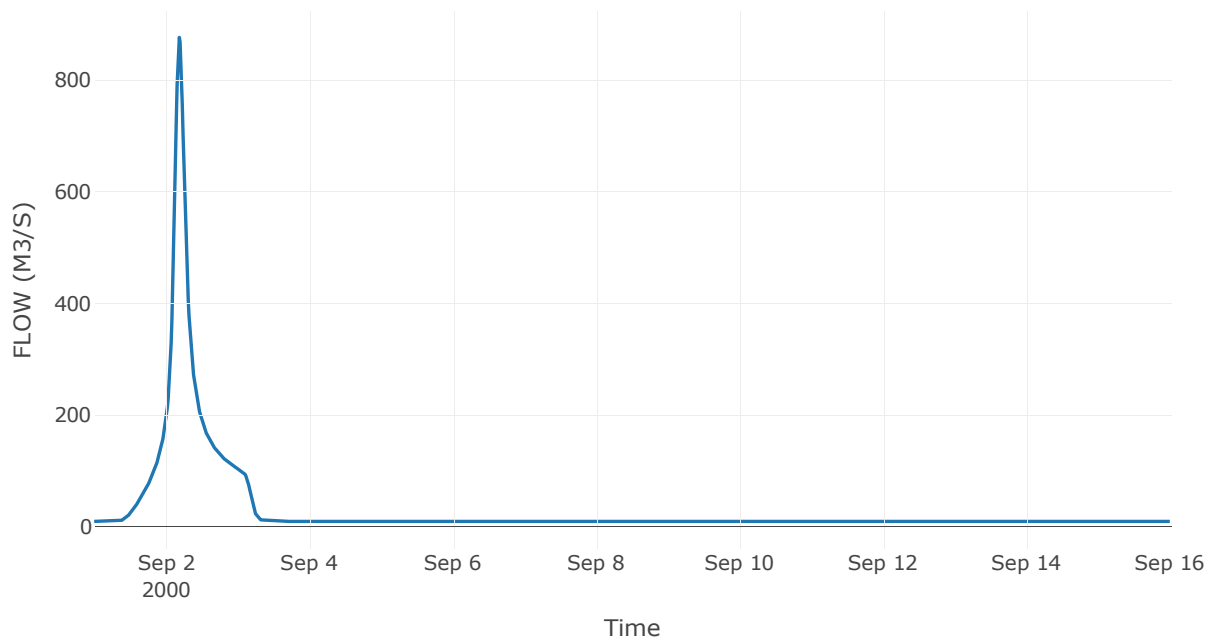
Κατάντη : J14

Μέθοδος Διόδευσης	Muskingum
Αρχική Μεταβλητή	Combined Inflow
Χρόνος Ροής K	1.57
Συντελεστής βάρους x	0.2
Πλήθος Υποκλάδων	6

Αποτελέσματα: R1314

Παροχή αιχμής (M3/S)	875.69
Χρονική στιγμή αιχμής	02Sep2000, 04:30
Όγκος (MM)	262.06
Παροχή Αιχμής Εισόδου (M3/S)	918.69
Όγκος Εισροής (M3)	4.1E7

Απορροή



Κλάδος: R1415

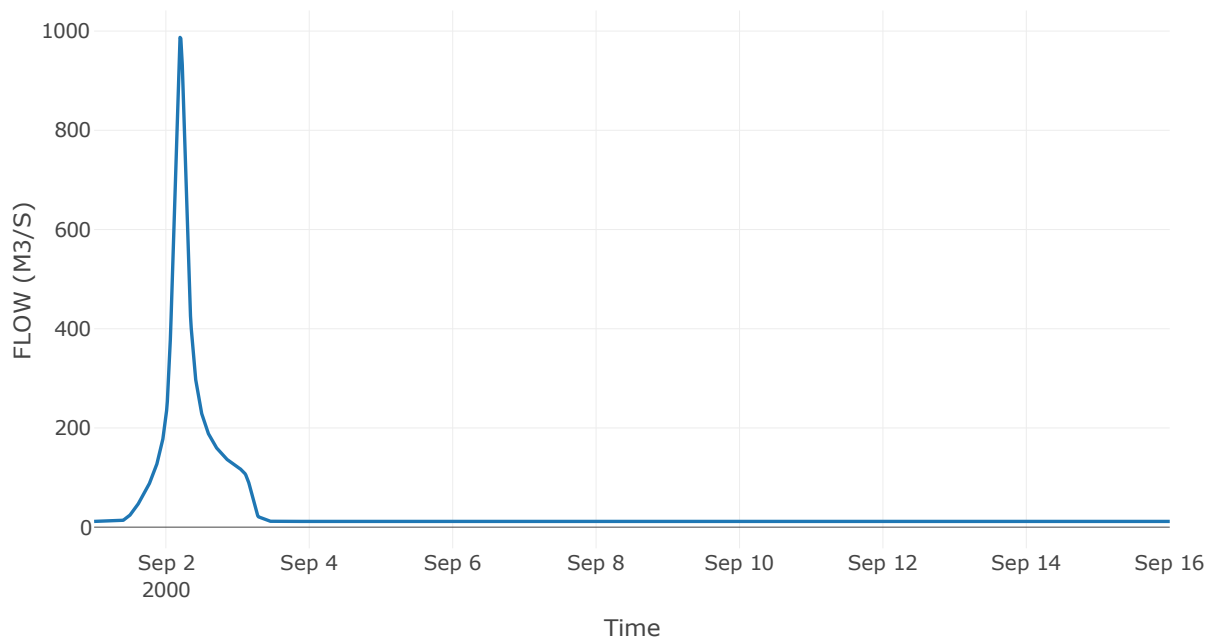
Κατάντη : J15

Μέθοδος Διόδευσης	Muskingum
Αρχική Μεταβλητή	Combined Inflow
Χρόνος Ροής Κ	0.48
Συντελεστής βάρους α	0.2
Πλήθος Υποκλάδων	2

Αποτελέσματα: R1415

Παροχή αιχμής (M3/S)	987.33
Χρονική στιγμή αιχμής	02Sep2000, 04:45
Όγκος (MM)	254.72
Παροχή Αιχμής Εισόδου (M3/S)	996.06
Όγκος Εισροής (M3)	4.93E7

Απορροή



Κλάδος: R152

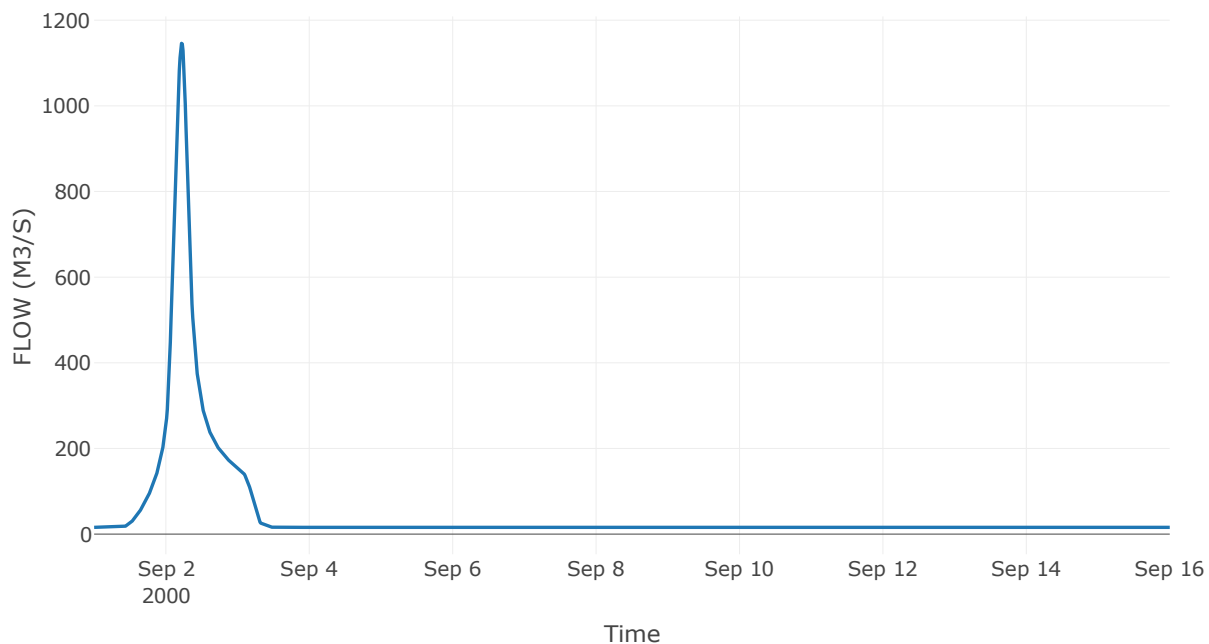
Κατάντη : J2

Μέθοδος Διόδευσης	Muskingum
Αρχική Μεταβλητή	Combined Inflow
Χρόνος Ροής K	0.74
Συντελεστής βάρους x	0.2
Πλήθος Υποκλάδων	3

Αποτελέσματα: R152

Παροχή αιχμής (M3/S)	1146.01
Χρονική στιγμή αιχμής	02Sep2000, 05:15
Όγκος (MM)	240.95
Παροχή Αιχμής Εισόδου (M3/S)	1157.54
Όγκος Εισροής (M3)	6.32E7

Απορροή



Κλάδος: R1615

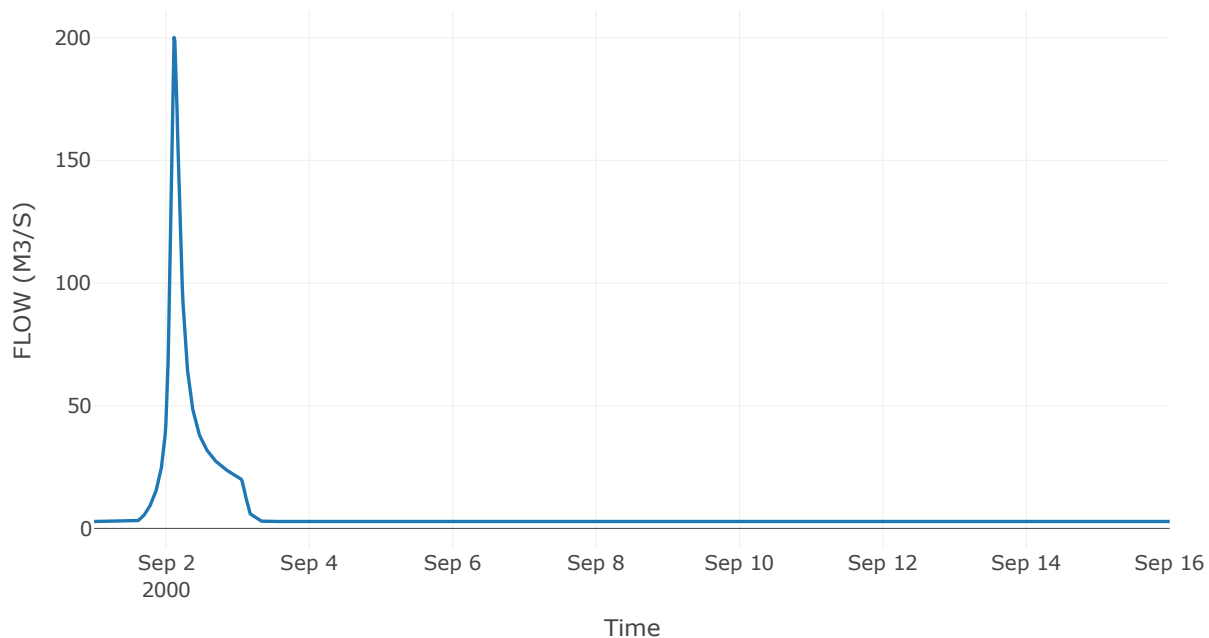
Κατάντη : J15

Μέθοδος Διόδευσης	Muskingum
Αρχική Μεταβλητή	Combined Inflow
Χρόνος Ροής Κ	0.73
Συντελεστής βάρους α	0.2
Πλήθος Υποκλάδων	3

Αποτελέσματα: R1615

Παροχή αιχμής (M3/S)	200.06
Χρονική στιγμή αιχμής	02Sep2000, 02:45
Όγκος (MM)	193.75
Παροχή Αιχμής Εισόδου (M3/S)	205.18
Όγκος Εισροής (M3)	9.12E6

Απορροή



Κλάδος: R173

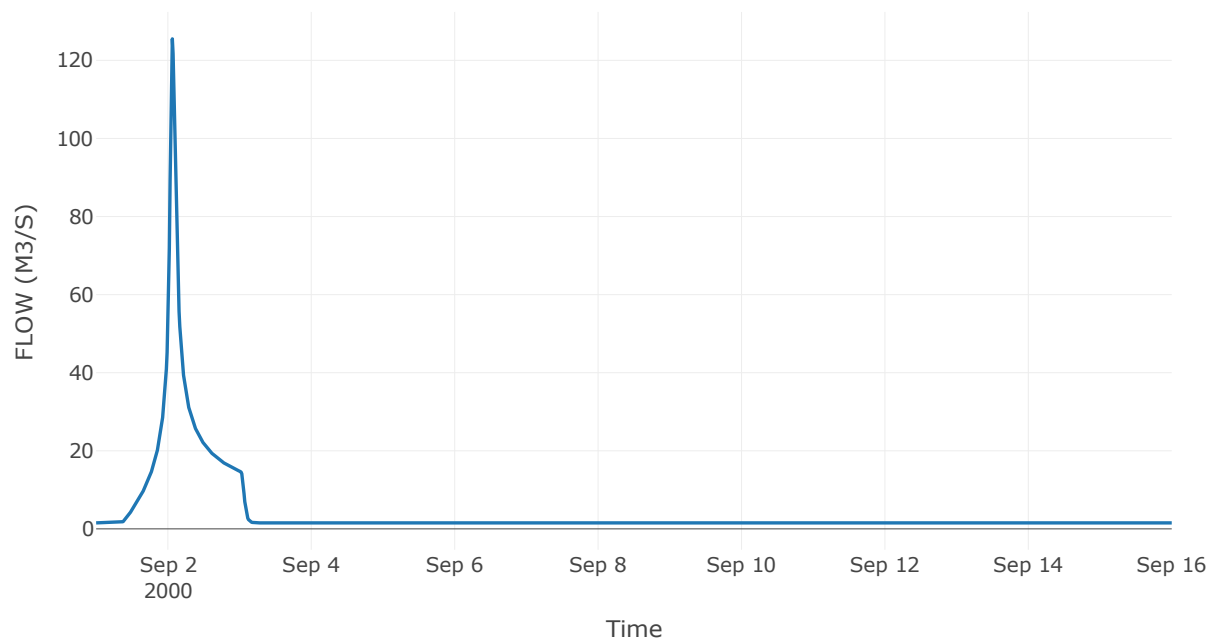
Κατάντη : J3

Μέθοδος Διόδευσης	Χρόνος
Αρχική Μεταβλητή	Combined Inflow
Χρόνος Υστέρησης	27.42

Αποτελέσματα: R173

Παροχή αιχμής (M3/S)	125.51
Χρονική στιγμή αιχμής	02Sep2000, 01:30
Όγκος (MM)	215.32
Παροχή Αιχμής Εισόδου (M3/S)	126.01
Όγκος Εισροής (M3)	5.5E6

Απορροή



Κλάδος: R183

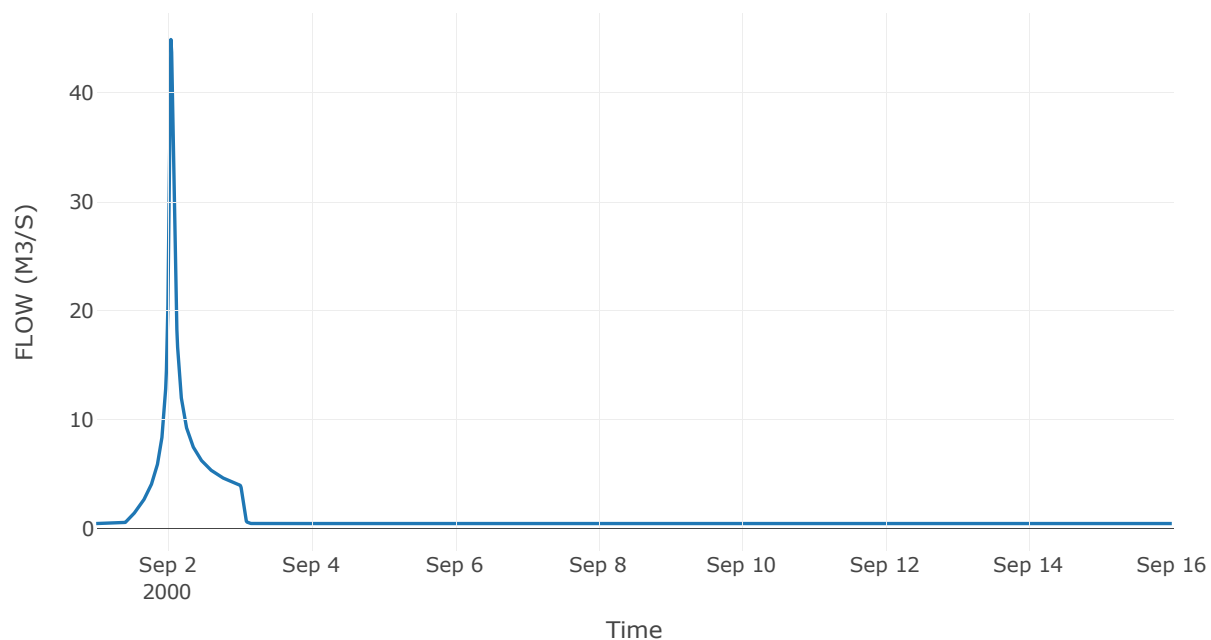
Κατάντη : J3

Μέθοδος Διόδευσης	Muskingum
Αρχική Μεταβλητή	Combined Inflow
Χρόνος Ροής K	0.35
Συντελεστής βάρους x	0.2
Πλήθος Υποκλάδων	1

Αποτελέσματα: R183

Παροχή αιχμής (M3/S)	44.91
Χρονική στιγμή αιχμής	02Sep2000, 01:00
Όγκος (MM)	206.13
Παροχή Αιχμής Εισόδου (M3/S)	47.81
Όγκος Εισροής (M3)	1.65E6

Απορροή



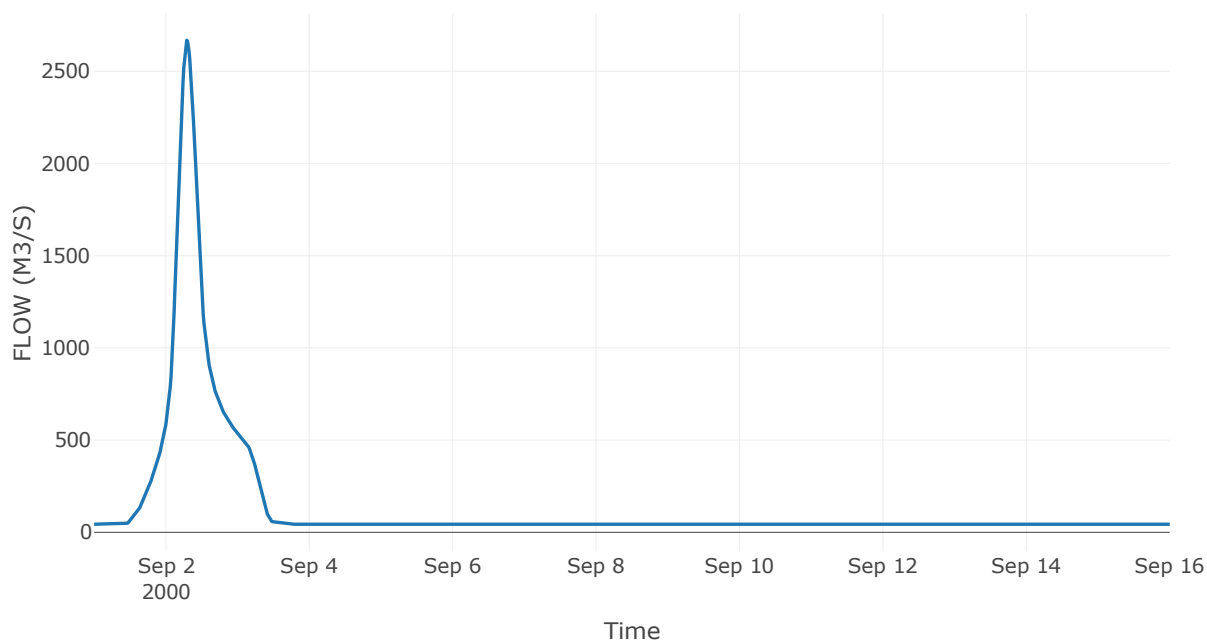
4.3 Δεδομένα και υδρογραφήματα σχεδιασμού Κόμβων υδρογραφικού δικτύου

Κόμβος εξόδου: J1

Αποτελέσμα
τα: J1

Παροχή αιχμής (M3/S)	2668.33
Χρονική στιγμή αιχμής	02Sep2000, 07:00
Όγκος (MM)	252.24

Απορροή



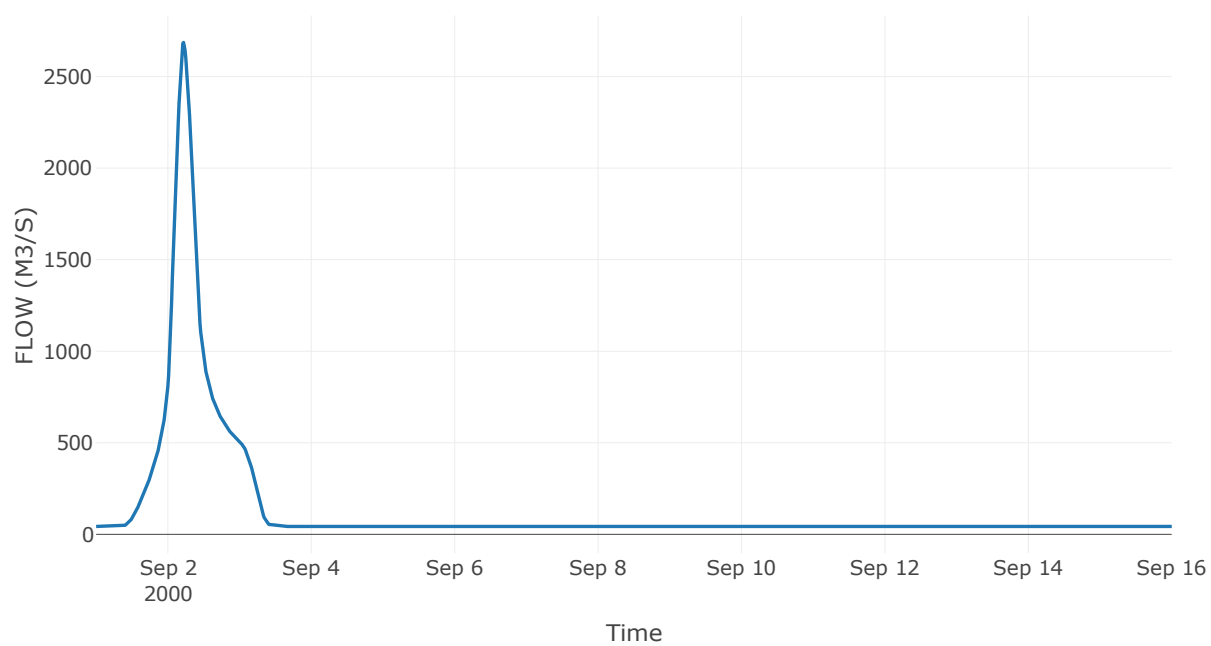
Κόμβος: J2

Κατάντη : R21

Αποτελέσματα: J2

Παροχή αιχμής (M3/S)	2686.21
Χρονική στιγμή αιχμής	02Sep2000, 05:15
Όγκος (MM)	252.66

Απορροή



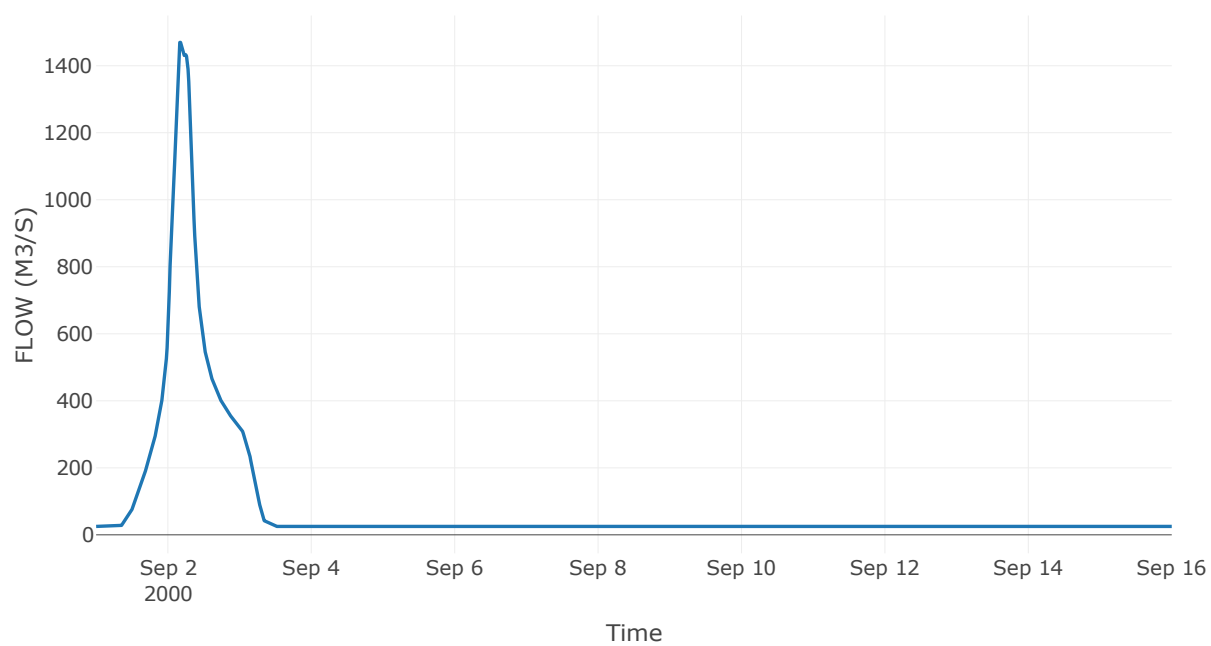
Κόμβος: J3

Κατάντη : R32

Αποτελέσματα: J3

Παροχή αιχμής (M3/S)	1469.54
Χρονική στιγμή αιχμής	02Sep2000, 04:00
Όγκος (MM)	263.45

Απορροή



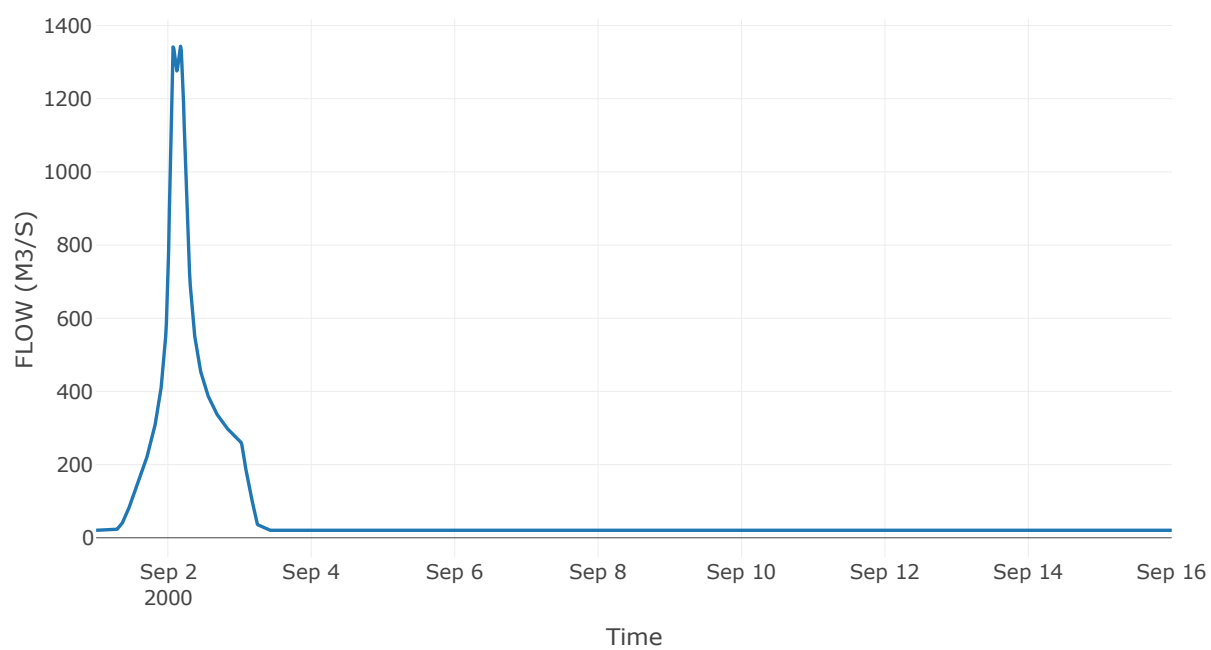
Κόμβος: J4

Κατάντη : R43

Αποτελέσματα: J4

Παροχή αιχμής (M3/S)	1343.39
Χρονική στιγμή αιχμής	02Sep2000, 04:15
Όγκος (MM)	271.44

Απορροή



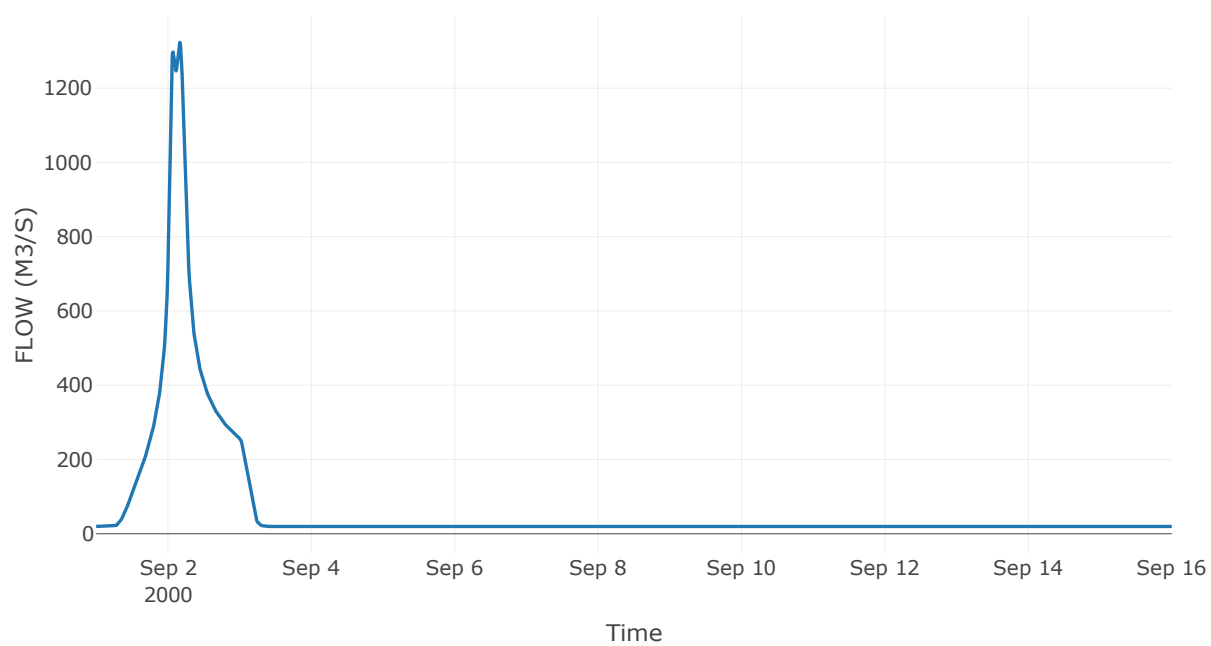
Κόμβος: J5

Κατάντη : R54

Αποτελέσματα: J5

Παροχή αιχμής (M3/S)	1323.28
Χρονική στιγμή αιχμής	02Sep2000, 04:00
Όγκος (MM)	274.03

Απορροή



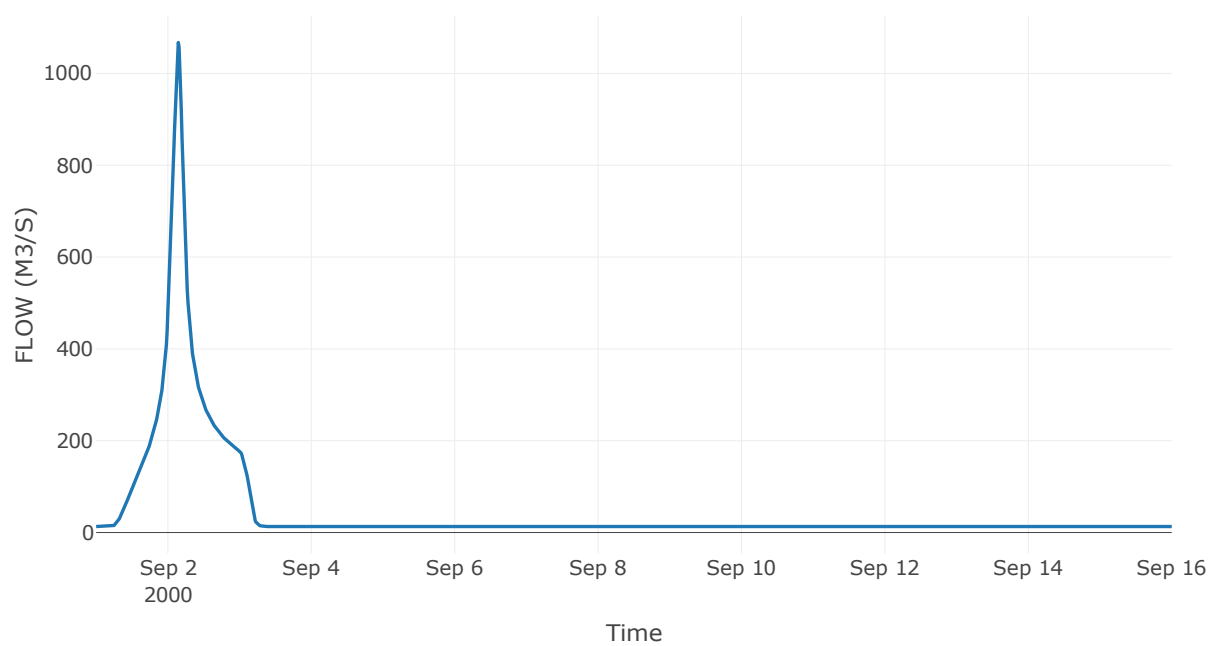
Κόμβος: J6

Κατάντη : R65

Αποτελέσματα: J6

Παροχή αιχμής (M3/S)	1067.38
Χρονική στιγμή αιχμής	02Sep2000, 03:30
Όγκος (MM)	287.47

Απορροή



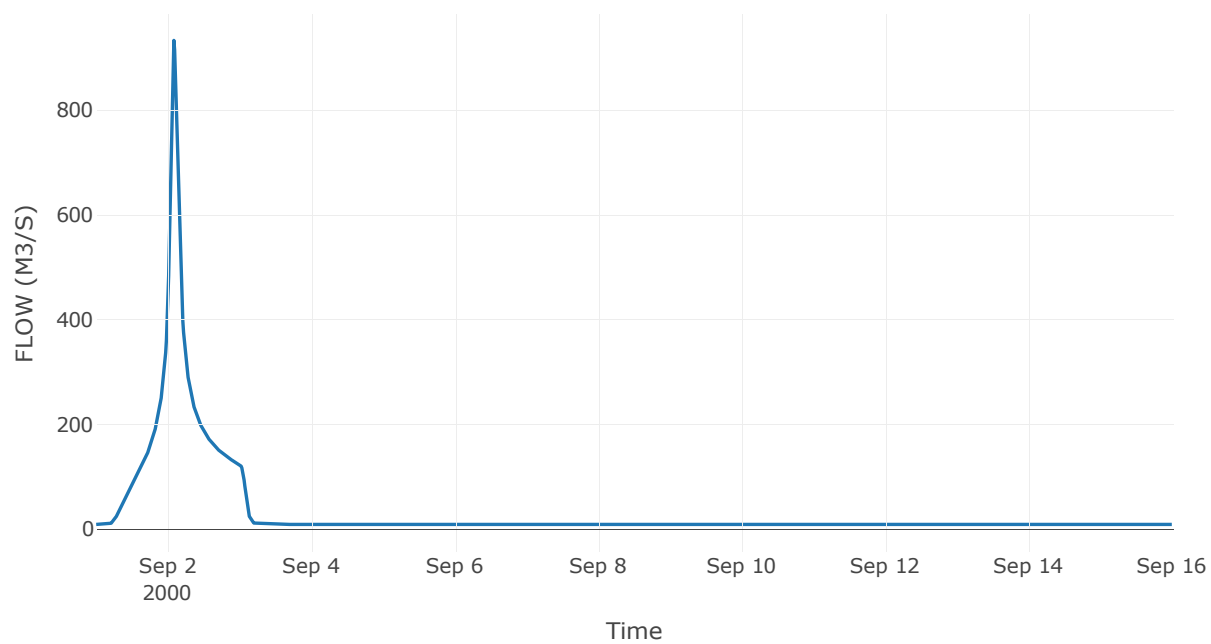
Κόμβος: J7

Κατάντη : R76

Αποτελέσματα: J7

Παροχή αιχμής (M3/S)	932.46
Χρονική στιγμή αιχμής	02Sep2000, 02:00
Όγκος (MM)	296.4

Απορροή



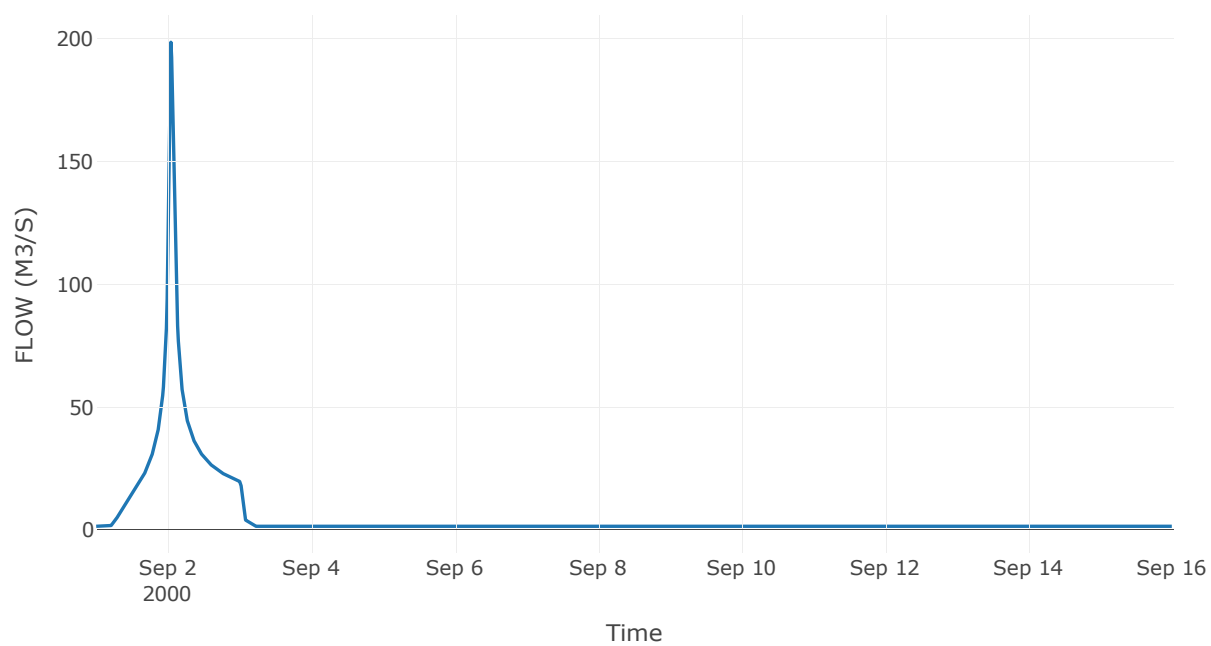
Κόμβος: J8

Κατάντη : R87

Αποτελέσματα: J8

Παροχή αιχμής (M3/S)	198.43
Χρονική στιγμή αιχμής	02Sep2000, 01:00
Όγκος (MM)	303.71

Απορροή



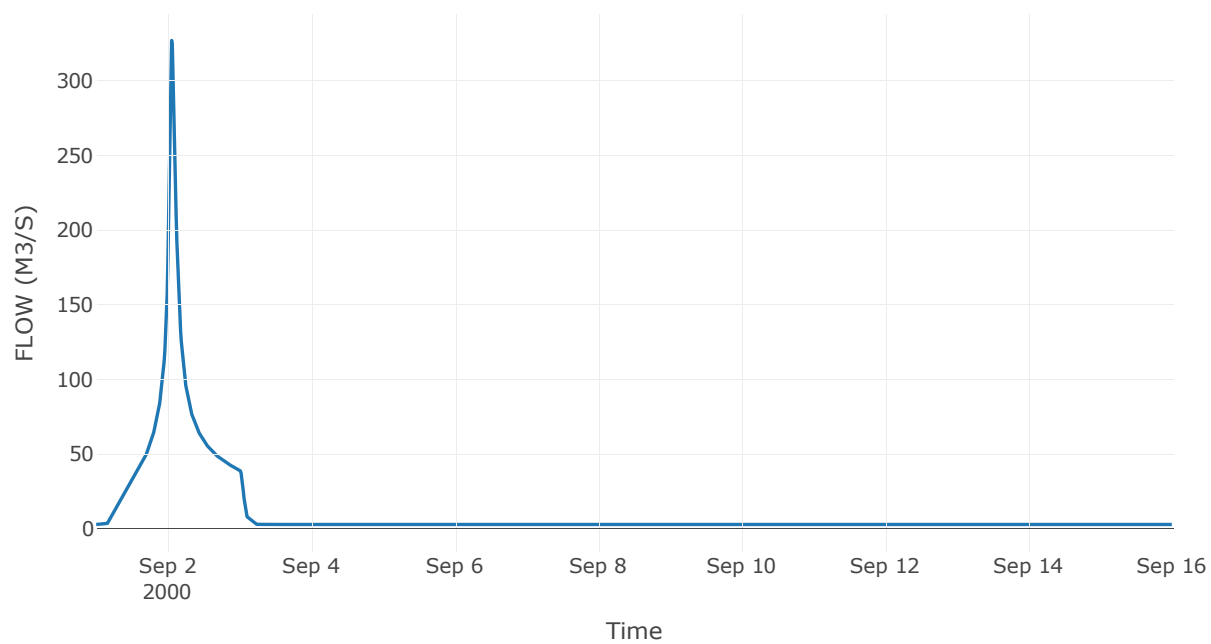
Κόμβος: J9

Κατάντη : R97

Αποτελέσματα: J9

Παροχή αιχμής (M3/S)	327.06
Χρονική στιγμή αιχμής	02Sep2000, 01:15
Όγκος (MM)	299.84

Απορροή



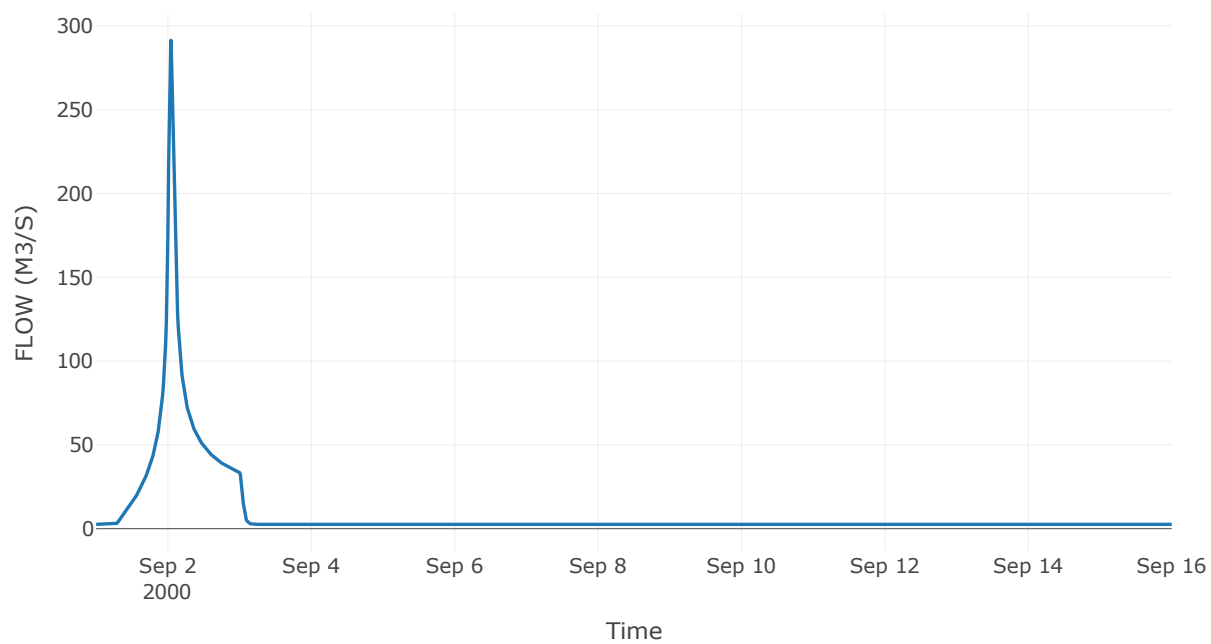
Κόμβος: J10

Κατάντη : R105

Αποτελέσματα: J10

Παροχή αιχμής (M3/S)	291.37
Χρονική στιγμή αιχμής	02Sep2000, 01:00
Όγκος (MM)	275.4

Απορροή



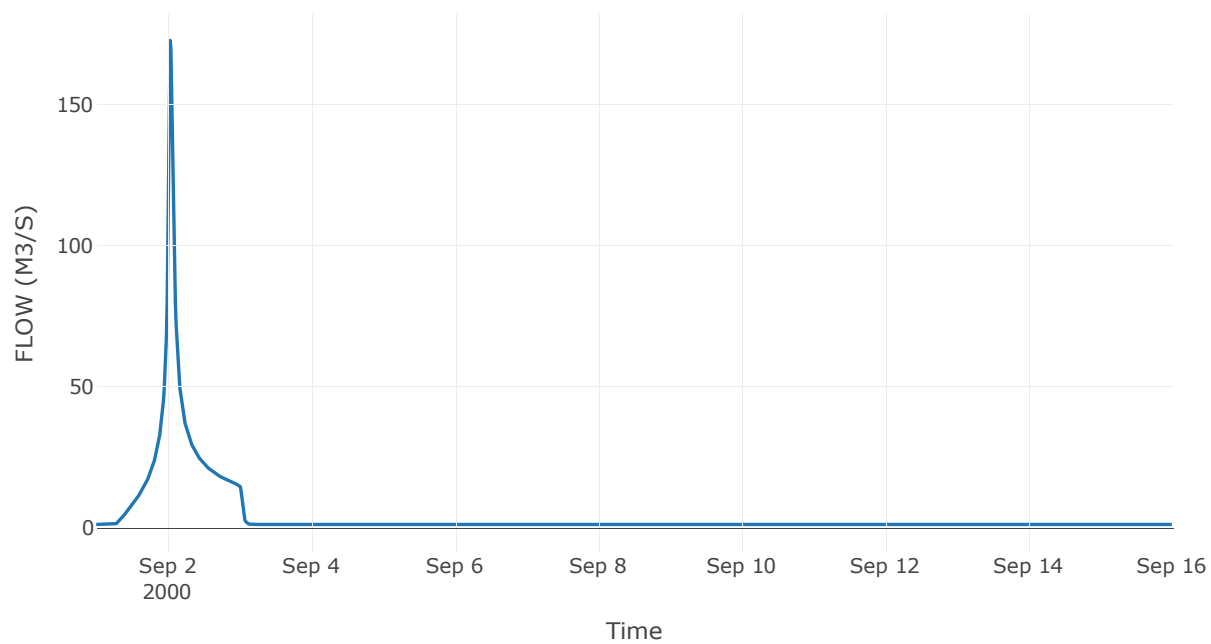
Κόμβος: J11

Κατάντη : R1112

Αποτελέσματα: J11

Παροχή αιχμής (M3/S)	172.65
Χρονική στιγμή αιχμής	02Sep2000, 00:45
Όγκος (MM)	275.56

Απορροή



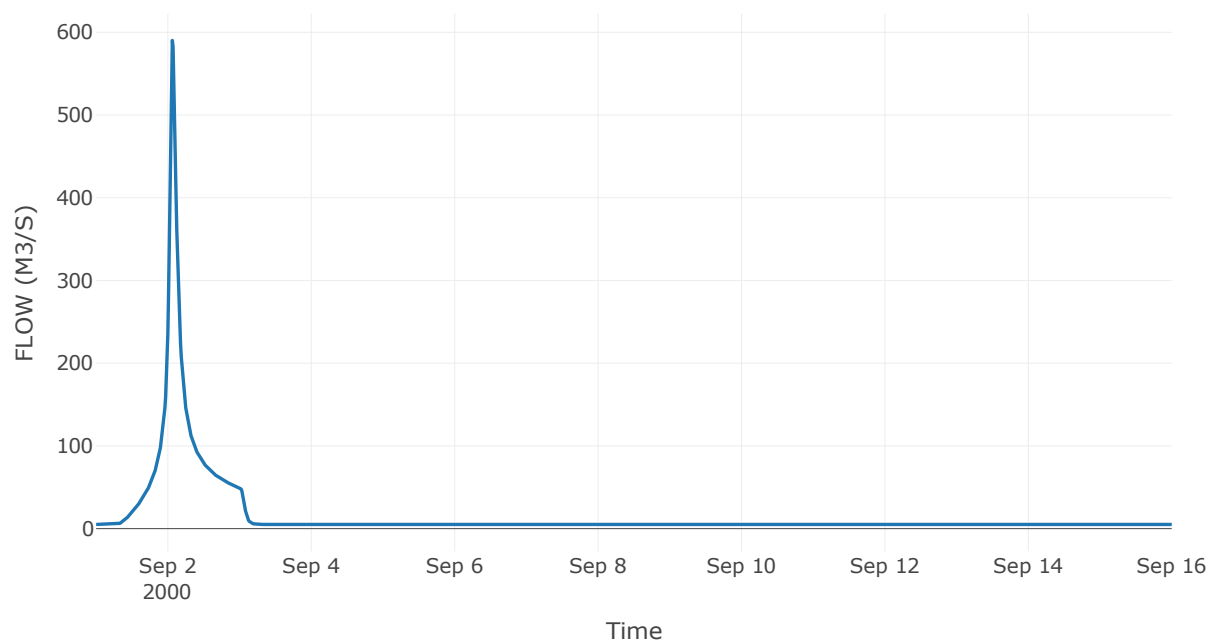
Κόμβος: J12

Κατάντη : R1213

Αποτελέσματα: J12

Παροχή αιχμής (M3/S)	590.18
Χρονική στιγμή αιχμής	02Sep2000, 01:30
Όγκος (MM)	254.3

Απορροή



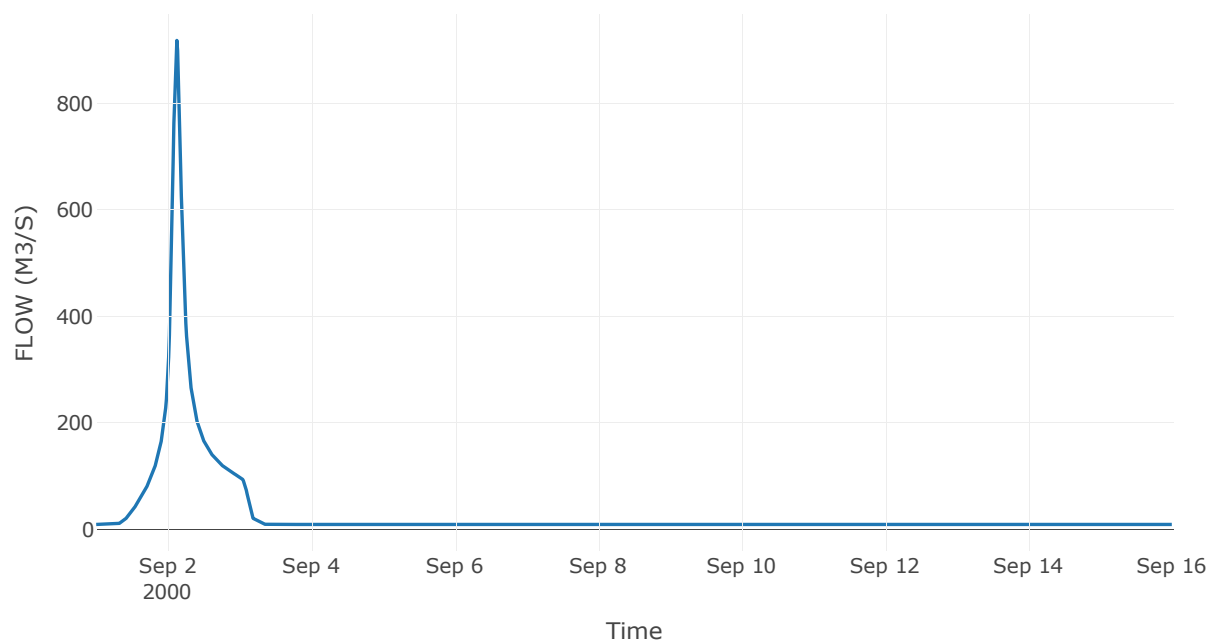
Κόμβος: J13

Κατάντη : R1314

Αποτελέσματα: J13

Παροχή αιχμής (M3/S)	918.69
Χρονική στιγμή αιχμής	02Sep2000, 03:00
Όγκος (MM)	262.06

Απορροή



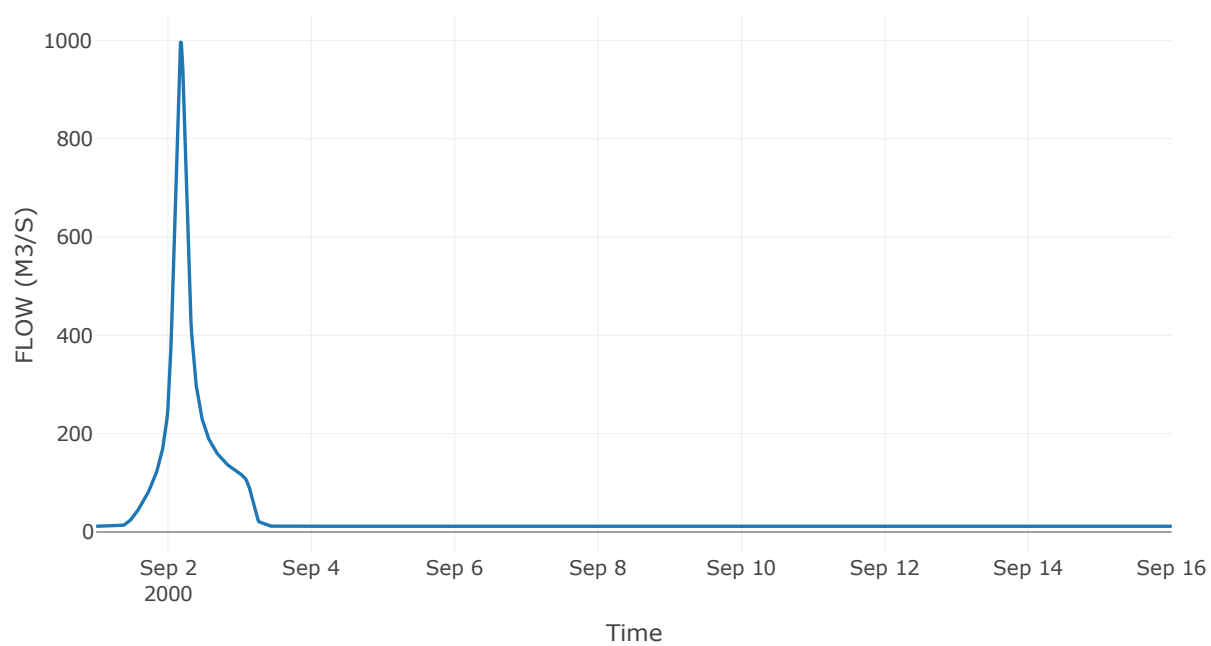
Κόμβος: J14

Κατάντη : R1415

Αποτελέσματα: J14

Παροχή αιχμής (M3/S)	996.06
Χρονική στιγμή αιχμής	02Sep2000, 04:15
Όγκος (MM)	254.72

Απορροή



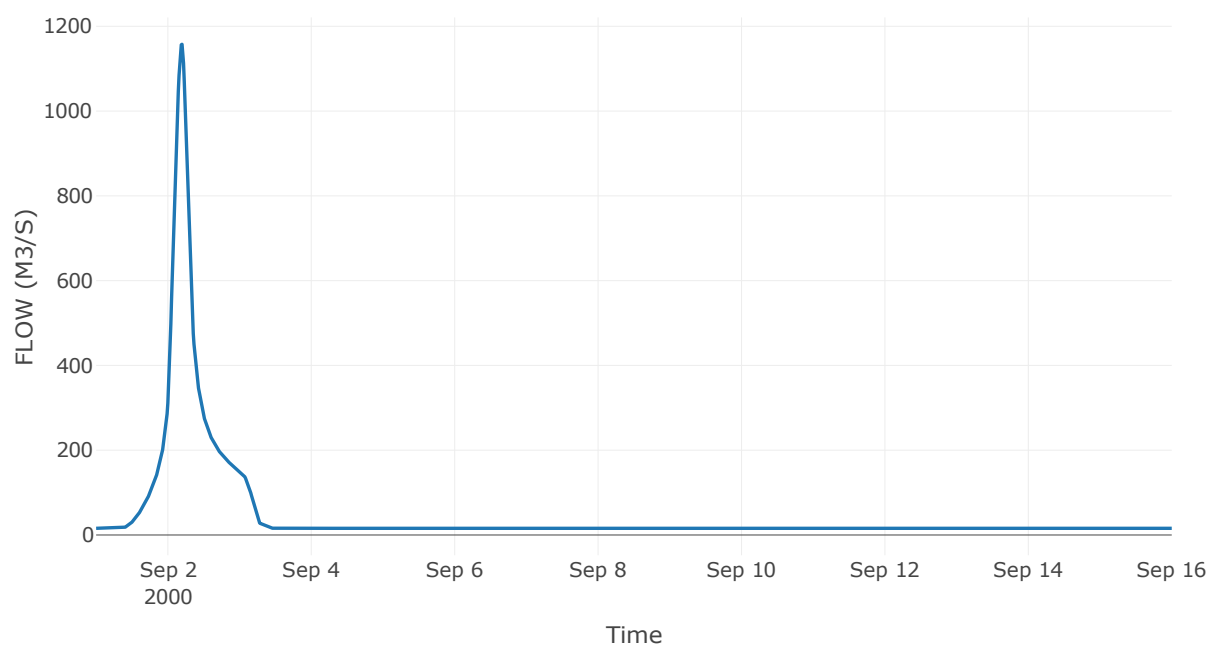
Κόμβος: J15

Κατάντη : R152

Αποτελέσματα: J15

Παροχή αιχμής (M3/S)	1157.54
Χρονική στιγμή αιχμής	02Sep2000, 04:45
Όγκος (MM)	240.95

Απορροή



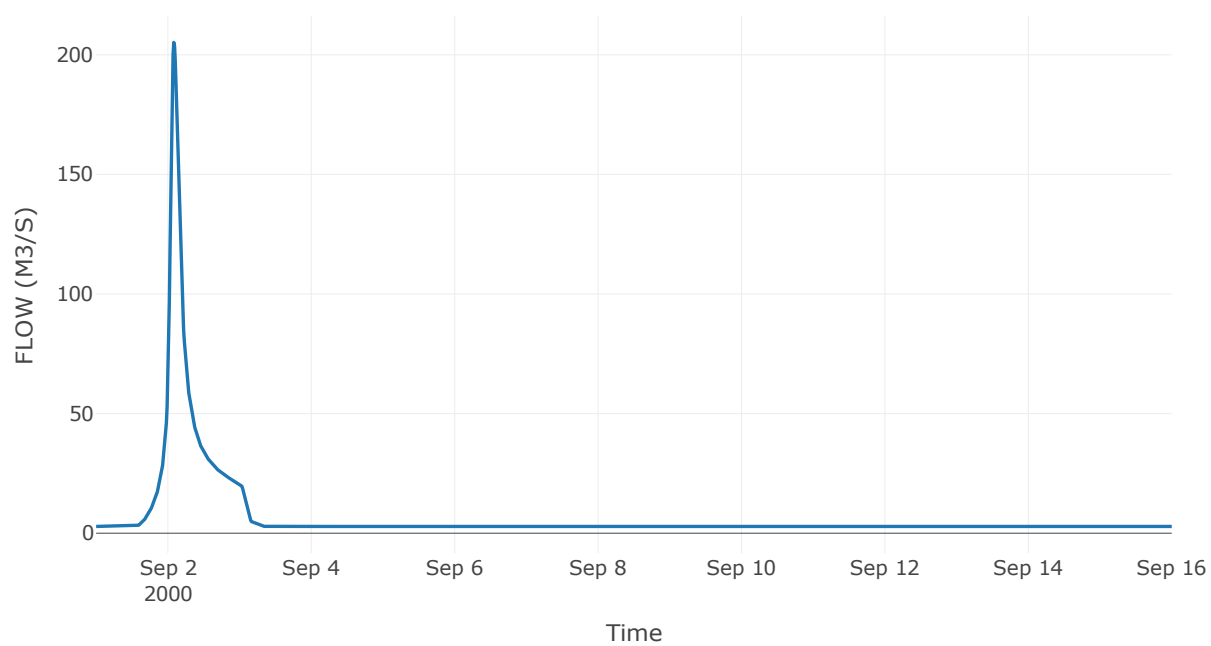
Κόμβος: J16

Κατάντη : R1615

Αποτελέσματα: J16

Παροχή αιχμής (M3/S)	205.18
Χρονική στιγμή αιχμής	02Sep2000, 02:00
Όγκος (MM)	193.75

Απορροή



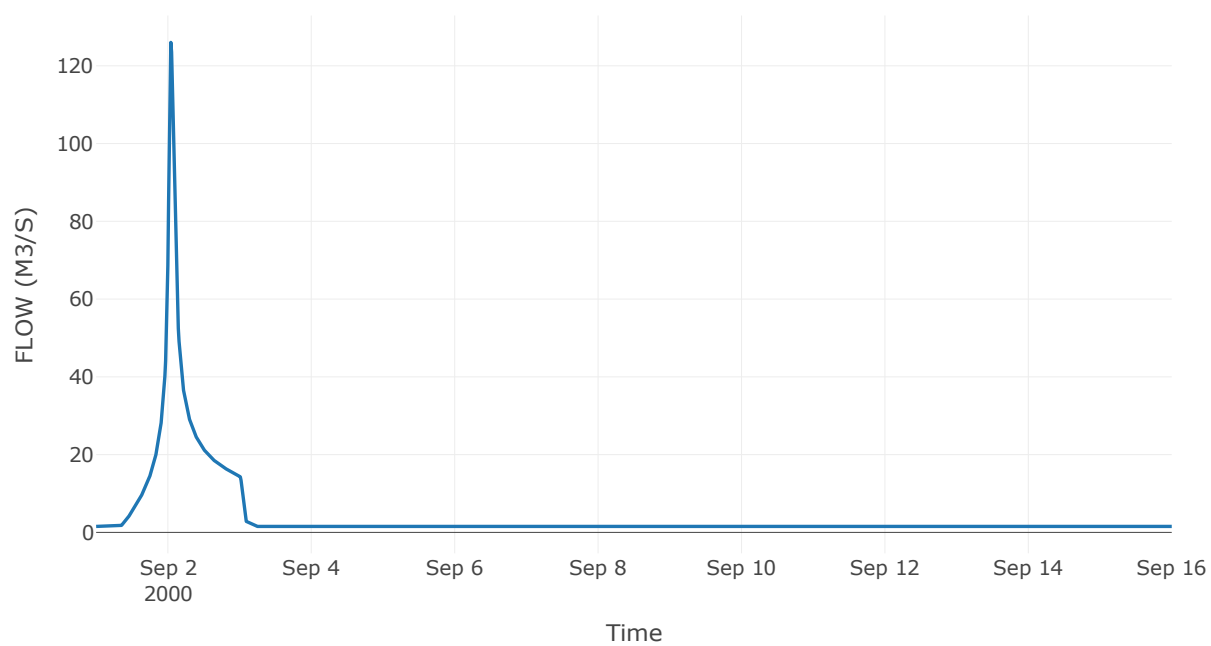
Κόμβος: J17

Κατάντη : R173

Αποτελέσματα: J17

Παροχή αιχμής (M3/S)	126.01
Χρονική στιγμή αιχμής	02Sep2000, 01:00
Όγκος (MM)	215.32

Απορροή



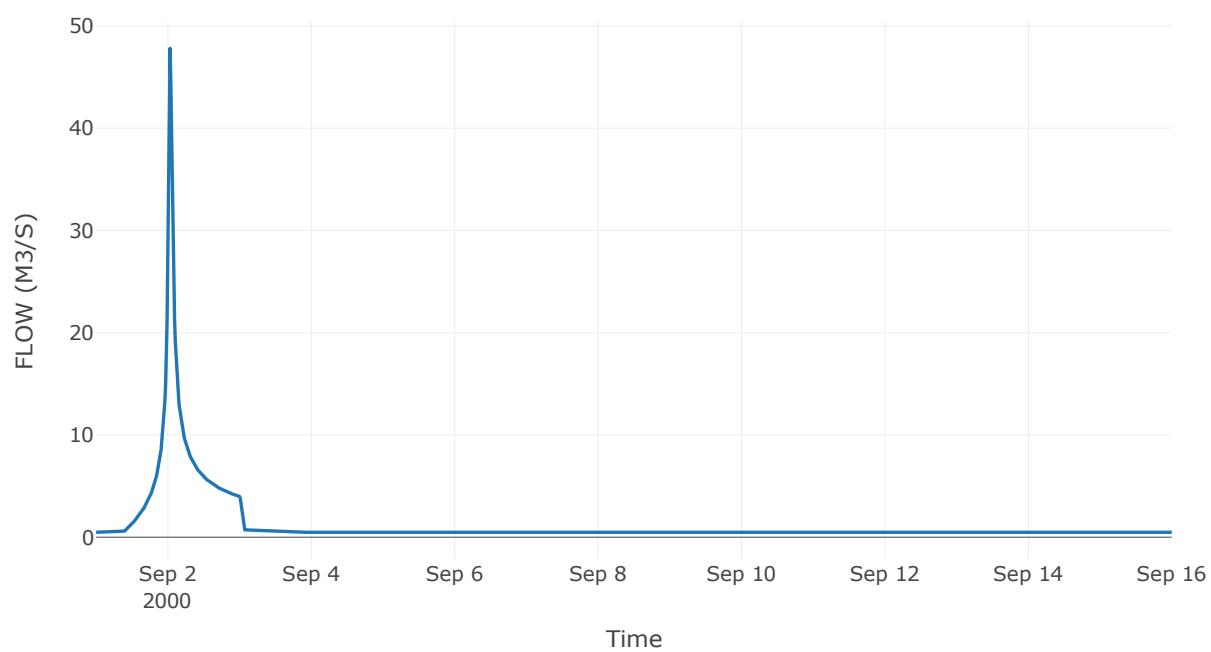
Κόμβος: J18

Κατάντη : R183

Αποτελέσματα: J18

Παροχή αιχμής (M3/S)	47.81
Χρονική στιγμή αιχμής	02Sep2000, 00:45
Όγκος (MM)	206.13

Απορροή



5 Δεδομένα εισόδου και αποτελέσματα υδρολογικού σεναρίου T=100

5.1 Αποτελέσματα, υετογραφήματα και υδρογραφήματα σχεδιασμού υπολεκανών

Υπολεκάνη: EL0513FR7001

Έκταση (KM2) : 10.61

Κατάντη : J1

Μέθοδος Απωλειών: SCS

Ποσοστό αδιαπέρατης επιφάνειας	0
Αριθμός Καμπύλης Απορροής-CN	76.74
Αρχικές Απώλειες	15.4

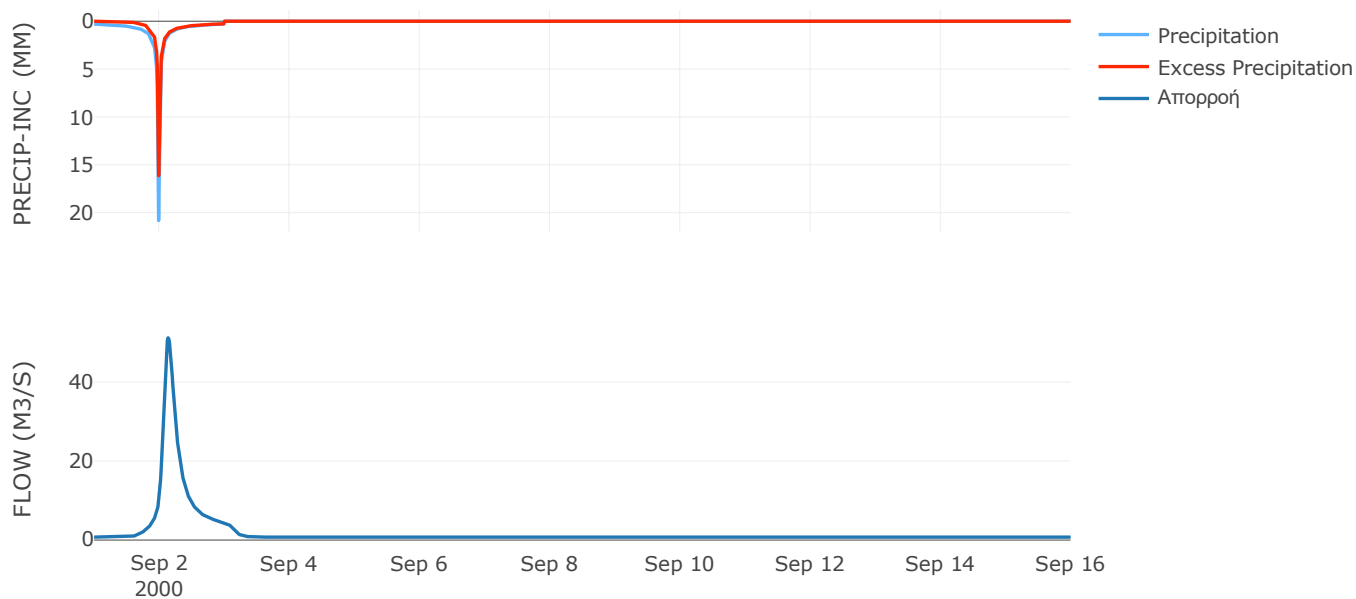
Μέθοδος
Μετασχηματισμού: SCS

Χρόνος Υστέρησης	185.62
------------------	--------

Αποτελέσματα:
EL0513FR7001

Παροχή αιχμής (M3/S)	51.18
Χρονική στιγμή αιχμής	02Sep2000, 03:15
Όγκος (MM)	231.97
Όγκος βροχόπτωσης (M3)	2.25E6
Όγκος απωλειών (M3)	7.51E5
Ενεργός Όγκος (M3)	1.5E6
Όγκος άμεσης απορροής (M3)	1.5E6
Όγκος βασικής απορροής (M3)	9.63E5

Βροχόπτωση και Απορροή



Υπολεκάνη: EL0513FR7002

Έκταση (KM2) : 36.49

Κατάντη : J2

Μέθοδος Απωλειών: SCS

Ποσοστό αδιαπέρατης επιφάνειας	0
Αριθμός Καμπύλης Απορροής-CN	65.95
Αρχικές Απώλειες	26.23

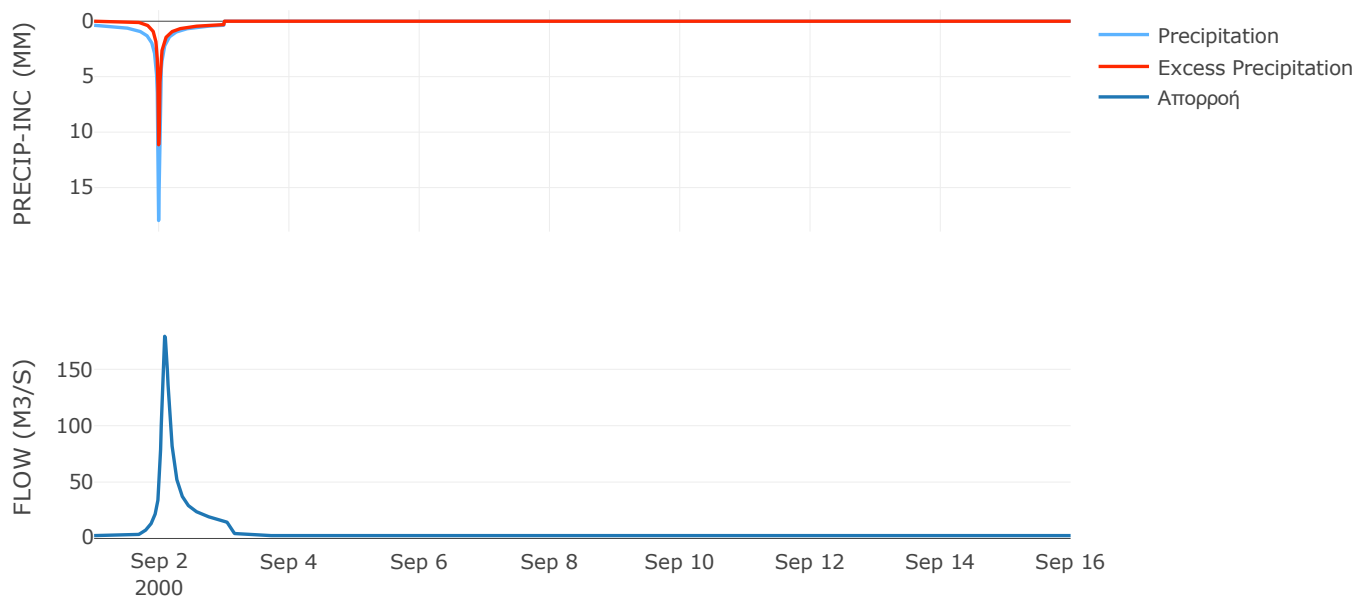
Μέθοδος
Μετασχηματισμού: SCS

Χρόνος Υστέρησης	112.3
------------------	-------

Αποτελέσματα:
EL0513FR7002

Παροχή αιχμής (M3/S)	179.27
Χρονική στιγμή αιχμής	02Sep2000, 02:00
Όγκος (MM)	210.3
Όγκος βροχόπτωσης (M3)	8.2E6
Όγκος απωλειών (M3)	3.84E6
Ενεργός Όγκος (M3)	4.36E6
Όγκος άμεσης απορροής (M3)	4.36E6
Όγκος βασικής απορροής (M3)	3.31E6

Βροχόπτωση και Απορροή



Υπολεκάνη: EL0513FR7003

Έκταση (KM2) : 2.15

Κατάντη : J2

Μέθοδος Απωλειών: SCS

Ποσοστό αδιαπέρατης επιφάνειας	0
Αριθμός Καμπύλης Απορροής-CN	73.61
Αρχικές Απώλειες	18.21

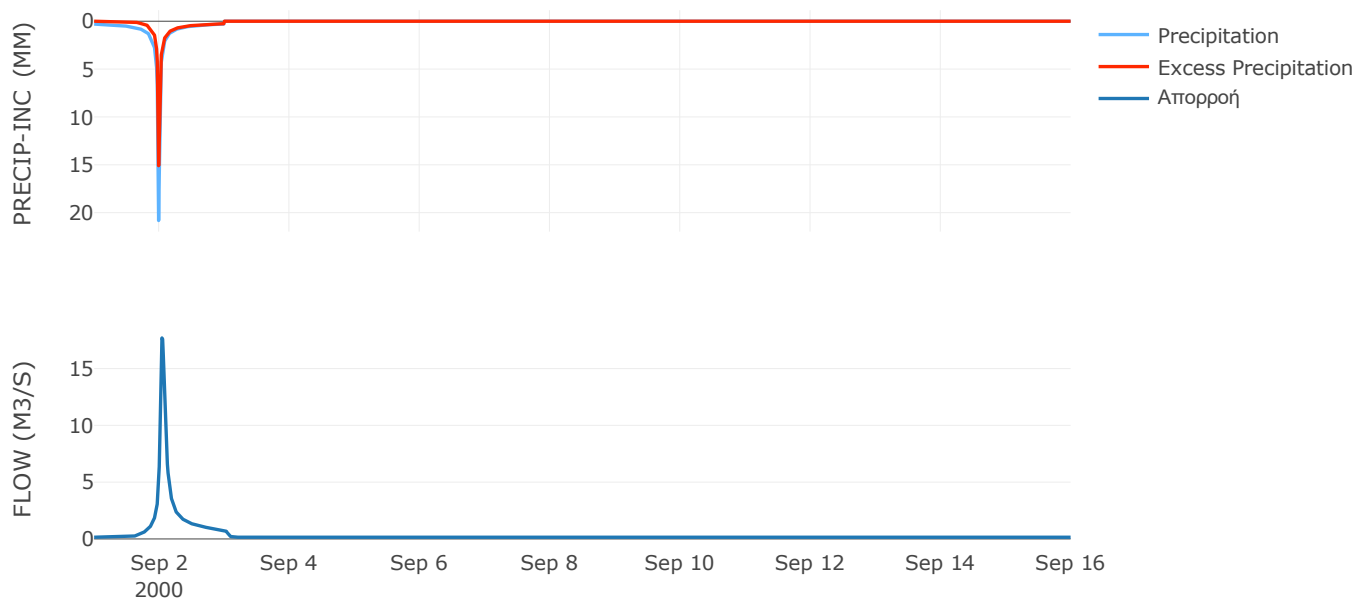
Μέθοδος
Μετασχηματισμού: SCS

Χρόνος Υστέρησης	62.69
------------------	-------

Αποτελέσματα:
EL0513FR7003

Παροχή αιχμής (M3/S)	17.7
Χρονική στιγμή αιχμής	02Sep2000, 01:00
Όγκος (MM)	222.53
Όγκος βροχόπτωσης (M3)	4.55E5
Όγκος απωλειών (M3)	1.72E5
Ενεργός Όγκος (M3)	2.83E5
Όγκος άμεσης απορροής (M3)	2.83E5
Όγκος βασικής απορροής (M3)	1.95E5

Βροχόπτωση και Απορροή



Υπολεκάνη: EL0513FR7004

Έκταση (KM2) : 11.5

Κατάνη : J15

Μέθοδος Απωλειών: SCS

Ποσοστό αδιαπέρατης επιφάνειας	0
Αριθμός Καμπύλης Απορροής-CN	60.52
Αρχικές Απώλειες	33.14

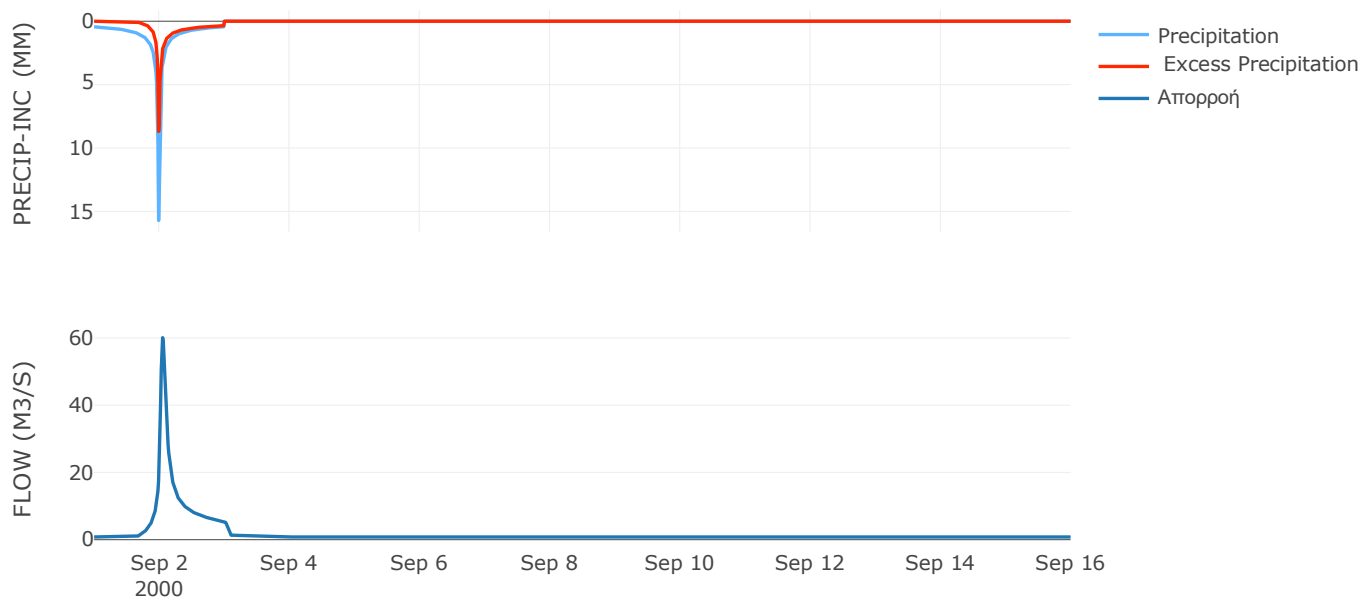
Μέθοδος
Μετασχηματισμού: SCS

Χρόνος Υστέρησης	69.15
------------------	-------

Αποτελέσματα:
EL0513FR7004

Παροχή αιχμής (M3/S)	60.07
Χρονική στιγμή αιχμής	02Sep2000, 01:15
Όγκος (MM)	204.68
Όγκος βροχόπτωσης (M3)	2.75E6
Όγκος απωλειών (M3)	1.44E6
Ενεργός Όγκος (M3)	1.31E6
Όγκος άμεσης απορροής (M3)	1.31E6
Όγκος βασικής απορροής (M3)	1.04E6

Βροχόπτωση και Απορροή



Υπολεκάνη: EL0513FR7005

Έκταση (KM2) : 8.16

Κατάντη : J15

Μέθοδος Απωλειών: SCS

Ποσοστό αδιαπέρατης επιφάνειας	0
Αριθμός Καμπύλης Απορροής-CN	67.14
Αρχικές Απώλειες	24.86

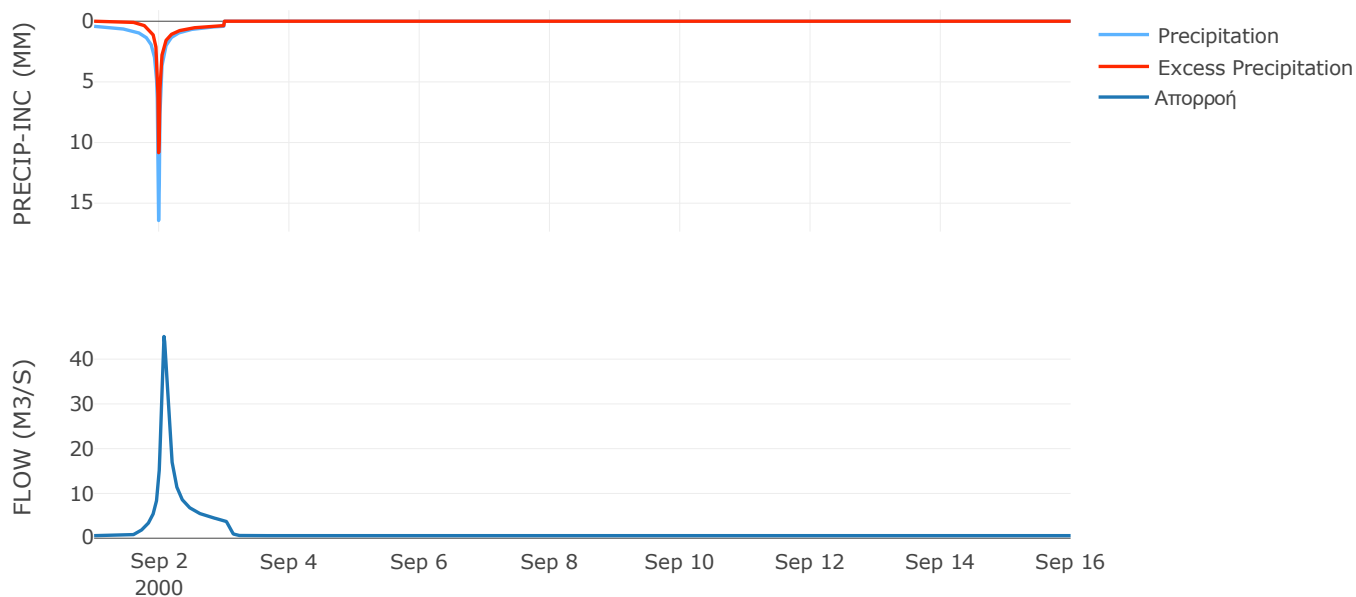
Μέθοδος
Μετασχηματισμού: SCS

Χρόνος Υστέρησης	93.46
------------------	-------

Αποτελέσματα:
EL0513FR7005

Παροχή αιχμής (M3/S)	45.06
Χρονική στιγμή αιχμής	02Sep2000, 01:45
Όγκος (MM)	223.44
Όγκος βροχόπτωσης (M3)	1.92E6
Όγκος απωλειών (M3)	8.41E5
Ενεργός Όγκος (M3)	1.08E6
Όγκος άμεσης απορροής (M3)	1.08E6
Όγκος βασικής απορροής (M3)	7.4E5

Βροχόπτωση και Απορροή



Υπολεκάνη: EL0513FR7006

Έκταση (KM2) : 47.06

Κατάντη : J16

Μέθοδος Απωλειών: SCS

Ποσοστό αδιαπέρατης επιφάνειας	0
Αριθμός Καμπύλης Απορροής-CN	49.32
Αρχικές Απώλειες	52.2

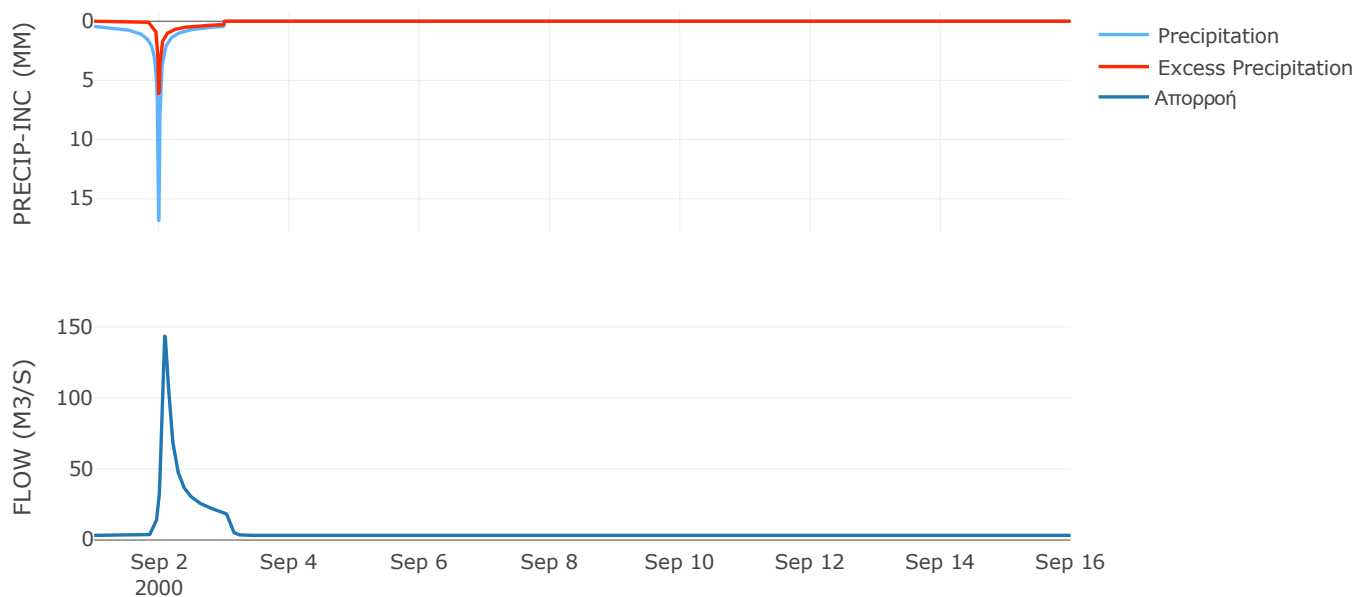
Μέθοδος
Μετασχηματισμού: SCS

Χρόνος Υστέρησης	104.29
------------------	--------

Αποτελέσματα:
EL0513FR7006

Παροχή αιχμής (M3/S)	143.57
Χρονική στιγμή αιχμής	02Sep2000, 02:00
Όγκος (MM)	172.69
Όγκος βροχόπτωσης (M3)	1.15E7
Όγκος απωλειών (M3)	7.68E6
Ενεργός Όγκος (M3)	3.86E6
Όγκος άμεσης απορροής (M3)	3.86E6
Όγκος βασικής απορροής (M3)	4.27E6

Βροχόπτωση και Απορροή



Υπολεκάνη: EL0513FR7007

Έκταση (KM2) : 2.05

Κατάντη : J15

Μέθοδος Απωλειών: SCS

Ποσοστό αδιαπέρατης επιφάνειας	0
Αριθμός Καμπύλης Απορροής-CN	78.46
Αρχικές Απώλειες	13.95

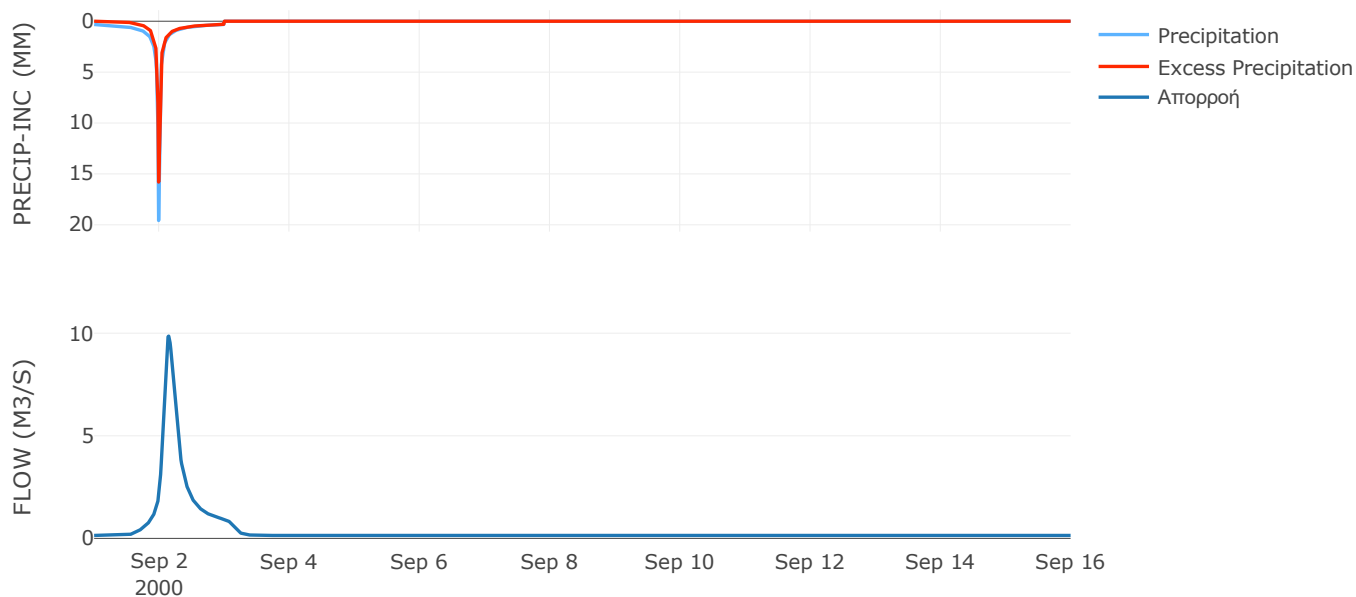
Μέθοδος
Μετασχηματισμού: SCS

Χρόνος Υστέρησης	192.52
------------------	--------

Αποτελέσματα:
EL0513FR7007

Παροχή αιχμής (M3/S)	9.86
Χρονική στιγμή αιχμής	02Sep2000, 03:30
Όγκος (MM)	240.8
Όγκος βροχόπτωσης (M3)	4.43E5
Όγκος απωλειών (M3)	1.35E5
Ενεργός Όγκος (M3)	3.08E5
Όγκος άμεσης απορροής (M3)	3.08E5
Όγκος βασικής απορροής (M3)	1.86E5

Βροχόπτωση και Απορροή



Υπολεκάνη: EL0513FR7008

Έκταση (KM2) : 8

Κατάντη : J18

Μέθοδος Απωλειών: SCS

Ποσοστό αδιαπέρατης επιφάνειας	0
Αριθμός Καμπύλης Απορροής-CN	57.95
Αρχικές Απώλειες	36.87

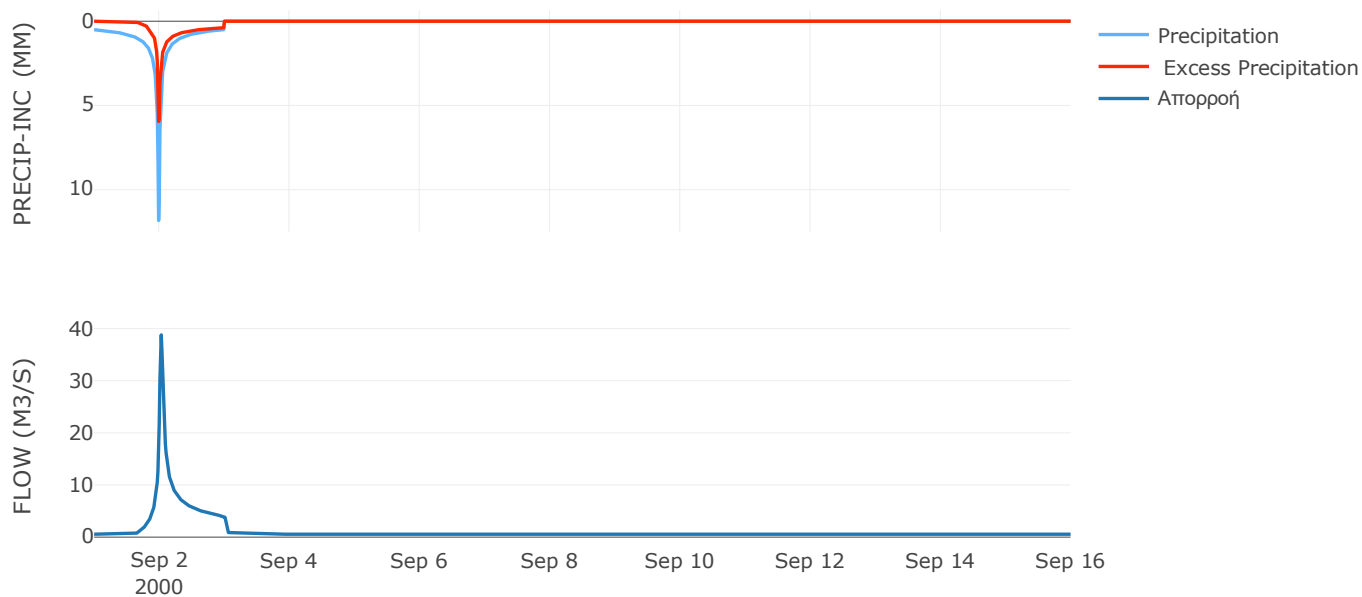
Μέθοδος
Μετασχηματισμού: SCS

Χρόνος Υστέρησης	36.94
------------------	-------

Αποτελέσματα:
EL0513FR7008

Παροχή αιχμής (M3/S)	38.78
Χρονική στιγμή αιχμής	02Sep2000, 00:45
Όγκος (MM)	193
Όγκος βροχόπτωσης (M3)	1.88E6
Όγκος απωλειών (M3)	1.06E6
Ενεργός Όγκος (M3)	8.18E5
Όγκος άμεσης απορροής (M3)	8.18E5
Όγκος βασικής απορροής (M3)	7.26E5

Βροχόπτωση και Απορροή



Υπολεκάνη: EL0513FR7009

Έκταση (KM2) : 25.56

Κατάντη : J17

Μέθοδος Απωλειών: SCS

Ποσοστό αδιαπέρατης επιφάνειας	0
Αριθμός Καμπύλης Απορροής-CN	58.5
Αρχικές Απώλειες	36.04

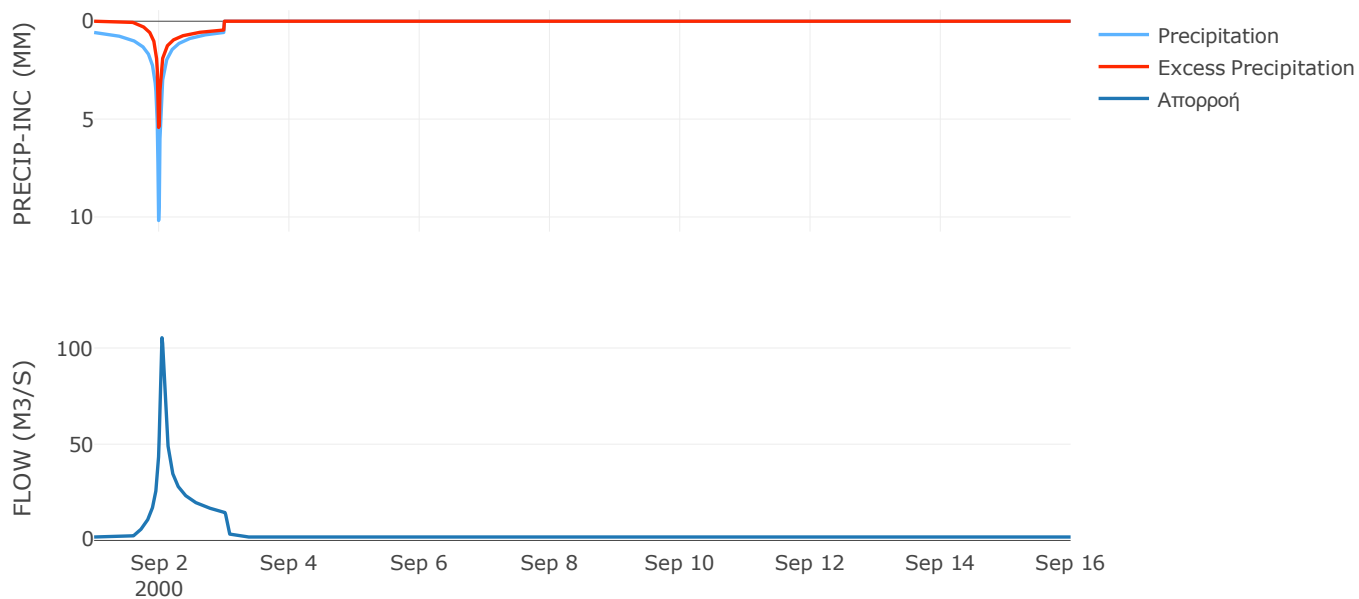
Μέθοδος
Μετασχηματισμού: SCS

Χρόνος Υστέρησης	54.4
------------------	------

Αποτελέσματα:
EL0513FR7009

Παροχή αιχμής (M3/S)	105.35
Χρονική στιγμή αιχμής	02Sep2000, 01:00
Όγκος (MM)	202.71
Όγκος βροχόπτωσης (M3)	6.26E6
Όγκος απωλειών (M3)	3.39E6
Ενεργός Όγκος (M3)	2.86E6
Όγκος άμεσης απορροής (M3)	2.86E6
Όγκος βασικής απορροής (M3)	2.32E6

Βροχόπτωση και Απορροή



Υπολεκάνη: EL0513FR7010

Έκταση (KM2) : 14.22

Κατάντη : J3

Μέθοδος Απωλειών: SCS

Ποσοστό αδιαπέρατης επιφάνειας	0
Αριθμός Καμπύλης Απορροής-CN	63.55
Αρχικές Απώλειες	29.13

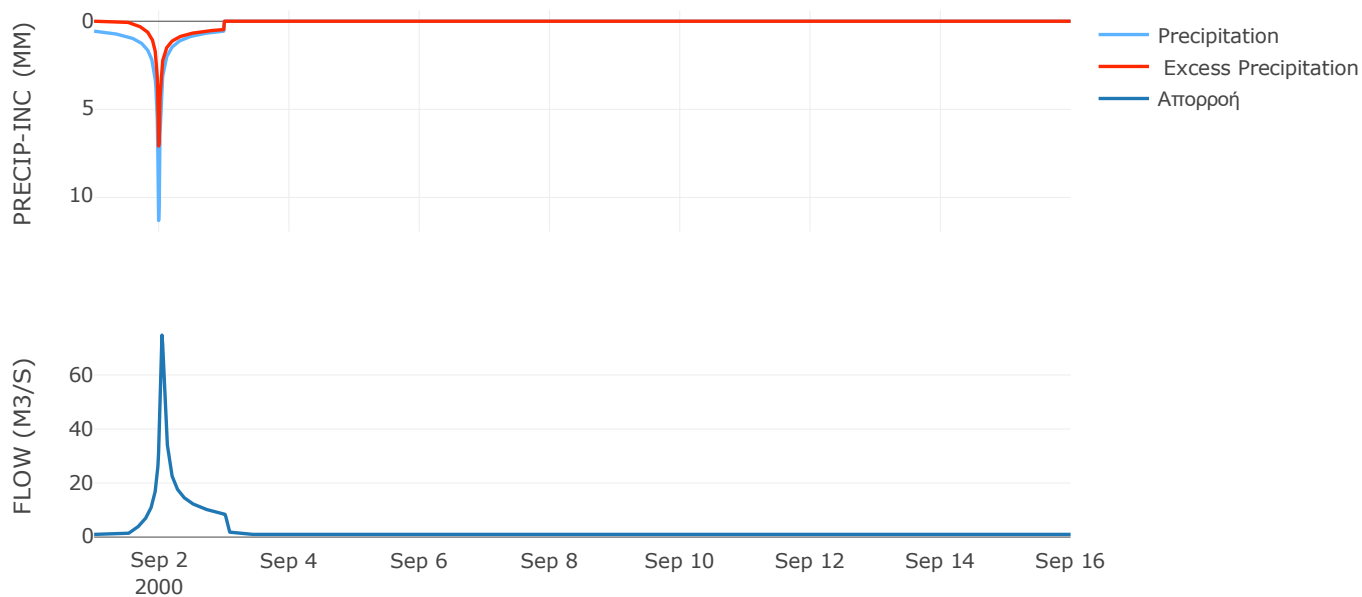
Μέθοδος
Μετασχηματισμού: SCS

Χρόνος Υστέρησης	53.17
------------------	-------

Αποτελέσματα:
EL0513FR7010

Παροχή αιχμής (M3/S)	74.77
Χρονική στιγμή αιχμής	02Sep2000, 01:00
Όγκος (MM)	223.75
Όγκος βροχόπτωσης (M3)	3.55E6
Όγκος απωλειών (M3)	1.66E6
Ενεργός Όγκος (M3)	1.89E6
Όγκος άμεσης απορροής (M3)	1.89E6
Όγκος βασικής απορροής (M3)	1.29E6

Βροχόπτωση και Απορροή



Υπολεκάνη: EL0513FR7011

Έκταση (KM2) : 27

Κατάντη : J3

Μέθοδος Απωλειών: SCS

Ποσοστό αδιαπέρατης επιφάνειας	0
Αριθμός Καμπύλης Απορροής-CN	68.6
Αρχικές Απώλειες	23.25

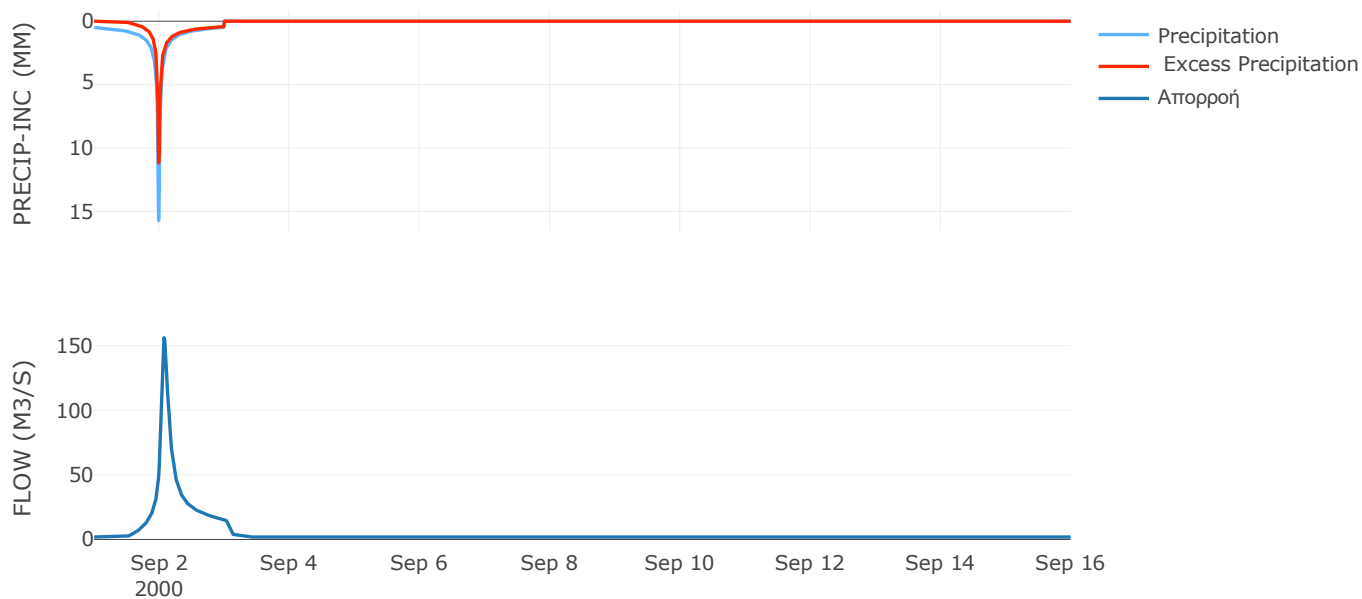
Μέθοδος
Μετασχηματισμού: SCS

Χρόνος Υστέρησης	99.74
------------------	-------

Αποτελέσματα:
EL0513FR7011

Παροχή αιχμής (M3/S)	156.07
Χρονική στιγμή αιχμής	02Sep2000, 01:45
Όγκος (MM)	244.95
Όγκος βροχόπτωσης (M3)	6.88E6
Όγκος απωλειών (M3)	2.72E6
Ενεργός Όγκος (M3)	4.16E6
Όγκος άμεσης απορροής (M3)	4.16E6
Όγκος βασικής απορροής (M3)	2.45E6

Βροχόπτωση και Απορροή



Υπολεκάνη: EL0513FR7012

Έκταση (KM2) : 36.83

Κατάντη : J14

Μέθοδος Απωλειών: SCS

Ποσοστό αδιαπέρατης επιφάνειας	0
Αριθμός Καμπύλης Απορροής-CN	67.91
Αρχικές Απώλειες	24.01

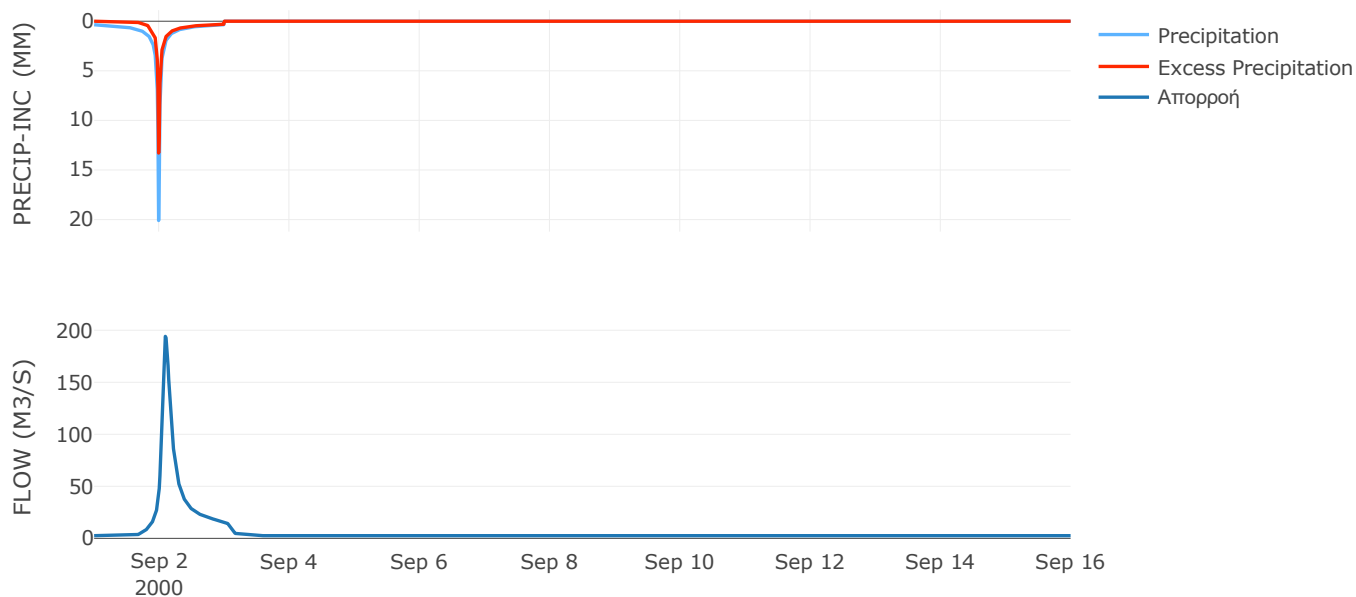
Μέθοδος
Μετασχηματισμού: SCS

Χρόνος Υστέρησης	127.1
------------------	-------

Αποτελέσματα:
EL0513FR7012

Παροχή αιχμής (M3/S)	194.11
Χρονική στιγμή αιχμής	02Sep2000, 02:15
Όγκος (MM)	221.47
Όγκος βροχόπτωσης (M3)	8.5E6
Όγκος απωλειών (M3)	3.68E6
Ενεργός Όγκος (M3)	4.82E6
Όγκος άμεσης απορροής (M3)	4.82E6
Όγκος βασικής απορροής (M3)	3.34E6

Βροχόπτωση και Απορροή



Υπολεκάνη: EL0513FR7013

Έκταση (KM2) : 10.56

Κατάντη : J6

Μέθοδος Απωλειών: SCS

Ποσοστό αδιαπέρατης επιφάνειας	0
Αριθμός Καμπύλης Απορροής-CN	72.61
Αρχικές Απώλειες	19.16

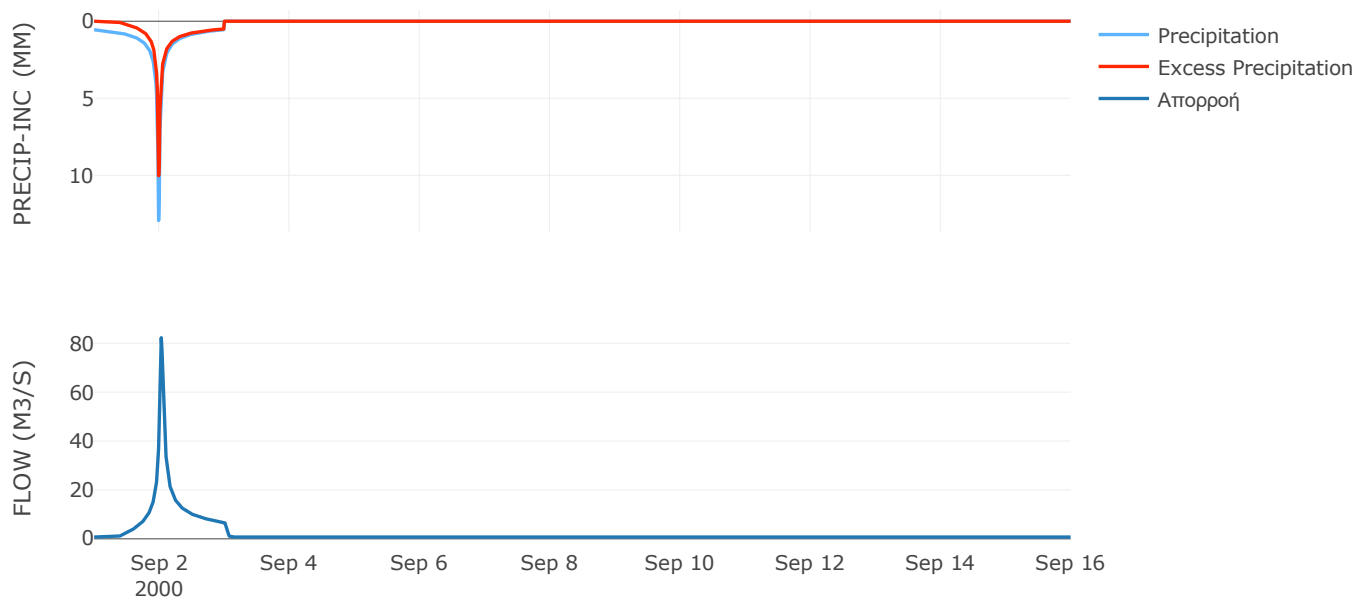
Μέθοδος
Μετασχηματισμού: SCS

Χρόνος Υστέρησης	41.66
------------------	-------

Αποτελέσματα:
EL0513FR7013

Παροχή αιχμής (M3/S)	82.24
Χρονική στιγμή αιχμής	02Sep2000, 00:45
Όγκος (MM)	261.18
Όγκος βροχόπτωσης (M3)	2.72E6
Όγκος απωλειών (M3)	9.24E5
Ενεργός Όγκος (M3)	1.8E6
Όγκος άμεσης απορροής (M3)	1.8E6
Όγκος βασικής απορροής (M3)	9.58E5

Βροχόπτωση και Απορροή



Υπολεκάνη: EL0513FR7014

Έκταση (KM2) : 22.48

Κατάντη : J5

Μέθοδος Απωλειών: SCS

Ποσοστό αδιαπέρατης επιφάνειας	0
Αριθμός Καμπύλης Απορροής-CN	50.9
Αρχικές Απώλειες	49

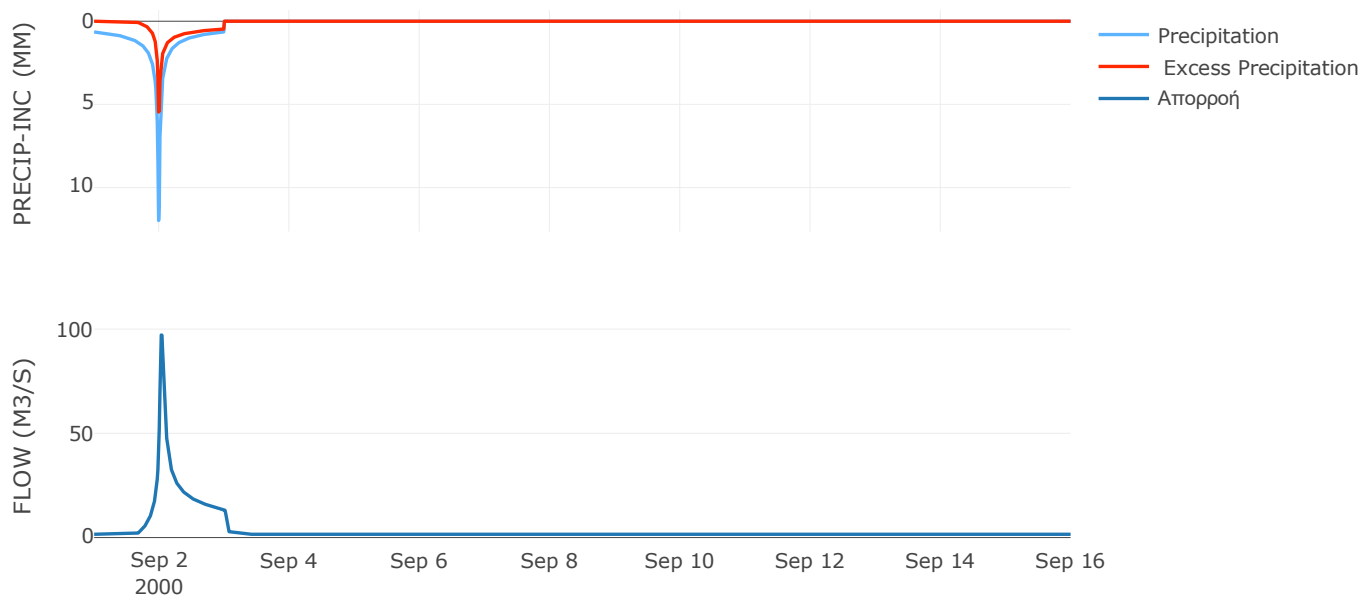
Μέθοδος
Μετασχηματισμού: SCS

Χρόνος Υστέρησης	45.52
------------------	-------

Αποτελέσματα:
EL0513FR7014

Παροχή αιχμής (M3/S)	97.19
Χρονική στιγμή αιχμής	02Sep2000, 00:45
Όγκος (MM)	202.08
Όγκος βροχόπτωσης (M3)	6.27E6
Όγκος απωλειών (M3)	3.77E6
Ενεργός Όγκος (M3)	2.5E6
Όγκος άμεσης απορροής (M3)	2.5E6
Όγκος βασικής απορροής (M3)	2.04E6

Βροχόπτωση και Απορροή



Υπολεκάνη: EL0513FR7015

Έκταση (KM2) : 54.51

Κατάντη : J6

Μέθοδος Απωλειών: SCS

Ποσοστό αδιαπέρατης επιφάνειας	0
Αριθμός Καμπύλης Απορροής-CN	64.36
Αρχικές Απώλειες	28.13

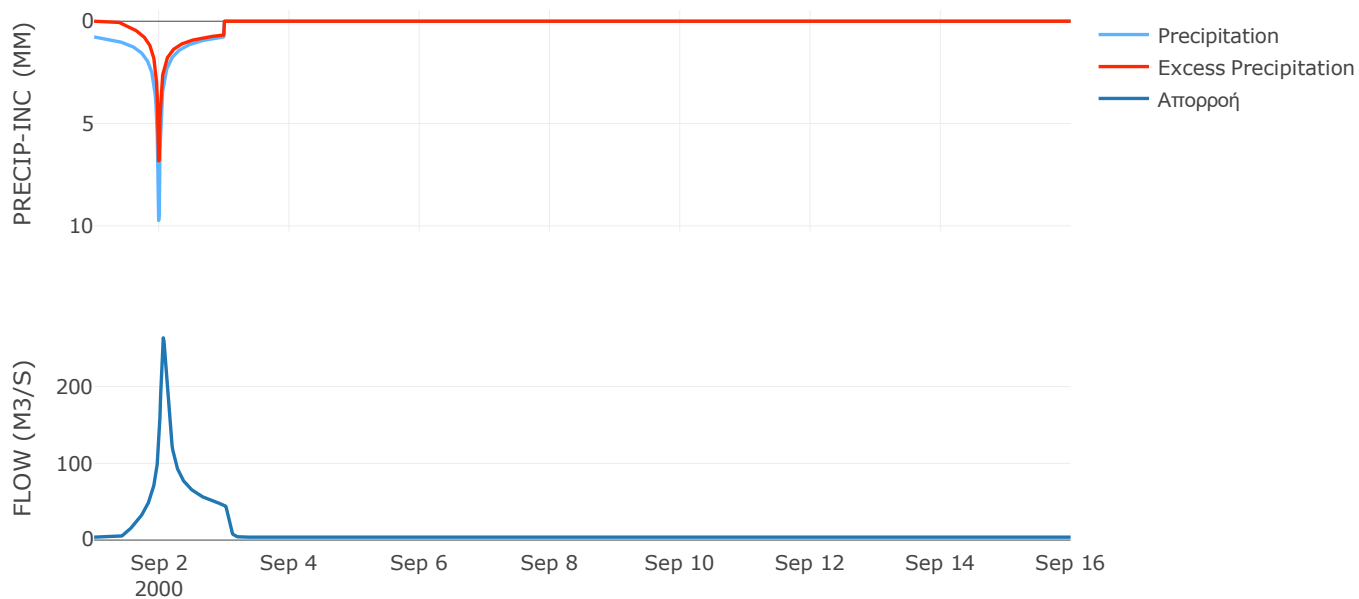
Μέθοδος
Μετασχηματισμού: SCS

Χρόνος Υστέρησης	82.18
------------------	-------

Αποτελέσματα:
EL0513FR7015

Παροχή αιχμής (M3/S)	263.52
Χρονική στιγμή αιχμής	02Sep2000, 01:30
Όγκος (MM)	265.61
Όγκος βροχόπτωσης (M3)	1.61E7
Όγκος απωλειών (M3)	6.56E6
Ενεργός Όγκος (M3)	9.53E6
Όγκος άμεσης απορροής (M3)	9.53E6
Όγκος βασικής απορροής (M3)	4.95E6

Βροχόπτωση και Απορροή



Υπολεκάνη: EL0513FR7016

Έκταση (KM2) : 13.52

Κατάντη : J4

Μέθοδος Απωλειών: SCS

Ποσοστό αδιαπέρατης επιφάνειας	0
Αριθμός Καμπύλης Απορροής-CN	47.73
Αρχικές Απώλειες	55.64

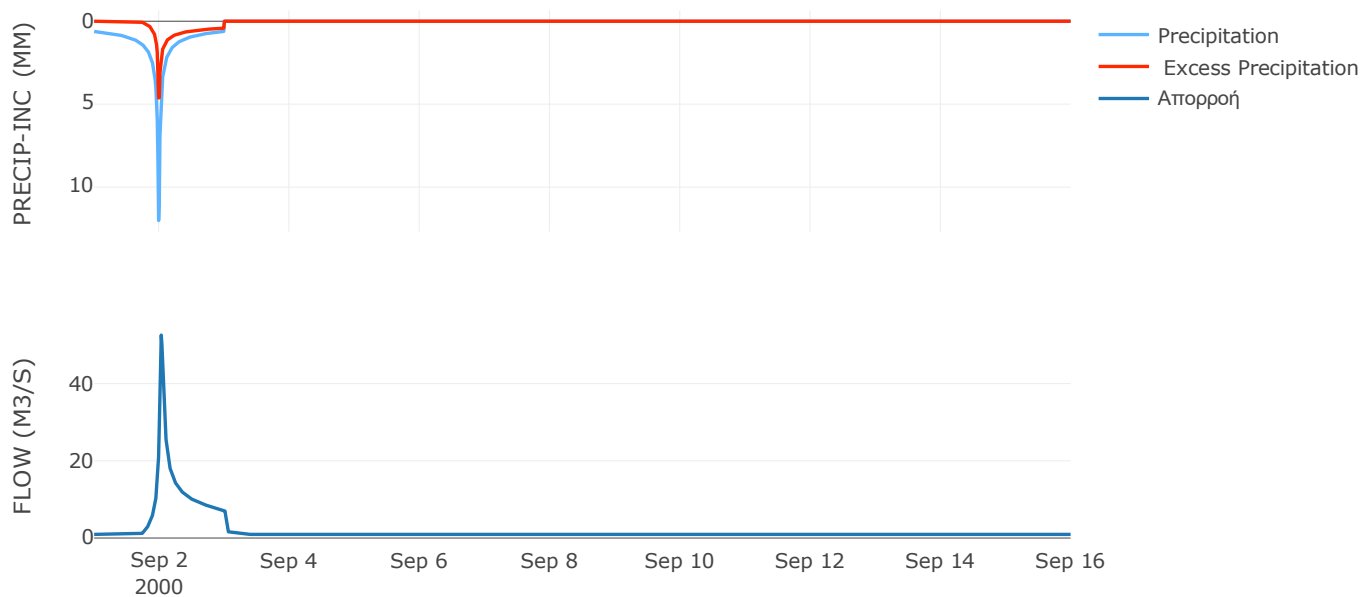
Μέθοδος
Μετασχηματισμού: SCS

Χρόνος Υστέρησης	38.47
------------------	-------

Αποτελέσματα:
EL0513FR7016

Παροχή αιχμής (M3/S)	52.57
Χρονική στιγμή αιχμής	02Sep2000, 00:45
Όγκος (MM)	184.78
Όγκος βροχόπτωσης (M3)	3.66E6
Όγκος απωλειών (M3)	2.39E6
Ενεργός Όγκος (M3)	1.27E6
Όγκος άμεσης απορροής (M3)	1.27E6
Όγκος βασικής απορροής (M3)	1.23E6

Βροχόπτωση και Απορροή



Υπολεκάνη: EL0513FR7017

Έκταση (KM2) : 45.33

Κατάντη : J5

Μέθοδος Απωλειών: SCS

Ποσοστό αδιαπέρατης επιφάνειας	0
Αριθμός Καμπύλης Απορροής-CN	48.78
Αρχικές Απώλειες	53.34

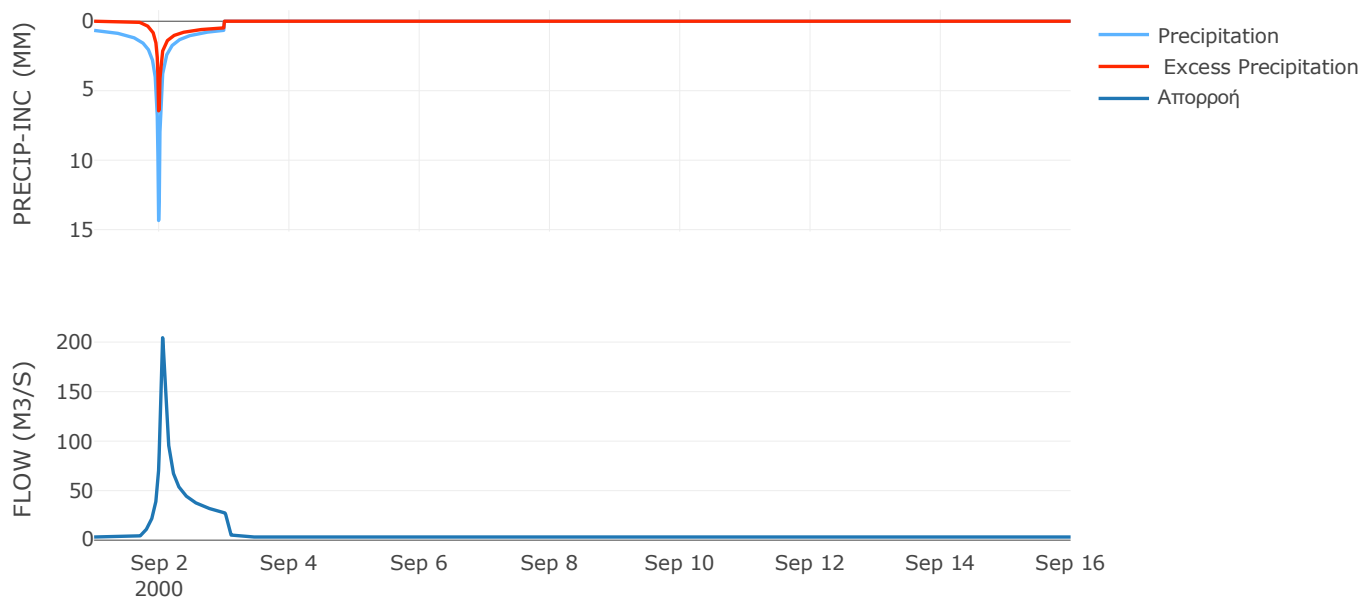
Μέθοδος
Μετασχηματισμού: SCS

Χρόνος Υστέρησης	61.55
------------------	-------

Αποτελέσματα:
EL0513FR7017

Παροχή αιχμής (M3/S)	204.46
Χρονική στιγμή αιχμής	02Sep2000, 01:15
Όγκος (MM)	209.41
Όγκος βροχόπτωσης (M3)	1.36E7
Όγκος απωλειών (M3)	8.23E6
Ενεργός Όγκος (M3)	5.38E6
Όγκος άμεσης απορροής (M3)	5.38E6
Όγκος βασικής απορροής (M3)	4.11E6

Βροχόπτωση και Απορροή



Υπολεκάνη: EL0513FR7018

Έκταση (KM2) : 32.48

Κατάντη : J10

Μέθοδος Απωλειών: SCS

Ποσοστό αδιαπέρατης επιφάνειας	0
Αριθμός Καμπύλης Απορροής-CN	53.54
Αρχικές Απώλειες	44.08

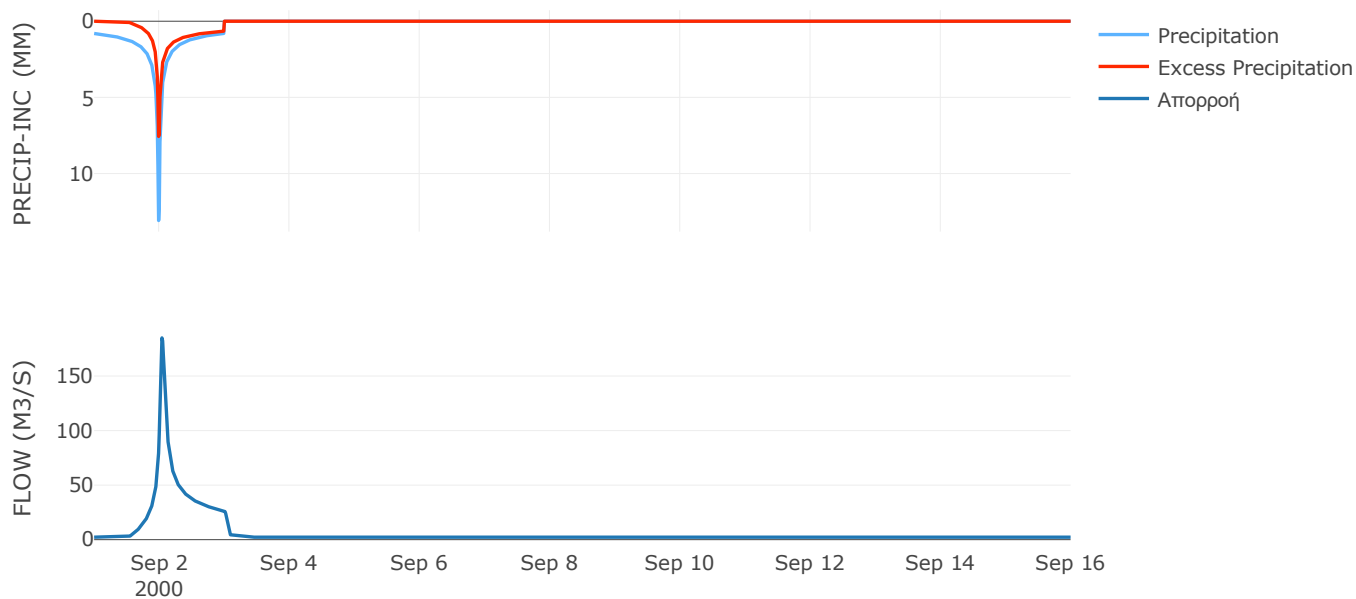
Μέθοδος
Μετασχηματισμού: SCS

Χρόνος Υστέρησης	57.41
------------------	-------

Αποτελέσματα:
EL0513FR7018

Παροχή αιχμής (M3/S)	184.98
Χρονική στιγμή αιχμής	02Sep2000, 01:00
Όγκος (MM)	254.88
Όγκος βροχόπτωσης (M3)	1.08E7
Όγκος απωλειών (M3)	5.49E6
Ενεργός Όγκος (M3)	5.33E6
Όγκος άμεσης απορροής (M3)	5.33E6
Όγκος βασικής απορροής (M3)	2.95E6

Βροχόπτωση και Απορροή



Υπολεκάνη: EL0513FR7019

Έκταση (KM2) : 40.09

Κατάντη : J12

Μέθοδος Απωλειών: SCS

Ποσοστό αδιαπέρατης επιφάνειας	0
Αριθμός Καμπύλης Απορροής-CN	66.59
Αρχικές Απώλειες	25.49

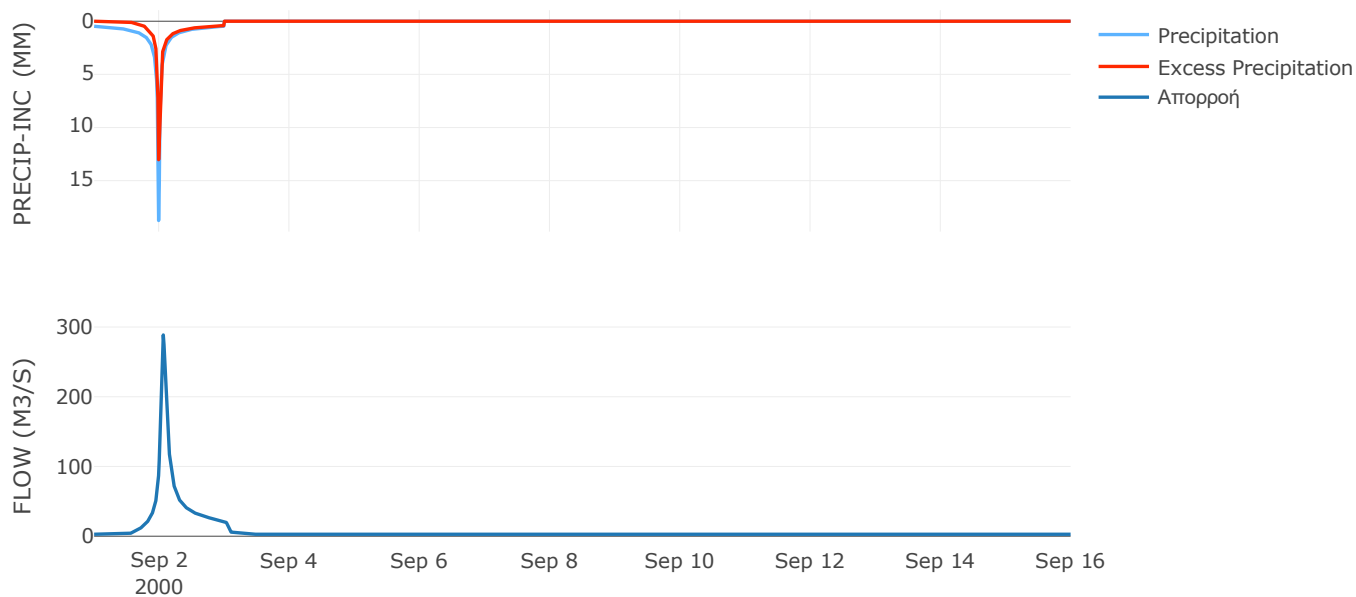
Μέθοδος
Μετασχηματισμού: SCS

Χρόνος Υστέρησης	77.22
------------------	-------

Αποτελέσματα:
EL0513FR7019

Παροχή αιχμής (M3/S)	288.62
Χρονική στιγμή αιχμής	02Sep2000, 01:30
Όγκος (MM)	249.04
Όγκος βροχόπτωσης (M3)	1.07E7
Όγκος απωλειών (M3)	4.37E6
Ενεργός Όγκος (M3)	6.35E6
Όγκος άμεσης απορροής (M3)	6.35E6
Όγκος βασικής απορροής (M3)	3.64E6

Βροχόπτωση και Απορροή



Υπολεκάνη: EL0513FR7020

Έκταση (KM2) : 21.52

Κατάνη : J11

Μέθοδος Απωλειών: SCS

Ποσοστό αδιαπέρατης επιφάνειας	0
Αριθμός Καμπύλης Απορροής-CN	59.96
Αρχικές Απώλειες	33.93

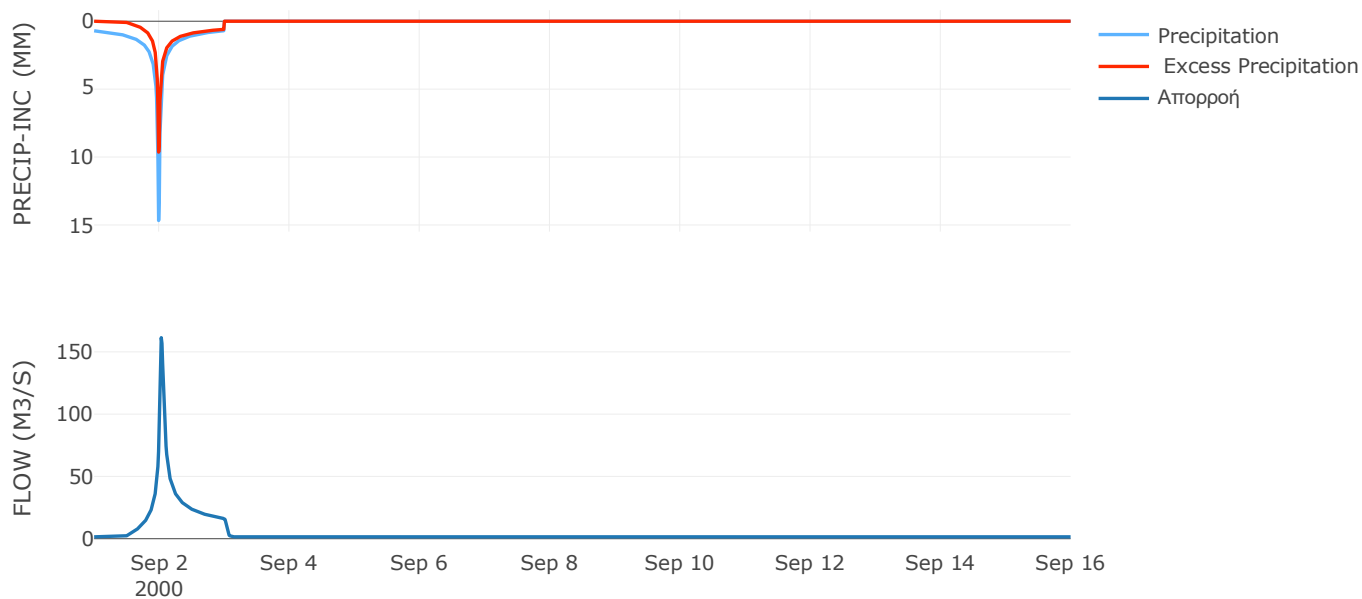
Μέθοδος
Μετασχηματισμού: SCS

Χρόνος Υστέρησης	44.22
------------------	-------

Αποτελέσματα:
EL0513FR7020

Παροχή αιχμής (M3/S)	161.39
Χρονική στιγμή αιχμής	02Sep2000, 00:45
Όγκος (MM)	266.66
Όγκος βροχόπτωσης (M3)	6.79E6
Όγκος απωλειών (M3)	3.01E6
Ενεργός Όγκος (M3)	3.79E6
Όγκος άμεσης απορροής (M3)	3.79E6
Όγκος βασικής απορροής (M3)	1.95E6

Βροχόπτωση και Απορροή



Υπολεκάνη: EL0513FR7021

Έκταση (KM2) : 23.01

Κατάντη : J12

Μέθοδος Απωλειών: SCS

Ποσοστό αδιαπέρατης επιφάνειας	0
Αριθμός Καμπύλης Απορροής-CN	56.07
Αρχικές Απώλειες	39.81

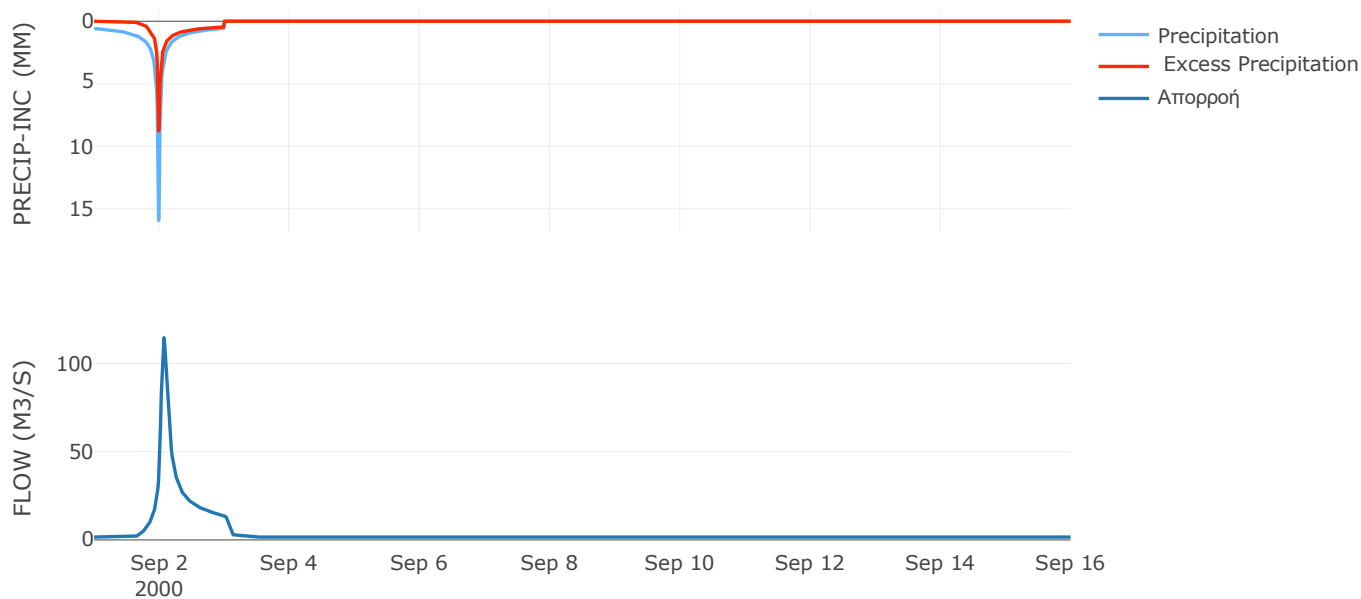
Μέθοδος
Μετασχηματισμού: SCS

Χρόνος Υστέρησης	88.7
------------------	------

Αποτελέσματα:
EL0513FR7021

Παροχή αιχμής (M3/S)	114.53
Χρονική στιγμή αιχμής	02Sep2000, 01:45
Όγκος (MM)	225.19
Όγκος βροχόπτωσης (M3)	6.53E6
Όγκος απωλειών (M3)	3.44E6
Ενεργός Όγκος (M3)	3.09E6
Όγκος άμεσης απορροής (M3)	3.09E6
Όγκος βασικής απορροής (M3)	2.09E6

Βροχόπτωση και Απορροή



Υπολεκάνη: EL0513FR7022

Έκταση (KM2) : 10.49

Κατάντη : J10

Μέθοδος Απωλειών: SCS

Ποσοστό αδιαπέρατης επιφάνειας	0
Αριθμός Καμπύλης Απορροής-CN	59.7
Αρχικές Απώλειες	34.29

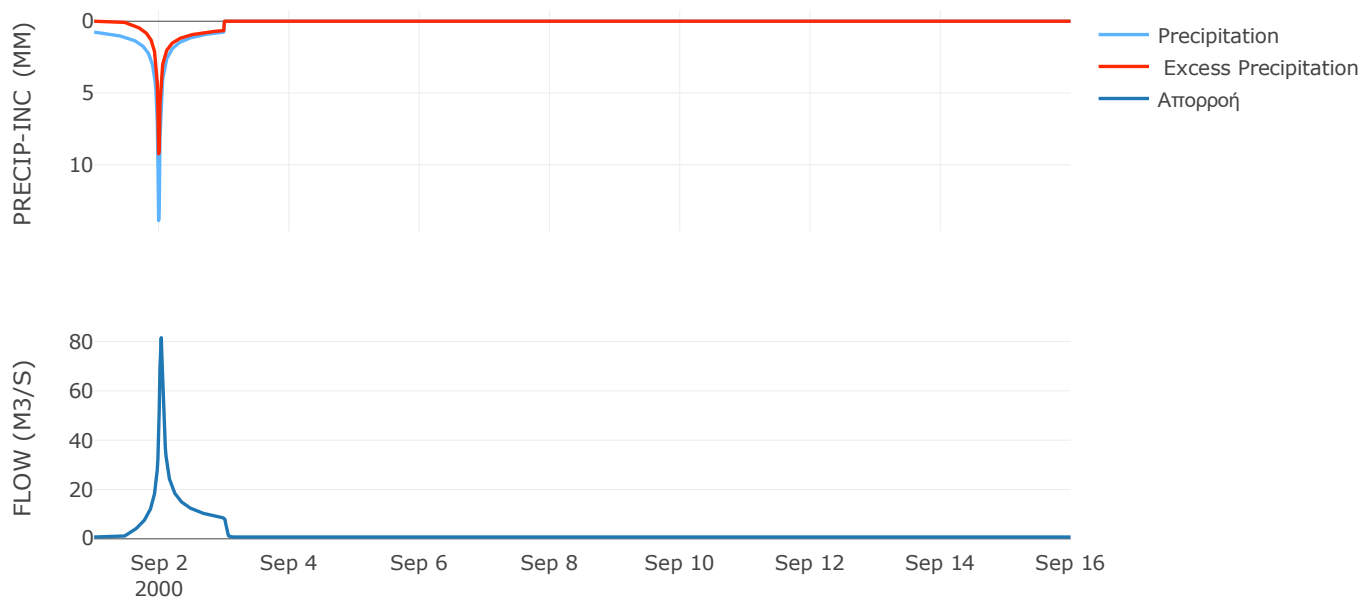
Μέθοδος
Μετασχηματισμού: SCS

Χρόνος Υστέρησης	34.7
------------------	------

Αποτελέσματα:
EL0513FR7022

Παροχή αιχμής (M3/S)	81.56
Χρονική στιγμή αιχμής	02Sep2000, 00:45
Όγκος (MM)	274.73
Όγκος βροχόπτωσης (M3)	3.42E6
Όγκος απωλειών (M3)	1.49E6
Ενεργός Όγκος (M3)	1.93E6
Όγκος άμεσης απορροής (M3)	1.93E6
Όγκος βασικής απορροής (M3)	9.52E5

Βροχόπτωση και Απορροή



Υπολεκάνη: EL0513FR7023

Έκταση (KM2) : 25.04

Κατάντη : J8

Μέθοδος Απωλειών: SCS

Ποσοστό αδιαπέρατης επιφάνειας	0
Αριθμός Καμπύλης Απορροής-CN	66.77
Αρχικές Απώλειες	25.29

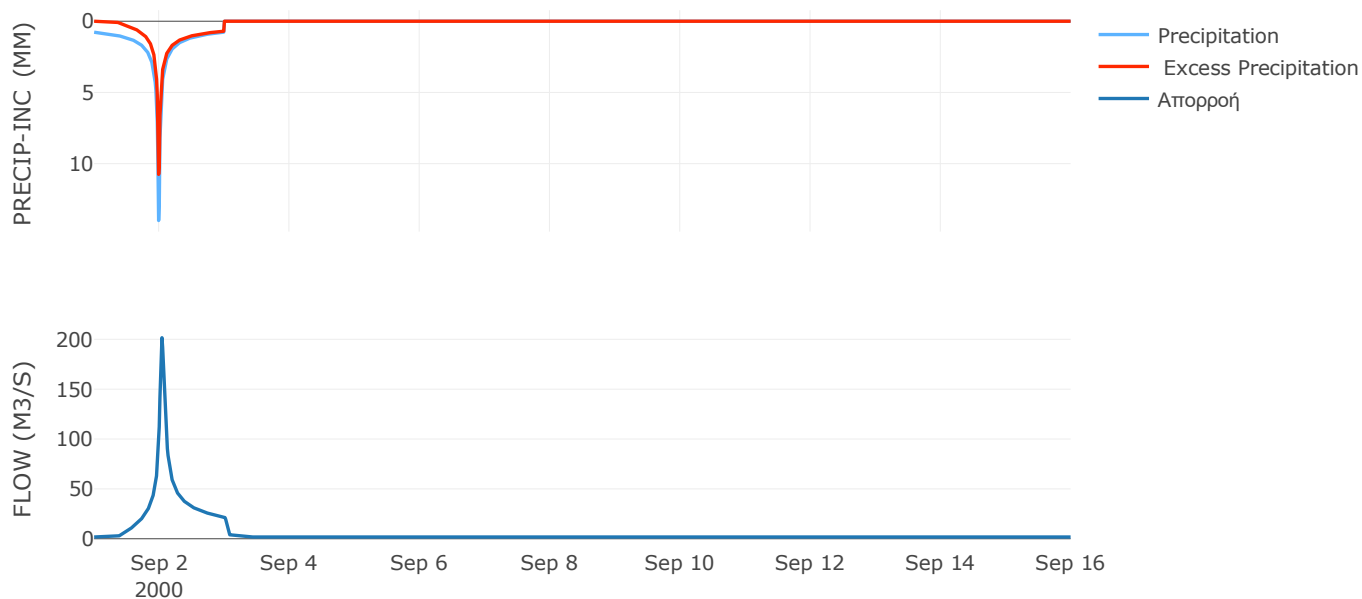
Μέθοδος
Μετασχηματισμού: SCS

Χρόνος Υστέρησης	53.68
------------------	-------

Αποτελέσματα:
EL0513FR7023

Παροχή αιχμής (M3/S)	201.6
Χρονική στιγμή αιχμής	02Sep2000, 01:00
Όγκος (MM)	307.08
Όγκος βροχόπτωσης (M3)	8.29E6
Όγκος απωλειών (M3)	2.87E6
Ενεργός Όγκος (M3)	5.42E6
Όγκος άμεσης απορροής (M3)	5.42E6
Όγκος βασικής απορροής (M3)	2.27E6

Βροχόπτωση και Απορροή



Υπολεκάνη: EL0513FR7024

Έκταση (KM2) : 52.1

Κατάντη : J7

Μέθοδος Απωλειών: SCS

Ποσοστό αδιαπέρατης επιφάνειας	0
Αριθμός Καμπύλης Απορροής-CN	66.03
Αρχικές Απώλειες	26.14

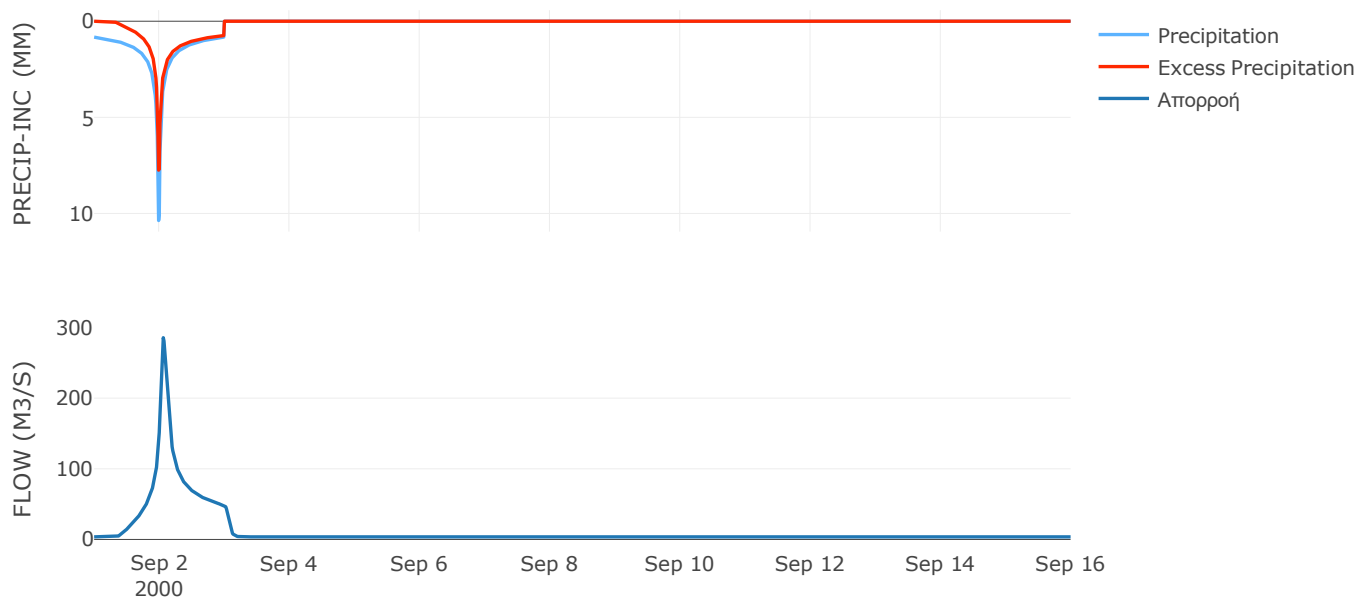
Μέθοδος
Μετασχηματισμού: SCS

Χρόνος Υστέρησης	82.73
------------------	-------

Αποτελέσματα:
EL0513FR7024

Παροχή αιχμής (M3/S)	285.58
Χρονική στιγμή αιχμής	02Sep2000, 01:30
Όγκος (MM)	291.39
Όγκος βροχόπτωσης (M3)	1.65E7
Όγκος απωλειών (M3)	6.06E6
Ενεργός Όγκος (M3)	1.05E7
Όγκος άμεσης απορροής (M3)	1.05E7
Όγκος βασικής απορροής (M3)	4.73E6

Βροχόπτωση και Απορροή



Υπολεκάνη: EL0513FR7025

Έκταση (KM2) : 25.4

Κατάντη : J7

Μέθοδος Απωλειών: SCS

Ποσοστό αδιαπέρατης επιφάνειας	0
Αριθμός Καμπύλης Απορροής-CN	73.69
Αρχικές Απώλειες	18.13

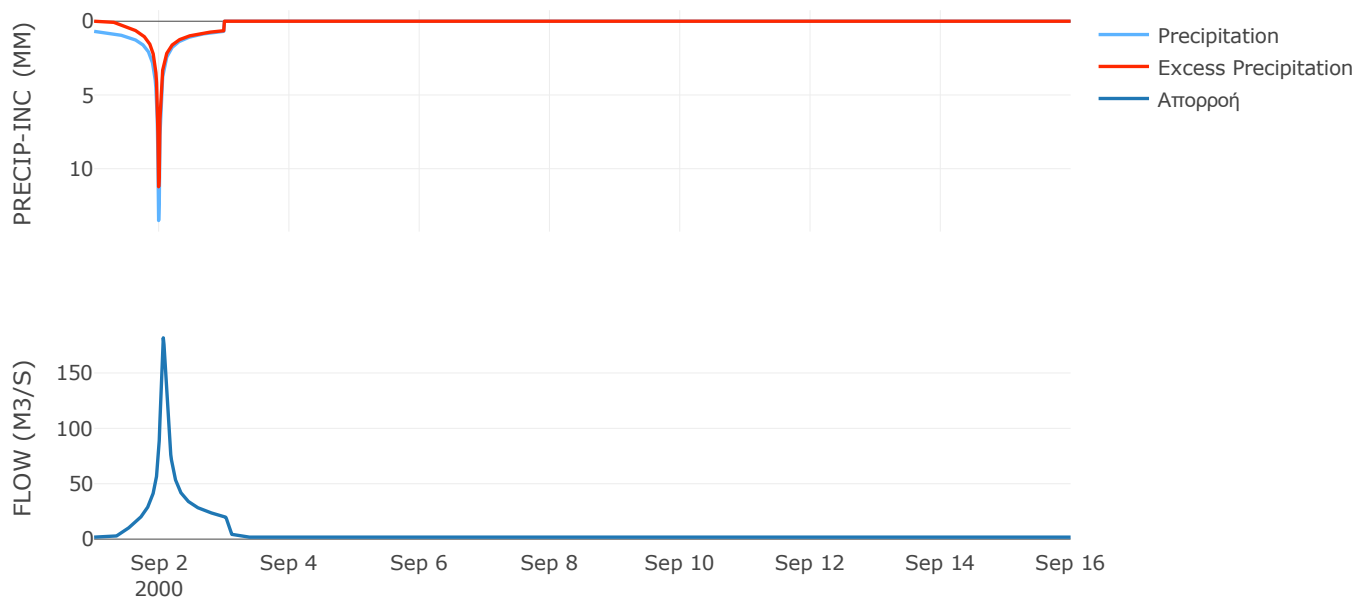
Μέθοδος
Μετασχηματισμού: SCS

Χρόνος Υστέρησης	80.14
------------------	-------

Αποτελέσματα:
EL0513FR7025

Παροχή αιχμής (M3/S)	181.7
Χρονική στιγμή αιχμής	02Sep2000, 01:30
Όγκος (MM)	306.76
Όγκος βροχόπτωσης (M3)	7.69E6
Όγκος απωλειών (M3)	2.21E6
Ενεργός Όγκος (M3)	5.49E6
Όγκος άμεσης απορροής (M3)	5.49E6
Όγκος βασικής απορροής (M3)	2.3E6

Βροχόπτωση και Απορροή



Υπολεκάνη: EL0513FR7026

Έκταση (KM2) : 15.52

Κατάντη : J9

Μέθοδος Απωλειών: SCS

Ποσοστό αδιαπέρατης επιφάνειας	0
Αριθμός Καμπύλης Απορροής-CN	81.03
Αρχικές Απώλειες	11.9

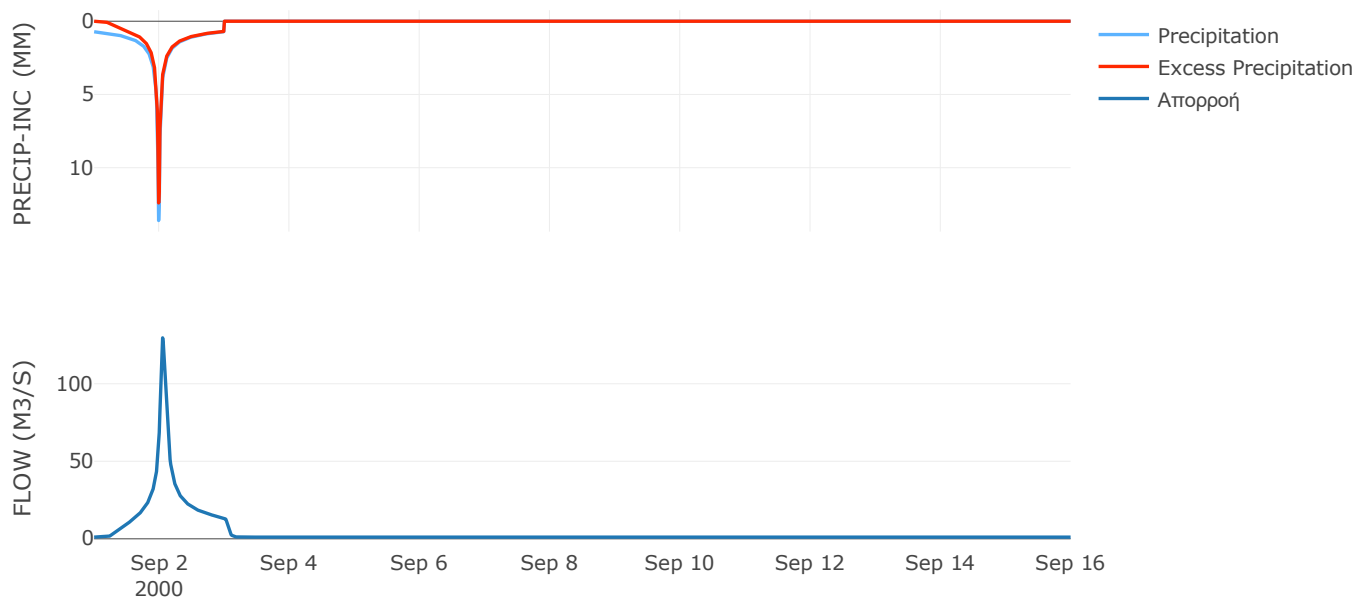
Μέθοδος
Μετασχηματισμού: SCS

Χρόνος Υστέρησης	71.44
------------------	-------

Αποτελέσματα:
EL0513FR7026

Παροχή αιχμής (M3/S)	129.63
Χρονική στιγμή αιχμής	02Sep2000, 01:15
Όγκος (MM)	342.07
Όγκος βροχόπτωσης (M3)	4.86E6
Όγκος απωλειών (M3)	9.55E5
Ενεργός Όγκος (M3)	3.9E6
Όγκος άμεσης απορροής (M3)	3.9E6
Όγκος βασικής απορροής (M3)	1.41E6

Βροχόπτωση και Απορροή



Υπολεκάνη: EL0513FR7027

Έκταση (KM2) : 34.03

Κατάνη : J9

Μέθοδος Απωλειών: SCS

Ποσοστό αδιαπέρατης επιφάνειας	0
Αριθμός Καμπύλης Απορροής-CN	67.65
Αρχικές Απώλειες	24.3

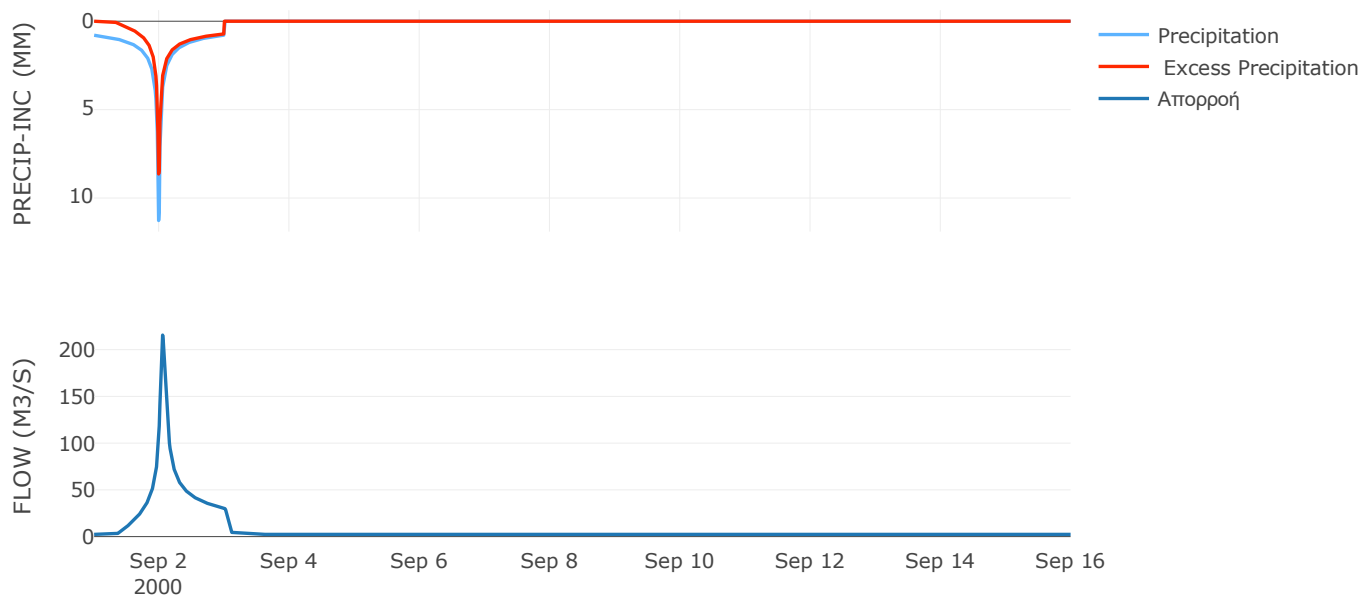
Μέθοδος
Μετασχηματισμού: SCS

Χρόνος Υστέρησης	67.22
------------------	-------

Αποτελέσματα:
EL0513FR7027

Παροχή αιχμής (M3/S)	215.6
Χρονική στιγμή αιχμής	02Sep2000, 01:15
Όγκος (MM)	295.64
Όγκος βροχόπτωσης (M3)	1.07E7
Όγκος απωλειών (M3)	3.74E6
Ενεργός Όγκος (M3)	6.97E6
Όγκος άμεσης απορροής (M3)	6.97E6
Όγκος βασικής απορροής (M3)	3.09E6

Βροχόπτωση και Απορροή



Υπολεκάνη: EL0513FR7028

Έκταση (KM2) : 71.91

Κατάντη : J13

Μέθοδος Απωλειών: SCS

Ποσοστό αδιαπέρατης επιφάνειας	0
Αριθμός Καμπύλης Απορροής-CN	66.21
Αρχικές Απώλειες	25.92

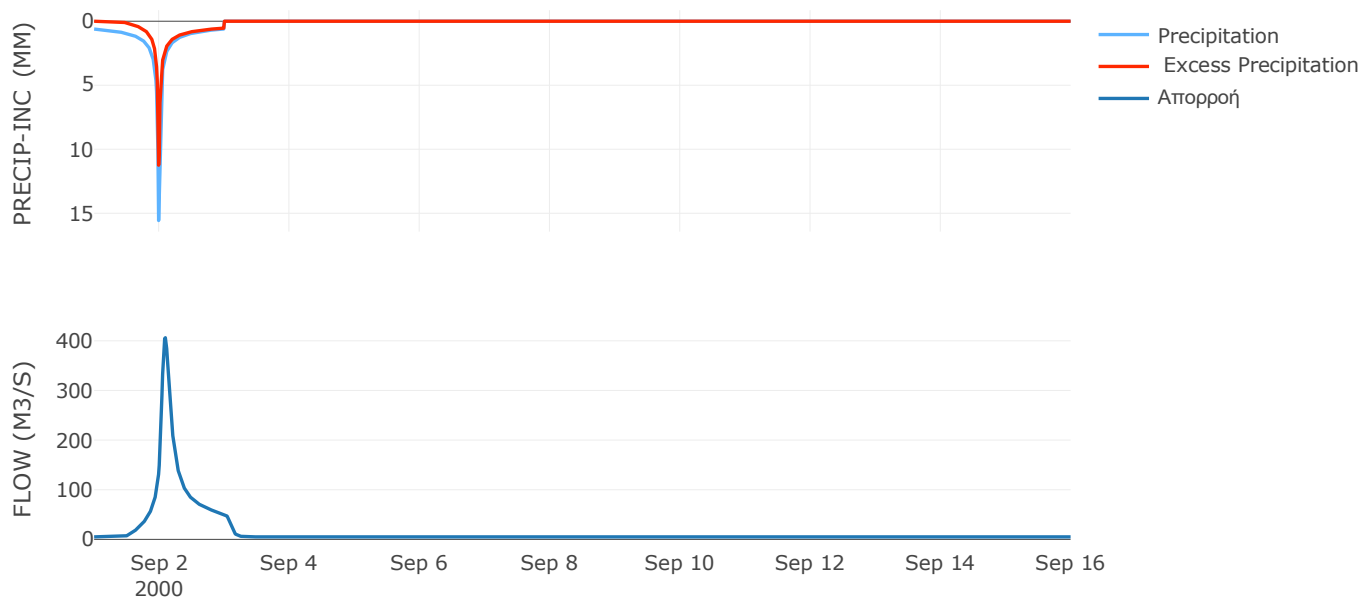
Μέθοδος
Μετασχηματισμού: SCS

Χρόνος Υστέρησης	120.1
------------------	-------

Αποτελέσματα:
EL0513FR7028

Παροχή αιχμής (M3/S)	406.28
Χρονική στιγμή αιχμής	02Sep2000, 02:15
Όγκος (MM)	270.59
Όγκος βροχόπτωσης (M3)	2.11E7
Όγκος απωλειών (M3)	8.14E6
Ενεργός Όγκος (M3)	1.29E7
Όγκος άμεσης απορροής (M3)	1.29E7
Όγκος βασικής απορροής (M3)	6.52E6

Βροχόπτωση και Απορροή



Υπολεκάνη: EL0513FR7029

Έκταση (KM2) : 1.99

Κατάντη : J3

Μέθοδος Απωλειών: SCS

Ποσοστό αδιαπέρατης επιφάνειας	0
Αριθμός Καμπύλης Απορροής-CN	78.11
Αρχικές Απώλειες	14.24

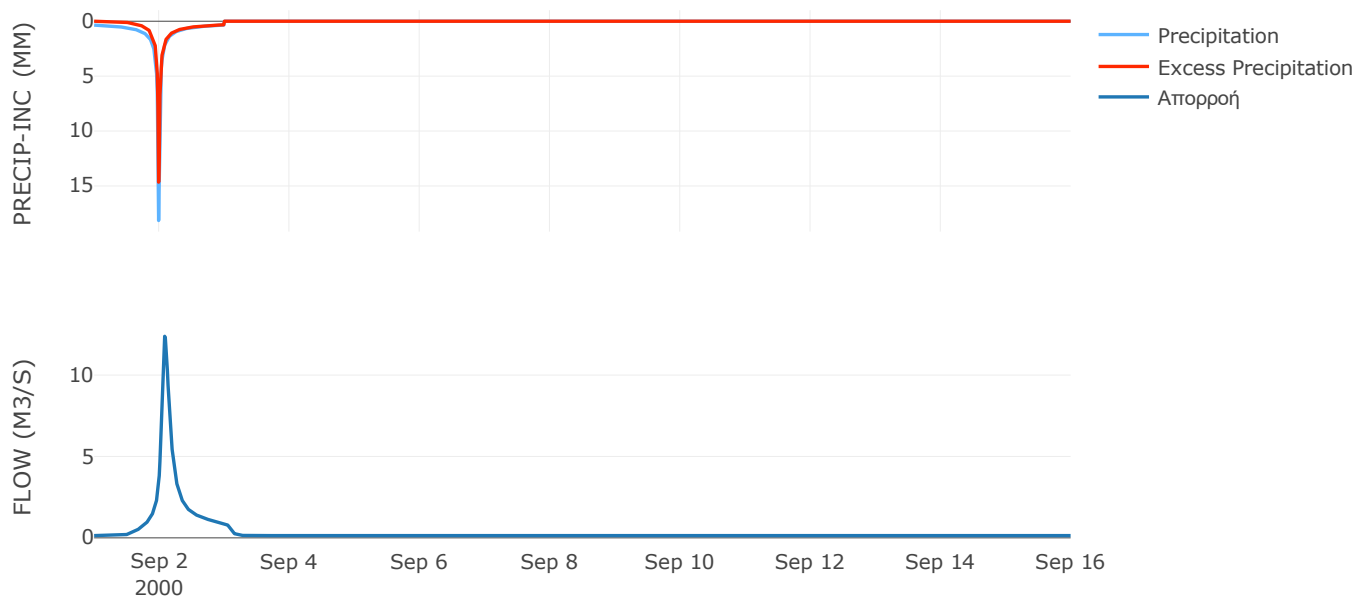
Μέθοδος
Μετασχηματισμού: SCS

Χρόνος Υστέρησης	116.24
------------------	--------

Αποτελέσματα:
EL0513FR7029

Παροχή αιχμής (M3/S)	12.38
Χρονική στιγμή αιχμής	02Sep2000, 02:00
Όγκος (MM)	243.5
Όγκος βροχόπτωσης (M3)	4.36E5
Όγκος απωλειών (M3)	1.33E5
Ενεργός Όγκος (M3)	3.03E5
Όγκος άμεσης απορροής (M3)	3.03E5
Όγκος βασικής απορροής (M3)	1.8E5

Βροχόπτωση και Απορροή



5.2 Δεδομένα και υδρογραφήματα σχεδιασμού Κλάδων υδρογραφικού δικτύου

Κλάδος: R21

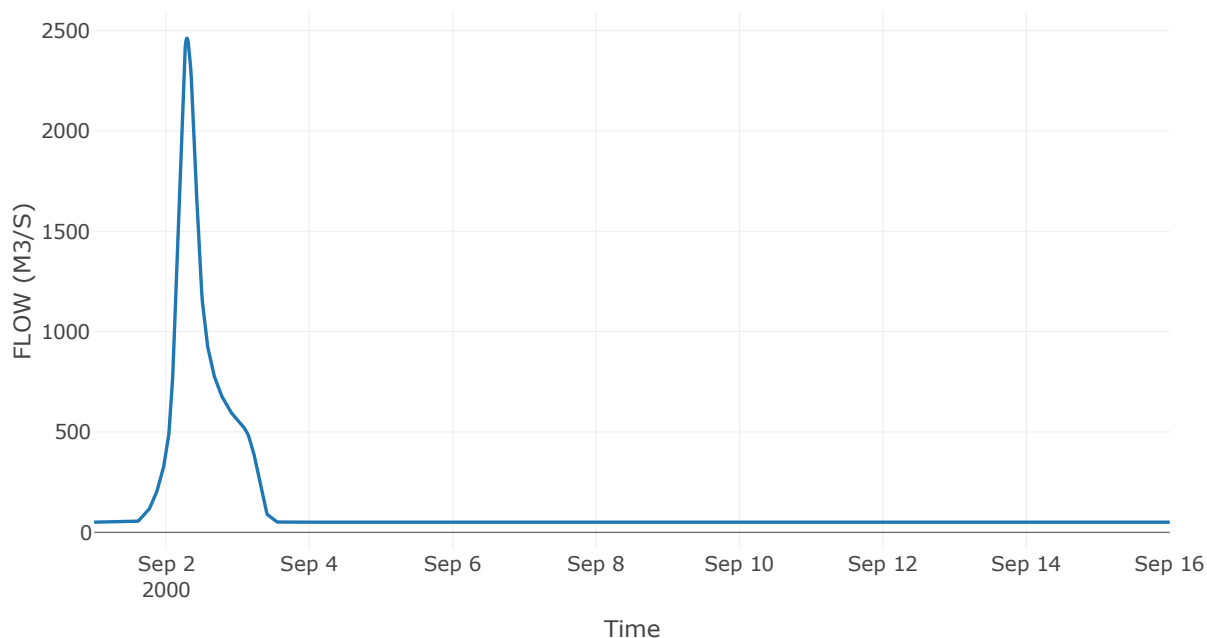
Κατάντη : J1

Μέθοδος Διόδευσης	Muskingum
Αρχική Μεταβλητή	Combined Inflow
Χρόνος Ροής K	1.73
Συντελεστής βάρους x	0.2
Πλήθος Υποκλάδων	7

Αποτελέσματα: R21

Παροχή αιχμής (M3/S)	2462.51
Χρονική στιγμή αιχμής	02Sep2000, 07:00
Όγκος (MM)	246.78
Παροχή Αιχμής Εισόδου (M3/S)	2497.28
Όγκος Εισροής (M3)	1.77E8

Απορροή



Κλάδος: R32

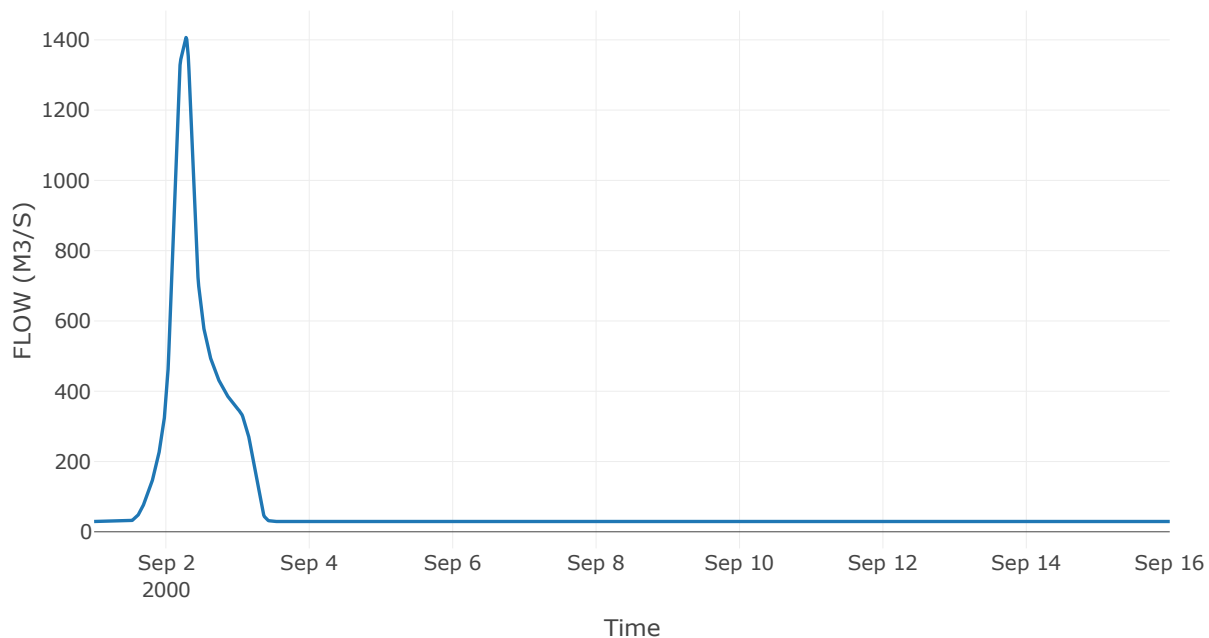
Κατάντη : J2

Μέθοδος Διόδευσης	Muskingum
Αρχική Μεταβλητή	Combined Inflow
Χρόνος Ροής K	0.87
Συντελεστής βάρους x	0.2
Πλήθος Υποκλάδων	4

Αποτελέσματα: R32

Παροχή αιχμής (M3/S)	1406.69
Χρονική στιγμή αιχμής	02Sep2000, 06:45
Όγκος (MM)	258.15
Παροχή Αιχμής Εισόδου (M3/S)	1415.24
Όγκος Εισροής (M3)	1.08E8

Απορροή



Κλάδος: R43

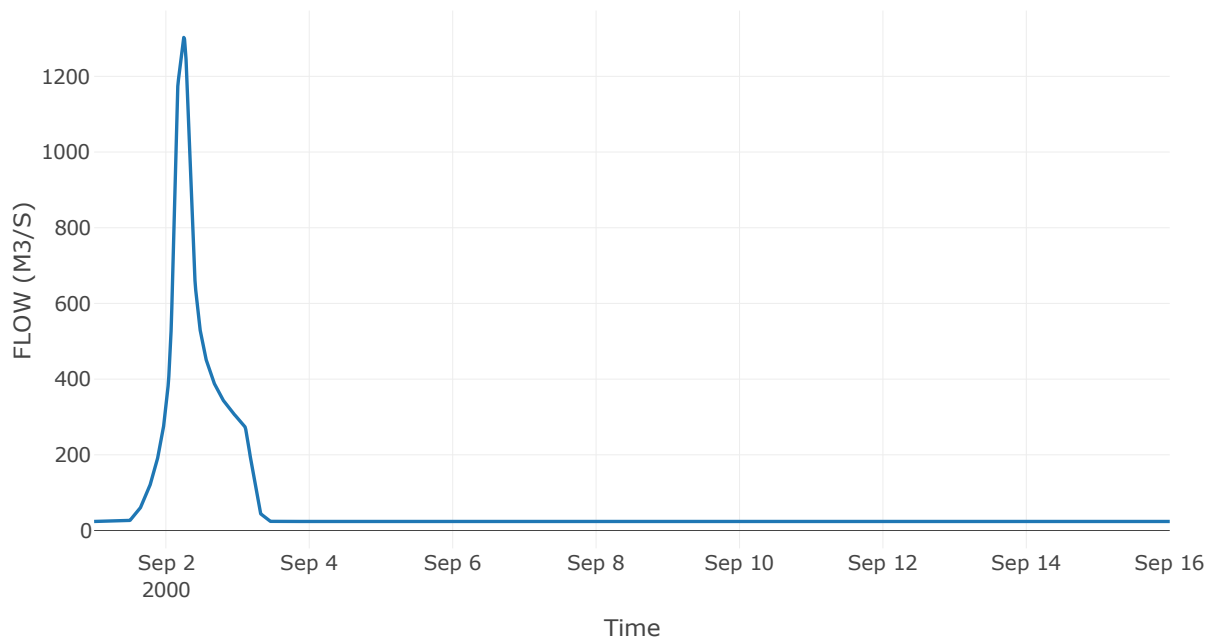
Κατάντη : J3

Μέθοδος Διόδευσης	Muskingum
Αρχική Μεταβλητή	Combined Inflow
Χρόνος Ροής K	2.08
Συντελεστής βάρους x	0.2
Πλήθος Υποκλάδων	9

Αποτελέσματα: R43

Παροχή αιχμής (M3/S)	1302.81
Χρονική στιγμή αιχμής	02Sep2000, 06:00
Όγκος (MM)	266.39
Παροχή Αιχμής Εισόδου (M3/S)	1338.02
Όγκος Εισροής (M3)	9.1E7

Απορροή



Κλάδος: R54

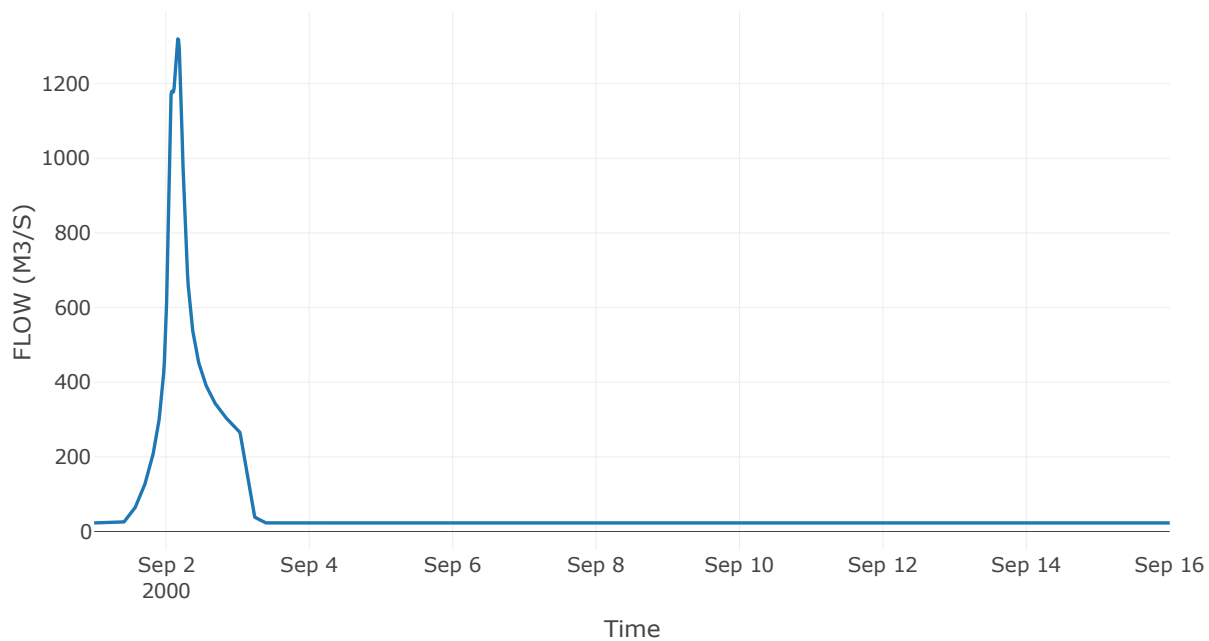
Κατάντη : J4

Μέθοδος Διόδευσης	Χρόνος
Αρχική Μεταβλητή	Combined Inflow
Χρόνος Υστέρησης	12.64

Αποτελέσματα: R54

Παροχή αιχμής (M3/S)	1319.97
Χρονική στιγμή αιχμής	02Sep2000, 04:00
Όγκος (MM)	269.76
Παροχή Αιχμής Εισόδου (M3/S)	1322.19
Όγκος Εισροής (M3)	8.85E7

Απορροή



Κλάδος: R65

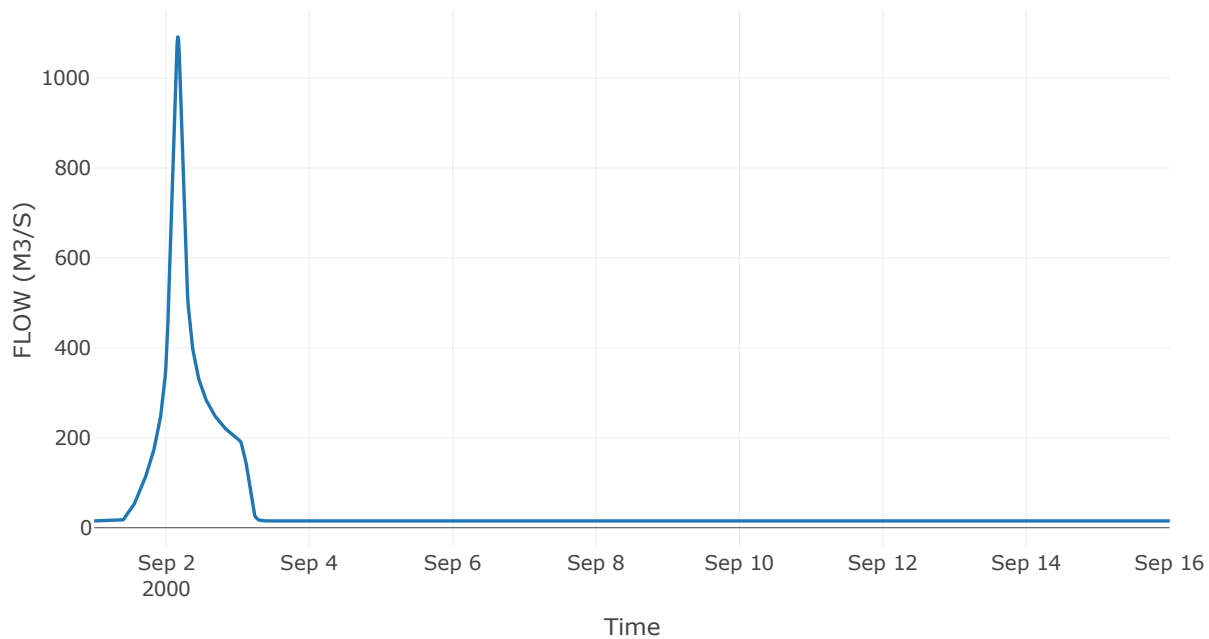
Κατάντη : J5

Μέθοδος Διόδευσης	Χρόνος
Αρχική Μεταβλητή	Combined Inflow
Χρόνος Υστέρησης	40.14

Αποτελέσματα: R65

Παροχή αιχμής (M3/S)	1091.54
Χρονική στιγμή αιχμής	02Sep2000, 04:00
Όγκος (MM)	291.34
Παροχή Αιχμής Εισόδου (M3/S)	1091.91
Όγκος Εισροής (M3)	6.33E7

Απορροή



Κλάδος: R76

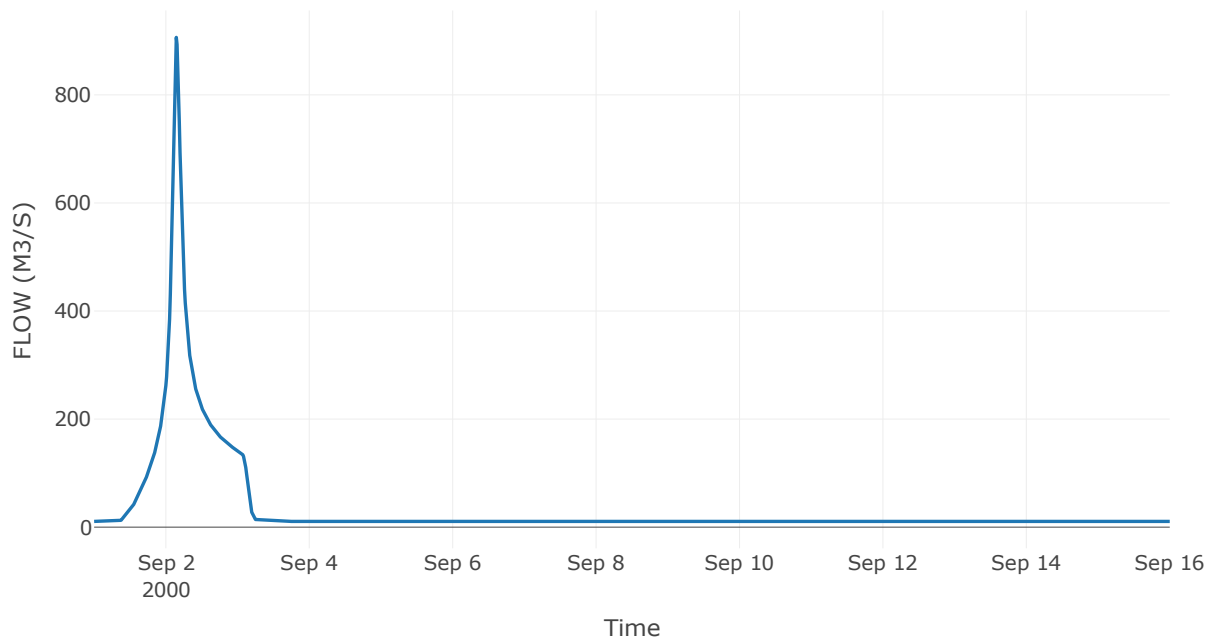
Κατάντη : J6

Μέθοδος Διόδευσης	Muskingum
Αρχική Μεταβλητή	Combined Inflow
Χρόνος Ροής K	1.58
Συντελεστής βάρους x	0.2
Πλήθος Υποκλάδων	7

Αποτελέσματα: R76

Παροχή αιχμής (M3/S)	906.45
Χρονική στιγμή αιχμής	02Sep2000, 03:30
Όγκος (MM)	302.66
Παροχή Αιχμής Εισόδου (M3/S)	959.44
Όγκος Εισροής (M3)	4.6E7

Απορροή



Κλάδος: R87

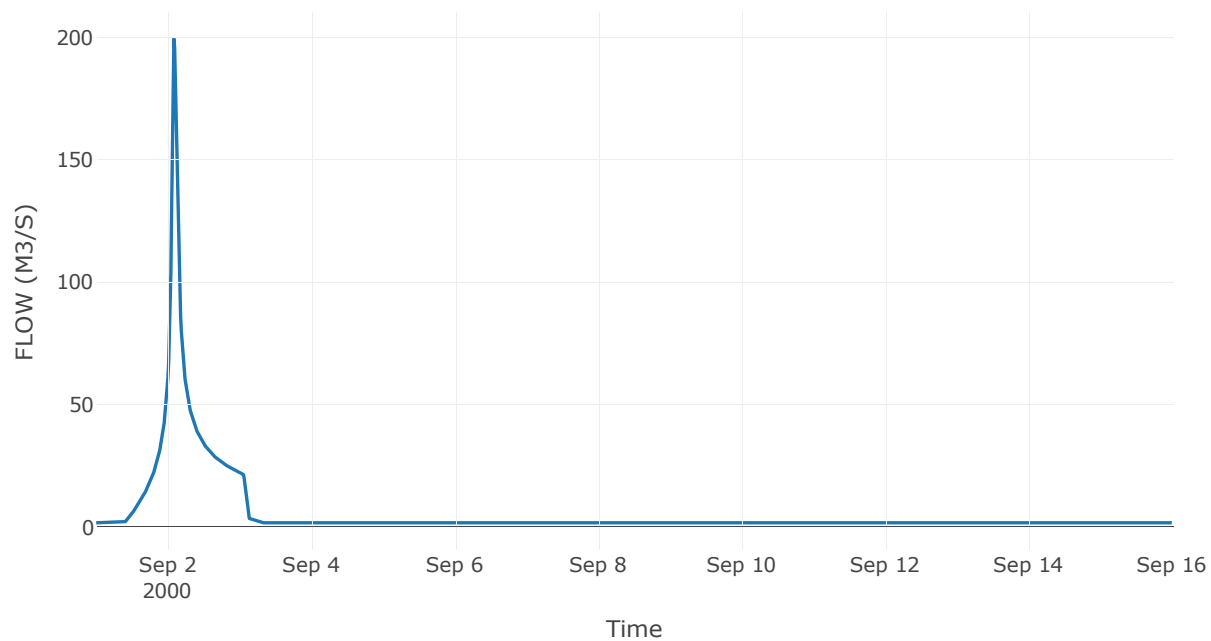
Κατάντη : J7

Μέθοδος Διόδευσης	Χρόνος
Αρχική Μεταβλητή	Combined Inflow
Χρόνος Υστέρησης	66.76

Αποτελέσματα: R87

Παροχή αιχμής (M3/S)	199.38
Χρονική στιγμή αιχμής	02Sep2000, 02:00
Όγκος (MM)	307.08
Παροχή Αιχμής Εισόδου (M3/S)	201.6
Όγκος Εισροής (M3)	7.69E6

Απορροή



Κλάδος: R97

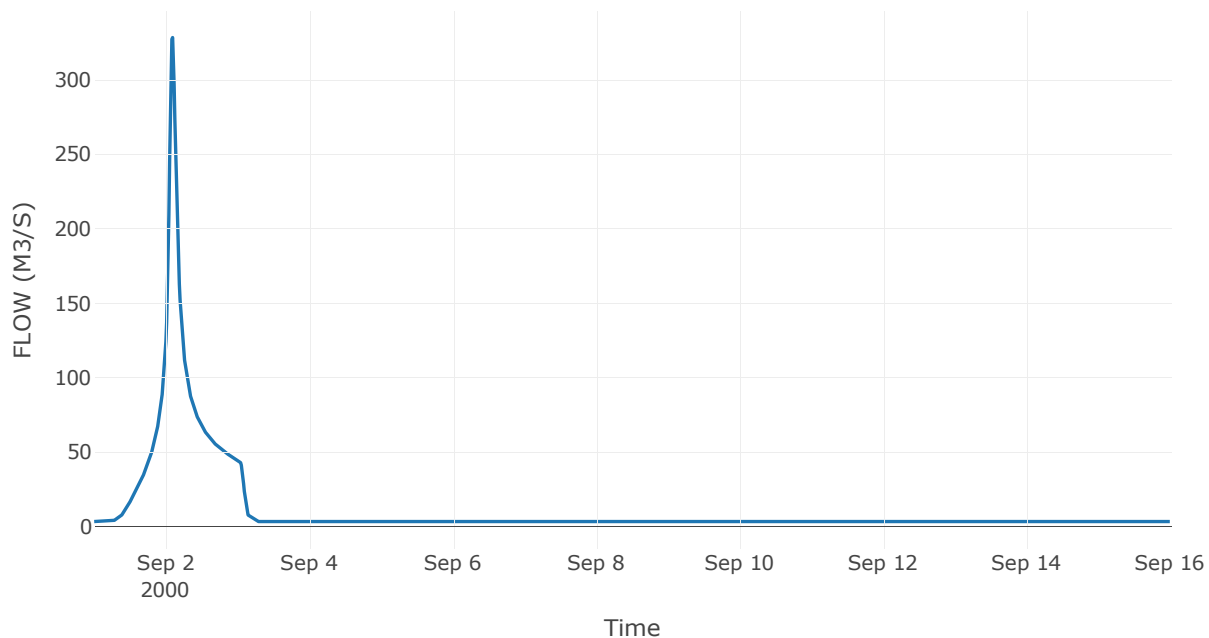
Κατάντη : J7

Μέθοδος Διόδευσης	Muskingum
Αρχική Μεταβλητή	Combined Inflow
Χρόνος Ροής K	0.89
Συντελεστής βάρους x	0.2
Πλήθος Υποκλάδων	4

Αποτελέσματα: R97

Παροχή αιχμής (M3/S)	328.55
Χρονική στιγμή αιχμής	02Sep2000, 02:15
Όγκος (MM)	310.18
Παροχή Αιχμής Εισόδου (M3/S)	345.22
Όγκος Εισροής (M3)	1.54E7

Απορροή



Κλάδος: R105

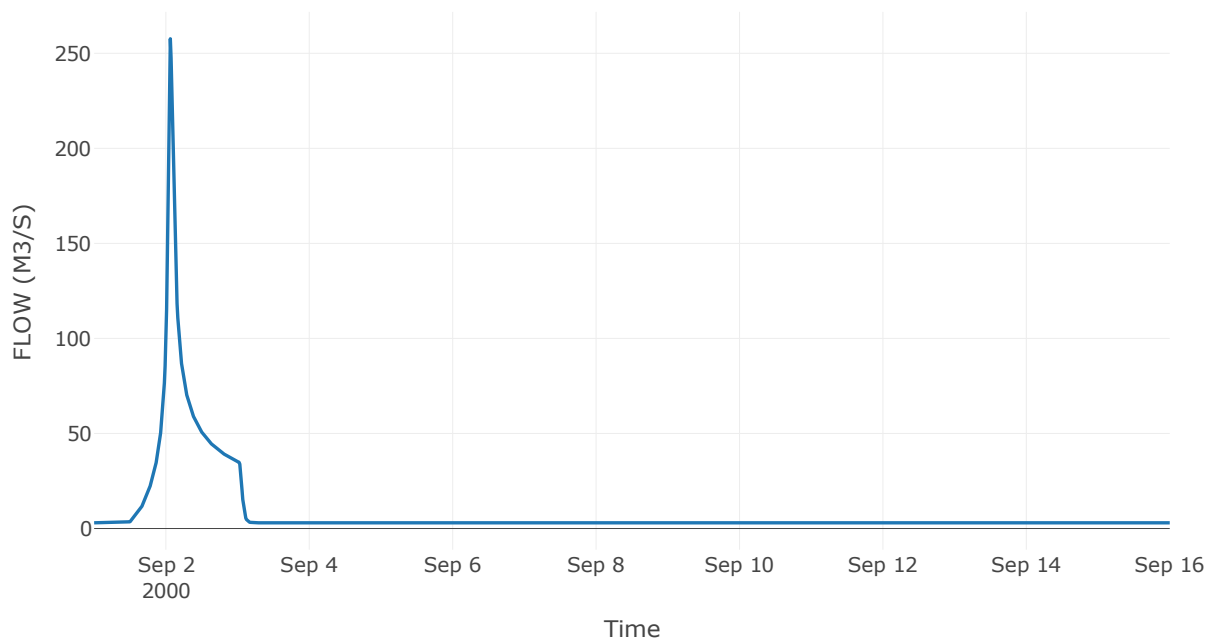
Κατάντη : J5

Μέθοδος Διόδευσης	Χρόνος
Αρχική Μεταβλητή	Combined Inflow
Χρόνος Υστέρησης	33.1

Αποτελέσματα: R105

Παροχή αιχμής (M3/S)	257.66
Χρονική στιγμή αιχμής	02Sep2000, 01:30
Όγκος (MM)	259.73
Παροχή Αιχμής Εισόδου (M3/S)	258.07
Όγκος Εισροής (M3)	1.12E7

Απορροή



Κλάδος: R1112

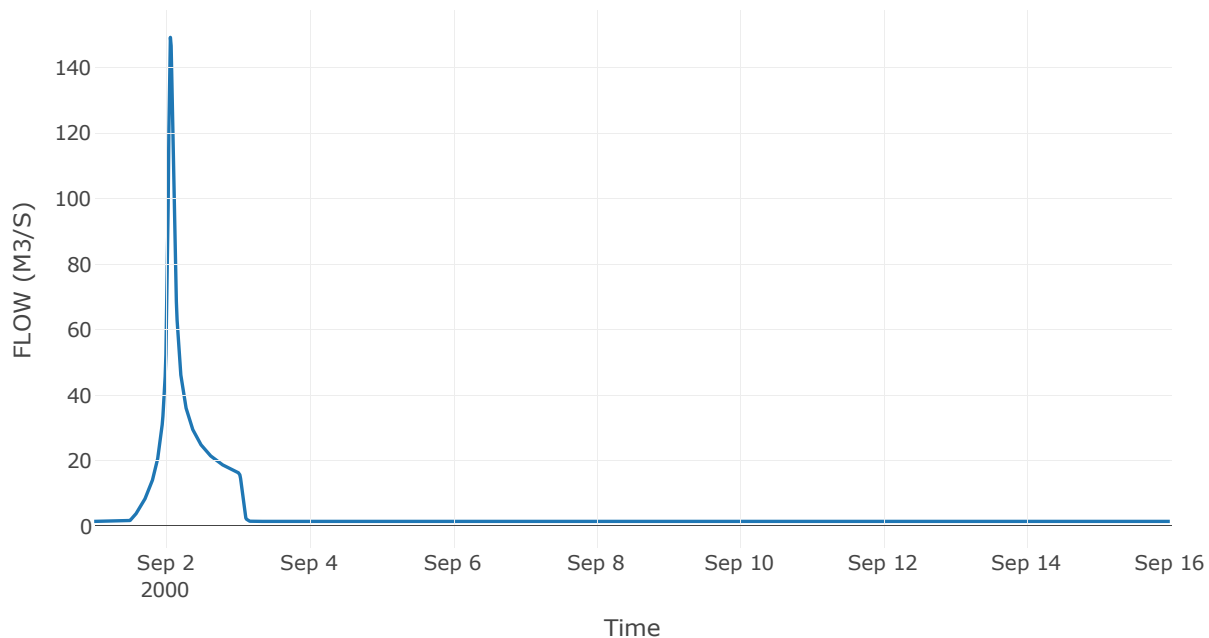
Κατάντη : J12

Μέθοδος Διόδευσης	Muskingum
Αρχική Μεταβλητή	Combined Inflow
Χρόνος Ροής Κ	0.73
Συντελεστής βάρους α	0.2
Πλήθος Υποκλάδων	3

Αποτελέσματα: R1112

Παροχή αιχμής (M3/S)	149.2
Χρονική στιγμή αιχμής	02Sep2000, 01:30
Όγκος (MM)	266.66
Παροχή Αιχμής Εισόδου (M3/S)	161.39
Όγκος Εισροής (M3)	5.74E6

Απορροή



Κλάδος: R1213

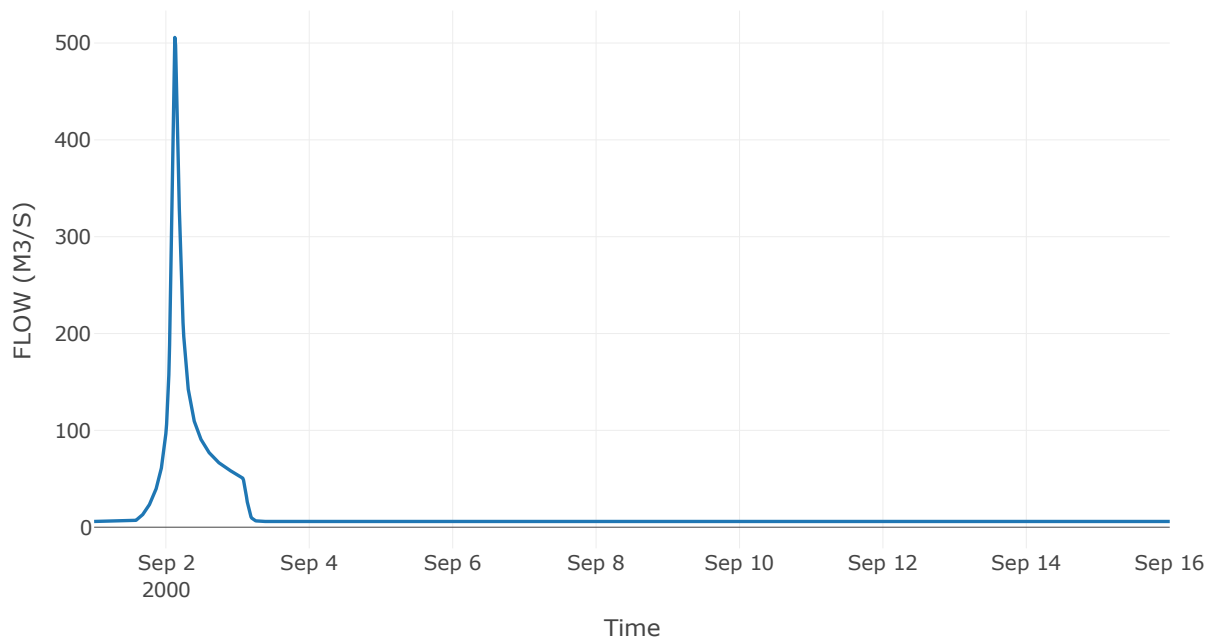
Κατάντη : J13

Μέθοδος Διόδευσης	Muskingum
Αρχική Μεταβλητή	Combined Inflow
Χρόνος Ροής Κ	1.48
Συντελεστής βάρους α	0.2
Πλήθος Υποκλάδων	6

Αποτελέσματα: R1213

Παροχή αιχμής (M3/S)	505.77
Χρονική στιγμή αιχμής	02Sep2000, 03:00
Όγκος (MM)	247.03
Παροχή Αιχμής Εισόδου (M3/S)	551.78
Όγκος Εισροής (M3)	2.09E7

Απορροή



Κλάδος: R1314

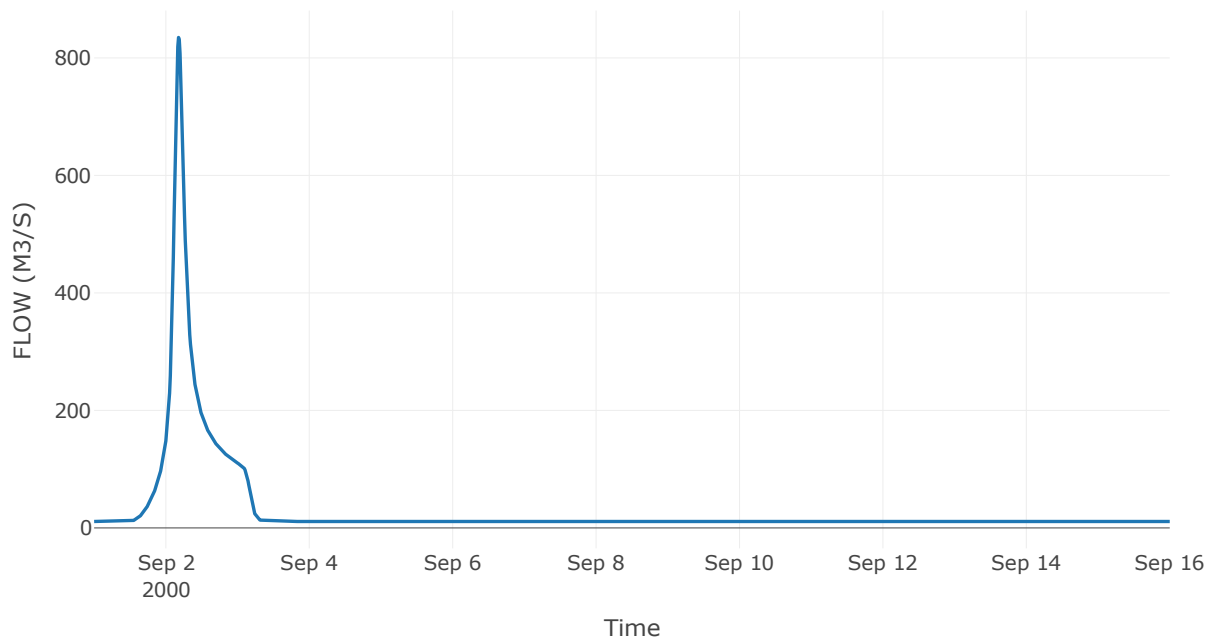
Κατάντη : J14

Μέθοδος Διόδευσης	Muskingum
Αρχική Μεταβλητή	Combined Inflow
Χρόνος Ροής Κ	1.5
Συντελεστής βάρους α	0.2
Πλήθος Υποκλάδων	6

Αποτελέσματα: R1314

Παροχή αιχμής (M3/S)	834.82
Χρονική στιγμή αιχμής	02Sep2000, 04:15
Όγκος (MM)	257.86
Παροχή Αιχμής Εισόδου (M3/S)	877.06
Όγκος Εισροής (M3)	4.04E7

Απορροή



Κλάδος: R1415

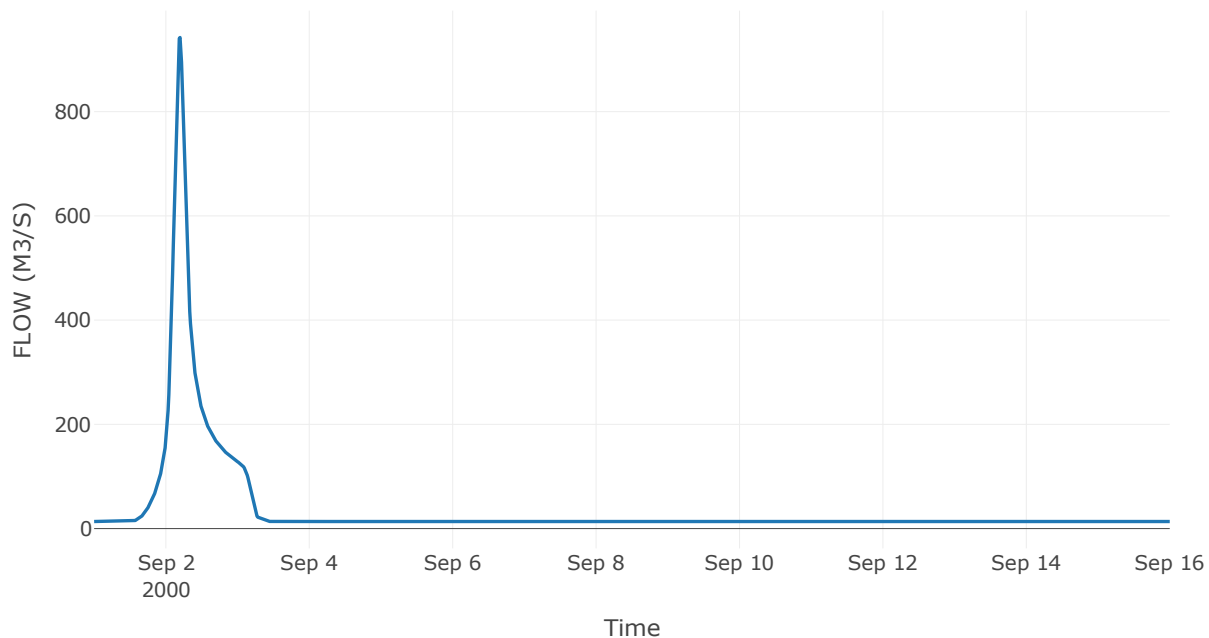
Κατάντη : J15

Μέθοδος Διόδευσης	Muskingum
Αρχική Μεταβλητή	Combined Inflow
Χρόνος Ροής Κ	0.46
Συντελεστής βάρους x	0.2
Πλήθος Υποκλάδων	2

Αποτελέσματα: R1415

Παροχή αιχμής (M3/S)	942.3
Χρονική στιγμή αιχμής	02Sep2000, 04:45
Όγκος (MM)	250.93
Παροχή Αιχμής Εισόδου (M3/S)	952.63
Όγκος Εισροής (M3)	4.85E7

Απορροή



Κλάδος: R152

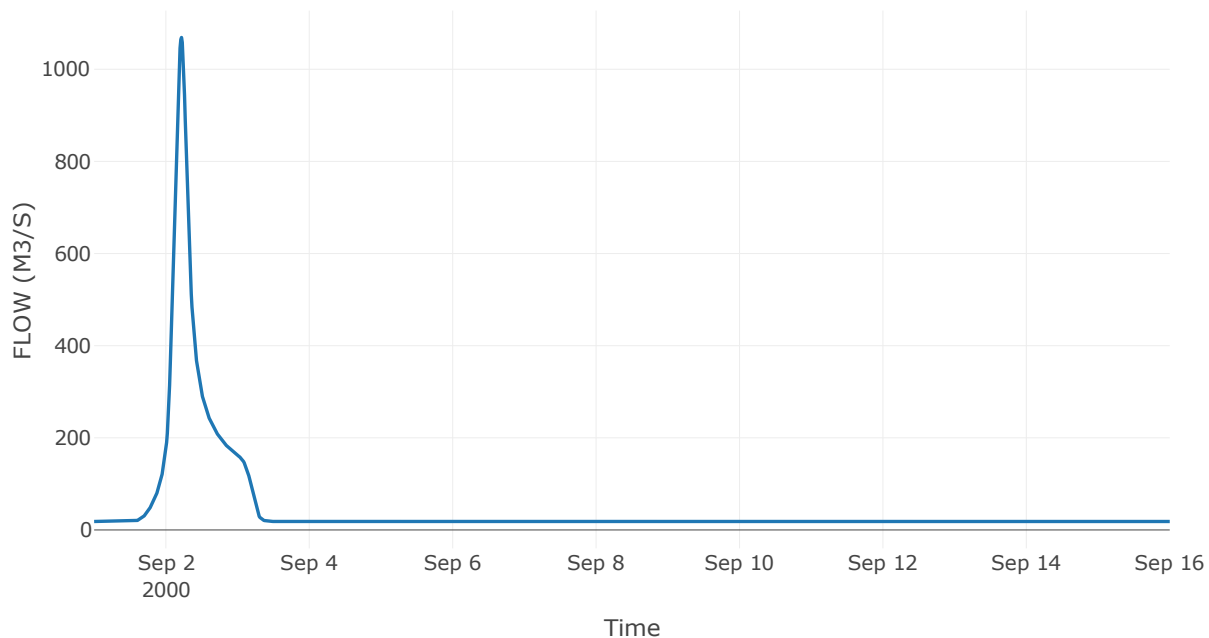
Κατάντη : J2

Μέθοδος Διόδευσης	Muskingum
Αρχική Μεταβλητή	Combined Inflow
Χρόνος Ροής K	0.7
Συντελεστής βάρους x	0.2
Πλήθος Υποκλάδων	3

Αποτελέσματα: R152

Παροχή αιχμής (M3/S)	1069.02
Χρονική στιγμή αιχμής	02Sep2000, 05:15
Όγκος (MM)	233.92
Παροχή Αιχμής Εισόδου (M3/S)	1081.7
Όγκος Εισροής (M3)	6.13E7

Απορροή



Κλάδος: R1615

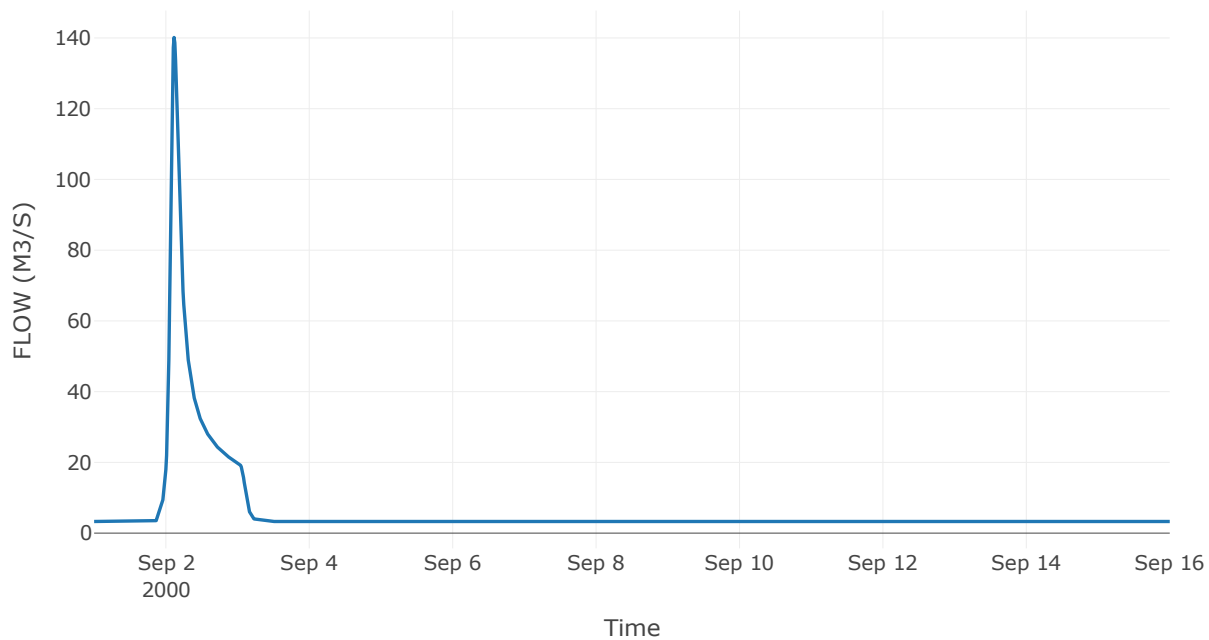
Κατάντη : J15

Μέθοδος Διόδευσης	Muskingum
Αρχική Μεταβλητή	Combined Inflow
Χρόνος Ροής Κ	0.69
Συντελεστής βάρους α	0.2
Πλήθος Υποκλάδων	3

Αποτελέσματα: R1615

Παροχή αιχμής (M3/S)	140.14
Χρονική στιγμή αιχμής	02Sep2000, 02:45
Όγκος (MM)	172.69
Παροχή Αιχμής Εισόδου (M3/S)	143.57
Όγκος Εισροής (M3)	8.13E6

Απορροή



Κλάδος: R173

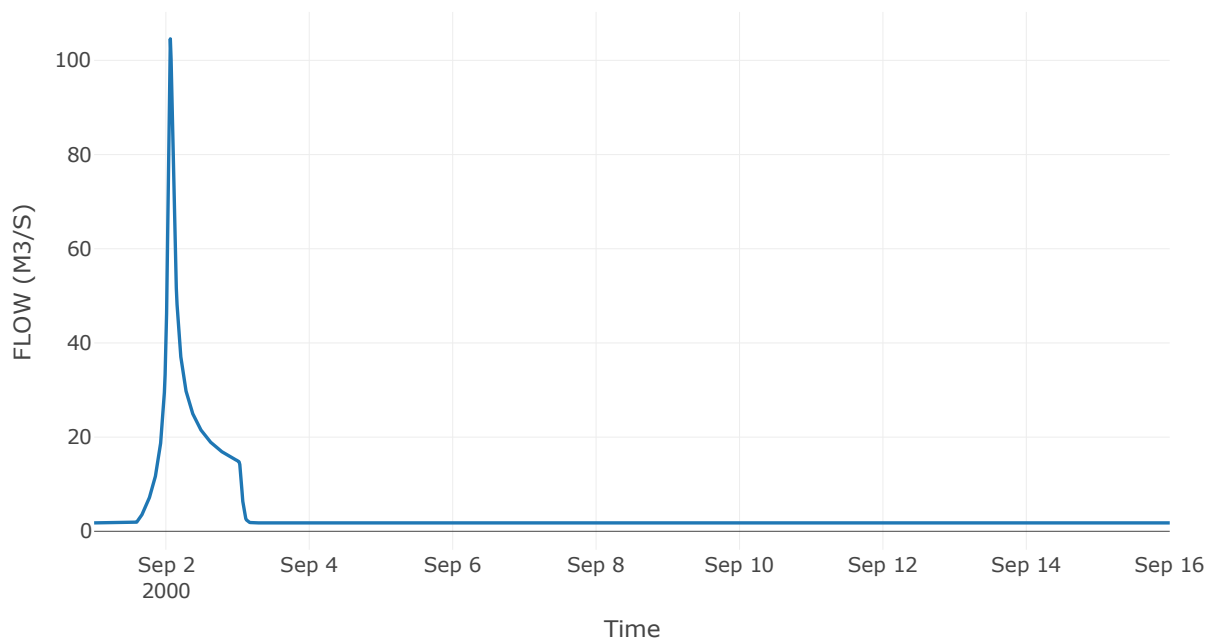
Κατάντη : J3

Μέθοδος Διόδευσης	Χρόνος
Αρχική Μεταβλητή	Combined Inflow
Χρόνος Υστέρησης	26.2

Αποτελέσματα: R173

Παροχή αιχμής (M3/S)	104.57
Χρονική στιγμή αιχμής	02Sep2000, 01:30
Όγκος (MM)	202.71
Παροχή Αιχμής Εισόδου (M3/S)	105.35
Όγκος Εισροής (M3)	5.18E6

Απορροή



Κλάδος: R183

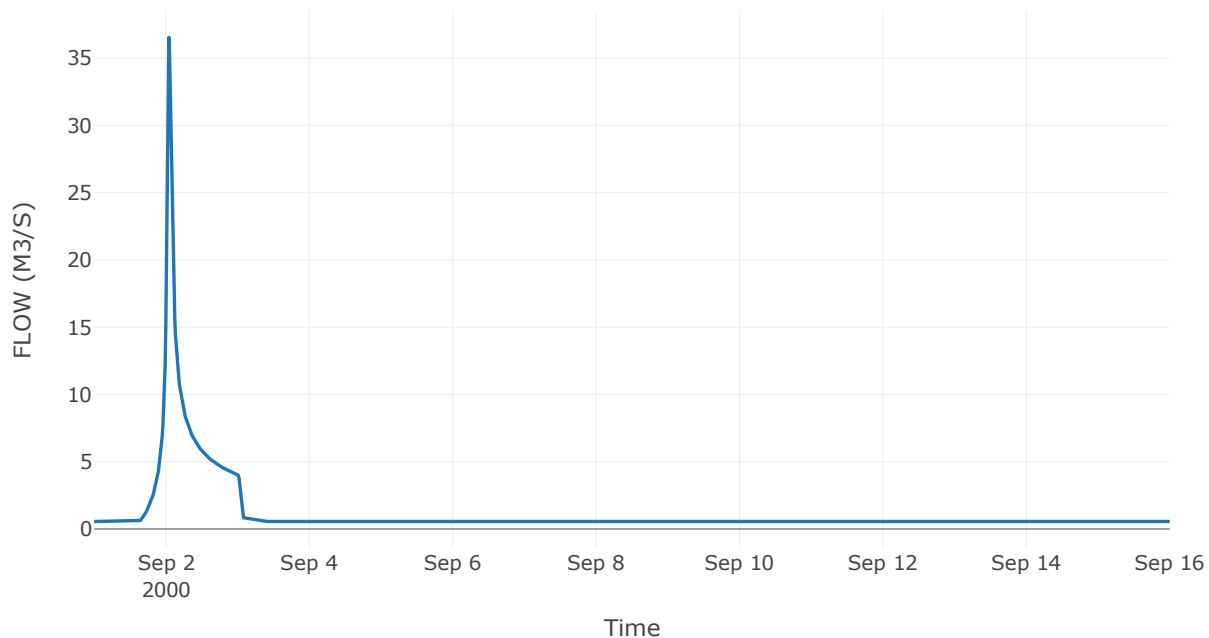
Κατάντη : J3

Μέθοδος Διόδευσης	Muskingum
Αρχική Μεταβλητή	Combined Inflow
Χρόνος Ροής Κ	0.34
Συντελεστής βάρους α	0.2
Πλήθος Υποκλάδων	1

Αποτελέσματα: R183

Παροχή αιχμής (M3/S)	36.53
Χρονική στιγμή αιχμής	02Sep2000, 01:00
Όγκος (MM)	193
Παροχή Αιχμής Εισόδου (M3/S)	38.78
Όγκος Εισροής (M3)	1.54E6

Απορροή



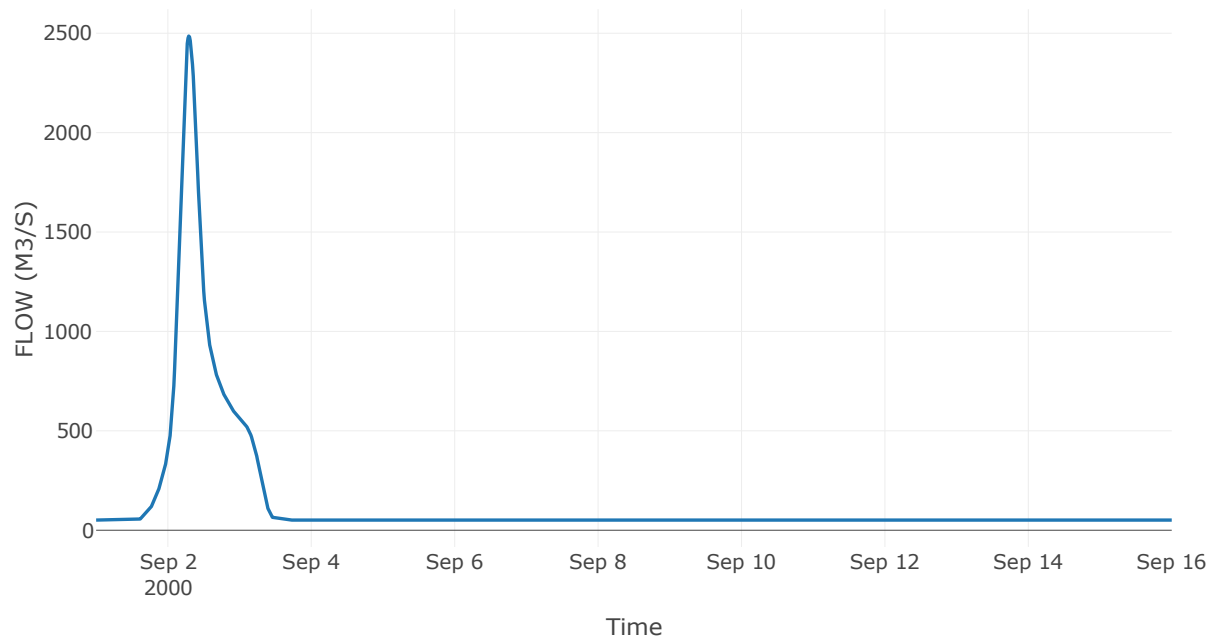
5.3 Δεδομένα και υδρογραφήματα σχεδιασμού Κόμβων υδρογραφικού δικτύου

Κόμβος εξόδου: J1

Αποτέλεσμα
τα: J1

Παροχή αιχμής (M3/S)	2485.71
Χρονική στιγμή αιχμής	02Sep2000, 07:00
Όγκος (MM)	246.57

Απορροή



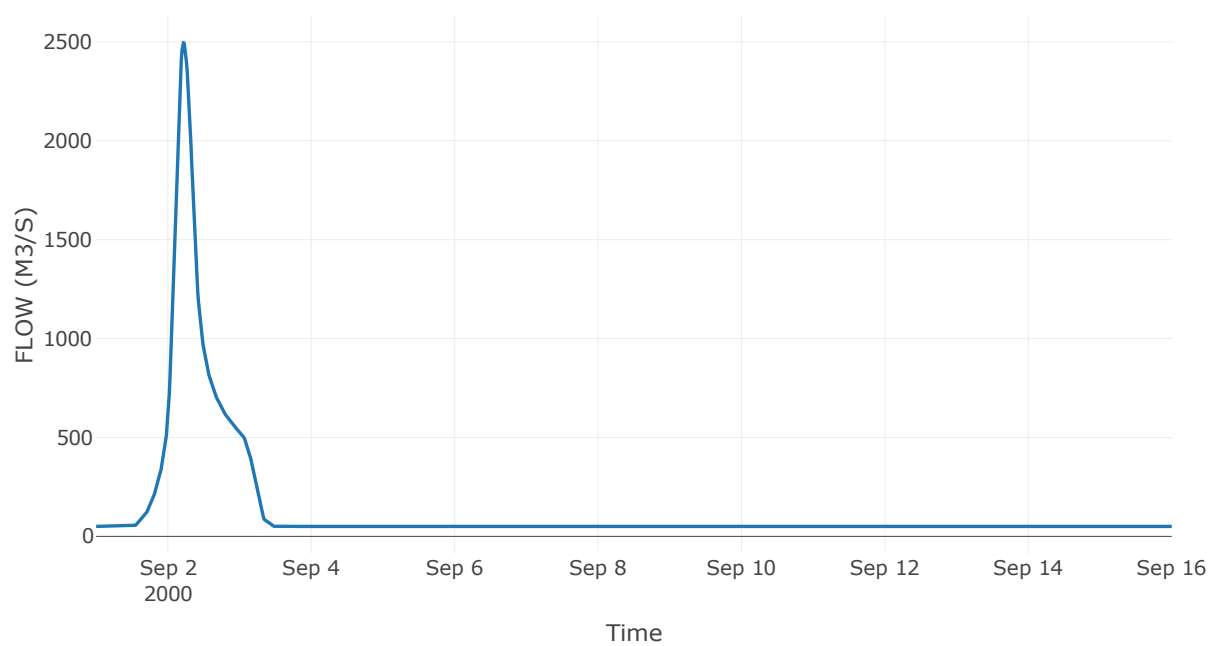
Κόμβος: J2

Κατάντη : R21

Αποτελέσματα: J2

Παροχή αιχμής (M3/S)	2497.28
Χρονική στιγμή αιχμής	02Sep2000, 05:15
Όγκος (MM)	246.78

Απορροή



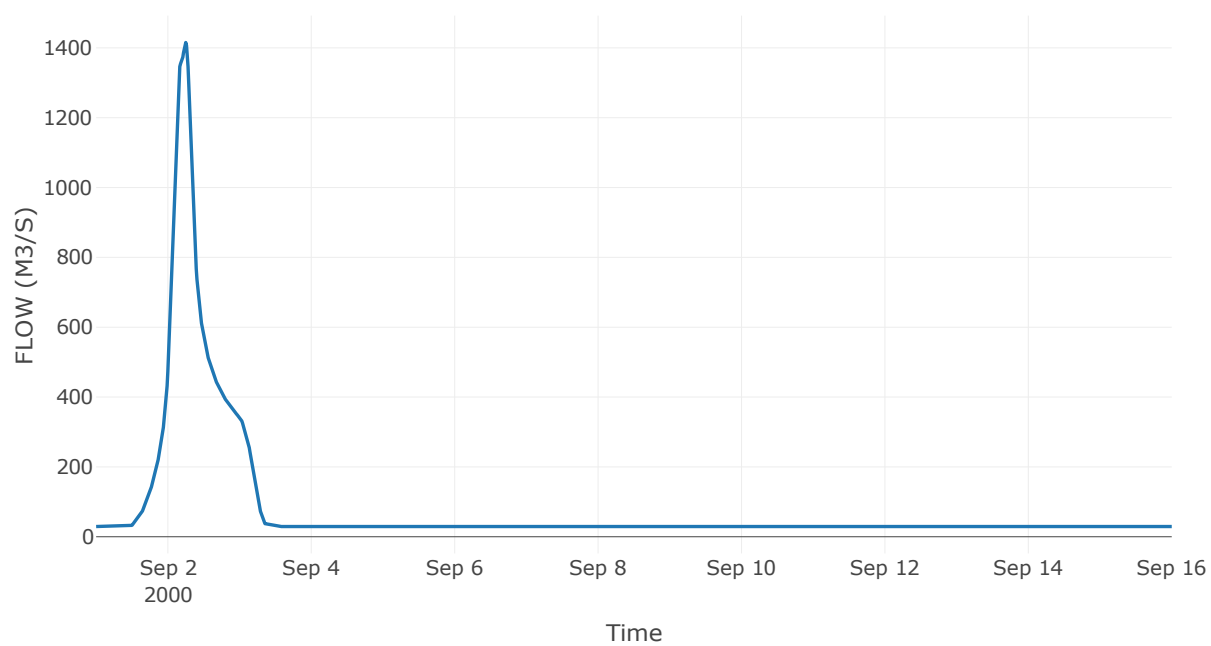
Κόμβος: J3

Κατάντη : R32

Αποτελέσματα: J3

Παροχή αιχμής (M3/S)	1415.24
Χρονική στιγμή αιχμής	02Sep2000, 06:00
Όγκος (MM)	258.15

Απορροή



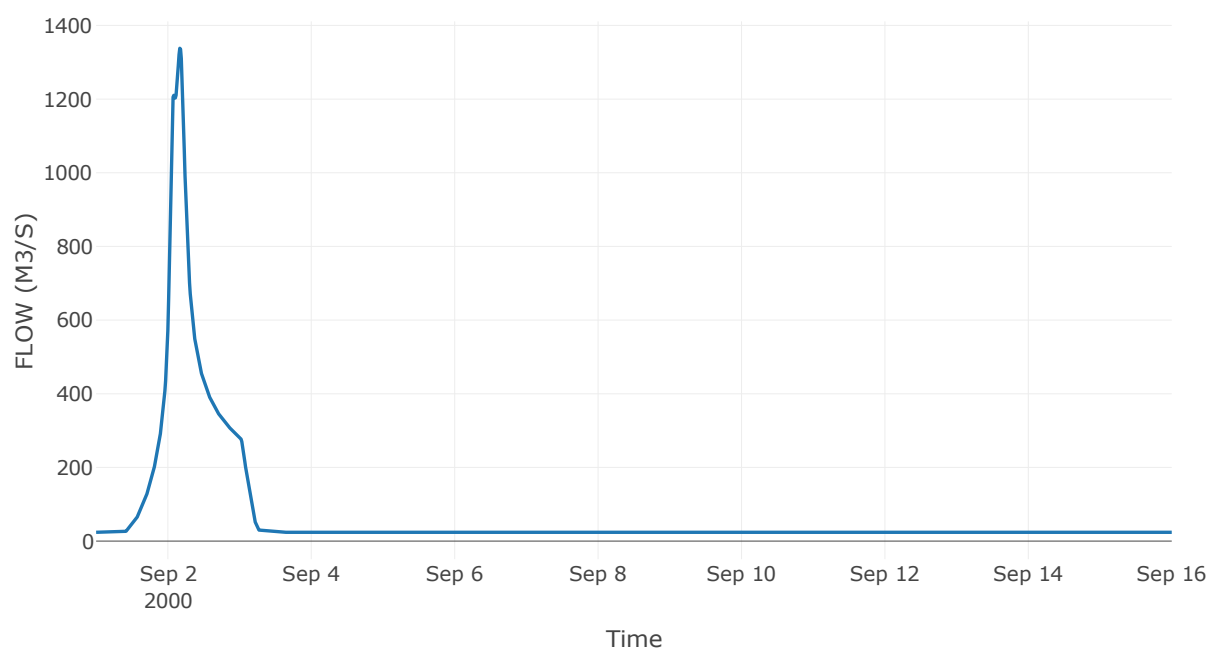
Κόμβος: J4

Κατάντη : R43

Αποτελέσματα: J4

Παροχή αιχμής (M3/S)	1338.02
Χρονική στιγμή αιχμής	02Sep2000, 04:00
Όγκος (MM)	266.39

Απορροή



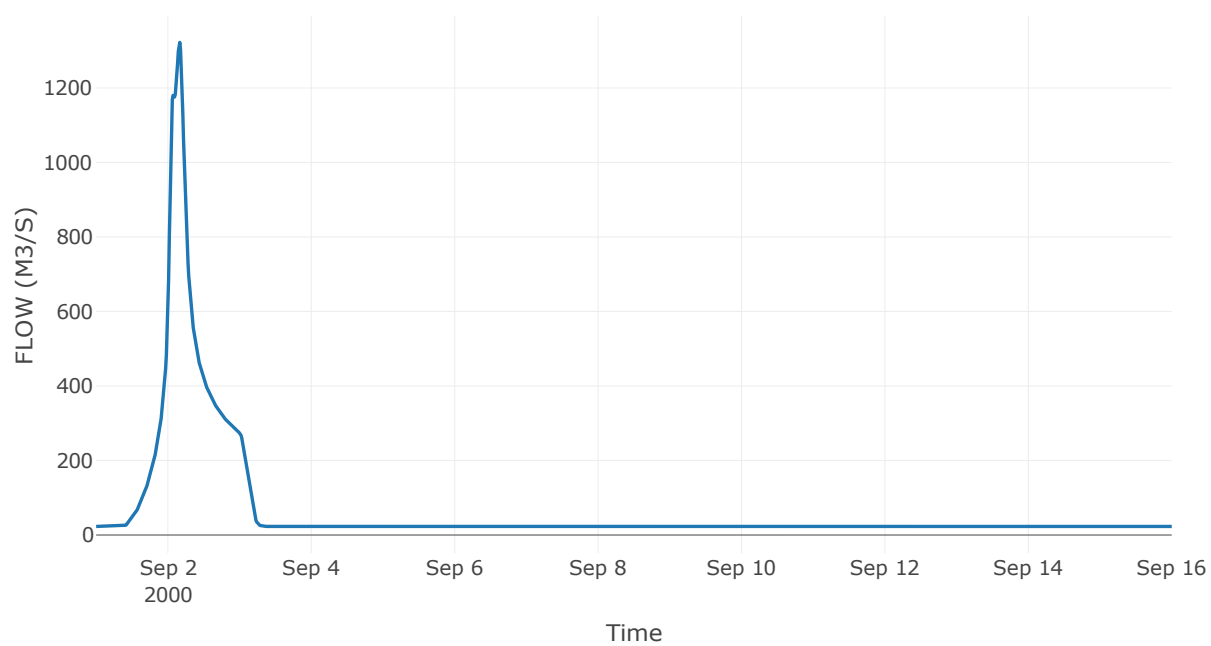
Κόμβος: J5

Κατάντη : R54

Αποτελέσματα: J5

Παροχή αιχμής (M3/S)	1322.19
Χρονική στιγμή αιχμής	02Sep2000, 04:00
Όγκος (MM)	269.76

Απορροή



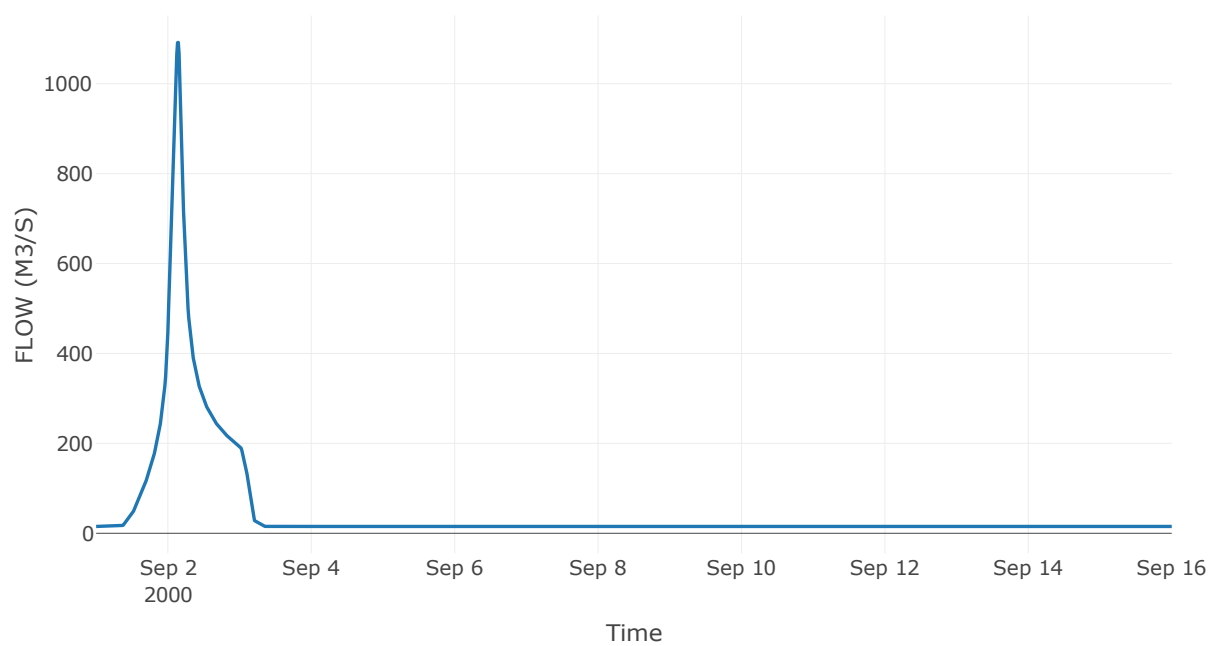
Κόμβος: J6

Κατάντη : R65

Αποτελέσματα: J6

Παροχή αιχμής (M3/S)	1091.91
Χρονική στιγμή αιχμής	02Sep2000, 03:30
Όγκος (MM)	291.34

Απορροή



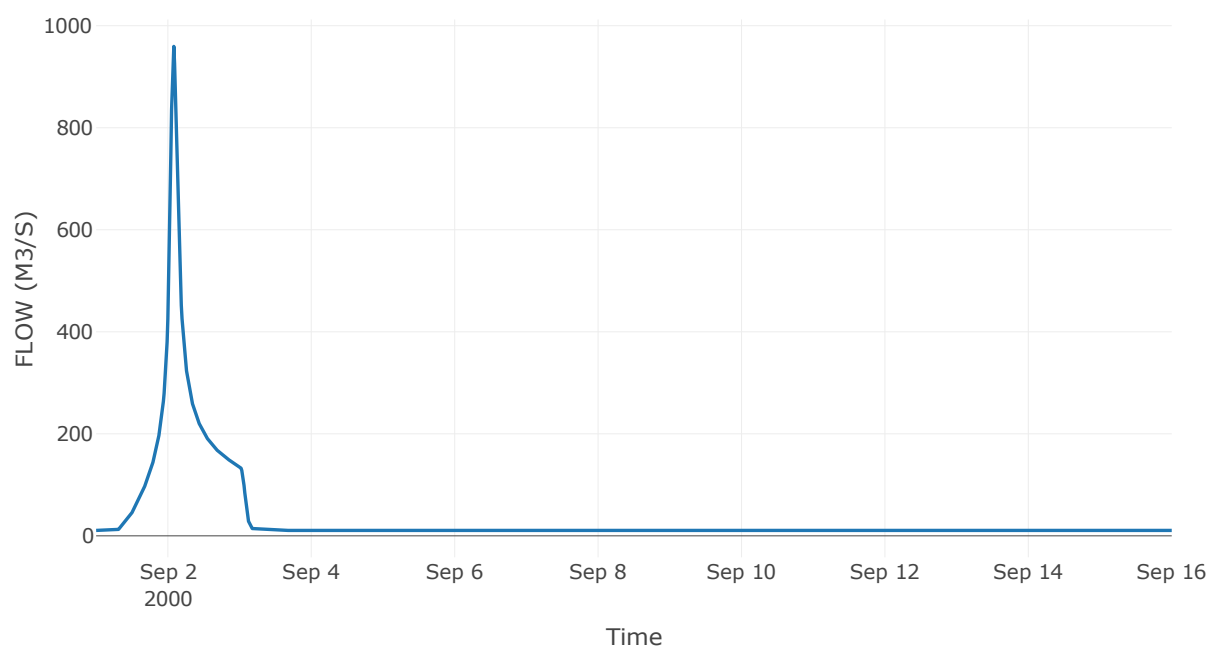
Κόμβος: J7

Κατάντη : R76

Αποτελέσματα: J7

Παροχή αιχμής (M3/S)	959.44
Χρονική στιγμή αιχμής	02Sep2000, 02:00
Όγκος (MM)	302.66

Απορροή



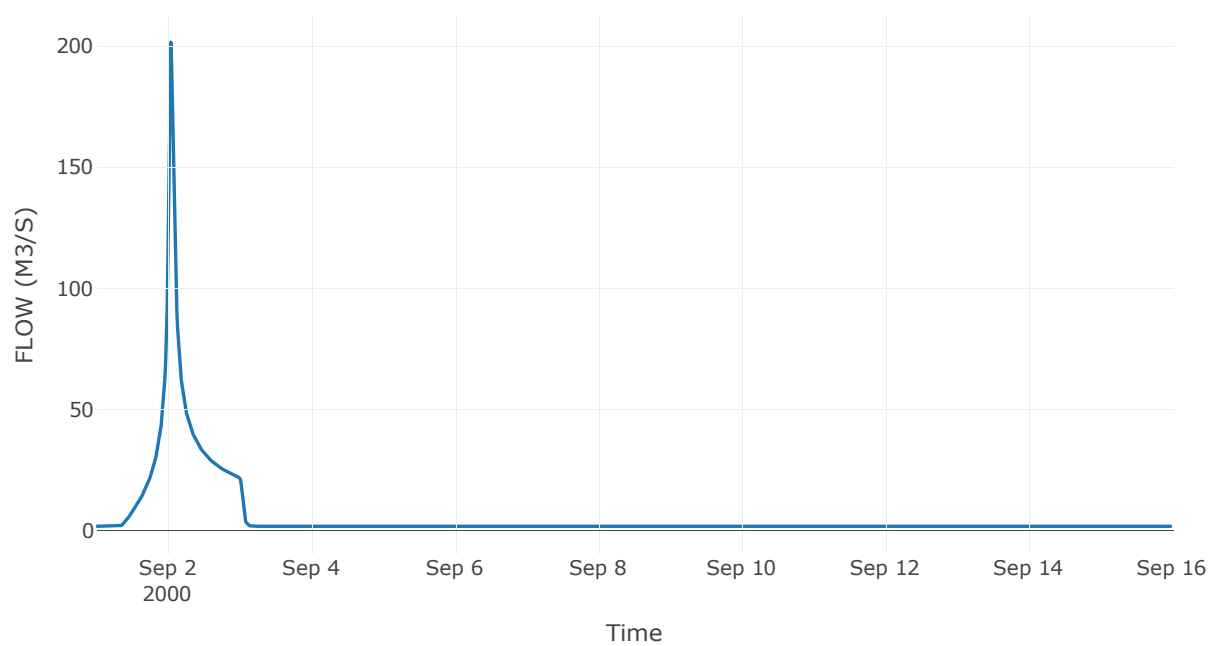
Κόμβος: J8

Κατάντη : R87

Αποτελέσματα: J8

Παροχή αιχμής (M3/S)	201.6
Χρονική στιγμή αιχμής	02Sep2000, 01:00
Όγκος (MM)	307.08

Απορροή



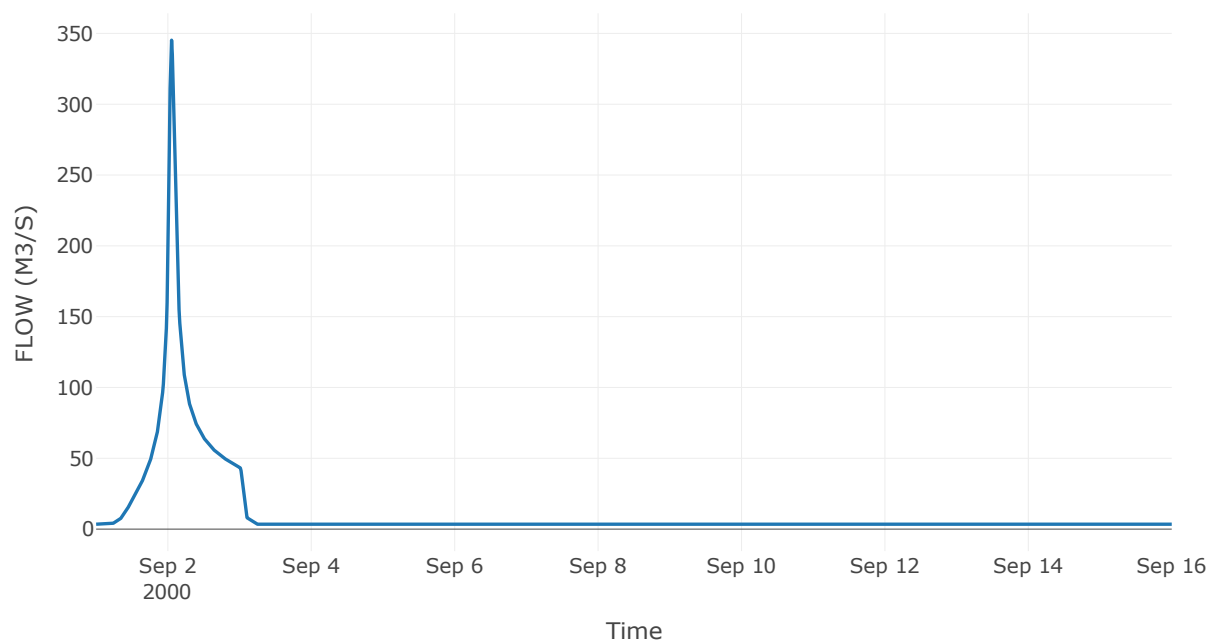
Κόμβος: J9

Κατάντη : R97

Αποτελέσματα: J9

Παροχή αιχμής (M3/S)	345.22
Χρονική στιγμή αιχμής	02Sep2000, 01:15
Όγκος (MM)	310.18

Απορροή



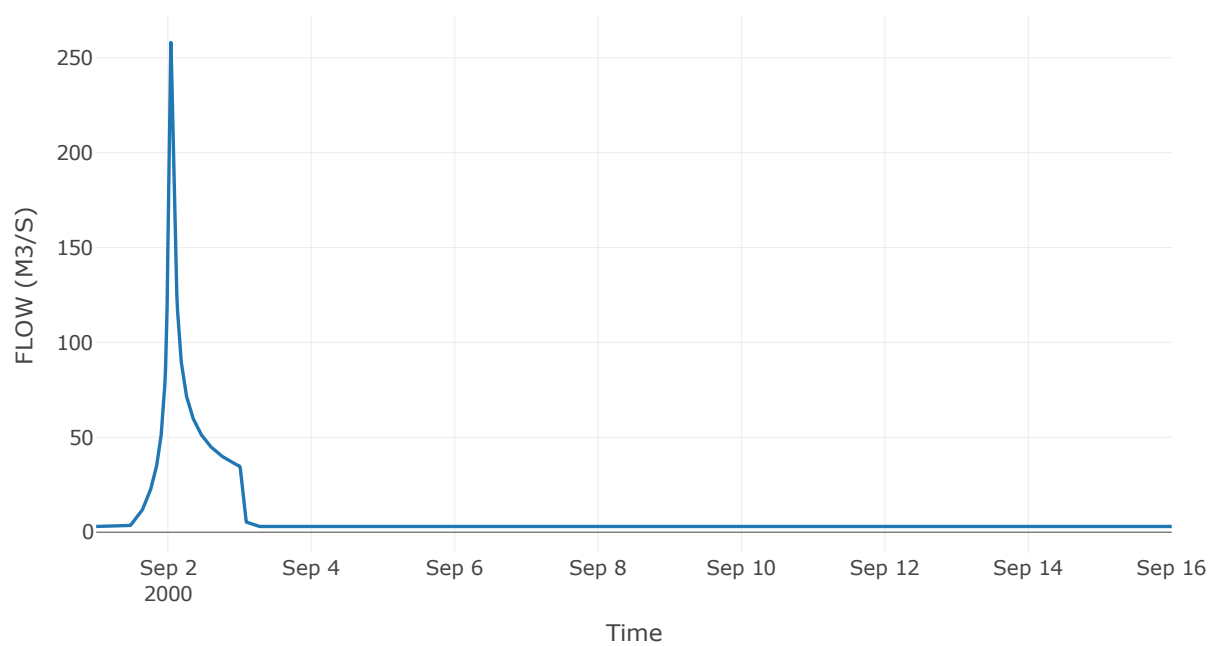
Κόμβος: J10

Κατάντη : R105

Αποτελέσματα: J10

Παροχή αιχμής (M3/S)	258.07
Χρονική στιγμή αιχμής	02Sep2000, 01:00
Όγκος (MM)	259.73

Απορροή



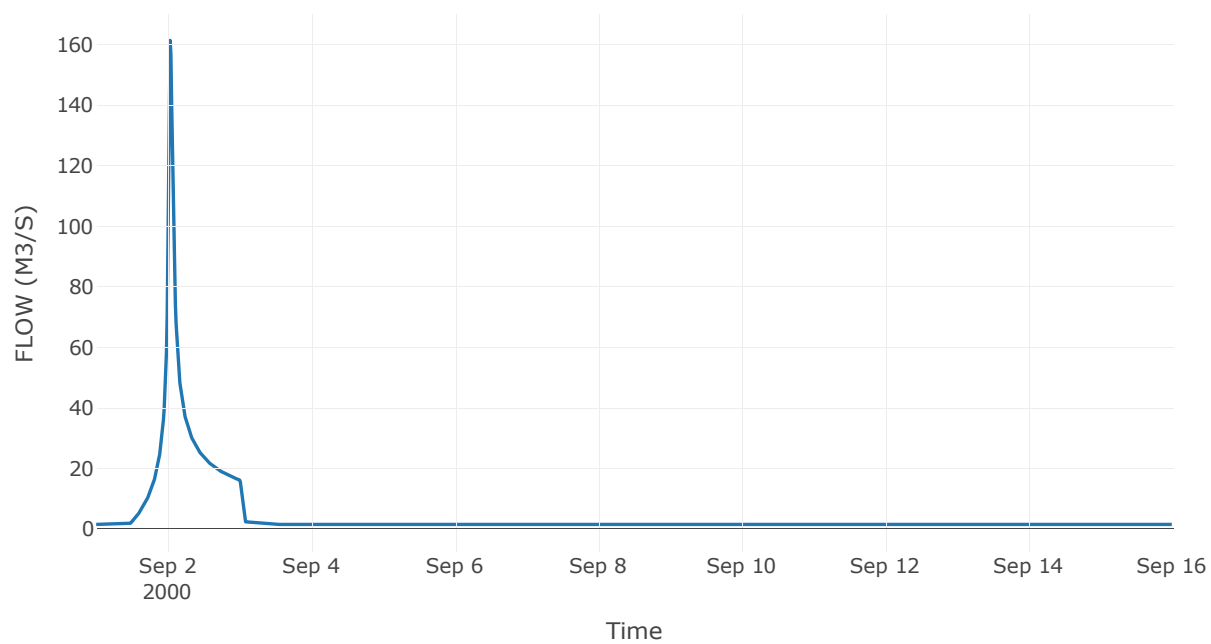
Κόμβος: J11

Κατάντη : R1112

Αποτελέσματα: J11

Παροχή αιχμής (M3/S)	161.39
Χρονική στιγμή αιχμής	02Sep2000, 00:45
Όγκος (MM)	266.66

Απορροή



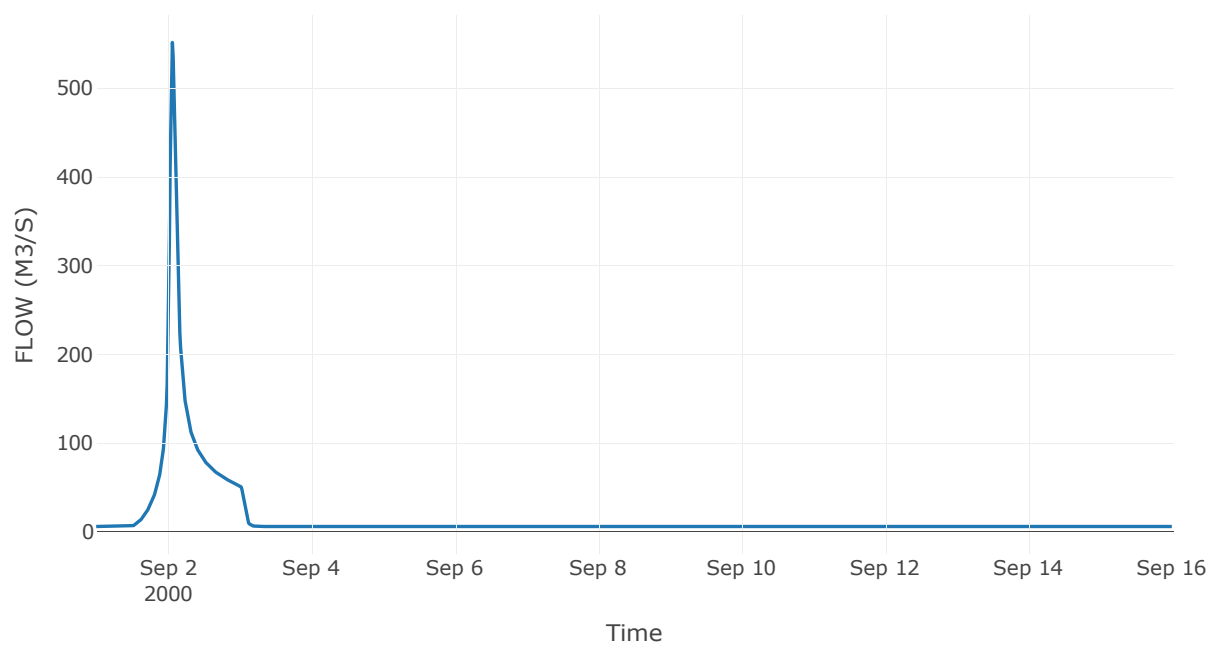
Κόμβος: J12

Κατάντη : R1213

Αποτελέσματα: J12

Παροχή αιχμής (M3/S)	551.78
Χρονική στιγμή αιχμής	02Sep2000, 01:30
Όγκος (MM)	247.03

Απορροή



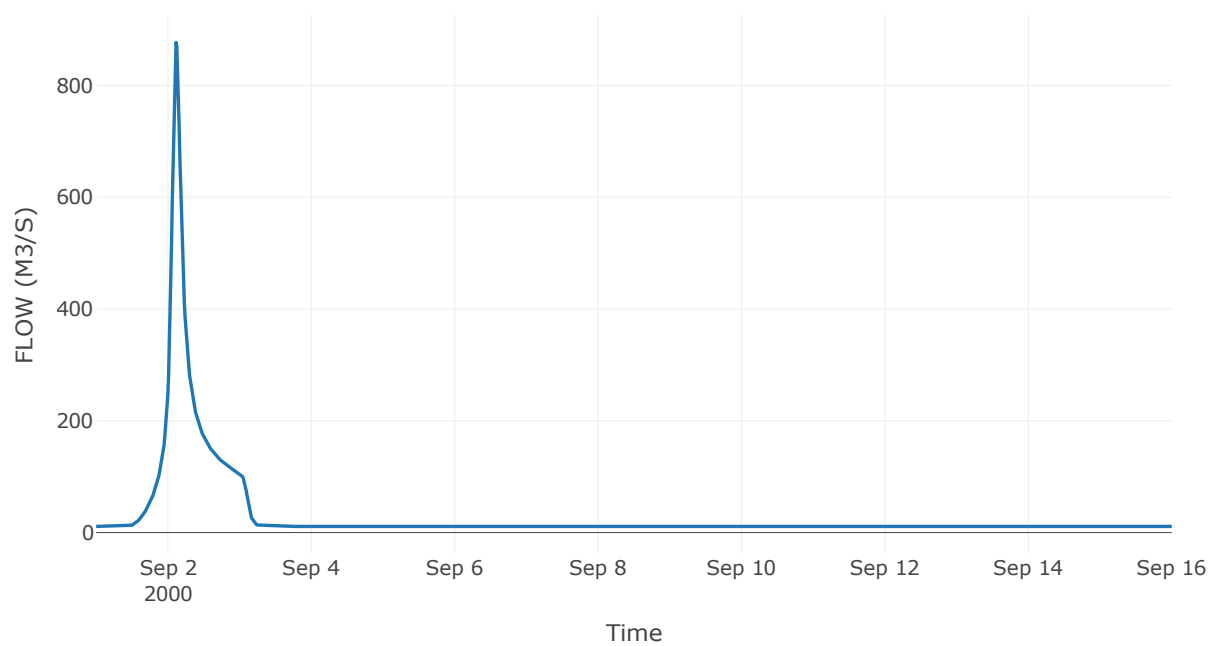
Κόμβος: J13

Κατάντη : R1314

Αποτελέσματα: J13

Παροχή αιχμής (M3/S)	877.06
Χρονική στιγμή αιχμής	02Sep2000, 02:45
Όγκος (MM)	257.86

Απορροή



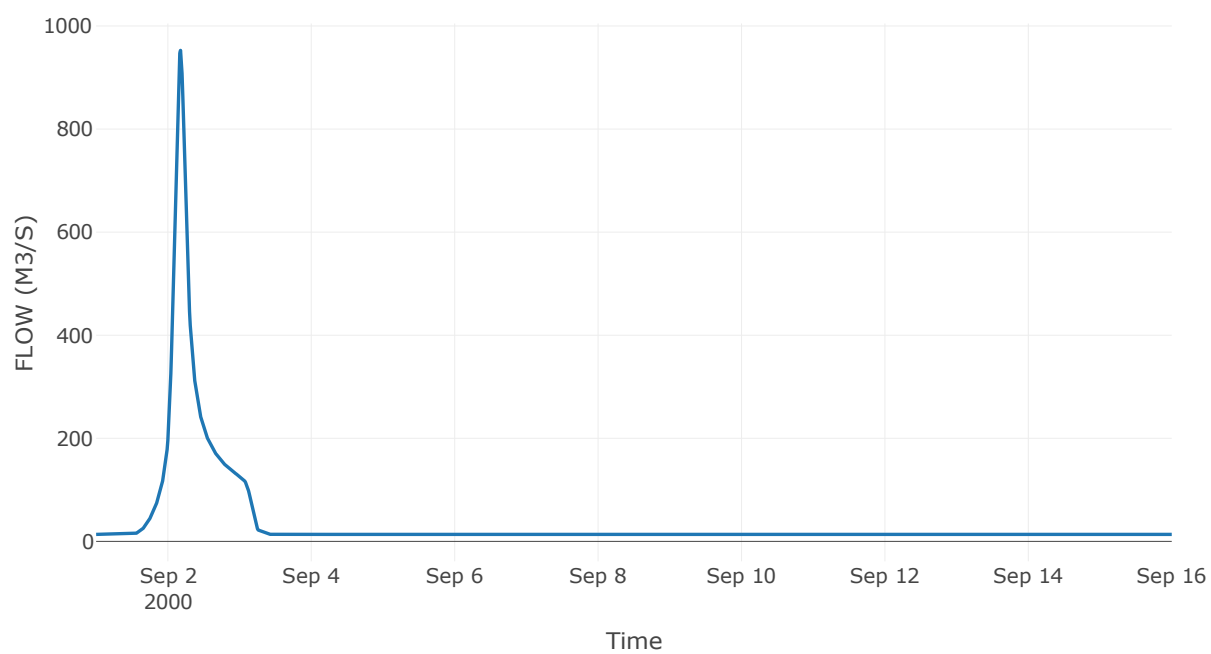
Κόμβος: J14

Κατάντη : R1415

Αποτελέσματα: J14

Παροχή αιχμής (M3/S)	952.63
Χρονική στιγμή αιχμής	02Sep2000, 04:15
Όγκος (MM)	250.93

Απορροή



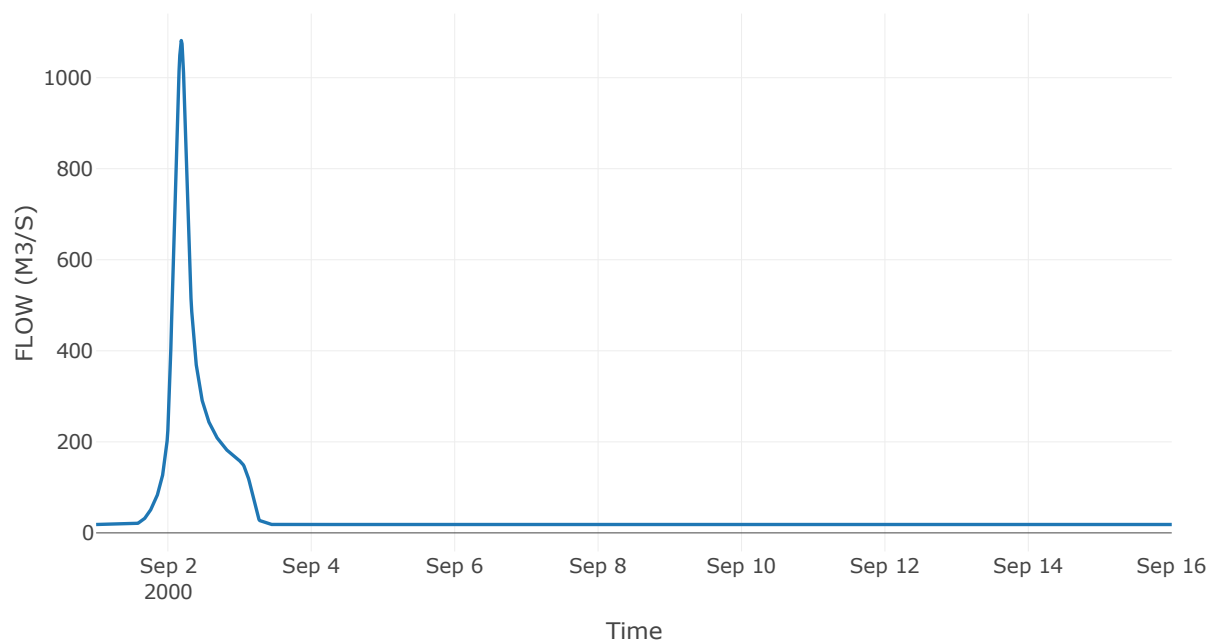
Κόμβος: J15

Κατάντη : R152

Αποτελέσματα: J15

Παροχή αιχμής (M3/S)	1081.7
Χρονική στιγμή αιχμής	02Sep2000, 04:30
Όγκος (MM)	233.92

Απορροή



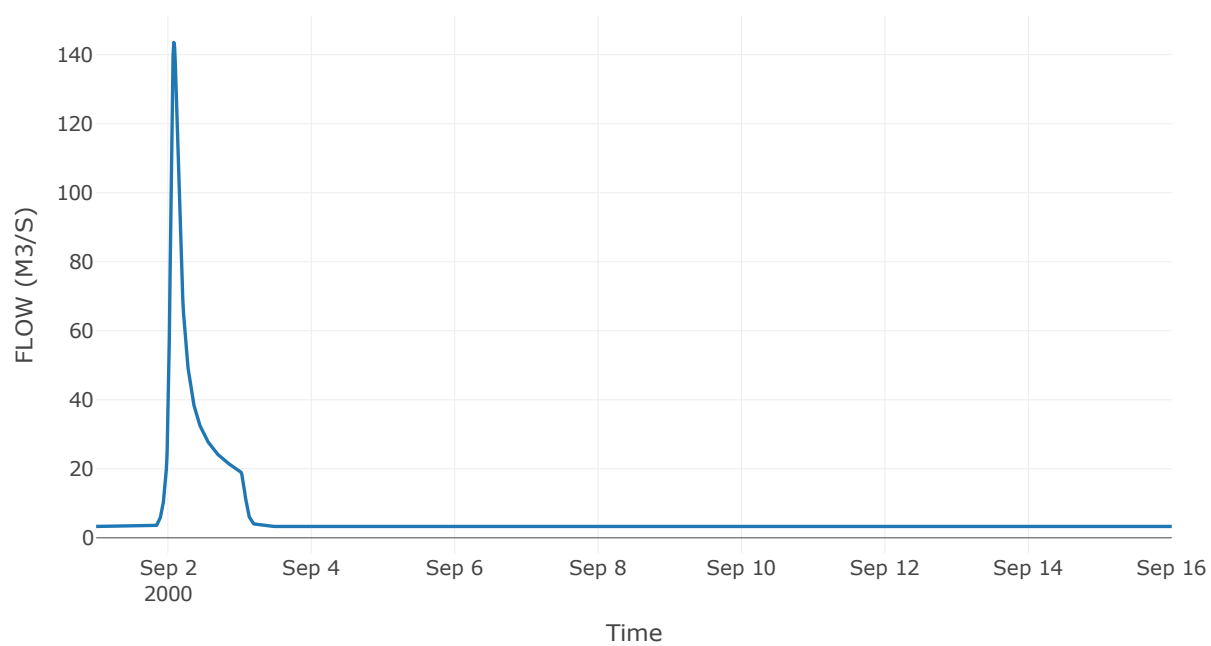
Κόμβος: J16

Κατάντη : R1615

Αποτελέσματα: J16

Παροχή αιχμής (M3/S)	143.57
Χρονική στιγμή αιχμής	02Sep2000, 02:00
Όγκος (MM)	172.69

Απορροή



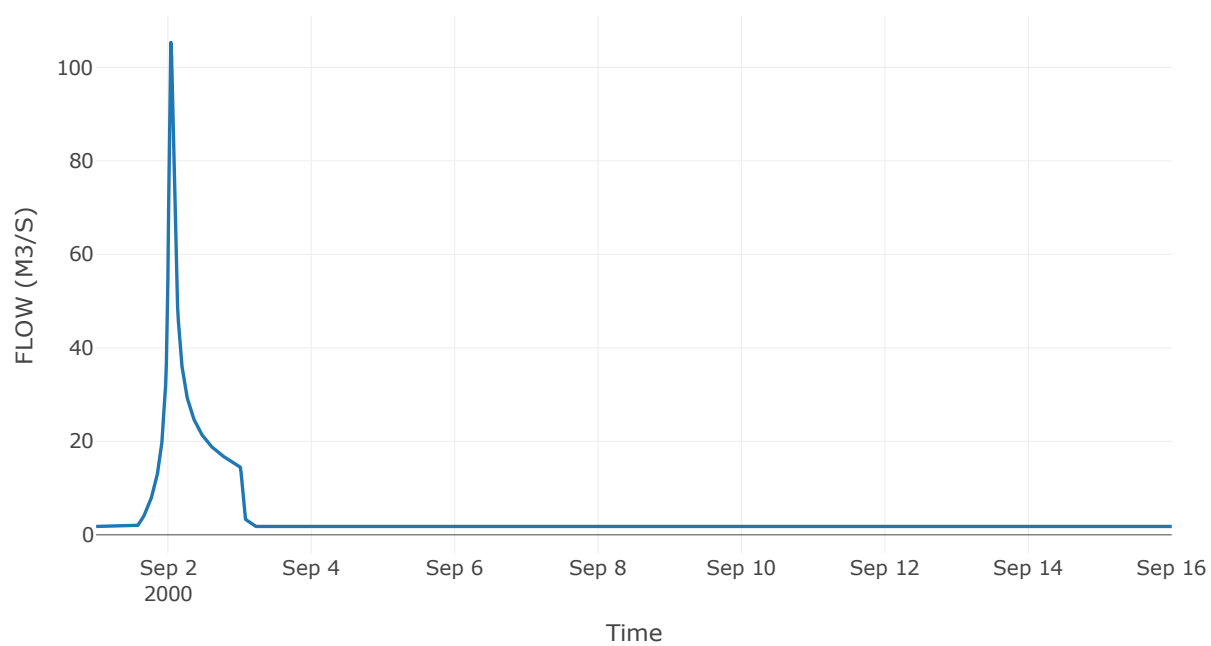
Κόμβος: J17

Κατάντη : R173

Αποτελέσματα: J17

Παροχή αιχμής (M3/S)	105.35
Χρονική στιγμή αιχμής	02Sep2000, 01:00
Όγκος (MM)	202.71

Απορροή



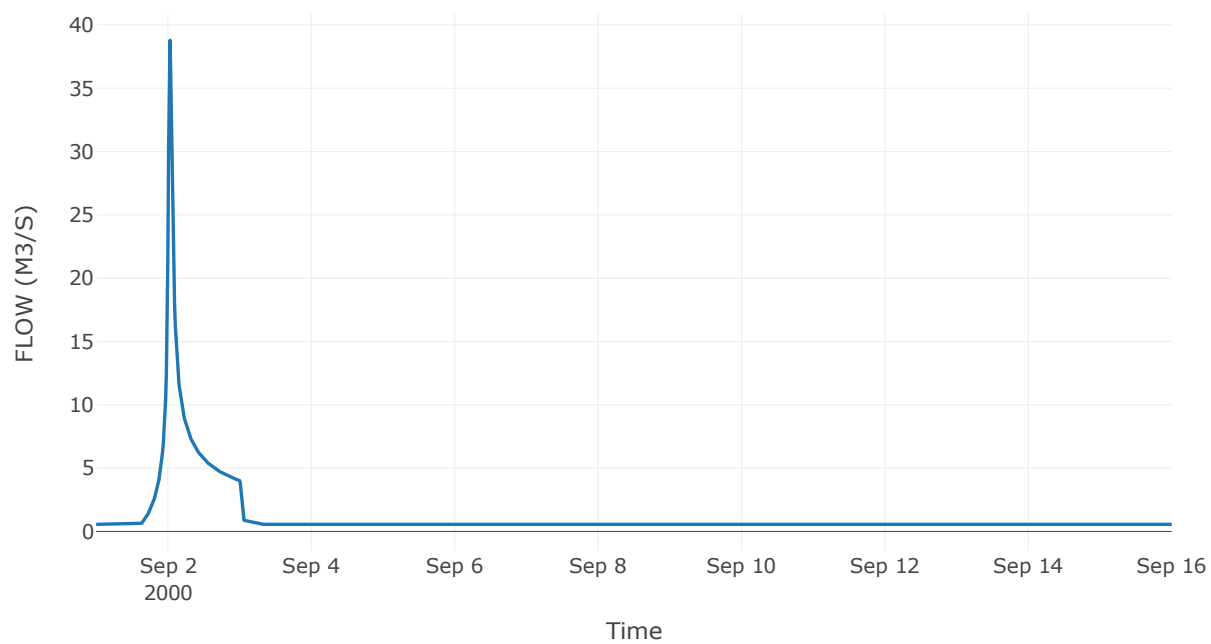
Κόμβος: J18

Κατάντη : R183

Αποτελέσματα: J18

Παροχή αιχμής (M3/S)	38.78
Χρονική στιγμή αιχμής	02Sep2000, 00:45
Όγκος (MM)	193

Απορροή



6 Δεδομένα εισόδου και αποτελέσματα υδρολογικού σεναρίου T=100L

6.1 Αποτελέσματα, υετογραφήματα και υδρογραφήματα σχεδιασμού υπολεκανών

Υπολεκάνη: EL0513FR7001

Έκταση (KM2) : 10.61

Κατάντη : J1

Μέθοδος Απωλειών: SCS

Ποσοστό αδιαπέρατης επιφάνειας	0
Αριθμός Καμπύλης Απορροής-CN	58.08
Αρχικές Απώλειες	36.67

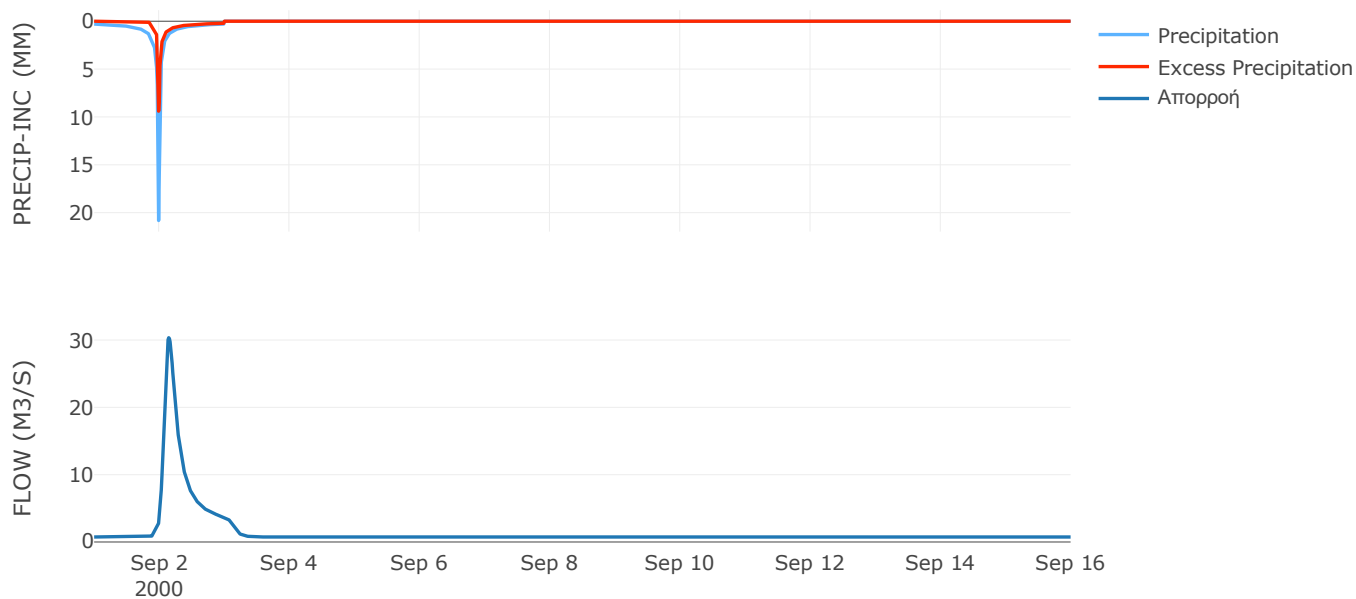
Μέθοδος
Μετασχηματισμού: SCS

Χρόνος Υστέρησης	185.62
------------------	--------

Αποτελέσματα:
EL0513FR7001

Παροχή αιχμής (M3/S)	30.35
Χρονική στιγμή αιχμής	02Sep2000, 03:30
Όγκος (MM)	176.41
Όγκος βροχόπτωσης (M3)	2.25E6
Όγκος απωλειών (M3)	1.34E6
Ενεργός Όγκος (M3)	9.1E5
Όγκος άμεσης απορροής (M3)	9.1E5
Όγκος βασικής απορροής (M3)	9.63E5

Βροχόπτωση και Απορροή



Υπολεκάνη: EL0513FR7002

Έκταση (KM2) : 36.49

Κατάντη : J2

Μέθοδος Απωλειών: SCS

Ποσοστό αδιαπέρατης επιφάνειας	0
Αριθμός Καμπύλης Απορροής-CN	44.85
Αρχικές Απώλειες	62.46

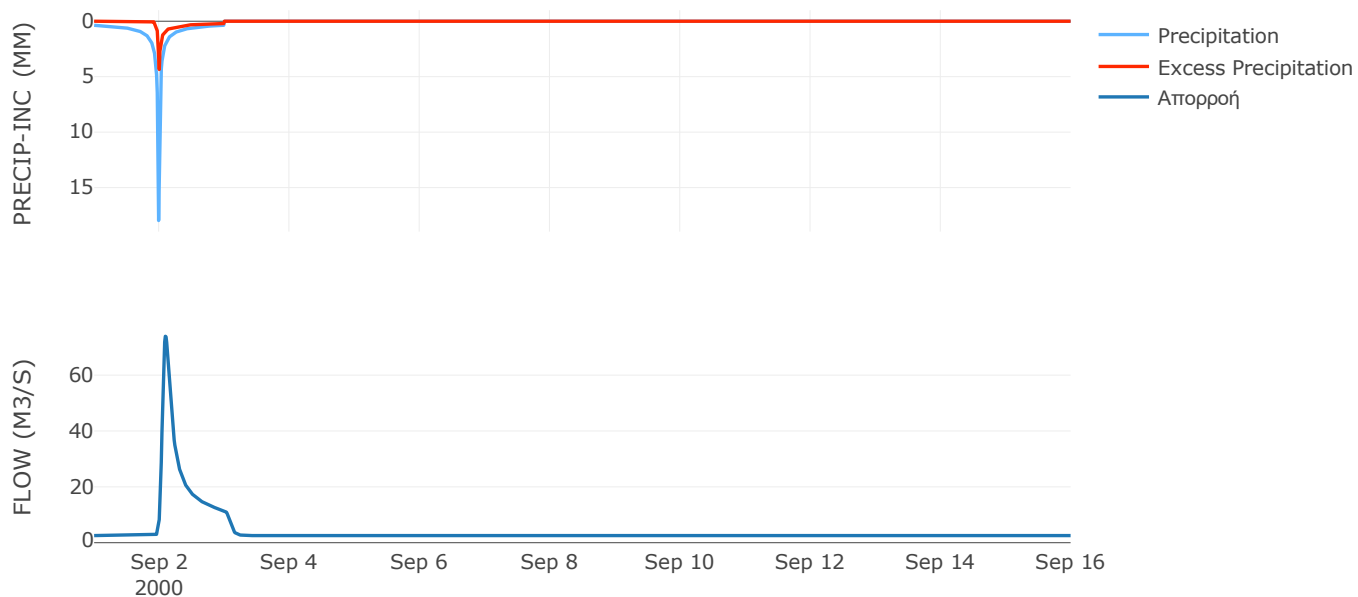
Μέθοδος
Μετασχηματισμού: SCS

Χρόνος Υστέρησης	112.3
------------------	-------

Αποτελέσματα:
EL0513FR7002

Παροχή αιχμής (M3/S)	73.91
Χρονική στιγμή αιχμής	02Sep2000, 02:15
Όγκος (MM)	146.25
Όγκος βροχόπτωσης (M3)	8.2E6
Όγκος απωλειών (M3)	6.18E6
Ενεργός Όγκος (M3)	2.03E6
Όγκος άμεσης απορροής (M3)	2.03E6
Όγκος βασικής απορροής (M3)	3.31E6

Βροχόπτωση και Απορροή



Υπολεκάνη: EL0513FR7003

Έκταση (KM2) : 2.15

Κατάντη : J2

Μέθοδος Απωλειών: SCS

Ποσοστό αδιαπέρατης επιφάνειας	0
Αριθμός Καμπύλης Απορροής-CN	53.95
Αρχικές Απώλειες	43.37

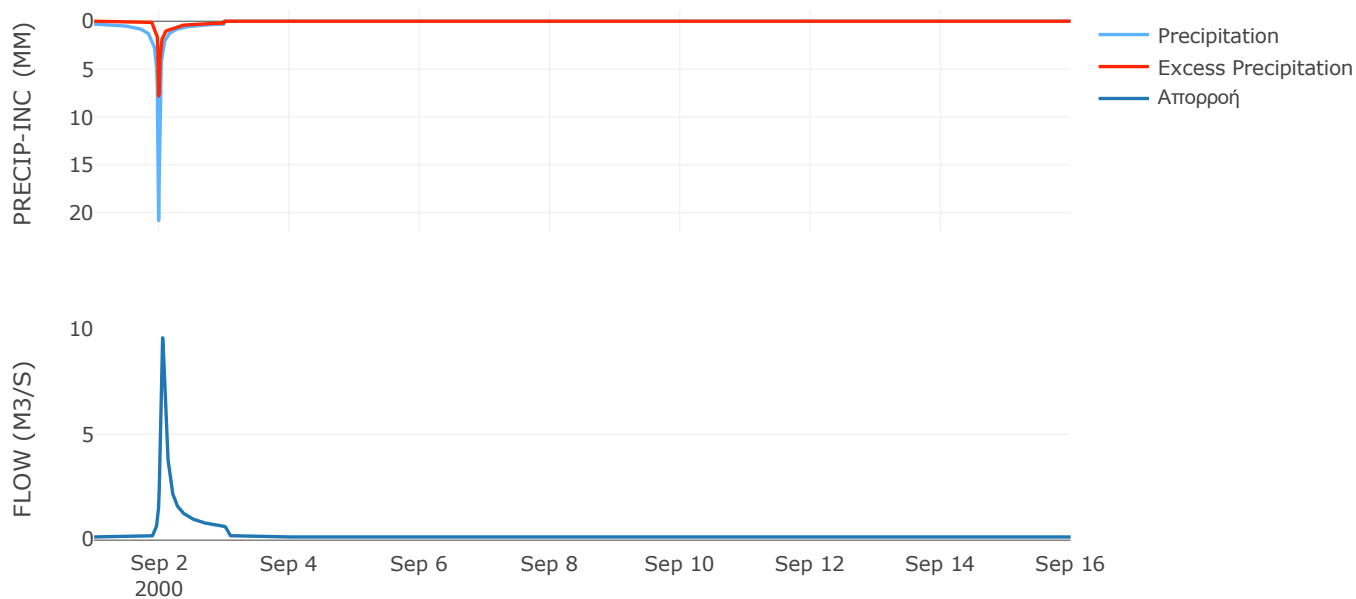
Μέθοδος
Μετασχηματισμού: SCS

Χρόνος Υστέρησης	62.69
------------------	-------

Αποτελέσματα:
EL0513FR7003

Παροχή αιχμής (M3/S)	9.55
Χρονική στιγμή αιχμής	02Sep2000, 01:15
Όγκος (MM)	164.48
Όγκος βροχόπτωσης (M3)	4.55E5
Όγκος απωλειών (M3)	2.97E5
Ενεργός Όγκος (M3)	1.58E5
Όγκος άμεσης απορροής (M3)	1.58E5
Όγκος βασικής απορροής (M3)	1.95E5

Βροχόπτωση και Απορροή



Υπολεκάνη: EL0513FR7004

Έκταση (KM2) : 11.5

Κατάνη : J15

Μέθοδος Απωλειών: SCS

Ποσοστό αδιαπέρατης επιφάνειας	0
Αριθμός Καμπύλης Απορροής-CN	39.16
Αρχικές Απώλειες	78.91

Μέθοδος
Μετασχηματισμού: SCS

Χρόνος Υστέρησης	69.15
------------------	-------

Αποτελέσματα:
EL0513FR7004

Παροχή αιχμής (M3/S)	19.78
Χρονική στιγμή αιχμής	02Sep2000, 01:30
Όγκος (MM)	136.87
Όγκος βροχόπτωσης (M3)	2.75E6
Όγκος απωλειών (M3)	2.22E6
Ενεργός Όγκος (M3)	5.31E5
Όγκος άμεσης απορροής (M3)	5.31E5
Όγκος βασικής απορροής (M3)	1.04E6

Βροχόπτωση και Απορροή



Υπολεκάνη: EL0513FR7005

Έκταση (KM2) : 8.16

Κατάληξη : J15

Μέθοδος Απωλειών: SCS

Ποσοστό αδιαπέρατης επιφάνειας	0
Αριθμός Καμπύλης Απορροής-CN	46.18
Αρχικές Απώλειες	59.2

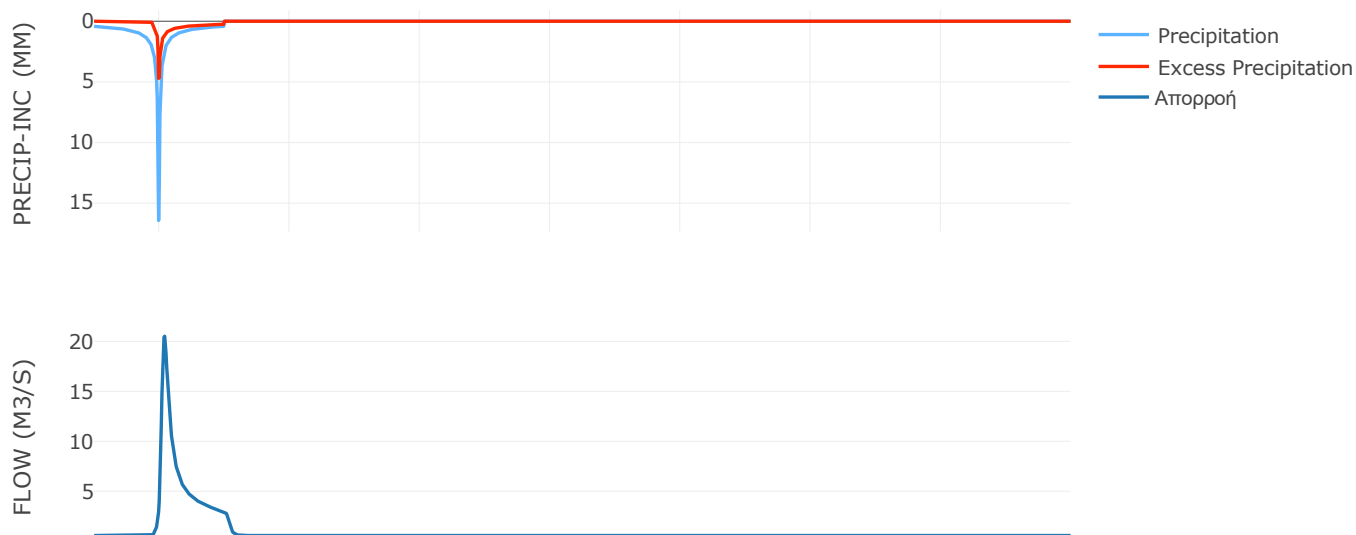
Μέθοδος
Μετασχηματισμού: SCS

Χρόνος Υστέρησης	93.46
------------------	-------

Αποτελέσματα:
EL0513FR7005

Παροχή αιχμής (M3/S)	20.52
Χρονική στιγμή αιχμής	02Sep2000, 02:00
Όγκος (MM)	156.71
Όγκος βροχόπτωσης (M3)	1.92E6
Όγκος απωλειών (M3)	1.39E6
Ενεργός Όγκος (M3)	5.38E5
Όγκος άμεσης απορροής (M3)	5.38E5
Όγκος βασικής απορροής (M3)	7.4E5

Βροχόπτωση και Απορροή



Υπολεκάνη: EL0513FR7006

Έκταση (KM2) : 47.06

Κατάντη : J16

Μέθοδος Απωλειών: SCS

Ποσοστό αδιαπέρατης επιφάνειας	0
Αριθμός Καμπύλης Απορροής-CN	30
Αρχικές Απώλειες	118.53

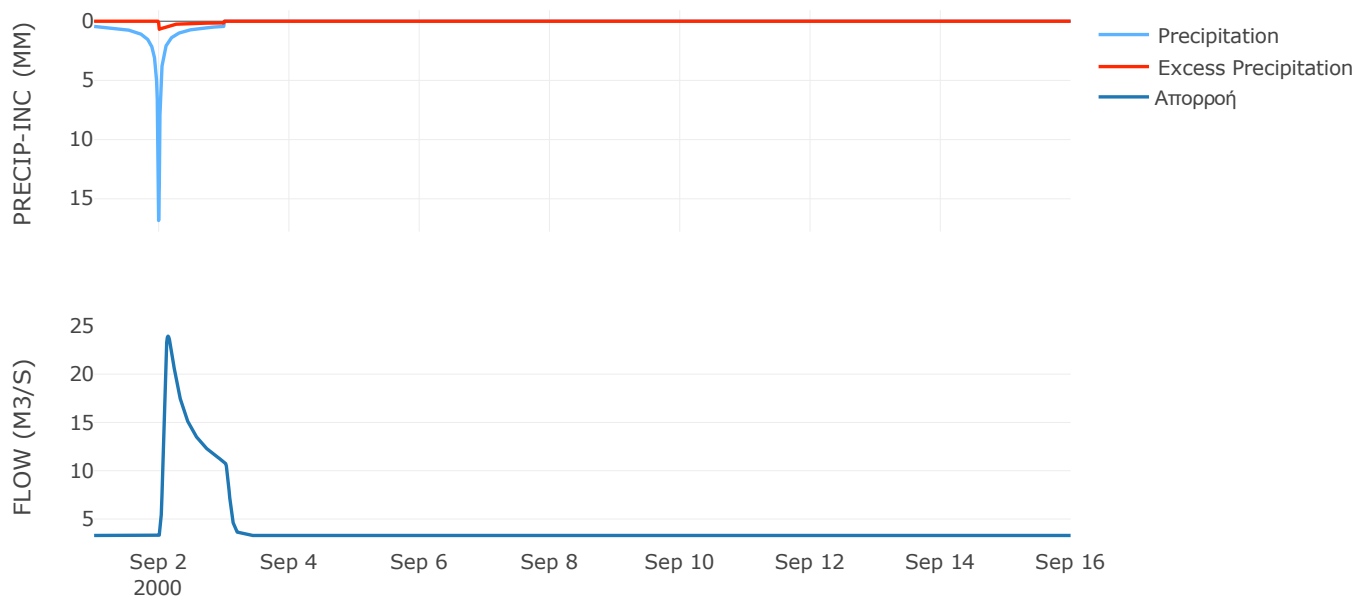
Μέθοδος
Μετασχηματισμού: SCS

Χρόνος Υστέρησης	104.29
------------------	--------

Αποτελέσματα:
EL0513FR7006

Παροχή αιχμής (M3/S)	23.94
Χρονική στιγμή αιχμής	02Sep2000, 03:15
Όγκος (MM)	112.98
Όγκος βροχόπτωσης (M3)	1.15E7
Όγκος απωλειών (M3)	1.05E7
Ενεργός Όγκος (M3)	1.05E6
Όγκος άμεσης απορροής (M3)	1.05E6
Όγκος βασικής απορροής (M3)	4.27E6

Βροχόπτωση και Απορροή



Υπολεκάνη: EL0513FR7007

Έκταση (KM2) : 2.05

Κατάνη : J15

Μέθοδος Απωλειών: SCS

Ποσοστό αδιαπέρατης επιφάνειας	0
Αριθμός Καμπύλης Απορροής-CN	60.47
Αρχικές Απώλειες	33.21

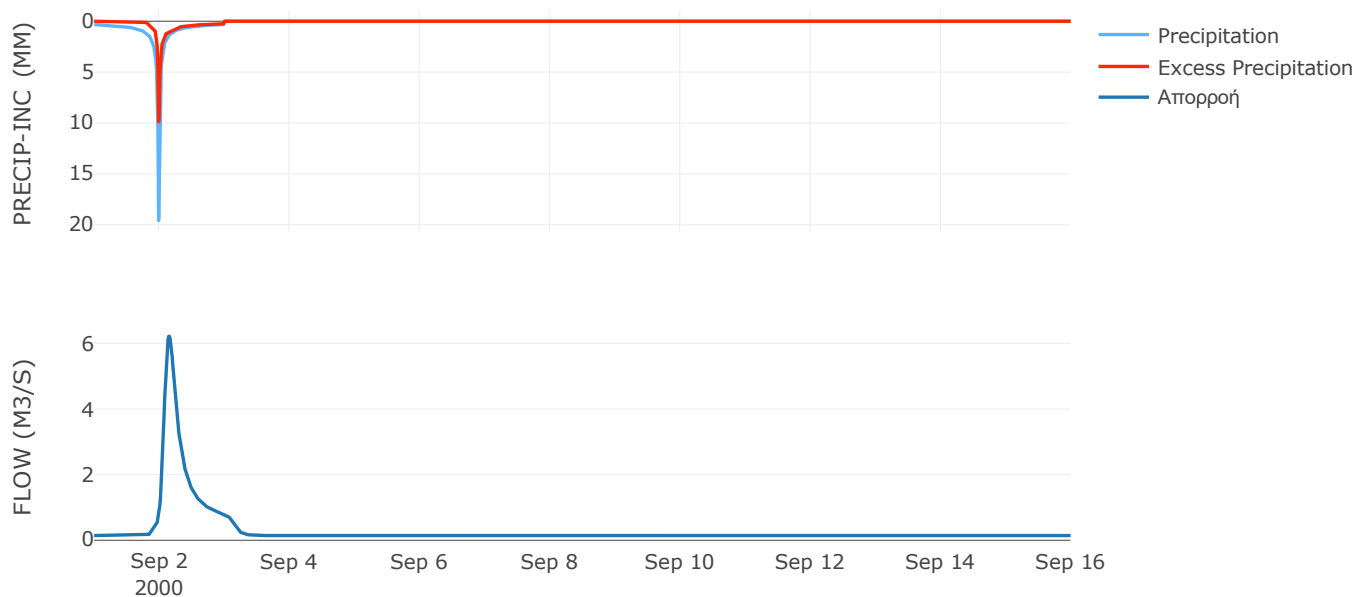
Μέθοδος
Μετασχηματισμού: SCS

Χρόνος Υστέρησης	192.52
------------------	--------

Αποτελέσματα:
EL0513FR7007

Παροχή αιχμής (M3/S)	6.22
Χρονική στιγμή αιχμής	02Sep2000, 03:45
Όγκος (MM)	186.39
Όγκος βροχόπτωσης (M3)	4.43E5
Όγκος απωλειών (M3)	2.47E5
Ενεργός Όγκος (M3)	1.96E5
Όγκος άμεσης απορροής (M3)	1.96E5
Όγκος βασικής απορροής (M3)	1.86E5

Βροχόπτωση και Απορροή



Υπολεκάνη: EL0513FR7008

Έκταση (KM2) : 8

Κατάληξη : J18

Μέθοδος Απωλειών: SCS

Ποσοστό αδιαπέρατης επιφάνειας	0
Αριθμός Καμπύλης Απορροής-CN	36.66
Αρχικές Απώλειες	87.78

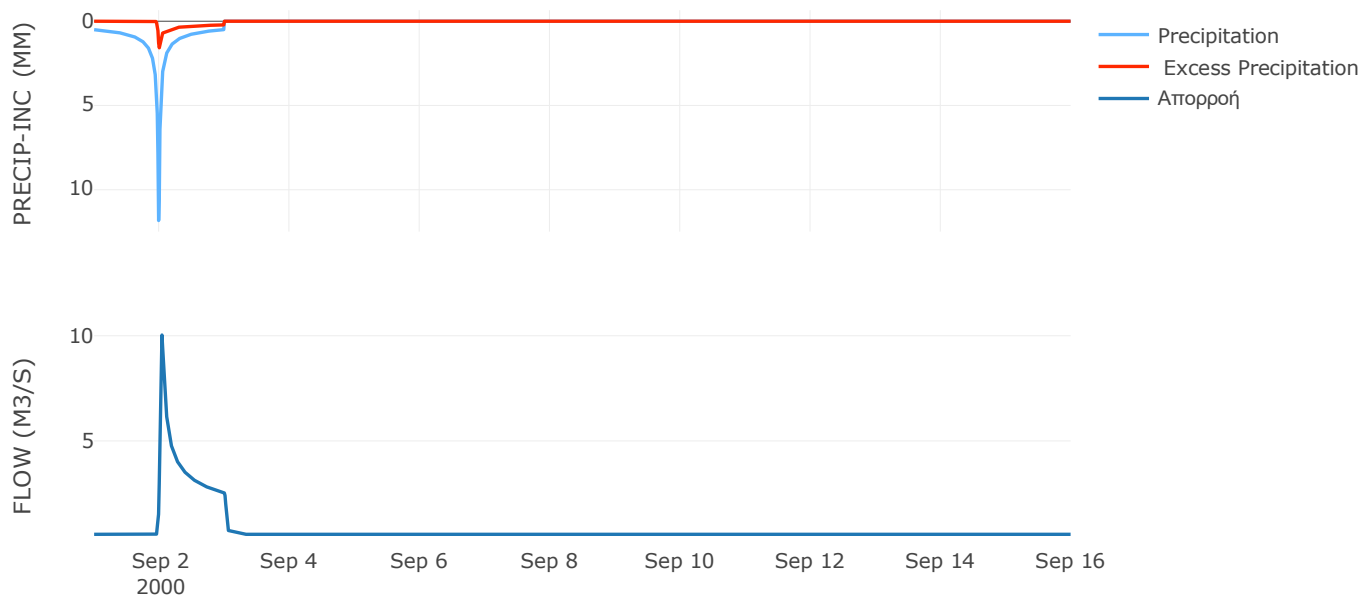
Μέθοδος
Μετασχηματισμού: SCS

Χρόνος Υστέρησης	36.94
------------------	-------

Αποτελέσματα:
EL0513FR7008

Παροχή αιχμής (M3/S)	10.03
Χρονική στιγμή αιχμής	02Sep2000, 01:00
Όγκος (MM)	127.49
Όγκος βροχόπτωσης (M3)	1.88E6
Όγκος απωλειών (M3)	1.58E6
Ενεργός Όγκος (M3)	2.94E5
Όγκος άμεσης απορροής (M3)	2.94E5
Όγκος βασικής απορροής (M3)	7.26E5

Βροχόπτωση και Απορροή



Υπολεκάνη: EL0513FR7009

Έκταση (KM2) : 25.56

Κατάντη : J17

Μέθοδος Απωλειών: SCS

Ποσοστό αδιαπέρατης επιφάνειας	0
Αριθμός Καμπύλης Απορροής-CN	37.19
Αρχικές Απώλειες	85.8

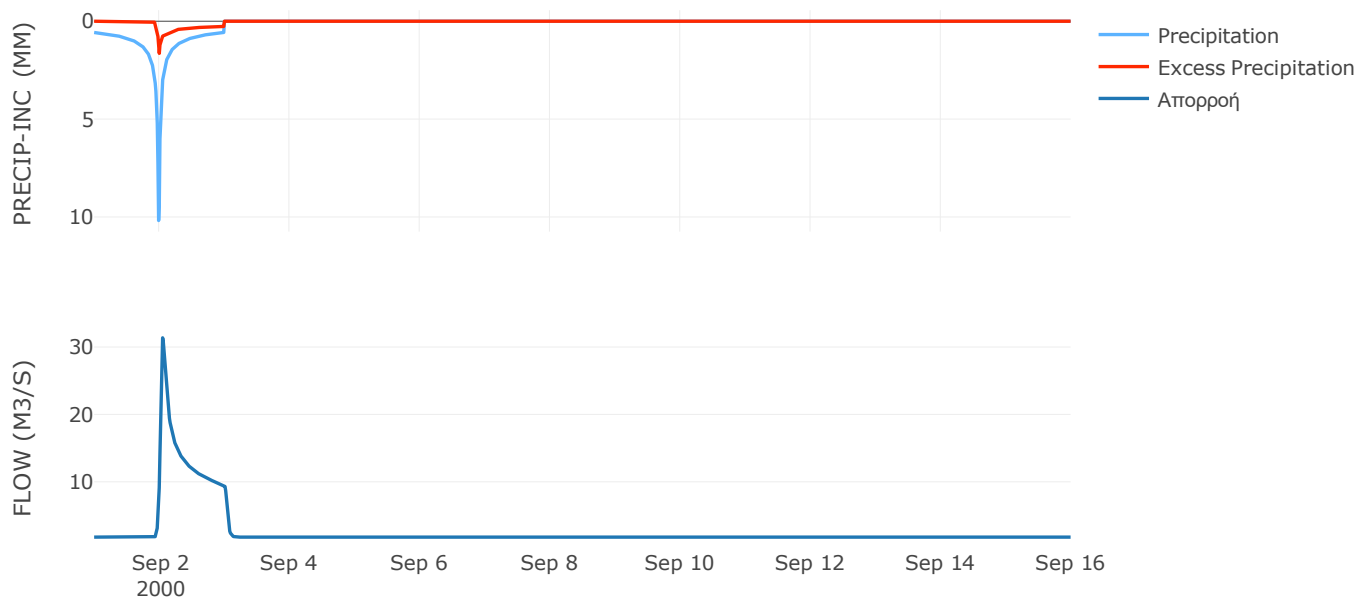
Μέθοδος
Μετασχηματισμού: SCS

Χρόνος Υστέρησης	54.4
------------------	------

Αποτελέσματα:
EL0513FR7009

Παροχή αιχμής (M3/S)	31.37
Χρονική στιγμή αιχμής	02Sep2000, 01:15
Όγκος (MM)	133.68
Όγκος βροχόπτωσης (M3)	6.26E6
Όγκος απωλειών (M3)	5.16E6
Ενεργός Όγκος (M3)	1.1E6
Όγκος άμεσης απορροής (M3)	1.1E6
Όγκος βασικής απορροής (M3)	2.32E6

Βροχόπτωση και Απορροή



Υπολεκάνη: EL0513FR7010

Έκταση (KM2) : 14.22

Κατάντη : J3

Μέθοδος Απωλειών: SCS

Ποσοστό αδιαπέρατης επιφάνειας	0
Αριθμός Καμπύλης Απορροής-CN	42.27
Αρχικές Απώλειες	69.36

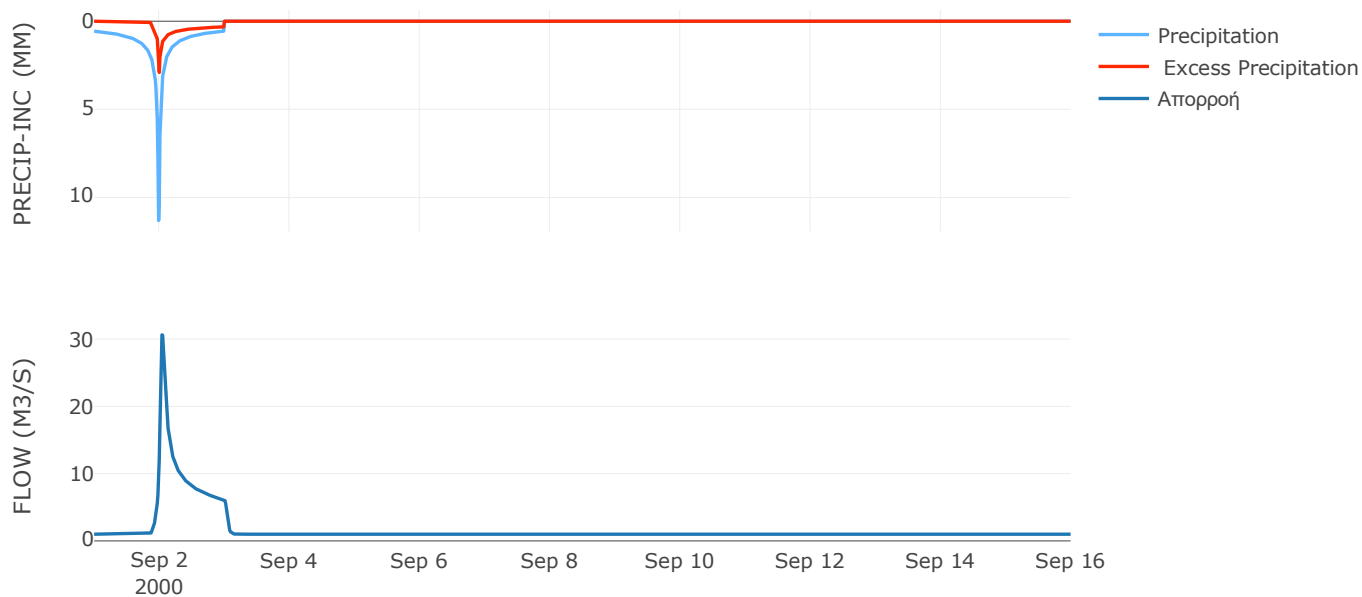
Μέθοδος
Μετασχηματισμού: SCS

Χρόνος Υστέρησης	53.17
------------------	-------

Αποτελέσματα:
EL0513FR7010

Παροχή αιχμής (M3/S)	30.62
Χρονική στιγμή αιχμής	02Sep2000, 01:00
Όγκος (MM)	152.54
Όγκος βροχόπτωσης (M3)	3.55E6
Όγκος απωλειών (M3)	2.67E6
Ενεργός Όγκος (M3)	8.79E5
Όγκος άμεσης απορροής (M3)	8.79E5
Όγκος βασικής απορροής (M3)	1.29E6

Βροχόπτωση και Απορροή



Υπολεκάνη: EL0513FR7011

Έκταση (KM2) : 27

Κατάντη : J3

Μέθοδος Απωλειών: SCS

Ποσοστό αδιαπέρατης επιφάνειας	0
Αριθμός Καμπύλης Απορροής-CN	47.85
Αρχικές Απώλειες	55.36

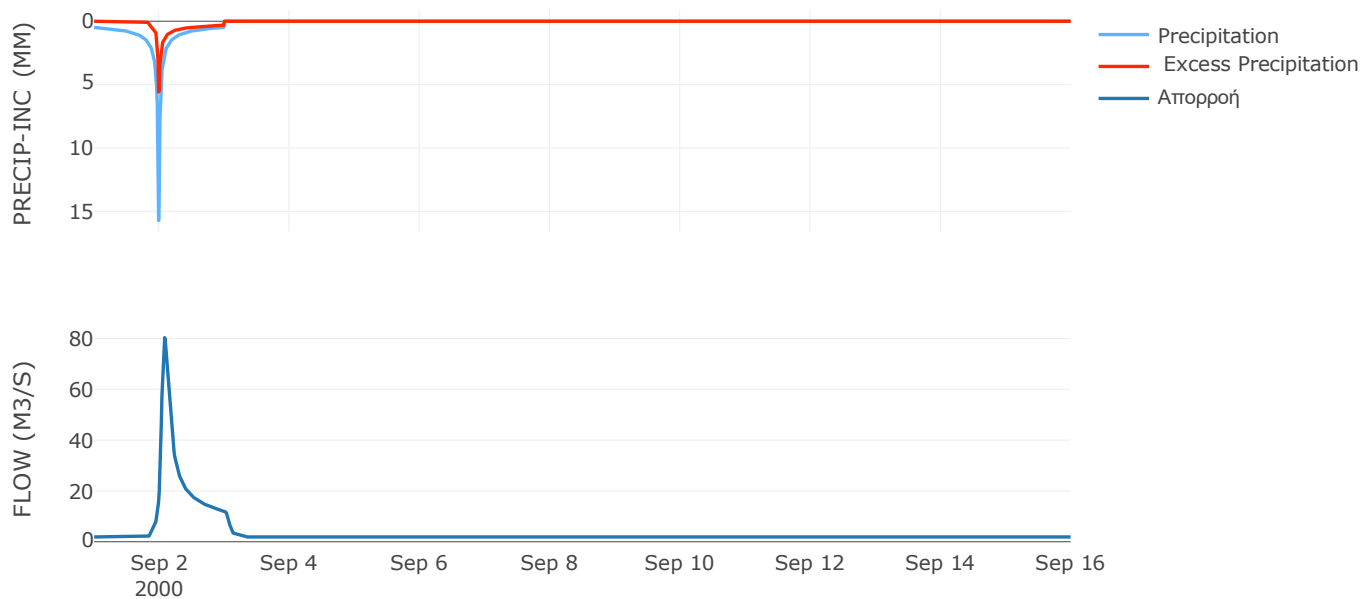
Μέθοδος
Μετασχηματισμού: SCS

Χρόνος Υστέρησης	99.74
------------------	-------

Αποτελέσματα:
EL0513FR7011

Παροχή αιχμής (M3/S)	80.35
Χρονική στιγμή αιχμής	02Sep2000, 02:00
Όγκος (MM)	174.3
Όγκος βροχόπτωσης (M3)	6.88E6
Όγκος απωλειών (M3)	4.63E6
Ενεργός Όγκος (M3)	2.26E6
Όγκος άμεσης απορροής (M3)	2.26E6
Όγκος βασικής απορροής (M3)	2.45E6

Βροχόπτωση και Απορροή



Υπολεκάνη: EL0513FR7012

Έκταση (KM2) : 36.83

Κατάντη : J14

Μέθοδος Απωλειών: SCS

Ποσοστό αδιαπέρατης επιφάνειας	0
Αριθμός Καμπύλης Απορροής-CN	47.05
Αρχικές Απώλειες	57.16

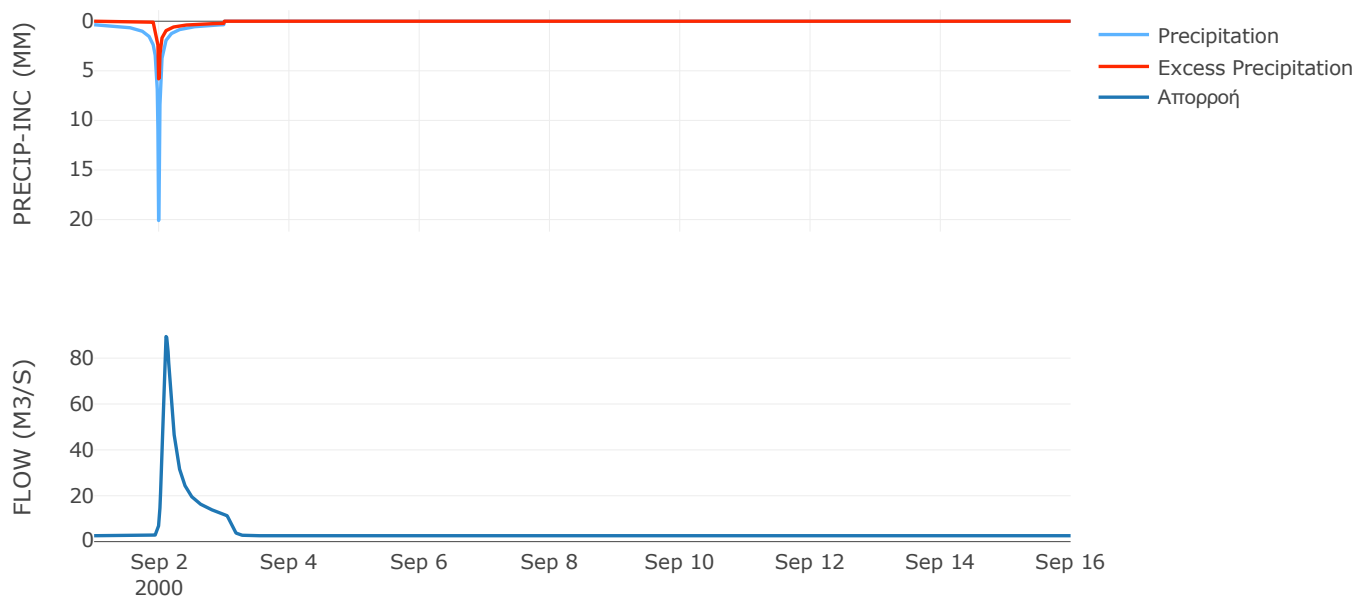
Μέθοδος
Μετασχηματισμού: SCS

Χρόνος Υστέρησης	127.1
------------------	-------

Αποτελέσματα:
EL0513FR7012

Παροχή αιχμής (M3/S)	89.41
Χρονική στιγμή αιχμής	02Sep2000, 02:30
Όγκος (MM)	156.28
Όγκος βροχόπτωσης (M3)	8.5E6
Όγκος απωλειών (M3)	6.08E6
Ενεργός Όγκος (M3)	2.41E6
Όγκος άμεσης απορροής (M3)	2.41E6
Όγκος βασικής απορροής (M3)	3.34E6

Βροχόπτωση και Απορροή



Υπολεκάνη: EL0513FR7013

Έκταση (KM2) : 10.56

Κατάντη : J6

Μέθοδος Απωλειών: SCS

Ποσοστό αδιαπέρατης επιφάνειας	0
Αριθμός Καμπύλης Απορροής-CN	52.69
Αρχικές Απώλειες	45.62

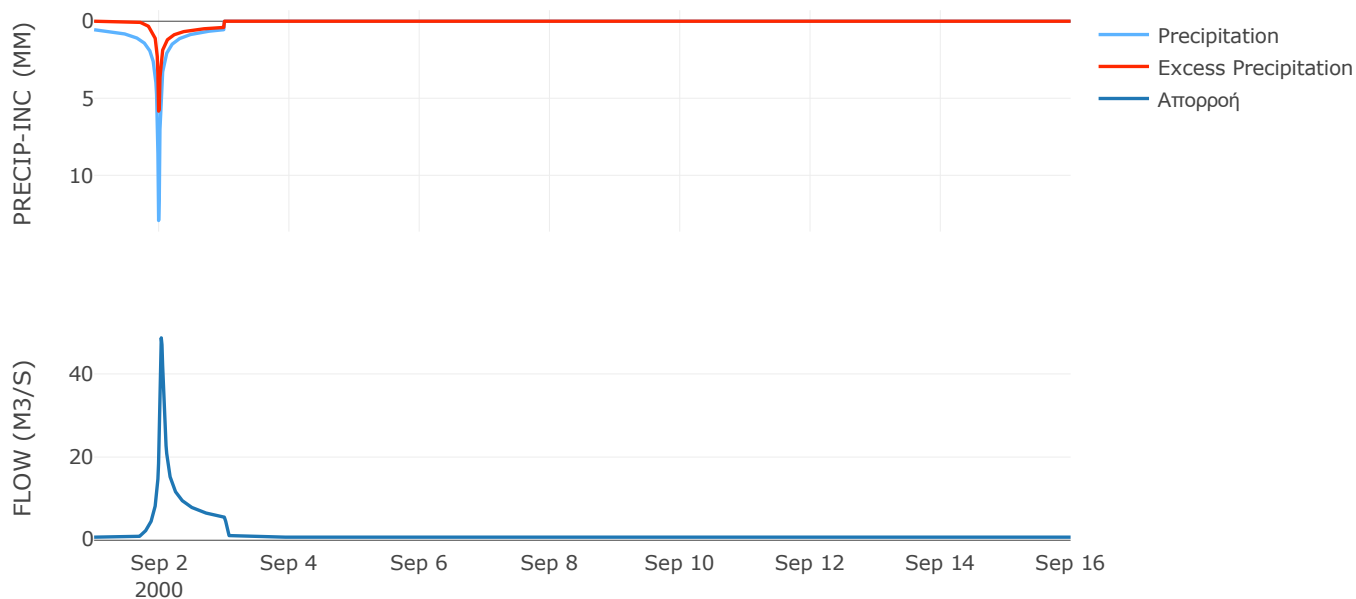
Μέθοδος
Μετασχηματισμού: SCS

Χρόνος Υστέρησης	41.66
------------------	-------

Αποτελέσματα:
EL0513FR7013

Παροχή αιχμής (M3/S)	48.67
Χρονική στιγμή αιχμής	02Sep2000, 00:45
Όγκος (MM)	193.11
Όγκος βροχόπτωσης (M3)	2.72E6
Όγκος απωλειών (M3)	1.64E6
Ενεργός Όγκος (M3)	1.08E6
Όγκος άμεσης απορροής (M3)	1.08E6
Όγκος βασικής απορροής (M3)	9.58E5

Βροχόπτωση και Απορροή



Υπολεκάνη: EL0513FR7014

Έκταση (KM2) : 22.48

Κατάντη : J5

Μέθοδος Απωλειών: SCS

Ποσοστό αδιαπέρατης επιφάνειας	0
Αριθμός Καμπύλης Απορροής-CN	30.34
Αρχικές Απώλειες	116.66

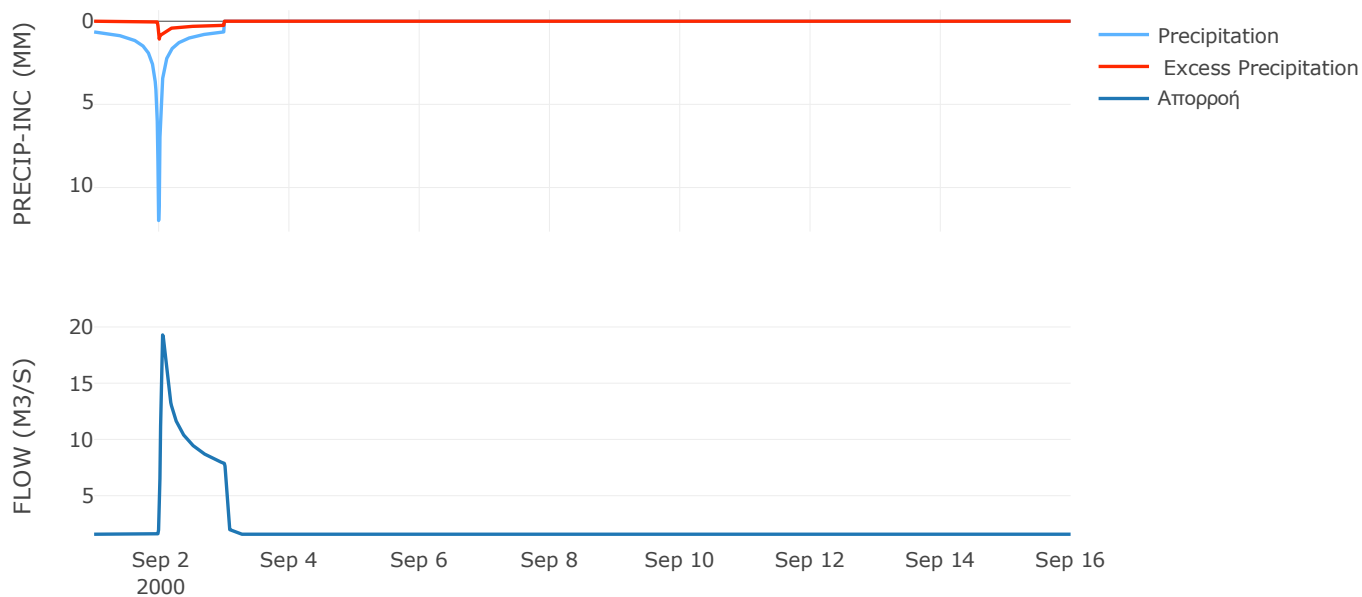
Μέθοδος
Μετασχηματισμού: SCS

Χρόνος Υστέρησης	45.52
------------------	-------

Αποτελέσματα:
EL0513FR7014

Παροχή αιχμής (M3/S)	19.29
Χρονική στιγμή αιχμής	02Sep2000, 01:15
Όγκος (MM)	126.06
Όγκος βροχόπτωσης (M3)	6.27E6
Όγκος απωλειών (M3)	5.48E6
Ενεργός Όγκος (M3)	7.94E5
Όγκος άμεσης απορροής (M3)	7.94E5
Όγκος βασικής απορροής (M3)	2.04E6

Βροχόπτωση και Απορροή



Υπολεκάνη: EL0513FR7015

Έκταση (KM2) : 54.51

Κατάντη : J6

Μέθοδος Απωλειών: SCS

Ποσοστό αδιαπέρατης επιφάνειας	0
Αριθμός Καμπύλης Απορροής-CN	43.13
Αρχικές Απώλειες	66.98

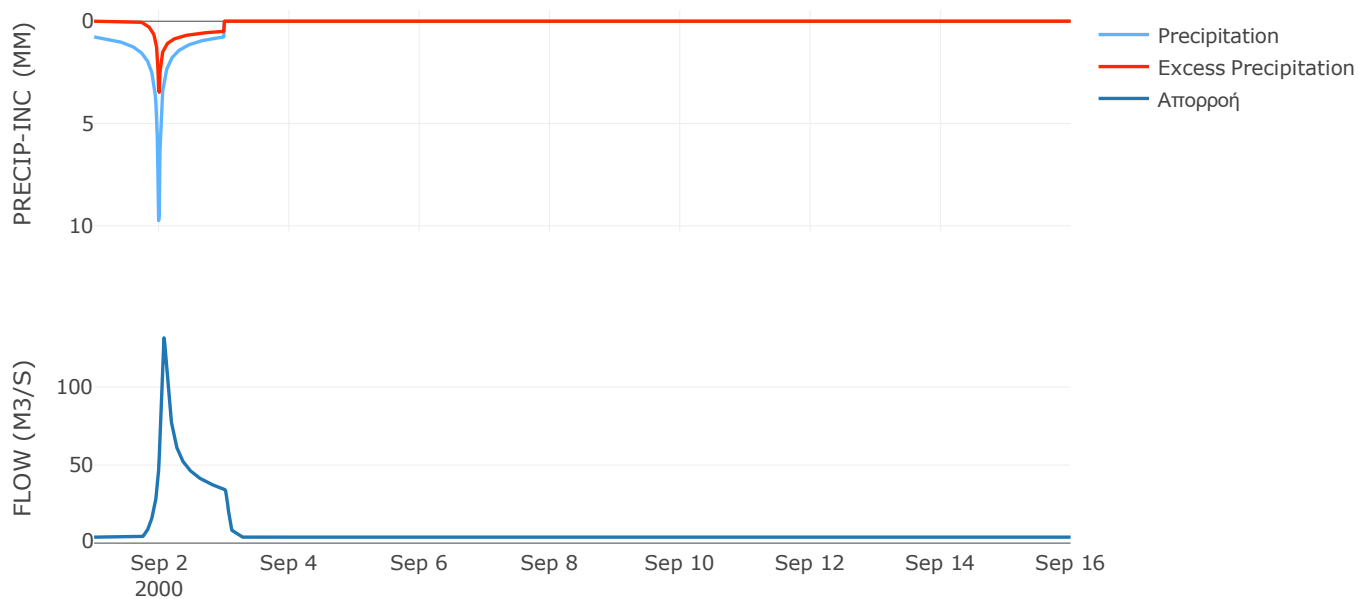
Μέθοδος
Μετασχηματισμού: SCS

Χρόνος Υστέρησης	82.18
------------------	-------

Αποτελέσματα:
EL0513FR7015

Παροχή αιχμής (M3/S)	131.52
Χρονική στιγμή αιχμής	02Sep2000, 01:45
Όγκος (MM)	183.18
Όγκος βροχόπτωσης (M3)	1.61E7
Όγκος απωλειών (M3)	1.1E7
Ενεργός Όγκος (M3)	5.04E6
Όγκος άμεσης απορροής (M3)	5.04E6
Όγκος βασικής απορροής (M3)	4.95E6

Βροχόπτωση και Απορροή



Υπολεκάνη: EL0513FR7016

Έκταση (KM2) : 13.52

Κατάντη : J4

Μέθοδος Απωλειών: SCS

Ποσοστό αδιαπέρατης επιφάνειας	0
Αριθμός Καμπύλης Απορροής-CN	30
Αρχικές Απώλειες	118.53

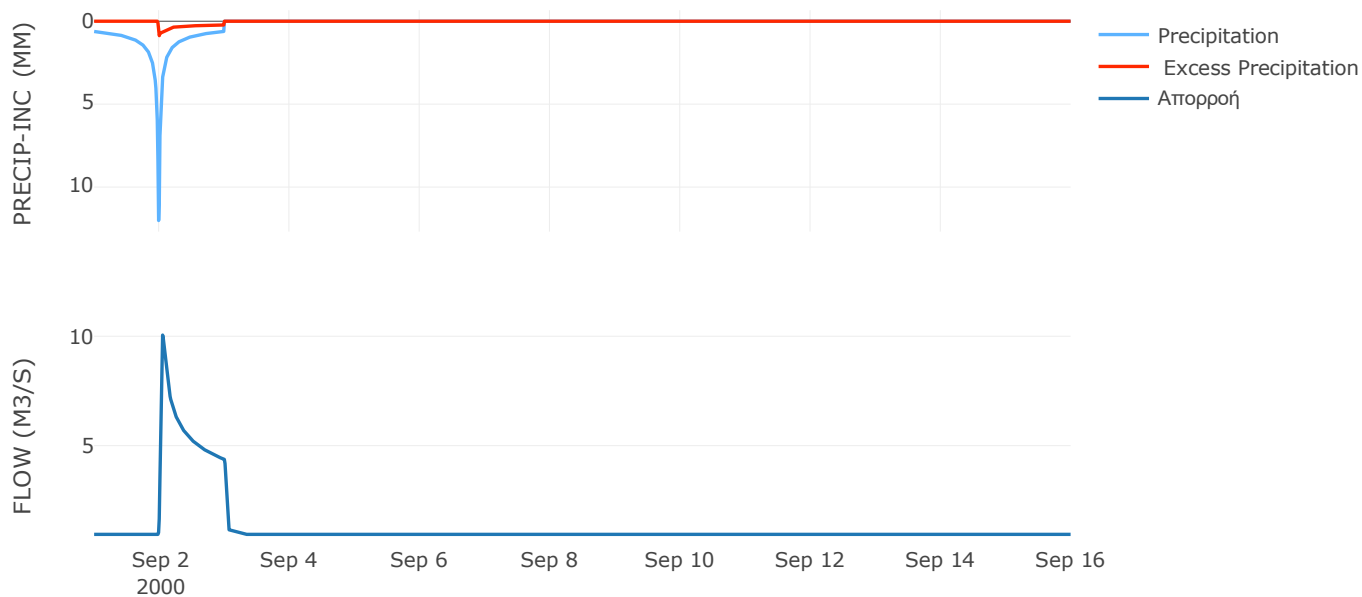
Μέθοδος
Μετασχηματισμού: SCS

Χρόνος Υστέρησης	38.47
------------------	-------

Αποτελέσματα:
EL0513FR7016

Παροχή αιχμής (M3/S)	10.05
Χρονική στιγμή αιχμής	02Sep2000, 01:15
Όγκος (MM)	121.96
Όγκος βροχόπτωσης (M3)	3.66E6
Όγκος απωλειών (M3)	3.24E6
Ενεργός Όγκος (M3)	4.22E5
Όγκος άμεσης απορροής (M3)	4.22E5
Όγκος βασικής απορροής (M3)	1.23E6

Βροχόπτωση και Απορροή



Υπολεκάνη: EL0513FR7017

Έκταση (KM2) : 45.33

Κατάντη : J5

Μέθοδος Απωλειών: SCS

Ποσοστό αδιαπέρατης επιφάνειας	0
Αριθμός Καμπύλης Απορροής-CN	30
Αρχικές Απώλειες	118.53

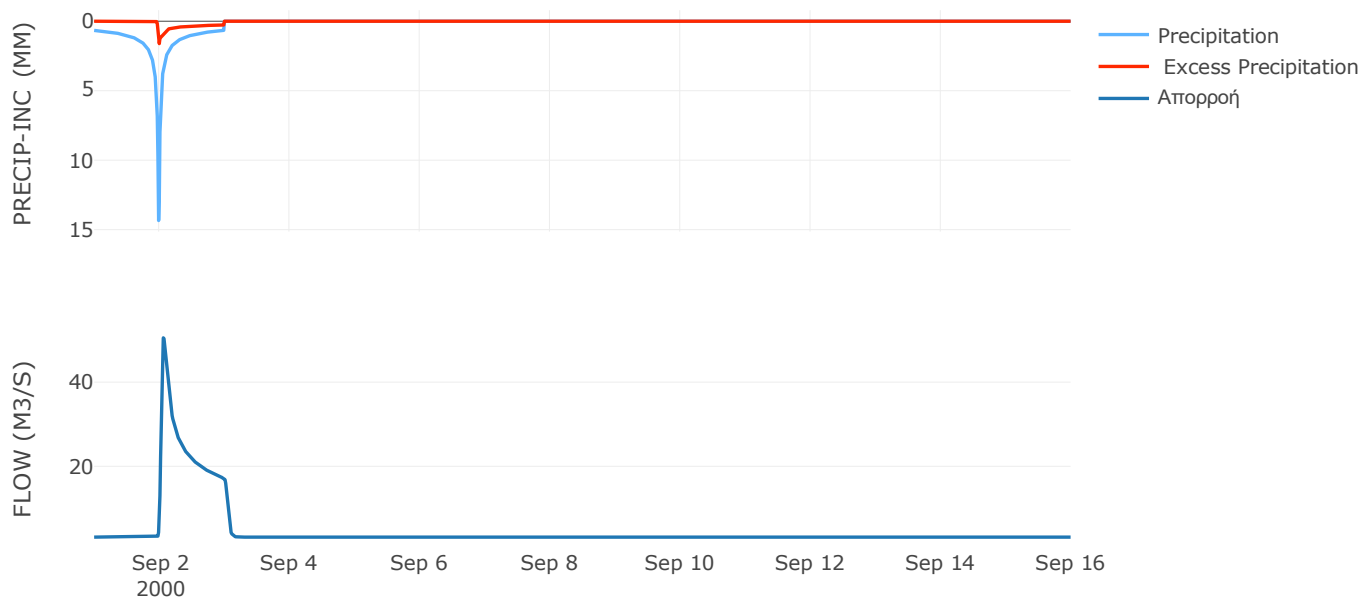
Μέθοδος
Μετασχηματισμού: SCS

Χρόνος Υστέρησης	61.55
------------------	-------

Αποτελέσματα:
EL0513FR7017

Παροχή αιχμής (M3/S)	50.53
Χρονική στιγμή αιχμής	02Sep2000, 01:30
Όγκος (MM)	133.36
Όγκος βροχόπτωσης (M3)	1.36E7
Όγκος απωλειών (M3)	1.17E7
Ενεργός Όγκος (M3)	1.93E6
Όγκος άμεσης απορροής (M3)	1.93E6
Όγκος βασικής απορροής (M3)	4.11E6

Βροχόπτωση και Απορροή



Υπολεκάνη: EL0513FR7018

Έκταση (KM2) : 32.48

Κατάντη : J10

Μέθοδος Απωλειών: SCS

Ποσοστό αδιαπέρατης επιφάνειας	0
Αριθμός Καμπύλης Απορροής-CN	32.62
Αρχικές Απώλειες	104.95

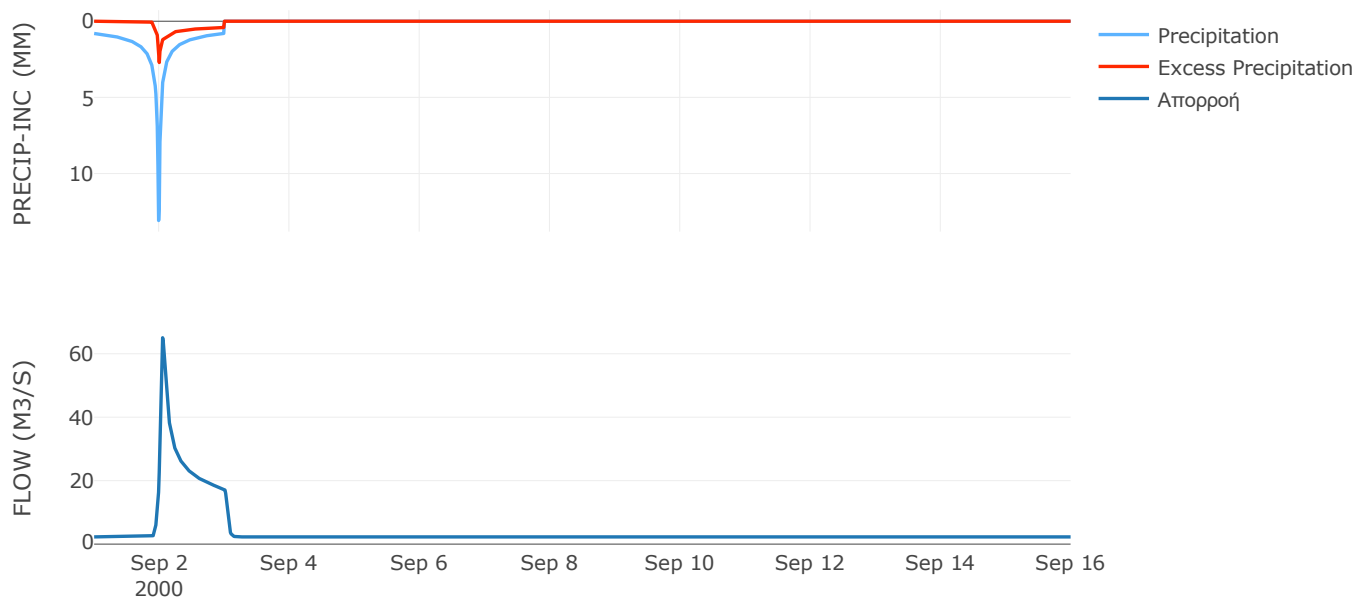
Μέθοδος
Μετασχηματισμού: SCS

Χρόνος Υστέρησης	57.41
------------------	-------

Αποτελέσματα:
EL0513FR7018

Παροχή αιχμής (M3/S)	65.05
Χρονική στιγμή αιχμής	02Sep2000, 01:15
Όγκος (MM)	159.97
Όγκος βροχόπτωσης (M3)	1.08E7
Όγκος απωλειών (M3)	8.58E6
Ενεργός Όγκος (M3)	2.25E6
Όγκος άμεσης απορροής (M3)	2.25E6
Όγκος βασικής απορροής (M3)	2.95E6

Βροχόπτωση και Απορροή



Υπολεκάνη: EL0513FR7019

Έκταση (KM2) : 40.09

Κατάντη : J12

Μέθοδος Απωλειών: SCS

Ποσοστό αδιαπέρατης επιφάνειας	0
Αριθμός Καμπύλης Απορροής-CN	45.56
Αρχικές Απώλειες	60.69

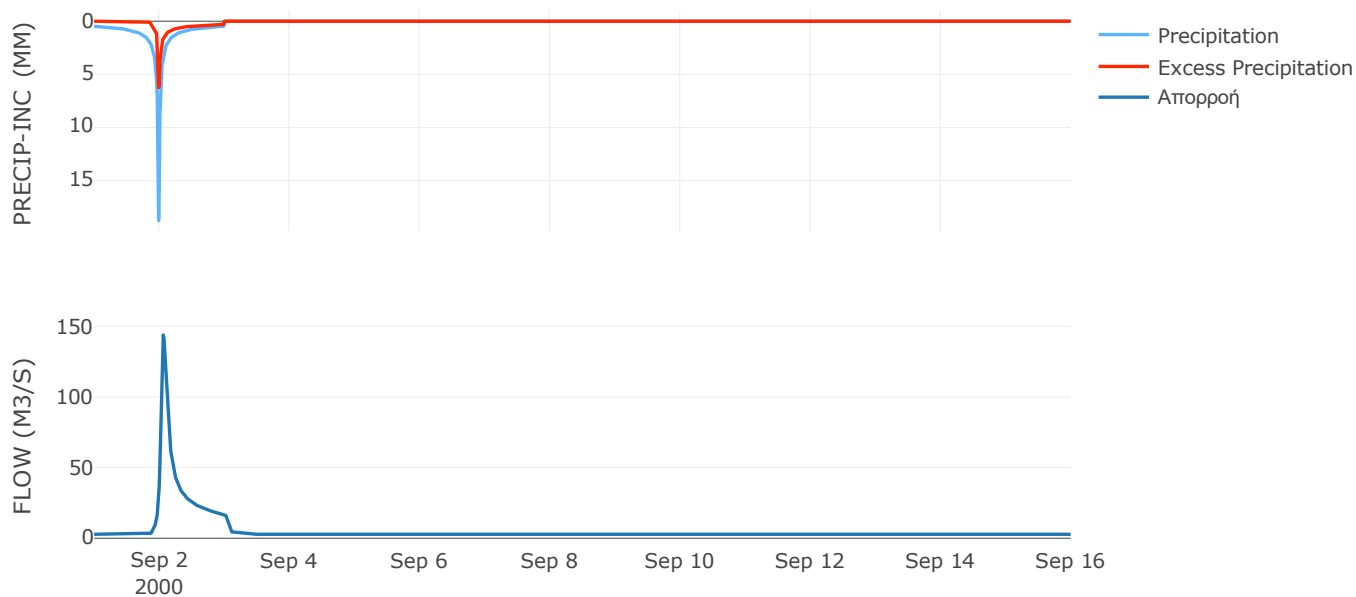
Μέθοδος
Μετασχηματισμού: SCS

Χρόνος Υστέρησης	77.22
------------------	-------

Αποτελέσματα:
EL0513FR7019

Παροχή αιχμής (M3/S)	143.99
Χρονική στιγμή αιχμής	02Sep2000, 01:30
Όγκος (MM)	174.39
Όγκος βροχόπτωσης (M3)	1.07E7
Όγκος απωλειών (M3)	7.36E6
Ενεργός Όγκος (M3)	3.35E6
Όγκος άμεσης απορροής (M3)	3.35E6
Όγκος βασικής απορροής (M3)	3.64E6

Βροχόπτωση και Απορροή



Υπολεκάνη: EL0513FR7020

Έκταση (KM2) : 21.52

Κατάνη : J11

Μέθοδος Απωλειών: SCS

Ποσοστό αδιαπέρατης επιφάνειας	0
Αριθμός Καμπύλης Απορροής-CN	38.61
Αρχικές Απώλειες	80.78

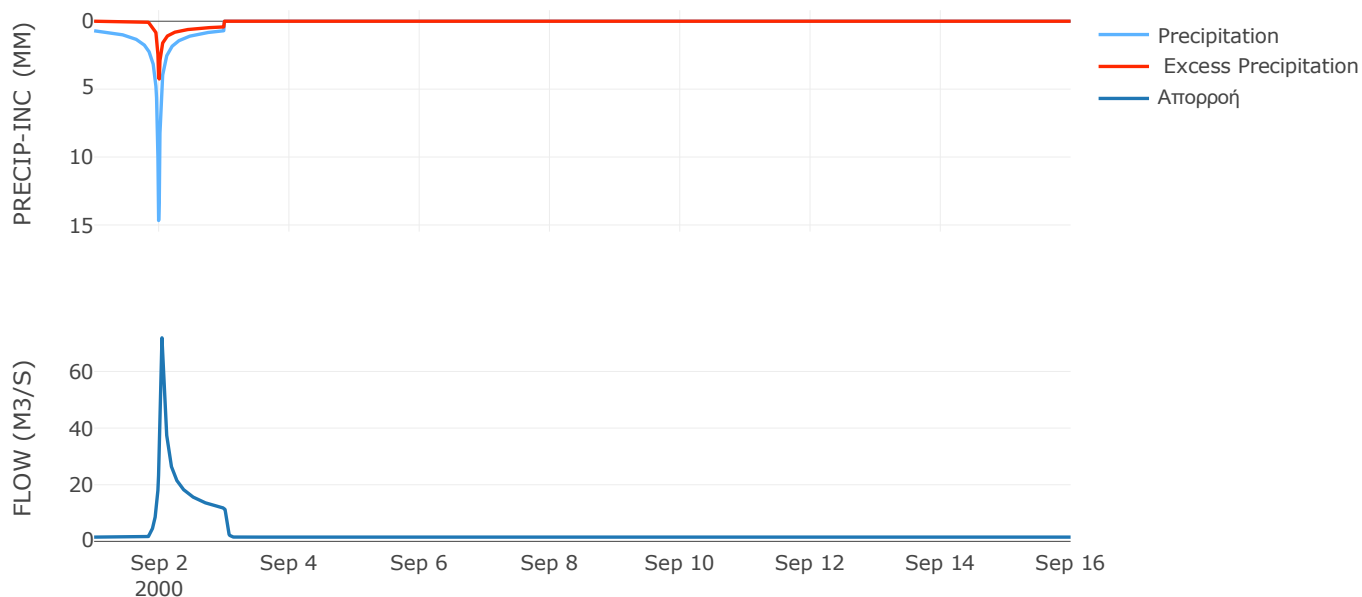
Μέθοδος
Μετασχηματισμού: SCS

Χρόνος Υστέρησης	44.22
------------------	-------

Αποτελέσματα:
EL0513FR7020

Παροχή αιχμής (M3/S)	71.89
Χρονική στιγμή αιχμής	02Sep2000, 01:00
Όγκος (MM)	177.15
Όγκος βροχόπτωσης (M3)	6.79E6
Όγκος απωλειών (M3)	4.93E6
Ενεργός Όγκος (M3)	1.86E6
Όγκος άμεσης απορροής (M3)	1.86E6
Όγκος βασικής απορροής (M3)	1.95E6

Βροχόπτωση και Απορροή



Υπολεκάνη: EL0513FR7021

Έκταση (KM2) : 23.01

Κατάνη : J12

Μέθοδος Απωλειών: SCS

Ποσοστό αδιαπέρατης επιφάνειας	0
Αριθμός Καμπύλης Απορροής-CN	34.9
Αρχικές Απώλειες	94.78

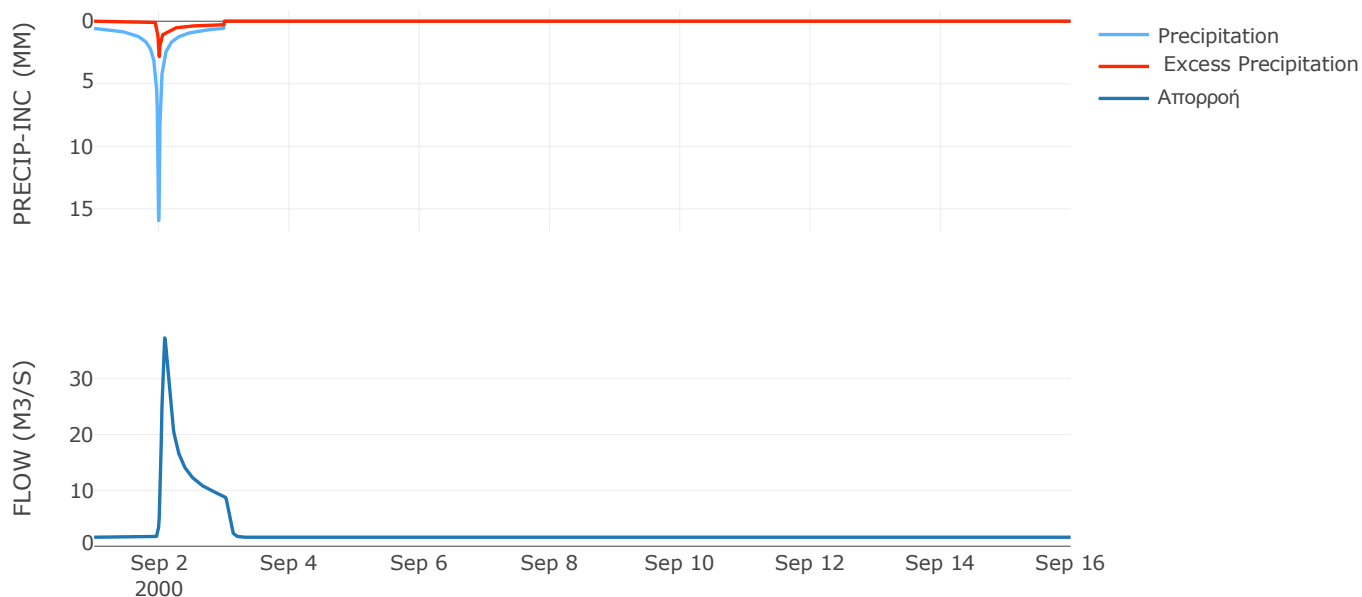
Μέθοδος
Μετασχηματισμού: SCS

Χρόνος Υστέρησης	88.7
------------------	------

Αποτελέσματα:
EL0513FR7021

Παροχή αιχμής (M3/S)	37.31
Χρονική στιγμή αιχμής	02Sep2000, 02:00
Όγκος (MM)	144.67
Όγκος βροχόπτωσης (M3)	6.53E6
Όγκος απωλειών (M3)	5.29E6
Ενεργός Όγκος (M3)	1.24E6
Όγκος άμεσης απορροής (M3)	1.24E6
Όγκος βασικής απορροής (M3)	2.09E6

Βροχόπτωση και Απορροή



Υπολεκάνη: EL0513FR7022

Έκταση (KM2) : 10.49

Κατάνη : J10

Μέθοδος Απωλειών: SCS

Ποσοστό αδιαπέρατης επιφάνειας	0
Αριθμός Καμπύλης Απορροής-CN	38.35
Αρχικές Απώλειες	81.65

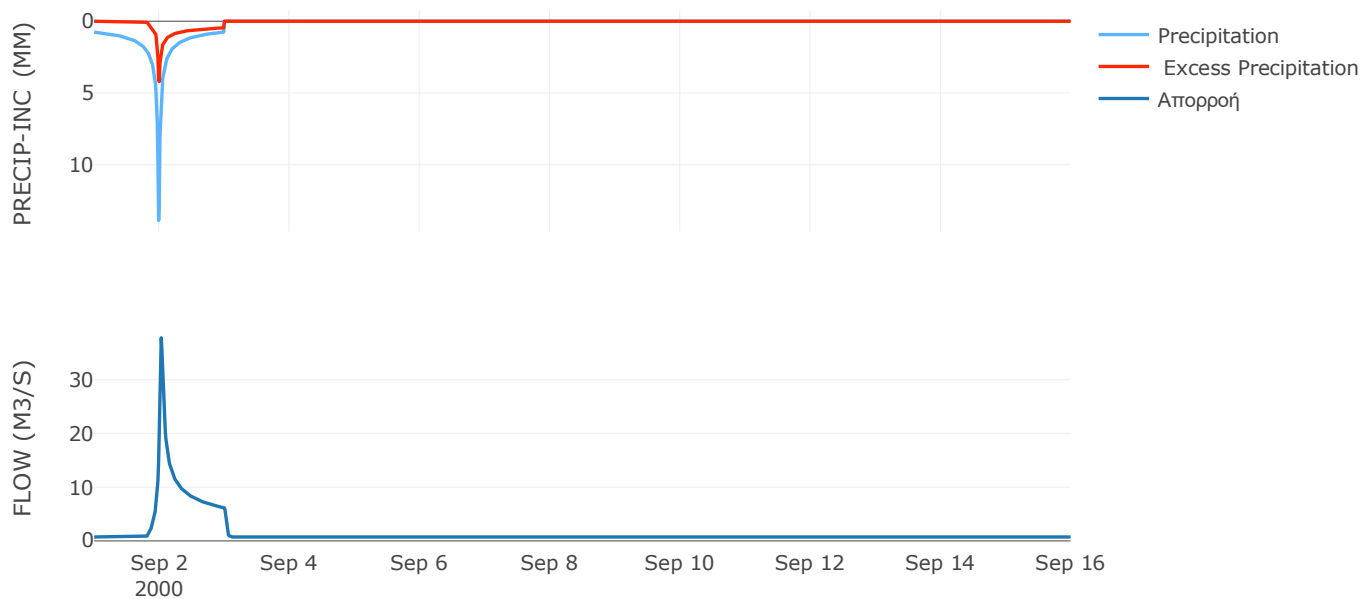
Μέθοδος
Μετασχηματισμού: SCS

Χρόνος Υστέρησης	34.7
------------------	------

Αποτελέσματα:
EL0513FR7022

Παροχή αιχμής (M3/S)	37.83
Χρονική στιγμή αιχμής	02Sep2000, 00:45
Όγκος (MM)	182.42
Όγκος βροχόπτωσης (M3)	3.42E6
Όγκος απωλειών (M3)	2.46E6
Ενεργός Όγκος (M3)	9.62E5
Όγκος άμεσης απορροής (M3)	9.62E5
Όγκος βασικής απορροής (M3)	9.52E5

Βροχόπτωση και Απορροή



Υπολεκάνη: EL0513FR7023

Έκταση (KM2) : 25.04

Κατάντη : J8

Μέθοδος Απωλειών: SCS

Ποσοστό αδιαπέρατης επιφάνειας	0
Αριθμός Καμπύλης Απορροής-CN	45.76
Αρχικές Απώλειες	60.21

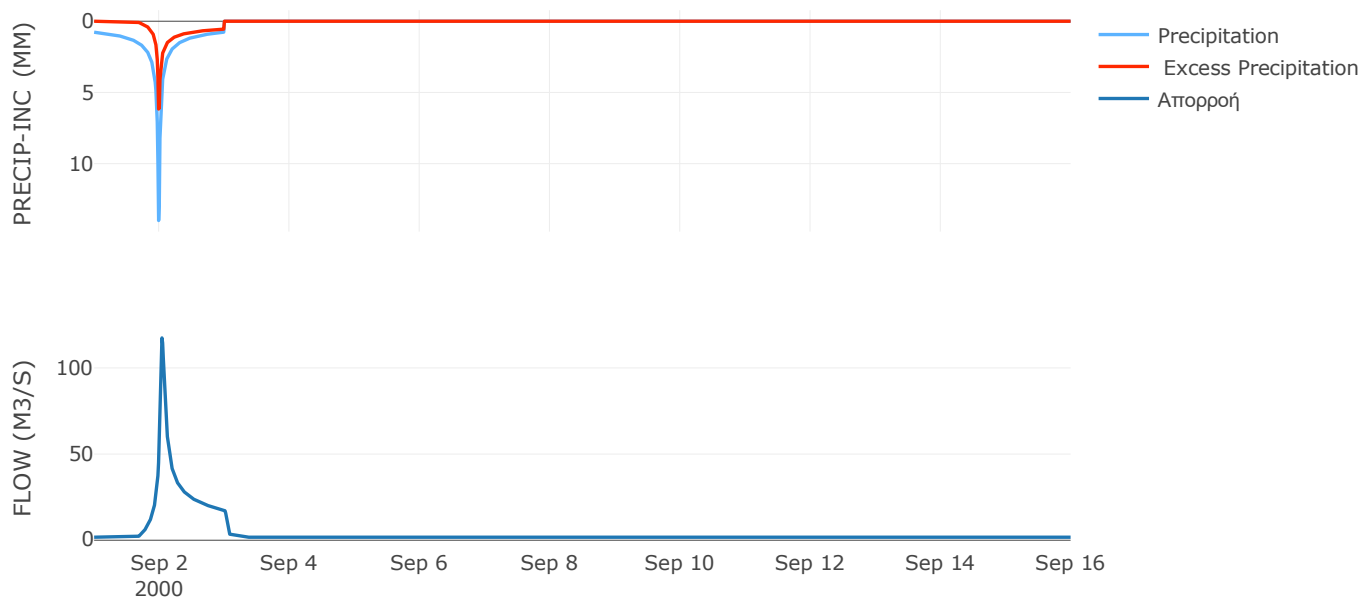
Μέθοδος
Μετασχηματισμού: SCS

Χρόνος Υστέρησης	53.68
------------------	-------

Αποτελέσματα:
EL0513FR7023

Παροχή αιχμής (M3/S)	117.42
Χρονική στιγμή αιχμής	02Sep2000, 01:00
Όγκος (MM)	219.03
Όγκος βροχόπτωσης (M3)	8.29E6
Όγκος απωλειών (M3)	5.08E6
Ενεργός Όγκος (M3)	3.21E6
Όγκος άμεσης απορροής (M3)	3.21E6
Όγκος βασικής απορροής (M3)	2.27E6

Βροχόπτωση και Απορροή



Υπολεκάνη: EL0513FR7024

Έκταση (KM2) : 52.1

Κατάντη : J7

Μέθοδος Απωλειών: SCS

Ποσοστό αδιαπέρατης επιφάνειας	0
Αριθμός Καμπύλης Απορροής-CN	44.95
Αρχικές Απώλειες	62.23

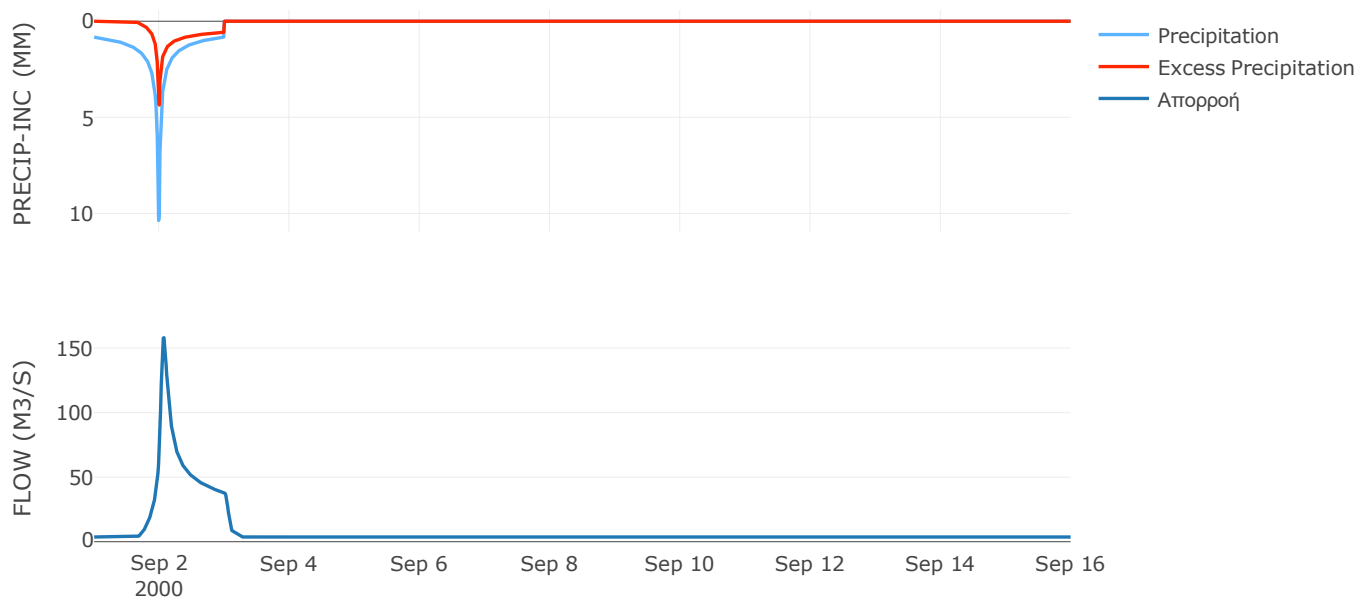
Μέθοδος
Μετασχηματισμού: SCS

Χρόνος Υστέρησης	82.73
------------------	-------

Αποτελέσματα:
EL0513FR7024

Παροχή αιχμής (M3/S)	158.04
Χρονική στιγμή αιχμής	02Sep2000, 01:45
Όγκος (MM)	205.4
Όγκος βροχόπτωσης (M3)	1.65E7
Όγκος απωλειών (M3)	1.05E7
Ενεργός Όγκος (M3)	5.98E6
Όγκος άμεσης απορροής (M3)	5.98E6
Όγκος βασικής απορροής (M3)	4.73E6

Βροχόπτωση και Απορροή



Υπολεκάνη: EL0513FR7025

Έκταση (KM2) : 25.4

Κατάντη : J7

Μέθοδος Απωλειών: SCS

Ποσοστό αδιαπέρατης επιφάνειας	0
Αριθμός Καμπύλης Απορροής-CN	54.06
Αρχικές Απώλειες	43.18

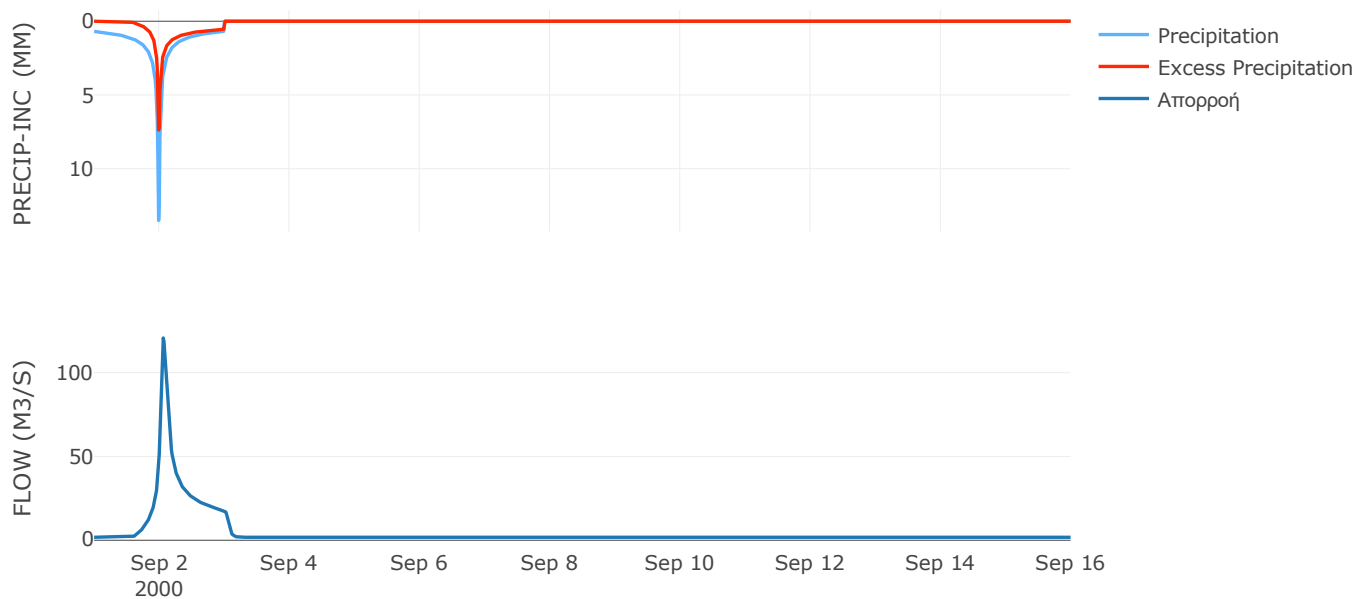
Μέθοδος
Μετασχηματισμού: SCS

Χρόνος Υστέρησης	80.14
------------------	-------

Αποτελέσματα:
EL0513FR7025

Παροχή αιχμής (M3/S)	120.7
Χρονική στιγμή αιχμής	02Sep2000, 01:30
Όγκος (MM)	232.59
Όγκος βροχόπτωσης (M3)	7.69E6
Όγκος απωλειών (M3)	4.09E6
Ενεργός Όγκος (M3)	3.6E6
Όγκος άμεσης απορροής (M3)	3.6E6
Όγκος βασικής απορροής (M3)	2.3E6

Βροχόπτωση και Απορροή



Υπολεκάνη: EL0513FR7026

Έκταση (KM2) : 15.52

Κατάντη : J9

Μέθοδος Απωλειών: SCS

Ποσοστό αδιαπέρατης επιφάνειας	0
Αριθμός Καμπύλης Απορροής-CN	64.2
Αρχικές Απώλειες	28.32

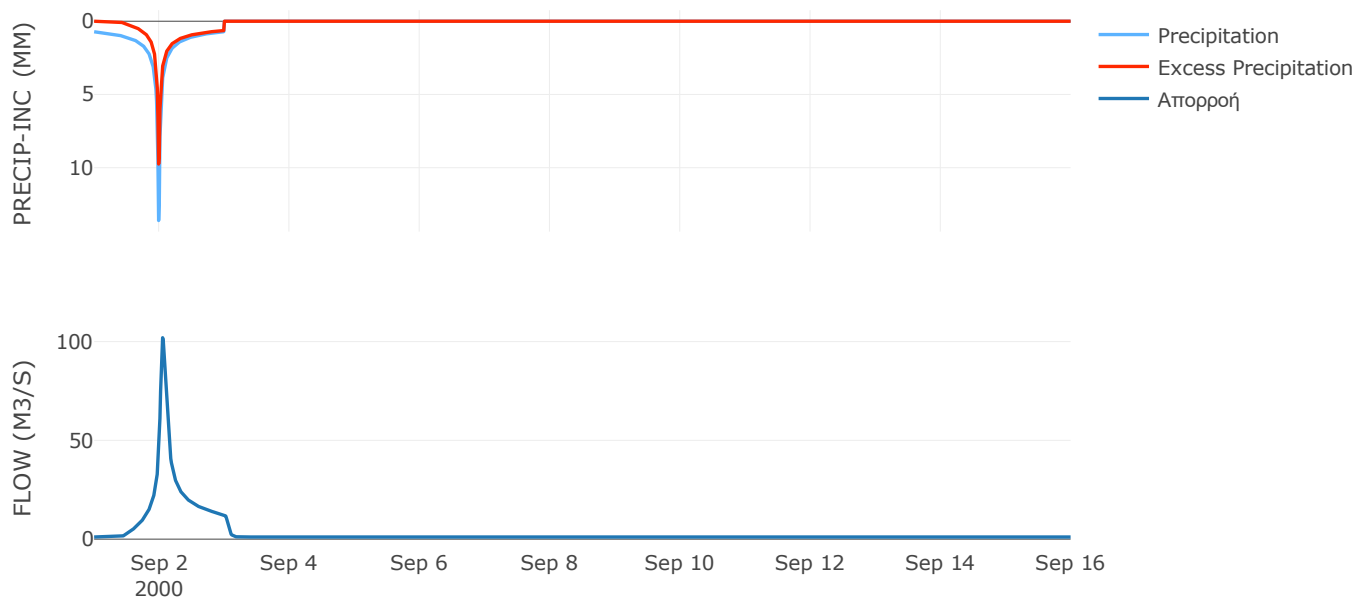
Μέθοδος
Μετασχηματισμού: SCS

Χρόνος Υστέρησης	71.44
------------------	-------

Αποτελέσματα:
EL0513FR7026

Παροχή αιχμής (M3/S)	101.97
Χρονική στιγμή αιχμής	02Sep2000, 01:15
Όγκος (MM)	280.75
Όγκος βροχόπτωσης (M3)	4.86E6
Όγκος απωλειών (M3)	1.91E6
Ενεργός Όγκος (M3)	2.95E6
Όγκος άμεσης απορροής (M3)	2.95E6
Όγκος βασικής απορροής (M3)	1.41E6

Βροχόπτωση και Απορροή



Υπολεκάνη: EL0513FR7027

Έκταση (KM2) : 34.03

Κατάντη : J9

Μέθοδος Απωλειών: SCS

Ποσοστό αδιαπέρατης επιφάνειας	0
Αριθμός Καμπύλης Απορροής-CN	46.76
Αρχικές Απώλειες	57.85

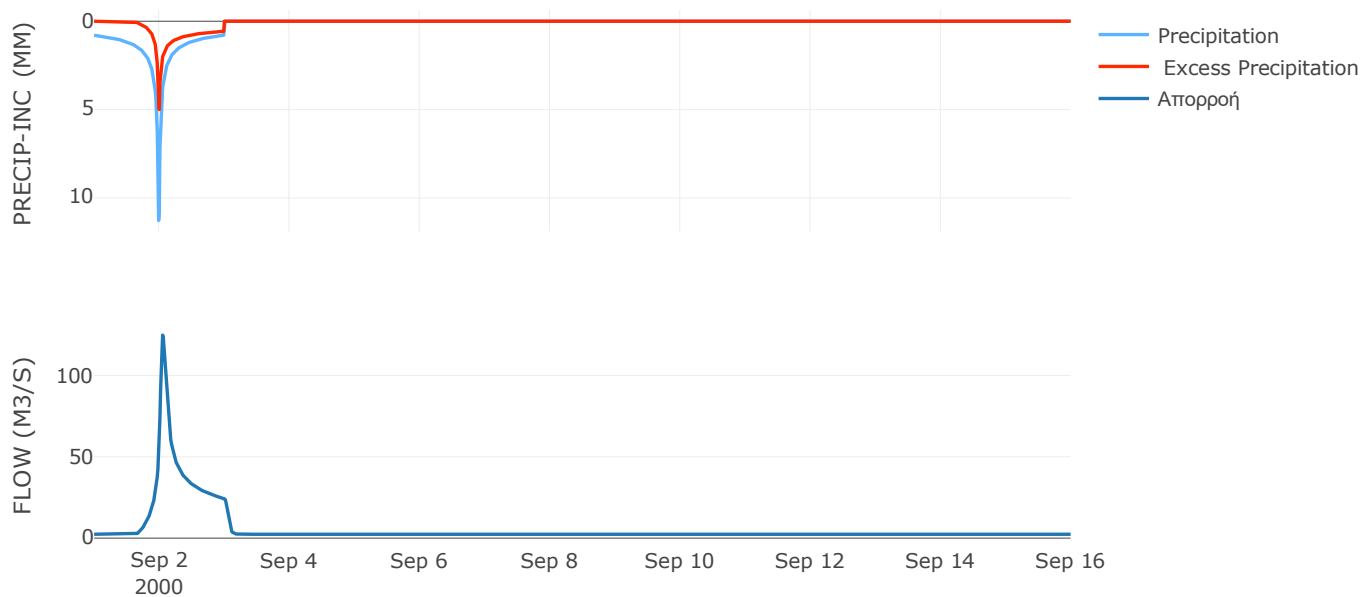
Μέθοδος
Μετασχηματισμού: SCS

Χρόνος Υστέρησης	67.22
------------------	-------

Αποτελέσματα:
EL0513FR7027

Παροχή αιχμής (M3/S)	124.8
Χρονική στιγμή αιχμής	02Sep2000, 01:15
Όγκος (MM)	211.66
Όγκος βροχόπτωσης (M3)	1.07E7
Όγκος απωλειών (M3)	6.6E6
Ενεργός Όγκος (M3)	4.12E6
Όγκος άμεσης απορροής (M3)	4.12E6
Όγκος βασικής απορροής (M3)	3.09E6

Βροχόπτωση και Απορροή



Υπολεκάνη: EL0513FR7028

Έκταση (KM2) : 71.91

Κατάντη : J13

Μέθοδος Απωλειών: SCS

Ποσοστό αδιαπέρατης επιφάνειας	0
Αριθμός Καμπύλης Απορροής-CN	45.15
Αρχικές Απώλειες	61.72

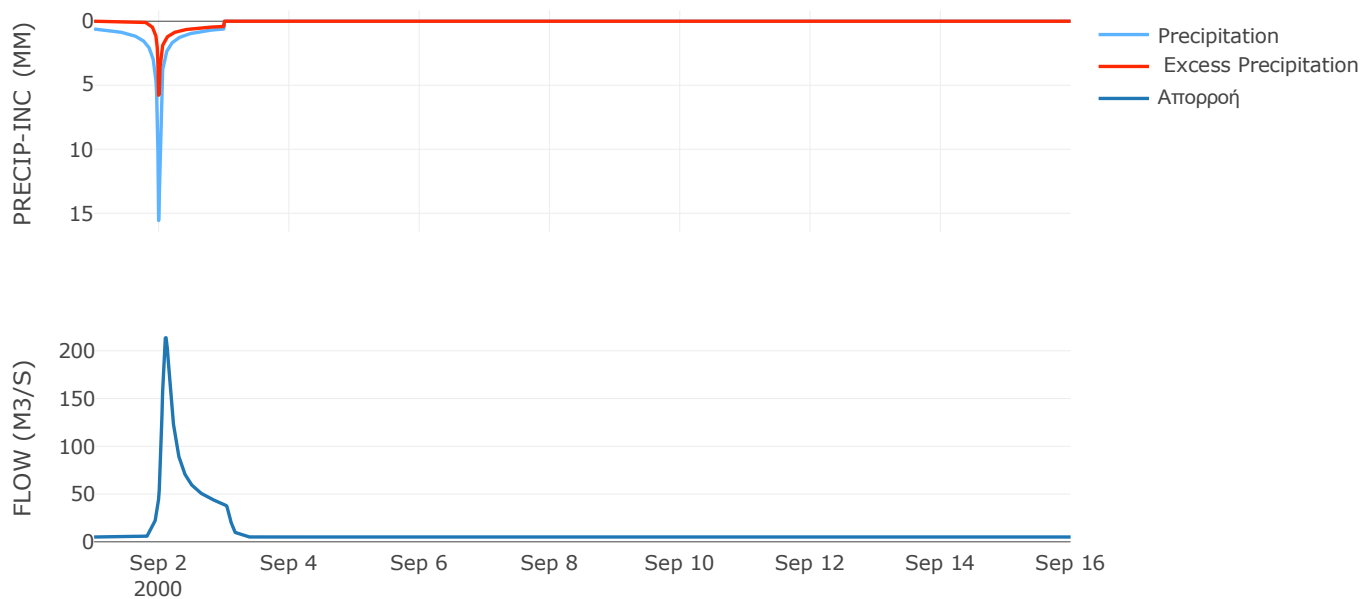
Μέθοδος
Μετασχηματισμού: SCS

Χρόνος Υστέρησης	120.1
------------------	-------

Αποτελέσματα:
EL0513FR7028

Παροχή αιχμής (M3/S)	213.67
Χρονική στιγμή αιχμής	02Sep2000, 02:30
Όγκος (MM)	189.84
Όγκος βροχόπτωσης (M3)	2.11E7
Όγκος απωλειών (M3)	1.39E7
Ενεργός Όγκος (M3)	7.13E6
Όγκος άμεσης απορροής (M3)	7.13E6
Όγκος βασικής απορροής (M3)	6.52E6

Βροχόπτωση και Απορροή



Υπολεκάνη: EL0513FR7029

Έκταση (KM2) : 1.99

Κατάντη : J3

Μέθοδος Απωλειών: SCS

Ποσοστό αδιαπέρατης επιφάνειας	0
Αριθμός Καμπύλης Απορροής-CN	59.98
Αρχικές Απώλειες	33.9

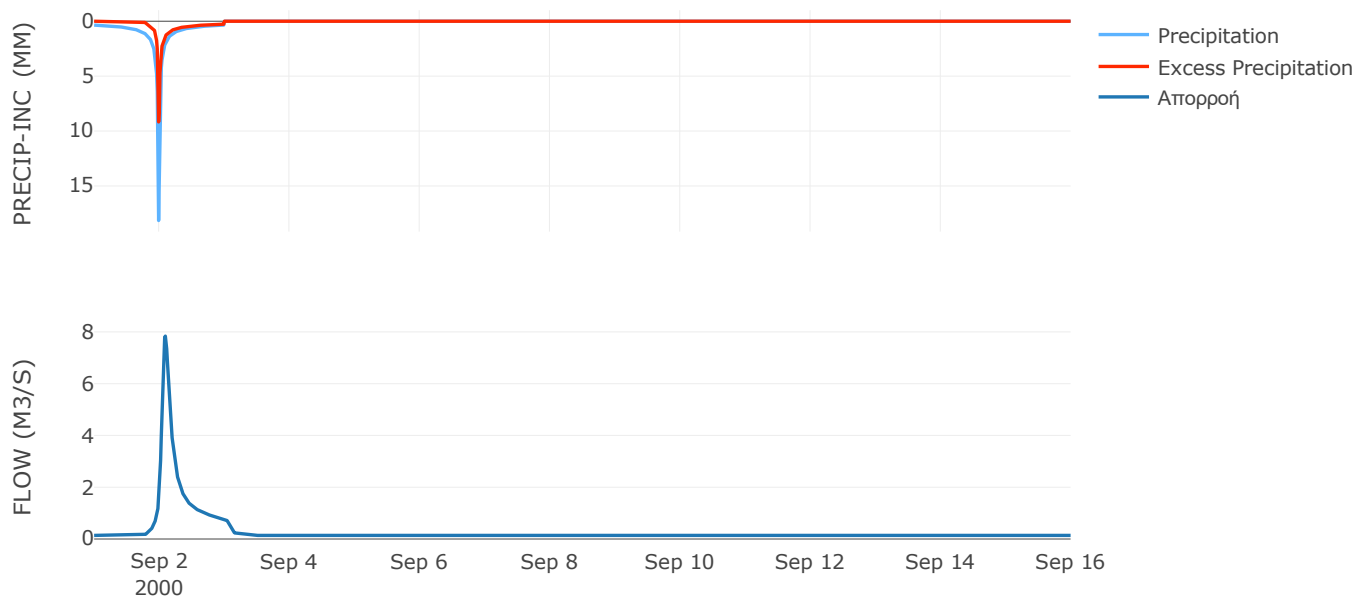
Μέθοδος
Μετασχηματισμού: SCS

Χρόνος Υστέρησης	116.24
------------------	--------

Αποτελέσματα:
EL0513FR7029

Παροχή αιχμής (M3/S)	7.84
Χρονική στιγμή αιχμής	02Sep2000, 02:15
Όγκος (MM)	188.04
Όγκος βροχόπτωσης (M3)	4.36E5
Όγκος απωλειών (M3)	2.43E5
Ενεργός Όγκος (M3)	1.93E5
Όγκος άμεσης απορροής (M3)	1.93E5
Όγκος βασικής απορροής (M3)	1.8E5

Βροχόπτωση και Απορροή



6.2 Δεδομένα και υδρογραφήματα σχεδιασμού Κλάδων υδρογραφικού δικτύου

Κλάδος: R21

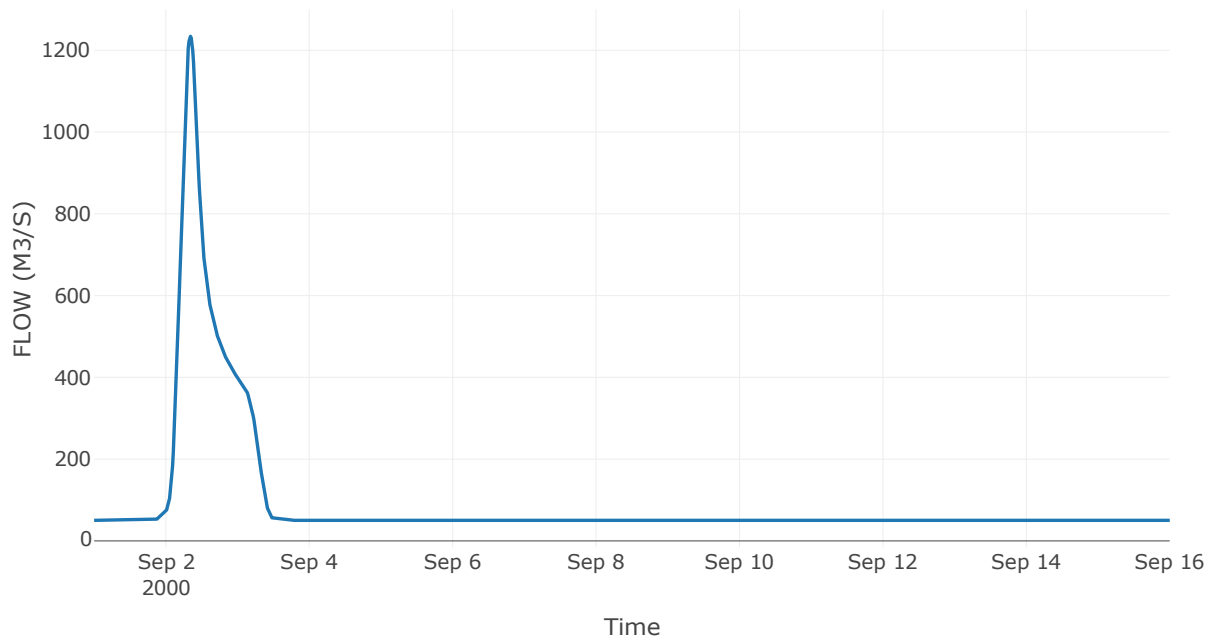
Κατάντη : J1

Μέθοδος Διόδευσης	Muskingum
Αρχική Μεταβλητή	Combined Inflow
Χρόνος Ροής K	1.73
Συντελεστής βάρους x	0.2
Πλήθος Υποκλάδων	7

Αποτελέσματα: R21

Παροχή αιχμής (M3/S)	1234.15
Χρονική στιγμή αιχμής	02Sep2000, 08:15
Όγκος (MM)	170.77
Παροχή Αιχμής Εισόδου (M3/S)	1248.49
Όγκος Εισροής (M3)	1.23E8

Απορροή



Κλάδος: R32

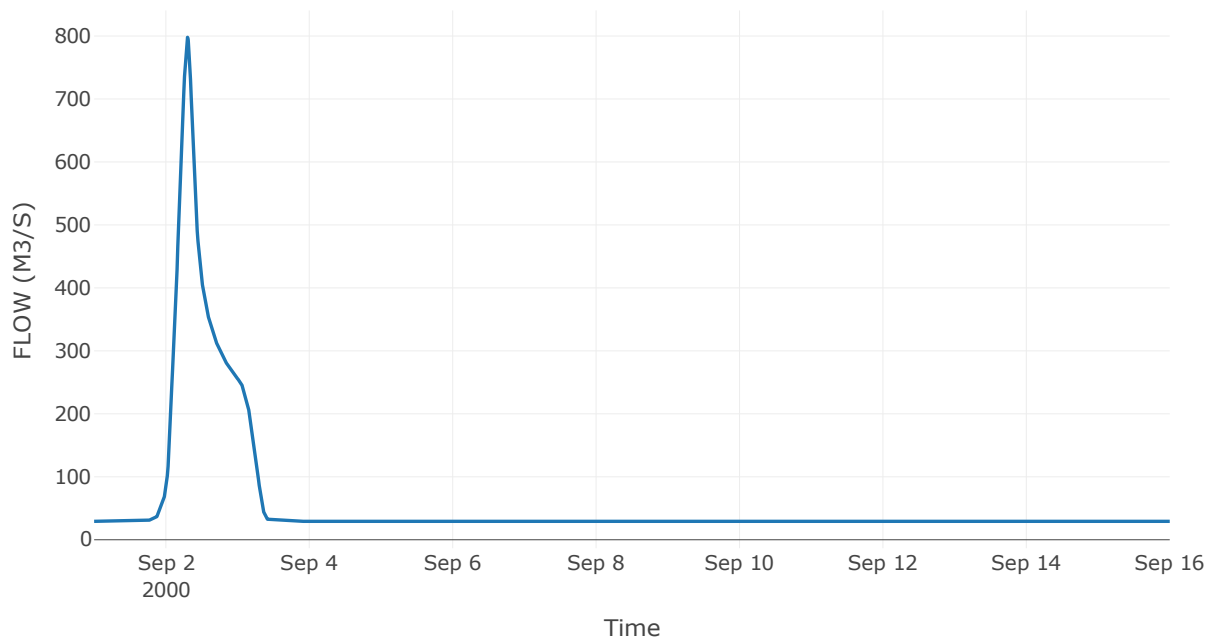
Κατάντη : J2

Μέθοδος Διόδευσης	Muskingum
Αρχική Μεταβλητή	Combined Inflow
Χρόνος Ροής Κ	0.87
Συντελεστής βάρους α	0.2
Πλήθος Υποκλάδων	4

Αποτελέσματα: R32

Παροχή αιχμής (M3/S)	797.94
Χρονική στιγμή αιχμής	02Sep2000, 07:15
Όγκος (MM)	179.33
Παροχή Αιχμής Εισόδου (M3/S)	805.7
Όγκος Εισροής (M3)	7.5E7

Απορροή



Κλάδος: R43

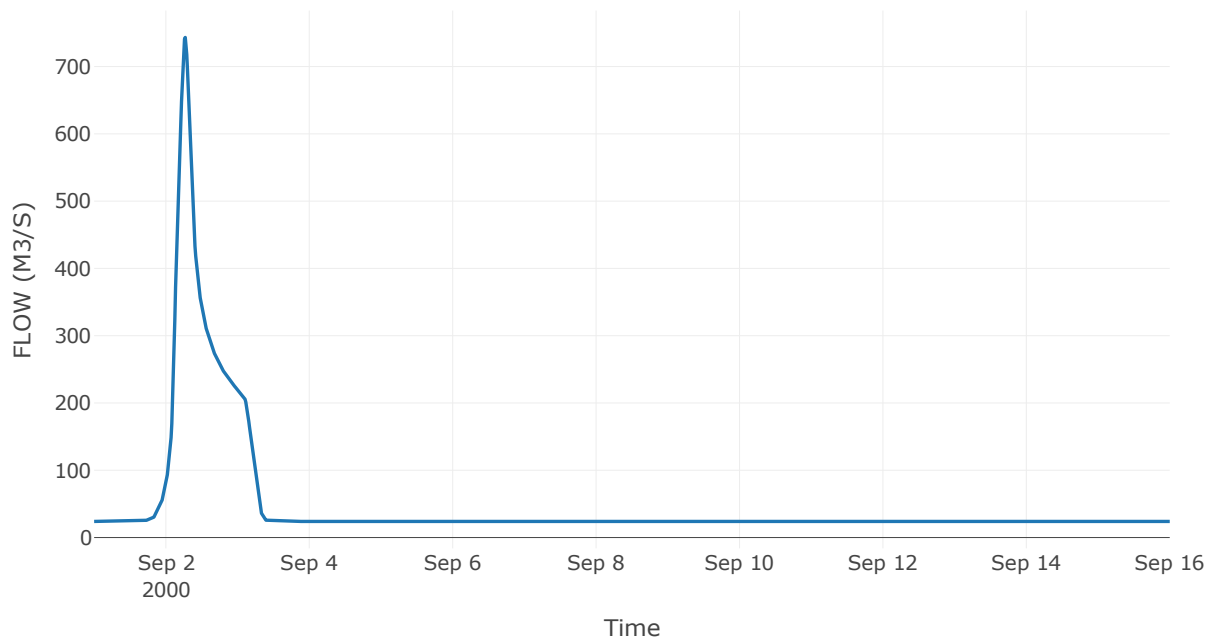
Κατάντη : J3

Μέθοδος Διόδευσης	Muskingum
Αρχική Μεταβλητή	Combined Inflow
Χρόνος Ροής K	2.08
Συντελεστής βάρους x	0.2
Πλήθος Υποκλάδων	9

Αποτελέσματα: R43

Παροχή αιχμής (M3/S)	743.26
Χρονική στιγμή αιχμής	02Sep2000, 06:30
Όγκος (MM)	185.43
Παροχή Αιχμής Εισόδου (M3/S)	771.18
Όγκος Εισροής (M3)	6.33E7

Απορροή



Κλάδος: R54

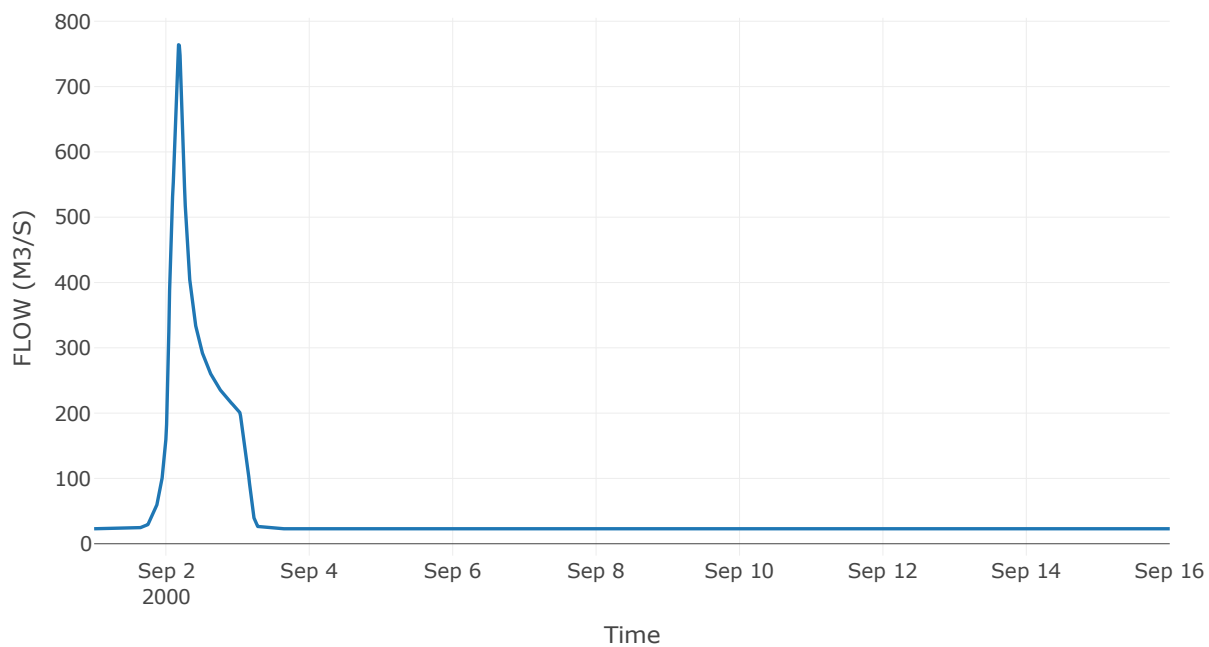
Κατάντη : J4

Μέθοδος Διόδευσης	Χρόνος
Αρχική Μεταβλητή	Combined Inflow
Χρόνος Υστέρησης	12.64

Αποτελέσματα: R54

Παροχή αιχμής (M3/S)	764.07
Χρονική στιγμή αιχμής	02Sep2000, 04:15
Όγκος (MM)	188.04
Παροχή Αιχμής Εισόδου (M3/S)	765.81
Όγκος Εισροής (M3)	6.17E7

Απορροή



Κλάδος: R65

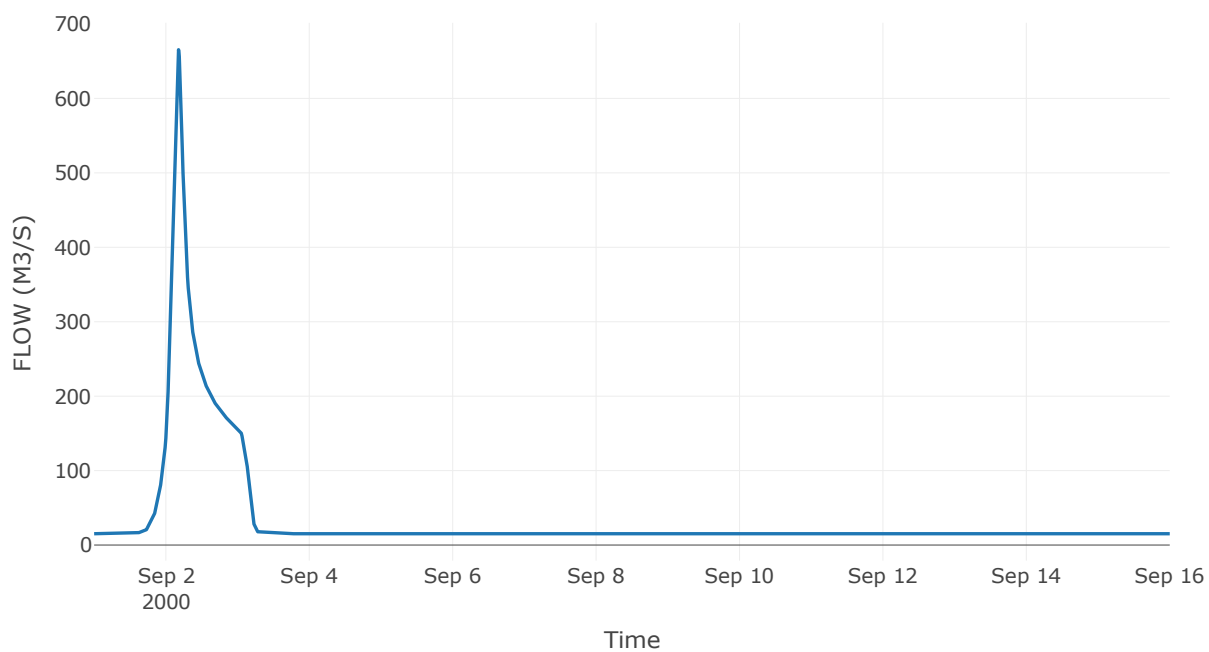
Κατάντη : J5

Μέθοδος Διόδευσης	Χρόνος
Αρχική Μεταβλητή	Combined Inflow
Χρόνος Υστέρησης	40.14

Αποτελέσματα: R65

Παροχή αιχμής (M3/S)	665.48
Χρονική στιγμή αιχμής	02Sep2000, 04:15
Όγκος (MM)	210.34
Παροχή Αιχμής Εισόδου (M3/S)	667.11
Όγκος Εισροής (M3)	4.57E7

Απορροή



Κλάδος: R76

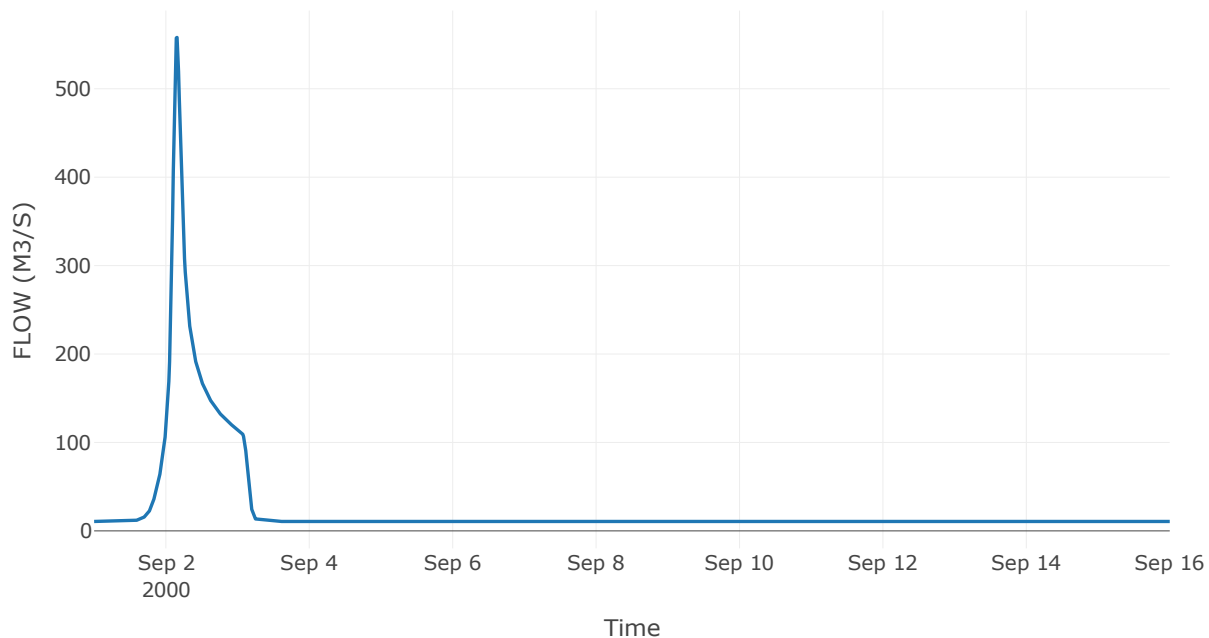
Κατάντη : J6

Μέθοδος Διόδευσης	Muskingum
Αρχική Μεταβλητή	Combined Inflow
Χρόνος Ροής K	1.58
Συντελεστής βάρους x	0.2
Πλήθος Υποκλάδων	7

Αποτελέσματα: R76

Παροχή αιχμής (M3/S)	558.03
Χρονική στιγμή αιχμής	02Sep2000, 03:45
Όγκος (MM)	221.27
Παροχή Αιχμής Εισόδου (M3/S)	593.86
Όγκος Εισροής (M3)	3.37E7

Απορροή



Κλάδος: R87

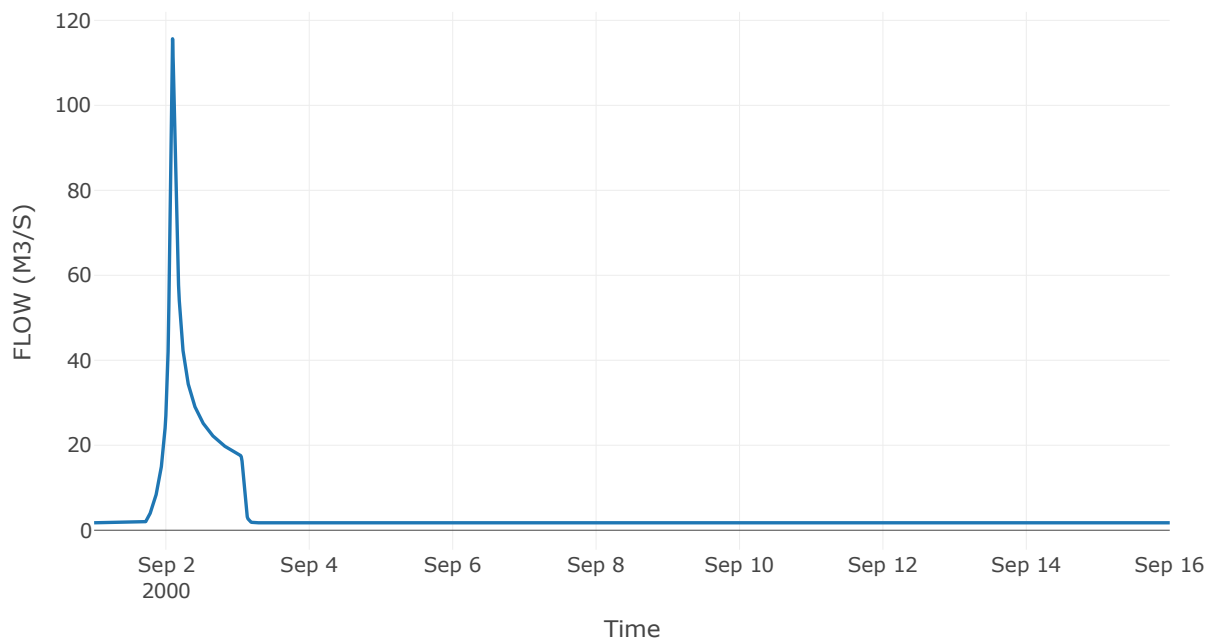
Κατάντη : J7

Μέθοδος Διόδευσης	Χρόνος
Αρχική Μεταβλητή	Combined Inflow
Χρόνος Υστέρησης	66.76

Αποτελέσματα: R87

Παροχή αιχμής (M3/S)	115.67
Χρονική στιγμή αιχμής	02Sep2000, 02:15
Όγκος (MM)	219.03
Παροχή Αιχμής Εισόδου (M3/S)	117.42
Όγκος Εισροής (M3)	5.48E6

Απορροή



Κλάδος: R97

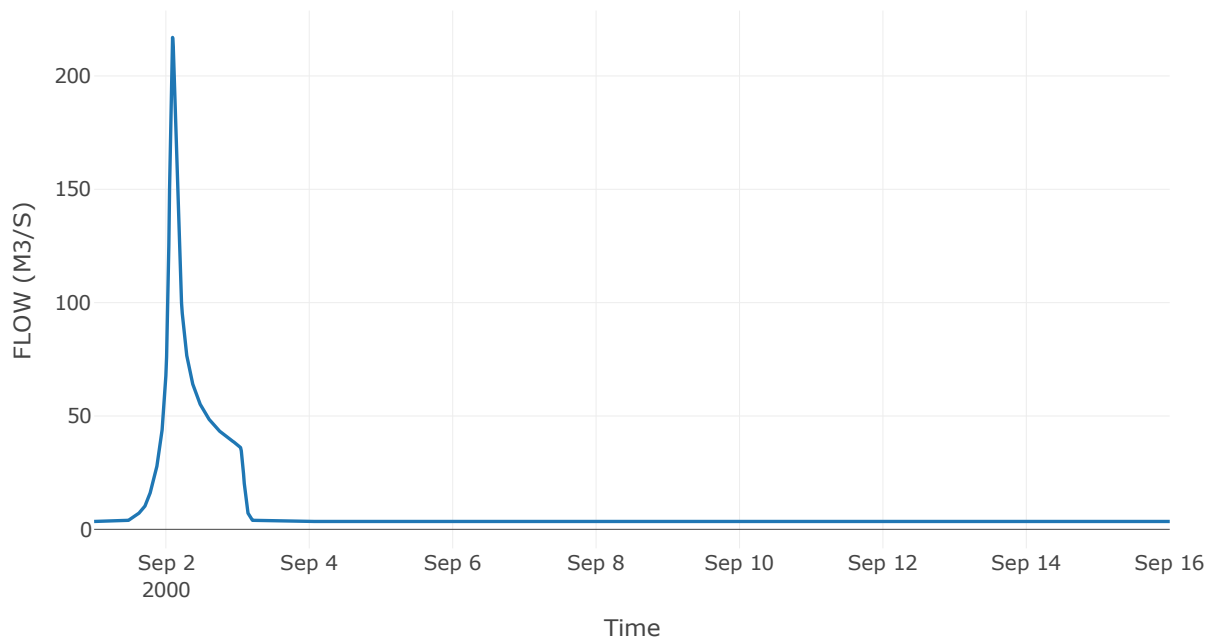
Κατάντη : J7

Μέθοδος Διόδευσης	Muskingum
Αρχική Μεταβλητή	Combined Inflow
Χρόνος Ροής K	0.89
Συντελεστής βάρους x	0.2
Πλήθος Υποκλάδων	4

Αποτελέσματα: R97

Παροχή αιχμής (M3/S)	216.98
Χρονική στιγμή αιχμής	02Sep2000, 02:15
Όγκος (MM)	233.3
Παροχή Αιχμής Εισόδου (M3/S)	226.77
Όγκος Εισροής (M3)	1.16E7

Απορροή



Κλάδος: R105

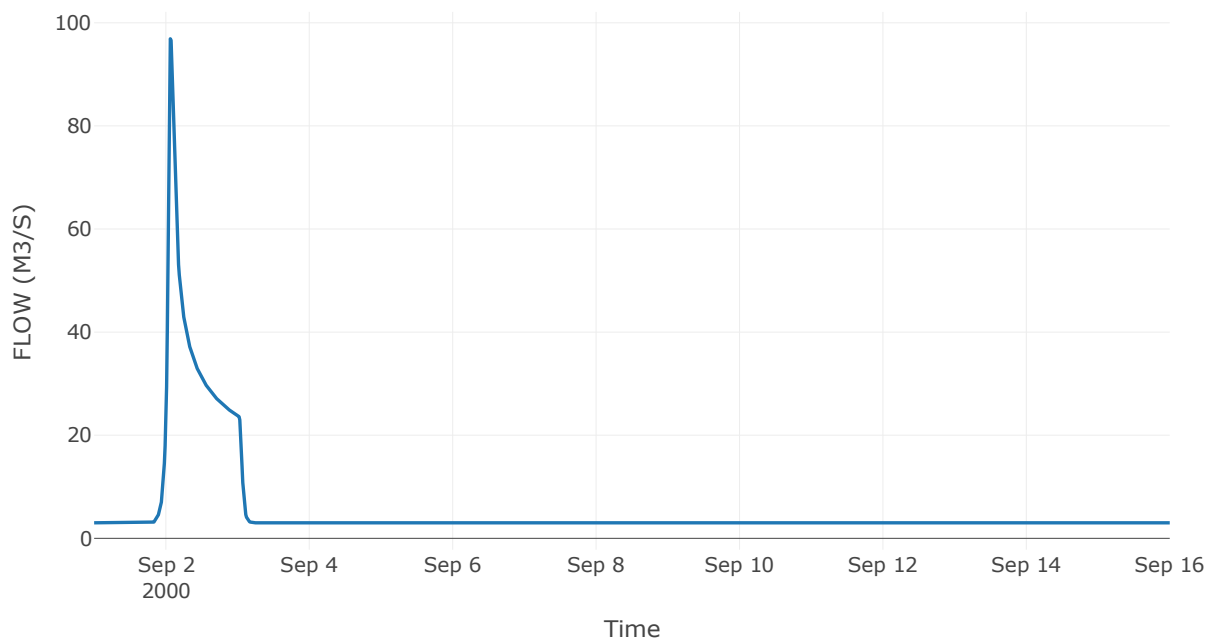
Κατάντη : J5

Μέθοδος Διόδευσης	Χρόνος
Αρχική Μεταβλητή	Combined Inflow
Χρόνος Υστέρησης	33.1

Αποτελέσματα: R105

Παροχή αιχμής (M3/S)	96.89
Χρονική στιγμή αιχμής	02Sep2000, 01:30
Όγκος (MM)	165.45
Παροχή Αιχμής Εισόδου (M3/S)	97.82
Όγκος Εισροής (M3)	7.11E6

Απορροή



Κλάδος: R1112

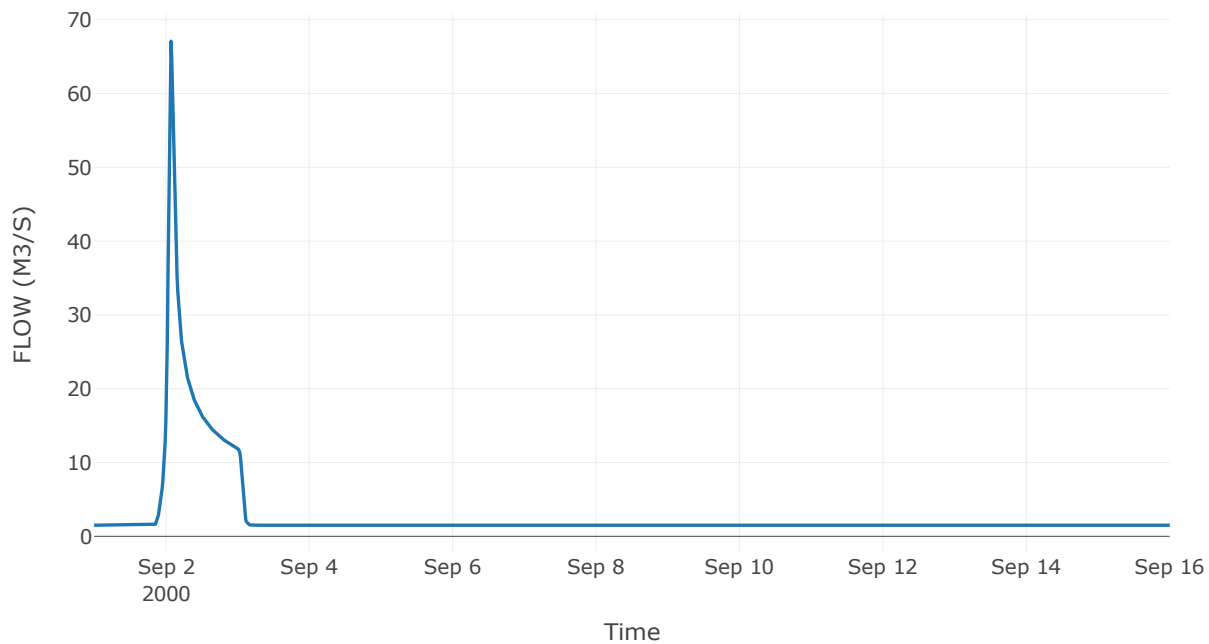
Κατάντη : J12

Μέθοδος Διόδευσης	Muskingum
Αρχική Μεταβλητή	Combined Inflow
Χρόνος Ροής K	0.73
Συντελεστής βάρους x	0.2
Πλήθος Υποκλάδων	3

Αποτελέσματα: R1112

Παροχή αιχμής (M3/S)	67.09
Χρονική στιγμή αιχμής	02Sep2000, 01:45
Όγκος (MM)	177.15
Παροχή Αιχμής Εισόδου (M3/S)	71.89
Όγκος Εισροής (M3)	3.81E6

Απορροή



Κλάδος: R1213

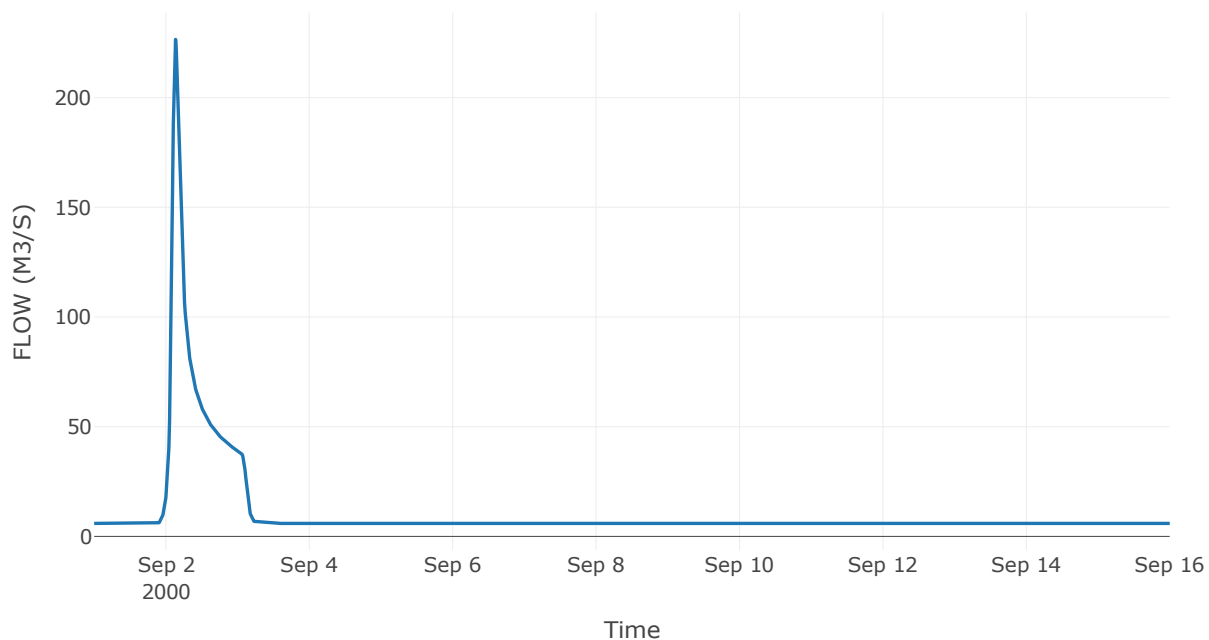
Κατάντη : J13

Μέθοδος Διόδευσης	Muskingum
Αρχική Μεταβλητή	Combined Inflow
Χρόνος Ροής Κ	1.48
Συντελεστής βάρους α	0.2
Πλήθος Υποκλάδων	6

Αποτελέσματα: R1213

Παροχή αιχμής (M3/S)	226.51
Χρονική στιγμή αιχμής	02Sep2000, 03:15
Όγκος (MM)	167.01
Παροχή Αιχμής Εισόδου (M3/S)	245.03
Όγκος Εισροής (M3)	1.41E7

Απορροή



Κλάδος: R1314

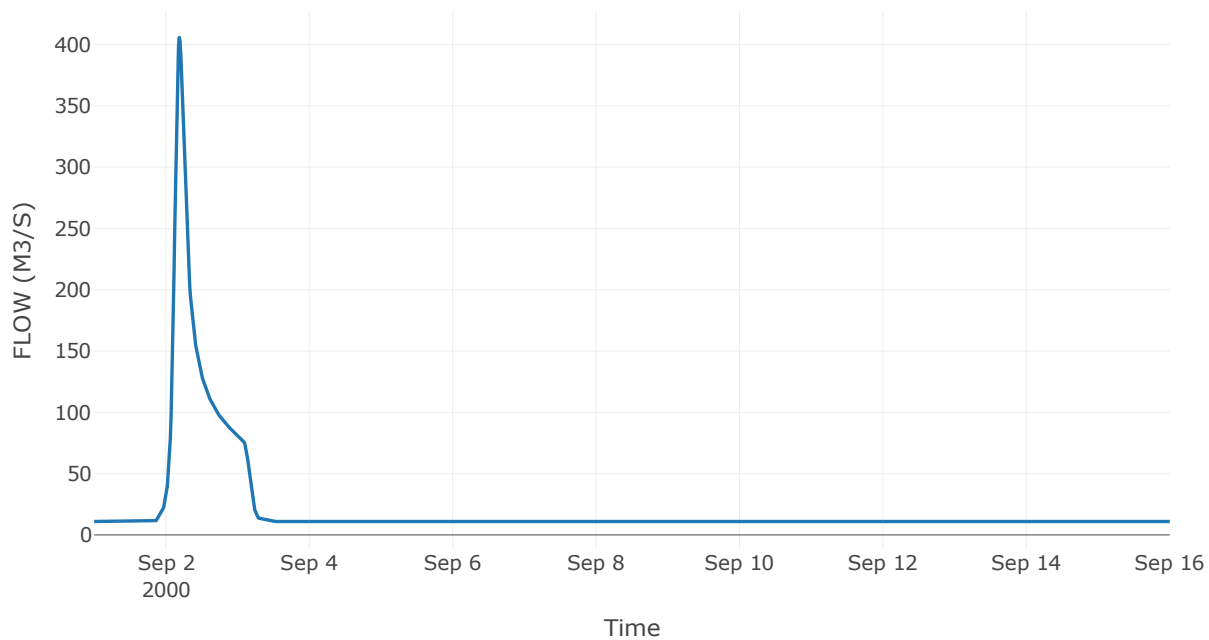
Κατάντη : J14

Μέθοδος Διόδευσης	Muskingum
Αρχική Μεταβλητή	Combined Inflow
Χρόνος Ροής K	1.5
Συντελεστής βάρους x	0.2
Πλήθος Υποκλάδων	6

Αποτελέσματα: R1314

Παροχή αιχμής (M3/S)	405.8
Χρονική στιγμή αιχμής	02Sep2000, 04:30
Όγκος (MM)	177.5
Παροχή Αιχμής Εισόδου (M3/S)	425.29
Όγκος Εισροής (M3)	2.78E7

Απορροή



Κλάδος: R1415

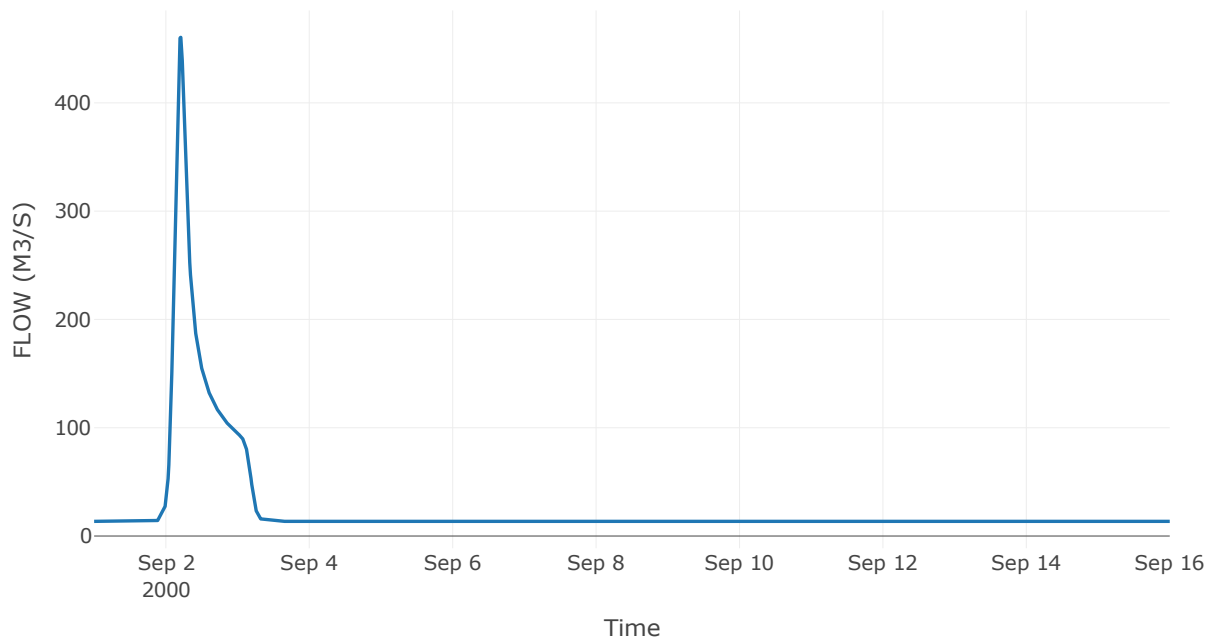
Κατάντη : J15

Μέθοδος Διόδευσης	Muskingum
Αρχική Μεταβλητή	Combined Inflow
Χρόνος Ροής Κ	0.46
Συντελεστής βάρους α	0.2
Πλήθος Υποκλάδων	2

Αποτελέσματα: R1415

Παροχή αιχμής (M3/S)	460.49
Χρονική στιγμή αιχμής	02Sep2000, 05:00
Όγκος (MM)	173.46
Παροχή Αιχμής Εισόδου (M3/S)	465.38
Όγκος Εισροής (M3)	3.35E7

Απορροή



Κλάδος: R152

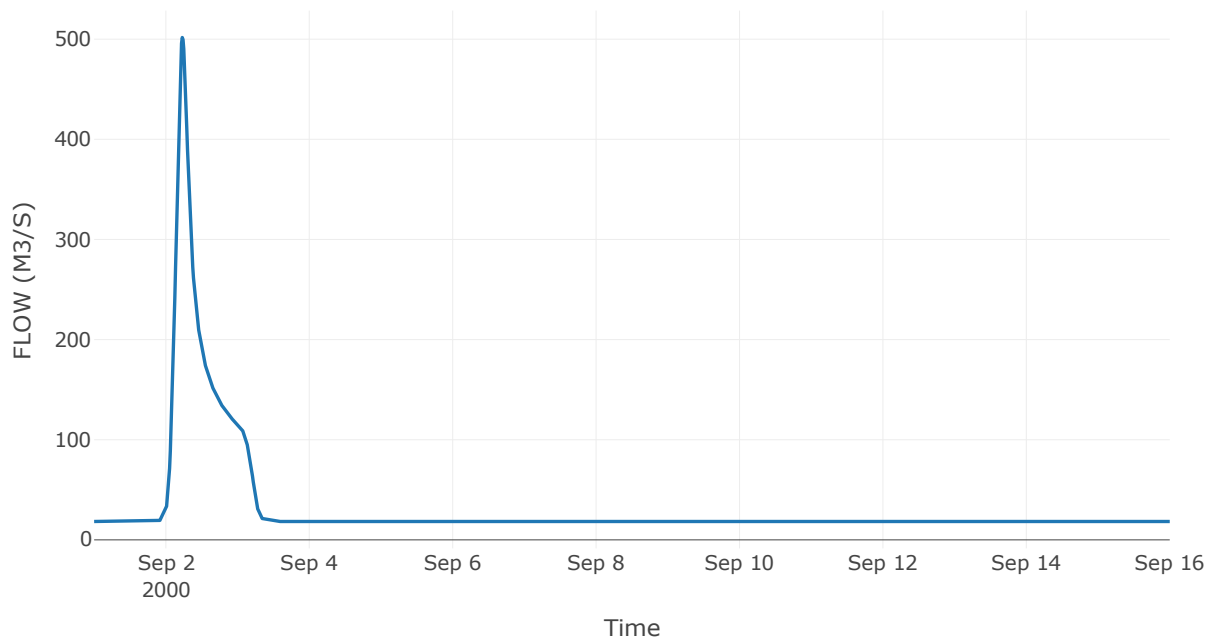
Κατάντη : J2

Μέθοδος Διόδευσης	Muskingum
Αρχική Μεταβλητή	Combined Inflow
Χρόνος Ροής K	0.7
Συντελεστής βάρους x	0.2
Πλήθος Υποκλάδων	3

Αποτελέσματα: R152

Παροχή αιχμής (M3/S)	501.69
Χρονική στιγμή αιχμής	02Sep2000, 05:30
Όγκος (MM)	160.58
Παροχή Αιχμής Εισόδου (M3/S)	507.81
Όγκος Εισροής (M3)	4.21E7

Απορροή



Κλάδος: R1615

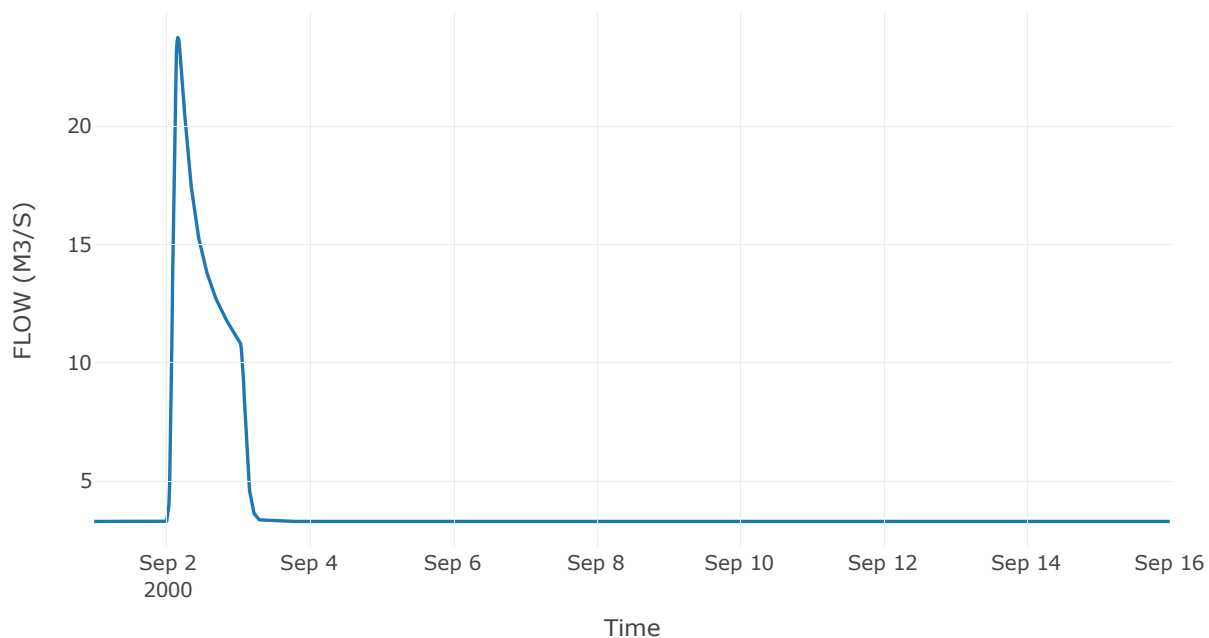
Κατάντη : J15

Μέθοδος Διόδευσης	Muskingum
Αρχική Μεταβλητή	Combined Inflow
Χρόνος Ροής Κ	0.69
Συντελεστής βάρους α	0.2
Πλήθος Υποκλάδων	3

Αποτελέσματα: R1615

Παροχή αιχμής (M3/S)	23.74
Χρονική στιγμή αιχμής	02Sep2000, 04:00
Όγκος (MM)	112.98
Παροχή Αιχμής Εισόδου (M3/S)	23.94
Όγκος Εισροής (M3)	5.32E6

Απορροή



Κλάδος: R173

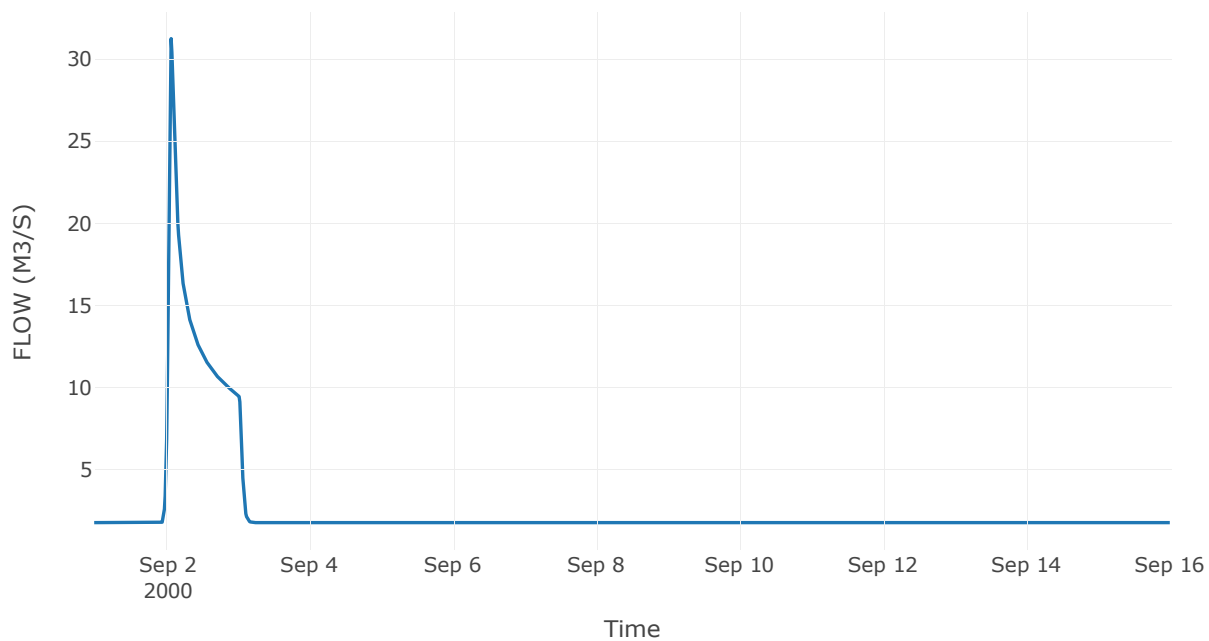
Κατάντη : J3

Μέθοδος Διόδευσης	Χρόνος
Αρχική Μεταβλητή	Combined Inflow
Χρόνος Υστέρησης	26.2

Αποτελέσματα: R173

Παροχή αιχμής (M3/S)	31.22
Χρονική στιγμή αιχμής	02Sep2000, 01:45
Όγκος (MM)	133.68
Παροχή Αιχμής Εισόδου (M3/S)	31.37
Όγκος Εισροής (M3)	3.42E6

Απορροή



Κλάδος: R183

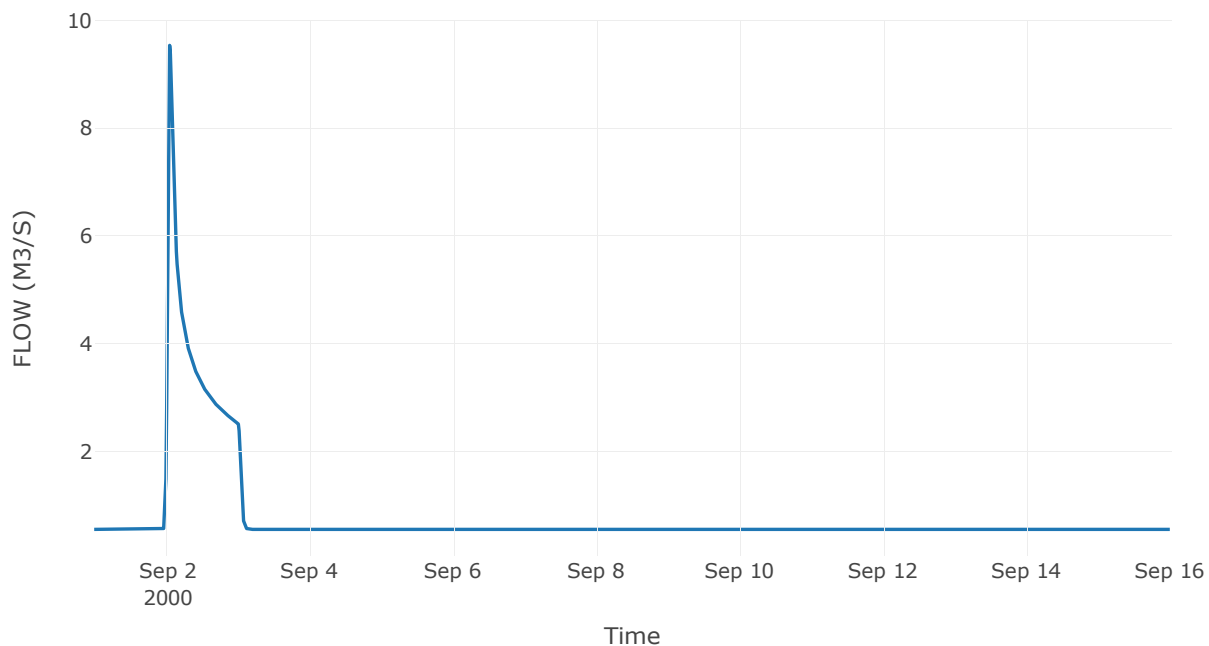
Κατάντη : J3

Μέθοδος Διόδευσης	Muskingum
Αρχική Μεταβλητή	Combined Inflow
Χρόνος Ροής K	0.34
Συντελεστής βάρους x	0.2
Πλήθος Υποκλάδων	1

Αποτελέσματα: R183

Παροχή αιχμής (M3/S)	9.53
Χρονική στιγμή αιχμής	02Sep2000, 01:15
Όγκος (MM)	127.49
Παροχή Αιχμής Εισόδου (M3/S)	10.03
Όγκος Εισροής (M3)	1.02E6

Απορροή



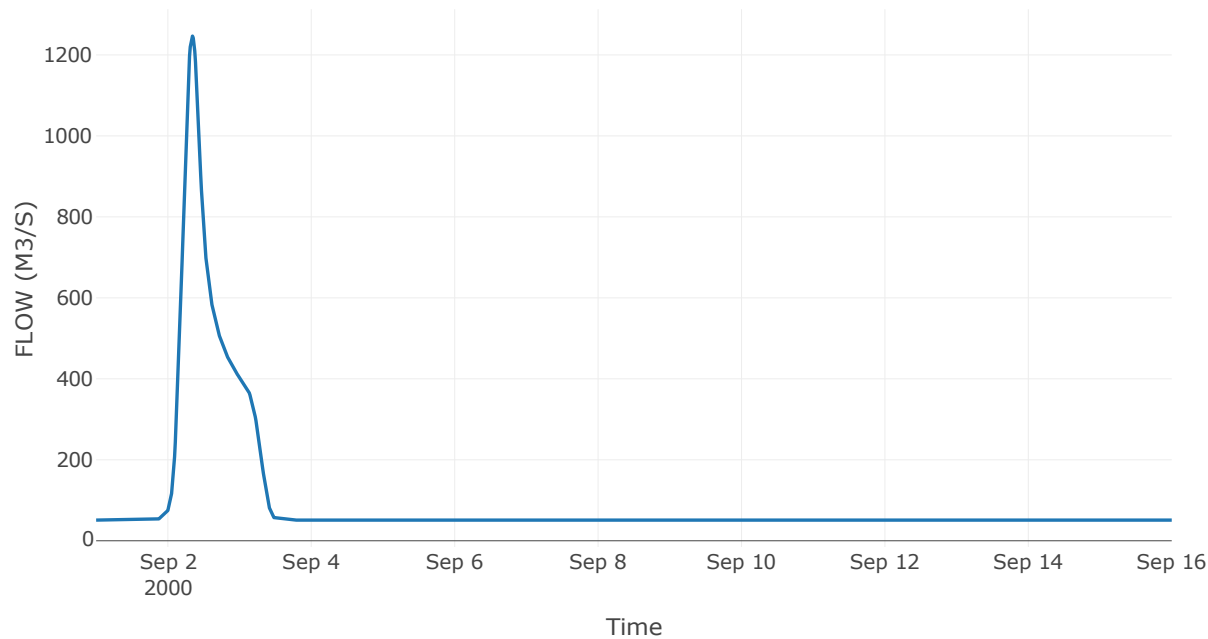
6.3 Δεδομένα και υδρογραφήματα σχεδιασμού Κόμβων υδρογραφικού δικτύου

Κόμβος εξόδου: J1

Αποτέλεσμα
τα: J1

Παροχή αιχμής (M3/S)	1246.54
Χρονική στιγμή αιχμής	02Sep2000, 08:15
Όγκος (MM)	170.85

Απορροή



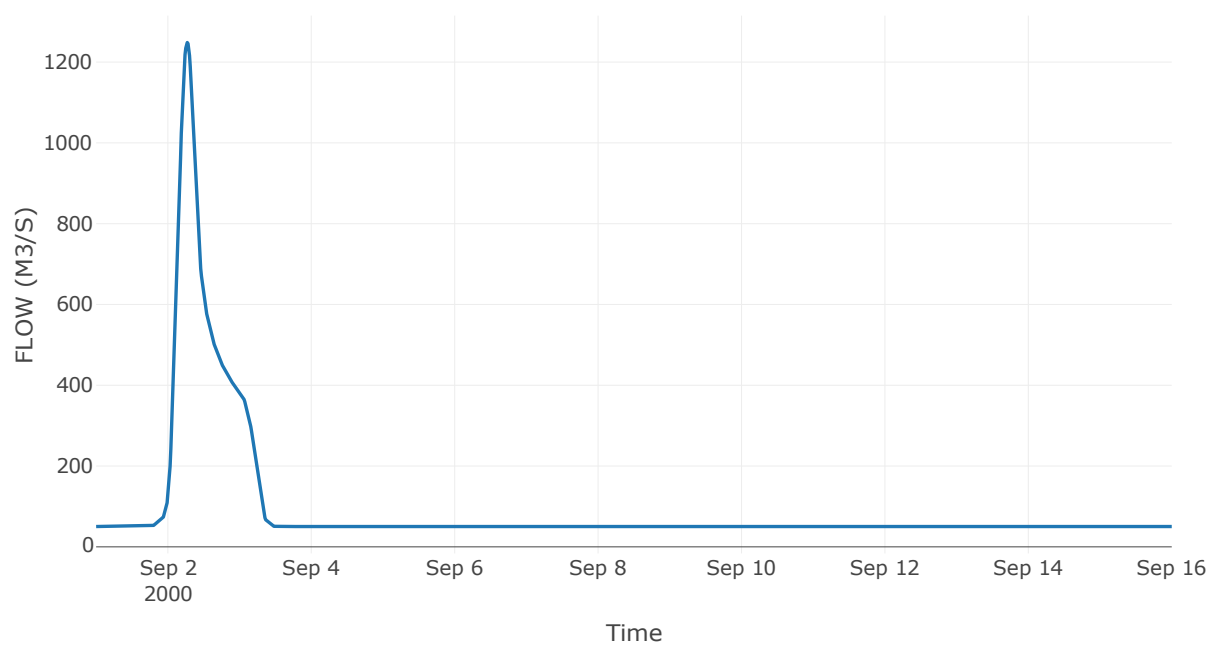
Κόμβος: J2

Κατάντη : R21

Αποτελέσματα: J2

Παροχή αιχμής (M3/S)	1248.49
Χρονική στιγμή αιχμής	02Sep2000, 06:30
Όγκος (MM)	170.77

Απορροή



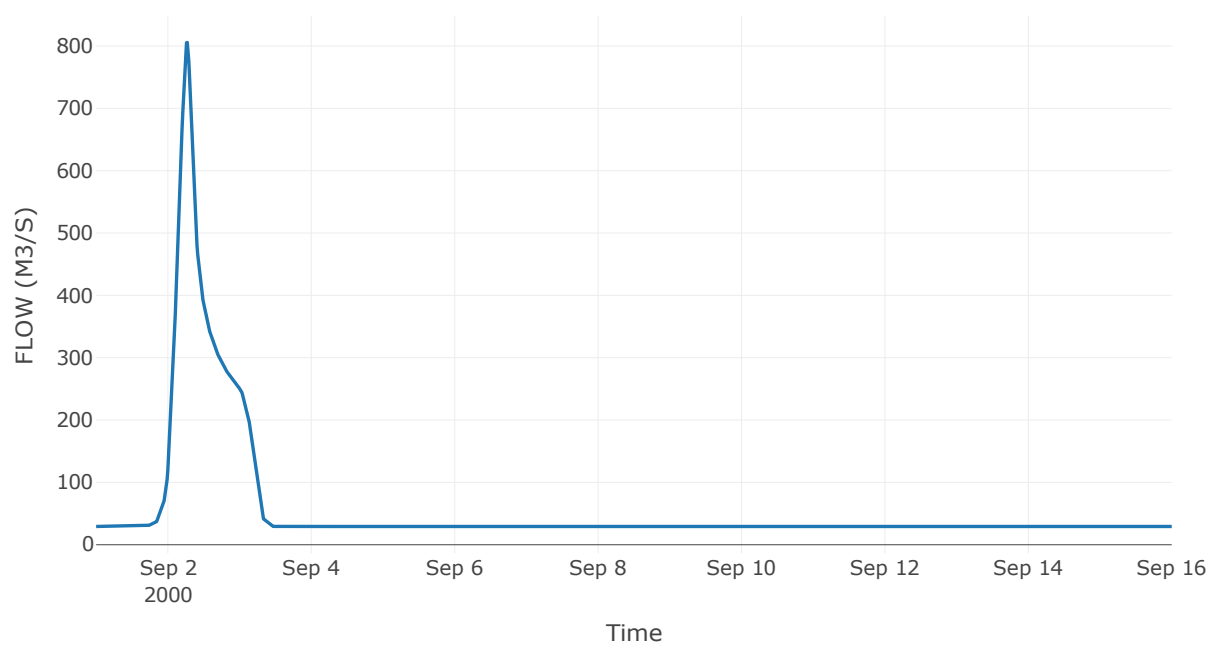
Κόμβος: J3

Κατάντη : R32

Αποτελέσματα: J3

Παροχή αιχμής (M3/S)	805.7
Χρονική στιγμή αιχμής	02Sep2000, 06:30
Όγκος (MM)	179.33

Απορροή



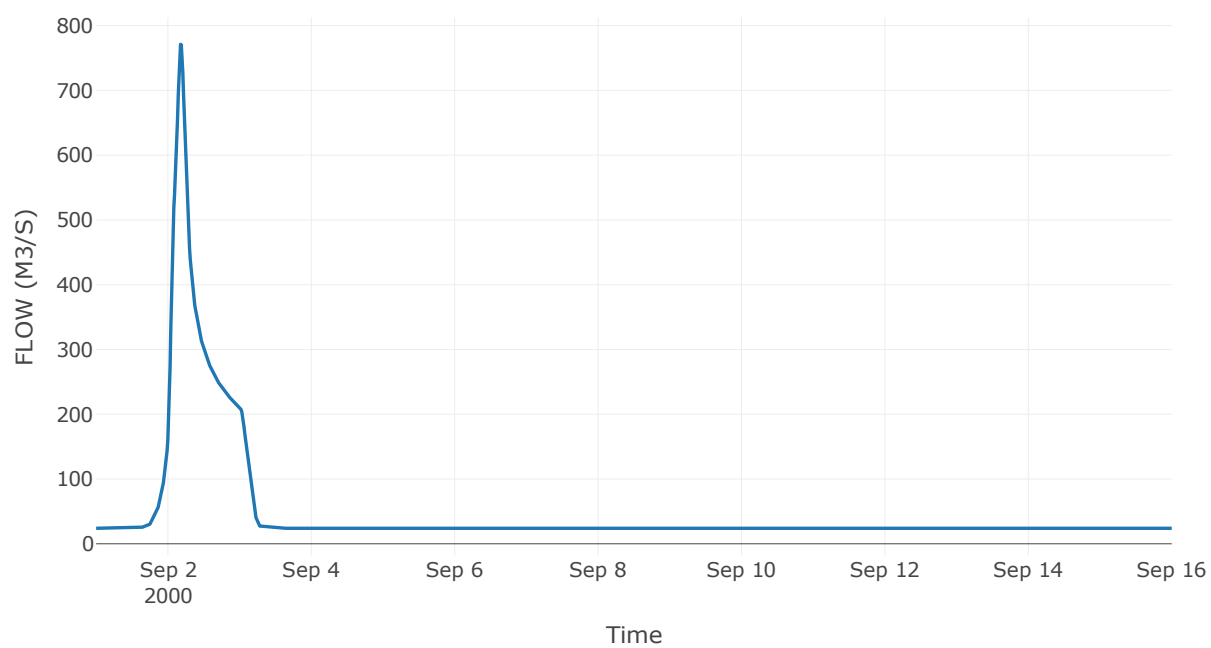
Κόμβος: J4

Κατάντη : R43

Αποτελέσματα: J4

Παροχή αιχμής (M3/S)	771.18
Χρονική στιγμή αιχμής	02Sep2000, 04:15
Όγκος (MM)	185.43

Απορροή



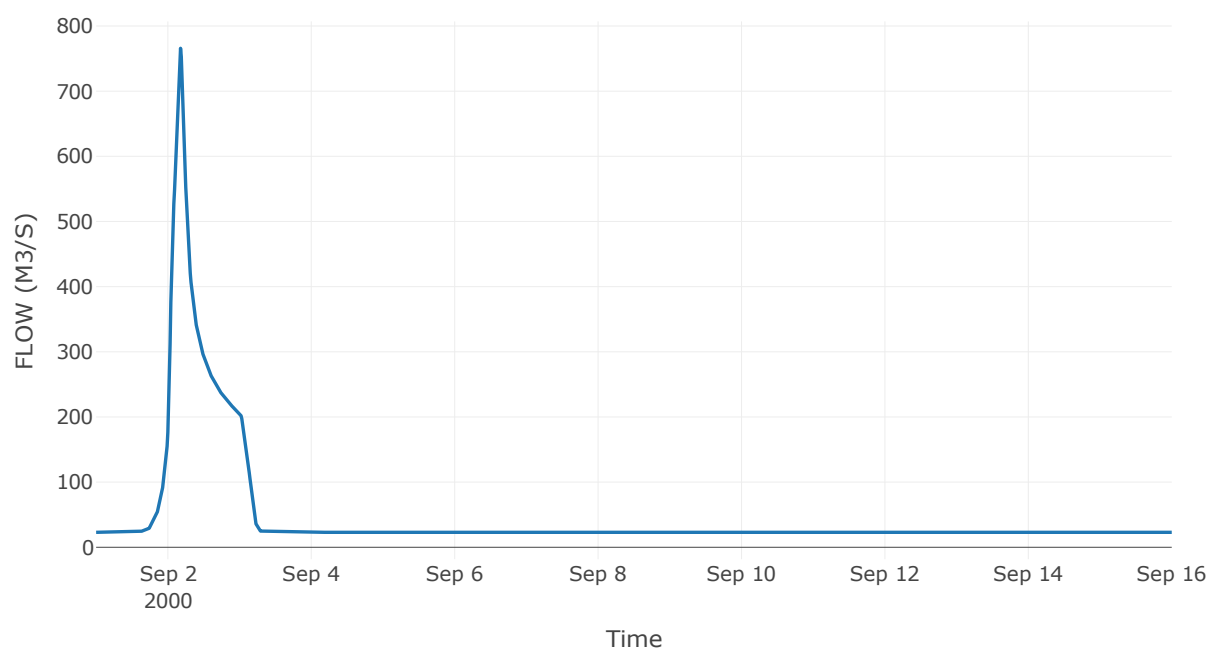
Κόμβος: J5

Κατάντη : R54

Αποτελέσματα: J5

Παροχή αιχμής (M3/S)	765.81
Χρονική στιγμή αιχμής	02Sep2000, 04:15
Όγκος (MM)	188.04

Απορροή



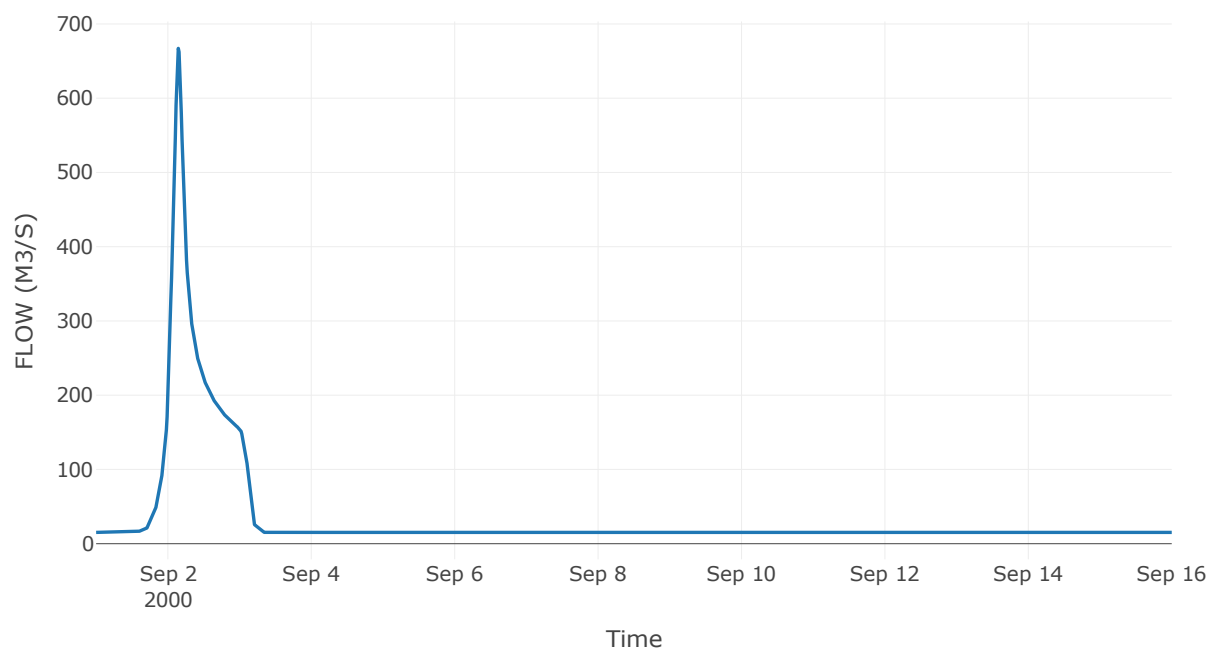
Κόμβος: J6

Κατάντη : R65

Αποτελέσματα: J6

Παροχή αιχμής (M3/S)	667.11
Χρονική στιγμή αιχμής	02Sep2000, 03:30
Όγκος (MM)	210.34

Απορροή



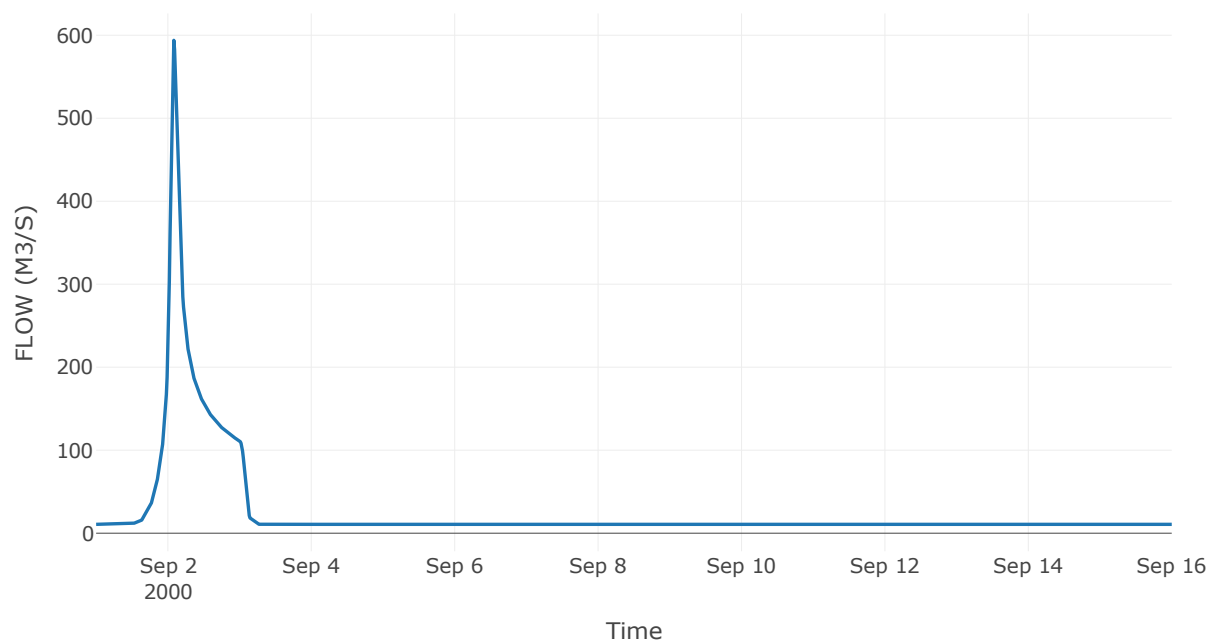
Κόμβος: J7

Κατάντη : R76

Αποτελέσματα: J7

Παροχή αιχμής (M3/S)	593.86
Χρονική στιγμή αιχμής	02Sep2000, 02:00
Όγκος (MM)	221.27

Απορροή



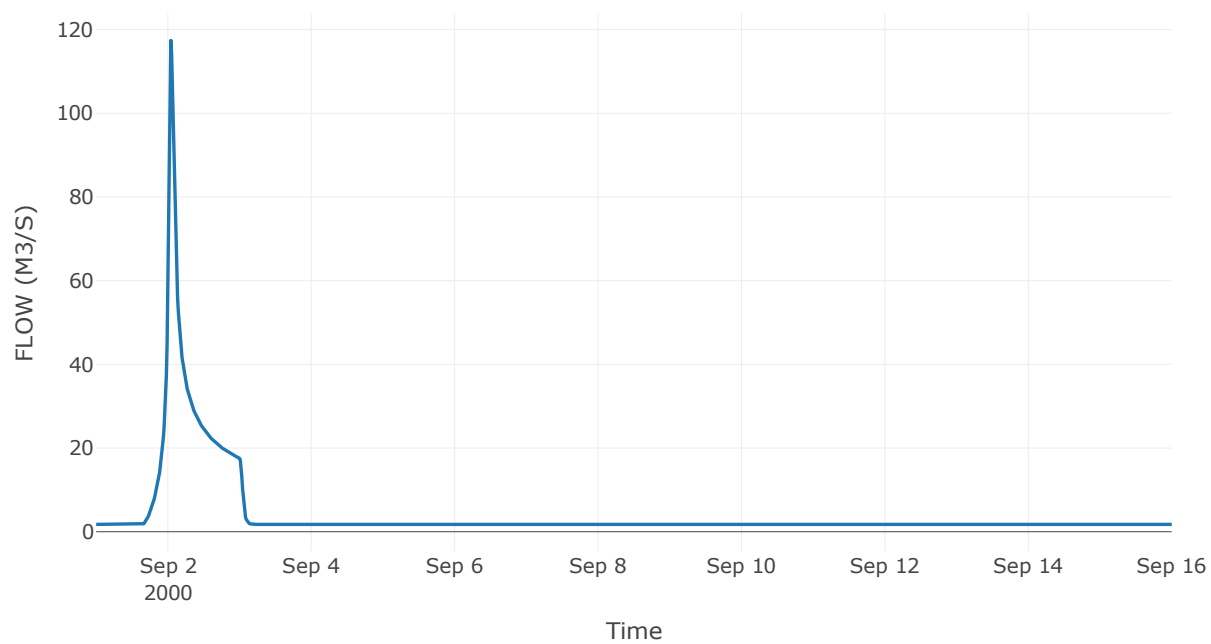
Κόμβος: J8

Κατάντη : R87

Αποτελέσματα: J8

Παροχή αιχμής (M3/S)	117.42
Χρονική στιγμή αιχμής	02Sep2000, 01:00
Όγκος (MM)	219.03

Απορροή



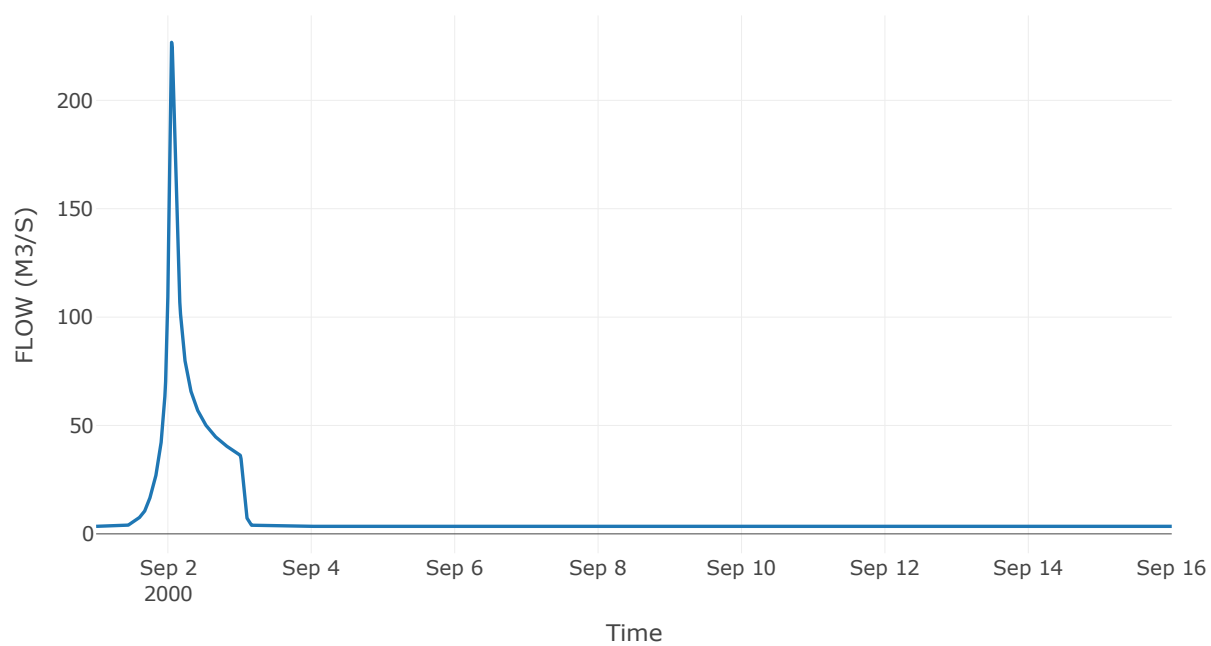
Κόμβος: J9

Κατάντη : R97

Αποτελέσματα: J9

Παροχή αιχμής (M3/S)	226.77
Χρονική στιγμή αιχμής	02Sep2000, 01:15
Όγκος (MM)	233.3

Απορροή



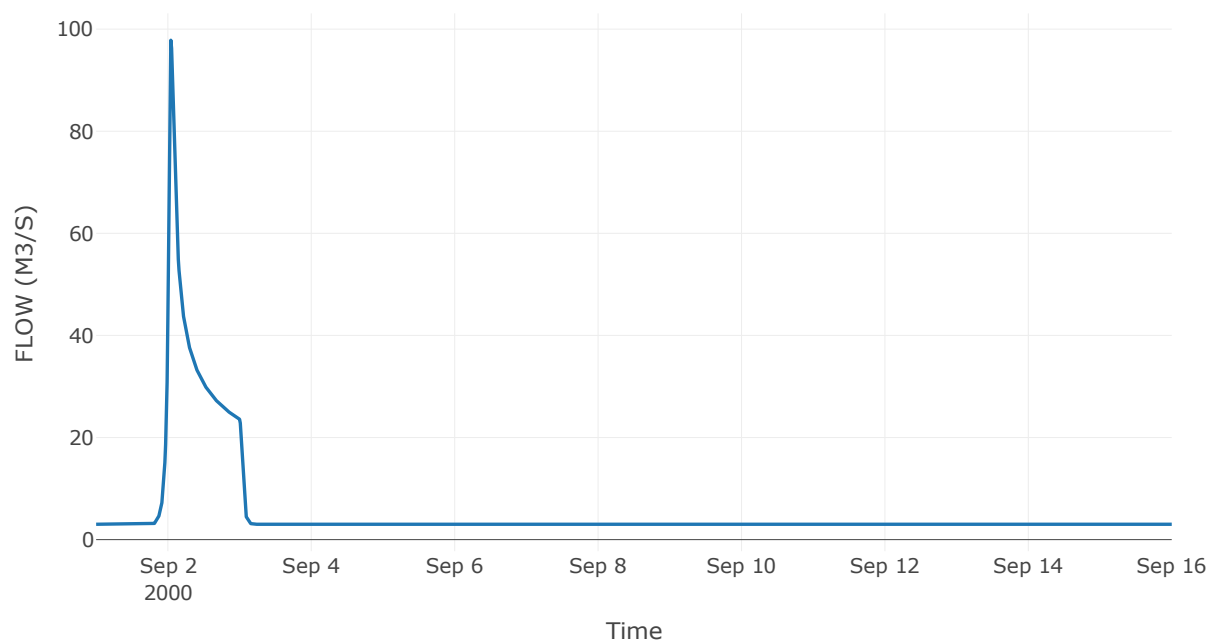
Κόμβος: J10

Κατάντη : R105

Αποτελέσματα: J10

Παροχή αιχμής (M3/S)	97.82
Χρονική στιγμή αιχμής	02Sep2000, 01:00
Όγκος (MM)	165.45

Απορροή



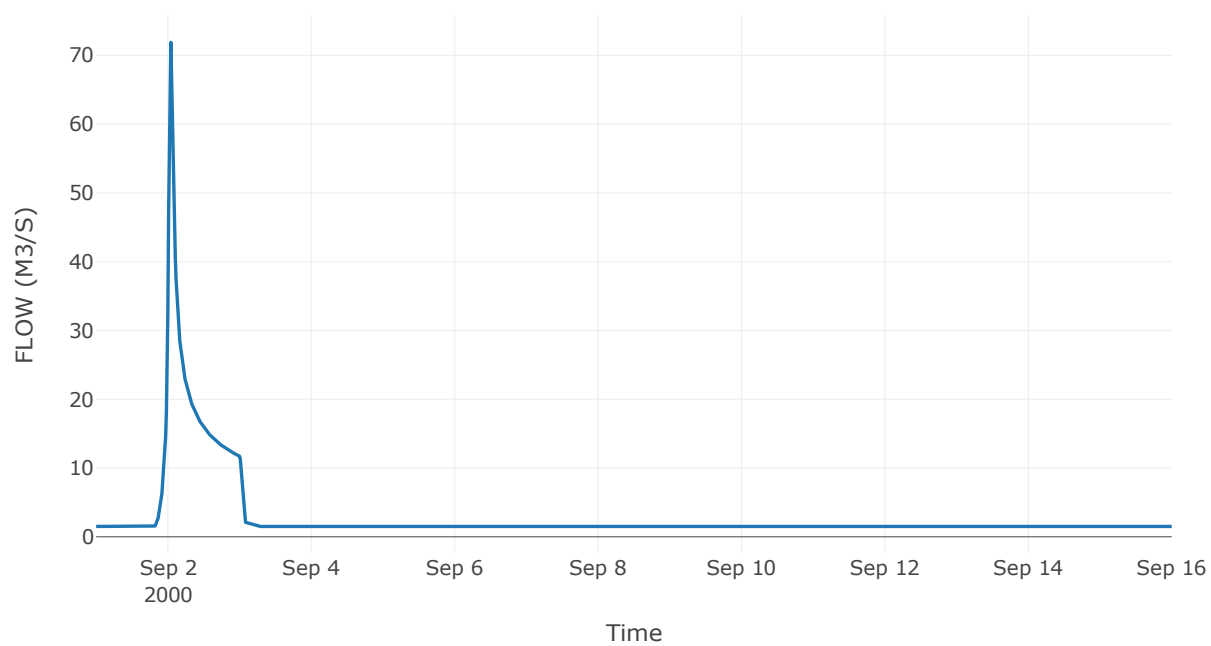
Κόμβος: J11

Κατάντη : R1112

Αποτελέσματα: J11

Παροχή αιχμής (M3/S)	71.89
Χρονική στιγμή αιχμής	02Sep2000, 01:00
Όγκος (MM)	177.15

Απορροή



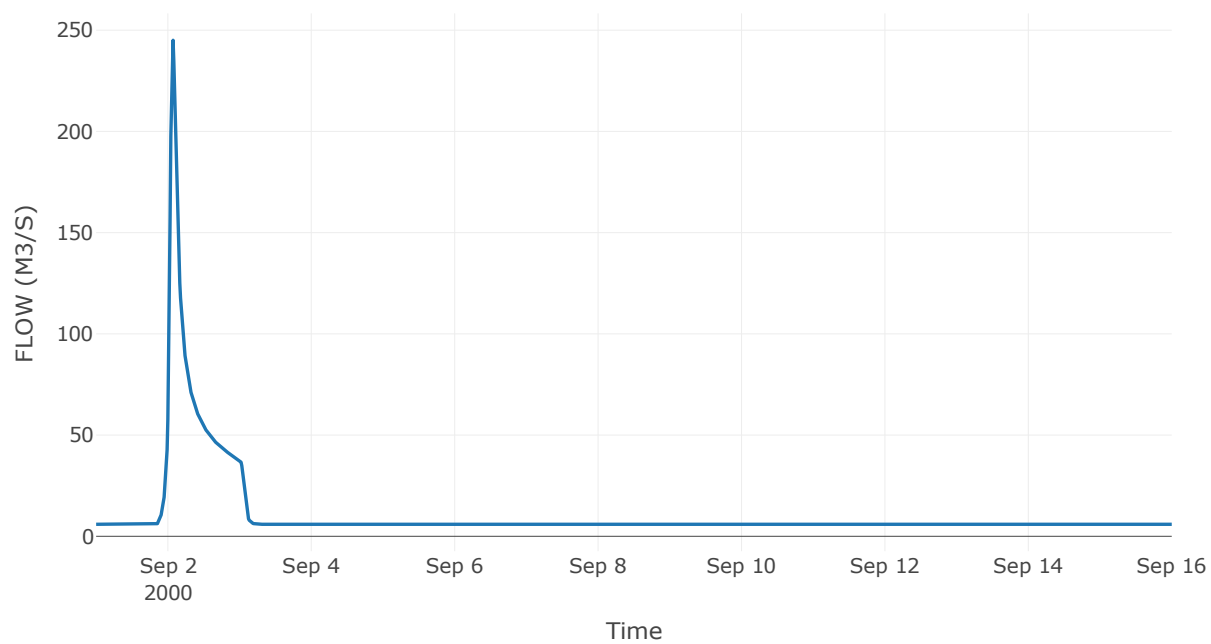
Κόμβος: J12

Κατάντη : R1213

Αποτελέσματα: J12

Παροχή αιχμής (M3/S)	245.03
Χρονική στιγμή αιχμής	02Sep2000, 01:45
Όγκος (MM)	167.01

Απορροή



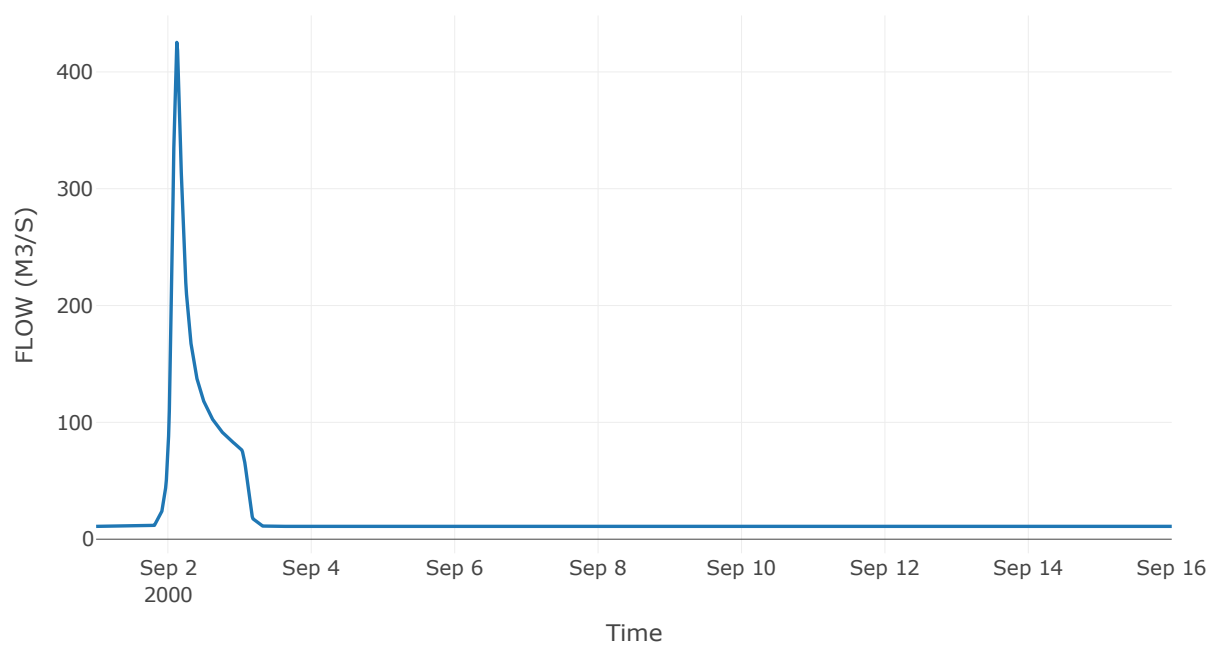
Κόμβος: J13

Κατάντη : R1314

Αποτελέσματα: J13

Παροχή αιχμής (M3/S)	425.29
Χρονική στιγμή αιχμής	02Sep2000, 03:00
Όγκος (MM)	177.5

Απορροή



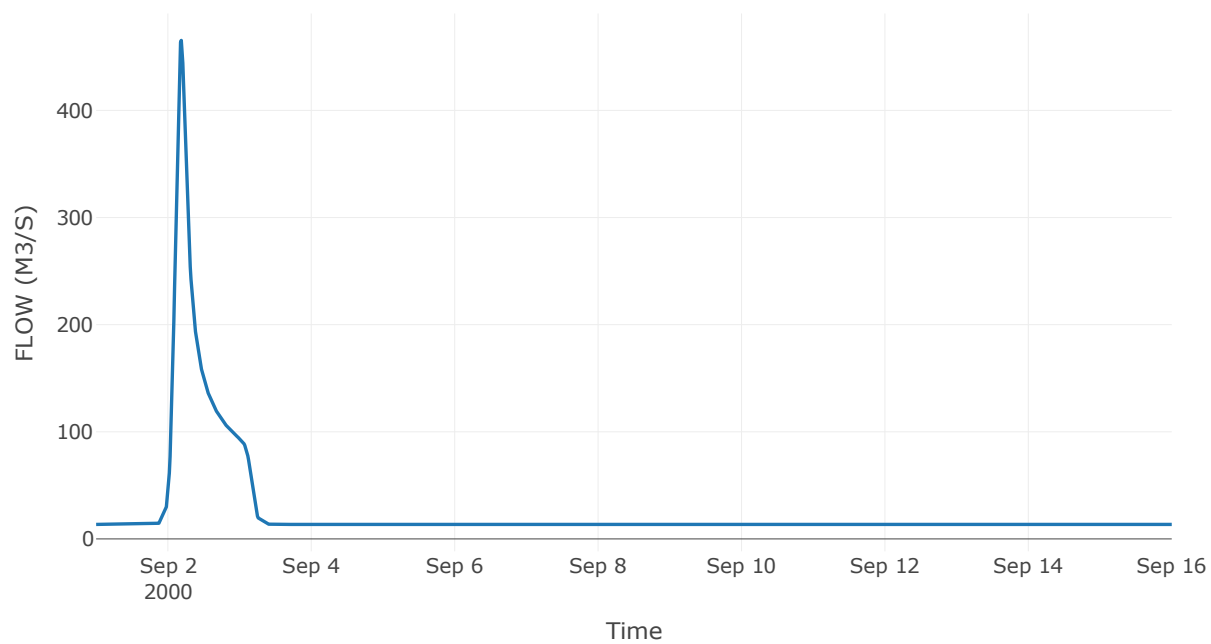
Κόμβος: J14

Κατάντη : R1415

Αποτελέσματα: J14

Παροχή αιχμής (M3/S)	465.38
Χρονική στιγμή αιχμής	02Sep2000, 04:30
Όγκος (MM)	173.46

Απορροή



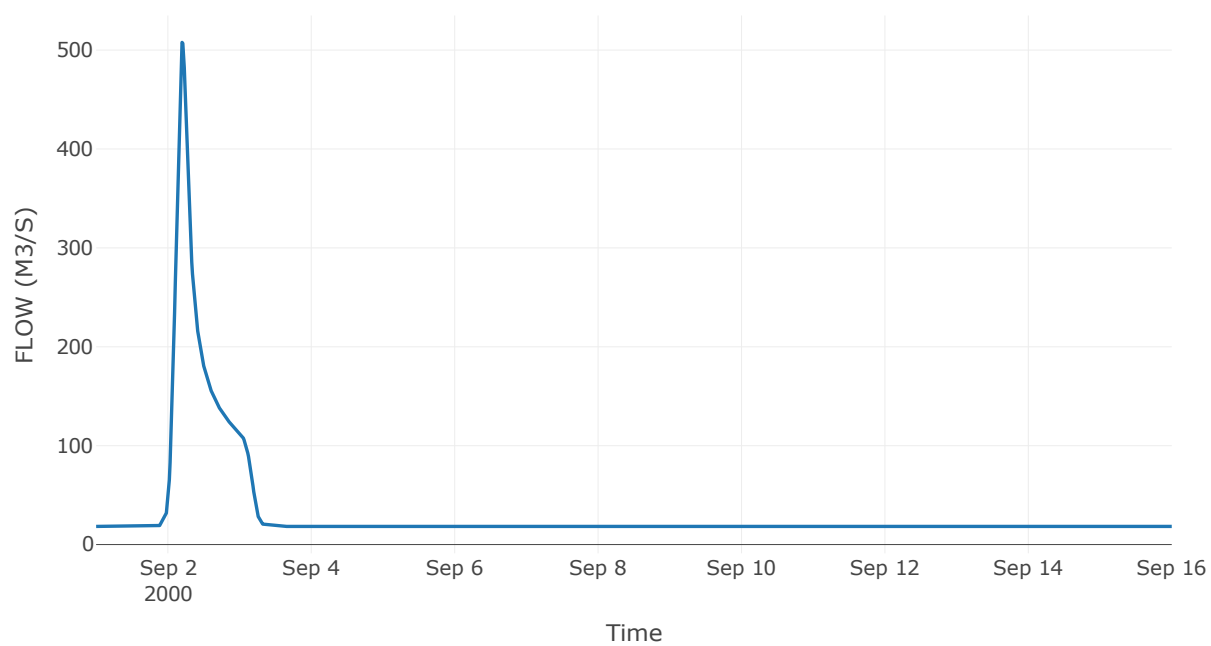
Κόμβος: J15

Κατάντη : R152

Αποτελέσματα: J15

Παροχή αιχμής (M3/S)	507.81
Χρονική στιγμή αιχμής	02Sep2000, 04:45
Όγκος (MM)	160.58

Απορροή



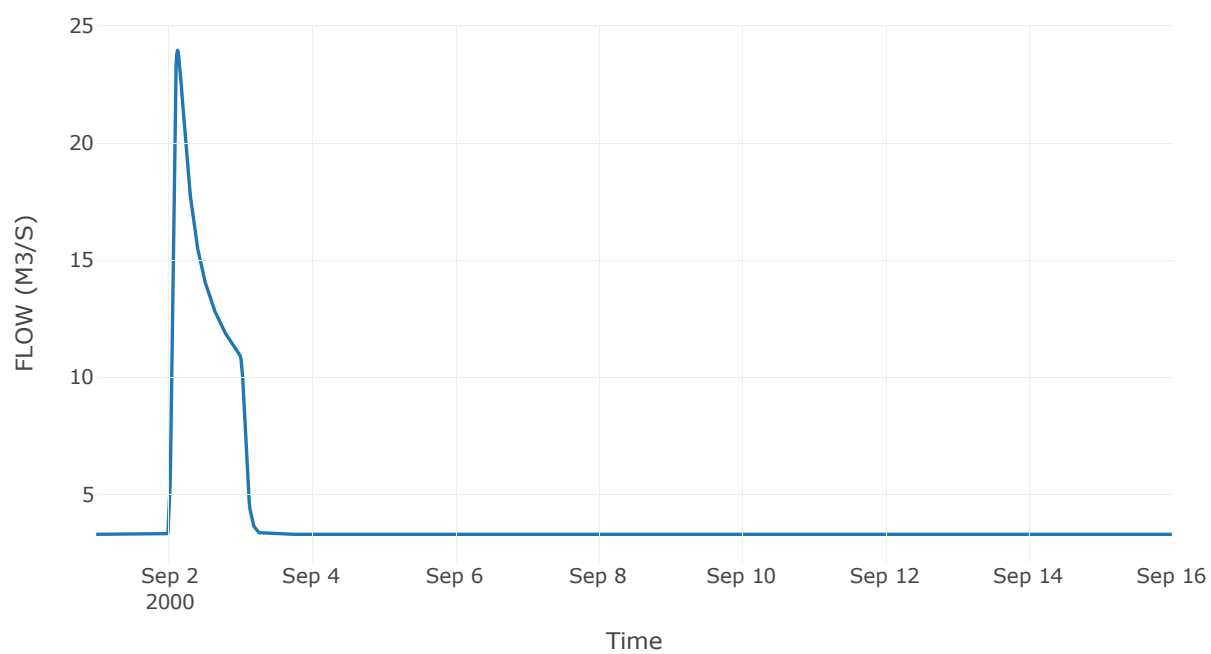
Κόμβος: J16

Κατάντη : R1615

Αποτελέσματα: J16

Παροχή αιχμής (M3/S)	23.94
Χρονική στιγμή αιχμής	02Sep2000, 03:15
Όγκος (MM)	112.98

Απορροή



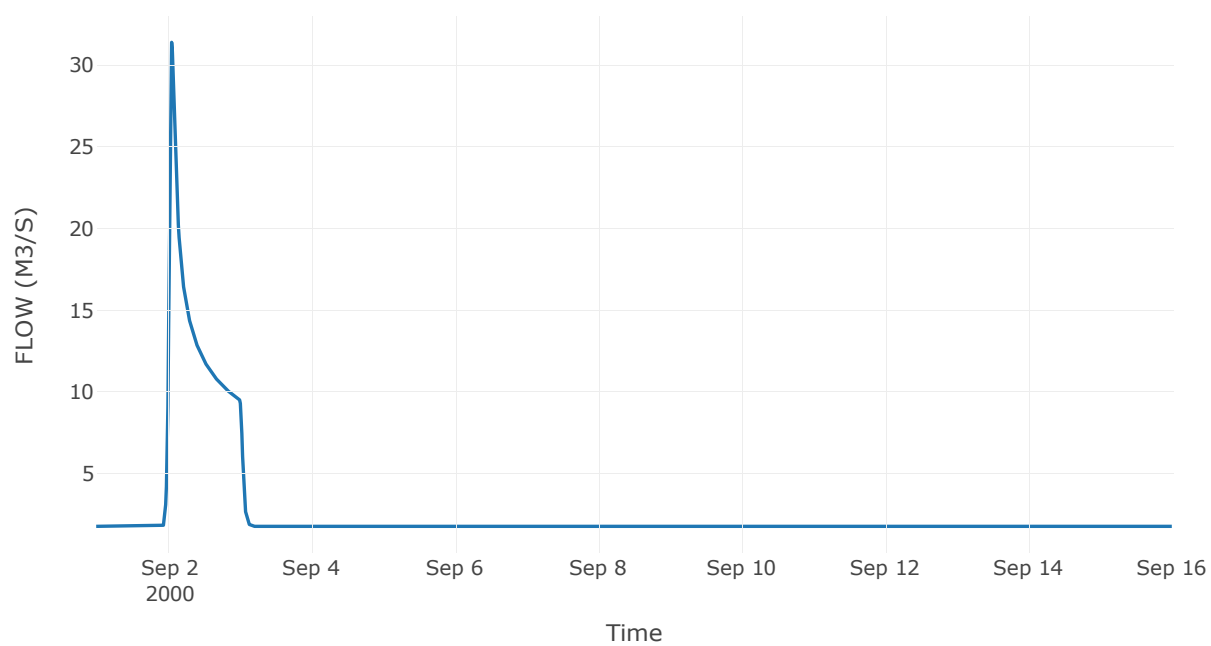
Κόμβος: J17

Κατάντη : R173

Αποτελέσματα: J17

Παροχή αιχμής (M3/S)	31.37
Χρονική στιγμή αιχμής	02Sep2000, 01:15
Όγκος (MM)	133.68

Απορροή



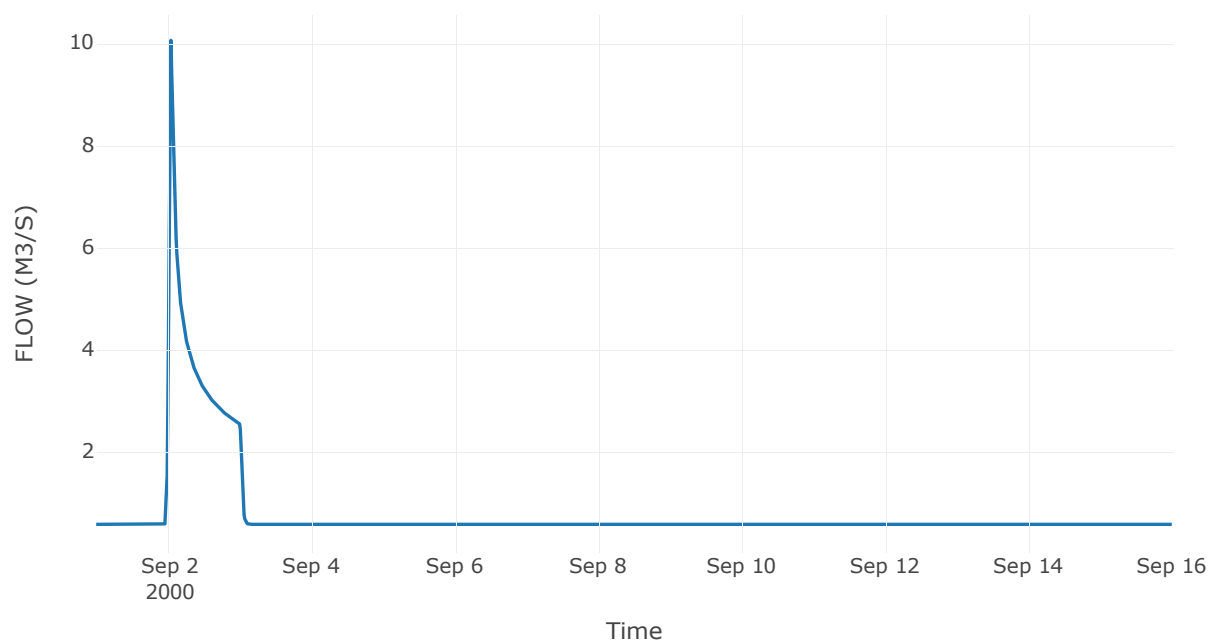
Κόμβος: J18

Κατάντη : R183

Αποτελέσματα: J18

Παροχή αιχμής (M3/S)	10.03
Χρονική στιγμή αιχμής	02Sep2000, 01:00
Όγκος (MM)	127.49

Απορροή



7 Δεδομένα εισόδου και αποτελέσματα υδρολογικού σεναρίου T=100U

7.1 Αποτελέσματα, υετογραφήματα και υδρογραφήματα σχεδιασμού υπολεκανών

Υπολεκάνη: EL0513FR7001

Έκταση (KM2) : 10.61

Κατάντη : J1

Μέθοδος Απωλειών: SCS

Ποσοστό αδιαπέρατης επιφάνειας	0
Αριθμός Καμπύλης Απορροής-CN	88.36
Αρχικές Απώλειες	6.7

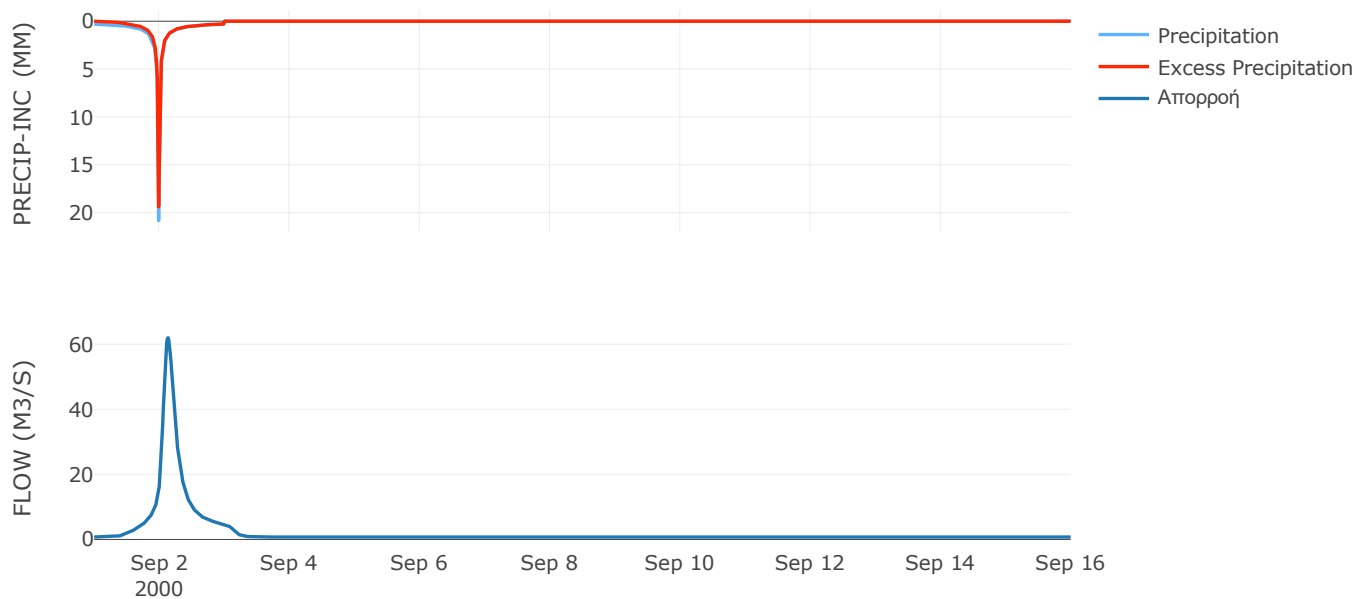
Μέθοδος
Μετασχηματισμού: SCS

Χρόνος Υστέρησης	185.62
------------------	--------

Αποτελέσματα:
EL0513FR7001

Παροχή αιχμής (M3/S)	61.96
Χρονική στιγμή αιχμής	02Sep2000, 03:15
Όγκος (MM)	267.22
Όγκος βροχόπτωσης (M3)	2.25E6
Όγκος απωλειών (M3)	3.77E5
Ενεργός Όγκος (M3)	1.87E6
Όγκος άμεσης απορροής (M3)	1.87E6
Όγκος βασικής απορροής (M3)	9.63E5

Βροχόπτωση και Απορροή



Υπολεκάνη: EL0513FR7002

Έκταση (KM2) : 36.49

Κατάντη : J2

Μέθοδος Απωλειών: SCS

Ποσοστό αδιαπέρατης επιφάνειας	0
Αριθμός Καμπύλης Απορροής-CN	81.67
Αρχικές Απώλειες	11.4

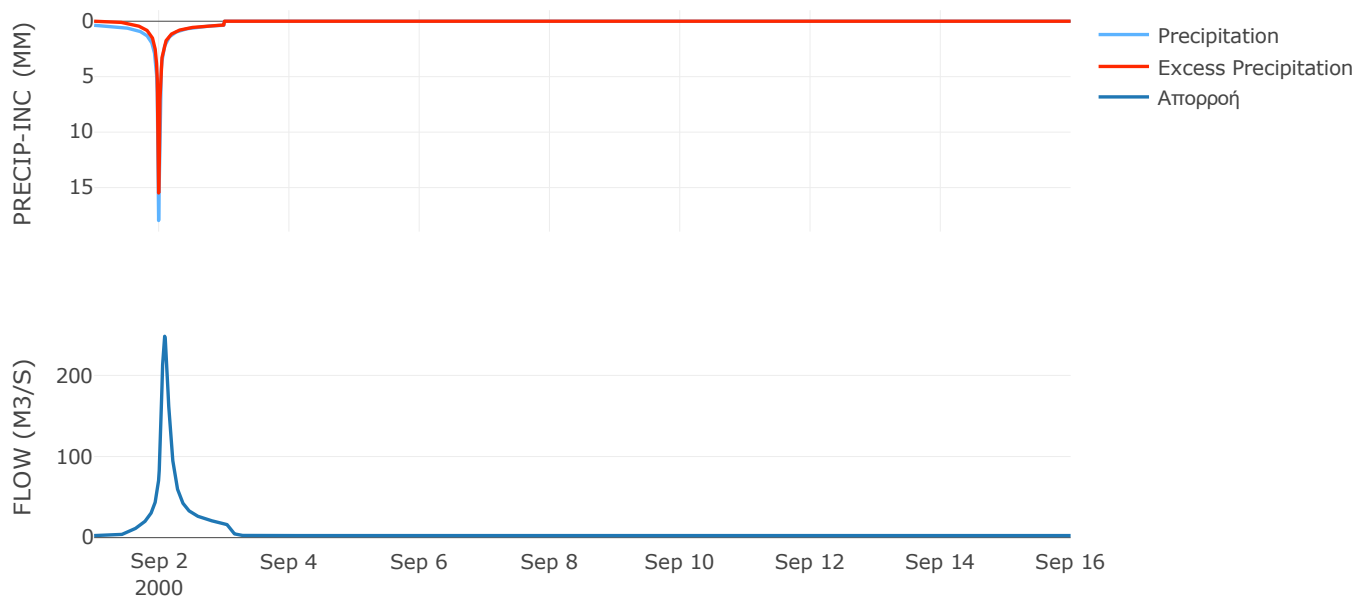
Μέθοδος
Μετασχηματισμού: SCS

Χρόνος Υστέρησης	112.3
------------------	-------

Αποτελέσματα:
EL0513FR7002

Παροχή αιχμής (M3/S)	248.29
Χρονική στιγμή αιχμής	02Sep2000, 02:00
Όγκος (MM)	259.12
Όγκος βροχόπτωσης (M3)	8.2E6
Όγκος απωλειών (M3)	2.06E6
Ενεργός Όγκος (M3)	6.14E6
Όγκος άμεσης απορροής (M3)	6.14E6
Όγκος βασικής απορροής (M3)	3.31E6

Βροχόπτωση και Απορροή



Υπολεκάνη: EL0513FR7003

Έκταση (KM2) : 2.15

Κατάντη : J2

Μέθοδος Απωλειών: SCS

Ποσοστό αδιαπέρατης επιφάνειας	0
Αριθμός Καμπύλης Απορροής-CN	86.51
Αρχικές Απώλειες	7.92

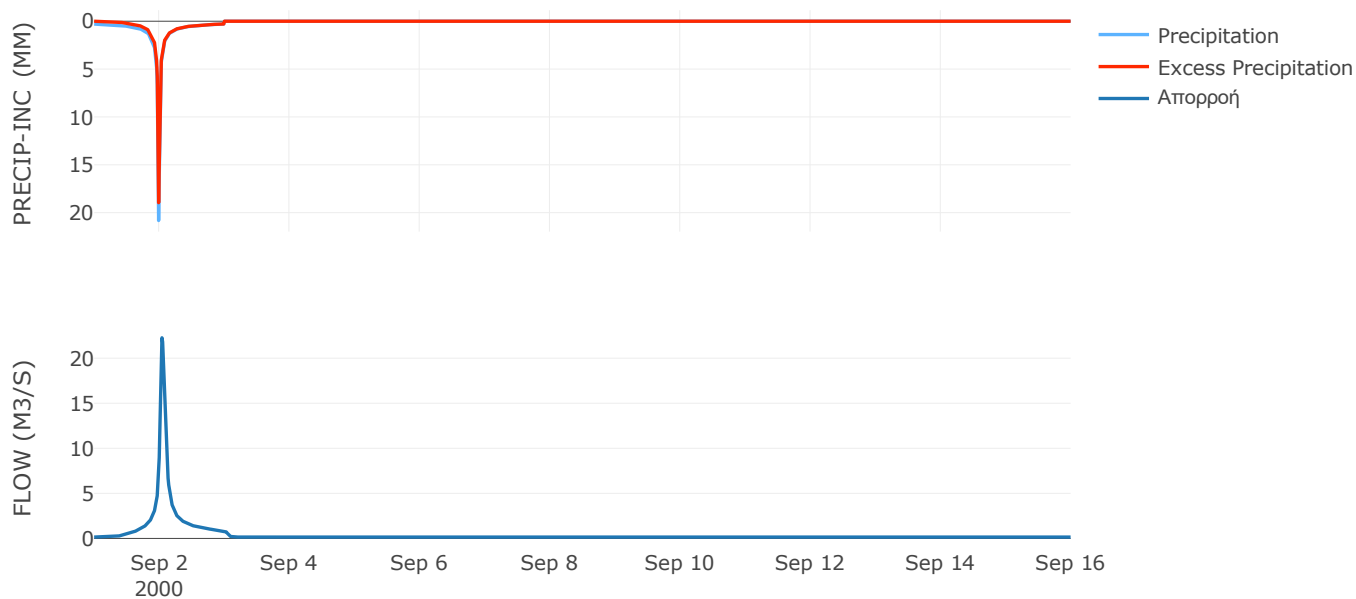
Μέθοδος
Μετασχηματισμού: SCS

Χρόνος Υστέρησης	62.69
------------------	-------

Αποτελέσματα:
EL0513FR7003

Παροχή αιχμής (M3/S)	22.27
Χρονική στιγμή αιχμής	02Sep2000, 01:00
Όγκος (MM)	261.61
Όγκος βροχόπτωσης (M3)	4.55E5
Όγκος απωλειών (M3)	88198.81
Ενεργός Όγκος (M3)	3.67E5
Όγκος άμεσης απορροής (M3)	3.67E5
Όγκος βασικής απορροής (M3)	1.95E5

Βροχόπτωση και Απορροή



Υπολεκάνη: EL0513FR7004

Έκταση (KM2) : 11.5

Κατάνη : J15

Μέθοδος Απωλειών: SCS

Ποσοστό αδιαπέρατης επιφάνειας	0
Αριθμός Καμπύλης Απορροής-CN	77.9
Αρχικές Απώλειες	14.41

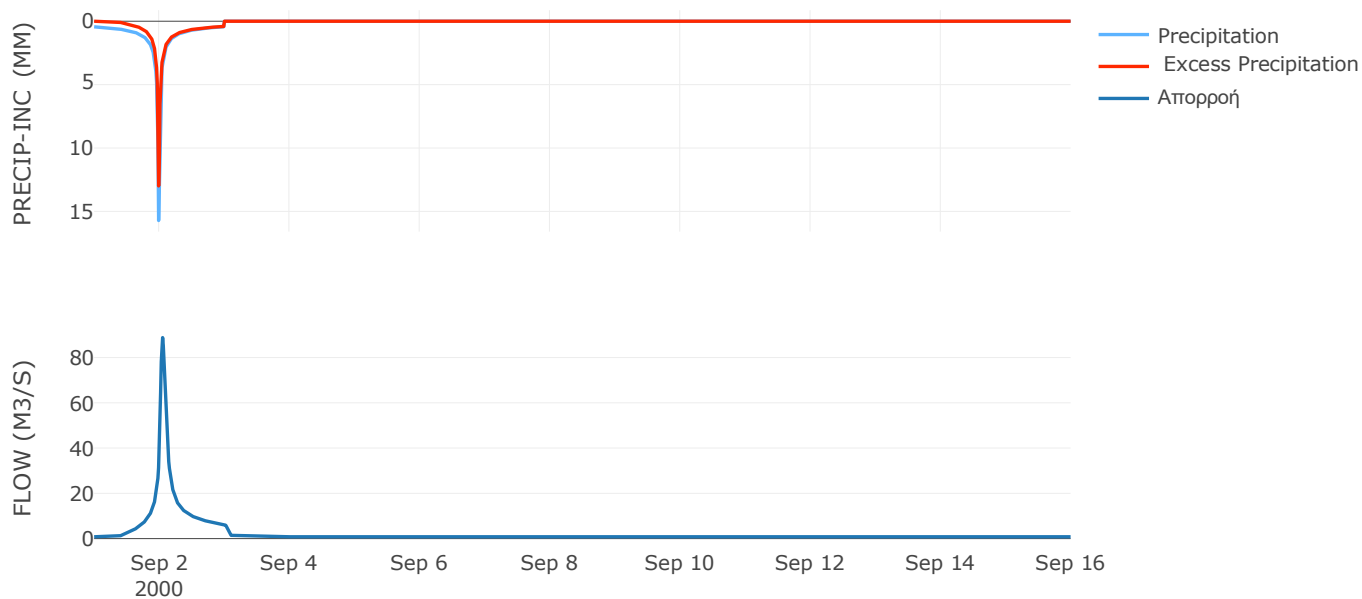
Μέθοδος
Μετασχηματισμού: SCS

Χρόνος Υστέρησης	69.15
------------------	-------

Αποτελέσματα:
EL0513FR7004

Παροχή αιχμής (M3/S)	88.79
Χρονική στιγμή αιχμής	02Sep2000, 01:15
Όγκος (MM)	260.65
Όγκος βροχόπτωσης (M3)	2.75E6
Όγκος απωλειών (M3)	7.93E5
Ενεργός Όγκος (M3)	1.95E6
Όγκος άμεσης απορροής (M3)	1.95E6
Όγκος βασικής απορροής (M3)	1.04E6

Βροχόπτωση και Απορροή



Υπολεκάνη: EL0513FR7005

Έκταση (KM2) : 8.16

Κατάνη : J15

Μέθοδος Απωλειών: SCS

Ποσοστό αδιαπέρατης επιφάνειας	0
Αριθμός Καμπύλης Απορροής-CN	82.45
Αρχικές Απώλειες	10.81

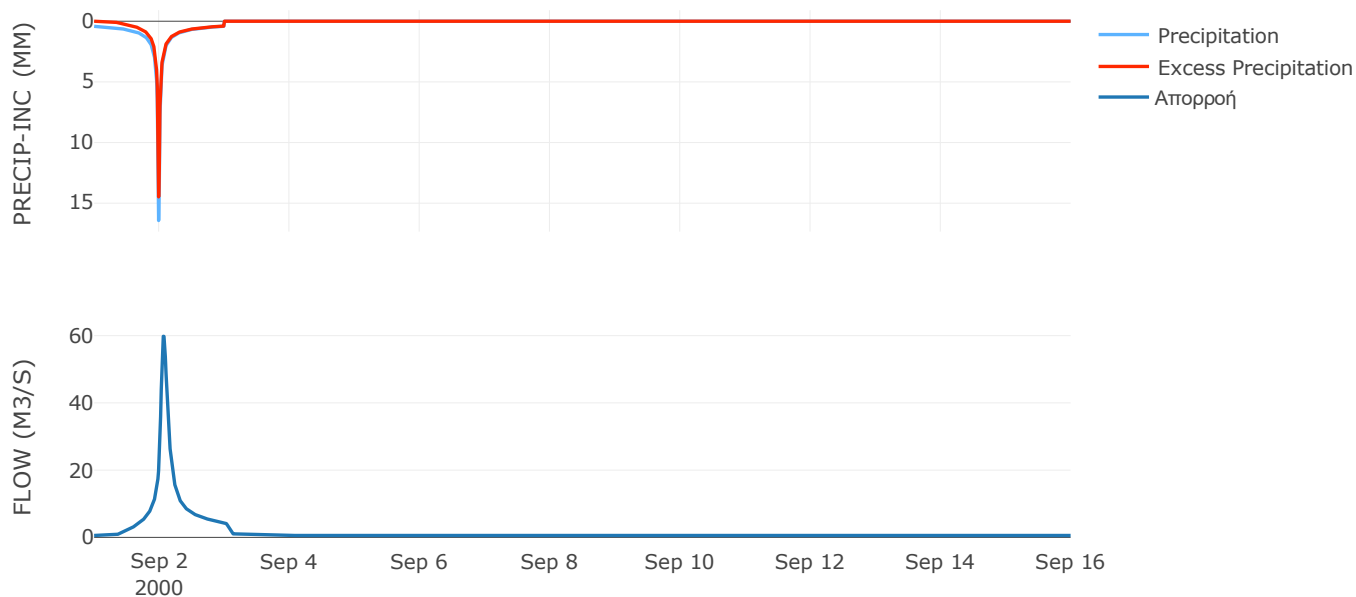
Μέθοδος
Μετασχηματισμού: SCS

Χρόνος Υστέρησης	93.46
------------------	-------

Αποτελέσματα:
EL0513FR7005

Παροχή αιχμής (M3/S)	59.8
Χρονική στιγμή αιχμής	02Sep2000, 01:30
Όγκος (MM)	272.13
Όγκος βροχόπτωσης (M3)	1.92E6
Όγκος απωλειών (M3)	4.44E5
Ενεργός Όγκος (M3)	1.48E6
Όγκος άμεσης απορροής (M3)	1.48E6
Όγκος βασικής απορροής (M3)	7.4E5

Βροχόπτωση και Απορροή



Υπολεκάνη: EL0513FR7006

Έκταση (KM2) : 47.06

Κατάντη : J16

Μέθοδος Απωλειών: SCS

Ποσοστό αδιαπέρατης επιφάνειας	0
Αριθμός Καμπύλης Απορροής-CN	69.12
Αρχικές Απώλειες	22.69

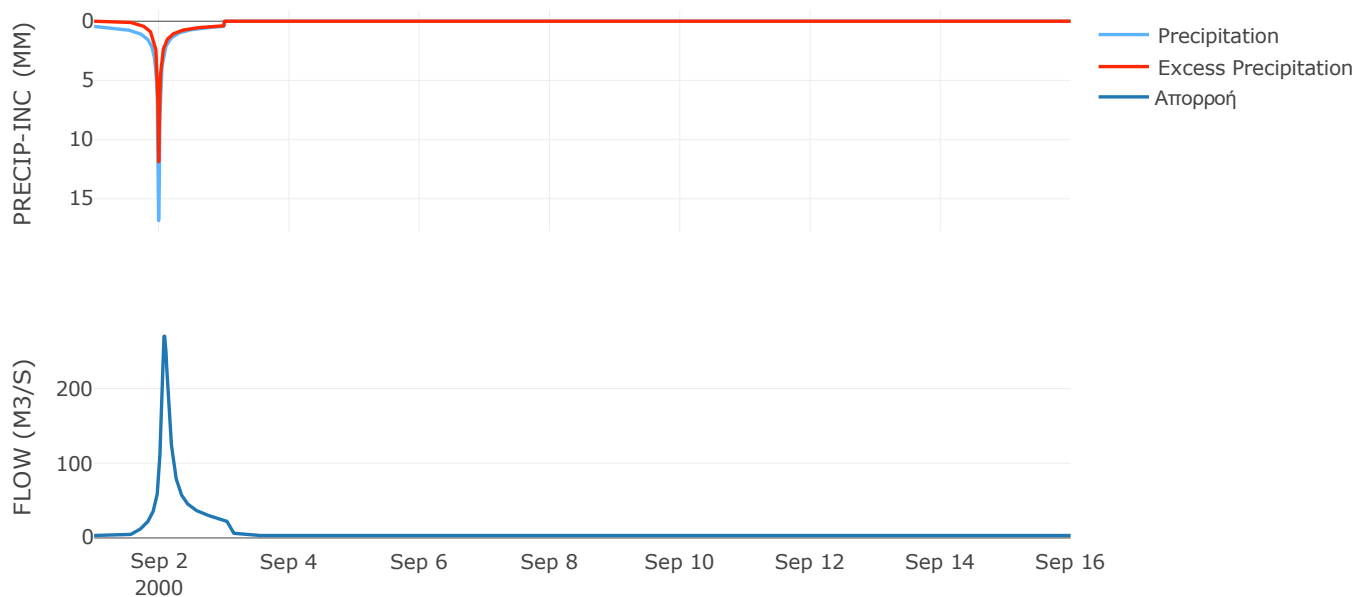
Μέθοδος
Μετασχηματισμού: SCS

Χρόνος Υστέρησης	104.29
------------------	--------

Αποτελέσματα:
EL0513FR7006

Παροχή αιχμής (M3/S)	270.05
Χρονική στιγμή αιχμής	02Sep2000, 02:00
Όγκος (MM)	237.96
Όγκος βροχόπτωσης (M3)	1.15E7
Όγκος απωλειών (M3)	4.6E6
Ενεργός Όγκος (M3)	6.93E6
Όγκος άμεσης απορροής (M3)	6.93E6
Όγκος βασικής απορροής (M3)	4.27E6

Βροχόπτωση και Απορροή



Υπολεκάνη: EL0513FR7007

Έκταση (KM2) : 2.05

Κατάνη : J15

Μέθοδος Απωλειών: SCS

Ποσοστό αδιαπέρατης επιφάνειας	0
Αριθμός Καμπύλης Απορροής-CN	89.33
Αρχικές Απώλειες	6.07

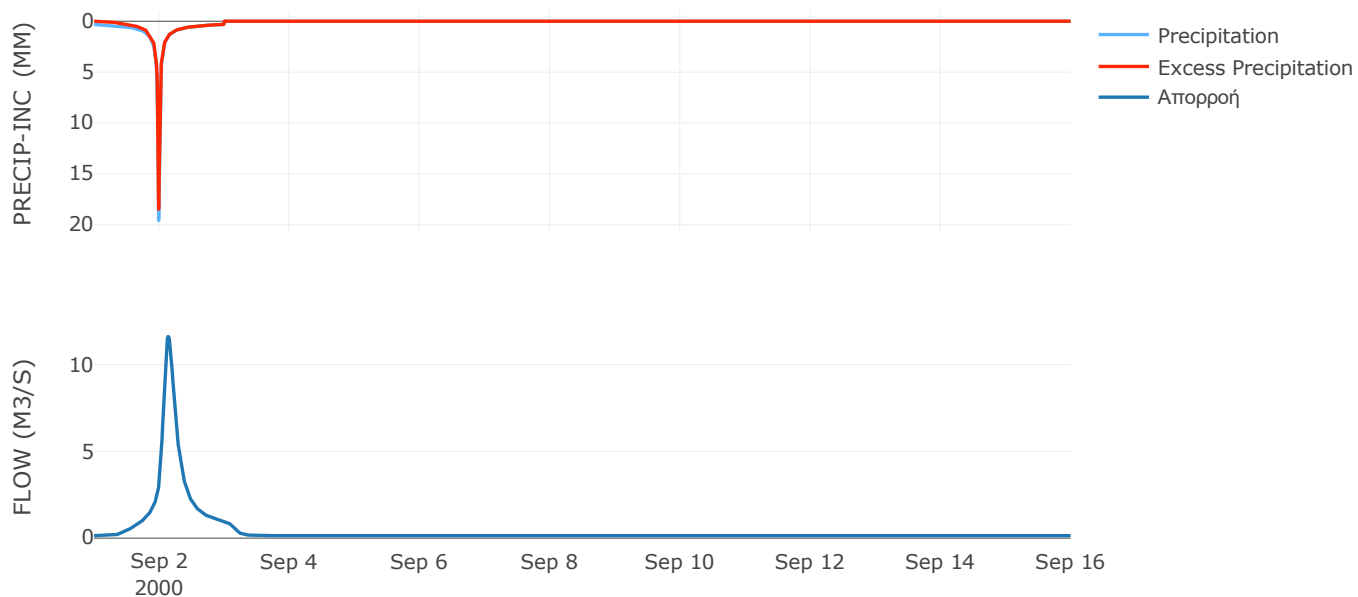
Μέθοδος
Μετασχηματισμού: SCS

Χρόνος Υστέρησης	192.52
------------------	--------

Αποτελέσματα:
EL0513FR7007

Παροχή αιχμής (M3/S)	11.62
Χρονική στιγμή αιχμής	02Sep2000, 03:15
Όγκος (MM)	274.03
Όγκος βροχόπτωσης (M3)	4.43E5
Όγκος απωλειών (M3)	66783.72
Ενεργός Όγκος (M3)	3.76E5
Όγκος άμεσης απορροής (M3)	3.76E5
Όγκος βασικής απορροής (M3)	1.86E5

Βροχόπτωση και Απορροή



Υπολεκάνη: EL0513FR7008

Έκταση (KM2) : 8

Κατάντη : J18

Μέθοδος Απωλειών: SCS

Ποσοστό αδιαπέρατης επιφάνειας	0
Αριθμός Καμπύλης Απορροής-CN	76.01
Αρχικές Απώλειες	16.03

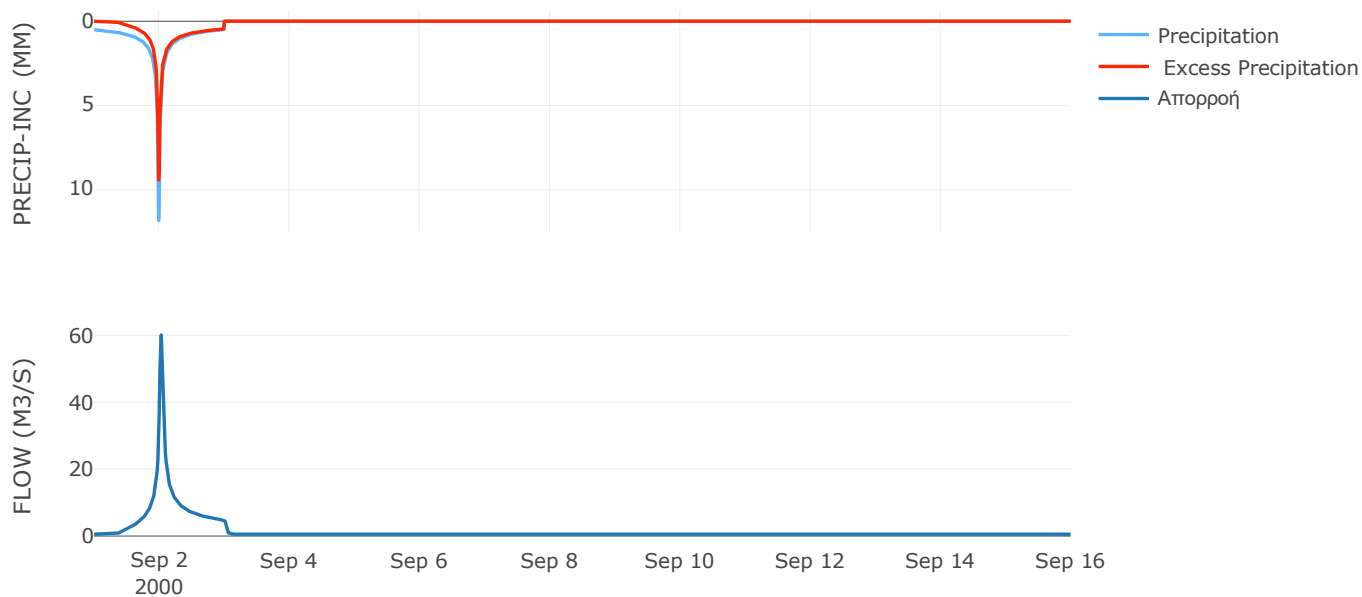
Μέθοδος
Μετασχηματισμού: SCS

Χρόνος Υστέρησης	36.94
------------------	-------

Αποτελέσματα:
EL0513FR7008

Παροχή αιχμής (M3/S)	60.08
Χρονική στιγμή αιχμής	02Sep2000, 00:45
Όγκος (MM)	250.58
Όγκος βροχόπτωσης (M3)	1.88E6
Όγκος απωλειών (M3)	5.97E5
Ενεργός Όγκος (M3)	1.28E6
Όγκος άμεσης απορροής (M3)	1.28E6
Όγκος βασικής απορροής (M3)	7.26E5

Βροχόπτωση και Απορροή



Υπολεκάνη: EL0513FR7009

Έκταση (KM2) : 25.56

Κατάντη : J17

Μέθοδος Απωλειών: SCS

Ποσοστό αδιαπέρατης επιφάνειας	0
Αριθμός Καμπύλης Απορροής-CN	76.43
Αρχικές Απώλειες	15.67

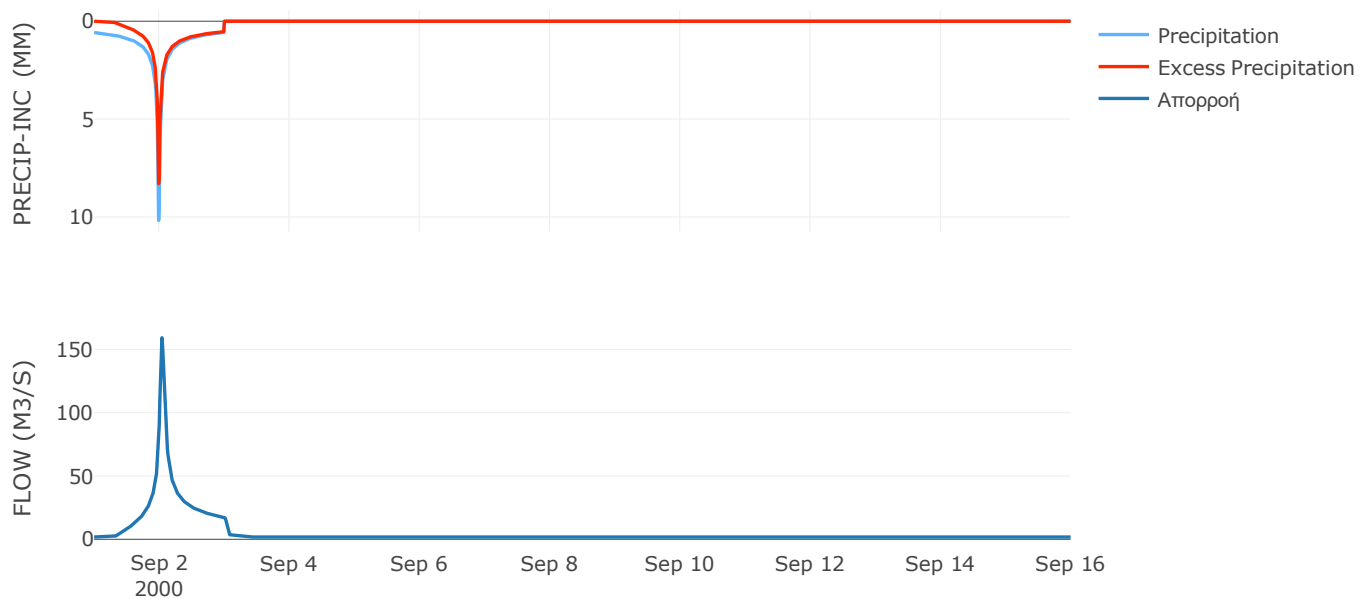
Μέθοδος
Μετασχηματισμού: SCS

Χρόνος Υστέρησης	54.4
------------------	------

Αποτελέσματα:
EL0513FR7009

Παροχή αιχμής (M3/S)	159.27
Χρονική στιγμή αιχμής	02Sep2000, 01:00
Όγκος (MM)	261.4
Όγκος βροχόπτωσης (M3)	6.26E6
Όγκος απωλειών (M3)	1.89E6
Ενεργός Όγκος (M3)	4.36E6
Όγκος άμεσης απορροής (M3)	4.36E6
Όγκος βασικής απορροής (M3)	2.32E6

Βροχόπτωση και Απορροή



Υπολεκάνη: EL0513FR7010

Έκταση (KM2) : 14.22

Κατάνη : J3

Μέθοδος Απωλειών: SCS

Ποσοστό αδιαπέρατης επιφάνειας	0
Αριθμός Καμπύλης Απορροής-CN	80.04
Αρχικές Απώλειες	12.67

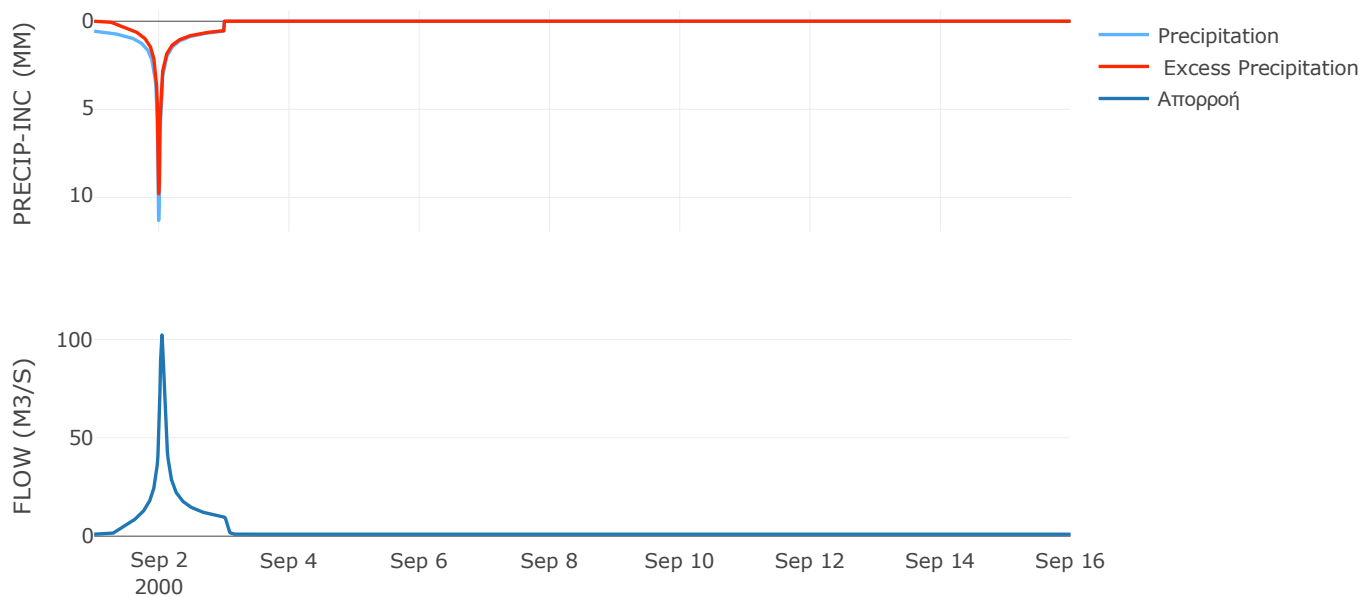
Μέθοδος
Μετασχηματισμού: SCS

Χρόνος Υστέρησης	53.17
------------------	-------

Αποτελέσματα:
EL0513FR7010

Παροχή αιχμής (M3/S)	102.27
Χρονική στιγμή αιχμής	02Sep2000, 01:00
Όγκος (MM)	277.99
Όγκος βροχόπτωσης (M3)	3.55E6
Όγκος απωλειών (M3)	8.91E5
Ενεργός Όγκος (M3)	2.66E6
Όγκος άμεσης απορροής (M3)	2.66E6
Όγκος βασικής απορροής (M3)	1.29E6

Βροχόπτωση και Απορροή



Υπολεκάνη: EL0513FR7011

Έκταση (KM2) : 27

Κατάντη : J3

Μέθοδος Απωλειών: SCS

Ποσοστό αδιαπέρατης επιφάνειας	0
Αριθμός Καμπύλης Απορροής-CN	83.4
Αρχικές Απώλειες	10.11

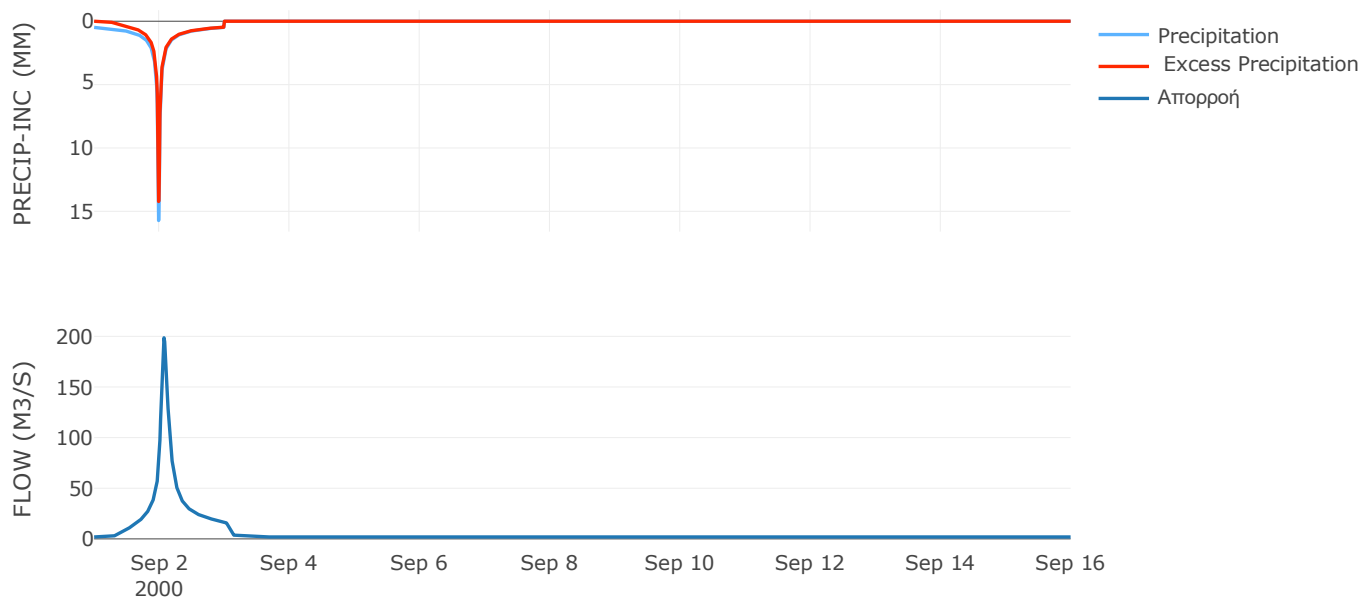
Μέθοδος
Μετασχηματισμού: SCS

Χρόνος Υστέρησης	99.74
------------------	-------

Αποτελέσματα:
EL0513FR7011

Παροχή αιχμής (M3/S)	198.58
Χρονική στιγμή αιχμής	02Sep2000, 01:45
Όγκος (MM)	293.6
Όγκος βροχόπτωσης (M3)	6.88E6
Όγκος απωλειών (M3)	1.4E6
Ενεργός Όγκος (M3)	5.48E6
Όγκος άμεσης απορροής (M3)	5.48E6
Όγκος βασικής απορροής (M3)	2.45E6

Βροχόπτωση και Απορροή



Υπολεκάνη: EL0513FR7012

Έκταση (KM2) : 36.83

Κατάντη : J14

Μέθοδος Απωλειών: SCS

Ποσοστό αδιαπέρατης επιφάνειας	0
Αριθμός Καμπύλης Απορροής-CN	82.95
Αρχικές Απώλειες	10.44

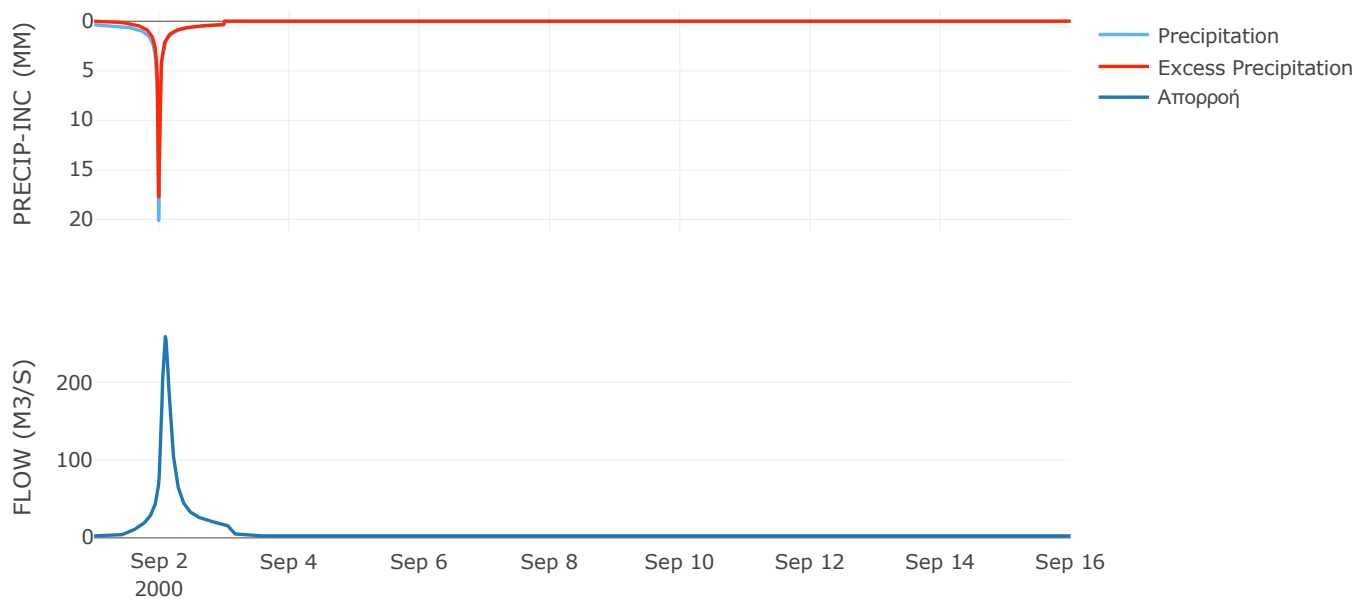
Μέθοδος
Μετασχηματισμού: SCS

Χρόνος Υστέρησης	127.1
------------------	-------

Αποτελέσματα:
EL0513FR7012

Παροχή αιχμής (M3/S)	258.73
Χρονική στιγμή αιχμής	02Sep2000, 02:15
Όγκος (MM)	268.79
Όγκος βροχόπτωσης (M3)	8.5E6
Όγκος απωλειών (M3)	1.94E6
Ενεργός Όγκος (M3)	6.56E6
Όγκος άμεσης απορροής (M3)	6.56E6
Όγκος βασικής απορροής (M3)	3.34E6

Βροχόπτωση και Απορροή



Υπολεκάνη: EL0513FR7013

Έκταση (KM2) : 10.56

Κατάντη : J6

Μέθοδος Απωλειών: SCS

Ποσοστό αδιαπέρατης επιφάνειας	0
Αριθμός Καμπύλης Απορροής-CN	85.91
Αρχικές Απώλειες	8.33

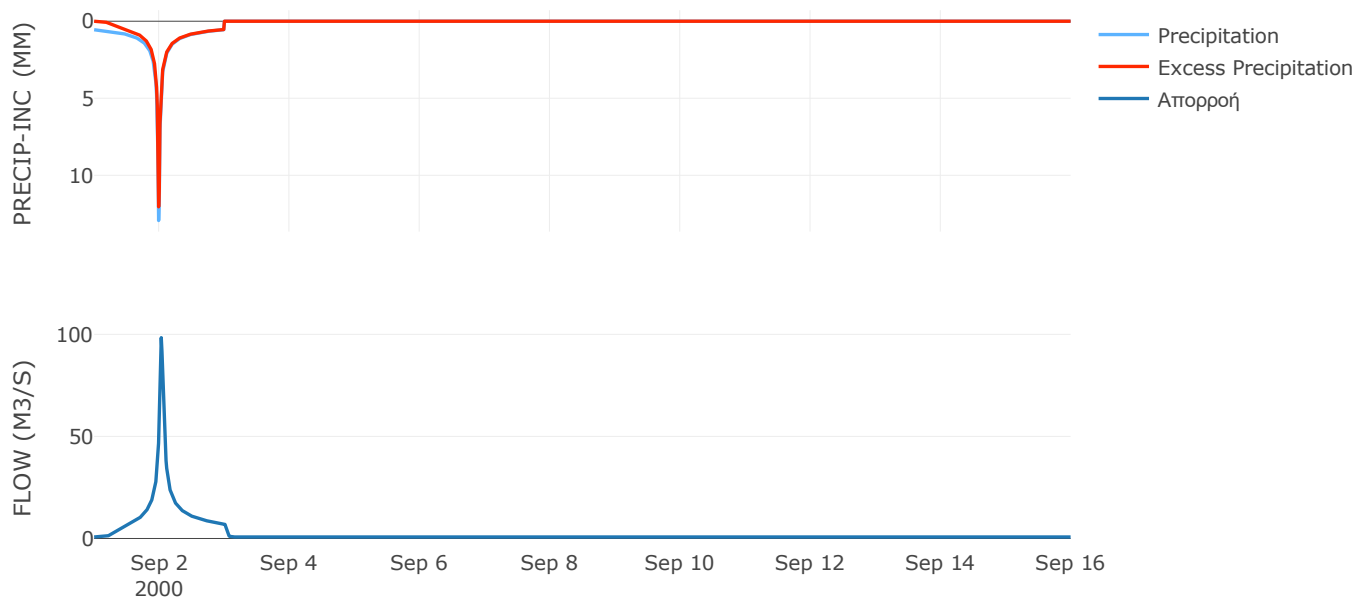
Μέθοδος
Μετασχηματισμού: SCS

Χρόνος Υστέρησης	41.66
------------------	-------

Αποτελέσματα:
EL0513FR7013

Παροχή αιχμής (M3/S)	98.36
Χρονική στιγμή αιχμής	02Sep2000, 00:45
Όγκος (MM)	304.68
Όγκος βροχόπτωσης (M3)	2.72E6
Όγκος απωλειών (M3)	4.65E5
Ενεργός Όγκος (M3)	2.26E6
Όγκος άμεσης απορροής (M3)	2.26E6
Όγκος βασικής απορροής (M3)	9.58E5

Βροχόπτωση και Απορροή



Υπολεκάνη: EL0513FR7014

Έκταση (KM2) : 22.48

Κατάντη : J5

Μέθοδος Απωλειών: SCS

Ποσοστό αδιαπέρατης επιφάνειας	0
Αριθμός Καμπύλης Απορροής-CN	70.45
Αρχικές Απώλειες	21.3

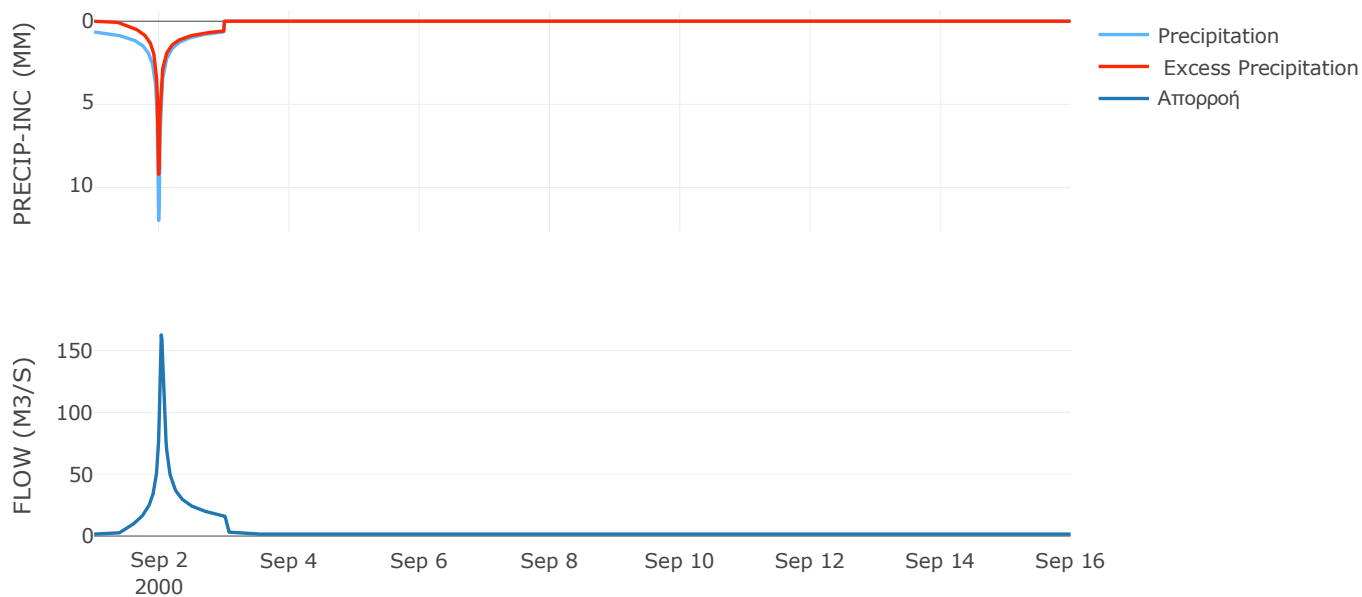
Μέθοδος
Μετασχηματισμού: SCS

Χρόνος Υστέρησης	45.52
------------------	-------

Αποτελέσματα:
EL0513FR7014

Παροχή αιχμής (M3/S)	162.65
Χρονική στιγμή αιχμής	02Sep2000, 00:45
Όγκος (MM)	273.04
Όγκος βροχόπτωσης (M3)	6.27E6
Όγκος απωλειών (M3)	2.17E6
Ενεργός Όγκος (M3)	4.1E6
Όγκος άμεσης απορροής (M3)	4.1E6
Όγκος βασικής απορροής (M3)	2.04E6

Βροχόπτωση και Απορροή



Υπολεκάνη: EL0513FR7015

Έκταση (KM2) : 54.51

Κατάντη : J6

Μέθοδος Απωλειών: SCS

Ποσοστό αδιαπέρατης επιφάνειας	0
Αριθμός Καμπύλης Απορροής-CN	80.6
Αρχικές Απώλειες	12.23

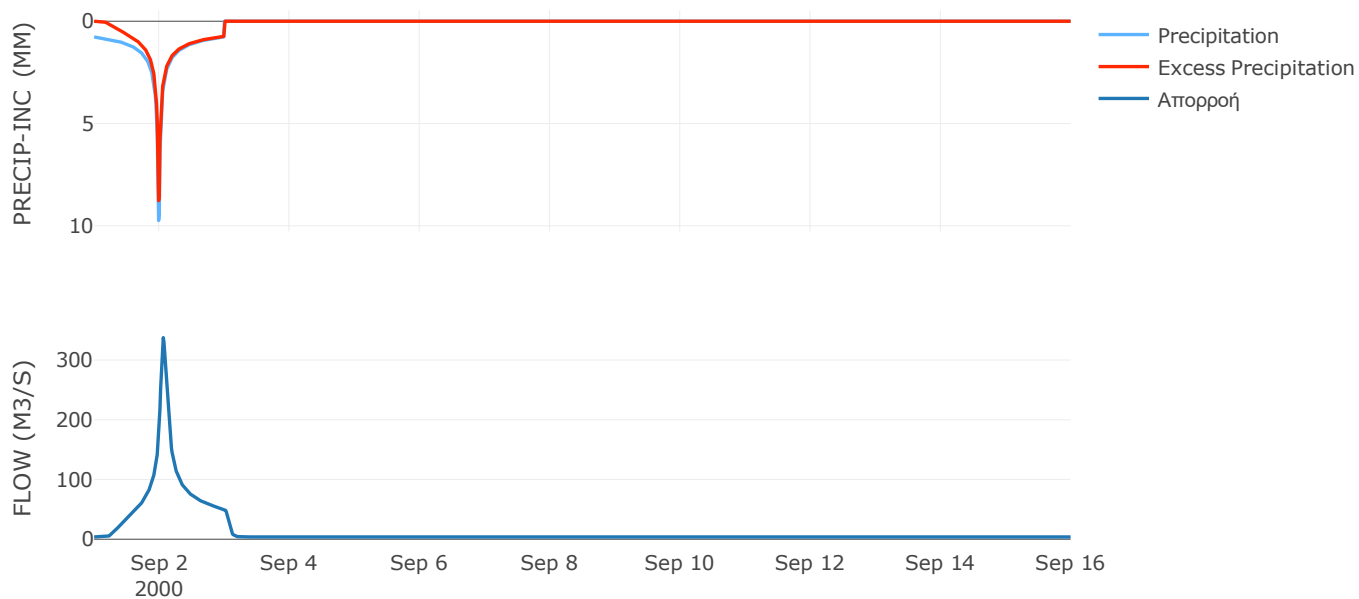
Μέθοδος
Μετασχηματισμού: SCS

Χρόνος Υστέρησης	82.18
------------------	-------

Αποτελέσματα:
EL0513FR7015

Παροχή αιχμής (M3/S)	337.5
Χρονική στιγμή αιχμής	02Sep2000, 01:30
Όγκος (MM)	323.35
Όγκος βροχόπτωσης (M3)	1.61E7
Όγκος απωλειών (M3)	3.41E6
Ενεργός Όγκος (M3)	1.27E7
Όγκος άμεσης απορροής (M3)	1.27E7
Όγκος βασικής απορροής (M3)	4.95E6

Βροχόπτωση και Απορροή



Υπολεκάνη: EL0513FR7016

Έκταση (KM2) : 13.52

Κατάντη : J4

Μέθοδος Απωλειών: SCS

Ποσοστό αδιαπέρατης επιφάνειας	0
Αριθμός Καμπύλης Απορροής-CN	67.74
Αρχικές Απώλειες	24.19

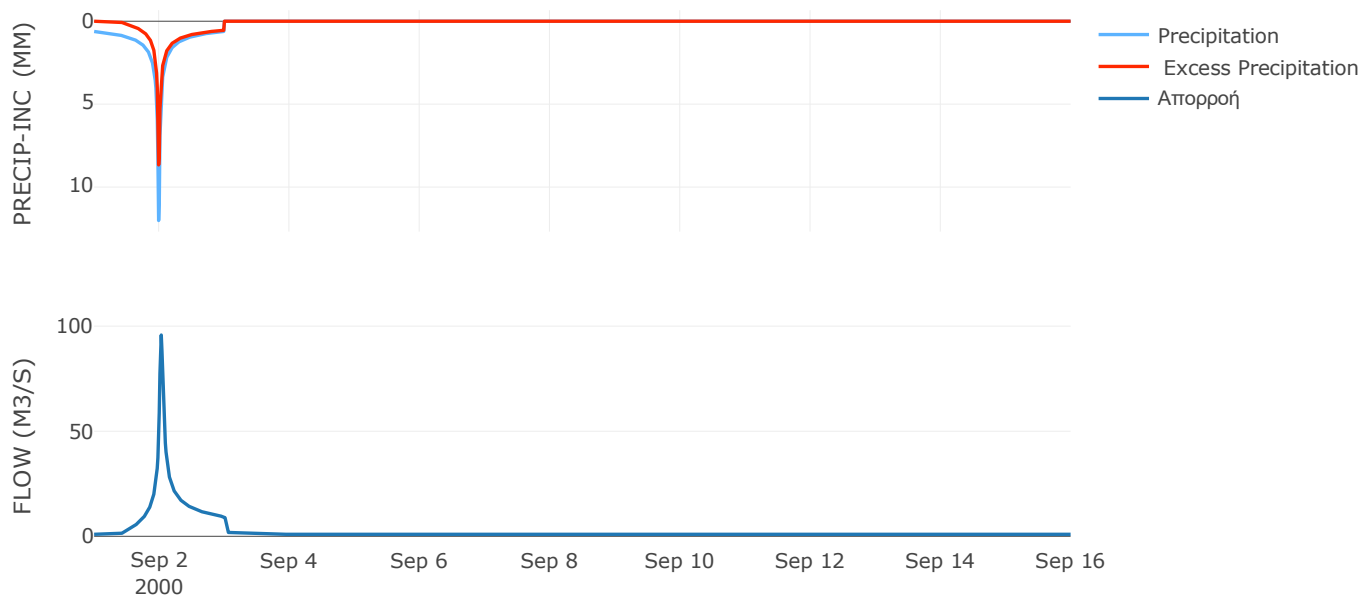
Μέθοδος
Μετασχηματισμού: SCS

Χρόνος Υστέρησης	38.47
------------------	-------

Αποτελέσματα:
EL0513FR7016

Παροχή αιχμής (M3/S)	95.79
Χρονική στιγμή αιχμής	02Sep2000, 00:45
Όγκος (MM)	256.46
Όγκος βροχόπτωσης (M3)	3.66E6
Όγκος απωλειών (M3)	1.42E6
Ενεργός Όγκος (M3)	2.24E6
Όγκος άμεσης απορροής (M3)	2.24E6
Όγκος βασικής απορροής (M3)	1.23E6

Βροχόπτωση και Απορροή



Υπολεκάνη: EL0513FR7017

Έκταση (KM2) : 45.33

Κατάντη : J5

Μέθοδος Απωλειών: SCS

Ποσοστό αδιαπέρατης επιφάνειας	0
Αριθμός Καμπύλης Απορροής-CN	68.66
Αρχικές Απώλειες	23.19

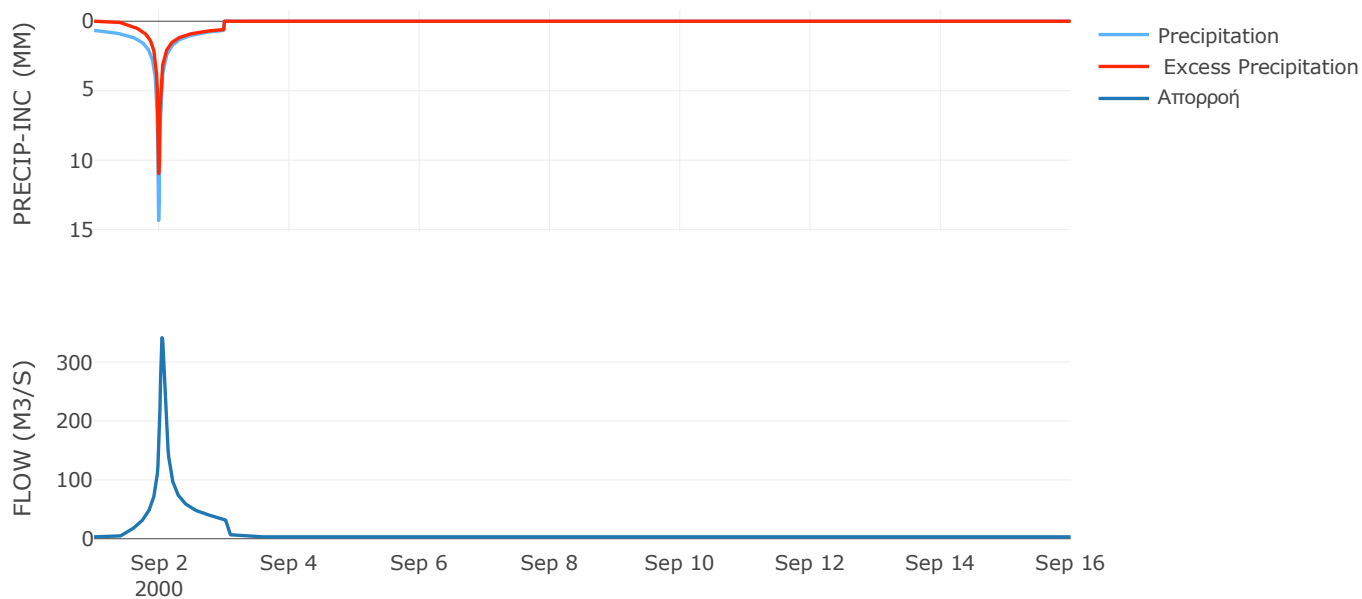
Μέθοδος
Μετασχηματισμού: SCS

Χρόνος Υστέρησης	61.55
------------------	-------

Αποτελέσματα:
EL0513FR7017

Παροχή αιχμής (M3/S)	341.57
Χρονική στιγμή αιχμής	02Sep2000, 01:00
Όγκος (MM)	286.03
Όγκος βροχόπτωσης (M3)	1.36E7
Όγκος απωλειών (M3)	4.76E6
Ενεργός Όγκος (M3)	8.85E6
Όγκος άμεσης απορροής (M3)	8.85E6
Όγκος βασικής απορροής (M3)	4.11E6

Βροχόπτωση και Απορροή



Υπολεκάνη: EL0513FR7018

Έκταση (KM2) : 32.48

Κατάντη : J10

Μέθοδος Απωλειών: SCS

Ποσοστό αδιαπέρατης επιφάνειας	0
Αριθμός Καμπύλης Απορροής-CN	72.61
Αρχικές Απώλειες	19.16

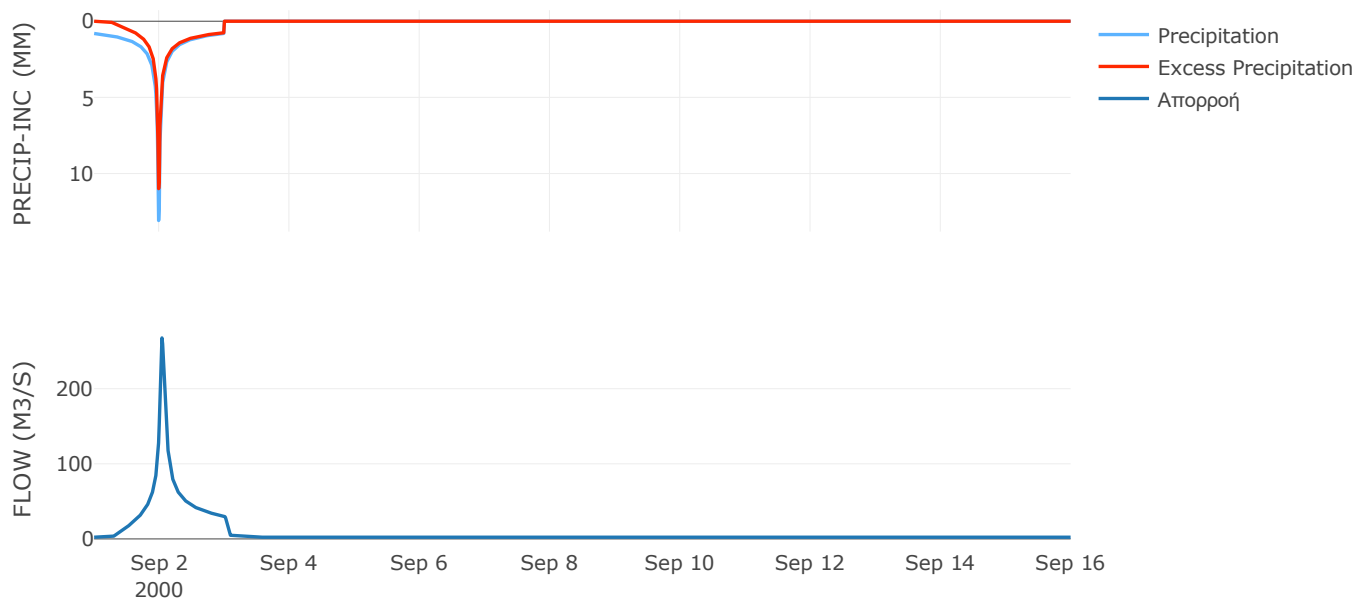
Μέθοδος
Μετασχηματισμού: SCS

Χρόνος Υστέρησης	57.41
------------------	-------

Αποτελέσματα:
EL0513FR7018

Παροχή αιχμής (M3/S)	267.63
Χρονική στιγμή αιχμής	02Sep2000, 01:00
Όγκος (MM)	331.45
Όγκος βροχόπτωσης (M3)	1.08E7
Όγκος απωλειών (M3)	3.01E6
Ενεργός Όγκος (M3)	7.82E6
Όγκος άμεσης απορροής (M3)	7.82E6
Όγκος βασικής απορροής (M3)	2.95E6

Βροχόπτωση και Απορροή



Υπολεκάνη: EL0513FR7019

Έκταση (KM2) : 40.09

Κατάντη : J12

Μέθοδος Απωλειών: SCS

Ποσοστό αδιαπέρατης επιφάνειας	0
Αριθμός Καμπύλης Απορροής-CN	82.09
Αρχικές Απώλειες	11.08

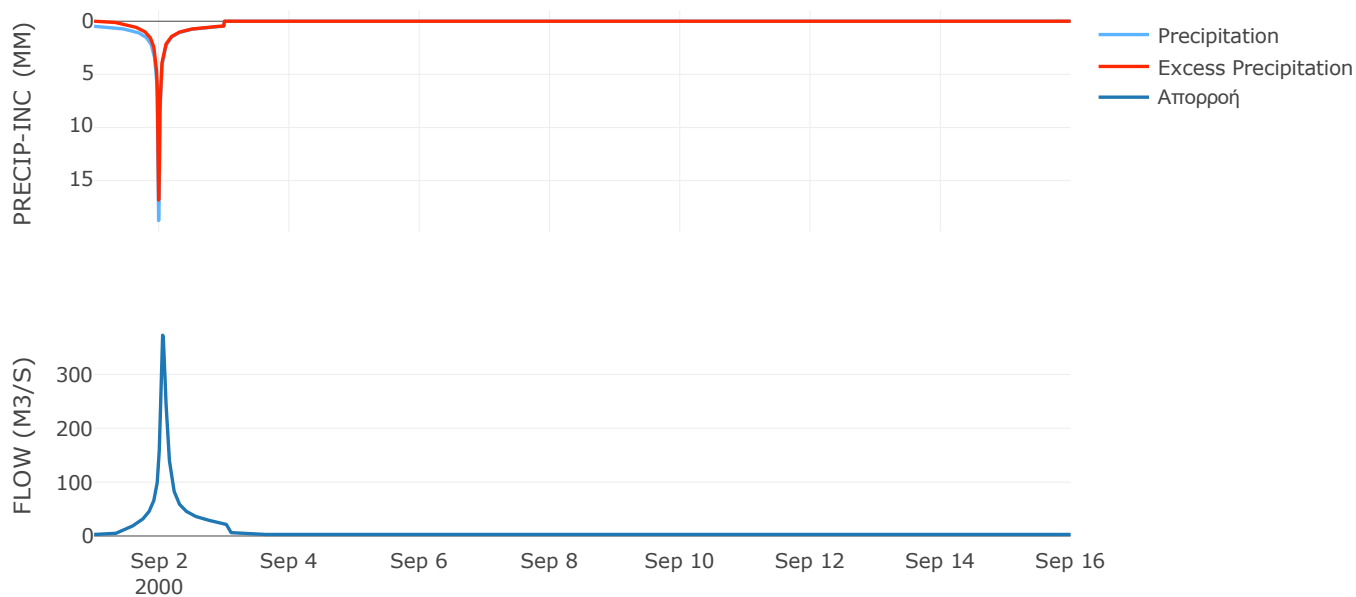
Μέθοδος
Μετασχηματισμού: SCS

Χρόνος Υστέρησης	77.22
------------------	-------

Αποτελέσματα:
EL0513FR7019

Παροχή αιχμής (M3/S)	373.08
Χρονική στιγμή αιχμής	02Sep2000, 01:15
Όγκος (MM)	301.35
Όγκος βροχόπτωσης (M3)	1.07E7
Όγκος απωλειών (M3)	2.27E6
Ενεργός Όγκος (M3)	8.44E6
Όγκος άμεσης απορροής (M3)	8.44E6
Όγκος βασικής απορροής (M3)	3.64E6

Βροχόπτωση και Απορροή



Υπολεκάνη: EL0513FR7020

Έκταση (KM2) : 21.52

Κατάνη : J11

Μέθοδος Απωλειών: SCS

Ποσοστό αδιαπέρατης επιφάνειας	0
Αριθμός Καμπύλης Απορροής-CN	77.5
Αρχικές Απώλειες	14.75

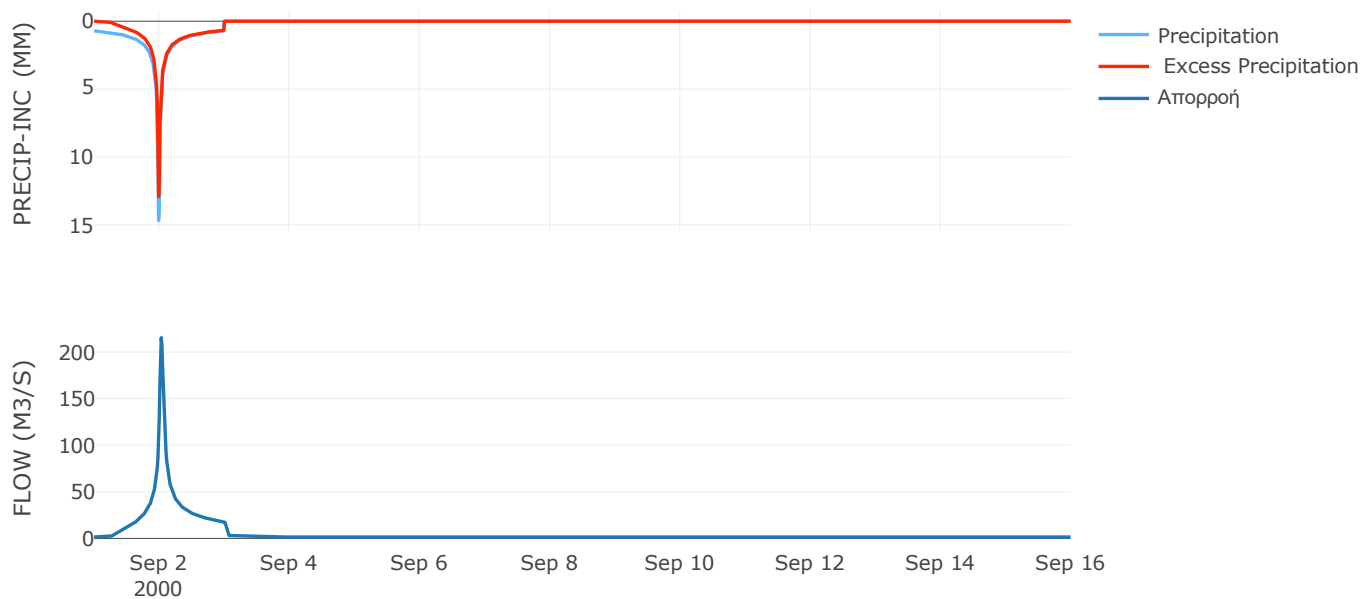
Μέθοδος
Μετασχηματισμού: SCS

Χρόνος Υστέρησης	44.22
------------------	-------

Αποτελέσματα:
EL0513FR7020

Παροχή αιχμής (M3/S)	215.46
Χρονική στιγμή αιχμής	02Sep2000, 00:45
Όγκος (MM)	332.49
Όγκος βροχόπτωσης (M3)	6.79E6
Όγκος απωλειών (M3)	1.59E6
Ενεργός Όγκος (M3)	5.2E6
Όγκος άμεσης απορροής (M3)	5.2E6
Όγκος βασικής απορροής (M3)	1.95E6

Βροχόπτωση και Απορροή



Υπολεκάνη: EL0513FR7021

Έκταση (KM2) : 23.01

Κατάντη : J12

Μέθοδος Απωλειών: SCS

Ποσοστό αδιαπέρατης επιφάνειας	0
Αριθμός Καμπύλης Απορροής-CN	74.59
Αρχικές Απώλειες	17.31

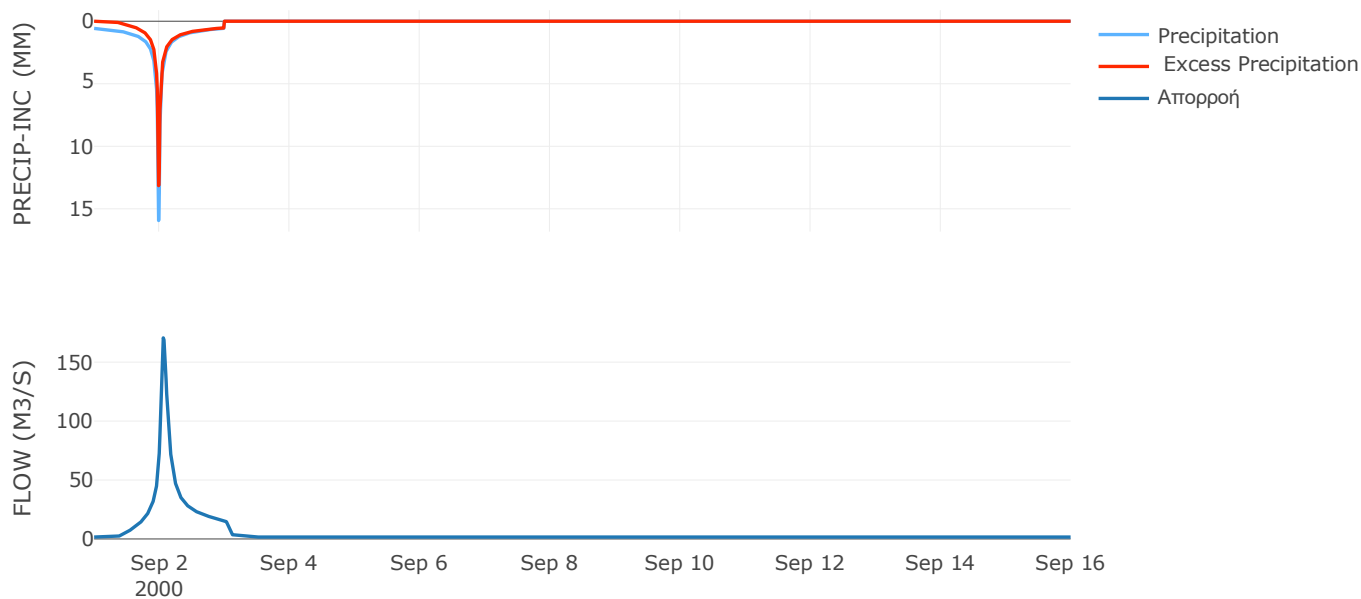
Μέθοδος
Μετασχηματισμού: SCS

Χρόνος Υστέρησης	88.7
------------------	------

Αποτελέσματα:
EL0513FR7021

Παροχή αιχμής (M3/S)	170.58
Χρονική στιγμή αιχμής	02Sep2000, 01:30
Όγκος (MM)	292
Όγκος βροχόπτωσης (M3)	6.53E6
Όγκος απωλειών (M3)	1.9E6
Ενεργός Όγκος (M3)	4.63E6
Όγκος άμεσης απορροής (M3)	4.63E6
Όγκος βασικής απορροής (M3)	2.09E6

Βροχόπτωση και Απορροή



Υπολεκάνη: EL0513FR7022

Έκταση (KM2) : 10.49

Κατάντη : J10

Μέθοδος Απωλειών: SCS

Ποσοστό αδιαπέρατης επιφάνειας	0
Αριθμός Καμπύλης Απορροής-CN	77.31
Αρχικές Απώλειες	14.91

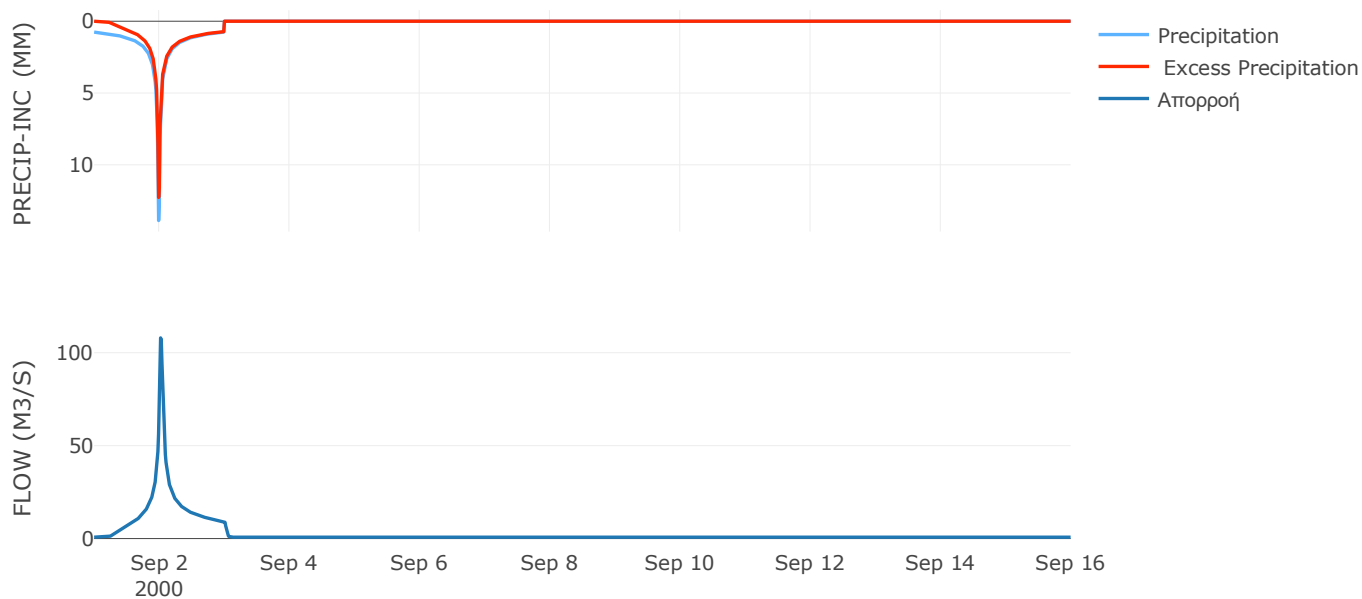
Μέθοδος
Μετασχηματισμού: SCS

Χρόνος Υστέρησης	34.7
------------------	------

Αποτελέσματα:
EL0513FR7022

Παροχή αιχμής (M3/S)	107.98
Χρονική στιγμή αιχμής	02Sep2000, 00:30
Όγκος (MM)	342
Όγκος βροχόπτωσης (M3)	3.42E6
Όγκος απωλειών (M3)	7.88E5
Ενεργός Όγκος (M3)	2.64E6
Όγκος άμεσης απορροής (M3)	2.64E6
Όγκος βασικής απορροής (M3)	9.52E5

Βροχόπτωση και Απορροή



Υπολεκάνη: EL0513FR7023

Έκταση (KM2) : 25.04

Κατάντη : J8

Μέθοδος Απωλειών: SCS

Ποσοστό αδιαπέρατης επιφάνειας	0
Αριθμός Καμπύλης Απορροής-CN	82.21
Αρχικές Απώλειες	10.99

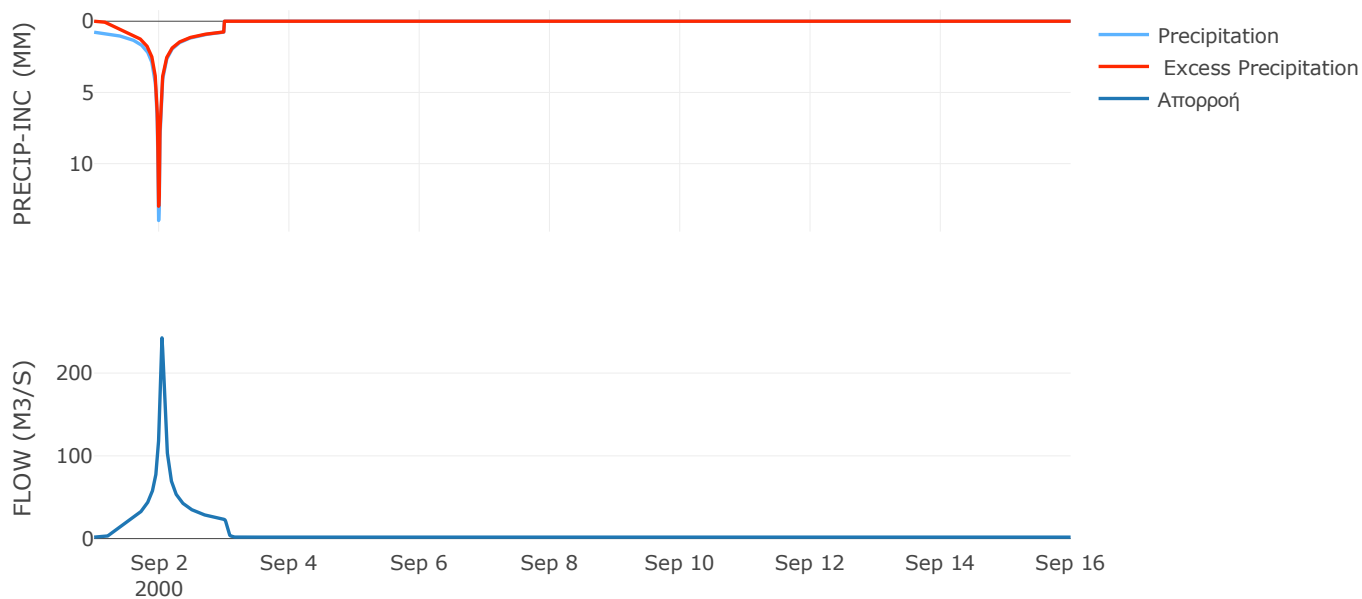
Μέθοδος
Μετασχηματισμού: SCS

Χρόνος Υστέρησης	53.68
------------------	-------

Αποτελέσματα:
EL0513FR7023

Παροχή αιχμής (M3/S)	242.62
Χρονική στιγμή αιχμής	02Sep2000, 01:00
Όγκος (MM)	363.91
Όγκος βροχόπτωσης (M3)	8.29E6
Όγκος απωλειών (M3)	1.45E6
Ενεργός Όγκος (M3)	6.84E6
Όγκος άμεσης απορροής (M3)	6.84E6
Όγκος βασικής απορροής (M3)	2.27E6

Βροχόπτωση και Απορροή



Υπολεκάνη: EL0513FR7024

Έκταση (KM2) : 52.1

Κατάντη : J7

Μέθοδος Απωλειών: SCS

Ποσοστό αδιαπέρατης επιφάνειας	0
Αριθμός Καμπύλης Απορροής-CN	81.72
Αρχικές Απώλειες	11.36

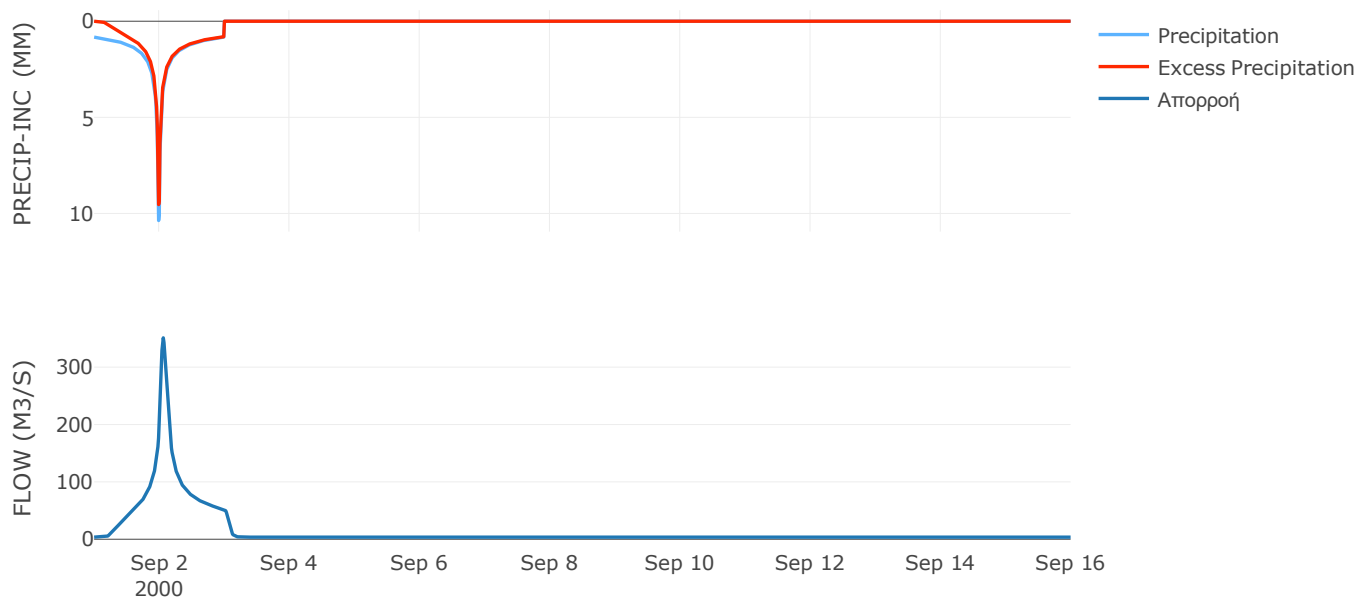
Μέθοδος
Μετασχηματισμού: SCS

Χρόνος Υστέρησης	82.73
------------------	-------

Αποτελέσματα:
EL0513FR7024

Παροχή αιχμής (M3/S)	351.11
Χρονική στιγμή αιχμής	02Sep2000, 01:30
Όγκος (MM)	348.42
Όγκος βροχόπτωσης (M3)	1.65E7
Όγκος απωλειών (M3)	3.09E6
Ενεργός Όγκος (M3)	1.34E7
Όγκος άμεσης απορροής (M3)	1.34E7
Όγκος βασικής απορροής (M3)	4.73E6

Βροχόπτωση και Απορροή



Υπολεκάνη: EL0513FR7025

Έκταση (KM2) : 25.4

Κατάντη : J7

Μέθοδος Απωλειών: SCS

Ποσοστό αδιαπέρατης επιφάνειας	0
Αριθμός Καμπύλης Απορροής-CN	86.56
Αρχικές Απώλειες	7.88

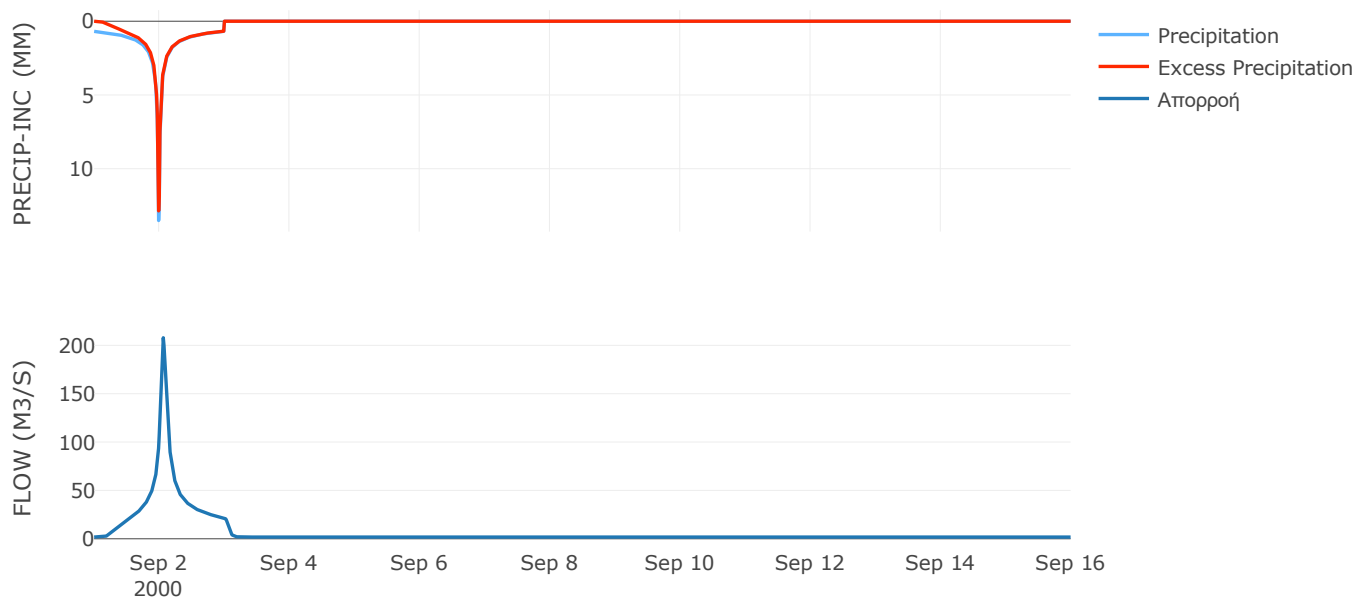
Μέθοδος
Μετασχηματισμού: SCS

Χρόνος Υστέρησης	80.14
------------------	-------

Αποτελέσματα:
EL0513FR7025

Παροχή αιχμής (M3/S)	207.85
Χρονική στιγμή αιχμής	02Sep2000, 01:30
Όγκος (MM)	351.01
Όγκος βροχόπτωσης (M3)	7.69E6
Όγκος απωλειών (M3)	1.08E6
Ενεργός Όγκος (M3)	6.61E6
Όγκος άμεσης απορροής (M3)	6.61E6
Όγκος βασικής απορροής (M3)	2.3E6

Βροχόπτωση και Απορροή



Υπολεκάνη: EL0513FR7026

Έκταση (KM2) : 15.52

Κατάντη : J9

Μέθοδος Απωλειών: SCS

Ποσοστό αδιαπέρατης επιφάνειας	0
Αριθμός Καμπύλης Απορροής-CN	90.76
Αρχικές Απώλειες	5.17

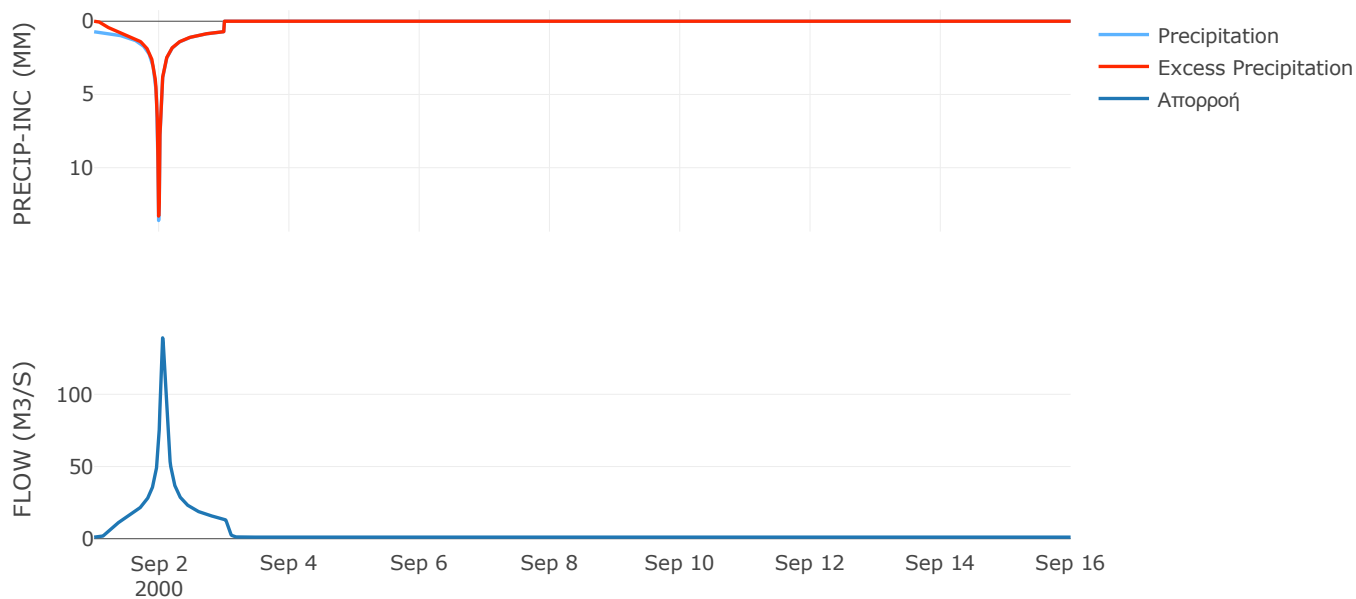
Μέθοδος
Μετασχηματισμού: SCS

Χρόνος Υστέρησης	71.44
------------------	-------

Αποτελέσματα:
EL0513FR7026

Παροχή αιχμής (M3/S)	139.09
Χρονική στιγμή αιχμής	02Sep2000, 01:15
Όγκος (MM)	374.6
Όγκος βροχόπτωσης (M3)	4.86E6
Όγκος απωλειών (M3)	4.5E5
Ενεργός Όγκος (M3)	4.41E6
Όγκος άμεσης απορροής (M3)	4.41E6
Όγκος βασικής απορροής (M3)	1.41E6

Βροχόπτωση και Απορροή



Υπολεκάνη: EL0513FR7027

Έκταση (KM2) : 34.03

Κατάντη : J9

Μέθοδος Απωλειών: SCS

Ποσοστό αδιαπέρατης επιφάνειας	0
Αριθμός Καμπύλης Απορροής-CN	82.78
Αρχικές Απώλειες	10.56

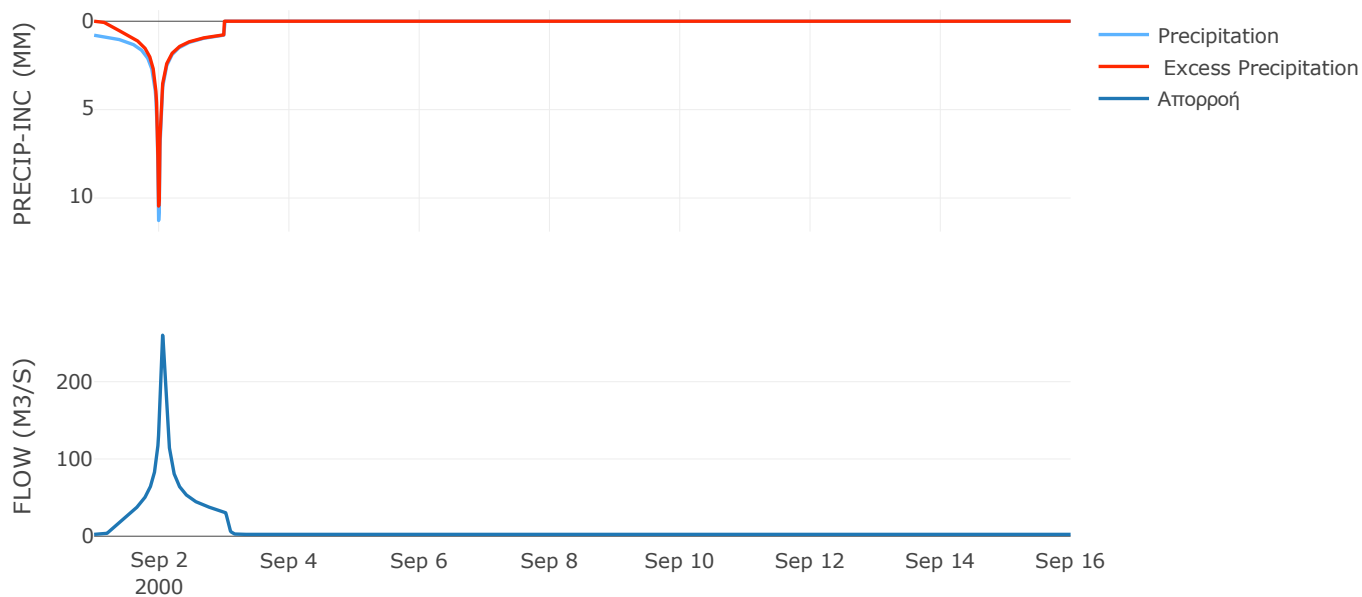
Μέθοδος
Μετασχηματισμού: SCS

Χρόνος Υστέρησης	67.22
------------------	-------

Αποτελέσματα:
EL0513FR7027

Παροχή αιχμής (M3/S)	260.18
Χρονική στιγμή αιχμής	02Sep2000, 01:15
Όγκος (MM)	350.04
Όγκος βροχόπτωσης (M3)	1.07E7
Όγκος απωλειών (M3)	1.89E6
Ενεργός Όγκος (M3)	8.82E6
Όγκος άμεσης απορροής (M3)	8.82E6
Όγκος βασικής απορροής (M3)	3.09E6

Βροχόπτωση και Απορροή



Υπολεκάνη: EL0513FR7028

Έκταση (KM2) : 71.91

Κατάντη : J13

Μέθοδος Απωλειών: SCS

Ποσοστό αδιαπέρατης επιφάνειας	0
Αριθμός Καμπύλης Απορροής-CN	81.84
Αρχικές Απώλειες	11.27

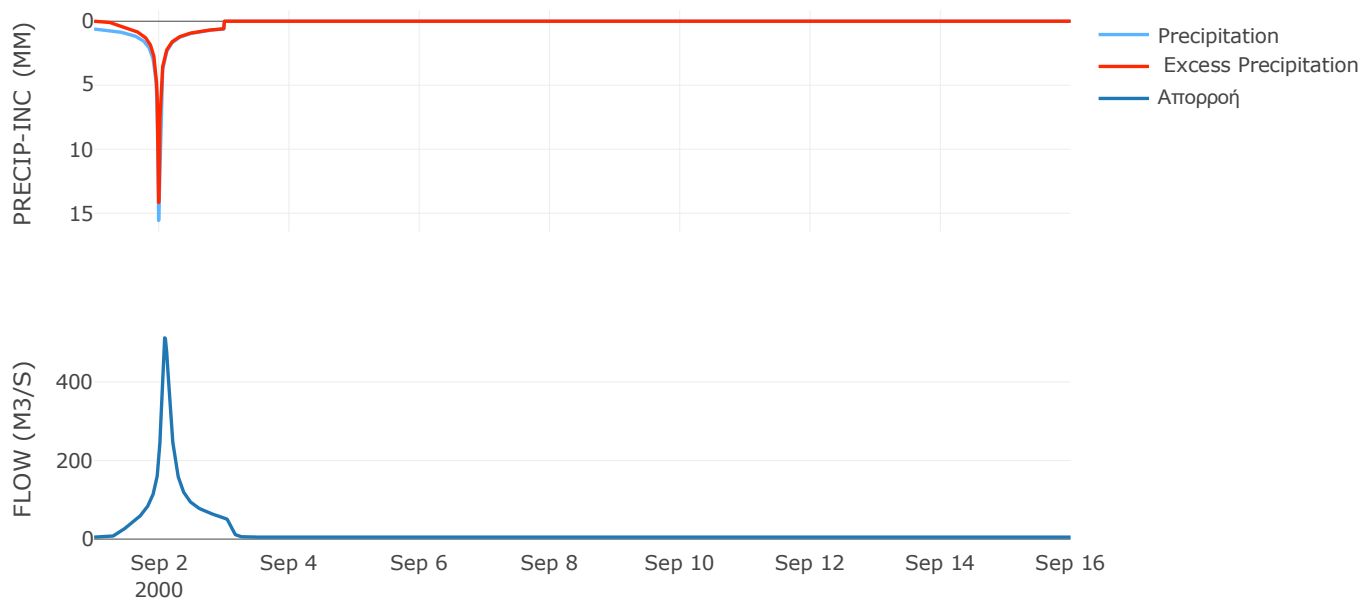
Μέθοδος
Μετασχηματισμού: SCS

Χρόνος Υστέρησης	120.1
------------------	-------

Αποτελέσματα:
EL0513FR7028

Παροχή αιχμής (M3/S)	512.09
Χρονική στιγμή αιχμής	02Sep2000, 02:00
Όγκος (MM)	325.55
Όγκος βροχόπτωσης (M3)	2.11E7
Όγκος απωλειών (M3)	4.19E6
Ενεργός Όγκος (M3)	1.69E7
Όγκος άμεσης απορροής (M3)	1.69E7
Όγκος βασικής απορροής (M3)	6.52E6

Βροχόπτωση και Απορροή



Υπολεκάνη: EL0513FR7029

Έκταση (KM2) : 1.99

Κατάντη : J3

Μέθοδος Απωλειών: SCS

Ποσοστό αδιαπέρατης επιφάνειας	0
Αριθμός Καμπύλης Απορροής-CN	89.14
Αρχικές Απώλειες	6.19

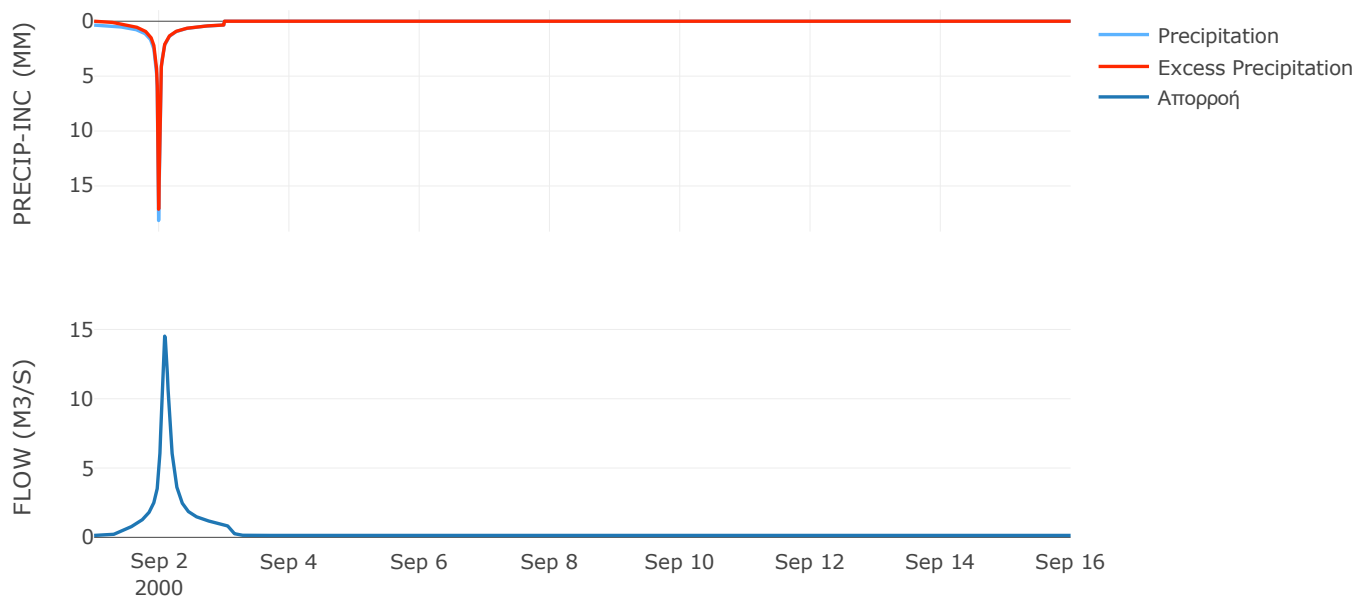
Μέθοδος
Μετασχηματισμού: SCS

Χρόνος Υστέρησης	116.24
------------------	--------

Αποτελέσματα:
EL0513FR7029

Παροχή αιχμής (M3/S)	14.52
Χρονική στιγμή αιχμής	02Sep2000, 02:00
Όγκος (MM)	277.39
Όγκος βροχόπτωσης (M3)	4.36E5
Όγκος απωλειών (M3)	65947.44
Ενεργός Όγκος (M3)	3.71E5
Όγκος άμεσης απορροής (M3)	3.71E5
Όγκος βασικής απορροής (M3)	1.8E5

Βροχόπτωση και Απορροή



7.2 Δεδομένα και υδρογραφήματα σχεδιασμού Κλάδων υδρογραφικού δικτύου

Κλάδος: R21

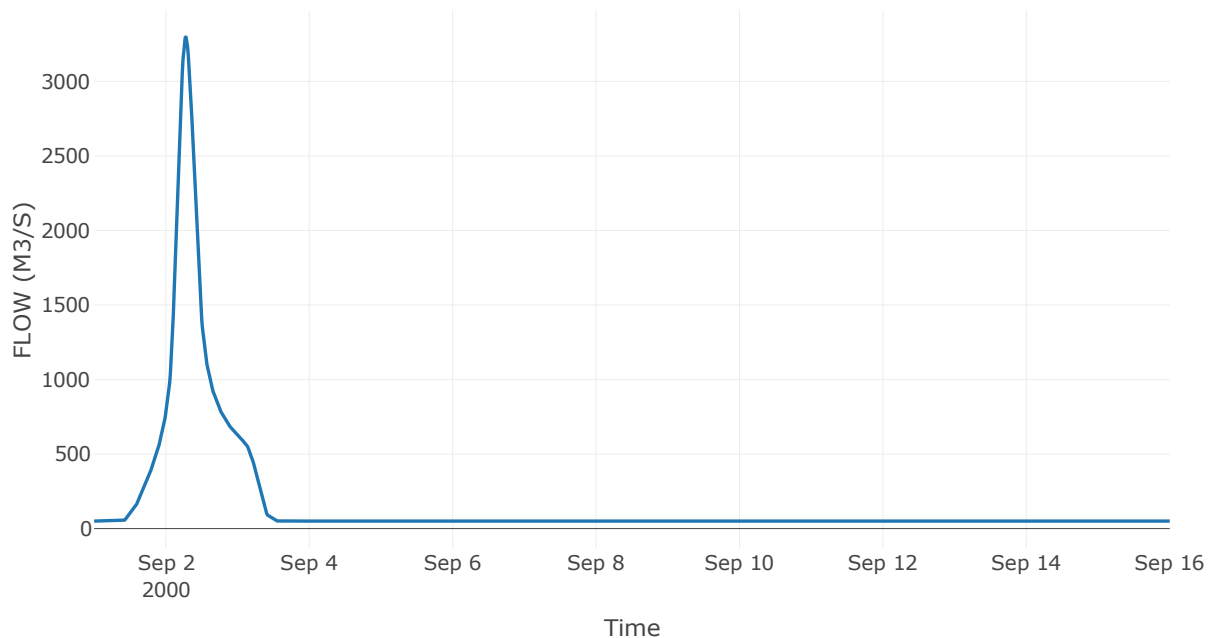
Κατάντη : J1

Μέθοδος Διόδευσης	Muskingum
Αρχική Μεταβλητή	Combined Inflow
Χρόνος Ροής K	1.73
Συντελεστής βάρους x	0.2
Πλήθος Υποκλάδων	7

Αποτελέσματα: R21

Παροχή αιχμής (M3/S)	3297.19
Χρονική στιγμή αιχμής	02Sep2000, 06:45
Όγκος (MM)	304.66
Παροχή Αιχμής Εισόδου (M3/S)	3350.15
Όγκος Εισροής (M3)	2.19E8

Απορροή



Κλάδος: R32

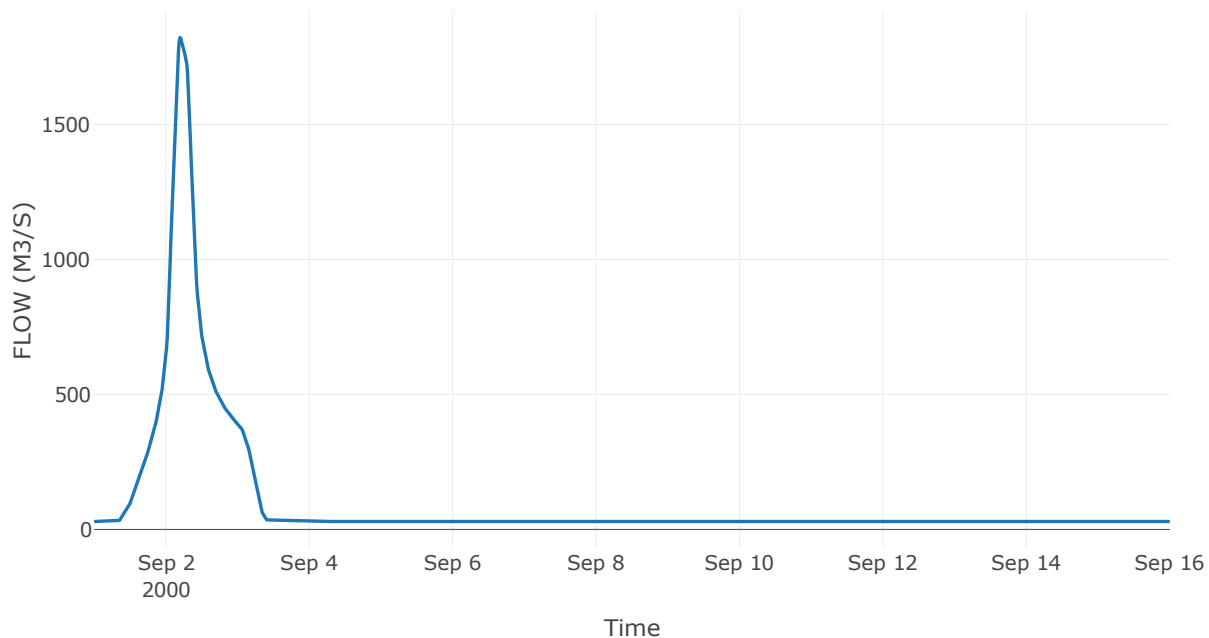
Κατάντη : J2

Μέθοδος Διόδευσης	Muskingum
Αρχική Μεταβλητή	Combined Inflow
Χρόνος Ροής K	0.87
Συντελεστής βάρους x	0.2
Πλήθος Υποκλάδων	4

Αποτελέσματα: R32

Παροχή αιχμής (M3/S)	1822.58
Χρονική στιγμή αιχμής	02Sep2000, 04:45
Όγκος (MM)	317.51
Παροχή Αιχμής Εισόδου (M3/S)	1837.26
Όγκος Εισροής (M3)	1.33E8

Απορροή



Κλάδος: R43

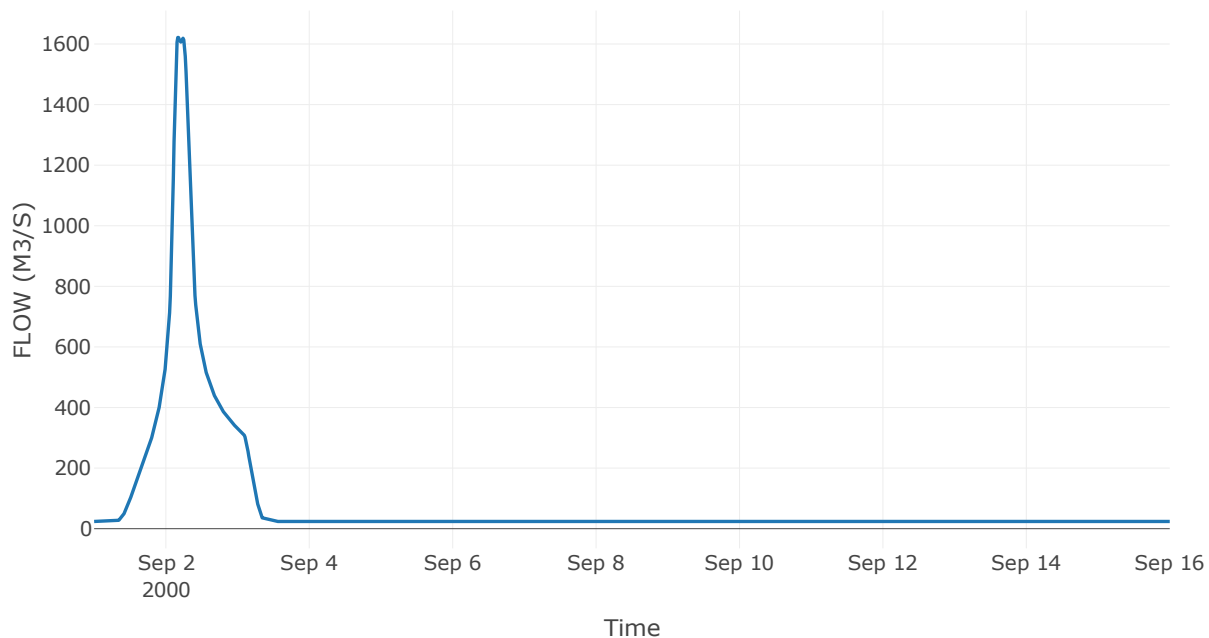
Κατάντη : J3

Μέθοδος Διόδευσης	Muskingum
Αρχική Μεταβλητή	Combined Inflow
Χρόνος Ροής K	2.08
Συντελεστής βάρους x	0.2
Πλήθος Υποκλάδων	9

Αποτελέσματα: R43

Παροχή αιχμής (M3/S)	1621.61
Χρονική στιγμή αιχμής	02Sep2000, 04:00
Όγκος (MM)	327.05
Παροχή Αιχμής Εισόδου (M3/S)	1683.47
Όγκος Εισροής (M3)	1.12E8

Απορροή



Κλάδος: R54

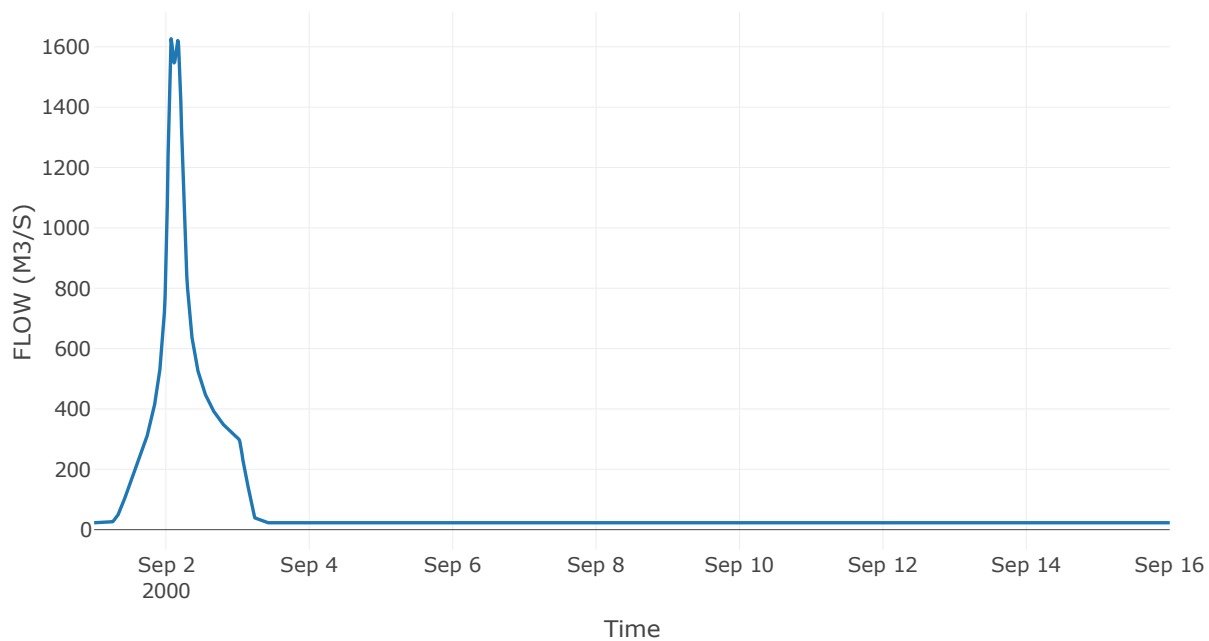
Κατάντη : J4

Μέθοδος Διόδευσης	Χρόνος
Αρχική Μεταβλητή	Combined Inflow
Χρόνος Υστέρησης	12.64

Αποτελέσματα: R54

Παροχή αιχμής (M3/S)	1626.61
Χρονική στιγμή αιχμής	02Sep2000, 01:45
Όγκος (MM)	329.96
Παροχή Αιχμής Εισόδου (M3/S)	1629.2
Όγκος Εισροής (M3)	1.08E8

Απορροή



Κλάδος: R65

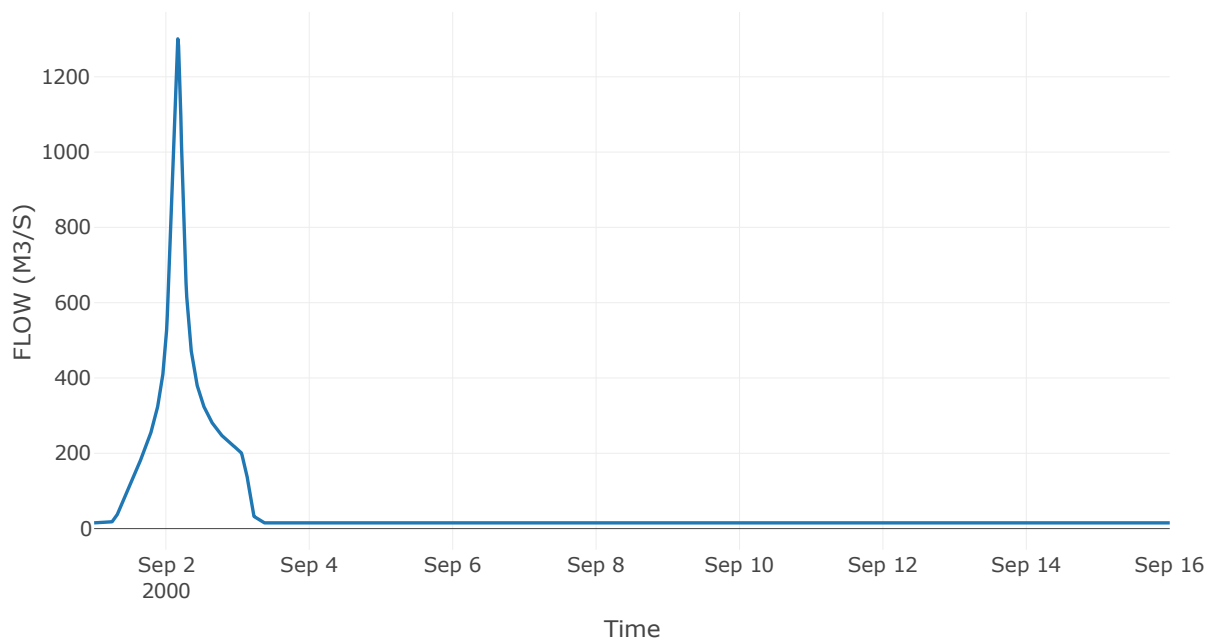
Κατάντη : J5

Μέθοδος Διόδευσης	Χρόνος
Αρχική Μεταβλητή	Combined Inflow
Χρόνος Υστέρησης	40.14

Αποτελέσματα: R65

Παροχή αιχμής (M3/S)	1300.75
Χρονική στιγμή αιχμής	02Sep2000, 04:00
Όγκος (MM)	344.21
Παροχή Αιχμής Εισόδου (M3/S)	1303.36
Όγκος Εισροής (M3)	7.48E7

Απορροή



Κλάδος: R76

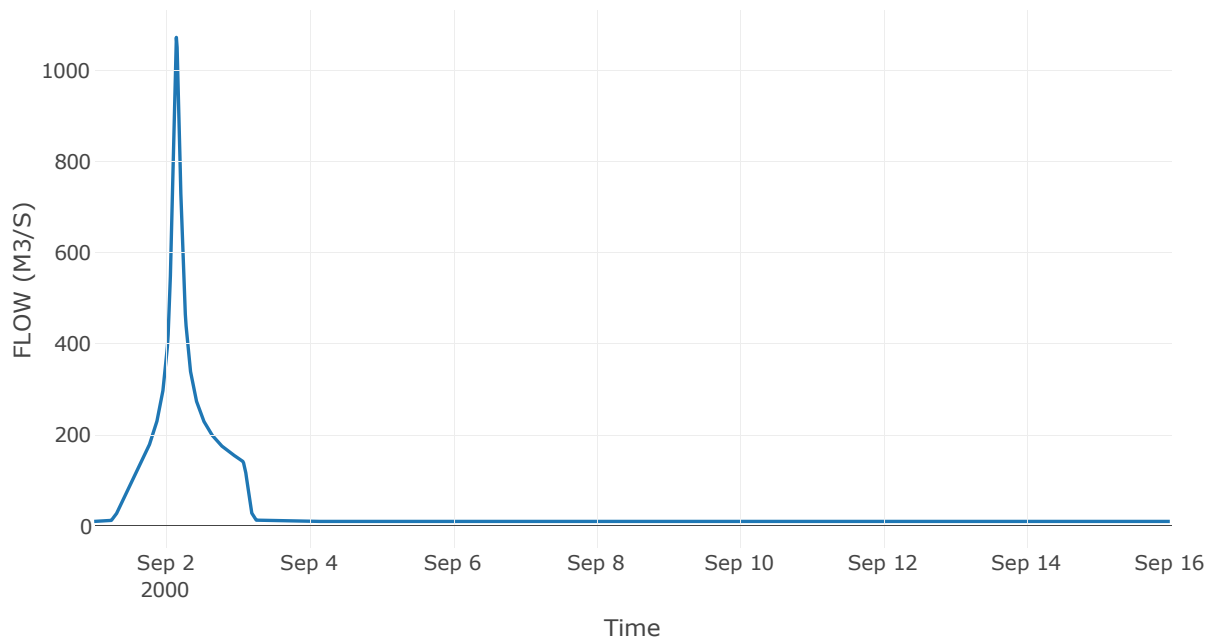
Κατάντη : J6

Μέθοδος Διόδευσης	Muskingum
Αρχική Μεταβλητή	Combined Inflow
Χρόνος Ροής K	1.58
Συντελεστής βάρους x	0.2
Πλήθος Υποκλάδων	7

Αποτελέσματα: R76

Παροχή αιχμής (M3/S)	1072.95
Χρονική στιγμή αιχμής	02Sep2000, 03:30
Όγκος (MM)	354.43
Παροχή Αιχμής Εισόδου (M3/S)	1135.18
Όγκος Εισροής (M3)	5.39E7

Απορροή



Κλάδος: R87

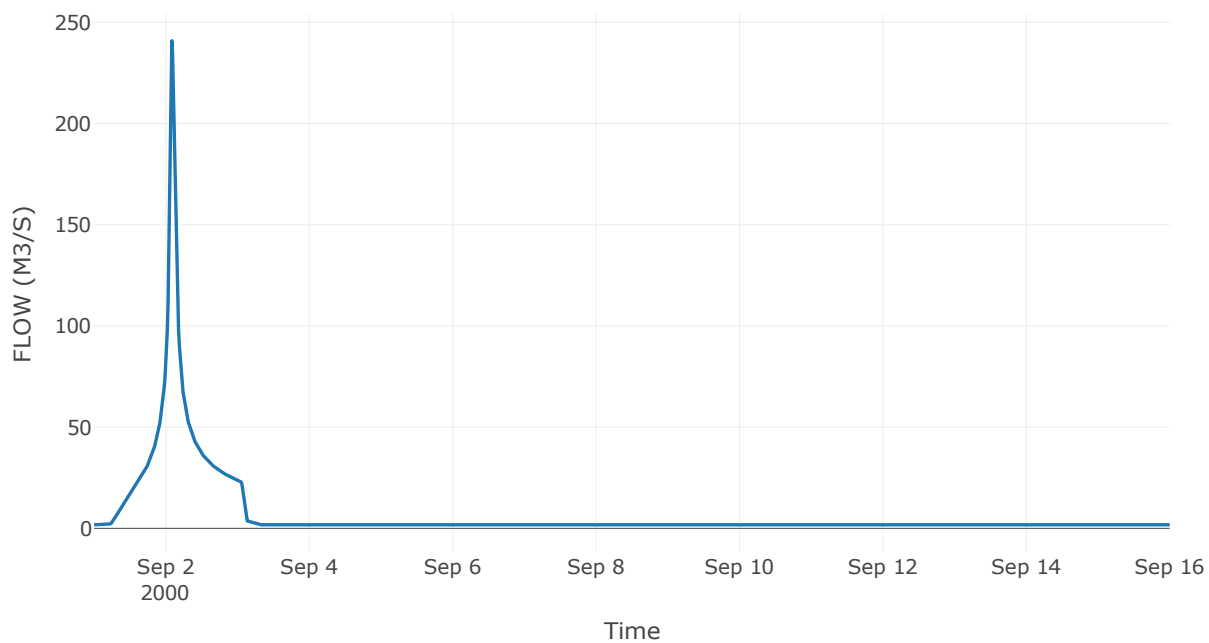
Κατάντη : J7

Μέθοδος Διόδευσης	Χρόνος
Αρχική Μεταβλητή	Combined Inflow
Χρόνος Υστέρησης	66.76

Αποτελέσματα: R87

Παροχή αιχμής (M3/S)	240.89
Χρονική στιγμή αιχμής	02Sep2000, 02:00
Όγκος (MM)	363.91
Παροχή Αιχμής Εισόδου (M3/S)	242.62
Όγκος Εισροής (M3)	9.11E6

Απορροή



Κλάδος: R97

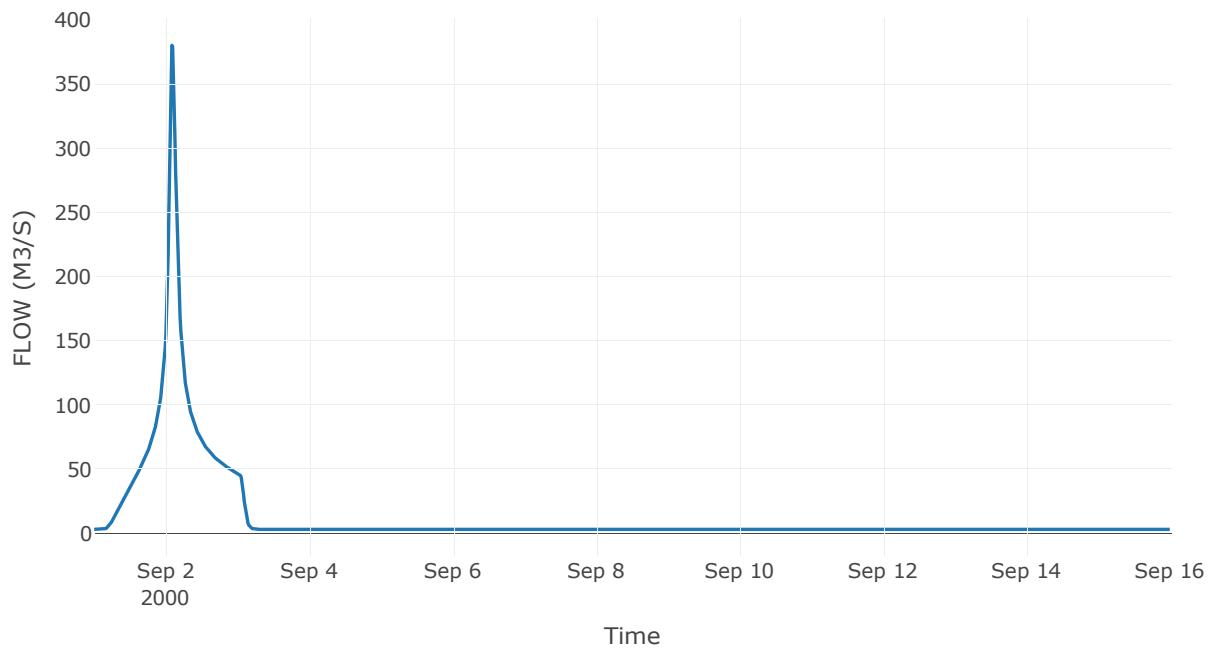
Κατάντη : J7

Μέθοδ	Muskingum
Αρχική Μεταβλητή	Combined Inflow
Χρόνος Ροής	0.89
Συντελεστής βάρους x	0.2
Πλήθος $_$	4

Αποτελέσματα: R97

Παροχή αιχμής (M3/S)	380.21
Χρονική στιγμή αιχμής	02Sep2000, 02:00
Όγκος (MM)	357.73
Παροχή Αιχμής Εισόδου (M3/S)	399.27
Όγκος Εισροής	1.77E7

Απορροή



Κλάδος: R105

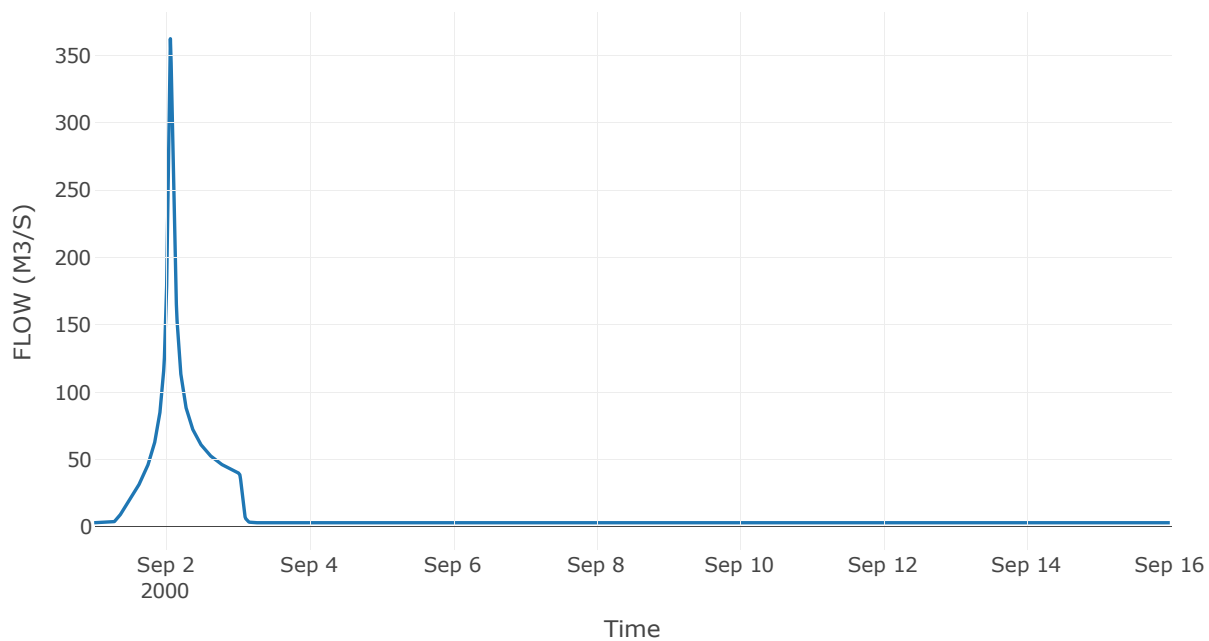
Κατάντη : J5

Μέθοδος Διόδευσης	Χρόνος
Αρχική Μεταβλητή	Combined Inflow
Χρόνος Υστέρησης	33.1

Αποτελέσματα: R105

Παροχή αιχμής (M3/S)	362.35
Χρονική στιγμή αιχμής	02Sep2000, 01:30
Όγκος (MM)	334.03
Παροχή Αιχμής Εισόδου (M3/S)	363.49
Όγκος Εισροής (M3)	1.44E7

Απορροή



Κλάδος: R1112

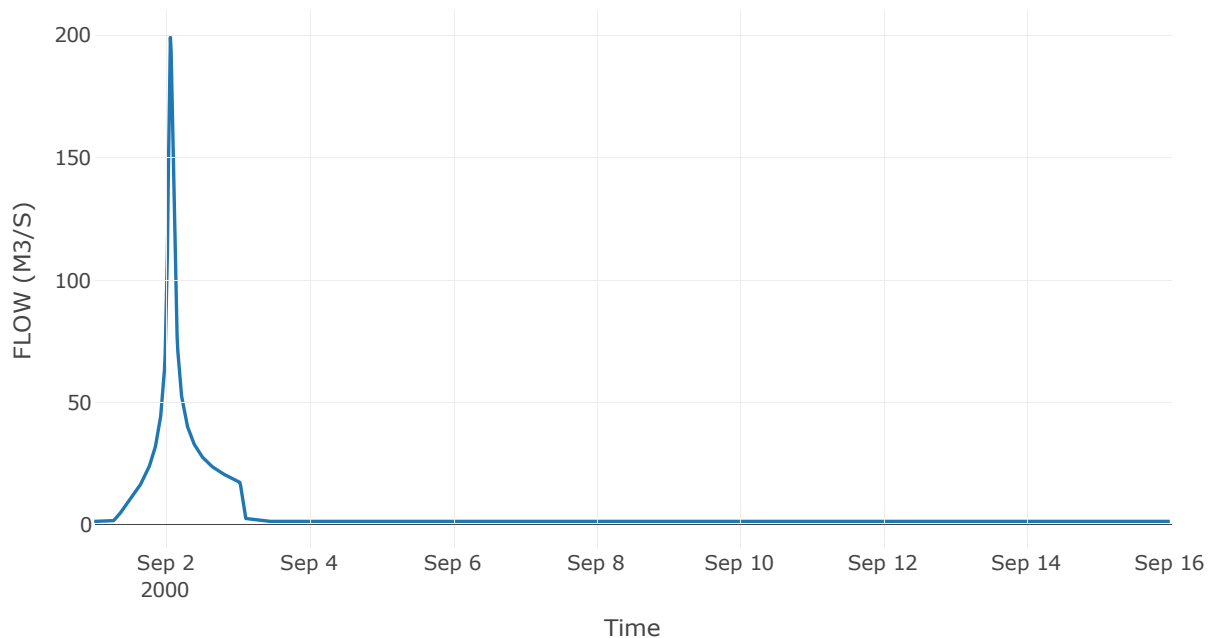
Κατάντη : J12

Μέθοδος Διόδευσης	Muskingum
Αρχική Μεταβλητή	Combined Inflow
Χρόνος Ροής K	0.73
Συντελεστής βάρους x	0.2
Πλήθος Υποκλάδων	3

Αποτελέσματα: R1112

Παροχή αιχμής (M3/S)	199.11
Χρονική στιγμή αιχμής	02Sep2000, 01:30
Όγκος (MM)	332.49
Παροχή Αιχμής Εισόδου (M3/S)	215.46
Όγκος Εισροής (M3)	7.15E6

Απορροή



Κλάδος: R1213

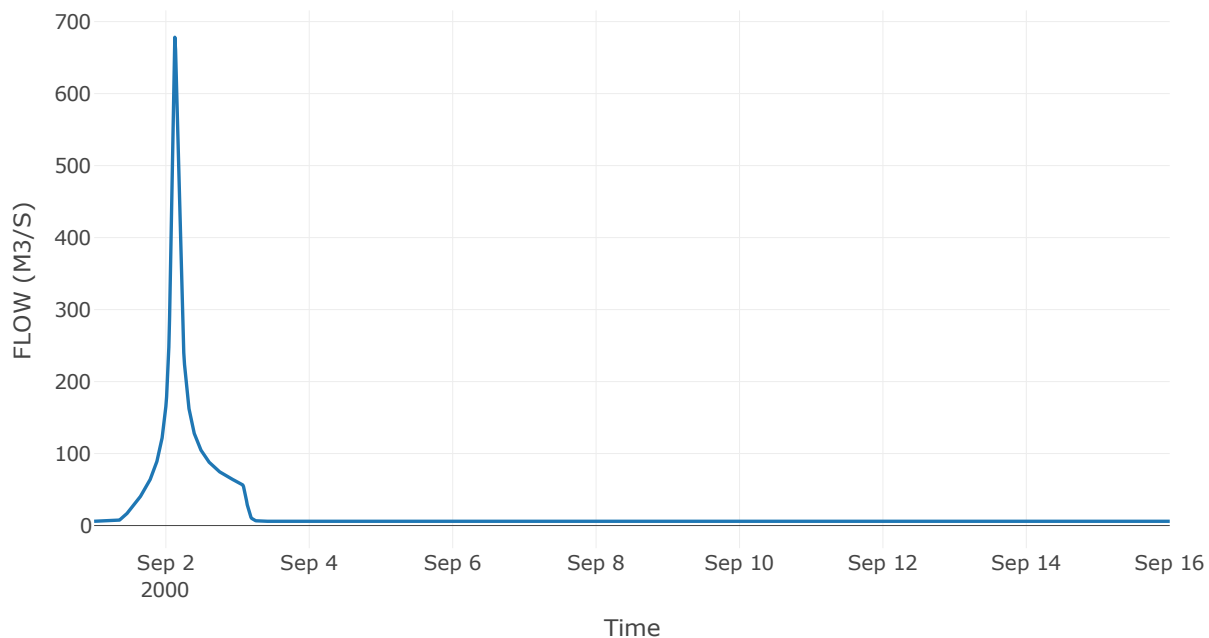
Κατάντη : J13

Μέθοδος Διόδευσης	Muskingum
Αρχική Μεταβλητή	Combined Inflow
Χρόνος Ροής K	1.48
Συντελεστής βάρους x	0.2
Πλήθος Υποκλάδων	6

Αποτελέσματα: R1213

Παροχή αιχμής (M3/S)	678.26
Χρονική στιγμή αιχμής	02Sep2000, 03:00
Όγκος (MM)	306.72
Παροχή Αιχμής Εισόδου (M3/S)	738.98
Όγκος Εισροής (M3)	2.6E7

Απορροή



Κλάδος: R1314

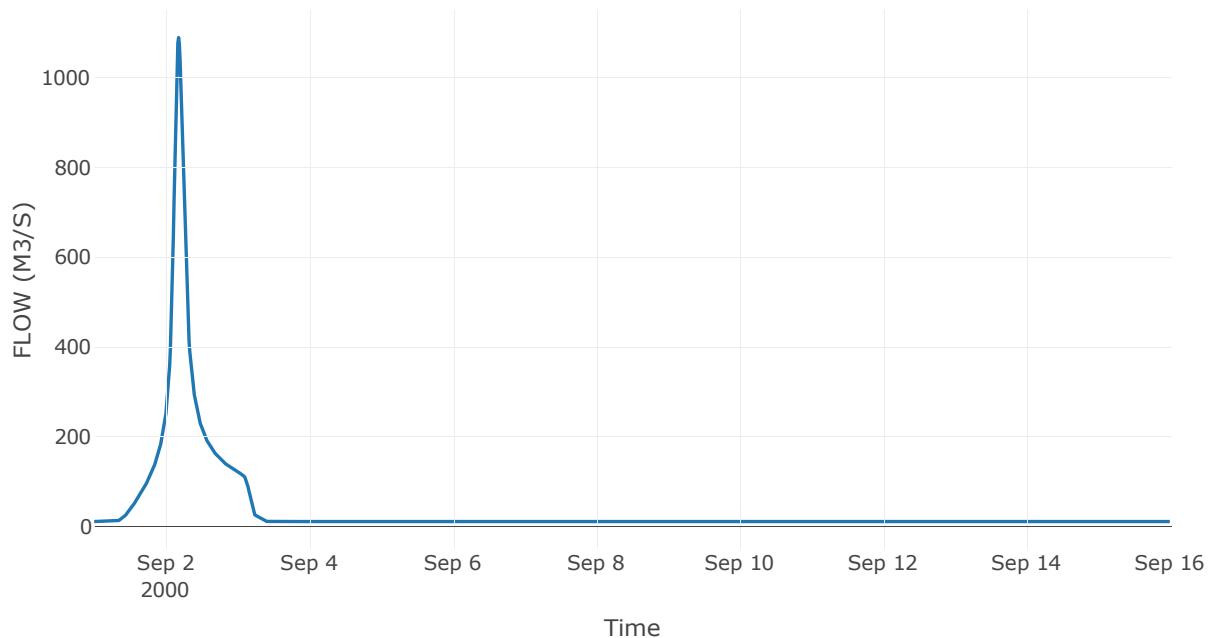
Κατάντη : J14

Μέθοδος Διόδευσης	Muskingum
Αρχική Μεταβλητή	Combined Inflow
Χρόνος Ροής K	1.5
Συντελεστής βάρους x	0.2
Πλήθος Υποκλάδων	6

Αποτελέσματα: R1314

Παροχή αιχμής (M3/S)	1089.53
Χρονική στιγμή αιχμής	02Sep2000, 04:15
Όγκος (MM)	315.37
Παροχή Αιχμής Εισόδου (M3/S)	1144.34
Όγκος Εισροής (M3)	4.94E7

Απορροή



Κλάδος: R1415

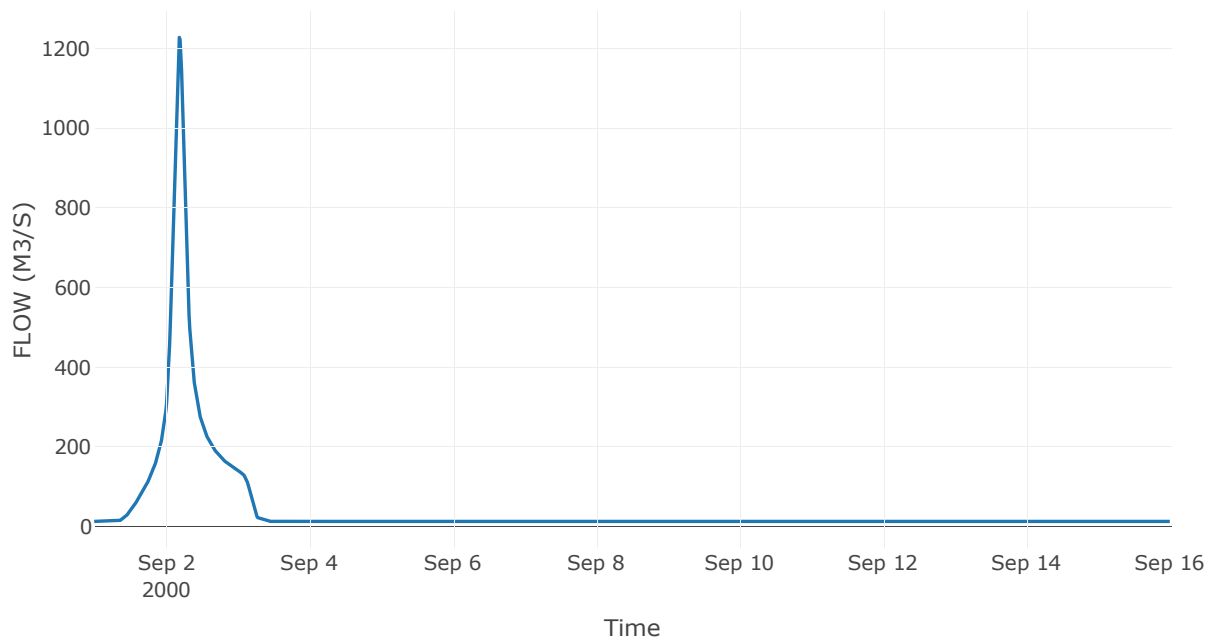
Κατάντη : J15

Μέθοδος Διόδευσης	Muskingum
Αρχική Μεταβλητή	Combined Inflow
Χρόνος Ροής Κ	0.46
Συντελεστής βάρους α	0.2
Πλήθος Υποκλάδων	2

Αποτελέσματα: R1415

Παροχή αιχμής (M3/S)	1227.94
Χρονική στιγμή αιχμής	02Sep2000, 04:30
Όγκος (MM)	306.5
Παροχή Αιχμής Εισόδου (M3/S)	1238.18
Όγκος Εισροής (M3)	5.93E7

Απορροή



Κλάδος: R152

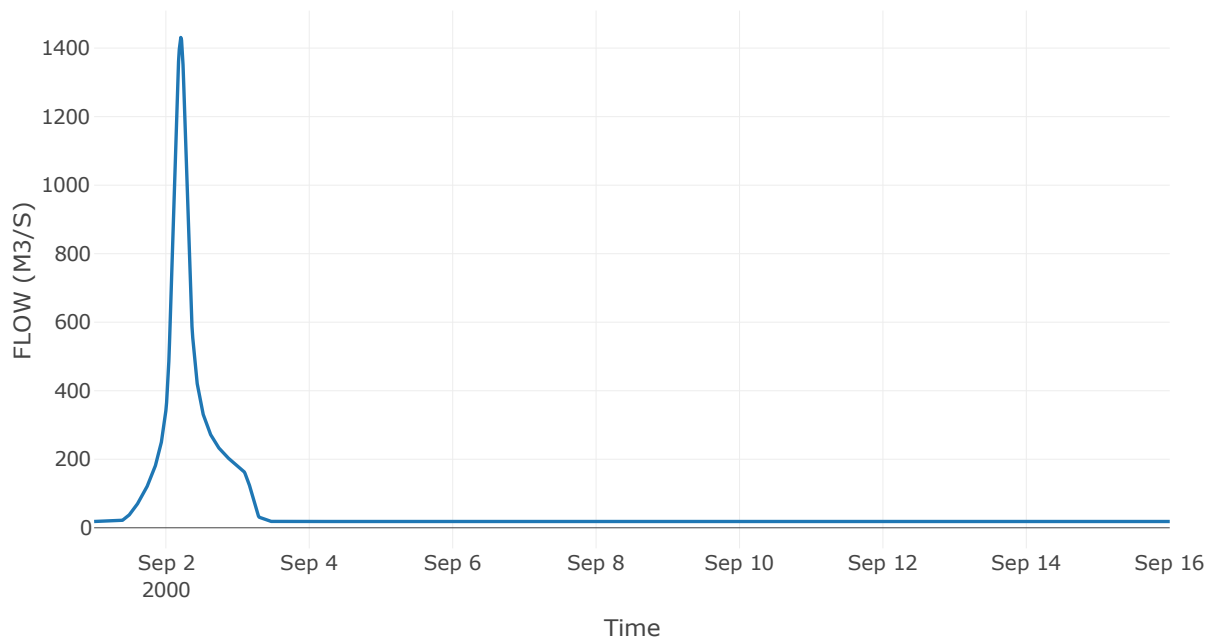
Κατάντη : J2

Μέθοδος Διόδευσης	Muskingum
Αρχική Μεταβλητή	Combined Inflow
Χρόνος Ροής K	0.7
Συντελεστής βάρους x	0.2
Πλήθος Υποκλάδων	3

Αποτελέσματα: R152

Παροχή αιχμής (M3/S)	1431.06
Χρονική στιγμή αιχμής	02Sep2000, 05:00
Όγκος (MM)	290.86
Παροχή Αιχμής Εισόδου (M3/S)	1443.61
Όγκος Εισροής (M3)	7.62E7

Απορροή



Κλάδος: R1615

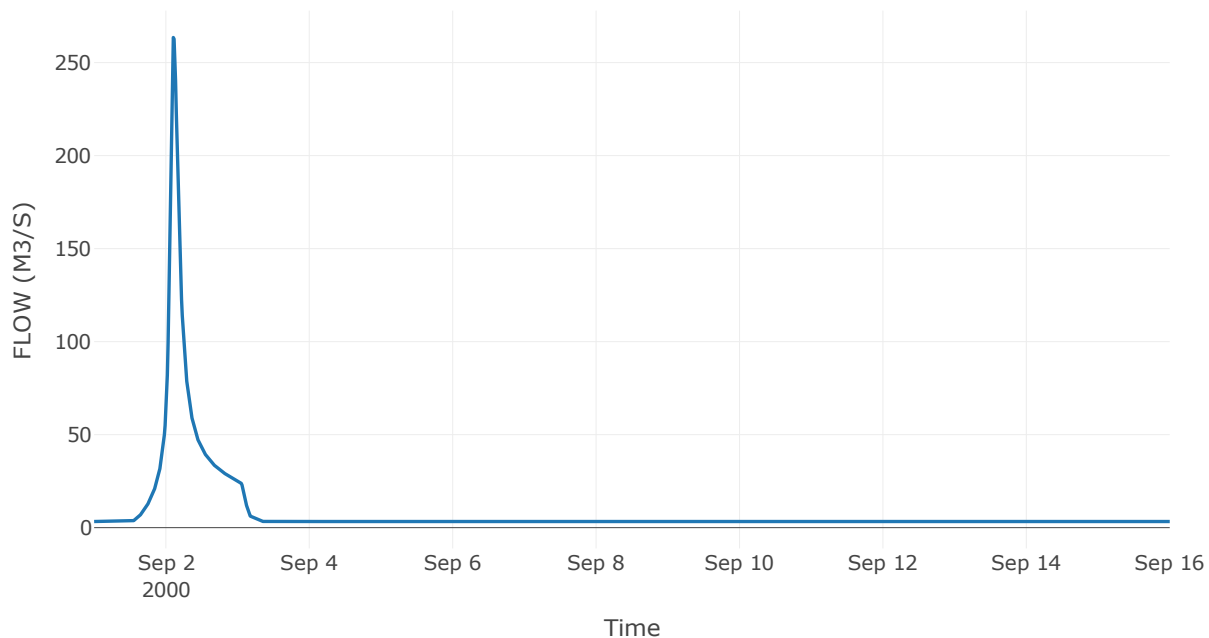
Κατάντη : J15

Μέθοδος Διόδευσης	Muskingum
Αρχική Μεταβλητή	Combined Inflow
Χρόνος Ροής Κ	0.69
Συντελεστής βάρους α	0.2
Πλήθος Υποκλάδων	3

Αποτελέσματα: R1615

Παροχή αιχμής (M3/S)	263.48
Χρονική στιγμή αιχμής	02Sep2000, 02:30
Όγκος (MM)	237.96
Παροχή Αιχμής Εισόδου (M3/S)	270.05
Όγκος Εισροής (M3)	1.12E7

Απορροή



Κλάδος: R173

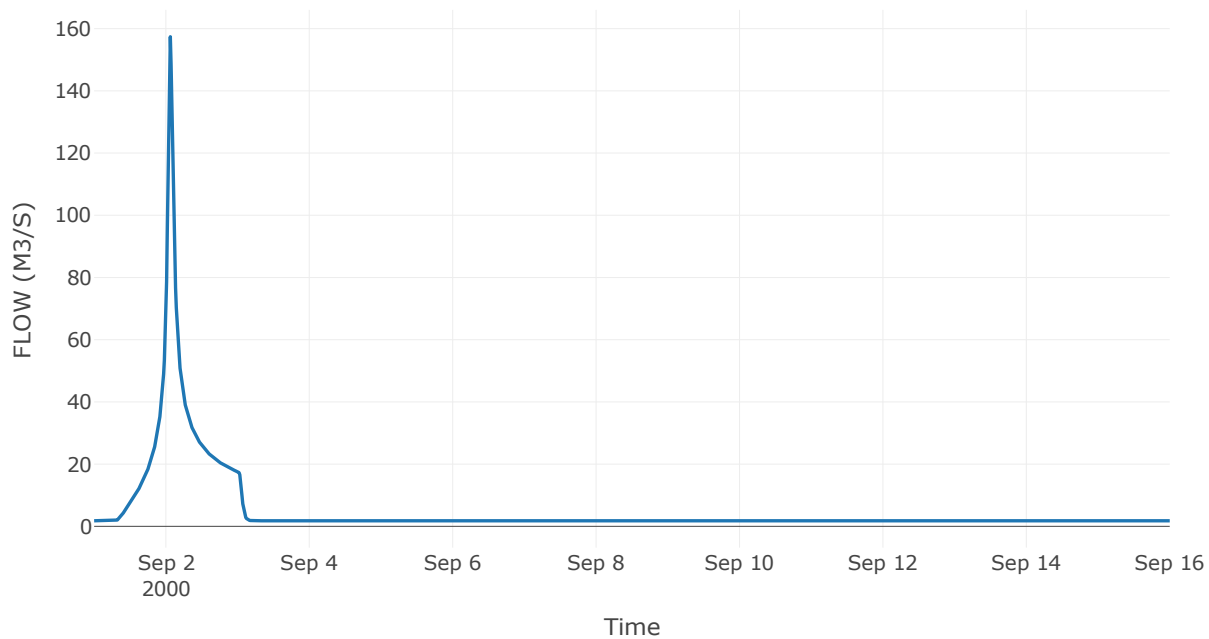
Κατάντη : J3

Μέθοδος Διόδευσης	Χρόνος
Αρχική Μεταβλητή	Combined Inflow
Χρόνος Υστέρησης	26.2

Αποτελέσματα: R173

Παροχή αιχμής (M3/S)	157.39
Χρονική στιγμή αιχμής	02Sep2000, 01:30
Όγκος (MM)	261.4
Παροχή Αιχμής Εισόδου (M3/S)	159.27
Όγκος Εισροής (M3)	6.68E6

Απορροή



Κλάδος: R183

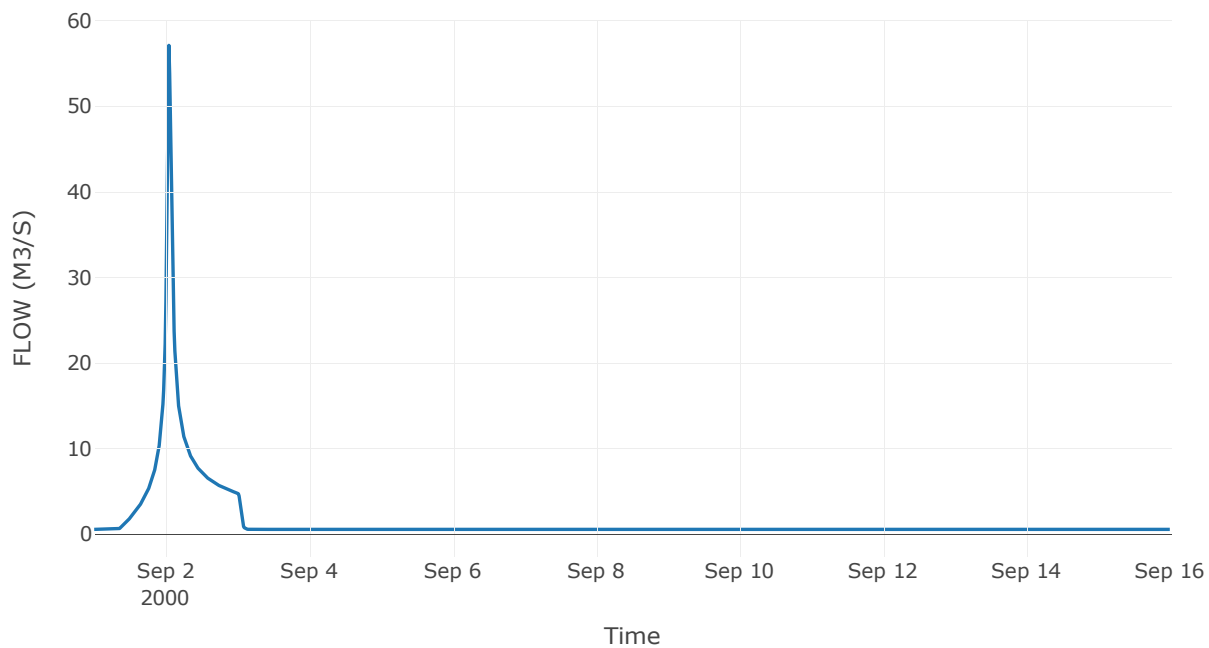
Κατάντη : J3

Μέθοδος Διόδευσης	Muskingum
Αρχική Μεταβλητή	Combined Inflow
Χρόνος Ροής K	0.34
Συντελεστής βάρους x	0.2
Πλήθος Υποκλάδων	1

Αποτελέσματα: R183

Παροχή αιχμής (M3/S)	57.08
Χρονική στιγμή αιχμής	02Sep2000, 01:00
Όγκος (MM)	250.58
Παροχή Αιχμής Εισόδου (M3/S)	60.08
Όγκος Εισροής (M3)	2E6

Απορροή



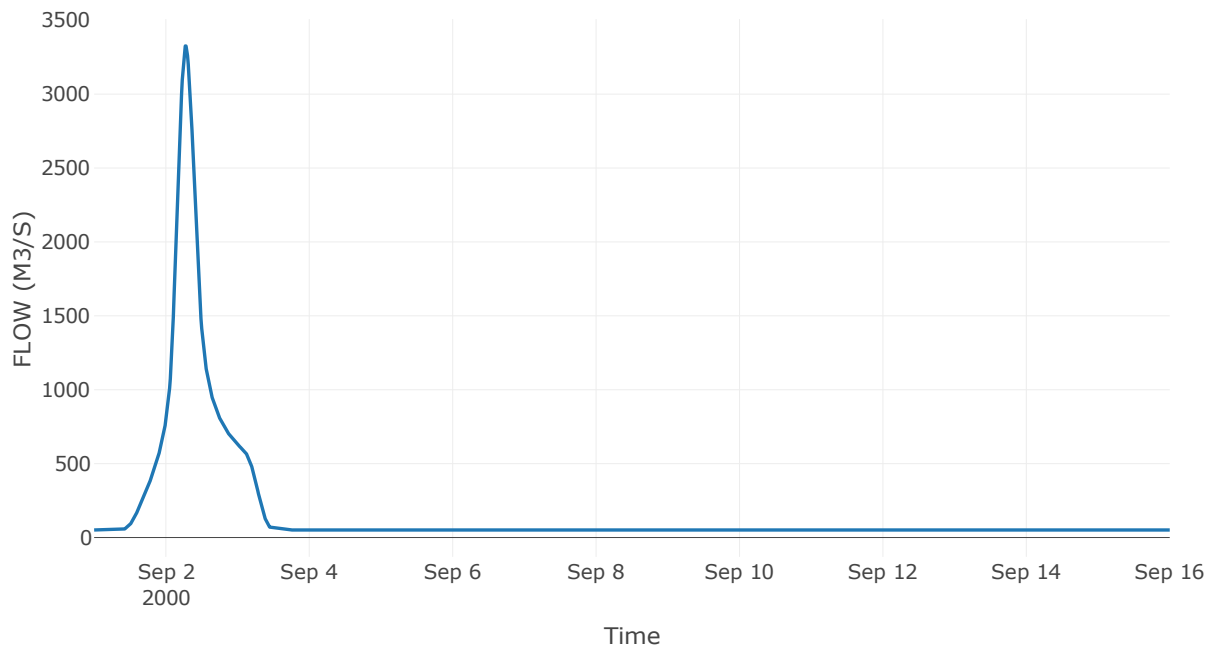
7.3 Δεδομένα και υδρογραφήματα σχεδιασμού Κόμβων υδρογραφικού δικτύου

Κόμβος εξόδου: J1

Αποτελέσματα: J1

Παροχή αιχμής (M3/S)	3326.07
Χρονική στιγμή αιχμής	02Sep2000, 06:30
Όγκος (MM)	304.12

Απορροή



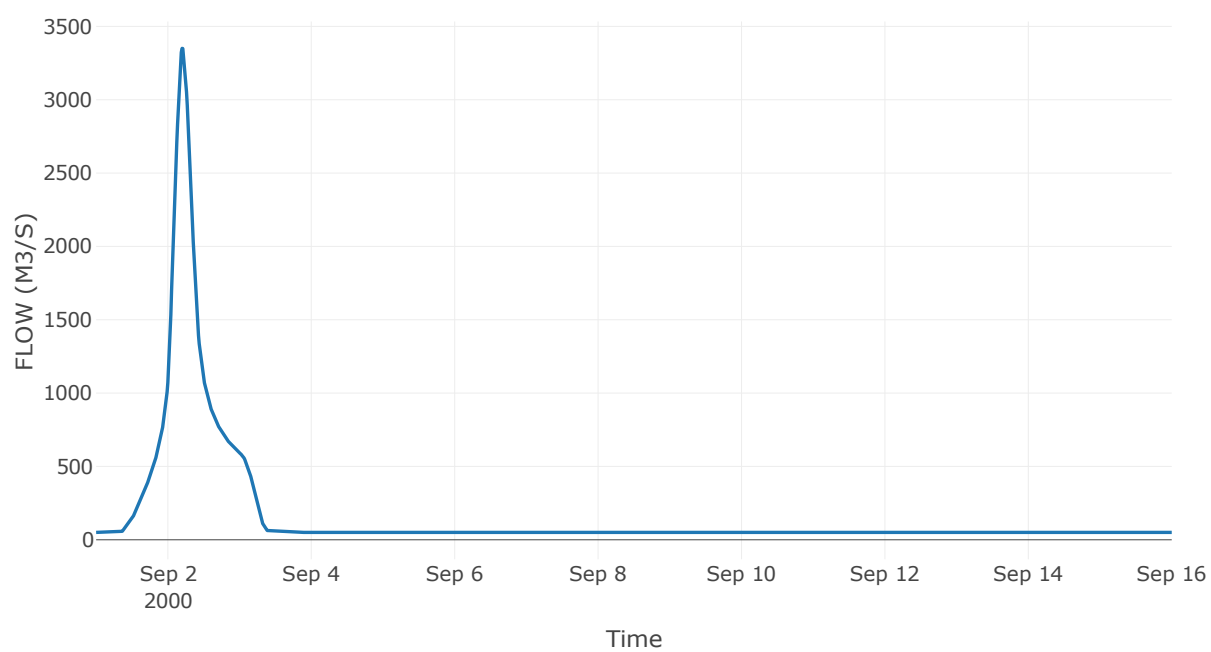
Κόμβος: J2

Κατάντη : R21

Αποτελέσματα: J2

Παροχή αιχμής (M3/S)	3350.15
Χρονική στιγμή αιχμής	02Sep2000, 04:45
Όγκος (MM)	304.66

Απορροή



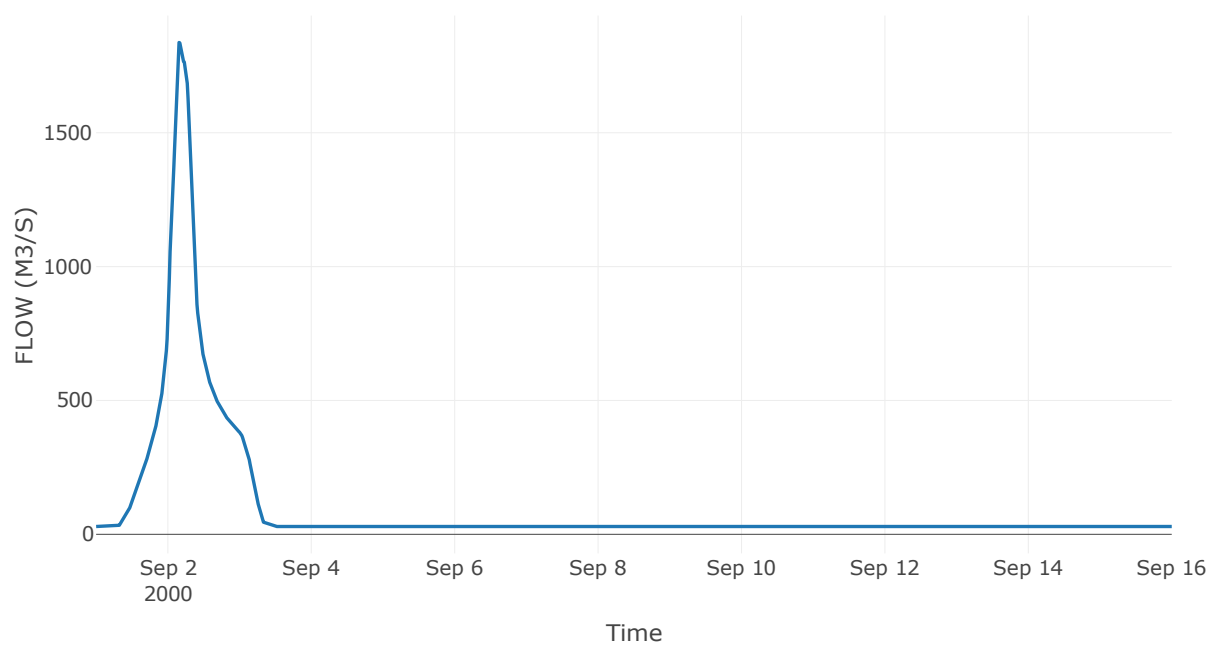
Κόμβος: J3

Κατάντη : R32

Αποτελέσματα: J3

Παροχή αιχμής (M3/S)	1837.26
Χρονική στιγμή αιχμής	02Sep2000, 03:45
Όγκος (MM)	317.51

Απορροή



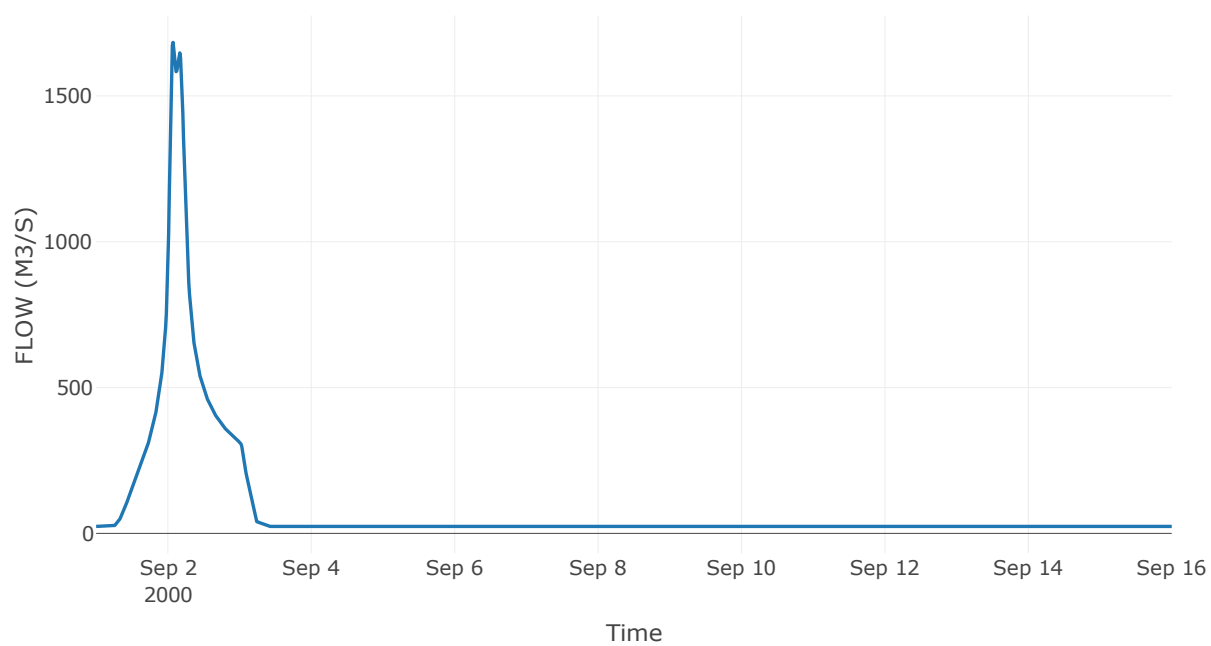
Κόμβος: J4

Κατάντη : R43

Αποτελέσματα: J4

Παροχή αιχμής (M3/S)	1683.47
Χρονική στιγμή αιχμής	02Sep2000, 01:45
Όγκος (MM)	327.05

Απορροή



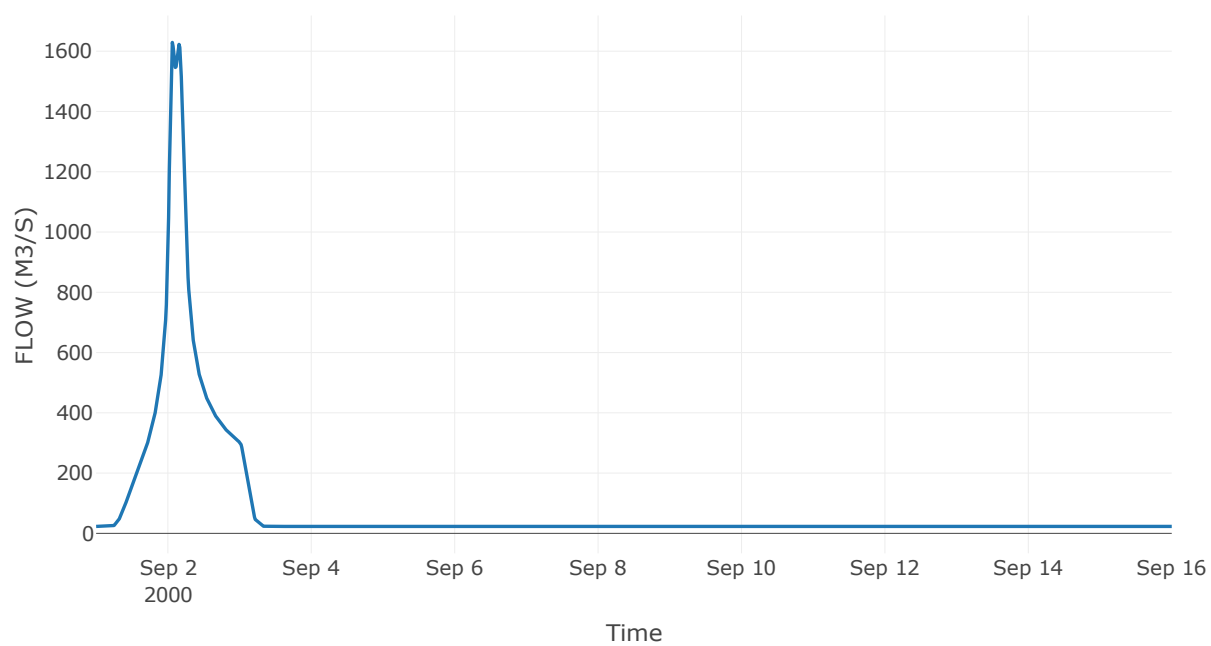
Κόμβος: J5

Κατάντη : R54

Αποτελέσματα: J5

Παροχή αιχμής (M3/S)	1629.2
Χρονική στιγμή αιχμής	02Sep2000, 01:30
Όγκος (MM)	329.96

Απορροή



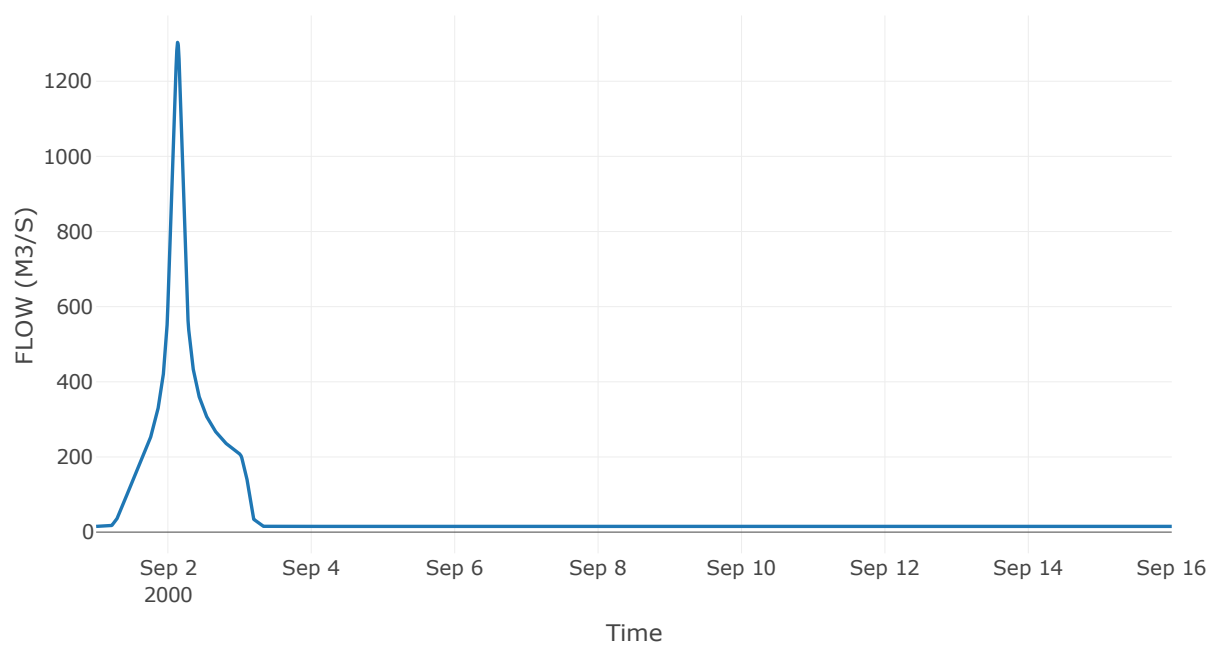
Κόμβος: J6

Κατάντη : R65

Αποτελέσματα: J6

Παροχή αιχμής (M3/S)	1303.36
Χρονική στιγμή αιχμής	02Sep2000, 03:15
Όγκος (MM)	344.21

Απορροή



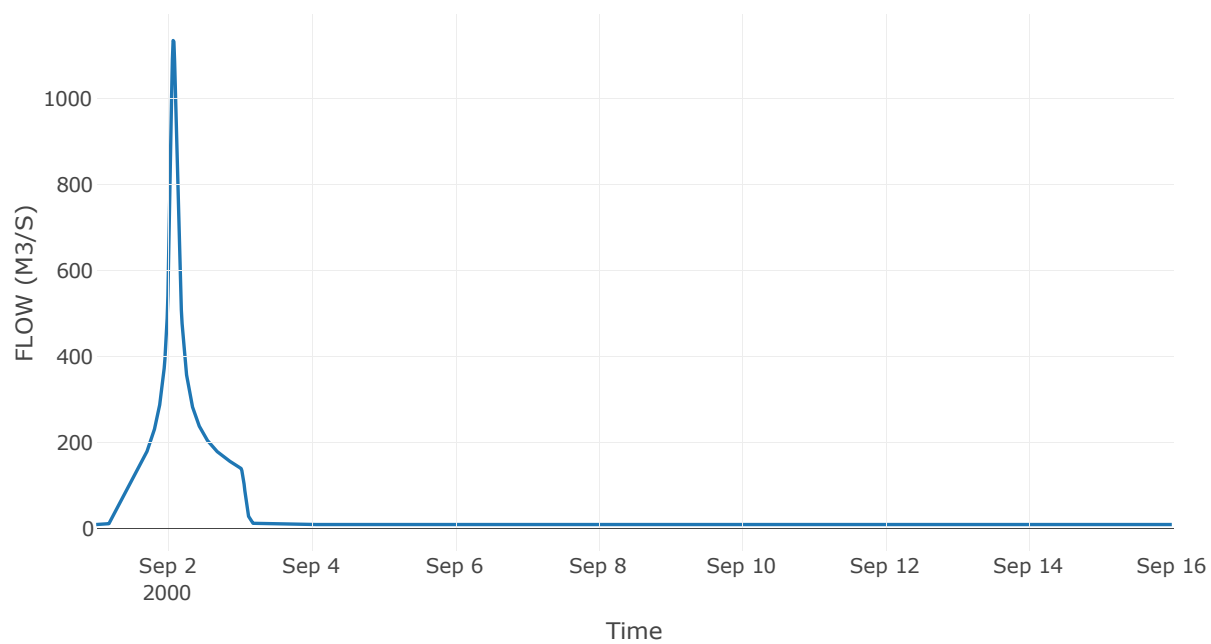
Κόμβος: J7

Κατάντη : R76

Αποτελέσματα: J7

Παροχή αιχμής (M3/S)	1135.18
Χρονική στιγμή αιχμής	02Sep2000, 01:45
Όγκος (MM)	354.43

Απορροή



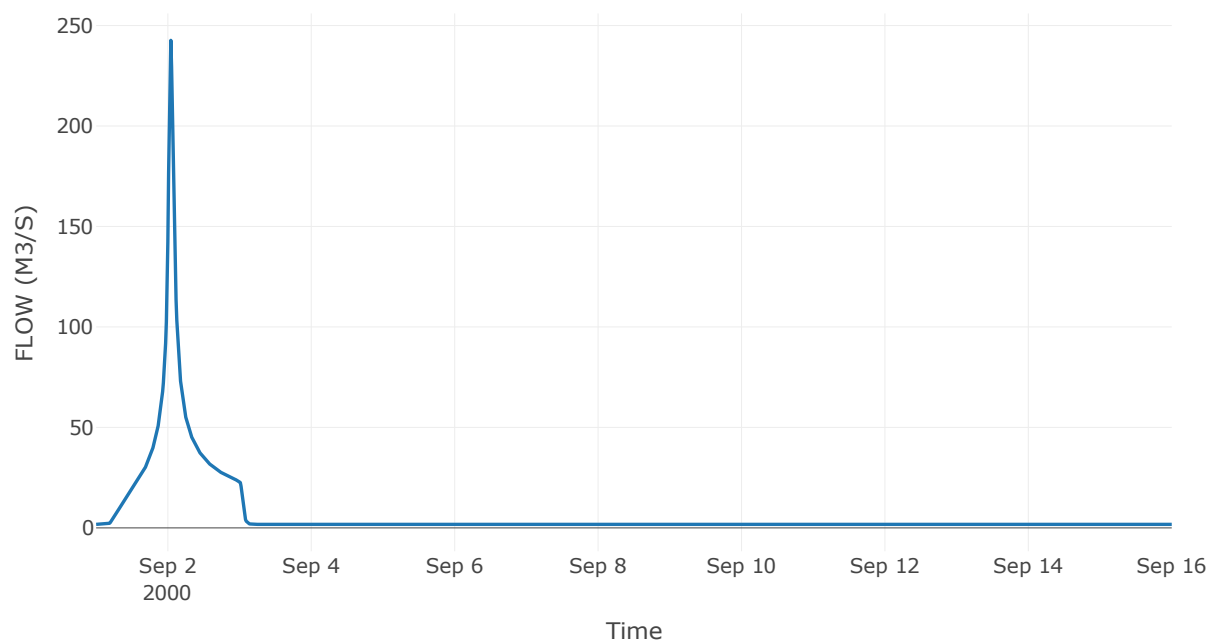
Κόμβος: J8

Κατάντη : R87

Αποτελέσματα: J8

Παροχή αιχμής (M3/S)	242.62
Χρονική στιγμή αιχμής	02Sep2000, 01:00
Όγκος (MM)	363.91

Απορροή



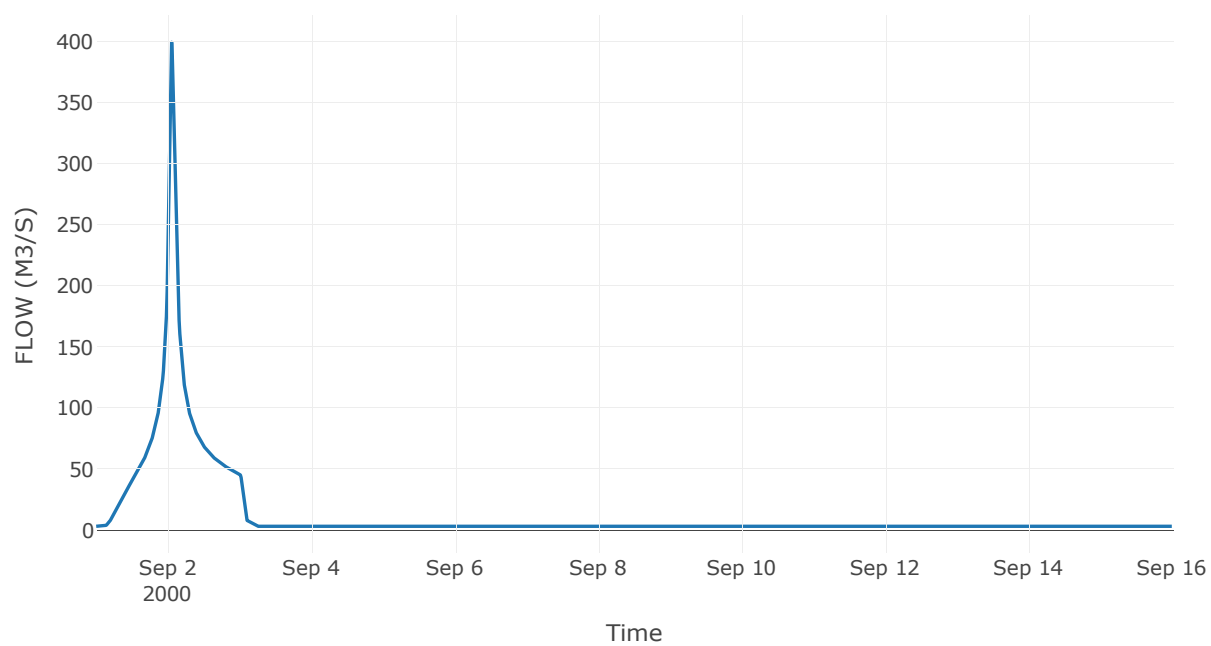
Κόμβος: J9

Κατάντη : R97

Αποτελέσματα: J9

Παροχή αιχμής (M3/S)	399.27
Χρονική στιγμή αιχμής	02Sep2000, 01:15
Όγκος (MM)	357.73

Απορροή



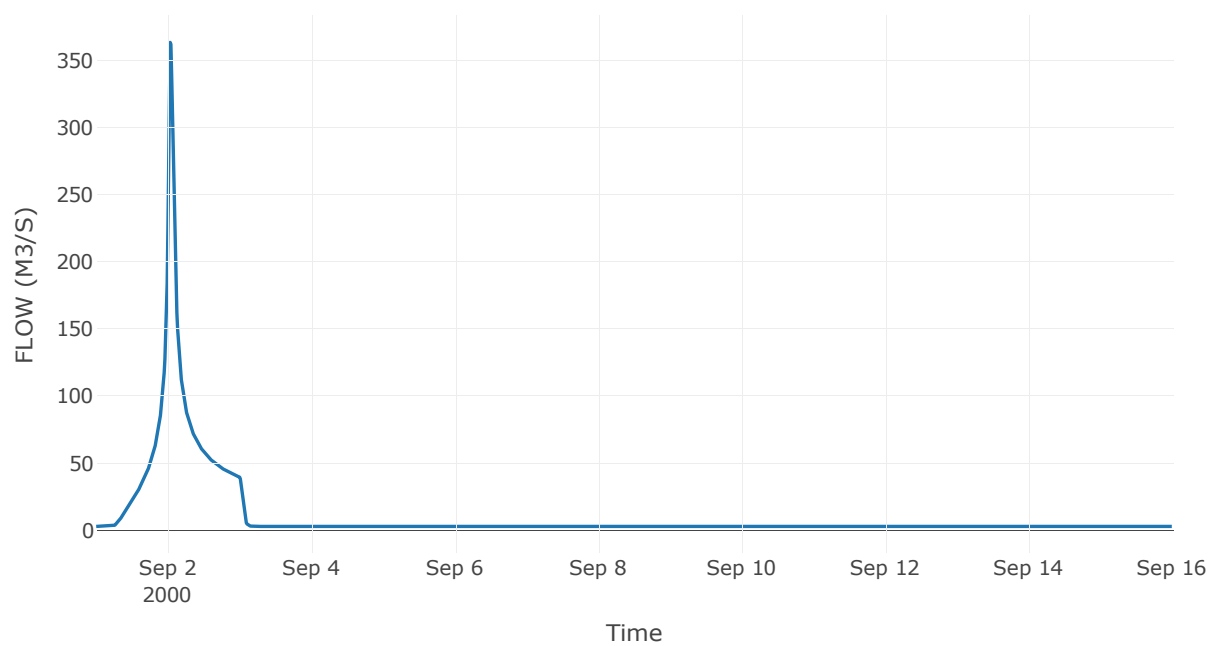
Κόμβος: J10

Κατάντη : R105

Αποτελέσματα: J10

Παροχή αιχμής (M3/S)	363.49
Χρονική στιγμή αιχμής	02Sep2000, 00:45
Όγκος (MM)	334.03

Απορροή



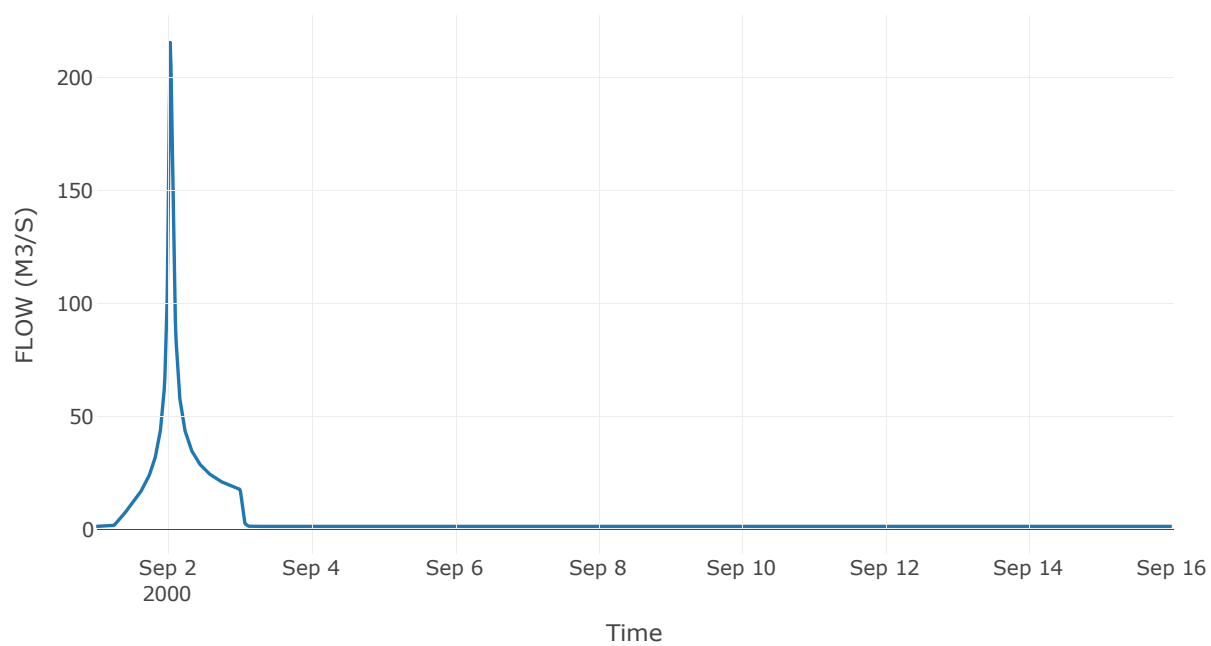
Κόμβος: J11

Κατάντη : R1112

Αποτελέσματα: J11

Παροχή αιχμής (M3/S)	215.46
Χρονική στιγμή αιχμής	02Sep2000, 00:45
Όγκος (MM)	332.49

Απορροή



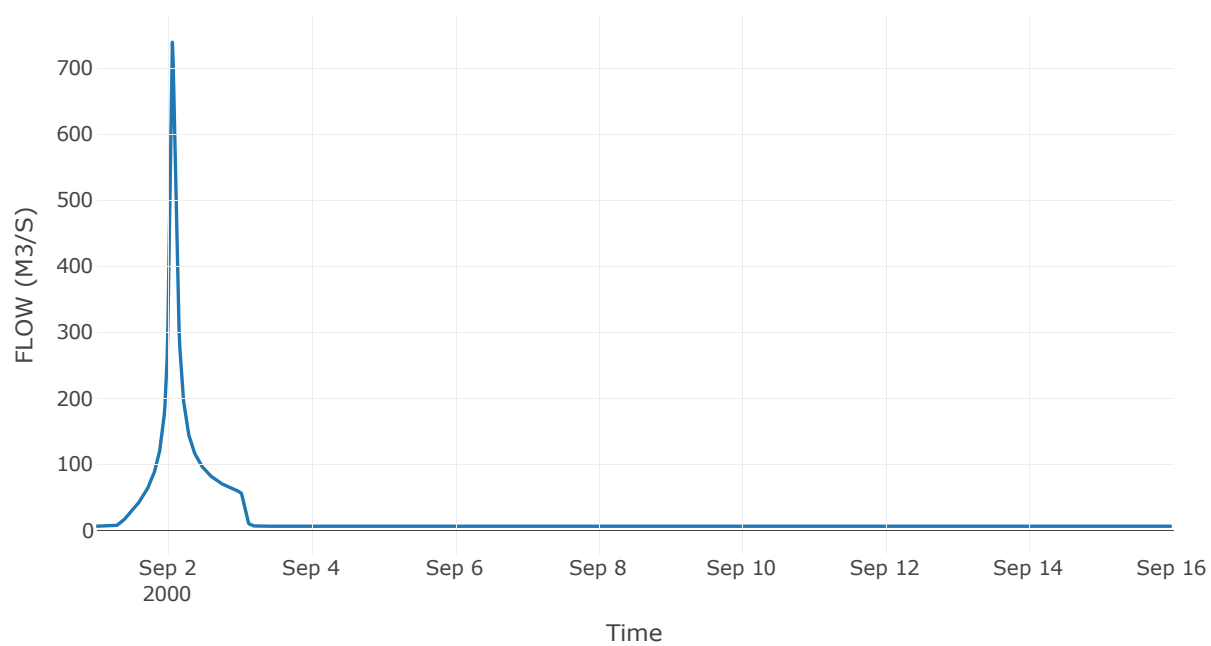
Κόμβος: J12

Κατάντη : R1213

Αποτελέσματα: J12

Παροχή αιχμής (M3/S)	738.98
Χρονική στιγμή αιχμής	02Sep2000, 01:30
Όγκος (MM)	306.72

Απορροή



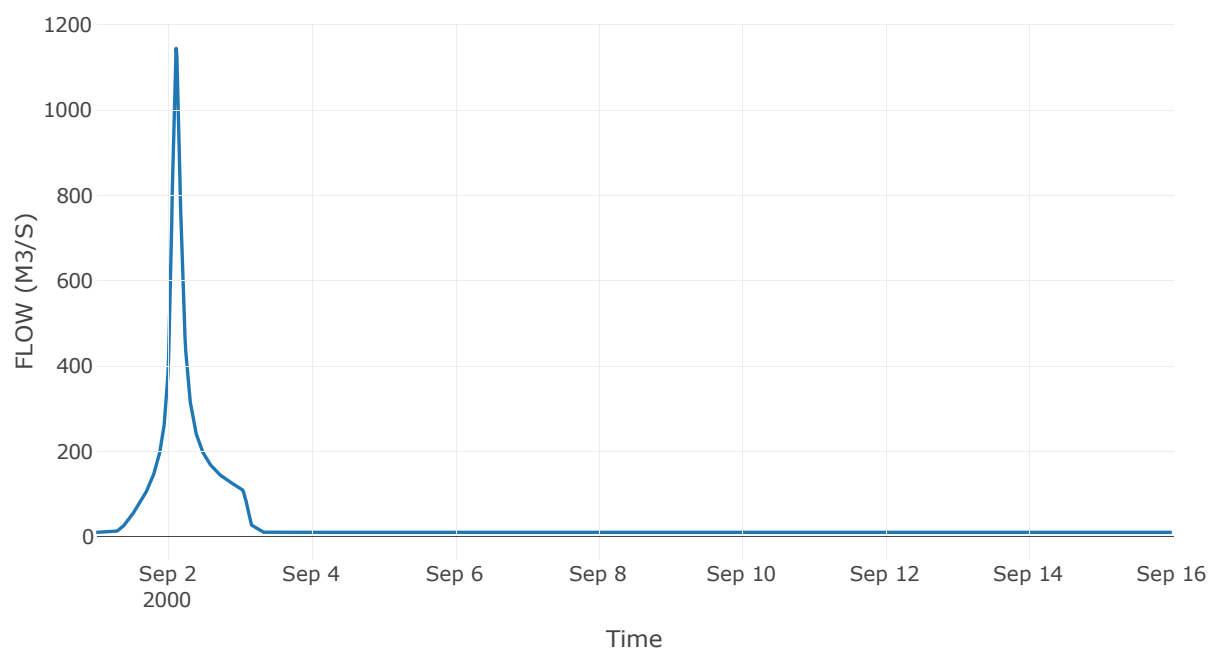
Κόμβος: J13

Κατάντη : R1314

Αποτελέσματα: J13

Παροχή αιχμής (M3/S)	1144.34
Χρονική στιγμή αιχμής	02Sep2000, 02:45
Όγκος (MM)	315.37

Απορροή



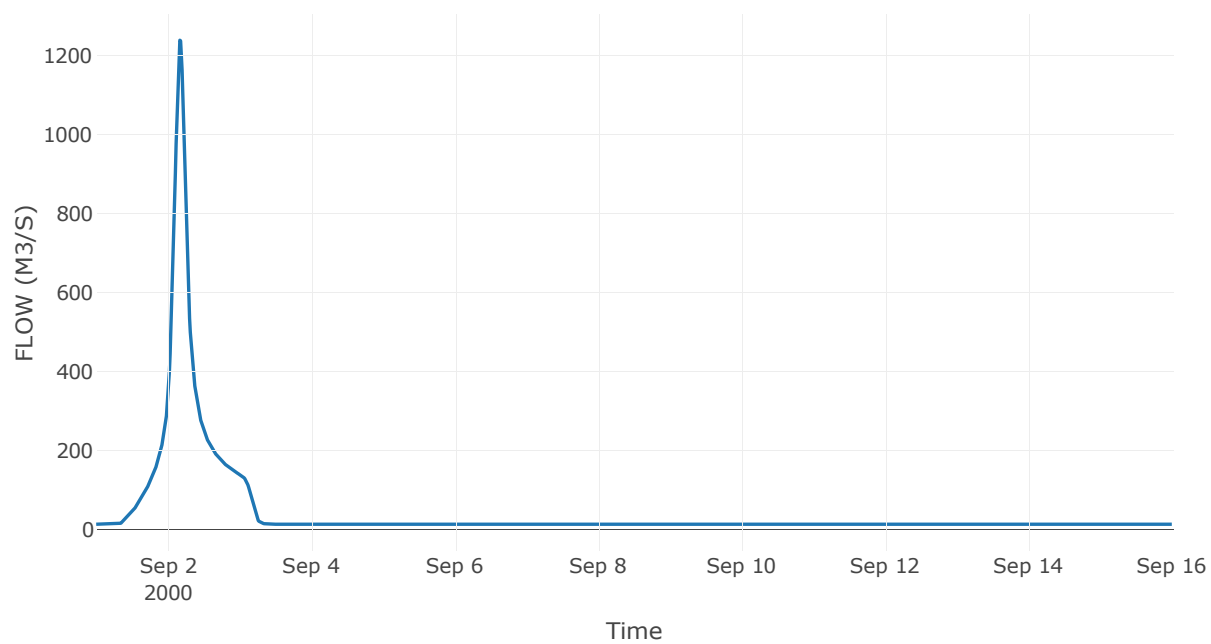
Κόμβος: J14

Κατάντη : R1415

Αποτελέσματα: J14

Παροχή αιχμής (M3/S)	1238.18
Χρονική στιγμή αιχμής	02Sep2000, 04:00
Όγκος (MM)	306.5

Απορροή



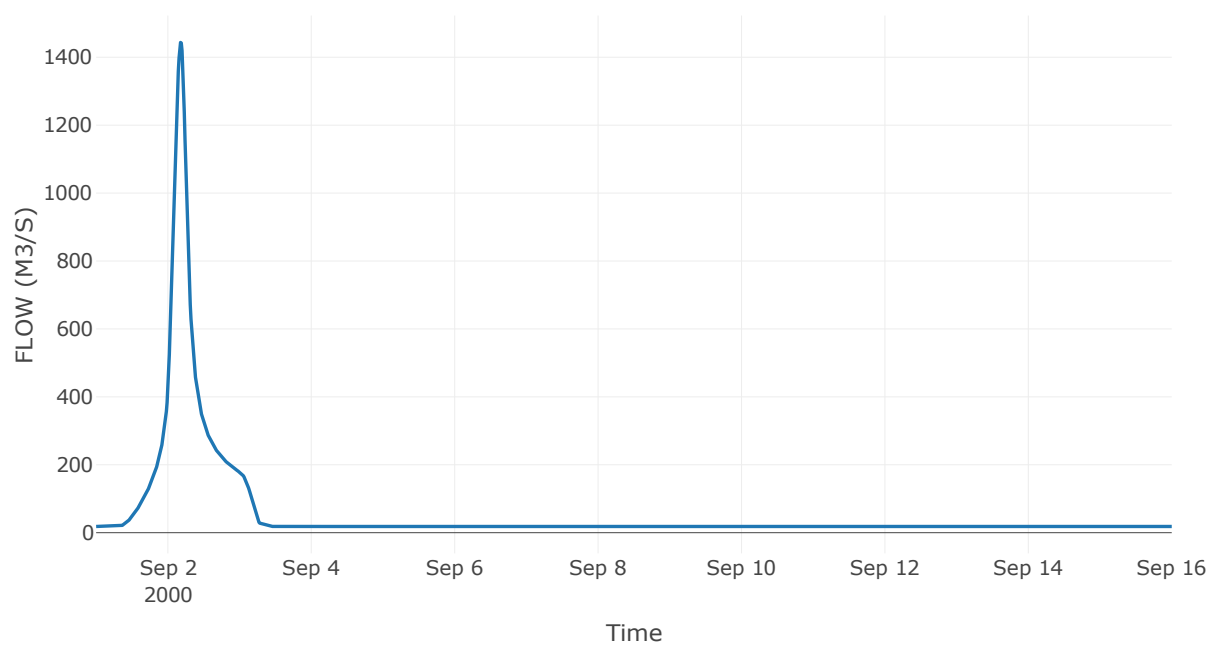
Κόμβος: J15

Κατάντη : R152

Αποτελέσματα: J15

Παροχή αιχμής (M3/S)	1443.61
Χρονική στιγμή αιχμής	02Sep2000, 04:15
Όγκος (MM)	290.86

Απορροή



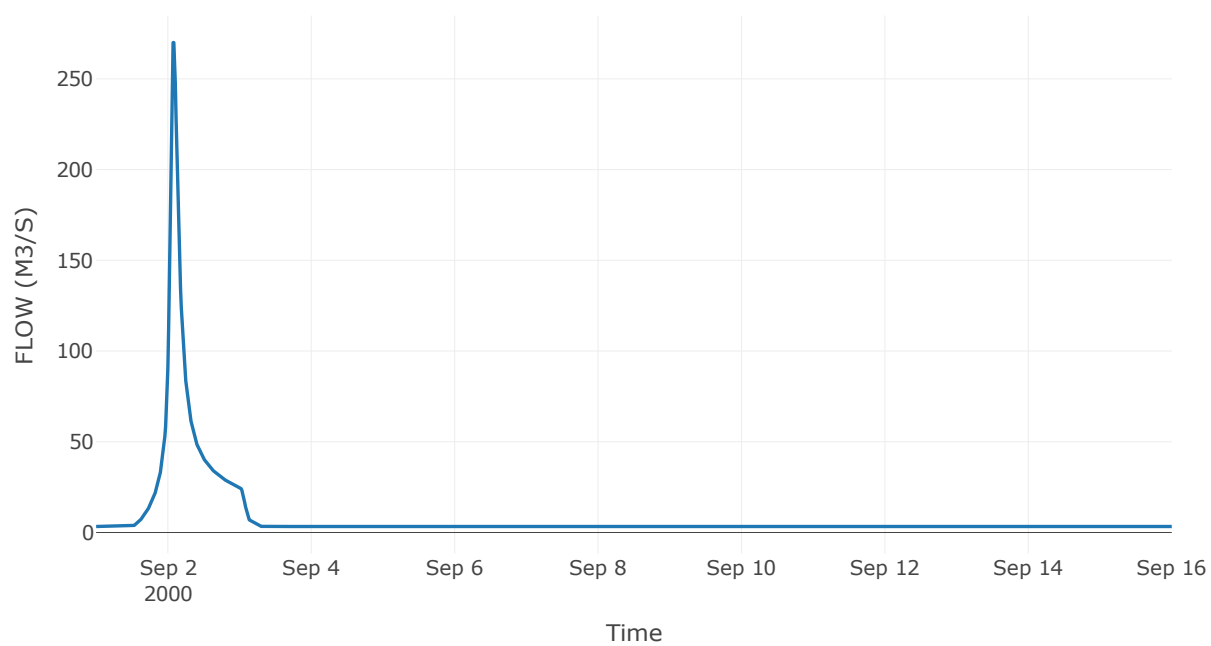
Κόμβος: J16

Κατάντη : R1615

Αποτελέσματα: J16

Παροχή αιχμής (M3/S)	270.05
Χρονική στιγμή αιχμής	02Sep2000, 02:00
Όγκος (MM)	237.96

Απορροή



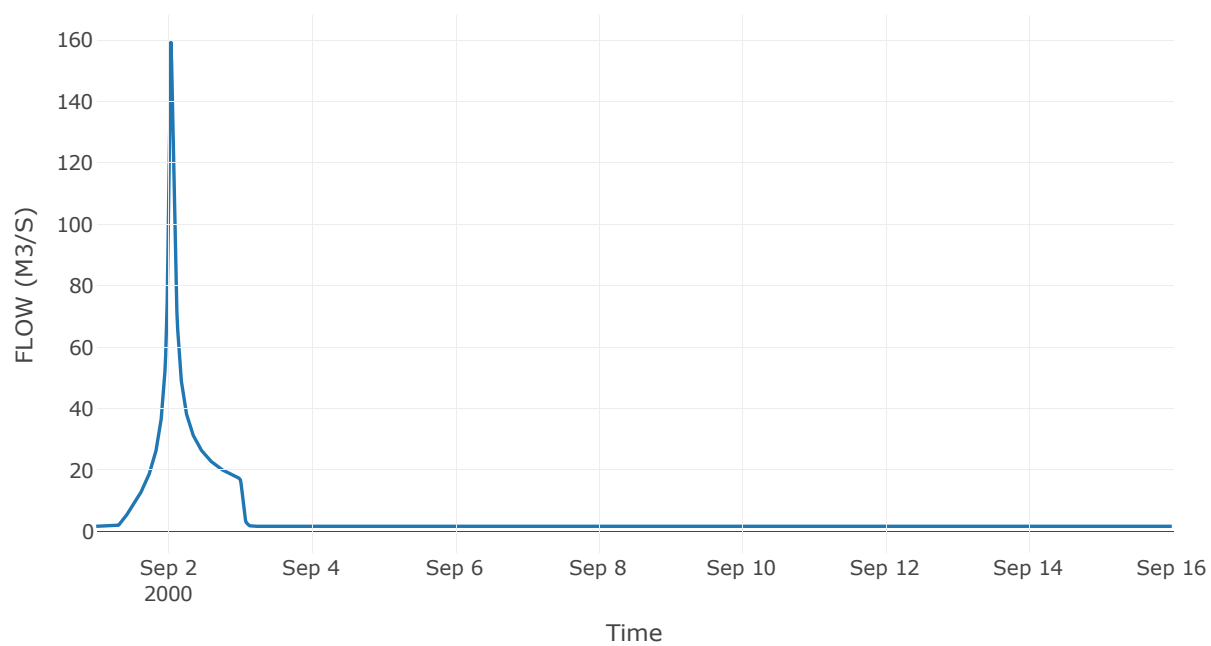
Κόμβος: J17

Κατάντη : R173

Αποτελέσματα: J17

Παροχή αιχμής (M3/S)	159.27
Χρονική στιγμή αιχμής	02Sep2000, 01:00
Όγκος (MM)	261.4

Απορροή



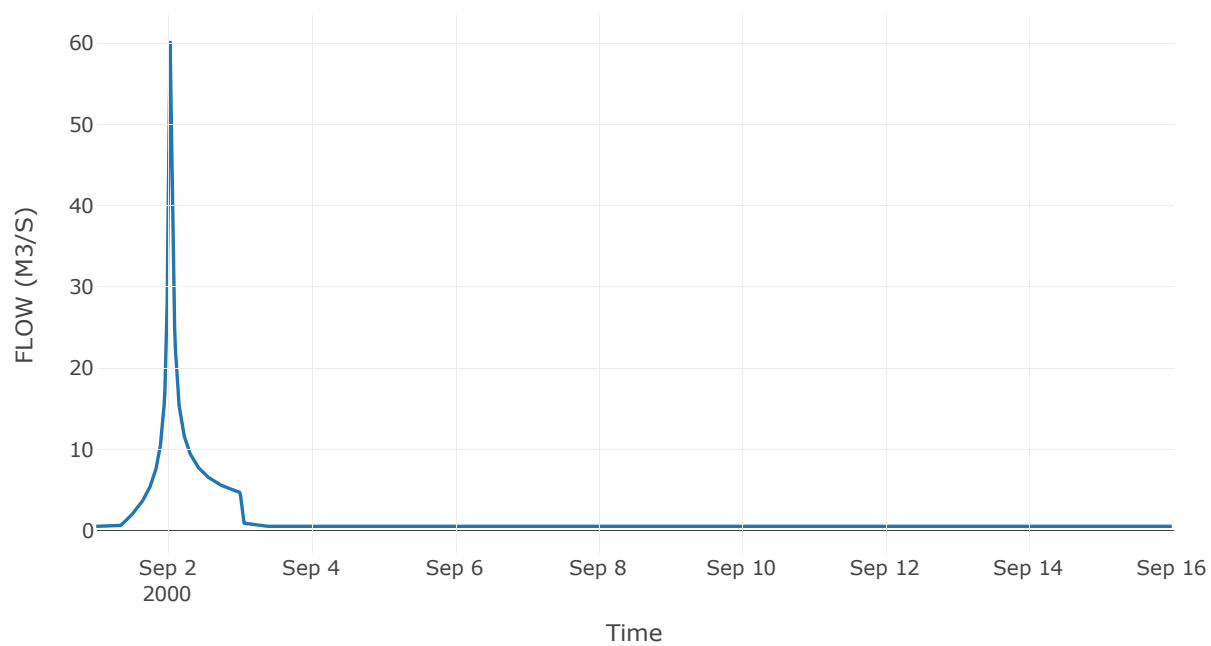
Κόμβος: J18

Κατάντη : R183

Αποτελέσματα: J18

Παροχή αιχμής (M3/S)	60.08
Χρονική στιγμή αιχμής	02Sep2000, 00:45
Όγκος (MM)	250.58

Απορροή



8 Δεδομένα εισόδου και αποτελέσματα υδρολογικού σεναρίου $T=1000$

8.1 Αποτελέσματα, υετογραφήματα και υδρογραφήματα σχεδιασμού υπολεκανών

Υπολεκάνη: EL0513FR7001

Έκταση (KM2) : 10.61

Κατάντη : J1

Μέθοδος Απωλειών: SCS

Ποσοστό αδιαπέρατης επιφάνειας	0
Αριθμός Καμπύλης Απορροής-CN	76.74
Αρχικές Απώλειες	15.4

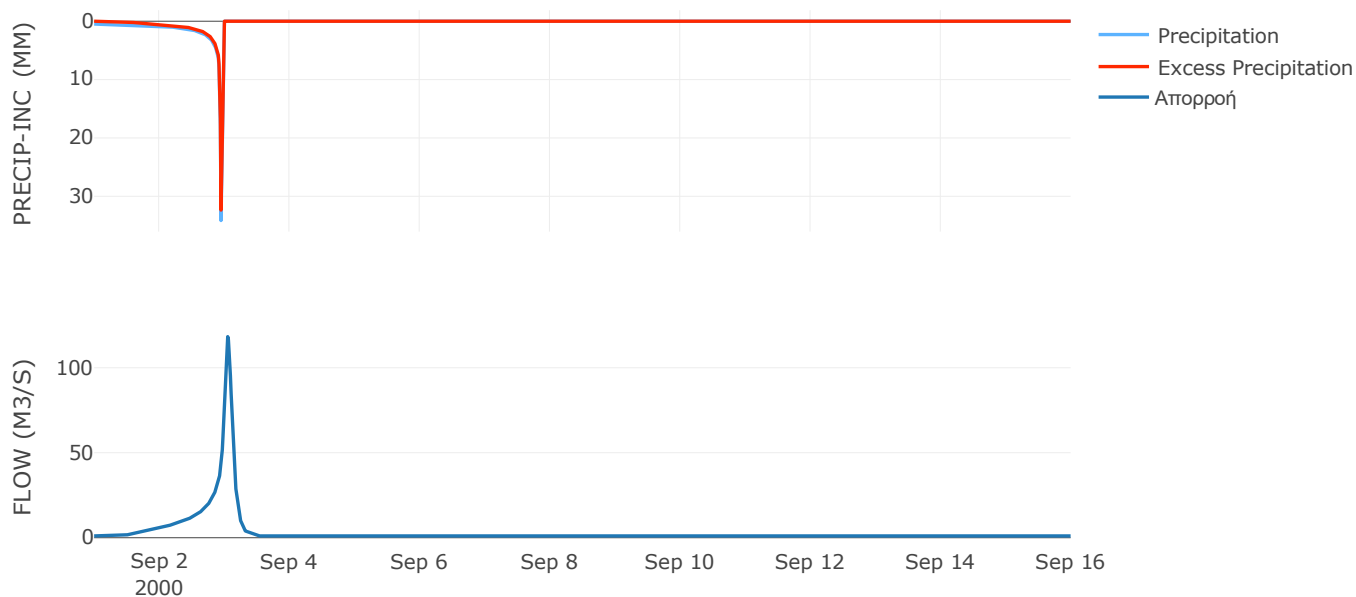
Μέθοδος
Μετασχηματισμού: SCS

Χρόνος Υστέρησης	144.93
------------------	--------

Αποτελέσματα:
EL0513FR7001

Παροχή αιχμής (M3/S)	118.29
Χρονική στιγμή αιχμής	03Sep2000, 01:15
Όγκος (MM)	399.38
Όγκος βροχόπτωσης (M3)	3.69E6
Όγκος απωλειών (M3)	8.27E5
Ενεργός Όγκος (M3)	2.86E6
Όγκος άμεσης απορροής (M3)	2.86E6
Όγκος βασικής απορροής (M3)	1.38E6

Βροχόπτωση και Απορροή



Υπολεκάνη: EL0513FR7002

Έκταση (KM2) : 36.49

Κατάντη : J2

Μέθοδος Απωλειών: SCS

Ποσοστό αδιαπέρατης επιφάνειας	0
Αριθμός Καμπύλης Απορροής-CN	65.95
Αρχικές Απώλειες	26.23

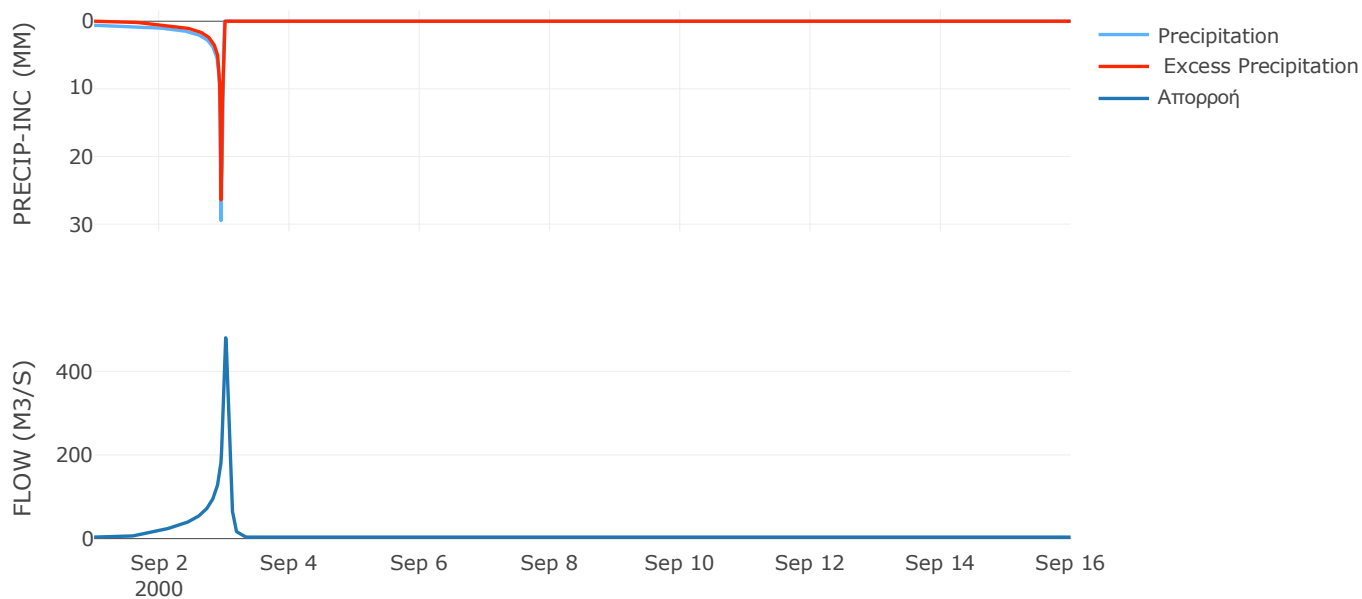
Μέθοδος
Μετασχηματισμού: SCS

Χρόνος Υστέρησης	87.7
------------------	------

Αποτελέσματα:
EL0513FR7002

Παροχή αιχμής (M3/S)	480.12
Χρονική στιγμή αιχμής	03Sep2000, 00:30
Όγκος (MM)	377.16
Όγκος βροχόπτωσης (M3)	1.35E7
Όγκος απωλειών (M3)	4.42E6
Ενεργός Όγκος (M3)	9.03E6
Όγκος άμεσης απορροής (M3)	9.03E6
Όγκος βασικής απορροής (M3)	4.73E6

Βροχόπτωση και Απορροή



Υπολεκάνη: EL0513FR7003

Έκταση (KM2) : 2.15

Κατάντη : J2

Μέθοδος Απωλειών: SCS

Ποσοστό αδιαπέρατης επιφάνειας	0
Αριθμός Καμπύλης Απορροής-CN	73.61
Αρχικές Απώλειες	18.21

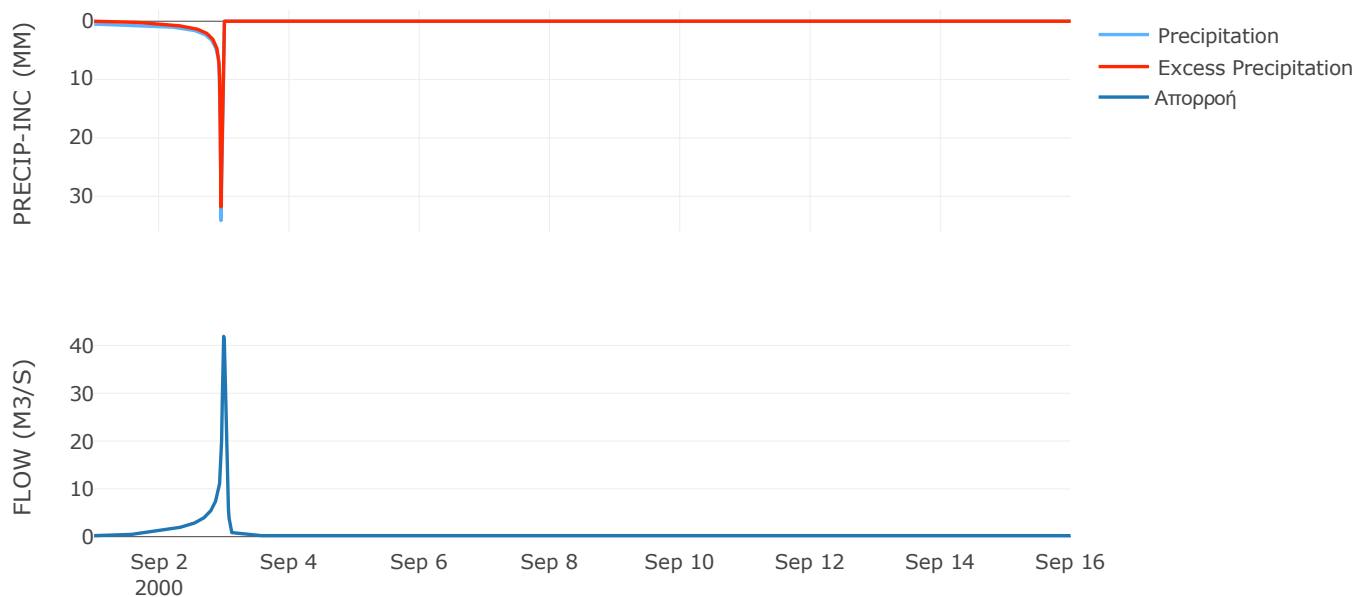
Μέθοδος
Μετασχηματισμού: SCS

Χρόνος Υστέρησης	48.95
------------------	-------

Αποτελέσματα:
EL0513FR7003

Παροχή αιχμής (M3/S)	41.9
Χρονική στιγμή αιχμής	02Sep2000, 23:45
Όγκος (MM)	387.73
Όγκος βροχόπτωσης (M3)	7.46E5
Όγκος απωλειών (M3)	1.92E5
Ενεργός Όγκος (M3)	5.54E5
Όγκος άμεσης απορροής (M3)	5.54E5
Όγκος βασικής απορροής (M3)	2.78E5

Βροχόπτωση και Απορροή



Υπολεκάνη: EL0513FR7004

Έκταση (KM2) : 11.5

Κατάντη : J15

Μέθοδος Απωλειών: SCS

Ποσοστό αδιαπέρατης επιφάνειας	0
Αριθμός Καμπύλης Απορροής-CN	60.52
Αρχικές Απώλειες	33.14

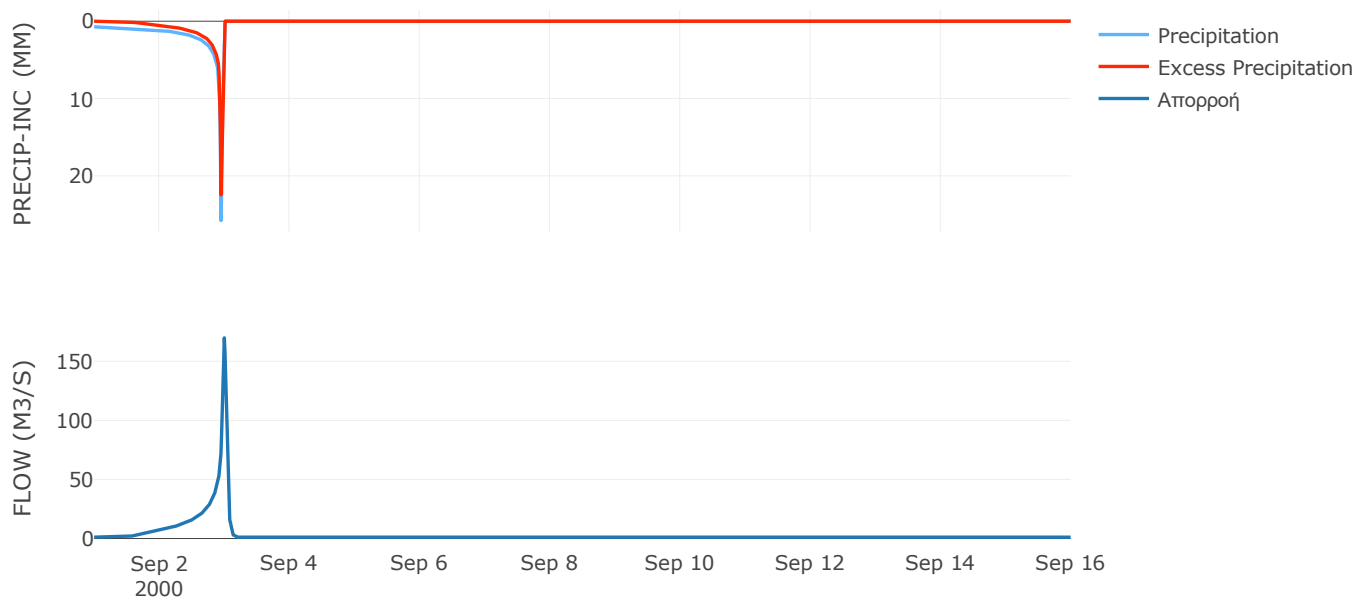
Μέθοδος
Μετασχηματισμού: SCS

Χρόνος Υστέρησης	54
------------------	----

Αποτελέσματα:
EL0513FR7004

Παροχή αιχμής (M3/S)	169.8
Χρονική στιγμή αιχμής	02Sep2000, 24:00
Όγκος (MM)	374.91
Όγκος βροχόπτωσης (M3)	4.5E6
Όγκος απωλειών (M3)	1.68E6
Ενεργός Όγκος (M3)	2.82E6
Όγκος άμεσης απορροής (M3)	2.82E6
Όγκος βασικής απορροής (M3)	1.49E6

Βροχόπτωση και Απορροή



Υπολεκάνη: EL0513FR7005

Έκταση (KM2) : 8.16

Κατάντη : J15

Μέθοδος Απωλειών: SCS

Ποσοστό αδιαπέρατης επιφάνειας	0
Αριθμός Καμπύλης Απορροής-CN	67.14
Αρχικές Απώλειες	24.86

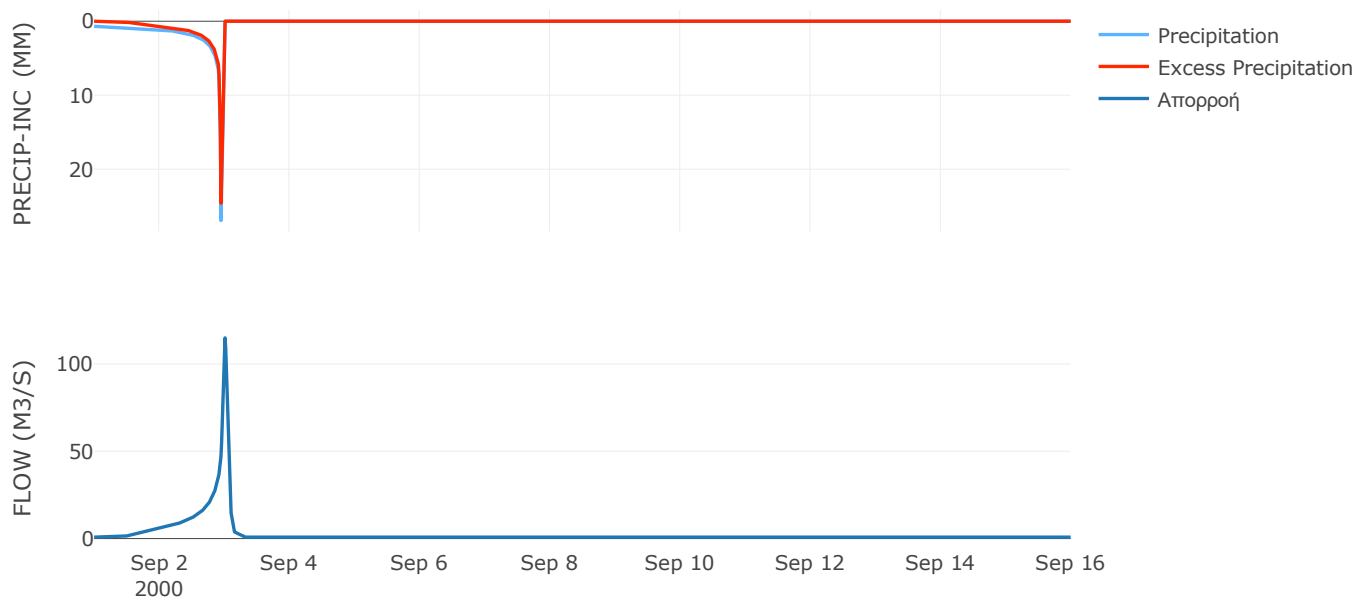
Μέθοδος
Μετασχηματισμού: SCS

Χρόνος Υστέρησης	72.98
------------------	-------

Αποτελέσματα:
EL0513FR7005

Παροχή αιχμής (M3/S)	114.94
Χρονική στιγμή αιχμής	03Sep2000, 00:15
Όγκος (MM)	398.94
Όγκος βροχόπτωσης (M3)	3.16E6
Όγκος απωλειών (M3)	9.58E5
Ενεργός Όγκος (M3)	2.2E6
Όγκος άμεσης απορροής (M3)	2.2E6
Όγκος βασικής απορροής (M3)	1.06E6

Βροχόπτωση και Απορροή



Υπολεκάνη: EL0513FR7006

Έκταση (KM2) : 47.06

Κατάντη : J16

Μέθοδος Απωλειών: SCS

Ποσοστό αδιαπέρατης επιφάνειας	0
Αριθμός Καμπύλης Απορροής-CN	49.32
Αρχικές Απώλειες	52.2

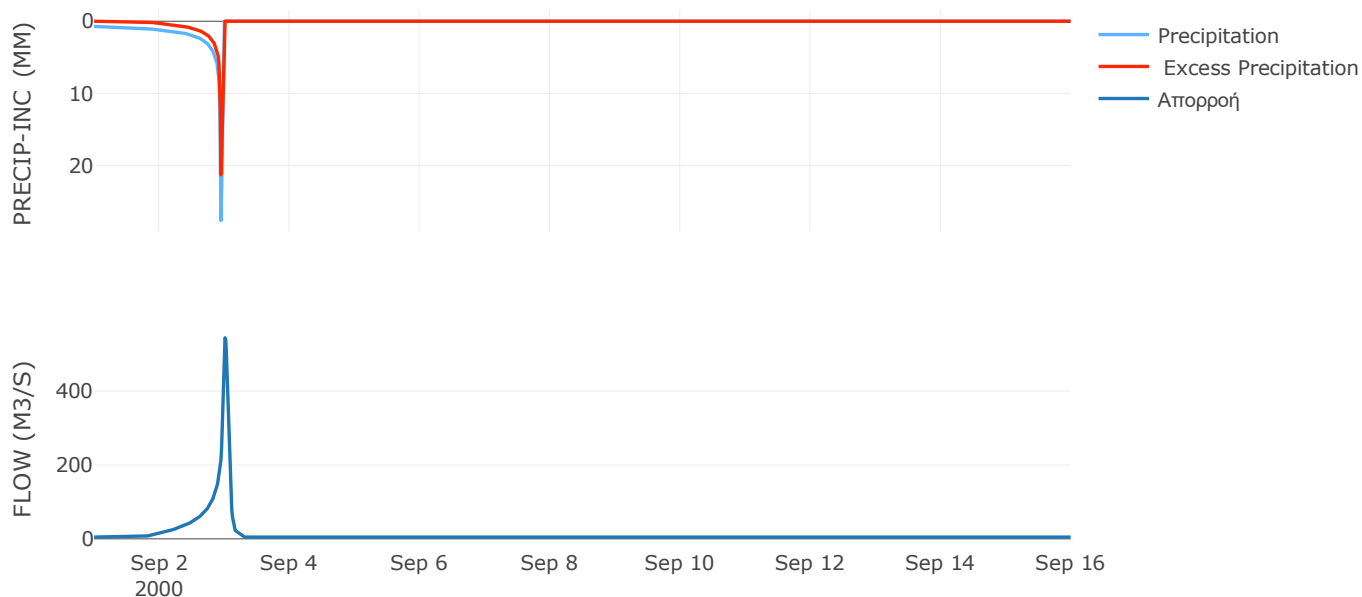
Μέθοδος
Μετασχηματισμού: SCS

Χρόνος Υστέρησης	81.43
------------------	-------

Αποτελέσματα:
EL0513FR7006

Παροχή αιχμής (M3/S)	544.19
Χρονική στιγμή αιχμής	03Sep2000, 00:15
Όγκος (MM)	329.9
Όγκος βροχόπτωσης (M3)	1.89E7
Όγκος απωλειών (M3)	9.49E6
Ενεργός Όγκος (M3)	9.43E6
Όγκος άμεσης απορροής (M3)	9.43E6
Όγκος βασικής απορροής (M3)	6.1E6

Βροχόπτωση και Απορροή



Υπολεκάνη: EL0513FR7007

Έκταση (KM2) : 2.05

Κατάνη : J15

Μέθοδος Απωλειών: SCS

Ποσοστό αδιαπέρατης επιφάνειας	0
Αριθμός Καμπύλης Απορροής-CN	78.46
Αρχικές Απώλειες	13.95

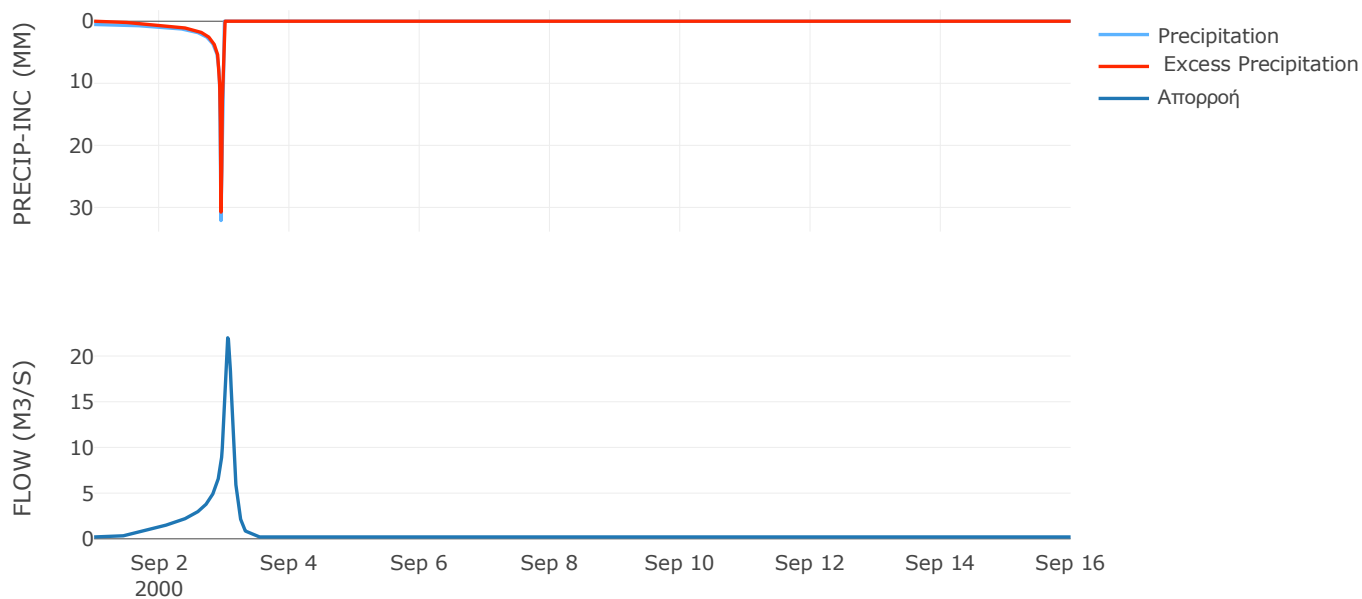
Μέθοδος
Μετασχηματισμού: SCS

Χρόνος Υστέρησης	150.34
------------------	--------

Αποτελέσματα:
EL0513FR7007

Παροχή αιχμής (M3/S)	22
Χρονική στιγμή αιχμής	03Sep2000, 01:15
Όγκος (MM)	411.79
Όγκος βροχόπτωσης (M3)	7.26E5
Όγκος απωλειών (M3)	1.47E5
Ενεργός Όγκος (M3)	5.79E5
Όγκος άμεσης απορροής (M3)	5.79E5
Όγκος βασικής απορροής (M3)	2.66E5

Βροχόπτωση και Απορροή



Υπολεκάνη: EL0513FR7008

Έκταση (KM2) : 8

Κατάντη : J18

Μέθοδος Απωλειών: SCS

Ποσοστό αδιαπέρατης επιφάνειας	0
Αριθμός Καμπύλης Απορροής-CN	57.95
Αρχικές Απώλειες	36.87

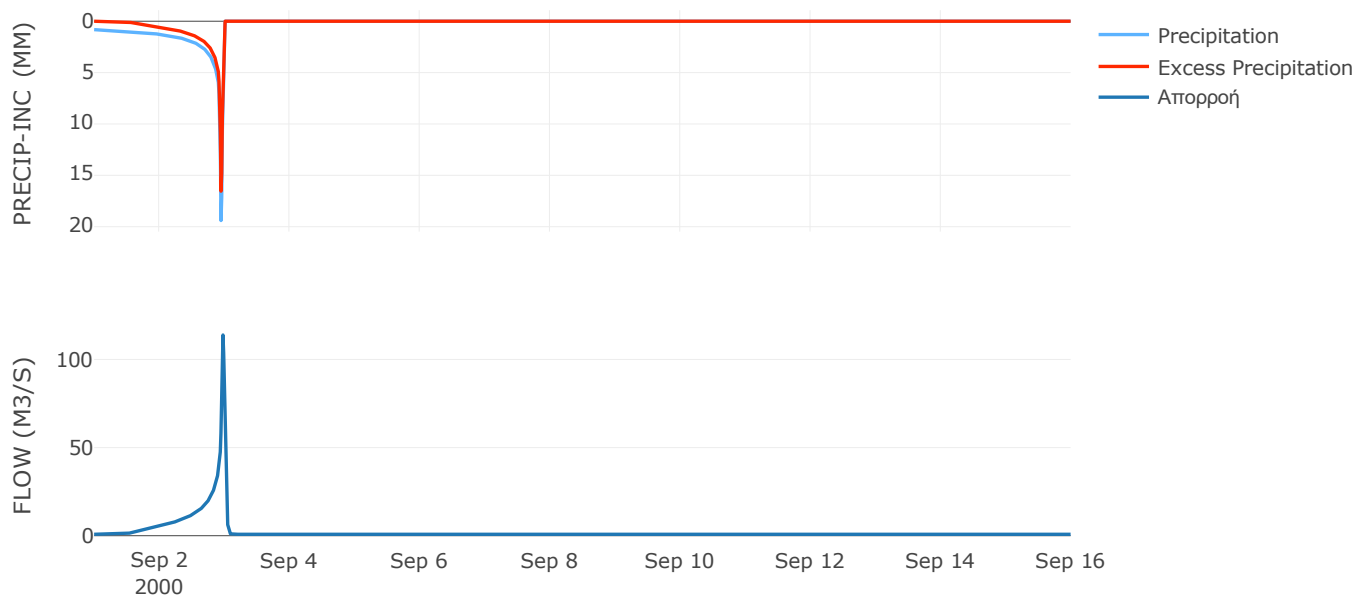
Μέθοδος
Μετασχηματισμού: SCS

Χρόνος Υστέρησης	28.84
------------------	-------

Αποτελέσματα:
EL0513FR7008

Παροχή αιχμής (M3/S)	113.9
Χρονική στιγμή αιχμής	02Sep2000, 23:30
Όγκος (MM)	356.9
Όγκος βροχόπτωσης (M3)	3.08E6
Όγκος απωλειών (M3)	1.26E6
Ενεργός Όγκος (M3)	1.82E6
Όγκος άμεσης απορροής (M3)	1.82E6
Όγκος βασικής απορροής (M3)	1.04E6

Βροχόπτωση και Απορροή



Υπολεκάνη: EL0513FR7009

Έκταση (KM2) : 25.56

Κατάνη : J17

Μέθοδος Απωλειών: SCS

Ποσοστό αδιαπέρατης επιφάνειας	0
Αριθμός Καμπύλης Απορροής-CN	58.5
Αρχικές Απώλειες	36.04

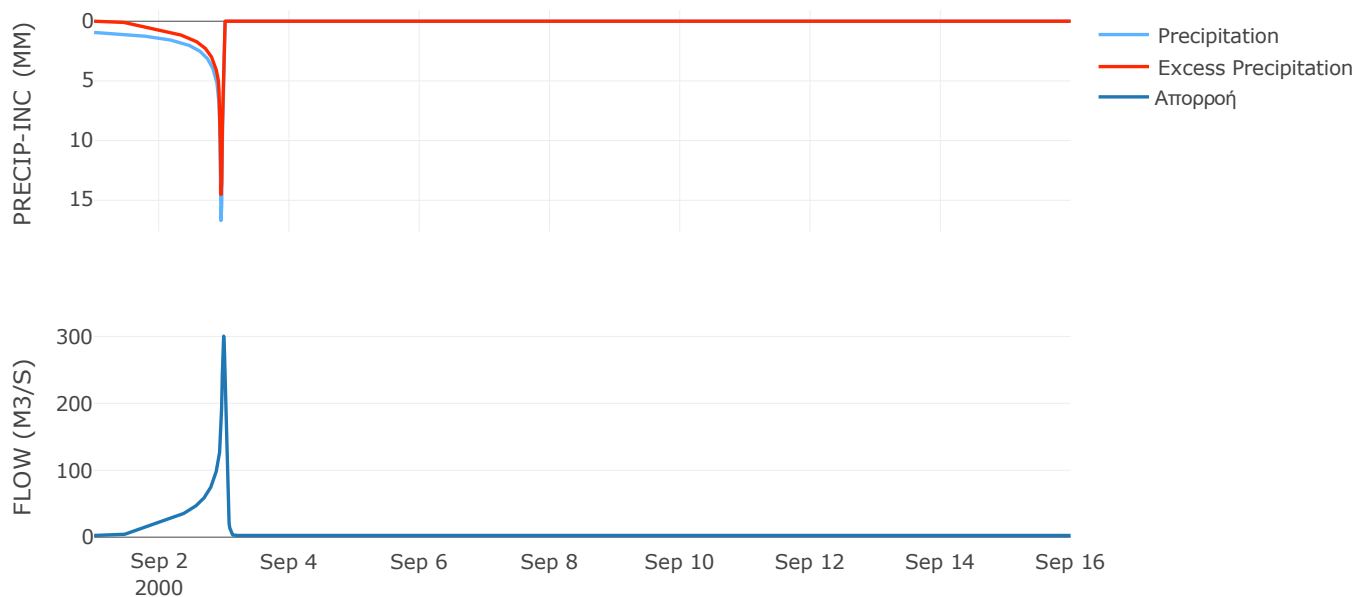
Μέθοδος
Μετασχηματισμού: SCS

Χρόνος Υστέρησης	42.48
------------------	-------

Αποτελέσματα:
EL0513FR7009

Παροχή αιχμής (M3/S)	300.36
Χρονική στιγμή αιχμής	02Sep2000, 23:45
Όγκος (MM)	374.16
Όγκος βροχόπτωσης (M3)	1.03E7
Όγκος απωλειών (M3)	4.01E6
Ενεργός Όγκος (M3)	6.25E6
Όγκος άμεσης απορροής (M3)	6.25E6
Όγκος βασικής απορροής (M3)	3.31E6

Βροχόπτωση και Απορροή



Υπολεκάνη: EL0513FR7010

Έκταση (KM2) : 14.22

Κατάντη : J3

Μέθοδος Απωλειών: SCS

Ποσοστό αδιαπέρατης επιφάνειας	0
Αριθμός Καμπύλης Απορροής-CN	63.55
Αρχικές Απώλειες	29.13

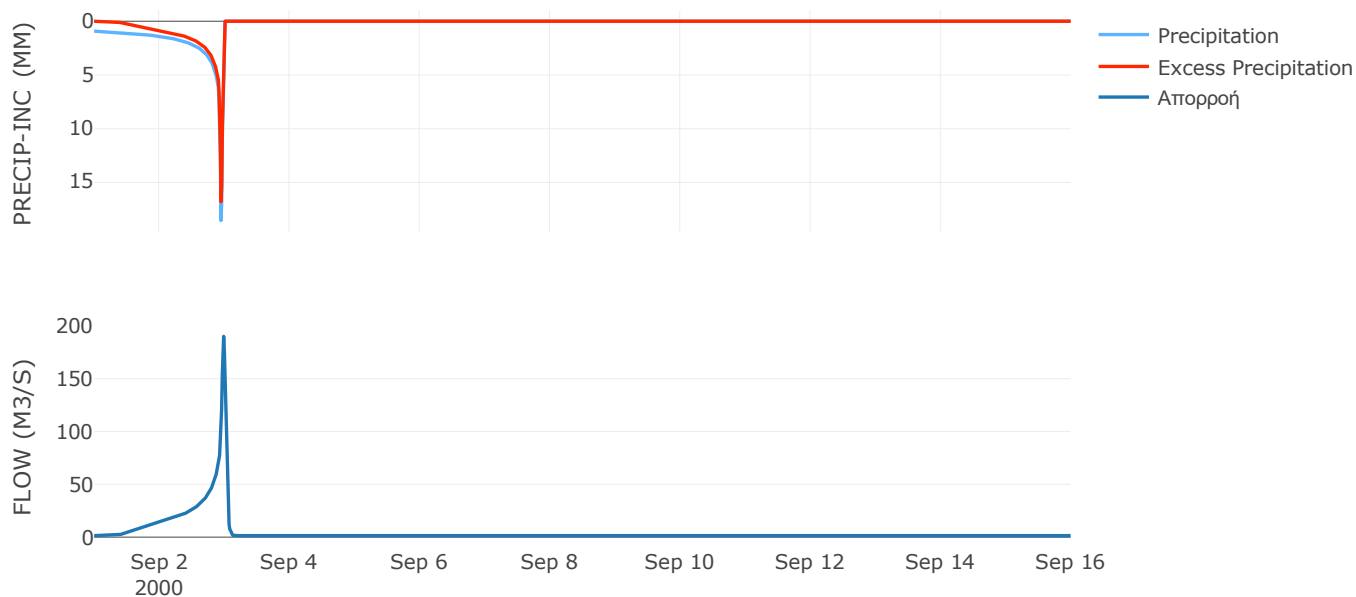
Μέθοδος
Μετασχηματισμού: SCS

Χρόνος Υστέρησης	41.52
------------------	-------

Αποτελέσματα:
EL0513FR7010

Παροχή αιχμής (M3/S)	190.06
Χρονική στιγμή αιχμής	02Sep2000, 23:45
Όγκος (MM)	404.86
Όγκος βροχόπτωσης (M3)	5.83E6
Όγκος απωλειών (M3)	1.91E6
Ενεργός Όγκος (M3)	3.91E6
Όγκος άμεσης απορροής (M3)	3.91E6
Όγκος βασικής απορροής (M3)	1.84E6

Βροχόπτωση και Απορροή



Υπολεκάνη: EL0513FR7011

Έκταση (KM2) : 27

Κατάντη : J3

Μέθοδος Απωλειών: SCS

Ποσοστό αδιαπέρατης επιφάνειας	0
Αριθμός Καμπύλης Απορροής-CN	68.6
Αρχικές Απώλειες	23.25

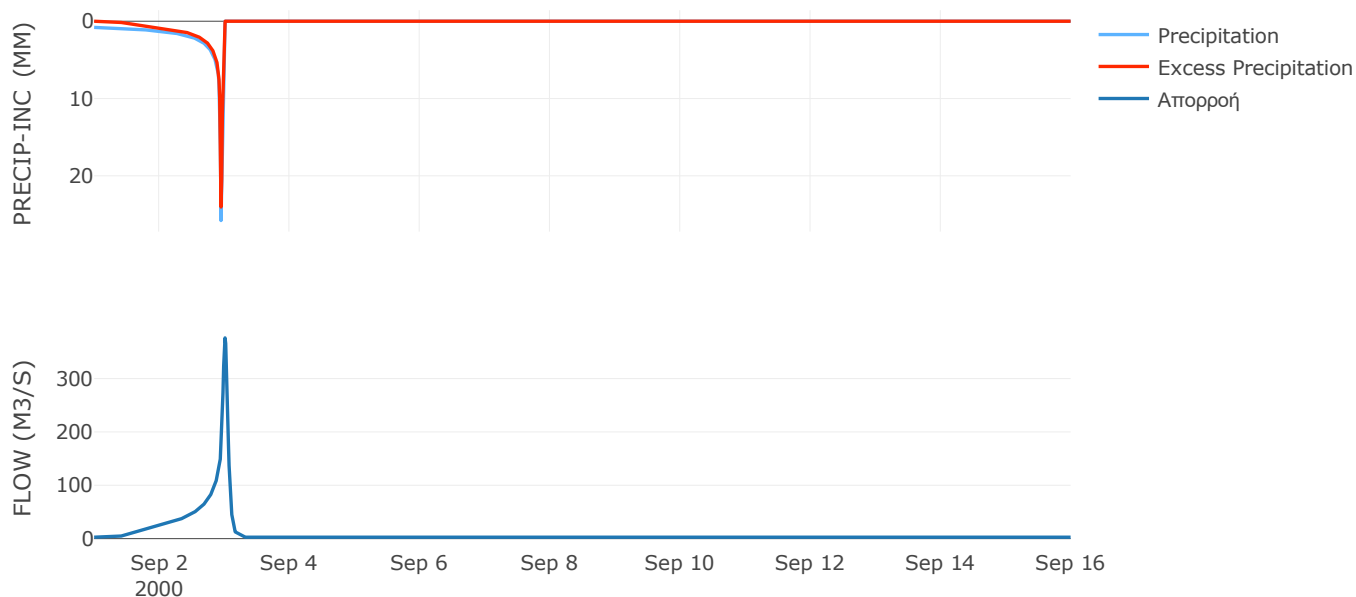
Μέθοδος
Μετασχηματισμού: SCS

Χρόνος Υστέρησης	77.89
------------------	-------

Αποτελέσματα:
EL0513FR7011

Παροχή αιχμής (M3/S)	376.18
Χρονική στιγμή αιχμής	03Sep2000, 00:15
Όγκος (MM)	434.51
Όγκος βροχόπτωσης (M3)	1.13E7
Όγκος απωλειών (M3)	3.05E6
Ενεργός Όγκος (M3)	8.23E6
Όγκος άμεσης απορροής (M3)	8.23E6
Όγκος βασικής απορροής (M3)	3.5E6

Βροχόπτωση και Απορροή



Υπολεκάνη: EL0513FR7012

Έκταση (KM2) : 36.83

Κατάντη : J14

Μέθοδος Απωλειών: SCS

Ποσοστό αδιαπέρατης επιφάνειας	0
Αριθμός Καμπύλης Απορροής-CN	67.91
Αρχικές Απώλειες	24.01

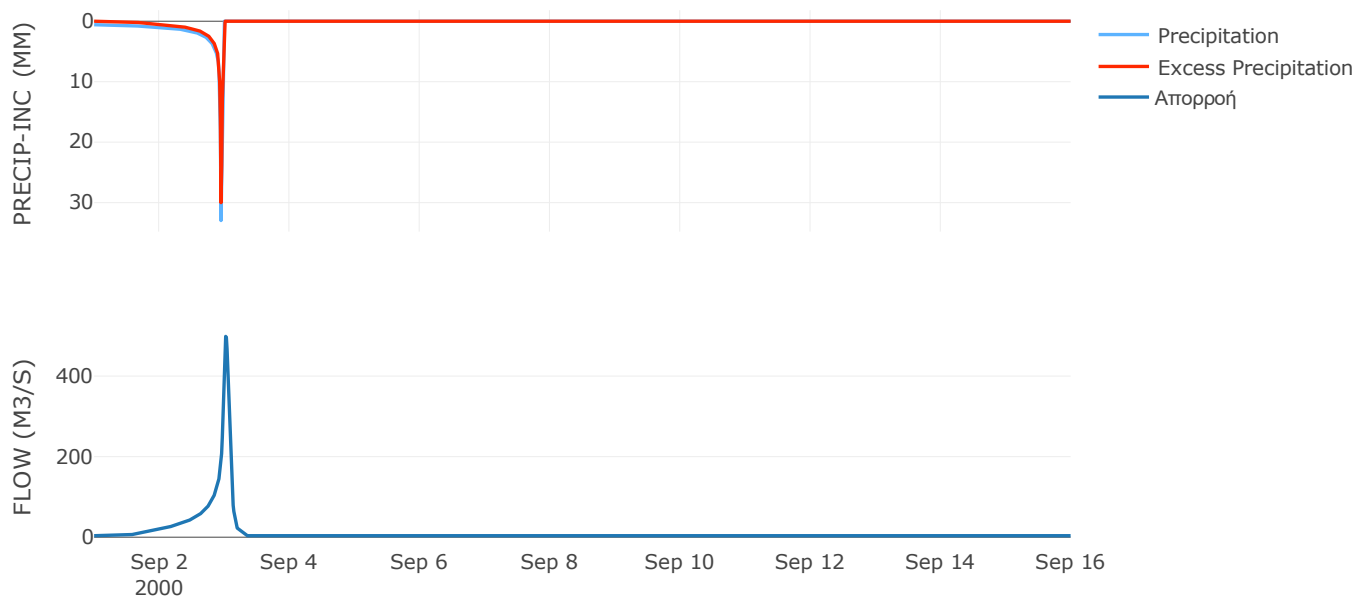
Μέθοδος
Μετασχηματισμού: SCS

Χρόνος Υστέρησης	99.25
------------------	-------

Αποτελέσματα:
EL0513FR7012

Παροχή αιχμής (M3/S)	498.49
Χρονική στιγμή αιχμής	03Sep2000, 00:30
Όγκος (MM)	394.28
Όγκος βροχόπτωσης (M3)	1.39E7
Όγκος απωλειών (M3)	4.19E6
Ενεργός Όγκος (M3)	9.75E6
Όγκος άμεσης απορροής (M3)	9.75E6
Όγκος βασικής απορροής (M3)	4.77E6

Βροχόπτωση και Απορροή



Υπολεκάνη: EL0513FR7013

Έκταση (KM2) : 10.56

Κατάντη : J6

Μέθοδος Απωλειών: SCS

Ποσοστό αδιαπέρατης επιφάνειας	0
Αριθμός Καμπύλης Απορροής-CN	72.61
Αρχικές Απώλειες	19.16

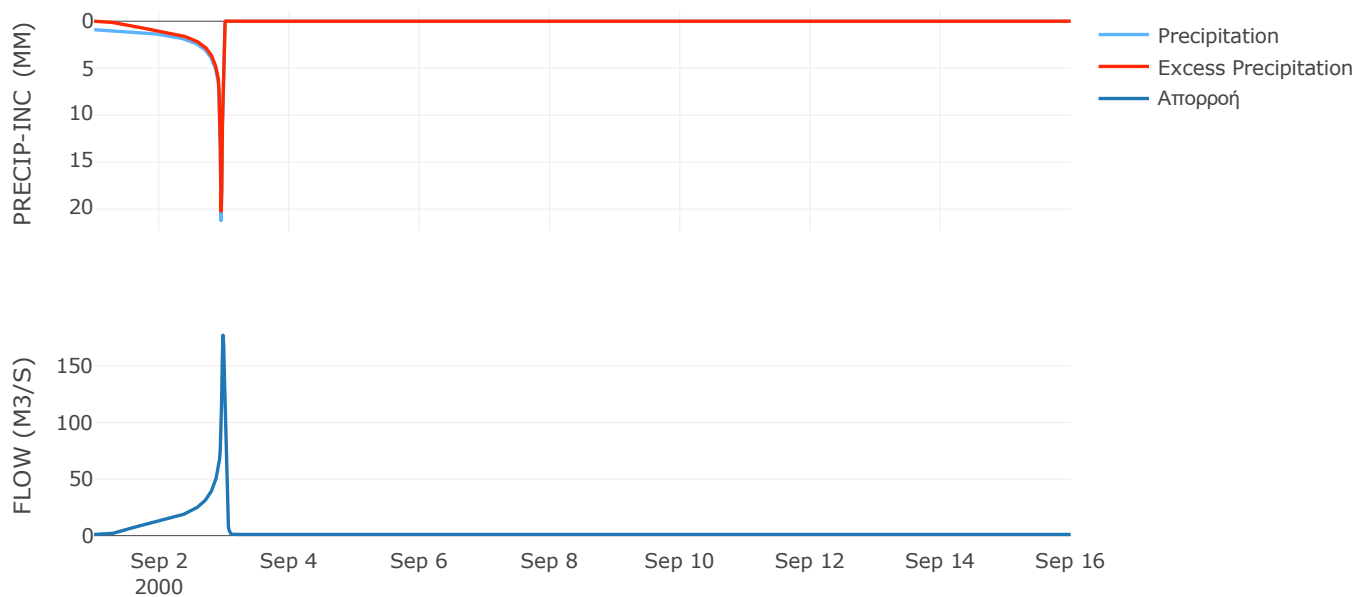
Μέθοδος
Μετασχηματισμού: SCS

Χρόνος Υστέρησης	32.54
------------------	-------

Αποτελέσματα:
EL0513FR7013

Παροχή αιχμής (M3/S)	177.22
Χρονική στιγμή αιχμής	02Sep2000, 23:30
Όγκος (MM)	456.03
Όγκος βροχόπτωσης (M3)	4.47E6
Όγκος απωλειών (M3)	1.02E6
Ενεργός Όγκος (M3)	3.45E6
Όγκος άμεσης απορροής (M3)	3.45E6
Όγκος βασικής απορροής (M3)	1.37E6

Βροχόπτωση και Απορροή



Υπολεκάνη: EL0513FR7014

Έκταση (KM2) : 22.48

Κατάντη : J5

Μέθοδος Απωλειών: SCS

Ποσοστό αδιαπέρατης επιφάνειας	0
Αριθμός Καμπύλης Απορροής-CN	50.9
Αρχικές Απώλειες	49

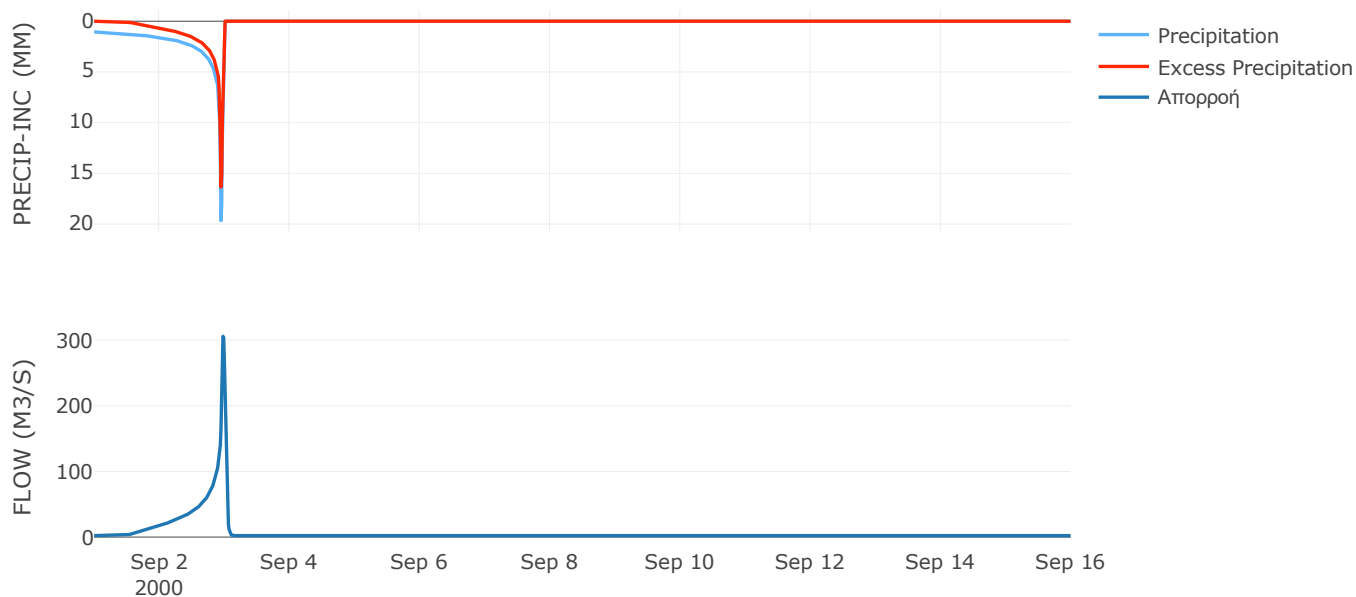
Μέθοδος
Μετασχηματισμού: SCS

Χρόνος Υστέρησης	35.55
------------------	-------

Αποτελέσματα:
EL0513FR7014

Παροχή αιχμής (M3/S)	305.68
Χρονική στιγμή αιχμής	02Sep2000, 23:30
Όγκος (MM)	384.92
Όγκος βροχόπτωσης (M3)	1.03E7
Όγκος απωλειών (M3)	4.54E6
Ενεργός Όγκος (M3)	5.74E6
Όγκος άμεσης απορροής (M3)	5.74E6
Όγκος βασικής απορροής (M3)	2.91E6

Βροχόπτωση και Απορροή



Υπολεκάνη: EL0513FR7015

Έκταση (KM2) : 54.51

Κατάντη : J6

Μέθοδος Απωλειών: SCS

Ποσοστό αδιαπέρατης επιφάνειας	0
Αριθμός Καμπύλης Απορροής-CN	64.36
Αρχικές Απώλειες	28.13

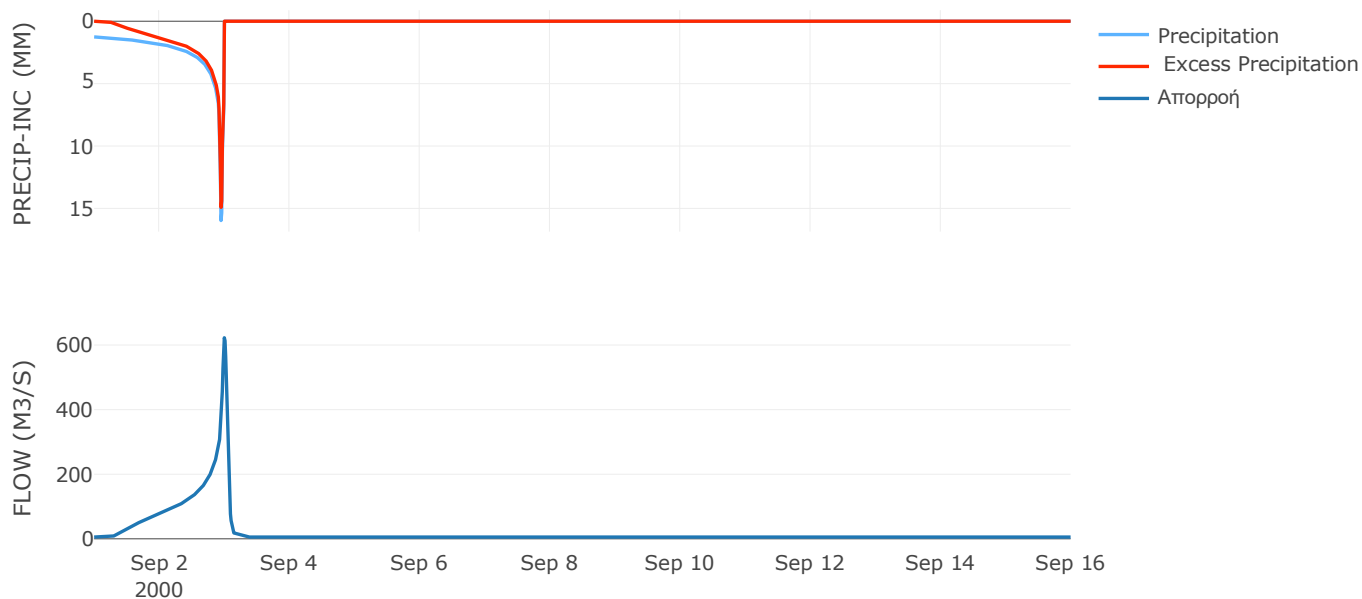
Μέθοδος
Μετασχηματισμού: SCS

Χρόνος Υστέρησης	64.19
------------------	-------

Αποτελέσματα:
EL0513FR7015

Παροχή αιχμής (M3/S)	622.59
Χρονική στιγμή αιχμής	02Sep2000, 24:00
Όγκος (MM)	477.81
Όγκος βροχόπτωσης (M3)	2.64E7
Όγκος απωλειών (M3)	7.39E6
Ενεργός Όγκος (M3)	1.9E7
Όγκος άμεσης απορροής (M3)	1.9E7
Όγκος βασικής απορροής (M3)	7.06E6

Βροχόπτωση και Απορροή



Υπολεκάνη: EL0513FR7016

Έκταση (KM2) : 13.52

Κατάντη : J4

Μέθοδος Απωλειών: SCS

Ποσοστό αδιαπέρατης επιφάνειας	0
Αριθμός Καμπύλης Απορροής-CN	47.73
Αρχικές Απώλειες	55.64

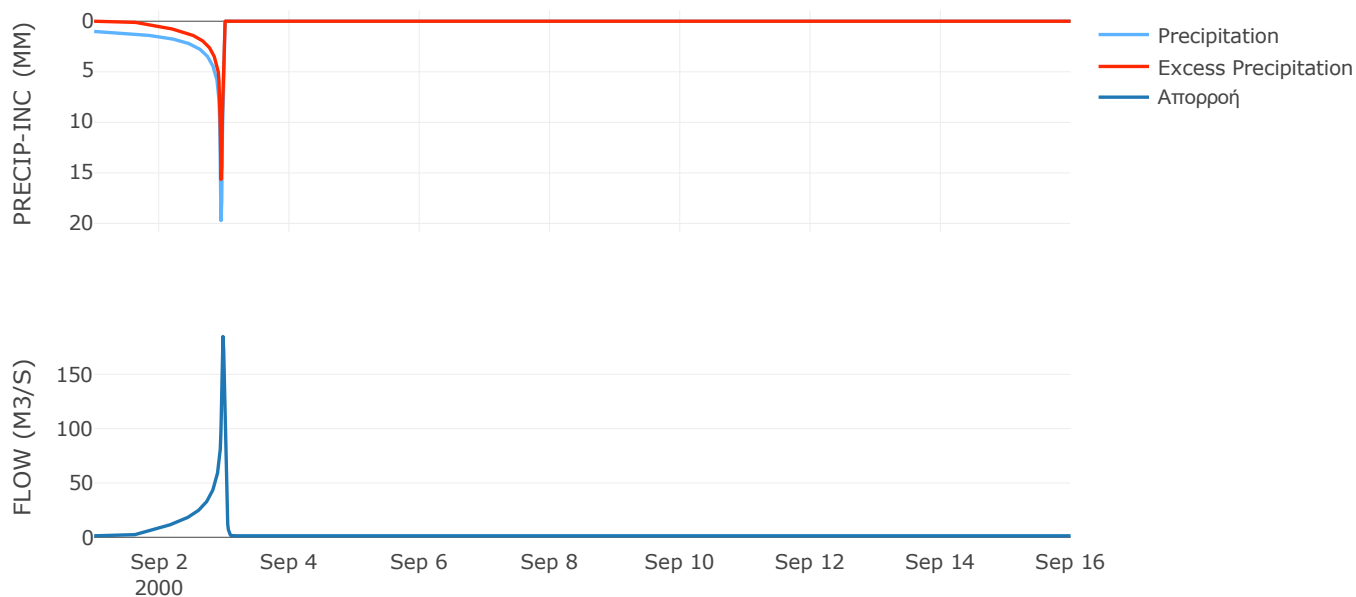
Μέθοδος
Μετασχηματισμού: SCS

Χρόνος Υστέρησης	30.04
------------------	-------

Αποτελέσματα:
EL0513FR7016

Παροχή αιχμής (M3/S)	184.83
Χρονική στιγμή αιχμής	02Sep2000, 23:30
Όγκος (MM)	356.38
Όγκος βροχόπτωσης (M3)	6.01E6
Όγκος απωλειών (M3)	2.94E6
Ενεργός Όγκος (M3)	3.06E6
Όγκος άμεσης απορροής (M3)	3.06E6
Όγκος βασικής απορροής (M3)	1.75E6

Βροχόπτωση και Απορροή



Υπολεκάνη: EL0513FR7017

Έκταση (KM2) : 45.33

Κατάντη : J5

Μέθοδος Απωλειών: SCS

Ποσοστό αδιαπέρατης επιφάνειας	0
Αριθμός Καμπύλης Απορροής-CN	48.78
Αρχικές Απώλειες	53.34

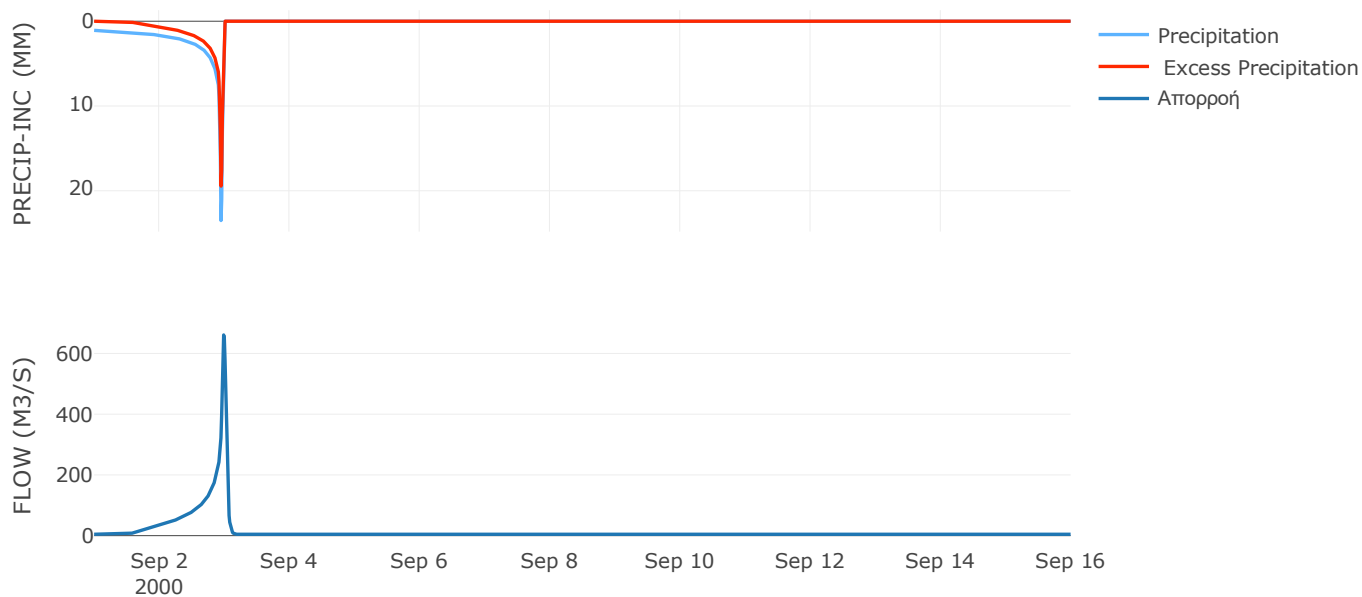
Μέθοδος
Μετασχηματισμού: SCS

Χρόνος Υστέρησης	48.07
------------------	-------

Αποτελέσματα:
EL0513FR7017

Παροχή αιχμής (M3/S)	660.97
Χρονική στιγμή αιχμής	02Sep2000, 23:45
Όγκος (MM)	402.53
Όγκος βροχόπτωσης (M3)	2.23E7
Όγκος απωλειών (M3)	9.94E6
Ενεργός Όγκος (M3)	1.24E7
Όγκος άμεσης απορροής (M3)	1.24E7
Όγκος βασικής απορροής (M3)	5.88E6

Βροχόπτωση και Απορροή



Υπολεκάνη: EL0513FR7018

Έκταση (KM2) : 32.48

Κατάντη : J10

Μέθοδος Απωλειών: SCS

Ποσοστό αδιαπέρατης επιφάνειας	0
Αριθμός Καμπύλης Απορροής-CN	53.54
Αρχικές Απώλειες	44.08

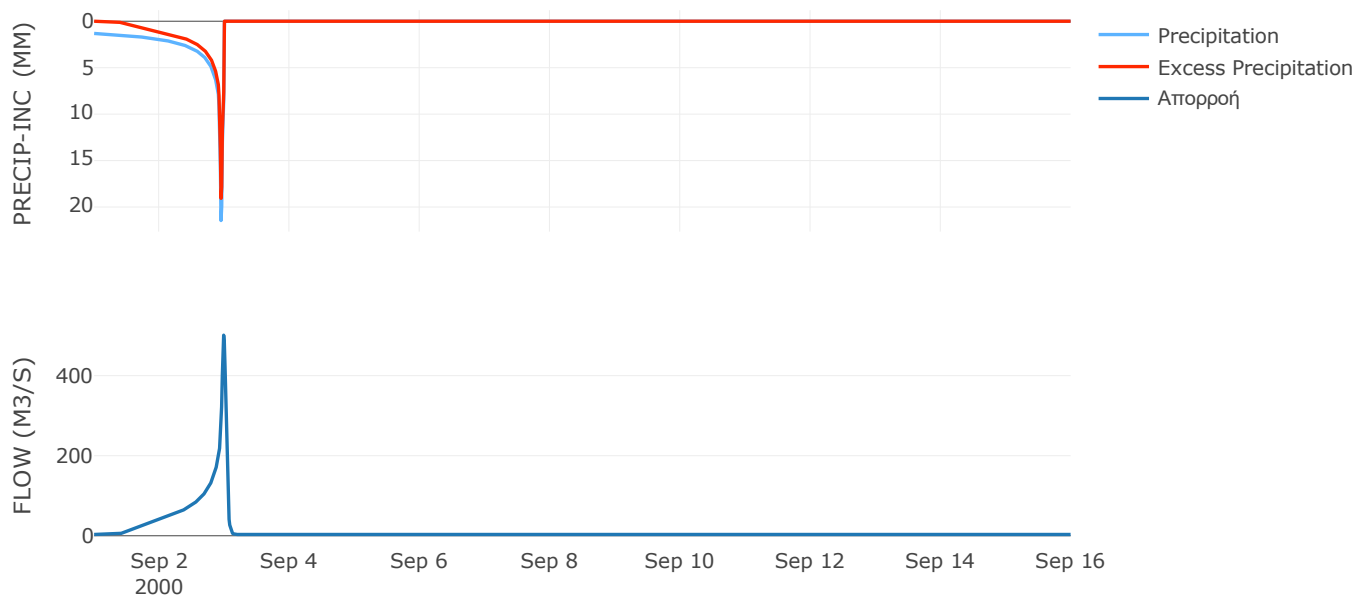
Μέθοδος
Μετασχηματισμού: SCS

Χρόνος Υστέρησης	44.84
------------------	-------

Αποτελέσματα:
EL0513FR7018

Παροχή αιχμής (M3/S)	501.08
Χρονική στιγμή αιχμής	02Sep2000, 23:45
Όγκος (MM)	478.83
Όγκος βροχόπτωσης (M3)	1.78E7
Όγκος απωλειών (M3)	6.41E6
Ενεργός Όγκος (M3)	1.13E7
Όγκος άμεσης απορροής (M3)	1.13E7
Όγκος βασικής απορροής (M3)	4.21E6

Βροχόπτωση και Απορροή



Υπολεκάνη: EL0513FR7019

Έκταση (KM2) : 40.09

Κατάντη : J12

Μέθοδος Απωλειών: SCS

Ποσοστό αδιαπέρατης επιφάνειας	0
Αριθμός Καμπύλης Απορροής-CN	66.59
Αρχικές Απώλειες	25.49

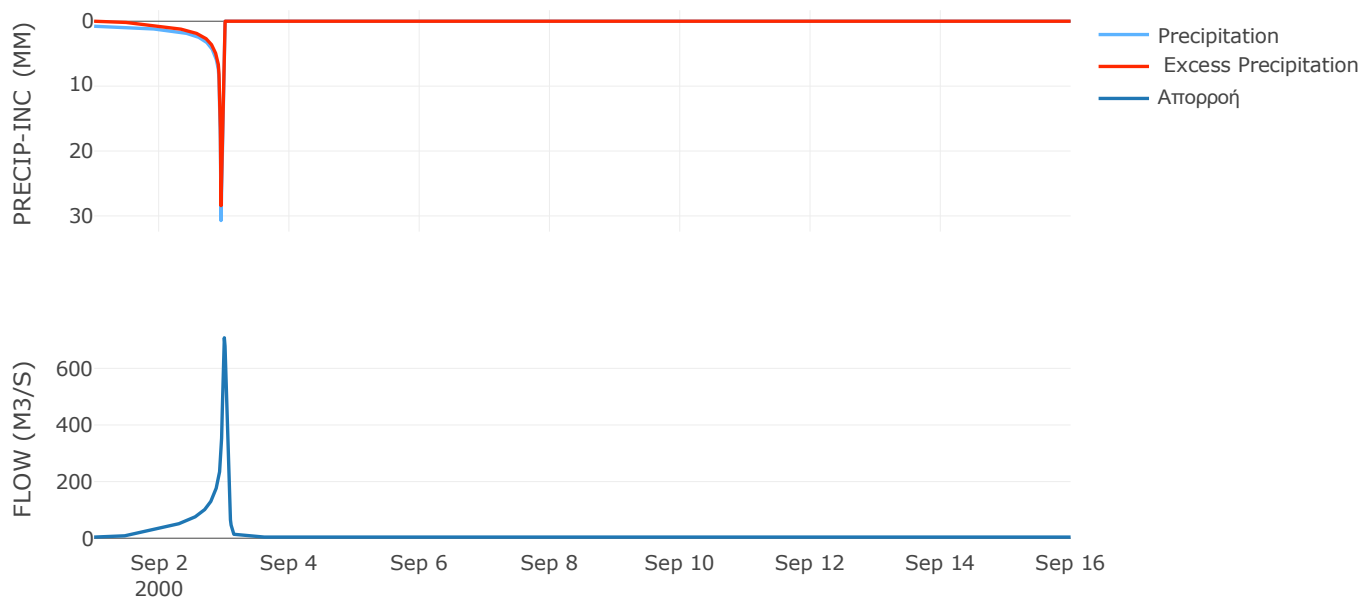
Μέθοδος
Μετασχηματισμού: SCS

Χρόνος Υστέρησης	60.34
------------------	-------

Αποτελέσματα:
EL0513FR7019

Παροχή αιχμής (M3/S)	707.96
Χρονική στιγμή αιχμής	02Sep2000, 24:00
Όγκος (MM)	444.51
Όγκος βροχόπτωσης (M3)	1.76E7
Όγκος απωλειών (M3)	4.93E6
Ενεργός Όγκος (M3)	1.26E7
Όγκος άμεσης απορροής (M3)	1.26E7
Όγκος βασικής απορροής (M3)	5.2E6

Βροχόπτωση και Απορροή



Υπολεκάνη: EL0513FR7020

Έκταση (KM2) : 21.52

Κατάνη : J11

Μέθοδος Απωλειών: SCS

Ποσοστό αδιαπέρατης επιφάνειας	0
Αριθμός Καμπύλης Απορροής-CN	59.96
Αρχικές Απώλειες	33.93

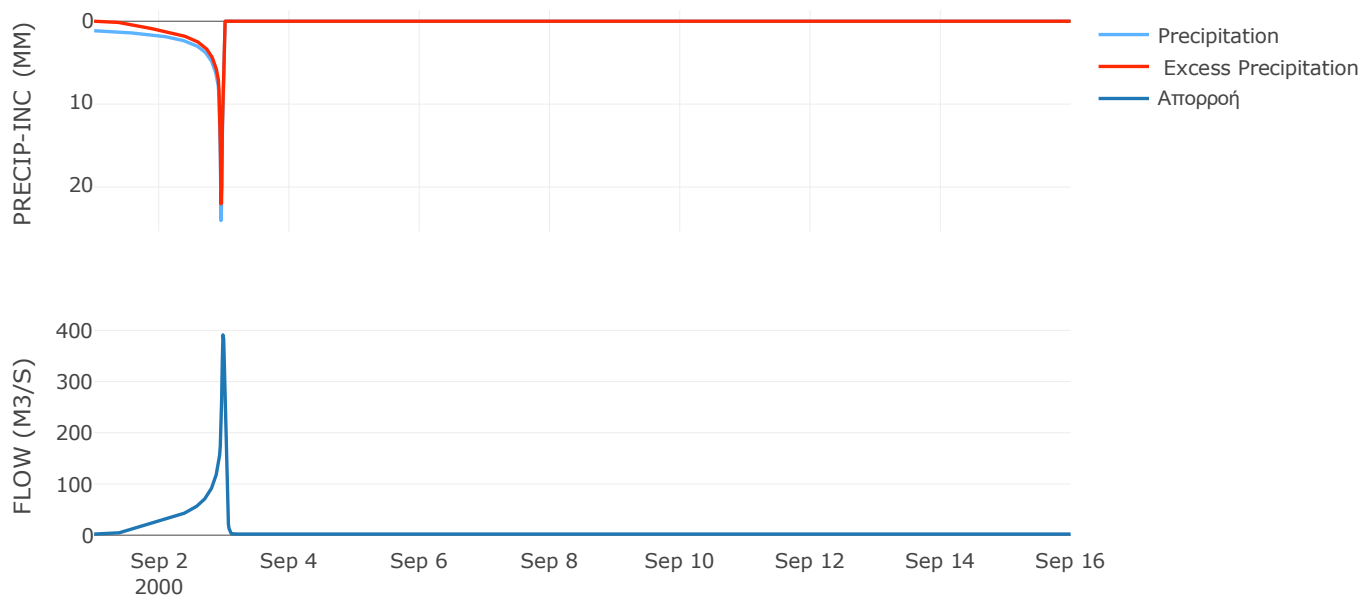
Μέθοδος
Μετασχηματισμού: SCS

Χρόνος Υστέρησης	34.56
------------------	-------

Αποτελέσματα:
EL0513FR7020

Παροχή αιχμής (M3/S)	391.13
Χρονική στιγμή αιχμής	02Sep2000, 23:30
Όγκος (MM)	487.28
Όγκος βροχόπτωσης (M3)	1.11E7
Όγκος απωλειών (M3)	3.43E6
Ενεργός Όγκος (M3)	7.7E6
Όγκος άμεσης απορροής (M3)	7.7E6
Όγκος βασικής απορροής (M3)	2.79E6

Βροχόπτωση και Απορροή



Υπολεκάνη: EL0513FR7021

Έκταση (KM2) : 23.01

Κατάντη : J12

Μέθοδος Απωλειών: SCS

Ποσοστό αδιαπέρατης επιφάνειας	0
Αριθμός Καμπύλης Απορροής-CN	56.07
Αρχικές Απώλειες	39.81

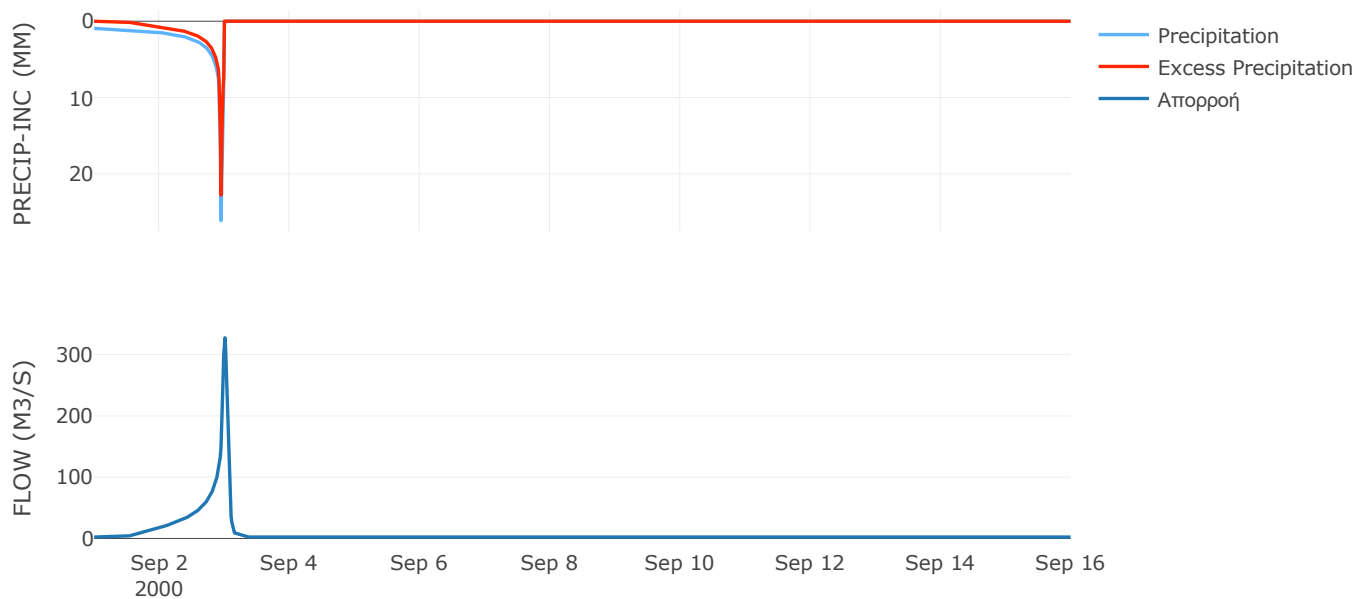
Μέθοδος
Μετασχηματισμού: SCS

Χρόνος Υστέρησης	69.29
------------------	-------

Αποτελέσματα:
EL0513FR7021

Παροχή αιχμής (M3/S)	327.59
Χρονική στιγμή αιχμής	03Sep2000, 00:15
Όγκος (MM)	419.45
Όγκος βροχόπτωσης (M3)	1.07E7
Όγκος απωλειών (M3)	4.04E6
Ενεργός Όγκος (M3)	6.67E6
Όγκος άμεσης απορροής (M3)	6.67E6
Όγκος βασικής απορροής (M3)	2.98E6

Βροχόπτωση και Απορροή



Υπολεκάνη: EL0513FR7022

Έκταση (KM2) : 10.49

Κατάνη : J10

Μέθοδος Απωλειών: SCS

Ποσοστό αδιαπέρατης επιφάνειας	0
Αριθμός Καμπύλης Απορροής-CN	59.7
Αρχικές Απώλειες	34.29

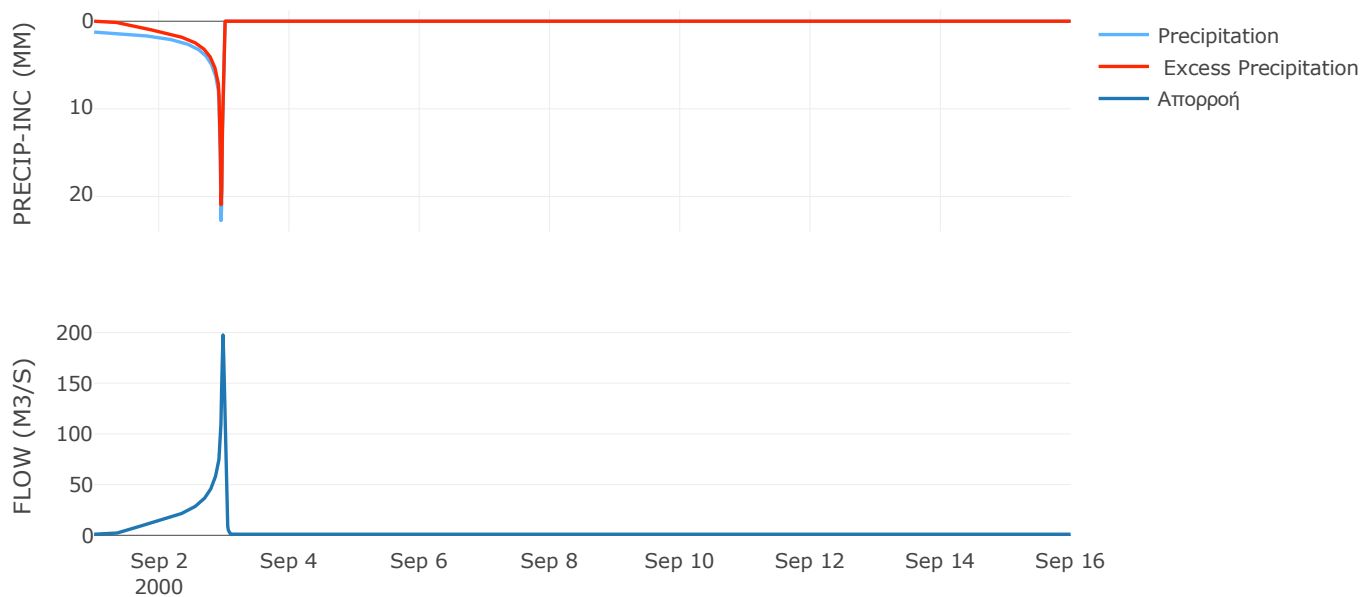
Μέθοδος
Μετασχηματισμού: SCS

Χρόνος Υστέρησης	27.1
------------------	------

Αποτελέσματα:
EL0513FR7022

Παροχή αιχμής (M3/S)	197.6
Χρονική στιγμή αιχμής	02Sep2000, 23:30
Όγκος (MM)	502.61
Όγκος βροχόπτωσης (M3)	5.61E6
Όγκος απωλειών (M3)	1.7E6
Ενεργός Όγκος (M3)	3.91E6
Όγκος άμεσης απορροής (M3)	3.91E6
Όγκος βασικής απορροής (M3)	1.36E6

Βροχόπτωση και Απορροή



Υπολεκάνη: EL0513FR7023

Έκταση (KM2) : 25.04

Κατάντη : J8

Μέθοδος Απωλειών: SCS

Ποσοστό αδιαπέρατης επιφάνειας	0
Αριθμός Καμπύλης Απορροής-CN	66.77
Αρχικές Απώλειες	25.29

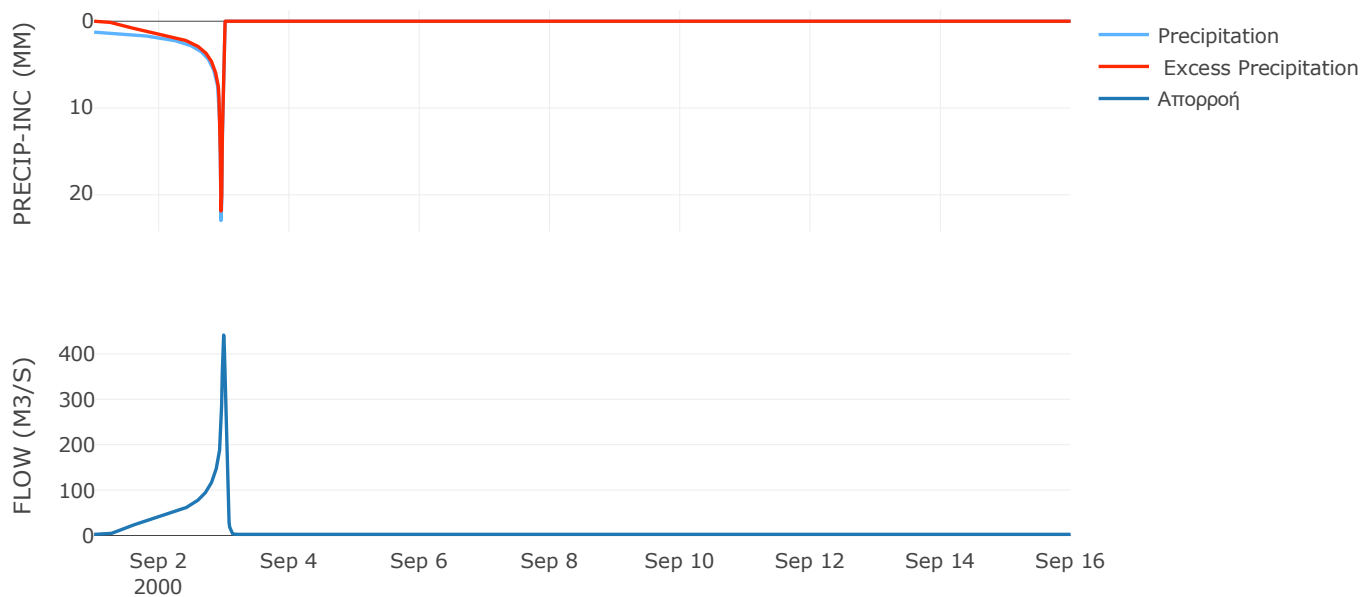
Μέθοδος
Μετασχηματισμού: SCS

Χρόνος Υστέρησης	41.91
------------------	-------

Αποτελέσματα:
EL0513FR7023

Παροχή αιχμής (M3/S)	441.41
Χρονική στιγμή αιχμής	02Sep2000, 23:45
Όγκος (MM)	545.84
Όγκος βροχόπτωσης (M3)	1.36E7
Όγκος απωλειών (M3)	3.18E6
Ενεργός Όγκος (M3)	1.04E7
Όγκος άμεσης απορροής (M3)	1.04E7
Όγκος βασικής απορροής (M3)	3.25E6

Βροχόπτωση και Απορροή



Υπολεκάνη: EL0513FR7024

Έκταση (KM2) : 52.1

Κατάντη : J7

Μέθοδος Απωλειών: SCS

Ποσοστό αδιαπέρατης επιφάνειας	0
Αριθμός Καμπύλης Απορροής-CN	66.03
Αρχικές Απώλειες	26.14

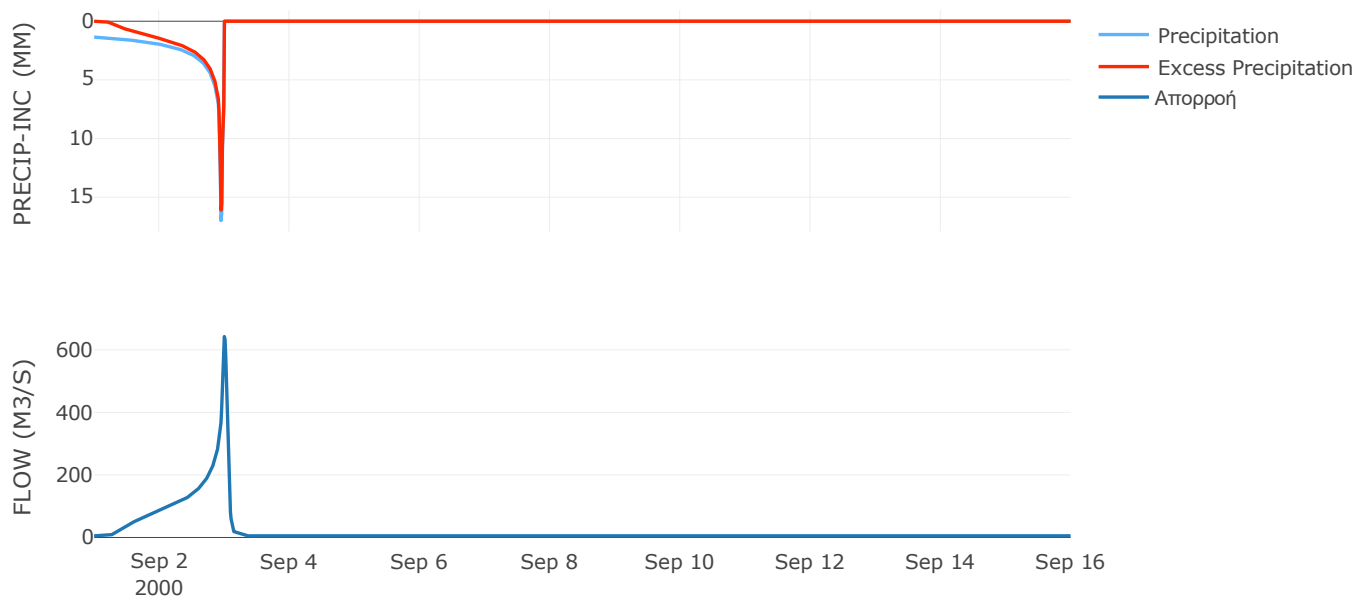
Μέθοδος
Μετασχηματισμού: SCS

Χρόνος Υστέρησης	64.62
------------------	-------

Αποτελέσματα:
EL0513FR7024

Παροχή αιχμής (M3/S)	642.47
Χρονική στιγμή αιχμής	02Sep2000, 24:00
Όγκος (MM)	519.65
Όγκος βροχόπτωσης (M3)	2.71E7
Όγκος απωλειών (M3)	6.74E6
Ενεργός Όγκος (M3)	2.03E7
Όγκος άμεσης απορροής (M3)	2.03E7
Όγκος βασικής απορροής (M3)	6.75E6

Βροχόπτωση και Απορροή



Υπολεκάνη: EL0513FR7025

Έκταση (KM2) : 25.4

Κατάντη : J7

Μέθοδος Απωλειών: SCS

Ποσοστό αδιαπέρατης επιφάνειας	0
Αριθμός Καμπύλης Απορροής-CN	73.69
Αρχικές Απώλειες	18.13

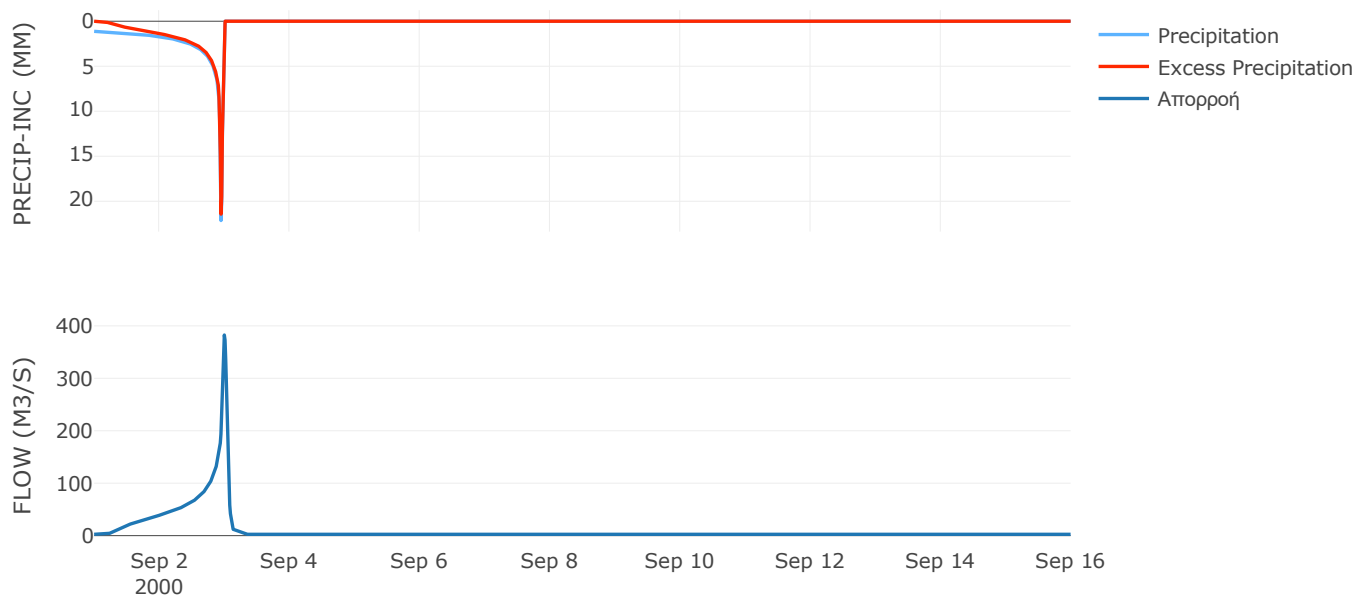
Μέθοδος
Μετασχηματισμού: SCS

Χρόνος Υστέρησης	62.61
------------------	-------

Αποτελέσματα:
EL0513FR7025

Παροχή αιχμής (M3/S)	382.58
Χρονική στιγμή αιχμής	02Sep2000, 24:00
Όγκος (MM)	531.58
Όγκος βροχόπτωσης (M3)	1.26E7
Όγκος απωλειών (M3)	2.4E6
Ενεργός Όγκος (M3)	1.02E7
Όγκος άμεσης απορροής (M3)	1.02E7
Όγκος βασικής απορροής (M3)	3.29E6

Βροχόπτωση και Απορροή



Υπολεκάνη: EL0513FR7026

Έκταση (KM2) : 15.52

Κατάνη : J9

Μέθοδος Απωλειών: SCS

Ποσοστό αδιαπέρατης επιφάνειας	0
Αριθμός Καμπύλης Απορροής-CN	81.03
Αρχικές Απώλειες	11.9

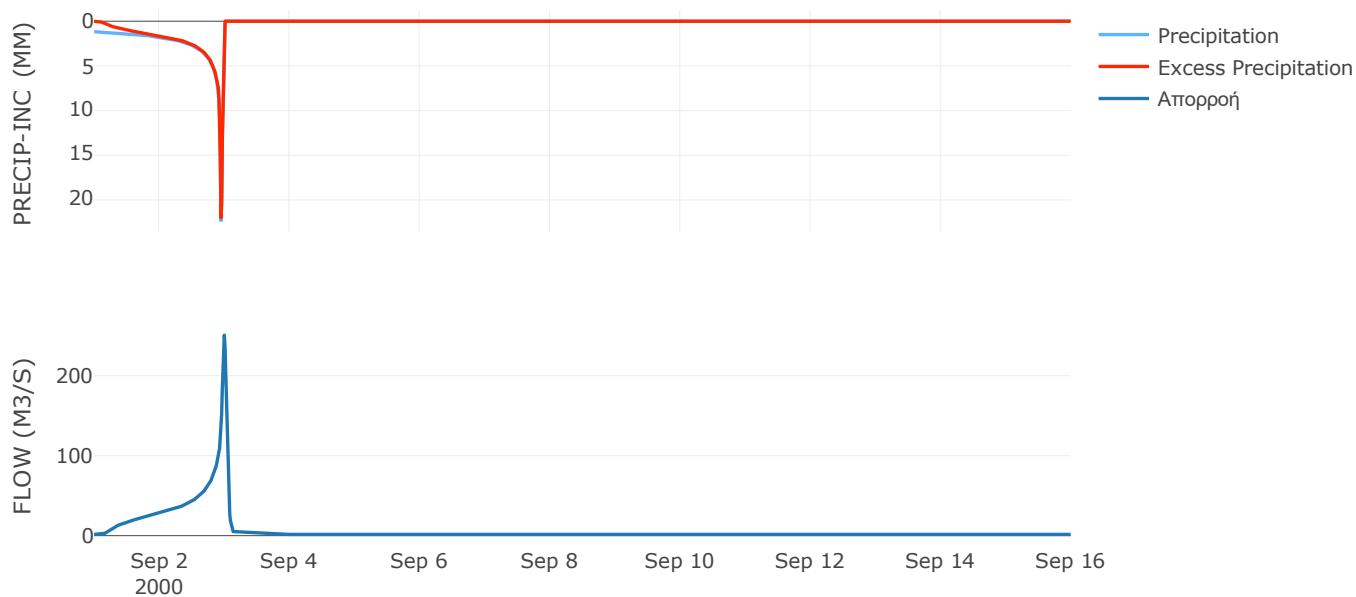
Μέθοδος
Μετασχηματισμού: SCS

Χρόνος Υστέρησης	55.81
------------------	-------

Αποτελέσματα:
EL0513FR7026

Παροχή αιχμής (M3/S)	250.76
Χρονική στιγμή αιχμής	02Sep2000, 24:00
Όγκος (MM)	577.37
Όγκος βροχόπτωσης (M3)	7.96E6
Όγκος απωλειών (M3)	1.01E6
Ενεργός Όγκος (M3)	6.95E6
Όγκος άμεσης απορροής (M3)	6.95E6
Όγκος βασικής απορροής (M3)	2.01E6

Βροχόπτωση και Απορροή



Υπολεκάνη: EL0513FR7027

Έκταση (KM2) : 34.03

Κατάντη : J9

Μέθοδος Απωλειών: SCS

Ποσοστό αδιαπέρατης επιφάνειας	0
Αριθμός Καμπύλης Απορροής-CN	67.65
Αρχικές Απώλειες	24.3

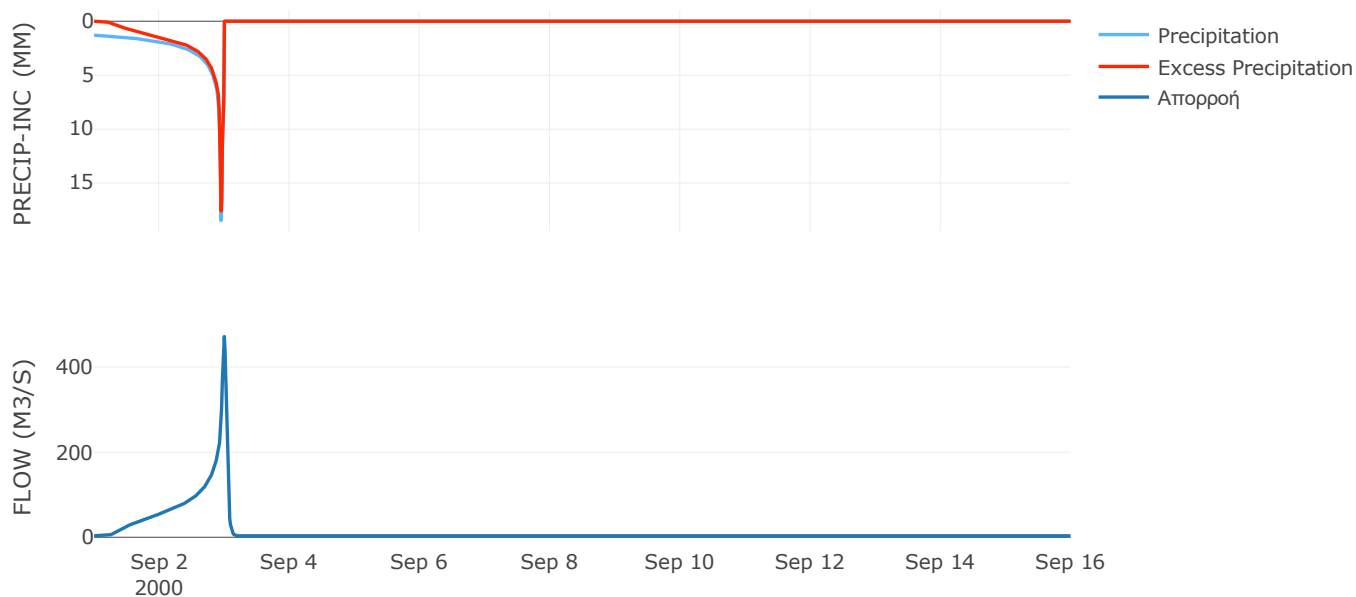
Μέθοδος
Μετασχηματισμού: SCS

Χρόνος Υστέρησης	52.52
------------------	-------

Αποτελέσματα:
EL0513FR7027

Παροχή αιχμής (M3/S)	472.07
Χρονική στιγμή αιχμής	02Sep2000, 24:00
Όγκος (MM)	523.73
Όγκος βροχόπτωσης (M3)	1.76E7
Όγκος απωλειών (M3)	4.14E6
Ενεργός Όγκος (M3)	1.34E7
Όγκος άμεσης απορροής (M3)	1.34E7
Όγκος βασικής απορροής (M3)	4.41E6

Βροχόπτωση και Απορροή



Υπολεκάνη: EL0513FR7028

Έκταση (KM2) : 71.91

Κατάντη : J13

Μέθοδος Απωλειών: SCS

Ποσοστό αδιαπέρατης επιφάνειας	0
Αριθμός Καμπύλης Απορροής-CN	66.21
Αρχικές Απώλειες	25.92

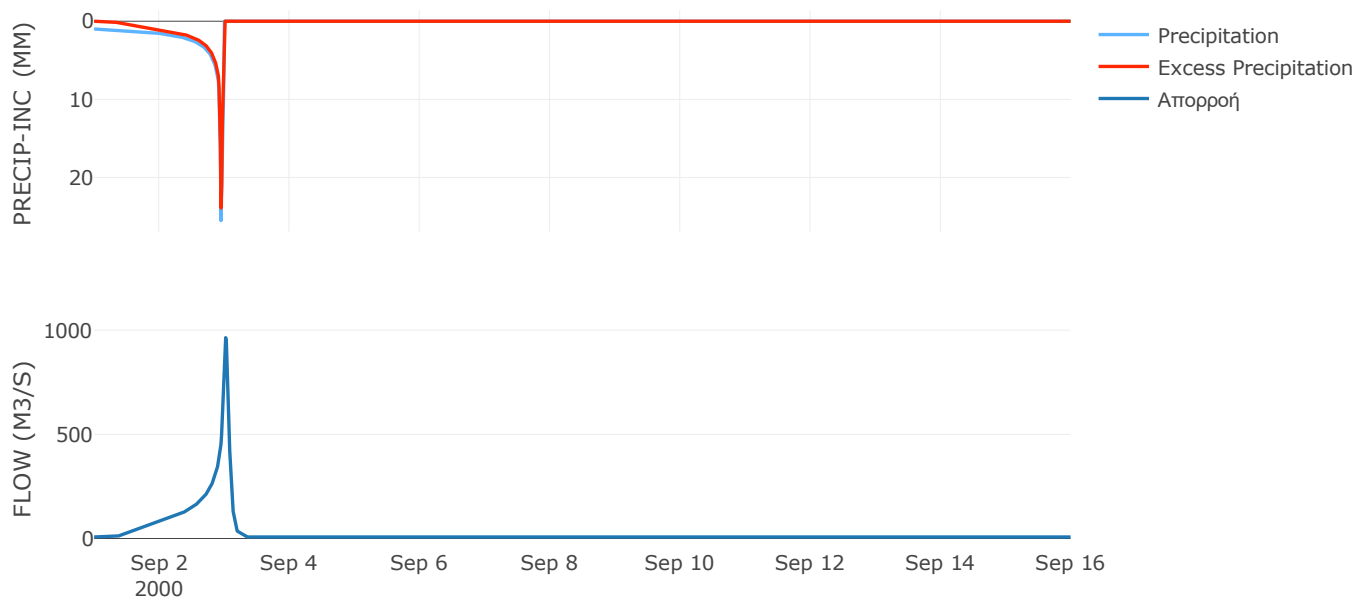
Μέθοδος
Μετασχηματισμού: SCS

Χρόνος Υστέρησης	93.82
------------------	-------

Αποτελέσματα:
EL0513FR7028

Παροχή αιχμής (M3/S)	964.03
Χρονική στιγμή αιχμής	03Sep2000, 00:30
Όγκος (MM)	483.12
Όγκος βροχόπτωσης (M3)	3.45E7
Όγκος απωλειών (M3)	9.12E6
Ενεργός Όγκος (M3)	2.54E7
Όγκος άμεσης απορροής (M3)	2.54E7
Όγκος βασικής απορροής (M3)	9.32E6

Βροχόπτωση και Απορροή



Υπολεκάνη: EL0513FR7029

Έκταση (KM2) : 1.99

Κατάντη : J3

Μέθοδος Απωλειών: SCS

Ποσοστό αδιαπέρατης επιφάνειας	0
Αριθμός Καμπύλης Απορροής-CN	78.11
Αρχικές Απώλειες	14.24

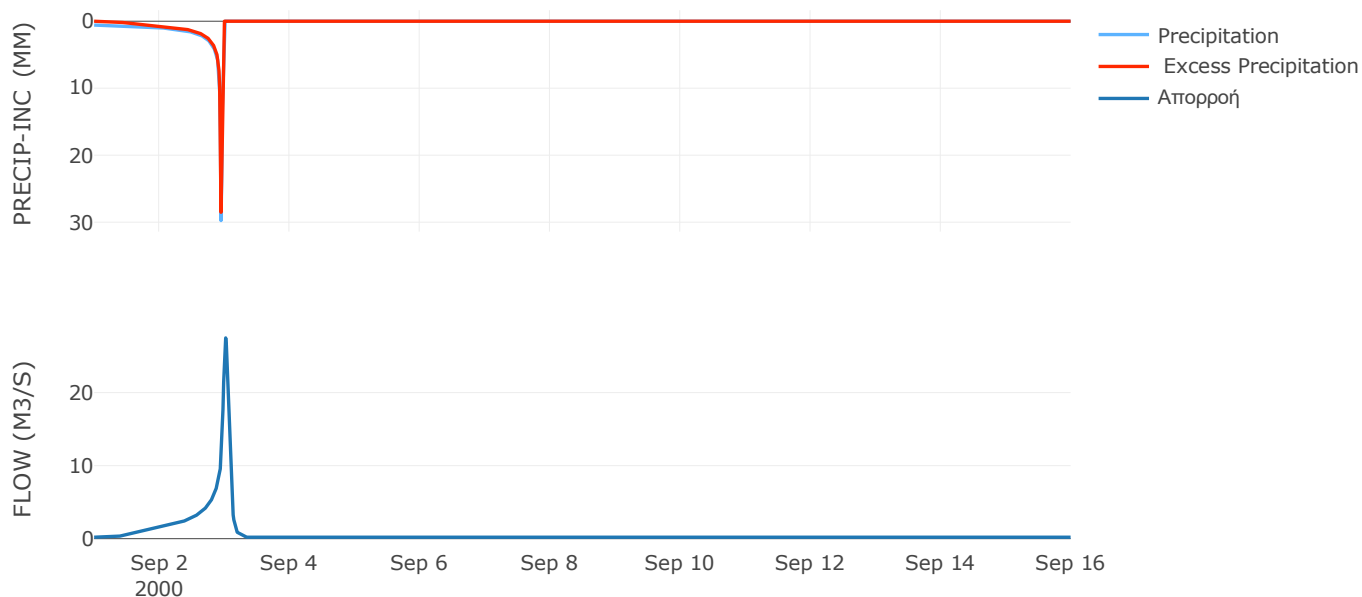
Μέθοδος
Μετασχηματισμού: SCS

Χρόνος Υστέρησης	90.78
------------------	-------

Αποτελέσματα:
EL0513FR7029

Παροχή αιχμής (M3/S)	27.49
Χρονική στιγμή αιχμής	03Sep2000, 00:30
Όγκος (MM)	416.79
Όγκος βροχόπτωσης (M3)	7.16E5
Όγκος απωλειών (M3)	1.45E5
Ενεργός Όγκος (M3)	5.7E5
Όγκος άμεσης απορροής (M3)	5.7E5
Όγκος βασικής απορροής (M3)	2.57E5

Βροχόπτωση και Απορροή



8.2 Δεδομένα και υδρογραφήματα σχεδιασμού Κλάδων υδρογραφικού δικτύου

Κλάδος: R21

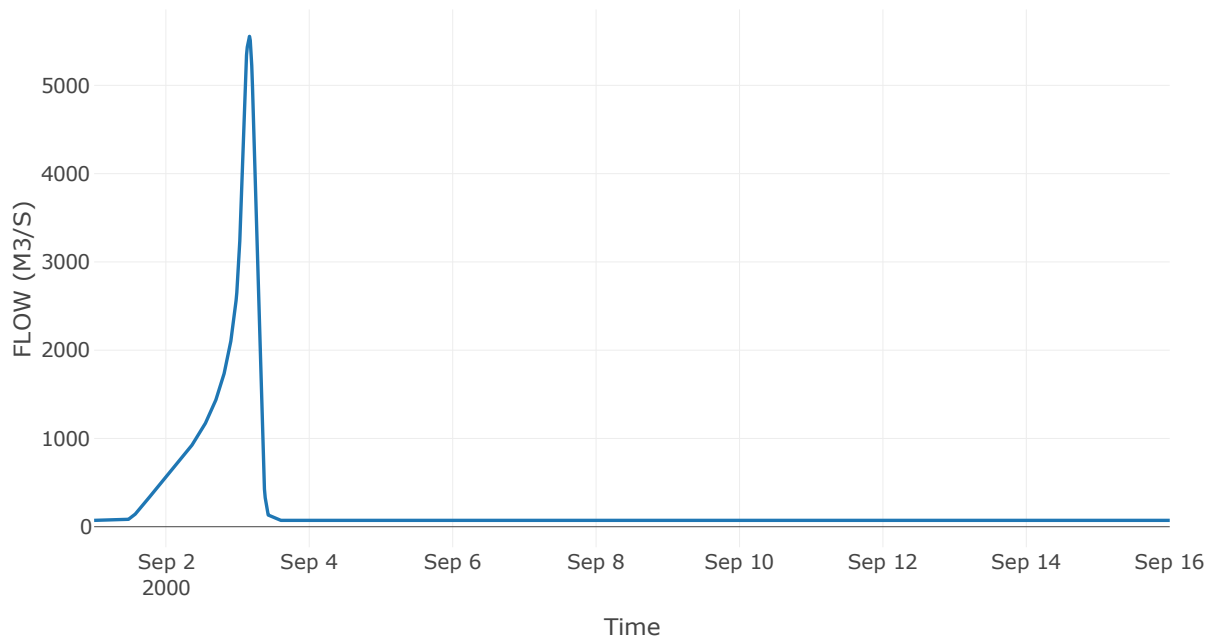
Κατάντη : J1

Μέθοδος Διόδευσης	Muskingum
Αρχική Μεταβλητή	Combined Inflow
Χρόνος Ροής Κ	1.51
Συντελεστής βάρους α	0.2
Πλήθος Υποκλάδων	7

Αποτελέσματα: R21

Παροχή αιχμής (M3/S)	5555.84
Χρονική στιγμή αιχμής	03Sep2000, 04:00
Όγκος (MM)	446.35
Παροχή Αιχμής Εισόδου (M3/S)	5636.88
Όγκος Εισροής (M3)	3.21E8

Απορροή



Κλάδος: R32

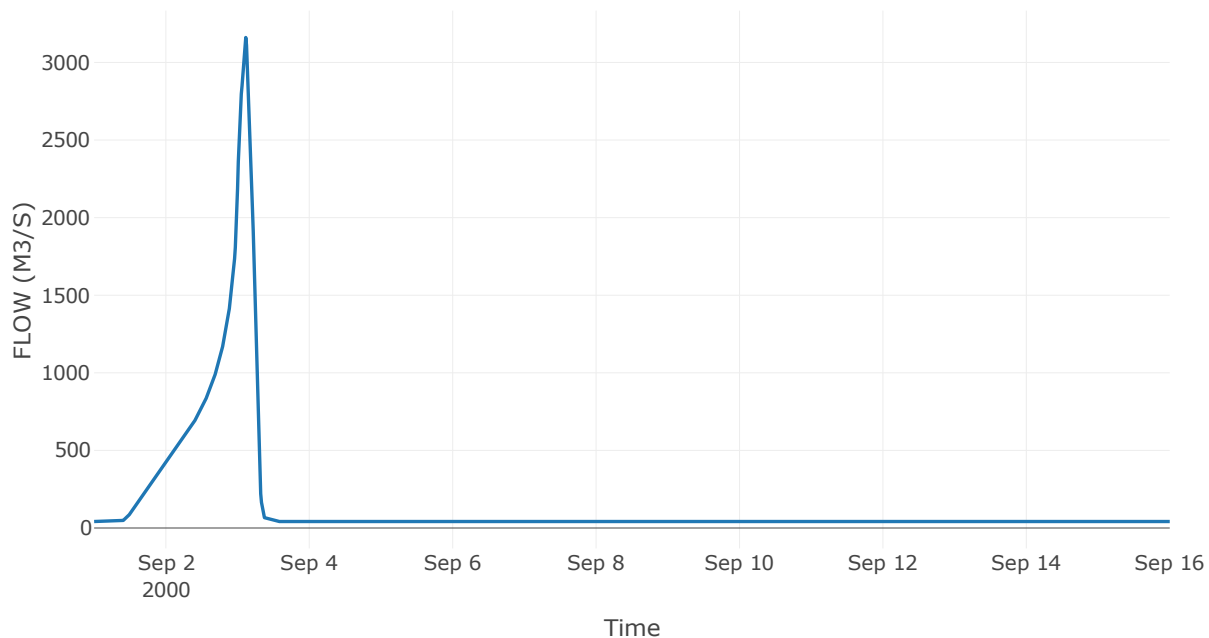
Κατάντη : J2

Μέθοδος Διόδευσης	Muskingum
Αρχική Μεταβλητή	Combined Inflow
Χρόνος Ροής K	0.75
Συντελεστής βάρους x	0.2
Πλήθος Υποκλάδων	4

Αποτελέσματα: R32

Παροχή αιχμής (M3/S)	3160.66
Χρονική στιγμή αιχμής	03Sep2000, 02:45
Όγκος (MM)	466.65
Παροχή Αιχμής Εισόδου (M3/S)	3209.61
Όγκος Εισροής (M3)	1.95E8

Απορροή



Κλάδος: R43

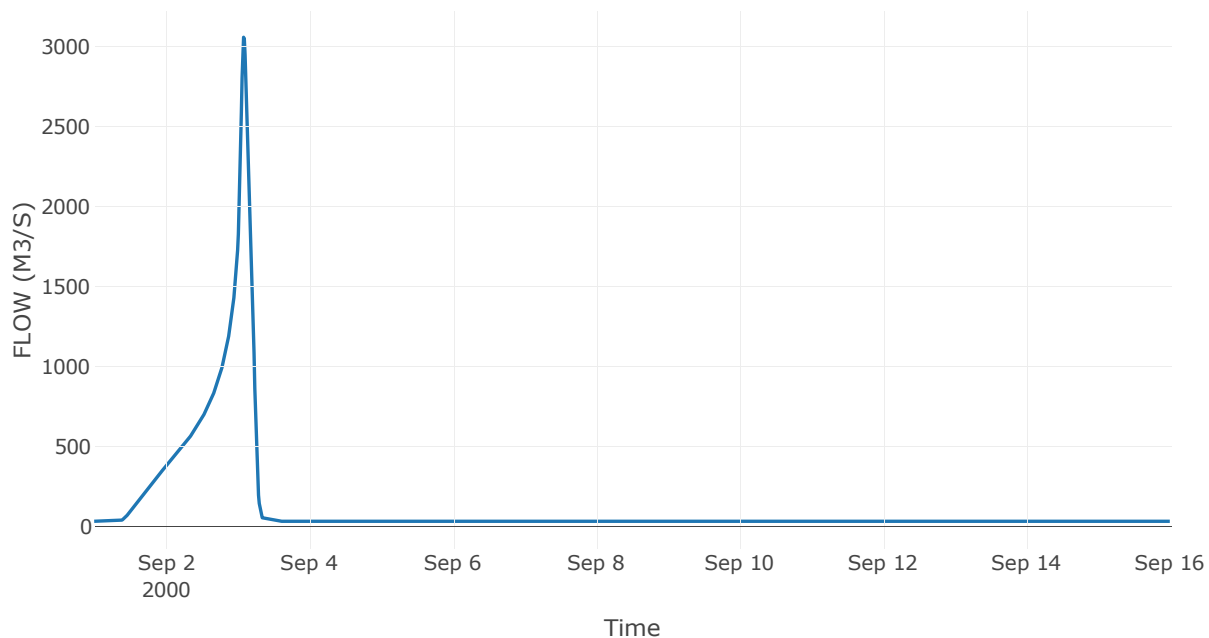
Κατάντη : J3

Μέθοδος Διόδευσης	Muskingum
Αρχική Μεταβλητή	Combined Inflow
Χρόνος Ροής K	1.81
Συντελεστής βάρους x	0.2
Πλήθος Υποκλάδων	9

Αποτελέσματα: R43

Παροχή αιχμής (M3/S)	3058.35
Χρονική στιγμή αιχμής	03Sep2000, 02:00
Όγκος (MM)	481.56
Παροχή Αιχμής Εισόδου (M3/S)	3287.1
Όγκος Εισροής (M3)	1.64E8

Απορροή



Κλάδος: R54

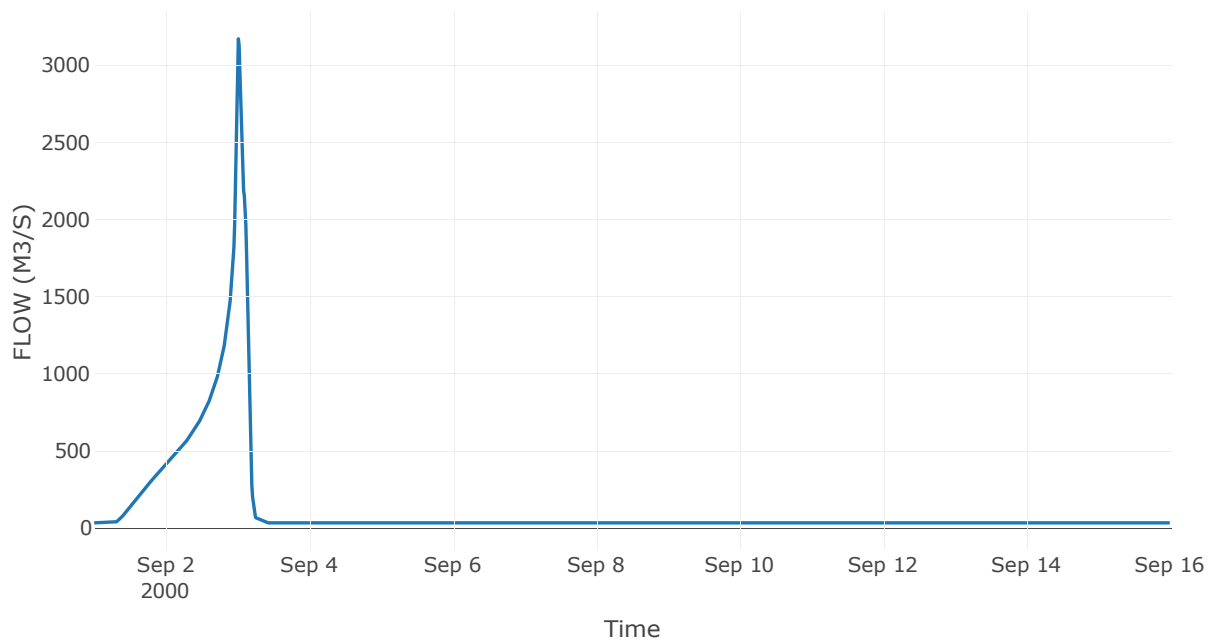
Κατάντη : J4

Μέθοδος Διόδευσης	Χρόνος
Αρχική Μεταβλητή	Combined Inflow
Χρόνος Υστέρησης	11

Αποτελέσματα: R54

Παροχή αιχμής (M3/S)	3172.81
Χρονική στιγμή αιχμής	03Sep2000, 00:15
Όγκος (MM)	486.71
Παροχή Αιχμής Εισόδου (M3/S)	3173.76
Όγκος Εισροής (M3)	1.6E8

Απορροή



Κλάδος: R65

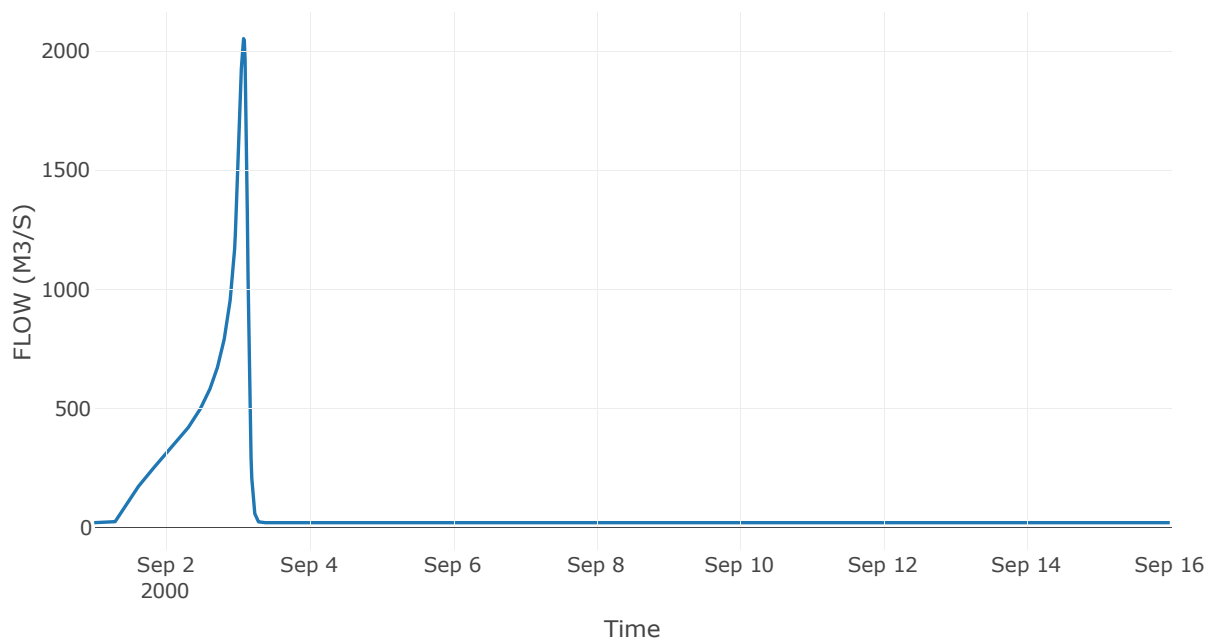
Κατάντη : J5

Μέθοδος Διόδευσης	Χρόνος
Αρχική Μεταβλητή	Combined Inflow
Χρόνος Υστέρησης	34.95

Αποτελέσματα: R65

Παροχή αιχμής (M3/S)	2050.86
Χρονική στιγμή αιχμής	03Sep2000, 02:00
Όγκος (MM)	515.23
Παροχή Αιχμής Εισόδου (M3/S)	2058.58
Όγκος Εισροής (M3)	1.12E8

Απορροή



Κλάδος: R76

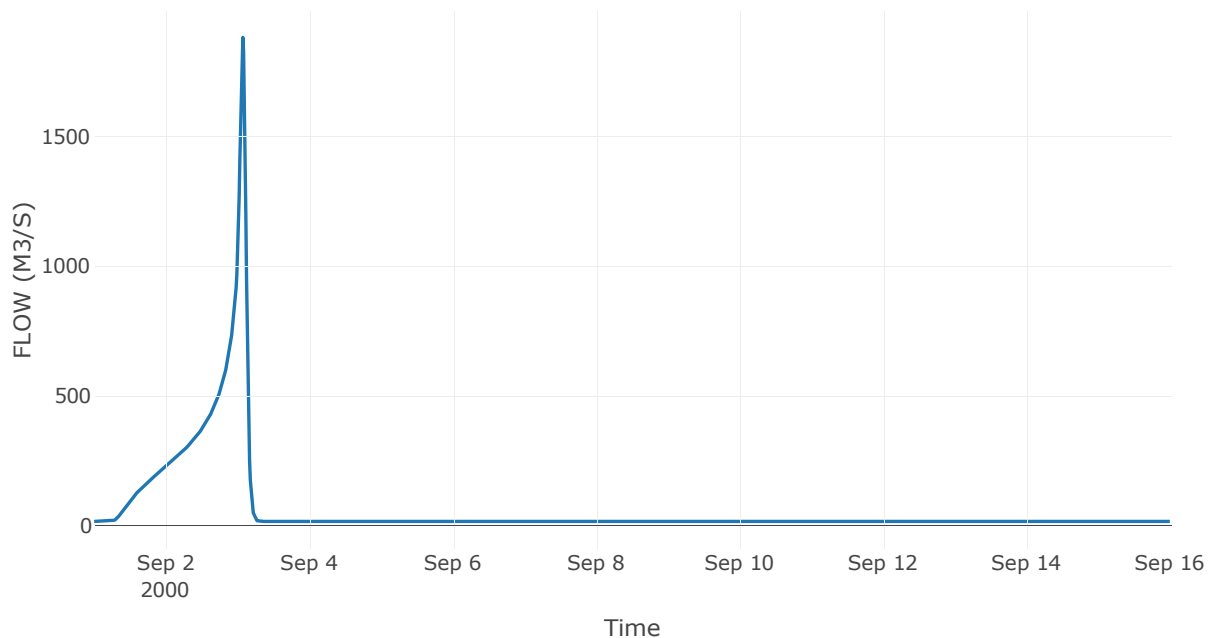
Κατάντη : J6

Μέθοδος Διόδευσης	Muskingum
Αρχική Μεταβλητή	Combined Inflow
Χρόνος Ροής K	1.37
Συντελεστής βάρους x	0.2
Πλήθος Υποκλάδων	7

Αποτελέσματα: R76

Παροχή αιχμής (M3/S)	1882.41
Χρονική στιγμή αιχμής	03Sep2000, 01:45
Όγκος (MM)	532.76
Παροχή Αιχμής Εισόδου (M3/S)	2020.23
Όγκος Εισροής (M3)	8.1E7

Απορροή



Κλάδος: R87

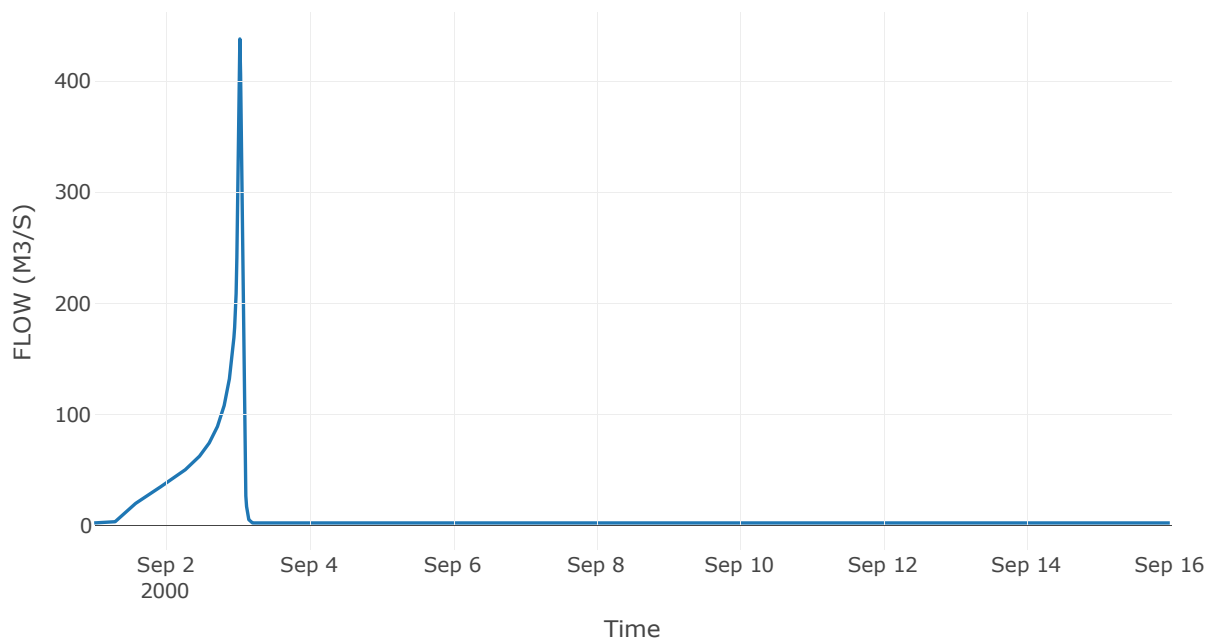
Κατάντη : J7

Μέθοδος Διόδευσης	Χρόνος
Αρχική Μεταβλητή	Combined Inflow
Χρόνος Υστέρησης	58.13

Αποτελέσματα: R87

Παροχή αιχμής (M3/S)	437.7
Χρονική στιγμή αιχμής	03Sep2000, 00:45
Όγκος (MM)	545.84
Παροχή Αιχμής Εισόδου (M3/S)	441.41
Όγκος Εισροής (M3)	1.37E7

Απορροή



Κλάδος: R97

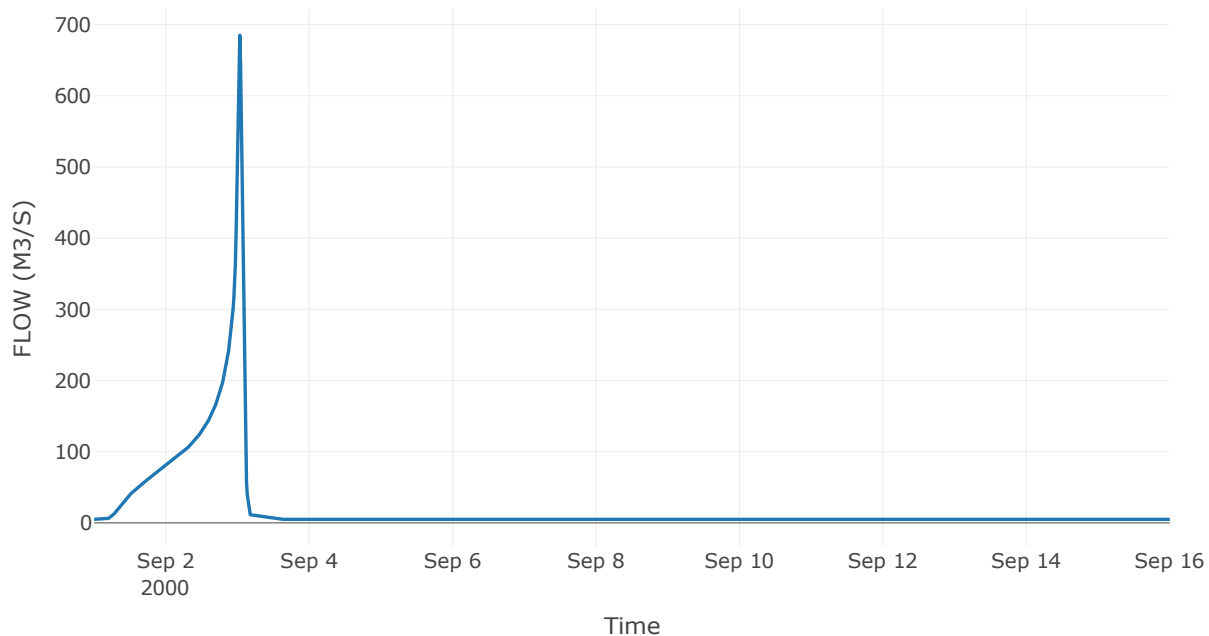
Κατάντη : J7

Μέθοδος Διόδευσης	Muskingum
Αρχική Μεταβλητή	Combined Inflow
Χρόνος Ροής K	0.78
Συντελεστής βάρους x	0.2
Πλήθος Υποκλάδων	4

Αποτελέσματα: R97

Παροχή αιχμής (M3/S)	685.02
Χρονική στιγμή αιχμής	03Sep2000, 00:45
Όγκος (MM)	540.53
Παροχή Αιχμής Εισόδου (M3/S)	722.83
Όγκος Εισροής (M3)	2.68E7

Απορροή



Κλάδος: R105

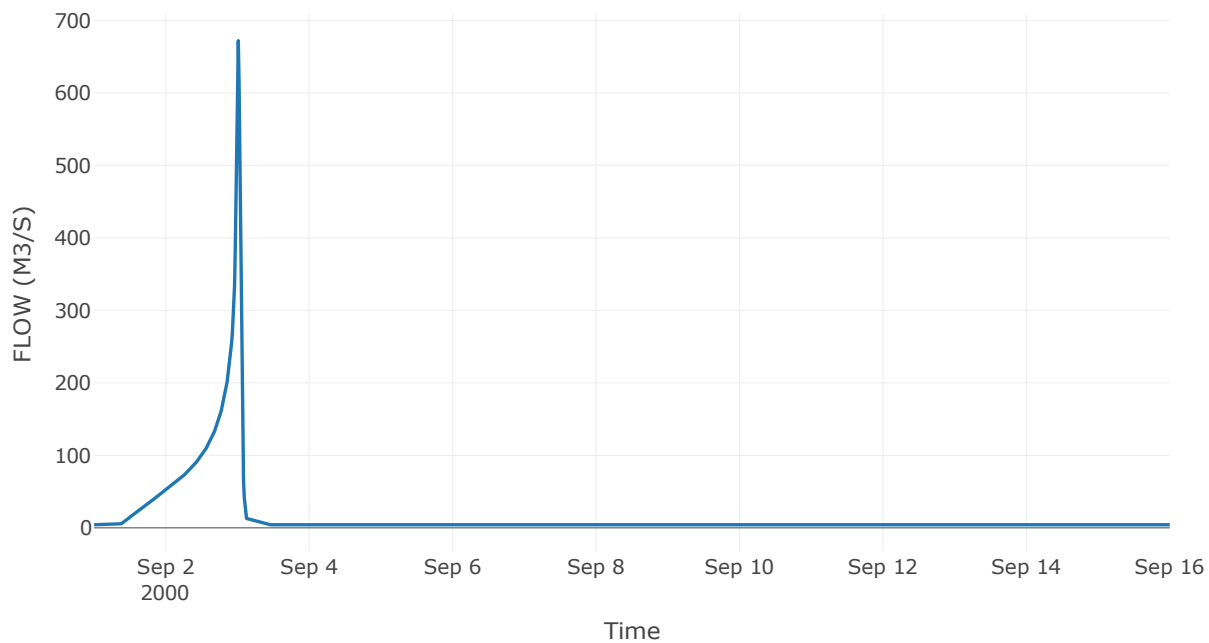
Κατάντη : J5

Μέθοδος Διόδευσης	Χρόνος
Αρχική Μεταβλητή	Combined Inflow
Χρόνος Υστέρησης	28.83

Αποτελέσματα: R105

Παροχή αιχμής (M3/S)	671.94
Χρονική στιγμή αιχμής	03Sep2000, 00:15
Όγκος (MM)	484.64
Παροχή Αιχμής Εισόδου (M3/S)	678.57
Όγκος Εισροής (M3)	2.08E7

Απορροή



Κλάδος: R1112

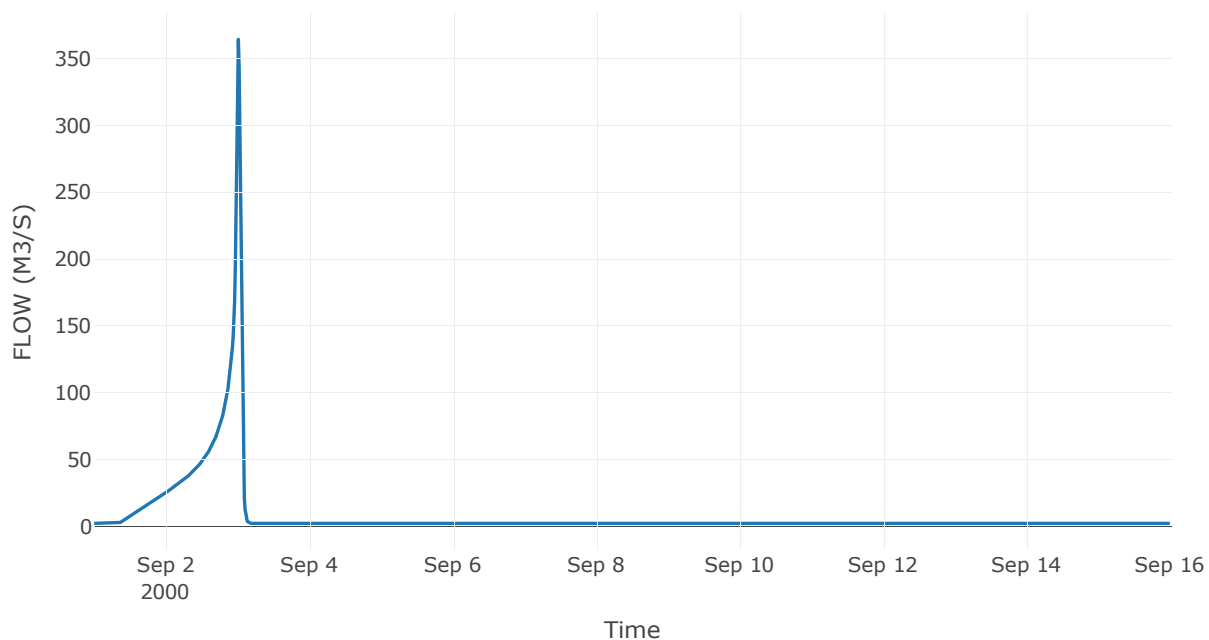
Κατάντη : J12

Μέθοδος Διόδευσης	Muskingum
Αρχική Μεταβλητή	Combined Inflow
Χρόνος Ροής K	0.64
Συντελεστής βάρους x	0.2
Πλήθος Υποκλάδων	3

Αποτελέσματα: R1112

Παροχή αιχμής (M3/S)	364.25
Χρονική στιγμή αιχμής	03Sep2000, 00:15
Όγκος (MM)	487.28
Παροχή Αιχμής Εισόδου (M3/S)	391.13
Όγκος Εισροής (M3)	1.05E7

Απορροή



Κλάδος: R1213

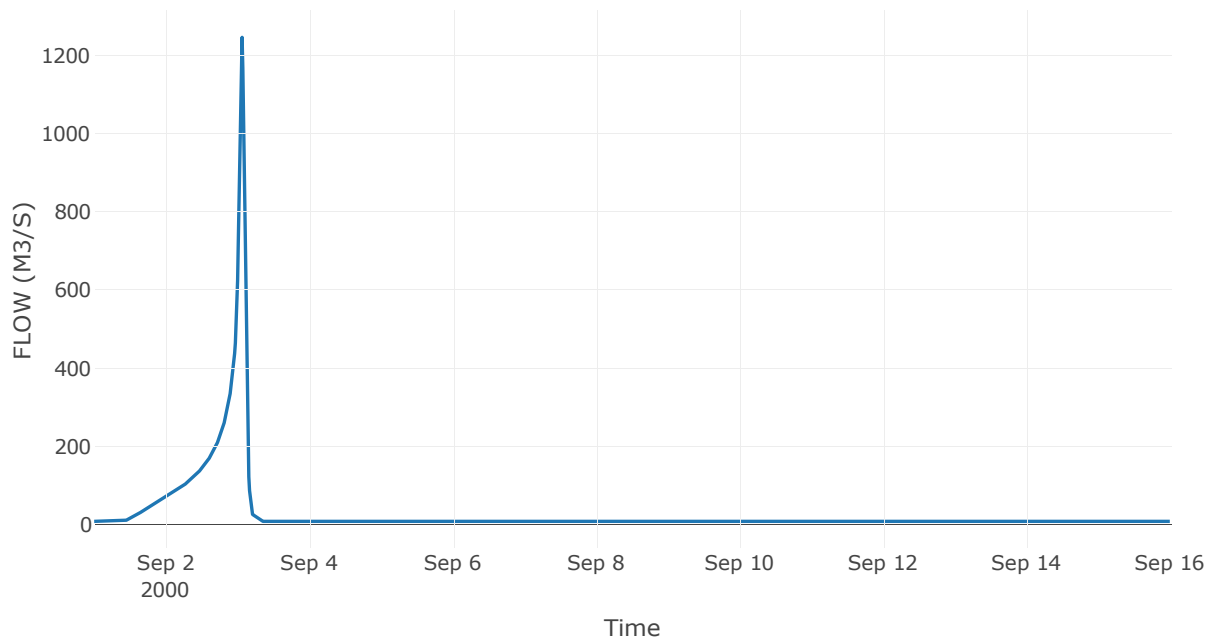
Κατάντη : J13

Μέθοδος Διόδευσης	Muskingum
Αρχική Μεταβλητή	Combined Inflow
Χρόνος Ροής K	1.29
Συντελεστής βάρους x	0.2
Πλήθος Υποκλάδων	6

Αποτελέσματα: R1213

Παροχή αιχμής (M3/S)	1245.84
Χρονική στιγμή αιχμής	03Sep2000, 01:30
Όγκος (MM)	448.57
Παροχή Αιχμής Εισόδου (M3/S)	1378.95
Όγκος Εισροής (M3)	3.8E7

Απορροή



Κλάδος: R1314

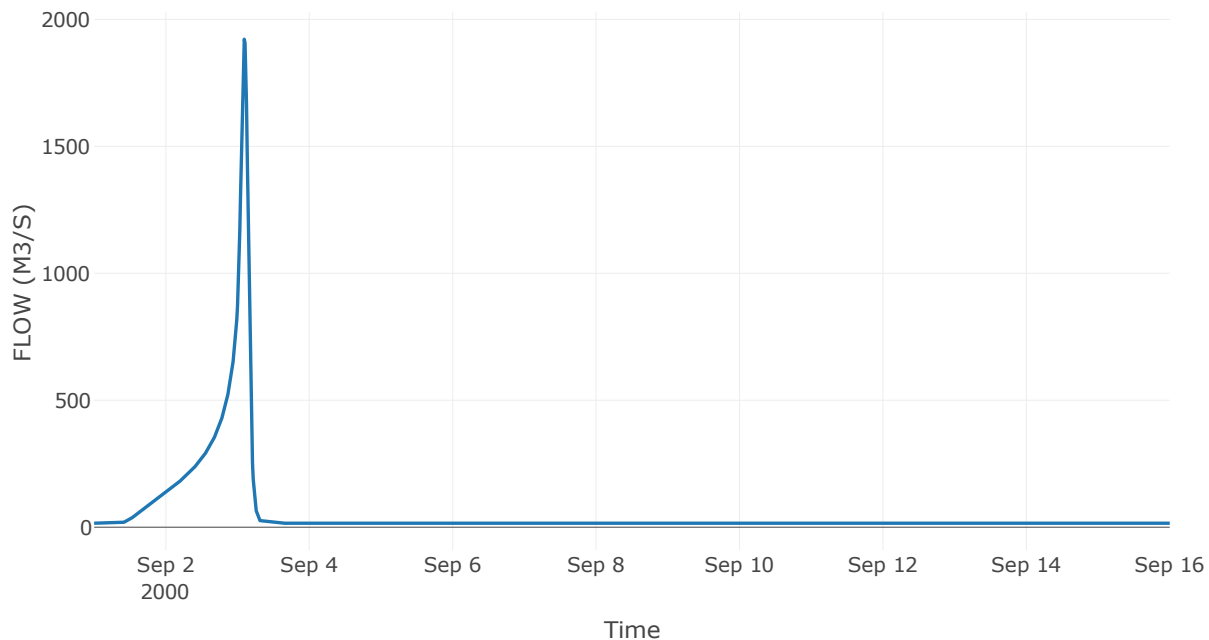
Κατάντη : J14

Μέθοδος Διόδευσης	Muskingum
Αρχική Μεταβλητή	Combined Inflow
Χρόνος Ροής K	1.31
Συντελεστής βάρους x	0.2
Πλήθος Υποκλάδων	6

Αποτελέσματα: R1314

Παροχή αιχμής (M3/S)	1921.99
Χρονική στιγμή αιχμής	03Sep2000, 02:15
Όγκος (MM)	464.44
Παροχή Αιχμής Εισόδου (M3/S)	2029.73
Όγκος Εισροής (M3)	7.27E7

Απορροή



Κλάδος: R1415

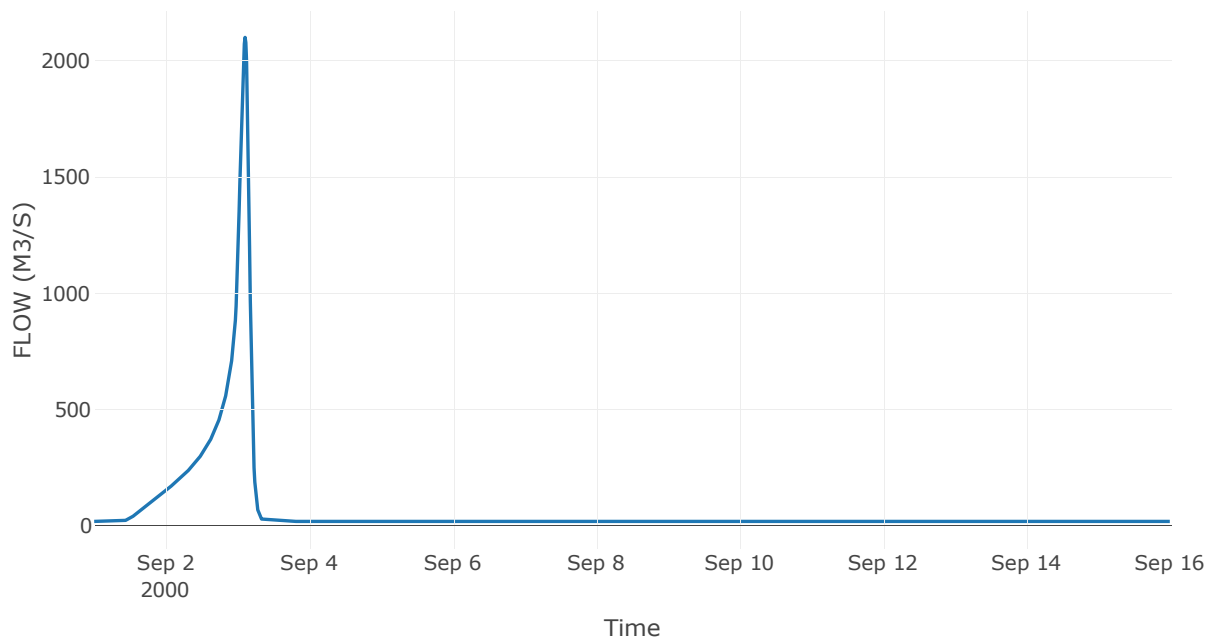
Κατάντη : J15

Μέθοδος Διόδευσης	Muskingum
Αρχική Μεταβλητή	Combined Inflow
Χρόνος Ροής K	0.4
Συντελεστής βάρους x	0.2
Πλήθος Υποκλάδων	2

Αποτελέσματα: R1415

Παροχή αιχμής (M3/S)	2100.58
Χρονική στιγμή αιχμής	03Sep2000, 02:30
Όγκος (MM)	451.08
Παροχή Αιχμής Εισόδου (M3/S)	2116.32
Όγκος Εισροής (M3)	8.72E7

Απορροή



Κλάδος: R152

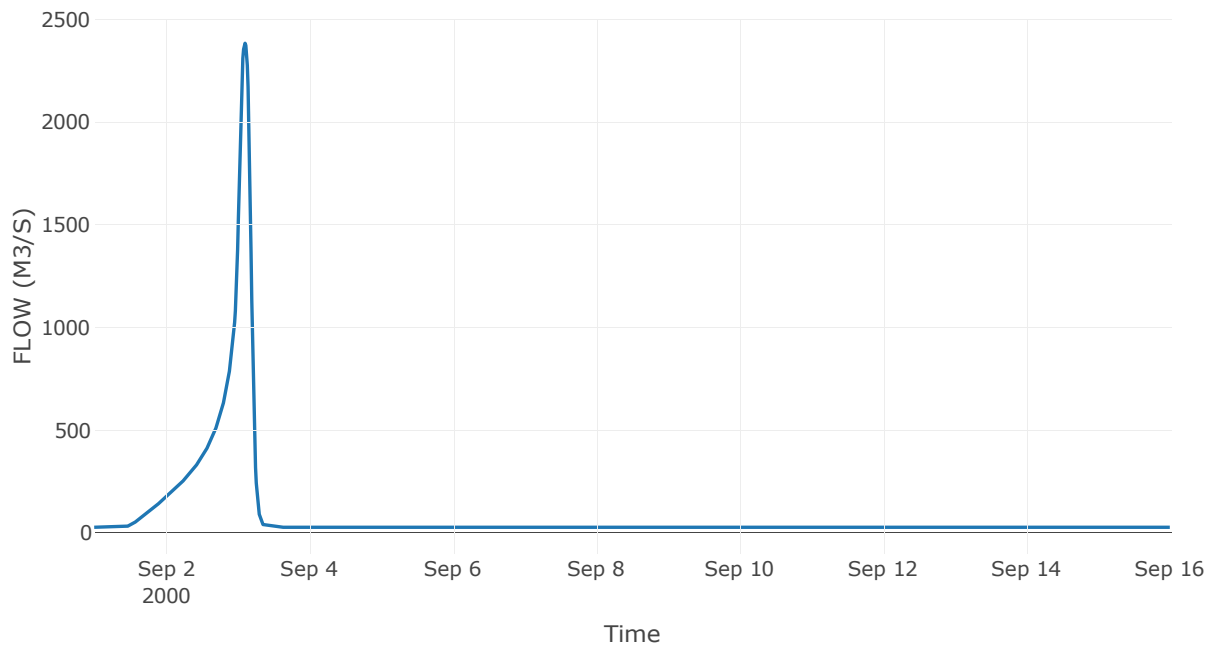
Κατάντη : J2

Μέθοδος Διόδευσης	Muskingum
Αρχική Μεταβλητή	Combined Inflow
Χρόνος Ροής K	0.61
Συντελεστής βάρους x	0.2
Πλήθος Υποκλάδων	3

Αποτελέσματα: R152

Παροχή αιχμής (M3/S)	2383.68
Χρονική στιγμή αιχμής	03Sep2000, 02:30
Όγκος (MM)	424.05
Παροχή Αιχμής Εισόδου (M3/S)	2391.23
Όγκος Εισροής (M3)	1.11E8

Απορροή



Κλάδος: R1615

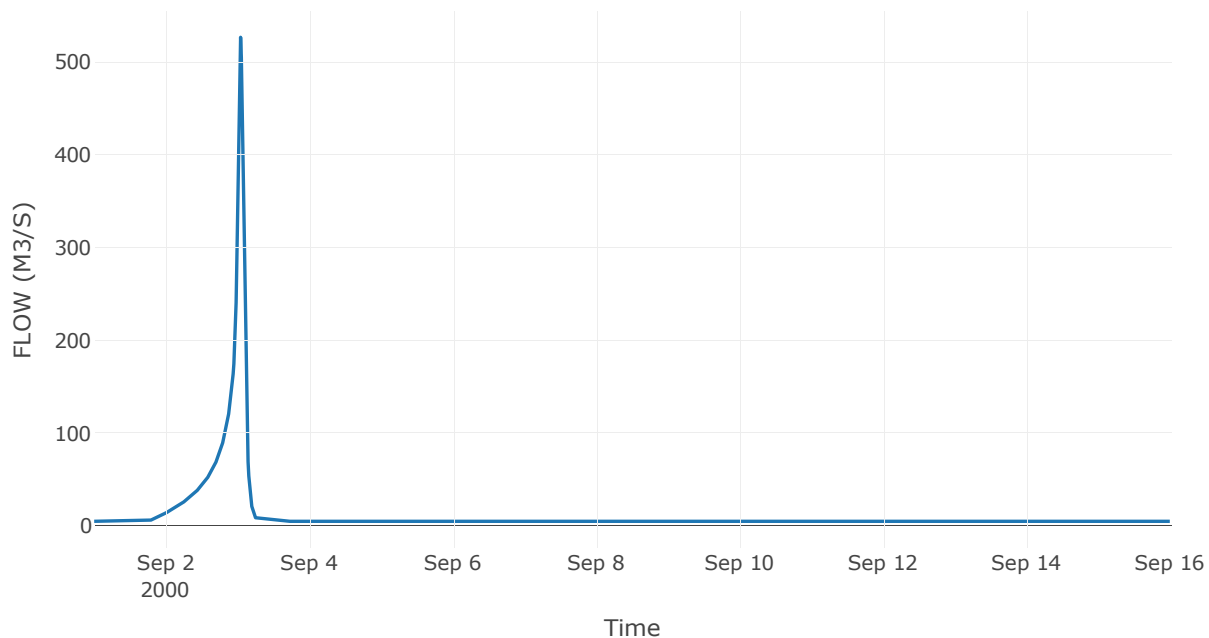
Κατάντη : J15

Μέθοδος Διόδευσης	Muskingum
Αρχική Μεταβλητή	Combined Inflow
Χρόνος Ροής K	0.6
Συντελεστής βάρους x	0.2
Πλήθος Υποκλάδων	3

Αποτελέσματα: R1615

Παροχή αιχμής (M3/S)	526.45
Χρονική στιγμή αιχμής	03Sep2000, 01:00
Όγκος (MM)	329.9
Παροχή Αιχμής Εισόδου (M3/S)	544.19
Όγκος Εισροής (M3)	1.55E7

Απορροή



Κλάδος: R173

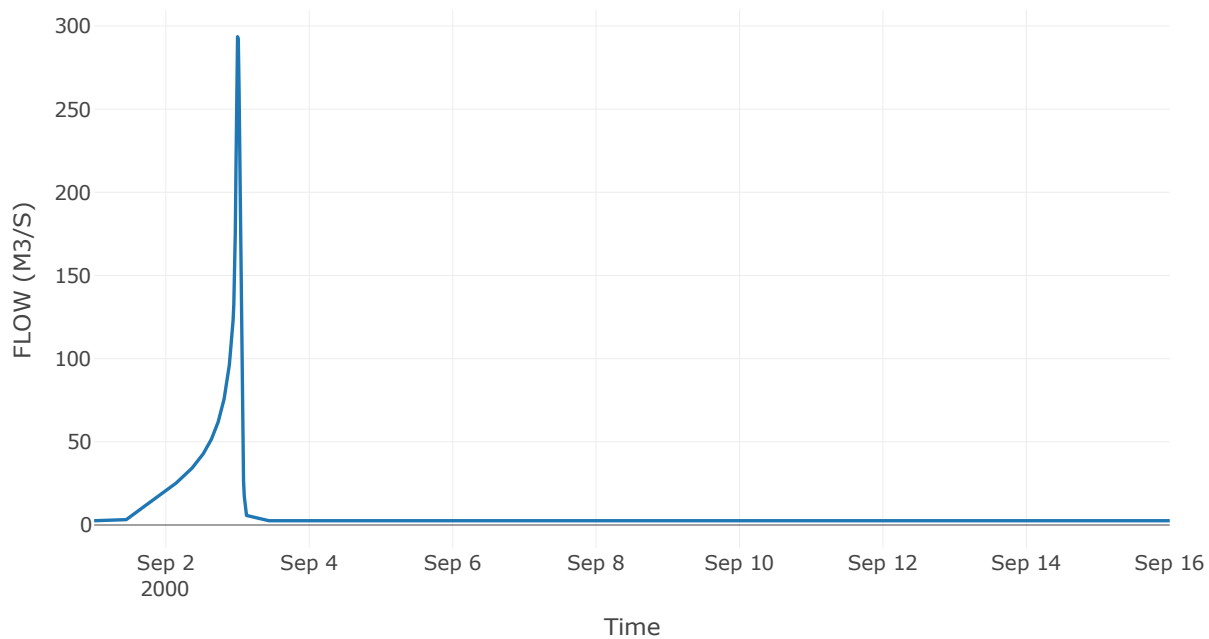
Κατάντη : J3

Μέθοδος Διόδευσης	Χρόνος
Αρχική Μεταβλητή	Combined Inflow
Χρόνος Υστέρησης	22.81

Αποτελέσματα: R173

Παροχή αιχμής (M3/S)	293.55
Χρονική στιγμή αιχμής	02Sep2000, 24:00
Όγκος (MM)	374.16
Παροχή Αιχμής Εισόδου (M3/S)	300.36
Όγκος Εισροής (M3)	9.56E6

Απορροή



Κλάδος: R183

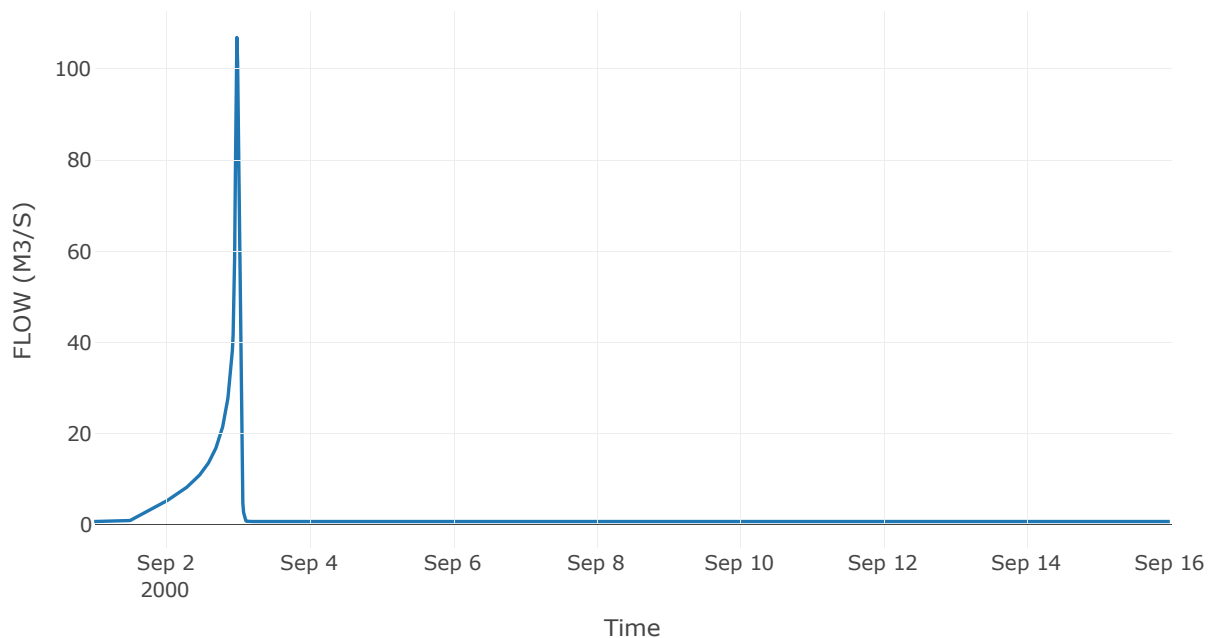
Κατάντη : J3

Μέθοδος Διόδευσης	Muskingum
Αρχική Μεταβλητή	Combined Inflow
Χρόνος Ροής K	0.29
Συντελεστής βάρους x	0.2
Πλήθος Υποκλάδων	1

Αποτελέσματα: R183

Παροχή αιχμής (M3/S)	106.85
Χρονική στιγμή αιχμής	02Sep2000, 23:45
Όγκος (MM)	356.9
Παροχή Αιχμής Εισόδου (M3/S)	113.9
Όγκος Εισροής (M3)	2.86E6

Απορροή



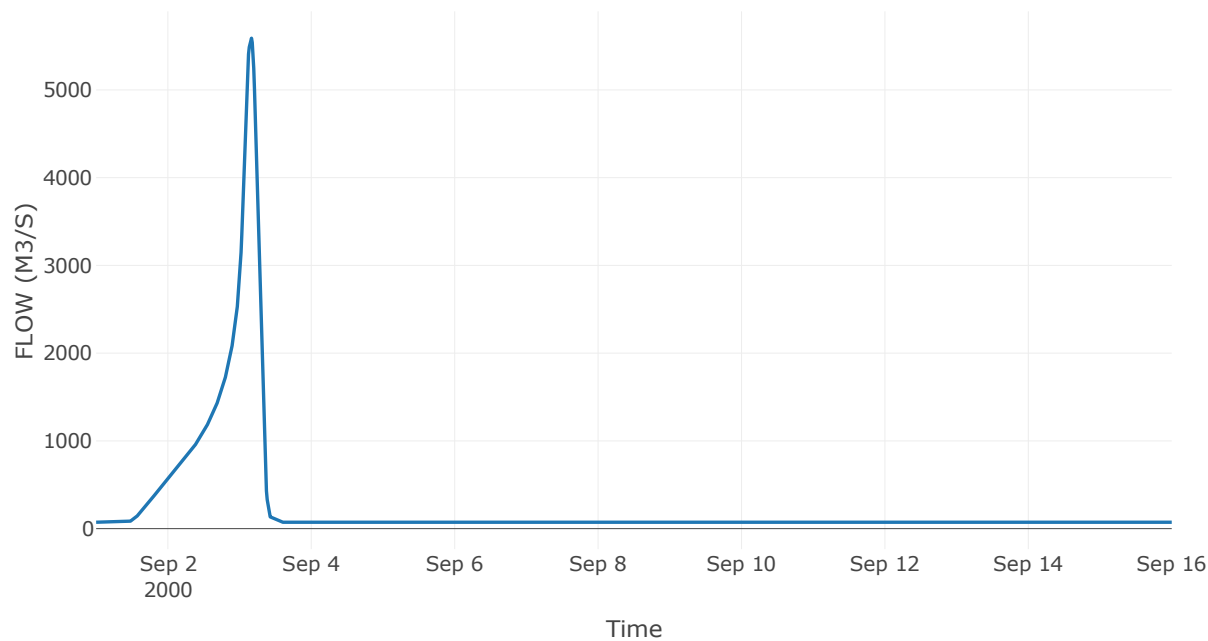
8.3 Δεδομένα και υδρογραφήματα σχεδιασμού Κόμβων υδρογραφικού δικτύου

Κόμβος εξόδου: J1

Αποτέλεσμα
τα: J1

Παροχή αιχμής (M3/S)	5589.29
Χρονική στιγμή αιχμής	03Sep2000, 04:00
Όγκος (MM)	445.66

Απορροή



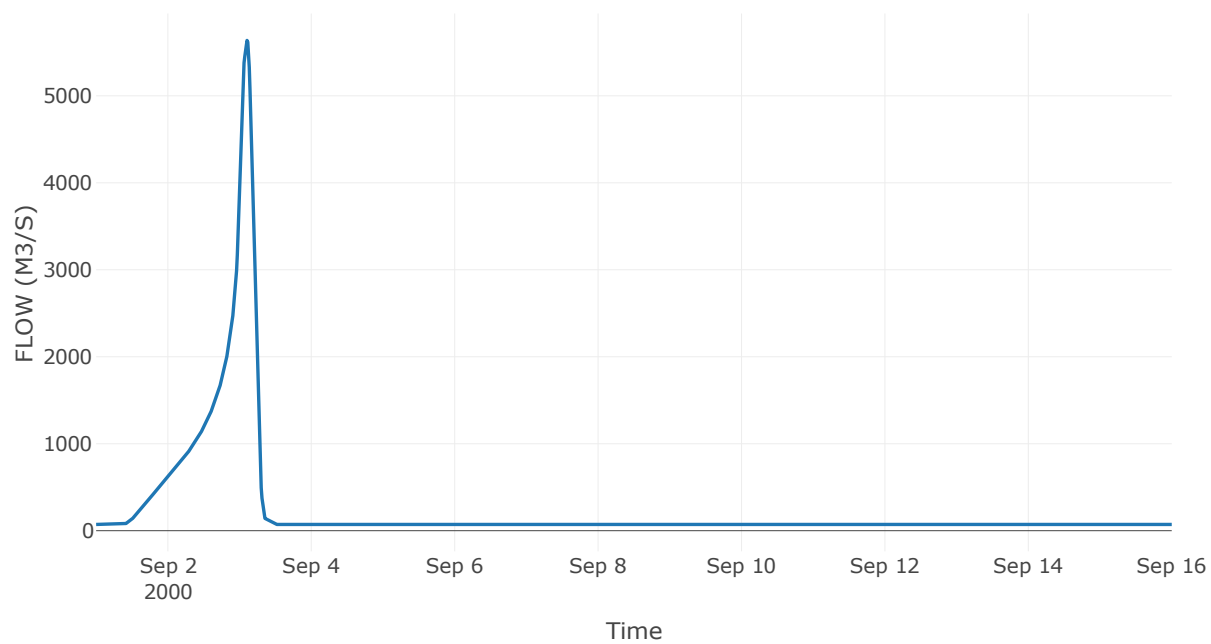
Κόμβος: J2

Κατάντη : R21

Αποτελέσματα: J2

Παροχή αιχμής (M3/S)	5636.88
Χρονική στιγμή αιχμής	03Sep2000, 02:30
Όγκος (MM)	446.35

Απορροή



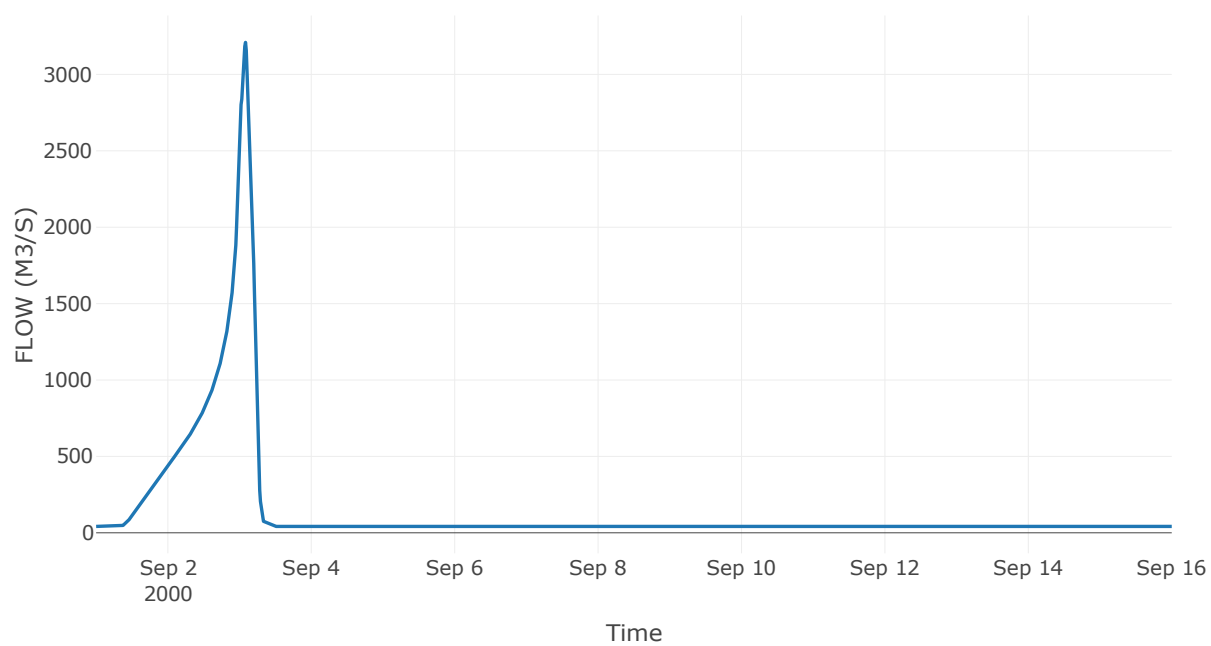
Κόμβος: J3

Κατάντη : R32

Αποτελέσματα: J3

Παροχή αιχμής (M3/S)	3209.61
Χρονική στιγμή αιχμής	03Sep2000, 02:00
Όγκος (MM)	466.65

Απορροή



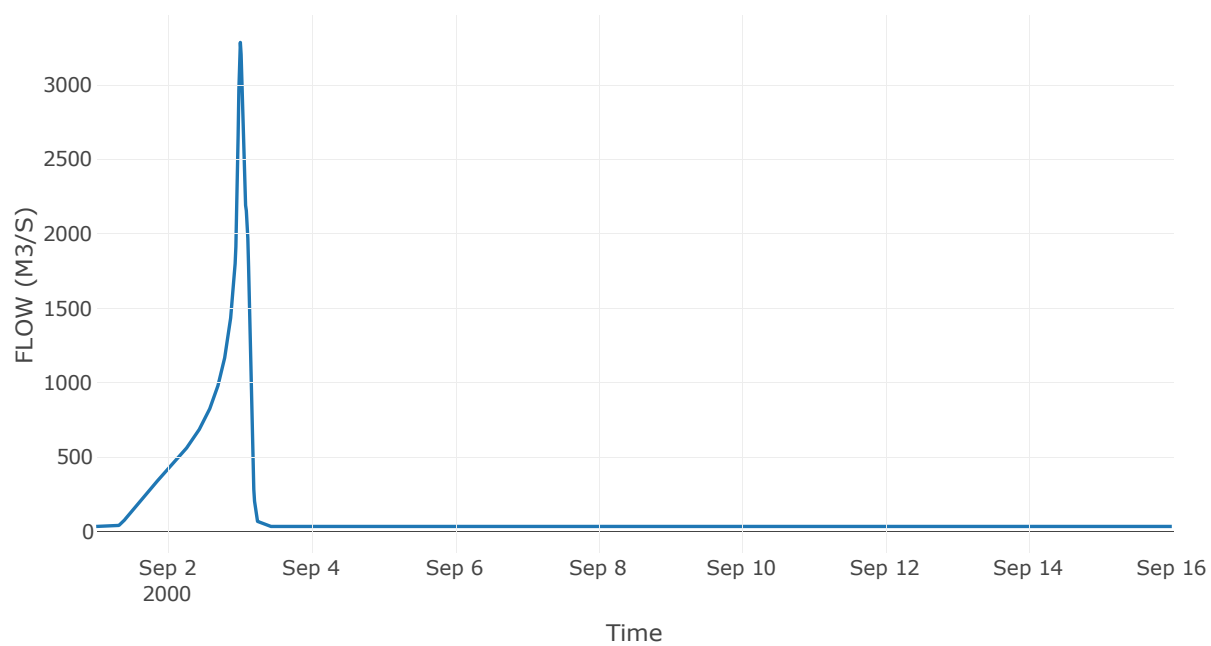
Κόμβος: J4

Κατάντη : R43

Αποτελέσματα: J4

Παροχή αιχμής (M3/S)	3287.1
Χρονική στιγμή αιχμής	03Sep2000, 00:15
Όγκος (MM)	481.56

Απορροή



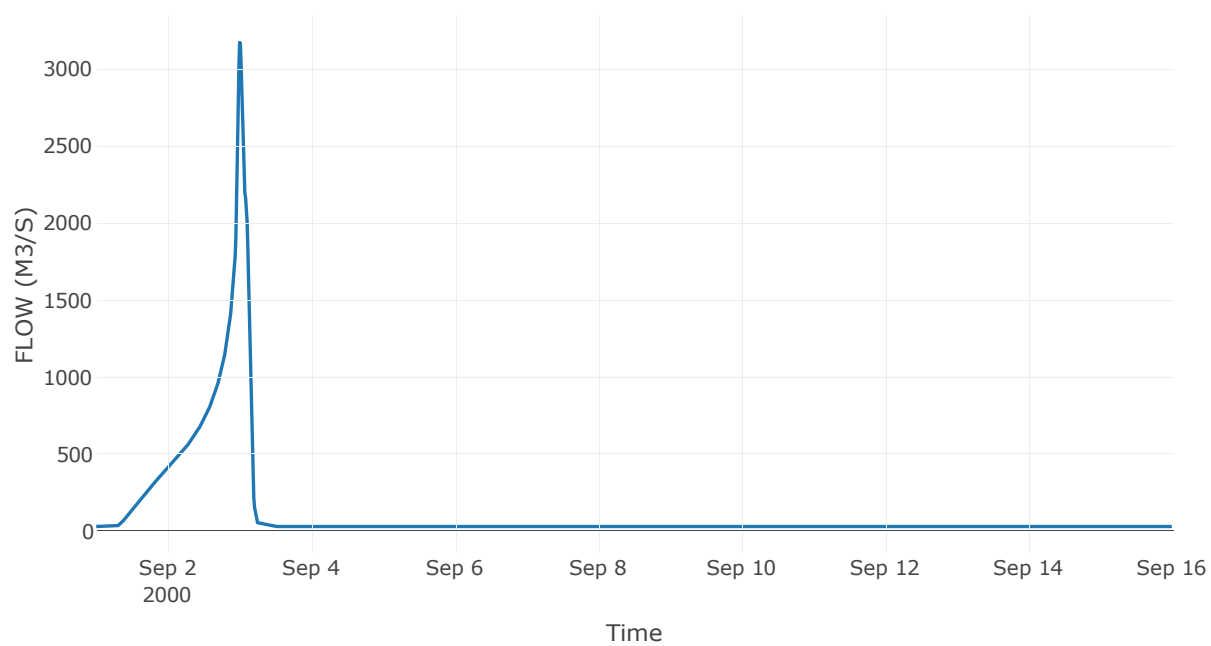
Κόμβος: J5

Κατάντη : R54

Αποτελέσματα: J5

Παροχή αιχμής (M3/S)	3173.76
Χρονική στιγμή αιχμής	02Sep2000, 24:00
Όγκος (MM)	486.71

Απορροή



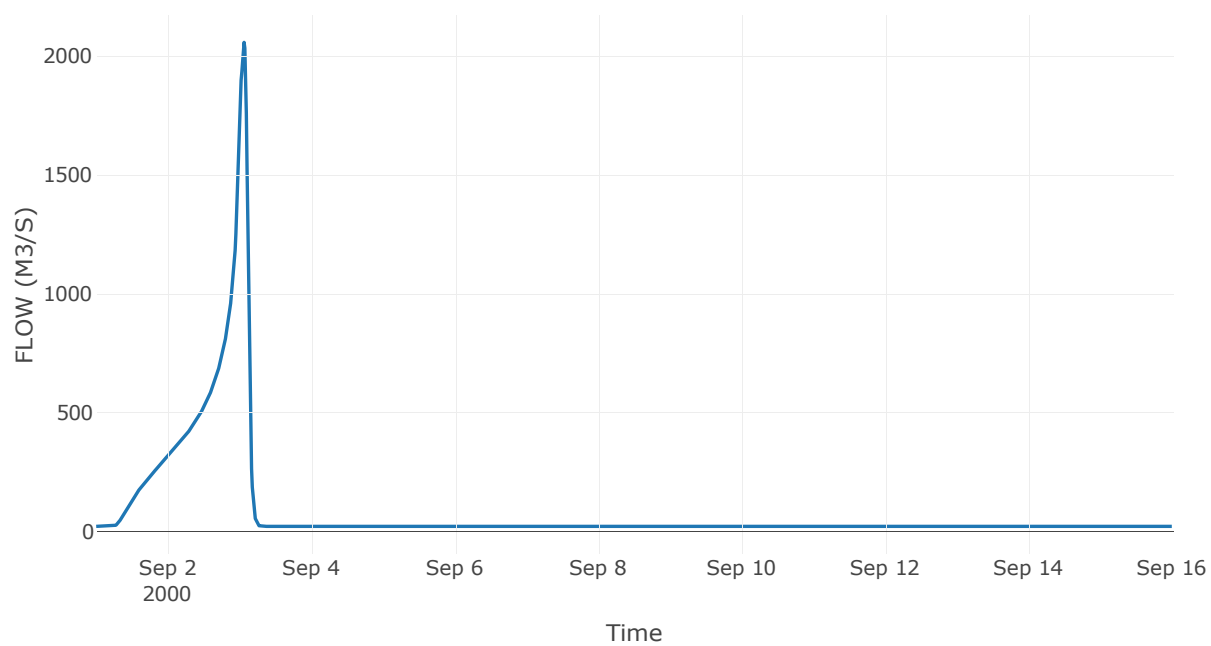
Κόμβος: J6

Κατάντη : R65

Αποτελέσματα: J6

Παροχή αιχμής (M3/S)	2058.58
Χρονική στιγμή αιχμής	03Sep2000, 01:30
Όγκος (MM)	515.23

Απορροή



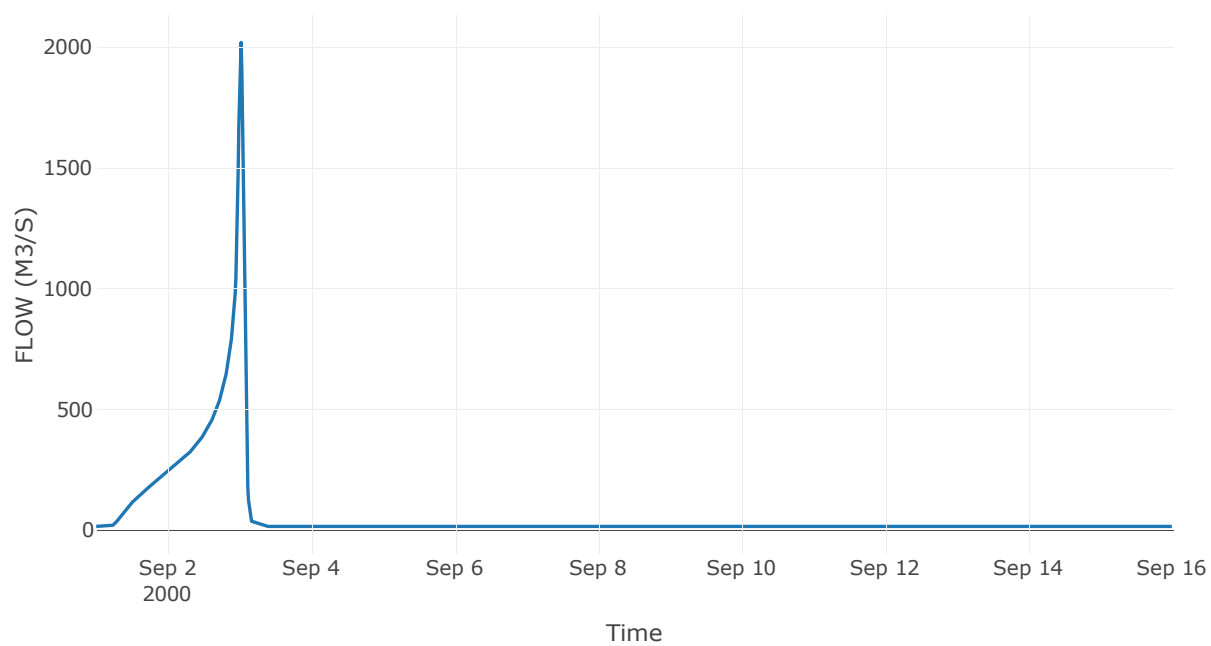
Κόμβος: J7

Κατάντη : R76

Αποτελέσματα: J7

Παροχή αιχμής (M3/S)	2020.23
Χρονική στιγμή αιχμής	03Sep2000, 00:30
Όγκος (MM)	532.76

Απορροή



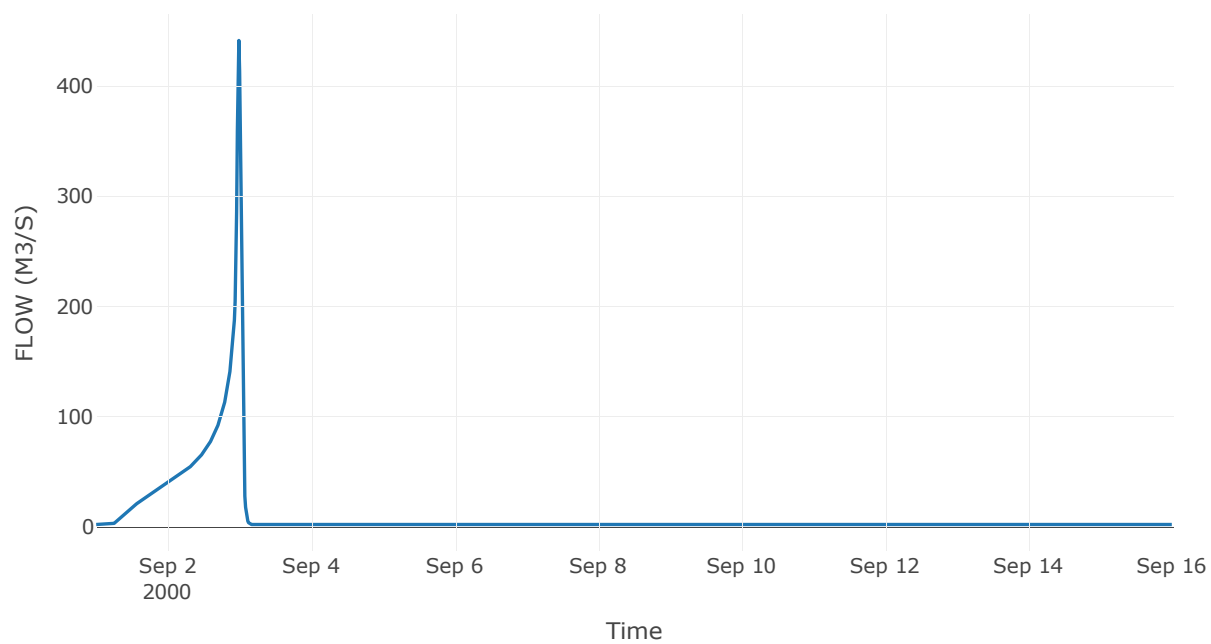
Κόμβος: J8

Κατάντη : R87

Αποτελέσματα: J8

Παροχή αιχμής (M3/S)	441.41
Χρονική στιγμή αιχμής	02Sep2000, 23:45
Όγκος (MM)	545.84

Απορροή



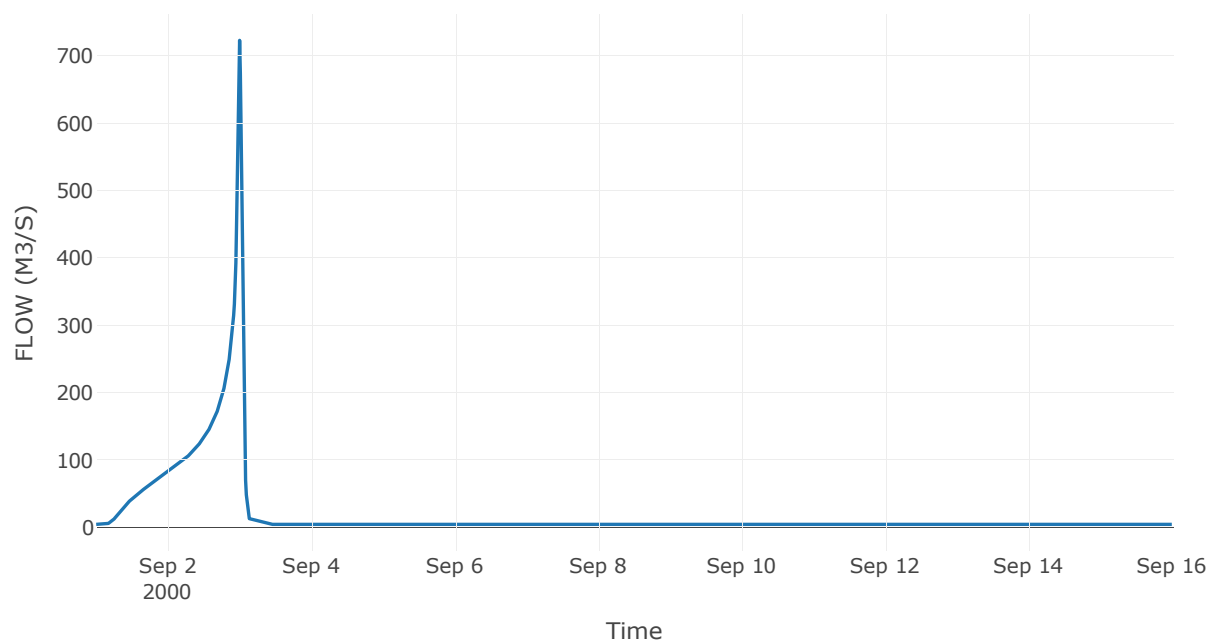
Κόμβος: J9

Κατάντη : R97

Αποτελέσματα: J9

Παροχή αιχμής (M3/S)	722.83
Χρονική στιγμή αιχμής	02Sep2000, 24:00
Όγκος (MM)	540.53

Απορροή



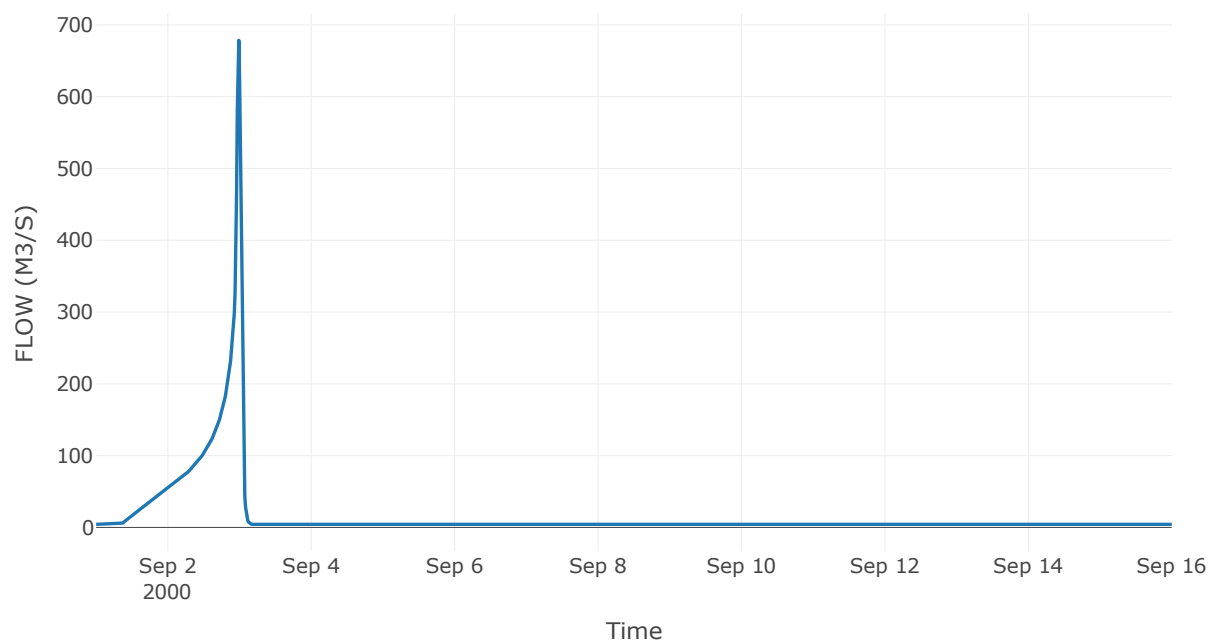
Κόμβος: J10

Κατάντη : R105

Αποτελέσματα: J10

Παροχή αιχμής (M3/S)	678.57
Χρονική στιγμή αιχμής	02Sep2000, 23:45
Όγκος (MM)	484.64

Απορροή



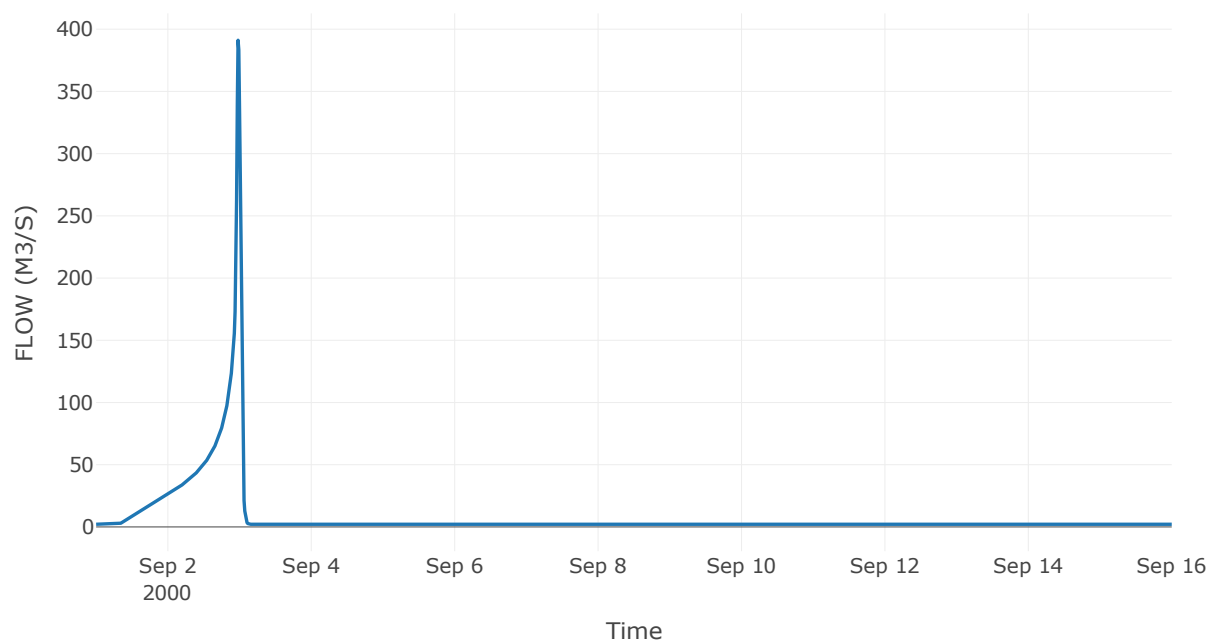
Κόμβος: J11

Κατάντη : R1112

Αποτελέσματα: J11

Παροχή αιχμής (M3/S)	391.13
Χρονική στιγμή αιχμής	02Sep2000, 23:30
Όγκος (MM)	487.28

Απορροή



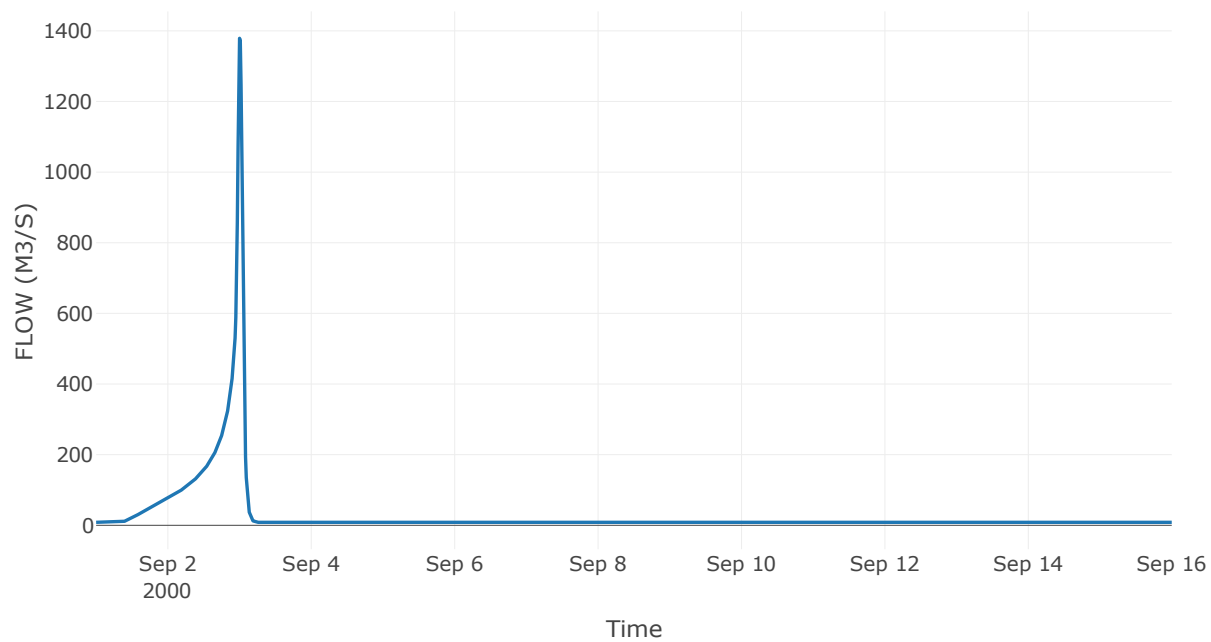
Κόμβος: J12

Κατάντη : R1213

Αποτελέσματα: J12

Παροχή αιχμής (M3/S)	1378.95
Χρονική στιγμή αιχμής	02Sep2000, 24:00
Όγκος (MM)	448.57

Απορροή



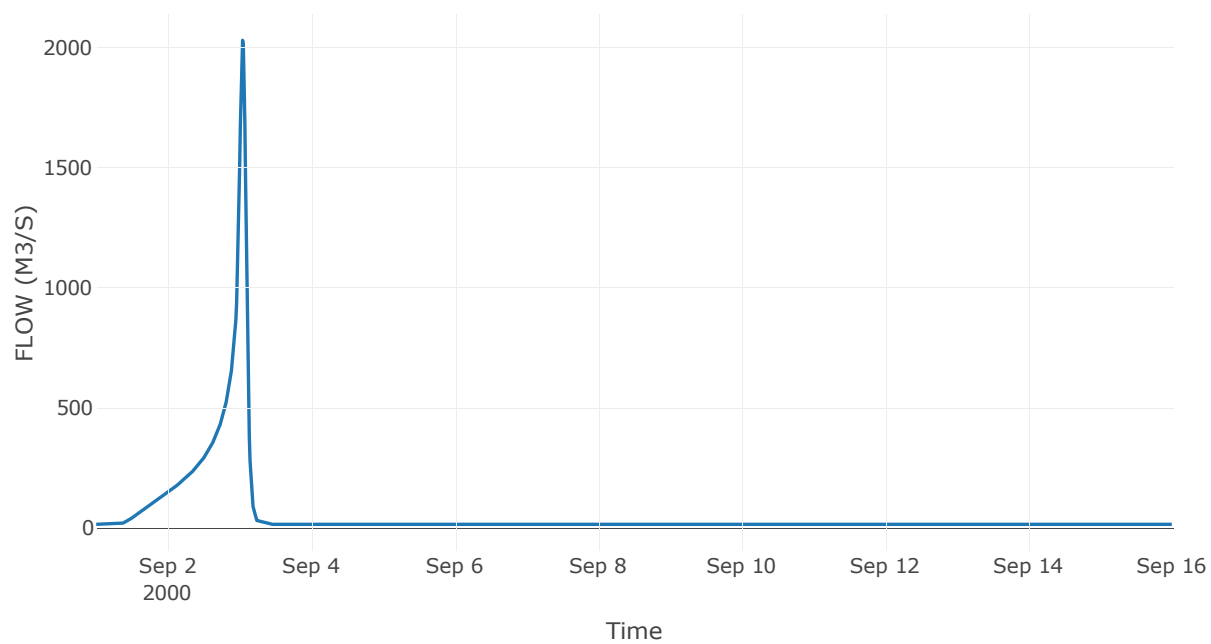
Κόμβος: J13

Κατάντη : R1314

Αποτελέσματα: J13

Παροχή αιχμής (M3/S)	2029.73
Χρονική στιγμή αιχμής	03Sep2000, 01:00
Όγκος (MM)	464.44

Απορροή



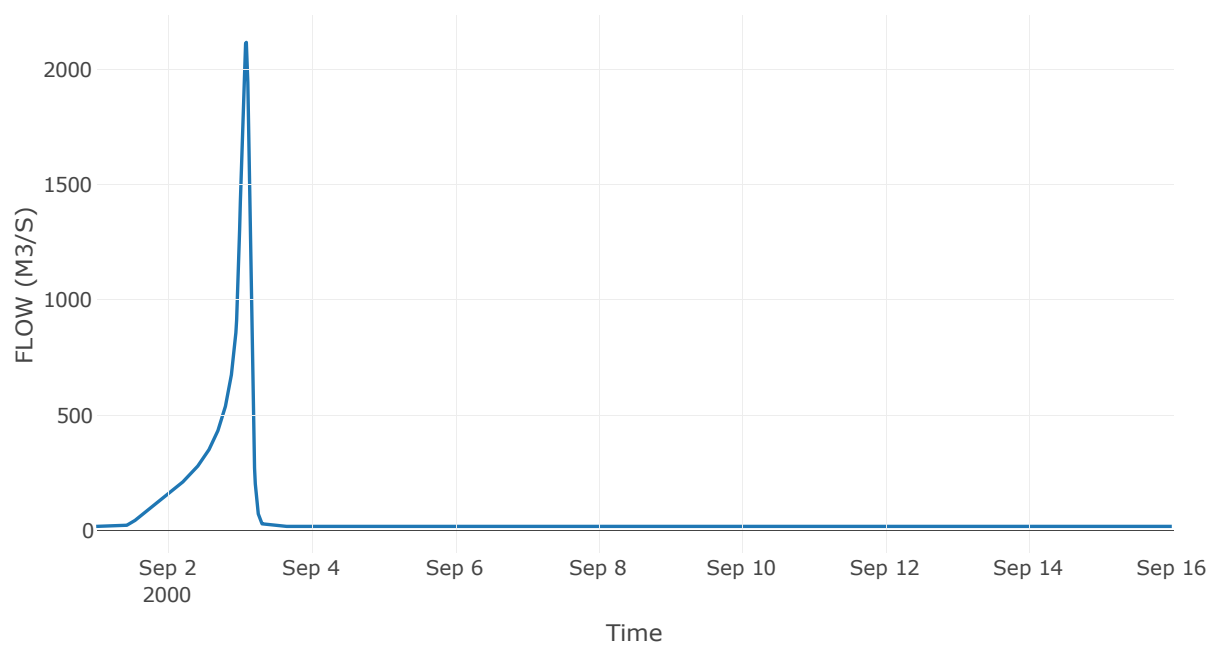
Κόμβος: J14

Κατάντη : R1415

Αποτελέσματα: J14

Παροχή αιχμής (M3/S)	2116.32
Χρονική στιγμή αιχμής	03Sep2000, 02:15
Όγκος (MM)	451.08

Απορροή



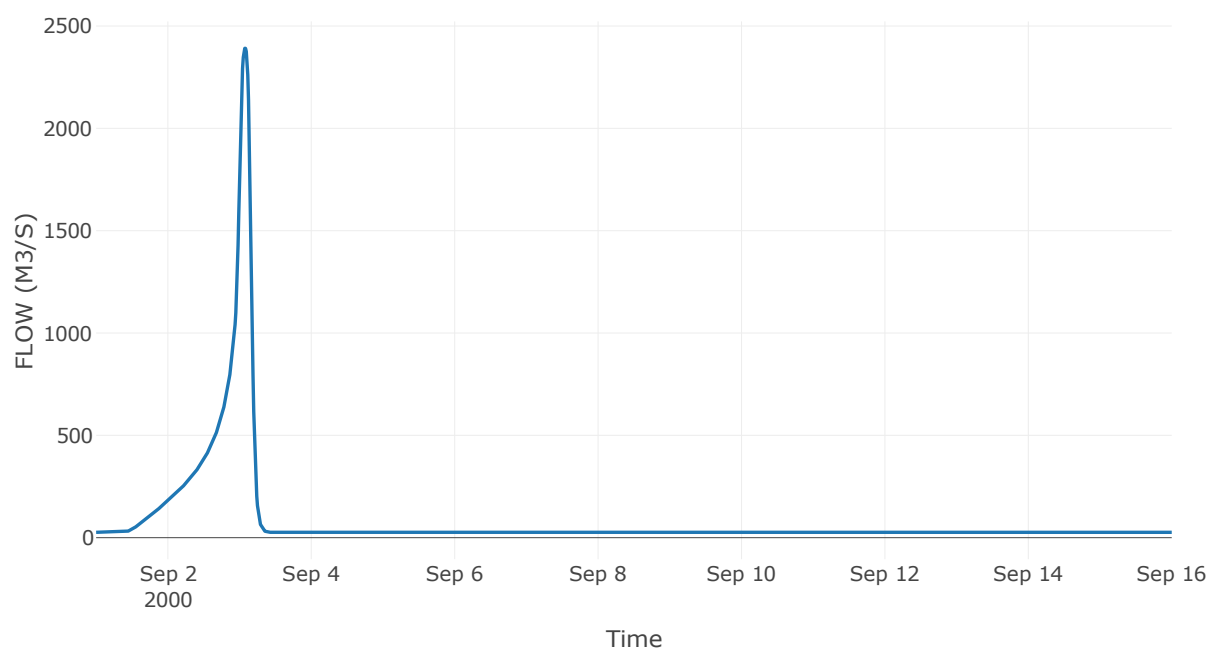
Κόμβος: J15

Κατάντη : R152

Αποτελέσματα: J15

Παροχή αιχμής (M3/S)	2391.23
Χρονική στιγμή αιχμής	03Sep2000, 01:45
Όγκος (MM)	424.05

Απορροή



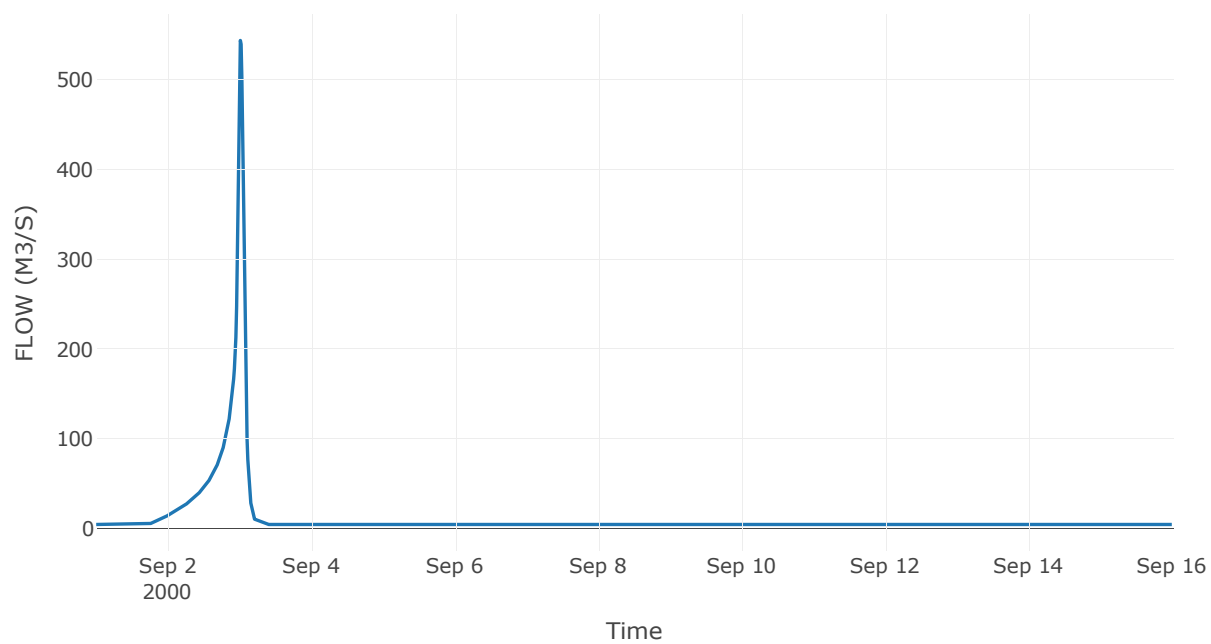
Κόμβος: J16

Κατάντη : R1615

Αποτελέσματα: J16

Παροχή αιχμής (M3/S)	544.19
Χρονική στιγμή αιχμής	03Sep2000, 00:15
Όγκος (MM)	329.9

Απορροή



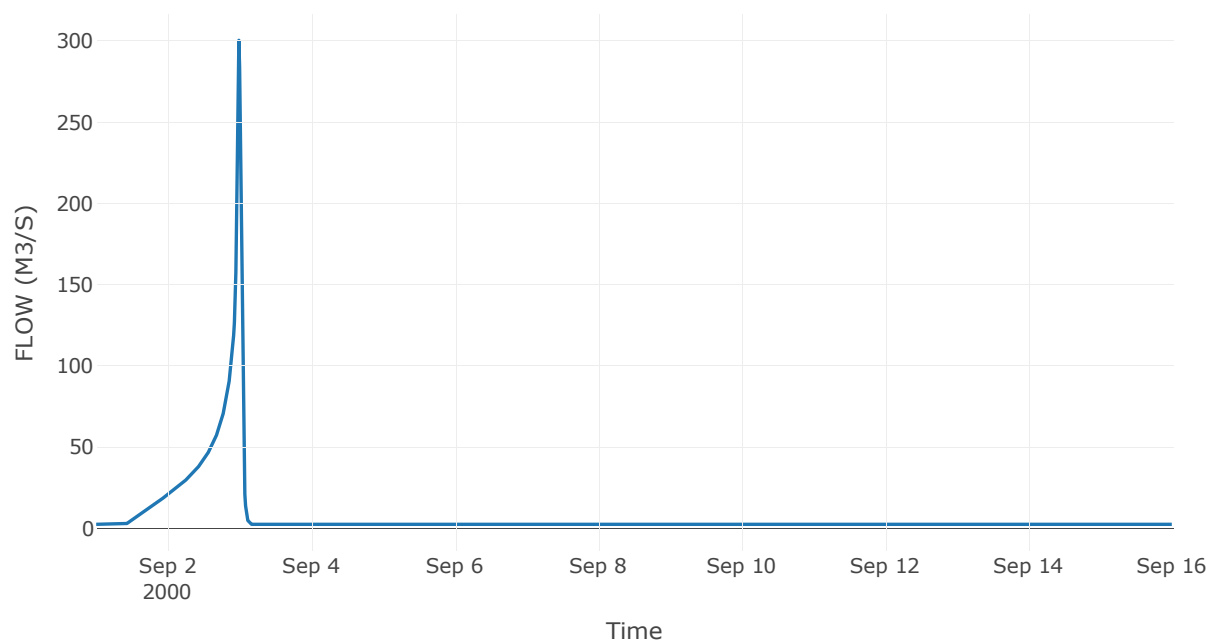
Κόμβος: J17

Κατάντη : R173

Αποτελέσματα: J17

Παροχή αιχμής (M3/S)	300.36
Χρονική στιγμή αιχμής	02Sep2000, 23:45
Όγκος (MM)	374.16

Απορροή



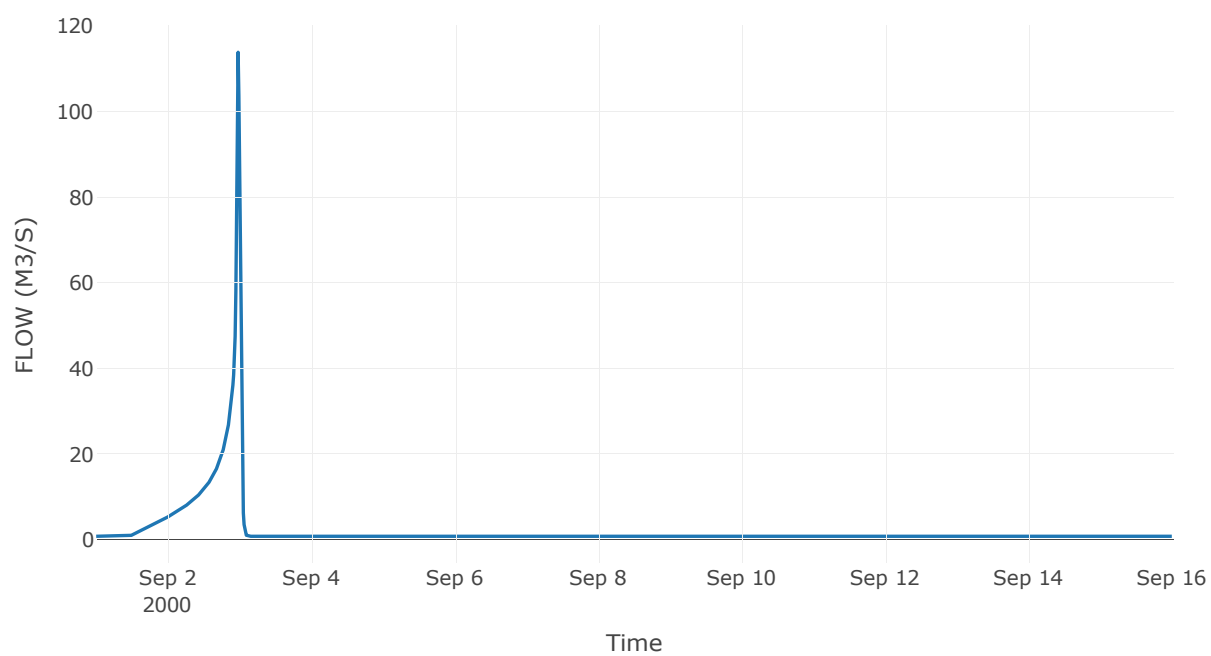
Κόμβος: J18

Κατάντη : R183

Αποτελέσματα: J18

Παροχή αιχμής (M3/S)	113.9
Χρονική στιγμή αιχμής	02Sep2000, 23:30
Όγκος (MM)	356.9

Απορροή



9 Δεδομένα εισόδου και αποτελέσματα υδρολογικού σεναρίου T=1000L

9.1 Αποτελέσματα, υετογραφήματα και υδρογραφήματα σχεδιασμού υπολεκανών

Υπολεκάνη: EL0513FR7001

Έκταση (KM2) : 10.61

Κατάντη : J1

Μέθοδος Απωλειών: SCS

Ποσοστό αδιαπέρατης επιφάνειας	0
Αριθμός Καμπύλης Απορροής-CN	58.08
Αρχικές Απώλειες	36.67

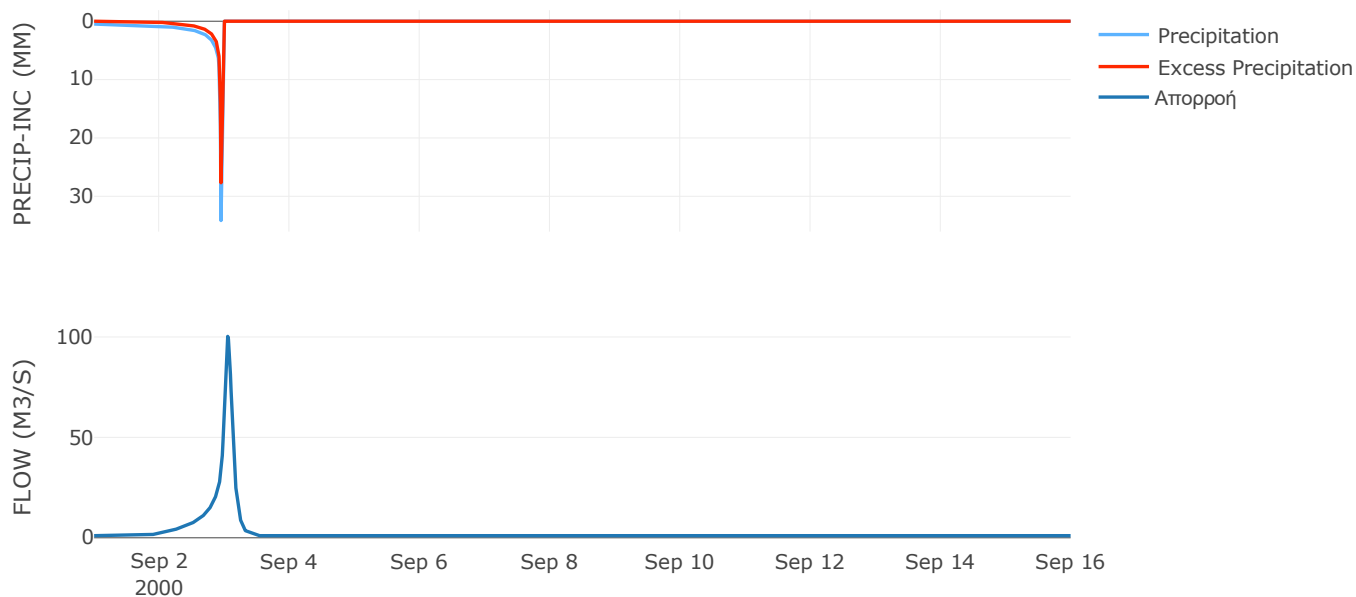
Μέθοδος
Μετασχηματισμού: SCS

Χρόνος Υστέρησης	144.93
------------------	--------

Αποτελέσματα:
EL0513FR7001

Παροχή αιχμής (M3/S)	100.3
Χρονική στιγμή αιχμής	03Sep2000, 01:15
Όγκος (MM)	325.28
Όγκος βροχόπτωσης (M3)	3.69E6
Όγκος απωλειών (M3)	1.61E6
Ενεργός Όγκος (M3)	2.08E6
Όγκος άμεσης απορροής (M3)	2.08E6
Όγκος βασικής απορροής (M3)	1.38E6

Βροχόπτωση και Απορροή



Υπολεκάνη: EL0513FR7002

Έκταση (KM2) : 36.49

Κατάντη : J2

Μέθοδος Απωλειών: SCS

Ποσοστό αδιαπέρατης επιφάνειας	0
Αριθμός Καμπύλης Απορροής-CN	44.85
Αρχικές Απώλειες	62.46

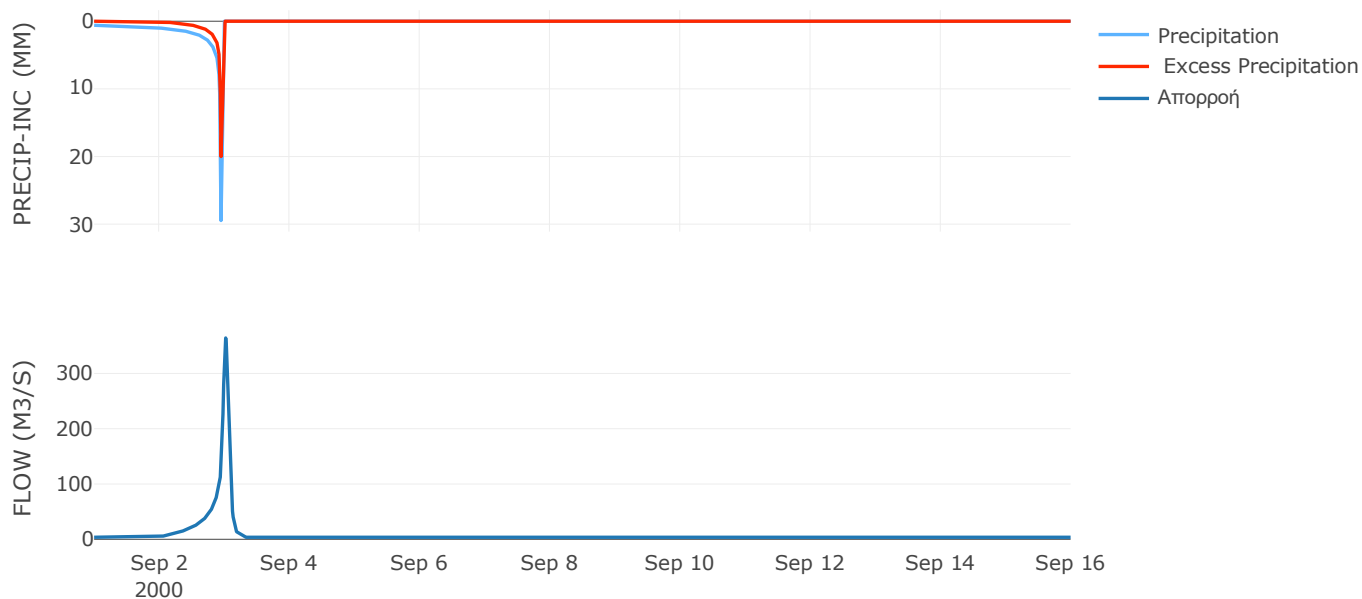
Μέθοδος
Μετασχηματισμού: SCS

Χρόνος Υστέρησης	87.7
------------------	------

Αποτελέσματα:
EL0513FR7002

Παροχή αιχμής (M3/S)	364.23
Χρονική στιγμή αιχμής	03Sep2000, 00:30
Όγκος (MM)	281.17
Όγκος βροχόπτωσης (M3)	1.35E7
Όγκος απωλειών (M3)	7.92E6
Ενεργός Όγκος (M3)	5.53E6
Όγκος άμεσης απορροής (M3)	5.53E6
Όγκος βασικής απορροής (M3)	4.73E6

Βροχόπτωση και Απορροή



Υπολεκάνη: EL0513FR7003

Έκταση (KM2) : 2.15

Κατάντη : J2

Μέθοδος Απωλειών: SCS

Ποσοστό αδιαπέρατης επιφάνειας	0
Αριθμός Καμπύλης Απορροής-CN	53.95
Αρχικές Απώλειες	43.37

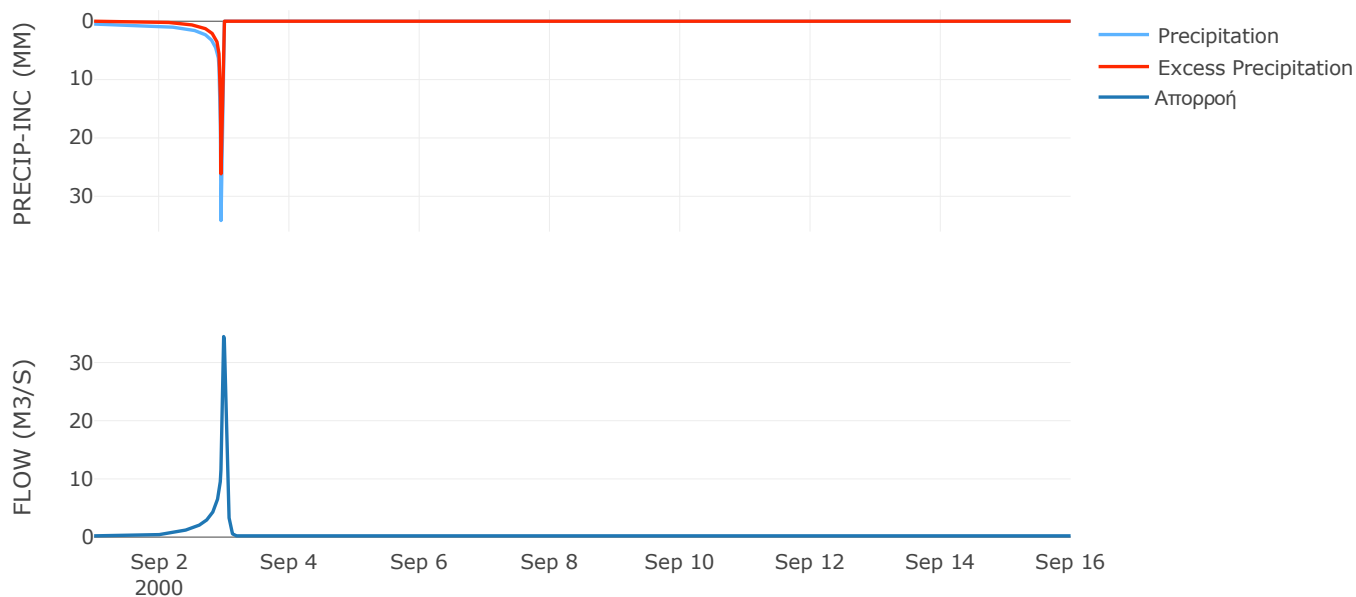
Μέθοδος
Μετασχηματισμού: SCS

Χρόνος Υστέρησης	48.95
------------------	-------

Αποτελέσματα:
EL0513FR7003

Παροχή αιχμής (M3/S)	34.46
Χρονική στιγμή αιχμής	02Sep2000, 23:45
Όγκος (MM)	307.31
Όγκος βροχόπτωσης (M3)	7.46E5
Όγκος απωλειών (M3)	3.65E5
Ενεργός Όγκος (M3)	3.82E5
Όγκος άμεσης απορροής (M3)	3.82E5
Όγκος βασικής απορροής (M3)	2.78E5

Βροχόπτωση και Απορροή



Υπολεκάνη: EL0513FR7004

Έκταση (KM2) : 11.5

Κατάντη : J15

Μέθοδος Απωλειών: SCS

Ποσοστό αδιαπέρατης επιφάνειας	0
Αριθμός Καμπύλης Απορροής-CN	39.16
Αρχικές Απώλειες	78.91

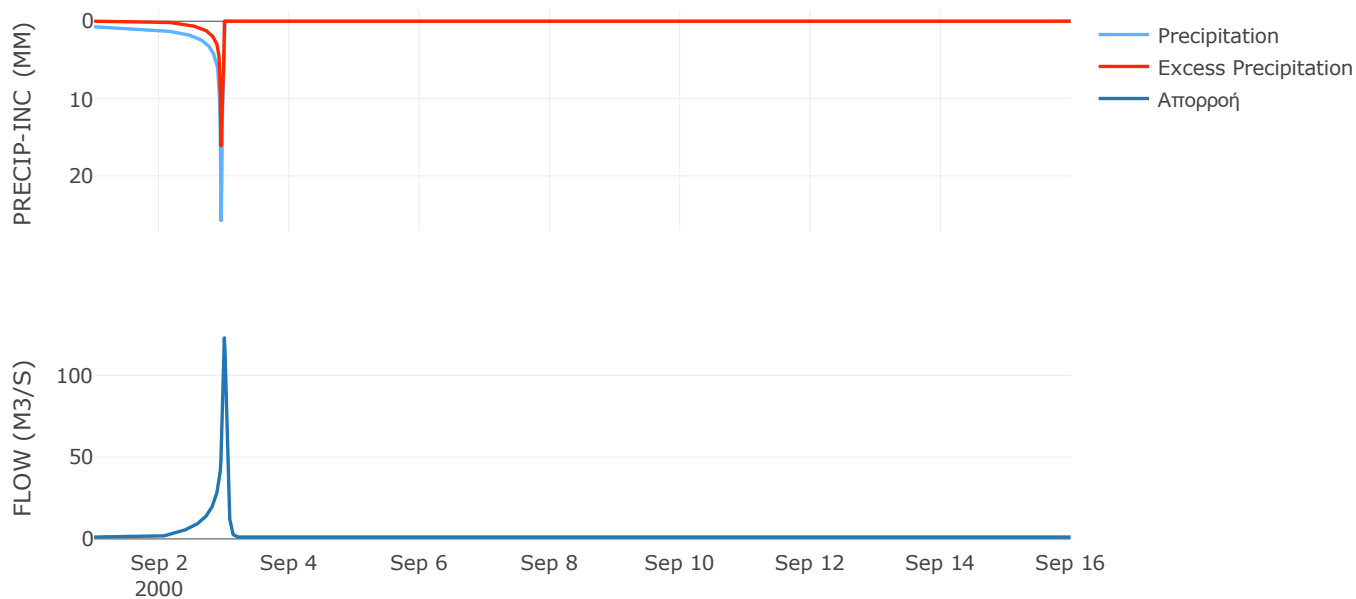
Μέθοδος
Μετασχηματισμού: SCS

Χρόνος Υστέρησης	54
------------------	----

Αποτελέσματα:
EL0513FR7004

Παροχή αιχμής (M3/S)	122.87
Χρονική στιγμή αιχμής	02Sep2000, 24:00
Όγκος (MM)	267.98
Όγκος βροχόπτωσης (M3)	4.5E6
Όγκος απωλειών (M3)	2.91E6
Ενεργός Όγκος (M3)	1.59E6
Όγκος άμεσης απορροής (M3)	1.59E6
Όγκος βασικής απορροής (M3)	1.49E6

Βροχόπτωση και Απορροή



Υπολεκάνη: EL0513FR7005

Έκταση (KM2) : 8.16

Κατάντη : J15

Μέθοδος Απωλειών: SCS

Ποσοστό αδιαπέρατης επιφάνειας	0
Αριθμός Καμπύλης Απορροής-CN	46.18
Αρχικές Απώλειες	59.2

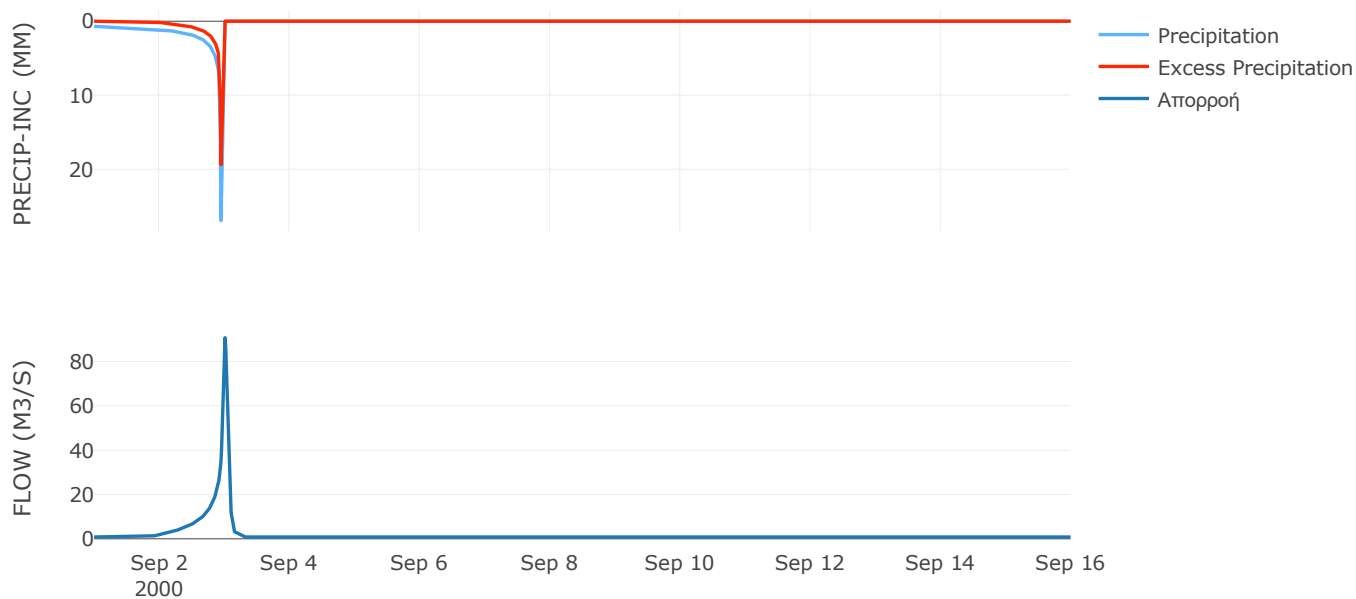
Μέθοδος
Μετασχηματισμού: SCS

Χρόνος Υστέρησης	72.98
------------------	-------

Αποτελέσματα:
EL0513FR7005

Παροχή αιχμής (M3/S)	90.74
Χρονική στιγμή αιχμής	03Sep2000, 00:15
Όγκος (MM)	301.65
Όγκος βροχόπτωσης (M3)	3.16E6
Όγκος απωλειών (M3)	1.75E6
Ενεργός Όγκος (M3)	1.4E6
Όγκος άμεσης απορροής (M3)	1.4E6
Όγκος βασικής απορροής (M3)	1.06E6

Βροχόπτωση και Απορροή



Υπολεκάνη: EL0513FR7006

Έκταση (KM2) : 47.06

Κατάντη : J16

Μέθοδος Απωλειών: SCS

Ποσοστό αδιαπέρατης επιφάνειας	0
Αριθμός Καμπύλης Απορροής-CN	30
Αρχικές Απώλειες	118.53

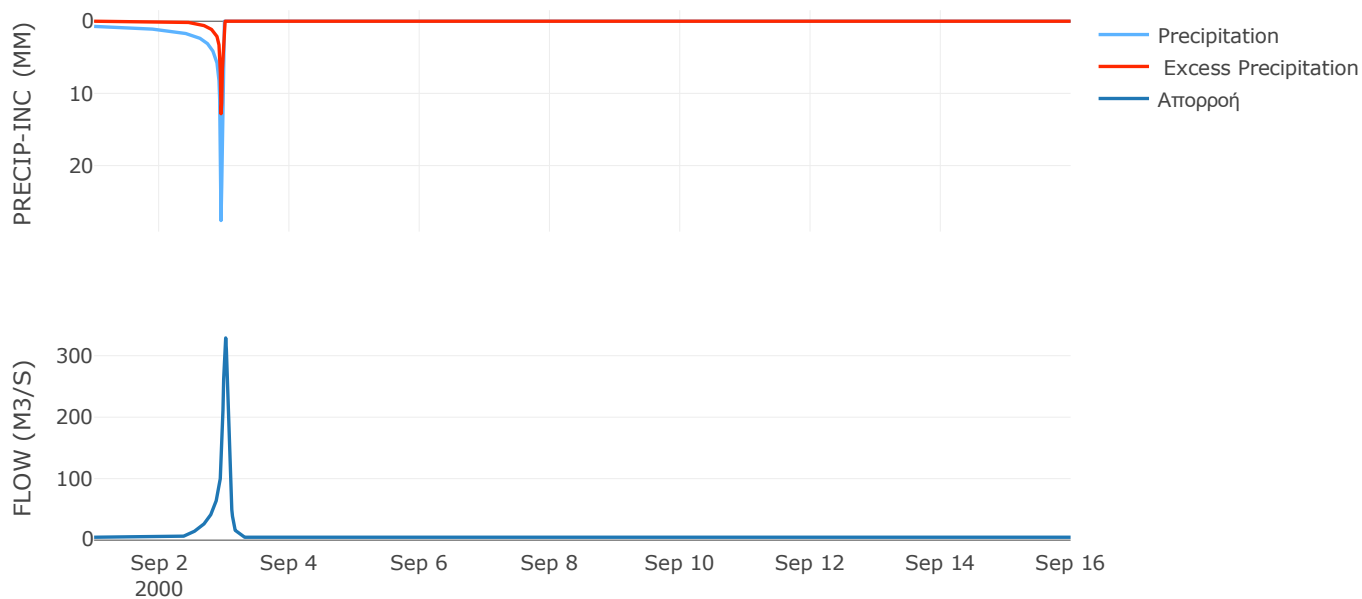
Μέθοδος
Μετασχηματισμού: SCS

Χρόνος Υστέρησης	81.43
------------------	-------

Αποτελέσματα:
EL0513FR7006

Παροχή αιχμής (M3/S)	328.88
Χρονική στιγμή αιχμής	03Sep2000, 00:30
Όγκος (MM)	221.28
Όγκος βροχόπτωσης (M3)	1.89E7
Όγκος απωλειών (M3)	1.46E7
Ενεργός Όγκος (M3)	4.31E6
Όγκος άμεσης απορροής (M3)	4.31E6
Όγκος βασικής απορροής (M3)	6.1E6

Βροχόπτωση και Απορροή



Υπολεκάνη: EL0513FR7007

Έκταση (KM2) : 2.05

Κατάντη : J15

Μέθοδος Απωλειών: SCS

Ποσοστό αδιαπέρατης επιφάνειας	0
Αριθμός Καμπύλης Απορροής-CN	60.47
Αρχικές Απώλειες	33.21

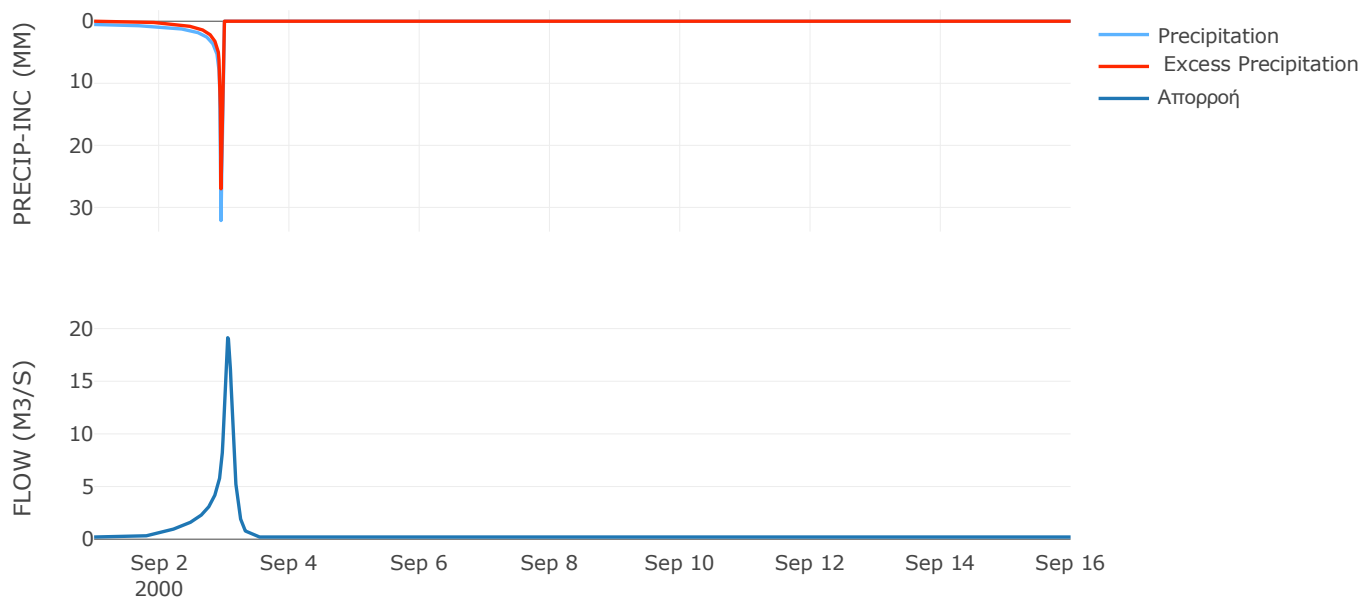
Μέθοδος
Μετασχηματισμού: SCS

Χρόνος Υστέρησης	150.34
------------------	--------

Αποτελέσματα:
EL0513FR7007

Παροχή αιχμής (M3/S)	19.13
Χρονική στιγμή αιχμής	03Sep2000, 01:15
Όγκος (MM)	340.98
Όγκος βροχόπτωσης (M3)	7.26E5
Όγκος απωλειών (M3)	2.93E5
Ενεργός Όγκος (M3)	4.34E5
Όγκος άμεσης απορροής (M3)	4.34E5
Όγκος βασικής απορροής (M3)	2.66E5

Βροχόπτωση και Απορροή



Υπολεκάνη: EL0513FR7008

Έκταση (KM2) : 8

Κατάντη : J18

Μέθοδος Απωλειών: SCS

Ποσοστό αδιαπέρατης επιφάνειας	0
Αριθμός Καμπύλης Απορροής-CN	36.66
Αρχικές Απώλειες	87.78

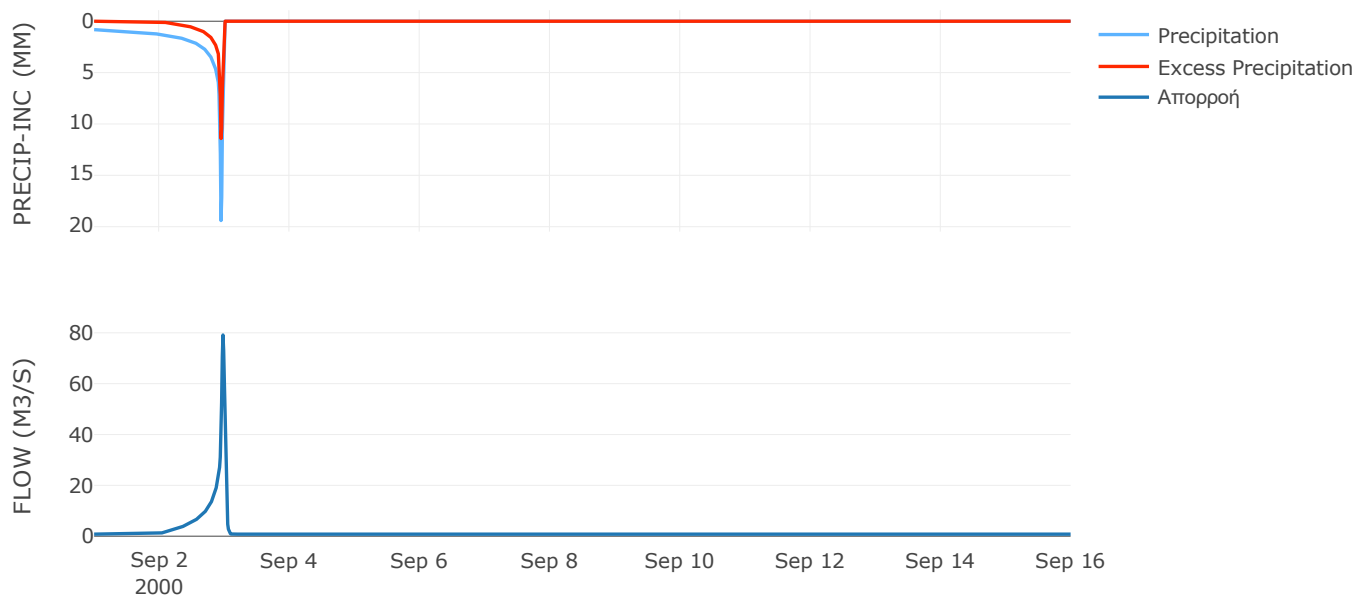
Μέθοδος
Μετασχηματισμού: SCS

Χρόνος Υστέρησης	28.84
------------------	-------

Αποτελέσματα:
EL0513FR7008

Παροχή αιχμής (M3/S)	79.15
Χρονική στιγμή αιχμής	02Sep2000, 23:30
Όγκος (MM)	249.38
Όγκος βροχόπτωσης (M3)	3.08E6
Όγκος απωλειών (M3)	2.12E6
Ενεργός Όγκος (M3)	9.58E5
Όγκος άμεσης απορροής (M3)	9.58E5
Όγκος βασικής απορροής (M3)	1.04E6

Βροχόπτωση και Απορροή



Υπολεκάνη: EL0513FR7009

Έκταση (KM2) : 25.56

Κατάνη : J17

Μέθοδος Απωλειών: SCS

Ποσοστό αδιαπέρατης επιφάνειας	0
Αριθμός Καμπύλης Απορροής-CN	37.19
Αρχικές Απώλειες	85.8

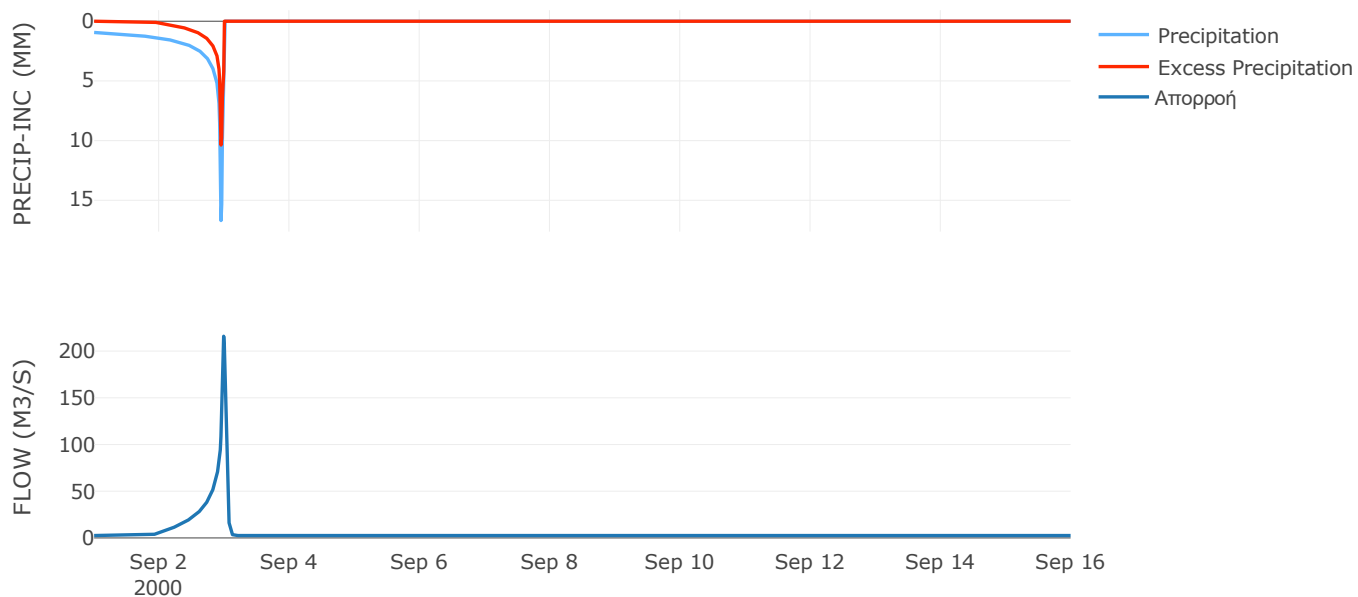
Μέθοδος
Μετασχηματισμού: SCS

Χρόνος Υστέρησης	42.48
------------------	-------

Αποτελέσματα:
EL0513FR7009

Παροχή αιχμής (M3/S)	215.89
Χρονική στιγμή αιχμής	02Sep2000, 23:45
Όγκος (MM)	263.26
Όγκος βροχόπτωσης (M3)	1.03E7
Όγκος απωλειών (M3)	6.84E6
Ενεργός Όγκος (M3)	3.42E6
Όγκος άμεσης απορροής (M3)	3.42E6
Όγκος βασικής απορροής (M3)	3.31E6

Βροχόπτωση και Απορροή



Υπολεκάνη: EL0513FR7010

Έκταση (KM2) : 14.22

Κατάντη : J3

Μέθοδος Απωλειών: SCS

Ποσοστό αδιαπέρατης επιφάνειας	0
Αριθμός Καμπύλης Απορροής-CN	42.27
Αρχικές Απώλειες	69.36

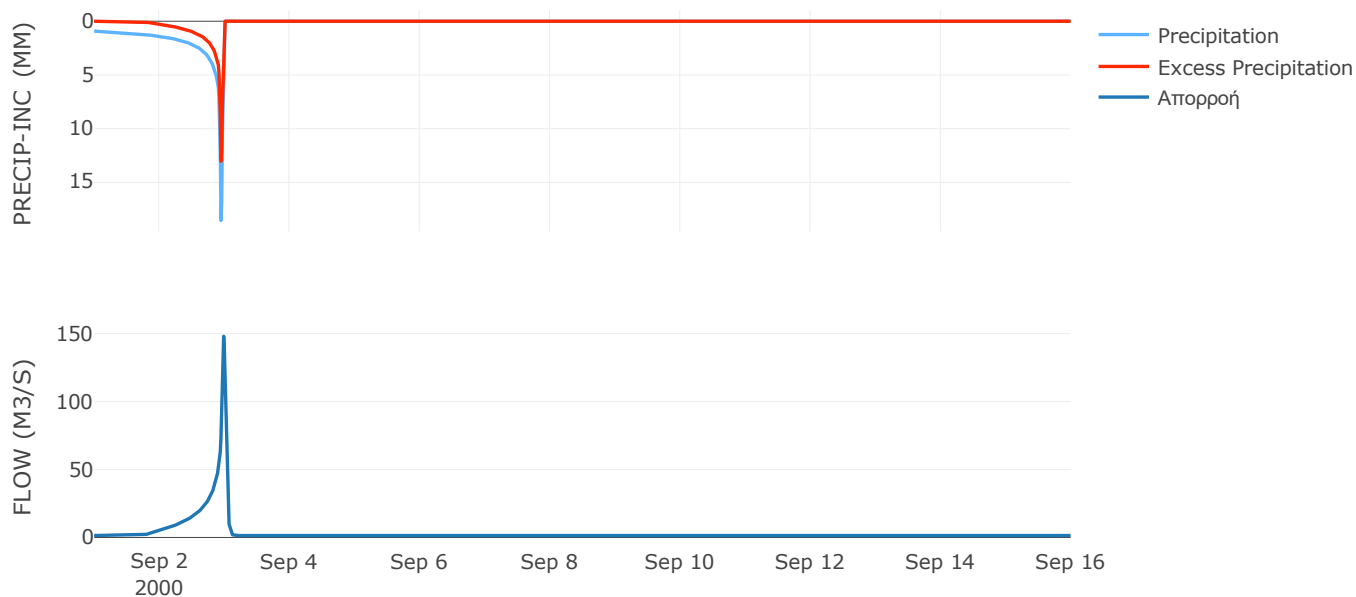
Μέθοδος
Μετασχηματισμού: SCS

Χρόνος Υστέρησης	41.52
------------------	-------

Αποτελέσματα:
EL0513FR7010

Παροχή αιχμής (M3/S)	148.08
Χρονική στιγμή αιχμής	02Sep2000, 23:45
Όγκος (MM)	298.19
Όγκος βροχόπτωσης (M3)	5.83E6
Όγκος απωλειών (M3)	3.43E6
Ενεργός Όγκος (M3)	2.4E6
Όγκος άμεσης απορροής (M3)	2.4E6
Όγκος βασικής απορροής (M3)	1.84E6

Βροχόπτωση και Απορροή



Υπολεκάνη: EL0513FR7011

Έκταση (KM2) : 27

Κατάντη : J3

Μέθοδος Απωλειών: SCS

Ποσοστό αδιαπέρατης επιφάνειας	0
Αριθμός Καμπύλης Απορροής-CN	47.85
Αρχικές Απώλειες	55.36

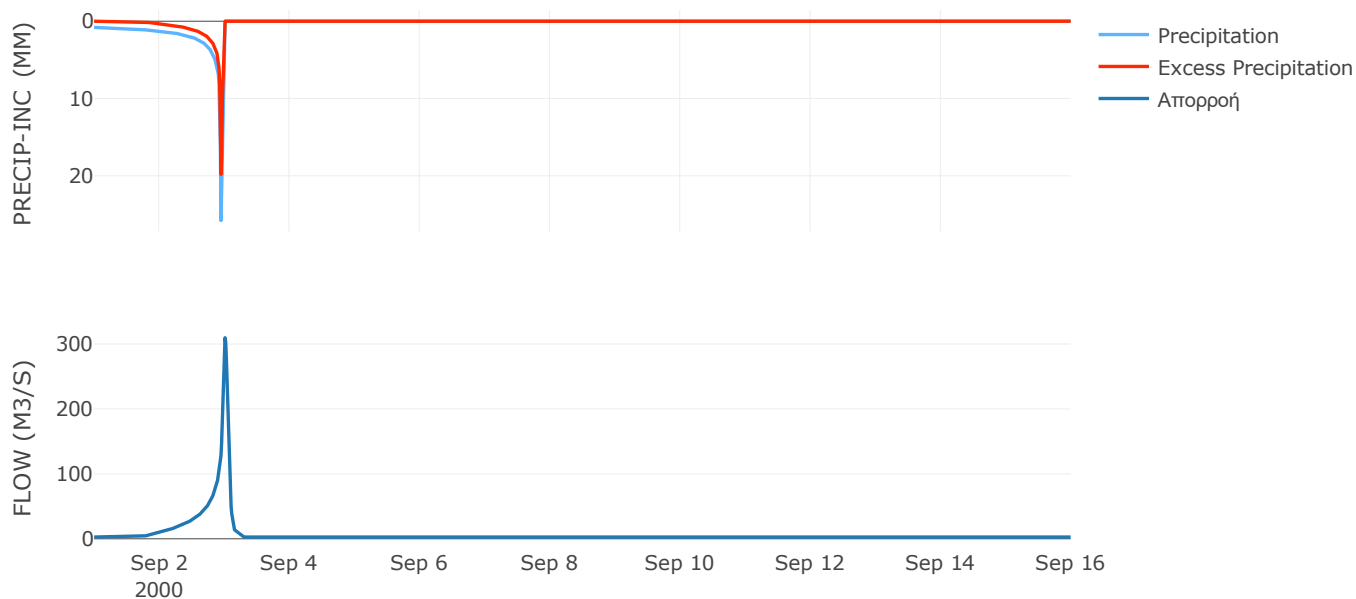
Μέθοδος
Μετασχηματισμού: SCS

Χρόνος Υστέρησης	77.89
------------------	-------

Αποτελέσματα:
EL0513FR7011

Παροχή αιχμής (M3/S)	309.65
Χρονική στιγμή αιχμής	03Sep2000, 00:15
Όγκος (MM)	335.24
Όγκος βροχόπτωσης (M3)	1.13E7
Όγκος απωλειών (M3)	5.73E6
Ενεργός Όγκος (M3)	5.55E6
Όγκος άμεσης απορροής (M3)	5.55E6
Όγκος βασικής απορροής (M3)	3.5E6

Βροχόπτωση και Απορροή



Ποσοστό αδιαπέρατης επιφάνειας	0
Αριθμός Καμπύλης Απορροής-CN	47.05
Αρχικές Απώλειες	57.16

Χρόνος Υστέρησης	99.25
------------------	-------

Παροχή αιχμής (M3/S)	388.19
Χρονική στιγμή αιχμής	03Sep2000, 00:30
Όγκος (MM)	299.56
Όγκος βροχόπτωσης (M3)	1.39E7
Όγκος απωλειών (M3)	7.67E6
Ενεργός Όγκος (M3)	6.26E6
Όγκος άμεσης απορροής (M3)	6.26E6
Όγκος βασικής απορροής (M3)	4.77E6

The figure consists of two vertically stacked line graphs sharing a common x-axis representing time from September 1 to September 16, 2000.

Top Graph: PRECIP-INC (MM)
 The y-axis ranges from 0 to 30 mm. It shows three data series:

- Precipitation (light blue line):** Shows a sharp peak of approximately 25 mm on September 3.
- Excess Precipitation (red line):** Shows a sharp peak of approximately 25 mm on September 3, following the precipitation peak.
- Απορροή (dark blue line):** Remains at 0 mm throughout the period.

Bottom Graph: FLOW (M3/S)
 The y-axis ranges from 0 to 400 m³/s. It shows a single data series:

- Απορροή (dark blue line):** Shows a sharp peak of approximately 380 m³/s on September 3, corresponding to the precipitation peak.

Υπολεκάνη: EL0513FR7013

Έκταση (KM2) : 10.56

Κατάντη : J6

Μέθοδος Απωλειών: SCS

Ποσοστό αδιαπέρατης επιφάνειας	0
Αριθμός Καμπύλης Απορροής-CN	52.69
Αρχικές Απώλειες	45.62

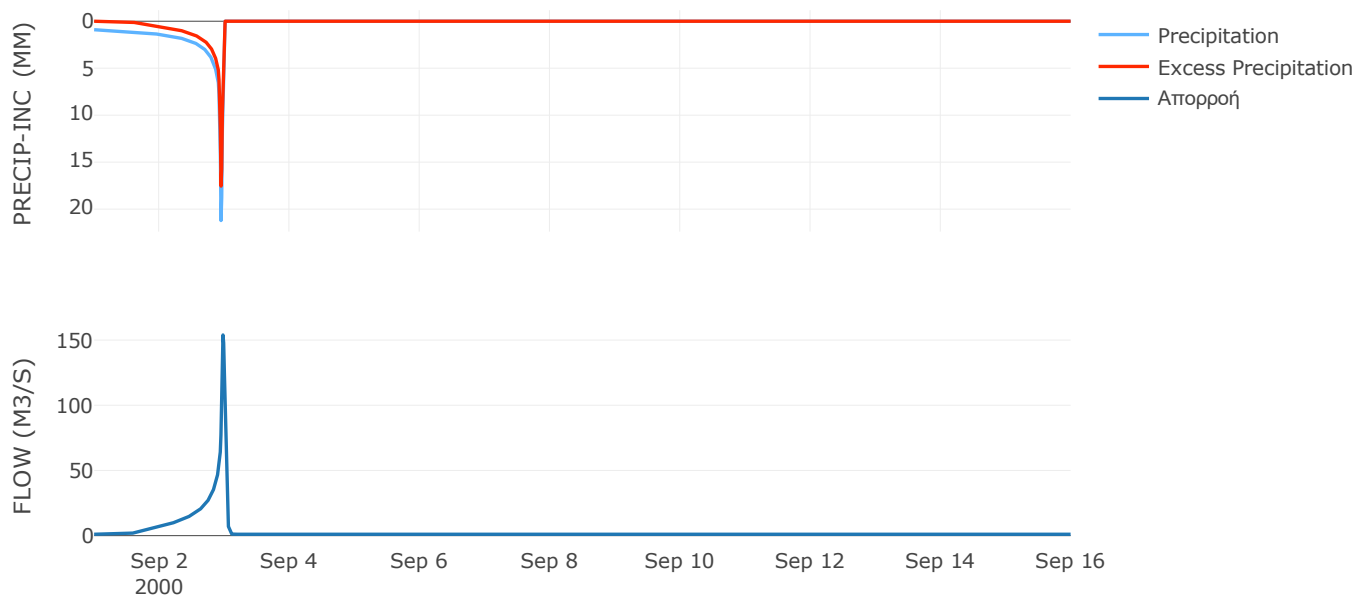
Μέθοδος
Μετασχηματισμού: SCS

Χρόνος Υστέρησης	32.54
------------------	-------

Αποτελέσματα:
EL0513FR7013

Παροχή αιχμής (M3/S)	153.92
Χρονική στιγμή αιχμής	02Sep2000, 23:30
Όγκος (MM)	364.83
Όγκος βροχόπτωσης (M3)	4.47E6
Όγκος απωλειών (M3)	1.98E6
Ενεργός Όγκος (M3)	2.48E6
Όγκος άμεσης απορροής (M3)	2.48E6
Όγκος βασικής απορροής (M3)	1.37E6

Βροχόπτωση και Απορροή



Υπολεκάνη: EL0513FR7014

Έκταση (KM2) : 22.48

Κατάντη : J5

Μέθοδος Απωλειών: SCS

Ποσοστό αδιαπέρατης επιφάνειας	0
Αριθμός Καμπύλης Απορροής-CN	30.34
Αρχικές Απώλειες	116.66

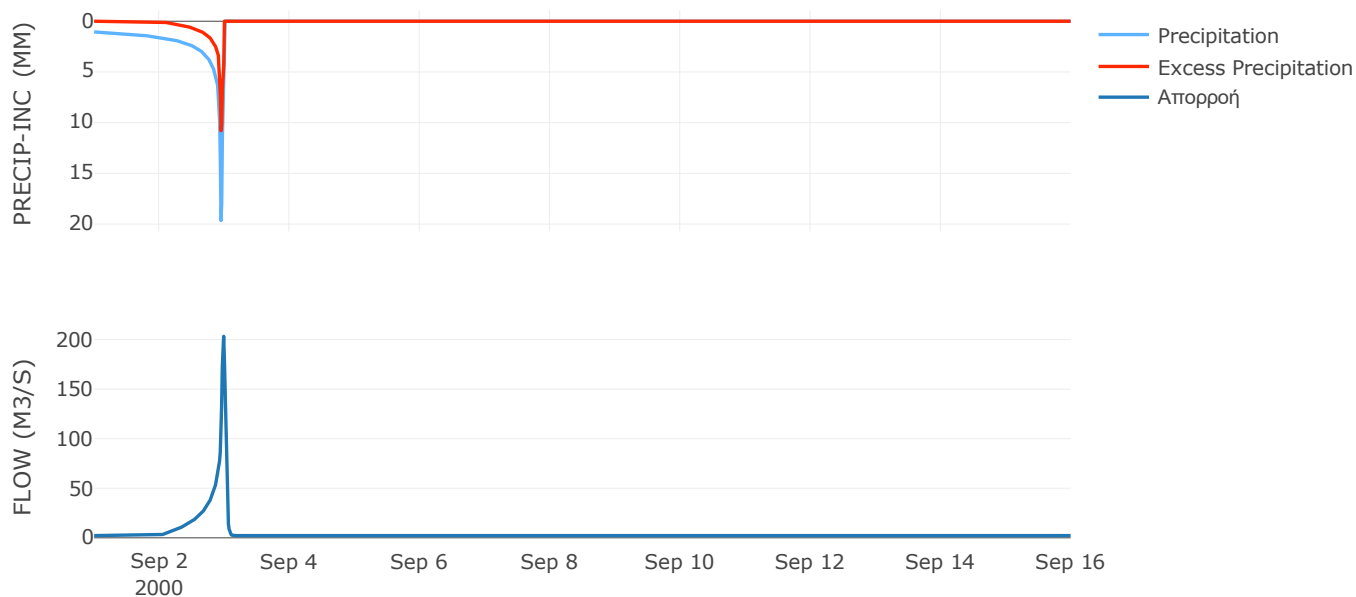
Μέθοδος
Μετασχηματισμού: SCS

Χρόνος Υστέρησης	35.55
------------------	-------

Αποτελέσματα:
EL0513FR7014

Παροχή αιχμής (M3/S)	203.29
Χρονική στιγμή αιχμής	02Sep2000, 23:45
Όγκος (MM)	255.28
Όγκος βροχόπτωσης (M3)	1.03E7
Όγκος απωλειών (M3)	7.46E6
Ενεργός Όγκος (M3)	2.82E6
Όγκος άμεσης απορροής (M3)	2.82E6
Όγκος βασικής απορροής (M3)	2.91E6

Βροχόπτωση και Απορροή



Υπολεκάνη: EL0513FR7015

Έκταση (KM2) : 54.51

Κατάντη : J6

Μέθοδος Απωλειών: SCS

Ποσοστό αδιαπέρατης επιφάνειας	0
Αριθμός Καμπύλης Απορροής-CN	43.13
Αρχικές Απώλειες	66.98

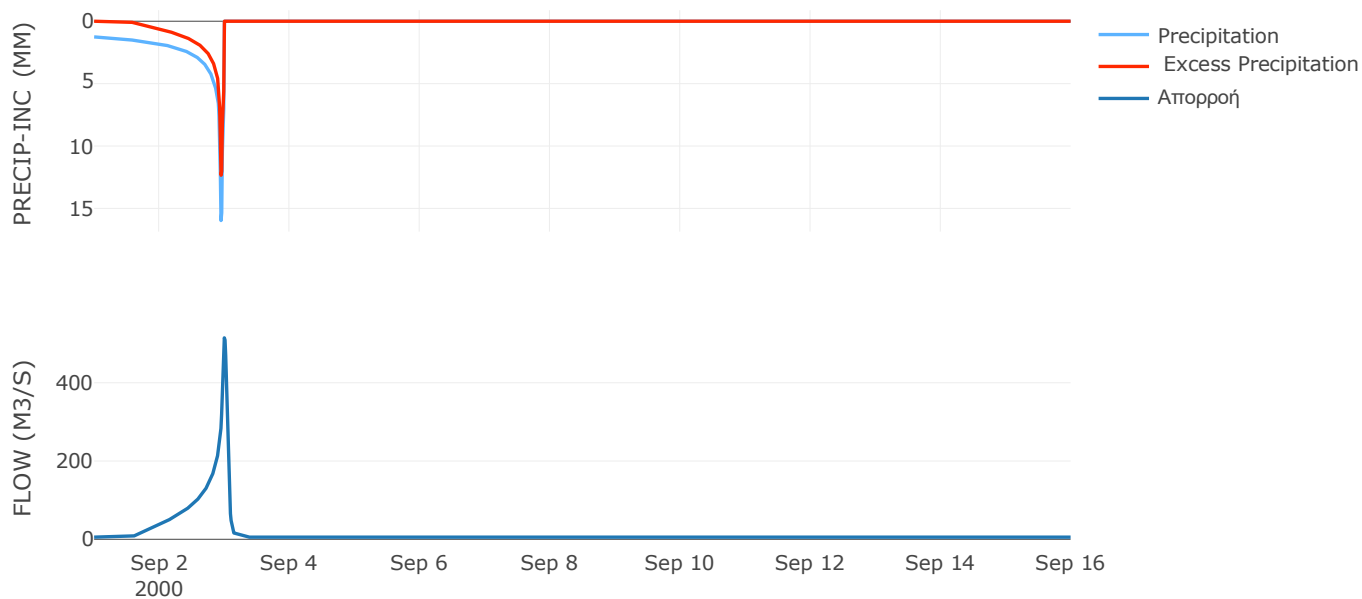
Μέθοδος
Μετασχηματισμού: SCS

Χρόνος Υστέρησης	64.19
------------------	-------

Αποτελέσματα:
EL0513FR7015

Παροχή αιχμής (M3/S)	514.83
Χρονική στιγμή αιχμής	02Sep2000, 24:00
Όγκος (MM)	360.74
Όγκος βροχόπτωσης (M3)	2.64E7
Όγκος απωλειών (M3)	1.38E7
Ενεργός Όγκος (M3)	1.26E7
Όγκος άμεσης απορροής (M3)	1.26E7
Όγκος βασικής απορροής (M3)	7.06E6

Βροχόπτωση και Απορροή



Υπολεκάνη: EL0513FR7016

Έκταση (KM2) : 13.52

Κατάντη : J4

Μέθοδος Απωλειών: SCS

Ποσοστό αδιαπέρατης επιφάνειας	0
Αριθμός Καμπύλης Απορροής-CN	30
Αρχικές Απώλειες	118.53

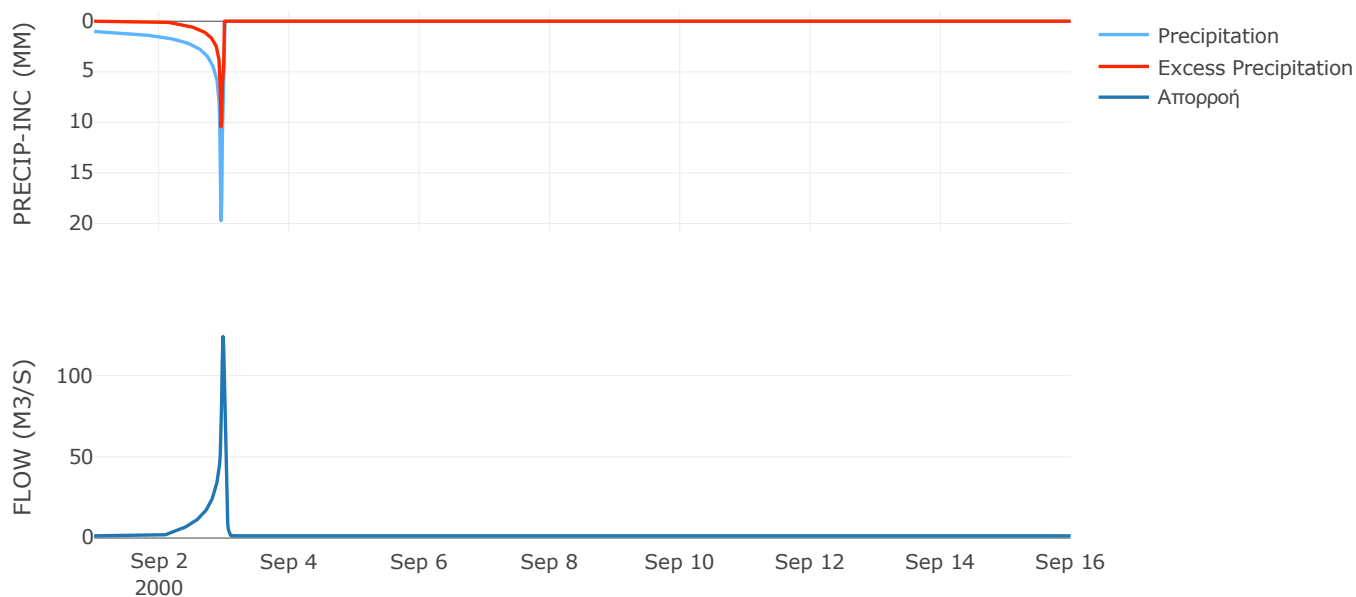
Μέθοδος
Μετασχηματισμού: SCS

Χρόνος Υστέρησης	30.04
------------------	-------

Αποτελέσματα:
EL0513FR7016

Παροχή αιχμής (M3/S)	124.05
Χρονική στιγμή αιχμής	02Sep2000, 23:30
Όγκος (MM)	245.33
Όγκος βροχόπτωσης (M3)	6.01E6
Όγκος απωλειών (M3)	4.44E6
Ενεργός Όγκος (M3)	1.56E6
Όγκος άμεσης απορροής (M3)	1.56E6
Όγκος βασικής απορροής (M3)	1.75E6

Βροχόπτωση και Απορροή



Υπολεκάνη: EL0513FR7017

Έκταση (KM2) : 45.33

Κατάντη : J5

Μέθοδος Απωλειών: SCS

Ποσοστό αδιαπέρατης επιφάνειας	0
Αριθμός Καμπύλης Απορροής-CN	30
Αρχικές Απώλειες	118.53

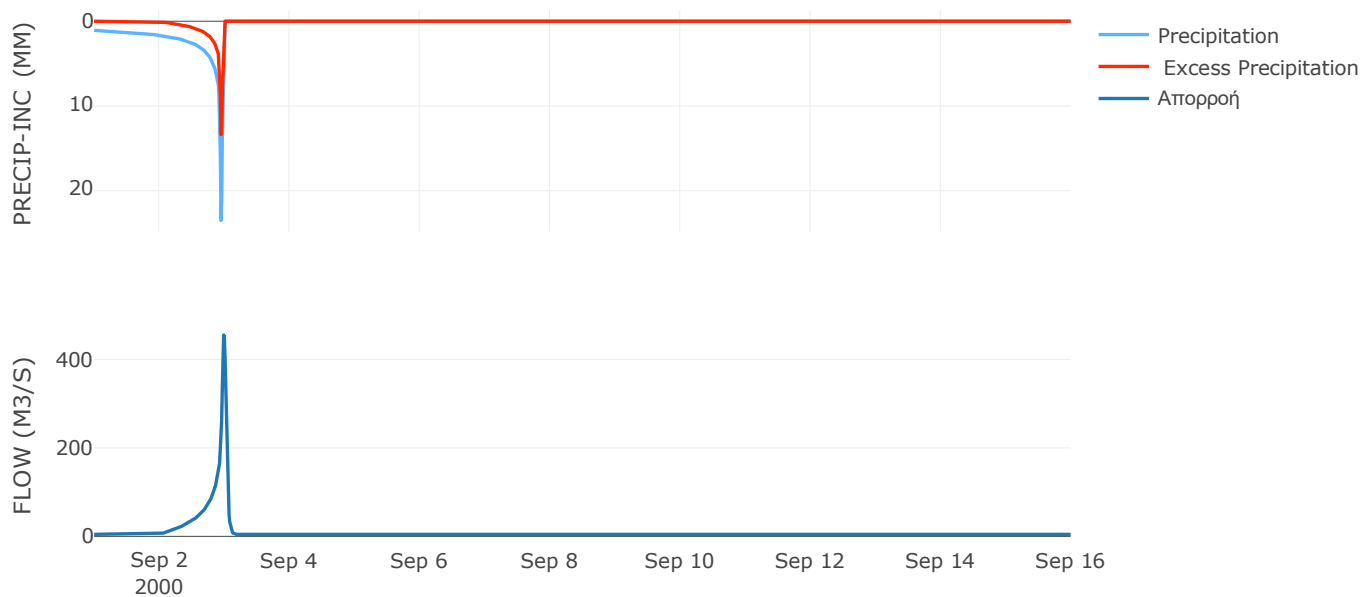
Μέθοδος
Μετασχηματισμού: SCS

Χρόνος Υστέρησης	48.07
------------------	-------

Αποτελέσματα:
EL0513FR7017

Παροχή αιχμής (M3/S)	455.13
Χρονική στιγμή αιχμής	02Sep2000, 23:45
Όγκος (MM)	274.06
Όγκος βροχόπτωσης (M3)	2.23E7
Όγκος απωλειών (M3)	1.58E7
Ενεργός Όγκος (M3)	6.55E6
Όγκος άμεσης απορροής (M3)	6.55E6
Όγκος βασικής απορροής (M3)	5.88E6

Βροχόπτωση και Απορροή



Υπολεκάνη: EL0513FR7018

Έκταση (KM2) : 32.48

Κατάντη : J10

Μέθοδος Απωλειών: SCS

Ποσοστό αδιαπέρατης επιφάνειας	0
Αριθμός Καμπύλης Απορροής-CN	32.62
Αρχικές Απώλειες	104.95

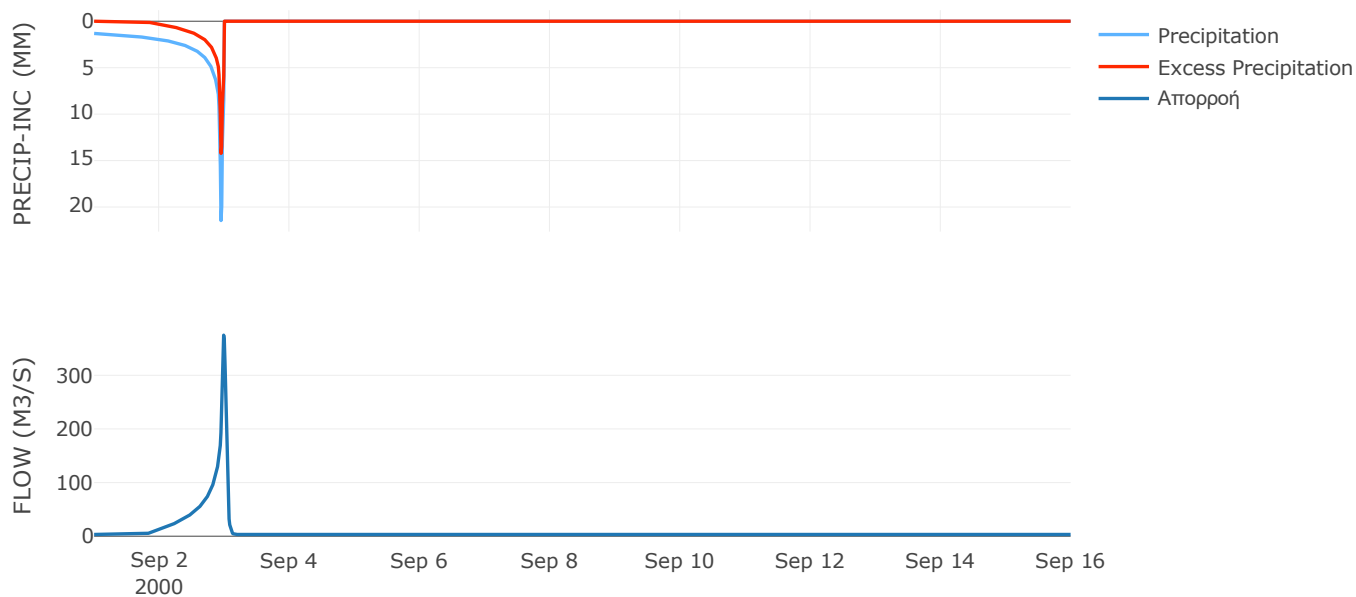
Μέθοδος
Μετασχηματισμού: SCS

Χρόνος Υστέρησης	44.84
------------------	-------

Αποτελέσματα:
EL0513FR7018

Παροχή αιχμής (M3/S)	374.82
Χρονική στιγμή αιχμής	02Sep2000, 23:45
Όγκος (MM)	331.37
Όγκος βροχόπτωσης (M3)	1.78E7
Όγκος απωλειών (M3)	1.12E7
Ενεργός Όγκος (M3)	6.55E6
Όγκος άμεσης απορροής (M3)	6.55E6
Όγκος βασικής απορροής (M3)	4.21E6

Βροχόπτωση και Απορροή



Υπολεκάνη: EL0513FR7019

Έκταση (KM2) : 40.09

Κατάντη : J12

Μέθοδος Απωλειών: SCS

Ποσοστό αδιαπέρατης επιφάνειας	0
Αριθμός Καμπύλης Απορροής-CN	45.56
Αρχικές Απώλειες	60.69

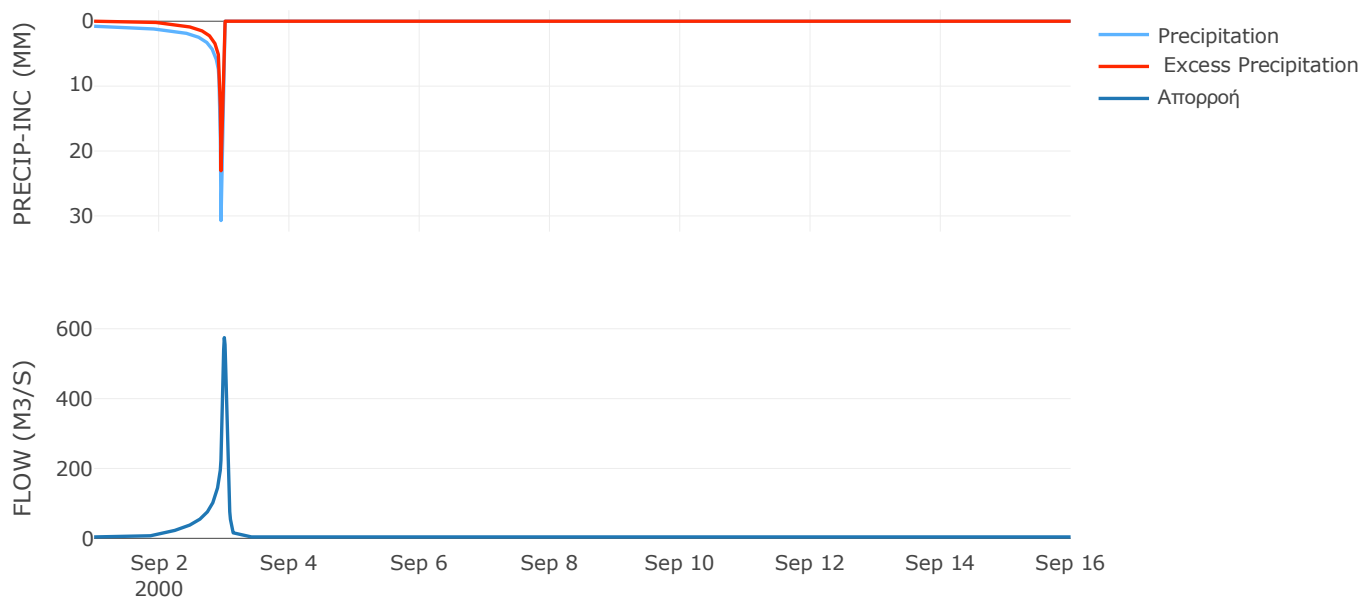
Μέθοδος
Μετασχηματισμού: SCS

Χρόνος Υστέρησης	60.34
------------------	-------

Αποτελέσματα:
EL0513FR7019

Παροχή αιχμής (M3/S)	574.67
Χρονική στιγμή αιχμής	02Sep2000, 24:00
Όγκος (MM)	338.53
Όγκος βροχόπτωσης (M3)	1.76E7
Όγκος απωλειών (M3)	9.17E6
Ενεργός Όγκος (M3)	8.38E6
Όγκος άμεσης απορροής (M3)	8.38E6
Όγκος βασικής απορροής (M3)	5.2E6

Βροχόπτωση και Απορροή



Υπολεκάνη: EL0513FR7020

Έκταση (KM2) : 21.52

Κατάντη : J11

Μέθοδος Απωλειών: SCS

Ποσοστό αδιαπέρατης επιφάνειας	0
Αριθμός Καμπύλης Απορροής-CN	38.61
Αρχικές Απώλειες	80.78

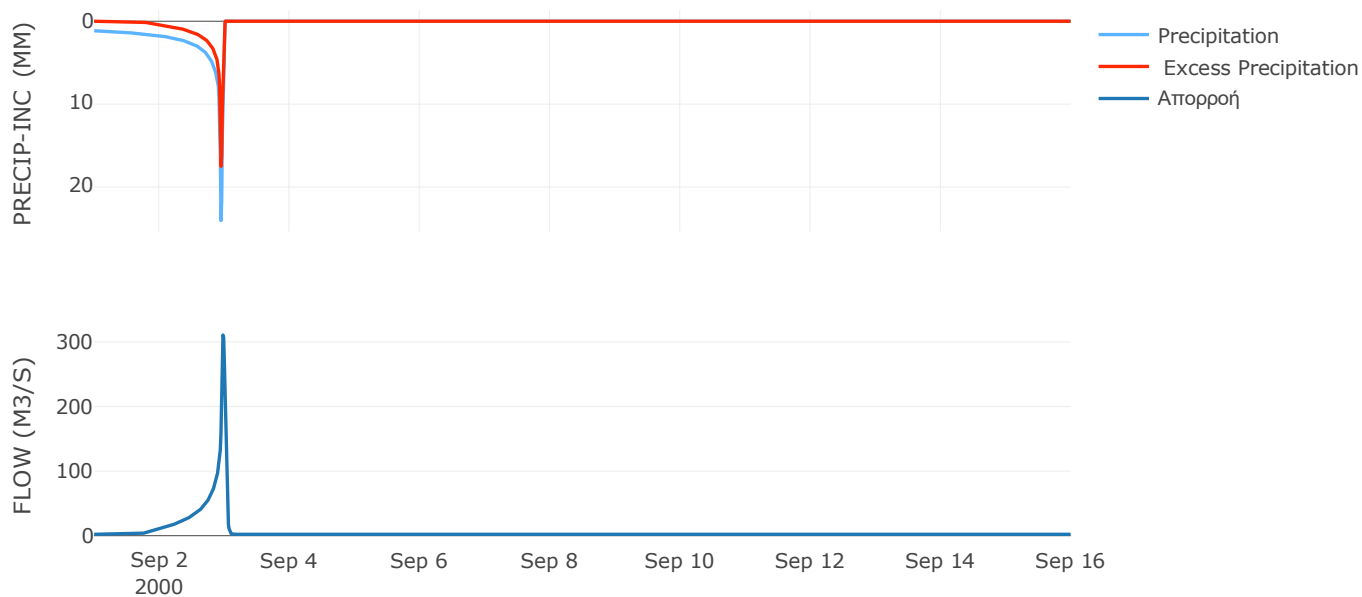
Μέθοδος
Μετασχηματισμού: SCS

Χρόνος Υστέρησης	34.56
------------------	-------

Αποτελέσματα:
EL0513FR7020

Παροχή αιχμής (M3/S)	310.7
Χρονική στιγμή αιχμής	02Sep2000, 23:30
Όγκος (MM)	356.23
Όγκος βροχόπτωσης (M3)	1.11E7
Όγκος απωλειών (M3)	6.25E6
Ενεργός Όγκος (M3)	4.88E6
Όγκος άμεσης απορροής (M3)	4.88E6
Όγκος βασικής απορροής (M3)	2.79E6

Βροχόπτωση και Απορροή



Υπολεκάνη: EL0513FR7021

Έκταση (KM2) : 23.01

Κατάντη : J12

Μέθοδος Απωλειών: SCS

Ποσοστό αδιαπέρατης επιφάνειας	0
Αριθμός Καμπύλης Απορροής-CN	34.9
Αρχικές Απώλειες	94.78

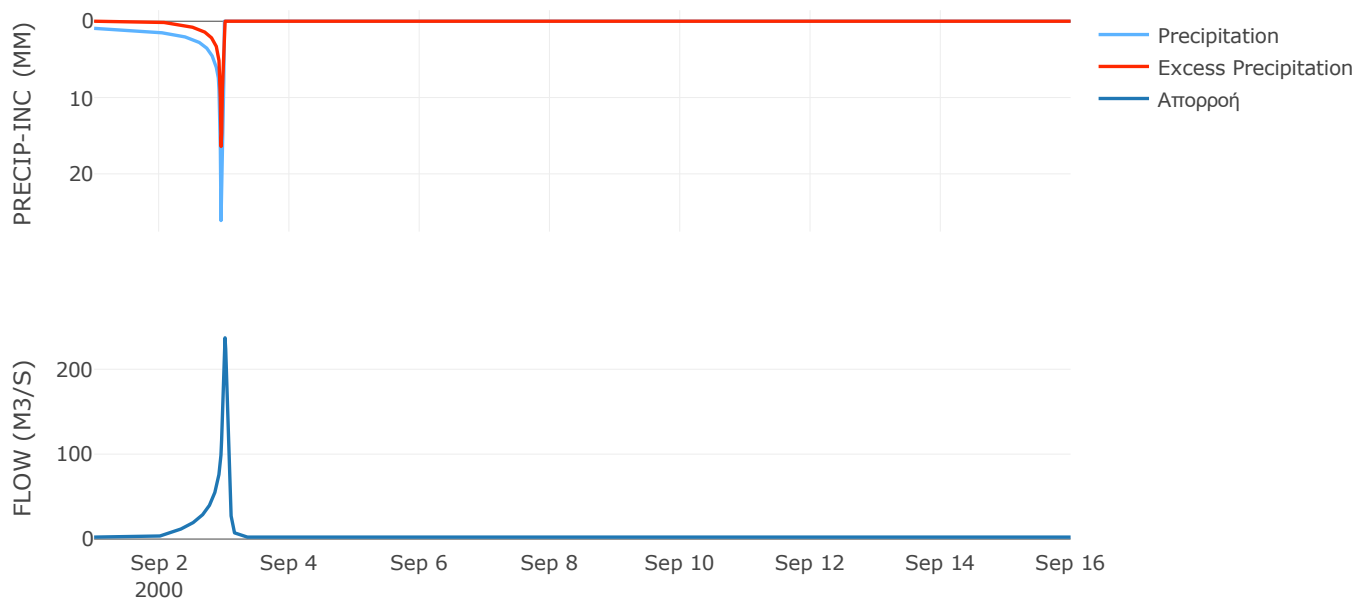
Μέθοδος
Μετασχηματισμού: SCS

Χρόνος Υστέρησης	69.29
------------------	-------

Αποτελέσματα:
EL0513FR7021

Παροχή αιχμής (M3/S)	236.99
Χρονική στιγμή αιχμής	03Sep2000, 00:15
Όγκος (MM)	292.15
Όγκος βροχόπτωσης (M3)	1.07E7
Όγκος απωλειών (M3)	6.97E6
Ενεργός Όγκος (M3)	3.74E6
Όγκος άμεσης απορροής (M3)	3.74E6
Όγκος βασικής απορροής (M3)	2.98E6

Βροχόπτωση και Απορροή



Υπολεκάνη: EL0513FR7022

Έκταση (KM2) : 10.49

Κατάντη : J10

Μέθοδος Απωλειών: SCS

Ποσοστό αδιαπέρατης επιφάνειας	0
Αριθμός Καμπύλης Απορροής-CN	38.35
Αρχικές Απώλειες	81.65

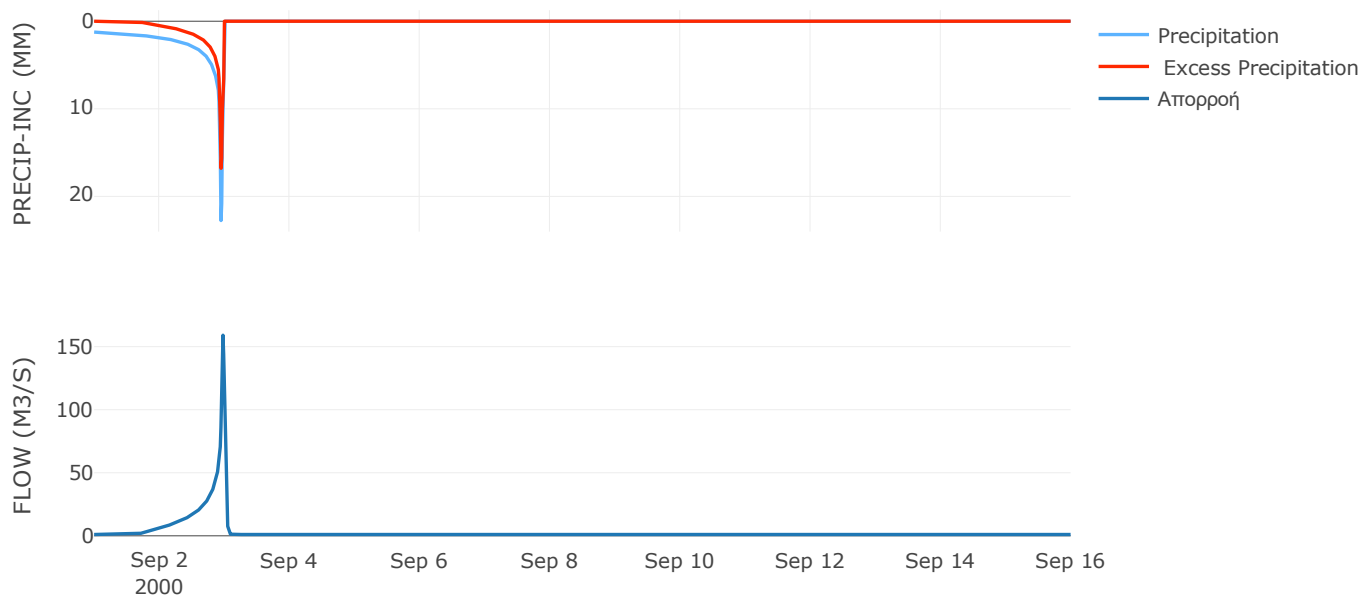
Μέθοδος
Μετασχηματισμού: SCS

Χρόνος Υστέρησης	27.1
------------------	------

Αποτελέσματα:
EL0513FR7022

Παροχή αιχμής (M3/S)	159.1
Χρονική στιγμή αιχμής	02Sep2000, 23:30
Όγκος (MM)	368.17
Όγκος βροχόπτωσης (M3)	5.61E6
Όγκος απωλειών (M3)	3.11E6
Ενεργός Όγκος (M3)	2.5E6
Όγκος άμεσης απορροής (M3)	2.5E6
Όγκος βασικής απορροής (M3)	1.36E6

Βροχόπτωση και Απορροή



Υπολεκάνη: EL0513FR7023

Έκταση (KM2) : 25.04

Κατάντη : J8

Μέθοδος Απωλειών: SCS

Ποσοστό αδιαπέρατης επιφάνειας	0
Αριθμός Καμπύλης Απορροής-CN	45.76
Αρχικές Απώλειες	60.21

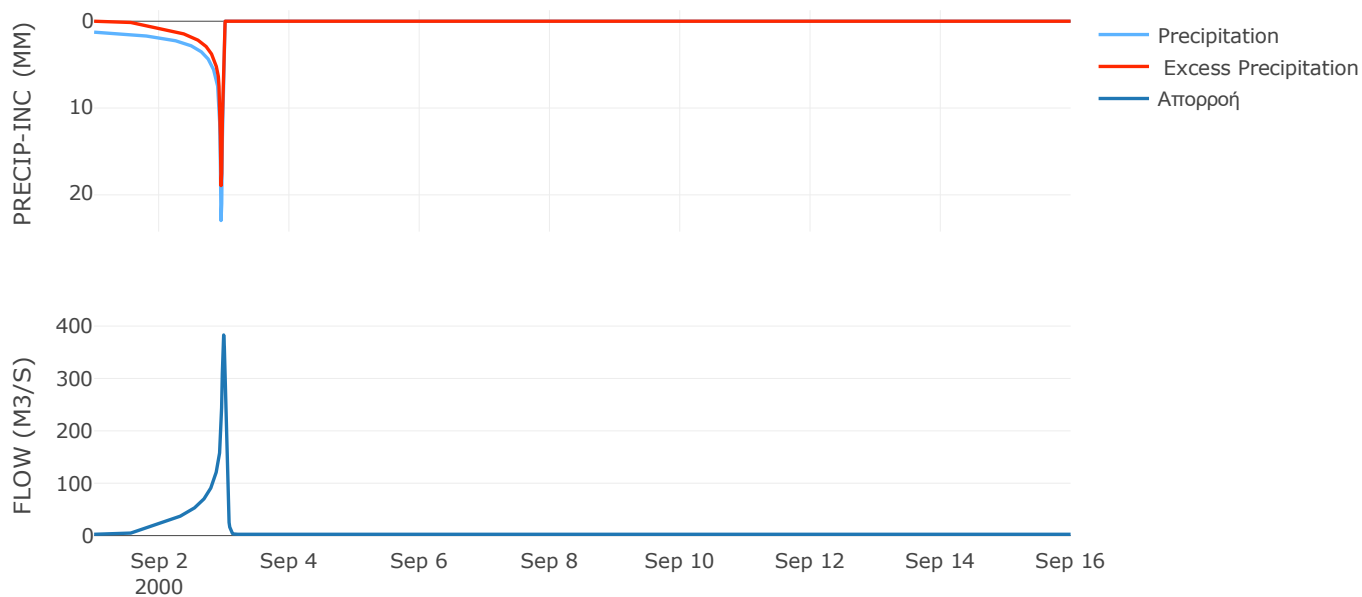
Μέθοδος
Μετασχηματισμού: SCS

Χρόνος Υστέρησης	41.91
------------------	-------

Αποτελέσματα:
EL0513FR7023

Παροχή αιχμής (M3/S)	383.03
Χρονική στιγμή αιχμής	02Sep2000, 23:45
Όγκος (MM)	427.1
Όγκος βροχόπτωσης (M3)	1.36E7
Όγκος απωλειών (M3)	6.15E6
Ενεργός Όγκος (M3)	7.45E6
Όγκος άμεσης απορροής (M3)	7.45E6
Όγκος βασικής απορροής (M3)	3.25E6

Βροχόπτωση και Απορροή



Υπολεκάνη: EL0513FR7024

Έκταση (KM2) : 52.1

Κατάντη : J7

Μέθοδος Απωλειών: SCS

Ποσοστό αδιαπέρατης επιφάνειας	0
Αριθμός Καμπύλης Απορροής-CN	44.95
Αρχικές Απώλειες	62.23

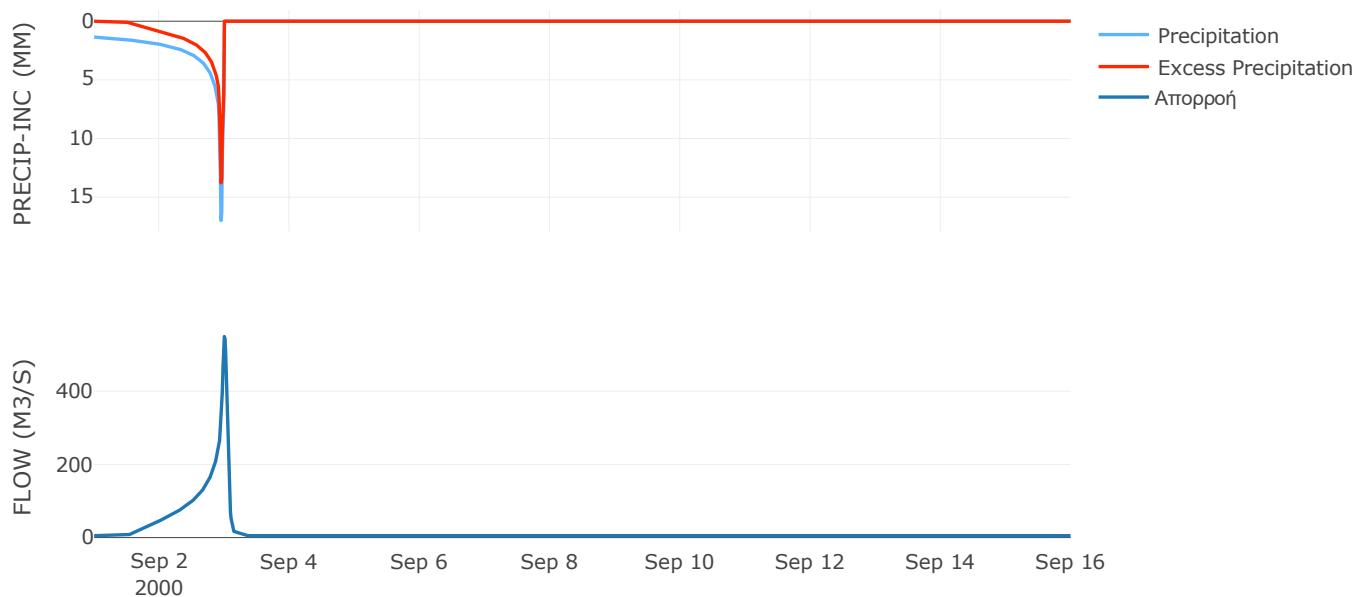
Μέθοδος
Μετασχηματισμού: SCS

Χρόνος Υστέρησης	64.62
------------------	-------

Αποτελέσματα:
EL0513FR7024

Παροχή αιχμής (M3/S)	549.36
Χρονική στιγμή αιχμής	02Sep2000, 24:00
Όγκος (MM)	401.72
Όγκος βροχόπτωσης (M3)	2.71E7
Όγκος απωλειών (M3)	1.29E7
Ενεργός Όγκος (M3)	1.42E7
Όγκος άμεσης απορροής (M3)	1.42E7
Όγκος βασικής απορροής (M3)	6.75E6

Βροχόπτωση και Απορροή



Υπολεκάνη: EL0513FR7025

Έκταση (KM2) : 25.4

Κατάντη : J7

Μέθοδος Απωλειών: SCS

Ποσοστό αδιαπέρατης επιφάνειας	0
Αριθμός Καμπύλης Απορροής-CN	54.06
Αρχικές Απώλειες	43.18

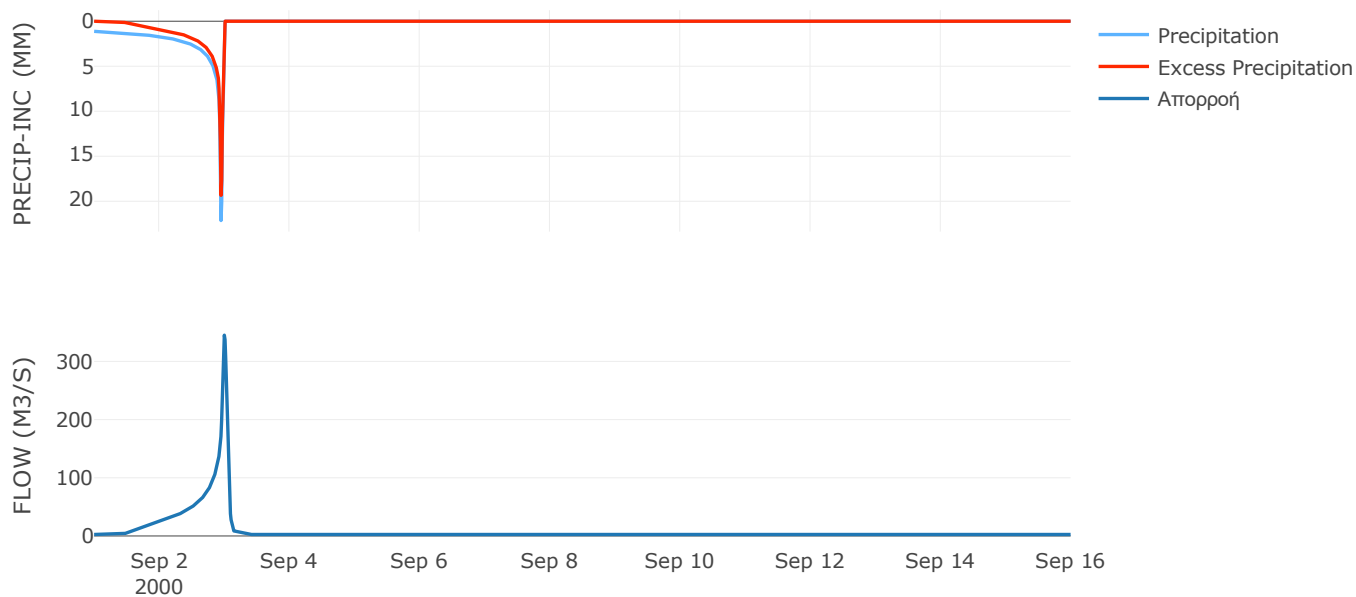
Μέθοδος
Μετασχηματισμού: SCS

Χρόνος Υστέρησης	62.61
------------------	-------

Αποτελέσματα:
EL0513FR7025

Παροχή αιχμής (M3/S)	345.12
Χρονική στιγμή αιχμής	02Sep2000, 24:00
Όγκος (MM)	436.54
Όγκος βροχόπτωσης (M3)	1.26E7
Όγκος απωλειών (M3)	4.81E6
Ενεργός Όγκος (M3)	7.8E6
Όγκος άμεσης απορροής (M3)	7.8E6
Όγκος βασικής απορροής (M3)	3.29E6

Βροχόπτωση και Απορροή



Υπολεκάνη: EL0513FR7026

Έκταση (KM2) : 15.52

Κατάντη : J9

Μέθοδος Απωλειών: SCS

Ποσοστό αδιαπέρατης επιφάνειας	0
Αριθμός Καμπύλης Απορροής-CN	64.2
Αρχικές Απώλειες	28.32

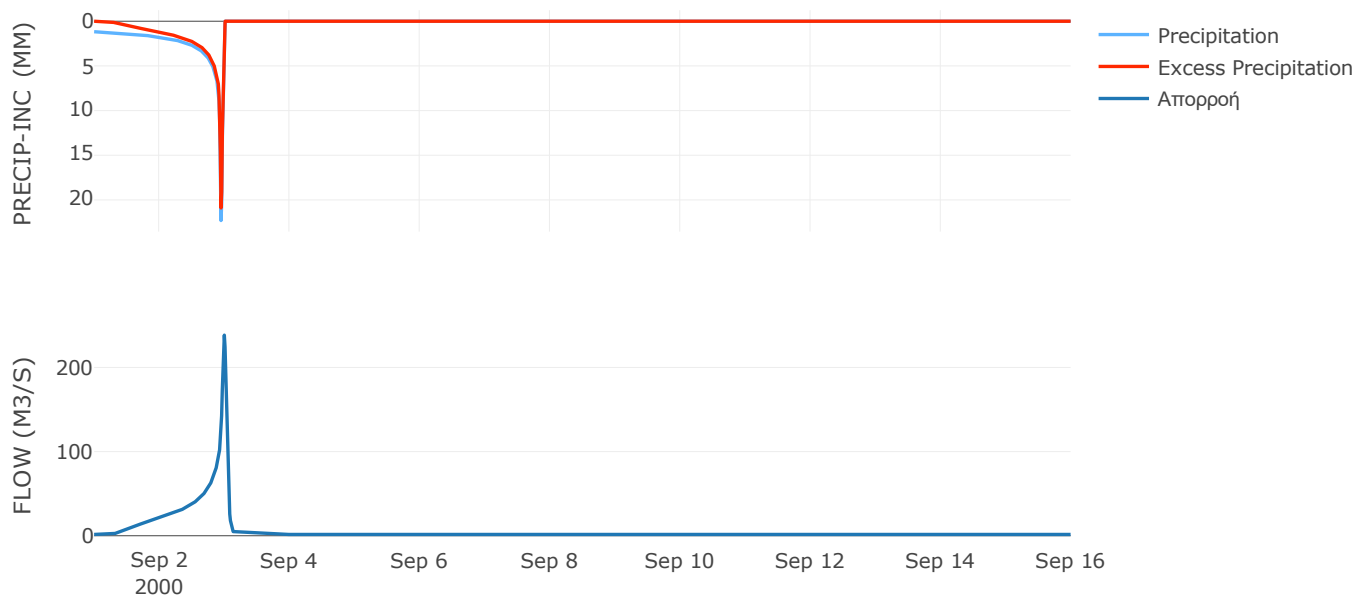
Μέθοδος
Μετασχηματισμού: SCS

Χρόνος Υστέρησης	55.81
------------------	-------

Αποτελέσματα:
EL0513FR7026

Παροχή αιχμής (M3/S)	238.45
Χρονική στιγμή αιχμής	02Sep2000, 24:00
Όγκος (MM)	504.52
Όγκος βροχόπτωσης (M3)	7.96E6
Όγκος απωλειών (M3)	2.14E6
Ενεργός Όγκος (M3)	5.82E6
Όγκος άμεσης απορροής (M3)	5.82E6
Όγκος βασικής απορροής (M3)	2.01E6

Βροχόπτωση και Απορροή



Υπολεκάνη: EL0513FR7027

Έκταση (KM2) : 34.03

Κατάντη : J9

Μέθοδος Απωλειών: SCS

Ποσοστό αδιαπέρατης επιφάνειας	0
Αριθμός Καμπύλης Απορροής-CN	46.76
Αρχικές Απώλειες	57.85

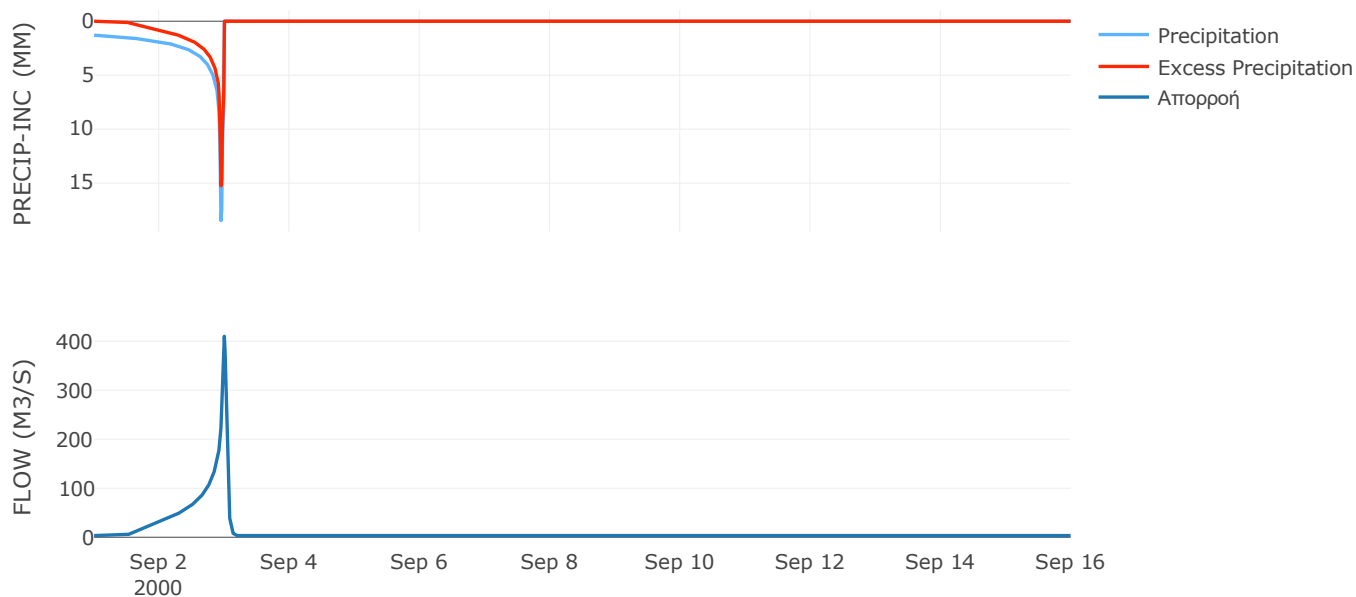
Μέθοδος
Μετασχηματισμού: SCS

Χρόνος Υστέρησης	52.52
------------------	-------

Αποτελέσματα:
EL0513FR7027

Παροχή αιχμής (M3/S)	410.03
Χρονική στιγμή αιχμής	02Sep2000, 24:00
Όγκος (MM)	410.3
Όγκος βροχόπτωσης (M3)	1.76E7
Όγκος απωλειών (M3)	8E6
Ενεργός Όγκος (M3)	9.55E6
Όγκος άμεσης απορροής (M3)	9.55E6
Όγκος βασικής απορροής (M3)	4.41E6

Βροχόπτωση και Απορροή



Υπολεκάνη: EL0513FR7028

Έκταση (KM2) : 71.91

Κατάντη : J13

Μέθοδος Απωλειών: SCS

Ποσοστό αδιαπέρατης επιφάνειας	0
Αριθμός Καμπύλης Απορροής-CN	45.15
Αρχικές Απώλειες	61.72

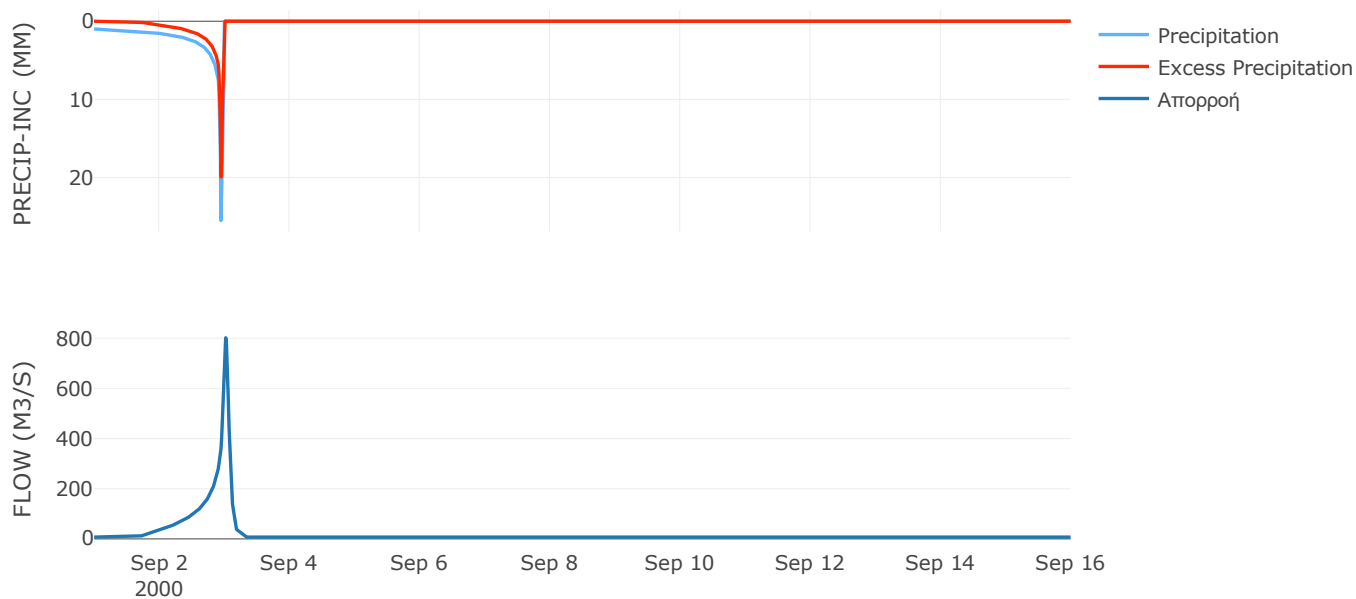
Μέθοδος
Μετασχηματισμού: SCS

Χρόνος Υστέρησης	93.82
------------------	-------

Αποτελέσματα:
EL0513FR7028

Παροχή αιχμής (M3/S)	801.67
Χρονική στιγμή αιχμής	03Sep2000, 00:30
Όγκος (MM)	370.53
Όγκος βροχόπτωσης (M3)	3.45E7
Όγκος απωλειών (M3)	1.72E7
Ενεργός Όγκος (M3)	1.73E7
Όγκος άμεσης απορροής (M3)	1.73E7
Όγκος βασικής απορροής (M3)	9.32E6

Βροχόπτωση και Απορροή



Υπολεκάνη: EL0513FR7029

Έκταση (KM2) : 1.99

Κατάντη : J3

Μέθοδος Απωλειών: SCS

Ποσοστό αδιαπέρατης επιφάνειας	0
Αριθμός Καμπύλης Απορροής-CN	59.98
Αρχικές Απώλειες	33.9

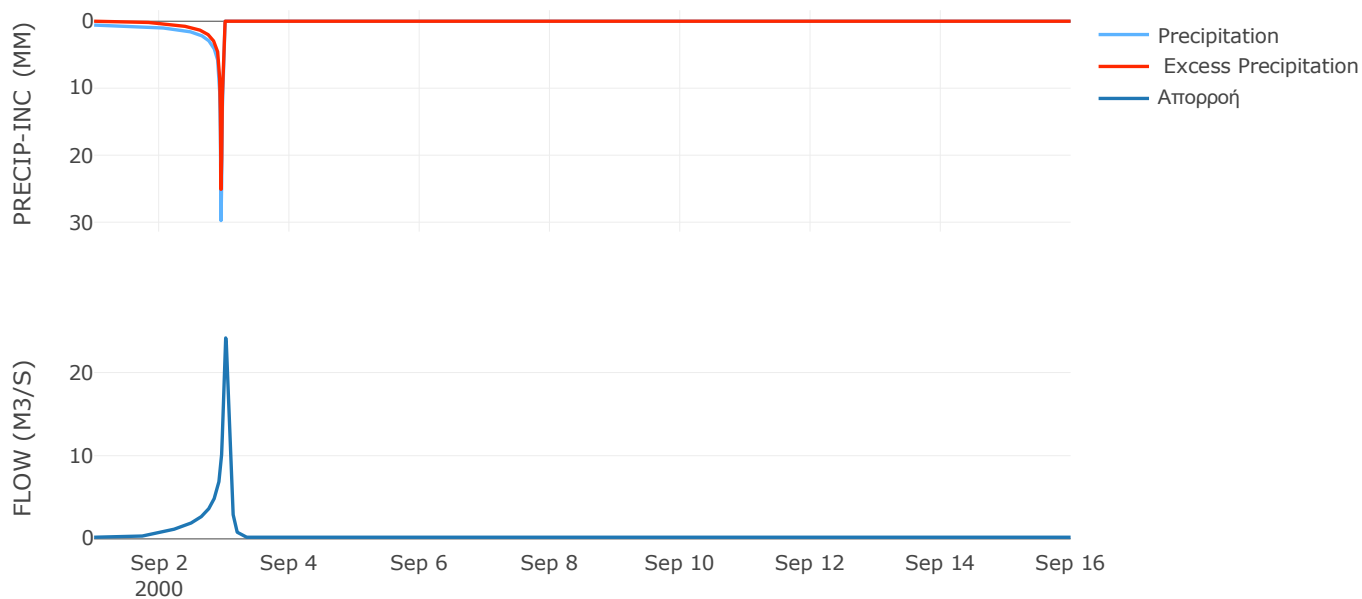
Μέθοδος
Μετασχηματισμού: SCS

Χρόνος Υστέρησης	90.78
------------------	-------

Αποτελέσματα:
EL0513FR7029

Παροχή αιχμής (M3/S)	24.15
Χρονική στιγμή αιχμής	03Sep2000, 00:30
Όγκος (MM)	344.6
Όγκος βροχόπτωσης (M3)	7.16E5
Όγκος απωλειών (M3)	2.89E5
Ενεργός Όγκος (M3)	4.27E5
Όγκος άμεσης απορροής (M3)	4.27E5
Όγκος βασικής απορροής (M3)	2.57E5

Βροχόπτωση και Απορροή



9.2 Δεδομένα και υδρογραφήματα σχεδιασμού Κλάδων υδρογραφικού δικτύου

Κλάδος: R21

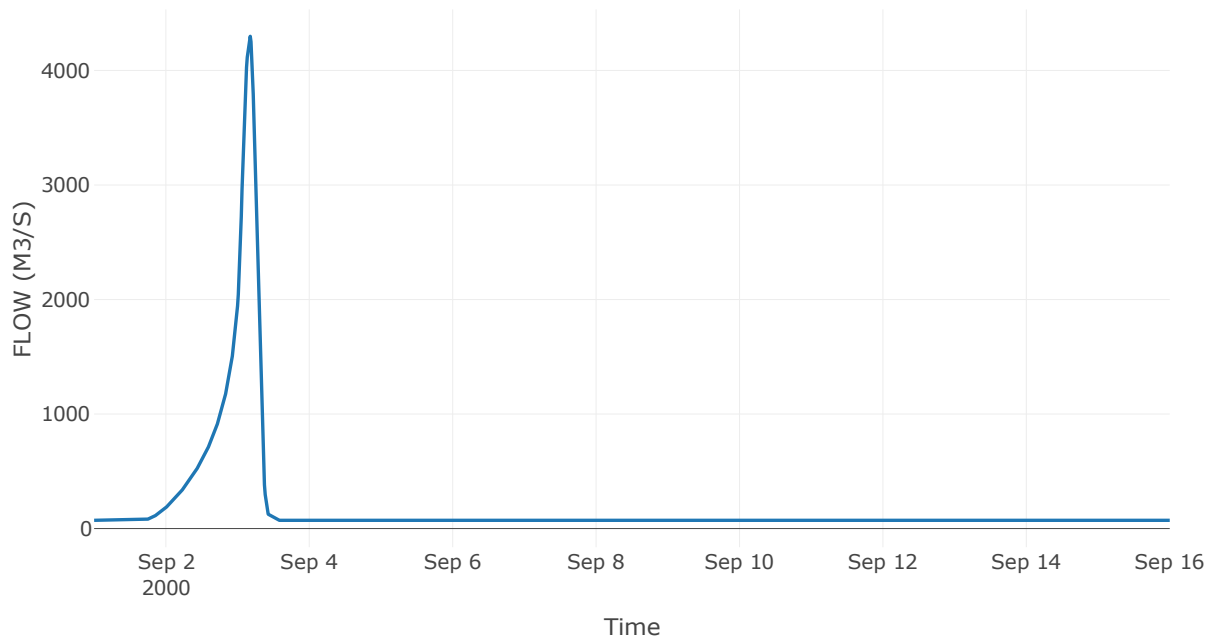
Κατάντη : J1

Μέθοδος Διόδευσης	Muskingum
Αρχική Μεταβλητή	Combined Inflow
Χρόνος Ροής K	1.51
Συντελεστής βάρους x	0.2
Πλήθος Υποκλάδων	7

Αποτελέσματα: R21

Παροχή αιχμής (M3/S)	4298.72
Χρονική στιγμή αιχμής	03Sep2000, 04:15
Όγκος (MM)	333.86
Παροχή Αιχμής Εισόδου (M3/S)	4381.03
Όγκος Εισροής (M3)	2.4E8

Απορροή



Κλάδος: R32

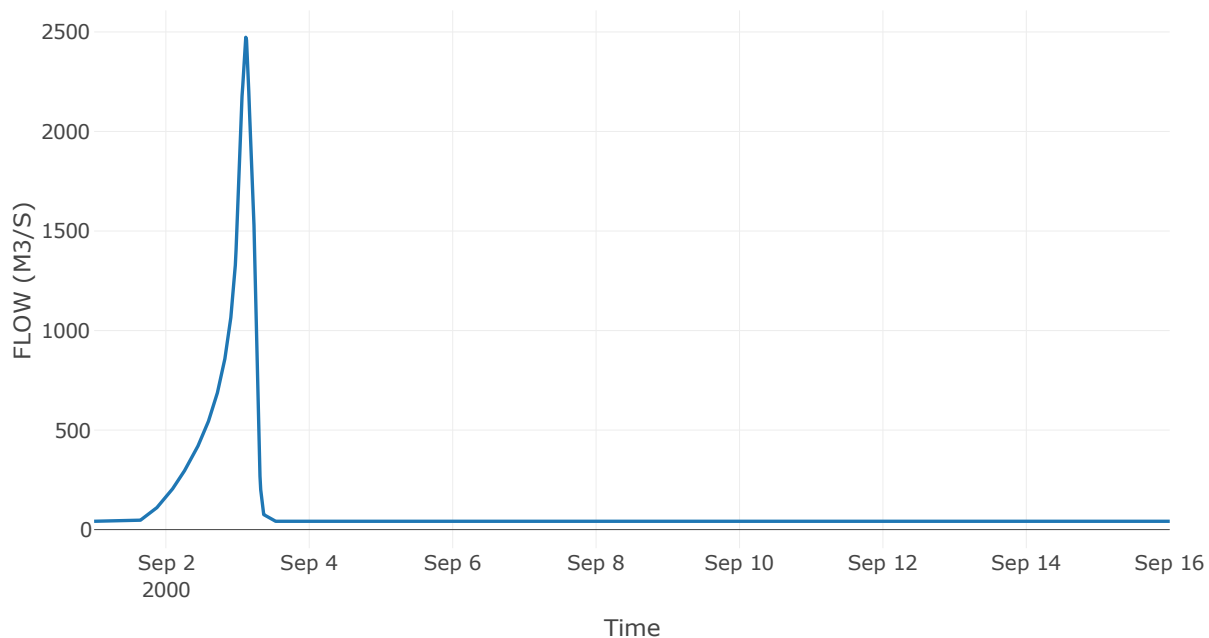
Κατάντη : J2

Μέθοδος Διόδευσης	Muskingum
Αρχική Μεταβλητή	Combined Inflow
Χρόνος Ροής K	0.75
Συντελεστής βάρους x	0.2
Πλήθος Υποκλάδων	4

Αποτελέσματα: R32

Παροχή αιχμής (M3/S)	2473.35
Χρονική στιγμή αιχμής	03Sep2000, 02:45
Όγκος (MM)	351.07
Παροχή Αιχμής Εισόδου (M3/S)	2508.92
Όγκος Εισροής (M3)	1.47E8

Απορροή



Κλάδος: R43

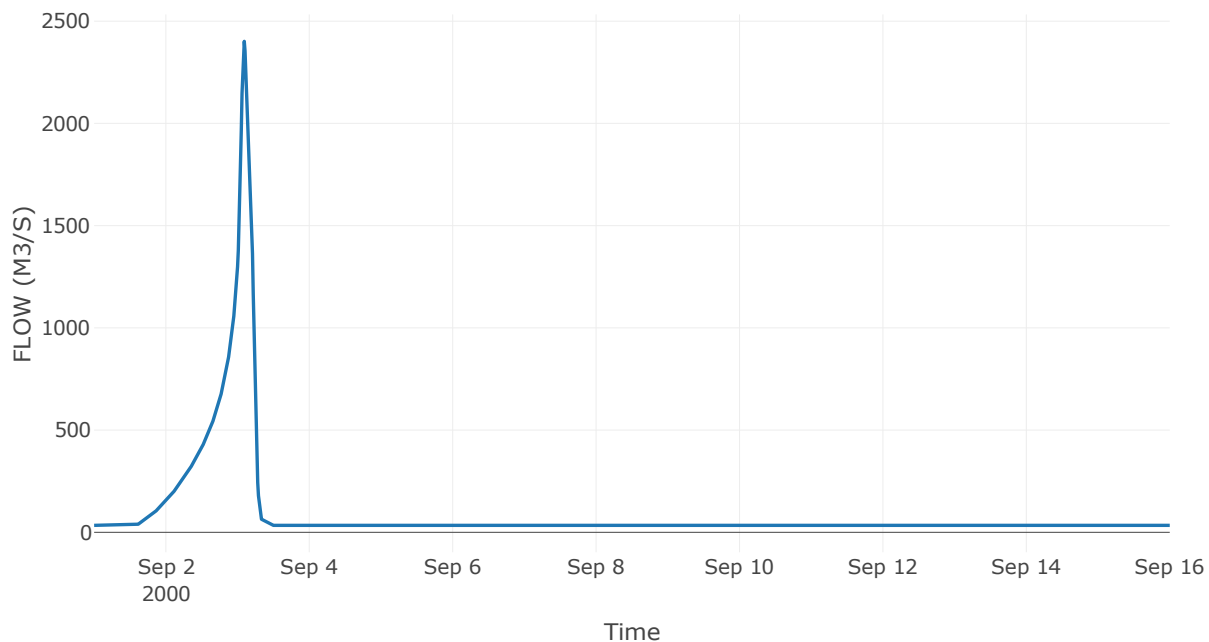
Κατάντη : J3

Μέθοδος Διόδευσης	Muskingum
Αρχική Μεταβλητή	Combined Inflow
Χρόνος Ροής K	1.81
Συντελεστής βάρους x	0.2
Πλήθος Υποκλάδων	9

Αποτελέσματα: R43

Παροχή αιχμής (M3/S)	2401.38
Χρονική στιγμή αιχμής	03Sep2000, 02:15
Όγκος (MM)	363.52
Παροχή Αιχμής Εισόδου (M3/S)	2561.23
Όγκος Εισροής (M3)	1.24E8

Απορροή



Κλάδος: R54

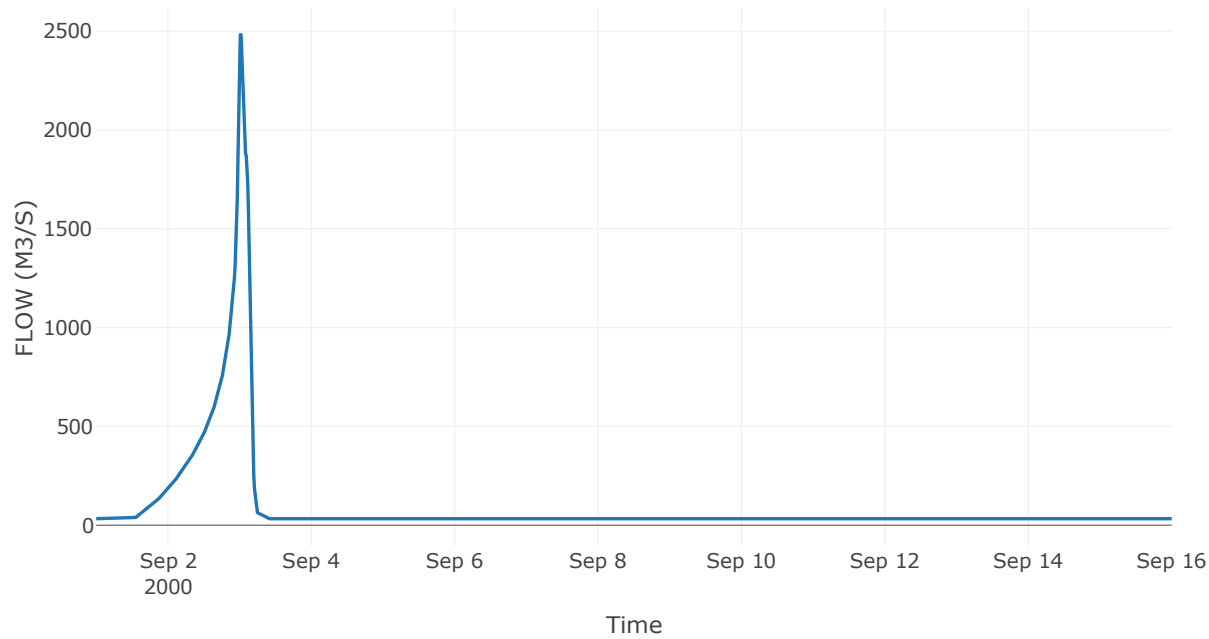
Κατάντη : J4

Μέθοδος Διόδευσης	Χρόνος
Αρχική Μεταβλητή	Combined Inflow
Χρόνος Υστέρησης	11

Αποτελέσματα: R54

Παροχή αιχμής (M3/S)	2481.93
Χρονική στιγμή αιχμής	03Sep2000, 00:15
Όγκος (MM)	368.39
Παροχή Αιχμής Εισόδου (M3/S)	2502.6
Όγκος Εισροής (M3)	1.21E8

Απορροή



Κλάδος: R65

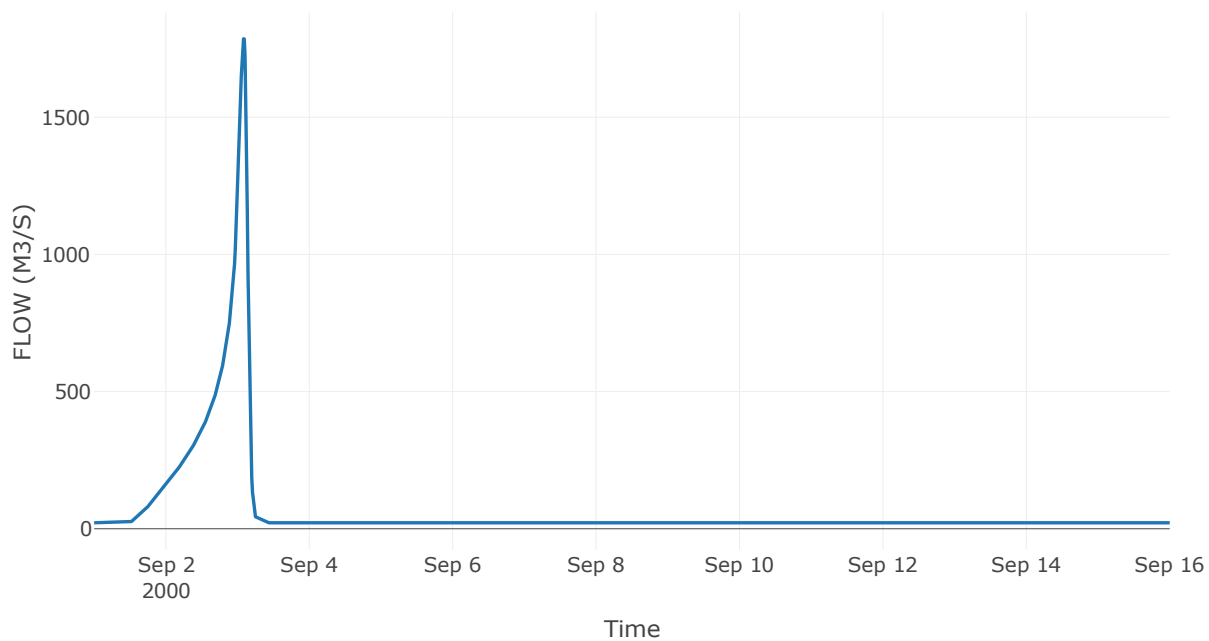
Κατάντη : J5

Μέθοδος Διόδευσης	Χρόνος
Αρχική Μεταβλητή	Combined Inflow
Χρόνος Υστέρησης	34.95

Αποτελέσματα: R65

Παροχή αιχμής (M3/S)	1786.03
Χρονική στιγμή αιχμής	03Sep2000, 02:00
Όγκος (MM)	405.33
Παροχή Αιχμής Εισόδου (M3/S)	1795.07
Όγκος Εισροής (M3)	8.8E7

Απορροή



Κλάδος: R76

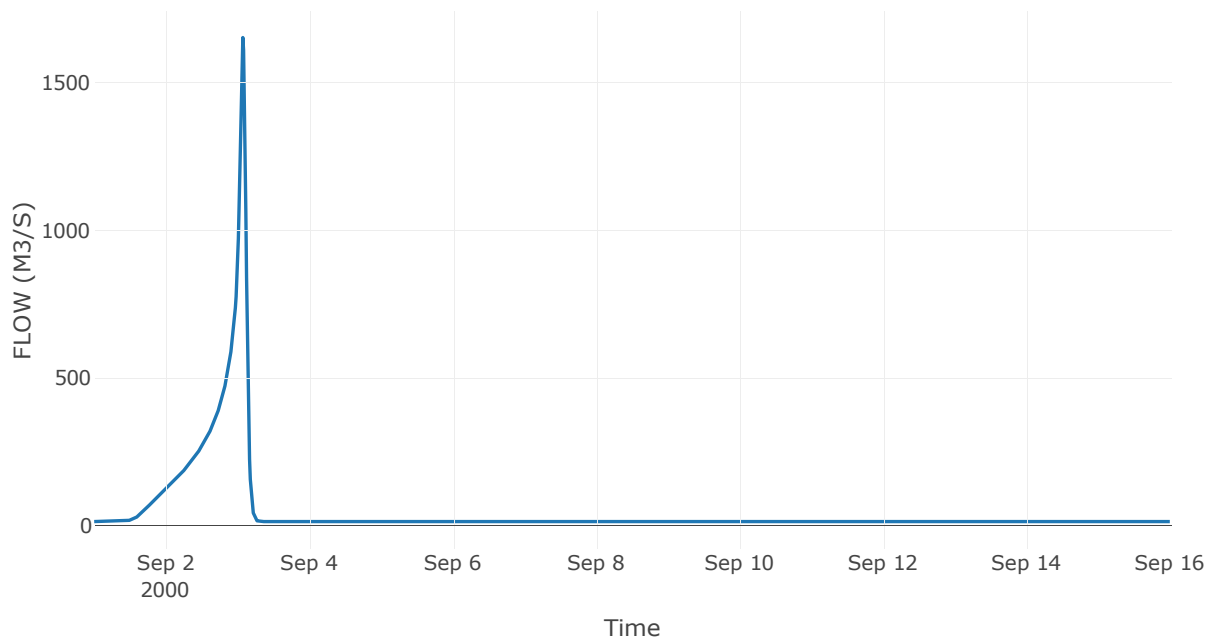
Κατάντη : J6

Μέθοδος Διόδευσης	Muskingum
Αρχική Μεταβλητή	Combined Inflow
Χρόνος Ροής K	1.37
Συντελεστής βάρους x	0.2
Πλήθος Υποκλάδων	7

Αποτελέσματα: R76

Παροχή αιχμής (M3/S)	1653.35
Χρονική στιγμή αιχμής	03Sep2000, 01:45
Όγκος (MM)	424.12
Παροχή Αιχμής Εισόδου (M3/S)	1777.92
Όγκος Εισροής (M3)	6.45E7

Απορροή



Κλάδος: R87

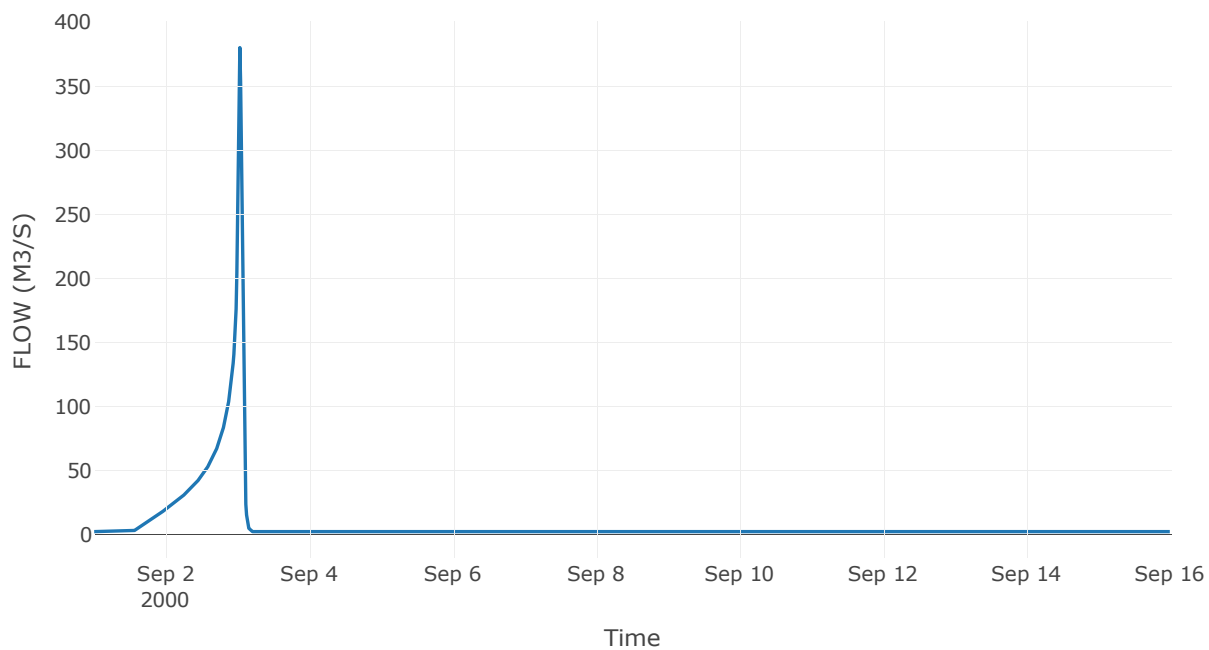
Κατάντη : J7

Μέθοδος Διόδευσης	Χρόνος
Αρχική Μεταβλητή	Combined Inflow
Χρόνος Υστέρησης	58.13

Αποτελέσματα: R87

Παροχή αιχμής (M3/S)	380.02
Χρονική στιγμή αιχμής	03Sep2000, 00:45
Όγκος (MM)	427.1
Παροχή Αιχμής Εισόδου (M3/S)	383.03
Όγκος Εισροής (M3)	1.07E7

Απορροή



Κλάδος: R97

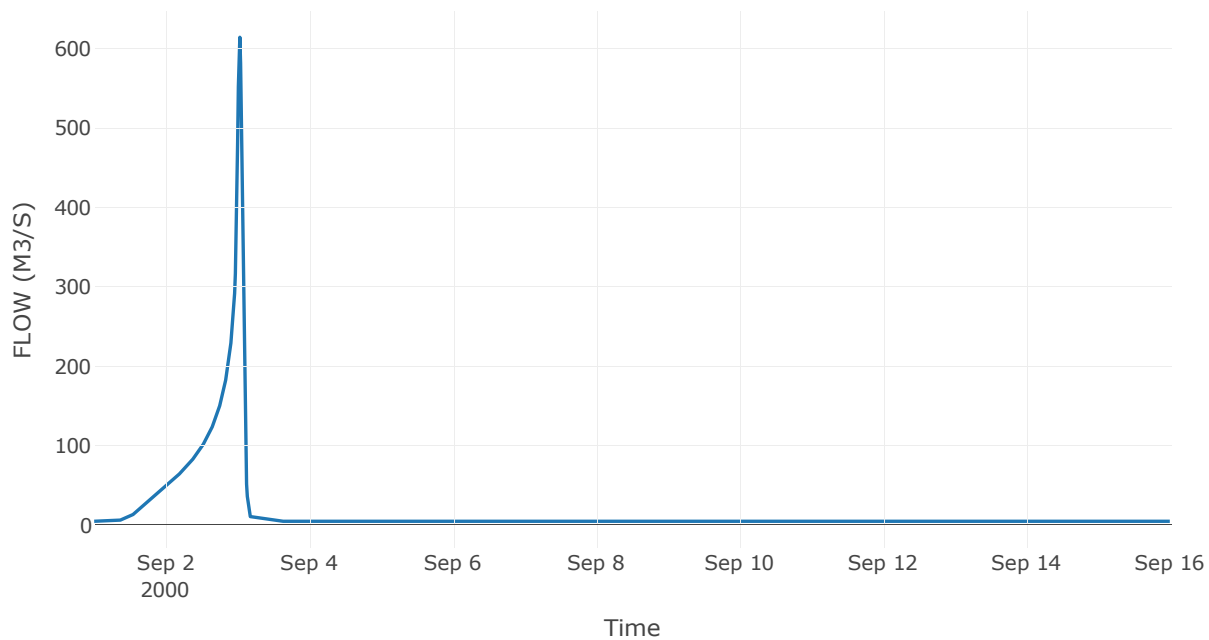
Κατάντη : J7

Μέθοδος Διόδευσης	Muskingum
Αρχική Μεταβλητή	Combined Inflow
Χρόνος Ροής K	0.78
Συντελεστής βάρους x	0.2
Πλήθος Υποκλάδων	4

Αποτελέσματα: R97

Παροχή αιχμής (M3/S)	614.11
Χρονική στιγμή αιχμής	03Sep2000, 00:45
Όγκος (MM)	439.81
Παροχή Αιχμής Εισόδου (M3/S)	648.49
Όγκος Εισροής (M3)	2.18E7

Απορροή



Κλάδος: R105

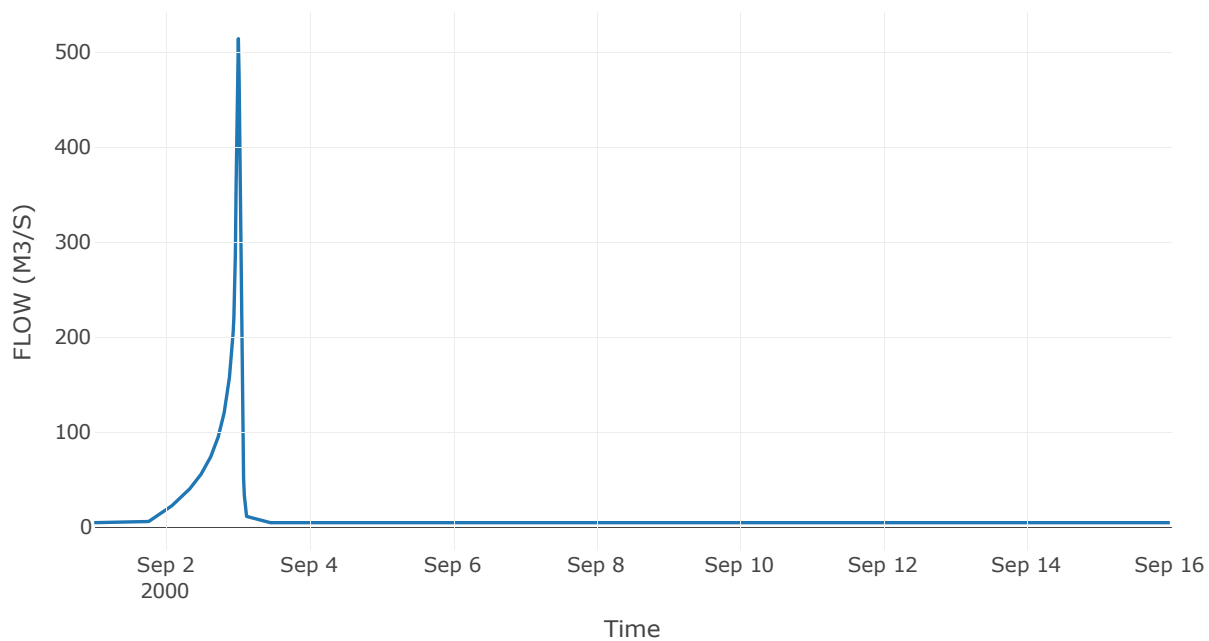
Κατάντη : J5

Μέθοδος Διόδευσης	Χρόνος
Αρχική Μεταβλητή	Combined Inflow
Χρόνος Υστέρησης	28.83

Αποτελέσματα: R105

Παροχή αιχμής (M3/S)	514.06
Χρονική στιγμή αιχμής	03Sep2000, 00:15
Όγκος (MM)	340.35
Παροχή Αιχμής Εισόδου (M3/S)	518.79
Όγκος Εισροής (M3)	1.46E7

Απορροή



Κλάδος: R1112

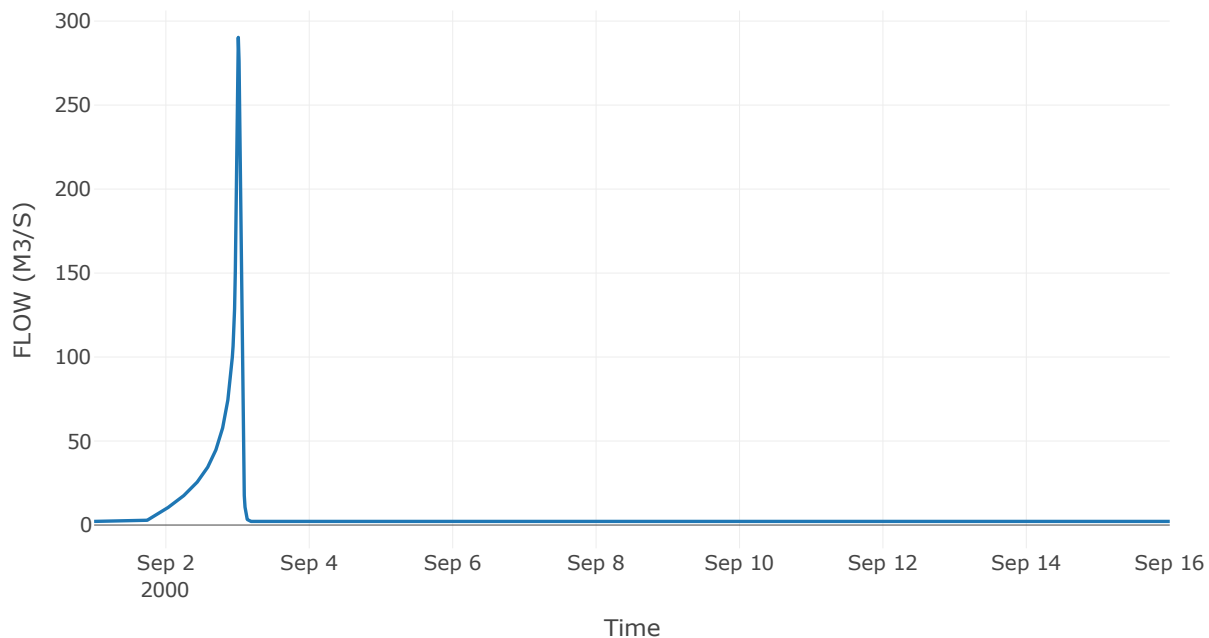
Κατάντη : J12

Μέθοδος Διόδευσης	Muskingum
Αρχική Μεταβλητή	Combined Inflow
Χρόνος Ροής Κ	0.64
Συντελεστής βάρους α	0.2
Πλήθος Υποκλάδων	3

Αποτελέσματα: R1112

Παροχή αιχμής (M3/S)	290.3
Χρονική στιγμή αιχμής	03Sep2000, 00:15
Όγκος (MM)	356.23
Παροχή Αιχμής Εισόδου (M3/S)	310.7
Όγκος Εισροής (M3)	7.66E6

Απορροή



Κλάδος: R1213

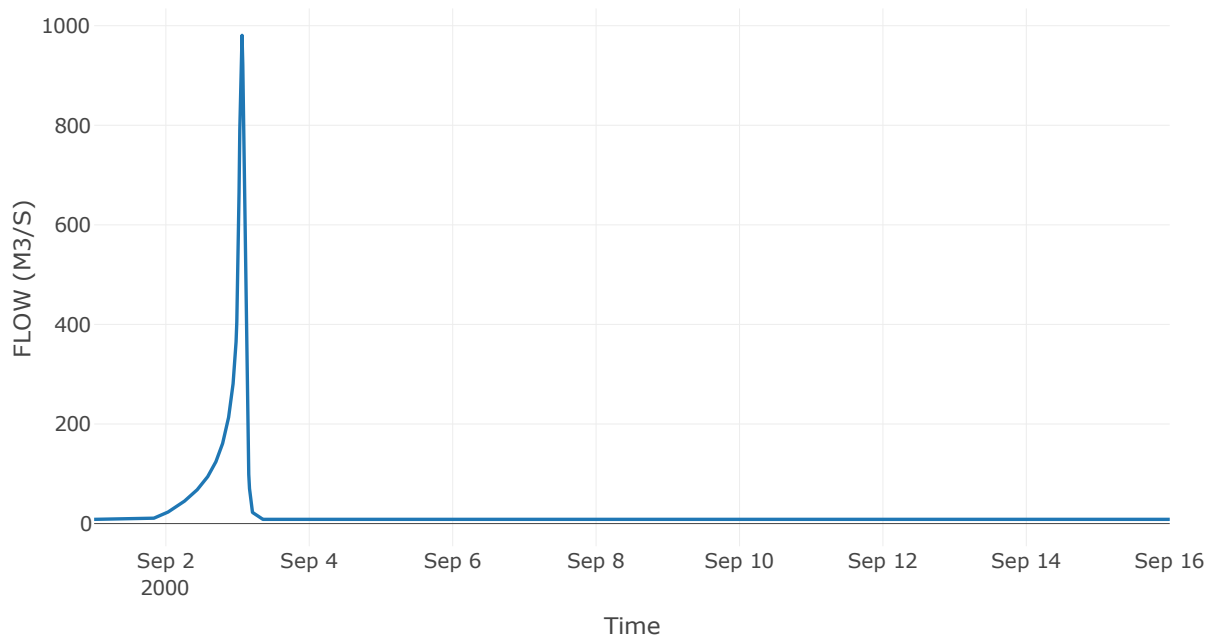
Κατάντη : J13

Μέθοδος Διόδευσης	Muskingum
Αρχική Μεταβλητή	Combined Inflow
Χρόνος Ροής K	1.29
Συντελεστής βάρους x	0.2
Πλήθος Υποκλάδων	6

Αποτελέσματα: R1213

Παροχή αιχμής (M3/S)	980.62
Χρονική στιγμή αιχμής	03Sep2000, 01:30
Όγκος (MM)	330.42
Παροχή Αιχμής Εισόδου (M3/S)	1081.7
Όγκος Εισροής (M3)	2.8E7

Απορροή



Κλάδος: R1314

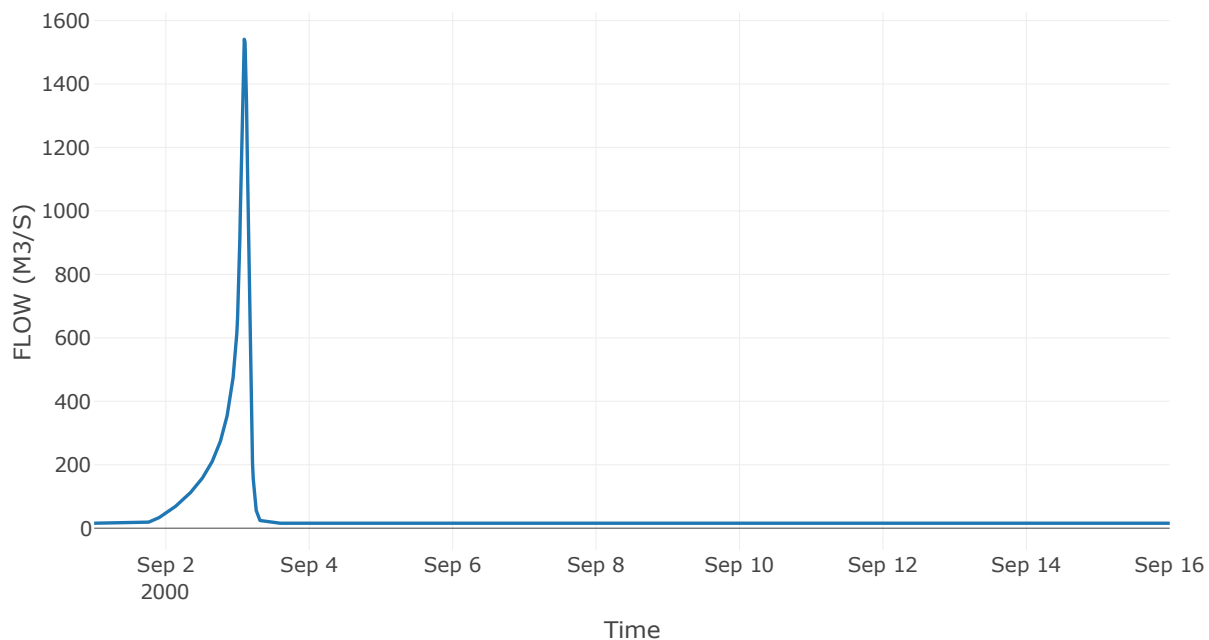
Κατάντη : J14

Μέθοδος Διόδευσης	Muskingum
Αρχική Μεταβλητή	Combined Inflow
Χρόνος Ροής K	1.31
Συντελεστής βάρους x	0.2
Πλήθος Υποκλάδων	6

Αποτελέσματα: R1314

Παροχή αιχμής (M3/S)	1541.27
Χρονική στιγμή αιχμής	03Sep2000, 02:15
Όγκος (MM)	348.85
Παροχή Αιχμής Εισόδου (M3/S)	1629.42
Όγκος Εισροής (M3)	5.46E7

Απορροή



Κλάδος: R1415

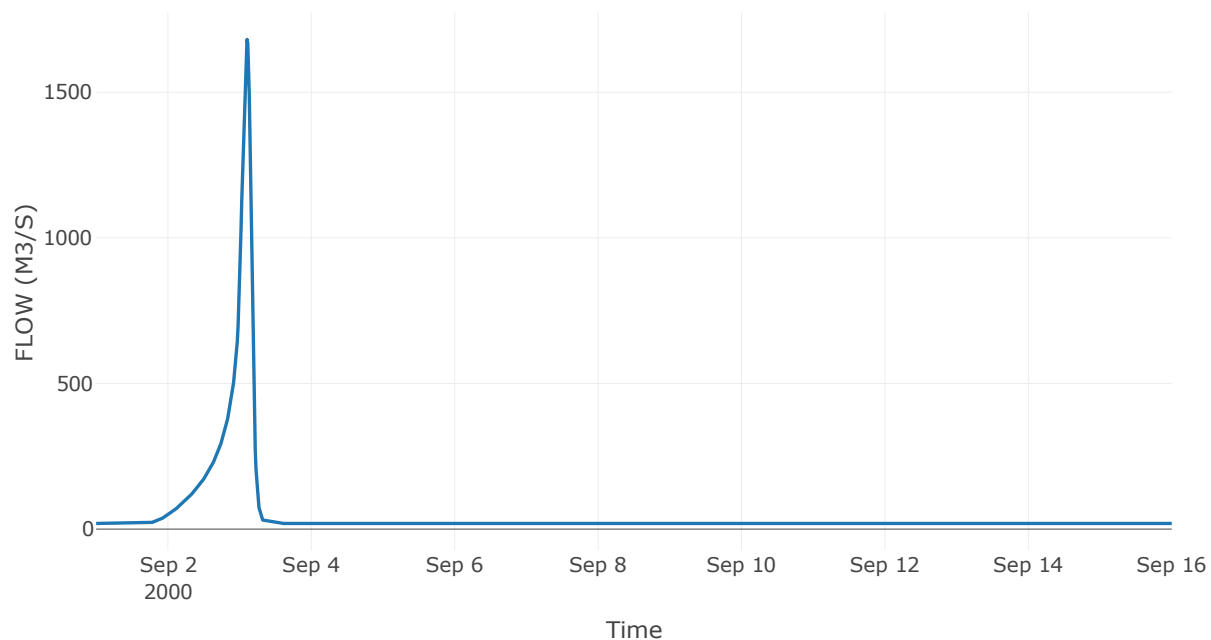
Κατάντη : J15

Μέθοδος Διόδευσης	Muskingum
Αρχική Μεταβλητή	Combined Inflow
Χρόνος Ροής K	0.4
Συντελεστής βάρους x	0.2
Πλήθος Υποκλάδων	2

Αποτελέσματα: R1415

Παροχή αιχμής (M3/S)	1681.03
Χρονική στιγμή αιχμής	03Sep2000, 02:30
Όγκος (MM)	339.46
Παροχή Αιχμής Εισόδου (M3/S)	1696.39
Όγκος Εισροής (M3)	6.56E7

Απορροή



Κλάδος: R152

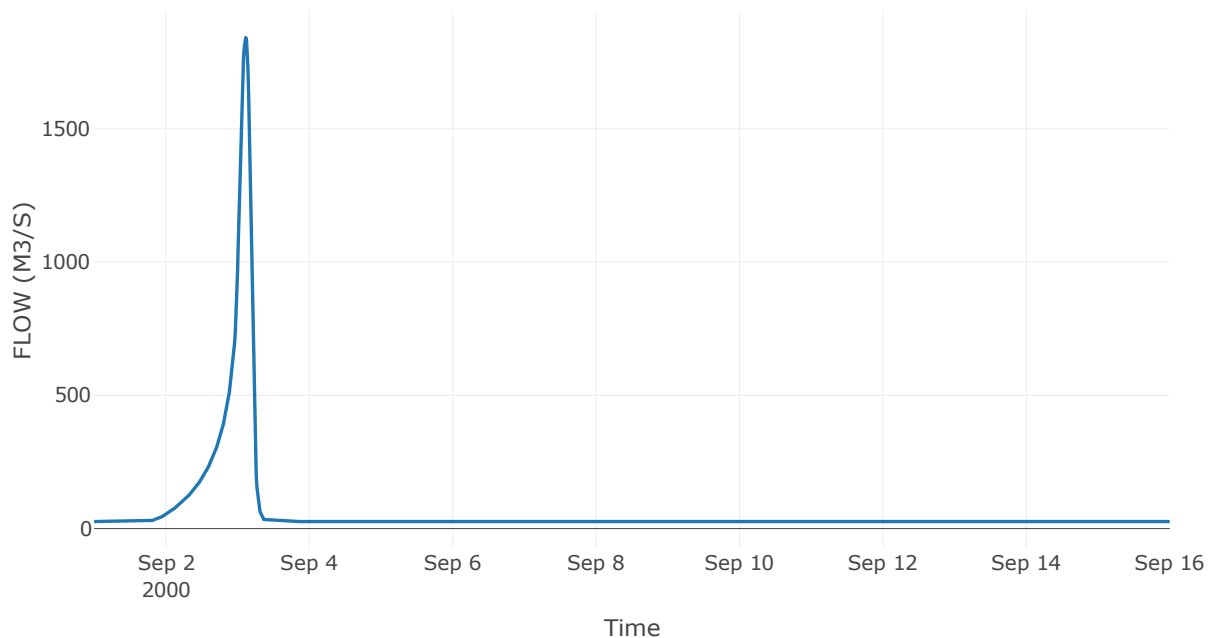
Κατάντη : J2

Μέθοδος Διόδευσης	Muskingum
Αρχική Μεταβλητή	Combined Inflow
Χρόνος Ροής K	0.61
Συντελεστής βάρους x	0.2
Πλήθος Υποκλάδων	3

Αποτελέσματα: R152

Παροχή αιχμής (M3/S)	1842.16
Χρονική στιγμή αιχμής	03Sep2000, 02:45
Όγκος (MM)	313.94
Παροχή Αιχμής Εισόδου (M3/S)	1853.72
Όγκος Εισροής (M3)	8.23E7

Απορροή



Κλάδος: R1615

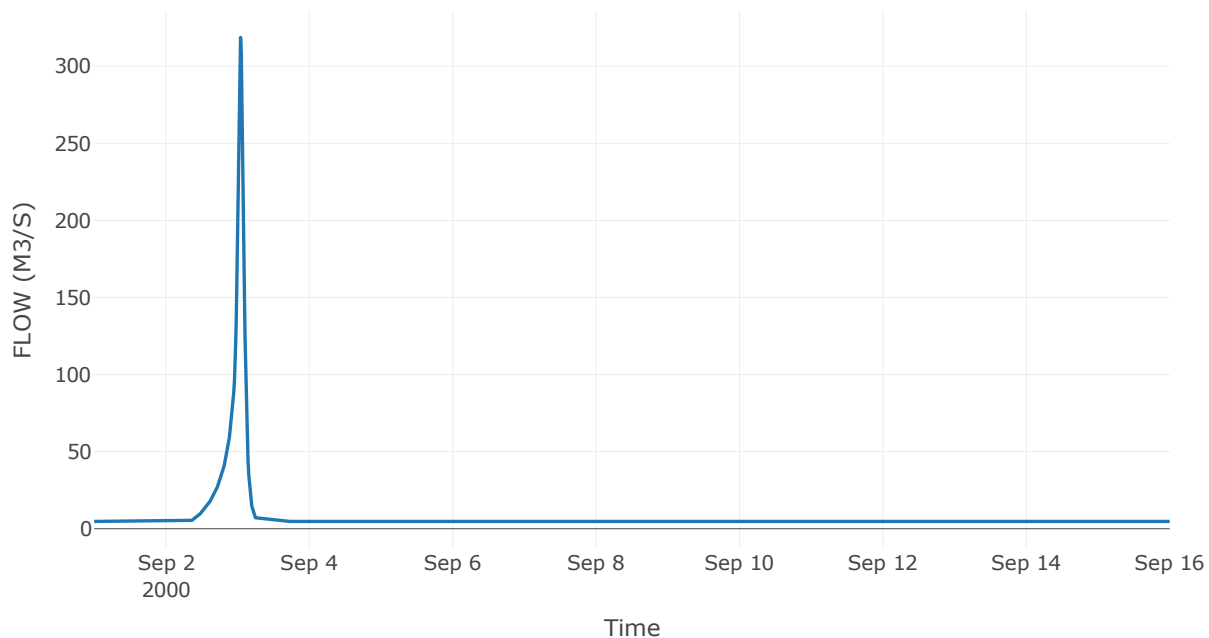
Κατάντη : J15

Μέθοδος Διόδευσης	Muskingum
Αρχική Μεταβλητή	Combined Inflow
Χρόνος Ροής K	0.6
Συντελεστής βάρους x	0.2
Πλήθος Υποκλάδων	3

Αποτελέσματα: R1615

Παροχή αιχμής (M3/S)	318.7
Χρονική στιγμή αιχμής	03Sep2000, 01:00
Όγκος (MM)	221.28
Παροχή Αιχμής Εισόδου (M3/S)	328.88
Όγκος Εισροής (M3)	1.04E7

Απορροή



Κλάδος: R173

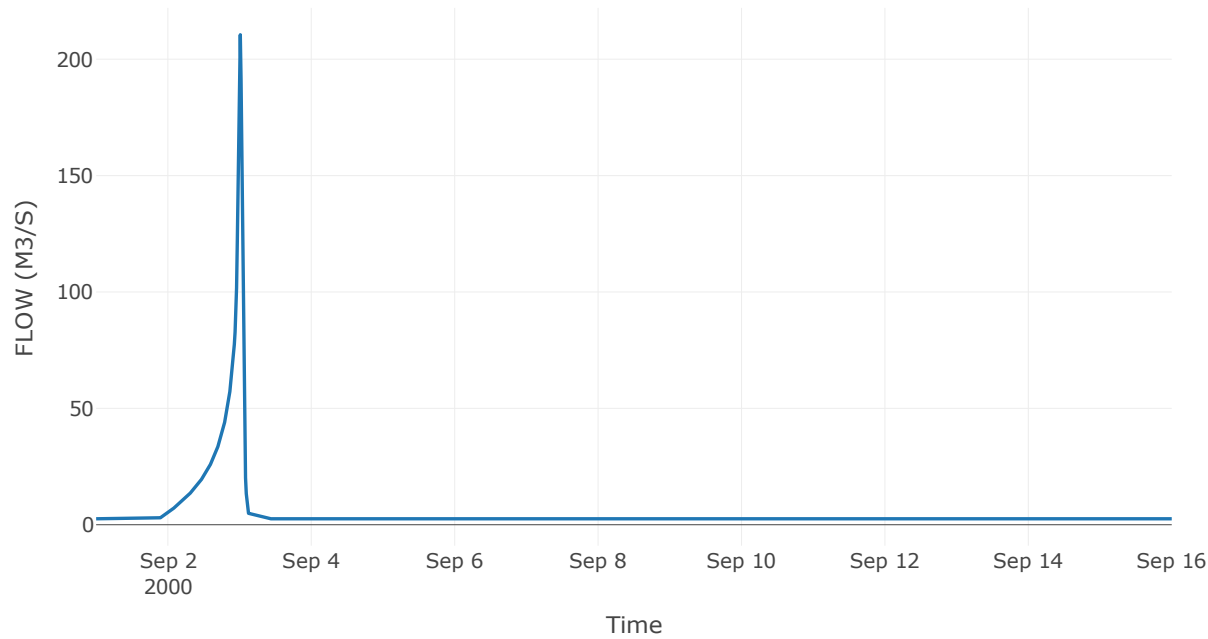
Κατάντη : J3

Μέθοδος Διόδευσης	Χρόνος
Αρχική Μεταβλητή	Combined Inflow
Χρόνος Υστέρησης	22.81

Αποτελέσματα: R173

Παροχή αιχμής (M3/S)	210.51
Χρονική στιγμή αιχμής	03Sep2000, 00:15
Όγκος (MM)	263.26
Παροχή Αιχμής Εισόδου (M3/S)	215.89
Όγκος Εισροής (M3)	6.73E6

Απορροή



Κλάδος: R183

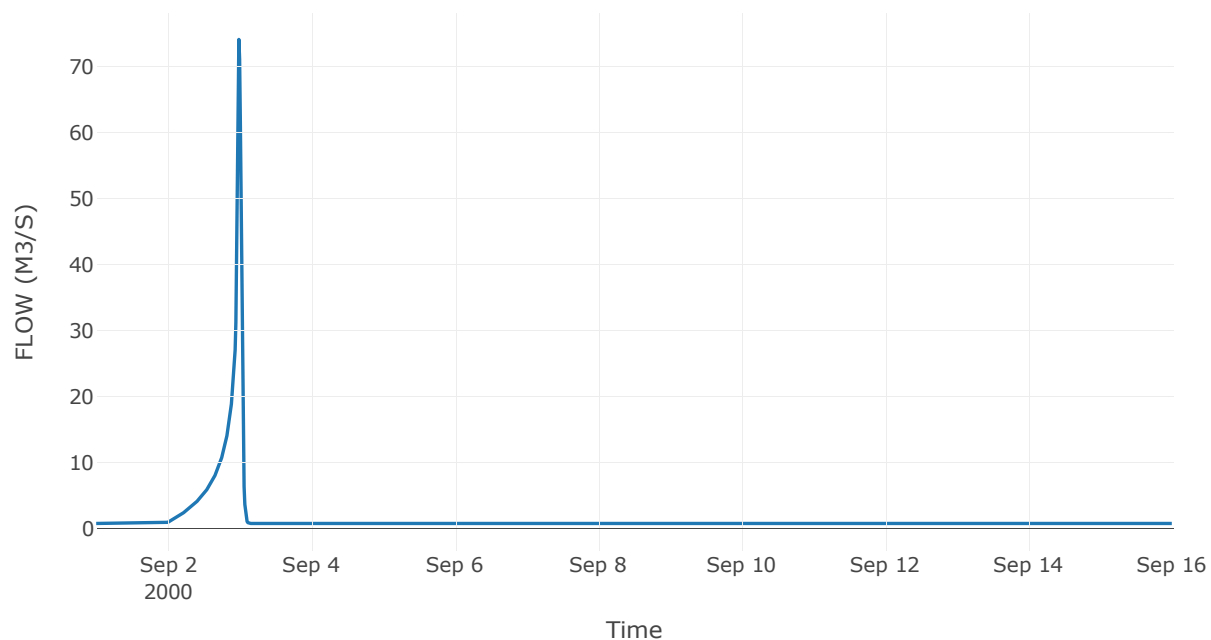
Κατάντη : J3

Μέθοδος Διόδευσης	Muskingum
Αρχική Μεταβλητή	Combined Inflow
Χρόνος Ροής K	0.29
Συντελεστής βάρους x	0.2
Πλήθος Υποκλάδων	1

Αποτελέσματα: R183

Παροχή αιχμής (M3/S)	74.1
Χρονική στιγμή αιχμής	02Sep2000, 23:45
Όγκος (MM)	249.38
Παροχή Αιχμής Εισόδου (M3/S)	79.15
Όγκος Εισροής (M3)	2E6

Απορροή



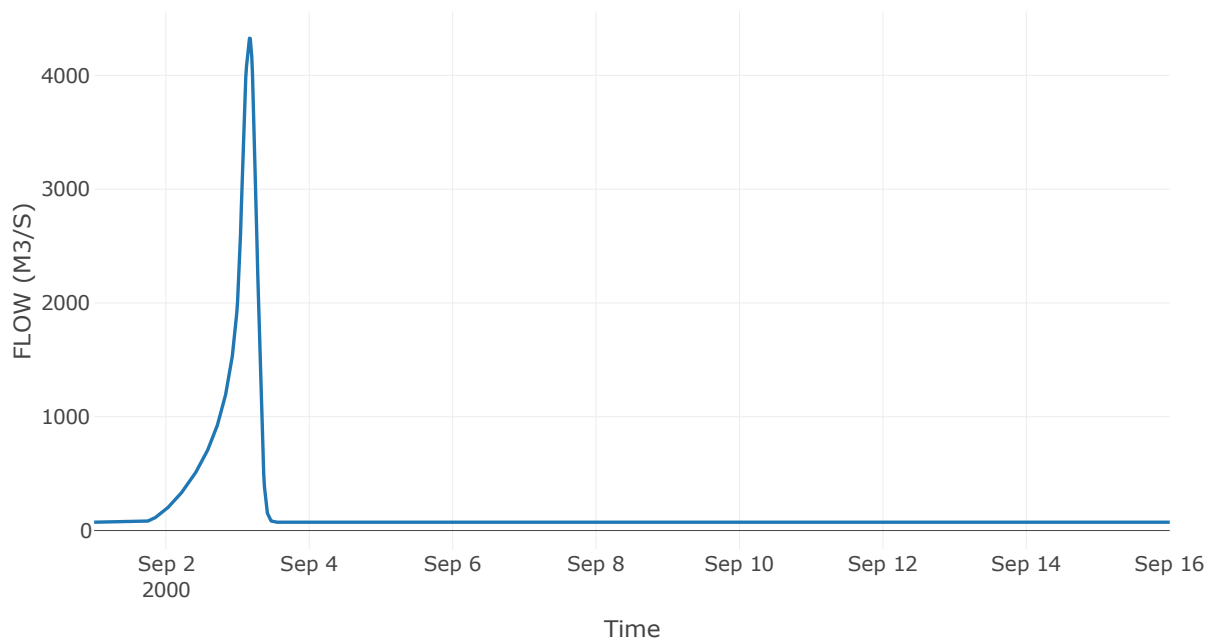
9.3 Δεδομένα και υδρογραφήματα σχεδιασμού Κόμβων υδρογραφικού δικτύου

Κόμβος εξόδου: J1

Αποτελέσμα
τα: J1

Παροχή αιχμής (M3/S)	4326.62
Χρονική στιγμή αιχμής	03Sep2000, 04:00
Όγκος (MM)	333.73

Απορροή



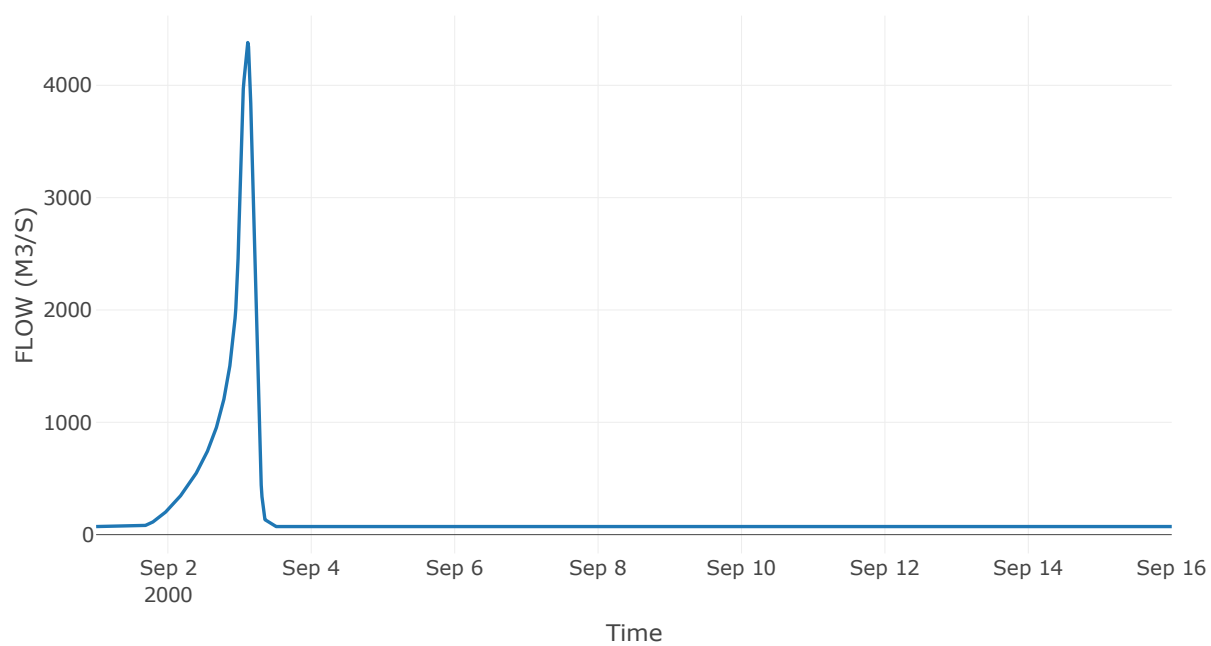
Κόμβος: J2

Κατάντη : R21

Αποτελέσματα: J2

Παροχή αιχμής (M3/S)	4381.03
Χρονική στιγμή αιχμής	03Sep2000, 02:45
Όγκος (MM)	333.86

Απορροή



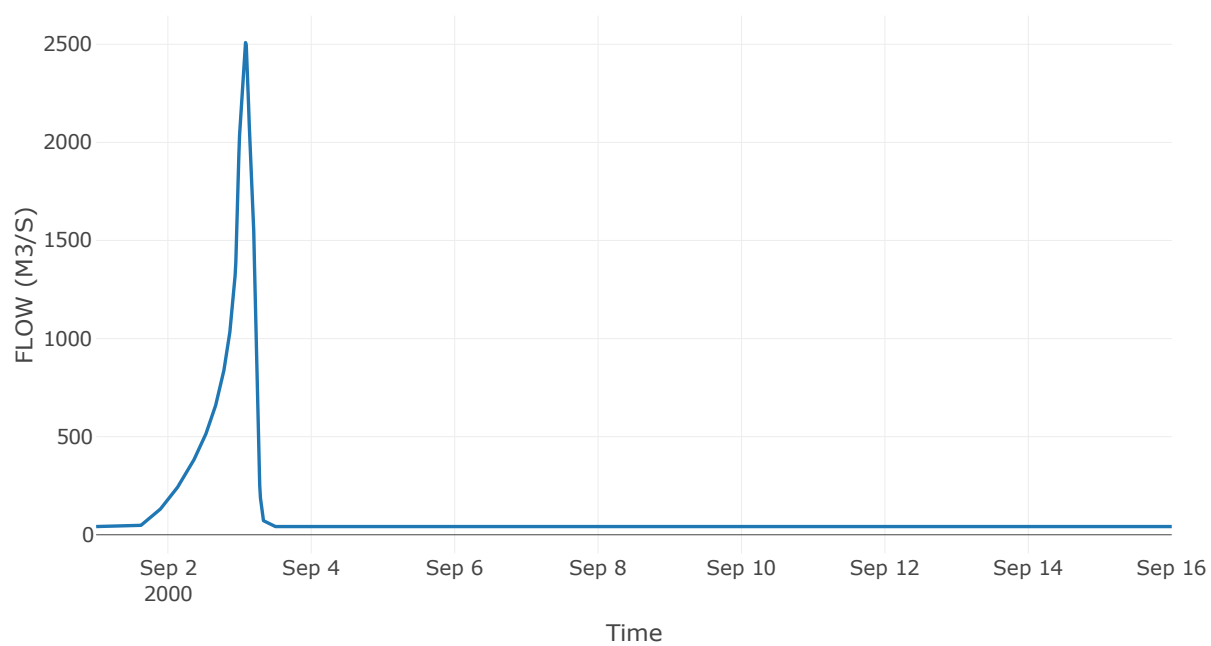
Κόμβος: J3

Κατάντη : R32

Αποτελέσματα: J3

Παροχή αιχμής (M3/S)	2508.92
Χρονική στιγμή αιχμής	03Sep2000, 02:00
Όγκος (MM)	351.07

Απορροή



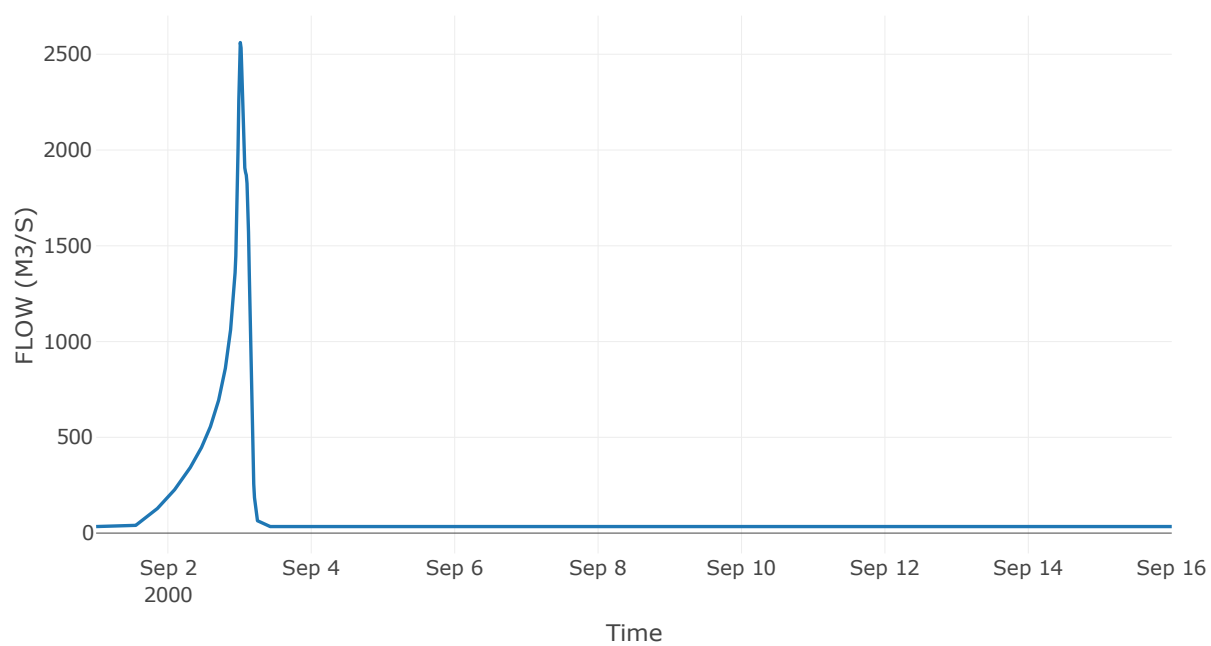
Κόμβος: J4

Κατάντη : R43

Αποτελέσματα: J4

Παροχή αιχμής (M3/S)	2561.23
Χρονική στιγμή αιχμής	03Sep2000, 00:15
Όγκος (MM)	363.52

Απορροή



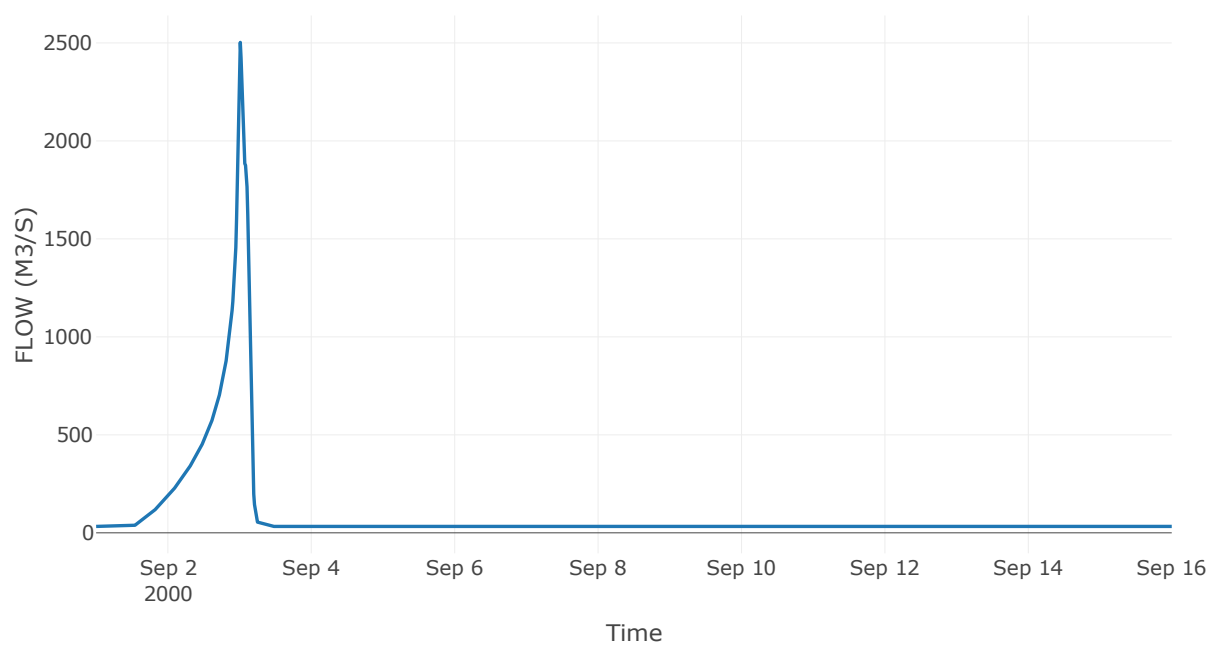
Κόμβος: J5

Κατάντη : R54

Αποτελέσματα: J5

Παροχή αιχμής (M3/S)	2502.6
Χρονική στιγμή αιχμής	03Sep2000, 00:15
Όγκος (MM)	368.39

Απορροή



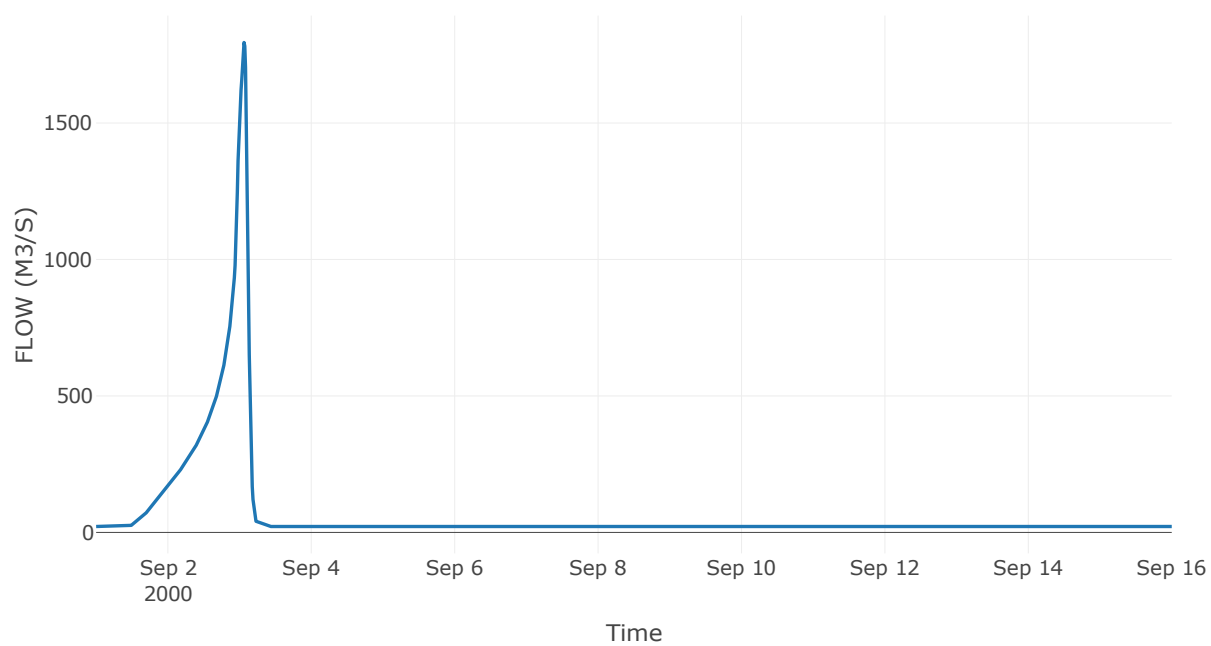
Κόμβος: J6

Κατάντη : R65

Αποτελέσματα: J6

Παροχή αιχμής (M3/S)	1795.07
Χρονική στιγμή αιχμής	03Sep2000, 01:30
Όγκος (MM)	405.33

Απορροή



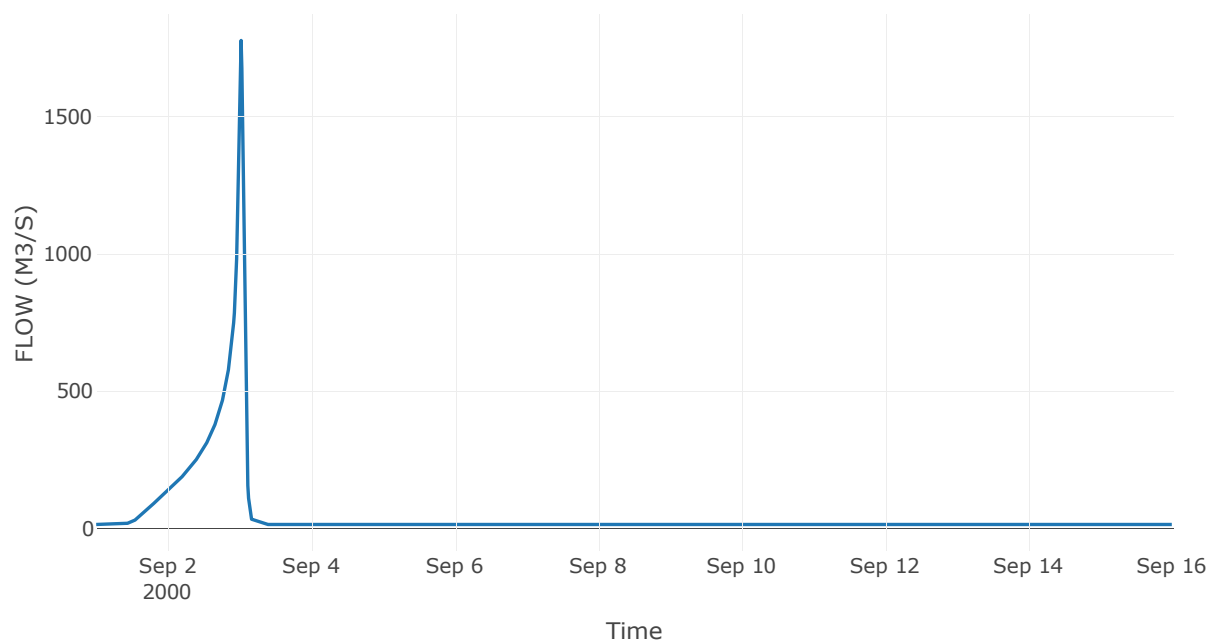
Κόμβος: J7

Κατάντη : R76

Αποτελέσματα: J7

Παροχή αιχμής (M3/S)	1777.92
Χρονική στιγμή αιχμής	03Sep2000, 00:30
Όγκος (MM)	424.12

Απορροή



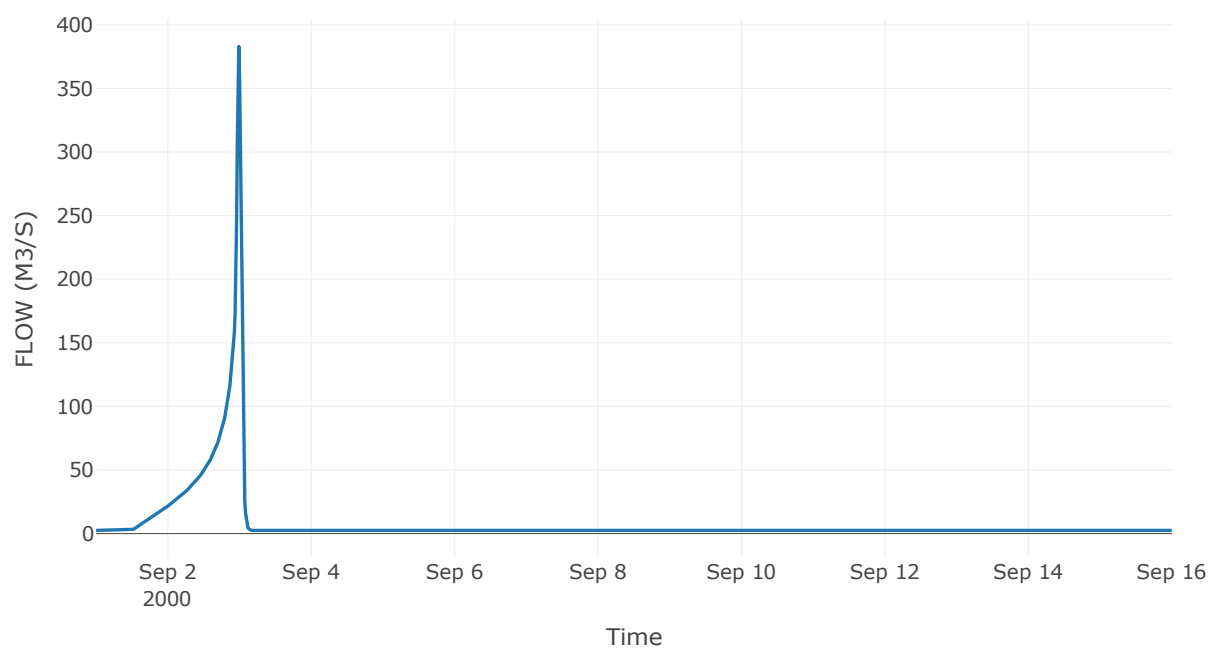
Κόμβος: J8

Κατάντη : R87

Αποτελέσματα: J8

Παροχή αιχμής (M3/S)	383.03
Χρονική στιγμή αιχμής	02Sep2000, 23:45
Όγκος (MM)	427.1

Απορροή



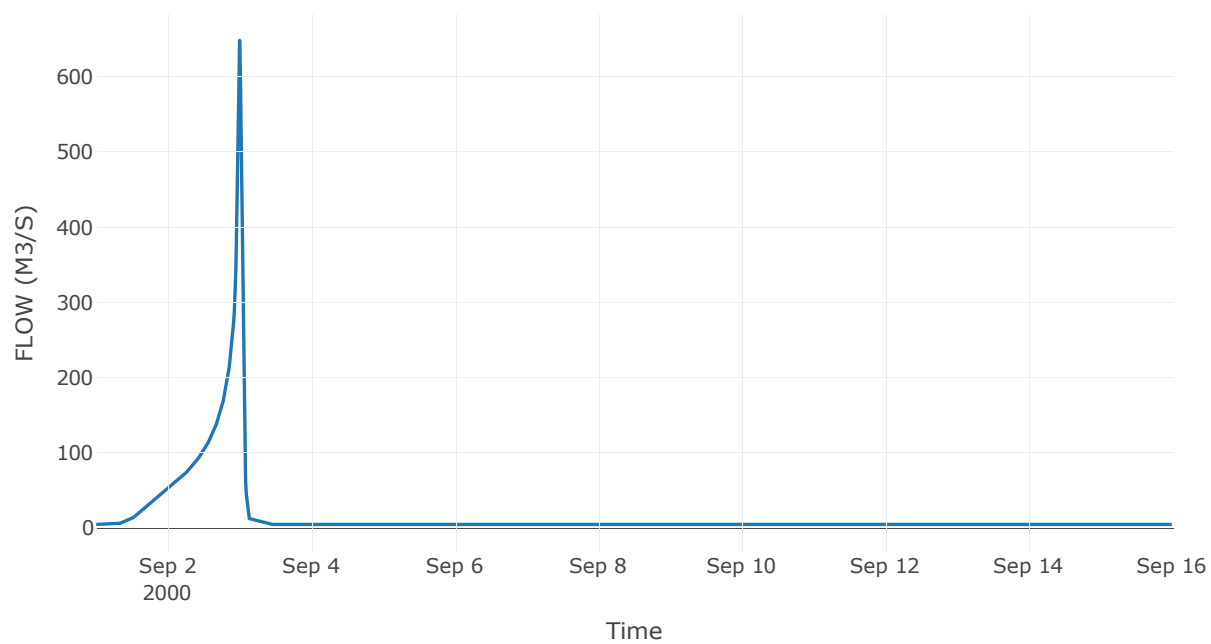
Κόμβος: J9

Κατάντη : R97

Αποτελέσματα: J9

Παροχή αιχμής (M3/S)	648.49
Χρονική στιγμή αιχμής	02Sep2000, 24:00
Όγκος (MM)	439.81

Απορροή



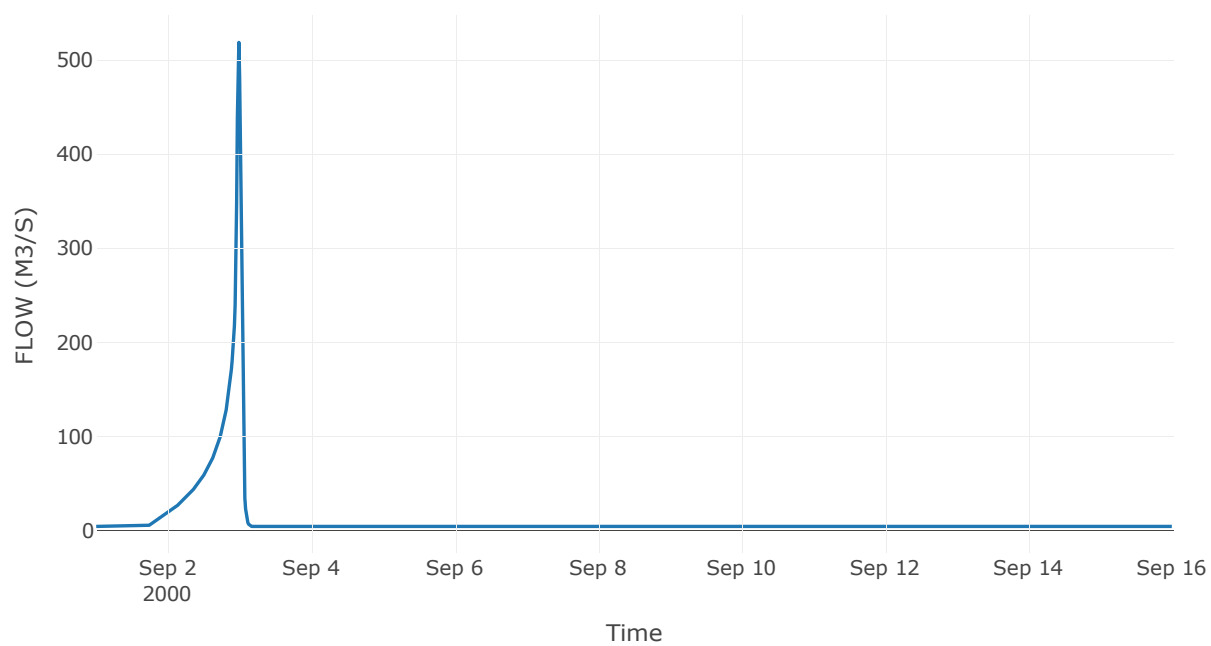
Κόμβος: J10

Κατάντη : R105

Αποτελέσματα: J10

Παροχή αιχμής (M3/S)	518.79
Χρονική στιγμή αιχμής	02Sep2000, 23:45
Όγκος (MM)	340.35

Απορροή



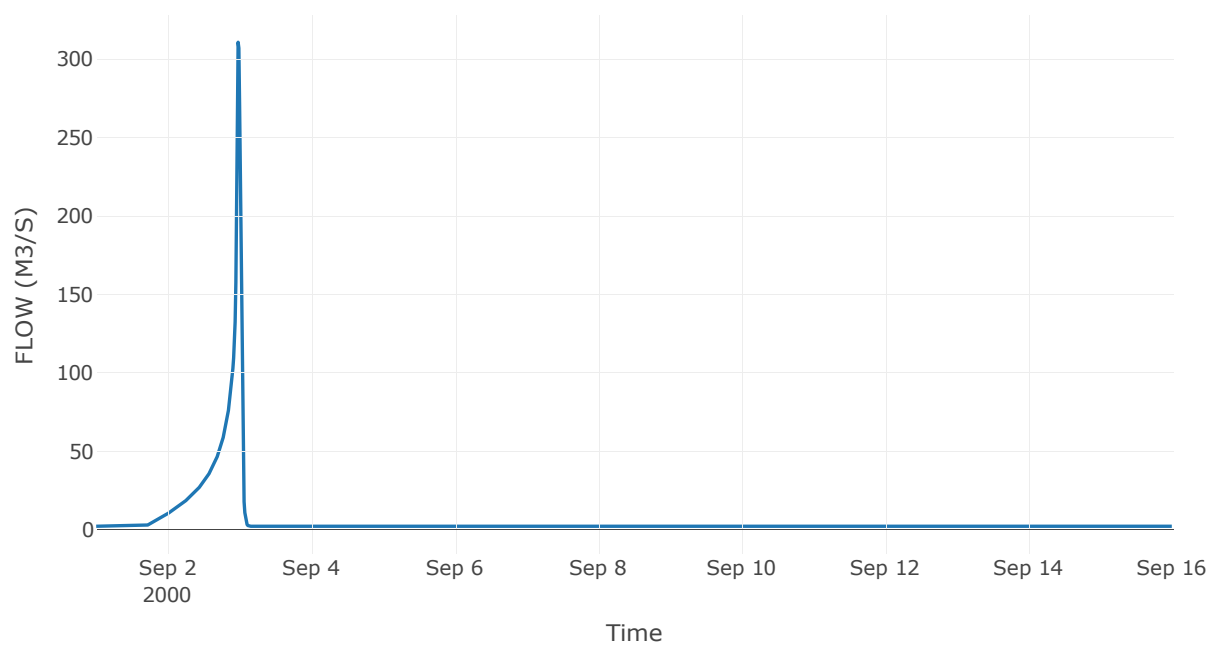
Κόμβος: J11

Κατάντη : R1112

Αποτελέσματα: J11

Παροχή αιχμής (M3/S)	310.7
Χρονική στιγμή αιχμής	02Sep2000, 23:30
Όγκος (MM)	356.23

Απορροή



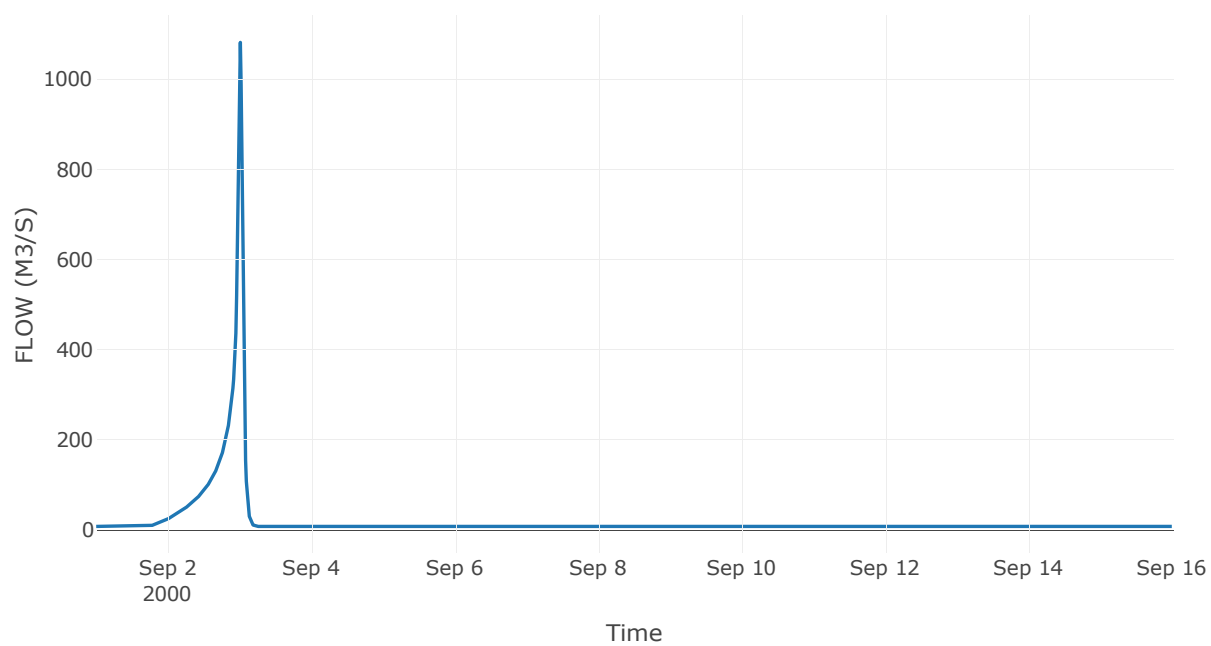
Κόμβος: J12

Κατάντη : R1213

Αποτελέσματα: J12

Παροχή αιχμής (M3/S)	1081.7
Χρονική στιγμή αιχμής	03Sep2000, 00:15
Όγκος (MM)	330.42

Απορροή



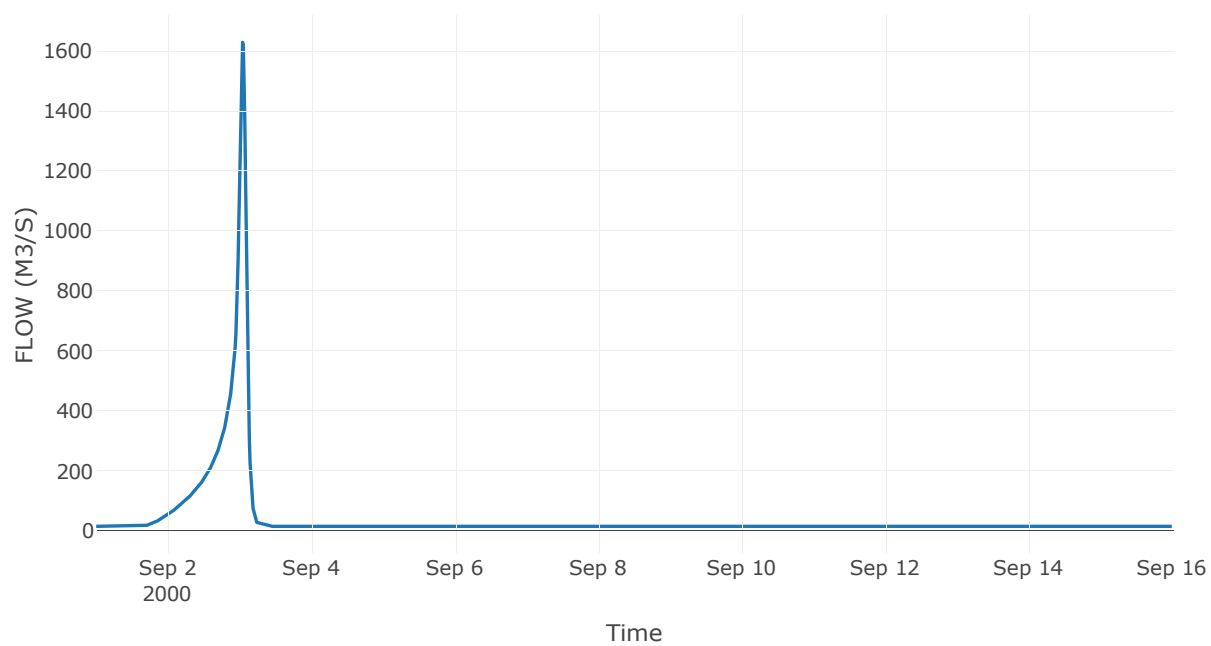
Κόμβος: J13

Κατάντη : R1314

Αποτελέσματα: J13

Παροχή αιχμής (M3/S)	1629.42
Χρονική στιγμή αιχμής	03Sep2000, 01:00
Όγκος (MM)	348.85

Απορροή



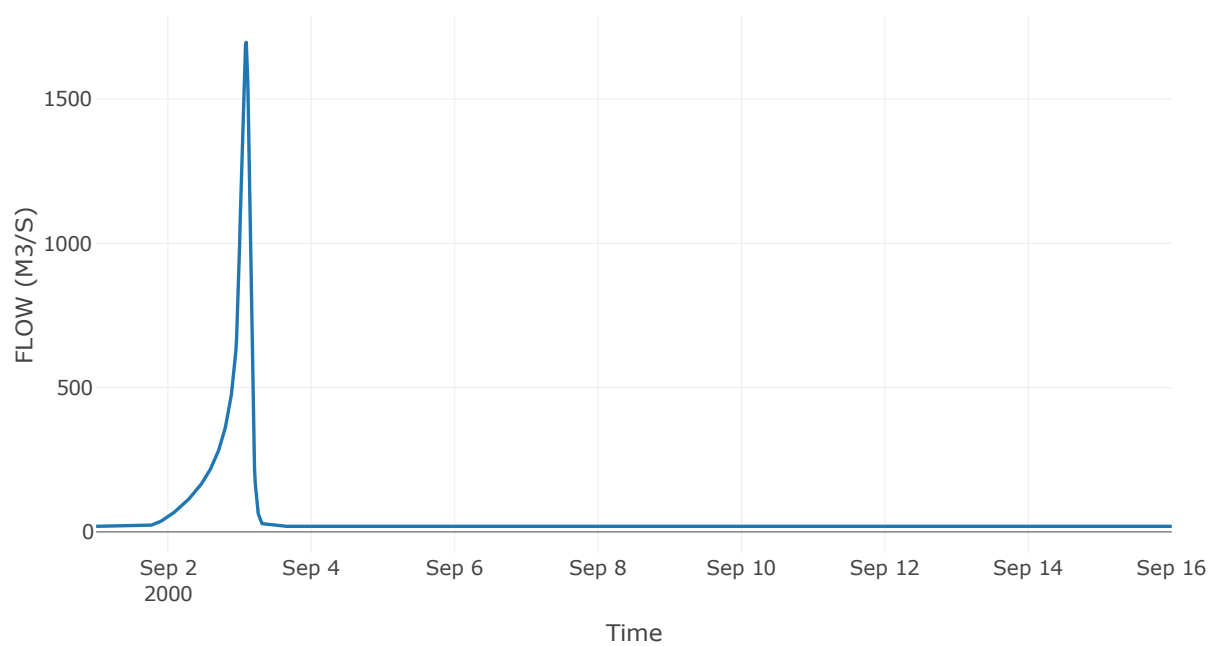
Κόμβος: J14

Κατάντη : R1415

Αποτελέσματα: J14

Παροχή αιχμής (M3/S)	1696.39
Χρονική στιγμή αιχμής	03Sep2000, 02:15
Όγκος (MM)	339.46

Απορροή



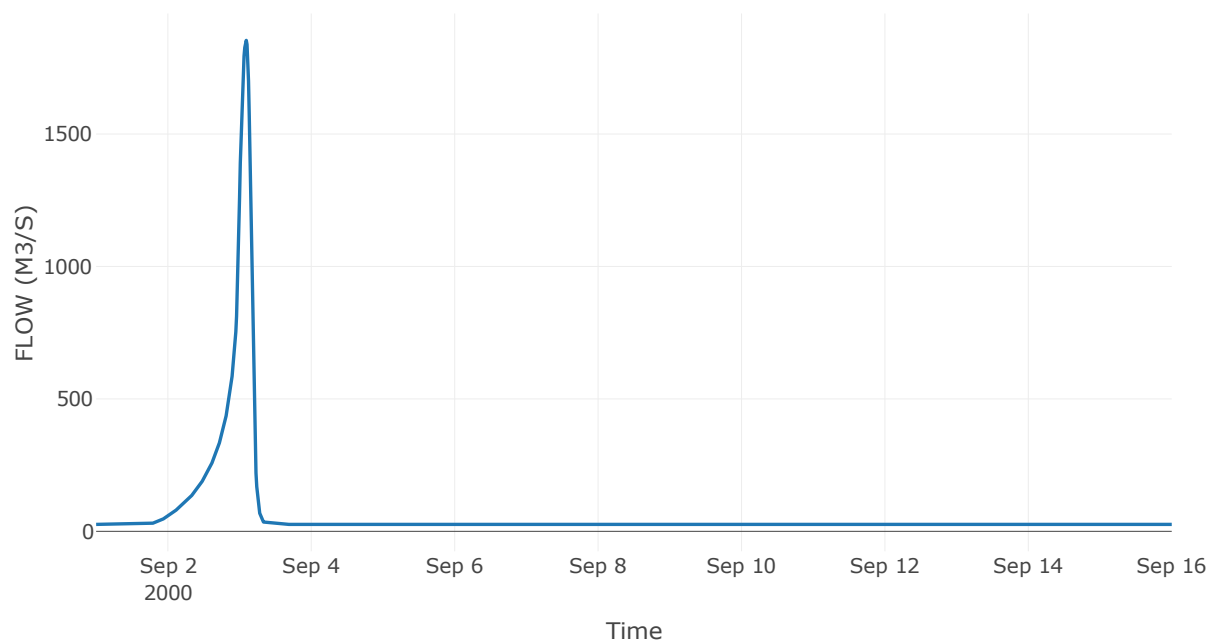
Κόμβος: J15

Κατάντη : R152

Αποτελέσματα: J15

Παροχή αιχμής (M3/S)	1853.72
Χρονική στιγμή αιχμής	03Sep2000, 02:15
Όγκος (MM)	313.94

Απορροή



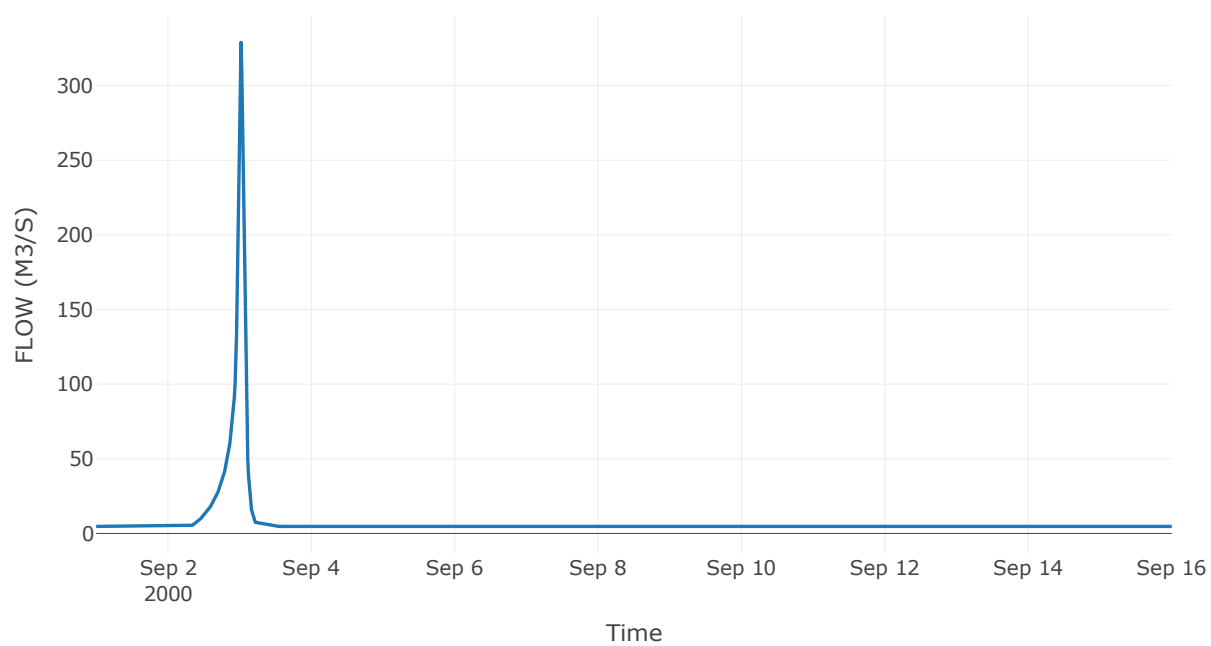
Κόμβος: J16

Κατάντη : R1615

Αποτελέσματα: J16

Παροχή αιχμής (M3/S)	328.88
Χρονική στιγμή αιχμής	03Sep2000, 00:30
Όγκος (MM)	221.28

Απορροή



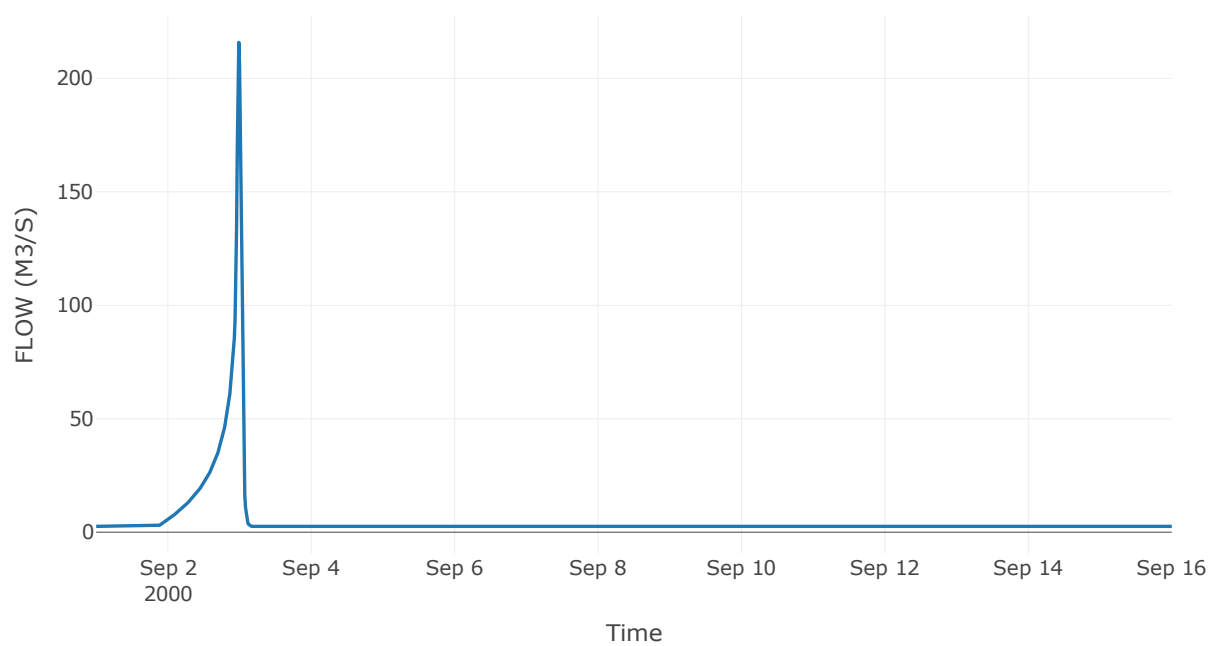
Κόμβος: J17

Κατάντη : R173

Αποτελέσματα: J17

Παροχή αιχμής (M3/S)	215.89
Χρονική στιγμή αιχμής	02Sep2000, 23:45
Όγκος (MM)	263.26

Απορροή



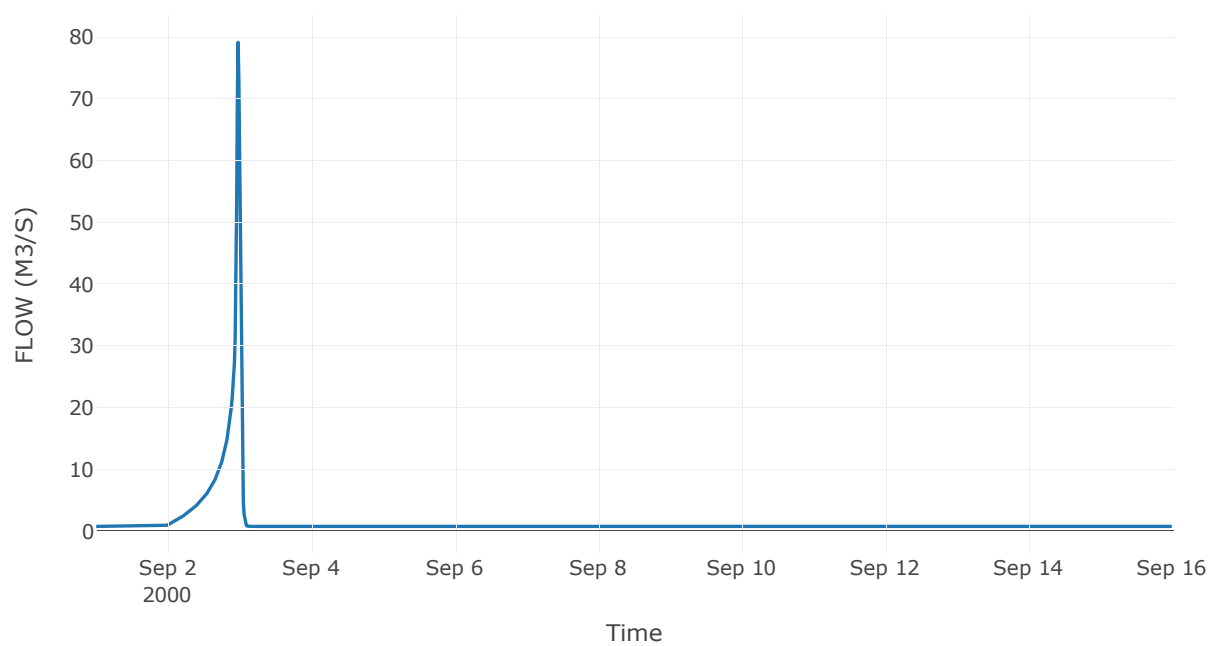
Κόμβος: J18

Κατάντη : R183

Αποτελέσματα: J18

Παροχή αιχμής (M3/S)	79.15
Χρονική στιγμή αιχμής	02Sep2000, 23:30
Όγκος (MM)	249.38

Απορροή



10 Δεδομένα εισόδου και αποτελέσματα υδρολογικού σεναρίου T=1000U

10.1 Αποτελέσματα, υετογραφήματα και υδρογραφήματα σχεδιασμού υπολεκανών

Υπολεκάνη: EL0513FR7001

Έκταση (KM2) : 10.61

Κατάνη : J1

Μέθοδος Απωλειών: SCS

Ποσοστό αδιαπέρατης επιφάνειας	0
Αριθμός Καμπύλης Απορροής-CN	88.36
Αρχικές Απώλειες	6.7

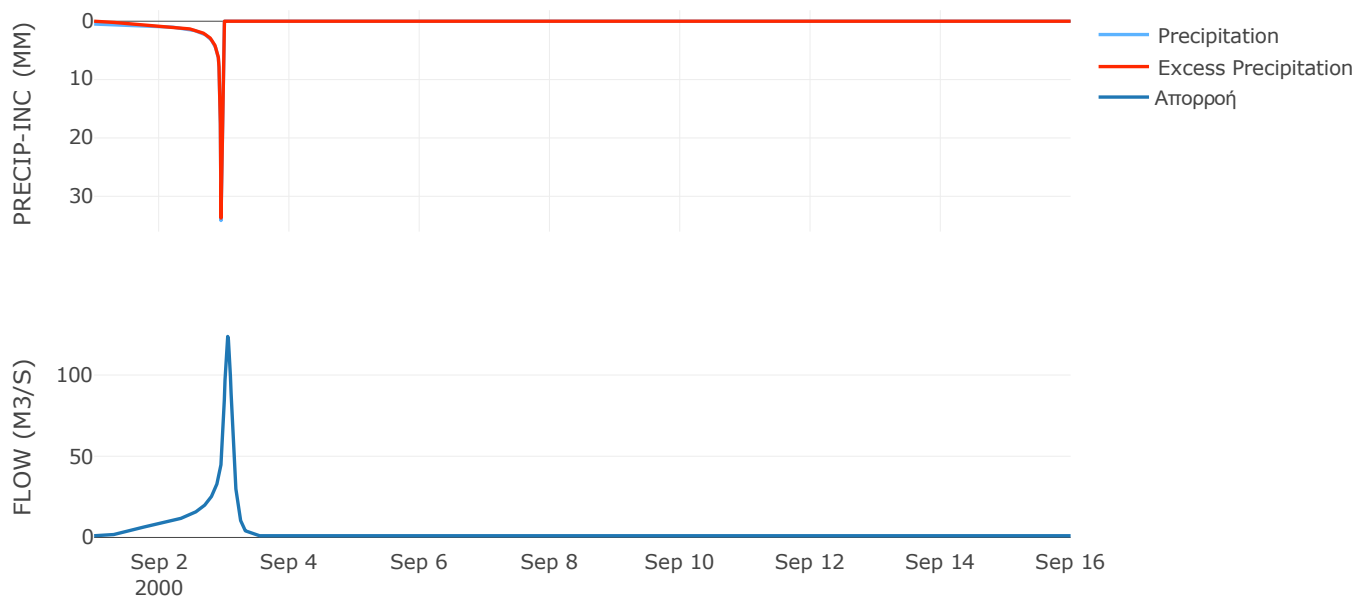
Μέθοδος
Μετασχηματισμού: SCS

Χρόνος Υστέρησης	144.93
------------------	--------

Αποτελέσματα:
EL0513FR7001

Παροχή αιχμής (M3/S)	123.76
Χρονική στιγμή αιχμής	03Sep2000, 01:15
Όγκος (MM)	440.11
Όγκος βροχόπτωσης (M3)	3.69E6
Όγκος απωλειών (M3)	3.95E5
Ενεργός Όγκος (M3)	3.3E6
Όγκος άμεσης απορροής (M3)	3.3E6
Όγκος βασικής απορροής (M3)	1.38E6

Βροχόπτωση και Απορροή



Υπολεκάνη: EL0513FR7002

Έκταση (KM2) : 36.49

Κατάντη : J2

Μέθοδος Απωλειών: SCS

Ποσοστό αδιαπέρατης επιφάνειας	0
Αριθμός Καμπύλης Απορροής-CN	81.67
Αρχικές Απώλειες	11.4

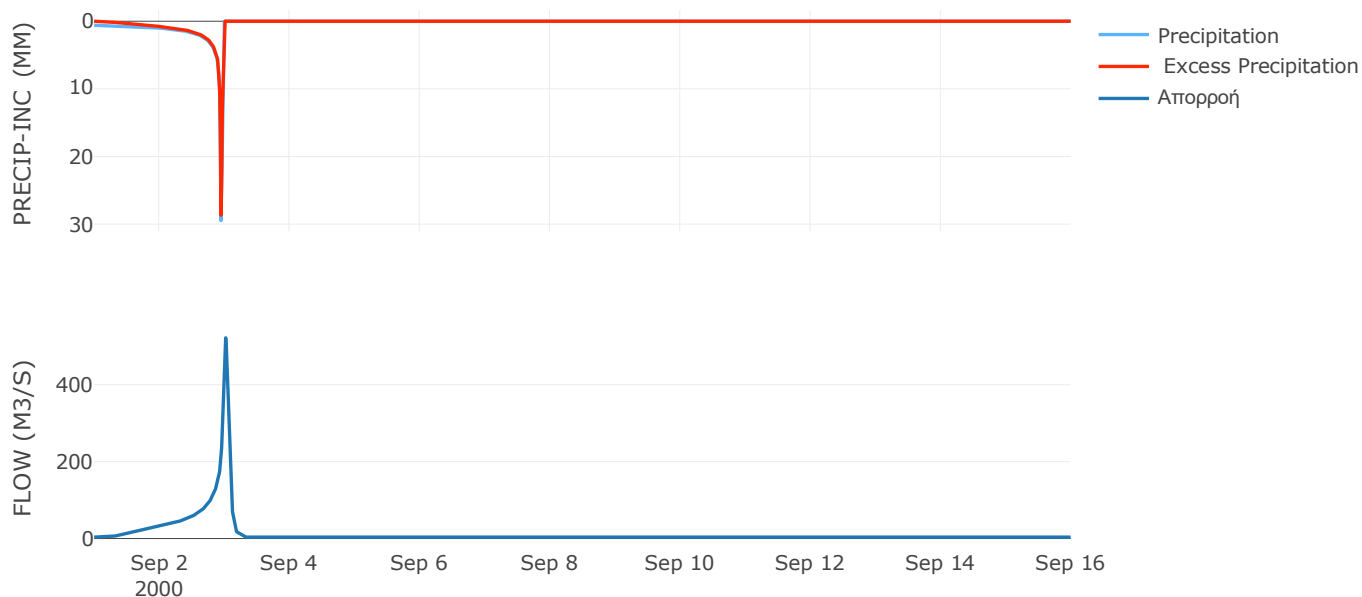
Μέθοδος
Μετασχηματισμού: SCS

Χρόνος Υστέρησης	87.7
------------------	------

Αποτελέσματα:
EL0513FR7002

Παροχή αιχμής (M3/S)	521.88
Χρονική στιγμή αιχμής	03Sep2000, 00:30
Όγκος (MM)	437.65
Όγκος βροχόπτωσης (M3)	1.35E7
Όγκος απωλειών (M3)	2.21E6
Ενεργός Όγκος (M3)	1.12E7
Όγκος άμεσης απορροής (M3)	1.12E7
Όγκος βασικής απορροής (M3)	4.73E6

Βροχόπτωση και Απορροή



Υπολεκάνη: EL0513FR7003

Έκταση (KM2) : 2.15

Κατάντη : J2

Μέθοδος Απωλειών: SCS

Ποσοστό αδιαπέρατης επιφάνειας	0
Αριθμός Καμπύλης Απορροής-CN	86.51
Αρχικές Απώλειες	7.92

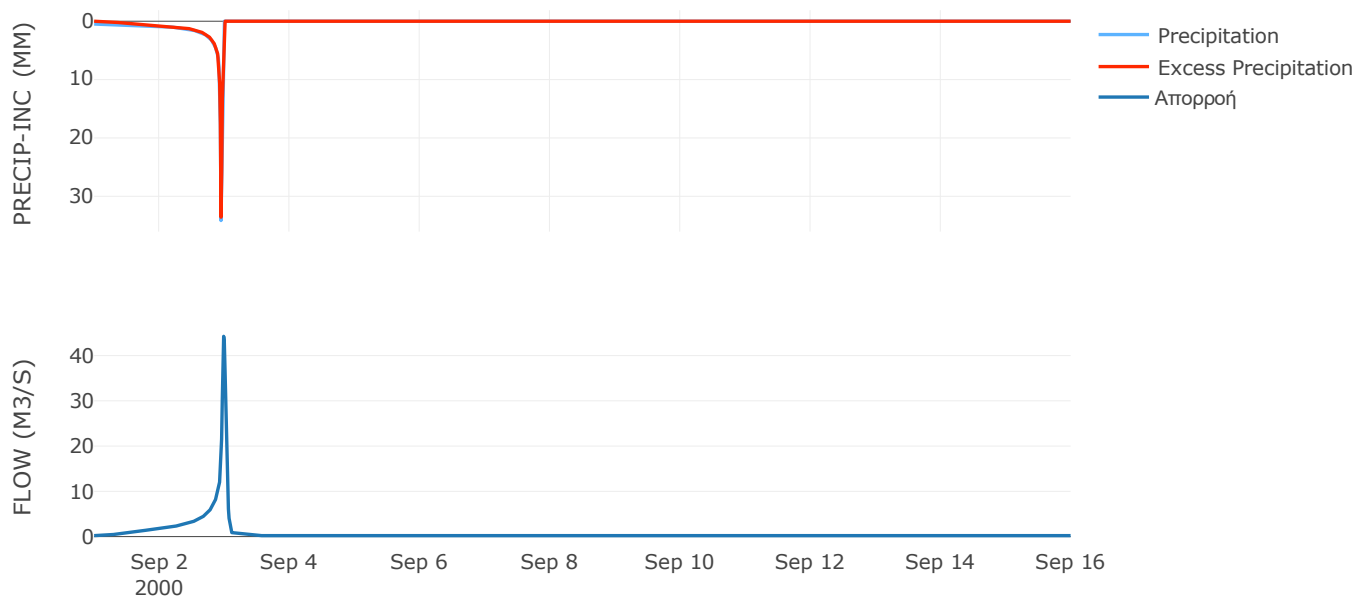
Μέθοδος
Μετασχηματισμού: SCS

Χρόνος Υστέρησης	48.95
------------------	-------

Αποτελέσματα:
EL0513FR7003

Παροχή αιχμής (M3/S)	44.25
Χρονική στιγμή αιχμής	02Sep2000, 23:45
Όγκος (MM)	433.91
Όγκος βροχόπτωσης (M3)	7.46E5
Όγκος απωλειών (M3)	93141.12
Ενεργός Όγκος (M3)	6.53E5
Όγκος άμεσης απορροής (M3)	6.53E5
Όγκος βασικής απορροής (M3)	2.78E5

Βροχόπτωση και Απορροή



Υπολεκάνη: EL0513FR7004

Έκταση (KM2) : 11.5

Κατάντη : J15

Μέθοδος Απωλειών: SCS

Ποσοστό αδιαπέρατης επιφάνειας	0
Αριθμός Καμπύλης Απορροής-CN	77.9
Αρχικές Απώλειες	14.41

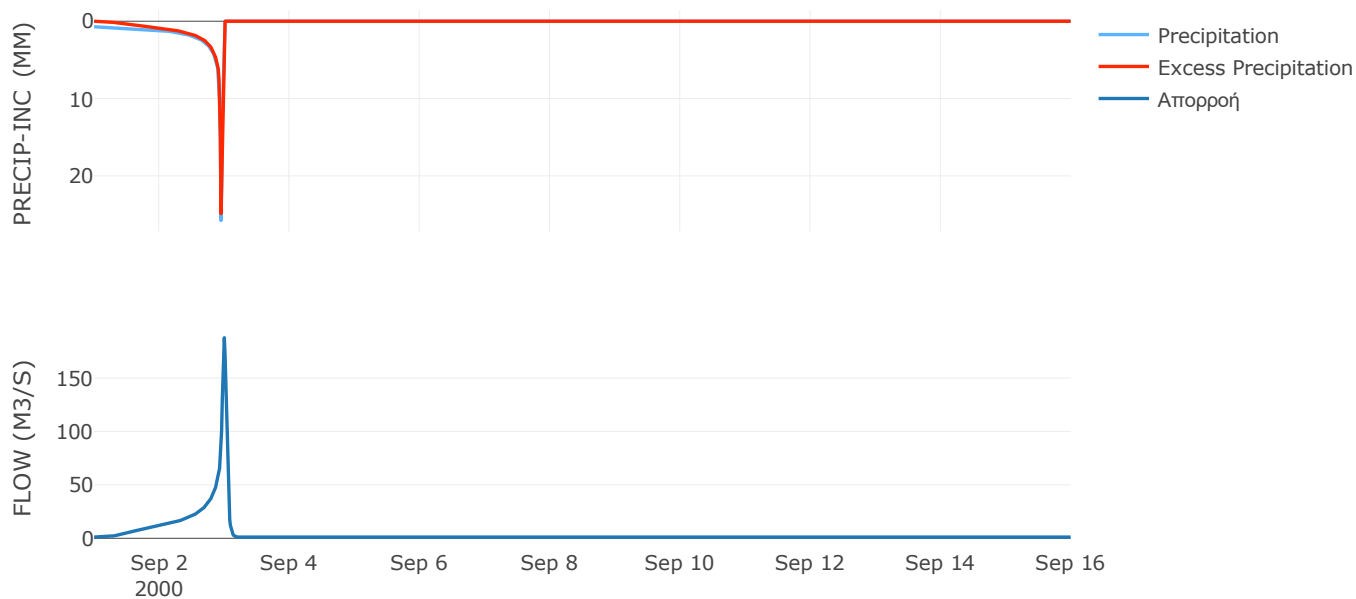
Μέθοδος
Μετασχηματισμού: SCS

Χρόνος Υστέρησης	54
------------------	----

Αποτελέσματα:
EL0513FR7004

Παροχή αιχμής (M3/S)	187.75
Χρονική στιγμή αιχμής	02Sep2000, 24:00
Όγκος (MM)	446.49
Όγκος βροχόπτωσης (M3)	4.5E6
Όγκος απωλειών (M3)	8.61E5
Ενεργός Όγκος (M3)	3.64E6
Όγκος άμεσης απορροής (M3)	3.64E6
Όγκος βασικής απορροής (M3)	1.49E6

Βροχόπτωση και Απορροή



Υπολεκάνη: EL0513FR7005

Έκταση (KM2) : 8.16

Κατάντη : J15

Μέθοδος Απωλειών: SCS

Ποσοστό αδιαπέρατης επιφάνειας	0
Αριθμός Καμπύλης Απορροής-CN	82.45
Αρχικές Απώλειες	10.81

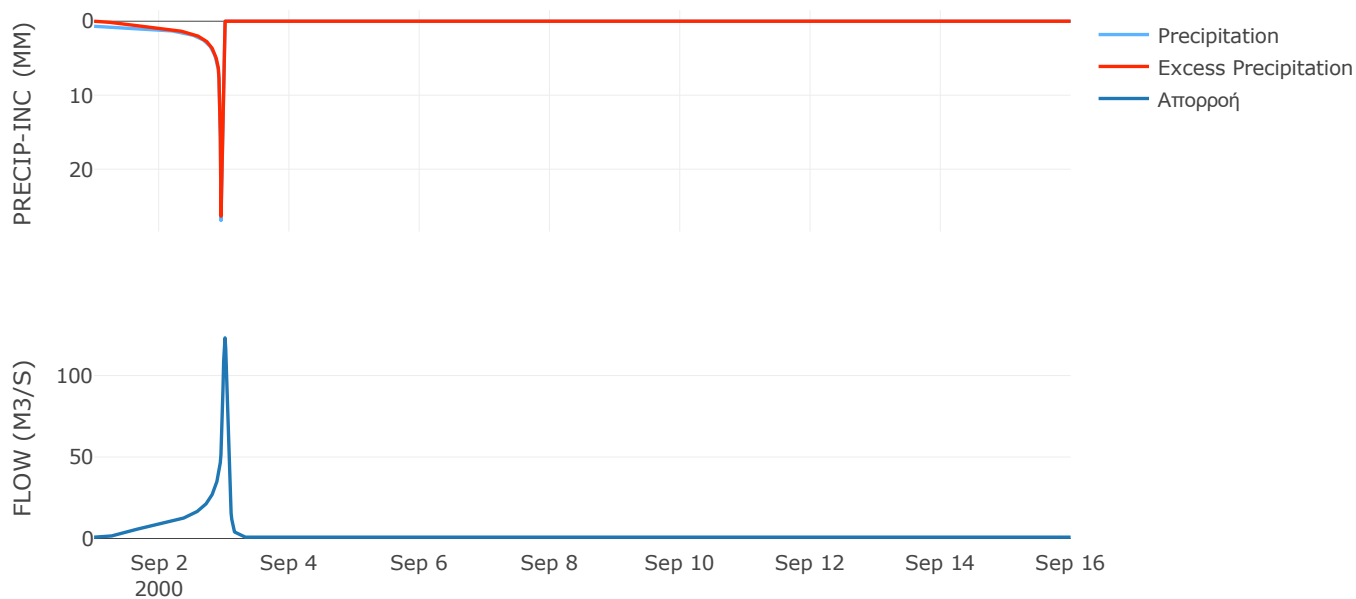
Μέθοδος
Μετασχηματισμού: SCS

Χρόνος Υστέρησης	72.98
------------------	-------

Αποτελέσματα:
EL0513FR7005

Παροχή αιχμής (M3/S)	123.13
Χρονική στιγμή αιχμής	03Sep2000, 00:15
Όγκος (MM)	458.27
Όγκος βροχόπτωσης (M3)	3.16E6
Όγκος απωλειών (M3)	4.74E5
Ενεργός Όγκος (M3)	2.68E6
Όγκος άμεσης απορροής (M3)	2.68E6
Όγκος βασικής απορροής (M3)	1.06E6

Βροχόπτωση και Απορροή



Υπολεκάνη: EL0513FR7006

Έκταση (KM2) : 47.06

Κατάντη : J16

Μέθοδος Απωλειών: SCS

Ποσοστό αδιαπέρατης επιφάνειας	0
Αριθμός Καμπύλης Απορροής-CN	69.12
Αρχικές Απώλειες	22.69

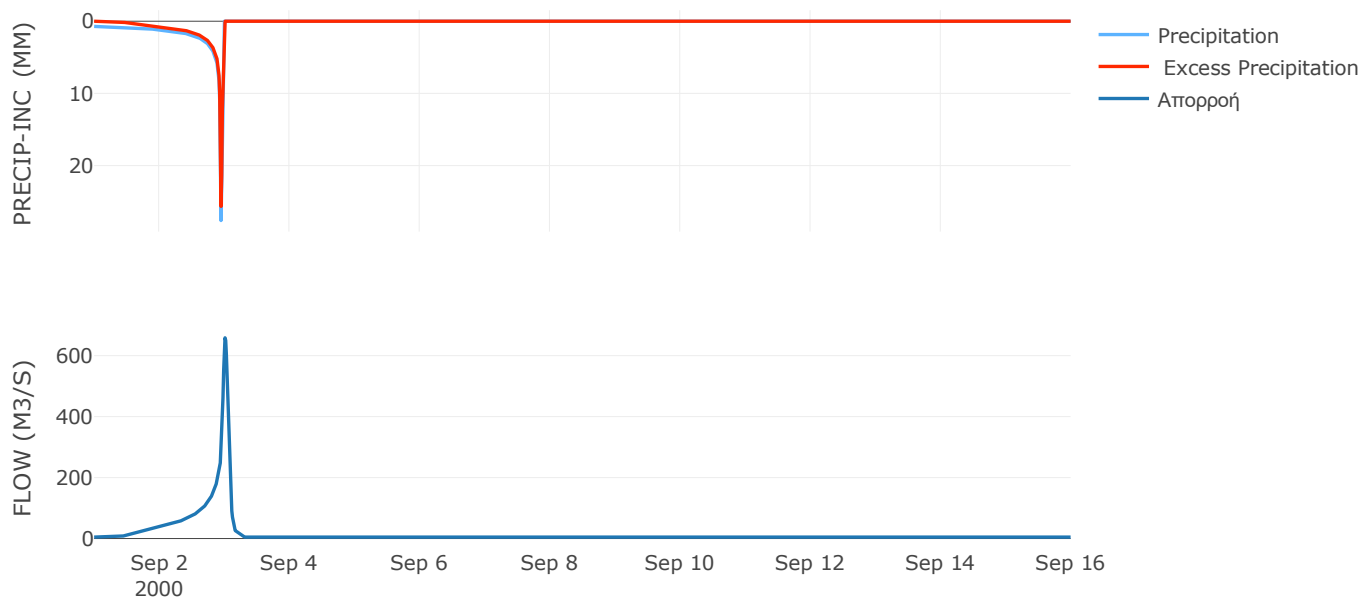
Μέθοδος
Μετασχηματισμού: SCS

Χρόνος Υστέρησης	81.43
------------------	-------

Αποτελέσματα:
EL0513FR7006

Παροχή αιχμής (M3/S)	658.42
Χρονική στιγμή αιχμής	03Sep2000, 00:15
Όγκος (MM)	421.51
Όγκος βροχόπτωσης (M3)	1.89E7
Όγκος απωλειών (M3)	5.18E6
Ενεργός Όγκος (M3)	1.37E7
Όγκος άμεσης απορροής (M3)	1.37E7
Όγκος βασικής απορροής (M3)	6.1E6

Βροχόπτωση και Απορροή



Υπολεκάνη: EL0513FR7007

Έκταση (KM2) : 2.05

Κατάντη : J15

Μέθοδος Απωλειών: SCS

Ποσοστό αδιαπέρατης επιφάνειας	0
Αριθμός Καμπύλης Απορροής-CN	89.33
Αρχικές Απώλειες	6.07

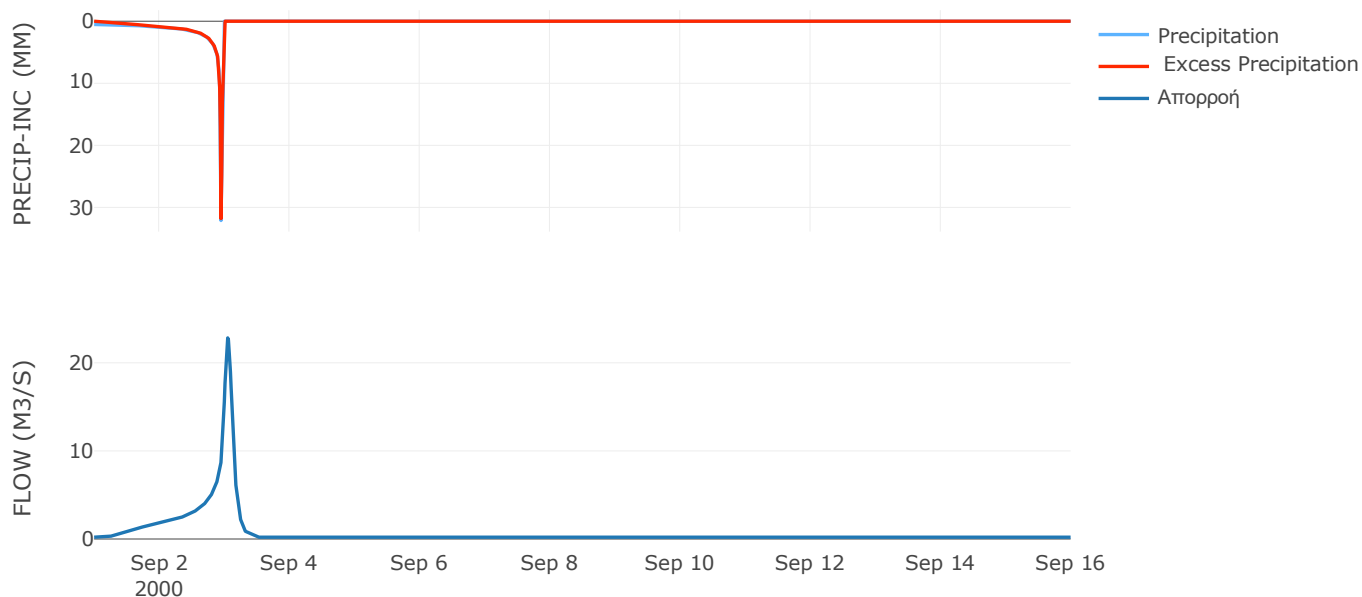
Μέθοδος
Μετασχηματισμού: SCS

Χρόνος Υστέρησης	150.34
------------------	--------

Αποτελέσματα:
EL0513FR7007

Παροχή αιχμής (M3/S)	22.83
Χρονική στιγμή αιχμής	03Sep2000, 01:15
Όγκος (MM)	449.65
Όγκος βροχόπτωσης (M3)	7.26E5
Όγκος απωλειών (M3)	69652.35
Ενεργός Όγκος (M3)	6.56E5
Όγκος άμεσης απορροής (M3)	6.56E5
Όγκος βασικής απορροής (M3)	2.66E5

Βροχόπτωση και Απορροή



Υπολεκάνη: EL0513FR7008

Έκταση (KM2) : 8

Κατάντη : J18

Μέθοδος Απωλειών: SCS

Ποσοστό αδιαπέρατης επιφάνειας	0
Αριθμός Καμπύλης Απορροής-CN	76.01
Αρχικές Απώλειες	16.03

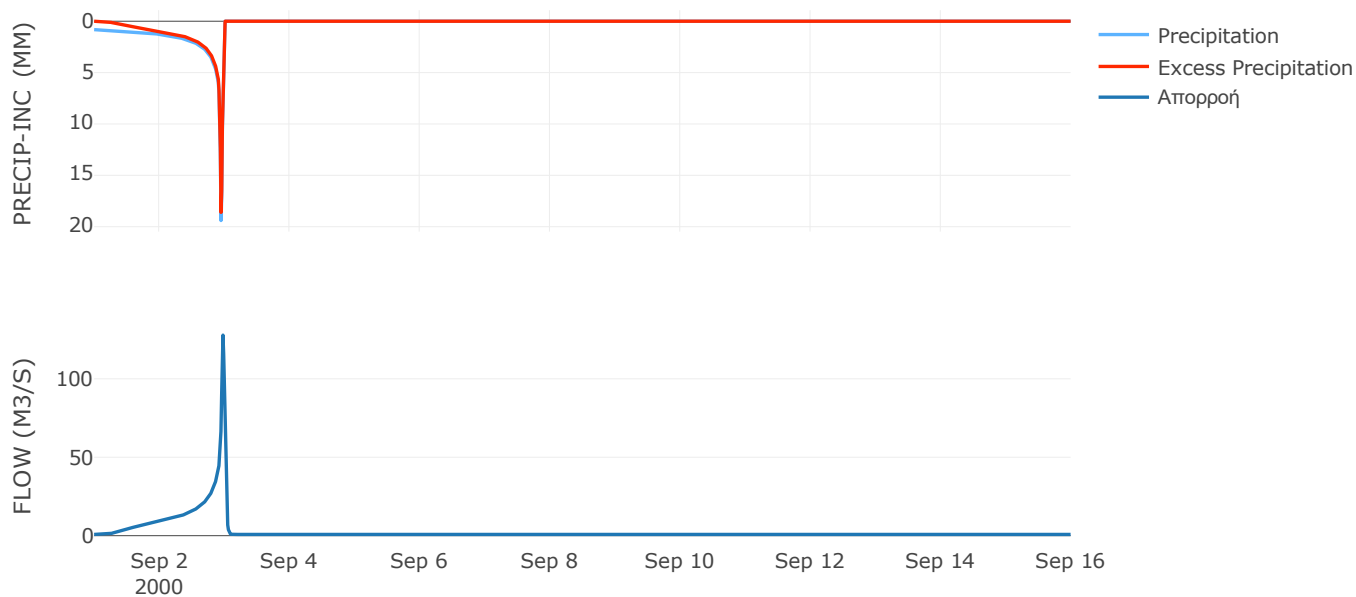
Μέθοδος
Μετασχηματισμού: SCS

Χρόνος Υστέρησης	28.84
------------------	-------

Αποτελέσματα:
EL0513FR7008

Παροχή αιχμής (M3/S)	127.85
Χρονική στιγμή αιχμής	02Sep2000, 23:30
Όγκος (MM)	432.38
Όγκος βροχόπτωσης (M3)	3.08E6
Όγκος απωλειών (M3)	6.55E5
Ενεργός Όγκος (M3)	2.42E6
Όγκος άμεσης απορροής (M3)	2.42E6
Όγκος βασικής απορροής (M3)	1.04E6

Βροχόπτωση και Απορροή



Υπολεκάνη: EL0513FR7009

Έκταση (KM2) : 25.56

Κατάνη : J17

Μέθοδος Απωλειών: SCS

Ποσοστό αδιαπέρατης επιφάνειας	0
Αριθμός Καμπύλης Απορροής-CN	76.43
Αρχικές Απώλειες	15.67

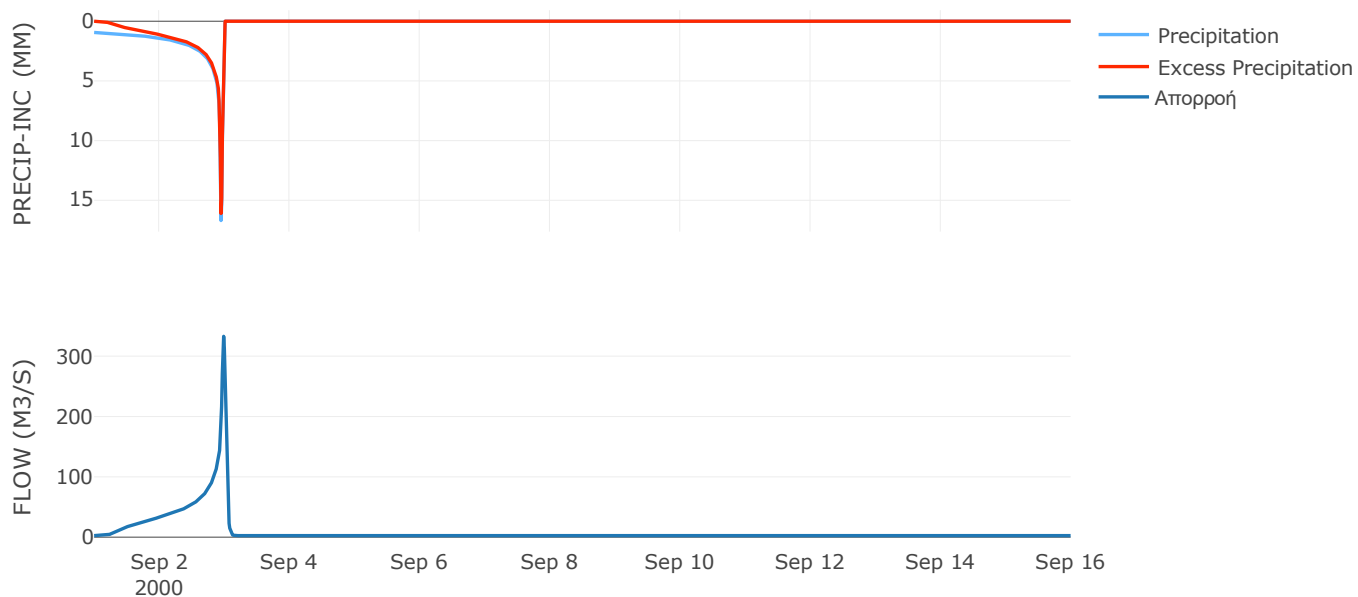
Μέθοδος
Μετασχηματισμού: SCS

Χρόνος Υστέρησης	42.48
------------------	-------

Αποτελέσματα:
EL0513FR7009

Παροχή αιχμής (M3/S)	332.89
Χρονική στιγμή αιχμής	02Sep2000, 23:45
Όγκος (MM)	450.07
Όγκος βροχόπτωσης (M3)	1.03E7
Όγκος απωλειών (M3)	2.07E6
Ενεργός Όγκος (M3)	8.19E6
Όγκος άμεσης απορροής (M3)	8.19E6
Όγκος βασικής απορροής (M3)	3.31E6

Βροχόπτωση και Απορροή



Υπολεκάνη: EL0513FR7010

Έκταση (KM2) : 14.22

Κατάντη : J3

Μέθοδος Απωλειών: SCS

Ποσοστό αδιαπέρατης επιφάνειας	0
Αριθμός Καμπύλης Απορροής-CN	80.04
Αρχικές Απώλειες	12.67

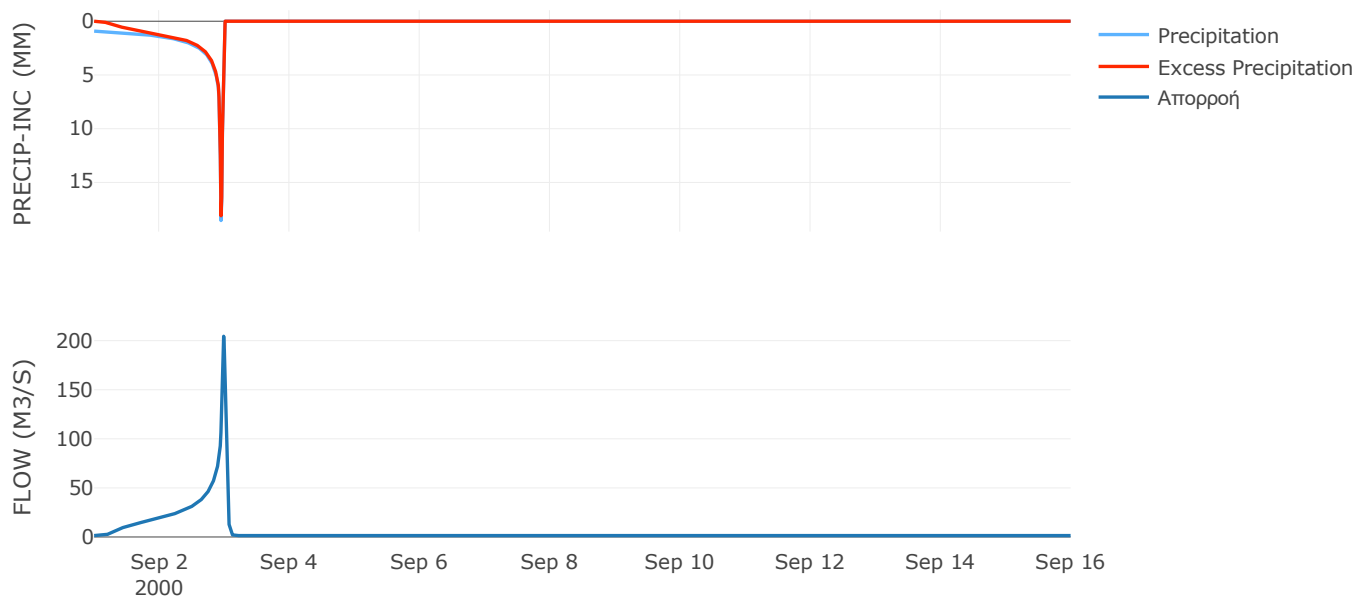
Μέθοδος
Μετασχηματισμού: SCS

Χρόνος Υστέρησης	41.52
------------------	-------

Αποτελέσματα:
EL0513FR7010

Παροχή αιχμής (M3/S)	204.49
Χρονική στιγμή αιχμής	02Sep2000, 23:45
Όγκος (MM)	472.05
Όγκος βροχόπτωσης (M3)	5.83E6
Όγκος απωλειών (M3)	9.57E5
Ενεργός Όγκος (M3)	4.87E6
Όγκος άμεσης απορροής (M3)	4.87E6
Όγκος βασικής απορροής (M3)	1.84E6

Βροχόπτωση και Απορροή



Υπολεκάνη: EL0513FR7011

Έκταση (KM2) : 27

Κατάντη : J3

Μέθοδος Απωλειών: SCS

Ποσοστό αδιαπέρατης επιφάνειας	0
Αριθμός Καμπύλης Απορροής-CN	83.4
Αρχικές Απώλειες	10.11

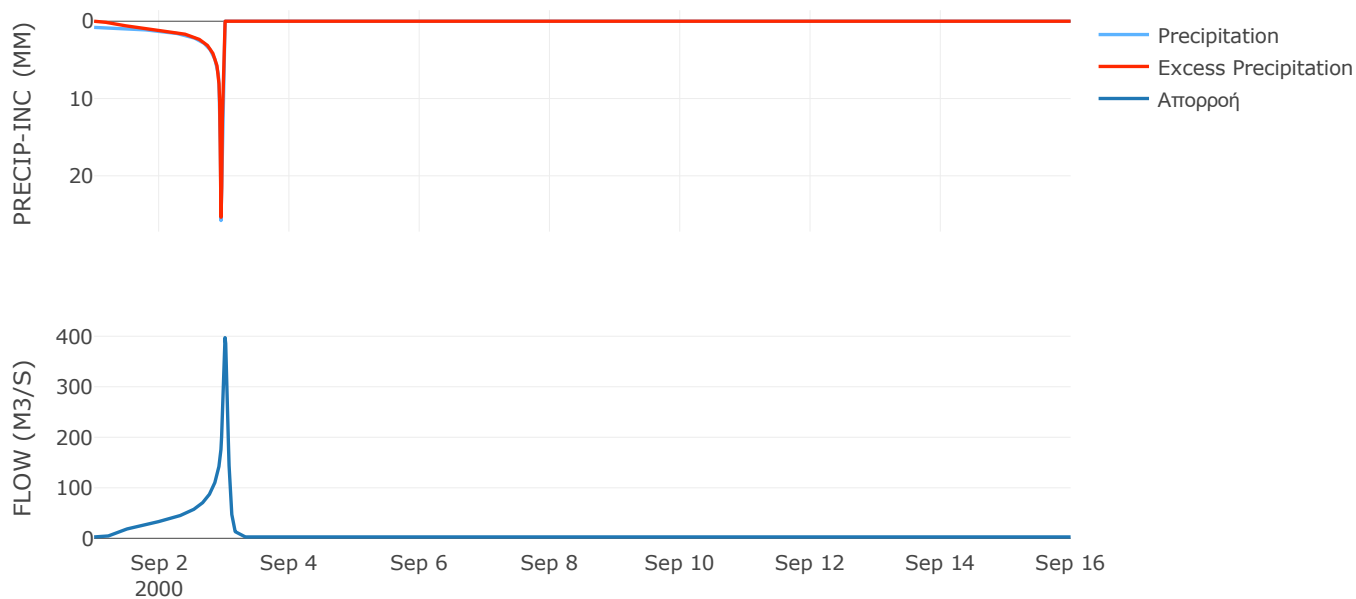
Μέθοδος
Μετασχηματισμού: SCS

Χρόνος Υστέρησης	77.89
------------------	-------

Αποτελέσματα:
EL0513FR7011

Παροχή αιχμής (M3/S)	397.22
Χρονική στιγμή αιχμής	03Sep2000, 00:15
Όγκος (MM)	492.48
Όγκος βροχόπτωσης (M3)	1.13E7
Όγκος απωλειών (M3)	1.49E6
Ενεργός Όγκος (M3)	9.8E6
Όγκος άμεσης απορροής (M3)	9.8E6
Όγκος βασικής απορροής (M3)	3.5E6

Βροχόπτωση και Απορροή



Υπολεκάνη: EL0513FR7012

Έκταση (KM2) : 36.83

Κατάντη : J14

Μέθοδος Απωλειών: SCS

Ποσοστό αδιαπέρατης επιφάνειας	0
Αριθμός Καμπύλης Απορροής-CN	82.95
Αρχικές Απώλειες	10.44

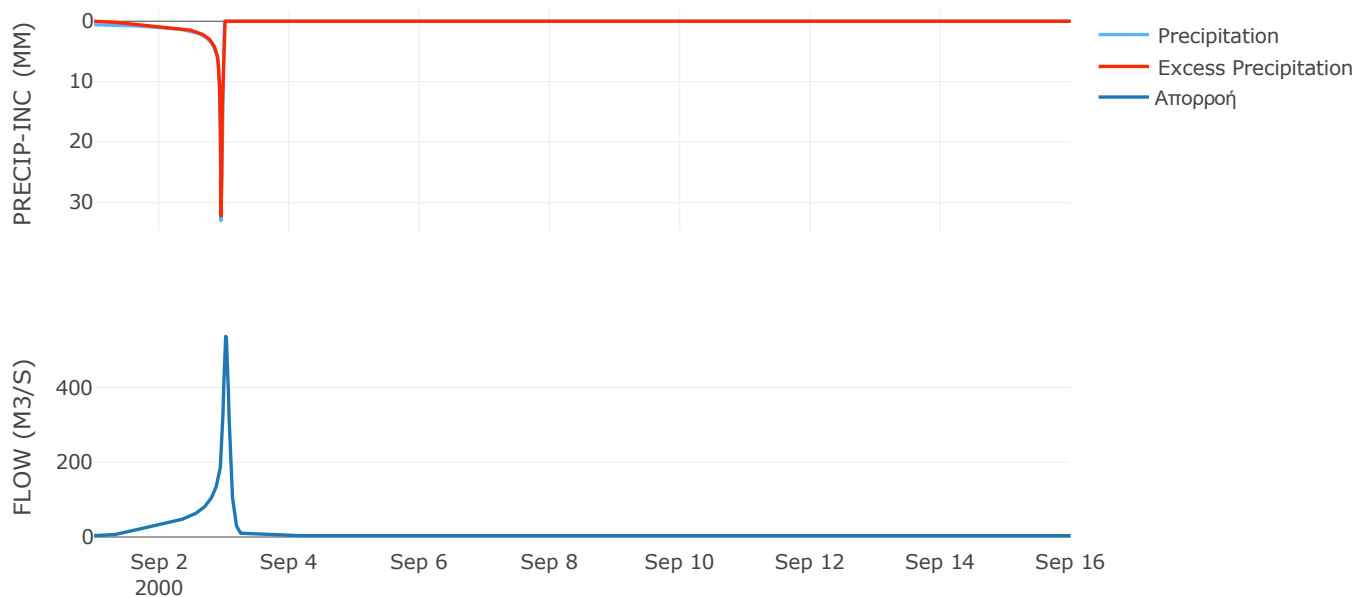
Μέθοδος
Μετασχηματισμού: SCS

Χρόνος Υστέρησης	99.25
------------------	-------

Αποτελέσματα:
EL0513FR7012

Παροχή αιχμής (M3/S)	536.82
Χρονική στιγμή αιχμής	03Sep2000, 00:30
Όγκος (MM)	451.81
Όγκος βροχόπτωσης (M3)	1.39E7
Όγκος απωλειών (M3)	2.07E6
Ενεργός Όγκος (M3)	1.19E7
Όγκος άμεσης απορροής (M3)	1.19E7
Όγκος βασικής απορροής (M3)	4.77E6

Βροχόπτωση και Απορροή



Υπολεκάνη: EL0513FR7013

Έκταση (KM2) : 10.56

Κατάντη : J6

Μέθοδος Απωλειών: SCS

Ποσοστό αδιαπέρατης επιφάνειας	0
Αριθμός Καμπύλης Απορροής-CN	85.91
Αρχικές Απώλειες	8.33

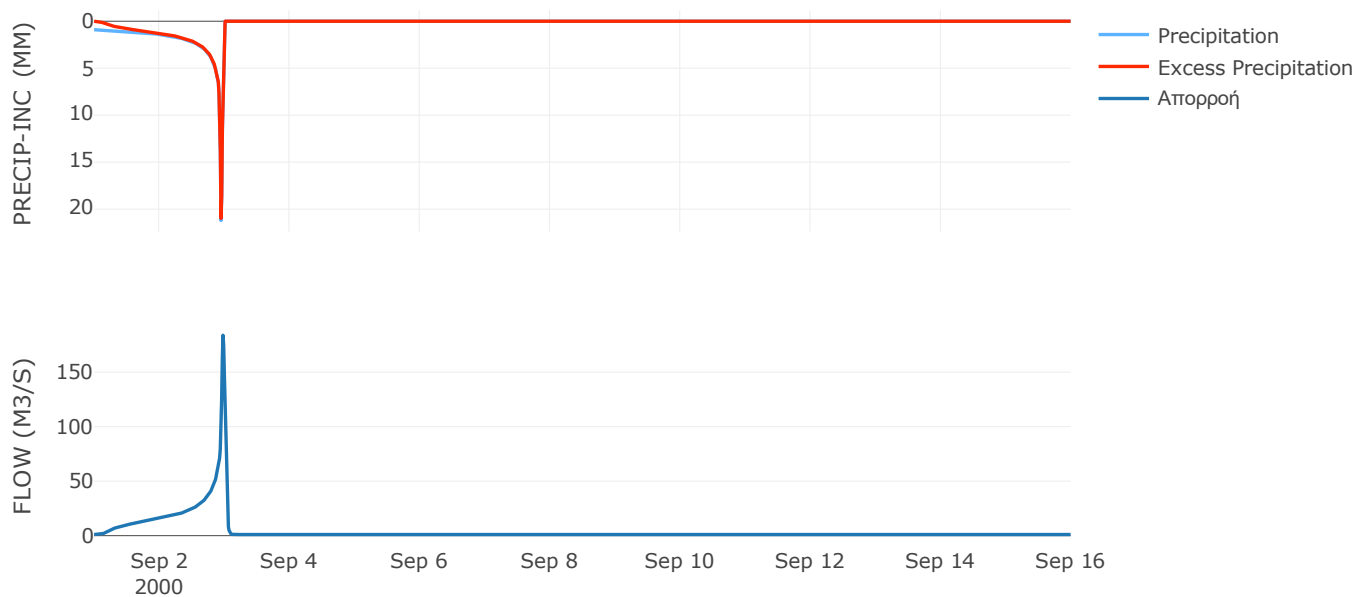
Μέθοδος
Μετασχηματισμού: SCS

Χρόνος Υστέρησης	32.54
------------------	-------

Αποτελέσματα:
EL0513FR7013

Παροχή αιχμής (M3/S)	183.87
Χρονική στιγμή αιχμής	02Sep2000, 23:30
Όγκος (MM)	506.44
Όγκος βροχόπτωσης (M3)	4.47E6
Όγκος απωλειών (M3)	4.88E5
Ενεργός Όγκος (M3)	3.98E6
Όγκος άμεσης απορροής (M3)	3.98E6
Όγκος βασικής απορροής (M3)	1.37E6

Βροχόπτωση και Απορροή



Υπολεκάνη: EL0513FR7014

Έκταση (KM2) : 22.48

Κατάντη : J5

Μέθοδος Απωλειών: SCS

Ποσοστό αδιαπέρατης επιφάνειας	0
Αριθμός Καμπύλης Απορροής-CN	70.45
Αρχικές Απώλειες	21.3

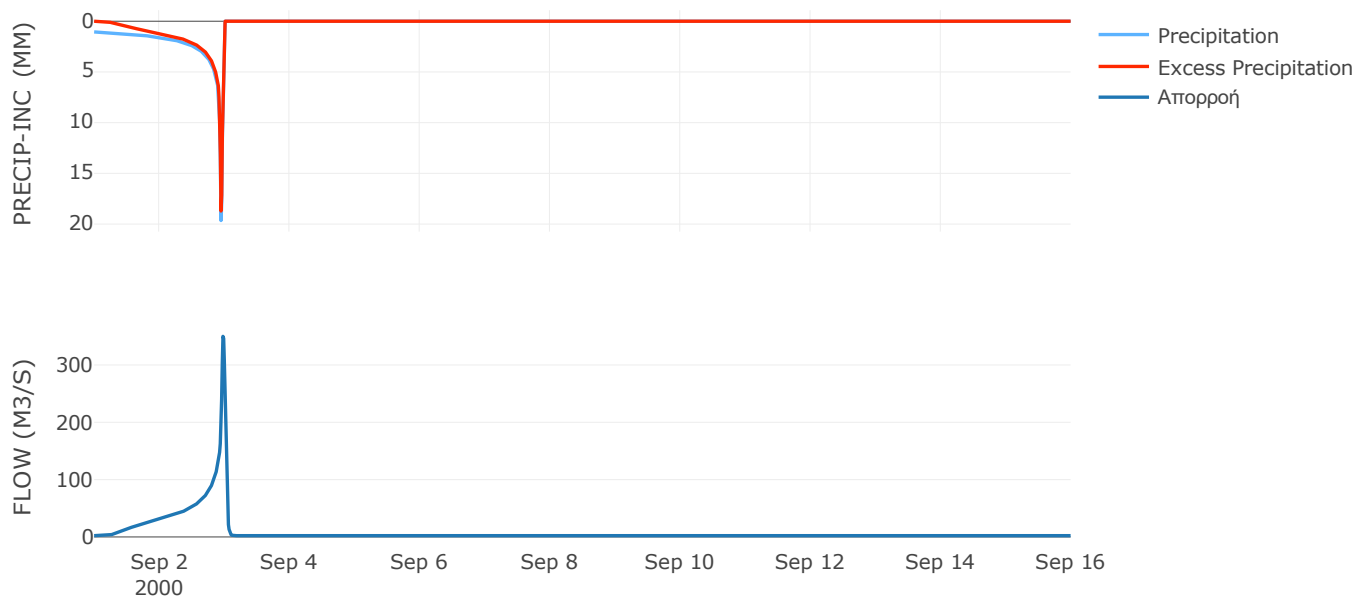
Μέθοδος
Μετασχηματισμού: SCS

Χρόνος Υστέρησης	35.55
------------------	-------

Αποτελέσματα:
EL0513FR7014

Παροχή αιχμής (M3/S)	349.9
Χρονική στιγμή αιχμής	02Sep2000, 23:30
Όγκος (MM)	480.14
Όγκος βροχόπτωσης (M3)	1.03E7
Όγκος απωλειών (M3)	2.4E6
Ενεργός Όγκος (M3)	7.88E6
Όγκος άμεσης απορροής (M3)	7.88E6
Όγκος βασικής απορροής (M3)	2.91E6

Βροχόπτωση και Απορροή



Υπολεκάνη: EL0513FR7015

Έκταση (KM2) : 54.51

Κατάντη : J6

Μέθοδος Απωλειών: SCS

Ποσοστό αδιαπέρατης επιφάνειας	0
Αριθμός Καμπύλης Απορροής-CN	80.6
Αρχικές Απώλειες	12.23

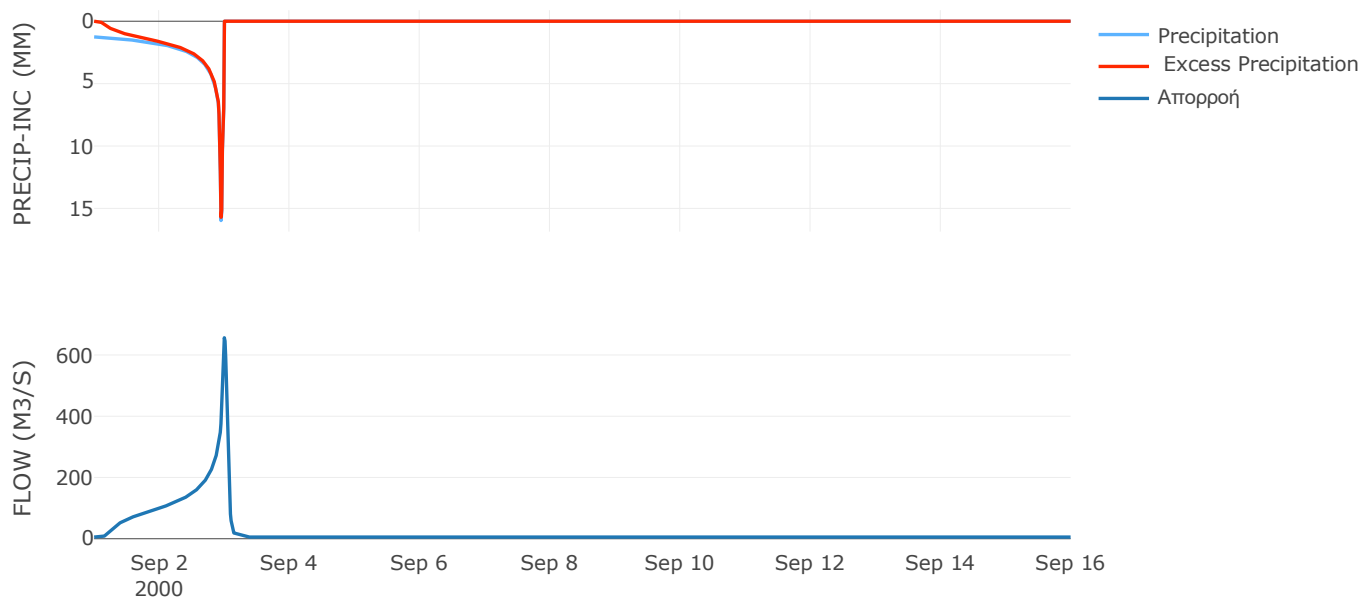
Μέθοδος
Μετασχηματισμού: SCS

Χρόνος Υστέρησης	64.19
------------------	-------

Αποτελέσματα:
EL0513FR7015

Παροχή αιχμής (M3/S)	656.29
Χρονική στιγμή αιχμής	02Sep2000, 24:00
Όγκος (MM)	547.05
Όγκος βροχόπτωσης (M3)	2.64E7
Όγκος απωλειών (M3)	3.62E6
Ενεργός Όγκος (M3)	2.28E7
Όγκος άμεσης απορροής (M3)	2.28E7
Όγκος βασικής απορροής (M3)	7.06E6

Βροχόπτωση και Απορροή



Υπολεκάνη: EL0513FR7016

Έκταση (KM2) : 13.52

Κατάντη : J4

Μέθοδος Απωλειών: SCS

Ποσοστό αδιαπέρατης επιφάνειας	0
Αριθμός Καμπύλης Απορροής-CN	67.74
Αρχικές Απώλειες	24.19

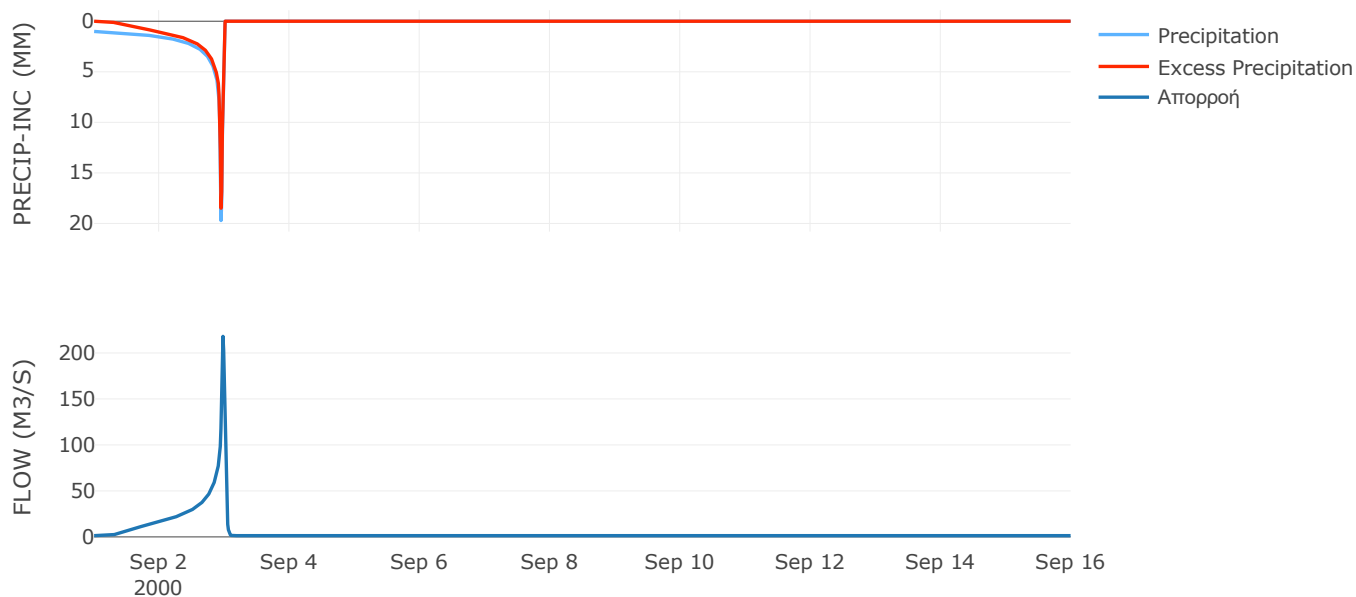
Μέθοδος
Μετασχηματισμού: SCS

Χρόνος Υστέρησης	30.04
------------------	-------

Αποτελέσματα:
EL0513FR7016

Παροχή αιχμής (M3/S)	218.05
Χρονική στιγμή αιχμής	02Sep2000, 23:30
Όγκος (MM)	456.09
Όγκος βροχόπτωσης (M3)	6.01E6
Όγκος απωλειών (M3)	1.6E6
Ενεργός Όγκος (M3)	4.41E6
Όγκος άμεσης απορροής (M3)	4.41E6
Όγκος βασικής απορροής (M3)	1.75E6

Βροχόπτωση και Απορροή



Υπολεκάνη: EL0513FR7017

Έκταση (KM2) : 45.33

Κατάντη : J5

Μέθοδος Απωλειών: SCS

Ποσοστό αδιαπέρατης επιφάνειας	0
Αριθμός Καμπύλης Απορροής-CN	68.66
Αρχικές Απώλειες	23.19

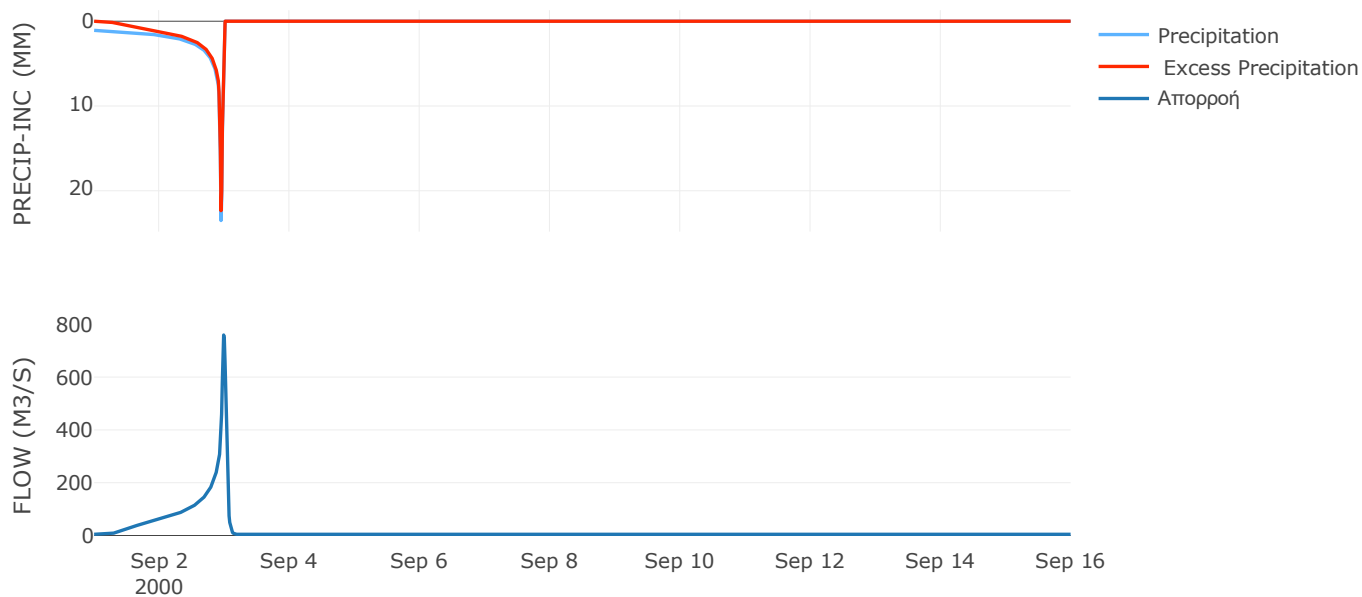
Μέθοδος
Μετασχηματισμού: SCS

Χρόνος Υστέρησης	48.07
------------------	-------

Αποτελέσματα:
EL0513FR7017

Παροχή αιχμής (M3/S)	759.51
Χρονική στιγμή αιχμής	02Sep2000, 23:45
Όγκος (MM)	505.59
Όγκος βροχόπτωσης (M3)	2.23E7
Όγκος απωλειών (M3)	5.27E6
Ενεργός Όγκος (M3)	1.7E7
Όγκος άμεσης απορροής (M3)	1.7E7
Όγκος βασικής απορροής (M3)	5.88E6

Βροχόπτωση και Απορροή



Υπολεκάνη: EL0513FR7018

Έκταση (KM2) : 32.48

Κατάντη : J10

Μέθοδος Απωλειών: SCS

Ποσοστό αδιαπέρατης επιφάνειας	0
Αριθμός Καμπύλης Απορροής-CN	72.61
Αρχικές Απώλειες	19.16

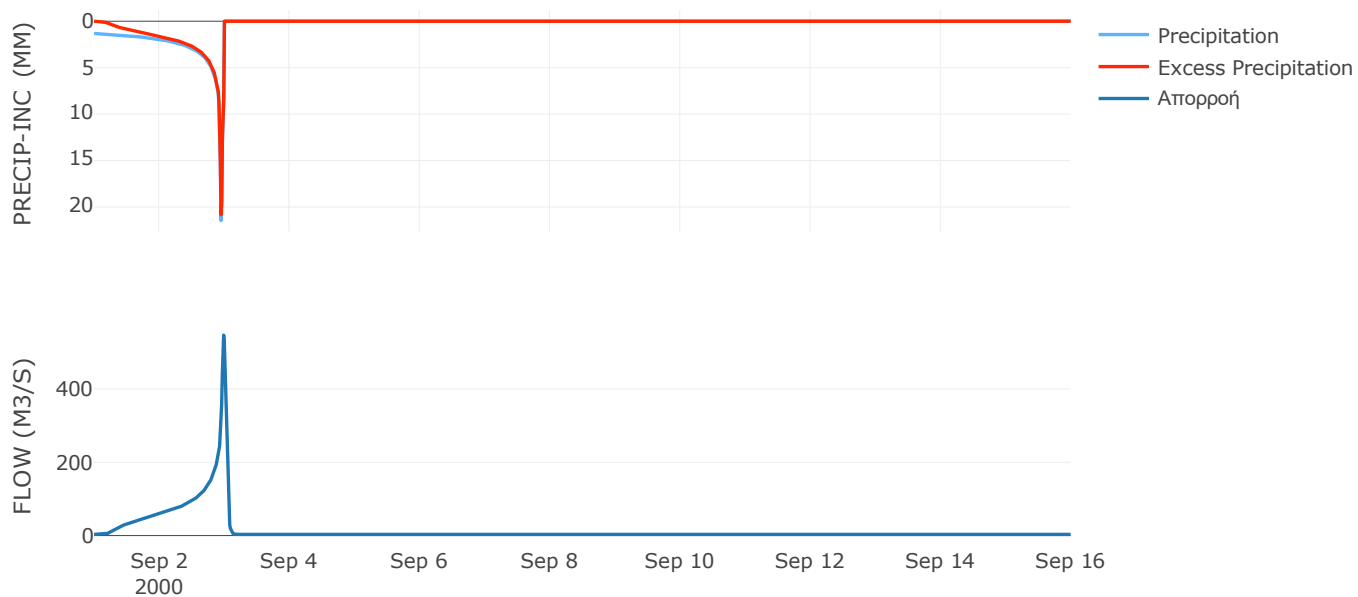
Μέθοδος
Μετασχηματισμού: SCS

Χρόνος Υστέρησης	44.84
------------------	-------

Αποτελέσματα:
EL0513FR7018

Παροχή αιχμής (M3/S)	547.11
Χρονική στιγμή αιχμής	02Sep2000, 23:45
Όγκος (MM)	575.85
Όγκος βροχόπτωσης (M3)	1.78E7
Όγκος απωλειών (M3)	3.26E6
Ενεργός Όγκος (M3)	1.45E7
Όγκος άμεσης απορροής (M3)	1.45E7
Όγκος βασικής απορροής (M3)	4.21E6

Βροχόπτωση και Απορροή



Υπολεκάνη: EL0513FR7019

Έκταση (KM2) : 40.09

Κατάντη : J12

Μέθοδος Απωλειών: SCS

Ποσοστό αδιαπέρατης επιφάνειας	0
Αριθμός Καμπύλης Απορροής-CN	82.09
Αρχικές Απώλειες	11.08

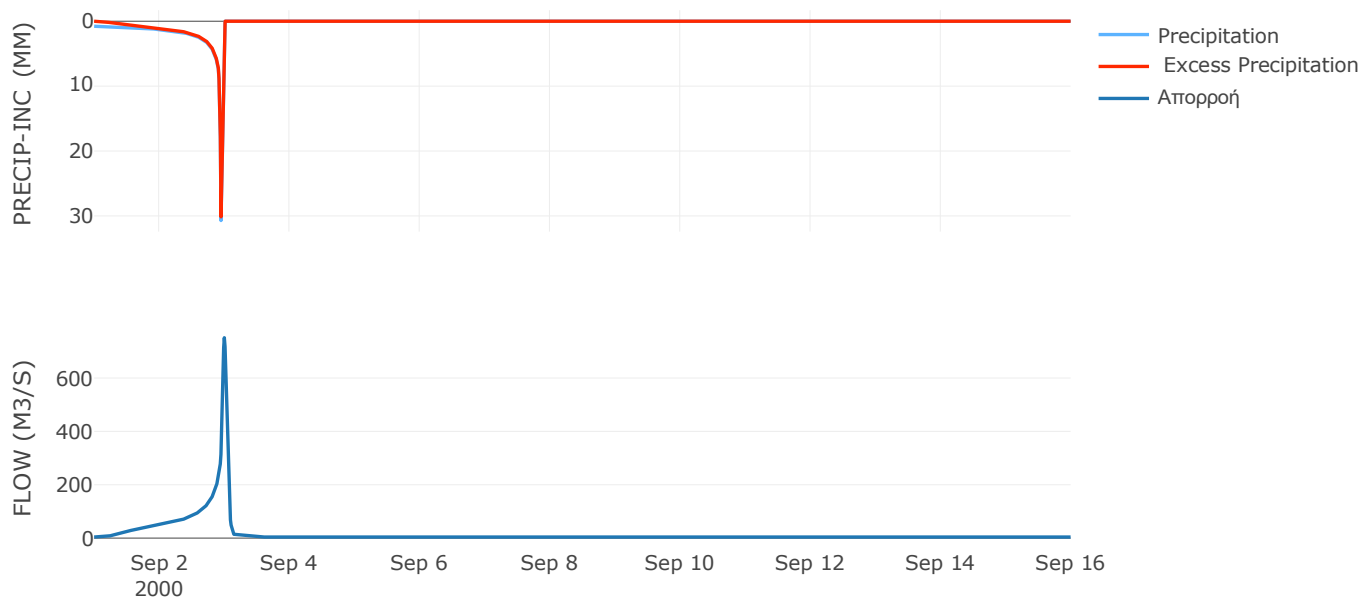
Μέθοδος
Μετασχηματισμού: SCS

Χρόνος Υστέρησης	60.34
------------------	-------

Αποτελέσματα:
EL0513FR7019

Παροχή αιχμής (M3/S)	751.06
Χρονική στιγμή αιχμής	02Sep2000, 24:00
Όγκος (MM)	507.23
Όγκος βροχόπτωσης (M3)	1.76E7
Όγκος απωλειών (M3)	2.41E6
Ενεργός Όγκος (M3)	1.51E7
Όγκος άμεσης απορροής (M3)	1.51E7
Όγκος βασικής απορροής (M3)	5.2E6

Βροχόπτωση και Απορροή



Υπολεκάνη: EL0513FR7020

Έκταση (KM2) : 21.52

Κατάνη : J11

Μέθοδος Απωλειών: SCS

Ποσοστό αδιαπέρατης επιφάνειας	0
Αριθμός Καμπύλης Απορροής-CN	77.5
Αρχικές Απώλειες	14.75

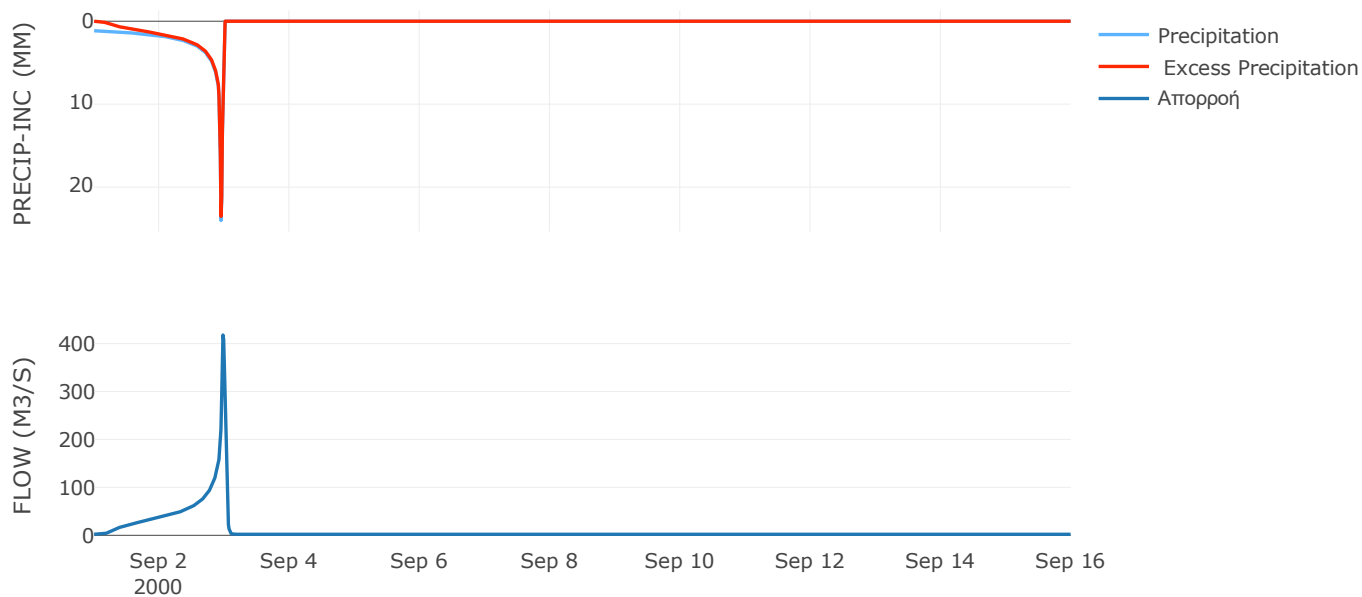
Μέθοδος
Μετασχηματισμού: SCS

Χρόνος Υστέρησης	34.56
------------------	-------

Αποτελέσματα:
EL0513FR7020

Παροχή αιχμής (M3/S)	417.95
Χρονική στιγμή αιχμής	02Sep2000, 23:30
Όγκος (MM)	567.69
Όγκος βροχόπτωσης (M3)	1.11E7
Όγκος απωλειών (M3)	1.7E6
Ενεργός Όγκος (M3)	9.43E6
Όγκος άμεσης απορροής (M3)	9.43E6
Όγκος βασικής απορροής (M3)	2.79E6

Βροχόπτωση και Απορροή



Υπολεκάνη: EL0513FR7021

Έκταση (KM2) : 23.01

Κατάντη : J12

Μέθοδος Απωλειών: SCS

Ποσοστό αδιαπέρατης επιφάνειας	0
Αριθμός Καμπύλης Απορροής-CN	74.59
Αρχικές Απώλειες	17.31

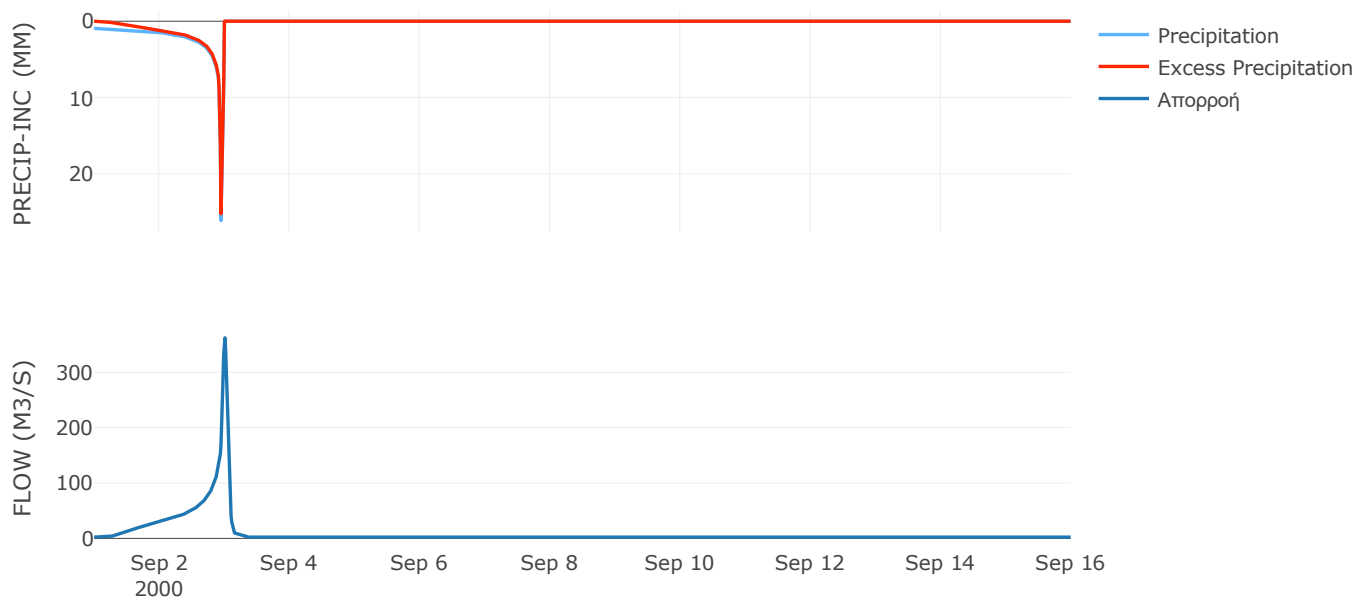
Μέθοδος
Μετασχηματισμού: SCS

Χρόνος Υστέρησης	69.29
------------------	-------

Αποτελέσματα:
EL0513FR7021

Παροχή αιχμής (M3/S)	362.26
Χρονική στιγμή αιχμής	03Sep2000, 00:15
Όγκος (MM)	505.03
Όγκος βροχόπτωσης (M3)	1.07E7
Όγκος απωλειών (M3)	2.07E6
Ενεργός Όγκος (M3)	8.64E6
Όγκος άμεσης απορροής (M3)	8.64E6
Όγκος βασικής απορροής (M3)	2.98E6

Βροχόπτωση και Απορροή



Υπολεκάνη: EL0513FR7022

Έκταση (KM2) : 10.49

Κατάντη : J10

Μέθοδος Απωλειών: SCS

Ποσοστό αδιαπέρατης επιφάνειας	0
Αριθμός Καμπύλης Απορροής-CN	77.31
Αρχικές Απώλειες	14.91

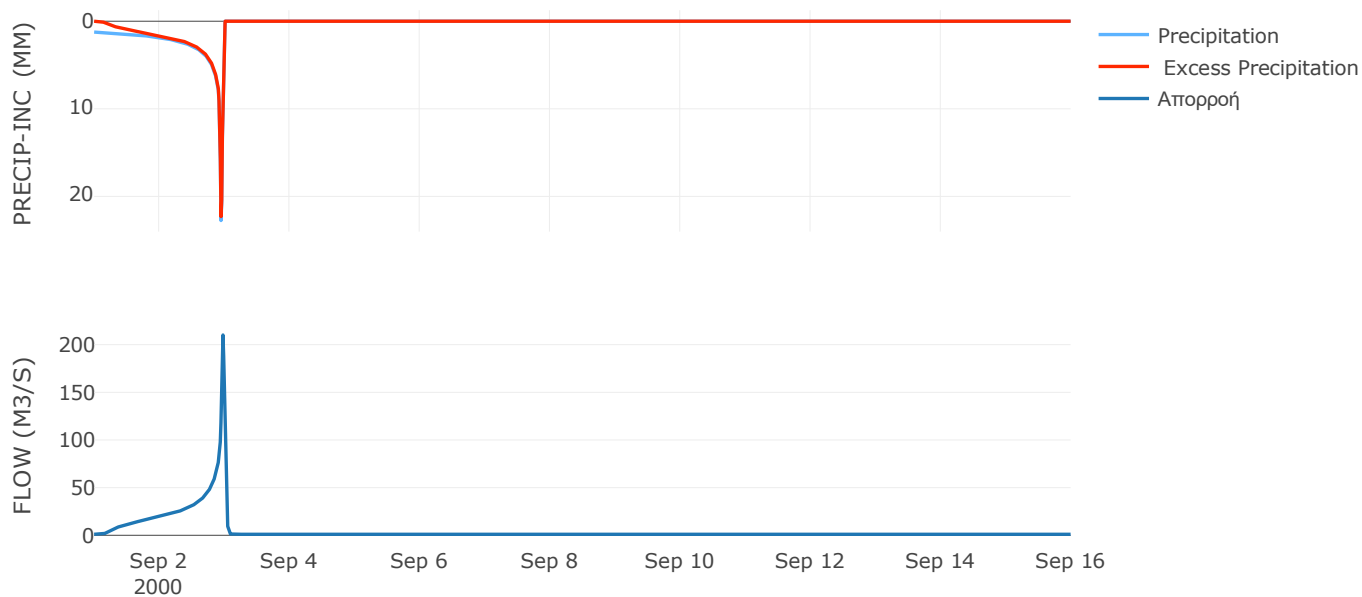
Μέθοδος
Μετασχηματισμού: SCS

Χρόνος Υστέρησης	27.1
------------------	------

Αποτελέσματα:
EL0513FR7022

Παροχή αιχμής (M3/S)	210.17
Χρονική στιγμή αιχμής	02Sep2000, 23:30
Όγκος (MM)	584.52
Όγκος βροχόπτωσης (M3)	5.61E6
Όγκος απωλειών (M3)	8.41E5
Ενεργός Όγκος (M3)	4.77E6
Όγκος άμεσης απορροής (M3)	4.77E6
Όγκος βασικής απορροής (M3)	1.36E6

Βροχόπτωση και Απορροή



Υπολεκάνη: EL0513FR7023

Έκταση (KM2) : 25.04

Κατάντη : J8

Μέθοδος Απωλειών: SCS

Ποσοστό αδιαπέρατης επιφάνειας	0
Αριθμός Καμπύλης Απορροής-CN	82.21
Αρχικές Απώλειες	10.99

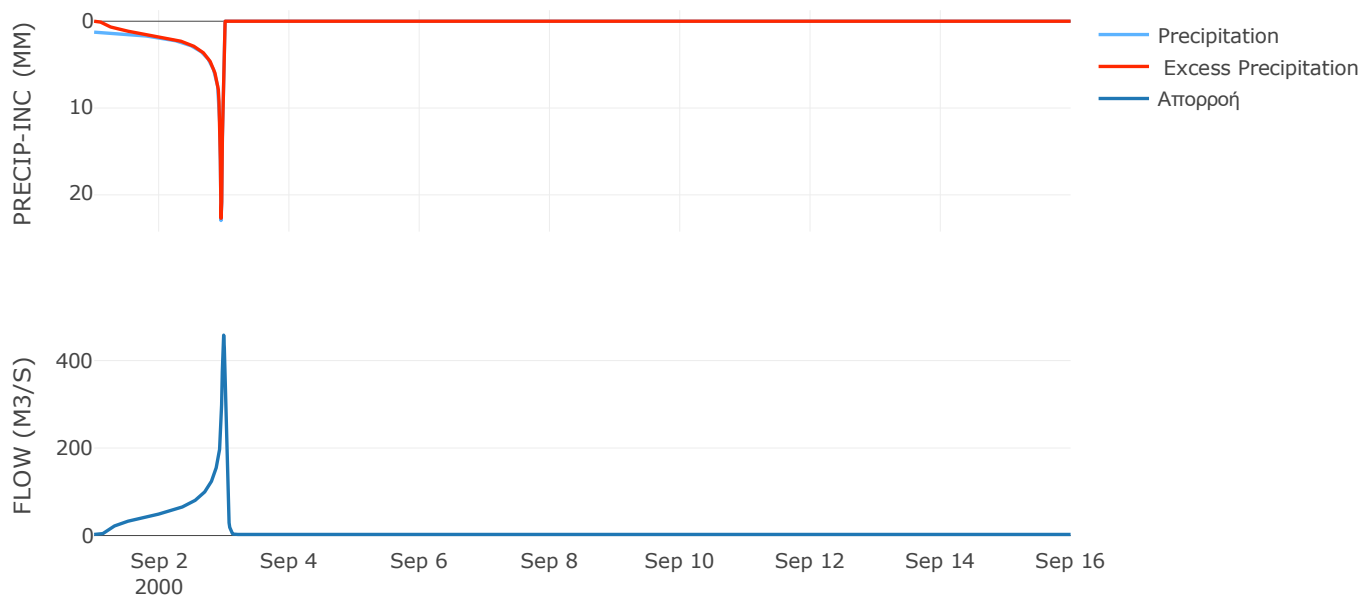
Μέθοδος
Μετασχηματισμού: SCS

Χρόνος Υστέρησης	41.91
------------------	-------

Αποτελέσματα:
EL0513FR7023

Παροχή αιχμής (M3/S)	458.12
Χρονική στιγμή αιχμής	02Sep2000, 23:45
Όγκος (MM)	611.93
Όγκος βροχόπτωσης (M3)	1.36E7
Όγκος απωλειών (M3)	1.52E6
Ενεργός Όγκος (M3)	1.21E7
Όγκος άμεσης απορροής (M3)	1.21E7
Όγκος βασικής απορροής (M3)	3.25E6

Βροχόπτωση και Απορροή



Υπολεκάνη: EL0513FR7024

Έκταση (KM2) : 52.1

Κατάντη : J7

Μέθοδος Απωλειών: SCS

Ποσοστό αδιαπέρατης επιφάνειας	0
Αριθμός Καμπύλης Απορροής-CN	81.72
Αρχικές Απώλειες	11.36

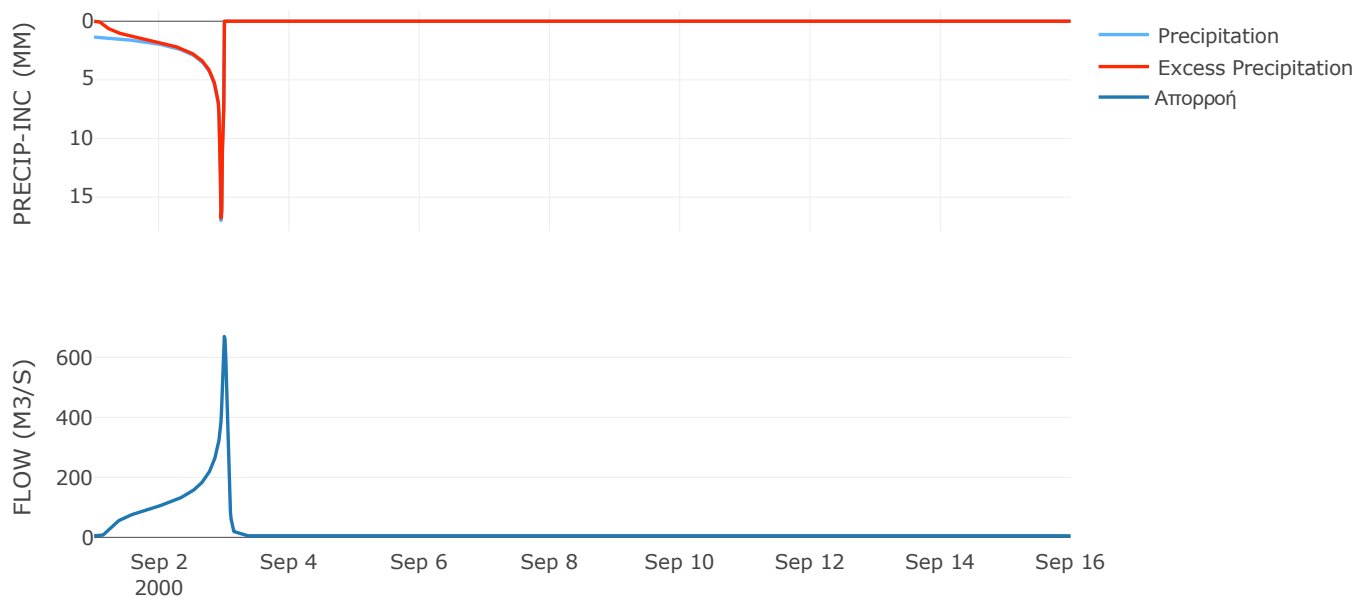
Μέθοδος
Μετασχηματισμού: SCS

Χρόνος Υστέρησης	64.62
------------------	-------

Αποτελέσματα:
EL0513FR7024

Παροχή αιχμής (M3/S)	669.89
Χρονική στιγμή αιχμής	02Sep2000, 24:00
Όγκος (MM)	586.63
Όγκος βροχόπτωσης (M3)	2.71E7
Όγκος απωλειών (M3)	3.25E6
Ενεργός Όγκος (M3)	2.38E7
Όγκος άμεσης απορροής (M3)	2.38E7
Όγκος βασικής απορροής (M3)	6.75E6

Βροχόπτωση και Απορροή



Υπολεκάνη: EL0513FR7025

Έκταση (KM2) : 25.4

Κατάντη : J7

Μέθοδος Απωλειών: SCS

Ποσοστό αδιαπέρατης επιφάνειας	0
Αριθμός Καμπύλης Απορροής-CN	86.56
Αρχικές Απώλειες	7.88

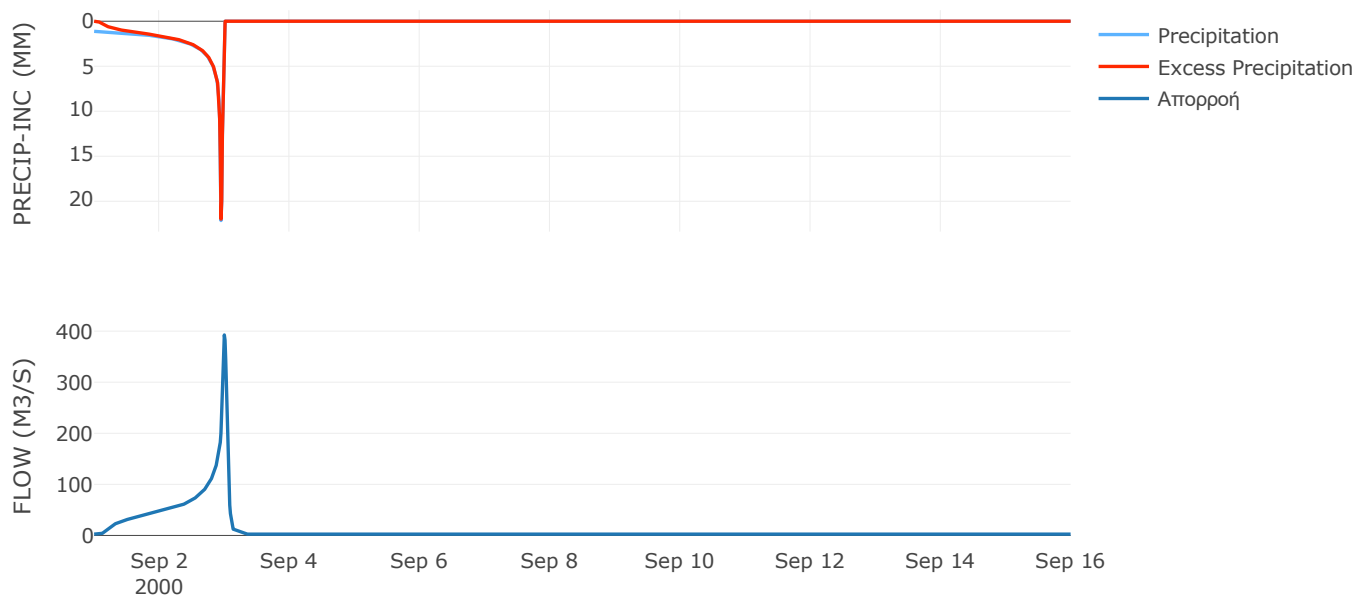
Μέθοδος
Μετασχηματισμού: SCS

Χρόνος Υστέρησης	62.61
------------------	-------

Αποτελέσματα:
EL0513FR7025

Παροχή αιχμής (M3/S)	392.48
Χρονική στιγμή αιχμής	02Sep2000, 24:00
Όγκος (MM)	581.57
Όγκος βροχόπτωσης (M3)	1.26E7
Όγκος απωλειών (M3)	1.13E6
Ενεργός Όγκος (M3)	1.15E7
Όγκος άμεσης απορροής (M3)	1.15E7
Όγκος βασικής απορροής (M3)	3.29E6

Βροχόπτωση και Απορροή



Υπολεκάνη: EL0513FR7026

Έκταση (KM2) : 15.52

Κατάντη : J9

Μέθοδος Απωλειών: SCS

Ποσοστό αδιαπέρατης επιφάνειας	0
Αριθμός Καμπύλης Απορροής-CN	90.76
Αρχικές Απώλειες	5.17

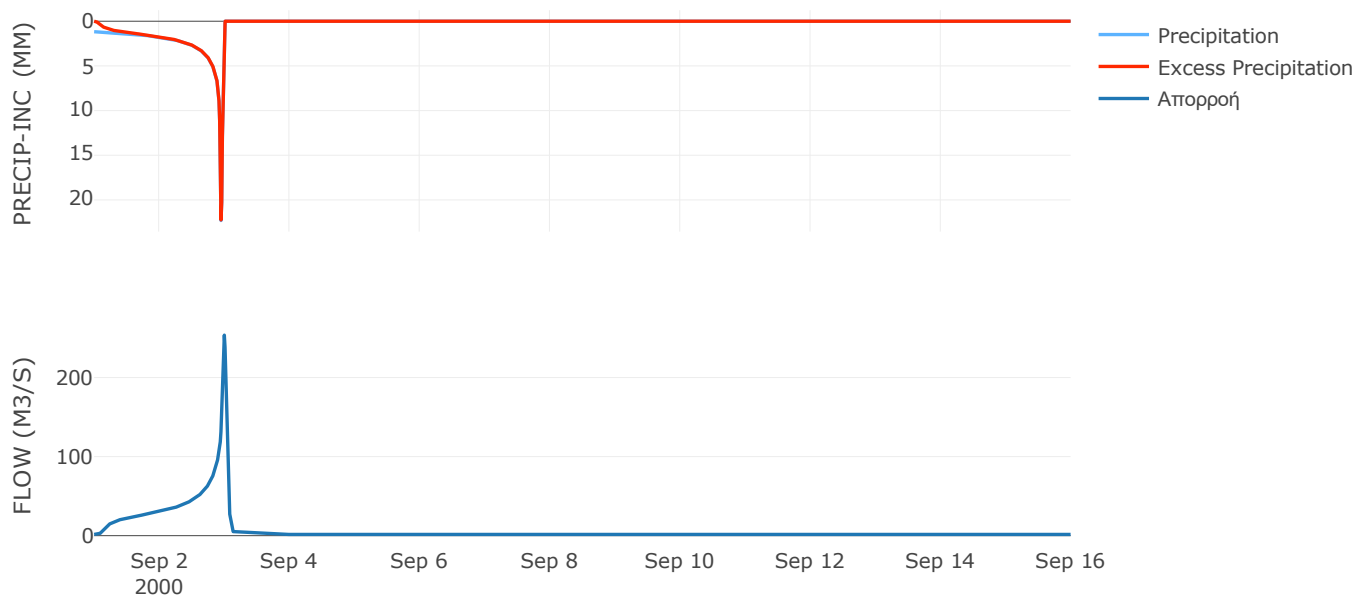
Μέθοδος
Μετασχηματισμού: SCS

Χρόνος Υστέρησης	55.81
------------------	-------

Αποτελέσματα:
EL0513FR7026

Παροχή αιχμής (M3/S)	253.6
Χρονική στιγμή αιχμής	02Sep2000, 24:00
Όγκος (MM)	612.65
Όγκος βροχόπτωσης (M3)	7.96E6
Όγκος απωλειών (M3)	4.62E5
Ενεργός Όγκος (M3)	7.5E6
Όγκος άμεσης απορροής (M3)	7.5E6
Όγκος βασικής απορροής (M3)	2.01E6

Βροχόπτωση και Απορροή



Υπολεκάνη: EL0513FR7027

Έκταση (KM2) : 34.03

Κατάντη : J9

Μέθοδος Απωλειών: SCS

Ποσοστό αδιαπέρατης επιφάνειας	0
Αριθμός Καμπύλης Απορροής-CN	82.78
Αρχικές Απώλειες	10.56

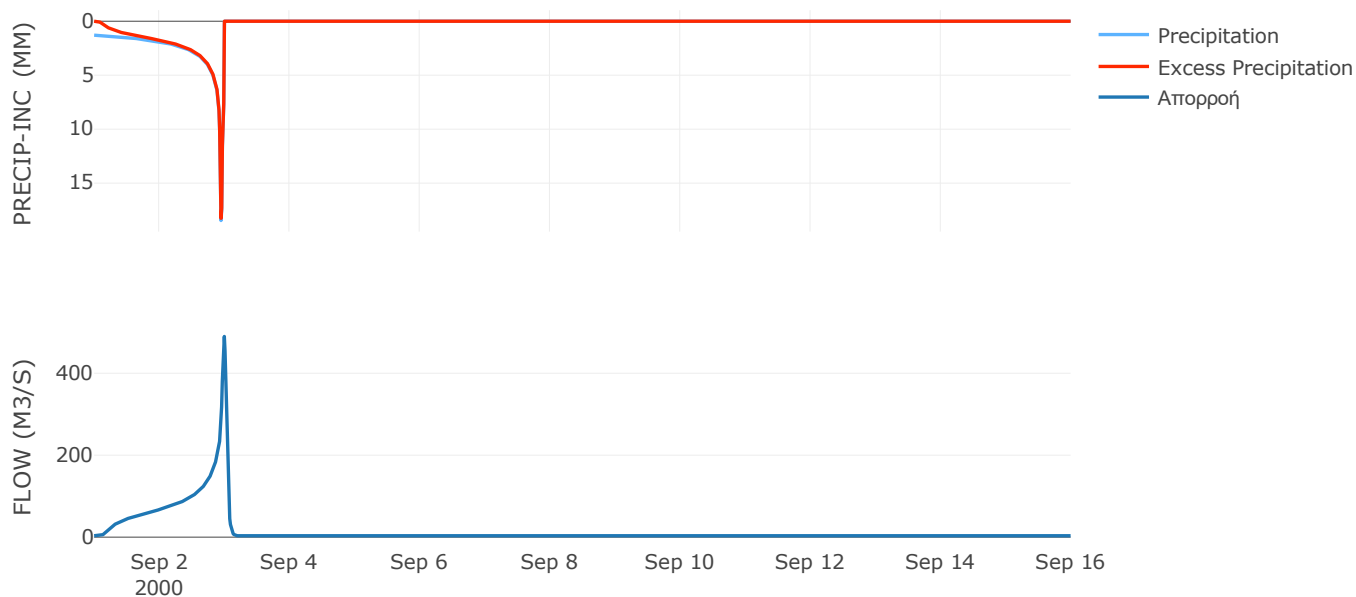
Μέθοδος
Μετασχηματισμού: SCS

Χρόνος Υστέρησης	52.52
------------------	-------

Αποτελέσματα:
EL0513FR7027

Παροχή αιχμής (M3/S)	489.8
Χρονική στιγμή αιχμής	02Sep2000, 24:00
Όγκος (MM)	587.05
Όγκος βροχόπτωσης (M3)	1.76E7
Όγκος απωλειών (M3)	1.99E6
Ενεργός Όγκος (M3)	1.56E7
Όγκος άμεσης απορροής (M3)	1.56E7
Όγκος βασικής απορροής (M3)	4.41E6

Βροχόπτωση και Απορροή



Υπολεκάνη: EL0513FR7028

Έκταση (KM2) : 71.91

Κατάντη : J13

Μέθοδος Απωλειών: SCS

Ποσοστό αδιαπέρατης επιφάνειας	0
Αριθμός Καμπύλης Απορροής-CN	81.84
Αρχικές Απώλειες	11.27

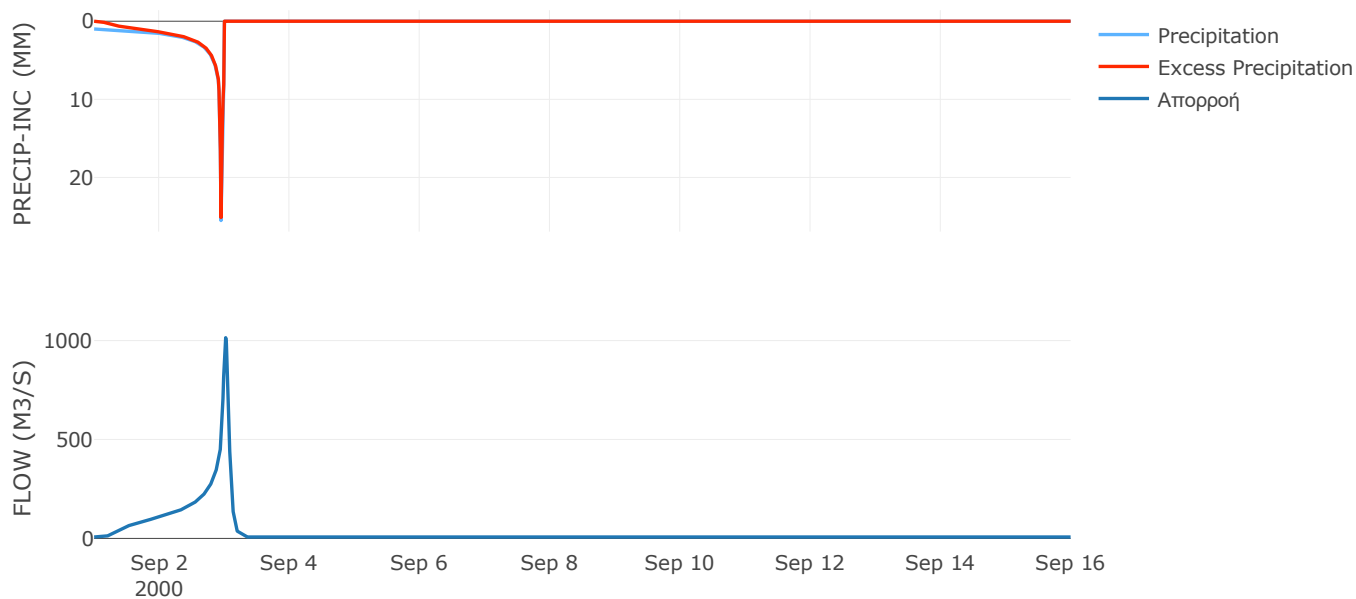
Μέθοδος
Μετασχηματισμού: SCS

Χρόνος Υστέρησης	93.82
------------------	-------

Αποτελέσματα:
EL0513FR7028

Παροχή αιχμής (M3/S)	1014.48
Χρονική στιγμή αιχμής	03Sep2000, 00:30
Όγκος (MM)	548.31
Όγκος βροχόπτωσης (M3)	3.45E7
Όγκος απωλειών (M3)	4.43E6
Ενεργός Όγκος (M3)	3.01E7
Όγκος άμεσης απορροής (M3)	3.01E7
Όγκος βασικής απορροής (M3)	9.32E6

Βροχόπτωση και Απορροή



Υπολεκάνη: EL0513FR7029

Έκταση (KM2) : 1.99

Κατάντη : J3

Μέθοδος Απωλειών: SCS

Ποσοστό αδιαπέρατης επιφάνειας	0
Αριθμός Καμπύλης Απορροής-CN	89.14
Αρχικές Απώλειες	6.19

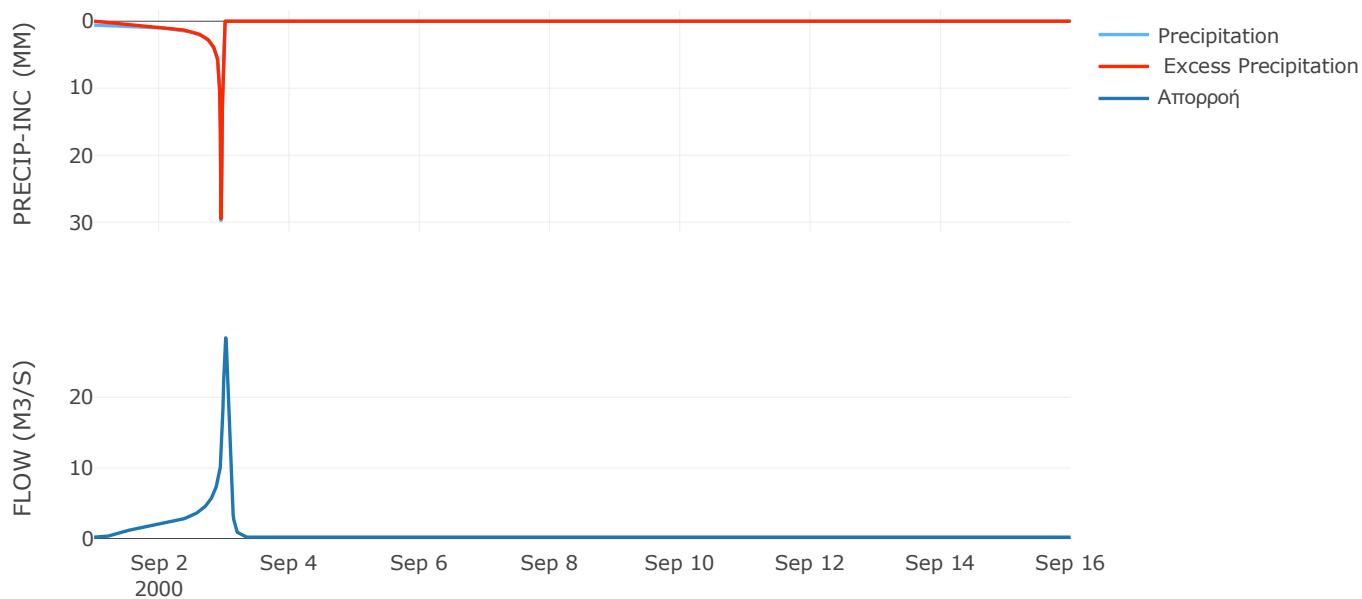
Μέθοδος
Μετασχηματισμού: SCS

Χρόνος Υστέρησης	90.78
------------------	-------

Αποτελέσματα:
EL0513FR7029

Παροχή αιχμής (M3/S)	28.42
Χρονική στιγμή αιχμής	03Sep2000, 00:30
Όγκος (MM)	455.42
Όγκος βροχόπτωσης (M3)	7.16E5
Όγκος απωλειών (M3)	68783.31
Ενεργός Όγκος (M3)	6.47E5
Όγκος άμεσης απορροής (M3)	6.47E5
Όγκος βασικής απορροής (M3)	2.57E5

Βροχόπτωση και Απορροή



10.2 Δεδομένα και υδρογραφήματα σχεδιασμού Κλάδων υδρογραφικού δικτύου

Κλάδος: R21

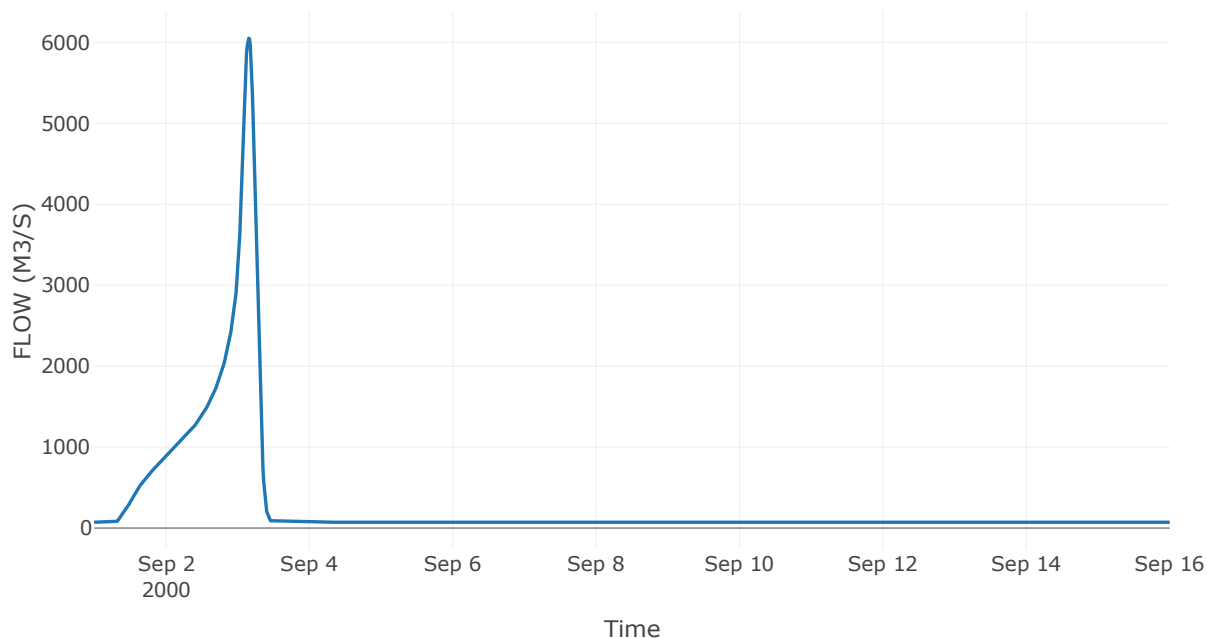
Κατάντη : J1

Μέθοδος Διόδευσης	Muskingum
Αρχική Μεταβλητή	Combined Inflow
Χρόνος Ροής K	1.51
Συντελεστής βάρους x	0.2
Πλήθος Υποκλάδων	7

Αποτελέσματα: R21

Παροχή αιχμής (M3/S)	6051.56
Χρονική στιγμή αιχμής	03Sep2000, 03:45
Όγκος (MM)	518.33
Παροχή Αιχμής Εισόδου (M3/S)	6130.72
Όγκος Εισροής (M3)	3.73E8

Απορροή



Κλάδος: R32

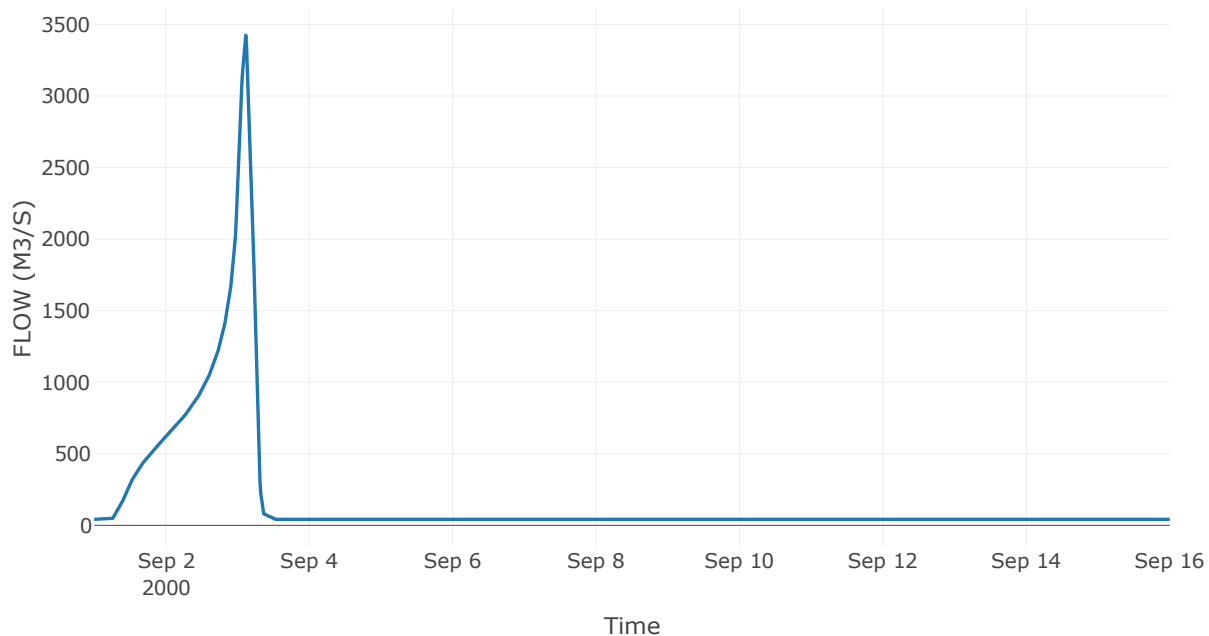
Κατάντη : J2

Μέθοδος Διόδευσης	Muskingum
Αρχική Μεταβλητή	Combined Inflow
Χρόνος Ροής K	0.75
Συντελεστής βάρους x	0.2
Πλήθος Υποκλάδων	4

Αποτελέσματα: R32

Παροχή αιχμής (M3/S)	3423.98
Χρονική στιγμή αιχμής	03Sep2000, 02:45
Όγκος (MM)	540.15
Παροχή Αιχμής Εισόδου (M3/S)	3478.43
Όγκος Εισροής (M3)	2.26E8

Απορροή



Κλάδος: R43

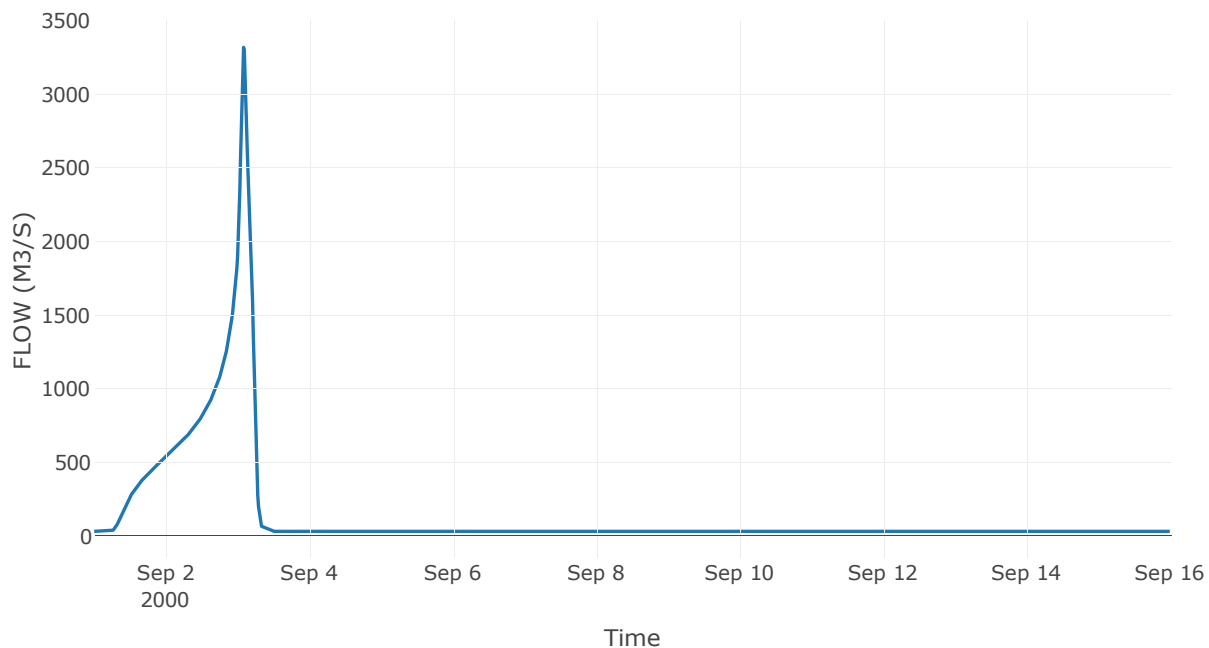
Κατάντη : J3

Μέθοδος Διόδευσης	Muskingum
Αρχική Μεταβλητή	Combined Inflow
Χρόνος Ροής Κ	1.81
Συντελεστής βάρους α	0.2
Πλήθος Υποκλάδων	9

Αποτελέσματα: R43

Παροχή αιχμής (M3/S)	3318.67
Χρονική στιγμή αιχμής	03Sep2000, 02:00
Όγκος (MM)	556.51
Παροχή Αιχμής Εισόδου (M3/S)	3566.21
Όγκος Εισροής (M3)	1.9E8

Απορροή



Κλάδος: R54

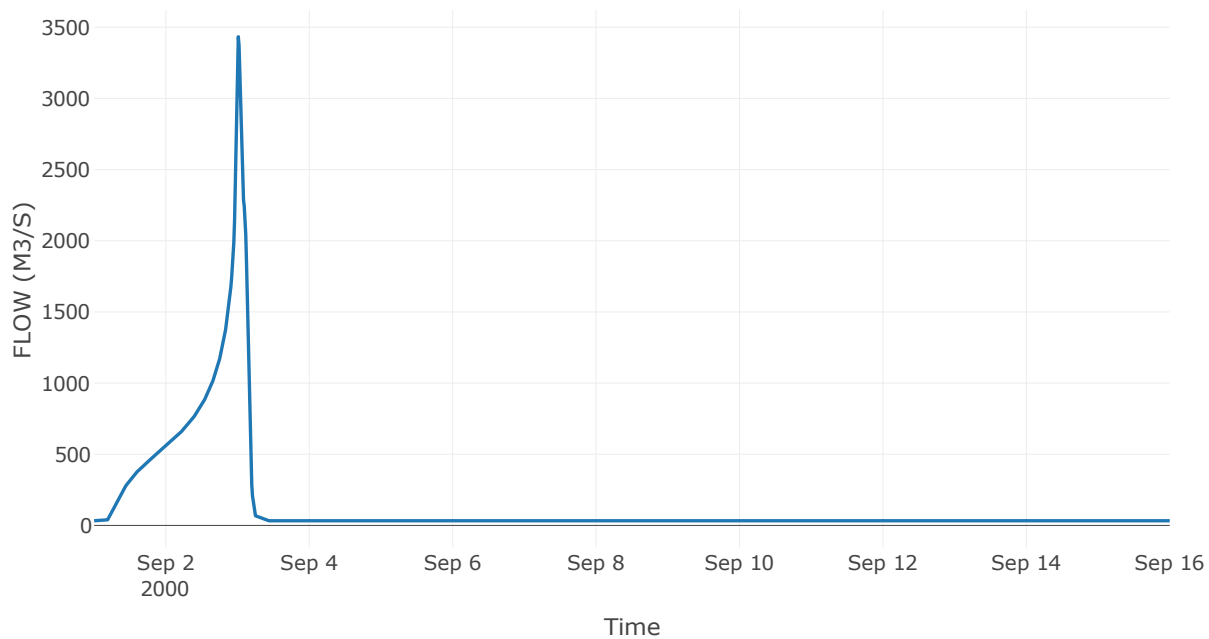
Κατάντη : J4

Μέθοδος Διόδευσης	Χρόνος
Αρχική Μεταβλητή	Combined Inflow
Χρόνος Υστέρησης	11

Αποτελέσματα: R54

Παροχή αιχμής (M3/S)	3433.48
Χρονική στιγμή αιχμής	03Sep2000, 00:15
Όγκος (MM)	560.65
Παροχή Αιχμής Εισόδου (M3/S)	3439.25
Όγκος Εισροής (M3)	1.84E8

Απορροή



Κλάδος: R65

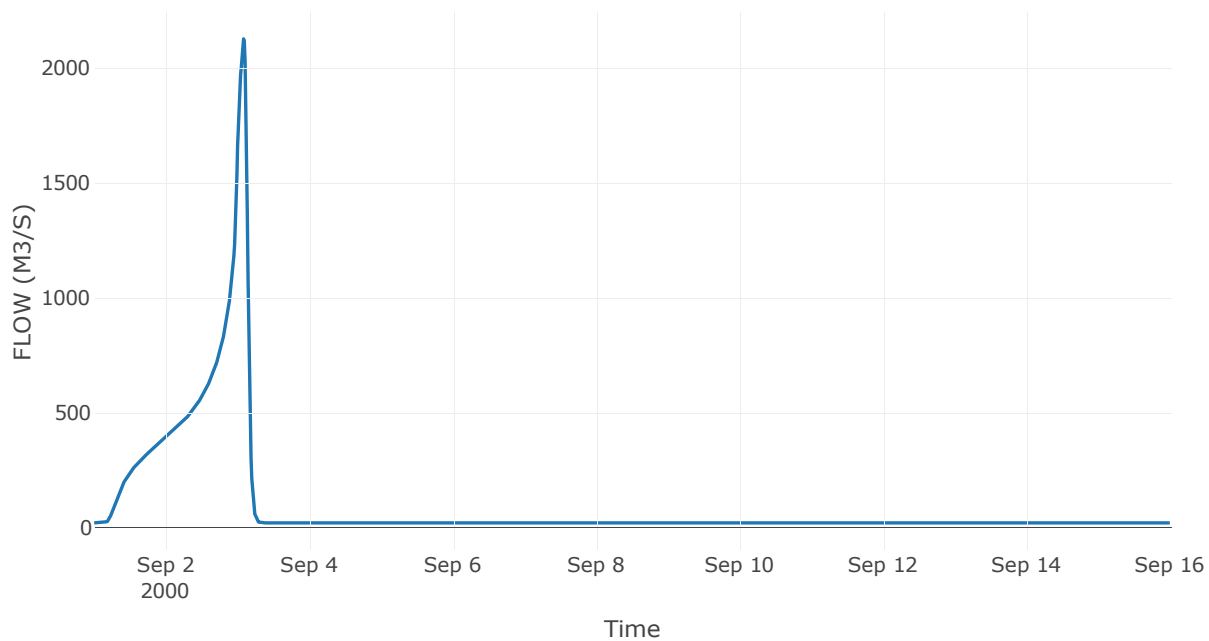
Κατάντη : J5

Μέθοδος Διόδευσης	Χρόνος
Αρχική Μεταβλητή	Combined Inflow
Χρόνος Υστέρησης	34.95

Αποτελέσματα: R65

Παροχή αιχμής (M3/S)	2127.47
Χρονική στιγμή αιχμής	03Sep2000, 02:00
Όγκος (MM)	577.05
Παροχή Αιχμής Εισόδου (M3/S)	2134.62
Όγκος Εισροής (M3)	1.25E8

Απορροή



Κλάδος: R76

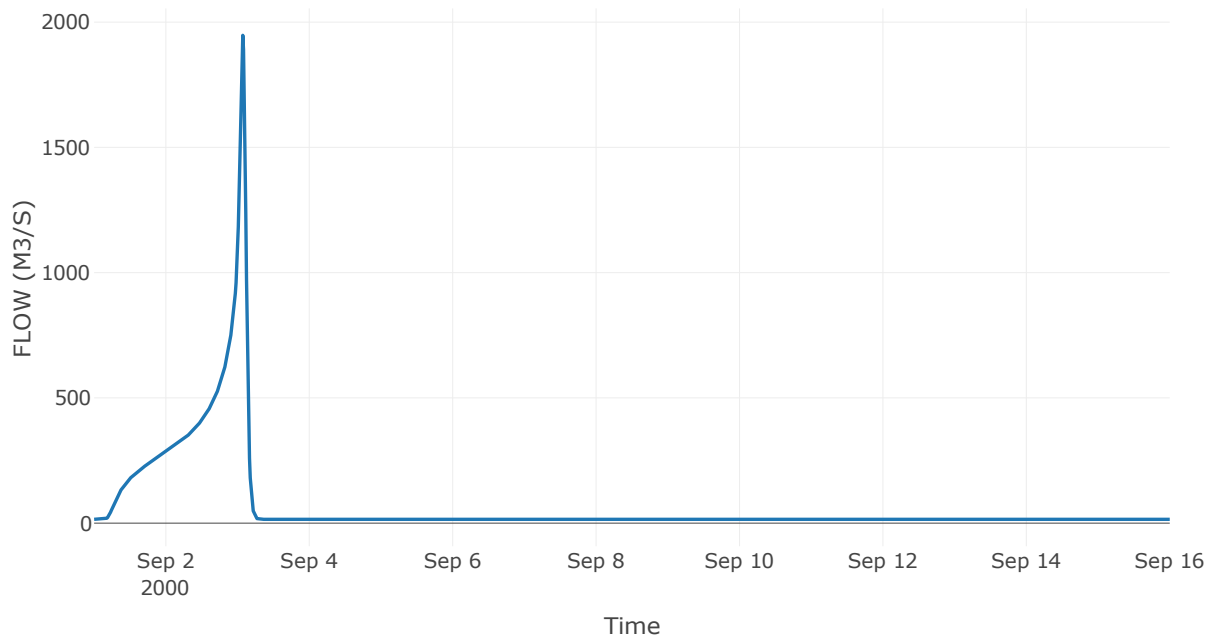
Κατάντη : J6

Μέθοδος Διόδευσης	Muskingum
Αρχική Μεταβλητή	Combined Inflow
Χρόνος Ροής K	1.37
Συντελεστής βάρους x	0.2
Πλήθος Υποκλάδων	7

Αποτελέσματα: R76

Παροχή αιχμής (M3/S)	1947.52
Χρονική στιγμή αιχμής	03Sep2000, 01:45
Όγκος (MM)	592.7
Παροχή Αιχμής Εισόδου (M3/S)	2088.81
Όγκος Εισροής (M3)	9.01E7

Απορροή



Κλάδος: R87

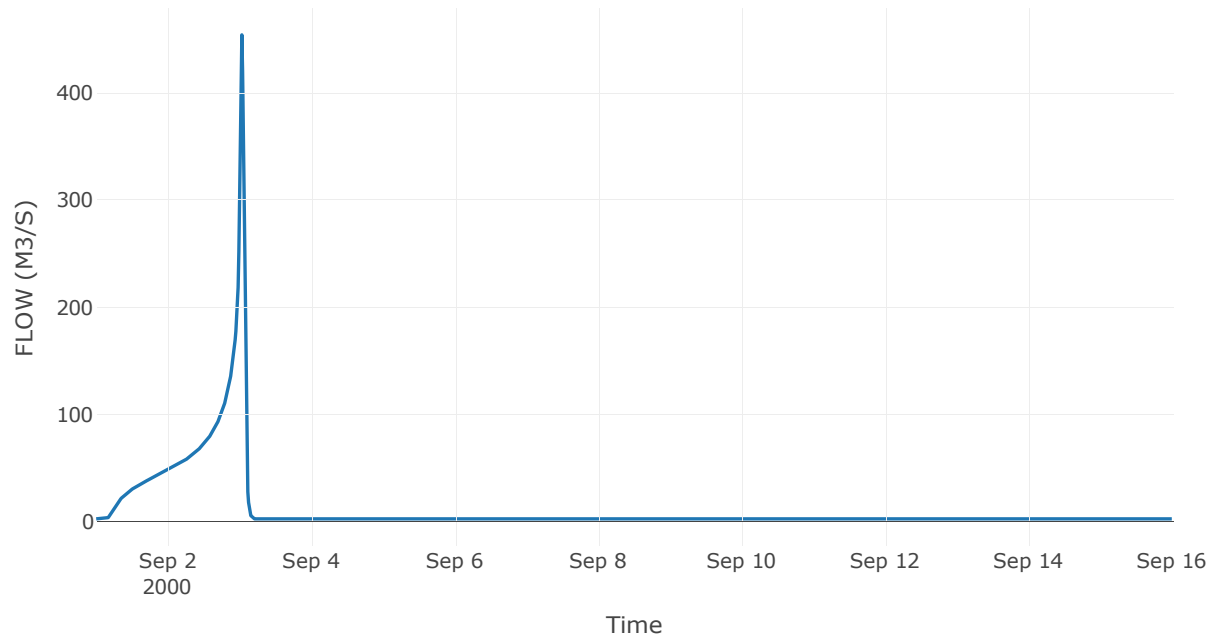
Κατάντη : J7

Μέθοδος Διόδευσης	Χρόνος
Αρχική Μεταβλητή	Combined Inflow
Χρόνος Υστέρησης	58.13

Αποτελέσματα: R87

Παροχή αιχμής (M3/S)	454.19
Χρονική στιγμή αιχμής	03Sep2000, 00:45
Όγκος (MM)	611.93
Παροχή Αιχμής Εισόδου (M3/S)	458.12
Όγκος Εισροής (M3)	1.53E7

Απορροή



Κλάδος: R97

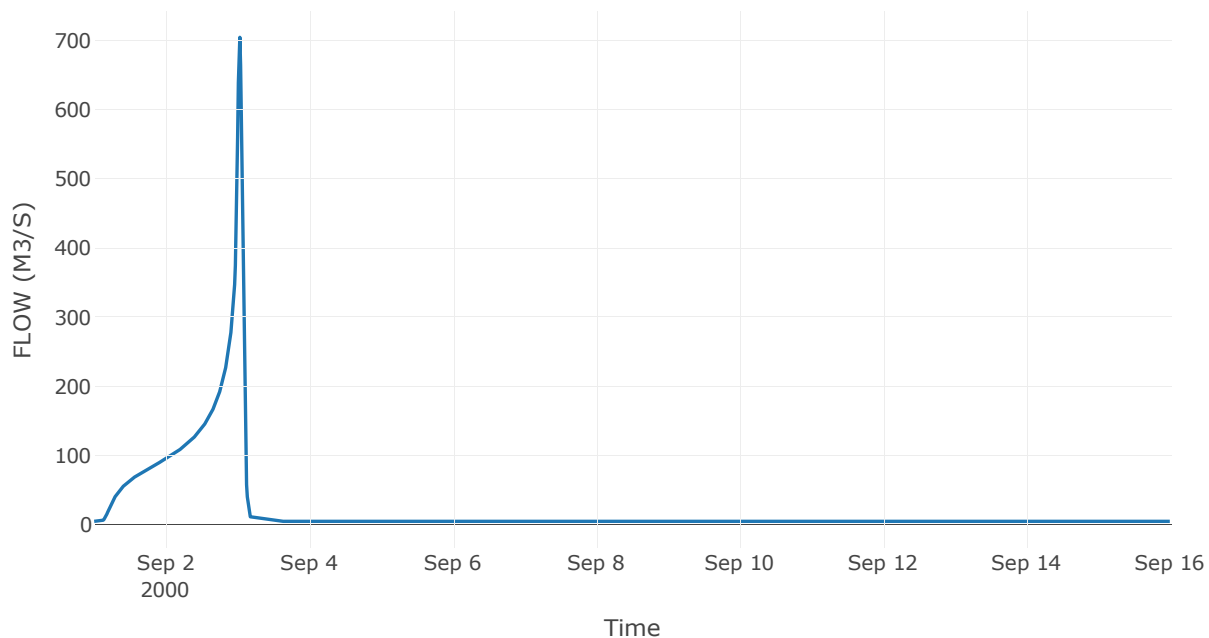
Κατάντη : J7

Μέθοδος Διόδευσης	Muskingum
Αρχική Μεταβλητή	Combined Inflow
Χρόνος Ροής K	0.78
Συντελεστής βάρους x	0.2
Πλήθος Υποκλάδων	4

Αποτελέσματα: R97

Παροχή αιχμής (M3/S)	704.67
Χρονική στιγμή αιχμής	03Sep2000, 00:45
Όγκος (MM)	595.07
Παροχή Αιχμής Εισόδου (M3/S)	743.4
Όγκος Εισροής (M3)	2.95E7

Απορροή



Κλάδος: R105

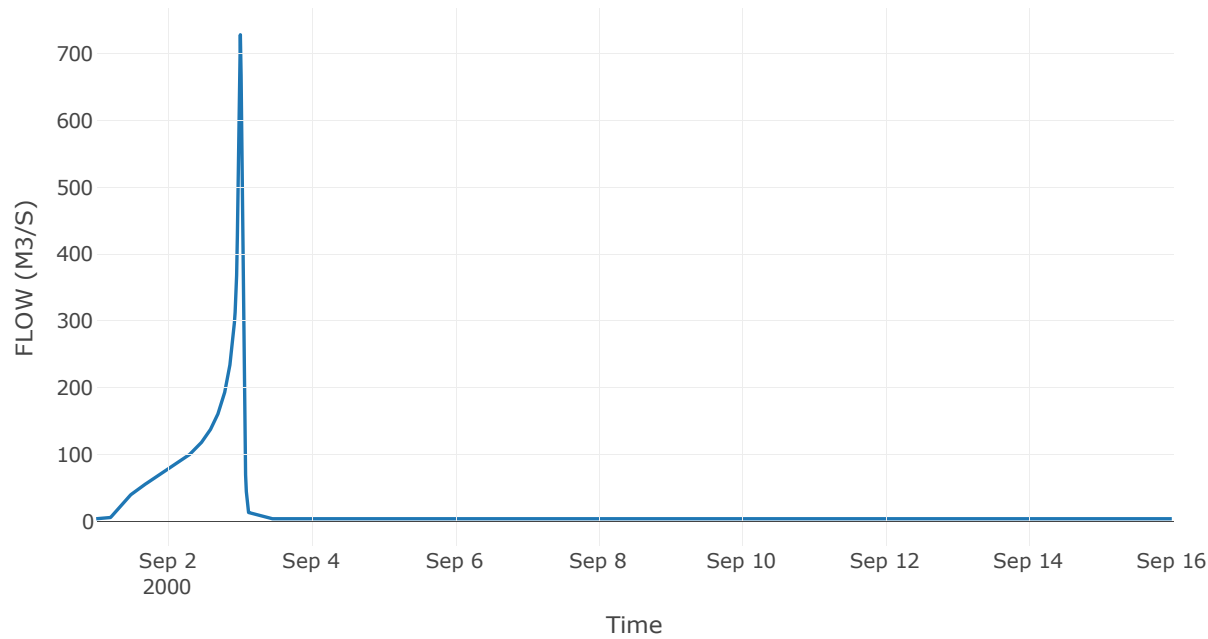
Κατάντη : J5

Μέθοδος Διόδευσης	Χρόνος
Αρχική Μεταβλητή	Combined Inflow
Χρόνος Υστέρησης	28.83

Αποτελέσματα: R105

Παροχή αιχμής (M3/S)	728.05
Χρονική στιγμή αιχμής	03Sep2000, 00:15
Όγκος (MM)	577.96
Παροχή Αιχμής Εισόδου (M3/S)	735.4
Όγκος Εισροής (M3)	2.48E7

Απορροή



Κλάδος: R1112

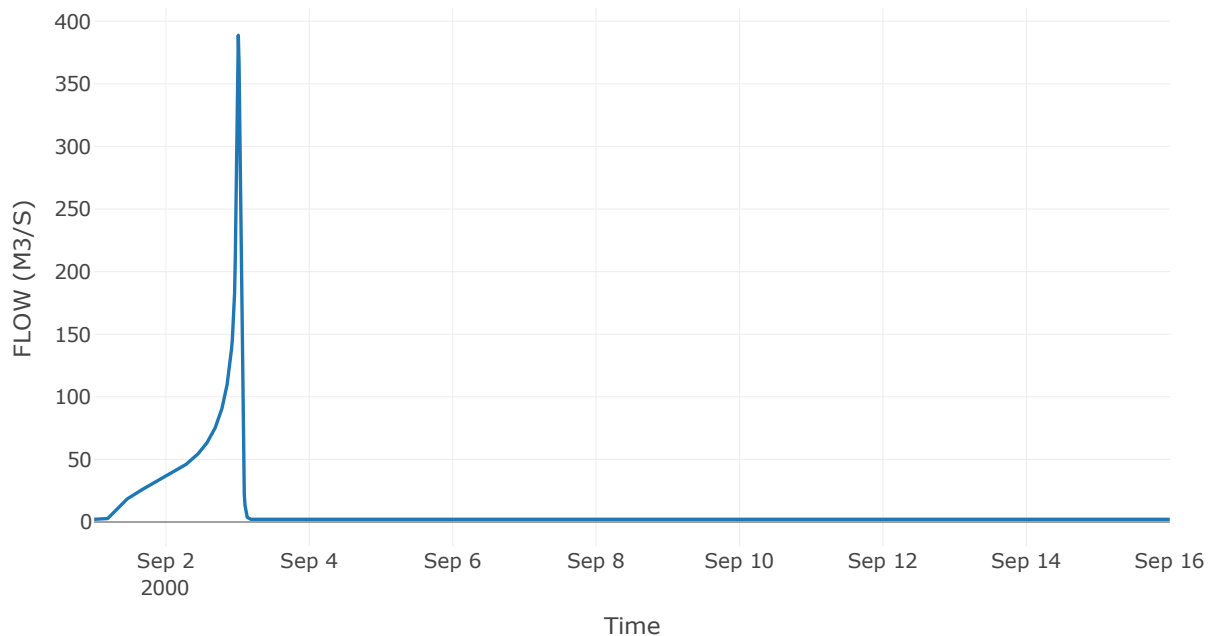
Κατάντη : J12

Μέθοδος Διόδευσης	Muskingum
Αρχική Μεταβλητή	Combined Inflow
Χρόνος Ροής K	0.64
Συντελεστής βάρους x	0.2
Πλήθος Υποκλάδων	3

Αποτελέσματα: R1112

Παροχή αιχμής (M3/S)	388.79
Χρονική στιγμή αιχμής	03Sep2000, 00:15
Όγκος (MM)	567.69
Παροχή Αιχμής Εισόδου (M3/S)	417.95
Όγκος Εισροής (M3)	1.22E7

Απορροή



Κλάδος: R1213

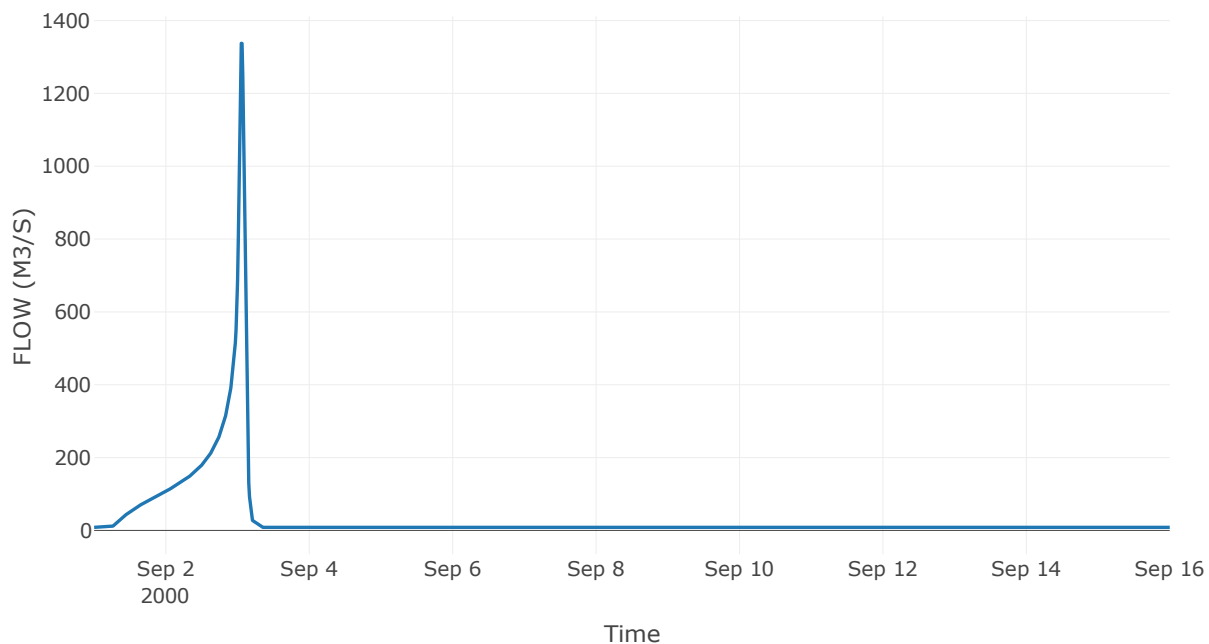
Κατάντη : J13

Μέθοδος Διόδευσης	Muskingum
Αρχική Μεταβλητή	Combined Inflow
Χρόνος Ροής K	1.29
Συντελεστής βάρους x	0.2
Πλήθος Υποκλάδων	6

Αποτελέσματα: R1213

Παροχή αιχμής (M3/S)	1337.51
Χρονική στιγμή αιχμής	03Sep2000, 01:15
Όγκος (MM)	522
Παροχή Αιχμής Εισόδου (M3/S)	1481.92
Όγκος Εισροής (M3)	4.42E7

Απορροή



Κλάδος: R1314

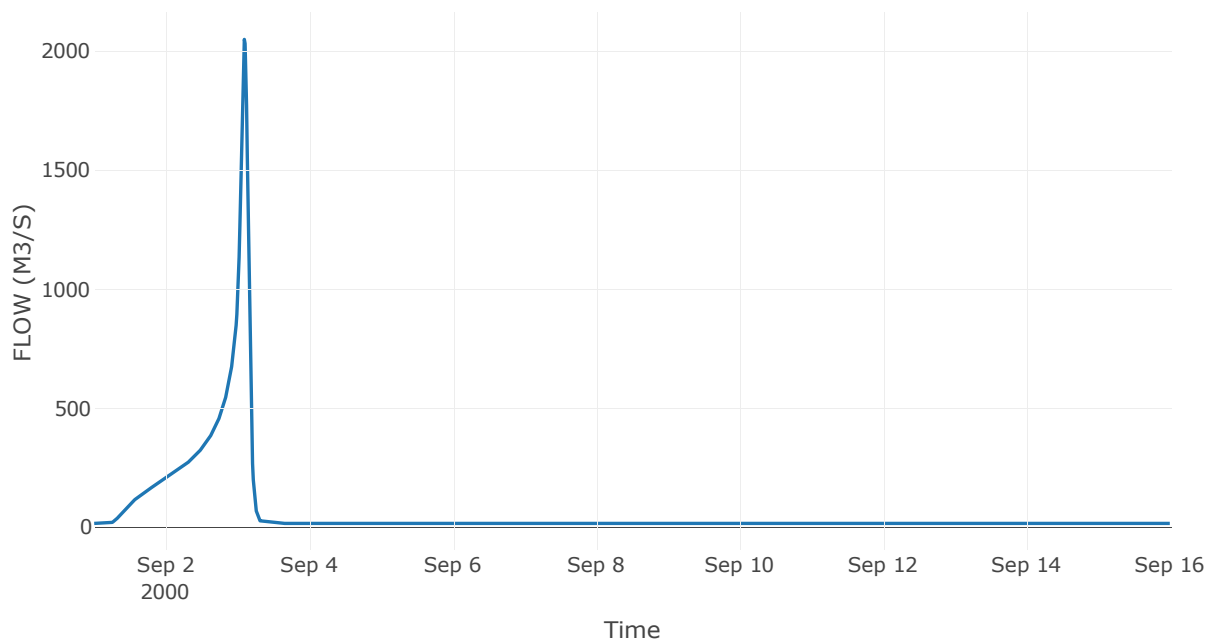
Κατάντη : J14

Μέθοδος Διόδευσης	Muskingum
Αρχική Μεταβλητή	Combined Inflow
Χρόνος Ροής Κ	1.31
Συντελεστής βάρους α	0.2
Πλήθος Υποκλάδων	6

Αποτελέσματα: R1314

Παροχή αιχμής (M3/S)	2050.11
Χρονική στιγμή αιχμής	03Sep2000, 02:15
Όγκος (MM)	534.09
Παροχή Αιχμής Εισόδου (M3/S)	2164.15
Όγκος Εισροής (M3)	8.36E7

Απορροή



Κλάδος: R1415

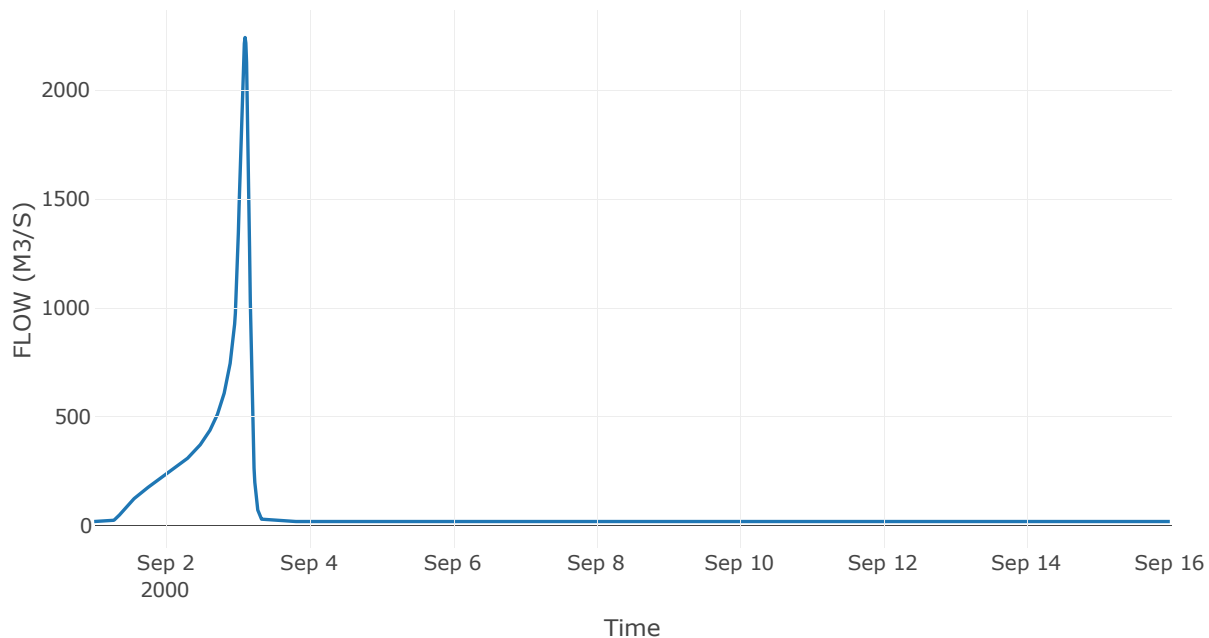
Κατάντη : J15

Μέθοδος Διόδευσης	Muskingum
Αρχική Μεταβλητή	Combined Inflow
Χρόνος Ροής Κ	0.4
Συντελεστής βάρους x	0.2
Πλήθος Υποκλάδων	2

Αποτελέσματα: R1415

Παροχή αιχμής (M3/S)	2242.16
Χρονική στιγμή αιχμής	03Sep2000, 02:30
Όγκος (MM)	518.42
Παροχή Αιχμής Εισόδου (M3/S)	2257.62
Όγκος Εισροής (M3)	1E8

Απορροή



Κλάδος: R152

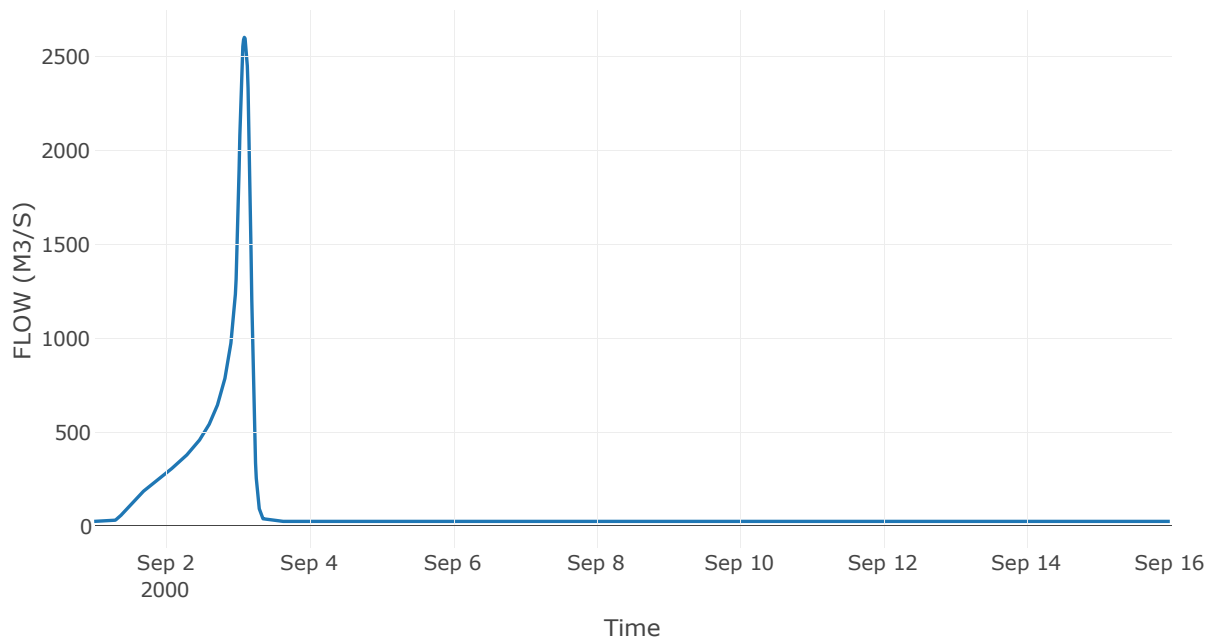
Κατάντη : J2

Μέθοδος Διόδευσης	Muskingum
Αρχική Μεταβλητή	Combined Inflow
Χρόνος Ροής K	0.61
Συντελεστής βάρους x	0.2
Πλήθος Υποκλάδων	3

Αποτελέσματα: R152

Παροχή αιχμής (M3/S)	2601.29
Χρονική στιγμή αιχμής	03Sep2000, 02:15
Όγκος (MM)	495.45
Παροχή Αιχμής Εισόδου (M3/S)	2610.1
Όγκος Εισροής (M3)	1.3E8

Απορροή



Κλάδος: R1615

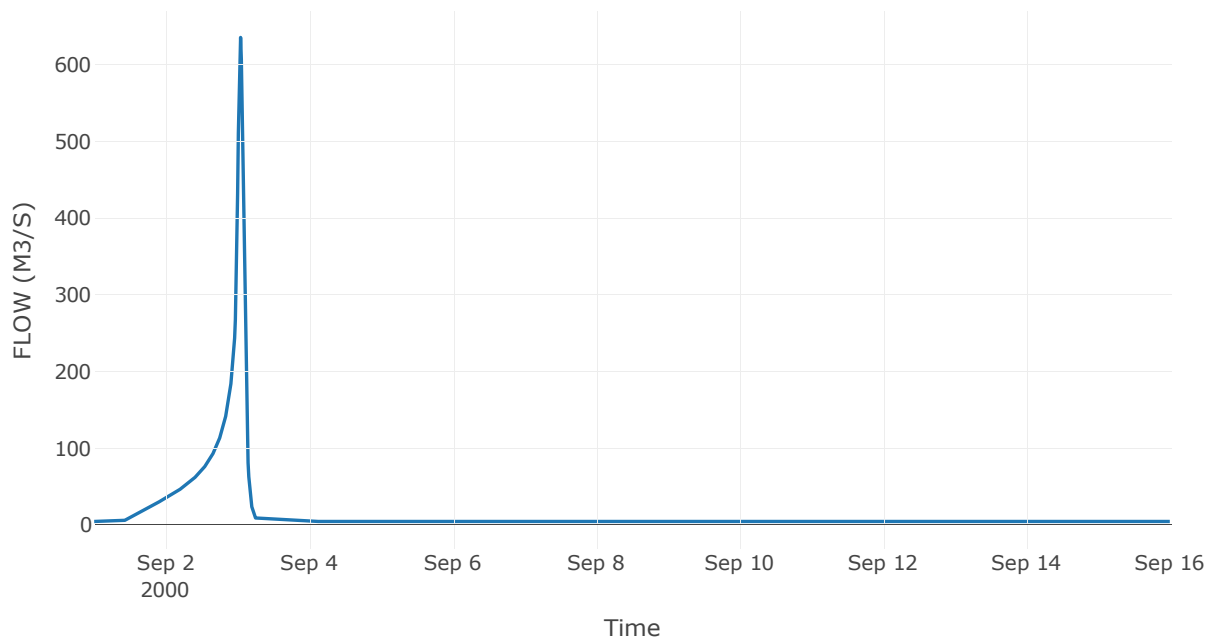
Κατάντη : J15

Μέθοδος Διόδευσης	Muskingum
Αρχική Μεταβλητή	Combined Inflow
Χρόνος Ροής K	0.6
Συντελεστής βάρους x	0.2
Πλήθος Υποκλάδων	3

Αποτελέσματα: R1615

Παροχή αιχμής (M3/S)	635.34
Χρονική στιγμή αιχμής	03Sep2000, 01:00
Όγκος (MM)	421.51
Παροχή Αιχμής Εισόδου (M3/S)	658.42
Όγκος Εισροής (M3)	1.98E7

Απορροή



Κλάδος: R173

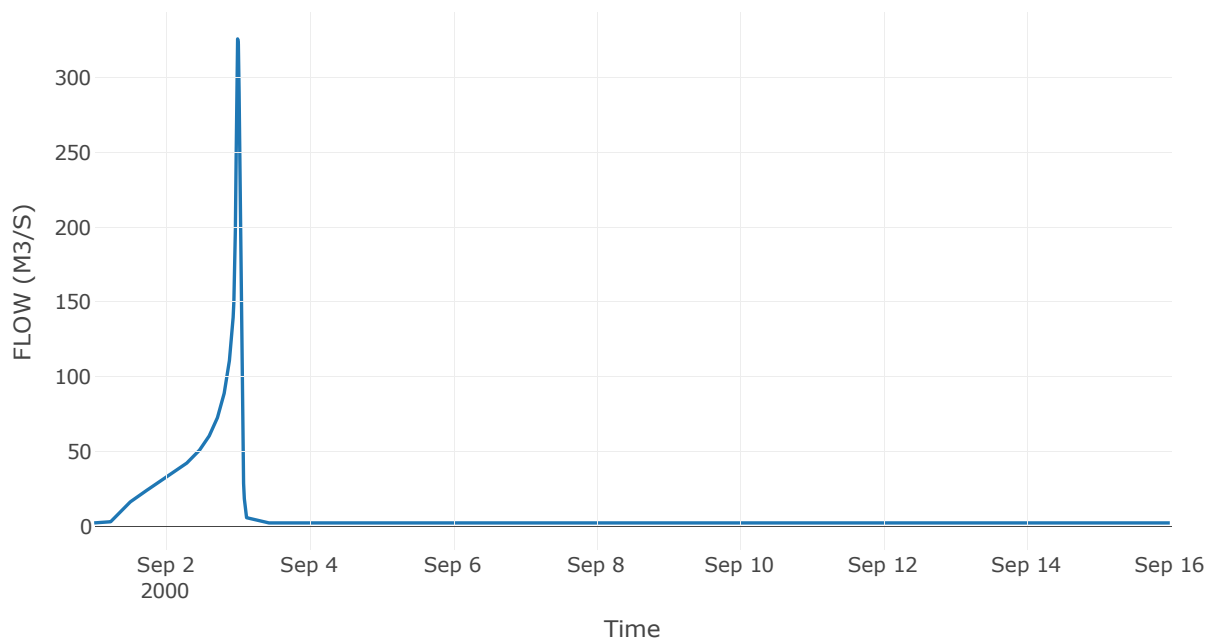
Κατάντη : J3

Μέθοδος Διόδευσης	Χρόνος
Αρχική Μεταβλητή	Combined Inflow
Χρόνος Υστέρησης	22.81

Αποτελέσματα: R173

Παροχή αιχμής (M3/S)	325.9
Χρονική στιγμή αιχμής	02Sep2000, 24:00
Όγκος (MM)	450.07
Παροχή Αιχμής Εισόδου (M3/S)	332.89
Όγκος Εισροής (M3)	1.15E7

Απορροή



Κλάδος: R183

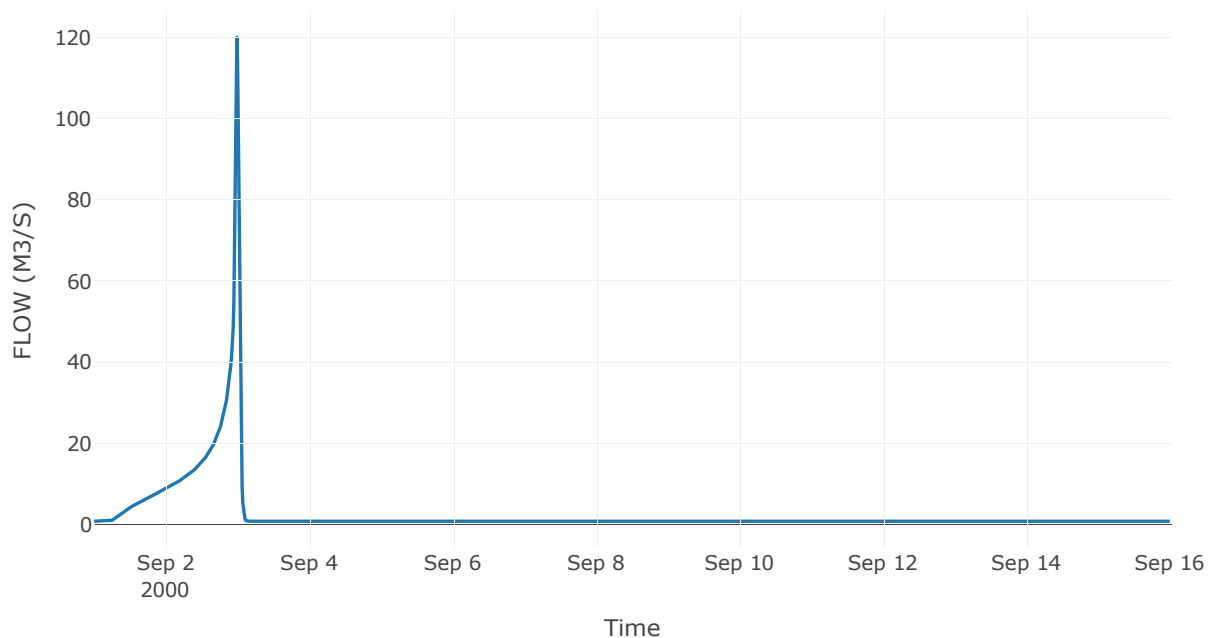
Κατάντη : J3

Μέθοδος Διόδευσης	Muskingum
Αρχική Μεταβλητή	Combined Inflow
Χρόνος Ροής K	0.29
Συντελεστής βάρους x	0.2
Πλήθος Υποκλάδων	1

Αποτελέσματα: R183

Παροχή αιχμής (M3/S)	120.03
Χρονική στιγμή αιχμής	02Sep2000, 23:45
Όγκος (MM)	432.38
Παροχή Αιχμής Εισόδου (M3/S)	127.85
Όγκος Εισροής (M3)	3.46E6

Απορροή



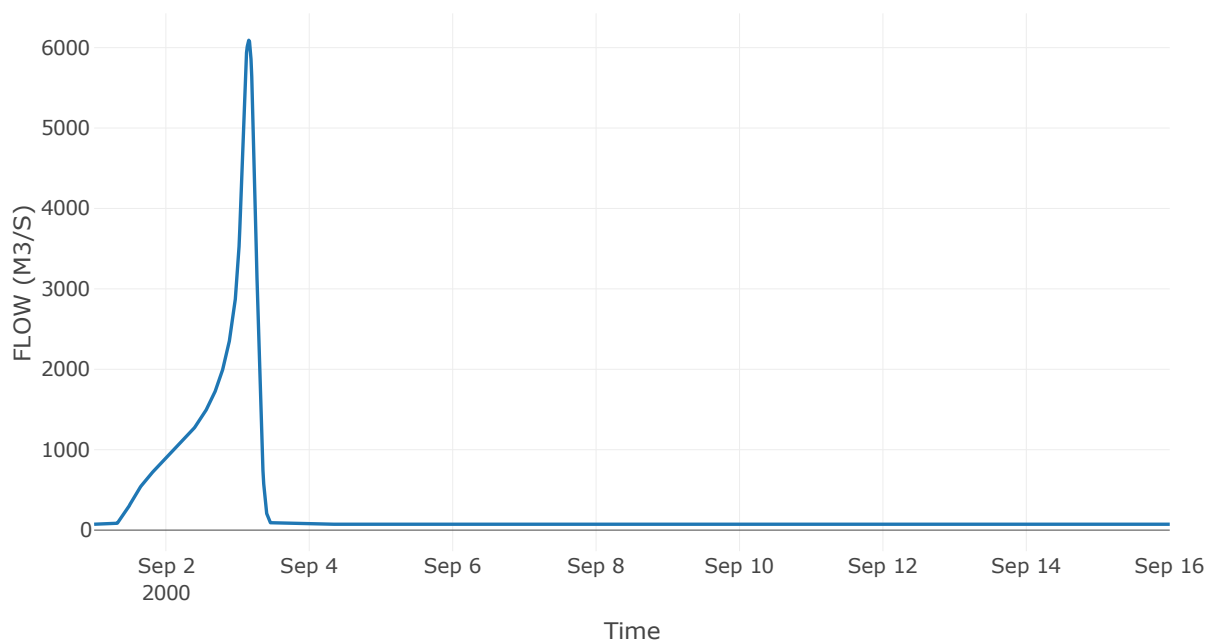
10.3 Δεδομένα και υδρογραφήματα σχεδιασμού Κόμβων υδρογραφικού δικτύου

Κόμβος εξόδου: J1

Αποτέλεσμα
τα: J1

Παροχή αιχμής (M3/S)	6092.36
Χρονική στιγμή αιχμής	03Sep2000, 03:45
Όγκος (MM)	517.2

Απορροή



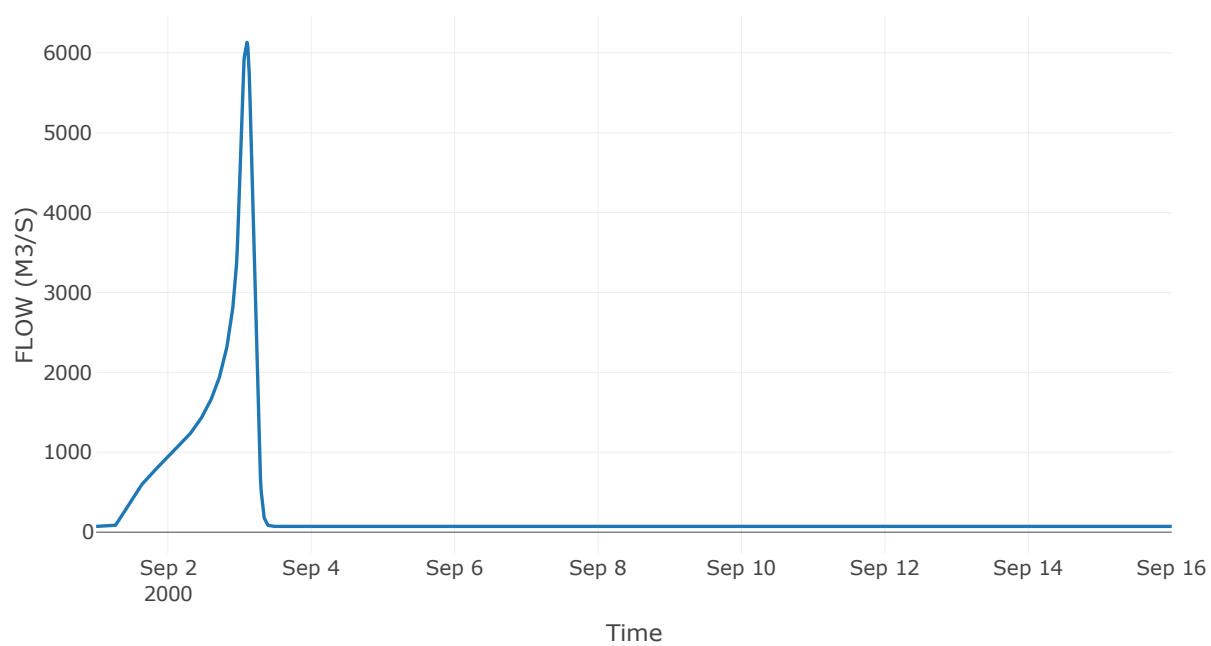
Κόμβος: J2

Κατάντη : R21

Αποτελέσματα: J2

Παροχή αιχμής (M3/S)	6130.72
Χρονική στιγμή αιχμής	03Sep2000, 02:30
Όγκος (MM)	518.33

Απορροή



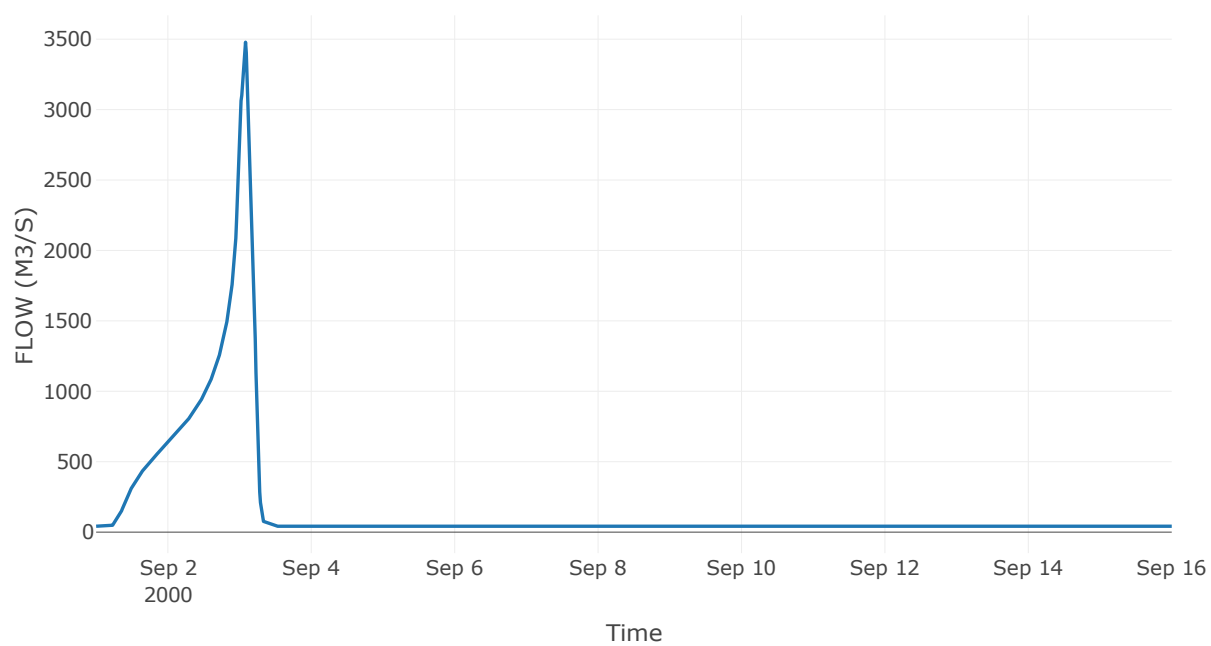
Κόμβος: J3

Κατάντη : R32

Αποτελέσματα: J3

Παροχή αιχμής (M3/S)	3478.43
Χρονική στιγμή αιχμής	03Sep2000, 02:00
Όγκος (MM)	540.15

Απορροή



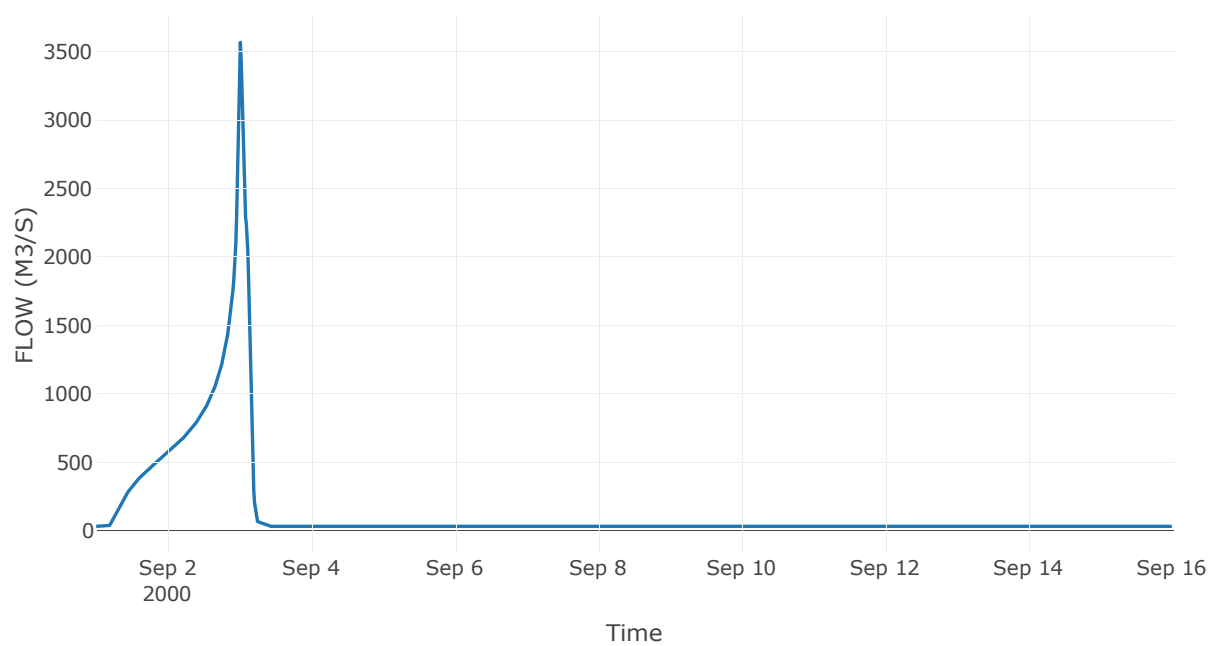
Κόμβος: J4

Κατάντη : R43

Αποτελέσματα: J4

Παροχή αιχμής (M3/S)	3566.21
Χρονική στιγμή αιχμής	03Sep2000, 00:15
Όγκος (MM)	556.51

Απορροή



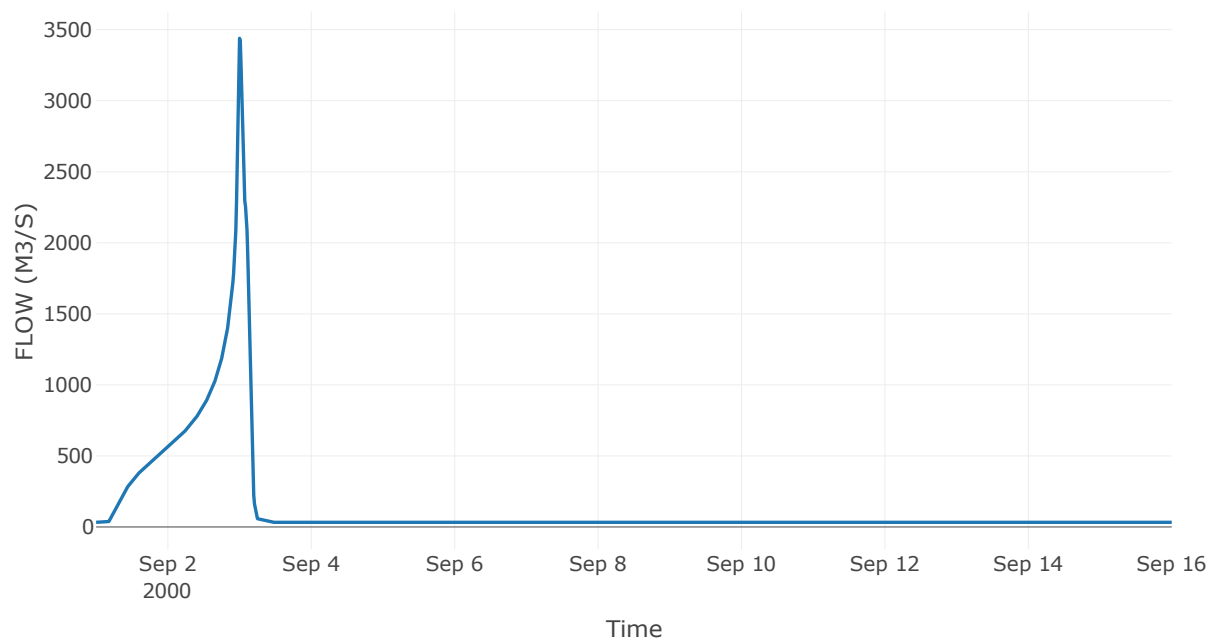
Κόμβος: J5

Κατάντη : R54

Αποτελέσματα: J5

Παροχή αιχμής (M3/S)	3439.25
Χρονική στιγμή αιχμής	02Sep2000, 24:00
Όγκος (MM)	560.65

Απορροή



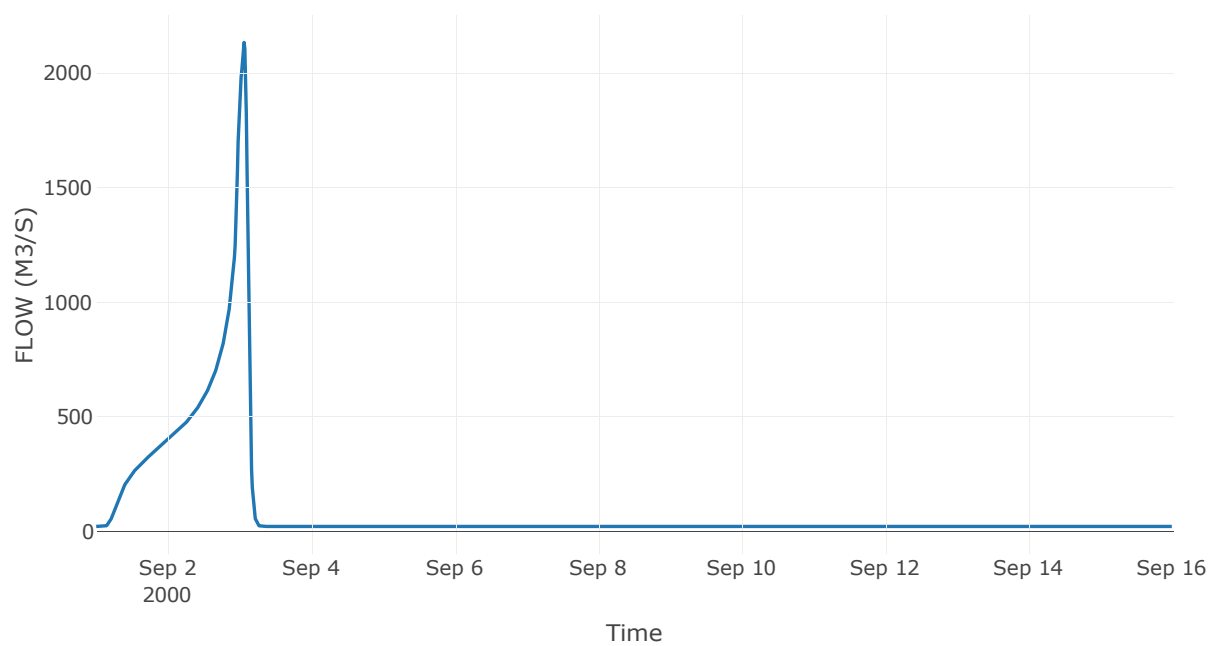
Κόμβος: J6

Κατάντη : R65

Αποτελέσματα: J6

Παροχή αιχμής (M3/S)	2134.62
Χρονική στιγμή αιχμής	03Sep2000, 01:30
Όγκος (MM)	577.05

Απορροή



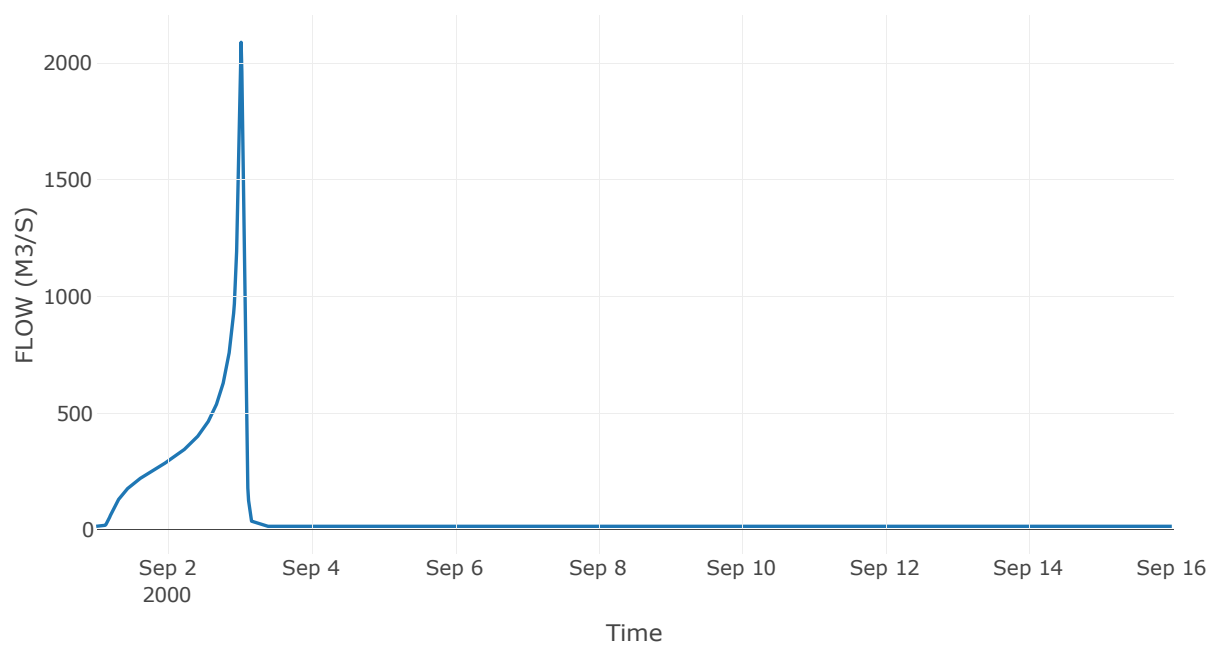
Κόμβος: J7

Κατάντη : R76

Αποτελέσματα: J7

Παροχή αιχμής (M3/S)	2088.81
Χρονική στιγμή αιχμής	03Sep2000, 00:30
Όγκος (MM)	592.7

Απορροή



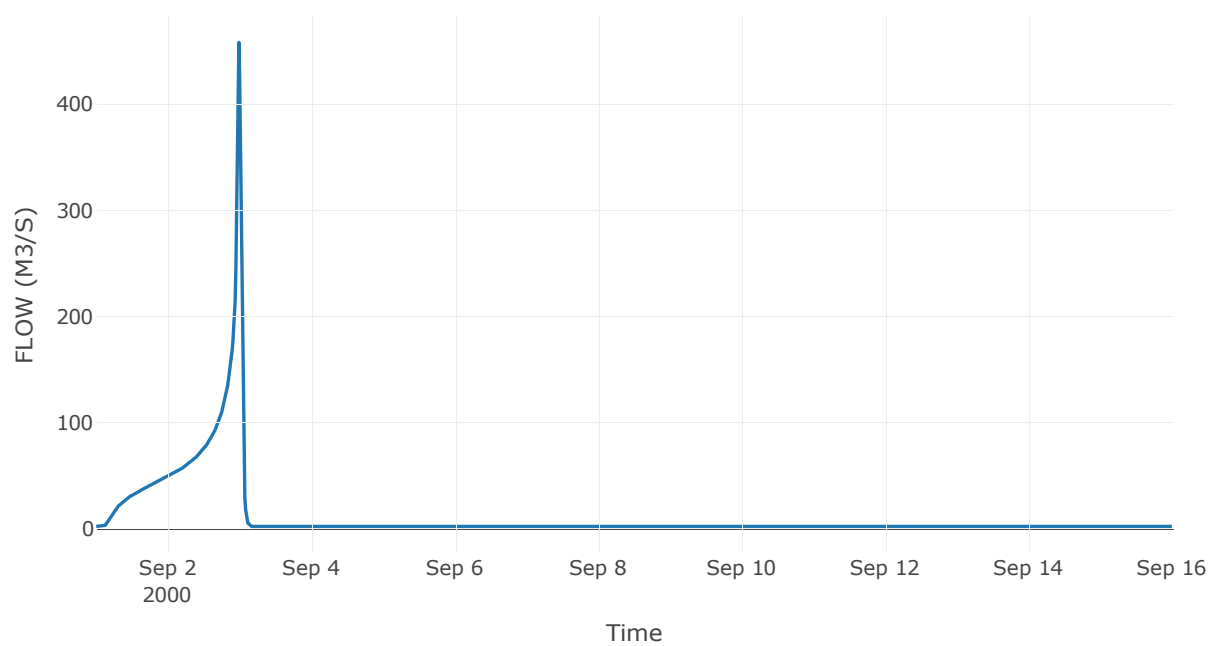
Κόμβος: J8

Κατάντη : R87

Αποτελέσματα: J8

Παροχή αιχμής (M3/S)	458.12
Χρονική στιγμή αιχμής	02Sep2000, 23:45
Όγκος (MM)	611.93

Απορροή



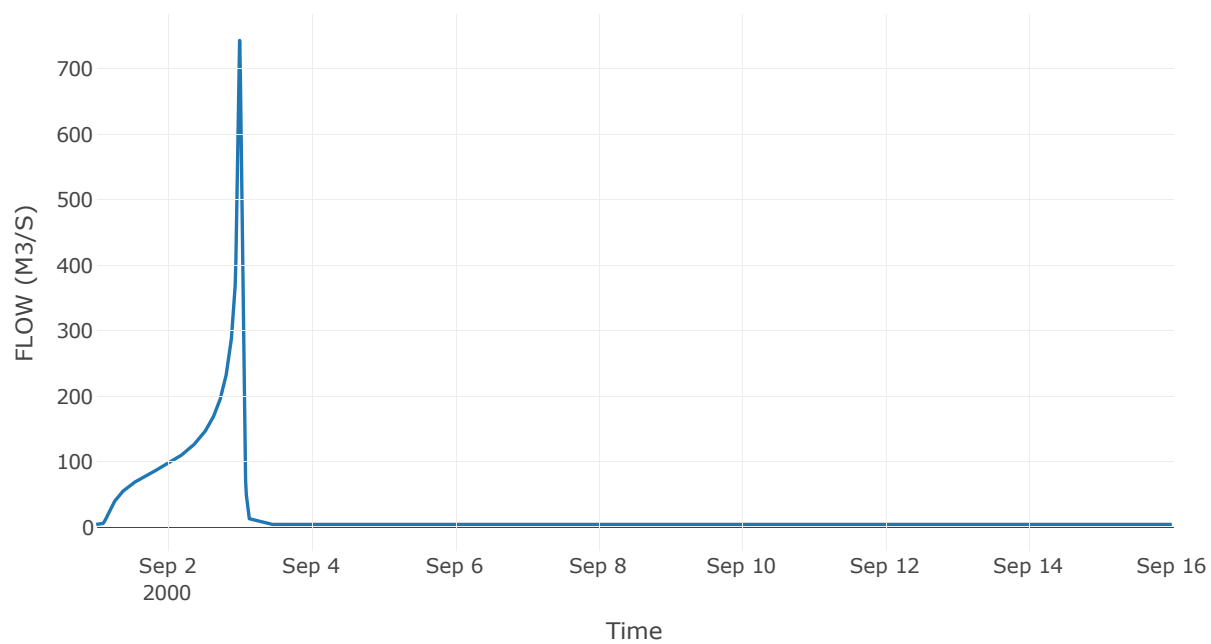
Κόμβος: J9

Κατάντη : R97

Αποτελέσματα: J9

Παροχή αιχμής (M3/S)	743.4
Χρονική στιγμή αιχμής	02Sep2000, 24:00
Όγκος (MM)	595.07

Απορροή



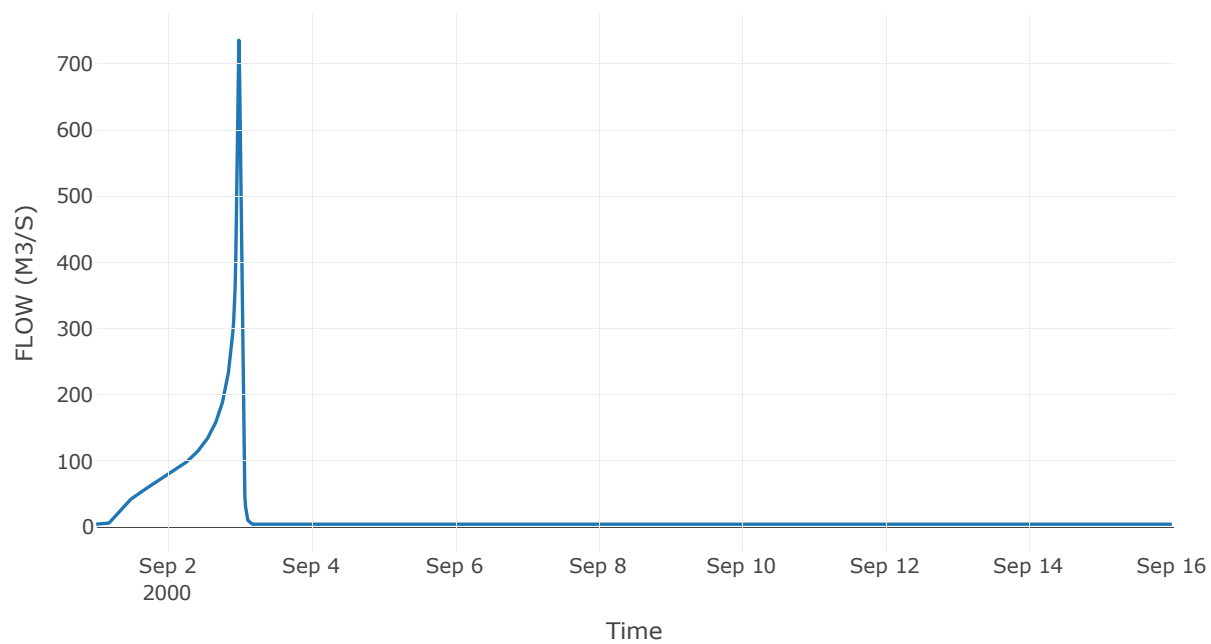
Κόμβος: J10

Κατάντη : R105

Αποτελέσματα: J10

Παροχή αιχμής (M3/S)	735.4
Χρονική στιγμή αιχμής	02Sep2000, 23:45
Όγκος (MM)	577.96

Απορροή



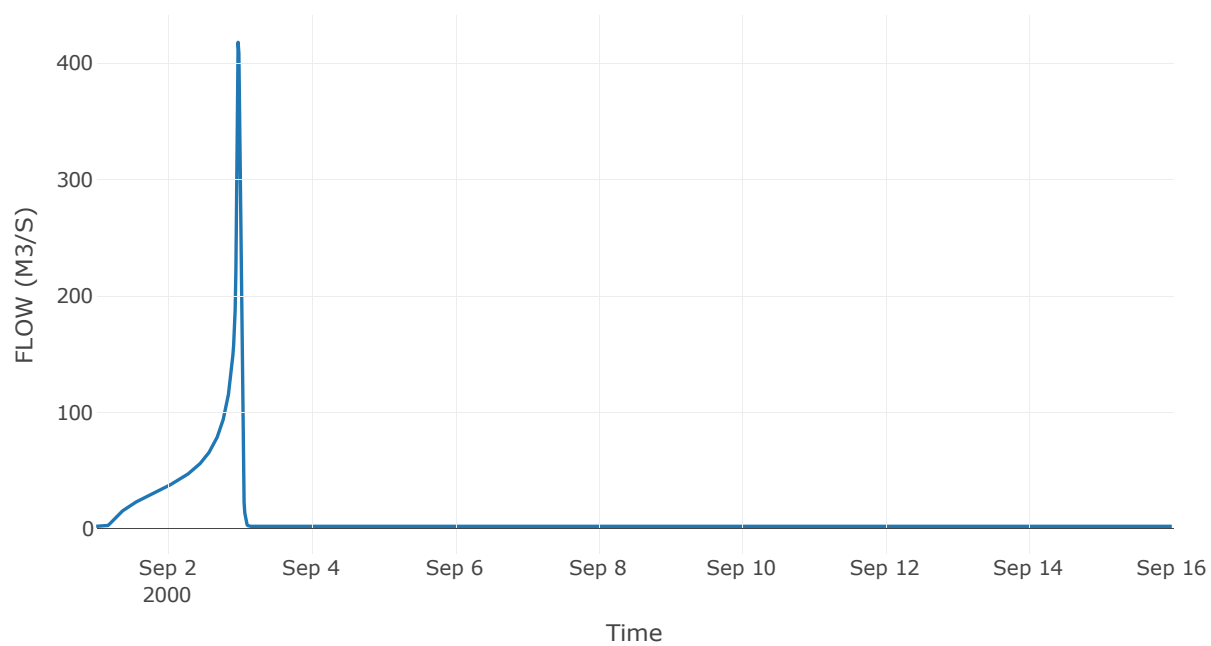
Κόμβος: J11

Κατάντη : R1112

Αποτελέσματα: J11

Παροχή αιχμής (M3/S)	417.95
Χρονική στιγμή αιχμής	02Sep2000, 23:30
Όγκος (MM)	567.69

Απορροή



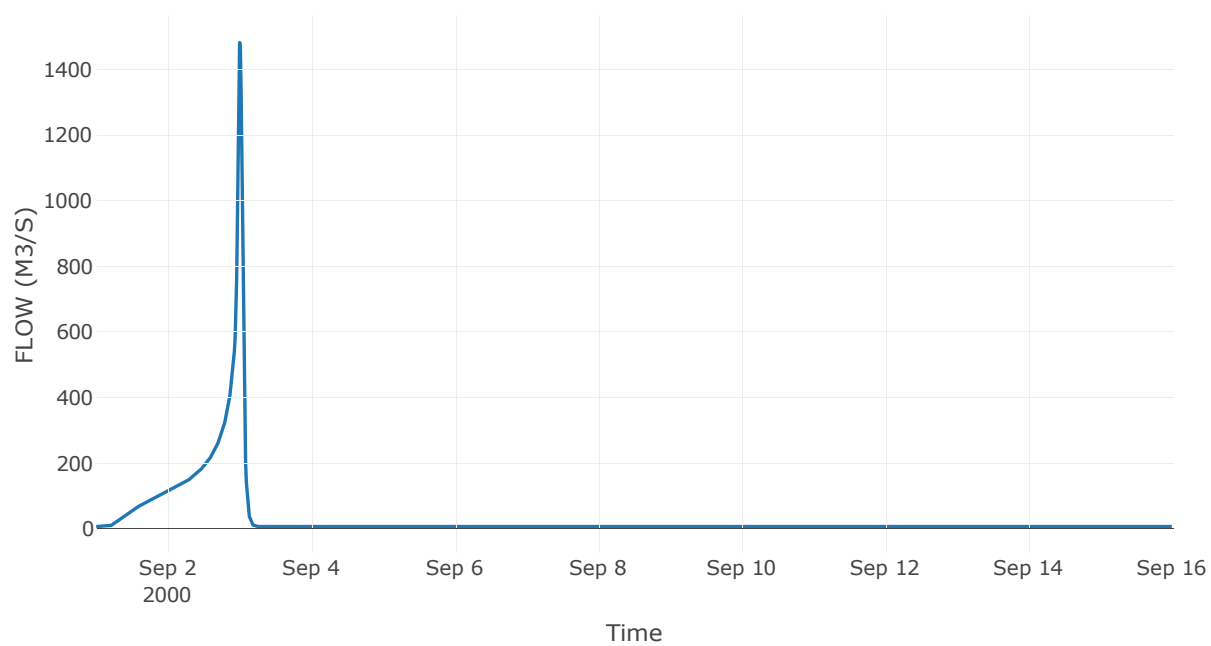
Κόμβος: J12

Κατάντη : R1213

Αποτελέσματα: J12

Παροχή αιχμής (M3/S)	1481.92
Χρονική στιγμή αιχμής	02Sep2000, 24:00
Όγκος (MM)	522

Απορροή



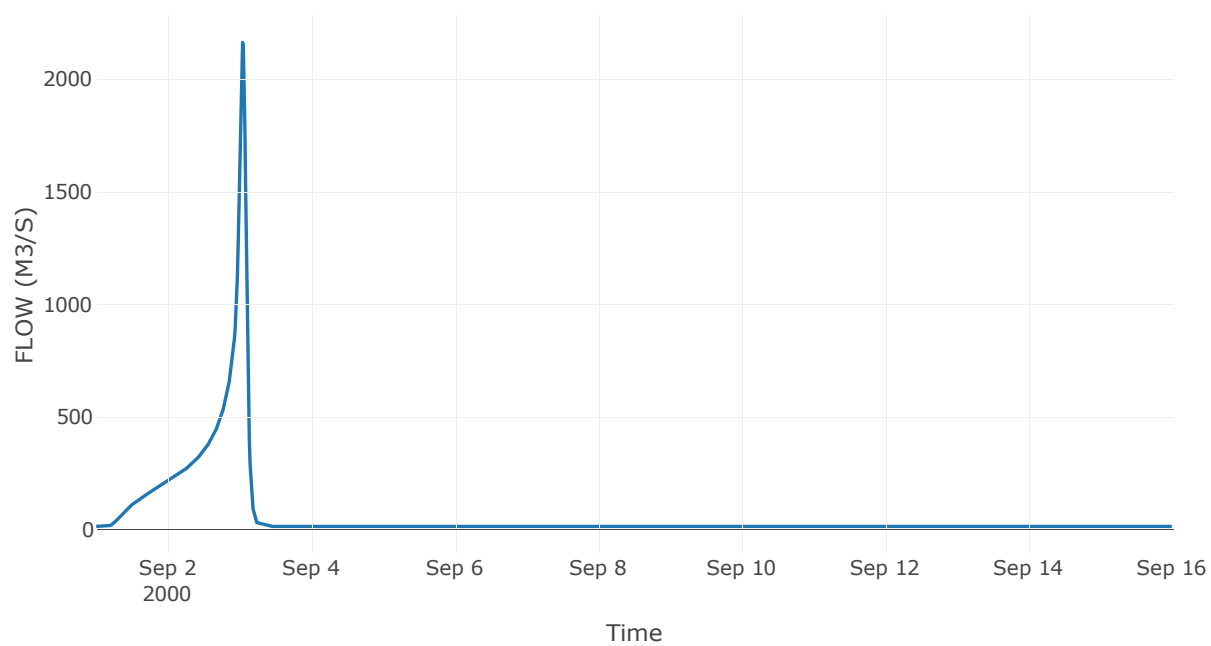
Κόμβος: J13

Κατάντη : R1314

Αποτελέσματα: J13

Παροχή αιχμής (M3/S)	2164.15
Χρονική στιγμή αιχμής	03Sep2000, 01:00
Όγκος (MM)	534.09

Απορροή



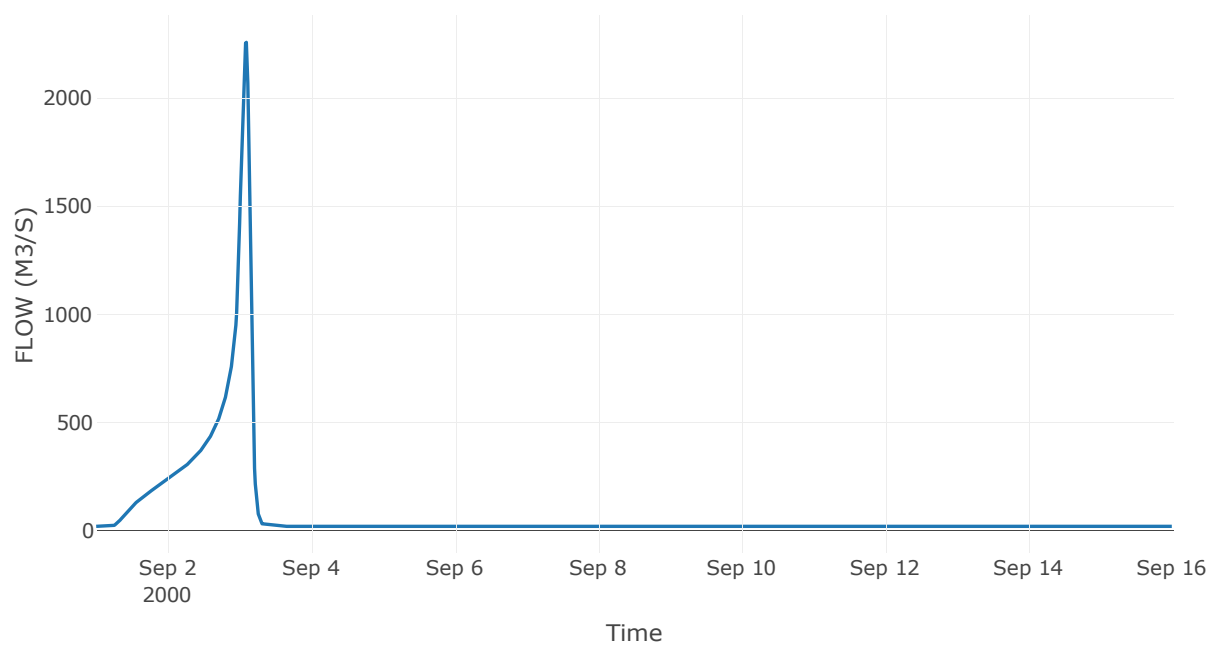
Κόμβος: J14

Κατάντη : R1415

Αποτελέσματα: J14

Παροχή αιχμής (M3/S)	2257.62
Χρονική στιγμή αιχμής	03Sep2000, 02:15
Όγκος (MM)	518.42

Απορροή



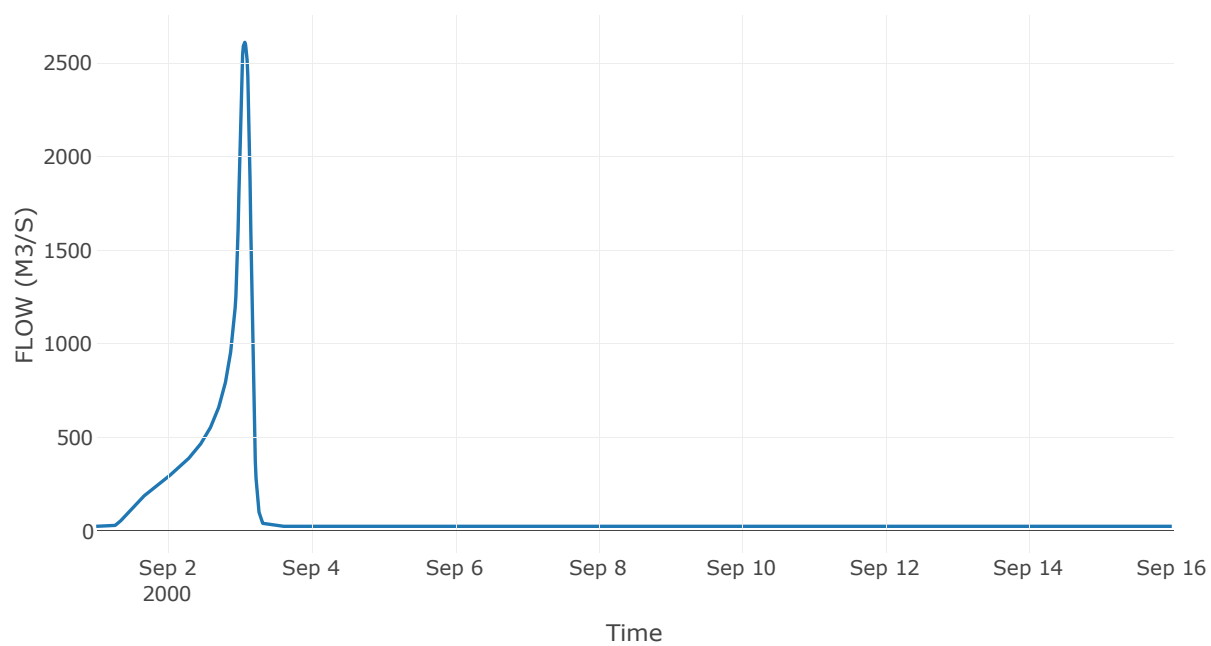
Κόμβος: J15

Κατάντη : R152

Αποτελέσματα: J15

Παροχή αιχμής (M3/S)	2610.1
Χρονική στιγμή αιχμής	03Sep2000, 01:45
Όγκος (MM)	495.45

Απορροή



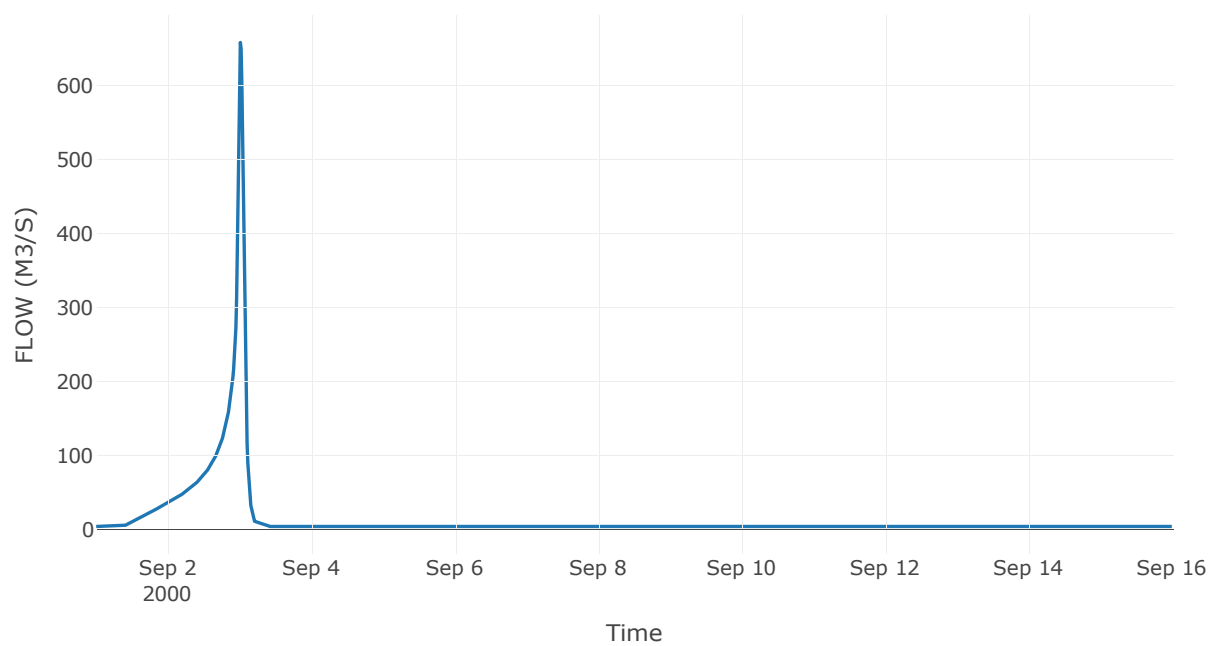
Κόμβος: J16

Κατάντη : R1615

Αποτελέσματα: J16

Παροχή αιχμής (M3/S)	658.42
Χρονική στιγμή αιχμής	03Sep2000, 00:15
Όγκος (MM)	421.51

Απορροή



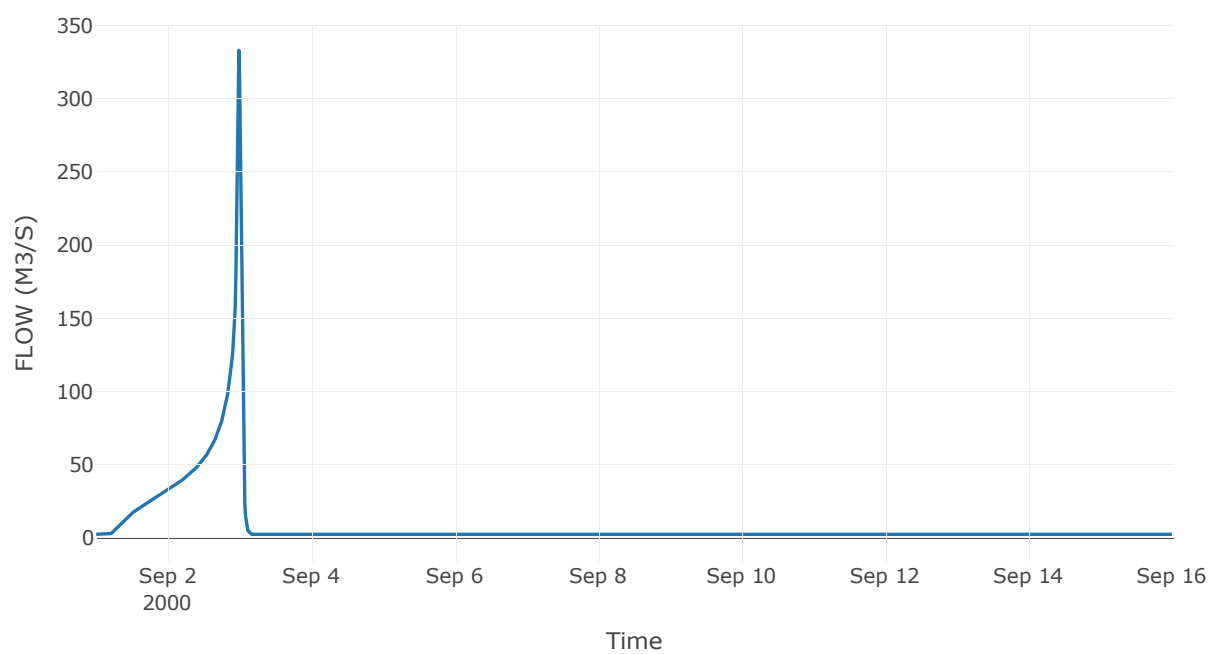
Κόμβος: J17

Κατάντη : R173

Αποτελέσματα: J17

Παροχή αιχμής (M3/S)	332.89
Χρονική στιγμή αιχμής	02Sep2000, 23:45
Όγκος (MM)	450.07

Απορροή



Κόμβος: J18

Κατάντη : R183

Αποτελέσματα: J18

Παροχή αιχμής (M3/S)	127.85
Χρονική στιγμή αιχμής	02Sep2000, 23:30
Όγκος (MM)	432.38

Απορροή

